

Б.П. ДАНИЛЕНКО
И.И. МАНКЕВИЧ

СПРАВОЧНОЕ
ПОСОБИЕ

Отечественные
и зарубежные
МАГНИТОФОНЫ:
СХЕМЫ, РЕМОНТ



Б.П. ДАНИЛЕНКО
И.И. МАНКЕВИЧ

Отечественные и зарубежные магнитофоны:

СХЕМЫ,
РЕМОНТ

СПРАВОЧНОЕ
ПОСОБИЕ



МИНСК «БЕЛАРУСЬ» 1994

ББК 32.871-5-08я2

Д18

УДК 681.846.7.004.67(035.5)

Д $\frac{6810846070-024}{\text{М301(03)}-94}$ 38-94

ISBN 5-338-00998-6

© Б. П. Даниленко,
И. И. Манкевич, 1994

Аппаратура магнитной записи и воспроизведения звука занимает одно из первых мест среди бытовой радиоэлектронной аппаратуры. Это объясняется возможностью длительного хранения различной информации, записанной на магнитную ленту, и многократным ее использованием. Причем достоверность информации даже при многократном пользовании ею остается достаточно высокой. Поэтому магнитофоны могут быть применены не только для записи музыкальных и речевых программ, но и в качестве накопителей на магнитной ленте для бытовых компьютеров с малым объемом оперативной памяти.

Характерными для последнего времени являются разработка и выпуск новых марок магнитофонов с применением более совершенных магнитных головок и лент, позволяющих значительно повысить качество записи и воспроизведения магнитофонов различных групп сложности. Кроме того, в эксплуатации у населения имеется большое количество магнитофонов иностранных марок и их число постоянно увеличивается. Отсутствие электрических схем для зарубежных магнитофонов затрудняет их ремонт и регулировку.

Целью данного издания является ознакомление широкого круга читателей с принципами построения схем магнитофонов, путями повышения качества их работы.

Пособие содержит описание электрических схем магнитофонов отечественного и зарубежного производства, рекомендации по их ремонту, настройке и измерению основных параметров.

В книге приведен обширный справочный материал по транзисторам и микросхемам отечественного и зарубежного производства, их цоколевке и схемам включения.

ЭЛЕМЕНТЫ СИСТЕМЫ МАГНИТНОЙ ЗАПИСИ ВОСПРОИЗВЕДЕНИЯ

Под магнитной записью звука понимают процесс создания остаточной намагниченности в звуконосителе, движущемся с постоянной скоростью мимо записывающей головки. Остаточная намагниченность должна представлять собой точную копию записываемых акустических процессов. Носитель может быть выполнен в виде проволоки, пленки, ленты, граммофонной пластинки или манжеты.

При продольном протягивании звуконосителя запись осуществляется на боковую поверхность. При использовании дискового носителя звуковая дорожка может лежать либо в опрессованной канавке, либо на гладкой поверхности диска. Естественно, что диск должен вращаться с постоянной угловой скоростью. Наконец, след может наноситься на широкую ленту перпендикулярно или под некоторым углом к направлению движения носителя. В этом случае должно быть по меньшей мере две записывающие головки.

В современных устройствах магнитной записи звука наибольшее распространение получил звуконоситель в виде магнитной ленты, движущейся с постоянной скоростью мимо записывающей головки. Поэтому процесс записи будет рассмотрен применительно к звуконосителю именно такого типа.

Воспроизведение магнитной записи осуществляется путем обратного преобразования, но в этом случае звуконоситель перемещается мимо воспроизводящей головки с той же скоростью, что и при записи. Поскольку величина остаточной намагниченности изменяется вдоль ленты в соответствии с записанным звуком, то аналогично изменяется и величина магнитного потока в сердечнике воспроизводящей головки. Изменение магнитного потока вызывает ЭДС в обмотке воспроизводящей головки.

Несомненным достоинством аппаратов магнитной записи является возможность многократного использования звуконосителей для записи различных программ. Это объясняется способностью магнитной ленты размагничиваться в переменном магнитном поле. Для размагничивания ленты используется стирающая головка, которая освобождает ленту от записи перед записью новой программы.

Таким образом, устройство магнитной записи и воспроизведения звука может быть представлено в виде блока головок (стирающей, записывающей и универсальной), устройства, равномерно протягивающего ленту мимо головок, и электрической части, обеспечивающей стирание, запись и воспроизведение звука. Схема такого устройства представлена на рис. 1.1.

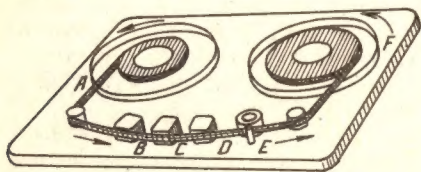


Рис. 1.1. Схематическое изображение устройства магнитной записи и воспроизведения:

A — подающий узел; B, C, D — стирающая, записывающая и воспроизводящая головки, объединенные в блок; E — ведущий вал; F — подающий узел

Качество магнитной записи и воспроизведения звука обеспечивается качеством всех элементов, входящих в устройство. Поэтому целесообразно рассмотреть основные положения и требования к деталям и узлам.

1.1. МАГНИТНАЯ ЛЕНТА

Конструктивно магнитная лента состоит из основы и нанесенного на нее с одной стороны рабочего слоя. В качестве материала основы используют диацетатцеллюлозу, триацетатцеллюлозу, поливинилхлорид либо полиэтилентерефталат (лавсан). Толщина основы составляет 12...38 мкм. Выбор материала основы и толщины диктуется требованиями на механическую прочность и реакцией на изменение параметров окружающей среды (температура, влажность). По совокупности этих свойств в настоящее время лучшей считается полиэтилентерефталатная. Затем, в порядке ухудшения свойств, следуют поливинилхлоридная, три- и диацетилцеллюлозная.

В качестве рабочего слоя используется магнитный лак, приготовленный на основе порошков гамма-оксида железа, феррита кобальта, двуокиси хрома, чистого железа. Магнитный лак состоит из немагнитного связующего вещества, в котором равномерно распределены магнитные частицы, имеющие размеры от 0,1 мкм до 1 мкм. У современных лент магнитные частицы занимают 30...45 % объема магнитного слоя, имеющего толщину 6...16 мкм. Частицы порошка могут быть представлены хаотически расположенными магнетиками. При отсутствии внешних магнитных полей частицы находятся в хаотическом состоянии, и их собственные магнитные поля взаимно уничтожают друг друга (рис. 1.2).

Намагничивание рабочего слоя ленты возможно при воздействии на него внешнего магнитного поля. При этом магнетики будут ориентироваться в направлении его воздействия. Чем сильнее воздействующее поле, тем больше будет ориентировано частичек, тем сильнее намагнитится рабочий слой ленты (рис. 1.3). При прекращении воздействия маг-

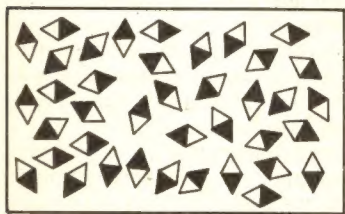


Рис. 1.2. Элементарные магнетики ленты (хаотическое состояние)

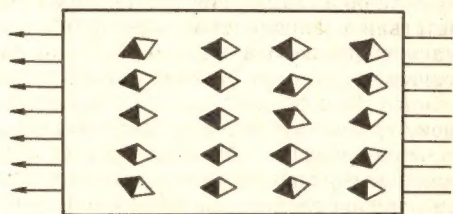


Рис. 1.3. Ориентированное состояние элементарных магнетиков

нитного поля лента остается намагниченной. Создание остаточной намагниченности ленты называют процессом записи и осуществляют при помощи записывающей головки, создающей внешнее магнитное поле, воздействующее на ленту. Чтобы намагниченность ленты была пропорциональна поданному в головку записи сигналу, применяют подмагничивание. Кроме того, подмагничивание уменьшает нелинейные искажения при малых уровнях записываемого сигнала.

Различают подмагничивание постоянным и переменным магнитным полем. В современных бытовых магнитофонах используется подмагничи-

вание переменным током, частотой, в несколько раз превышающей максимальную частоту записываемого сигнала.

Магнитные ленты характеризуются рядом параметров, определяющих качество звукозаписи. К ним относятся: оптимальное подмагничивание, чувствительность, неоднородность чувствительности, частотная характеристика, нелинейные искажения, уровень записи при заданных нелинейных искажениях, шум размагниченной ленты, шум в паузе записи, шум намагниченной ленты, копрэффект и другие.

Чувствительность. Это свойство характеризует отношение величины остаточного магнитного потока, получаемого при записи, к низкочастотному полю головки, создаваемому током записи.

Чем чувствительность ленты выше, тем меньший уровень сигнала может быть записан.

Неоднородность чувствительности. Чувствительность ленты должна быть достаточно однородной как в пределах одного рулона, так и у различных рулонов ленты одного типа. Неоднородность чувствительности больше ± 1 дБ обнаруживается на слух как изменение громкости.

Неоднородность чувствительности вызывается неоднородностью толщины рабочего слоя ленты, неравномерностью распределения в нем частиц порошка и неодинаковым качеством рабочего слоя. Большая неоднородность затрудняет оптимизацию тока подмагничивания.

Оптимальное подмагничивание. Оптимальным называют такое подмагничивание, при котором чувствительность магнитной ленты максимальна. Величина оптимального подмагничивания зависит от частоты тока записи. Обычно ее подбирают для сигнала частотой 400 или 1000 Гц. Однако возможно оптимальное подмагничивание и для всего спектра частот записываемого сигнала. В этом случае применяют систему динамического подмагничивания.

Частотная характеристика ленты зависит от ее магнитных свойств, эластичности, толщины, однородности частиц порошка, качества поверхности рабочего слоя и от режима подмагничивания. Она характеризует чувствительность ленты от частоты записываемого сигнала.

Нелинейные искажения, вносимые магнитной лентой, являются основной частью нелинейных искажений, возникающих в канале магнитной записи звука. Величина искажений зависит от магнитных свойств порошка и толщины рабочего слоя, концентрации порошка в нем, режима записи. Чем больше толщина рабочего слоя и концентрация порошка в нем, тем меньше искажения при заданном уровне записи.

Нелинейные искажения определяются также величиной тока подмагничивания. При высокочастотном подмагничивании меньше оптимального рабочий слой по толщине намагничивается неоднородно, и искажения увеличиваются. Увеличение искажений при подмагничивании выше оптимального вызывается ограничением намагниченности участков ленты, полученной сигналом записи с большим уровнем.

Уровень записи при заданных нелинейных искажениях позволяет судить о перегрузочной способности ленты. Он измеряется относительно стандартного максимального уровня записи.

Шум размагниченной ленты вызывается неоднородностью частиц порошка и неравномерным распределением их в рабочем слое. Кроме того, эти шумы зависят от качества размагничивания ленты.

Относительный уровень шума современных магнитных лент сравнительно мал и составляет — 50... + 65 дБ в зависимости от типа ленты и скорости записи и воспроизведения.

Шум ленты, намагниченной постоянным или переменным полем, можно разделить на две составляющие: структурный и контактный.

Структурный шум вызывается неоднородностью рабочего слоя ленты и имеет широкий спектр частот.

Контактный шум вызывается колебаниями ленты у рабочих зазоров головок из-за шероховатости поверхностей магнитных головок и рабочего слоя ленты, ее жесткости и неравномерности трения ленты о направляющие. Этот шум более различим на низких частотах.

Шумом паузы называют шум размагниченной ленты, подвергнутой действию поля подмагничивания, создаваемого головкой записи. При этом шум ленты возрастает на 3...10 дБ по сравнению с шумом предварительно размагниченной.

Это связано с тем, что при действии высокочастотного подмагничивания повышается чувствительность ленты к слабым магнитным полям, и поэтому появляется паразитная намагниченность ленты из-за асимметрии формы тока подмагничивания, магнитного поля Земли, намагниченности деталей лентопротяжного механизма и т. д. Уровень этого шума может быть уменьшен экранированием записывающей головки, размагничиванием ее сердечника, экрана и других деталей лентопротяжного механизма.

Копирэффект возникает в магнитной ленте, свернутой в рулон, когда намагниченные участки ленты намагничивают соседние слои. При воспроизведении такой записи кроме основного сигнала будут слышны также сигналы-копии, воспринимаемые на слух, как эхо. Степень копирэффекта зависит от магнитных свойств ленты.

Для маркировки магнитных лент применяют комбинацию из пяти элементов. Первый элемент — буквенный индекс, обозначающий назначение ленты. Для магнитной звукозаписи применяются ленты с индексом «А». Второй элемент — цифровой индекс от нуля до девяти, обозначающий материал основы: 2 — дицетатцеллюлоза, 3 — трицетатцеллюлоза, 4 — полиэтилентерефталат. Третий элемент — цифровой индекс от нуля до девяти, обозначающий толщину ленты: 2 — 18 мкм, 3 — 27 мкм, 4 — 37 мкм, 6 — 55 мкм, 9 — свыше 100 мкм. Четвертый элемент — цифровой индекс от 0,9 до 99, обозначающий порядковый номер разработки. Пятый элемент — числовое обозначение ширины ленты: 6 — 6,25 мм, 3 — 3,81 мм. После пятого элемента имеется индекс, указывающий на область применения. Для бытовых магнитофонов лента маркируется индексом «Б».

Современная техника магнитной записи и качество магнитных лент позволяют осуществлять четырехдорожечную запись как на лентах шириной 6,25 мм, так и на лентах шириной 3,81 мм. Чтобы ослабить влияние записи одной дорожки на другую, между ними существует участок, свободный от записи. Расположение дорожек записи на ленте шириной 6,25 мм показано на рис. 1.4. Расположение дорожек на лентах кассетных магнитофонов отличается от расположения дорожек на лентах катушечных магнитофонов. Это обусловлено конструкцией стирающей головки, которая при стирании захватывает одновременно две дорожки, расположенные на одной половине ленты (рис. 1.5).

Хранить ленту следует плотно намотанной на стандартную катушку, а наружный конец должен быть закреплен на рулоне специальным зажимом или липкой лентой. Чтобы концы ленты не изнашивались, к ним обычно подклеивают цветную ракордную ленту. Катушку с лентой желательно поместить в полиэтиленовый чехол и держать в заводской упаковке или специальной коробке в вертикальном положении.

Ленту следует оберегать от ударов, вибраций, пыли, от прямого воздействия солнечных лучей и сильных магнитных полей (трансформаторы,

Вид со стороны рабочего слоя ленты

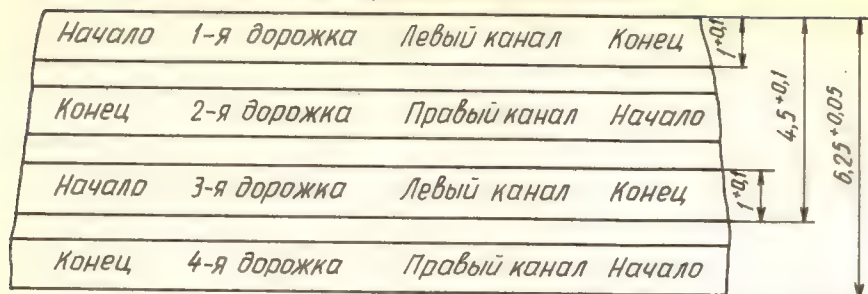


Рис. 1.4. Расположение дорожек на ленте шириной 6,25 мм при четырехдорожечной монофонической и стереофонической записи

Вид со стороны рабочего слоя ленты

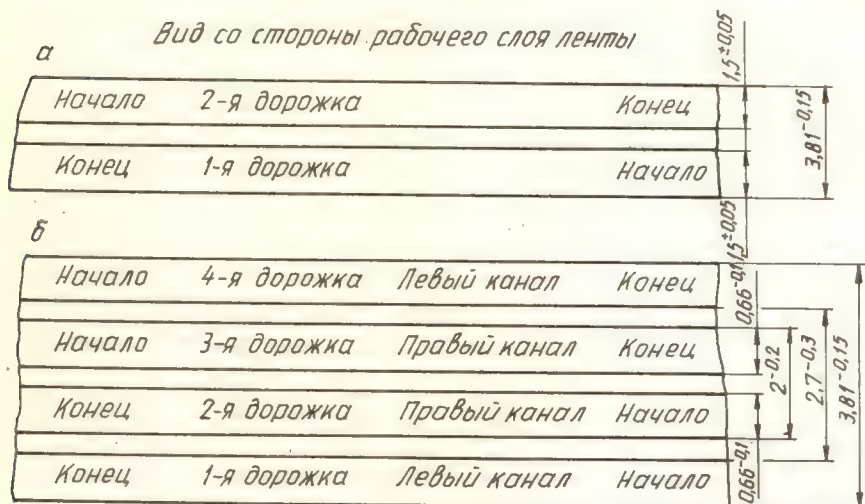


Рис. 1.5. Расположение дорожек на ленте шириной 3,81 мм:
а — двухдорожечная монофоническая запись;
б — четырехдорожечная монофоническая и стереофоническая запись

электродвигатели, головки прямого излучения с мощной магнитной системой и т. д.).

Ленту нельзя хранить в сыром помещении и при температуре выше +30 °С. Высокая температура приводит к высыханию основы, и лента становится хрупкой, а повышенная влажность приводит к короблению. Пересохшую ленту за 10...15 минут до применения рекомендуется с торцевой стороны слегка протереть влажной тканью. При длительном хранении целесообразно один раз в 6 месяцев перематывать ленту.

1.2. МАГНИТНЫЕ ГОЛОВКИ

Магнитные головки (МГ) представляют собой электромагнитные (магнитоэлектрические) преобразователи энергии. Конструктивно они состоят (рис. 1.6) из сердечника 1, выполняющего функции концентратора маг-

нитного поля, преобразователя 2 в виде индукционной катушки (обмотки) и рабочего зазора 3, заполненного немагнитным материалом.

В зависимости от требований, предъявляемых к магнитным головкам, они могут быть разделены на записывающие, воспроизводящие, универсальные и стирающие. Несмотря на различное назначение головок, конструктивно они мало чем отличаются друг от друга.

Записывающие головки предназначены для преобразования энергии низкочастотного сигнала в энергию магнитного поля, действующего

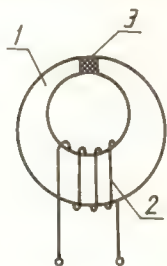


Рис. 1.6. Магнитная головка:
1 — сердечник; 2 — обмотка; 3 — рабочий зазор

на рабочий слой магнитной ленты (МЛ). Так как магнитная проницаемость рабочего зазора μ_z много меньше магнитной проницаемости сердечника μ_c , то силовые линии магнитного потока в этом месте вспучиваются, создавая узконаправленное магнитное поле, обеспечивая намагничивание МЛ. Степень намагниченности рабочего слоя ленты соответствует уровню записываемых звуковых колебаний.

Воспроизводящие головки обеспечивают обратное преобразование. В них изменение намагниченности рабочего слоя МЛ, движущейся мимо рабочего зазора, преобразуется в колебания тока звуковой частоты.

Стирающие головки реализуют основное достоинство магнитной записи звука, а именно — многократность записи. Они преобразуют подводимые колебания токов высокой частоты от генератора стирания и подмагничивания в переменное магнитное поле, которое при движении МЛ по рабочей поверхности головки сначала намагничивает ее почти до насыщения, а затем размагничивает до нуля.

За время прохождения МЛ мимо рабочего зазора стирающей головки каждый ее участок успевает намагнититься и размагнититься несколько раз. Этим самым достигается почти полное размагничивание (стирание) ленты.

Несмотря на схожесть процессов, происходящих в магнитных головках, они отличаются друг от друга и конструктивно, и требованиями, предъявляемыми к ним. Поэтому целесообразно рассмотреть каждый вид головок в отдельности.

Записывающая магнитная головка — наиболее ответственная часть блока магнитных головок, обеспечивающая качество звукозаписи. Конструктивно она выполнена из двух полуколец, образующих сердечник (магнитопровод) головки. В месте соединения полуколец образуются зазоры. Один из них является рабочей щелью δ_1 , ширина которой фиксируется немагнитной прокладкой соответствующей толщины. Сечение в этой части сердечника значительно уменьшается для увеличения магнитного сопротивления рабочей щели. С противоположной стороны образуется задний зазор δ_2 (рис. 1.7).

В процессе записи переменный ток, протекающий в обмотке записывающей головки, создает магнитный поток в сердечнике, намагничиваю-

щий ленту при ее движении над рабочим зазором головки. Это происходит потому, что участок ленты, соприкасающийся с рабочим зазором головки, шунтирует его.

Очевидно, чем плотнее контакт «магнитная лента — рабочий зазор головки», тем больше напряженность намагничивающего поля, а следовательно, и остаточная намагниченность ленты.

Значение остаточной намагниченности зависит также и от уровня записываемого сигнала. Кроме того, происходят своеобразные выбросы,

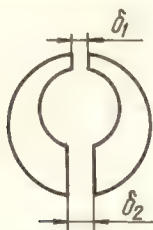


Рис. 1.7. Магнитопровод (сердечник) записывающей головки

которые совместно с толчками тока при включении «Запуск» способны вызвать остаточную намагниченность сердечника головки, повышая уровень шумов в паузе. Введение в сердечник записывающей головки дополнительного заднего зазора значительно уменьшает степень этого явления. Это происходит за счет увеличения общего сопротивления магнитной цепи. Поэтому изменения, вызываемые выбросами тока в обмотке головки, и изменения, вызываемые лентой, меньше влияют на магнитный поток в сердечнике головки при наличии заднего зазора, определяющего сопротивление магнитной цепи.

Во время записи в обмотку записывающей головки одновременно с током записываемого сигнала подается ток подмагничивания, поэтому рабочее поле является суммой полей обоих токов. В магнитофонах бытового назначения применяют высокочастотное подмагничивание, позволяющее получить остаточную намагниченность ленты, пропорциональную току записи. Применение подмагничивания сводит остаточную намагниченность ленты в паузах к нулю, что резко снижает шумы в паузах. Кроме того, уменьшаются и нелинейные искажения записанного сигнала.

Одним из основных параметров записывающей головки является ее чувствительность. Она определяется отношением средней напряженности поля в рабочем зазоре головки к току через ее обмотку. Следует отметить, что увеличение ширины рабочего зазора приводит к увеличению чувствительности головки и ухудшению ее частотной характеристики.

Частотная характеристика записывающей головки при записи с высокочастотным подмагничиванием не связана прямо с шириной рабочего зазора. Однако при выборе малого тока подмагничивания (для лучшей записи верхних частот) при слишком широком зазоре записывающей головки на высоких частотах может наблюдаться явление наложения записей, сделанных магнитными полями краев зазора.

При узком рабочем зазоре будут плохо записываться нижние частоты ввиду плохой «промагничиваемости» рабочего слоя ленты по толщине. Чтобы этого не было, ширину рабочего зазора выбирают не менее 3...5 мкм.

Воспроизводящая головка преобразует колебания магнитного поля ленты в колебания тока звуковой частоты. Главное требование к этим головкам — минимальные потери при преобразовании.

Основными параметрами воспроизводящей головки являются отдача и частотная характеристика.

Отдачей воспроизводящей головки называется напряжение, развиваемое ею в режиме холостого хода при воспроизведении записи максимального уровня. Величина отдачи зависит от магнитных сопротивлений сердечника и рабочего зазора. Чем меньше магнитное сопротивление сердечника, тем больше отдача головки. С этой целью сердечник головки выполняется из материала с большой магнитной проницаемостью и не содержит заднего зазора. Но этих мер недостаточно, чтобы получить максимальную отдачу. В любом случае магнитный поток в головке меньше остаточного магнитного потока ленты. Природа этих потерь волновая, так как величина их зависит от длины волны записанного сигнала. Волновые потери можно разделить на щелевые, контактные и слойные.

Величина щелевых потерь зависит от ширины рабочего зазора головки. Чем меньше ширина его, тем лучше отдача головки в области верхних частот. Более глубокий анализ работы головки позволяет установить, что сигналы с длиной волны, равной ширине рабочего зазора, не воспроизводятся, так как разность магнитных потенциалов между краями зазора равна нулю. Поэтому в магнитофонах применяют воспроизводящие головки, ширина рабочего зазора которых меньше минимальной длины волны рабочего диапазона.

Таким образом, для повышения отдачи в области верхних частот рабочий зазор головки воспроизведения должен быть достаточно узким. Однако при очень узком рабочем зазоре уменьшается отдача головки в области средних и особенно нижних частот. Кроме того, такой зазор трудно выполнить по технологическим причинам. Поэтому ширину рабочего зазора выбирают так, чтобы отдача головки в области верхних частот уменьшалась не более чем на 6 дБ.

Контактные потери возникают в результате плохого контакта головки с магнитной лентой. Если лента не полностью прижата к рабочему зазору, то не весь остаточный поток дорожки замыкается через сердечник головки. Часть потока замыкается в пространстве между лентой и головкой и оказывается потерянной. В области верхних частот это наблюдается особенно четко.

На величину контактных потерь оказывает влияние состояние поверхностей ленты и рабочей части головки. С целью уменьшения указанных потерь поверхности ленты и головки должны быть полированными.

Слойные потери имеют ту же природу, что и контактные. Представим себе, что рабочий слой ленты имеет конечную толщину и разбит на большое число тонких элементарных слоев. Каждый такой слой удален на некоторое расстояние от головки и создает в сердечнике магнитный поток. Величина этого потока при каждом конкретном значении длины волны записи зависит от расстояния элементарного слоя до рабочей поверхности головки. Чем больше это расстояние, тем меньше магнитный поток и меньше отдача головки. Таким образом, на верхних частотах, когда расстояние от слоя до головки становится соизмеримым с длиной волны записи, будут наблюдаться контактные потери. Очевидно, что чем толще рабочий слой ленты, тем больше слойные потери, уменьшающие отдачу в области верхних частот.

Как следует из анализа потерь в воспроизводящей головке, все они оказывают влияние на амплитудно-частотную характеристику (АЧХ) головки в области верхних частот, уменьшая отдачу.

В настоящее время воспроизводящие головки выпускаются с рабочим зазором порядка 1...5 мкм. Такие головки при использовании лучших современных лент позволяют даже при скорости 4,76 см/с воспроизводить диапазон частот до 20 000 Гц.

Стирающая головка позволяет реализовать основное достоинство маг-

нитофона — многократную запись на магнитную ленту. В функции стирающей головки входят стирание старой записи и размагничивание ленты. С этой целью в головку поступает ток от генератора стирания и подмагничивания (ГСП). Головка преобразует высокочастотные колебания от ГСП в переменное магнитное поле у рабочего зазора. Частота колебаний ГСП выбирается такой, чтобы за время прохождения магнитной ленты по рабочей поверхности головки лента могла перемагнититься несколько раз. В результате этого остаточная намагниченность ленты по выходе ее из поля стирающей головки практически отсутствует, т. е. лента размагничивается. Качество стирания зависит от двух основных условий: 1) полного удаления предыдущих записей и 2) размагничивания магнитной ленты. Выполнение последнего условия особенно важно, так как оно обеспечивает минимальные остаточные шумы.

Универсальная головка осуществляет несколько функций (поочередно или по выбору). Например, запись и воспроизведение или запись и стирание. В современных бытовых магнитофонах универсальные головки выполняют поочередно функции записи и воспроизведения.

Условия работы головки в каждом режиме различны, поэтому выбор параметров универсальной головки приходится делать компромиссным путем. При выборе параметров универсальной головки решающим фактором является необходимость обеспечения оптимального режима воспроизведения. Поэтому ширина рабочего зазора выбирается малой, а обмотка выполняется с большим числом витков.

С целью снижения остаточной намагниченности сердечников и уменьшения уровня шумов в режиме записи в сердечнике головки делают дополнительный зазор шириной 60...100 мкм, хотя это уменьшает отдачу головки в режиме воспроизведения.

В последнее время в магнитофонах первой и высшей группы сложности находят применение *комбинированные головки*. Они позволяют одновременно осуществлять и запись и воспроизведение, сохраняя при этом оптимальные свойства головок записи и воспроизведения.

Устройство магнитных головок примерно одинаково. Отличие между головками различного назначения состоит в выборе материала и формы сердечника, в разном числе витков обмоток, в разной ширине рабочего зазора и в наличии или отсутствии дополнительного заднего зазора.

Наибольшее распространение получили магнитные головки кольцевой системы (см. рис. 1.6) с сердечником в форме тороида. Для уменьшения потерь на вихревые токи сердечник набирается из отдельных изолированных друг от друга пластин толщиной 0,1...0,2 мм. Материалом для пластин сердечника служат пермаллой, феррит, сендаст и аморфный металл. Некоторые характеристики этих материалов приведены в табл. 1.1.

Сравнивая данные, приведенные в табл. 1.1, можно сказать, что лучшим материалом для головок записи по всем магнитным параметрам является сендаст. Из-за низкой индукции насыщения, плохой технологичности и ухудшения свойств в процессе эксплуатации (выкрошивание в зоне зазора, появление микротрещин в сердечнике) менее всего пригодны ферриты.

Для универсальных и воспроизводящих головок наиболее пригодным считается сендаст. При высокой магнитной проницаемости сендаст позволяет обеспечить ширину рабочего зазора 0,8...1,2 мкм с правильной геометрией. На втором месте — монокристаллические ферриты.

Обладая высокими электрическими параметрами, головки из сендаста более износоустойчивы. Ресурс работы головок из сендаста составляет более 5000 ч.

Таблица 1.1. Материалы для магнитных головок и их эксплуатационный параметр (износостойкость)

Материал	Износостойкость, мкм/ч	Технологичность
Пермаллой	0,1	Хорошая
Феррит	0,001	Плохая
Сендаст	0,005	Удовлетворительная
Аморфный металл	0,004	То же »

Таблица 1.2. Сравнение параметров магнитных головок с различным материалом сердечников

Параметры	Аморфный металл	Сендаст	Пермаллой	Феррит
Чувствительность воспроизведения, дБ (315 Гц)	—71	—71	—73	—73
АЧХ воспроизведения (14 кГц и 315 Гц), дБ	+17	+15	+13	+15
Максимальный выходной уровень в области НЧ, дБ	+4	+4	+2	0
Максимальный выходной уровень в области ВЧ, дБ	—1	—2	—4	—6
Коэффициент гармоник, %	1	1	2	5

Для стирающих головок желательно применение комбинированного сердечника. Полосные наконечники таких головок выполняются из тонких пластин сендаста или твердого пермаллоя в рабочей зоне, а остальная часть сердечника — из марганеццинкового феррита. Однако в настоящее время сердечники стирающих головок выполняются из феррита.

В качестве материала для сердечников записывающих, воспроизводящих и универсальных головок успешно применяется также аморфный металл. В табл. 1.2 приведено сравнение параметров головок, сердечники которых выполнены из различного материала.

Как следует из табл. 1.2, по отдельным параметрам головки из аморфного металла превосходят головки из других материалов. Исключение составляют головки из феррита со стеклянным покрытием.

Головки из монокристалла феррита со стеклянным покрытием типа Glass X (или GX) разработаны и изготовлены японской фирмой АКА1. Магнитные свойства монокристаллического феррита лучше, чем у самых совершенных никелевых головок. Вакуумная же технология позволила обеспечить ширину рабочего зазора до 1 мкм. Применение стеклянного покрытия увеличило рабочий ресурс, по данным фирмы АКА1, до 150 000 ч.

К недостаткам головок типа GX следует отнести: сравнительно большие контактные потери, что требует больших коэффициентов усиления от усилителей записи и воспроизведения; большую трудоемкость в изготовлении, что определяет их высокую стоимость.

По количеству одновременно записываемых, воспроизводящих или стирающих дорожек головки могут быть одноканальные и двухканальные.

жечные. Многодорожечные головки в бытовых магнитофонах не применяются. Однороджечные головки применяются при монофонической записи и воспроизведении, а двухдорожечные — при стереозаписи. Исключение составляют катушечные магнитофоны, в которых возможна моно- и стереофоническая запись.

Конструкция двухдорожечной головки изображена схематично на рис. 1.8.

Головка состоит из сердечников 1, 3 с расположенными на них обмот-

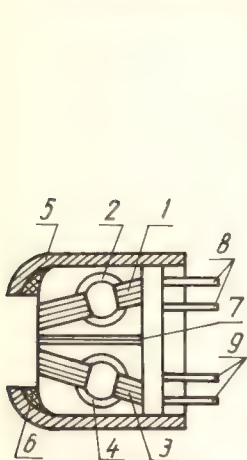


Рис. 1.8. Устройство двухдорожечной магнитной головки:

1, 3 — сердечники; 2, 4 — обмотки; 5 — корпус головки; 6 — компаунд; 7 — экран, разделяющий головки дорожек; 8, 9 — выводы

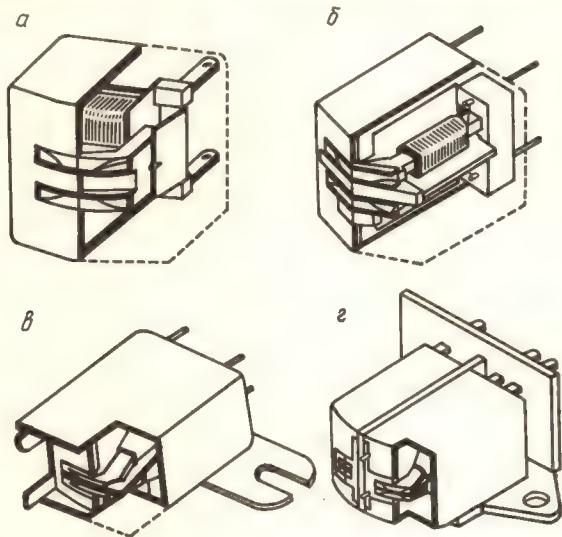


Рис. 1.9. Общие виды головок различного назначения:

а — универсальная 6Д24.081; б — записывающая 6В24.081; в — универсальная 3Д24.041; г — комбинированная 3АВ24

ками 2, 4. Чтобы уменьшить влияние одной дорожки на другую, сердечники с обмотками разделены экраном 7. Крепятся сердечники с экраном в корпус 5 при помощи компаунда 6. Подключение головки к схеме осуществляется выводами 8 и 9.

Общие виды головок различного назначения приведены на рис. 1.9.

Обозначение магнитных головок производится согласно ГОСТ 19755—81. Стандарт определяют буквенно-цифровые обозначения, характеризующие назначение головок и группу сложности. Первая цифра обозначает ширину магнитной ленты, для которой предназначена головка: 3 — для лент шириной 3,81 мм; 6 — для лент шириной 6,25 мм. Буква после первой цифры обозначает назначение головки: А — головка записи; В — головка воспроизведения; С — головка стирания; Д — универсальная (запись и воспроизведение).

Для кассетных магнитофонов со сквозным каналом разработана специальная головка, которая обозначается буквами АВ.

Цифра после буквы обозначает максимальное число одновременно записываемых, воспроизводимых или стираемых дорожек: 1 — однорожечная, 2 — двухдорожечная. Следующая цифра указывает на максимальное число дорожек в обоих направлениях движения ленты: 2 — двух-

Таблица 1.3. Параметры магнитных головок, применяемых в кассетных магнитофонах

Параметры	Головка					
	ЗД24.221	ЗАВ24	ЗД24.01	ЗД24.051	ЗД24.080	ЗД24.081
1	2	3	4	5	6	7
1. Рабочий диапазон частот, Гц	40...14 000 (Fe ₂ O ₃)	40...14 000 (Fe ₂ O ₃) 31,5...16 000 (CrO ₂)	40...14 000 (Fe ₂ O ₃)	40...12 500 (Fe ₂ O ₃)	40...14 000 31,5...18 000 31,5...20 000	(Fe ₂ O ₃) (CrO ₂)
2. Индуктивность, мГн	85...145	МГЗ, МГВ 7,2...10,8 115...185	100...160	110...190	110...190	100...170
3. ЭДС воспроизведения, мВ	0,278	0,29	0,25	0,298	0,35	0,3
4. АЧХ воспроизведения	1	3,5	0	2	6,5(Fe ₂ O ₃)	1(Fe ₂ O ₃)
400...14 000 Гц, дБ		12 500/400 Гц	11(CrO)	5,5(CrO ₂)		
5. АЧХ записи	400...14 000	— 16	— 20	— 20	— 14(Fe ₂ O ₃) — 12(CrO ₂)	— 15(Fe ₂ O ₃) — 23(CrO ₂)
Гц, дБ	— 20	(Fe ₂ O ₃) 3 ^{+0,5} 1 ^{+0,2}	1,5 ^{+0,3}	2 ^{+0,5}	1,5±0,2	
6. Ширина рабочего зазора, мм	1,8					
7. Материал сердечника	Пермаллой	81НМА	Пермаллой 79НМ	Пермаллой 81НМА	Сендаст	
8. Ресурс работы, ч	2150	250	2150	2150	500	
9. Работа с магнитными лентами: Fe ₂ O ₃ CrO ₂	Возможна —	Возможна То же	Возможна То же	Возможна —	Возможна То же	Возможна То же
Металлопорошковый	—	—	—	—	—	—

Таблица 1.4. Параметры и режимы работы магнитных головок кассетных магнитофонов

Тип	Индуктивность, мГн	Ширина рабочего зазора, мкм	ЭДС воспроизведения, мВ	Ток записи, мА	Ток подмагничивания, мА	Ток стирания, мА
ЗД12Н.2.0	45...75	1,5±0,3	0,23	0,15	1,5	—
ЗД12Н.21.0	60...100	1,8	0,36	0,3	1,5	—
ЗД24Н.1	55...90	1,5	0,15	0,15	1,0	—
ЗД24.Н.1.0	55...90	1,5	0,15	0,2	1,2	—
ЗД24Н.1.У	55...90	1,5±0,3	0,17	0,12	0,5	—
ЗД24Н.21.0	60...100	1,8	0,23	0,15	0,75	—
ЗС124.1	0,3	150	—	—	—	85
ЗС124.1.0	0,2...0,4	100	—	—	—	100
ЗС124.1.У	0,22...0,37	2×100	—	—	—	80
ЗС124.21.0	0,25...0,37	200	—	—	—	80

дорожечная, 4 — четырехдорожечная. Двухзначное число после точки обозначает номер разработки, последняя цифра — группу сложности: 0 — высшая, 1 — первая, 2 — вторая.

Основные параметры некоторых магнитных головок для кассетных магнитофонов приведены в табл. 1.3.

Наряду с магнитными головками, обозначенными по новому стандарту, применяются головки, обозначенные по ГОСТ 19775—74, где условное обозначение магнитных головок состоит из следующих элементов. Первая цифра обозначает ширину магнитной ленты, для работы с которой рассчитана головка (3 — для лент шириной 3,81 мм и 6 — для лент шириной 6,25 мм). Следующая за ней буква обозначает назначение головки (А — записывающая, В — воспроизводящая, С — стирающая, Д — универсальная). Стоящая за буквой цифра показывает максимальное число одновременно воспроизводимых, записываемых или стираемых дорожек. Вторая за буквой цифра показывает максимальное число дорожек, располагаемых по ширине ленты. В обозначении стирающих головок следующие одна или две цифры указывают максимальную скорость движения магнитной ленты. Буква, стоящая после этих цифр, указывает на особенность применения головки (Н — низкоомная, П — высокоомная). Следующая цифра, отделенная от буквы точкой, показывает номер технологической разработки, а стоящая за ней буква, также отделенная точкой, показывает категорию головки (О — обычная, У — улучшенная).

Блок головок может состоять из двух магнитных головок. В этом случае разница индуктивностей отдельных головок, входящих в блок, не должна превышать 25 % для головок категории У и 30 % для блоков категории О; разница в ЭДС воспроизведения не более 2 и 3 дБ, а в ширине рабочих зазоров соответственно 15 и 25 %.

В табл. 1.4 приведены основные параметры магнитных головок и блоков, широко применяемых в кассетных магнитофонах. Приведенные данные справедливы для магнитной ленты типа А4203—3.

Магнитные головки и блоки головок для катушечных магнитофонов выпускаются в отличие от кассетных трех видов: воспроизводящие, записывающие и стирающие. Поэтому их основные параметры приведены отдельной таблицей (табл. 1.5). Данные по ЭДС воспроизведения, токов записи, подмагничивания и стирания справедливы для ленты типа А4403—6.

Таблица 1.5. Параметры и режимы работы магнитных головок катушечных магнитофонов

Тип	Индуктив- ность, мГн	Ширина рабочего зазора, мм	ЭДС воспро- изведения, мВ	Ток записи, мА	Ток под- магничи- вания, мА	Ток стирания, мА
6Д12В.1	480...820	3	1,6	0,085	0,85	—
6Д12П.2.0	950...1350	4	2,4	0,06	0,8	—
6Д12Н.3.0	40...60	3	0,47	0,28	2,8	—
6С129.1.У	1,4...2,1	250	—	—	—	60
6С129.1	1,3...2,2	200	—	—	—	75
6Д24Н.1.0	60...95	3	0,33	0,27	1,8	—
6Д24Н.4.0	60...95	3	0,38	0,3	2,2	—
6А24Н.4.У	15...25	7	—	0,45	2,7	—
6В24.Н.4.У	60...95	3	0,375	—	—	—

1.3. ЛЕНТОПРОТЯЖНЫЙ МЕХАНИЗМ

Основное назначение лентопротяжного механизма (ЛПМ) заключается в перемещении магнитной ленты возле магнитных головок с постоянной скоростью в режимах записи и воспроизведения. При этом механизм должен обеспечить равномерное натяжение ленты и оптимальный прижим ее к головкам. Кроме режимов записи и воспроизведения ЛПМ должен обеспечивать ускоренную перемотку ленты вперед-назад.

По конструкции ЛПМ бывают компланарными, коаксиальными и кольцевыми. В бытовых магнитофонах применяют ЛПМ компланарного типа, элементы которого расположены в одной плоскости.

Различают две кинематические схемы компланарных ЛПМ: типа «открытой петли» и типа «закрытой петли». Кинематическая схема компланарного механизма типа «открытой петли» показана на рис. 1.10.

При работе в режимах записи и воспроизведения лента с подающего узла 1 сматывается и принимается приемным узлом 2. Перемещает ленту электродвигатель 6, к валу которого лента прижимается обрезиненным роликом 5. Чтобы лента не перемещалась по вертикали, применяют направляющие ролики или стойки 3, 4. Магнитные головки располагаются между направляющими стойками в следующем порядке по ходу движения ленты: стирающая 7, записывающая 8 и воспроизводящая 9.

У механизма типа «открытой петли» имеется серьезный недостаток — нестабильность вращения подающего и приемного узлов сказывается на равномерности движения ленты. От этого недостатка свободен механизм типа «закрытой петли» (рис. 1.11).

В этой конструкции, как и в предыдущей, имеются подающий 1 и приемный 2 узлы. Лента прижимается к ведущему валу 3 прижимными роликами 4, 5 с двух сторон. Между этими роликами лента образует петлю, охватывающую инерционный ролик 6. Стабильность скорости записи и воспроизведения зависит от стабильности движения ленты внутри петли, где расположены головки 7, 8. При этом влияние приемного и подающего узлов на скорость ленты внутри петли ослабляется прижимными роликами.

Лентопротяжные механизмы типа «закрытой петли», несмотря на очевидное достоинство, распространение в бытовых магнитофонах не получили по конструктивным соображениям.

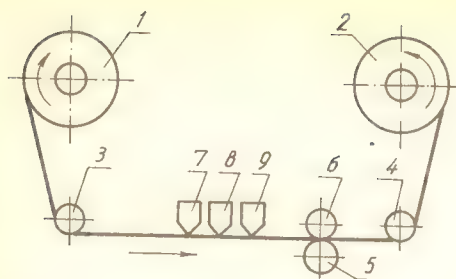


Рис. 1.10. Лентопротяжный механизм типа «открытая петля»

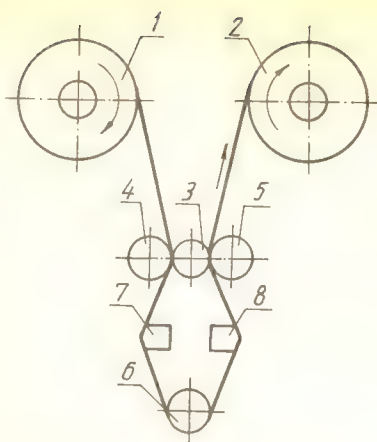


Рис. 1.11. Лентопротяжный механизм типа «закрытая петля»

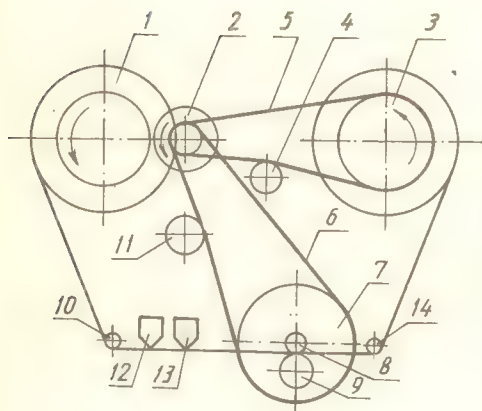


Рис. 1.12. Кинематическая схема однодвигательного лентопротяжного механизма катушечного магнитофона

По количеству примененных электродвигателей ЛПМ могут быть трехдвигательными и однодвигательными. На рис. 1.10 приведена кинематическая схема трехдвигательного механизма. В ней кроме ведущего двигателя 6 имеются двигатели подающего и приемного узлов. Во время записи или воспроизведения двигатель приемного узла вращается в ту же сторону, что и ведущий, обеспечивая тем самым намотку ленты с нужной плотностью. Двигатель подающего узла вращается в обратную сторону, обеспечивая заданное натяжение ленты. Для этого на него подается неполное напряжение.

В режиме ускоренной перемотки вперед на двигатель приемного узла подается полное напряжение, и он осуществляет намотку ленты на приемный узел. На двигатель подающего узла прикладывается неполное напряжение, обеспечивая тем самым плотность намотки. В режиме перемотки назад полное напряжение подается на двигатель подающего узла и неполное на двигатель приемного.

При ускоренной перемотке как вперед, так и назад ведущий двигатель отключается, а магнитные головки отводятся от ленты.

На рис. 1.12 показана кинематическая схема однодвигательного ЛПМ. Механизм приводится в движение электродвигателем 2. Вращение с помощью двух пассивов 5 и 6 передается на маховик 7 ведущего вала 8

и на правый подкатушник 3. Натяжение пассиков производится натяжными роликами 4 и 11. Прижим ленты к ведущему валу 8, на который насажен маховик 7, осуществляется прижимным обрезиненным роликом 9. Подматывается лента приемным узлом 3, а необходимое натяжение у магнитных головок обеспечивается подающим узлом. При ускоренной перемотке влево ведомый диск подающего узла через паразитный ролик прижимается к обрезиненной насадке на валу электродвигателя и вращается в направлении, обратном указанному на рисунке. Приемный узел при этом обеспечивает натяжение ленты. При ускоренной перемотке вперед тяговое усилие создает приемный узел, а подающий — подтормаживает. Торможение ленты в момент остановки магнитофона производится специальными тормозными устройствами на подающем и приемном узлах.

Лентопротяжные механизмы кассетных магнитофонов строятся также по компланарным схемам с одним, двумя и тремя электродвигателями. Наибольшее распространение получили ЛПМ кассетных магнитофонов с одним двигателем и одним или двумя пассиками.

На рис. 1.13 приведена однодвигательная кинематическая схема ЛПМ с двумя пассиками. С помощью пассика 7 вращение вала электродвигателя 8 передается ведущему узлу 9. На приемный 6 и подающий 3 узлы вращения передается с маховика ведущего узла через второй пассик 4. При помощи обводного ролика 2 осуществляется изменение направления вращения подающего узла.

Рассматриваемая кинематическая схема изображена в положении «Стоп». При переводе ЛПМ в положение «Рабочий ход» магнитные головки 11 и 12 и обрезиненный прижимной ролик 10 входят в контакт с магнитной лентой 14. Постоянство скорости перемещения ленты обеспечивается системой ведущий вал 13 — прижимной ролик 10. Подмотка ленты на приемный узел осуществляется за счет использования в приемном узле фрикционной муфты, а требуемое натяжение ленты производится фрикционной муфтой подающего узла, ведущий шкив которого вращается в обратную сторону.

В режимах перемоток вперед и назад магнитные головки и прижимной ролик отводятся от магнитной ленты и с помощью одного из обрезиненных роликов 6 и 1 производятся выключение фрикционной муфты приемного или подающего узлов. При остановке и переходе из одного режима работы в другой движение ленты тормозится фрикционными муфтами узлов.

Применение двух пассиков упрощает конструкцию ЛПМ и позволяет обеспечить необходимую развязку ведущего узла с подающим и приемным.

Кинематическая схема однодвигательного ЛПМ с одним пассиком изображена на рис. 1.14. Вращение вала электродвигателя 7 с помощью пассика 5 передается маховику ведущего узла 8, шкиву фрикционной муфты приемного узла 4 и обводному ролику 3. Схема показана в режиме «Стоп». При включении рабочего хода головки 10, 11 и прижимной ролик 9 входят в контакт с магнитной лентой 12. Система ведущий вал 13 — прижимной ролик 9 приводит в движение ленту с постоянной скоростью. Требуемое натяжение магнитной ленты на участке ведущий вал — приемный узел производится фрикционной муфтой приемного узла, а натяжение на участке ведущий вал — подающий узел 2 — при помощи специального тормоза 1. В режиме перемотки «Вперед» магнитные головки и прижимной ролик отводятся от ленты, а обрезиненный ролик 6 производит выключение фрикционной муфты приемного узла. Натяжение ленты обеспечивается тормозом 1.

В режиме перемотки в обратном направлении обводной ролик 3, находящийся на подвижном рычаге, входит в зацепление со шкивом подающе-

го узла, и вращение от ведущего узла передается на подающий. Требуемое натяжение ленты обеспечивается фрикционной муфтой приемного узла.

В магнитофонах первой и высшей групп сложности применяют ЛПМ с тремя двигателями. Это позволяет обеспечить заданные параметры магнитофона и повысить надежность ЛПМ. Принцип работы трехдвигательного

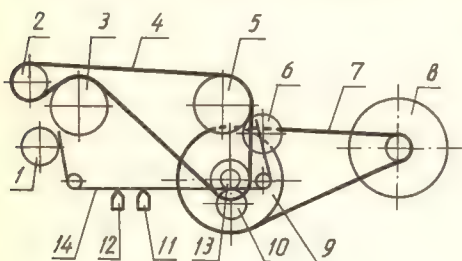


Рис. 1.13. Кинематическая схема однодвигательного лентопротяжного механизма кассетного магнитофона с двумя пассивками

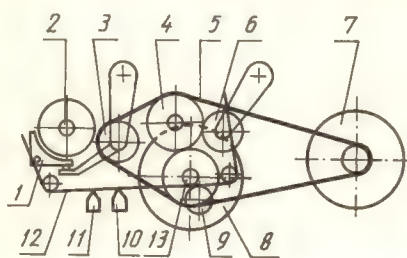


Рис. 1.14. Кинематическая схема однодвигательного лентопротяжного механизма кассетного магнитофона с одним пассивком

тельного ЛПМ кассетного магнитофона аналогичен принципу работы такого же ЛПМ катушечного.

Двухдвигательные лентопротяжные механизмы находят применение в кассетных магнитофонах и заметных преимуществ перед одно- и трехдвигательными не имеют.

Как было сказано выше, основной задачей ЛПМ является перемещение ленты с заданной скоростью. Однако действительная скорость несколько отличается от номинальной, что приводит к возникновению искажений, вносимых в фонограмму. При медленном изменении скорости происходит изменение тональности звука, при быстром возникает частотно-амплитудная модуляция и, как следствие, частотные и нелинейные искажения. Поэтому к лентопротяжным механизмам предъявляются жесткие требования (к стабильности скорости перемещения ленты около зазоров магнитных головок).

Основными параметрами, характеризующими ЛПМ, являются: средняя скорость ленты; отклонение средней скорости от номинальной; дрейф скорости; колебания скорости; коэффициент детонации.

Средняя скорость ленты — путь, проходимый лентой в единицу времени. Значения средней скорости стандартизированы. В бытовых катушечных магнитофонах применяют в основном следующие скорости: 19,05; 9,53 и 4,76 см/с, в кассетных — 4,76 см/с и иногда 2,38 см/с.

Отклонение средней скорости от номинальной оценивается в процентах и зависит от точности изготовления деталей ЛПМ, задающих скорость движения ленты. Оно приводит к тому, что при записи и воспроизведении на разных аппаратах время воспроизведения отличается от времени записи, а также искажается тембр звуковых сигналов. Допустимое отклонение средней скорости от номинальной не должно превышать долей процента.

Дрейф скорости — случайное изменение средней скорости, оцениваемое в процентах от номинального значения. Допустимое значение дрейфа скорости в зависимости от группы сложности магнитофона лежит в преде-

лах 0,5...3 %. Дрейф скорости вызывают: проскальзывание ленты; изменение питания электродвигателей; нестабильность частоты питающей сети; «вытягивание» ленты и т. д.

Колебания скорости — отклонение скорости от среднего значения. Возникают из-за неидеальности изготовления вращающихся элементов лентопротяжного механизма, наличия у них эксцентриситетов и эллиптичности. Эти колебания имеют периодический характер, частота их совпадает или кратна частоте вращения элементов лентопротяжного механизма.

Другим источником колебаний скорости являются продольные колебания ленты, вызванные случайным изменением коэффициента трения ленты о головки и неподвижные направляющие втулки. Такие изменения связаны с наличием шероховатости у рабочих поверхностей лент, головок и неподвижных частей лентопротяжного механизма, по которым перемещается лента. Частота этих колебаний, часто называемых струнным эффектом, зависит от материала основы и длины колеблющегося отрезка ленты.

При звукозаписи колебания скорости приводят к изменениям высоты тона, называемым *детонацией*. Оценивается детонация коэффициентом детонации.

Коэффициент детонации рассчитывается в процентах как отношение амплитуды колебания скорости движения ленты к номинальному значению. Для бытовых магнитофонов коэффициент детонации должен быть не более $\pm (0,04...0,7) \%$.

На слух детонация воспринимается как искажение звука. Детонация с частотой 2...10 Гц воспринимается как периодическое изменение высоты тона. Такое явление называют «плаванием» звука. Колебания скорости с частотой 10...25 Гц воспринимаются как дрожание звука, а выше 25 Гц — как хриплость.

Глава 2

ЭЛЕКТРИЧЕСКИЕ СХЕМЫ МАГНИТОФОНОВ

В настоящее время промышленностью выпускается свыше 70 разновидностей магнитофонов, магнитофонных приставок, воспроизводящих устройств индивидуального пользования и автомобильных. В отличие от телевизионных приемников магнитофоны строятся не по унифицированным схемам, а по индивидуальным, характерным для данной марки и группы сложности. Несмотря на это, все они построены по одной из двух структурных схем — с универсальным усилителем или с отдельными усилителями записи и воспроизведения.

2.1. СТРУКТУРНЫЕ СХЕМЫ МАГНИТОФОНОВ

Структурная схема монофонического магнитофона с универсальным усилителем приведена на рис. 2.1. В состав схемы входят: входное устройство (ВУ); универсальный усилитель (УУ); цепи коррекции (К); генератор стирания и подмагничивания (ГСП); магнитные головки стирания (ГС) и универсальная (ГУ); индикатор уровня записи (И); усилитель мощности (УМ).

Входное устройство в простейшем случае представляет собой делители напряжения, выполненные на резисторах. Выбор источника сигнала для записи осуществляется подключением его на соответствующий разъем (Мк — микрофон, Зв — звукосниматель, Р — радиоприемник или телевизор, А — радиотрансляционная линия). Делители напряжения понижают уровень входного сигнала, если это необходимо, до величины, равной номинальной чувствительности универсального усилителя.

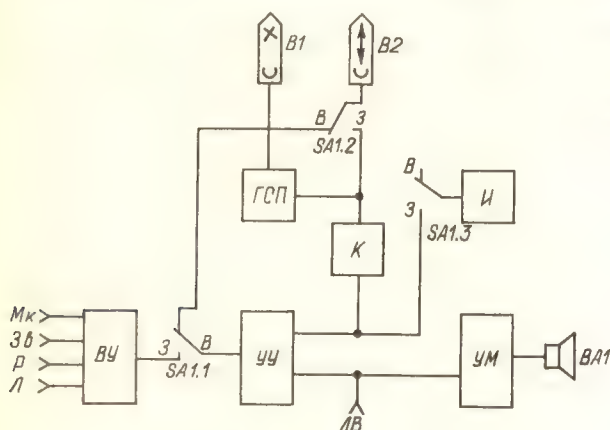


Рис. 2.1. Структурная схема монофонического магнитофона с универсальным усилителем

В режиме записи сигнал с входного устройства через переключатель SA1.1 поступает на универсальный усилитель. В универсальном усилителе происходит усиление сигнала и коррекция амплитудно-частотной характеристики при помощи цепей коррекции (К).

Усиленный сигнал с выхода усилителя через переключатель SA1.2 поступает на универсальную головку, работающую в качестве записывающей. Через этот же переключатель на головку подается ток подмагничивания от генератора стирания и подмагничивания. Одновременно ГСП запитывает и головку стирания. Для контроля уровня записи сигнал с выхода усилителя через переключатель SA1.3 подается на индикатор уровня записи. Установка уровня записи производится регулятором, расположенным в универсальном усилителе.

Качество записываемого сигнала на слух контролируется громкоговорителем ВА1, на который нагружен усилитель мощности. Сигнал на вход усилителя мощности поступает с выхода универсального усилителя. В схеме усилителя мощности предусматриваются регуляторы громкости и тембра.

В режиме воспроизведения сигнал с универсальной головки через переключатели SA1.2 и SA1.1 поступает на вход универсального усилителя, в котором осуществляется усиление и коррекция АЧХ. Цепи коррекции в режиме воспроизведения несколько отличаются от цепей коррекции в режиме записи. Выбор необходимой цепи коррекции при переходе с режима записи на режим воспроизведения производится переключателем SA1.1.

С выхода универсального усилителя сигнал поступает на вход усилителя мощности и на линейный выход ЛВ. Линейный выход предназначен для подключения другого магнитофона в режиме записи или более мощного усилителя низкой частоты.

По рассмотренной схеме в настоящее время выпускаются кассетные магнитофоны четвертой, третьей и второй группы сложности.

Наиболее распространенной следует считать схему стереофонического магнитофона с универсальными усилителями. По этой схеме строятся стереомагнитофоны и магнитофоны-приставки первой группы сложности.

Структурная схема двухканального стереофонического магнитофона изображена на рис. 2.2. Она содержит два идентичных канала (левый и правый), аналогичных рассмотренному выше. Общим для обоих каналов является генератор стирания и подмагничивания, который включается

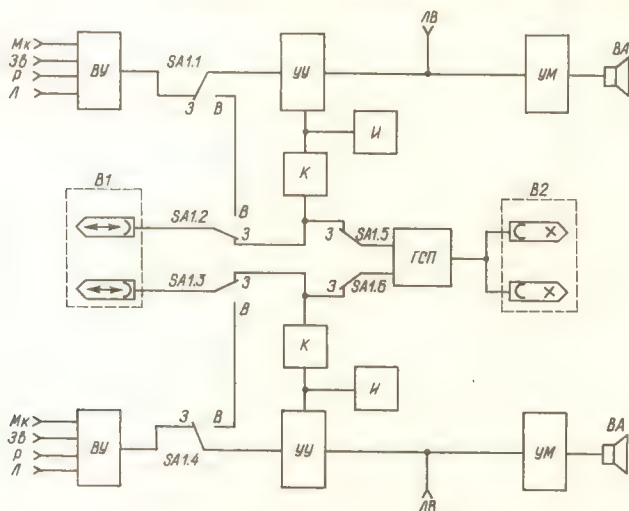


Рис. 2.2. Структурная схема двухканального стереофонического магнитофона с универсальными усилителями

при установке переключателя режимов работы SA1 в положение «Запись» (3). Магнитные головки выполнены в виде блоков. В каждом блоке по две головки, выполняющие одинаковые функции и подключенные к своему каналу.

Стереофонический магнитофон можно использовать для записи и монофонических программ. В этом случае работает только один канал (левый или правый). При записи левым каналом отключаются стирающая и универсальная головки правого канала. При этом, чтобы не изменился режим работы генератора стирания и подмагничивания (при отключении головок), генератор нагружают на эквивалентное сопротивление. При воспроизведении монофонической записи универсальные головки подключены ко входам усилителей, но оба усилителя мощности подключаются к одному из предварительных усилителей.

Применение такого режима снижает эксплуатационные возможности кассетного магнитофона и в промышленных образцах не предусматривается.

Магнитофоны первой и высшей групп сложности выполняются по схеме с отдельными усилителями для записи и воспроизведения (рис. 2.3) и только в стереофоническом варианте. Так как оба канала такого магнитофона идентичны, как и в предыдущем случае, рассмотрим принцип работы на примере одного канала.

При включении магнитофона на запись сигнал от источника сигнала через входное устройство подается на вход усилителя записи, в котором

осуществляется его усиление и коррекция. Усиленный и скорректированный сигнал поступает на головку записи совместно с сигналом от генератора стирания и подмагничивания. Уровни обоих сигналов выбираются такими, чтобы обеспечить необходимую остаточную намагниченность ленты при минимальных шумах и искажениях.

Записанный на магнитную ленту сигнал в виде остаточного магнитного потока при движении ленты возле рабочего зазора головки воспроизведения наводит в ней ЭДС, которая далее поступает на усилитель воспроиз-

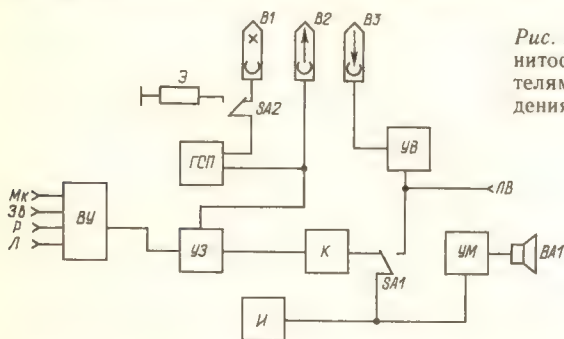


Рис. 2.3. Структурная схема магнитофона с отдельными усилителями записи и воспроизведения

ведения. После усиления и соответствующей коррекции сигнал поступает на гнездо «Линейный выход» (ЛВ), используемый при перезаписи на другой магнитофон.

Таким образом, при работе магнитофона в режиме «Запись» записанный головкой записи сигнал сразу же может считываться головкой воспроизведения. Благодаря отдельным усилителям для записи и воспроизведения образуется так называемый сквозной канал, позволяющий вести одновременно слуховой и визуальный контроль качества записи. В отличие от магнитофона с универсальными усилителями магнитофон с отдельными усилителями позволяет осуществлять контроль не только записываемого сигнала, но и записанного. Выбор сигнала для контроля производится переключателем SA1 (визуальный и слуховой). В хорошо отлаженном магнитофоне показания индикатора И при подключении к усилителю воспроизведения должны быть равны показаниям при подключении индикатора к усилителю записи. Так как в усилителе записи осуществляются частотные преобразования сигнала, то для устранения различия в показаниях индикатора вводится корректор, исправляющий сигнал. Усилитель мощности также подключается к усилителю записи через корректор.

Применение отдельных усилителей для записи и воспроизведения позволяет значительно расширить эксплуатационные возможности магнитофона (наложение записи на запись, перезапись с дорожки на дорожку и т. д.). Наложение записи осуществляется отключением головки стирания от генератора стирания и подмагничивания переключателем SA2. Головка же записи производит запись нового сигнала на существующий. Чтобы не изменился режим работы ГСП, он нагружается на эквивалент стирающей головки Э.

2.2. УСИТЕЛЬ ВОСПРОИЗВЕДЕНИЯ

Входным сигналом усилителя воспроизведения является ЭДС воспроизводящей головки, величина которой на нижних частотах не превышает 100...150 мкВ и растет с увеличением частоты. Это требует от усилителя

большого коэффициента усиления, чтобы обеспечить необходимый динамический диапазон. Как известно, динамический диапазон ограничивается снизу шумами. Источниками шума являются магнитная лента, магнитная головка и собственно усилитель воспроизведения. Шумы усилителя воспроизведения преобладают над шумами, создаваемыми головкой и лентой. Отсюда первое требование к усилителям подобного рода — низкий уровень собственных шумов, обеспечивающий наибольшее отношение сигнал/шум. Удовлетворение этого требования зависит как от схемных решений каскадов электрической схемы, так и от рационального их исполнения.

Наиболее ответственным узлом усилителя является первый каскад, так как именно к нему предъявляются жесткие требования по обеспечению необходимого превышения сигнала над собственными шумами. Даже незначительные шум или помеха, возникающие в первом каскаде и усиленные остальными каскадами, способны значительно уменьшить отношение сигнал/шум на выходе усилителя воспроизведения.

Высокочастотные шумы ощущаются на слух как шипение в громкоговорителях, оказывающее раздражающее действие на слушателя. Поэтому в относительном уровне суммарных помех усилителя воспроизведения доля высокочастотных помех должна быть на 20...30 дБ меньше остальных. К высокочастотным шумам относятся тепловой шум сопротивления базы, дробовой шум эмиттерного и коллекторного переходов и шумы перераспределения тока эмиттера. Отсюда следует, что уменьшение высокочастотных шумов возможно только за счет правильного выбора транзисторов в усилителе воспроизведения и их режимов.

Во входных каскадах транзисторных усилителей для уменьшения высокочастотных шумов применяют транзисторы с возможно меньшим коэффициентом шума. В магнитофонах прошлых выпусков широко применялись транзисторы МП27, МП28. Они отличаются малым обратным током коллектора 2...3 мкА. В настоящее время входные каскады строятся на транзисторах КТ3102, КТ3107, обратный ток коллектора которых на два порядка меньше и составляет 0,01...0,08 мкА. Это позволяет использовать их в режиме микротоков, что уменьшает уровень шумов на 2...3 дБ. При этом ток коллектора составляет 30...60 мкА.

Малым уровнем шумов обладают также полевые транзисторы. Но они не нашли применения во входных каскадах из-за частого выхода из строя при размагничивании магнитных головок и узлов лентопротяжного механизма.

Низкочастотные помехи прослушиваются как гудение или отдельные трески и шорохи. Появление гудения обусловлено влиянием внешних магнитных и электрических полей как на головку, так и на входной каскад. Устраняется эта помеха экранировкой головок воспроизведения и входных каскадов и питанием последних напряжением с малым коэффициентом пульсаций. Трески и шорохи возможны при микрофонном эффекте и низким качестве деталей усилителя.

Второе требование к усилителям воспроизведения — малые нелинейные искажения, возникающие при усилении. Величина их должна быть по возможности меньшей. Для их уменьшения необходимо правильно выбрать режим работы транзистора и обеспечить стабильность положения рабочей точки на прямолинейной характеристике транзистора.

На качество воспроизведения магнитной записи кроме нелинейных (гармонических) искажений и шумов существенное влияние оказывают частотные искажения. Форма амплитудно-частотной характеристики (АЧХ) усилителя должна быть строго определенной. Это необходимо для того, чтобы запись, сделанная на одном магнитофоне при определенной

скорости движения магнитной ленты, могла быть воспроизведена с тем же качеством на любом другом магнитофоне, имеющем такую же скорость. С этой целью частотные характеристики усилителя воспроизведения для различных скоростей движения ленты стандартизируются (рис. 2.4).

Форма АЧХ усилителя воспроизведения обусловлена физическими процессами, происходящими при записи и воспроизведении. Основными источниками частотных искажений являются магнитные головки, магнитная лента и усилитель воспроизведения.

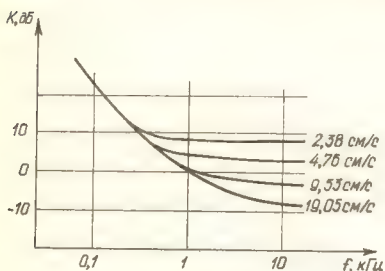


Рис. 2.4. Стандартизованные частотные характеристики усилителя воспроизведения для различных скоростей

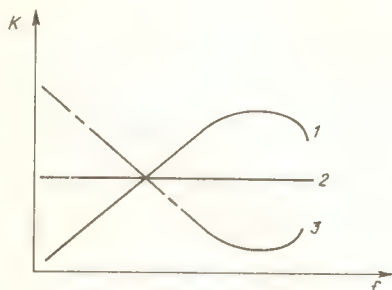


Рис. 2.5. Принцип получения линейной частотной характеристики сквозного канала магнитофона

Сложение всех частотных искажений, возникающих из-за специфических особенностей магнитной звукозаписи и воспроизведения, позволяет получить суммарную частотную характеристику магнитной записи (кривая 1 на рис. 2.5). Такая характеристика получается при постоянной величине тока записи и при линейной частотной характеристике усилителя воспроизведения. Очевидно, что для получения равномерного усиления в рабочем диапазоне частот (линия 2) частотная характеристика усилителя воспроизведения (кривая 3) должна быть зеркальным отображением кривой 1.

Таким образом, для получения неискаженного воспроизведения записанных сигналов в рабочем диапазоне частот частотная характеристика усилителя воспроизведения должна быть скорректирована с целью компенсации частотных искажений, возникающих за счет воспроизводящей головки.

На рис. 2.4 изображены стандартизованные частотные характеристики усилителя воспроизведения при идеальной воспроизводящей головке для различных скоростей движения ленты. Идеальной считается такая воспроизводящая головка, у которой ЭДС при воспроизведении фонограммы с постоянным остаточным магнитным потоком пропорциональна частоте, а ее частотная характеристика представляет прямую линию с крутизной 6 дБ на октаву. Частотные характеристики реальной и идеальной головок отличаются друг от друга. Следовательно, и частотная характеристика усилителя с реальной головкой должна отличаться от стандартизованной. Так, для компенсации шелевых потерь частотная характеристика должна иметь подъем на 5...7 дБ в области верхних звуковых частот. Кроме того, необходим дополнительный подъем на 3...5 дБ на случай ухудшения частотной характеристики головки по мере ее износа. В области низших частот характеристика должна проходить ниже стандартизованной. Это связано с потерями вследствие конечных размеров полюсов го-

ловки и влияния экрана. Спад АЧХ на частоте 30 Гц должен составлять 3 дБ при скорости 19,05 см/с и 1 дБ при скорости 9,53 см/с.

Коррекция частотной характеристики усилителя воспроизведения осуществляется RC - и LCR -цепями, включаемыми как в цепь сигнала, так и в цепь отрицательной обратной связи. Чаше коррекцию производят в промежуточных каскадах и лишь иногда на входе усилителя. АЧХ усилителя воспроизведения задается двумя постоянными времени цепей коррекции. Постоянная времени τ_1 определяется последовательно включенными

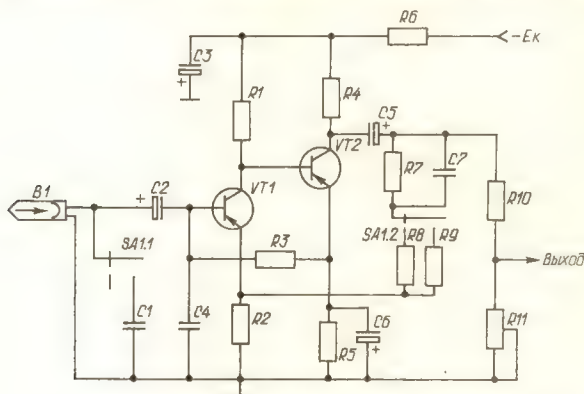


Рис. 2.6. Принципиальная схема усилителя воспроизведения на дискретных элементах

элементами цепи коррекции, а τ_2 — параллельно включенными. Согласно ГОСТ 24863—81, для отечественных магнитофонов: τ_1 для скорости 19,05 см/с — 50 мкс, для скорости 9,53 см/с — 90 мкс, для скорости 4,76 см/с — 120 мкс при использовании ленты с рабочим слоем из гамма-оксида железа или 70 мкс, если используется лента с рабочим слоем из двуокиси хрома; τ_2 для всех скоростей ленты.

Стандартизация постоянных времени вызвана влиянием их величины на качественные показатели магнитофонов. При уменьшении τ_1 снижается частотная коррекция в усилителе воспроизведения, подчеркивающая частотные составляющие шумов паузы. При этом должны быть увеличены предыскажения в усилителе записи. Это может привести к повышению нелинейных искажений на верхних частотах. При увеличении τ_1 происходит обратное явление: возрастают шумы и уменьшаются нелинейные искажения. Увеличение τ_2 уменьшает подъем нижних частот в усилителе воспроизведения, уровень фона и шумов. Однако при этом увеличивается подъем нижних частот в усилителе записи, что может привести к повышению нелинейных искажений на этих частотах.

Усилители воспроизведения магнитофонов могут быть построены как на дискретных элементах, так и на интегральных микросхемах. На рис. 2.6 изображена одна из возможных схем усилителя на дискретных элементах.

Усилитель выполнен на двух маломощных транзисторах $VT1$ и $VT2$. Основная коррекция АЧХ осуществляется в цепи глубокой частотно-зависимой отрицательной обратной связи, охватывающей оба каскада. Корректирующая цепь составлена из конденсатора $C7$, резистора $R7$ и резисторов $R8$ или $R9$. Постоянная времени τ_1 обеспечивается элементами $C7$, $R8$ (или $C7$, $R9$). Элементы $R7$, $C7$ определяют величину τ_2 .

Подъем АЧХ в области верхних частот осуществляется параллельным колебательным контуром, составленным из индуктивности воспроизводящей головки и емкости конденсатора $C2$ (для скорости 9,53 см/с). Частоту настройки контура выбирают величиной емкости конденсаторов $C1$, $C4$ с учетом паразитной емкости схемы. Регулировать подъем АЧХ можно включением шунтирующего резистора (20...50 кОм) параллельно конденсатору.

На рис. 2.7 изображена схема усилителя

воспроизведения на интегральной микросхеме К548УН1. Как и в предыдущей схеме, коррекция АЧХ осуществляется RC -элементами в цепи обратной связи. В цепь обратной связи включены резисторы $R1$, $R3$ и конденсатор $C4$. Постоянная времени τ_1 обеспечивается элементами $R1$, $C4$, а τ_2 — $C4$, $R3$. Изменением сопротивления резистора $R1$ можно изменять постоянную времени τ_1 и применять усилитель для разных скоростей движения ленты.

Частота подъема АЧХ в области верхних частот осуществляется подбором емкости конденсатора $C1$.

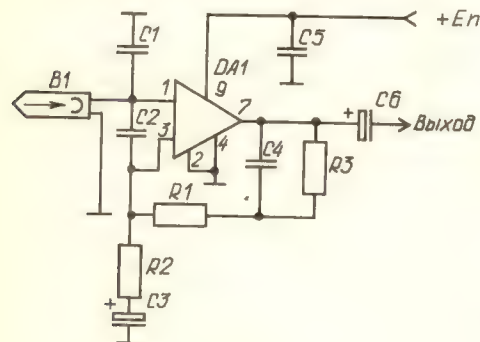


Рис. 2.7. Принципиальная схема усилителя воспроизведения на микросхеме

Достоинством рассмотренных схем является коррекция АЧХ цепью отрицательной обратной связи. Такая коррекция стабилизирует параметры усилителя и уменьшает нелинейные искажения, особенно в области тех частот, где обратная связь сильна. Поэтому такой способ коррекции является основным в современных магнитофонах.

2.3. УСИЛИТЕЛЬ ЗАПИСИ

В бытовых магнитофонах усилитель записи должен быть рассчитан на работу от различных источников звукового сигнала. Такими источниками могут быть микрофон, звукосниматель, линейный выход другого магнитофона, радиоприемник (телевизор) и радиотрансляционная линия.

Усилитель записи должен выполнять следующие функции: усиление сигналов от различных источников; осуществление частотных преобразований записываемых на магнитную ленту сигналов; смешивание сигналов звуковой частоты и высокочастотного подмагничивания.

Чувствительность и коэффициент усиления усилителя записи выбирают такими, чтобы выходное напряжение усилителя было достаточным для создания необходимого тока записи в записывающей головке при работе от источника сигнала с наименьшим уровнем выходного напряжения. При работе от других источников их выходные напряжения ослабляются входными делителями напряжения. Как и усилитель воспроизведения, усилитель записи должен обладать минимальным уровнем собственных шумов и минимальными нелинейными искажениями. Требования эти вполне выполнимы, так как уровень входного сигнала намного больше, чем у усилителя воспроизведения. Кроме того, выходной каскад усилителя

записи должен обладать способностью к определенным перегрузкам. Это необходимо для неискаженного усиления пиковых значений сигнала.

Различные элементы схемы оказывают влияние на амплитудно-частотную характеристику усилителя записи. Чтобы обеспечить линейную АЧХ канала записи — воспроизведения магнитофона, в усилителе записи осуществляется частотная коррекция. Пояснить необходимость применения частотной коррекции можно следующим образом. Если записать сигнал, частота которого последовательно изменяется от

Рис. 2.8. Примерный ход частотных характеристик усилителя записи

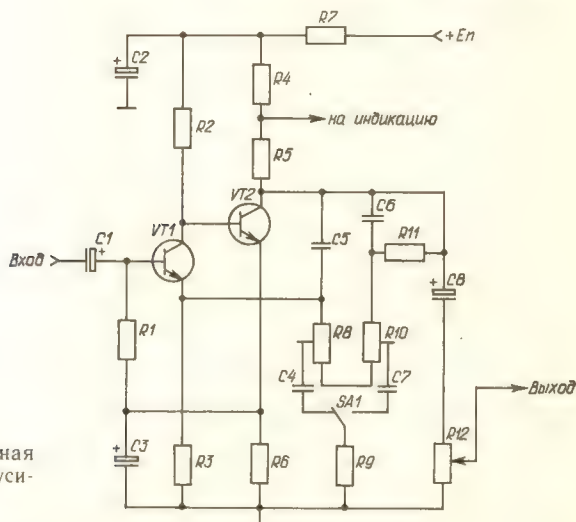
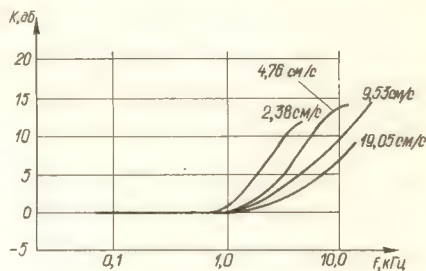


Рис. 2.9. Принципиальная схема предварительного усилителя записи

нижней частоты звукового диапазона до верхней, с таким расчетом, чтобы магнитный поток в сердечнике головки записи на всех частотах оставался неизменным, то остаточная намагниченность ленты в области верхних частот окажется значительно меньшей. Величина ослабления зависит от частотных свойств магнитной ленты, частоты записанных сигналов, скорости движения ленты, ширины рабочего зазора головки записи, частотных потерь в ее сердечнике (у современных головок они незначительны) и от величины тока подмагничивания.

В результате АЧХ сигнала на выходе воспроизводящей головки окажется очень неравномерной: на верхних частотах она будет иметь большой спад из-за щелевых и частотных потерь головки, на нижних — из-за ее меньшей отдачи. Получение линейной частотной характеристики магнитофона за счет коррекции АЧХ только в канале записи или канале воспроизведения привело бы к увеличению нелинейных искажений или

высокочастотных и низкочастотных шумов. Поэтому коррекцию осуществляют и в усилителе воспроизведения, и в усилителе записи.

Частотные предискажения при записи должны быть такими, чтобы АЧХ канала записи — воспроизведения со стандартным каналом воспроизведения (см. рис. 2.4) имела в рабочем диапазоне частот неравномерность в пределах допустимых стандартом отклонений. Особенностью этих АЧХ является подъем в области верхних частот, компенсирующий шелевые и частотные потери головки (рис. 2.8).

В усилителях записи частотные предискажения чаще всего создаются RC -цепями, включенными или в цепь сигнала, или в цепь обратной связи. Первый способ применяется редко ввиду сильного ослабления сигнала. Второй способ является основным. Как и в усилителях воспроизведения, форма АЧХ усилителя записи задается двумя постоянными времени: τ_1 — для верхних частот, τ_2 — для нижних.

Схема предварительного усилителя записи с элементами коррекции, включенными в цепь обратной связи, приведена на рис. 2.9. Он представляет собой двухкаскадный усилитель с непосредственной связью. Частотные предискажения в области верхних частот формируются цепью частотно-зависимой отрицательной обратной связи, состоящей из элементов $R3$, $R8$, $R9$, $R10$, $C4$, $C7$. Подъем АЧХ на этих частотах регулируют подстроечными резисторами $R8$ (при скорости 9,53 см/с) и $R10$ (при скорости 19,05 см/с). В области нижних частот коррекция осуществляется цепью $R8R10C5$.

Необходимый ток записи зависит от конструкции головки, числа ее витков, выбора величины тока подмагничивания и свойств магнитной ленты. Так как сопротивление обмотки зависит от частоты, то на нижних частотах оно мало. При непосредственном подключении головки к выходу усилителя записи могут возникнуть большие нелинейные искажения на этих частотах. Поэтому во всех усилителях записи применяют выходные каскады со стабилизацией сопротивления нагрузки.

Простейшим способом стабилизации сопротивления является применение ограничительного резистора с достаточно большим сопротивлением, включенного последовательно с записывающей магнитной головкой (рис. 2.10, а). Сопротивление этого резистора должно в несколько раз превышать сопротивление головки на верхней частоте. В этом случае сопротивление нагрузки усилителя во всем диапазоне рабочих частот можно считать постоянным. Однако способ этот не экономичен, так как требует от усилителя записи дополнительной мощности, компенсирующей потери на сопротивлении.

Второй способ предполагает включение последовательно с головкой параллельно включенных резистора R и конденсатора C (рис. 2.10, б). Применение стабилизирующей RC -цепочки позволяет получить тот же результат, что и в первом случае, но при меньшем сопротивлении резистора R . Этот способ находит широкое применение в усилителях записи магнитофонов.

Высокую стабильность нагрузки можно обеспечить, применяя выходной каскад с динамической нагрузкой. На рис. 2.11 изображен выходной каскад, собранный на транзисторе $VT2$. Нагрузкой этого транзистора является каскад на транзисторе $VT1$. Применение динамической нагрузки позволяет получить выходное сопротивление, измеряемое десятками килоом. Благодаря этому неравномерность АЧХ в рабочем диапазоне частот при работе на записывающую головку не превышает $\pm 0,1$ дБ.

Для уменьшения нелинейных искажений записанных на магнитную ленту сигналов и шумов фонограммы к сигналу звуковой частоты подмешивается сигнал высокочастотного подмагничивания. В функции

усилителя записи входит смещение этих двух сигналов. Различают два способа смещения: последовательный и параллельный.

На рис. 2.12 показана последовательная схема. При последовательной схеме смещения ток звуковой частоты от усилителя записи (УЗ) проходит на головку записи через вторичную обмотку трансформатора T генератора стирания и подмагничивания (ГСП). Величина тока подмагничивания подбирается подключением записывающей головки к отводам вторичной обмотки трансформатора.

Рис. 2.10. Схемы стабилизации нагрузки усилителя записи:

а — последовательная; б — параллельная

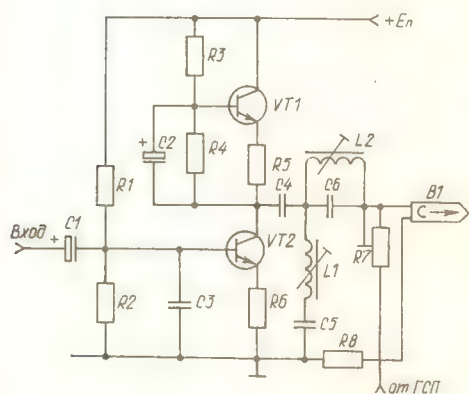
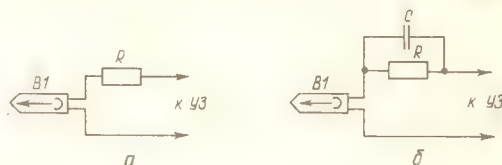


Рис. 2.11. Выходной каскад усилителя записи с динамической нагрузкой

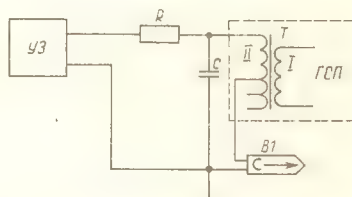


Рис. 2.12. Последовательная схема включения записывающей головки

Резистор R и конденсатор C ослабляют проникновение тока с частотой ГСП в усилитель записи. Очевидно, что, несмотря на принятые меры, величина тока подмагничивания, поступающего в усилитель записи, будет значительной. Ввиду сложности регулировки величины тока подмагничивания и значительного проникновения его в усилитель записи схема последовательного смещения применяется редко. Кроме того, применение ограничительного резистора для стабилизации нагрузки требует от усилителя записи повышенного выходного напряжения. Применять же для стабилизации нагрузки цепочку LC нельзя, так как высокочастотный ток подмагничивания будет в еще большей степени проникать в усилитель записи.

В практических схемах магнитофонов чаще применяют параллельную схему (рис. 2.13). Параллельная схема свободна от указанных выше недостатков, так как позволяет применить стабилизацию нагрузки RC -цепью и плавно изменять величину тока подмагничивания.

В приведенной на рис. 2.13 схеме регулировку тока подмагничивания осуществляют переменным резистором $R2$ и конденсатором $C2$. Для предотвращения попадания тока подмагничивания в усилитель записи

применен параллельный колебательный контур $L_{\Phi}C_{\Phi}$ (фильтр-пробка). Он настраивается на частоту генератора стирания и подмагничивания. Стабилизация сопротивления нагрузки осуществляется параллельной цепочкой $R1C1$.

Хорошими характеристиками обладает схема, изображенная на рис. 2.11. В схеме также применено параллельное включение записывающей головки. Регулировку тока подмагничивания осуществляют переменным резистором $R7$. Уровень высокочастотного сигнала, проникающе-

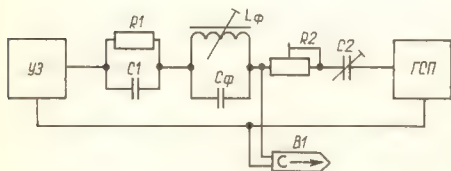


Рис. 2.13. Параллельная схема включения записывающей головки

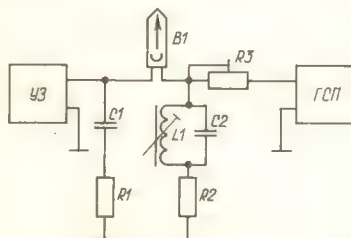


Рис. 2.14. Встречно-параллельная схема включения записывающей головки

го в усилитель записи, значительно меньше, чем в рассмотренных выше схемах. Это достигнуто включением Г-образного фильтра $L1C5C6$, настроенного на частоту тока подмагничивания. Стабилизация сопротивления нагрузки обеспечивается динамической нагрузкой (генератором тока на транзисторе $VT1$) и включением резистора $R8$ в цепь головки.

Кроме рассмотренных схем возможна встречно-параллельная схема включения записывающей головки. В ней устранен такой недостаток, как потери тока подмагничивания из-за неточной настройки фильтра-пробки. Схема такого способа смещения сигналов (включения головки) изображена на рис. 2.14. Конденсатор $C1$ выполняет двойную функцию: он защищает выходной каскад от проникновения в него высокочастотного тока подмагничивания и образует с обмоткой записывающей головки параллельный контур, настроенный на верхнюю частоту рабочего диапазона. Этим обеспечивается компенсация частотных и щелевых потерь в цепи записывающей головки, и появляется возможность значительно снизить предискажения сигнала в усилителе записи, расширив его динамический диапазон в области верхних частот.

Колебательный контур $L1C2$ настраивают на частоту тока подмагничивания. Большое резонансное сопротивление контура не оказывает шунтирующего действия на выход генератора тока стирания и подмагничивания, улучшая тем самым форму его напряжения. В то же время для токов записываемого сигнала сопротивление контура мало, поэтому он эффективно защищает генератор от токов записи.

Резисторы $R1$ и $R2$ в реальной схеме могут отсутствовать. Они нужны при настройке для контроля соответственно тока записи и тока подмагничивания.

2.4. УНИВЕРСАЛЬНЫЙ УСИЛИТЕЛЬ

Усилители, предназначенные для поочередной работы в режимах записи и воспроизведения, получили название универсальных. Они применяются совместно с универсальной магнитной головкой в магнитофонах

четвертой, третьей и второй группы сложности. Так как универсальные усилители выполняют те же функции, что и усилители записи и воспроизведения, то и требования, предъявляемые к ним, такие же, как к каждому из этих усилителей.

При работе в режиме воспроизведения на вход усилителя поступает ЭДС, индуцируемая в универсальной головке. Ввиду того что ЭДС даже высокоомной головки на нижней частоте составляет примерно 0,5 мВ, то

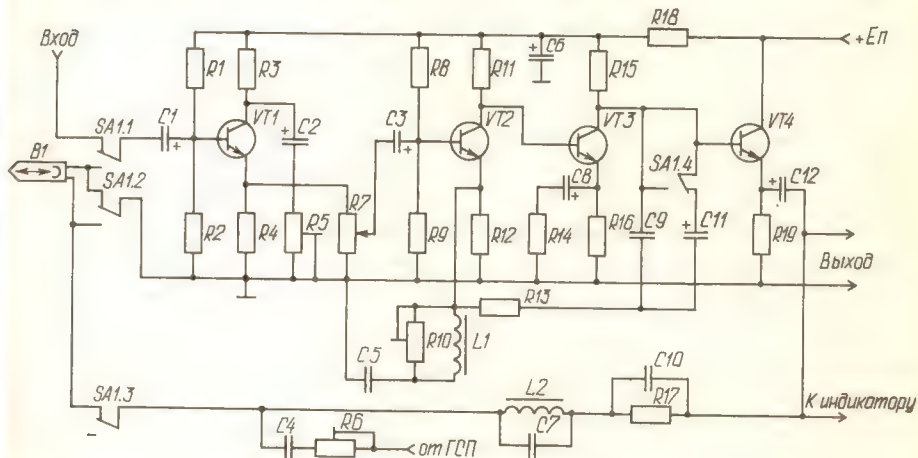


Рис. 2.15. Принципиальная схема универсального усилителя

усилитель должен обладать достаточно высокой чувствительностью при минимальном уровне собственных шумов. Неодинаковая отдача головки в рабочем диапазоне частот требует применения соответствующей коррекции амплитудно-частотной характеристики усилителя.

При работе в режиме записи на вход усилителя поступает ЭДС от источника сигнала через входные делители напряжения. В этом режиме снижаются требования по собственным шумам и чувствительности, но возникает опасность перегрузки усилителя, приводящей к увеличению нелинейных искажений. Кроме того, выход усилителя должен хорошо согласовываться с магнитной головкой. К универсальному усилителю, работающему в режиме записи, предъявляются также требования и по форме АЧХ.

Таким образом, в универсальном усилителе должны выполняться противоречивые требования, обеспечивающие качество записи и воспроизведения, что практически не осуществимо. Поэтому универсальные усилители применяются в магнитофонах более низких групп сложности.

Одна из возможных схем универсального усилителя приведена на рис. 2.15. Усилитель четырехкаскадный. Последний каскад выполнен по схеме эмиттерного повторителя, что обеспечивает хорошее согласование усилителя с универсальной головкой. Переключателем SA1 осуществляются необходимые переключения при переходе с режима записи на режим воспроизведения.

В режиме записи (указанном на схеме) требуемый подъем АЧХ в области верхних частот обеспечивается элементами $L1$, $R10$, $C5$, включенными параллельно эмиттерному резистору $R12$ транзистора второго каскада. Изменением емкости конденсатора $C5$ осуществляют настройку контура

L1C5 на нужную частоту. Уровень подъема устанавливают резистором *R10*. Цепью *C11R13* создается коррекция в области нижних частот. Ток записи регулируют резистором *R7*.

С нагрузки эмиттерного повторителя, резистора *R19* сигнал через цепочку стабилизации сопротивления нагрузки *C10R17*, колебательный контур *L2C7*, защищающий усилитель от высокочастотных токов подмагничивания, подается на универсальную головку. Величину тока подмагничивания устанавливают резистором *R6*.

В режиме воспроизведения магнитная головка подключается ко входу первого каскада, и изменяется цепь коррекции АЧХ переключателем *SA1.4*.

Общий коэффициент усиления универсального усилителя устанавливается переменным резистором *R5*.

2.5. ГЕНЕРАТОР ТОКОВ СТИРАНИЯ И ПОДМАГНИЧИВАНИЯ

В бытовых магнитофонах запись осуществляют с высокочастотным подмагничиванием на размагниченную ленту. Размагничивание ленты (стирание записи) производят стирающей головкой, питающейся также током высокой частоты. Для получения токов подмагничивания и стирания используют один генератор высокой частоты. К генераторам токов стирания и подмагничивания предъявляется ряд требований, выполнение которых обязательно. Основными требованиями являются: обеспечение необходимой мощности генератора и создание строго симметричной формы выходного сигнала.

Мощность генератора в основном потребляется головкой стирания. Это можно объяснить малым сопротивлением головки. Потребляемая головкой стирания мощность пропорциональна ширине сердечника и зависит от материала сердечника. Стирающие головки для многодорожечной записи, сердечник которых изготовлен из феррита со слюдяной прокладкой в рабочем зазоре, потребляют значительно меньшую мощность, чем головки с пермалловым сердечником и металлической прокладкой. Незначительная потребляемая мощность ферритовых головок объясняется малыми потерями на вихревые токи в сердечнике.

Полезная мощность, которую должен обеспечивать генератор, зависит также от частоты. Чем выше частота стирания, тем большую мощность должен иметь генератор. Чтобы избежать излишнего расхода энергии источников питания, частоту стирания следует выбирать не слишком высокой. Выполнение этого условия особенно важно для переносных магнитофонов. Однако при этом ухудшается качество записи, так как при записи используется подмагничивание с частотой генератора стирания.

При узком рабочем зазоре записывающей головки и большой скорости движения ленты возможна запись тока подмагничивания, ухудшающая шумовые свойства фонограммы. Поэтому частота тока подмагничивания должна быть по крайней мере в 3...5 раз выше верхней записываемой частоты. Учитывая, что для стирания и подмагничивания используют ток одного генератора, а современная головка стирания обладает достаточной экономичностью, частоту генератора выбирают в пределах 40...100 кГц. К стабильности частоты генератора специальных требований не предъявляется. Вполне допустимой можно считать нестабильность частоты до 5 %.

На качество записи большое влияние оказывает асимметрия тока подмагничивания. Асимметрия порядка 1 % приводит к увеличению шумов фонограммы примерно на 4 дБ. Поэтому к этому параметру генератора предъявляются жесткие требования. Причем форма колебаний не обязательно должна быть синусоидальной.

Асимметрия вызывается наличием в выходном сигнале четных гармоник основного сигнала генератора. Обеспечить минимальный уровень

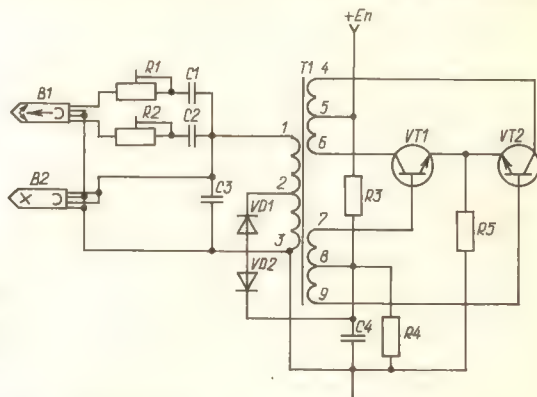


Рис. 2.16. Принципиальная схема двухтактного трансформаторного генератора токов стирания и подмагничивания

этих гармоник наиболее просто в двухтактных генераторах. Это привело к широкому распространению таких генераторов в современных магнитофонах.

На рис. 2.16 изображена схема двухтактного трансформаторного генератора токов стирания и подмагничивания. Генератор выполнен по схеме с индуктивной обратной связью на транзисторах $VT1$ и $VT2$. Режим работы транзисторов задается резисторами $R3$, $R4$, $R5$ и стабилизируется цепочкой $R1R2$. Применение диода $VD1$ и стабилитрона $VD2$ позволяет поддерживать устойчивый режим генерации при изменении величины питающего напряжения на 30...40 %. Регулировку тока подмагничивания осуществляют подстроечными резисторами $R1$, $R2$. Частота генерируемых колебаний определяется индуктивностью стирающей головки и емкостью конденсатора $C1$.

Для получения формы выходного тока с малой асимметрией необходимо, чтобы плечи генератора были одинаковы. Это значит, что индуктивные и активные сопротивления обмоток 4—5, 7—8 были равны соответствующим сопротивлениям обмоток 5—6, 8—9. Кроме того, параметры транзисторов также должны быть одинаковыми. В этом случае четные гармоники в выходном сигнале будут отсутствовать, что приведет к снижению асимметрии формы тока.

В последнее время все больше внимания уделяется бестрансформаторным генераторам. Повышенный интерес к таким генераторам можно объяснить появлением новых способов повышения качества магнитной записи, таких, как динамическое подмагничивание и оптимизация тока подмагничивания. Схема простого бестрансформаторного генератора приведена на рис. 2.17. Режим работы транзисторов по постоянному току задается резисторами $R1$, $R2$. Передача сигнала положительной обработкой связи осуществляется через конденсаторы $C1$, $C2$ с делителя напряжения $C4C3$, предназначенного для регулирования глубины обратной связи. Емкости этих конденсаторов совместно с резистором $R3$ влияют на форму высокочастотных колебаний и их амплитуду.

Генератор вырабатывает колебания синусоидальной формы. Частота колебаний задается контуром, состоящим из индуктивности стирающей головки и конденсаторов $C3, C4, C6$. Резистор $R4$ служит для установки тока стирания и вместе с конденсатором $C5$ образует развязывающий фильтр в цепи питания генератора. Подстроечными резисторами $R6, R7$ устанавливают требуемые токи подмагничивания универсальных или записывающих головок.

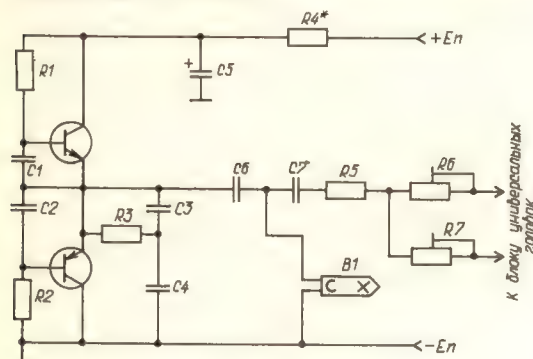


Рис. 2.17. Схема простого бестрансформаторного генератора токов стирания и подмагничивания

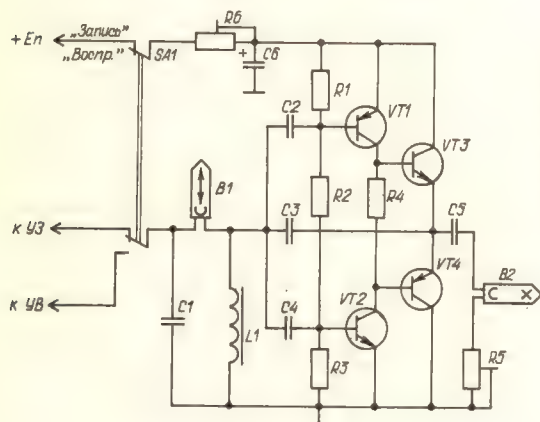


Рис. 2.18. Схема бестрансформаторного генератора токов стирания и подмагничивания с встречно-параллельным включением записывающей головки

На рис. 2.18 изображена схема более сложного бестрансформаторного генератора, в которой реализовано встречно-параллельное включение универсальной головки. Частотно-задающим является контур, составленный из индуктивности стирающей головки и емкости конденсатора $C5$. Сигнал положительной обратной связи через конденсаторы $C2, C4$ подается на базы транзисторов $VT1$ и $VT2$. Контур, состоящий из индуктивности $L1$ и конденсатора $C3$, настроен на частоту генератора и представляет собой последовательный колебательный контур. Это позволило значительно уменьшить амплитуду напряжения, вырабатываемого генератором, т. е. повысить экономичность генератора, что немаловажно для переносных магнитофонов.

Токи подмагничивания и стирания устанавливаются соответственно подстроечными резисторами $R6$ и $R5$. Кроме того, на резисторе $R5$ можно контролировать форму высокочастотных колебаний, вырабатываемых генератором.

Наряду с двухтактными генераторами находят применение также и одноктактные. Они отличаются простотой схемных решений и низкими качественными показателями. Поэтому применяют их в магнитофонах четвертой группы сложности.

2.6. ИНДИКАТОРЫ УРОВНЯ

Качество магнитной записи зависит от уровня намагниченности ленты, который для современных катушечных магнитофонов не должен превышать 320 нВб/м, а кассетных — 250 нВб/м. При малых уровнях намагниченности возрастают шумы фонограммы и сужается динамический диапазон, а большой уровень характеризуется значительным коэффициентом нелинейных искажений записанного сигнала.

Степень намагниченности ленты зависит от тока записи (уровня записи). Поэтому уровень записи следует выбирать таким, чтобы при наибольшей величине сигнала намагниченность не превышала максимально допустимого уровня, характерного для данного типа ленты. Для контроля уровня записи в магнитофонах применяют специальные индикаторы. В состав индикаторов входит электронная схема с выпрямителем, фильтром и указателем.

Основными параметрами индикаторов являются время интеграции (постоянная времени индикатора) и время обратного хода.

Время интеграции показывает минимальную длительность импульса напряжения звуковой частоты, которая может быть еще отмечена. В зависимости от величины времени интеграции различают индикаторы среднего уровня, пиковые и квазипиковые.

За время обратного хода принимают длительность возврата в первоначальное положение показывающей части индикатора. Оно выбирается в пределах 1,0...2,5 с. Слишком малое время обратного хода затрудняет контроль уровня записи.

Индикаторы среднего уровня строятся на основе стрелочных приборов магнитоэлектрической системы с током полного отклонения стрелки не более 250 мкА. Ввиду значительной инерционности механической части прибора время интеграции таких индикаторов сравнительно большое. Для магнитофонов первой и высшей группы сложности оно выбирается в пределах 150...250 мс, а для остальных — до 350 мс.

Электрическая схема простого индикатора среднего уровня изображена на рис. 2.19, а. Он состоит из эмиттерного повторителя на транзисторе $VT1$, выпрямителя на диодах $VD1$, $VD2$ и стрелочного прибора-указателя $PA1$. Применение на входе эмиттерного повторителя с большим входным сопротивлением уменьшает влияние индикатора на контролируемую цепь. Малое выходное сопротивление каскада позволило получить сравнительно небольшое время интеграции, определяемое в основном незначительным прямым сопротивлением диодов $VD1$, $VD2$ и емкостью конденсатора $C4$. Недостатком индикатора является малый диапазон измеряемых уровней.

От указанного недостатка свободен индикатор, построенный по схеме рис. 2.19, б. Здесь контролируемый сигнал сначала усиливается каскадом на транзисторе $VT1$, а затем подается на выпрямитель. Это позволяет увеличить сопротивление нагрузки выпрямителя и расширить диапазон измеряемых уровней. Увеличение сопротивления нагрузки выпрямителя осуществляют включением резистора ($R5$) последовательно с прибором $PA1$.

Для контроля уровня записи в стереофоническом магнитофоне могут быть применены отдельные индикаторы в каналах или один индикатор, реагирующий на увеличение уровня сигнала в любом из каналов. Одна из возможных схем такого индикатора приведена на рис. 2.20.

На входе индикатора включен диодный смеситель ($VD1, VD2$) сигналов левого и правого каналов. Для повышения чувствительности устройства к диодам через резисторы $R1, R2$ с делителя $R3, R4$ прикладывается небольшое положительное напряжение. Время интеграции определяется

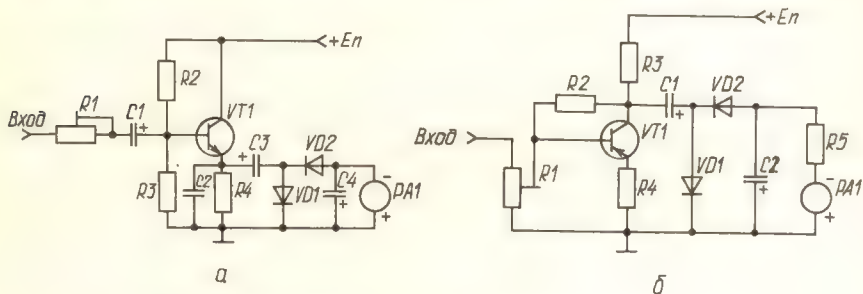


Рис. 2.19. Принципиальная схема индикаторов среднего уровня:
а — без усиления контролируемого сигнала;
б — с усилением контролируемого сигнала

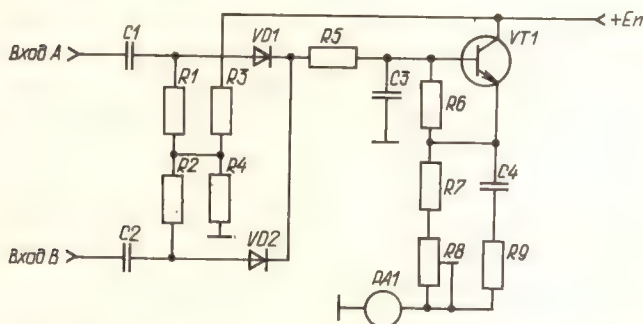


Рис. 2.20. Схема простого индикатора для стереофонического магнитофона

величинами номиналов элементов $R5, C3$, время обратного хода — параметрами цепи, состоящей из конденсатора $C3$ и выходного сопротивления эмиттерного повторителя. Чувствительность индикатора устанавливается переменным резистором $R8$.

Основным недостатком индикаторов среднего уровня является невозможность регистрации кратковременных перегрузок канала записи.

Чтобы избежать заметных искажений, возникающих при кратковременных перегрузках, необходим индикатор с малым временем интеграции (5...20 мс). Индикаторы со временем интеграции до 10 мс получили название пиковых, а при времени интеграции 10...20 мс — квазипиковых. Такую классификацию измерителей уровня с малым временем интеграции можно считать условной, так как измерение пиковых значений

сигнала записи — процесс достаточно сложный и не очень нужный для магнитофонов. Поэтому индикаторы с таким временем интеграции следует называть квазипиковыми.

Индикаторы квазипикового уровня (индикаторы перегрузки) могут быть на один, два и более уровня. Схема наиболее простого индикатора на два уровня (+3 дБ и +6 дБ) показана на рис. 2.21.

Устройство предназначено для стереофонического магнитофона и является общим для обоих каналов. Суммирование сигналов происходит

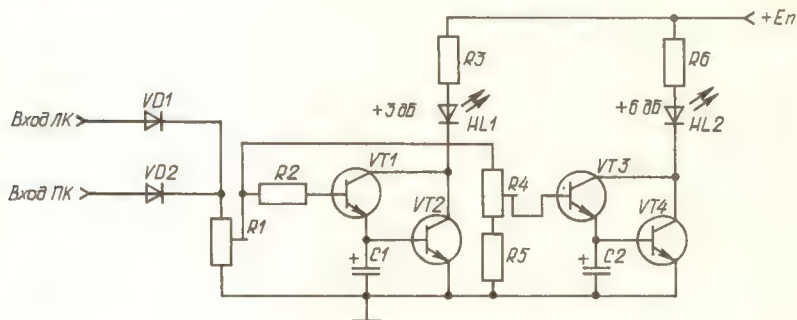


Рис. 2.21. Принципиальная схема пикового индикатора на два уровня

на подстроечном резисторе $R1$, которым устанавливается порог зажигания светодиода $HL1$ при уровне сигнала +3 дБ по отношению к номинальному. Светодиод $HL2$ показывает уровень сигнала, превышающий номинальное значение на +6 дБ. Уровень зажигания этого светодиода устанавливается подстроечным резистором $R4$. Яркость свечения светодиодов зависит от сопротивлений резисторов $R3$ и $R6$.

Однако применение в магнитофоне только квазипикового индикатора не позволяет обеспечить качественную запись. Дело в том, что превышение пикового значения сигнала над усредненным в отдельных музыкальных программах может достигать 20 дБ. Поэтому ориентация при записи на показания такого индикатора приведет к увеличению уровня шума фонограммы. Из сказанного следует, что индикатор уровня записи высококачественного магнитофона должен быть комбинированным, т. е. содержать индикаторы среднего и квазипикового уровня.

Достоверность показаний рассмотренных индикаторов уровня зависит от многих факторов. Одним из них является место включения индикатора. При выборе точки подключения индикатора необходимо учитывать, что усилитель записи имеет цепи коррекции, изменяющие частотную характеристику. Очевидно, что усилитель индикатора должен учитывать особенности частотной характеристики усилителя записи, чтобы не допускать превышения уровня записи. Это требование должно быть учтено и при подключении индикатора к усилителю воспроизведения.

Вторым фактором является выбор схемы выпрямителя. Выпрямитель может быть выполнен по однополупериодной или двухполупериодной схеме. При однополупериодной схеме выпрямления не учитывается второй полупериод записываемого сигнала, который в отдельных случаях может превышать контролируемый на 6 дБ. Это может привести к нелинейным искажениям записанного сигнала. Поэтому целесообразнее применять двухполупериодные выпрямители.

На достоверность измеряемого уровня оказывает влияние также величина входного сопротивления индикатора. Входное сопротивление индикатора должно быть в 10...20 раз больше того участка схемы, к которому он подключается, и не зависеть от частоты контролируемого сигнала, чтобы не вносить дополнительные нелинейные искажения. Кроме того, величина входного сопротивления влияет на динамический диапазон индикатора, который для бытовых магнитофонов должен быть не менее 18 дБ.

В магнитофонах с универсальным усилителем индикатора уровня подключают к тому же каскаду, что и записывающую головку (см. рис. 2.15).

В современных магнитофонах применяются магнитные ленты разной чувствительности и несколько скоростей ее движения. При смене ленты или скорости изменяется и ток записи. Поэтому индикаторы должны иметь не постоянную чувствительность, а изменяющуюся, в зависимости от типа ленты и скорости ее движения. Изменение чувствительности индикатора осуществляют одновременно с переключением типа ленты или скорости.

На чувствительность индикатора оказывает влияние также добротность записывающей (универсальной) головки. При смене головок нередко приходится изменять ток записи, а иногда и частотную коррекцию соответствующего усилителя. Чтобы при этом избежать появления нелинейных искажений, необходима калибровка индикатора уровня записи. Для этой цели служат подстроечные резисторы $R1$ (см. рис. 2.19, а, б). Если магнитофон стереофонический, то эти резисторы позволяют также сбалансировать каналы, чтобы разбаланс амплитудно-частотных характеристик усилителей записи (универсальных) не превышал 3 дБ.

2.7. УСТРОЙСТВА, ОБЕСПЕЧИВАЮЩИЕ ПОВЫШЕНИЕ КАЧЕСТВА ЗАПИСИ И ВОСПРОИЗВЕДЕНИЯ

К устройствам с таким назначением относятся: автоматическая регулировка уровня записи; системы шумопонижения (шумоподавления); оптимизация тока подмагничивания и динамическое подмагничивание.

Применение перечисленных устройств в большей степени относится к кассетным магнитофонам. Однако применение их в отдельных случаях в катушечных магнитофонах оказывается целесообразным.

Автоматическая регулировка уровня записи

В основу автоматической регулировки уровня записи (АРУЗ) положен принцип автоматической регулировки усиления в радиовещательных приемниках. Отличие состоит в том, что в первом случае регулирование происходит по низкой частоте, а во втором — по высокой. Основное назначение АРУЗ заключается в обеспечении неискаженной записи сигналов с малым уровнем, следующих непосредственно за сигналами с большим уровнем.

Необходимость применения АРУЗ продиктована созданием качественных записей музыкальных и речевых программ с достаточно большим динамическим диапазоном. При записи таких программ приходится непрерывно следить за показаниями индикатора уровня записи и одновременно производить регулировку его. Во-первых, это затруднительно, а во-вторых, даже при тщательном наблюдении избежать кратковременных перегрузок практически не удастся. Если же вести запись с пониженным уровнем в расчете на перегрузки, то лента не будет полностью намагничиваться,

что ограничит динамический диапазон записи из-за ухудшения отношения сигнал/шум.

Таким образом, применив АРУЗ, можно повысить качество записи и упростить эксплуатацию магнитофона. При этом индикатор и ручной регулятор уровня записи могут отсутствовать.

Чтобы система автоматической регулировки уровня записи выполняла возложенные на нее функции, она должна отвечать следующим требованиям: точность поддержания выходного уровня сигнала усилителя записи должна быть не менее 1,5...5 дБ при изменении уровня входного сигнала на 25...40 дБ; вносимые нелинейные и частотные искажения должны быть минимальными, иметь малый уровень собственных помех, в том числе при переходных процессах при срабатывании АРУЗ; иметь временную и температурную стабильность.

Основным параметром АРУЗ является ее инертность. Инертность работы АРУЗ характеризуется временем установления (срабатывания) и временем восстановления. Время срабатывания определяет запаздывание системы АРУЗ относительно момента резкого увеличения уровня входного сигнала. Чем меньше время срабатывания, тем меньше искажения записи начальных звуков при скачках входного сигнала. В бытовых магнитофонах время срабатывания выбирают в пределах 20...80 мс.

Время восстановления определяет запаздывание процесса установления амплитуды выходного сигнала относительно момента уменьшения уровня входного сигнала. Чтобы избежать искажений динамического диапазона и не допустить шумов в паузах записи, время восстановления выбирается достаточно большим. Для бытовых магнитофонов оно устанавливается равным 1...5 с при записи речевых программ и 5...20 с — при записи музыкальных программ.

Структурная схема системы АРУЗ изображена на рис. 2.22. Напряжение с выходного усилителя (ВУ) канала записи поступает на усилитель управляющего напряжения (УУН), служащего для развязки цепей канала записи и нелинейных цепей канала управления, а также для усиления сигналов в цепи управления. Выходное сопротивление УУН выбирается малым, чтобы совместно с выпрямителем (Д) и фильтром (Ф) обеспечить необходимое время срабатывания и восстановления АРУЗ. Выпрямитель и фильтр преобразуют сигналы звуковой частоты в медленно меняющееся управляющее напряжение или ток. При необходимости управляющее напряжение усиливается усилителем постоянного тока (УПТ), а затем поступает на регулируемый каскад (РК) усилителя записи. Под действием управляющего напряжения изменяется коэффициент усиления РК.

В реальных схемах АРУЗ отдельные составляющие цепи управления могут отсутствовать. Не всегда, например, применяют усилитель управляющего напряжения и усилитель постоянного тока.

Цепь управления системы АРУЗ может быть включена как в цепь сигнала, так и в цепь отрицательной обратной связи. Примером АРУЗ с регулировкой в цепи сигнала является схема, приведенная на рис. 2.23, а, с глубиной регулировки порядка 30 дБ. Как видно из рисунка, регулируемый элемент представляет собой сочетание управляемого источника тока на транзисторе $VT1$ и регулируемого делителя напряжения сигнала, состоящего из резистора $R1$ и транзистора $VT2$ в диодном включении. При увеличении управляющего напряжения, подаваемого на базу транзистора $VT1$, динамическое сопротивление транзистора $VT2$ падает, и коэффициент передачи делителя $R1/VT2$ уменьшается. Порог срабатывания АРУЗ обеспечивается формой входной характеристики транзистора $VT1$. Рассмотренный регулируемый элемент может быть включен после

второго каскада усилителя записи или универсального усилителя. Для нормальной работы устройства необходимо, чтобы следующий каскад имел большое входное сопротивление.

Для получения управляющего напряжения может быть применен однополупериодный выпрямитель, выполненный по схеме рис. 2.23, б, включенный на выход универсального усилителя или усилителя записи. Выключатель *SA1* служит для отключения системы АРУЗ в режиме воспроизведения.

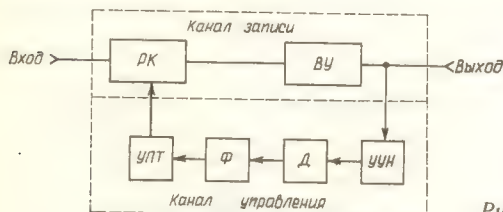


Рис. 2.22. Структурная схема АРУЗ

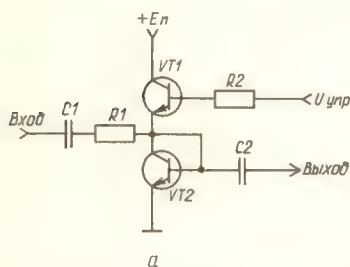


Рис. 2.23. Схема АРУЗ (а) и выпрямителя для получения управляющего напряжения (б)

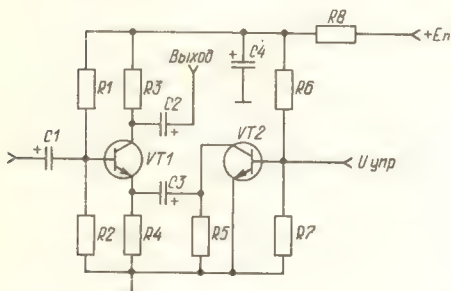
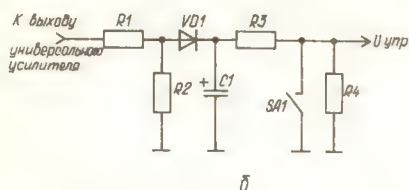


Рис. 2.24. Схема АРУЗ с регулировкой в цепи обратной связи

Схема АРУЗ с регулировкой усиления цепи обратной связи приведена на рис. 2.24. Регулируемым является каскад на транзисторе $VT1$, охваченный отрицательной обратной связью по току. Напряжение обратной связи создается на резисторе $R4$, параллельно которому включена цепочка, состоящая из конденсатора $C2$ сравнительно большой емкости и участка эмиттер — коллектор $VT2$. Режим работы транзистора $VT2$ выбран так, что при отсутствии управляющего напряжения он открыт и шунтирует резистор $R4$. Коэффициент усиления каскада на $VT1$ будет максимальным. При подаче отрицательного управляющего напряжения на базу $VT2$ последний закрывается, и шунтирующее действие его на резистор $R4$

уменьшается, что приводит к увеличению напряжения обратной связи и уменьшению коэффициента усиления регулируемого каскада. В таком регуляторе можно получить глубину регулировки уровня сигнала порядка 26 дБ.

Рассмотренные схемы являются простейшими и, безусловно, не позволяют реализовать всех достоинств АРУЗ. В практических схемах применяют более сложные системы.

Системы шумопонижения

Возникновение шумов при записи обусловлено самим принципом магнитной записи звука. Причем уровень шумов возрастает с уменьшением скорости движения ленты и ширины дорожки записи. Усовершенствование техники магнитной записи и создание новых магнитных лент с высокой чувствительностью привело к появлению кассетных магнитофонов, отличающихся экономичностью, малыми габаритами, удобствами в эксплуатации, но с повышенным уровнем шумов. Высокие требования к качеству записи и воспроизведения вызвали острую необходимость в снижении шумов фонограммы, поэтому и были разработаны различные системы шумопонижения (DNL, dbx, ADDES).

Однако ни одна из этих систем не решает полностью проблему улучшения шумовых параметров кассетных магнитофонов. Это связано с принципом работы самого шумоподавителя, который характеризуется взаимосвязанными амплитудными, частотными и временными характеристиками. Произвольное улучшение одного из параметров обычно приводит к ухудшению одного или нескольких других.

Несмотря на очевидные противоречия, различные системы шумопонижения находят все более широкое применение в кассетных, а иногда и в катушечных магнитофонах. В зависимости от принципа работы шумоподавители делят на пороговые, динамические и компандерные.

Пороговые подавители шума относятся к наиболее простым и применяются в тракте воспроизведения для подавления шумов в паузах. Принцип их работы основан на следующем. В паузах, когда шумы проявляются сильнее, уменьшают коэффициент усиления универсального усилителя. Для этого в состав усилителя вводят специальное пороговое устройство, порог срабатывания которого выбирают таким образом, чтобы эффективное снижение шума не сопровождалось сужением динамического диапазона всего магнитофона.

На рис. 2.25 изображена одна из возможных схем порогового ограничителя шума, включенного между первым и вторым каскадами универсального усилителя. Первый каскад усилителя на схеме отсутствует, а второй — выполнен на транзисторе VT_2 . Сигнал с первого каскада через управляемый делитель, состоящий из резистора R_2 и участка коллектор — эмиттер транзистора VT_1 , поступает на вход второго каскада универсального усилителя, выполненного на транзисторе VT_2 . Его входное сопротивление должно быть достаточно большим (порядка 20 кОм).

При отсутствии входного сигнала на базу транзистора VT_1 подается отпирающее напряжение с делителя, состоящего из резисторов $R_{12}...R_{15}$ и прямого сопротивления диодов VD_2, VD_3 . Малое сопротивление открытого транзистора делителя шунтирует вход входного каскада, что приводит к ослаблению шумов в паузе.

При появлении входного сигнала на выходе усилителя, выполненного на транзисторе VT_3 , появляется напряжение сигнала, выпрямляемое диодами VD_2, VD_3 . Это напряжение запирает транзистор VT_1 . Его выходное

сопротивление возрастает до нескольких десятков килоом, и коэффициент передачи входного делителя резко увеличивается, что приводит к увеличению усиленного сигнала на базе транзистора VT2.

Качество работы порогового подавителя шумов зависит от правильного выбора порога и времени срабатывания. Порог срабатывания устанавливается подстроечным резистором R13. Для обеспечения высокой стабильности порога срабатывания в эмиттерную цепь транзистора VT1 включен в прямом направлении диод VD1. Порог срабатывания выбирает-

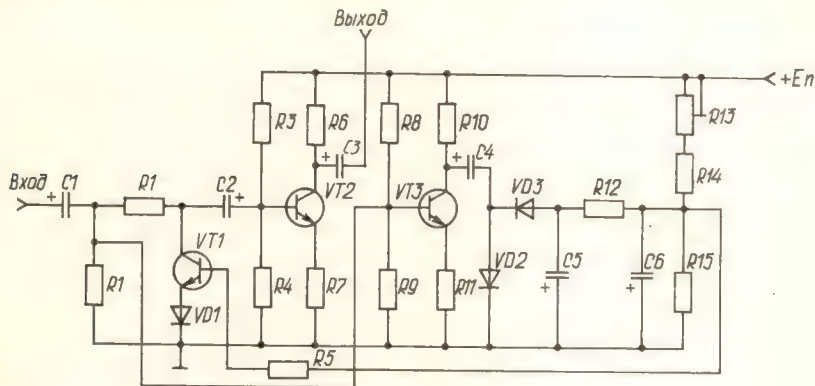


Рис. 2.25. Принципиальная схема порогового ограничителя шумов

ся таким образом, чтобы получить резкое изменение коэффициента передачи регулируемого делителя при превышении управляющим сигналом выбранного уровня.

Время (скорость) срабатывания практически не может быть бесконечно малым, что приводит к заметности моментов срабатывания шумоподавителя. Кроме того, не обрабатывается сама фонограмма, также содержащая шумы. Указанные недостатки ограничивают применение пороговых подавителей шума.

Динамический ограничитель шума (система DNL) позволяет устранить недостатки пороговых ограничителей. Основой этой системы является управляемый фильтр нижних частот, полоса пропускания которого изменяется в зависимости от уровня высокочастотных составляющих входного сигнала. При малом уровне высокочастотных составляющих полезного сигнала будут хорошо прослушиваться составляющие шума, а при увеличении уровня полезного сигнала шумы маскируются этим сигналом. Ослабить влияние шумов на качество воспроизведения или записи можно изменением полосы пропускания канала звукопередачи таким образом, чтобы через него проходили только полезные составляющие сигнала. Этот принцип и положен в основу динамических ограничителей шума (динамических фильтров).

На рис. 2.26 приведена структурная схема динамического фильтра с автоматической регулировкой полосы пропускания. Выходной сигнал, снимаемый, например, с универсального усилителя, поступает на вход фазовращателя 1. Фазовращатель формирует два сигнала, сдвинутых относительно друг друга на 180°. Один сигнал поступает непосредственно на сумматор 6, а второй — через дополнительный канал. Этот канал содержит управляемый фильтр 2 с частотой среза 4,5...6 кГц, усилитель 3, блок

Для изменения порога срабатывания иногда применяют специальные переменные резисторы, как это сделано в динамическом фильтре, изображенном на рис. 2.27. В состав устройства входит фильтр на транзисторе

```

graph LR
    Input[Вход] --> B1(( ))
    B1 --> B1_1[1]
    B1_1 -- 0° --> B2[2]
    B2 --> B3[3]
    B3 --> B4[4]
    B4 --> B5[5]
    B5 --> B6[6]
    B6 -- 180° --> B2
    B5 --> B7(( ))
    B7 --> Output[Выход]
  
```

VT3, резисторе R7 и конденсаторе C8, частота среза которого управляется напряжением выпрямителя, выполненного на диодах VD2, VD3, включенного на выходе канала управления, состоящего из каскадов на транзисторах VT1, VT2. Начальная частота среза определяется напряжением, снимаемым с диода VD1. Нагрузкой выпрямителя с удвоением напряжения служит резистор R9. Цепочка C4R10 устраняет проникновение напряжения управления в цепь сигнала.

Изменение порога срабатывания ограничителя осуществляется переменным резистором R_2 .

45

на выпрямитель. Выпрямленный сигнал выделяется на нагрузке выпрямителя ($R9$) пульсации напряжения, сглаживается конденсаторами $C6$, $C5$ и поступает на базу транзистора $VT3$, включенного в схему управляемого фильтра в качестве динамического сопротивления. Выходное сопротивление этого транзистора включено параллельно резистору $R7$. Очевидно, что чем больше положительное напряжение на базе $VT3$, т. е. больший уровень высокочастотных составляющих, тем меньше сопротивление транзистора и большее шунтирование им резистора $R7$. Это приводит к увели-

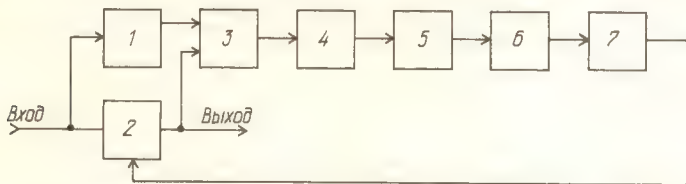


Рис. 2.28. Структурная схема динамического фильтра «Маяк»

чению частоты, ограничивающей полосу пропускания фильтра, что и требуется при больших уровнях сигнала.

Уровень высокочастотных составляющих, подаваемых в канал управления, а следовательно, и порог срабатывания зависят от положения движка переменного резистора $R2$. Нижнее положение движка соответствует минимальному порогу срабатывания.

Основное достоинство динамического фильтра — возможность снижения шумов не только при записи или воспроизведении, но и самой фонограммы. К недостаткам шумоподавителей такого типа относится изменение динамического диапазона и эффект модуляции шума, который, в принципе, присущ любой системе понижения шума. Этот эффект проявляется в слышимых колебаниях уровня шума при изменениях уровня составляющих полезного сигнала.

Влияние указанных недостатков на качество работы канала звукопередачи в значительной мере ослаблено в отечественном динамическом фильтре «Маяк». Это стало возможным благодаря повышению точности управления полосой пропускания в зависимости от спектра звуковой программы.

Структурная схема динамического фильтра «Маяк» представлена на рис. 2.28. Он состоит из управляемого 2 и неуправляемого 1 фильтров нижних частот, алгебраического сумматора 3, весового фильтра 4, ограничителя минимума 5, дифференциатора 6 и амплитудного детектора 7.

Обрабатываемый сигнал поступает одновременно на оба фильтра. Частота среза фильтра 1 выбирается равной верхней частоте рабочего диапазона, а частота среза фильтра 2 — переменная (в исходном состоянии она равна 1,5 кГц). Сигналы с выходов фильтров поступают на входы сумматора. В сумматоре сигналы преобразуются таким образом, что на его выходе будут присутствовать составляющие сигналы, расположенные выше частоты среза управляемого фильтра. Весовой фильтр 4, куда поступает сигнал с сумматора, ослабляет влияние низкочастотных составляющих на качество работы магнитофона. Далее сигнал поступает на ограничитель минимума, устанавливающего порог шумопонижения, и на дифференциатор 6, изменяющий напряжение управления, превышающего порог срабатывания пропорционально частоте. В амплитудном детекторе 7 напряжение управляющего сигнала преобразуется в

постоянное с требуемым временем установления и восстановления. Выходное напряжение, снимаемое с нагрузки детектора, подается на управляющий вход управляемого фильтра 2 и изменяет его частоту среза.

Работает устройство следующим образом. При отсутствии сигнала на выходе фильтра 2, а значит, и на соответствующем входе сумматора 3 присутствуют лишь составляющие шума, расположенные в полосе частот до 1,5 кГц. На второй вход сумматора поступает весь спектр шума. В результате вычитания узкополосного шума из широкополосного на выходе сумматора остаются только высокочастотные составляющие. Полученный сигнал проходит через весовой фильтр 4 и ограничитель минимума 5, на выходе которого управляющий сигнал будет отсутствовать, так как его уровень меньше порога срабатывания. Таким образом, при отсутствии входного сигнала частота среза управляемого фильтра не изменяется и составляющие шума более высоких частот не проходят на его выход.

Рассуждая аналогично, можно показать, что при наличии сигнала на выходе устройства частота среза управляемого фильтра переместится в область более высоких частот и на выходе появятся высокочастотные составляющие обрабатываемого сигнала.

Принципиальная схема динамического фильтра «Маяк» показана на рис. 2.29. Она выполнена с применением аналоговых микросхем К157УД2 и дискретных элементов. Управляемый фильтр нижних частот выполнен на транзисторе *VT2* и операционном усилителе *DA2.2* микросхемы *DA2* по схеме активного фильтра второго порядка. Исходная частота среза фильтра (1,5 кГц) определяется параметрами элементов *R7*, *C5*, *C6*, *R12*, *C10* и сопротивлениями полевых транзисторов микросборки *DA1*, включенных параллельно резисторам *R7* и *R12*. Сопротивления транзисторов выполняют функции регулируемых резисторов, сопротивление которых регулируется управляющим напряжением на затворах транзисторов. С целью уменьшения нелинейных искажений, возникающих в процессе фильтрации, через цепь *C1R4* на затвор левого транзистора микросборки подается часть напряжения входного сигнала. С этой же целью понижается делителем *R1R2* напряжение на входе устройства с 500 до 25 мВ. Согласование делителя *R1R2* со входом управляемого фильтра обеспечивается эмиттерным повторителем на транзисторе *VT1*.

В устройстве предусмотрены выходы, которые могут быть использованы в качестве линейного выхода шумоподавителя в целом (выход *X1.7*) и для подключения следующих за шумоподавитель устройств с низким входным сопротивлением (выход *X1.6*).

Алгебраический сумматор выполнен на операционном усилителе *SA2.1* микросхемы *DA2*. На неинвертирующий вход сумматора поступает сигнал с эмиттера транзистора *VT2*, а на инвертирующий — с выхода неуправляемого фильтра нижних частот, образованного элементами *R10*, *C8* и *C9*. Весовой фильтр собран на элементах *C14*, *R21* и операционном усилителе *DA3.1* микросхемы *DA3*, охваченном цепью частотно-зависимой отрицательной обратной связи *C15R22R24*. Переменный резистор *R32*, подключенный к выходу весового фильтра (выход *X1.3*), регулирует порог шумопонижения. Диоды *VD1*, *VD2* выполняют функции ограничителя минимума сигнала. Резистор *R33* ограничивает пределы регулирования порога шумопонижения.

Дифференциатор собран на операционном усилителе *DA3.2* микросхемы *DA3*. В цепь охватывающей его отрицательной обратной связи включены элементы *R29*, *C16*. Элементы *R27* и *C17* ограничивают полосу пропускания дифференциатора, что необходимо для ослабления влияния помех на сигнал управления. На инвертирующий вход этого операционного усилителя с делителя, образованного подстроечным резистором *R28* и

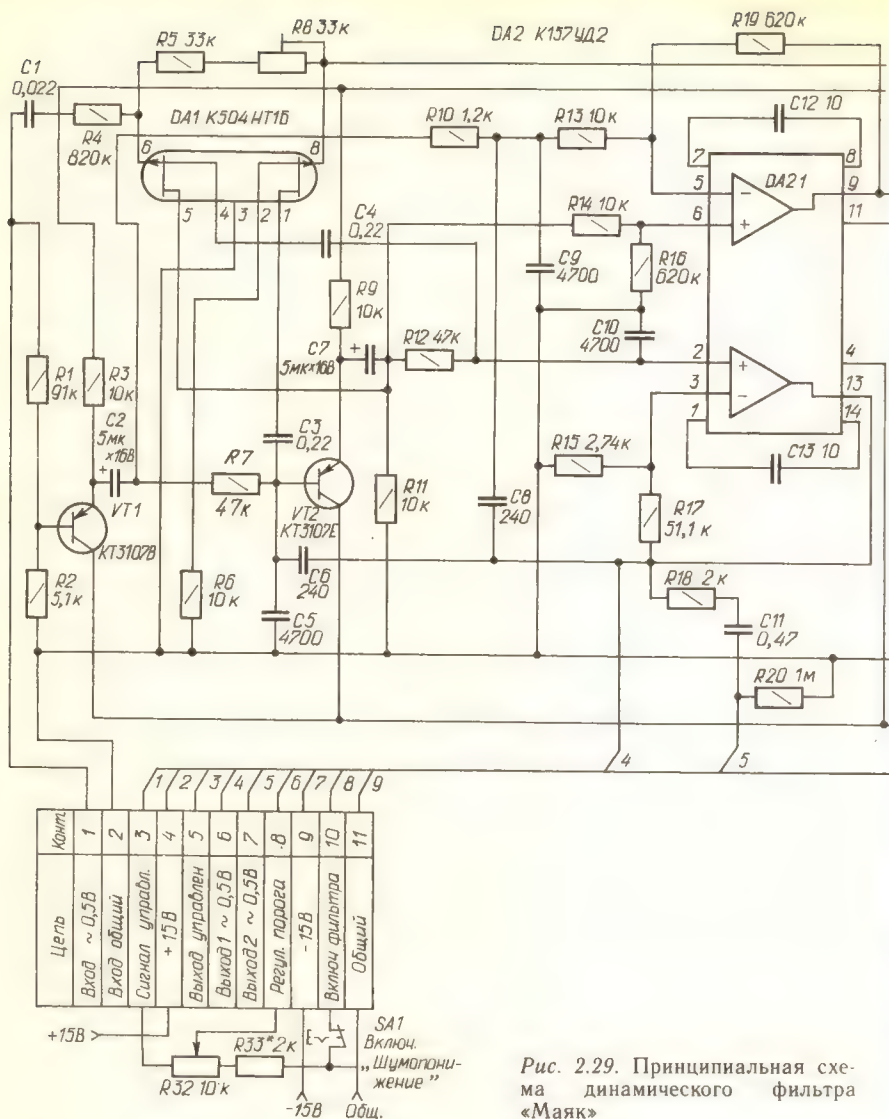
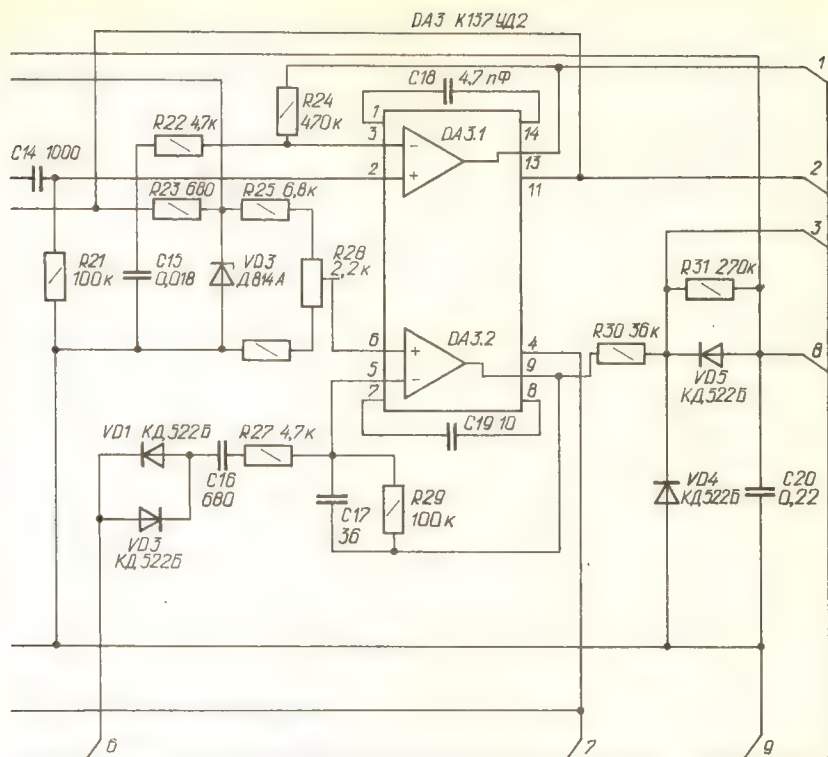


Рис. 2.29. Принципиальная схема динамического фильтра «Маяк»

ограничивающего пределы регулирования резисторами R_{25} , R_{26} , поступает часть напряжения положительной полярности, стабилизированного стабилитроном $VD3$. Коэффициент передачи этого усилителя по постоянному току выбран равным 1, поэтому напряжение с его неинвертирующего входа без изменения передается на его выход и через резисторы R_{30} , R_{31} подается на затворы полевых транзисторов сборки $DA1$. Изменение величины этого напряжения резистором R_{28} и определяет начальную частоту среза управляемого фильтра.

Завершающим звеном в цепи формирования напряжения, управляю-



шего частотой среза фильтра в процессе обработки сигнала, является амплитудный детектор, выполненный на диоде *VD4*.

Следует отметить, что динамический фильтр «Маяк» по своим параметрам превосходит аналогичные системы шумопонижения и не уступает такой известной компандерной системе, как «Долби-В».

Основные технические параметры динамического фильтра «Маяк» следующие:

Ослабление шума:

на частотах выше 1,5 кГц, дБ, на октаву

12

на частоте 20 кГц, дБ, не менее

40

Минимальный порог шумопонижения, дБ

50

Пределы регулирования порога шумопонижения (при $R33 = 2$ кОм), дБ

10

Коэффициент передачи

1

Номинальное входное напряжение, мВ

500

Входное сопротивление, кОм, не менее

90

Неравномерность АЧХ, дБ, не более в диапазоне частот 20...15 000

1

Коэффициент гармоник, %, не более

0,3

В настоящее время широко применяется микросхема К157ХПЗ, реализующая основные принципы динамического фильтра «Маяк».

Компандерные системы шумопонижения. Принцип работы компандерных систем поясняет рис. 2.30. Компрессор (сжиматель), установленный в начале канала записи, преобразует сигнал таким образом, что состав-

ляющие с малым уровнем имеют относительно большое усиление и как бы «отрываются» от уровня шумов (кривая «сжатие» на рис. 2.30, б). Для восстановления первоначального закона изменения уровней на выходе усилителя воспроизведения включен экспандер (расширитель), действие которого обратно действию компрессора (кривая «расширение» на рис. 2.30, б). Особенность такой системы заключается в том, что экспандер должен иметь амплитудную характеристику, обратную характеристике компрессора, не только при плавных изменениях уровня сигнала, но и при скачках, чтобы исключить возникновение нелинейных искажений.

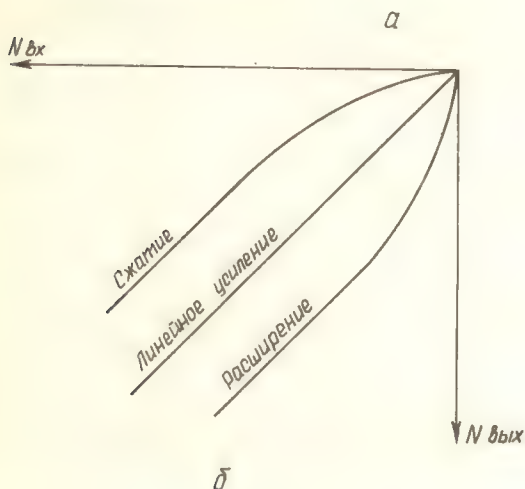
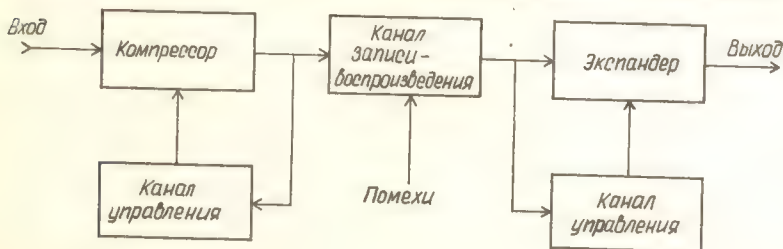


Рис. 2.30. Структурная схема шумопонижающей системы (а) и ее амплитудные характеристики (б)

В настоящее время известно несколько компандерных систем шумопонижения, среди которых широкое распространение в аппаратуре магнитной записи получила система «Долби», названная так по имени своего изобретателя американского инженера Р. М. Долби. Известны три разновидности системы «Долби»: «Долби-А», «Долби-В» и «Долби-С».

Система «Долби-А» относится к наиболее сложным и применяется в профессиональной аппаратуре. Она содержит несколько (чаще два, четыре) отдельных каналов с разделительными фильтрами на входе, перекрывающими весь диапазон частот записываемых и воспроизводимых сигналов. Таким образом, в данной системе работают практически несколько независимых шумоподавителей — каждый в своей полосе частот, что значительно повышает ее эффективность.

В системе «Долби-В» принцип деления на частотные полосы не

используется. Шум подавляется лишь на частотах, превышающих 1 кГц, поскольку именно эти составляющие шумов наиболее заметны на слух. Частотные характеристики, реализуемые в системе «Долби-В» при записи, показаны на рис. 2.31. Максимальное шумоподавление на высших звуковых частотах составляет 10 дБ. При достаточно высоких уровнях (выше 20 дБ) высокочастотных составляющих сигнал проходит практически без преобразования, это исключает перегрузку ленты на высших частотах, уровень которых дополнительно поднимается в усилителе записи магнитофона.

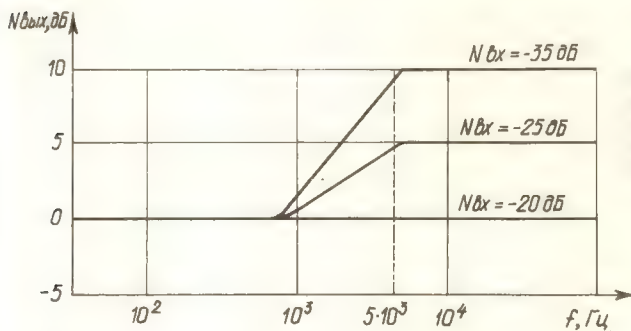


Рис. 2.31. Частотные характеристики, реализуемые системой шумопонижения типа «Долби-В» при записи

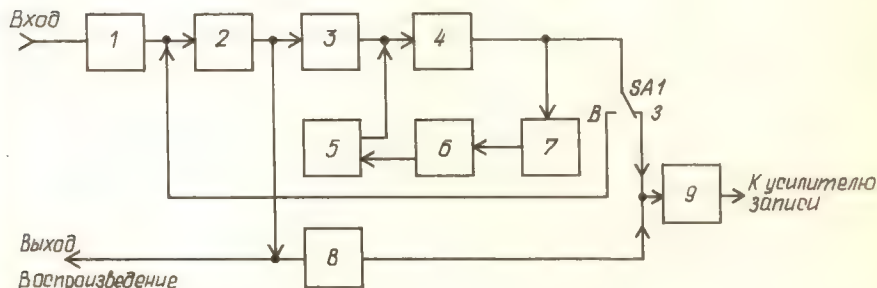


Рис. 2.32. Структурная схема системы типа «Долби-В»

Структурная схема устройства шумопонижения, работающего по принципу системы «Долби-В», изображена на рис. 2.32. В режиме записи (переключатель SA1 в положении «З») каскады 1, 2, 8 и 9 образуют основной канал прохождения сигнала, а каскады 3, 4 — вспомогательный, коэффициентом передачи которого управляют каскады 5, 6, 7. Управление осуществляется таким образом, что чем меньше уровень высокочастотных составляющих, тем больше коэффициент передачи каскадов вспомогательного канала. Сигналы от основного и вспомогательного каналов суммируются на входе каскада 9, чем и обеспечивается подъем амплитудно-частотной характеристики в области верхних частот.

В режиме воспроизведения (переключатель SA1 в положении «В») каскады 3...7 включаются в цепь отрицательной обратной связи, охватывающей каскад 2. Параметры цепи выбраны такими, что чем больше уровень высокочастотных составляющих, тем больше глубина обратной связи и меньше коэффициент усиления каскада 2.

Принципиальная схема устройства, работающего по принципу системы шумопонижения «Долби-В», представлена на рис. 2.33. При записи

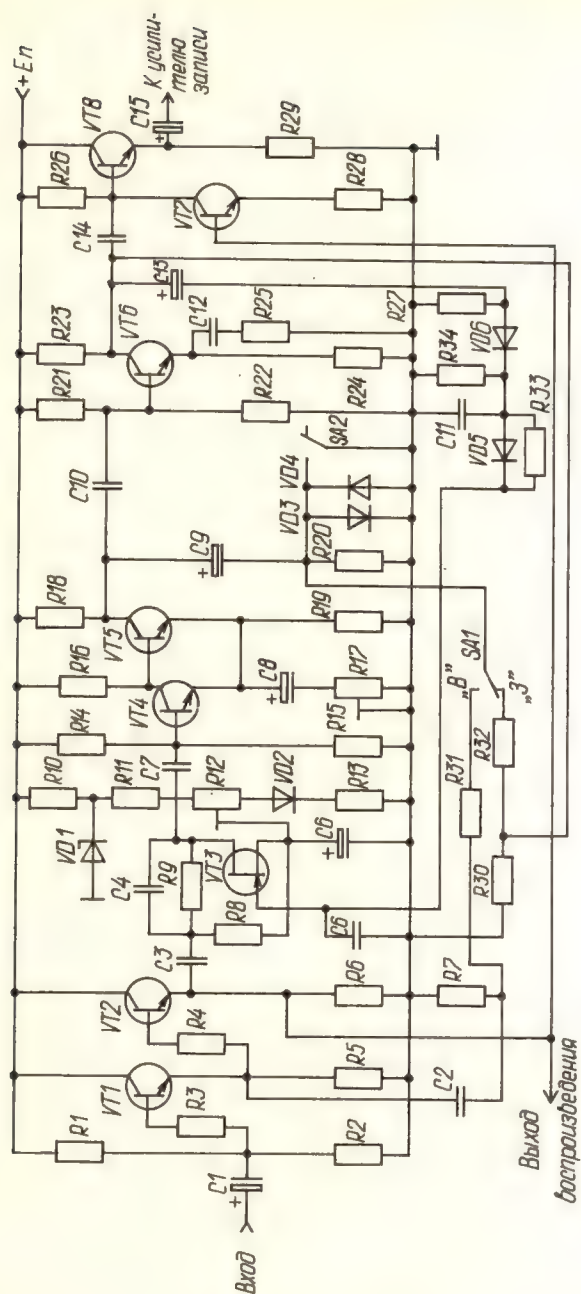


Рис. 2.33. Принципиальная схема системы шумоподавления типа «Долби-В»

сигнал проходит по двум каналам: основному и вспомогательному. Основной канал образован каскадами на транзисторах $VT1$, $VT2$, $VT7$ и $VT8$, его амплитудно-частотная характеристика линейна. Вспомогательный канал представляет собой компрессор с большим диапазоном регулирования. В него входят RC -фильтр верхних частот ($C4$, $R9$), регулируемое звено на транзисторе $VT3$ и каскады усиления на транзисторах $VT4$, $VT5$. Сигнал, прошедший вспомогательный канал, суммируется с сигналом основного канала в цепи базы транзистора $VT8$. Этот же сигнал через конденсатор $C10$ поступает на базу транзистора $VT6$, выполняющего роль вспомогательного каскада усиления в цепи регулирования. Усиленный сигнал выпрямляется диодами $VD5$, $VD6$ и используется для управления смещением на затворе транзистора $VT3$, коэффициент передачи которого зависит от уровня высокочастотных составляющих. Влияние этих составляющих на суммарный сигнал тем больше, чем меньше их уровень. Напряжение на истоке транзистора $VT3$ устанавливается резистором $R12$, включенным в цепь параметрического стабилизатора на стабилитроне $VD1$. Диоды $VD3$, $VD4$ ограничивают выбросы сигнала в цепи управления при появлении на входе шумоподавителя сигналов большого уровня с крутым фронтом, т. е. устраняют возможные нарушения работы схемы управления в динамическом режиме.

Подстроечный резистор $R17$, регулирующий глубину отрицательной обратной связи между каскадами на транзисторах $VT4$, $VT5$, устанавливает порог срабатывания шумоподавителя. Для уменьшения нелинейных искажений, возникающих в процессе работы шумоподавителя, управляющее напряжение на затворе транзистора $VT3$ проходит двухзвенную цепь выпрямления и сглаживания на элементах $VD6$, $R34$, $C11$ и $VD5$, $R33$ и $C5$.

В режиме воспроизведения основной канал прохождения сигнала состоит из каскадов на транзисторах $VT1$ и $VT2$, а регулируемое звено на транзистор $VT3$ и усилитель на транзисторах $VT4$ и $VT5$ образуют цепь отрицательной обратной связи, охватывающей каскад на транзисторе $VT2$. Напряжение обратной связи создается на резисторе $R7$ и через конденсатор $C2$ подается на базу транзистора $VT2$. Как и при записи, глубина отрицательной обратной связи (параметры регулировки) зависит от частоты и уровня сигнала таким образом, что уменьшение коэффициента передачи при малых уровнях сигнала компенсирует соответствующий подъем усиления при записи, поэтому результирующая амплитудно-частотная характеристика шумоподавителя в целом линейна. Это значит, что компрессирование при записи соответствует экспандированию при воспроизведении.

При необходимости шумоподавитель может быть выключен переключателем $SA2$, замыкающим накоротко выход схемы авторегулирования.

На рис. 2.34 представлена структурная схема шумоподавителя системы «Долби-С». Она также предназначена для бытовой аппаратуры магнитной записи звука и представляет собой два включенных последовательно каскада шумопонижения типа «Долби-В». В этой системе используются каскады с плавно изменяемой полосой пропускания, которые работают в одном частотном диапазоне, но реагируют на сигналы разных уровней. Частота среза фильтра верхних частот уменьшена до 375 Гц. В отличие от системы «Долби-В» система «Долби-С» более сложная, но обеспечивает шумопонижение в начале динамического диапазона до 20 дБ.

Для исключения возможности перегрузки ленты на верхних частотах и уменьшения интермодуляционных искажений в систему введена схема «антинасыщения».

В заключение следует отметить, что при использовании компандерных

шумоподавителей обязательно выполнение ряда условий: амплитудно-частотная характеристика магнитофона должна охватывать весь частотный спектр записываемого сигнала с неравномерностью не более 2...3 дБ; уровни сигналов на входе компрессора при записи и воспроизведении не должны отличаться более чем на 2 дБ и т. д. Современная техника магнитной записи позволяет выполнить первое условие, так как разработаны магнитофоны с верхней частотой записи-воспроизведения 16...20 кГц. Выполнение второго условия в большей степени зависит от качества ленты.

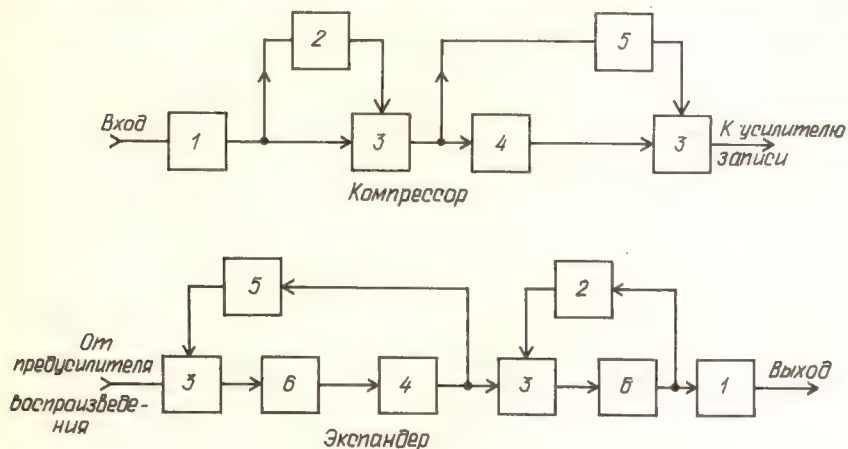


Рис. 2.34. Структурная схема системы шумопонижения типа «Долби-С»:

1 — устройство ограничения и восстановления спектра на верхних частотах; 2 — блок обработки сигналов с высоким уровнем; 3 — сумматор; 4 — схема антинасыщения; 5 — блок обработки сигналов с низким уровнем; 6 — инвертор

Установлено, что после 10 воспроизведений уровень сигнала частотой 14 кГц, записанного на ленте Fe_2O_3 , уменьшается по сравнению с первым воспроизведением почти на 5 дБ.

Очевидно, что в таких условиях компрессорные шумоподавители, очень чувствительные к рассогласованию уровней сигналов записи и воспроизведения, не обеспечивают точной «зеркальности» обработки этих сигналов. Это приводит к значительным (до 10 дБ) динамическим искажениям амплитудно-частотной характеристики магнитофона и затруднениям при обмене фонограммами.

Оптимизация тока подмагничивания является еще одним шагом на пути повышения качества записи. Как известно, для высококачественного звуковоспроизведения амплитудно-частотная характеристика канала записи-воспроизведения должна быть равномерной и горизонтальной во всем рабочем диапазоне частот. Это может быть достигнуто соответствующим выбором частотных предуслаживаний и коррекции при заранее установленном оптимальном для данного типа ленты токе подмагничивания. Однако ленты даже одного типа, но разного полива могут отличаться друг от друга по своим характеристикам. В результате может измениться амплитудно-частотная характеристика записи в области верхних частот.

Устранить это нежелательное явление можно более тщательным подбором величины тока подмагничивания. Для этого необходимо исполь-

зовать два генератора низкой частоты, работающие на частотах 400 Гц и верхней граничной частоте рабочего диапазона, которыми может быть дополнен магнитофон.

Функциональная схема стереофонического магнитофона со вспомогательными генераторами, элементами настройки и необходимой коммутацией показана на рис. 2.35. Смысл регулировки магнитофона заключается в том, чтобы установить одинаковые показания индикаторов $PA1$ и $PA2$ при воспроизведении фонограмм с записью сигналов от вспомогательных

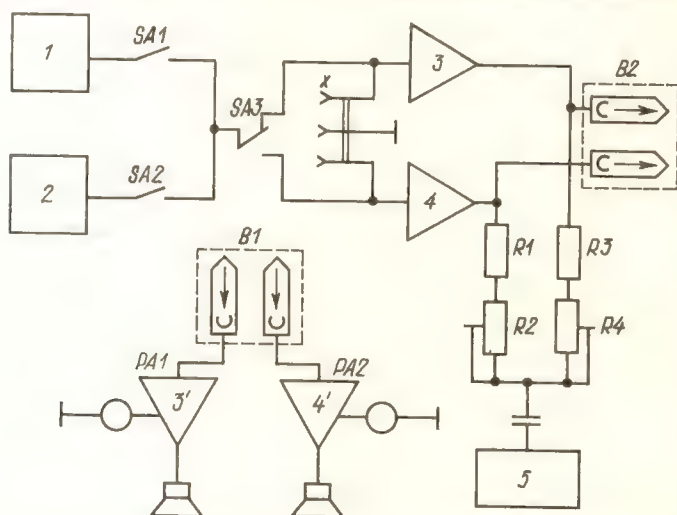


Рис. 2.35. Функциональная схема магнитофона с элементами оптимизации тока подмагничивания:

1 — генератор на 400 Гц; 2 — генератор на F_B ; 3 и 3' — усилители записи и воспроизведения левого канала; 4 и 4' — усилители записи и воспроизведения правого канала; 5 — генератор токов стирания и подмагничивания

генераторов. Установку тока подмагничивания осуществляют резисторы $R2$, $R4$. Естественно, что такую регулировку лучше выполнить в магнитофонах со сквозным каналом. Однако и при универсальном тракте магнитофона возможна установка оптимального тока подмагничивания. Для этого необходимо произвести несколько контрольных записей при различных токах подмагничивания и выбрать такое положение движков резисторов $R2$, $R4$, когда показания обоих индикаторов будут совпадать. Чтобы устранить возможность перемодуляции ленты, показания индикаторов должны быть не более 10 % от номинальных. Такую операцию проводят для обоих каналов, если магнитофон стереофонический.

Процесс установки оптимального тока подмагничивания легко поддается автоматизации.

Динамическое подмагничивание как способ повышения качества записи высокочастотных составляющих сложного сигнала известно с 1979 года. Принцип работы такого устройства основан на динамическом изменении величины тока высокочастотного подмагничивания в зависимости от уровня и спектрального состава записываемого сигнала. Если в спектре

сигнала уровень высокочастотных составляющих невелик, то запись осуществляется обычным способом при постоянной величине тока подмагничивания. Высокочастотные потери при этом компенсируются соответствующими предискажениями в усилителе записи. С увеличением уровня высокочастотных составляющих автоматически снижается ток высокочастотного подмагничивания таким образом, что сумма токов подмагничивания и высокочастотного сигнала записи остается постоянной. Это позволяет компенсировать дополнительные частотные потери, связанные с

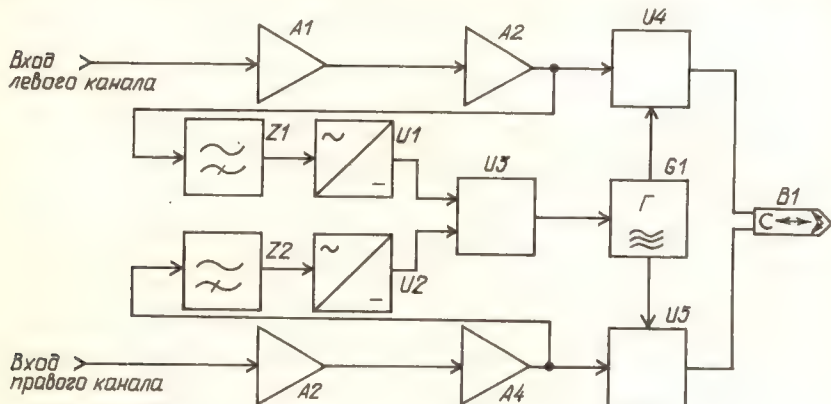


Рис. 2.36. Структурная схема системы динамического подмагничивания

увеличением уровня намагничивающего поля головки записи, пропорционального уровню записываемого сигнала.

Уменьшение величины тока подмагничивания, как правило, приводит к повышению нелинейных искажений среднечастотных составляющих. В данном случае этого не происходит, так как большой уровень высокочастотных составляющих сигнала действует по отношению к среднечастотным составляющим как дополнительный подмагничивающий сигнал.

В настоящее время известно несколько систем динамического подмагничивания («Долби-НХ», «Долби-НХ Professional», ARDS, DYNEQ и др.), отличающихся схемотехническими решениями и эффективностью работы. На рис. 2.36 представлена структурная схема системы динамического подмагничивания, разработанная советским инженером Н. Суховым.

Сигнал, предназначенный для записи, усиливается предварительным каскадом усилителя записи с линейной амплитудно-частотной характеристикой $A1$ ($A2$), а затем выходным каскадом с цепями частотной коррекции $A3$ ($A4$). С выхода усилителя записи $A3$ ($A4$) сигнал поступает настраиваемый фильтр $Z1$ ($Z2$). Характеристики этого фильтра выбраны такими, чтобы обеспечить оптимальный уровень подмагничивания на разных частотах записи. Выделенный фильтром сигнал детектируется прецизионным детектором $U1$ ($U2$) и подается на преобразователь уровня $U3$, которым формируется напряжение, необходимое для управления уровнем подмагничивания. Характеристики детекторов $U1$, $U2$ и преобразователя $U3$ выбраны такими, что с увеличением уровня высокочастотных составляющих сигнала записи ток подмагничивания уменьшается настолько, чтобы получить линейную амплитудно-частотную характеристику.

Ток подмагничивания регулируется изменением напряжения питания генератора токов стирания и подмагничивания. Каскады U_4 и U_5 представляют собой цепи суммирования сигналов записи и подмагничивания, с выходов которых суммарный сигнал поступает на блок головок.

Применение системы динамического подмагничивания позволяет расширить динамический диапазон магнитофона как при малых, так и при высоких скоростях движения ленты. Динамический диапазон кассетного магнитофона может быть расширен на 6...8 дБ, а катушечного — на 2...3 дБ. Кроме того, применение динамического подмагничивания позволяет увеличить отношение сигнал/шум, так как оптимальный ток подмагничивания устанавливается автоматически.

2.8. ИНТЕГРАЛЬНЫЕ МИКРОСХЕМЫ ДЛЯ АППАРАТУРЫ МАГНИТНОЙ ЗАПИСИ

Одним из перспективных направлений усовершенствования техники магнитной записи является применение интегральных микросхем, выполняющих функции отдельных блоков магнитофона. С этой целью разработаны микросхемы серий К157 и К547, предназначенные для применения в стереофонических катушечных и кассетных магнитофонах второй и первой группы сложности с универсальным или сквозным каналом записи-воспроизведения.

Микросхема К157УД1 представляет собой универсальный операционный усилитель средней мощности. Она позволяет усиливать напряжения с частотами до 100 кГц.

Операционный усилитель К157УД1 можно использовать не только в аппаратуре магнитной записи, но и в другой радиоэлектронной аппаратуре. Широкая область применения микросхемы объясняется отсутствием внутренней коррекции. Микросхема имеет ограничители пиковых значений выходного тока, повышающих надежность усилителя.

Типовая схема включения усилителя приведена на рис. 2.37, а. Для повышения устойчивости при работе с различными нагрузками желательна кроме основной коррекции, подключаемой между выводами 1...3 или 1...5, и соединения выводов 2 и 6 через конденсаторы с общим проводом устройства, подключать дополнительную С-цепь между выводами 3 и 5 микросхемы.

Основные электрические параметры микросхемы приведены в табл. 2.1, 2.2.

Микросхема К157УД2 — двухканальный операционный усилитель универсального назначения с малым уровнем собственных шумов. Типо-

Таблица 2.1. Предельно допустимые режимы эксплуатации некоторых микросхем

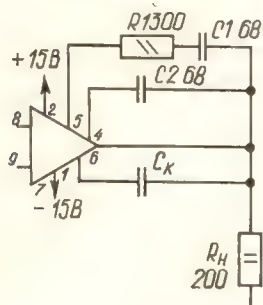
Показатели	К157УД1	К157УД2
Диапазон питающих напряжений, В	$\pm 3... \pm 20$	$\pm 3... \pm 18$
Синфазные напряжения, не более, В	± 20	± 18
Выходной ток, не более, мА	300	—
Рассеиваемая мощность в интервале температур — 25...+25 °С, не более, Вт	0,5*, 1**	0,5

* Без внешнего теплоотвода.

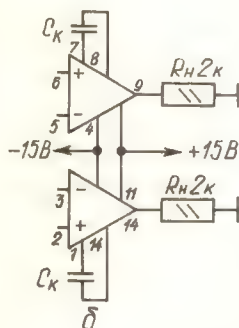
** С внешним теплоотводом и площадью поверхности не менее 18 см².

Таблица 2.2. Микросхемы, их параметры и режимы измерения

Микросхема	Режим измерения			K, не менее	
	R_H , кОм	$U_{и.п.}$, В	t , °C	$F=0...50$ Гц	$F_1=20$ кГц
K157УД1	0,2	± 15	25 ± 10	50 000	—
			70 ± 3	30 000	—
			-25 ± 3	50 000	—
	0	± 18		50 000	—
		± 3	25 ± 10	30 000	—
K157УД2	2	± 5		—	—
			25 ± 10	50 000	300...800
			70 ± 3	20 000	—
	0	-25 ± 3		50 000	—
		± 18	25 ± 10	50 000	—
		± 3		30 000	—
		± 15		—	—



а



б

Рис. 2.37. Типовые схемы включения:

а — микросхемы K157УД1; б — микросхемы K157УД2

вое значение напряжения шумов, приведенных по входу усилителя, составляет 1,6 мкВ в полосе частот 20...20 000 Гц.

Микросхема содержит входной, промежуточный каскады и усилитель мощности. Входной каскад выполнен по дифференциальной схеме с генератором тока и работает в режиме микротоков. Промежуточный каскад усиливает входной сигнал по напряжению. Для получения максимального усиления во входном и промежуточном каскадах применена динамическая нагрузка. Усилитель мощности — двухтактный с защитой от короткого замыкания на выходе как при положительной, так и при отрицательной полярности выходного напряжения.

Схема включения микросхемы изображена на рис. 2.37, б. Устойчивость работы каждого операционного усилителя с замкнутой петлей отрицательной обратной связи обеспечивается подключением корректирующих конденсаторов к выводам 1, 14 или 7, 8 микросхемы. Корректирующие конденсаторы могут быть включены и между другими выводами.

Основные электрические параметры микросхемы приведены в табл. 2.1.

$U_{\text{вых макс.}}$ В, не менее	$U_{\text{см.}}$ мВ, не более	$I_{\text{вх.}} \text{ нА,}$ не более	$I_{\text{вх.}} \text{ нА,}$ не менее	$I_{\text{пот.}} \text{ мА,}$ не более	$I_{\text{кз.}} \text{ мА}$		$F_{\text{среза,}}$ МГц, не менее	$\rho^2,$ В/мкс, не менее	$K^3_{\text{ос.ск.}}$ дБ, не более
					не менее	не более			
± 12	± 5	500	150	9	—	—	0,5	0,5	—
± 12	± 8	600	200	9	—	—	—	—	—
$\pm 11,5$	± 8	1500	500	11	—	—	—	—	—
± 15	± 8	500	200	10	—	—	—	—	—
$\pm 1,2$	± 6	600	300	8	—	—	—	—	—
—	—	—	—	—	400	1000	—	—	—
± 13	± 10	500	150	7	—	—	1	0,5	—80
$\pm 12,5$	± 12	500	150	7	—	—	—	—	—
$\pm 12,5$	± 12	1000	300	9	—	—	—	—	—
$\pm 15,5$	± 12	500	150	9	—	—	—	—	—
$\pm 1,8$	± 10	800	300	7	—	—	—	—	—
—	—	—	—	—	—	45	—	—	—

Примечания:

1. Корректирующая емкость равна 5 пФ.
2. Значения скорости нарастания выходного напряжения приведены для ОУ, включенных по схеме повторителя напряжения.
3. Коэффициент ослабления сигнала соседнего канала (переходное затухание).
4. Предельно допустимые параметры.

Микросхема К157УЛ1 — двухканальный усилитель воспроизведения для стереофонических магнитофонов с низким уровнем шумов. Напряжение шумов, приведенное ко входу усилителя воспроизведения кассетного магнитофона, в полосе частот 20...20 000 Гц, может быть получено не более 0,5 мкВ, что обеспечивает отношение сигнал/шум не менее 54 дБ.

Функциональная схема усилителя и схема ее включения приведены на рис. 2.38.

Уменьшение собственных шумов микросхемы достигнуто применением режима микротоков во входном и основном усилителях и большими коэффициентами усиления.

На выходе усилителя — эмиттерный усилитель с динамической нагрузкой, что позволяет обеспечить хорошее согласование микросхемы с последующими каскадами магнитофона. Кроме того, усилитель на выходе имеет защиту от короткого замыкания.

АЧХ усилителя задается внешней цепью отрицательной обратной связи по току, включаемой выходом усилителя и эмиттером первого транзистора. Коэффициент усиления определяется сопротивлением внешнего резистора, включенного между выводами 1, 3 (7, 5). Для получения максимального усиления основного усилителя и устранения отрицательной обратной связи по переменной составляющей между выводами 14, 3 (8, 5) включают конденсатор большой емкости. Устойчивость работы усилителя обеспечивается включением конденсатора между выводами 2, 3 (6, 5). Емкость конденсатора зависит от индуктивности магнитной головки и требуемой формы амплитудно-частотной характеристики.

Основные электрические параметры микросхемы

Номинальное напряжение питания, В	9
Коэффициент усиления по напряжению в полосе частот Гц без отрицательной обратной связи (ООС), не менее	20...20 000 8000...13 000

Потребляемый ток (по двум каналам), мА, не более
 Входное сопротивление, кОм, не менее
 Выходное сопротивление, Ом, не более
 Коэффициент гармоник при $U_{\text{вых}} = 1 \text{ В}$, $F = 400 \text{ Гц}$, %, не более
 Переходное затухание, дБ, не менее
 Напряжение шумов, приведенное ко входу, в полосе частот 20 Гц...
 20 кГц при сопротивлении источника сигнала 10 Ом, $\tau_{\text{нч}} = 3180 \text{ мкс}$,
 $\tau_{\text{вч}} = 70 \text{ мкс}$, мкВ, не более:

3...6
 60
 300
 0,2
 —70

для К157УЛ1А
 для К157УЛ1Б

0,3
 0,6...1,0

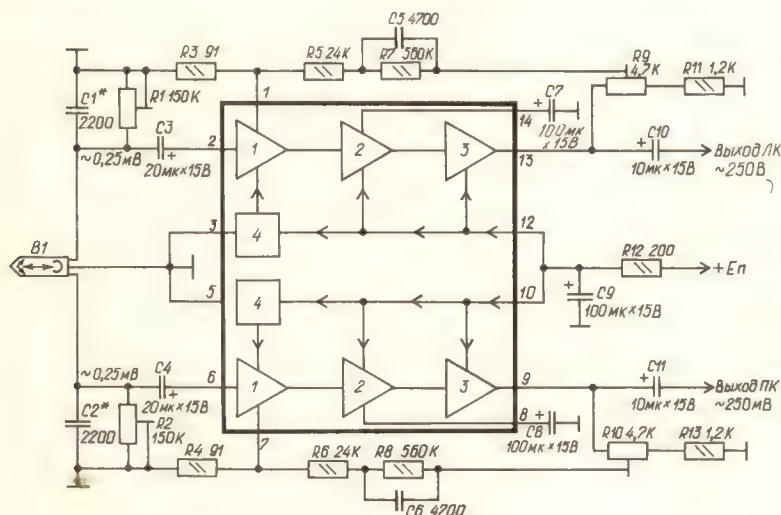


Рис. 2.38. Функциональная и типовая схемы включения микросхемы К157УЛ1:

1 — входной каскад; 2 — каскад основного усиления; 3 — выходной каскад;
 4 — стабилизатор режима первого каскада

Предельно допустимые режимы эксплуатации

Диапазон питающих напряжений, В
 Входной ток, мА, не более
 Выходной ток, мА, не более
 Рассеиваемая мощность, мВт, не более

8,1...20
 1
 5
 250

Микросхемы К157УП1 и К157УП2 представляют собой две модификации двухканального микрофонного усилителя, совмещенного с двухканальным предварительным усилителем записи. И микрофонный, и предварительный усилители записи обладают малым уровнем шумов и обеспечивают усиление сигналов от 160 мкВ и 10 мВ до стандартного уровня линейного выхода магнитофона. Микросхемы предназначены для применения как в высококачественных магнитофонах, так и в другой низкочастотной стереофонической аппаратуре.

Функциональная схема, совмещенная с типовой схемой включения микросхемы К157УП1 и элементами АРУ, приведена на рис. 2.39.

Микрофонный усилитель содержит три каскада и обеспечивает усиление, равное 42 дБ, при включенной внешней нагрузке. Стабильность характеристик усилителя зависит от глубины отрицательной обратной

связи как по постоянному, так и по переменному току, создаваемой внешним резистором, включенным между выводами 2, 3 и 7, 6. Сопротивление этого резистора влияет также на входное сопротивление усилителя. Если его сопротивление равно 270...280 кОм, то входное сопротивление усилителя равно примерно 2 кОм.

Предварительный усилитель записи также выполнен по трехкаскадной схеме. На входе и выходе усилителя включены эмиттерные повторители, облегчающие согласование как с источником сигнала, так и с последую-

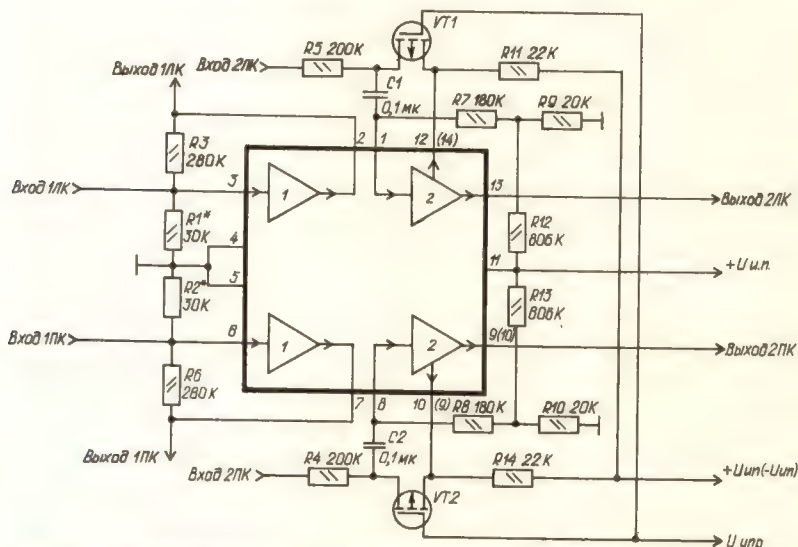


Рис. 2.39. Функциональная и типовая схемы включения микросхемы К157УП1 (К157УП2)

щими каскадами усиления. Коэффициент усиления предварительного усилителя уменьшен до 24 дБ за счет увеличения глубины отрицательной обратной связи.

Для получения максимальной неискаженной амплитуды выходного напряжения на вход усилителя (вывод 1 и 8) следует подавать напряжение смещения около 0,3 В (резисторы R7, R9, R12 и R8, R10, R13). Сопротивления этих резисторов влияют на величину входного сопротивления.

Для уменьшения нелинейных искажений, вносимых регулирующим элементом АРУ (транзисторы VT1, VT2), в микросхеме предусмотрены дополнительные выводы 12, 10 для микросхемы К157УП1 и 14, 9 для микросхемы К157УП2, на которые поступает инвертированное входное напряжение через эмиттерные повторители, выполненные на транзисторах $p-n-p$ — структуры для К157УП1 и $n-p-n$ — для К157УП2.

По электрическим параметрам микросхемы идентичны, но отличаются долевкой.

Основные электрические параметры микросхем

Номинальное напряжение питания, В	12
Потребляемый ток (по двум каналам), мА	5...9,5
Коэффициент усиления микрофонного усилителя	100...165
Коэффициент усиления предварительного усилителя записи	19,5...28

Коэффициент гармоник микрофонного усилителя при $U_{\text{вых}}=1$ В, $F=400$ Гц, %, не более	0,2
Коэффициент гармоник предварительного усилителя записи при $U_{\text{вых}}=1,5$ В, $F=400$ Гц, %, не более	0,2
Напряжение шумов, приведенное ко входу микрофонного усилителя в полосе частот 20 Гц...20 кГц, при сопротивлении источника сигнала 200 Ом, мкВ, не более	0,6...1,0
Напряжение шумов, приведенное ко входу предварительного усилителя записи в полосе частот 20 Гц...20 кГц, при сопротивлении источника сигнала 16 кОм, мкВ, не более	3,2...5,2
Входное сопротивление микрофонного усилителя, кОм	1,6...2,4
Входное сопротивление предварительного усилителя записи, кОм	160...240
Выходное сопротивление микрофонного усилителя, кОм, не более	5
Выходное сопротивление предварительного усилителя записи, кОм, не более	1
Переходное затухание, дБ, не менее	—70

Предельно допустимые режимы эксплуатации

Диапазон питающих напряжений, В	3...15
Выходной ток микрофонного усилителя, мА, не более	3
Выходной ток предварительного усилителя записи, мА, не более	3
Рассеиваемая мощность, мВт, не более	250

Микросхема К157ДА1 представляет собой двухканальный двухполупериодный выпрямитель среднего значения сигналов и предназначена для управления приборами индикации.

Каждый канал микросхемы содержит предварительный усилитель и преобразователь двухполярного сигнала в однополярный. Выходные напряжения на нагрузке каждого канала микросхемы (конденсаторы $C1$, $C2$) и стрелочных индикаторах имеют положительную полярность. Уровни выходных напряжений соответствуют с высокой точностью средневыпрямленным значениям входных сигналов в диапазоне свыше 50 дБ.

Предварительные усилители являются операционными и содержат необходимые цепи коррекции амплитудно-частотной характеристики.

Функциональная и типовая схемы включения микросхемы *К157ДА1* приведены на рис. 2.40.

Основные электрические параметры микросхемы К157ДА1

Номинальное напряжение питания, В	± 15
Коэффициент усиления по напряжению	7...10
Выходное напряжение, В, не менее	9
Выходное напряжение покоя, мВ, не более	50
Выходной ток каждого канала, нА, не более	200
Потребляемый ток в отсутствие сигнала (по двум каналам), мА, не более	1,6
Выходной ток каждого канала, мА, не менее	2,5...6,0

Предельно допустимые режимы эксплуатации

Диапазон питающих напряжений, В	$\pm 3... \pm 20$
Верхняя граничная частота, кГц, не менее	100
Рассеиваемая мощность (в диапазоне температур $-25...+25$ °С), мВт, не более	500
Диапазон рабочих температур, °С	$-25...+70$

Микросхема К157ХП1 представляет собой двухканальное устройство управления приборами индикации пиковых значений сигналов и формирования сигналов управления для систем АРУЗ.

Функциональная схема и схема включения микросхемы К157ХП1 приведены на рис. 2.41. В состав входят: предварительные усилители 1; индикаторные усилители 2; источник образцовых и смещающих напряжений 3; выпрямитель АРУЗ 4. Для индикации могут быть использованы светодиоды, лампы накаливания и др. Постоянная времени индикации определяется емкостью конденсаторов $C1$ и $C2$.

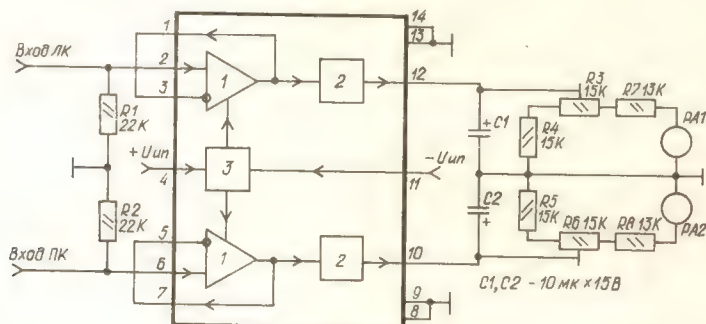


Рис. 2.40. Функциональная и типовая схемы включения микросхемы К157ДА1:

1 — буферные усилители; 2 — преобразователи двухполярного сигнала; 3 — стабилизатор режима

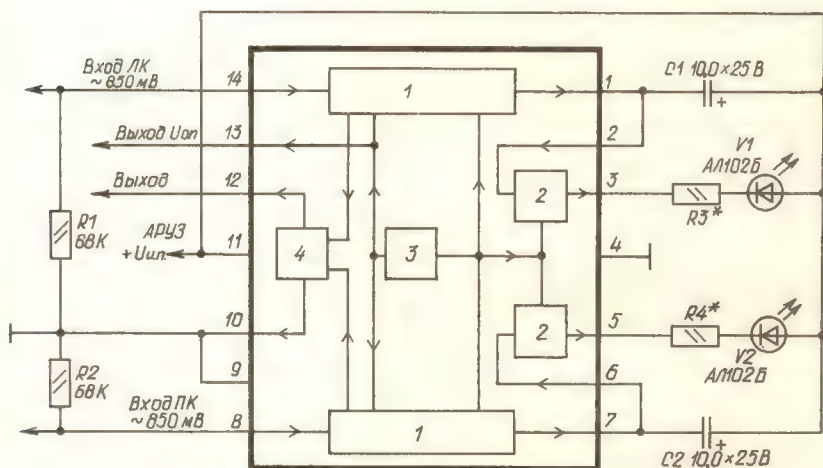


Рис. 2.41. Функциональная и типовая схемы включения микросхемы К157ХП1:

1 — предварительные усилители; 2 — индикаторные усилители; 3 — источник образцовых и смещающих напряжений; 4 — выпрямитель схемы АРУЗ

Основные электрические параметры микросхемы К157ХП1

Номинальное напряжение питания, В

Выходное эталонное напряжение, В

Напряжение порога срабатывания по выходу индикаторного усилителя и системы АРУЗ, В

15

1,21...1,35

1,0...1,45

Напряжение отпущания по выходу индикаторного усилителя и системы АРУЗ, В, не менее	0,9
Выходной ток предварительного усилителя, мА	4...10
Входной ток покоя индикаторного усилителя, мкА	35...65
Выходное напряжение предварительного усилителя, В	5...10
Максимальный выходной ток закрытого индикаторного усилителя, мкА, не более	1,0
Выходной ток покоя выпрямителя системы АРУЗ, нА, не более	30
Выходной ток предварительного усилителя, мкА, не более	2

Предельно допустимые режимы эксплуатации

Диапазон питающих напряжений, В	7,2...20;0
Напряжение на входах предварительного усилителя, В, не более	+7
Выходной ток по выводам 3, 5, мА, не более	70
Выходной ток по выводам 10, 12, мА, не более	10
Потребляемый ток, мА, не более	5...9
Рассеиваемая мощность, мВт, не более	250
Диапазон рабочих температур, °С	-25...+70

Микросхема К157ХП2 может быть использована для создания генератора токов стирания и подмагничивания и стабилизатора напряжения с электронным управлением.

На рис. 2.42 приведены функциональная и типовая схемы включения микросхемы К157ХП2, которая включает в себя: источник образцового напряжения 4 с устройством управления временем включения и выключения; усилитель сигнала рассогласования 3; регулирующий элемент 2 с токовой и тепловой защитой; выходной делитель 1 и отдельные транзисторные структуры с цепями смещения для создания генератора токов стирания и подмагничивания.

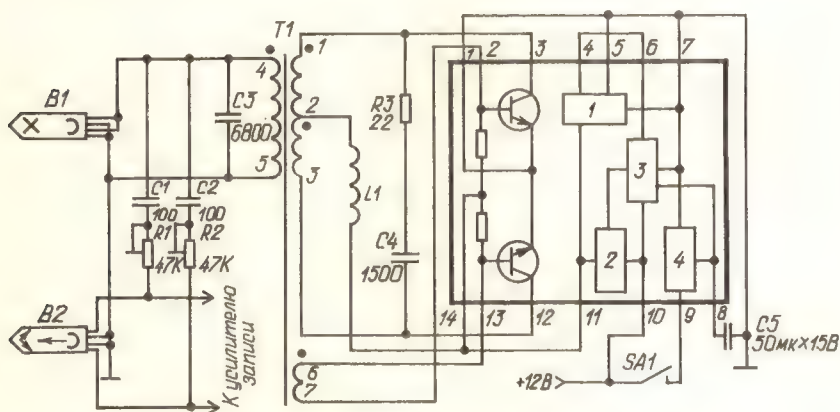


Рис. 2.42. Функциональная и типовая схемы включения микросхемы К157ХП2: 1 — выходной делитель; 2 — регулирующий элемент с тепловой и токовой защитой; 3 — усилитель рассогласования; 4 — источник образцового напряжения с устройством управления временем включения и выключения

Генератор токов стирания и подмагничивания собран по двухтактной трансформаторной схеме и питается от внутреннего стабилизатора напряжения. В стабилизаторе предусмотрена возможность изменения выходного напряжения как внутренним делителем, так и внешним. При использовании внешнего делителя можно установить выходное напряже-

ние от 1,3 до 33 В. Для нормальной работы стабилизатора входное напряжение должно превышать выходное не менее чем в 2,5 раза. При использовании внутреннего делителя выходное напряжение можно изменять в пределах от 1,3 до 12 В. Для этого необходимо соответствующим образом соединить выводы микросхемы (табл. 2.3).

Возможность изменения напряжения, питающего генератор, облегчает установление необходимых токов стирания и подмагничивания при работе магнитофона с различными типами лент. Время включения и выключения выходного напряжения стабилизатора определяется емкостью конденсатора C_5 , подключаемого к выводам 7 и 8 микросхемы.

Таблица 2.3. Коммутация выводов для получения напряжения требуемой величины

Напряжение, В	Соединяемые выводы
12	5, 6
10,5	4, 5, 6
3	4, 4 и 5, 7
5,5	4, 6
3	5, 6 и 4, 11
1,3	6, 11

Основные электрические параметры микросхемы K157ХП2

Пределы регулирования выходного напряжения, В	1,3...33,0
Выходное напряжение закрытого стабилизатора, В, не более	0,1
Ток холостого хода, мА	3,2...7,0
Входной ток усилителя сигнала рассогласования, мкА, не более	0,5
Выходной ток устройства управления временем включения, мА	1,0...2,6
Ток, потребляемый устройством управления временем включения, мА	1,0...2,9
Коэффициент неустойчивости по напряжению, не более	$\pm 0,002$
Коэффициент неустойчивости по току, не более	$\pm 0,01$
Относительный температурный коэффициент выходного напряжения, %, °С, не более	$\pm 0,05$
Ток короткого замыкания, мА, не более	150...450

Параметры транзисторных структур

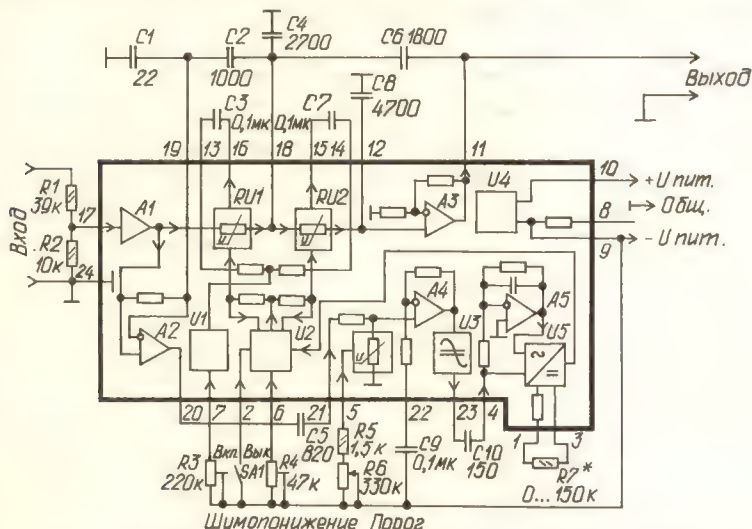
Напряжение насыщения коллектор — эмиттер при $I_k = 100$ мА, $I_0 = 2,5$ мА, В, не более	0,75
Напряжение насыщения база — эмиттер при $I_k = 100$ мА, $I_0 = 2,5$ мА, В, не более	1,25
Начальный ток коллектора при $R_0 = 10$ кОм, мкА, не более	1,0

Предельно допустимые режимы эксплуатации

Входное напряжение, В	4...40
Выходной ток стабилизатора, мА, не более	150
Напряжение коллектор — эмиттер транзисторных структур, В, не более	40

Микросхема K157ХП3 предназначена для систем понижения шумов при прослушивании звуковых программ. Она может быть применена как самостоятельная динамическая система понижения шумов, так и совместно с компандерными системами. Возможность применения микросхемы в отечественной системе шумопонижения «Маяк» позволяет широко применять ее в электроакустической аппаратуре всех групп сложности.

Управляемый фильтр с перестраиваемой частотой среза выполнен на операционном усилителе АЗ. Форма АЧХ УФ определяется соотношением емкостей конденсаторов $C4$ и $C6$ в цепи отрицательной обратной связи и емкостью конденсатора $C8$ на входе усилителя.



анал управления состоит из алгебраического сумматора $A2$, управляющего усилителя $A4$, ограничителя минимума U_3 , частотного корректора-дифференциатора $A5$, амплитудного детектора U_5 , регулятора U_1 начального (нижнего) значения частоты среза и ограничителя-регулятора U_2 верхнего (верхнего) значения частоты среза. В блоке U_4 объединены функции эталонного напряжения и стабилизированных токов. Начальное значение верхней граничной частоты можно изменять соответствующим выбором емкостей конденсаторов $C4$, $C6$, $C8$. Кроме того, предусмотрена раздельная установка этих частот изменением минимальных ($R23$) и максимальных ($R24$) сопротивлений, управляемых напряжением резисторов $RV1$ и $RV2$. В качестве управляемых резисторов применены МДП-транзисторы.

Эффект понижения шума динамической системой, выполненной на микросхеме К157ХПЗ, основан на следующем. При отсутствии входного

сигнала или очень малом уровне высокочастотных составляющих в его спектре полоса пропускания управляемого фильтра ограничивается начальной граничной частотой, равной 800...1600 Гц (в зависимости от установленного начального значения частоты среза). Сужение полосы пропускания приводит к снижению общего уровня шумов на выходе устройства.

При появлении во входном сигнале высокочастотных составляющих достаточного уровня полоса пропускания УФ расширяется, но возрастающий при этом шум не воспринимается слухом, так как уровень полезного сигнала значительно превышает уровень шума.

Основные электрические параметры микросхемы К157ХПЗ

Коэффициент усиления напряжения при $U_{вх} = 100$ мВ на частоте 400 Гц	4,7...5,3
Ослабление усиления на верхней граничной частоте, дБ, при $U_{вх} = 100$ мВ, на частоте, кГц: 20	2,5...1,0
100; на частоте, кГц: 20	2,5...1,0
32	—3
$U_{вх} = 10$ мВ, на частоте, кГц: 1,0	—3
2,5	—3
$U_{вх} = 3,2$ мВ, на частоте, кГц, 6	—3
$U_{вх} = 1,0$ мВ, на частоте, кГц, 10	—26
$U_{вх} = 0,32$ мВ, на частоте, кГц, 6	—3
Коэффициент гармоник, %, при $U_{вх} = 400$ мВ на частотах 400 и 20 000 Гц	0,5
Входной ток через вывод 17, мкА	0,5
Выходной ток через выводы 13, 14 ($U_{вх} = 0$), мкА	13...26
Выходной ток через выводы 13, 14, мкА, на частоте 10 кГц, при $U_{вх}$ мВ: 1,0	3...10
10	150...450
Максимальный выходной ток через вывод 11, мА, при $U_{вх} = \pm 3$ В	6...20
Максимальное входное напряжение (амплитудное значение), В	пит.
Выходное напряжение покоя, В	$\pm 0,5$
Максимальное выходное напряжение, В, при $U_{вх} = 3$ В	± 11
Приведенное ко входу напряжение шумов, мкВ, в диапазоне 20 Гц... 20 кГц, при $U_{вх} = 0$	15
Напряжение питания, В:	
$+U_{пит}$	$+5...+18$
$-U_{пит}$	$-9...-18$
Коэффициент неидентичности динамических сопротивлений сток-исток (для группы Г), дБ, не более	3

Все остальные параметры измерены при напряжении питания ± 15 В.

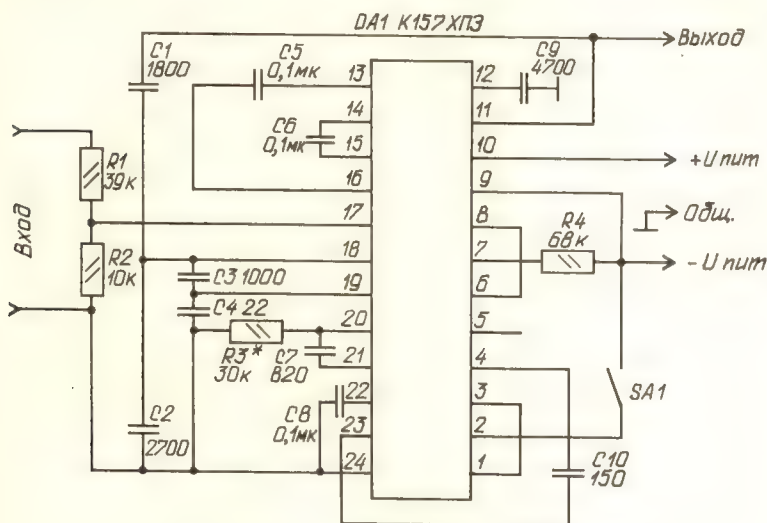
На рис. 2.44 приведена практическая схема динамического шумоподавителя на микросхеме К157ХПЗ с фиксированным порогом срабатывания, который устанавливается резистором R8.

Микросхема К547КП1 содержит четыре идентичных ключа на полевых транзисторах с изолированным затвором (МОП) и предназначена для переключения аналоговых сигналов. Открывают ключи подачи на затворы напряжения отрицательной полярности, которое должно превышать максимальное отрицательное напряжение коммутируемого сигнала.

Для закрывания ключей на затворы должно быть подано положительное напряжение. Ключи имеют большое отношение сопротивлений в проводящем и закрытом состояниях, хорошую изоляцию по постоянному току между цепями управления (затвором) и коммутируемого сигнала (сток, шток).

Принципиальная схема микросхемы К547КП1 приведена на рис. 2.45.

Внутри серии микросхемы разделены на четыре группы (А, Б, В, Г), отличающиеся максимально допустимым напряжением между стоком (истоком) и подложкой. Для микросхем группы Г, кроме того, нормируется коэффициент идентичности сопротивлений между стоком и истоком транзисторов.



2.44. Принципиальная схема динамического фильтра на микросхеме К157ХПЗ

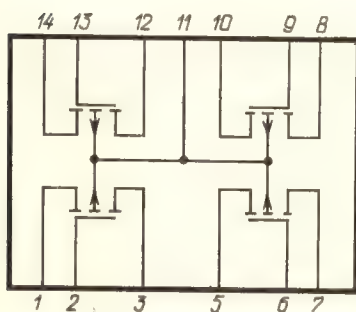


Рис. 2.45. Принципиальная схема микросхемы К547КП1

Основные электрические параметры микросхемы К547КП1

Пороговое напряжение, В

—3...—6

Динамическое сопротивление в открытом состоянии, Ом, не более

100

Ток утечки при предельно допустимых напряжениях, нА, не более

50

Ток утечки закрытого ключа, нА, не более

50

Предельно допустимые режимы эксплуатации

Напряжение между подложкой и затвором, В, не более	40
Напряжение между стоком (исток) и подложкой, В, не более:	
для группы А	30
для группы Б	25
для группы В	15
для группы Г	15
Наибольший коммутируемый ток, мА	20
Рассеиваемая мощность (в диапазоне температур $-25...+25^{\circ}\text{C}$), мВт, не более	500
Диапазон рабочих температур, $^{\circ}\text{C}$	$-25...+70$
Напряжение эмиттер — база транзисторных структур, В, не более	7
Постоянный ток коллектора транзисторных структур, мА, не более	150
Рассеиваемая мощность (в диапазоне температур $-25...+25^{\circ}\text{C}$), Вт	1,0

Описание работы производится по обозначениям на схемах, прилагаемых к магнитофонам.

Потребляемый ток (от одного источника), мА, при $U_{\text{вх}} = 0...8,5$:

при напряжении питания ± 12 В

при напряжении питания $\pm 16,5$ В

Микросхема К174УН12 представляет собой двухканальный усилитель низкой частоты, предназначенный для электронной регулировки громкости с возможностью выбора оптимальной тонкоррекции и баланса в стереофонической аппаратуре первой и второй групп сложности.

В состав микросхемы входят преобразователи 1 и управляемые напряжением усилители 2. Функциональная и типовая схема включения микросхемы приведена на рис. 2.46.

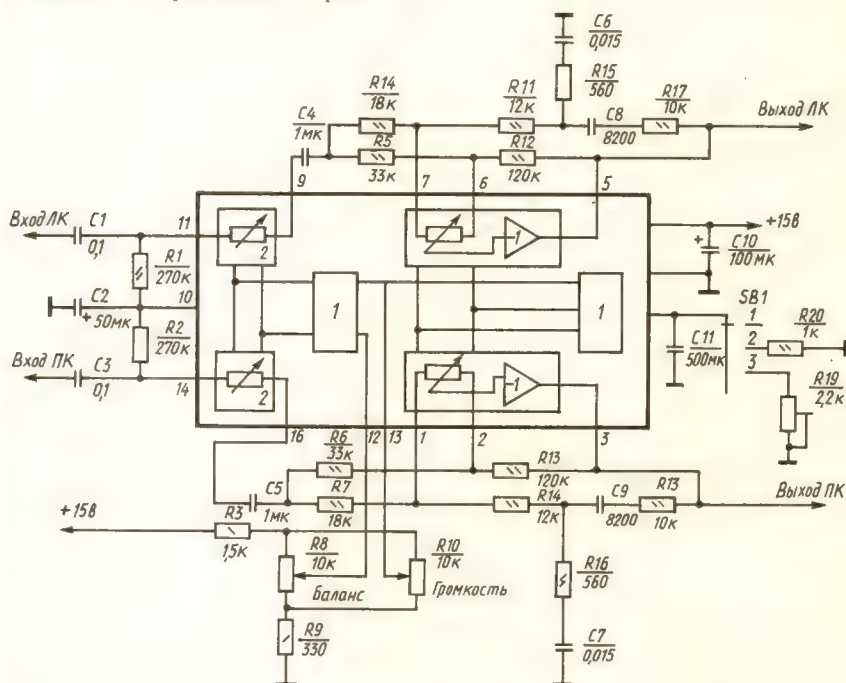


Рис. 2.46. Функциональная и типовая схемы включения микросхемы К174УН12

Основные электрические параметры микросхемы К174УН12

Номинальное напряжение питания, В	± 15
Номинальный ток потребления, мА, не более	40
Предельные частоты усиления, Гц	
нижняя	20
верхняя	20 000
Коэффициент нелинейных искажений, %, не более	0,5
Диапазон регулировок, дБ, не менее	
уровня громкости	77
баланса	± 6
Отношение сигнал/шум при $U_{\text{вх}} = 100$ мВ, дБ, не менее	52
Максимальное управляющее напряжение на выводах 12 и 13, В, не более	12
Сопrotивление нагрузки, кОм, не менее	15

Переключатель SB1 (рис. 2.46) позволяет выбирать режим тонкоррекции: положение 1 — тонкоррекция отключена; 2 — стандартная тонкоррекция; 3 — возможность подбора оптимальной тонкоррекции.

Глава 3

ОПИСАНИЕ

ЭЛЕКТРИЧЕСКИХ СХЕМ МАГНИТОФОНОВ

3.1. МАГНИТОФОН-ПРИСТАВКА «ОРБИТА МП-121-С»

Магнитофон-приставка относится к бытовой аппаратуре магнитной записи звука I группы сложности, третьего поколения. Представляет собой односкоростной, кассетный, четырехдорожечный магнитофон с питанием от сети переменного тока напряжением $220 \text{ В} \pm 10 \%$ и электронным управлением. Предназначен для записи информации от различных источников с последующим воспроизведением через усилители звуковых частот.

В магнитофоне предусмотрены:

- 1) раздельная по каналам регулировка уровня записи;
- 2) воспроизведение фонограмм через линейный выход и головные телефоны;
- 3) запись от внешнего микрофона, другого магнитофона, электропроигрывающего устройства, радиовещательного и телевизионного приемников, радиотрасляционной линии;
- 4) ручная установка и индикация уровня записи;
- 5) индикация уровня воспроизведения;
- 6) возможность регулировки напряжения на линейном выходе;
- 7) возможность оперативной регулировки величины тока подмагничивания;
- 8) возможность работы с тремя типами магнитной ленты (МЭК-I, II, III);
- 9) световая индикация режимов работы;
- 10) возможность управления с помощью квазисенсорного переключателя режимов;
- 11) режим «Память» в счетчике расхода ленты;
- 12) перемотка ленты в обоих направлениях;
- 13) поиск по паузе (длительность паузы не менее 4с);

14) возможность контроля записываемого сигнала прослушиванием на головные телефоны;

15) система шумопонижения.

Основные технические данные

Номинальная скорость движения ленты, см/с	4,76
Коэффициент детонации, %, не более	$\pm 0,12$
Рабочий диапазон частот на линейном выходе, Гц, не уже	
для ленты типа МЭК I	40...14 000
для ленты типа МЭК II	31,5...18 000
для ленты типа МЭК III	31,5...18 000
Полное взвешенное отношение сигнал/шум, дБ, не менее	
для ленты типа МЭК I	51
для ленты типа МЭК II	56
для ленты типа МЭК III	56
Коэффициент нелинейных искажений по третьей гармонике, %, не более	2
Рассогласование амплитудно-частотных характеристик стереоканалов на линейном выходе в диапазоне частот от 250 до 6300 Гц, дБ	2
Выходное напряжение на линейном выходе, мВ	500 ± 100
Уровень сжатия-расширения системы шумопонижения, дБ	$10^{+1} - 4$
Среднее отклонение от номинальной скорости, %, не более	$+1...-0$
Потребляемая мощность, ВА, не более	18
Масса, кг, не более	6,2
Габариты, мм	$320 \times 320 \times 128$

Описание электрической принципиальной схемы

Электрическая функциональная схема магнитофона представлена на рис. 3.1. В состав магнитофона входят: основной блок магнитофона (БОМ-12); блок управления и индикации (БУИ-12); блок датчика вращения (ДВ); лентопротяжный механизм (МПЛ); блок индикации счетчика расхода ленты (БИС-12).

БОМ-12 предназначен для выполнения следующих функций:

- 1) усиление сигналов от источников программ с необходимой коррекцией АЧХ в режиме «Запись»;
 - 2) усиление сигналов от магнитной головки с необходимой коррекцией в режиме «Воспроизведение»;
 - 3) выработка напряжения высокой частоты для подмагничивания универсальной головки и питания головки стирания;
 - 4) переключение цепей коррекции АЧХ при работе с различными магнитными лентами;
 - 5) снижение уровня шумов магнитной ленты в канале записи и воспроизведения;
 - 6) электронное переключение режимов записи-воспроизведения;
 - 7) электронное включение системы шумопонижения;
 - 8) усиление сигналов до напряжения, достаточного для прослушивания на головные стереотелефоны;
 - 9) обеспечение питания схемы магнитофона рабочими напряжениями;
 - 10) формирование сигналов управления индикаторами уровня сигналов;
 - 11) формирование сигналов управления МЛП;
 - 12) питание ведущего двигателя напряжением, зависящим от скорости движения ленты через систему стабилизации скорости с ФАПЧ;
 - 13) формирование сигналов управления индикатором расхода ленты.
- В состав БОМ-12 входят следующие функциональные узлы:

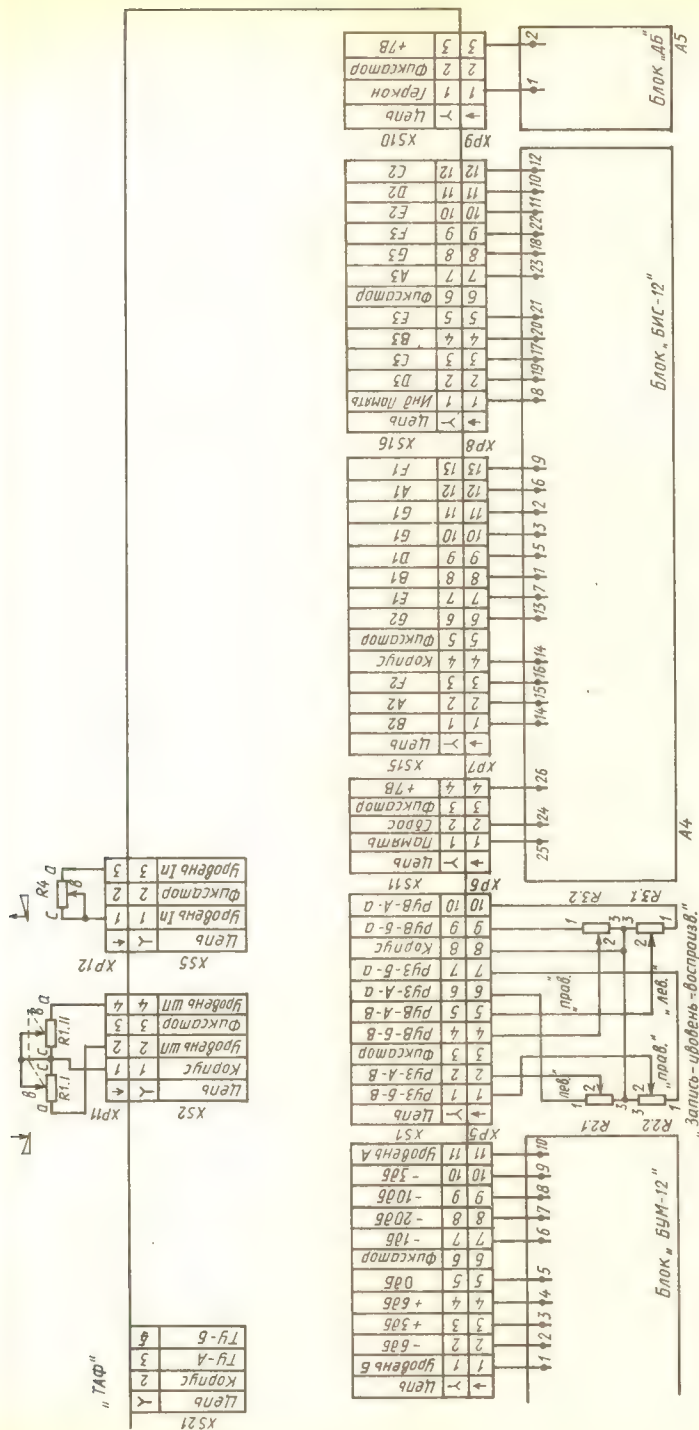


Рис. 3.1. Электрическая функциональная схема магнитофона «Орбита МП-121-С»

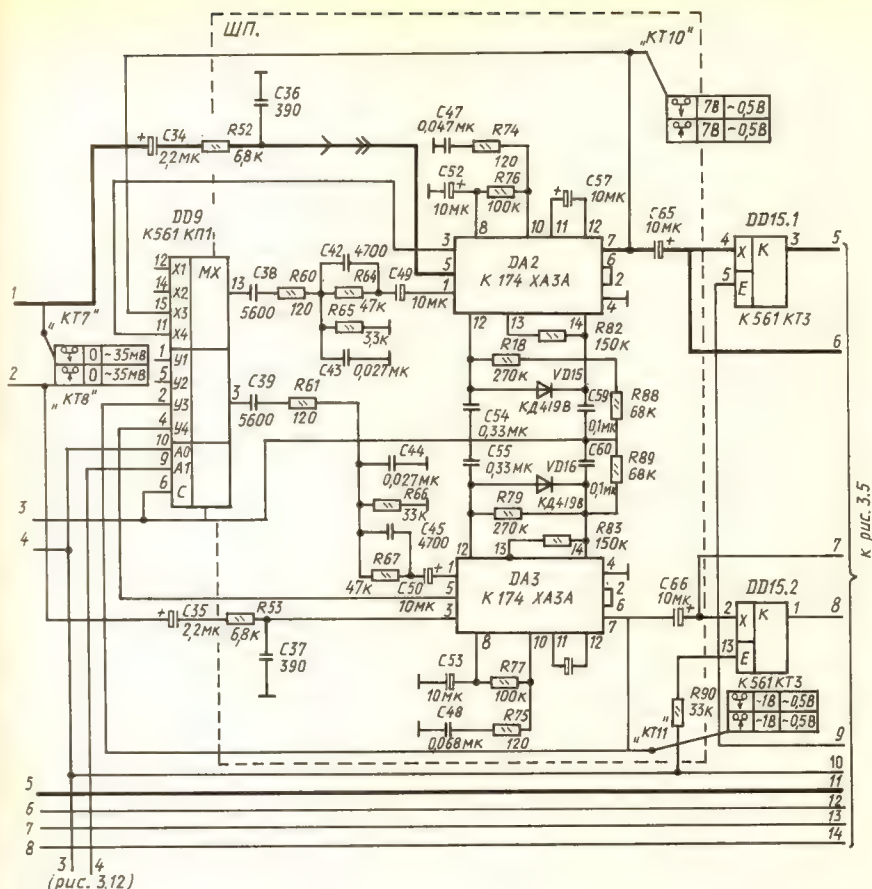


Рис. 3.2. Принципиальная схема усилителя воспроизведения, генератора стирания и подмагничивания, шумоподавителя (БОМ-12)

усилитель записи; усилитель воспроизведения; генератор стирания и подмагничивания; телефонный усилитель; индикатор уровня сигнала записи и воспроизведения; счетчик расхода ленты; система автоматического регулирования скорости вращения ведущего двигателя; система шумопонижения; блок питания.

При более подробном рассмотрении принципа действия основных функциональных узлов необходимо помнить, что обозначение элементов и блоков без скобок относится к каналу А, в скобках — к каналу В, а на принципиальных схемах знаком \longrightarrow указано направление прохождения сигнала в режиме «Воспроизведение», знаком $\longrightarrow\longrightarrow$ в режиме «Запись».

Усилитель воспроизведения (рис. 3.2) двухканальный выполнен на микросхеме DA1 типа K157УЛ1. В режиме воспроизведения сигнал, преобразованный универсальной магнитной головкой в электрический, поступает на вход усилителя воспроизведения через ключи на транзисторах VT1(VT2), находящиеся в закрытом состоянии. Ключи на

транзисторах VT5(VT6) при этом открыты и шунтируют выход генератора стирания и подмагничивания.

Необходимое усиление и коррекция частотной характеристики по нижним и верхним частотам обеспечиваются элементами R9, R11, R13, C14 (R15, R12, R14, C15). Усиленный и скорректированный сигнал поступает на двухканальный коммутатор, выполненный на микросхеме DD4 (K561KП1).

Коммутатор обеспечивает коммутацию режимов «Запись-воспроизведение» и частотную коррекцию под различные типы лент. В области средних и верхних частот необходимая коррекция обеспечивается частотно-зависимыми делителями R35, R36, C25 (R37, R38, C26). С выхода электронного коммутатора (выводы 3 и 13) сигнал поступает на вход шумоподавителя.

Шумоподаватель (рис. 3.2.) в магнитофоне построен по принципу системы «Долби-В» на микросхемах DA2(DA3) типа K174XA3 А. Коммутация режимов работы шумоподавителя производится полупроводниковым коммутатором на микросхеме DD9(K561KП1).

Чтобы защитить систему шумопонижения от наводок со стороны генератора стирания и подмагничивания, на входе коммутатора включен однозвенный RC-фильтр, выполненный на элементах R52, C36 (R53, C37). Элементы C47, C52, C57, R74, R76 (C48, C53, C58, R75, R77) обеспечивают необходимые режимы микросхем и коэффициент усиления. Цепи детекторов выполнены на элементах VD15, C54, C59, R82, R78, R88 (VD16, C55, C60, R79, R83, R89).

Коррекция амплитудно-частотной характеристики шумоподавителя производится элементами C38, C42, C43, R60, R64, R65 (C39, C44, C45, R66, R67). Цепи коррекции переключаются электронным коммутатором DD9 в зависимости от режима работы магнитофона. В режиме записи коммутатор подключен к выходу шумоподавителя (вывод 7 микросхем DA2, DA3), а в режиме воспроизведения — к выводу 3 тех же микросхем. В режиме отключенного шумоподавителя цепи коррекции отключены от схемы, что обеспечивает линейную характеристику схемы. С выхода шумоподавителя сигнал через электронный ключ DD15.1 (DD15.2) подавателя щелчков поступает: на выход магнитофона (разъемы XS13, XS14); на вход регулятора уровня воспроизведения (РУВ) через разъем XS1; на вход усилителя записи.

В отдельных магнитофонах система шумопонижения может быть выполнена на отдельной плате, конструктивно устанавливаемой на плате БОМ-12 в виде модуля. В этом случае используется тот же коммутатор на микросхеме DD9 с однозвенными RC-фильтрами, защищающими схему от наводок со стороны генератора стирания и подмагничивания. Собственно шумоподаватель собран на четырех микросхемах типа K157УД2 и двух полевых транзисторах типа КП103К1 (рис. 3.3.).

На микросхеме DA1.1 (DA2.1) выполнен усилитель, режим работы которого и коэффициент усиления обеспечиваются элементами C1, C3, R1, R2, R5, R7, R9 (C2, C4, R3, R4, R6, R8, R10). Сумматор выполнен на микросхеме DA1.2(DA2.1) с элементами C3, R7, R9, R11, (C4, R8, R10, R12). Микросхемы DA3.1 (DA4.1) с элементами C5, C9, C11, R13, R19, VD1, VD3 (C6, C10, C12, R14, R20, VD2, VD4) образуют силовой ограничитель. Формирование управляющего сигнала обеспечивают микросхемы DA3.2 (DA4.2) с элементами C13, C15, C17, R21, R23, R25, R27, R29, R33, R33 и VD5 (C14, C16, C18, R22, R24, R26, R28, R30, R34, R36 и VD6). Выпрямитель управляющего сигнала образован элементами VD7, R17, R31 (VD8, R18, R32), а управляемый аттенуатор — VT1, C7, R15 (VT2, C8, R16). Цепи коррекции амплитудно-частотной харак-

Основной усилитель записи предназначен для усиления сигнала и коррекции частотной характеристики в области верхних звуковых частот. Усилитель через резисторы $R108$, $R110$ ($R109$, $R113$) охвачен отрицательной обратной связью, в цепь которой включен контур коррекции $L2$, $C71$, $R107$ ($L1$, $C72$, $R104$), обеспечивающий максимальный подъем на верхней частоте рабочего диапазона магнитофона.

В цепь обратной связи включены также элементы коррекции частотной характеристики усилителя записи при работе с различными

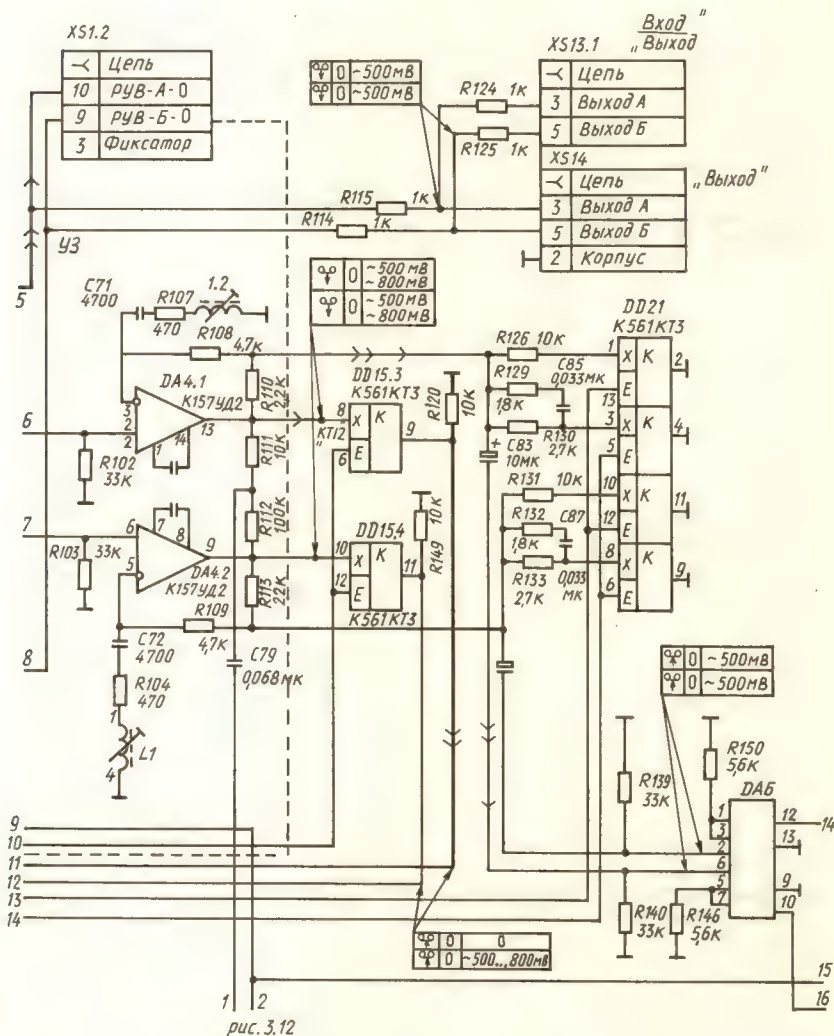


Рис. 3.5. Принципиальная схема усилителя записи и индикатора уровня

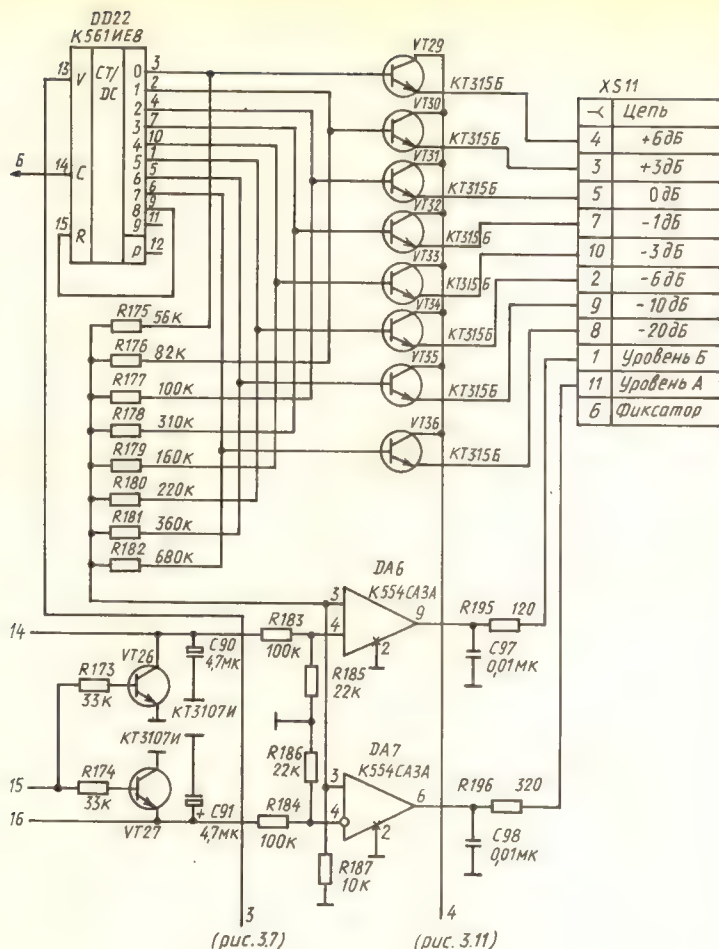


Рис. 3.5.

типами лент. Переключение элементов коррекции $R129$, $R130$, $C86$ ($R132$, $R133$, $C87$), которые обеспечивают коррекцию для ленты типа МЭК II, а $R128$ ($R131$) — для ленты МЭК III, производится с помощью микросхемы $DD21$ (см. рис. 3.4). Работа на ленте типа МЭК I обеспечивается при отключении элементов коррекции.

Выходы усилителя записи через электронные ключи $DD15.3$ ($DD15.4$) и токостабилизирующие резисторы $R31$ ($R32$) соединены с универсальной головкой. Ключи $DD15.3$ ($DD15.4$) отключают усилители записи от цепей магнитной головки в режиме воспроизведения, а подстроечными резисторами $R31$ ($R32$) устанавливают ток записи во время регулировки и настройки магнитофона. В процессе записи ток записи с выхода усилителя записи проходит через замкнутый ключ $DD15.3$ ($DD15.4$), резистор $R31$ ($R32$), обмотку трансформатора подмагничивания $TV1$ ($TV2$), универсальную магнитную головку, конденсатор $C3$ ($C4$) и через открытый ключ $VT1$ ($VT2$) замыкается на общий провод, элементы $R31$, $R32$, $TV1$,

TV2, VT1, VT2, C3 и C4 (см. рис. 3.2). Ключи при работе в режиме записи, выполненные на транзисторах VT5, VT6, закрыты, что позволило в низкочастотный сигнал записи ввести ток подмагничивания.

Генератор стирания и подмагничивания обеспечивает высокочастотное подмагничивание в процессе записи и стирание старой записи. Схема генератора приведена на рис. 3.2. Собственно генератор собран на транзисторах VT3, VT4 и колебательном контуре, состоящем из индуктивности, стирающей головки и емкости конденсатора C5. Поло-

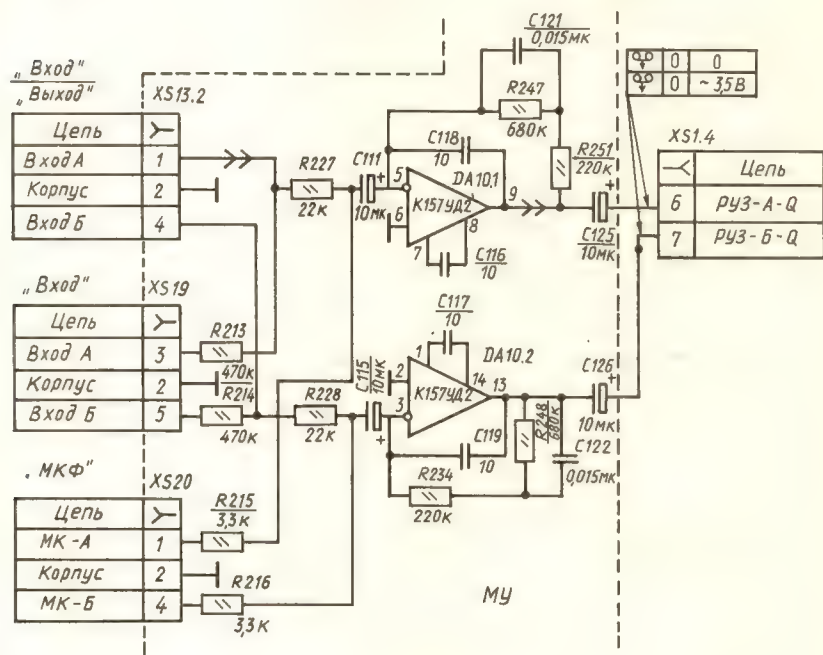


Рис. 3.6. Принципиальная схема микрофонного усилителя

жительная обратная связь обеспечивается через конденсаторы C1 и C2. Амплитуда выходного напряжения стирания регулируется транзистором VT7 путем изменения величины напряжения, питающего генератор. Для повышения стабильности амплитуды выходного напряжения его выпрямляют диодом VD6 и подают в цепь обратной связи на базу транзистора VT8. На базу VT9 в режиме «Запись» подается опорное напряжение, которое может подстраиваться резисторами R25, R30 в зависимости от типа ленты. Ток подмагничивания устанавливается резисторами R23, R24 и далее с помощью трансформаторов TV1 и TV2 вводится последовательно в цепь универсальной головки.

Симметрия формы выходного напряжения генератора обеспечивается правильностью установки режима работы транзисторов VT3, VT4 и идентичностью трансформаторов подмагничивания TV1 и TV2.

Индикатор уровня сигнала записи-воспроизведения (рис. 3.5) подключен к выходу усилителя записи. Так как вход усилителя записи

подключен к выходу шумоподавителя, т. е. к линейному выходу магнитофона, то на выходе усилителя записи присутствует напряжение сигнала как в режиме записи, так и в режиме воспроизведения. При этом частотная коррекция сигнала, поступающего на вход индикатора уровня, также не изменяется, что делает идентичными показания во время записи и воспроизведения.

Индикатор уровня содержит: двухполупериодный двухканальный выпрямитель напряжения сигнала, собранный на микросхеме *DA5*; компараторы уровня — на *DA6*, *DA7*; счетчик-распределитель — на *DD22* с буферными усилителями тока, собранными на транзисторах *VT29...VT36*, и цифроаналоговый преобразователь — на матрице резисторов *R175...R182*.

Для устойчивой работы индикатора необходимо, чтобы сигнал, поступающий на его вход, был достаточной величины. Для этого сигнал с выхода усилителя записи сначала усиливается, а затем выпрямляется микросхемой *DA5*. Элементы *C90*, *R185*, *R183* (*C91*, *R184*, *R186*), включенные на выходе микросхемы, обеспечивают необходимое время интеграции и время обратного хода индикатора уровня сигнала.

Ключи на транзисторах *VT26*, *VT27* предотвращают ложное срабатывание индикатора во время переходных процессов при изменении режимов работы магнитофона. Выпрямленное напряжение поступает на вход компараторов *DA6* (*DA7*). На другие входы компараторов поступает опорный сигнал в виде ступенчатой функции, вырабатываемой цифроаналоговым преобразователем (микросхема *DD22*). При превышении амплитудой входного сигнала уровня данной ступеньки опорного сигнала компаратор разрешает зажигание соответствующего светодиода индикаторной линейки, расположенной в блоке управления и индикации БУИ-12 (рис. 3,10. *a*). Управляющие сигналы на индикаторы БУИ-12 поступают через разъем *X518*. Сканирование входов цифроаналогового преобразователя обеспечивается счетчиком-распределителем *DD22* с частотой напряжения, поступающего с генератора системы автоматического регулирования скорости вращения ведущего двигателя (САРС) на микросхеме *DD23*. Этот счетчик через буферные усилители (*VT29...VT36*) обеспечивает также сканирование анодов светодиодных линеек индикатора.

Система автоматического регулирования скорости вращения ведущего двигателя построена на транзисторах *VT28*, *VT37*, *VT38*, *VT47*, *VT48*, *VT53* и микросхемах *DA8*, *DD23*, *DD24* по принципу фазовой автоматической подстройки частоты с кварцевой стабилизацией (рис. 3.7).

Для управления работой системы используется сигнал таходатчика, расположенного на узле тонвала лентопротяжного механизма. Сигнал поступает на систему регулирования через транзистор *VT28*, усилитель на микросхеме *DA8.1* и формирователь на *DD24.1*. С выхода формирователя *DD24.1* снимается импульс отрицательной полярности, длительность которого пропорциональна периоду следования импульсов таходатчика. Этот импульс через цепочку *R208*, *VD37*, *R221* заряжает емкость *C113*, причем амплитуда пилообразного напряжения на нем определяется длительностью входного импульса. По окончании действия импульса происходит разряд конденсатора через ключ *VT47*, управляемый с формирователя *DD24.2*, вход которого через дифференцирующую цепочку *C106*, *R209*, *R210* формирует пусковой импульс. Через транзистор *VT48* происходит подпитка конденсатора *C120*, на котором формируется постоянное напряжение, поступающее через усилитель постоянного тока на *DA8.2* и *VT53* на обмотку ведущего двигателя.

При увеличении напряжения на *C120* происходит увеличение скорости вращения вала ведущего двигателя. При этом уменьшается период следования импульсов таходатчика и напряжение на *C120* стремится к снижению, чем и достигается режим авторегулирования. Для обеспечения точной подстройки в системе применен опорный генератор на *DD23* с кварцевой стабилизацией. Импульс с этого генератора вводится в цепь заряда конденсатора *C113* через резистор *R224*, причем его длительность, формируемая на *DD24.3* и *DD24.4*, пропорциональна разности фаз между импульсами таходатчика и опорного генератора. Система фазовой автоподстройки частоты приводит эту разность к минимуму, чем достигаются высокие показатели по постоянству скорости движения ленты и снижению коэффициента детонации магнитофона.

Счетчик расхода ленты, примененный в магнитофоне, электронный. В состав счетчика входят микросхемы *DD7.1*, *DD8*, *DD14*, *DD11*, *DD16*, *DD18*, *DD19*, *DD20* и датчик вращения (ДВ). Датчик вращения формирует импульсы напряжения +7В, возникающие при вращении правого бокового узла лентопротяжного механизма. Импульсы формируются с помощью герконового переключателя, приводящегося в действие магнитом, закрепленным на шкиве, соединенным ремнем с правым подкассетником.

Счетные импульсы от ДВ через контакт 1 разъема *XS10* поступают на формирователь импульсов фиксированной длительности, собранный на *DD7.1*. Сформированные импульсы подаются на предварительный делитель на триггерах *DD8.1* и *DD8.2* и далее на трехразрядный десятичный счетчик на *DD11*, *DD16*, *DD19*. Данные счета через дешифратор *DD14*, *DD18*, *DD20* поступают на светодиодные индикаторы, размещенные на блоке индикации счета БИС-12, через разъемы *XS15* и *XS16*. Обнуление показателей индикатора происходит при нажатии кнопки «Сброс». При этом команда через контакт 2 разъема *XS11* поступает на вход РЕ счетчиков *DD11*, *DD16*, *DD19* и обнуляет их.

Электрическая принципиальная схема счетчика расхода ленты приведена на рис. 3.8, а блока БИС-12 — на рис. 3.9.

Блок управления и индикации БУИ-12 (рис. 3.10) содержит органы управления режимами магнитофона и светодиодные индикаторы уровней записи-воспроизведения, счетчика расхода ленты и режимов работы.

Блок питания (рис. 3.11) вырабатывает все питающие напряжения, необходимые для обеспечения нормальной работы магнитофона. Блок представляет собой двухполярный источник питания. Напряжение сети подается на силовой трансформатор *TV1* через переключатель *SB3* (см. рис. 3.1). Далее через разъем *XS17*, предохранители — на выпрямительный мост. Выпрямленное и сглаженное конденсаторами *C107*, *C108* напряжение поступает на стабилизатор. Он выполнен в виде двух взаимосвязанных плеч (положительного и отрицательного напряжений). Ведущим является плечо положительного напряжения, выполненное на транзисторах *VT43*, *VT45*, *VT49*, *VT50* и стабилитроне *VD41*. Работает схема следующим образом. При подаче напряжения на вход стабилизатора через резисторы *R217*, *R222* протекает ток, открывающий транзисторы *VT45*, *VT43*. На выходе стабилизатора появляется напряжение. При достижении номинального напряжения пробивается стабилитрон *VD41*, что приводит к открыванию транзистора *VT50* и некоторому закрыванию *VT45* и *VT43*. Таким образом осуществляется регулировка проходного сопротивления транзистора *VT43*, поддерживающего постоянное напряжение на выходе стабилизатора.

Работа стабилизатора отрицательного напряжения происходит ана-

логично. В качестве опорного напряжения используется выходное напряжение положительного плеча.

Схема управления режимами магнитофона представлена на рис. 3.12, команды управления режимами работы формируются с помощью микропереключателей, расположенных на передней панели магнитофона и имеющих соответствующие обозначения типа команд. Формирование команд происходит в блоках БУИ-12 (см. рис. 3.10) и БИС-12 (см. рис. 3.9). В основной блок магнитофона БОМ-12 сигналы команд поступают через разъемы XS6, XS8 и XS11. Команды управления обеспечивают выбор необходимых режимов работы лентопротяжного механизма МЛП и каскадов БОМ-12 чисто электронным путем, при котором исключены какие-либо механические коммутации в схеме. Рассмотрим работу магнитофона в различных режимах работы.

1. Режим «Стоп»

При подаче напряжения питания на схему магнитофона он автоматически устанавливается в режим «Стоп», так как все кнопки управления режимами разомкнуты, а одновибратор, выполненный на микросхемах DD2.1, DD2.2 и DD6, устанавливается в нулевое состояние (на выходе «0» микросхемы DD6 — логическая «1»). К запуску одновибратора приводит:

- а) нажатие кнопки «Временный стоп»;
- б) нажатие клавиши извлечения кассеты;
- в) возрастание напряжения на конденсаторе C51 с минус 6В до 0В; при окончании ленты в кассете (автостоп);
- г) открывание транзистора VT11 импульсом переноса с микросхемы

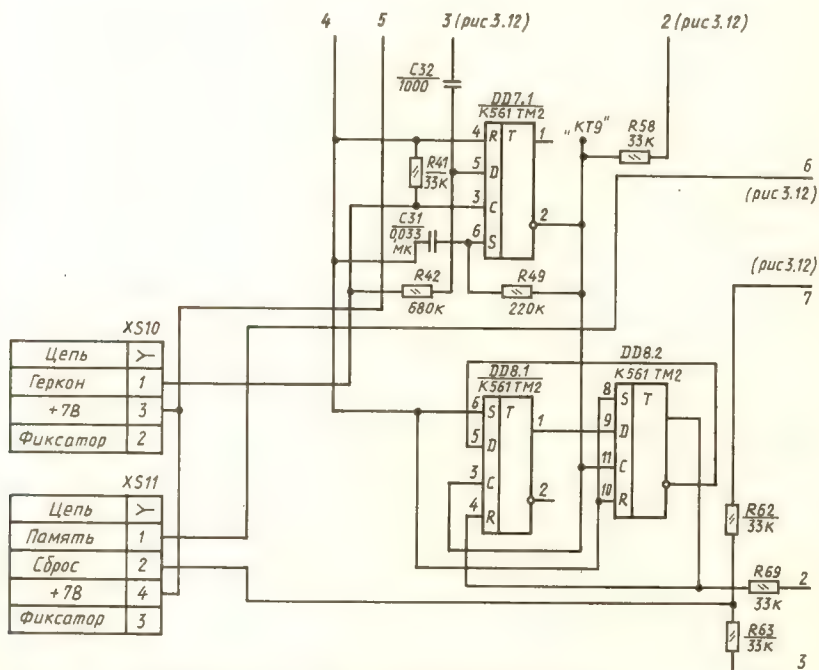


Рис. 3.8. Принципиальная схема счетчика расхода ленты

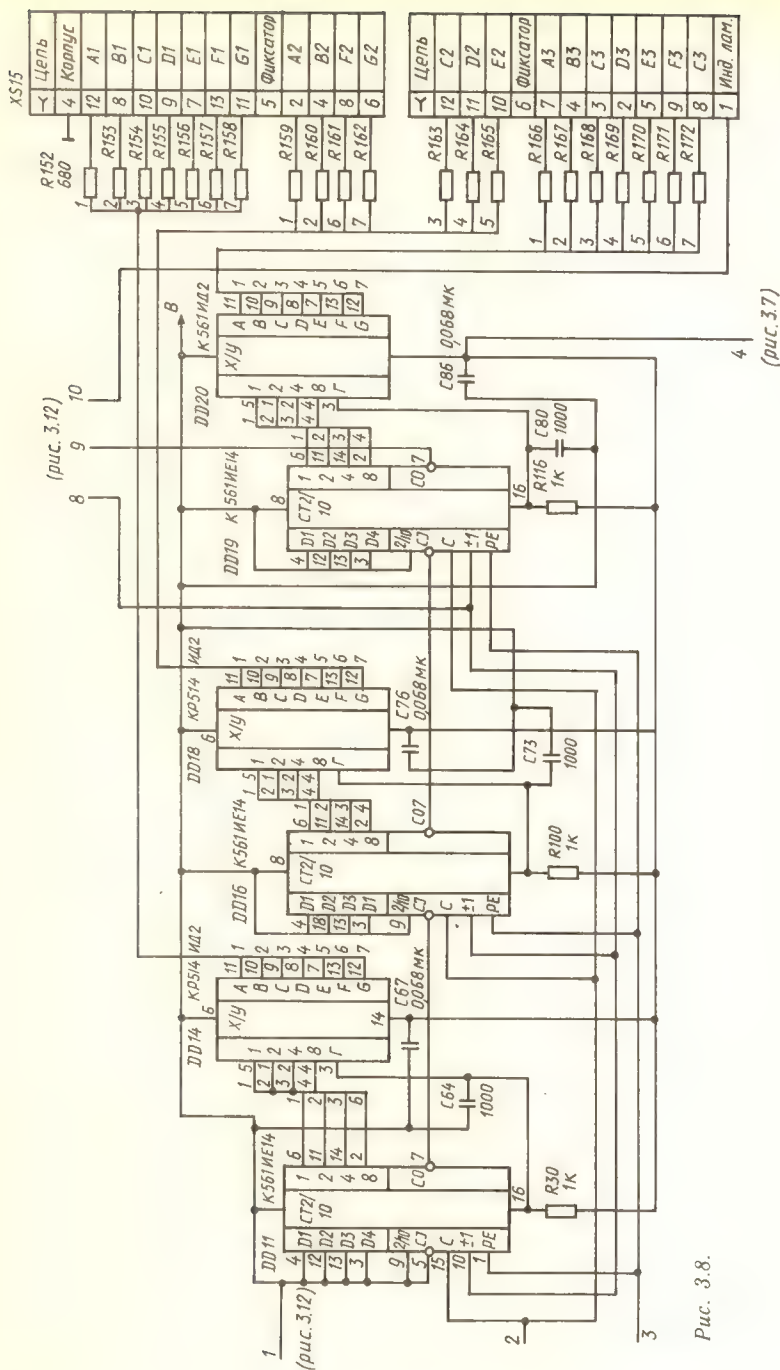


Рис. 3.8.

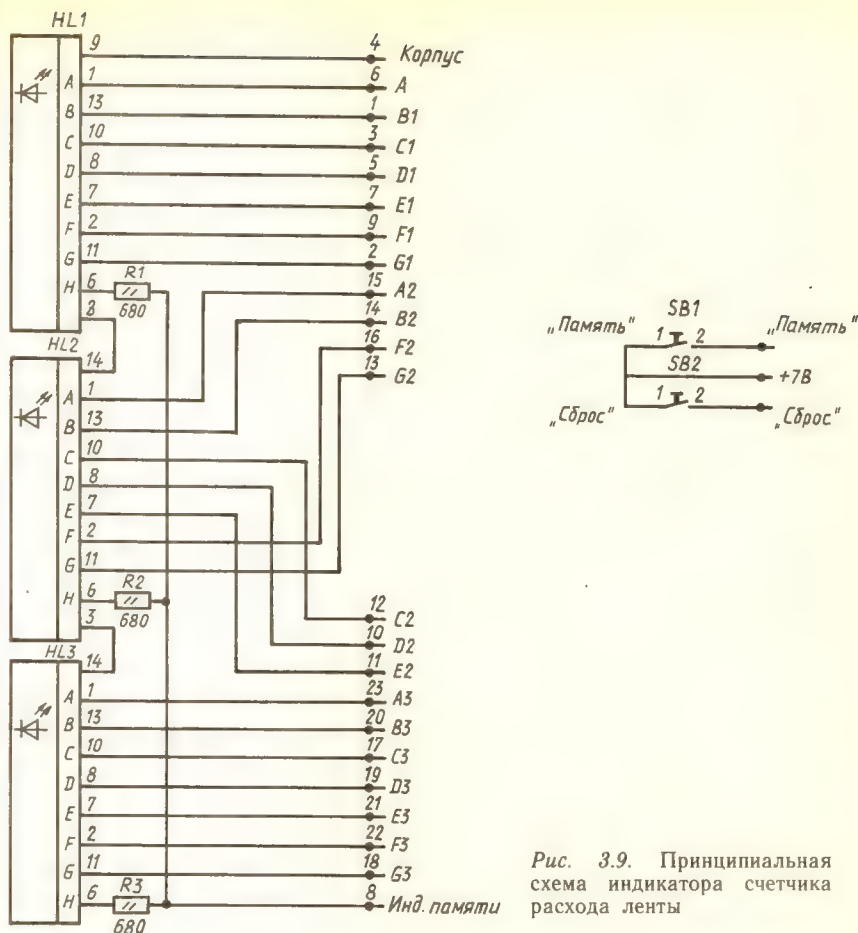


Рис. 3.9. Принципиальная схема индикатора счетчика расхода ленты

DD19 (вывод 7) при наличии разрешения по цепям VD17 (режим «Перемотка влево») и VD13 («Память» включена).

2. Режим «Временный стоп»

Команда с БУИ-12 через контакт 7 разъема XS8 поступает на вход С триггера DD13.2, который через инвертированный выход 2 (вывод 2) обнуляет входы 4,8 распределителя DD17. При этом в МЛП происходит выключение двигателя ЭД2 (подмотка) и выключение электромагнита ЭМ2. Режим «Временный стоп» включается автоматически при переводе магнитофона в режим «Запись» путем подачи команды «Воспроизведение» с разъема XS8 на вход S микросхемы DD13.2. Неинвертируемый выход триггера DD13.2 (вывод 1) используется для индикации режима «Временный стоп».

Выключается режим «Временный стоп» подачей «1» на вход R микросхемы DD13.2 при включении режима «Стоп» (через диод DV14), при включении режима «Перемотка вперед» (через VD18) и при вклю-

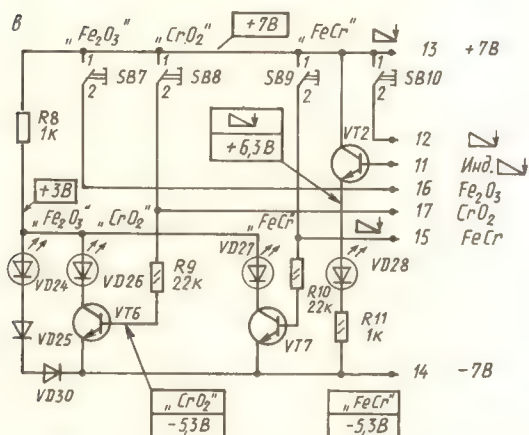
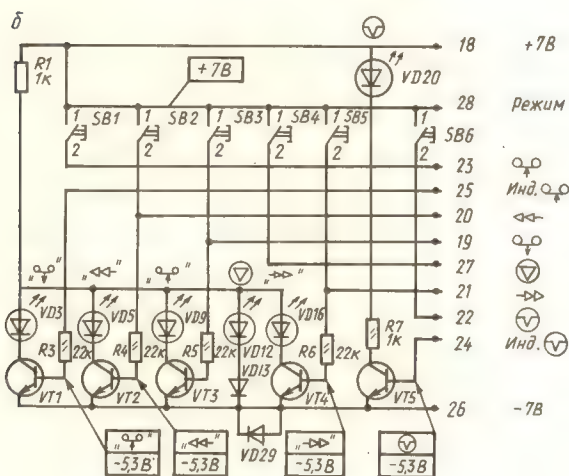
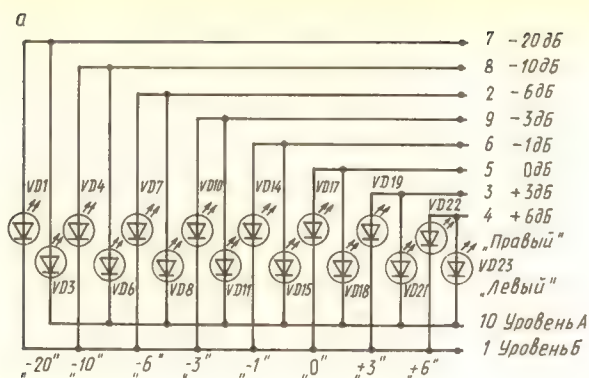


Рис. 3.10. Принципиальная схема блока индикации:
а — схема индикации уровней; б — схема индикации режимов; в — схема индикации типа лент и включения шумопонижения

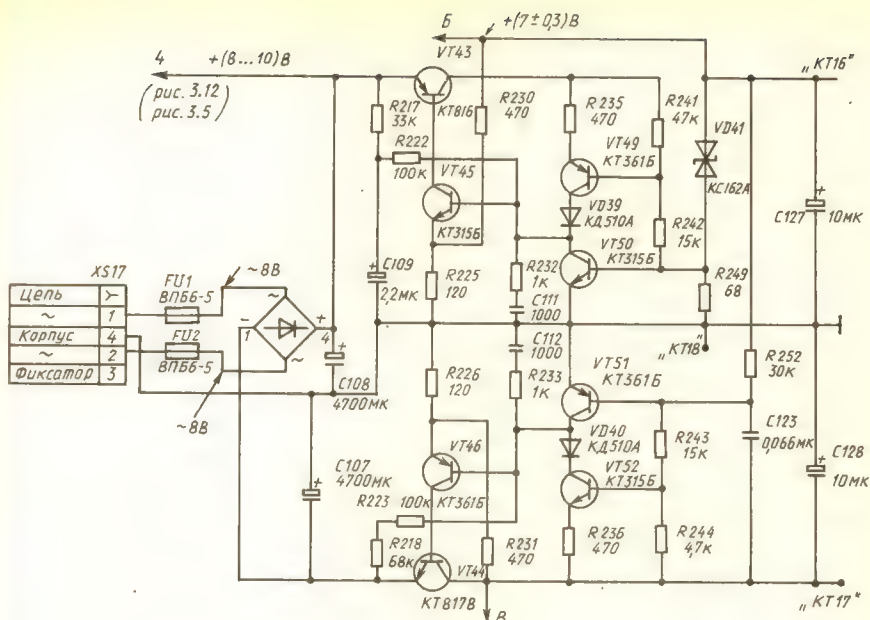


Рис. 3.11. Принципиальная схема блока питания

чении режима «Перемотка назад» (через $VD19$). Надежность переключения триггера $DD13.2$ обеспечивается цепью задержки $R93, R91, C61$.

3. Режим «Воспроизведение»

Сигнал команды поступает с блока БУИ-12 через контакт 10 разъема $XS8$ на микросхему $DD6$, работающую в качестве многофазного триггера. На выходе 1 (вывод 14) устанавливается «1», которая через логический элемент $DD12.1$ поступает на распределитель $DD17$, открывающий ключи электромагнитов ЭМ1, ЭМ2 и включающий схему управления двигателем подмотки ЭД2.

Распределитель необходим для распределения по времени и обеспечения очередности включения электромагнитов и двигателя подмотки. Обеспечение временных циклов срабатывания электромагнитов осуществляется цепями $R94, R95, C78, R99, R105$ и $C77$. Момент подмотки регулируется резистором $R118$, изменяющим напряжение смещения на базе транзисторов $VT20, VT22$. Электромагнитом ЭМ1 управляет ключ на транзисторах $VT18, VT21, VT24$, а электромагнитом ЭМ2 — $VT16, VT19, VT25$.

Пока распределитель не отработает очередной цикл, соответствующий поданной команде, ключи на микросхеме $DD15$ и транзисторах $VT26, VT27$ не пропускают сигналы на выход магнитофона и на индикацию уровня сигналов. Управление этими ключами осуществляется с выхода 9 (вывод 5) микросхемы $DD17$ через диод $VD25$. Такая система обеспечивает подавление щелчков при переключении режимов работы. В режиме «Воспроизведение» с распределителя $DD17$ подается команда на включение двигателя ЭД2 в режиме подмотки и производится очередное срабатывание электромагнитов МЛП; электромагнита ЭМ1,

обеспечивающего начальный подвод каретки с ПР, ГУ и ГС к тонвалу и магнитной ленте; электромагнита ЭМ2, обеспечивающего окончательный прижим ПР к тонвалу и ГУ, ГС к ленте. При этом обеспечивается номинальный режим движения ленты и считывания фонограммы с ленты магнитной головкой.

Триггер DD5.1, управляющий режимами «Запись-воспроизведение» в усилителе записи и шумоподавителе, устанавливается в исходное состояние, при котором на выходе 1 зафиксирована логическая 1, а на выходе 2 — логический 0. Эти управляющие напряжения запирают ключи VT1, VT2, тем самым подключая концы обмотки ГУ к выходам

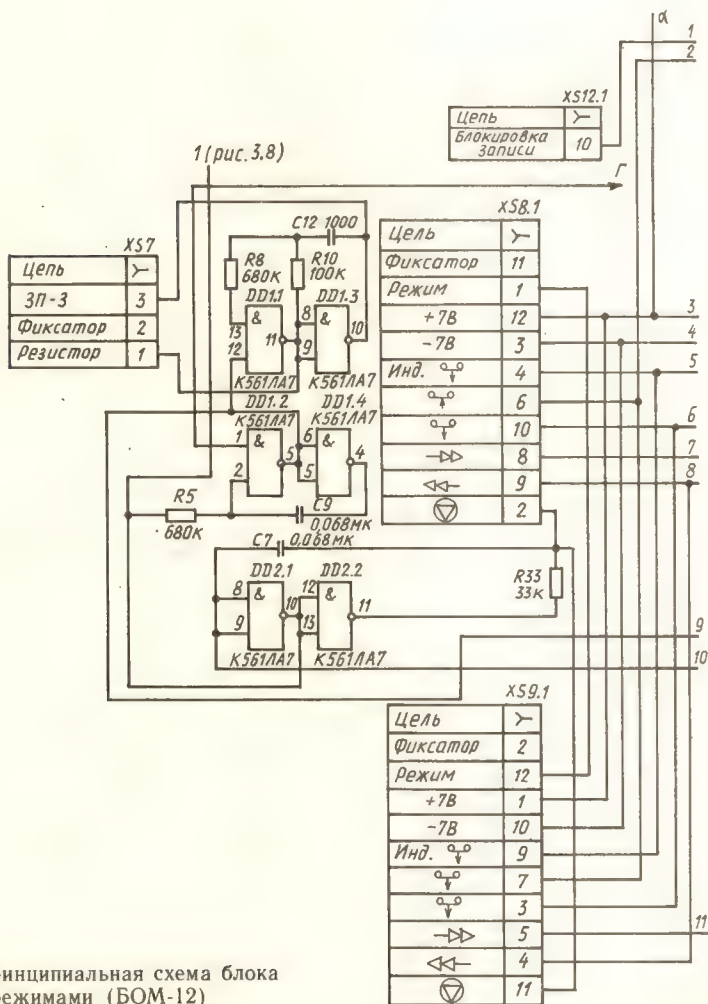
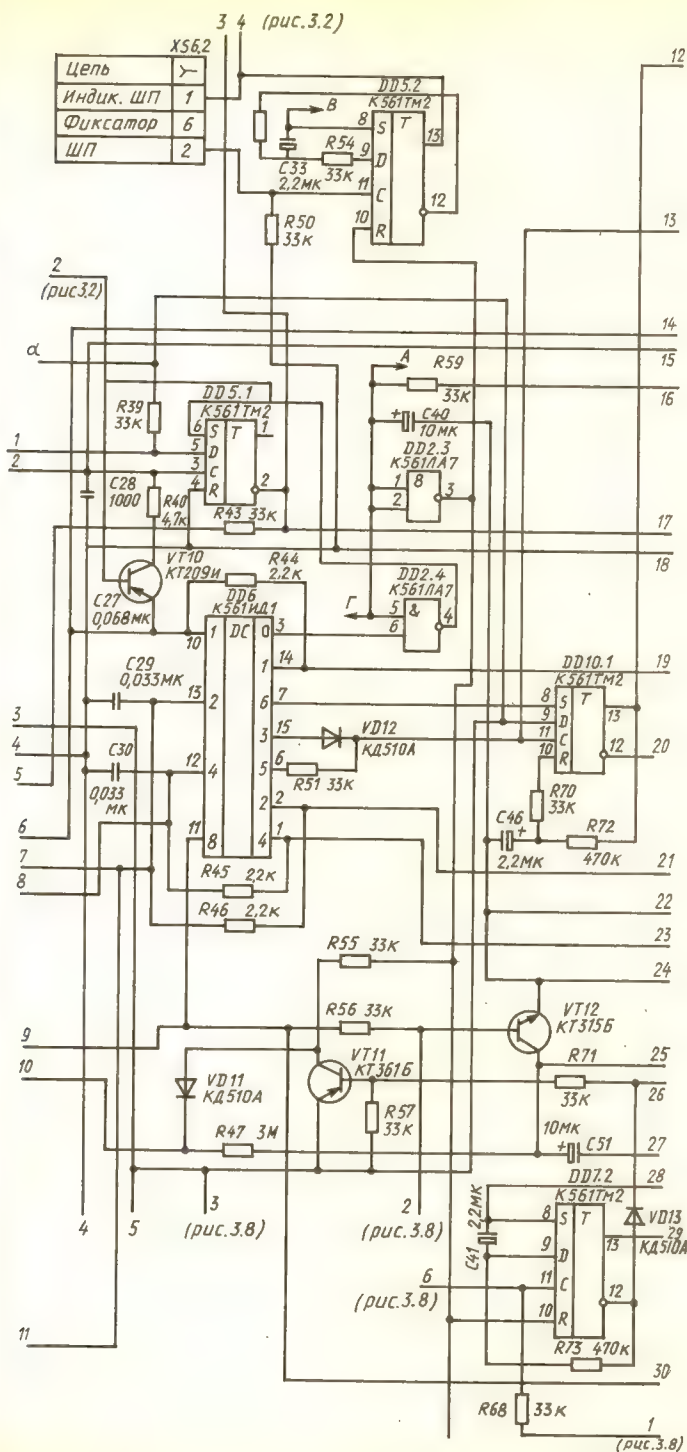
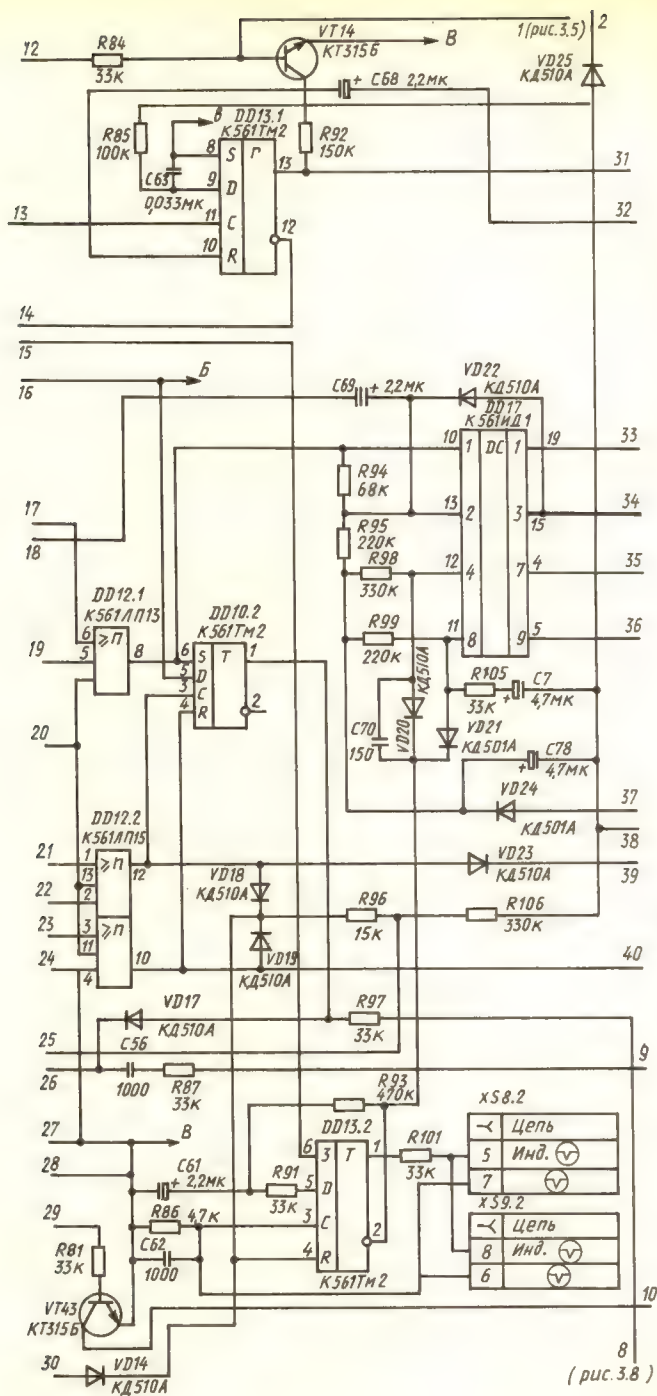


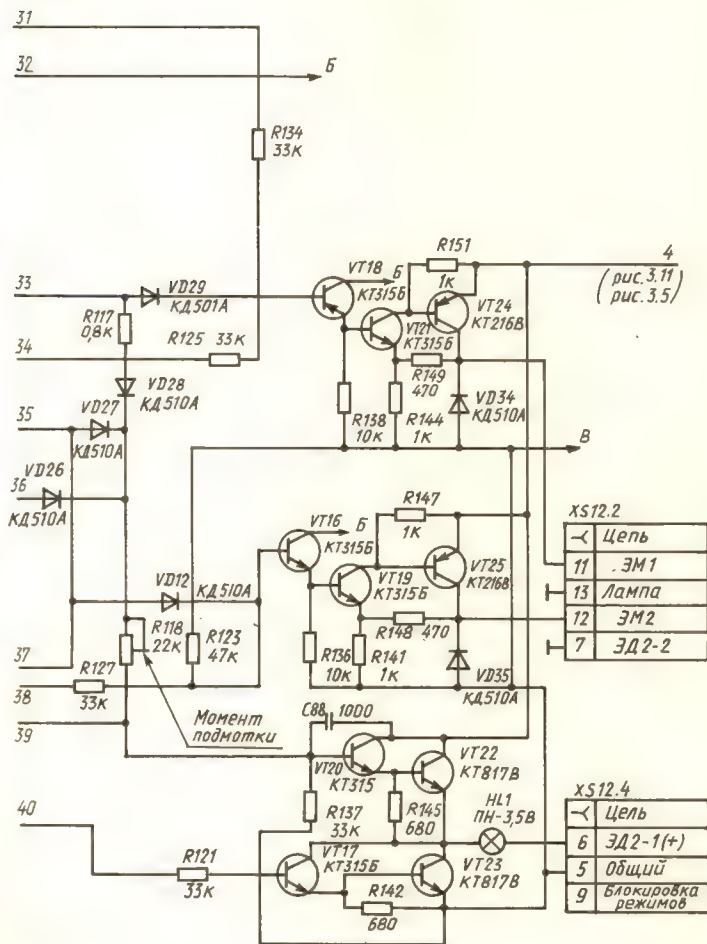
Рис. 3.12. Принципиальная схема блока управления режимами (БОМ-12)





усилителя воспроизведения, одновременно открывая ключи VT5, VT6, чем достигается подключение начала обмоток ГУ к общему проводу.

В режим «Воспроизведение» переводятся также микросхемы DD4, 9, 15.



4. Режим «Запись»

Команда поступает через контакт 6 разъема XS8 на вход триггера DD5.1, который во всех остальных режимах установлен в состояние, при котором на выходе 1 зафиксирована «1». Появившийся на неинвертируемом выходе 0 закорачивает через транзистор VT10 вход 1 микросхемы 6 и через транзисторы VT1, VT2 входы микросхемы DA1. Этот же «0» через ключ VT9 включает питание на генератор стирания и подмагничивания. Логическая 1 на инвертированном выходе триггера

DD5.1 служит для индикации режима «Запись» (через 4 разъема XS8), включения микросхем в режим «Запись» (DD4, DD9, DD15) и закрывания ключей на транзисторах VT5, VT6.

5. Режим «Перемотка назад»

Сигнал команды через контакт 8 разъема X8 поступает на вход 2 (вывод 13) микросхемы DD6. На выходе 2 (вывод 2) устанавливается 1, которая через DD12.2 включает схему управления электродвигателем перемотки в режим «Перемотка вперед». В этом режиме полностью открываются транзисторы VT20, VT22 и половина напряжения питания подается на электродвигатель ЭД2 через лампу накаливания HL1, ограничивающую пусковой ток.

6. Режим «Перемотка назад»

Команда подается через контакт 9 разъема XS8 на вход 4 (вывод 12) микросхемы DD6. На выходе 4 (вывод 1) этой микросхемы устанавливается логическая 1, которая через DD12.2 включает схему управления электродвигателем перемотки в режим «Перемотка назад», при этом полностью открываются транзисторы VT17, VT23 и половина напряжения питания, но другой полярности, подается на электродвигатель ЭД2.

В режимах «Перемотка» с элементов DD12 логическая 1 подается на триггер DD10.2, выдающий команду направления счета на микросхеме счетчика расхода ленты (выводы 10 микросхем DD11, DD16, DD19; см. рис. 3.7).

Для предотвращения ложного срабатывания при переходе с режима на режим применен одновибратор, собранный на микросхеме DD10.1, резисторах R70, R72 и конденсаторе C46. Одновибратор обеспечивает задержку около 0,7 с.

7. Режим переключения типов лент

Команды с кнопок типов лент поступают через разъем XS6 на микросхему DD21 через резисторы R17 и R18, одновременно включая цепи индикации указанных режимов. Выходные цепи этой микросхемы производят коммутацию элементов коррекции АЧХ усилителя записи. Величину токов подмагничивания для выбранных типов лент устанавливают с помощью резисторов R25, R30.

8. Режим включения шумоподавителя

Команда на включение подается через разъем XS6.2 на триггер DD5.2, который через коммутатор на микросхеме DD9 обеспечивает необходимую коммутацию. С инвертированного выхода микросхемы DD5.2 сигнал подается в блок БУИ-12 на индикацию включения шумоподавителя.

9. Режим «Память» счетчика расхода ленты

Сигнал команды поступает на вход триггера DD7.2 и обнуляет его инвертированный выход. Теперь импульс переноса с выхода счетчика «СО» (DD19) получает доступ к базе транзистора VT11 через R87, C56. Доступ открывается только в режиме «Перемотка назад», так как в других режимах на базе VT11 появляется логическая «1» от триггера направления счета DD10.2 через диод VD17. Импульс переноса открывает транзистор автостопа VT11 и через VD11, R47 заряжает конденсатор C51, обеспечивающий задержку примерно 5с. Когда конденсатор C51 зарядится, срабатывает одновибратор, собранный на элементах DD2.1, DD2.2, C7, R33. Сформированный импульс поступает на вход 8 (вывод 11) микросхемы DD6, и магнитофон переводится в режим «Стоп».

3.2. МАГНИТОФОН-ПРИСТАВКА «ЭЛЕКТРОНИКА МП-204-СТЕРЕО»

Бытовой, стационарный, односкоростной, стереофонический магнитофон с электронно-логическим управлением и питанием от сети переменного тока напряжением 220 В предназначен для записи и воспроизведения стереофонических и монофонических программ с применением магнитных лент типов МЭК I, МЭК II и МЭК III в кассетах типа МК-60. Прослушивание фонограмм возможно через внешний усилитель низкой частоты и на головные телефоны непосредственно с магнитофона.

Основные технические данные

Номинальная скорость движения ленты, см/с	4,76
Среднее отклонение скорости, %, не более	$\pm 2,0$
Рабочий диапазон частот на линейном выходе, Гц, не уже	
для ленты типа МЭК I	40...12 500
для ленты типа МЭК II	40...14 000
для ленты типа МЭК III	40...18 000
Полное взвешенное отношение сигнал/шум, дБ, не менее	43
Коэффициент нелинейных искажений на линейном выходе по третьей гармонике, %, не более	2,5
Выходное напряжение на линейном выходе, В	$0,5 \pm 0,1$
Потребляемая мощность, Вт, не более	31
Масса, кг, не более	8
Габаритные размеры, мм, не более	$460 \times 145 \times 360$

Описание электрической принципиальной схемы

Функционально электрическую схему магнитофона можно разделить на три части: ЛПМ с устройством управления; блок усилителей; блок питания. Схема соединений блоков, плат и узлов представлена на рис. 3.13. На схеме (в магнитофоне) приняты следующие условные обозначения:

- A1 — блок питания (БП);
- A2 — блок управления режимами (БУР);
- A3 — механизм лентопротяжный (МЛП);
- A4 — блок управления (БУ);
- A5 — блок индикации расхода ленты (БИРЛ);
- A6 — блок индикации уровня записи и воспроизведения (БИУ);
- A7, A10 — фильтр динамический шумопонижающий (ФДШ);
- A8 — усилитель записи окончный (УЗО);
- A9 — блок коммутации комбинированный (БКК);
- A11 — генератор стирания и подмагничивания (ГСП);
- A12 — усилитель воспроизведения (УВ).

Рассмотрим более детально работу блоков магнитофонов.

Усилитель воспроизведения (УВ) предназначен для предварительного усиления сигналов от универсальной головки с заданной АЧХ до уровня 0,1 В и дальнейшего усиления сигнала до уровня 2,5 В в усилителе с линейной частотной характеристикой (рис. 3.14).

УВ построен на двух аналоговых микросхемах D3 (типа K157УЛ1А), D2 (типа K157УД2) и электронных ключах микросхемы D1 типа K157КП1В.

Схема работает следующим образом. Сигнал с универсальной головки через цепочку C14 (C15), R15 (R17) поступает на вход 2(6) микросхемы

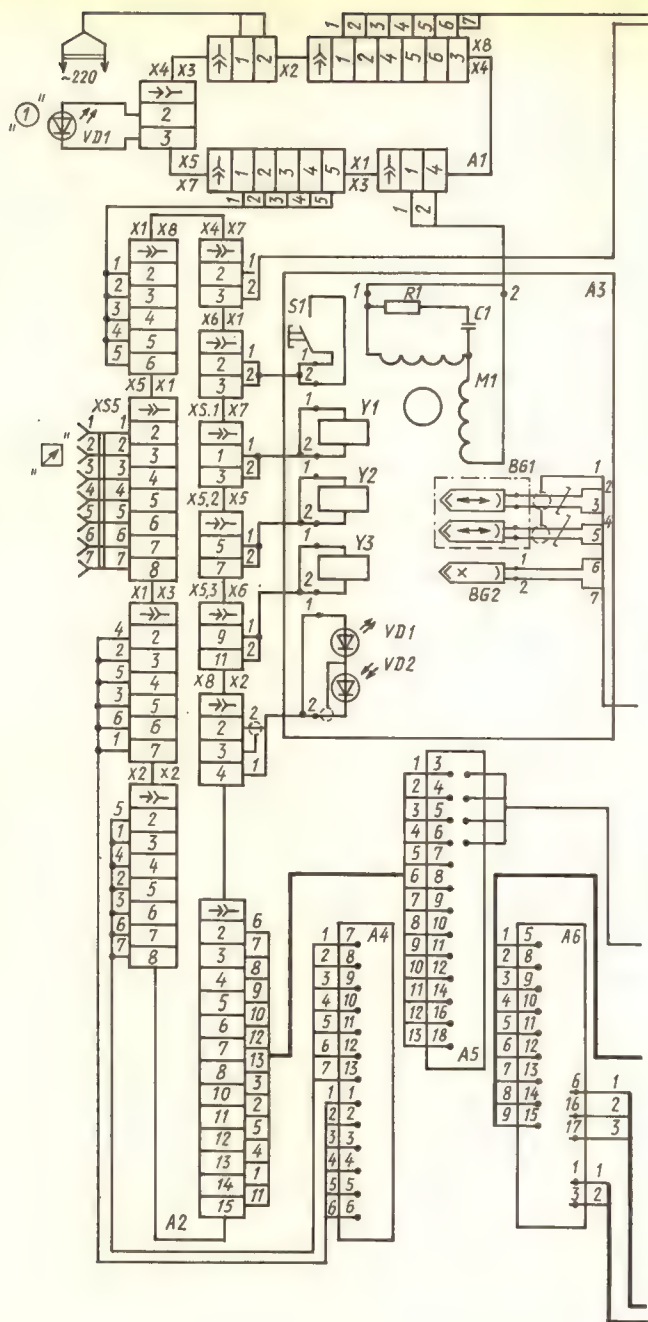
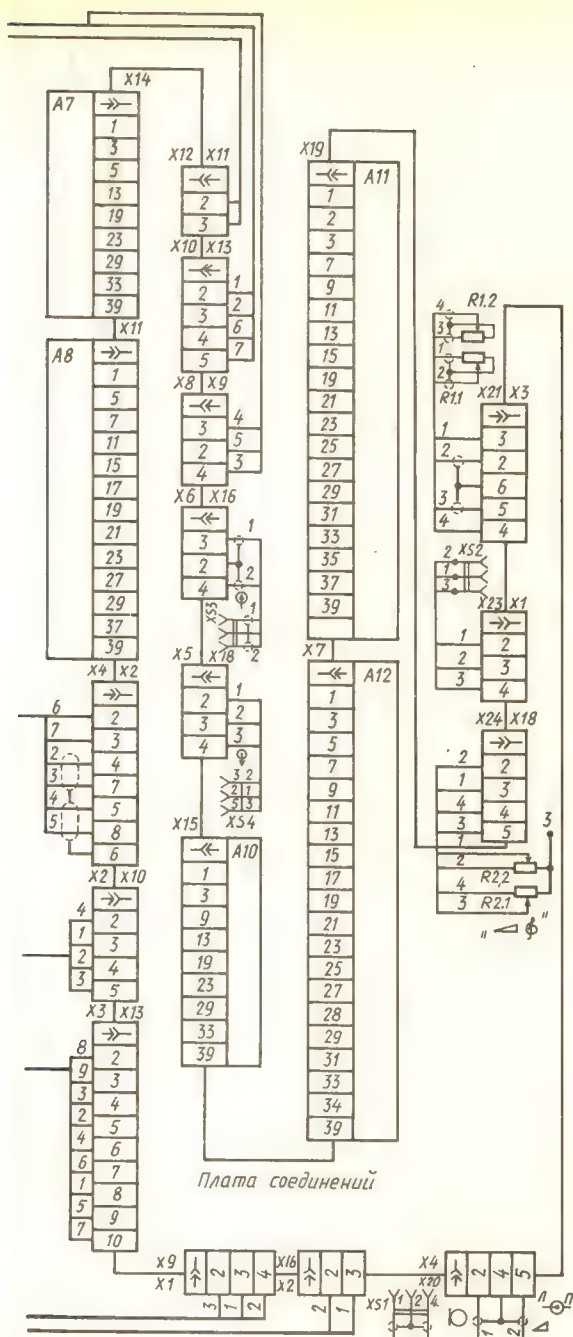


Рис. 3.13. Электрическая функциональная схема



магнитофона «Электроника МП-204-стерео»

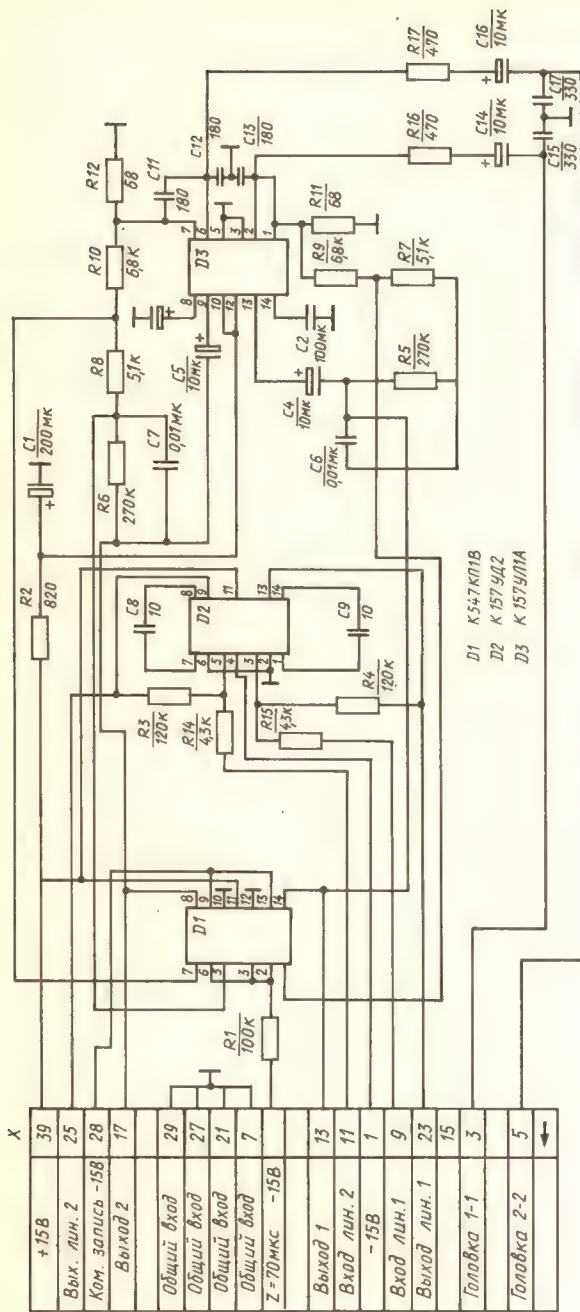


Рис. 3.14. Принципиальная схема усилителя воспроизведения

D3, выполняющей функции предварительного усилителя с коррекцией АЧХ. Коррекция АЧХ производится цепочкой *R5, C6, R7, R9* (*R6, C7, R8, R10*). Причем параллельная часть цепочки формирует АЧХ в области нижних частот, общую для всех лент, а последовательная — в области верхних частот для лент типа МЭК I (режим *Fe*). При наличии команды «*Cr*» или «*Fe-Cr*» на выводе 2(6) микросхемы *D1* последняя выводами 1, 3 (5, 7) шунтирует резистор *R7* (*R8*). В этом случае АЧХ усилителя формируется последовательной цепочкой *C6, R9* (*C7, R10*) для лент типа МЭК II и МЭК III (режимы «*Cr*» и «*Fe-Cr*»). При установке магнитофона в режим «Запись» выход предварительного УВ соединяется с общим проводом.

После предварительного усиления сигнал поступает на БКК и затем через резистор *R15* (*R14*) подается на инверсный вход усилителя с линейной АЧХ (*D2*). Коэффициент усиления этого усилителя определяется соотношением величин сопротивлений *R4* (*R3*) и *R15* (*R14*).

Фильтр динамический шумопоглощающий предназначен для понижения шумов на линейном выходе магнитофона. Шумоподавитель построен на двух микросхемах типа К157УД2, сборке из двух полевых транзисторов КР504НТ1Б и транзисторах КТ3107В и КТ3107Е (рис. 3.15).

Устойчивая работа ФДШ осуществляется при наличии на его входе сигнала уровнем 0,5 В. Цепочкой *C1, R4* происходит выделение высокочастотной составляющей сигнала и ее обработка на управляемом фильтре нижних частот в зависимости от амплитуды высокочастотной составляющей. Управляемый фильтр собран на сборке полевых транзисторов *D1* с частотно-зависимыми цепями *R7, C4, C5, R10, C3, C9*. На одном операционном усилителе из микросхемы *D2* происходит вычитание низкочастотной составляющей из исходного сигнала. Полученный в результате вычитания высокочастотный сигнал усиливается микросхемой *D3*.

Пороговой схемой на *D1, D2* сигнал обрабатывается, подается на компаратор (*D3*), детектируется диодами *VD4, VD5* и поступает на затворы полевых транзисторов для управления фильтром нижних частот. Компенсация нелинейных искажений, вносимых ФДШ, производится резистором *R8*, а частота среза устанавливается резистором *R27*.

Усилитель записи оконечный (рис. 3.16) предназначен для формирования тока записи в универсальной головке. УЗО двухканальный и выполнен на операционном усилителе *D4* типа К157УД2 и электронных ключах микросхем *D1, D2, D3* типа К154КП1. Работает усилитель следующим образом.

Кроме усиления УЗО должен обеспечить заданную форму частотной характеристики. Формирование АЧХ осуществляется цепочкой *R20, C6, R24, R23, C10, C14* (*R19, C5, R21, R22, C9, C11*), включенной в цепь обратной связи. Цепь *R20, C6* формирует АЧХ в области нижних частот, а двойной Т-образный мост *R24, R23, C10, C14* (*R21, R22, C9, C11*) — в области верхних частот.

При изменении типа ленты формирование АЧХ происходит в два этапа. На первом этапе АЧХ формируется входными цепями *R2, C2, R5, R6, R10, C4* (*R1, C1, R4, R3, R9, C3*). При подаче на вывод 13 (2) команды «*Cr*» «—15В» электронный ключ *D1* выводами 14, 12 (1, 3) подключает резистор *R5* (*R4*) входной цепи к общему проводу. При подаче команды «*Fe-Cr*» «—15В» на вывод 13 (2) микросхемы *D2* происходит подключение выводами 14, 12 (1, 3) той же микросхемы резисторов *R6, R10* (*R3, R9*) к общему проводу.

На втором этапе происходит изменение коэффициента передачи операционного усилителя на микросхеме *D4*. При наличии команды «*Cr*» «—15В» на выводе 9 (6) ключа *D3* его выводы 10, 8 (5, 7) подключают

резистор $R14$ ($R13$) параллельно резистору $R16$ ($R15$), изменяя тем самым глубину отрицательной обратной связи. При наличии команды «Fe-Cr» «-15В» на выводе 13 (2) микросхемы $D3$ к резистору $R16$ ($R15$) выводами этой микросхемы 14, 12 (1, 3) подключается резистор $R12$ ($R11$).

Наряду с усилительными УЗО выполняет функции формирования сигналов «Ком. запись +15В» и «Ком. запись -15В». При наличии сигнала «Ком. запись +5В» на базе транзистора $VT2$ блока коммутации (рис. 3.20) последний открывается и на его коллекторе формируется напряжение, равное 0В. Это напряжение поступает на вывод 6 электронного ключа $D1$ платы УЗО, который формирует выводами 5, 7 сигнал «Ком. запись +15В», поступающий на контакт 21 разъема X и на вывод 9 этой же микросхемы. В результате этого размыкаются контакты 10 и 8, а на контакте 23 разъемы X формируется сигнал «Ком. запись -15В».

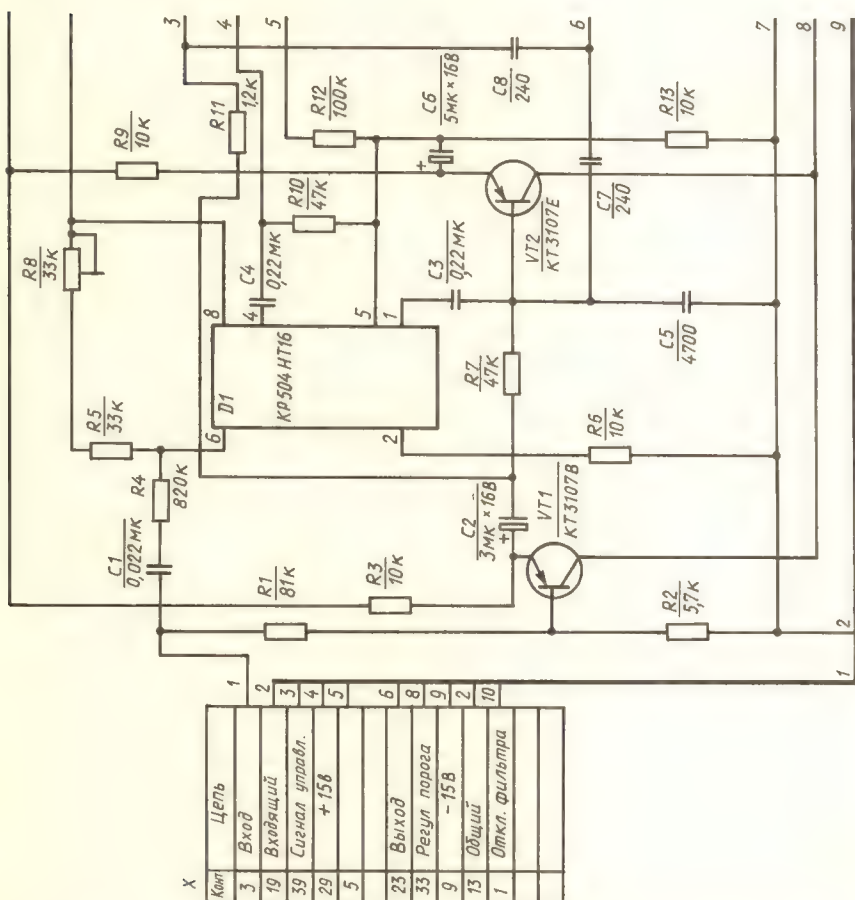
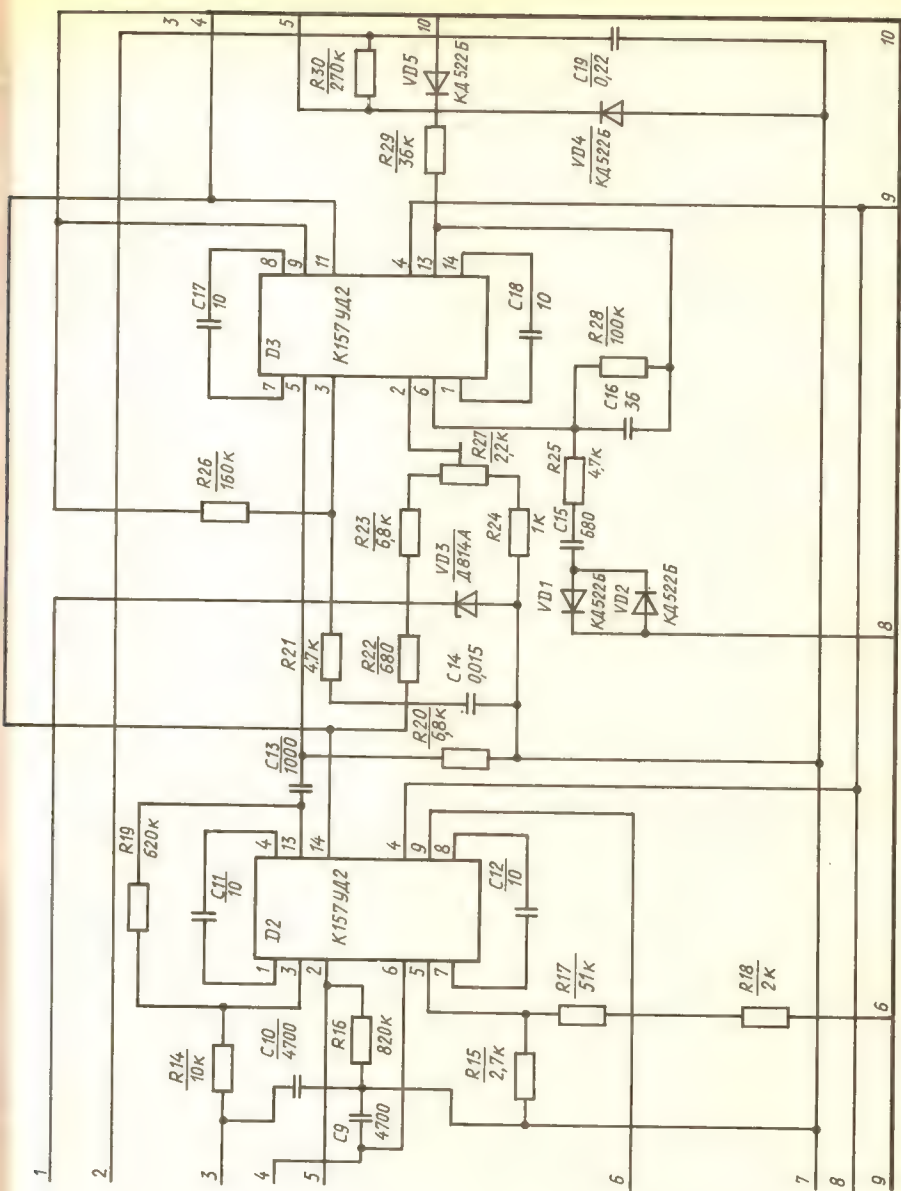


Рис. 3.15. Принципиальная схема динамического фильтра шумопонижения



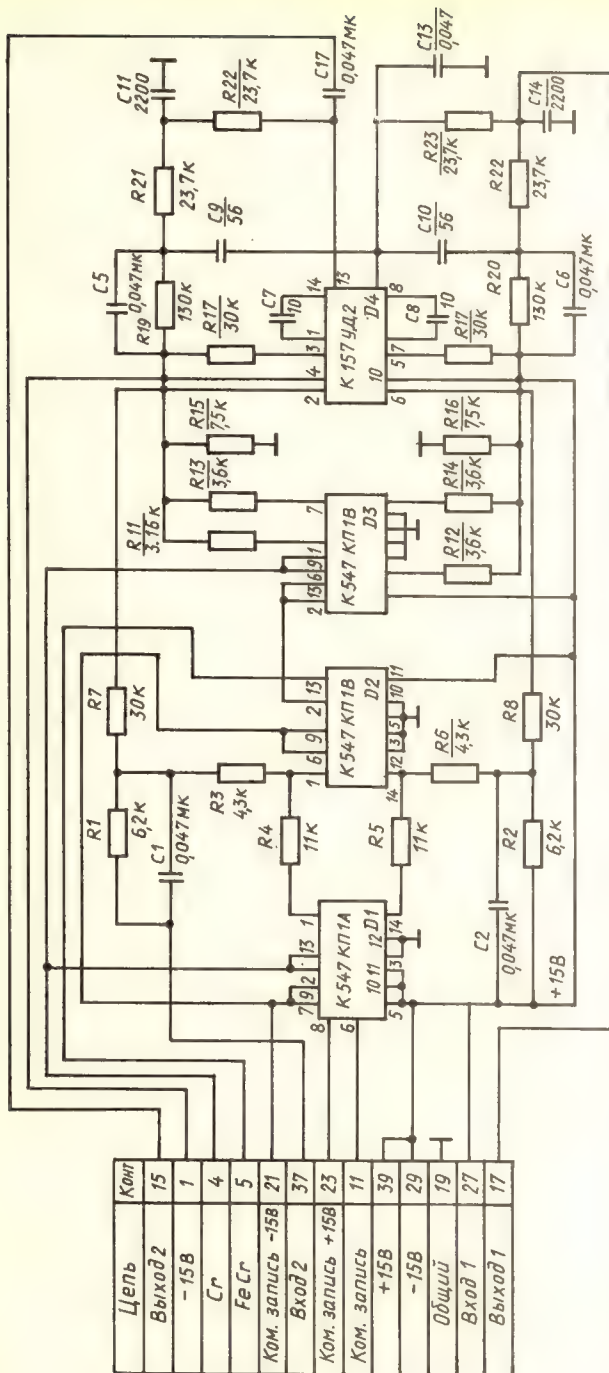


Рис. 3.16. Принципиальная схема оконечного усилителя записи

Генератор стирания и подмагничивания смонтирован на плате вместе с телефонным усилителем (УТ). Схема ГСП с УТ приведена на рис. 3.17. Генератор выполнен по двухтактной схеме на транзисторах *VT2* и *VT3* и работает в импульсном режиме. Включение генератора производится подачей сигнала «Ком. запись + 15В» на базу транзистора *VT1*, работающего в ключевом режиме. Положительный потенциал на базе транзистора открывает его, тем самым соединяя эмиттеры транзисторов *VT2* и *VT3* с общим проводом и приводя генератор в рабочее состояние.

Частотно-задающий контур генератора образуется индуктивностями универсальной головки *BG1* и обмотки 1—3 трансформатора *T*, а также конденсаторами *C4*, *C5*. Режим генерации обеспечивается напряжением положительной обратной связи, снимаемой с обмотки 4—5 трансформатора, а напряжение подмагничивания снимается с обмотки 6—8.

Величина тока подмагничивания задается напряжением питания генератора, которое, в свою очередь, определяется величинами резисторов *R3*, *R13*, *R14*, коммутируемых транзисторами *VT5*, *VT6*, расположенными в БКК (рис. 3.20) и управляемыми командами с переключателя типов лент в БИРЛ (рис. 3.19).

Выходное напряжение генератора устанавливается такой величины, чтобы в режиме «*Cr*» напряжение на стирающей головке было не менее 20 В. Частота тока генератора выбрана равной $80 \text{ кГц} \pm 8 \text{ кГц}$.

Для получения качественной записи должны быть установлены следующие величины токов подмагничивания: в режиме «*Cr*» не менее 1 мА, в режиме «*Fe-Cr*» не менее 0,76 мА, в режиме «*Fe*» не менее 0,56 мА.

Телефонный усилитель собран на одной плате с ГСП и предназначен для усиления сигналов звуковой частоты до величины, необходимой для нормальной работы головных телефонов типа ТДС-1. Схема двухканального телефонного усилителя выполнена на двух операционных усилителях *D1*, *D2* типа К157УД1. Сигнал через цепочку *R7*, *C6* (*R15*, *C11*) подается на инверсный вход микросхемы *D1* (*D2*). Коэффициент передачи усилителя определяется соотношением сопротивлений резисторов *R5*, *R7* (*R11*, *R15*).

Блок индикации уровней (рис. 3.18) предназначен для индикации уровней сигнала в левом и правом каналах магнитофона и для формирования команд «*Fe*», «*Fe-Cr*», «*Cr*», «Микрофон» и «Шумоподаватель». Конструктивно блок выполнен на двух печатных платах. На одной плате установлены все основные элементы схемы, а на второй — переключатели для подачи команд. Для визуальной индикации в схеме использован вакуумно-люминесцентный индикатор типа ИЛТ6-30М, который работает совместно со специализированной микросхемой *D3* типа КР1534ПП1.

Схема работает следующим образом. Входные сигналы поступают на интегрирующие цепи *VD3*, *R5*, *R7*, *C3* (*VD4*, *R6*, *R8*, *C4*). Пронтегрированные сигналы подаются на входы 21, 22 внутреннего коммутатора *DA3* и с выхода 18 на вход 2 усилителя *DA2.1*. Этот усилитель охвачен обратной связью. В цепь обратной связи включен транзистор *VT3* (КТ315И) и подстроечный резистор *R17*. Элементы обратной связи позволяют регулировать начальную чувствительность каналов среднего уровня и получить логарифмический вид передаточной характеристики усилителя на *DA2.1*. Это необходимо для согласования входных уровней с градуировкой шкалы индикатора. С выхода 13 микросхемы *DA2.1* сигнал подается на вывод 17 микросхемы *DA3* (вход пороговых устройств). Сигналы включения сегментов индикаторов формируются на выходах 30...45 микросхемы *DA3*.

Транзистор *VT4* (КП303Б) обеспечивает работу коммутатора, а элементы *C9*, *R16* определяют частоту коммутаций. Источники тока, выпол-

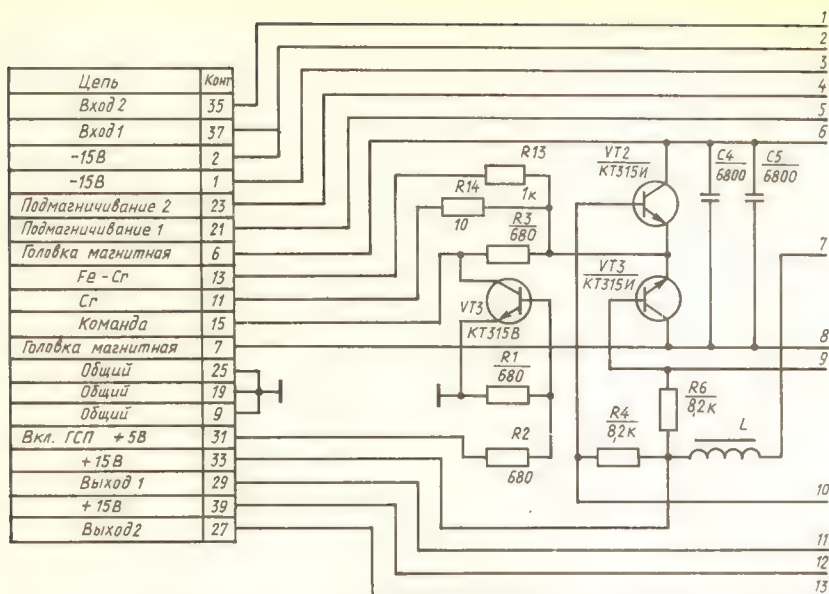


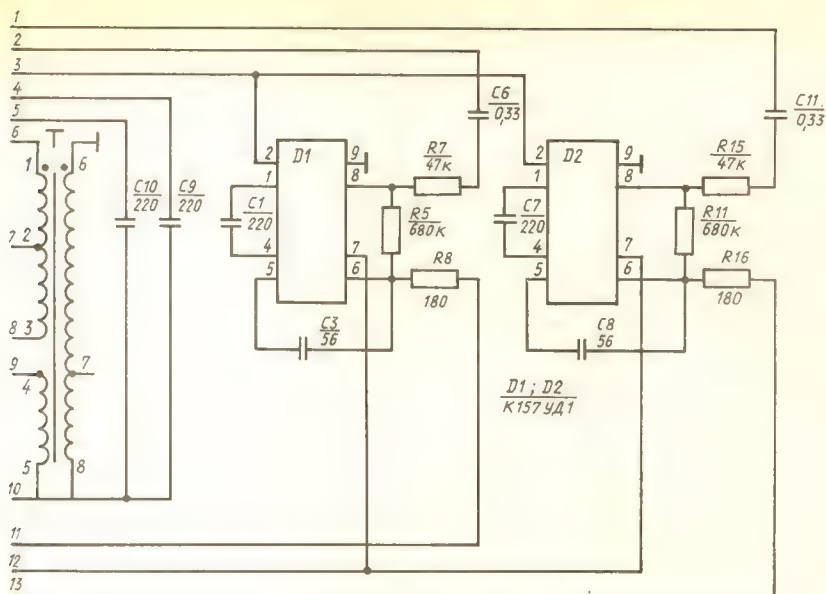
Рис. 3.17. Принципиальная схема генератора стирания и подмагничивания и телефонного усилителя

ненные на транзисторах $VT1$, $VT2$ (2Т209М), обеспечивают нормальную работу микросхемы $DA3$.

Интегрирующие цепи $VD5$, $R9$, $C5$, $R11$ ($VD6$, $R10$, $C6$, $R12$) и повторитель на микросхеме $DA2.2$ используются для индикации пиковых уровней.

Блок индикации расхода ленты (рис. 3.19) состоит из электронного счетчика и индикатора. Электронный счетчик выполнен на микросхемах типа М86. Счетная часть блока выполнена на микросхемах $DD1...DD3$, а на микросхеме $DD4$ выполнен делитель на 10. На вход делителя (вывод 05 микросхемы $DD4$) поступают прямоугольные импульсы соответствующего формирователя БУР (рис. 3.21), и счетчик просчитывает каждый импульс. Каждый разряд счетчика выполнен на микросхеме, которая представляет собой декадный реверсивный счетчик с встроенной схемой памяти и дешифратором для семисегментного кода индикатора. При подаче на вывод 16 микросхемы потенциала +15В счет производится в прямом направлении, то есть происходит суммирование счетных импульсов. При подаче на вывод 16 потенциала 0В или -15В счет производится в обратном направлении. Индикация состояний электронного счетчика осуществляется трехразрядным вакуумно-люминесцентным индикатором HG , каждый разряд которого представляет собой семи-сегментный знак.

При переходе какого-либо разряда счетной части из состояния 9 в состояние 0, или наоборот, на выводе 13 микросхемы этого разряда формируется отрицательный импульс переноса. В момент совпадения текущего значения счетчика с состоянием, записанным в схему памяти, на выводе 14 формируется отрицательный потенциал. Импульс переноса счетчика и потенциал, выработанный схемой памяти, используются



формирователем БУР для выработки сигнала «Программный авто-останов».

Блок коммутации комбинированный (БКК) (рис. 3.20) определяет цепи прохождения сигналов между блоками магнитофона и осуществляет необходимую коммутацию при изменении режимов работы. Рассмотрим работу схемы БКК в режиме «Воспроизведение».

Сигнал звуковой частоты с магнитной головки поступает на вход усилителя воспроизведения платы УВ (см. рис. 3.14). С выхода усилителя сигнал через контакты 13 (17) платы, резисторы R14 (R18), регулирующие уровень воспроизведения, открытые ключи микросхемы DA2, выводы 7, 5 (1, 3) — поступает на вход линейного усилителя платы УВ через контакты 9 (11) разъема X7. С выходов линейного усилителя УВ через контакты 23 (25) платы УВ, через подстроечные резисторы R48, R51 поступает на БИУ (разъем X16) и через резистивные делители R35, R36, (R47, R46), разъемы X14 (X15) — на входы ФДШ. С выходов ФДШ через открытые ключи 12, 14 (8, 10) микросхемы DA1 (БКК) сигнал поступает на линейный выход через резисторы R2.1, R2.2 на вход телефонного усилителя.

Команда включения линейного выхода подается с БУР (рис. 3.21) через разъем X12 на базу транзистора VT1 (БКК), который открывается и формирует на затворах ключей (выводы 13, 9 микросхемы DA2) напряжение — 15В.

Команды переключения типов лент подаются с БИУ через разъем X13 на выводы 2, 9, 13 микросхемы DA3 (БКК), и на выводах 1, 8, 12 формируются управляющие напряжения, которые подаются на УВ, УЗО, ГСП.

В режиме «Запись» сигнал по блоку коммутации проходит следующим образом.

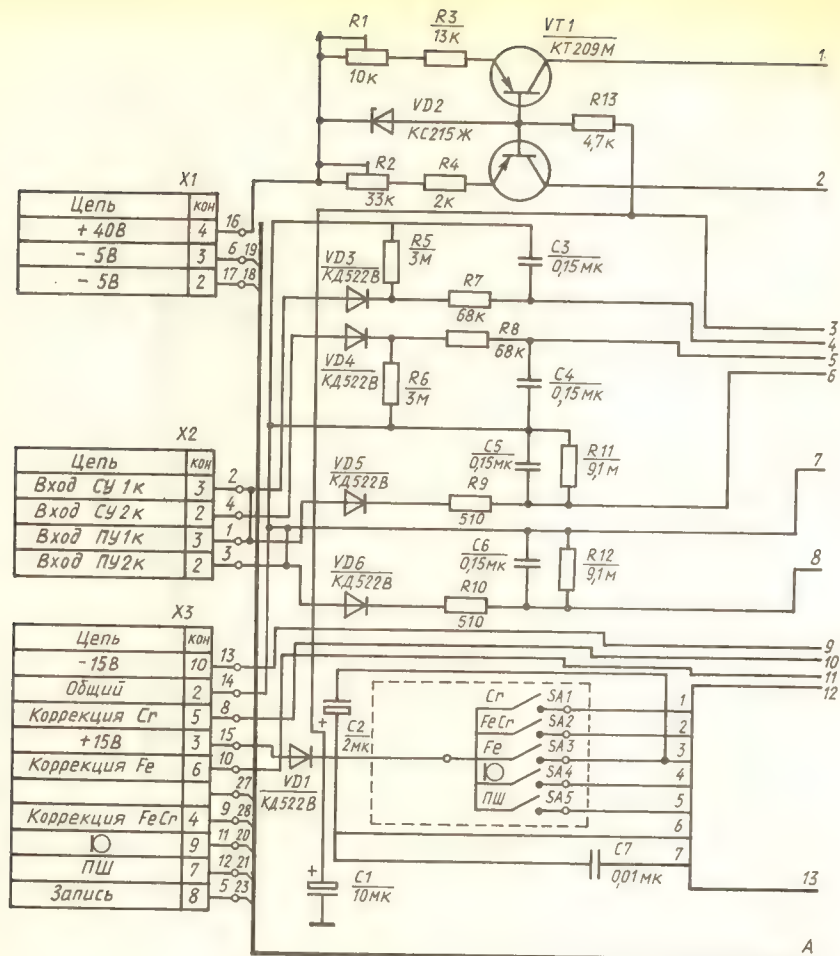
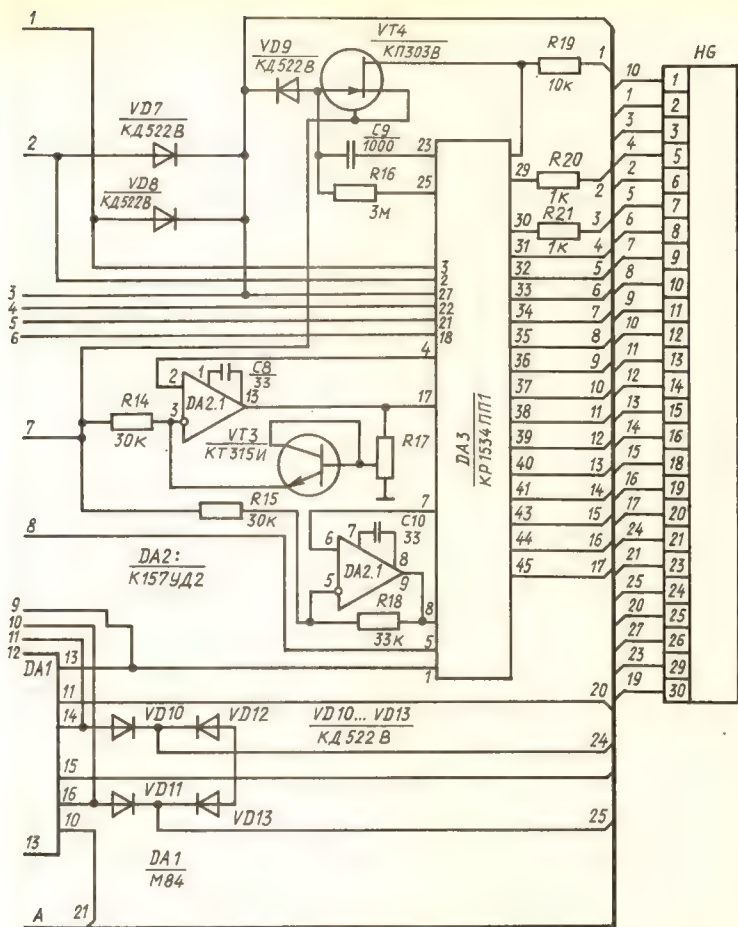


Рис. 3.18. Принципиальная схема блока индикации уровней

Команда «Запись» «+5 В» подается с БУР через разъем X12 на базу транзистора VT2 БКК, на коллекторе которого напряжение становится равным 0В, и этот потенциал подается на контакт 11 платы УЗО. Одновременно команда «+5 В» через этот же разъем подается на базу транзистора VT3, который открывается и запитывает обмотки реле K1, K2, установленных на БКК. Контакты этих реле замыкают на корпус выводы магнитной головки, используемые при воспроизведении, и размыкают выходную цепь оконечного усилителя записи.

Входной сигнал через выводы 7, 5 (8, 10) открытых ключей микросхемы DA7 (режим «Лин. выход») или выводы 10, 8 (14, 12) микросхемы DA4 (вход «Микрофон») подается на предварительный усилитель записи, собранный на микросхеме DA5 на плате БКК. Коэффициент усиления предварительного усилителя с помощью ключей микросхемы



DA6 изменяется в зависимости от величины коэффициента передачи цепи отрицательной обратной связи.

С выхода 9 (13) микросхемы DA5 сигнал поступает на регуляторы уровня записи R1.1, R1.2 и через выводы 14, 12 (8, 10) микросхемы DA2 — на входы линейной части усилителя воспроизведения. С выхода UB напряжение, величина которого зависит от положения движков регуляторов уровня записи, поступает на ФДШ и на входы УЗО через выводы 1, 3 (5, 7) микросхемы DA1. Подстроечными резисторами R6 (R8) устанавливают ток записи при регулировке.

Установку тока подмагничивания при работе с различными типами лент производят с помощью транзисторов VT5, VT6, управление которыми осуществляют подачей напряжений с платы БИУ.

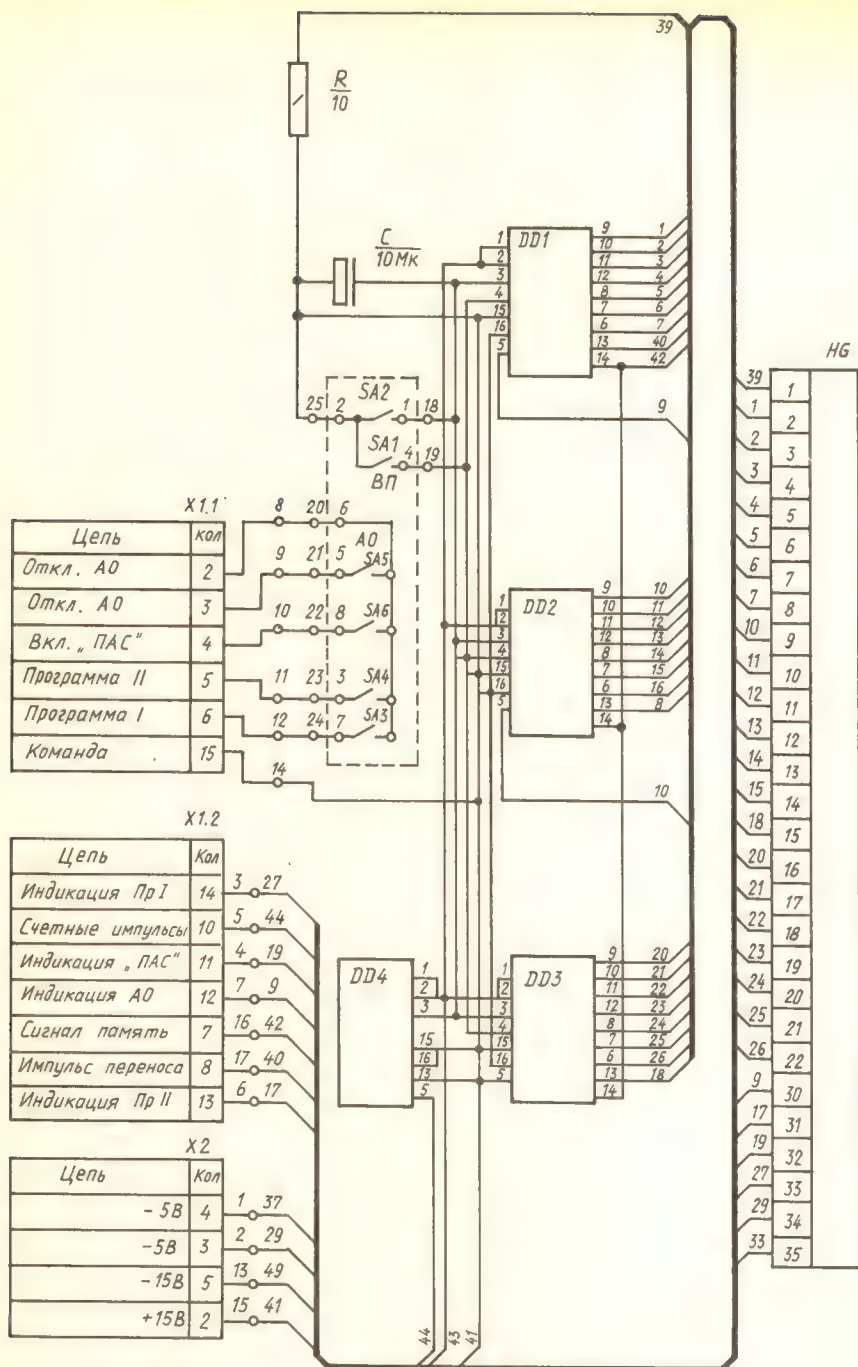


Рис. 3.19. Принципиальная схема индикации расхода ленты

Блок управления режимами (рис. 3.21) предназначен для управления режимами МЛП магнитофона. В состав блока входят: микроконтроллер на большой интегральной микросхеме типа К145ИК1906, обеспечивающий логическое управление режимами; токовые ключи управления электромагнитами; ключи индикации режимов; устройство задержки; коммутатор режимов; формирователь импульсов фотодатчика и сигнала «Автоостанов»; формирователь сигнала «Программный автоостанов».

Включение любого режима или переход из одного режима в другой осуществляются через коммутатор, выполненный на микросхемах *DA1*, *D2.1* типа К157КП1А. Нажатием кнопки на блоке управления подается напряжение «— 15 В» на один из затворов ключей микросхем *D1* или *D2.1* (выводы 2, 6, 9, 13 микросхемы *D1* или вывод 13 микросхемы *D2.1*) полевых транзисторов коммутатора. При этом соответствующий сигнал с выходов микросхемы *D3* (выводы 44, 45, 46, 47) подается на соответствующий вход (выводы 39, 41), а на одном из выходов *D3* (выводы 27, 28, 29) вырабатывается напряжение «+ 15В». Это напряжение подается на один из токовых ключей, выполненных на транзисторах *VT3*, *VT10*, *VT13* типа КТ315Г и *VT2*, *VT11*, *VT12* типа КТ815В, который включает выбранный режим. При наличии управляющего напряжения на входе контроллера на выводах 14, 16, 17, 20 вырабатывается импульсное напряжение, управляющее ключами индикации, выполненными на транзисторах *VT1*, *VT5*, *VT6*, *VT7*, *VT8* типа КТ315Г.

Включение режима на передней панели сопровождается загоранием светодиода, соответствующего выбранному режиму. Сигналы индикации режимов «Автоостанов», «Программный автоостанов», «Программа I», «Программа II» подаются с выходов контроллера (выводы 22, 23, 25, 26) на вакуумно-люминесцентный индикатор НГ1, который входит в состав блока индикатора расхода ленты (БИРЛ).

Включение усилителя записи, генератора стирания и подмагничивания и линейного выхода магнитофона производится при наличии соответствующих команд с микроконтроллера ключами, выполненными на транзисторах *VT4*, *VT9* типа КТ315Г.

Для предотвращения сбоев в работе блока в схеме предусмотрено устройство задержки, которое обеспечивает выдержку паузы между подачей и выдачей команд микроконтроллером. Устройство задержки выполнено на транзисторах *VT14*, *VT17* типа КТ814В, *VT15* типа КТ3107.

Формирователь импульсов фотодатчика и сигнала «Автоостанов» выполнен на микросхемах *D2.2* и *D4* типа К157КП1А. Формирователь представляет собой триггер Шмитта, вырабатывающий из сигналов фотодатчика последовательность прямоугольных импульсов при движении магнитной ленты. Прямоугольные импульсы с формирователя (вывод 8 микросхемы *D4*) поступают на вход электронного счетчика платы БИРЛ.

С конденсатора *C12* снимается сигнал «Автоостанов» и подается на вывод 37 микроконтроллера. Сигнал формируется при остановке узлов МЛП, например, при окончании ленты в кассете, при намотке ленты на ось тонвала и т. д., и представляет собой экспоненциально нарастающее напряжение на конденсаторе *C12* при его заряде от источника напряжения +15 В через резистор *R50*. При движении ленты и узлов МЛП конденсатор *C12* не успевает зарядиться до напряжения, необходимого для срабатывания автоостанова.

Сигнал команды «Программный останов» формируется на транзисторах *VT19*, *VT21* типа КП304А. Формирователь вырабатывает импульсы отрицательной полярности в момент поступления импульса переноса с электронного счетчика БИРЛ на затвор транзистора *VT21* или при поступлении отрицательного потенциала на затвор транзистора *VT19*,

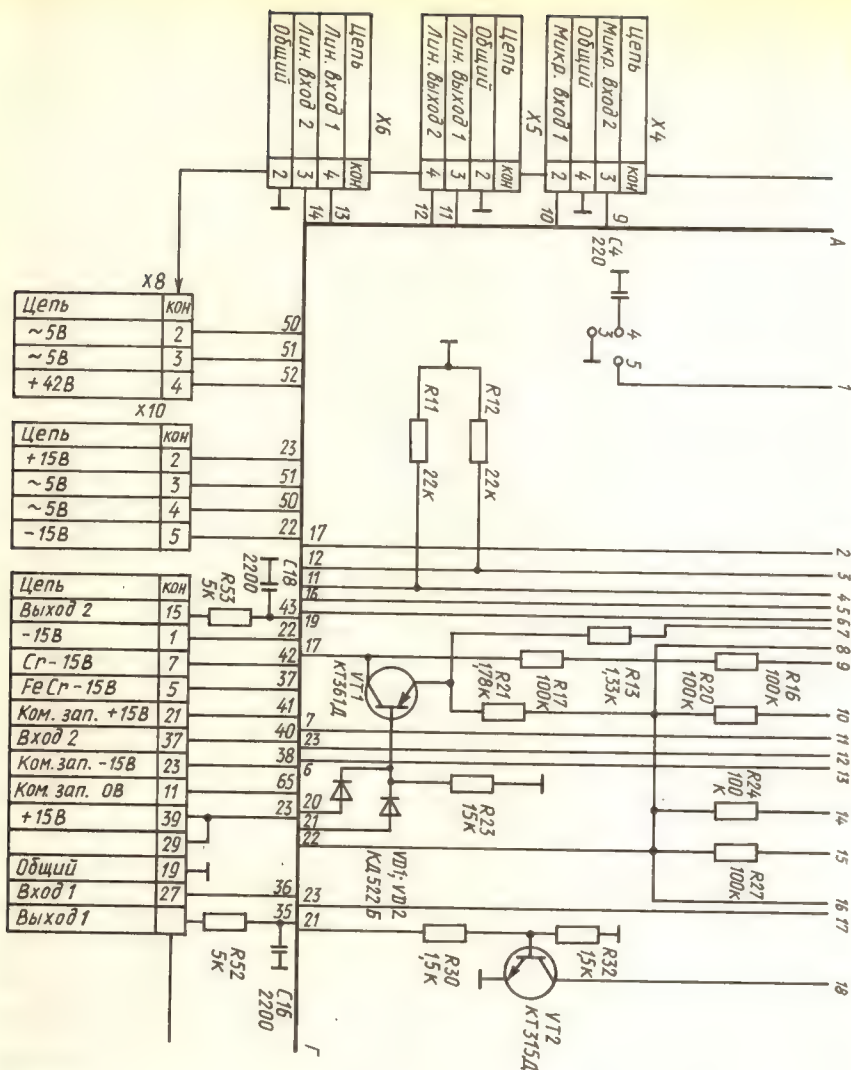
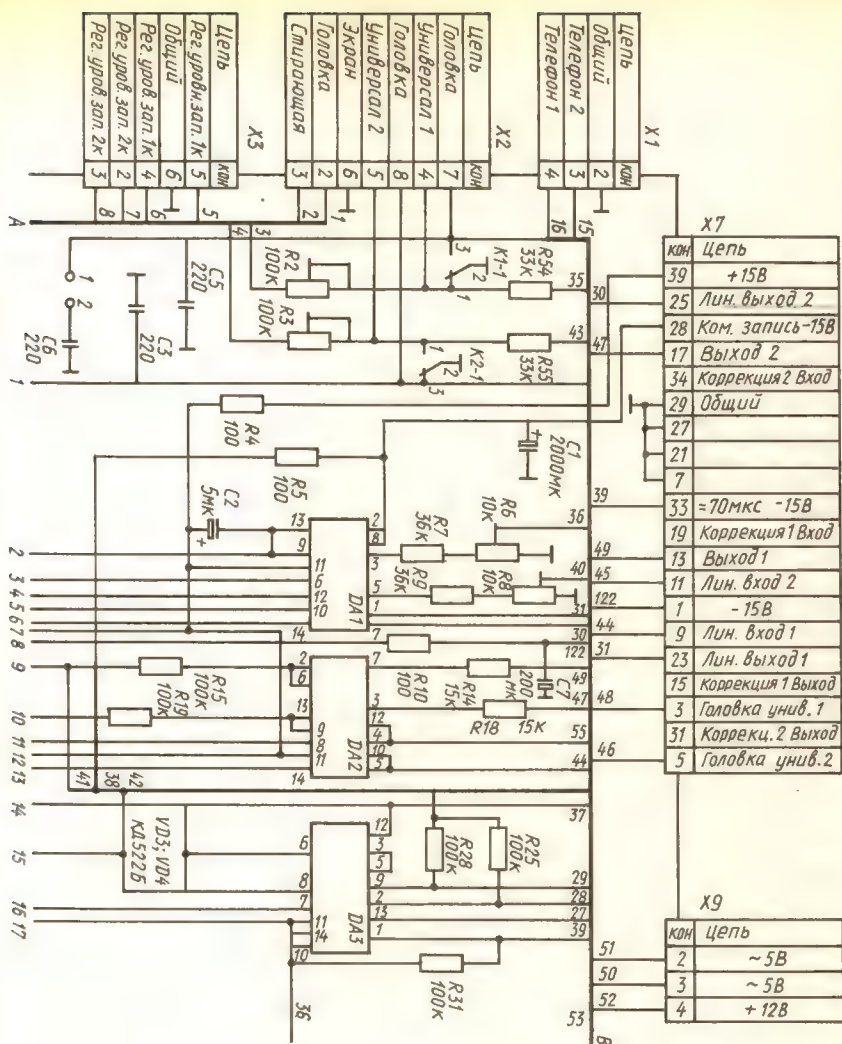


Рис. 3.20. Принципиальная схема комбинированного блока индикации



вырабатываемого электронным счетчиком. С выхода формирователя команды «Программный останов» импульсы поступают на вывод 36 микроконтроллера.

Блок питания (рис. 3.22) вырабатывает стабилизированное напряжение ± 15 В и нестабилизированные напряжения +10 В, +42 В и переменное напряжение 5 В.

Выпрямители стабилизатора на ± 15 В выполнены на диодных мостах VD1, VD2 типа КЦ412В и фильтрующих конденсаторах C1, C2...C5.

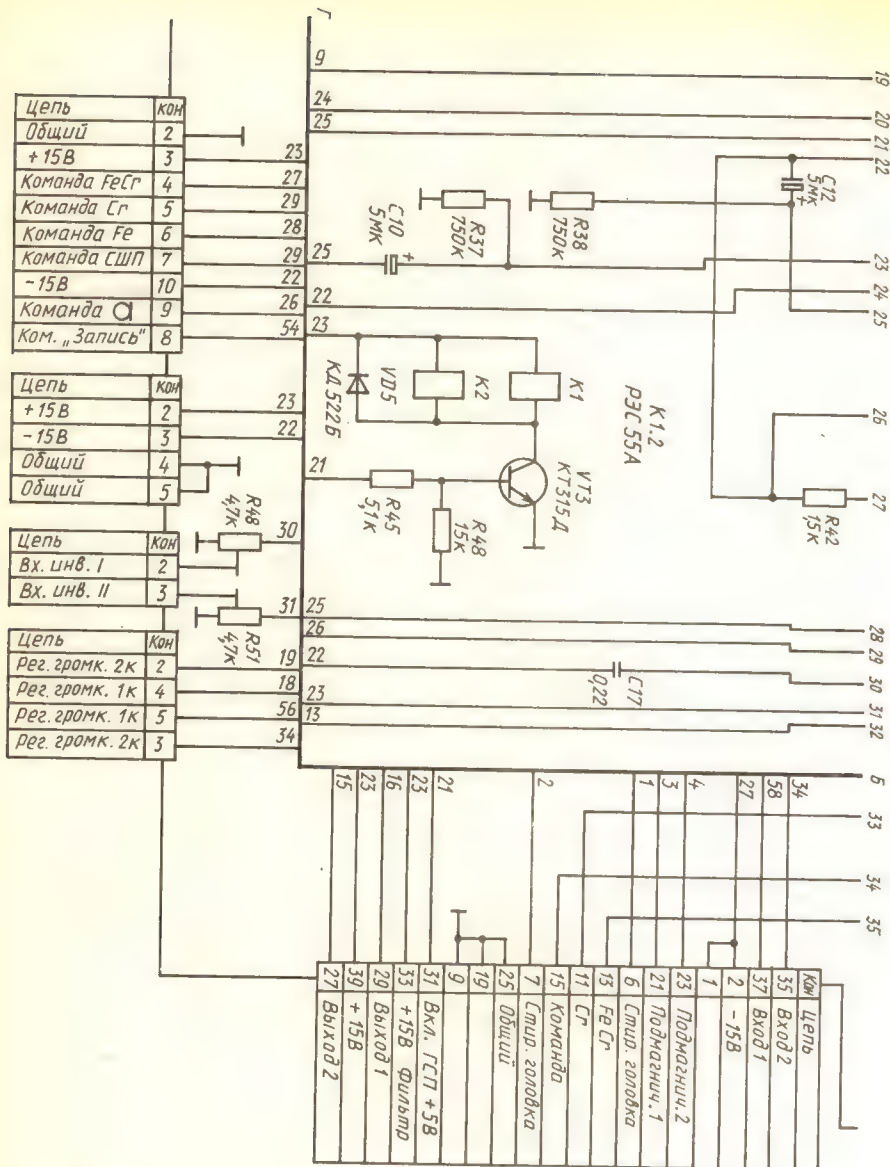
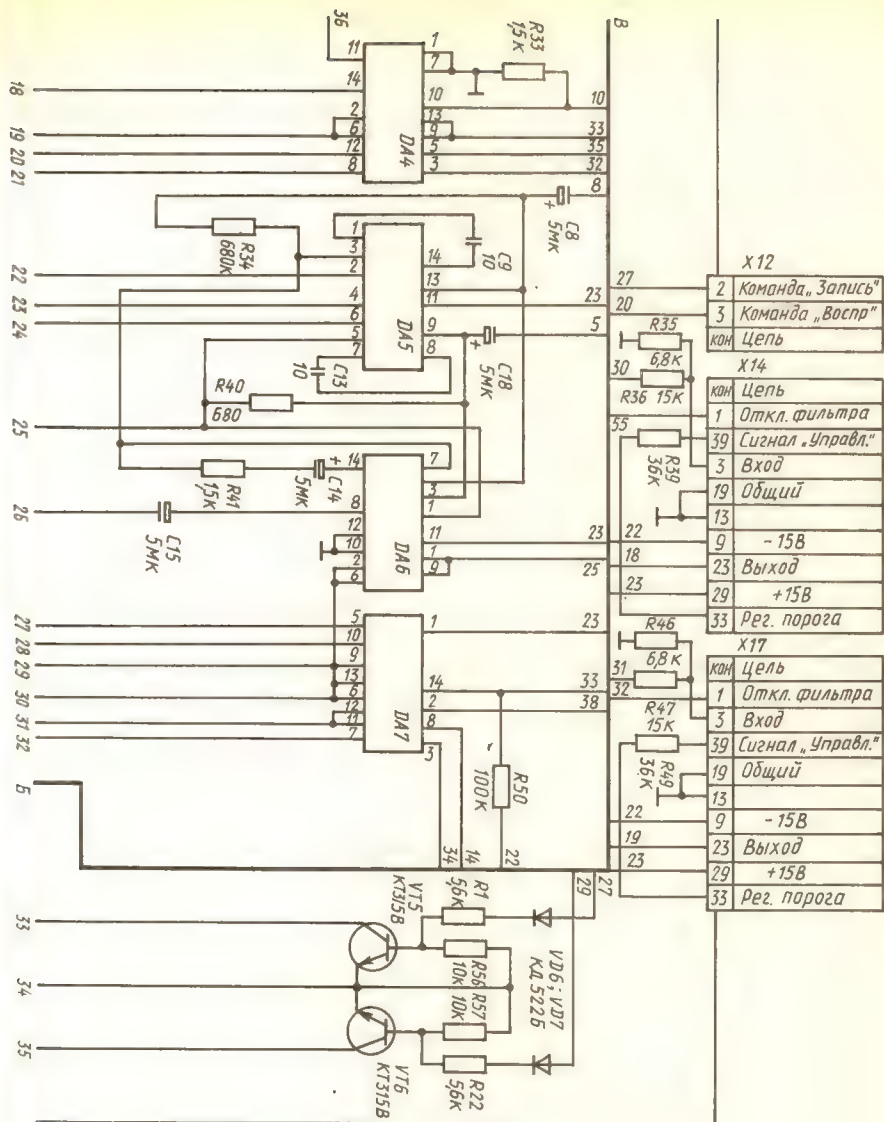


Рис. 3.20

Стабилизаторы напряжения, примененные в блоке компенсационного типа, построены по классической схеме: регулирующий транзистор, управляющий транзистор, схема сравнения. Схемы сравнения обоих плеч стабилизатора собраны на микросхеме DA1 типа K157UD2. Эталонное напряжение задается только для стабилизатора напряжения положительной полярности (VD8 типа KC210Б). Эталонным напряжением для стабилизатора -15 В служит выходное напряжение стабилизатора



+15 В. Для установки выходного напряжения +15 В служит резистор R10.

Источники напряжения +10 В и +42 В выполнены по однополупериодной схеме выпрямления.

Ниже приводятся таблицы с напряжениями на выводах транзисторов и микросхем по платам магнитофона.

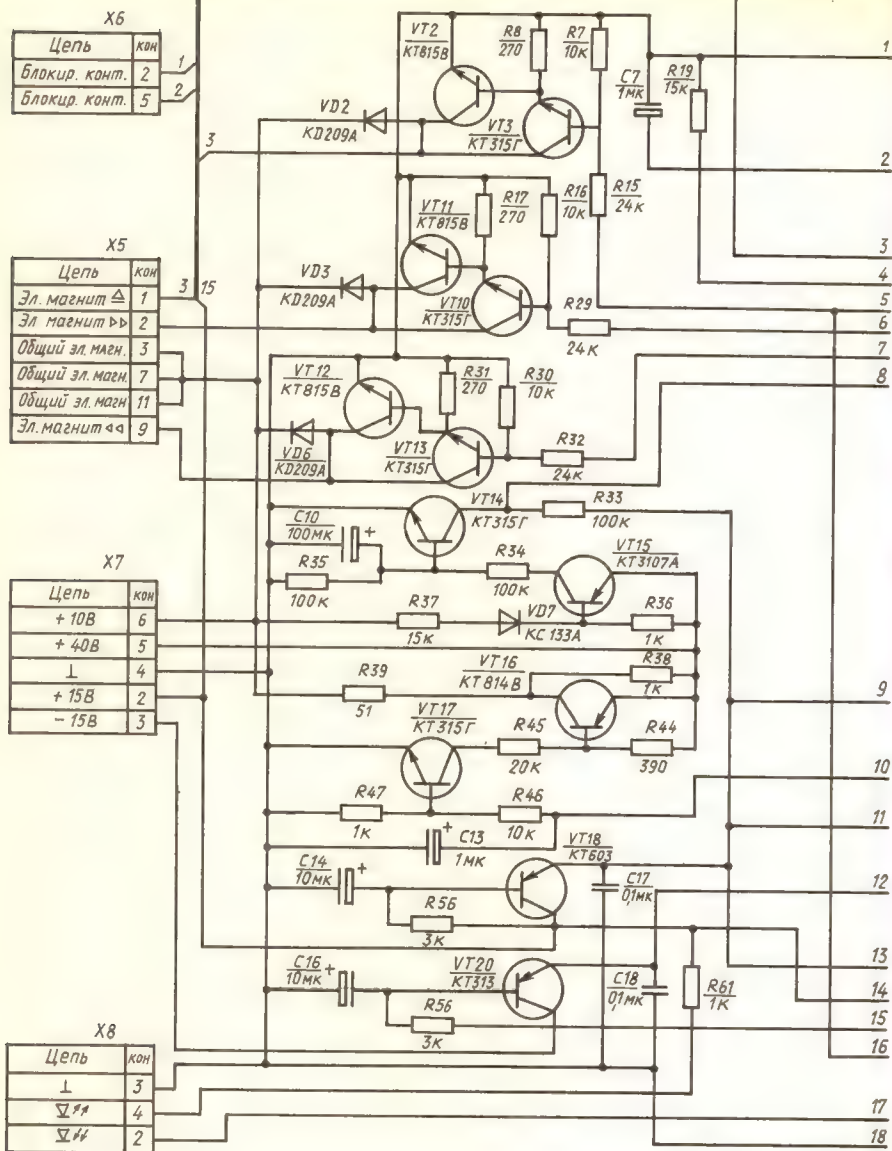
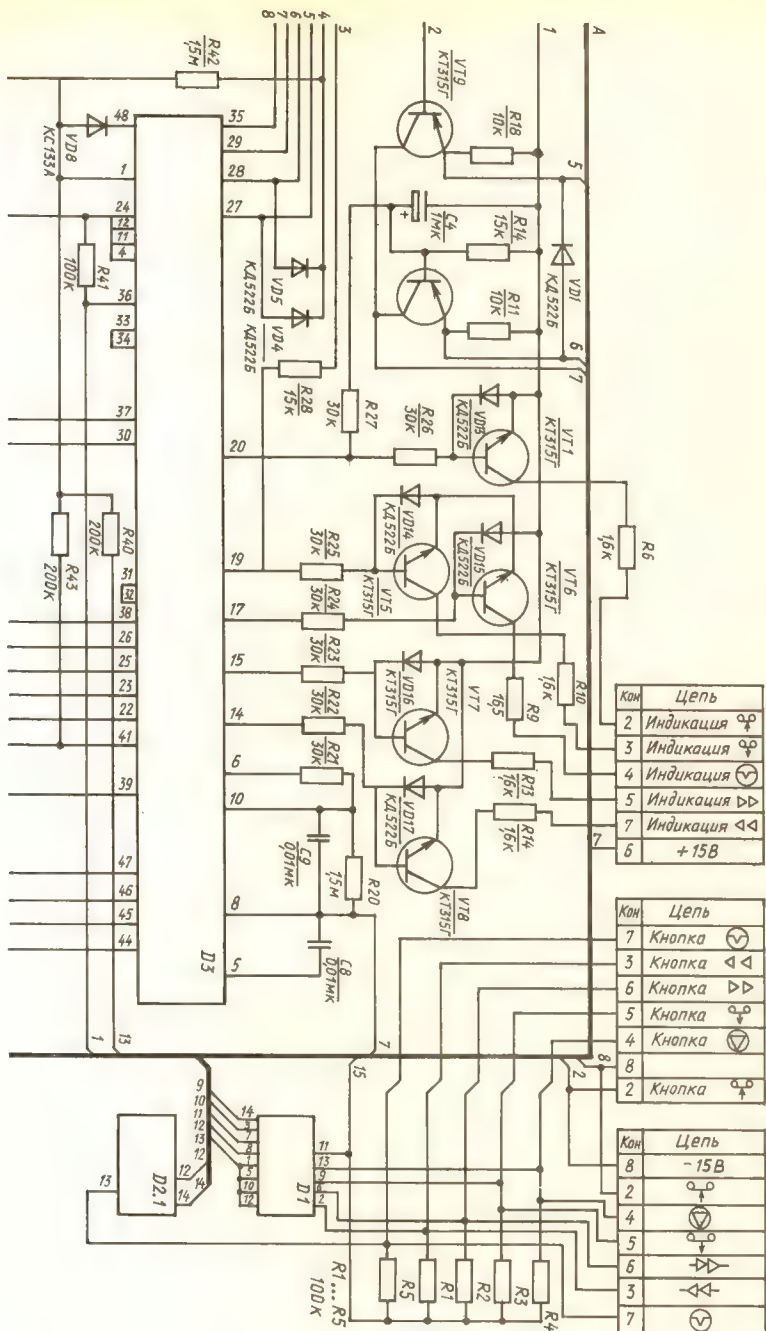


Рис. 3.21. Принципиальная схема блока управления режимами



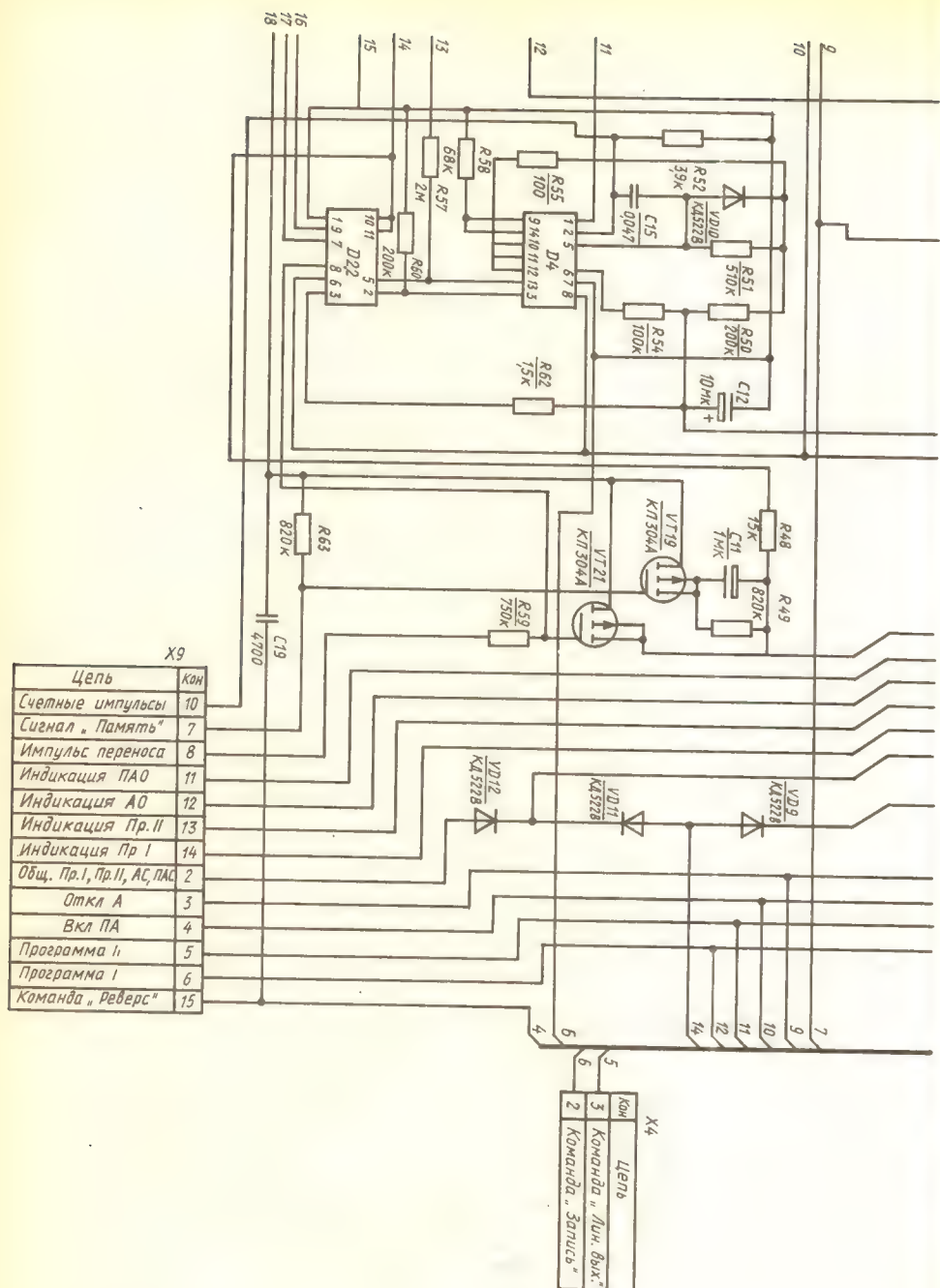


Рис. 3.21.

Таблица 3.1. Усилитель воспроизведения (рис. 3.14).

Обозн. по схеме	Наиме- нование	Напряжение на выводах, В													
		1	2	3	4	5	6	7	8	9	10	11	12	13	14
DA1	K547КП1В	0	11,6	0	0	0	11,6	0	0	12,8	0	13,3	0	12,8	0
DA2	K157УД2	-12,4	0	0	-13,7	0	0	-12,4	0	0	0	13,3	0	0	0
DA3	K157УЛ1А	0	0,56	0	—	0	0,56	0	0,64	5,8	9,7	—	9,7	5,8	0,63

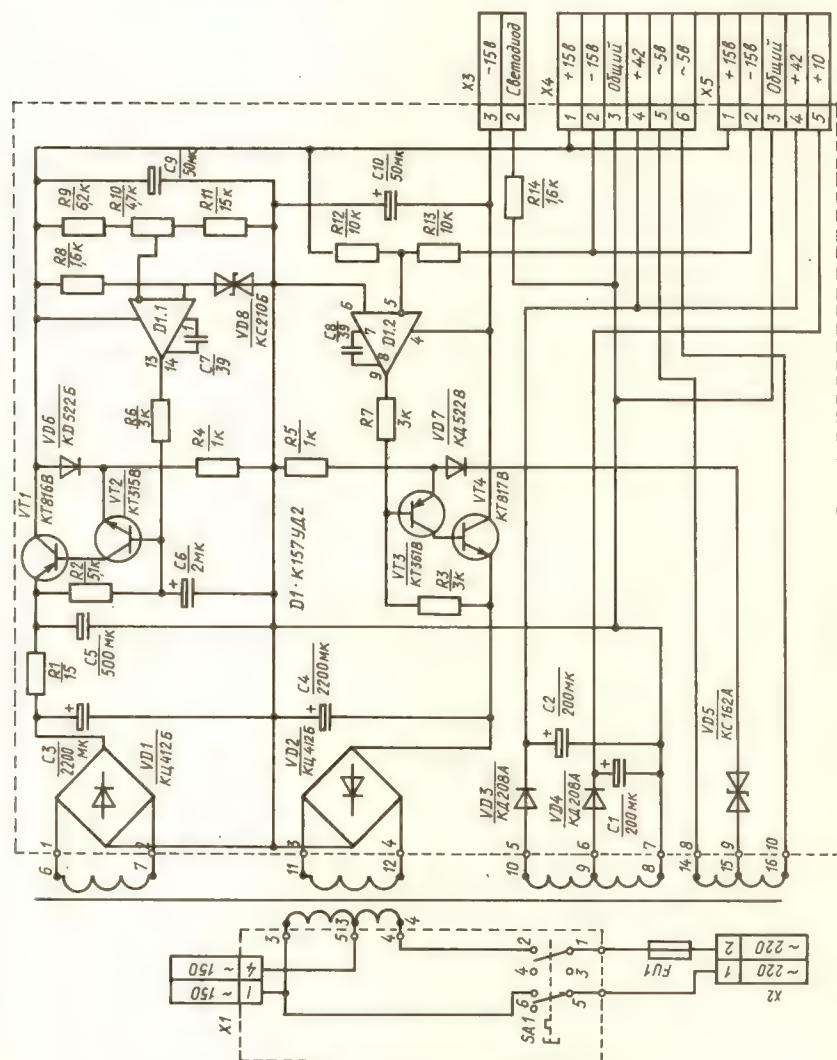


Рис. 3.22. Принципиальная схема блока питания

Таблица 3.2. Фильтр динамический шумопонижающий (рис. 3.15).

Обозн. по схеме	Наименование	Напряжение на выводах, В													
		1	2	3	4	5	6	7	8	9	10	11	12	13	14
DA1	KP504HT1Б	0	0	0	0	0	0	0	0	—	—	—	—	—	—
DA2	K157УД2	—12,9	0	0	—14,2	0	0	—12,9	0,3	0,2	0	14,2	0	—2	—2
DA3	K157УД2	—12,9	2	2	—14,2	0	0	—12,9	0	0	0	14,2	0	2	2

Таблица 3.3

Обознач. по схеме	Наименование	Напряжение на выводах, В		
		Э	Б	К
VT1	KT3107B	0,67	0	—14,16
VT2	KT3107B	1	0,36	—14,16

Таблица 3.4. Усилитель записи оконечный (рис. 3.16).

Обозн. по схеме	Наименование	Напряжение на выводах, В													
		1	2	3	4	5	6	7	8	9	10	11	12	13	14
DA1	K547КП1А	0	14,2	0	—	14,2	14,2	—12,8	14,2	14,2	14,2	0	14,2	0	0
DA2	K547КП1Б	0	14,2	0	—	—	—	—	—	—	—	14,2	0	14,2	0
DA3	K547КП1В	0	14,2	0	—	0	14,2	0	0	14,2	0	14,2	0	14,2	0
DA4	K547УД2	0	0	0	—14,2	0	0	—12,8	0,3	0,2	—	14,2	—	0	0

Таблица 3.5. Генератор стирания и подмагничивания (рис. 3.17).

Обозн. по схеме	Наименование	Напряжение на выводах, В													
		1	2	3	4	5	6	7	8	9	10	11	12	13	14
DA1	K157УД1	—12,8	—14,2	—	—0,7	—13	0	14,2	0	0	—	—	—	—	—
DA2	K157УД1	—12,8	—14,2	—	—0,7	—13	0	14,2	0	0	—	—	—	—	—

Таблица 3.6.

Обозначение по схеме	Наименование	Напряжение на выводах, В		
		Э	Б	К
VT1	KT315Б	0	0,8	0
VT2	KT315И	6,7	7,2	13,9
VT3	KT315И	6,7	7,2	13,9

Таблица 3.7. Блок индикации уровней (рис. 3.18).

Обо- значе- ние по схеме	Наименование	Напряжение на выводах, В							
		1	2	3	4	5	6	7	8
DA1	M84	-12,6	-12,6	-12,6	-12,6	—	-12,6	13,6	-2,7
DA2	K157УД2	-13	0	0,14	—	0,4	0	-13	1
DA3	KP1534ПП1	-14,2	4,8	10	0	0	—	0	0,8

Продолжение табл. 3.7

Напряжение на выводах, В															
9	10	11	12	13	14	15	16	17	18	19	20	21	22	23	24
-12,3	-4	-8,7	—	-14,2	13,6	-6,6	-12,7	—	—	—	—	—	—	—	—
1	—	13,5	—	2	2,2	—	—	2	0	—	—	—	—	-9,3	11,8
—	—	—	—	—	—	—	—	—	—	—	—	—	—	—	—

Продолжение табл. 3.7.

Напряжение на выводах, В															
25	26	27	28	29	30	31	32	33	34	35	36	37	38		
9,6	—	13,5	—	-0,6	-0,6	13,5	-7,1	-7,1	-7,1	-7,1	-7,1	-7,1	-7,1	-7,1	-7,1

Продолжение табл. 3.7.

Напряжение на выводах, В										
39	40	41	42	43	44	45	46	47	48	
-7,1	-7,1	-7,1	—	-6,8	-6,8	-6,8	—	—	—	—

Таблица 3.8.

Обозначение по схеме	Наименование	Напряжение на выводах, В		
		Э(И)	Б(З)	К(С)
VT1	KT209M	20,9	20,3	10,2
VT2	KT209M	20,8	20,3	4,2
VT3	KT315И	0,3	0,7	0,7
VT4	KП303В	-5,9	6	11,8

Таблица 3.9. Блок коммутации комбинированный (рис. 3.20)

Обозн. по схеме	Наименование	Напряжение на выводах, В					
		1	2	3	4	5	6
DA1	K547КП1В	0	$\frac{12,8}{-11,7}$	0	—	0	$\frac{12,8}{-11,7}$
DA2	K547КП1В	0	$\frac{-11,6}{12,7}$	0	—	0	$\frac{-11,6}{12,7}$
DA3	K547КП1В	12,8	13,5	0	—	0	0
DA4	K547КП1В	0	—4	0	—	0	—4
DA5	K547УД2	—12,8	0,1	0,1	—14,2	0,2	0,1
DA6	K547КП1В	0,2	13,5	0	—	0	13,5
DA7	K547КП1В	14,2	$\frac{14,2}{-12,8}$	$\frac{-3,8}{14,2}$	—	0	$\frac{13,5}{-8,2}$

Таблица 3.10. Блок индикации расхода ленты (рис. 3.19)

Обозначение по схеме	Наименование	Напряжение на выводах, В			
		1	2	3	15
D1	KP1534ИЕ1	—14,2	—14,2	—13,7	14,2
D2	KP1534ИЕ1	—14,2	—14,2	—13,7	14,2
D3	KP1534ИЕ1	—14,2	—14,2	—13,7	14,2
D4	KP1534ИЕ1	—14,2	—14,2	—13,7	14,2

Таблица 3.11.

Обозначение по схеме	Наименование	Напряжение на выводах, В		
		Э	Б	К
VT1	КТ361Д	$\frac{2}{0}$	$\frac{5,34}{4,8}$	—12,7
VT2	КТ315Д	0	$\frac{0}{0,6}$	$\frac{12,84}{0}$
VT3	КТ315Д	0	$\frac{0}{0,7}$	$\frac{14,2}{2,5}$
VT5	КТ315В	$\frac{13,7}{0}$	$\frac{13,7}{0}$	$\frac{13,7}{6,7}$
VT6	КТ315В	$\frac{13,7}{0}$	$\frac{13,7}{0}$	$\frac{13,7}{6,7}$

Напряжение на выводах, В							
7	8	9	10	11	12	13	14
0	0	—12,5	0	14,2	0	—12,5	0
0	0	$\frac{12,8}{-11,6}$	0	14,2	0	$\frac{12,7}{-11,6}$	0
14,2	14,2	—12,8	14,2	14,2	14,2	$\frac{-6,3}{-6,8}$	14,2
0	0	—12,8	0	—14,2	0	—12,8	0
—12,8	0,2	0	—	14,2	—	0	0,2
0,2	0	—12,8	0	14,2	0	$\frac{-12,8}{14,2}$	0
0	0	$\frac{13,5}{-8,2}$	$\frac{0}{1,2}$	14,25	14,25	$\frac{-13,5}{-8,2}$	$\frac{-12,8}{14,2}$

Таблица 3.12. Блок управления режимами (рис. 3.21).

Обозначение по схеме	Наименование	Напряжение на выводах, В		
		Э(И)	Б(З)	К(С)
VT1	КТ315Г	0	$\frac{-0,4}{0,7}$	$\frac{11,9}{0,2}$
VT2	КТ815В	0	0,8	0,8
VT3	КТ315Г	0,8	1,5	0,8
VT4	КТ315Г	$\frac{0}{5,3}$	$\frac{-0,8}{5,9}$	13
VT5	КТ315Г	0	$\frac{0,7}{-0,4}$	$\frac{0,2}{11,8}$
VT6	КТ315Г	0	—0,46	11,5
VT7	КТ315Г	0	—0,4	11,9
VT8	КТ315Г	0	—0,4	11,9
VT9	КТ315Г	$\frac{5,8}{4,8}$	$\frac{6,4}{-1}$	13
VT10	КТ315Г	0	0	12,7
VT11	КТ815В	0	0	12,7
VT12	КТ815В	12,7	0	0
VT13	КТ315Г	0	0	12,7
VT14	КТ315Г	0,3	0,7	0
VT15	КТ316Г	33,3	32,8	33,4
VT16	КТ814В	33,3	33,3	12,7
VT17	КТ315Г	0	0	33,5
VT18	КТ603Б	13,1	13,8	14,2
VT19	КП304А	13,7	7,4	0
VT20	КТ315А	—13,3	—14	—14,2
VT21	КП304А	6,8	14,2	0

Таблица 3.13.

Обо- значе- ние по схеме	Наименование	Напряжение на выводах, В										
		1	2	3	4	5	6	7	8	9	10	11
D1	K547КП1А	— 13	14	— 6,6	—	— 13	14	— 6,6	— 6,6	14	— 13	14
D2	K547КП1А	— 14	13	— 4,4	—	6,4	0		13	13	14	14
D3	K145ИК1906	— 13,3	—	—	$\frac{13,2}{12,9}$	$\frac{0,9}{0,7}$	2,6	—	13	—	2,6	13
D4	K547КП1А	13	0	13	—			— 14			12	12

Продолжение табл. 3.13.

Напряжение на выводах, В												
12	13	14	15	16	17	18	19	20	21	22	23	24
—1,3	14	—6,6										
—6,6	14	—13										
13	—	—7,6	—	—7,6	—7,6	—	$\frac{12,5}{-6,4}$	$\frac{-6,3}{12,4}$	—	—8,3	—8,3	13
12	6,4											

Продолжение табл. 3.13.

Напряжение на выводах, В											
25	26	27	28	29	30	31	32	33	34	35	36
12,8	$\frac{12,8}{-7,8}$	12,8	0	0	0	$\frac{6,2}{8,3}$	$\frac{6,2}{8,3}$	11,2	11,2	0	13

Продолжение табл. 3.13.

Напряжение на выводах, В											
37	38	39	40	41	42	43	44	45	46	47	48
— 4	13,7	— 13	—	— 13	—	—	— 6,7	— 6,6	— 6,7	— 6,7	— 12,7

Таблица 3.14. Блок питания (рис. 3.22).

Обознач. по схеме	Наименование	Напряжение на выводах, В		
		Э	Б	К
VT1	КТ816Б	24,2	23,6	14,2
VT2	КТ315В	13,6	14,2	23,6
VT3	КТ361В	—13,5	—14,1	—22,7
VT4	КТ817В	—23,3	—22,7	—14,1

Таблица 3.15.

Обознач. по схеме	Наименование	Напряжение на выводах, В													
		1	2	3	4	5	6	7	8	9	10	11	12	13	14
DA1	K157УД2	—12,8	10,1	10,1	—14,1	0	0	—17,2	—3,6	—4,5	14,2	8,1	7,7		

3.3. МАГНИТОФОН «ЮПИТЕР МК-106-С»

Катушечный стационарный, двухскоростной, четырехдорожечный магнитофон предназначен для записи и воспроизведения стереофонических и монофонических музыкальных и речевых программ на магнитные ленты типов А4415-6Б и А4416-6Б.

Магнитофон позволяет: производить запись с микрофона, проигрывателя, радиоприемника, телевизора, тюнера, радиотрансляционной сети и с другого магнитофона; прослушивать записанные и записываемые программы с помощью встроенных контрольных громкоговорителей, выносных акустических систем или головных телефонов.

В магнитофоне предусмотрен режим «Усилитель», при котором обеспечивается качественное воспроизведение монофонических и стереофонических программ от тюнера, электропроигрывателя или другого магнитофона, а также предусмотрен режим «Автостоп», при котором автоматически отключается питание электродвигателя при окончании магнитной ленты на подающей катушке или при обрыве ленты.

Основные технические данные

Номинальная скорость движения ленты, см/с	19,05; 9,51
Рабочий диапазон частот, Гц, не уже	25...22 000
Неравномерность АЧХ в диапазоне 50...20 000 Гц, дБ, не более	12,0
Среднее отклонение от номинальной скорости, %, не более	±1,3
Коэффициент третьей гармоники на линейном выходе, %, не более	1,7
Суммарный коэффициент гармоник, %, не более	4
Разделение между соседними дорожками, дБ, не менее	
на частотах 250 и 6300 Гц	22
на частоте 1000 Гц	28
Полное невзвешенное отношение сигнал/шум, дБ, не менее	54
Номинальная выходная мощность на сопротивлении 4 Ом, Вт	8
Масса, кг, не более	14,2
Габариты, мм, не более	373×404×195

В магнитофоне предусмотрены:

- 1) раздельная регулировка уровней записи и воспроизведения;
- 2) индикация уровня воспроизведения;
- 3) световая индикация режима «Запись»;
- 4) раздельная индикация уровня записи по каналам с возможностью одновременного регулирования;
- 5) динамическая система шумопонижения в канале воспроизведения с возможностью ее отключения;
- 6) запись монофонических программ на 4 дорожки;
- 7) контроль как записываемого, так и записанного сигнала;
- 8) регулируемый выход для подключения выносных активных акустических систем;
- 9) регулировка тембров с помощью пятиполосного эквалайзера;
- 10) автоматическое отключение выносных акустических систем и контрольных громкоговорителей при включении головных телефонов;
- 11) временный останов ленты и автоматический останов при окончании ленты.

Описание электрической принципиальной схемы

Электрическая схема магнитофона выполнена на интегральных микросхемах и полупроводниковых приборах. Она состоит из функциональных узлов (рис. 3.23):

- 1) блок усилителей;
- 2) генератор стирания и подмагничивания;
- 3) блок шумопонижения;
- 4) блок питания;
- 5) блок индикации.

Каждый из функциональных узлов выполнен в виде отдельной платы.

Блок усилителей (рис. 3.24) содержит: усилители воспроизведения левого и правого каналов; усилители записи левого и правого каналов; электронную схему регулирования громкости и баланса; усилители мощности левого и правого каналов; предварительные усилители левого и правого каналов для работы магнитофона в режиме «Усилитель».

Усилитель воспроизведения выполнен на трех транзисторах типа К3107 и двух микросхемах типа К547КП1А и КР544УД1А. На транзисторах *VT1*, *VT5* (*VT2*, *VT6*) собран предварительный, а на микросхеме *DA4* (*DA6*) оконечный усилитель воспроизведения. Согласование предварительного усилителя с оконечным осуществляется эмиттерным повторителем на транзисторе *VT11* (*VT12*).

Коррекция частотной характеристики в области верхних частот осуществляется колебательным контуром. Для скорости 19 контур настроен на частоту 24 кГц и состоит из индуктивности *L3* (*L4*) и конденсатора *C13* (*C15*). При скорости 9 контур настраивают на частоту 15...17 кГц, а в его состав входят индуктивность *L3* (*L4*) и конденсатор *C14* (*C16*). Переключение цепей коррекции производится электронными ключами микросхемы *DA1* (*DA2*). Необходимый подъем частотной характеристики в области верхних частот устанавливается подстроечным резистором, включенным последовательно с колебательным контуром. Для скорости 19 этим резистором является *R23* (*R25*), а для скорости 9 — *R24* (*R27*).

Резистором *R22* (*R25*) осуществляют регулировку частотной характеристики в области средних частот при скорости 19.

В области нижних частот регулировку частотной характеристики не

производят. Ход характеристики определяется емкостью конденсатора *C21 (C22)* для любой скорости движения ленты.

Усиленный сигнал с выхода усилителя воспроизведения через контакт 8 (14) разъема *XS5*, к которому подключается плата генератора стирания и подмагничивания, переключатели *SB1...SB4* платы генератора, контакт 6 (13) разъема *XS5* поступает через резистор *R147 (R148)* и конденсатор *C68 (C70)* на электронную схему регулятора громкости, баланса и тонкомпенсации, а через резистор *R19 (R28)* на линейный выход магнитофона.

Электронная схема регулятора громкости, баланса и тонкомпенсации выполнена на микросхеме *DA8* типа *K174УН12*. Резисторами *R147 (R148)* устанавливается необходимое напряжение на входе эквалайзера. Регулировку громкости осуществляют резистором *RP8* одновременно в обоих каналах: баланс устанавливается резистором *RP7*. Схема тонкомпенсации включена в цепь обратной связи и состоит из элементов *C72, R130, R131, R136, R138, R134, C71, C75, R143 (C73, R132, R133, R137, R139, C74, R135, C75, R144)*.

С выхода микросхемы *DA8* (выводы 3 и 5) сигнал поступает на вход блока эквалайзера через контакт 1 (2) разъема *XP5*. С выхода эквалайзера сигнал через контакт 4 (3) этого же разъема поступает на вход усилителя мощности и на регулируемый выход (разъем *XS12*).

Усилитель низкой частоты магнитофона (рис. 3.24) собран по бестрансформаторной схеме. Транзисторы *VT17, VT19 (VT18, VT20)* включены по схеме с общим эмиттером и образуют предварительный усилитель напряжения. Для установки симметрии ограничения выходного сигнала на выходе усилителя мощности используется подстроечный резистор *R96 (R100)*.

Для термостабилизации рабочей точки выходных транзисторов в схеме применена цепочка, состоящая из элементов *VD2 (КЦ407А), R152 (VD4, P153)*. На транзисторах *VT21, VT22 (VT23, VT24)* и диодах *VD5, VD6 (VD7, VD8)* собрана схема защиты выходных транзисторов по току и от короткого замыкания на выходе усилителя мощности.

Нагрузка к оконечному каскаду подключается через контакты 7, 6 (4, 5) реле *K1* и конденсатор *C1 (C2)* емкостью 1000 мкФ. В выключенном состоянии магнитофона контакты реле *K1* разомкнуты и акустические системы отключены от усилителя мощности. При включении магнитофона происходит заряд конденсатора *C77*, включенного в базу транзистора *VT29 (КТ644А)*. Через 2...3 секунды после включения напряжение на базе транзистора *VT29* возрастает до величины, при которой открывается транзистор. Реле *K1* срабатывает и подключает нагрузку (акустические системы) к выходу усилителя мощности.

При выключении магнитофона база транзистора *VT29* через малое сопротивление резистора *R140* соединяется с корпусом, транзистор закрывается и контактами реле нагрузка отключается от усилителя. Эта часть схемы служит для исключения щелчков при включении и выключении магнитофона.

В режиме записи сигнал от источника информации поступает на базу транзистора *VT3 (VT4)* типа *КТ3107Ж*. С нагрузки транзистора резистора *R13 (R14)* сигнал поступает на базу транзистора *VT7 (VT8)*. Необходимая коррекция частотной характеристики осуществляется последовательным колебательным контуром, состоящим из элементов *L1, C17, C18 (L2, C19, C20)*.

При скорости 19 контур *L1, C18 (L2, C19)* настраивается на частоту 24 кГц. Необходимый подъем частотной характеристики в области верхних частот устанавливают подстроечным резистором *R31 (R32)*.

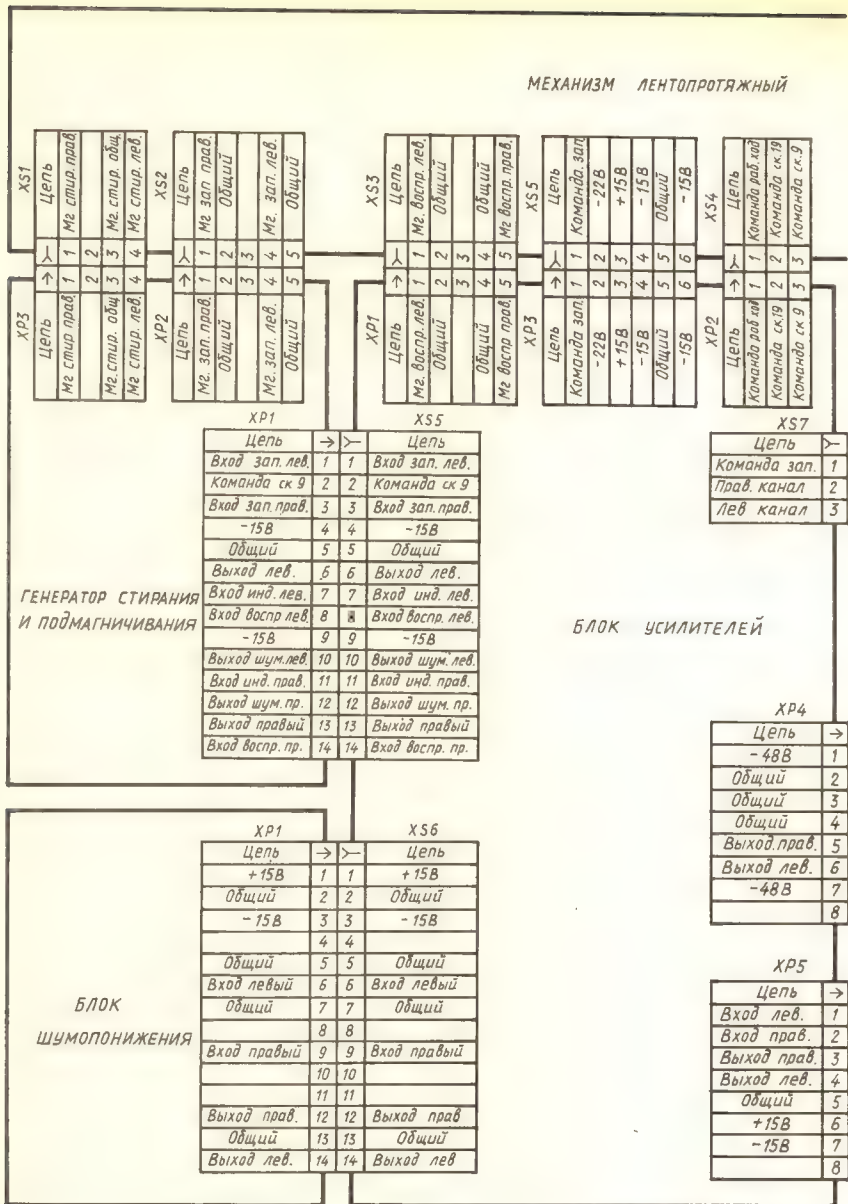
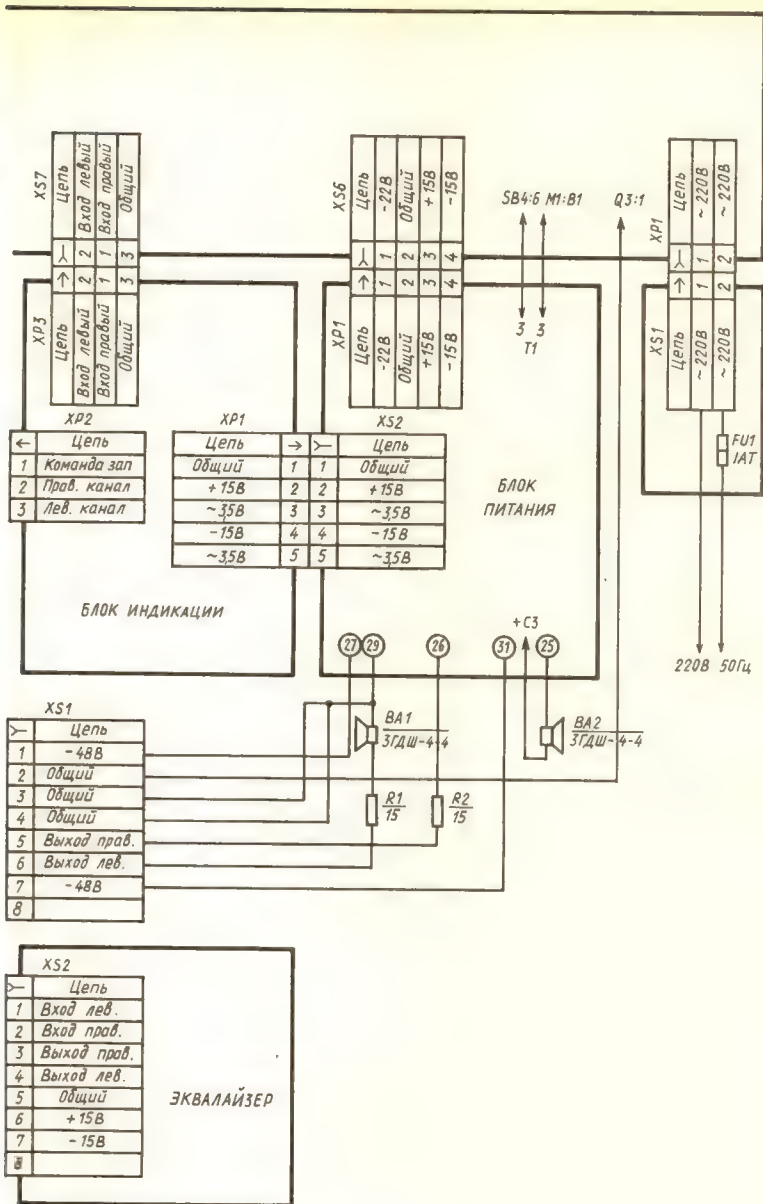


Рис. 3.23. Электрическая функциональная схема магнитофона «Юпитер МК-106-С»



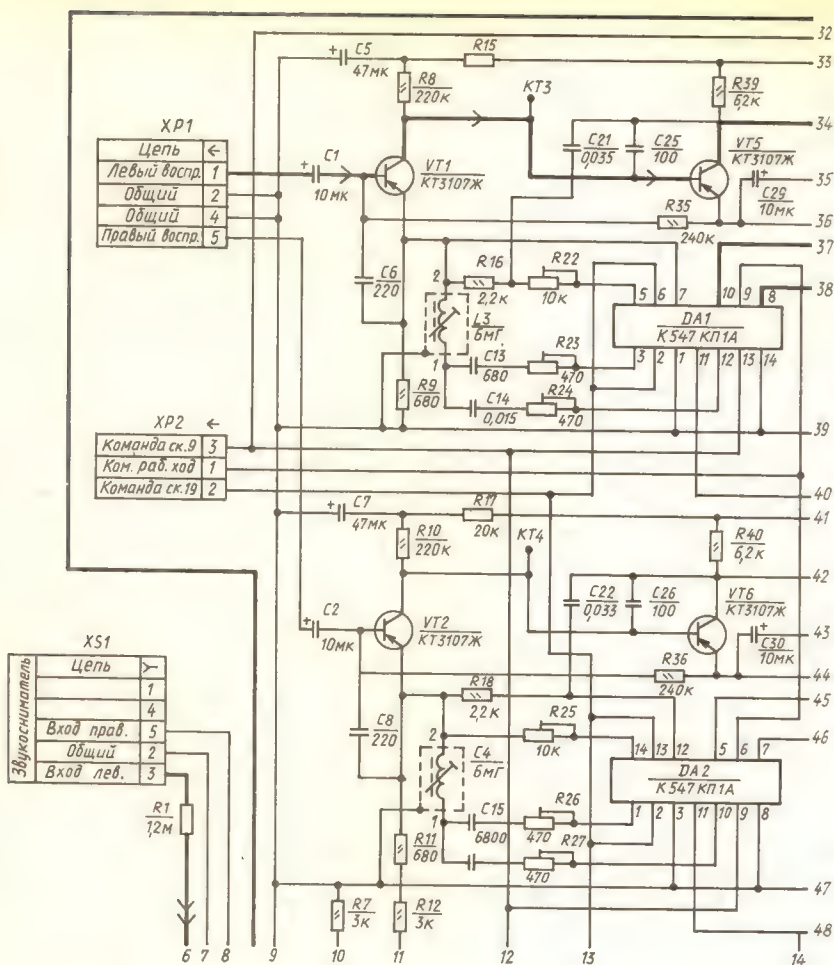
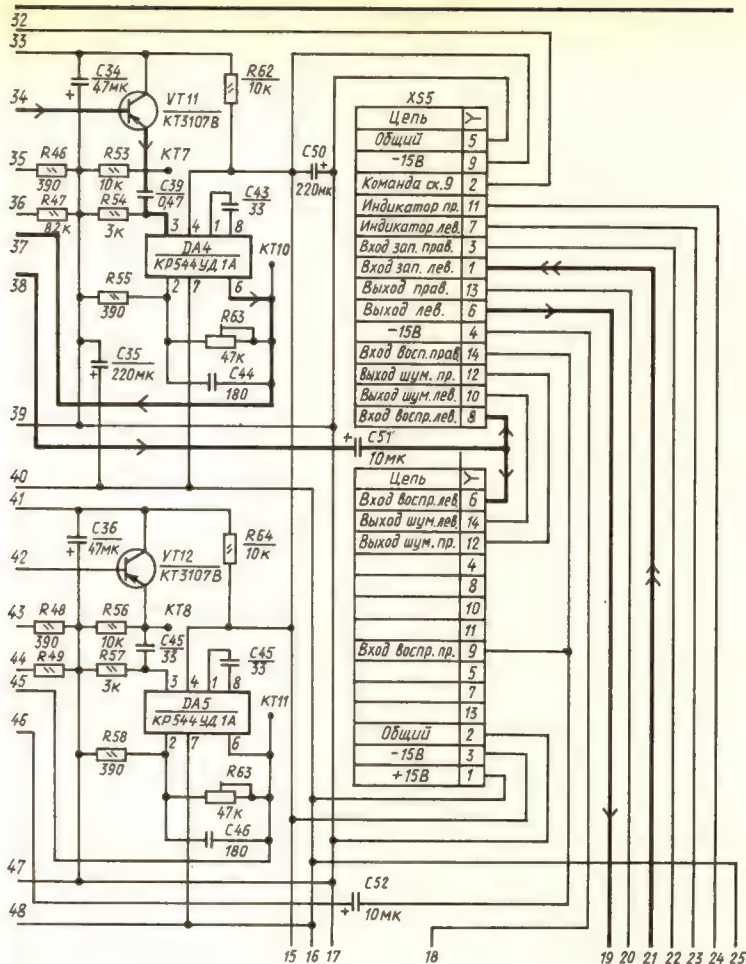


Рис. 3.24, а. Принципиальная схема блока усилителей (усилители воспроизведения)

При скорости 9 контур $L1, C17$ ($L2, C20$) настраивается на частоту 15...17 кГц. Общий подъем частотной характеристики в этой области частот производят резистором $R30$ ($R33$). Переключение цепей коррекции осуществляют при помощи электронных ключей микросхем $DA3$.

На транзисторах $VT10$ ($VT9$) собраны эмиттерные повторители, согласовывающие предварительные усилители записи с оконечными. С выходов эмиттерных повторителей сигнал поступает на регуляторы уровня записи $RP5$ ($RP6$) и далее на базы транзисторов $VT14$ ($VT16$). Нагрузками этих транзисторов служат транзисторы $VT13$ ($VT15$), с которых усиленный сигнал снимается и через соответствующие цепочки, расположенные на плате генератора стирания и подмагничивания, поступает на головки записи.



При работе магнитофона в режиме «Усилитель» на контакты 2, 3 и 5 разъема XS8 подается сигнал напряжением 0,25...0,5 В. Сигнал усиливается микросхемами DA6 (DA7) типа KP544UD1A и через элементы C60, R102 (C63, R106) поступает на электронную схему регулятора громкости, баланса и тонкомпенсации. С выхода этой схемы сигнал подается на усилители мощности.

Генератор стирания и подмагничивания (рис. 3.25) собран по двухтактной схеме с трансформаторным выходом и резистивно-емкостными коллекторно-базовыми связями на транзисторах VT1, VT2. Частотно-задающими элементами генератора являются конденсатор C9 и обмотка 1—4 трансформатора T1. Частота генерации 100 ± 20 кГц. Величина тока подмагничивания регулируется резисторами R17 (R19) для скорости 19

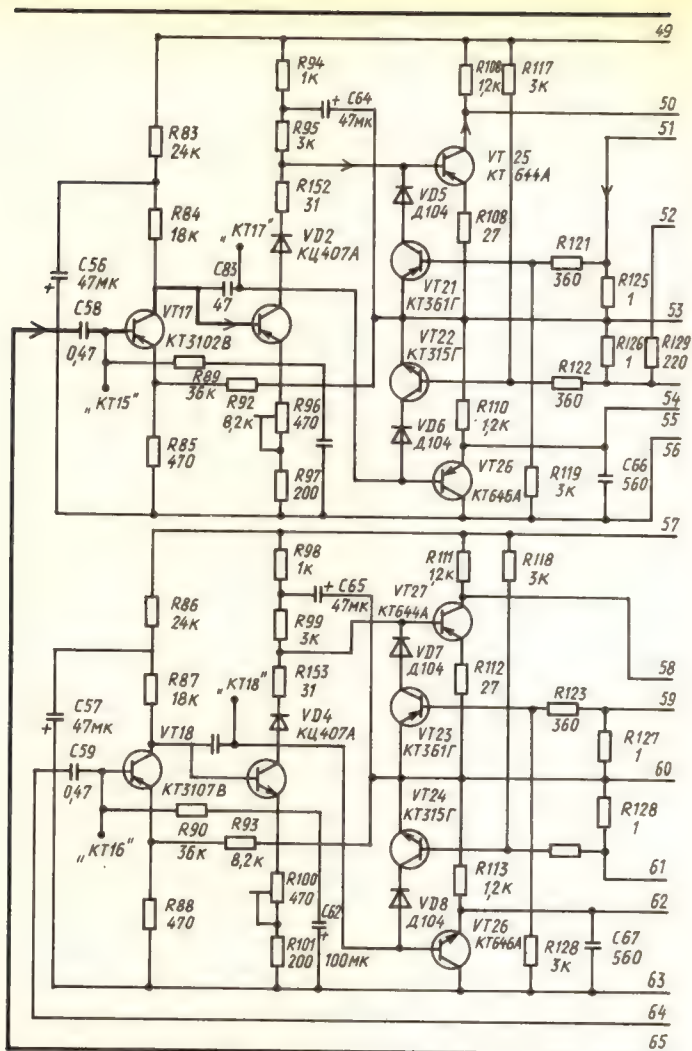
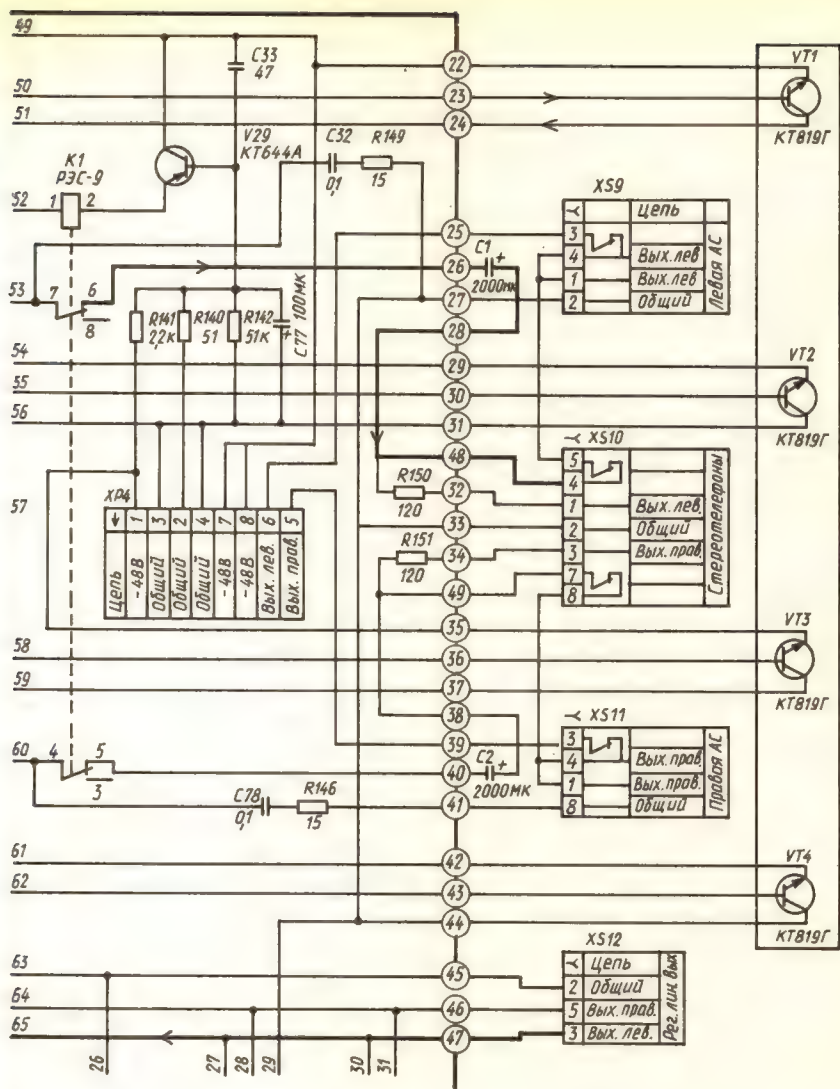


Рис. 3.24, г. Принципиальная схема блока усилителей (продолжение; усилители мощности)

и резисторами $R18$ ($R20$) для скорости 9. Переключение осуществляется при помощи контактов реле $K1$.

Переключатели $SB3$ и $SB4$ используются при монофонической записи на четыре дорожки, при этом последовательно с работающей стирающей головкой одного из каналов включается эквивалент в виде индуктивности $L3$ или $L4$.

Переключатель $SB1$ относится к блоку индикации и подключает его к усилителю воспроизведения или усилителю записи. Уровень входного



сигнала на входе индикатора устанавливается резисторами $R8$, $R9$, $R12$ и $R13$.

Блок индикации (рис. 3.26) выполнен на двух микросхемах и индикаторе типа ИЛТ1-15М. Микросхема $DA1$ предназначена для усиления сигнала, поступающего с платы генератора стирания и подмагничивания. Обработывается сигнал микроконтроллером и подается на собственно индикатор. Схема индикатора откалибрована таким образом, чтобы при номинальном показании для соответствующей скорости и рекомендуемой ленты обеспечивался номинальный уровень записи.

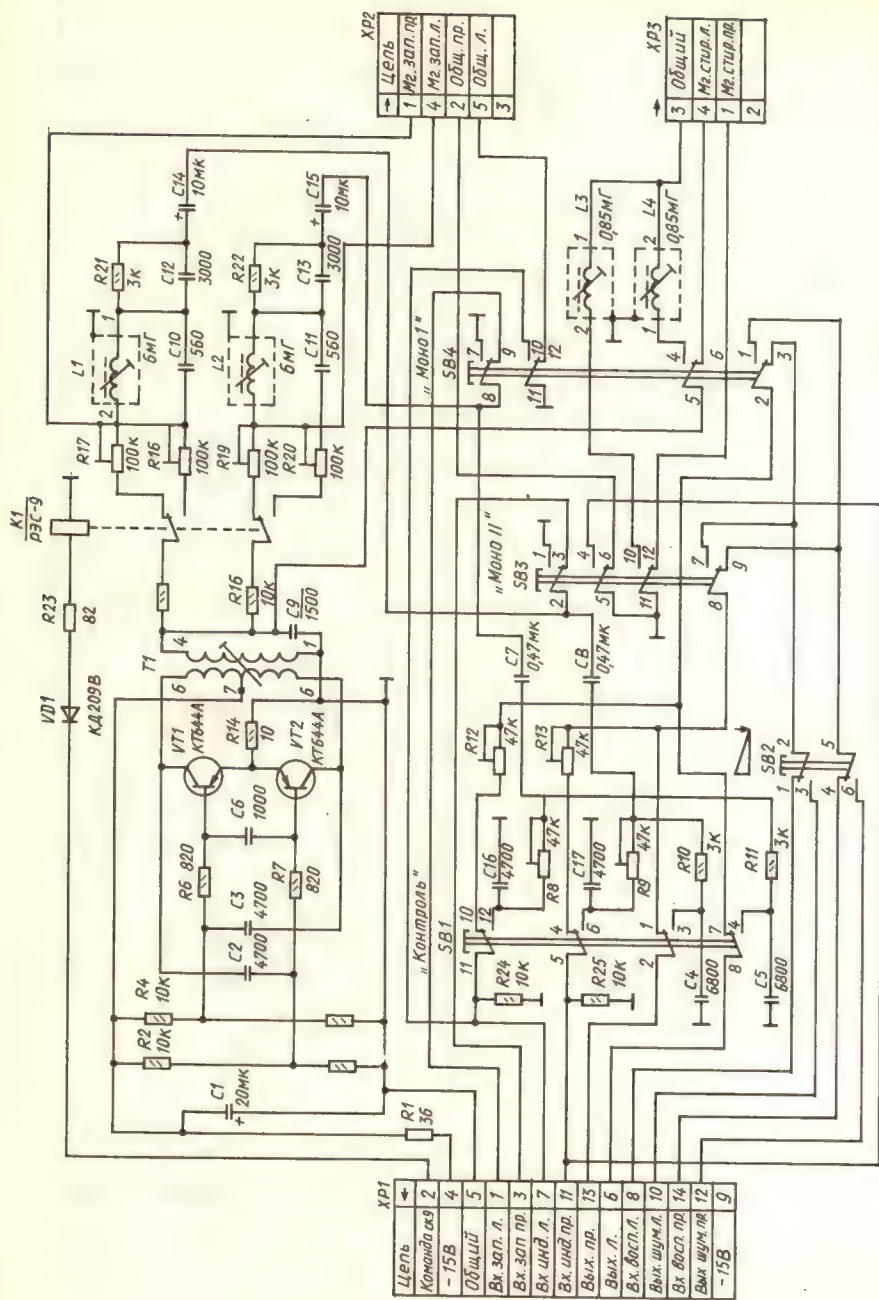
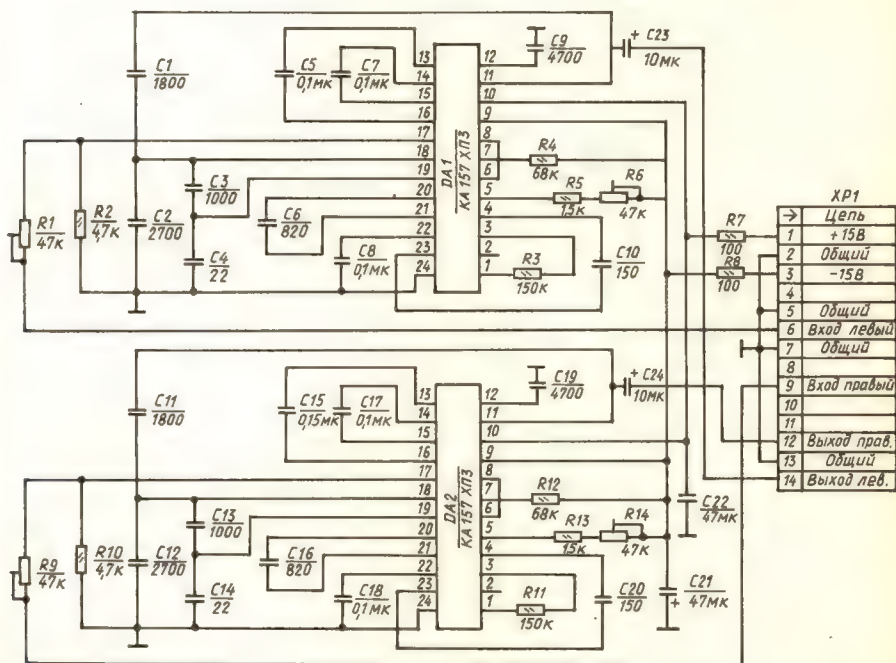
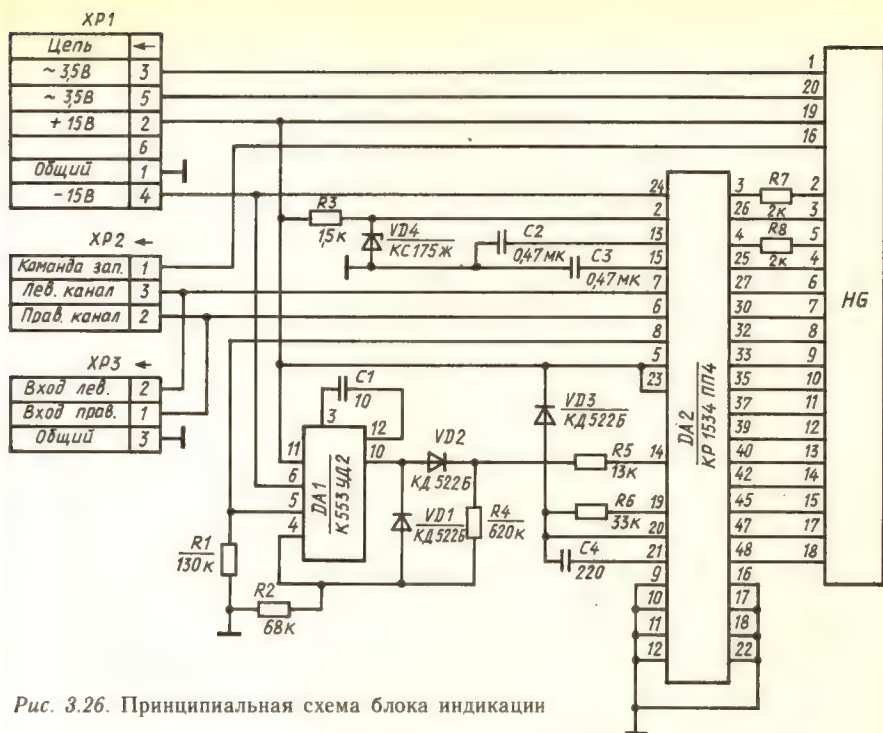


Рис. 3.25. Принципиальная схема генератора стирания и подмагничивания



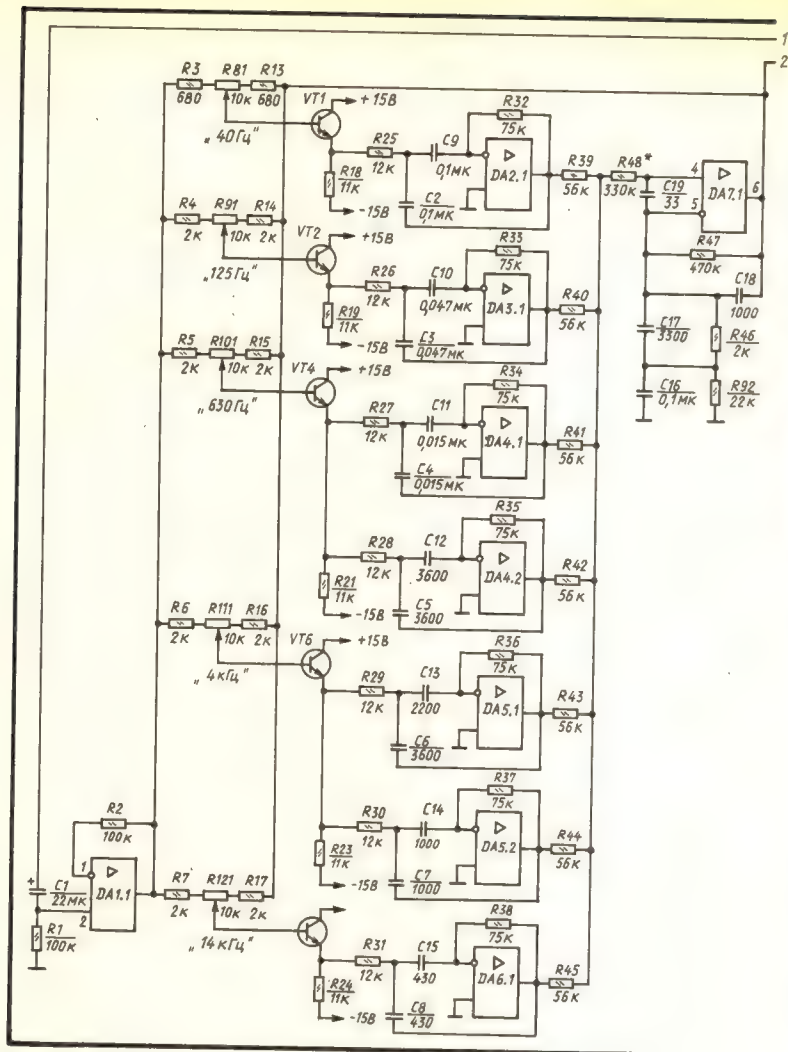
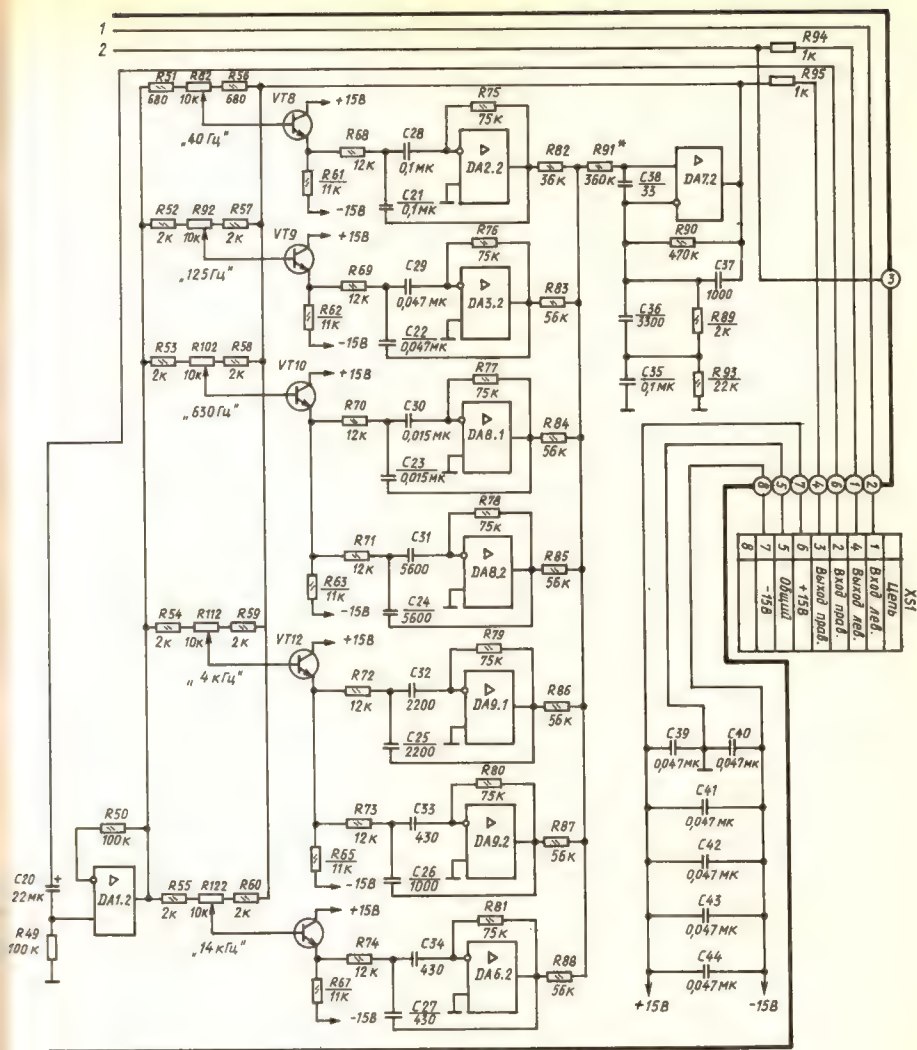


Рис. 3.28. Принципиальная схема эквалайзера

Блок шумопонижения (рис. 3.27) выполнен на двух специализированных микросхемах К157ХПЗ (DA1, DA2) по типовой схеме включения. Принцип работы динамической системы шумопонижения на микросхеме К157ХПЗ рассмотрен в разделе «Интегральные микросхемы для аппаратуры магнитной записи звука» главы 2.

Эквалайзер (рис. 3.28) собран на десяти транзисторах и девяти микросхемах. Оба канала эквалайзера идентичны и содержат входные усилители на микросхемах DA1.1 (DA1.2) и выходные — DA7.1 (DA7.2). Между входным и выходным усилителями включены активные полосовые фильтры второго порядка, собранные на микросхемах. Коэффициент пере-



дачи фильтра определяется отношением $R32/2R25$ для фильтра 40 Гц. Для всех остальных фильтров коэффициент передачи определяется аналогично.

Для согласования выходного сопротивления входного усилителя со входом фильтра используются эмиттерные повторители на транзисторах.

Блок питания (рис. 3.29) особенностей не имеет и построен по схеме компенсационного стабилизатора напряжения на дискретных элементах. В его состав входят два стабилизатора на 15В, предназначенные для питания транзисторов и микросхем. Нестабилизированные напряжения, получаемые на выходе блока питания, применяются для питания усилите-

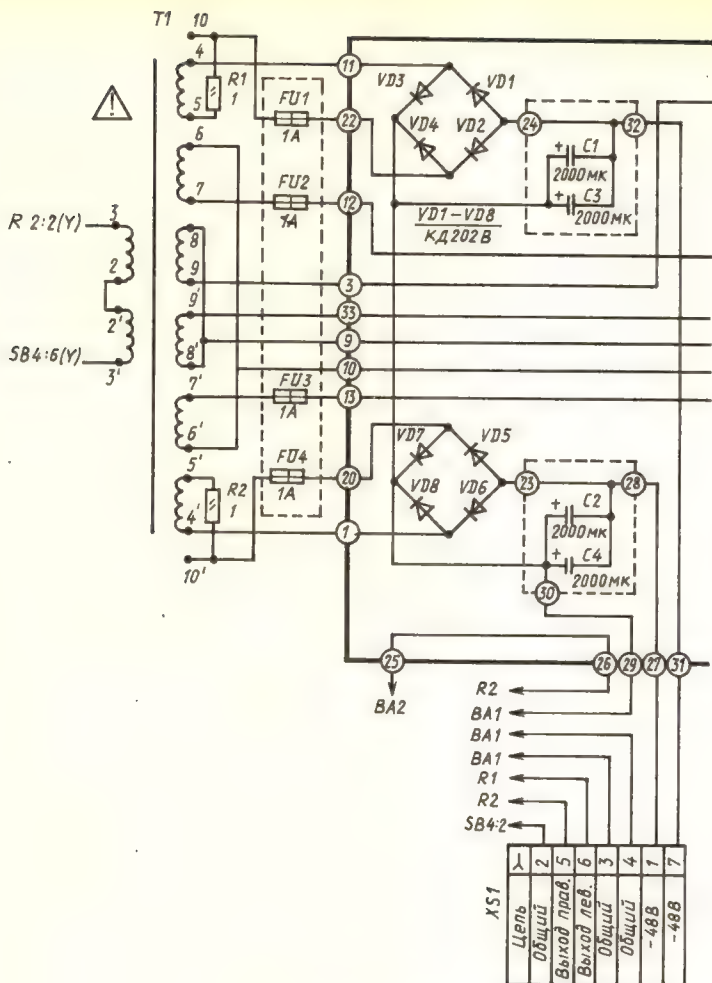


Рис. 3.29. Принципиальная схема блока питания

лей мощности (-48 В) и для питания блока индикации — (переменное $3,5$ В).

На рис. 3.30 приведены электрические схемы, относящиеся к лентопротяжному механизму.

Ниже приводятся данные (табл. 3.16...3.24) с напряжениями на выводах транзисторов и микросхем по платам магнитофона.

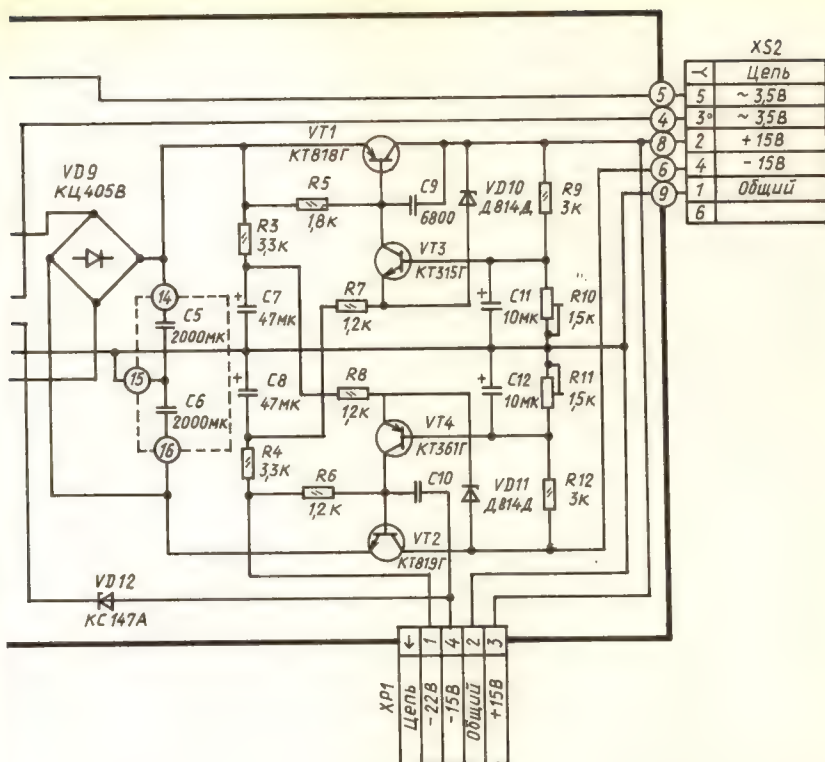


Таблица 3.16. Значение напряжения на выводах выходных транзисторов

Обозначение на схеме	Постоянное напряжение, В			Переменное напряжение, В		
	Э	Б	К	Э	Б	К
VT1	44	44	25	0,24	0,38	2,8
VT2	25	24	0	2,75	2,85	0
VT3	44	44	26	0,26	0,34	2,8
VT4	26	25	0	2,8	3	0

Таблица 3.17. Генератор стирания и подмагничивания (см. рис. 3.25)

Обозначение на схеме	Постоянное напряжение, В			Переменное напряжение, В		
	Э	П	К	Э	Б	К
VT1	-0,92	+1,65	-1,19	0,5	3,8	8,4
VT2	-0,92	+1,65	-1,19	0,5	3,8	8,4

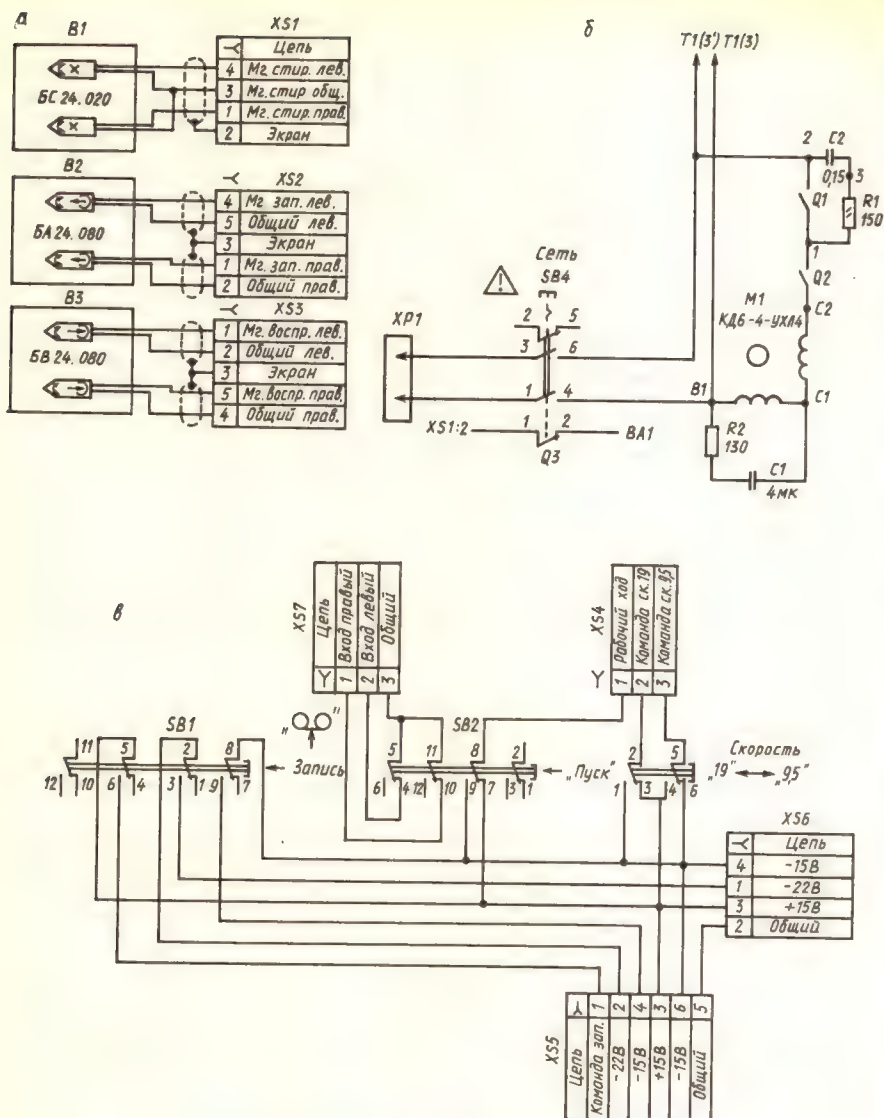


Рис. 3.30. Электрическая схема лентопротяжного механизма:
 а — схема подключения магнитных головок; б — схема подключения электродвигателя; в — схема переключения режимов магнитофона

Таблица 3.18. Блок усилителей (см. рис. 3.24).

Режим	Воспроизведение							Запись-воспроизведение		
	ДА1	ДА2	ДА4	ДА5	ДА6	ДА7	ДА8	ДА8	ДА8	ДА3
обозначение на схеме										ДА3
№ вывода	=	=	=	=	=	=	=	запись ~	запись ~	запись ~
	~	~	~	~	~	~	запись ~	воспр.		
1										
2	-15,0 В	-15,0 В	+15,0 В	+15,0 В	+15,0 В	+15,0 В	+4,58 В	46 мВ		
3			14 мВ	14 мВ			+4,61 В	50 мВ		
4			14 мВ	14 мВ				7 мВ		-15,0 В
5	-18 мВ !	0,98 В	-15,0 В	-15,0 В	-15,0 В	-15,0 В	+4,72 В	0,49 В		
6	-15,0 В	-15,0 В	-0,03 В	-0,8 В			+0,63 В	0,68 В		
7	-18 мВ	0,8 В	0,98 В	+15,0 В	+15,0 В	+15,0 В	+4,72 В	0,49 В		20 мВ
8	-30 мВ	0,98 В	+15,0 В	+15,0 В	+15,0 В	+15,0 В	+4,61 В	7 мВ		
9	-15,0 В	-0,12 В	+15,0 В	+15,0 В	+15,0 В	+15,0 В	+4,58 В	46 мВ		
10	-30 мВ	+2 мВ					+15,0 В	50 мВ		
11	0,98 В									
12	-18 мВ						+4,5 В	0,14 В		
13	+7 мВ	-15,0 В					+5,9 В	0,26 В		
14	-18 мВ						+5,65 В	0,34 В		20 мВ
15	4,4 мВ						+6 В	0,65 В		
16							+6,0 В	0,34 В		
							+5,65 В	0,65 В		
							+10 ⁻³ В			
							+4,5 В	0,14 В		
								0,26 В		

Таблица 3.19

	Э	Б	К	Э	Б	К
Обознач. на схеме	=	=	=	запись ~ воспроиз.	запись ~ воспроиз.	запись ~ воспроиз.
VT1	-18 мВ	-0,54 В	-1,12 В	1,6 мВ	1,7 мВ	2,6 мВ
VT2	-18 мВ	-0,54 В	-1,12 В	1,6 мВ	1,7 мВ	2,6 мВ
VT3	-25 мВ	-0,54 В	-2,82 В	3,5 мВ	4,1 мВ	3,7 мВ
VT4	-25 мВ	-0,54 В	-2,82 В	3,5 мВ	4,1 мВ	3,7 мВ
VT5	-0,58 В	-1,12 В	-7,50 В	1,5 мВ	2,6 мВ	14 мВ
VT6	-0,58 В	-1,12 В	-7,50 В	1,5 мВ	2,6 мВ	14 мВ
VT7	-2,25 В	-2,82 В	-5,4 В	2,7 мВ	3,7 мВ	34 мВ
VT8	-2,25 В	-2,82 В	-5,4 В	2,7 мВ	3,7 мВ	34 мВ
VT9	-4,8 В	-5,4 В	-7,3 В	34 мВ	34 мВ	34 мВ
VT10	-4,8 В	-5,4 В	-7,3 В	34 мВ	34 мВ	34 мВ
VT11	-6,85 В	-7,5 В	-8 В	14 мВ	14 мВ	14 мВ
VT12	-6,85 В	-7,5 В	-8 В	14 мВ	14 мВ	14 мВ
VT13	-13 В	-13,2 В	-20 В	1,5 В	1,5 В	
VT14	-90 мВ	-0,73 В	-9,5 В			
VT15	-13 В	-13,2 В	-20 В	1,5 В	1,5 В	
VT16	-90 мВ	-0,73 В	-9,5 В		5 мВ	1,5 В
VT17	-1,8 В	-2,4 В	3,5 В	0,3 В	0,3 В	1 мВ
VT18	-1,8 В	-2,4 В	-3,5 В	0,3 В	0,64 В	0,64 В
					0,64 В	0,64 В
VT19	-2,7 В	-3,5 В	-24 В		1 мВ	5,5 В
VT20	-2,7 В	-3,5 В	-24 В		1 мВ	2,7 мВ
VT21	-26,5 В	-23,0 В	-26,7 В	5,5 В	5 В	2,7 мВ
(VT23)				12 В	11 В	5,5 В
VT22	-26,5 В	-28 В	-10 мВ	-5,5 В	-5 В	0,1 В
(VT24)				12 В	11 В	0,1 В
VT25	-26,8 В	-27,3 В	-44 В	-5,5 В	5 В	0,1 В
(VT27)				12 В	12 В	0,3 В
VT26	-26 В	-25,3 В	-25 В	5,5 В	5,5 В	
(VT28)				12 В	12 В	
VT29	-29 В	-29,3 В	-44 В			

Блок индикации (см. рис. 3.26).

Таблица 3.20. Значение напряжений на выводах микросхем ($U_{\text{сигн}} = \text{max}$)

№ вывода	ДА1		ДА2		№ вывода	ДА2	
	постоян., В	перемен., В	постоян., В	перемен., В		постоян., В	перемен., В
1					25	+14,8	0
2			+7,4	0	26	+14,8	0
3	3,0	0	-0,4	16	27	+14,8	0
4	-14,0	0,4	-0,4	16	28		
5	4,0	0,4	+15,0	0	29		
6	-15,0	0	0	0,3	30	+14,8	0
7			0	0,3	31		

№ вывода	ДА1		ДА2		№ вывода	ДА2	
	постоян., В	перемен., В	постоян., В	перемен., В		постоян., В	перемен., В
8			0	0,3	32	+14,8	0
9			0	0	33	+14,8	0
10	0,6	1,8	0	0	34		
11	+15,0	0	0	0	35	+14,8	0
12	0	1,8	0	0	36		
13			+4	0	37	+14,8	0
14			+4	0	38		
15			+3,8	0	39	+14,8	0
16			0	0	40	+14,8	0
17			0	0	41		
18			0	0	42	-14,8	0
19			+11,2	6	43		
20			+8,8	3,2	44		
21			-0,4	7	45	-14,8	0
22			0	0	46		
23			+15,0	0	47	-14,8	0
24			-15,0	0	48	-14,8	0

Таблица 3.21. Блок шумопонижения (см. рис. 3.27).

$$U_{вх}=0,5 \text{ В } f=1 \text{ кГц}$$

№ вывода	ДА1	ДА2	№ вывода	ДА1	ДА2
	постоян.	перемен.		постоян.	перемен.
1	-44 мВ		13	-2,8 В	0,11 В
2	+4 В		14	-2,8 В	0,11 В
3	-0,11 В	0,1 В	15	-0,11 В	0,11 В
4	-50 мВ	24 мВ	16	-90 мВ	0,11 В
5	-13,5 В		17		0,1 В
6	-13,45 В		18	-5 мВ	0,11 В
7	-13,45 В		19	-5 мВ	0,1 В
8	-13,45 В		20	-1,1 В	0,18 В
9	-14,35 В		21		0,07 В
10	+14,5 В		22	+6 мВ	4 мВ
11		0,58 В	23		1,2 В
12	-5 мВ	0,1 В	24		

Таблица 3.22. Эквалайзер (см. рис. 3.28).

Обознач. на схеме	Режим	Напряжение на выводах							
		1	2	3	4	5	6	7	8
ДА1	пост. перем.	0,7 В	0,7 В	+15,2 В	0,7 В	0,7 В	0,7 В	-15,2 В	0,7 В
ДА2	пост. перем.	0,2 мВ		+15,2 В		0,2 мВ	2,5 мВ	-15,2 В	2,5 мВ
ДА3	пост. перем.	0,2 мВ		+15,2 В		0,2 мВ	6 мВ	-15,2 В	6 мВ
ДА4	пост. перем.	0,2 мВ		+15,2 В		0,2 мВ	78 мВ	-15,2 В	24 мВ

Обознач. на схеме	Режим	Напряжение на выводах							
		1	2	3	4	5	6	7	8
ДА5	пост. перем.	0,2 мВ		+15,2 В		0,2 мВ	8 мВ	-15,2 В	22 мВ
ДА6	пост. перем.	0,2 мВ		+15,2 В		0,2 мВ	4 мВ	-15,2 В	4 мВ
ДА7	пост. перем.	13 мВ	13 мВ	+15,2 В	13 мВ	13 мВ	0,7 В	-15,2 В	0,7 В
ДА8	пост. перем.	0,2 мВ		+15,2 В			82 мВ	-15,2 В	25 мВ
ДА9	пост. перем.	0,2 мВ		+15,2 В		0,2 мВ	9 мВ	-15,2 В	23 мВ

Таблица 3.23.

Обознач. на схеме	Режим	Напряжение		
		Э	Б	К
VT1	пост. перем.	-0,78 В 20 ÷ 30 мВ	±0,18 В 20 ÷ 30 мВ	+15,2 В
VT2	пост. перем.	-0,78 В 20 ÷ 30 мВ	±0,18 В 20 ÷ 30 мВ	+15,2 В
VT4	пост. перем.	-0,78 В 20 ÷ 30 мВ	±0,18 В 20 ÷ 30 мВ	+15,2 В
VT6	пост. перем.	-0,78 В 20 ÷ 30 мВ	±0,18 В 20 ÷ 30 мВ	+15,2 В
VT7	пост. перем.	-0,78 В 20 ÷ 30 мВ	±0,18 В 20 ÷ 30 мВ	+15,2 В
VT8	пост. перем.	-0,78 В 60 мВ	±0,18 В 60 мВ	+15,2 В
VT9	пост. перем.	-0,78 В 34 мВ	±0,18 В 34 мВ	+15,2 В
VT10	пост. перем.	-0,78 В 24 мВ	±0,18 В 24 мВ	+15,2 В
VT12	пост. перем.	-0,78 В 20 мВ	±0,18 В 20 мВ	+15,2 В
VT14	пост. перем.	-0,78 В 19 мВ	±0,18 В 19 мВ	+15,2 В

Блок питания (см. рис. 3.29).

Таблица 3.24. Значение напряжений на выводах транзисторов

Обозначение на схеме	Постоянное напряжение, В		
	Э	Б	К
VT1	+22,0	+21,5	+15,0
VT2	-22,0	-21,5	-15,0
VT3	+3,3	+3,9	+21,5
VT4	-3,3	-3,9	-21,5

РЕМОНТ И РЕГУЛИРОВКА МАГНИТОФОНОВ

4.1. ФАКТОРЫ, ОПРЕДЕЛЯЮЩИЕ КАЧЕСТВО МАГНИТНОЙ ЗАПИСИ

Воспроизведение с высокой верностью — это такое музыкальное воспроизведение, при котором исчезает улавливание на слух отклонений от оригинала.

Все несовершенства техники звукозаписи, носителей звуковой информации (грампластинок и магнитных лент), звукофиксирующих элементов (звукофиксирующих и магнитных головок), электроакустических преобразователей (микрофонов, головных телефонов), электронных преобразователей (усилителей, эквалайзеров и т. п.) многократно увеличивают искажения и шумы и уменьшают высокую верность воспроизведения.

Дефекты звукозаписывающего и звуковоспроизводящего трактов можно разделить на:

- линейные искажения (искажения АЧХ), которые приводят к увеличению неравномерности частотной характеристики выше допустимой нормы;
- нелинейные искажения, которые могут быть гармоническими (изменяющими тембр звука) или интермодуляционными (создающими новые комбинационные частоты), т. е. появляются новые звуки, которых не было в исходном сигнале;

- динамические искажения, выражающиеся в сужении динамического диапазона (отношение уровней сигнала максимального и минимального);

- переходные искажения, которые проявляются при быстрых изменениях сигнала на входе устройства, когда сигнал близок к прямоугольному импульсу с большой амплитудой;

- механические искажения, которые возникают под влиянием различных вибраций и биений подвижных механических элементов.

Факторы, отрицательно влияющие на качество аппаратуры:

- ограничение частотного диапазона, явления резонанса, искажения, шумы, паразитные модуляции;

- слышимый диапазон звуков примерно в пределах 20...15 000 Гц.

Исследования показали, чтобы получить достаточное слуховое ощущение на частоте 30 Гц, необходим зал длиной 12 метров. Звуки с частотой ниже 40 Гц сравнительно редко встречаются в музыке и не существуют в человеческой речи.

Количество звуковой информации на частотах выше 15 кГц ничтожно мало, и она состоит преимущественно из гармоник с незначительной амплитудой, составляющих тембровый спектр некоторых инструментов.

Подъем или спад частотной характеристики за пределами допустимой неравномерности известны как линейные или частотные искажения.

Резонансные явления

Паразитные резонансы являются причиной ярко выраженных неравномерностей АЧХ НЧ устройств. Это механические резонансы, которые в какой-то мере присущи микрофонам, звукофиксирующим электропроигрывателям, громкоговорителям и акустическим системам.

В динамическом режиме при переходных процессах резонансные явления проявляются и создают звуковые эффекты, которых нет в исходном сигнале. Демпфирование (уменьшение) механических и акустических паразитных резонансов решается при конструировании систем, деталей.

Нелинейные искажения (гармонические и интермодуляционные) вызваны нелинейностью амплитудной характеристики усилителей, шумоподавителей и других устройств.

Появление гармонических частот изменяет тембр звучания. Причем крайне неприятное воздействие на человеческое ухо оказывают гармоники более высоких порядков (шестой и выше), появление которых присуще транзисторным каскадам усилителей («транзисторное» звучание).

Интермодуляция — это еще более серьезное последствие нелинейности амплитудных характеристик.

Нелинейные искажения возникают не только в электронных схемах, но и в электромеханических приборах-звукоснимателях, громкоговорителях, магнитных головках.

Гармонические и интермодуляционные искажения — один из главных параметров, определяющих качество бытового аппарата (магнитофона, усилителя, АС и др.).

Шумы в зависимости от характера и происхождения делятся на:

электронные — это тепловые шумы от различных активных (транзисторов, микросхем) и пассивных (резисторов) элементов;

носителей звукозаписи грампластинок и магнитных лент (эти шумы имеют широкий частотный спектр, и бороться с ними относительно сложно);

шумы от механических повреждений (их проявление связано с пылью, царапинами на грампластинке, с дефектами на поверхности магнитных лент).

Паразитные шумы вызываются в основном из-за проникновения сигналов с частотой сети питания или ее гармоник (ропот, фон). Паразитная модуляция — специфичный тип искажений для звукозаписывающих и звуковоспроизводящих устройств и носителей звуковой информации. Возникает от непостоянства скорости движения носителя звука.

Линейная скорость магнитной ленты и угловая скорость грампластинок меняются под влиянием различных факторов. Часто они имеют периодический характер с произвольной частотой и вызывают изменение высоты тонов, к которым ухо особенно чувствительно, и восприятие неприятно. Другими словами — это паразитная модуляция (ПМ) звуковых сигналов с частотой изменения скорости (детонация). В соответствии с частотой изменения скорости она делится на детонацию в диапазоне от 0,5 до 10 Гц и детонацию от 10 до 300 Гц.

Слуховой эффект от ПМ до 10 Гц — завывание или плавание звука, а от 10 до 300 Гц — хрипение, сиплость чистых тонов.

Как известно, получение фонограммы на магнитной ленте состоит из процесса записи и ее воспроизведения. Поэтому на качество фонограммы и влияют оба процесса. Качество записи в значительной степени зависит от режима намагничивания ленты магнитофоном (точности установки оптимального уровня записи и оптимального тока подмагничивания для данного типа ленты), от качества записывающей головки (неравномерности ее АЧХ и др.), от характеристик ЛПМ магнитофона (коэффициента детонации и др.), от скорости движения ленты (чем выше, тем лучше) и, безусловно, от качества применяемой ленты. Причем все вышеназванные факторы должны присутствовать одновременно. Невыполнение одного из условий значительно снизит качество записи. Большинство названных факторов определяет магнитофон, его класс, но запись зависит и от источника записываемого сигнала.

Предпочтение следует отдать грампластинке с высококачественным ЭПУ, имеющим высококлассную головку звукоснимателя, от которой при прочих равных условиях в значительной степени зависит качество

Таблица 4.1. Цифровая аппаратура магнитной звукозаписи

Параметры	Магнитная звукозапись	
	цифровая	аналоговая (1 к)
	0-20000±0,5 дБ	30-19±3,0 дБ.
Динамический диапазон, дБ	85 (14 разр.) 90 (16 разр.)	60—70 80 с СШП
Кг, %	0,03	1,0
К детонации, %	точн. кварц. генер.	0,03—0,05
Перекрестные искажения между каналами, дБ	—50	—80
Время воспроизведения, мин.	>120 (360)	60—120
Качество звука при многократной перезаписи	не ухудшается	каждая перезапись ухудшает соотношение с/ш на 1,5—2 дБ Кг ↑ в 1,5—2 раза
Монтаж программы	электронный, ручной	ручной
Взаимозаменяемость записей	легкая	затрудненная

фонограммы. Особенно обращается внимание на величину коэффициента нелинейных искажений (весьма желательно 1...2 % и менее). Если источником сигнала служит другой магнитофон, то лучше, если его класс выше. Запись можно производить и через эквалайзер, добиваясь наилучшего субъективного восприятия фонограммы. Применение эквалайзера особенно эффективно при записи со старых, имеющих шумы фонограмм; если необходимо выделить голос певца и т. п.

Но если использовать эквалайзер для подъема верхних частот звукового сигнала, чтобы запись содержала большой их уровень, то это обычно приводит к значительным частотным и особенно нелинейным искажениям записанных верхних частот, так как лента перемагничивается и слышен скорее высокочастотный шум, чем качественное «прозрачное» звучание.

В настоящее время вне конкуренции является лазерный проигрыватель, все параметры которого выше, чем обычного проигрывателя: низкие нелинейные искажения, значительный динамический диапазон фонограммы, практически отсутствие шумов, и в том числе в паузе, «прозрачное» звучание верхних звуковых частот и др. Запись с такого источника, при прочих равных условиях, значительно качественнее, практически сохраняются все вышеназванные преимущества (табл. 4.1).

Влияние давления иглы на качество воспроизведения

При малой прижимной силе гармонические искажения тем больше, чем выше частота записанного сигнала. С повышением частоты (рис. 4.1 а, б, в) игла начинает менять контакт с профилем канавки и поднимается по стенкам.

Если давление нормальное (рис. 4.1, г), то кривая не имеет искажений. На рис. 4.2 показано изменение коэффициента гармонических искажений в зависимости от прижимной силы.

Надо обеспечивать оптимальную прижимную силу.

Недостаточный прижим иглы звукоснимателя оказывает влияние и на частотную характеристику.

При недостаточном давлении наблюдается спад после 10 кГц, а в стереофонических звукоснимателях могут отличаться частотные характеристики обоих каналов в области верхних звуковых частот.

При отсутствии компенсации скатывающей силы давление иглы на внутреннюю канавку будет сильнее (из-за центробежной силы), чем на внешнюю, т. е. в стереозвукоснимателе прижимная сила для левого

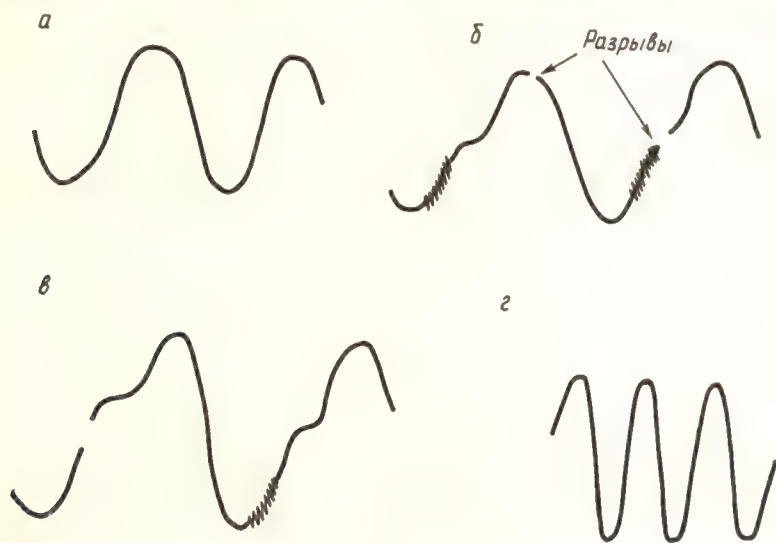


Рис. 4.1. Зависимость формы сигнала от давления на иглу а, б, в — давление недостаточно; г — давление на иглу нормальное



Рис. 4.2. Зависимость коэффициента гармоник от прижимной силы

канала будет достаточна, а для правого нет, что приведет к повышению гармонических, интермодуляционных искажений и ухудшению частотной характеристики правого канала (рис. 4.3 и 4.4).

Нелинейные искажения, вызванные отсутствием компенсации центробежной силы (антискатинга), могут достигать уровня более 10 %. Кроме того, появятся неравномерный износ стенок канавок грампластины и,

следовательно, увеличение шумов и искажений в левом канале, неравномерный износ конца иглы, деформация подвижной системы звукоусилителя и дополнительные искажения.

Чрезмерное увеличение прижимной силы приводит к быстрому износу пластинки и к недопустимой нагрузке звукоусилителя, что создает дополнительные искажения. Исследования высококачественных звукоусилителей показали наличие довольно низкого значения коэффициента интермодуляционных искажений (КИМ) в рабочем диапазоне частот. Чем выше

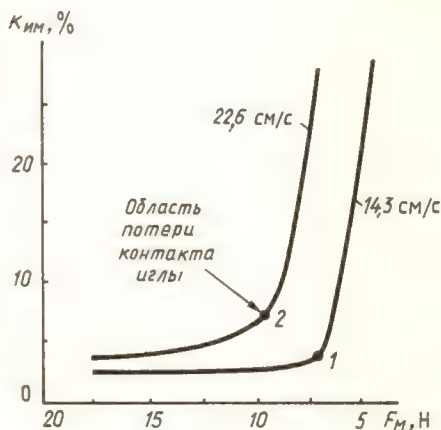


Рис. 4.3. Зависимость коэффициента интермодуляционных искажений от прижимной силы

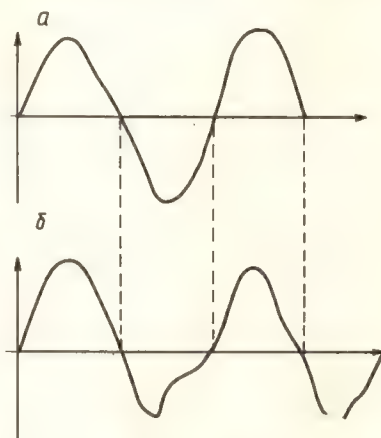


Рис. 4.4. Форма сигнала частотой 1000 Гц левого (а) и правого (б) каналов при нескомпенсированной центробежной силе: а — прижимная сила нормальная; б — прижимная сила недостаточна

давление на иглу, тем он меньше и повышается с увеличением скорости.

У звукоусилителей более низкого качества замечено более резкое увеличение КИМ в области механического резонанса (до 2 %).

В настоящее время на рынке появляется ряд кассетных лент, которые сделаны внешне как у известных фирм, но качество их плохое. Это чаще кассеты, изготовленные (судя по надписи) в Гонконге, Тайване и без надписи фирмы изготовителя. Обнаруживается это в процессе пробных записей. Первый признак низкого качества — это плохая «отдача» ленты, то есть мы устанавливаем номинальный уровень записи, а при воспроизведении уровень порой на несколько децибел ниже (магнитофон исправен, что можно проверить фирменной кассетой). Следует помнить, что применение «долгоиграющих» кассет (например, со временем звучания 120 минут С-120) возможно на весьма качественных аппаратах, а на более простых лента может наматываться на вал и др. В настоящее время имеется большое разнообразие магнитофонных лент зарубежного производства (особенно для кассетных магнитофонов). Для каждого типа ленты необходим «свой» режим записи — воспроизведения, и выбирать ленту следует из возможности создания этого режима работы магнитофона. Если в нем не предусмотрено применение более качественных хромдиоксидных, феррохромных и «металлических» лент, то использовать их нецелесообразно.

Таблица 4.2. Сравнение зарубежных магнитных лент в режиме «запись — воспроизведение» в области верхних звуковых частот

Частота измерения, кГц	8	9	10	11	12	13	14	15	16	17	18	19
Тип ленты	Уровень воспроизведения, дБ											
1. ТДК-Д	+4	+4	+4	+2	-6	-10	—	—	—	—	—	—
2. BASF LN	+4	+4	+4	0	-10	-14	—	—	—	—	—	—
3. SONY CHF	0	0	0	-2	-8	-10	-12	—	—	—	—	—
4. DENON DX-1	+4	+4	+4	0	-6	-10	-12	—	—	—	—	—
5. MAXSELL UD	+4	+4	+4	+2	0	-8	-12	—	—	—	—	—
6. AGFA FeC ₂	+2	+2	+2	+2	+2	0	-4	-8	—	—	—	—
7. BASF GrO ₂	+4	+4	+4	+4	+4	0	-4	-4	-6	—	—	—
8. MAXELL UD-XLII	+4	+4	+4	+2	0	-4	-8	-10	—	—	—	—
9. TDK SA-X	+4	+4	+4	+4	+4	+4	0	-4	-12	—	-12	—
10. FUJI «Metal»	+4	+4	+4	+4	+4	+4	+4	+4	0	0	-4	-4

Не будут реализованы лучшие характеристики этих лент, так как отсутствует необходимый режим записи — воспроизведения (необходимо большее значение токов записи, стирания и подмагничивания).

Выше приведены приближенные практические результаты частотных характеристик в области верхних частот некоторых распространенных у нас лент зарубежного производства (табл. 4.2). Запись производилась на кассетной приставке Техникс RS-M253X с генератора звуковой частоты. Во всех случаях уровень записываемого сигнала соответствовал рекомендованному инструкцией его эксплуатации с оптимальным подмагничиванием. В таблице приведен уровень сигнала при воспроизведении этим же аппаратом в децибелах, определенных по шкале индикатора. Как видно из таблицы, «отдача» лент на верхних звуковых частотах неодинакова. У «нормальных» лент на основе Fe₂O₃ уровень записанного сигнала уменьшился после 10...11 кГц, у лент CrO₂, FeCr после 13...14 кГц. Коэффициент гармоник на частоте 1 кГц был около 1,5 % и 2 % у лент на основе Fe₂O₃ и около 1,5 % у лент на основе FeCr, CrO₂, Me.

У имевшихся образцов отечественных лент коэффициент гармоник составляет 3...4 %, но заметна значительная неоднородность полива лент. Для получения качественной записи — воспроизведения необходимо точно выдерживать режим записи. Превышение номинального уровня записи приводит к увеличению нелинейных искажений сигнала и шума. Индикаторы уровня записи современных магнитофонов позволяют довольно точно контролировать уровень записи, а некоторые содержат и пиковый индикатор, регистрирующий кратковременные превышения уровня сигнала. Заниженный уровень записи также снижает качество фонограммы: приводит к уменьшению ее динамического и к ухудшению отношения сигнал/шум.

Как известно, уменьшение тока подмагничивания ведет к увеличению уровня высокочастотных составляющих звукового сигнала около 6...10 кГц и выше, но в дальнейшем возрастают и нелинейные искажения.

В ряде журналов «Радио» 80-х годов содержатся рекомендации по повышению качества записи оптимизацией тока подмагничивания. Хорошие практические результаты получены опытными радиолюбителями при применении динамического подмагничивания в своих магнитофонах, как катушечных, так и кассетных, отечественного и зарубежного производства. Улучшает качество записи и применение шумопоглощающих устройств, особенно у кассетных аппаратов. Это не только снижает уровень шумов, но и расширяет динамический диапазон записываемой фонограммы.

Современные бытовые магнитофоны и магнитофонные ленты рассчитаны на длительный срок качественной и безотказной работы. Однако долговечность их во многом зависит от правильной эксплуатации и ухода. Практика показывает, что магнитофонная лента длительное время сохраняет вполне удовлетворительное состояние при хранении в обычных комнатных условиях. Однако надо следить, чтобы лента не хранилась вблизи источников тепла, не оставалась длительное время на нагретой панели магнитофона, у радиаторов отопления, на телевизоре, нагреваемом от работы, и т. п. При длительном воздействии тепла лента пересыхает, коробится, может местами осыпаться магнитный слой. Все это ухудшает качество записанной или записываемой фонограммы, приводит к загрязнению ЛПМ магнитофона, рабочих зазоров головок. Неблагоприятно на магнитную ленту влияет солнечный свет. Поэтому, пока лента не используется, ее лучше хранить в темноте, в коробке, защищающей от попадания пыли, песка, грязи и т. п.

Попавшая на ленту грязь, песчинки заносятся в ЛПМ магнитофона, нарушая его нормальную работу и вызывая преждевременный износ, выход его из строя. Да и сама лента царапается от загрязненного ЛПМ, деформируется и после непродолжительного времени использования становится практически непригодной для качественной записи. Естественно, что ленту с магнитной записью надо самым тщательным образом оберегать от воздействия сильных постоянных или переменных магнитных полей, которые могут вызвать частичное или полное стирание записей, копирование записи с одних витков на другие. Источником таких полей могут быть силовые трансформаторы, питающие бытовые аппараты, автотрансформаторы, мощные постоянные магниты громкоговорителей акустических систем и другие подобные устройства.

Хорошее воспроизведение и запись можно получить только при хорошем контакте ленты с рабочим зазором магнитной головки. Допустимая величина отхода ленты от рабочего зазора не должна превышать 0,5... 1 мкм. Одной из причин «ухода» ленты от головки является загрязнение последних частицами пыли, всегда имеющимися в достаточном количестве в воздухе. Эта пыль оседает вниз на ленту и детали ЛПМ. Тем более что лента и детали электризуются при трении, еще сильнее притягивая частицы пыли. А для этого необходимо регулярно проводить чистку магнитофона, особенно тракта движения ленты, магнитных головок, прижимных роликов, направляющих. Использовать для этого можно ватный тампон, смоченный в спирте или одеколоне. Некоторые зарубежные фирмы для чистки головок своих магнитофонов не рекомендуют использовать спирт, а применяют специальные «фирменные» средства. Ввиду отсутствия последних на практике успешно используют пониженную концентрацию спирта, и это существенно не влияет на состояние поверхности головки. Практически большую часть суток аппараты не используются, поэтому лучше в это время закрывать их полиэтиленом. Количество пыли значительно уменьшится, а качество работы и долговечность аппаратов возрастут. Необходимо также тщательно выполнять рекомендации по эксплуатации аппаратов, месту их установки, руководствуясь при этом в первую очередь созданием оптимальных условий для нормальной работы, а уж потом дизайном. У аппаратов, установленных в специальные стойки, шкафы и т. п., ухудшается вентиляция, что приводит к дополнительному нагреву аппарата, а размещение аппаратов прямо на усилителях мощности (особенно работающих в режиме А) приводит к значительному перегреву и быстрому выходу из строя. Некоторые высококачественные аппараты зарубежного производства требуют применения стабилизаторов напряжения сети.

Факторы процесса записи и их влияние на качество звучания

Остаточный магнитный поток намагниченной ленты до насыщения:

$$\Phi_{rs} = \mu_0 H_c b D d / N_v = \mu_0 M_{rs} b d D,$$

где

μ_0 — относительная магнитная проницаемость;

H_c — коэрцитивная сила;

b — ширина дорожки записи;

D — объемная концентрация магнитных материалов в рабочем слое
($D = 0,25 \dots 0,45$);

d — толщина рабочего слоя;

N_v — коэффициент внутреннего саморазмагничивания;

M_{rs} — остаточная намагниченность.

Этот поток является случайной функцией координаты ленты — при воспроизведении наблюдается флуктуация потока.

В результате лента ведет себя как источник шума, который в зависимости от ее магнитного состояния имеет разные характеристики. В связи с этим воспроизводимый головкой шумовой сигнал получил разные названия.

Шум размагниченной ленты возникает от ленты размагниченной в специальном устройстве с пространственно распределенным и медленно спадающим полем. Такой способ размагничивания обеспечивает наименьший остаточный уровень шума.

Шум паузы появляется в каналах записи, когда в отсутствие полезного сигнала на ленту воздействует только ток ВЧ подмагничивания. Шум паузы превышает шум размагниченной ленты на 3...7 дБ в зависимости от типа ленты, частоты ВЧ подмагничивания, конструкции головки записи (ГЗ).

Шум намагниченной ленты наблюдается, когда лента намагничена постоянным током и нормируется для случая намагничивания до насыщения, когда достигает максимальной величины. Этот шум на 20 дБ и более превосходит шум паузы.

Модуляционный шум возникает при записи переменного сигнала. Он характерен тем, что приблизительно пропорционален локальной намагниченности ленты, т. е. модулирован записанным сигналом.

По источникам происхождения шума подразделяются еще на контактные и структурные.

Контактные обусловлены непостоянством контакта между лентой и головками.

Структурные обусловлены магнитной неоднородностью рабочего слоя, которая возникает из-за ряда причин: неравномерная объемная концентрация магнитных частиц, различия магнитных свойств частиц, нарушения ориентации игольчатых частиц, изменения толщины рабочего слоя.

Основные источники структурного шума

Неравномерная объемная концентрация частиц в слое приводит к флуктуации магнитного потока ленты, и дисперсия потока тем больше, чем выше неравномерность концентрации частиц.

Уменьшение размеров частиц и соответственное увеличение их количества в сечении рабочего слоя способствует уменьшению этой составляющей шума.

Неодинаковость магнитных свойств феррочастиц, составляющих рабочий слой, является второй по важности причиной структурного шума ленты. Магнитные свойства частиц зависят от их геометрических размеров

и даже при размагниченной ленте в слое сокращается некоторое количество частиц, имеющих остаточную намагниченность. Произвольная ориентация их в слое соответствует его размагниченному состоянию, однако неравномерность распределения, рассеяние магнитных свойств и углов ориентации частиц приводит к появлению шумового магнитного потока. Эти изменения, а следовательно, и шум намагниченной ленты пропорциональны самой намагниченности.

Полная мощность шума в головке воспроизведения (ВГ) пропорциональна ширине дорожки B и квадрату скорости ленты v . Головка воспринимает магнитный поток не только с зоны контакта, но и справа и слева от геометрической дорожки. Эффективная ширина $b_z = b + 0,1\lambda$, где λ — длина волны. Изменение расстояния между лентой и головкой является другой составляющей шума. Контактный шум возникает как в процессе записи, так и в процессе воспроизведения (с разными эффектами при записи и воспроизведении). На это в большей степени влияет контакт с ГВ. В процессе записи при больших токах это явление может быть почти незаметно.

Причины контактного шума: шероховатость ленты, ее вибрации и загрязнения поверхности (прижим, натяжение и др.).

В общем, шум ленты процесс случайный и обуславливается:

1) микроструктурой рабочего слоя ленты (магнитной и механической);

2) вибрациями, загрязнениями и т. п.

Ленты

При эксплуатации лент могут быть выявлены их дефекты, существенно влияющие на качество записи и воспроизведения.

Сабельность ленты (кривизна рабочего края ленты) приводит к плохой ее намотке на катушку, перемещению поперек головок, динамическому перекосу, сползанию из-под роликов.

Коробление ленты (в свободном состоянии лента принимает форму желоба) ухудшает ее намотку, приводит к неодинаковой силе ее прижима к головкам вдоль рабочего зазора.

Шероховатость рабочего слоя вызывает повышенный износ головок, шум, паразитную фазовую модуляцию, пропадание сигнала. Величины шероховатости приведены в табл. 4.3.

Износостойкость ленты определяет ее способность сохранять неизменность отдачи в течение некоторого большого числа прогонов через ЛПМ.

Проведены исследования и измерения в трех режимах работы: I — рабочий ход; II — рабочий ход и перемотка с касанием головки воспроизведения; III — рабочий ход и перемотка с постоянным контактом со всеми головками, в том числе со стирающей ферритовой.

Ферритовая стирающая головка оказывает наибольшее изнашивающее действие на ленту, причем самым существенным оказывается влияние кромок зазора, где часто наблюдаются острые края микроизносов. Испытания подтвердили, что наиболее тяжелым является режим III. Лента старого типа А4615-6Р испытаний не выдержала, высокие результаты показала новая лента А4620-6Р для профессиональной звукозаписи. Из испытанных лент семи типов только одна выдержала испытания без ухудшения отдачи — это PER 528 фирмы Agfa (ФРГ).

В таблице (4.4) приведены итоги испытаний по изменению уровня шума намагниченной ленты в результате прогонов через ЛПМ.

Помимо равномерного износа всего рулона ленты нередко наблюдаются серьезные локальные повреждения рабочего слоя, которые ведут к

Таблица 4.3. Величины шероховатости лент Fe₂O₃

Тип ленты	СКОТЧ-223	PE 46	ТДК ЗД	ПИРАЛЬ GD	I4213 I4212	I4406 I4414 I4416 I4424	I4226 I4311 I4321
					измерительные СССР		
Шероховатость, мкм	0,17	0,16	0,08	0,33	0,4	0,25	0,35

Таблица 4.4

Тип ленты	Фирма, страна	Уровень шума, дБ		
		до испытаний	700 прогонов режим II	700 прогонов режим III
SPL LHL	BASF, ФРГ	—(45...47)	—(43...45)	—39
UD50	Maxell, Япония	—(43...45)	—(38...49)	—36
A4620-6P	Свема, СССР	—43	—(38...50)	—33
A4615-6P	Свема, СССР	—(38...39)	—(10...27)	—(26...28)
ORWO104	ORWO, ГДР	—43	—(42...43)	—42
LGP30P	BASF, ФРГ	—(45...46)	—(44...45)	—38
PER528	Agfa, ФРГ	—45	—45	—45

выпадениям сигналов (особенно это важно при записи программ для компьютеров).

Режим воспроизведения не является «безобидным» для лент. Многократное воспроизведение ухудшает качество.

В процессе работы изнашивается лента, но в еще большей степени она изнашивает головки. Параметр абразивности ленты характеризует интенсивность этого износа.

Абразивность определяют по степени износа алюминиевой пластинки (марка А5) на скорости 19,05 см/с при натяжении 2,5 Н (для ленты шириной 6,25 мм). За единицу измерения абразивности принимается изменение высоты пластинки в микрометрах на 1 м пропущенной ленты. Абразивность зависит от многих факторов. Она пропорциональна давлению ленты (натяжение и угол охвата головки). С ростом скорости абразивное действие ленты падает. Абразивность разных лент может отличаться на порядок и более. Рост влажности ленты и окружающего воздуха приводит к существенному увеличению абразивности (в зависимости от материала образца). У новой ленты абразивность выше, чем у побывавшей в эксплуатации.

Ленты с использованием двуокиси хрома отличаются большим абразивным действием, чем окиси железа, и иногда в состав этого слоя для уменьшения абразивности вводят добавку окиси железа.

Головки

Главное достоинство аморфных головок — возможность работать с магнитными лентами большой коэрцитивной силы, например металлическими, т. к. аморфные материалы характеризуются большой индукцией насыщения.

Механическое воздействие головки и ленты

В процессе работы аппарата магнитной записи магнитные поля ленты и головок взаимодействуют между собой. Для повышения эффективности этого взаимодействия лента должна надежно контактировать с головками.

Движение ленты по рабочей поверхности головки сопровождается тремя явлениями, которые препятствуют поддержанию контакта:

1. Шероховатость ленты. Из-за нее образуется некоторый эффективный зазор. Шероховатость в пределах $0,01 \dots 0,1$ мкм приводит к поддержанию (образованию) неконтакта $0,03 \dots 0,3$ мкм, т. е. с коэффициентом 2,7. Нарушения поверхности в виде выступов и провалов приводят к кратковременным полным потерям контакта и вызывают выпадения-падения амплитуды сигнала более чем на 50 %.

2. Проявление сил инерции, возникающих при огибании головки. Они совместно с собственной жесткостью ленты в некоторой степени нейтрализуют статическое натяжение ленты и уменьшают ее давление на головку.

Жесткость ленты и ее прилегание существенно зависит от температуры (например, ленты фирмы BASF в интервале температуры $-40 \dots +60$ °C изменяют свою жесткость от 4 до $0,5$ Н/мм²).

3. Появление воздушной подушки. Воздух на повышенных скоростях движения ленты (более $0,7$ м/с) увлекается ею и образует тонкую воздушную прослойку между лентой и головкой. Угол охвата головки лентой d (рис. 4.5) должен быть как можно меньше по следующим причинам: уменьшается «змейка» при больших длинах волн записи, отклонение



Рис. 4.5. Угол охвата лентой головки

головки от перпендикулярности к плоскости движения ленты в меньшей степени уводит ее в поперечном направлении, снижается количество продуктов износа ленты и головки, загрязняющих элементы ЛПМ.

С другой стороны, чем больше угол охвата, тем больше сила прижима ленты к головке и надежнее контакт, необходимый для нормальной работы аппарата. Поэтому компромиссным решением является, когда $d = 4 \dots 10^\circ$.

В процессе работы МГ изнашиваются, что приводит к уменьшению глубины рабочего зазора и способствует росту эффективности прилегания ленты до тех пор, пока зазор не окажется стертým полностью, после чего головка быстро выходит из строя.

Головка может выйти из строя и раньше. При своем движении лента наносит на зазор материал сердечника (если сердечник металлический), который образует магнитный шунт зазора. Такой блок головки восстанавливается полировкой рабочей поверхности, как и при изготовлении.

Иногда головки намагничиваются, что приводит к падению уровня воспроизводимого сигнала, форма его искажается (надо размагнитить).

Процесс записи

Как отмечалось ранее, высокочастотное подмагничивание при записи применяется для уменьшения нелинейных искажений. Нелинейные искажения представлены преимущественно третьей гармоникой (рис. 4.6).

Закономерности, показанные на графике, типичны для магнитных головок различных конструкций и магнитных лент разных типов. Из графиков видно, что уровень нелинейных искажений может быть уменьшен путем подбора оптимальных токов записи и подмагничивания до -40 дБ и более относительно своего максимального значения.

Уровень третьей гармоники неодинаков у сигналов, записанных с различной длиной волны (различной частоты). Эта разница в зависимости от типа ленты может достигать нескольких децибел. Для сигнала какой-то

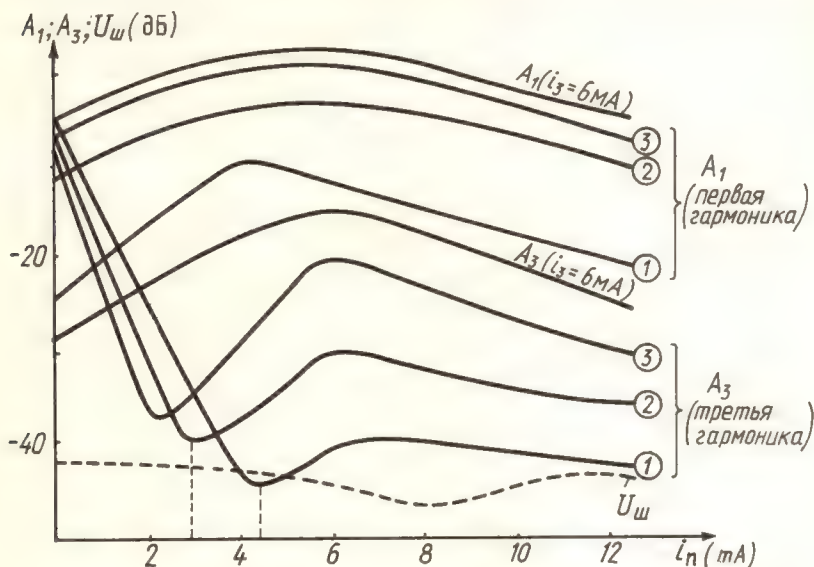


Рис. 4.6. Зависимость уровней A_1 (первой) и A_3 (третьей) гармоник в воспроизводимом сигнале от тока записи i_3 и тока высокочастотного подмагничивания i_n

одной частоты можно подобрать ток подмагничивания, минимизирующий уровень искажений, но он не будет оптимальным для сигналов других частот. Поэтому в широком частотном диапазоне при обычных схемах подмагничивания не удастся получить Кг менее 1...3 % (в зависимости от типа ленты). Существует много различных схем оптимизации тока подмагничивания, дающих хорошие результаты.

Регулировка тока подмагничивания изложена на странице 261.

Благодаря закономерностям намагничивания четные гармоники при записи теоретически не возникают (почему и оценивают нелинейные искажения по уровню третьей гармоники), но в реальных каналах их появление не исключено.

Причинами появления четных гармоник могут быть: воздействие постоянного магнитного поля, появление в головке записи токов утечки конденсаторов, наличие четных гармоник в токе подмагничивания.

Шум канала. Ток ВЧ подмагничивания оказывает влияние и на величину шума в паузе. Как правило, минимум шума наблюдается при I_n несколько превышающем ток подмагничивания, соответствующий минимуму искажений (см. график рис. 4.6).

Таким образом, для получения оптимальных значений трех важнейших параметров (уровня полезного сигнала, нелинейных искажений и шума) требуется установка различных токов подмагничивания.

Регулировкой (стр. 261) добиваются компромиссного решения.

Частотные характеристики

Форма АЧХ формируется под воздействием двух факторов: собственной АЧХ канала «запись — воспроизведение» (основное) и рядом дополнительных явлений (частотные потери, нарушения в геометрии рабочих

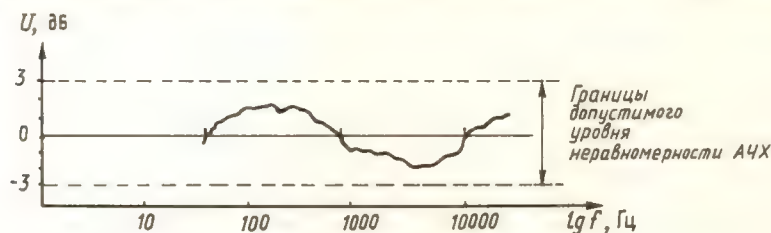


Рис. 4.7. Допуски на АЧХ сквозного канала

зазоров и др.), и АЧХ звеньев частотной коррекции, включенных в состав канала и предназначенных для компенсации неравномерности АЧХ. Кроме того, АЧХ канала зависит от «субъективных факторов»: экземпляра головки в данном аппарате, образца магнитной ленты, степени износа лент и головок, плохого контакта лент с головками и т. д. Поэтому абсолютно полная коррекция АЧХ сквозного канала практически недостижима. Для неравномерности сквозной АЧХ канала установлен довольно широкий допустимый уровень ± 3 дБ. (рис. 4.7).

Шумы в каналах при записи

Уровень сигнала определяется намагниченностью ленты при заданном уровне нелинейных искажений. Уровень шума — собственным шумом магнитной ленты, и этот шум — принципиальная нижняя граница шумов канала.

Относительный уровень шума паузы, т. е. отношение шума ленты, подвергнутой действию тока ВЧ подмагничивания, к величине сигнала зависит от типа ленты (табл. 4.5).

Таблица 4.5.

Тип ленты	PS 25 (ГДР)	PE 46 (ФРГ)	LGS 25 (ФРГ)	P 200 (Франция)	A4403-6 (СССР)	СК0ТЧ-190 (США)
Уровень шума относительно максимального сигнала, дБ	—51	—56	—49	—51	—50	—50

Данные получены для ширины дорожки 6,25 мм. В случае многодорожечной записи относительный уровень шума возрастает по закону $\sqrt{6,25/v}$, где v — ширина дорожки.

В результате в зависимости от ширины дорожки возникает следующий прирост уровня шума (табл. 4.6).

В канале «запись — воспроизведение» к шуму ленты добавляются шумы, помехи иного происхождения: шум усилителя, собственный шум головки воспроизведения, переходные помехи, наводки от токов механизмов. Наиболее заметен шум усилителя, величина которого (приведенная ко входу) в зависимости от частотного диапазона составляет от единицы до нескольких десятков микровольт.

Таблица 4.6.

Ширина дорожки, мм	1,27	0,63	0,46
Прирост уровня шума, дБ	+7	+10	+11,5

Шум усилителя наиболее заметен на малых скоростях воспроизведения, когда сигнал головки мал и составляет десятки, сотни микровольт. С ростом скорости увеличивается сигнал головки воспроизведения, но влияние шумов усилителя практически не меняется, т. к. пропорционально увеличению скорости расширяется АЧХ канала. Кроме того, на высоких скоростях и, соответственно, высоких частотах начинают появляться помехи проникания, наводки, собственные шумы головки. Воздействие этих факторов приводит к тому, что соотношение сигнал/шум составляет примерно 20...36дБ и практически мало зависит от скорости, а больше от ширины дорожки записи. Улучшить соотношение сигнал/шум позволяют системы шумопонижения, но они вносят искажения сигнала (правда, малозаметные для слушателя).

Оценка соотношения сигнал/шум в звукозаписи производится с использованием взвешенного частотного фильтра, учитывающего субъективные особенности восприятия человеческого уха, и значения соотношения сигнал/шум получаются более высокие.

Ранее названные шумы появляются в отсутствие сигнала, в паузе. Но имеются шумы, которые появляются именно в присутствии сигнала, с уровнем, наибольшим, чем больше амплитуда сигнала. Они проявляются в виде модуляционного шума, нестабильности амплитудной характеристики.

Величина модуляционного шума зависит от уровня тока ВЧ подмагничивания, т. к. выбором i_n можно в некоторой степени ослаблять контактную составляющую. Тогда модуляционный шум определяется физико-механическими и магнитными неоднородностями рабочего слоя. Его относительный уровень приблизительно на 15...20 дБ превышает уровень размагнитченного носителя в зависимости от свойств магнитных лент.

Ниже приводятся данные превышения шумом намагнитченной ленты шума паузы для лент некоторых типов (табл. 4.7).

Таблица 4.7.

Тип ленты	СКОТЧ-401	СОНИ-32	T4305	A4402
Превышение шума, дБ	14,5	22	16,5	20

В реальных условиях записи, если ленту не намагничивать до насыщения (не превышать оптимальный уровень записи), шум намагнитченной ленты на 2...6 дБ ниже.

Жесткие требования предъявляются к симметрии тока подмагничивания. Коэффициент несимметрии тока ВЧ подмагничивания: $K_{нс} = (I_2/I_1) \sin \varphi$, где I_1 — ток основной гармоники, I_2 — ток второй гармоники, φ — фазовый сдвиг между основной и второй гармониками (рис. 4.8).

Из рисунка видно, что уровень шума паузы возрастает на 0,8...1,2 дБ на каждый процент роста несимметрии тока подмагничивания.

Возрастание шума происходит за счет намагничивания ленты посто-

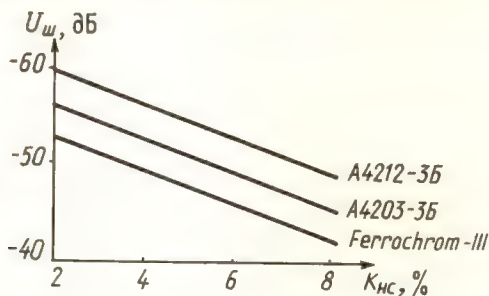


Рис. 4.8. Зависимость шума ленты от $K_{нс}$

янной составляющей в колебании при наличии четных гармоник. Это и объясняет применение двухтактных генераторов, обладающих более высокой степенью симметрии.

Установка акустических систем (АС)

При размещении АС в комнате обычно не руководствуются строгими правилами и законами акустики. Чаще вынуждены устанавливать там, где имеется место, в соответствии с габаритами АС. Самое оптимальное место, с точки зрения звучания, обычно находят экспериментальным путем после неоднократных перестановок.

При этом можно использовать некоторые рекомендации, приведенные ниже. Акустические системы могут быть поставлены вертикально или горизонтально. При вертикальном положении высокочастотные громкоговорители должны оставаться в верхней части и располагаться приблизительно на высоте слушателя, т. к. эти громкоговорители имеют более острую диаграмму направленности звуковых волн.

Поэтому при горизонтальном положении АС высокочастотные громкоговорители должны находиться с внутренней стороны. Если АС плотно прижаты к углам комнаты, то максимально подчеркиваются нижние частоты, и если наблюдается «гудение», то системы следует отодвинуть от углов. Если поднимать АС на некоторую высоту от пола, то затухание нижних частот будет более сильное. Чрезвычайно громкое звучание нижних частот получается при удалении задней стенки АС от стены, но оно неестественно.

Обычно данные об искажениях акустических систем, громкоговорителей в каталогах не приводятся, видимо, из чисто коммерческих соображений. Нелинейные искажения АС, громкоговорителей во много раз выше, чем у остальных аппаратов (усилителей, магнитофонов и др.). Кроме того, они имеют и большие частотные искажения. У громкоговорителя они проявляются чаще на определенных частотах или в узком диапазоне частот. Самые большие искажения наблюдаются на нижних частотах и на 30 Гц могут достигать несколько десятков процентов, но

акустическая мощность на этих частотах настолько мала, что эти искажения слабо проявляются.

Приблизительное представление об искажениях, создаваемых громкоговорителем или акустической системой, можно получить следующим образом (рис. 4.9).

Генератор должен плавно изменять частоту, микрофон — высококачественный, а вход у осциллографа — высокочувствительный, чтобы можно было наблюдать сигнал прямо с микрофона. В противном случае

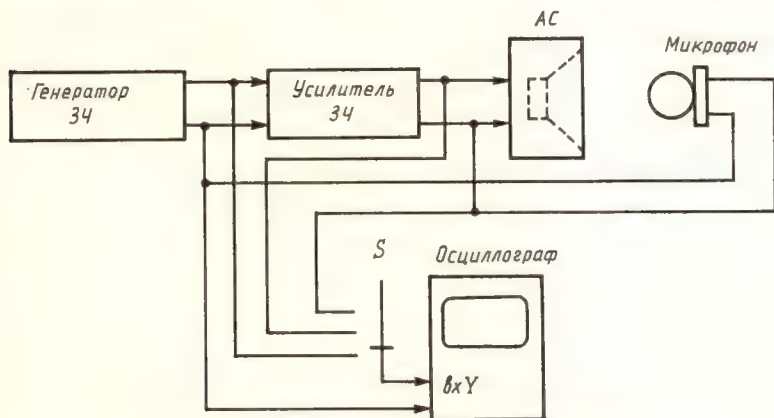


Рис. 4.9. Приближенное измерение коэффициента гармоник громкоговорителя в любительских условиях

необходимо использовать микрофонный усилитель. Вместо генератора можно использовать электропроигрыватель с измерительной пластинкой, на которой записаны сигналы частот звукового диапазона.

Подключая осциллограф к выходу генератора, затем к выходу усилителя, наблюдаем искажения самого усилителя, а затем подключаем осциллограф к микрофону и увидим существенную разницу в форме сигналов (значительные искажения). Искажения особенно заметны в области нижних частот (30...40 Гц). Такой метод не дает количественной оценки искажений, не позволяет увидеть «поведение» различных громкоговорителей, но позволяет ориентировочно выбрать лучшие из имеющихся в наличии.

4.2. МЕТОДЫ ОТЫСКАНИЯ НЕИСПРАВНОСТЕЙ

При ремонте аппаратов магнитной записи отыскание неисправности — это один из наиболее сложных процессов. Найти неисправность — значит найти отказавший элемент или ошибку сборки и монтажа аппарата.

Для более быстрого обнаружения неисправности требуется хорошее знание: принципиальной схемы аппарата и его конструктивных особенностей; порядка разборки аппарата; способов проверки работоспособности отдельных блоков, узлов и радиодеталей; работы с измерительной аппаратурой.

Перед началом ремонта конкретного аппарата у радиомеханика обычно «созревает в голове» определенный план поиска неисправности, возникающий в результате логического мышления над полученной ин-

формацией о работе аппарата, особенностях его принципиальной схемы и механики и просто личного практического опыта.

Если такого плана нет, значит, ремонтник не подготовлен полностью к работе по ремонту аппарата и может отыскать лишь относительно простые, ясно видимые неисправности, руководствуясь общими методами их отыскания, которые обязан знать. У занимающихся ремонтом радиоэлектронной аппаратуры развивается логическое мышление, которое и создает план поиска неисправности. Но для этого должна быть определенная база знаний, умений и навыков.

Для того, чтобы искать причины ненормальной работы аппарата, надо знать, как он должен работать нормально. Так, в случае с магнитофонами надо представлять общие принципы магнитной записи и воспроизведения звука, схемные решения отдельных его каскадов и конструкцию механических узлов, а затем более подробно знакомиться с конкретным аппаратом. Так, при изучении принципиальной схемы выяснить: имеется ли универсальный усилитель записи — воспроизведения, или они раздельные; каков способ коммутации головки ко входу усилителя, корректирующих цепей и др.

При изучении механической части магнитофона обратить внимание на передачу двигатель — ведущий вал, способ подмотки приемного узла и подтормаживание подающего, работу перемотки и т. д. Если нет описания работы кинематики магнитофона, то в ней надо разобраться при внимательном внешнем осмотре, обращая внимание на взаимодействие узлов, особенно с пружинами, которые могут ослабевать или соскакивать со своих мест, определить назначение каждой тяги, планки и т. п. При этом надо помнить, что вращающиеся детали (прижимной ролик, ведущий вал и др.), как правило, в свободном состоянии, должны вращаться легко, в противном случае — промыть и немного смазать. Не надо спешить разбирать лентопротяжный механизм, не определив точно цели работы. Особенно это относится к автомобильным проигрывающим устройствам. Они компактны, имеют много деталей, и сборка их сложна. Бездумная разборка такого механизма приведет к тому, что собрать его будет крайне сложно.

При неисправности в любом аппарате необходимо сначала получить максимум информации, используя все внешние регулировки, цепи подачи и снятия сигнала, показания индикаторов, характер шумов громкоговорителя, надежность контактов соединительных шнуров, правильность подачи уровня сигнала (на тот ли вход усилителя или вход для записи) и др.

Например, воспроизведение отсутствует, а индикатор работает, показывая уровень сигнала, значит, головка, ее коммутация и часть схемы до индикатора включительно исправны. Если запись проводится с большими искажениями, при нормальном уровне, предполагая, что нет тока подмагничивания, следует проверить, работает ли вообще ГСП. Для этого нужно попробовать стереть запись, если она стирается, значит, ГСП работает и неисправность надо искать уже более детально в схеме подачи подмагничивания и др. Или, к примеру, нет воспроизведения у магнитофона (с оконечным УЗЧ), а в громкоговорителях слышен характерный шум, как в паузе, видимо, оконечный УЗЧ работает.

Из принципиальной схемы магнитофона следует определить, где подключены индикаторы (или один) уровня записи и что в таких случаях они должны показывать (напряжение питания, уровень сигнала); имеется ли линейный выход стерео или моно (в некоторых зарубежных, простых магнитолах, малогабаритных магнитофонах нет) и каков уровень выходного сигнала; имеется ли выходной усилитель звуковой частоты

моно или стерео и отключается ли в нем громкоговоритель; каков способ подачи напряжения питания от батарей и от сети (особенно у малогабаритных аппаратов), как осуществляется коммутация; на каком участке схемы подключены головные телефоны и др.

Такие сведения помогут принять определенный логический план поиска неисправности. Так, например, при отсутствии записи в магнитофоне с универсальным усилителем можно проверить, есть ли воспроизведение, и если оно имеется, то головка и универсальный усилитель исправны, а неисправность следует искать в цепях подачи сигнала для записи и коммутации головки, индикаторов, универсального усилителя. Если же нет и воспроизведения, то проверить, работает ли индикатор уровня сигнала, и если он работает, то часть схемы до него работает, а неисправность где-то после него, до головки, и т. д.

Изучать принципиальную схему нужно до тех пор, пока не появится определенный план. Сейчас во многих аппаратах, особенно в кассетных магнитофонах-приставках, многие платы выполняются на многоконтактных механических разъемах. Такие контакты могут со временем окисляться, ухудшаться сила прижатия в результате тряски или просто ломаться. В таких случаях сигнал, проходя через такие контакты, может отсутствовать, могут прослушиваться сильные трески, искажения сигнала. Поэтому при подозрении на такую причину плату или разъем достаточно вынуть и осмотреть, промыть ее контакты спиртом, одеколоном, а может, омметром проверить их надежность, места пайки еще раз пропаять. На работающем аппарате иногда даже прикосновение к такой плате, разъему приводит к появлению сигнала или пропаже треска. Если же в аппарате не работает механика, а управление ею квазисенсорное, то следует изучить схему управления, узнать, как поступает напряжение на двигатель, электромагниты и т. п.

Таким образом, прежде чем разбирать аппарат, добираясь до монтажа, надо использовать все возможные косвенные проверки. Коль уже решено разбирать аппарат, то это надо делать тоже внимательно. Порядок разборки аппарата изложен в заводской инструкции по его ремонту и регулировке. При ее отсутствии следует руководствоваться общими принципами. Винты, крепящие корпус, обычно располагаются по краям, и они, как правило, одинаковые. В зарубежных переносных магнитолах, магнитофонах винты, крепящие корпус, могут располагаться и в отсеке, где размещаются гальванические источники питания, а верхняя часть может крепиться на пластмассовых защелках. Трудность разбора состоит в том, что мы не видим их, не знаем, в каком месте они расположены, и чрезмерно приложенные усилия могут привести к повреждению корпуса. Их же проектируют так, что нет необходимости прикладывать чрезмерные усилия при разборке. Ослабляя все винты, мы должны почувствовать, как «расслабляется» корпус, и иногда окончательно отвинтить их. Чтобы не повредить лицевые панели аппаратов при разборке и работе с ними, на стол обычно подкладывают слой поролона или что-нибудь аналогичное. Внимательно надо отвинчивать винты на металлических несущих шасси, где закреплены практически все узлы магнитофона. Так можно случайно отвинтить и тяжелую деталь, узел, который, падая, вызовет обрывы проводников, нарушение монтажа, поломки деталей и др.

Поиск неисправности обычно ведется в следующей последовательности:

1. Определение неисправного блока в аппарате (усилитель записи, генератор стирания и подмагничивания и т. п.).
2. Определение неисправного каскада в блоке.
3. Отыскание неисправностей детали в каскаде.

4. Анализ причин выхода из строя детали.

5. Подбор и замена детали.

6. Послеремонтная проверка и регулировка каскадов в блоках и аппарата в целом.

Перед началом поиска неисправности целесообразно выяснить (по возможности) причины выхода из строя аппарата (удары, падения, попадание воды и т. п.), когда и при каких обстоятельствах случилась неисправность (при переключении режимов работы, включении питания, увеличении громкости и т. п.).

Такие, порой незначительные, сведения могут помочь в определении правильного направления поиска неисправности. Например, если магнитофон перестал работать после падения или резкого толчка, то, вероятнее всего, случился обрыв детали, контакта, провода и т. п.

На практике могут применяться различные методы отыскания неисправностей, но обычно начинают с внешнего осмотра.

Внешний осмотр. Под внешним осмотром понимается использование не только зрения, но и слуха, обоняния, а при наличии знаний и логического мышления можно обнаружить многие механические и электрические неисправности.

Более детально осмотру подвергаются «подозреваемые» места: узлы, детали. Например, если при включении аппарат не работает вообще, то проверяют целостность предохранителей и их ток защиты, состояние шнура питания, присоединительной колодки и др. Если же при включении слышно громкое гудение трансформатора, двигателя, электромагнита и т. п., то надо сразу выключить аппарат, понимая, что причиной является большая перегрузка названных деталей: большой потребляемый ток от трансформатора, большая нагрузка на вал двигателя и др. При этом часто перегорает предохранитель. Поиск неисправности на первом этапе направлен на выяснение вышеназванных причин. Иногда при включении аппарата через небольшой промежуток времени слышен характерный запах гари от пропиточных лаков обмоток трансформаторов, двигателей и т. п. В этом случае также сразу выключают аппарат и, прикасаясь к деталям рукой, определяют, какая из них горячая или из какой из них исходит запах. Причиной быстрого нагрева является большой ток вследствие замыкания между обмотками, витками или большая нагрузка на двигатель. При включении прослушивают и характер шума ЛПМ. У нормально работающего аппарата шум тихий, равномерный. Если прослушиваются стуки, скрипы, периодические задевания вращающихся деталей (это обычно вызывает плавание звука), то неисправность следует искать в ЛПМ. Нужно внимательно осмотреть, равномерно ли вращаются соответствующие детали, ролики, и в случае их подергивания, проскальзывания и т. п. проверить состояние их поверхности, степень износа и зацепления. Проверить наличие трещин или масла на пасаках, их растяжение, перекручивание и др.

При осмотре монтажа, плат обратить внимание сначала на состояние разъемов, их контактов, особенно неработающего блока. Определить, нет ли искрения в разъемах, а если на контактах питания черный налет, то вполне возможно, что контакт там отсутствует (ранее было искрение). В этом случае разъем вынимают, контакты зачищают, смотрят, нет ли поломок, надежен ли прижим, пинцетом подергивают идущие провода, проверяя, надежна ли пайка и т. п.

После осмотра контактов разъемов переходят к более внимательному осмотру печатной платы. Особое внимание следует обратить на наличие трещин, дырочек и т. п. на пластмассовых корпусах транзисторов микросхем (первые признаки их негодности), проверить, не отломаны ли выводы

у них, все ли элементы на плате. Иногда возможны обозначения элементов на плате, отверстия есть для их выводов, а самих элементов нет. Вначале выяснить по схеме, должны ли они там быть. Возможно, плата подготовлена для другой модификации и их в данном случае не должно быть. Обратить внимание на цвет резисторов, проволочных резисторов. Обугленные заменить, слегка коричневые еще могут работать. Можно проверить наличие контакта у подстроечных резисторов путем легкого нажатия на ползунок или небольшого его перемещения в одну или другую сторону.

При осмотре платы со стороны монтажа можно увидеть, производился ли ранее ремонт. В этом случае по-другому выполнены пайки, обычно не покрыты лаком, таким, как при заводском изготовлении. Следует также проверить, нет ли перегоревших, оборванных токопроводящих дорожек, нет ли на них очень тонких разрывов, трещин и т. п.

При неработающем выходном усилителе звуковой частоты можно прикоснуться пальцем поочередно к выходным транзисторам. Если они (или один из них) холодные при поданном напряжении питания и сигнале, то, вероятно, неисправны они или их цепи, так как не проходит ток, который в нормальном режиме должен их разогревать. Если транзисторы очень горячие, это тоже свидетельствует о неисправности. Необходимо проверить, надежен ли тепловой контакт с радиатором, особенно если он осуществляется через слюдяную изоляционную прокладку и теплопроводную пасту. Аналогично проверяют и мощные транзистор стабилизатора (если блок питания не работает). Теплые электролитические конденсаторы большой емкости (обычно фильтров) или с темными точками от пробоа также подлежат замене.

При внешнем осмотре возможно и легкое постукивание по плате диэлектрической ручкой отвертки (лучше резиновой палочкой) в случае, если замечено, что пропадает контакт, появляется треск при прикосновении к аппарату и т. п. Например, в режиме «Воспроизведение» при постукивании по плате появляется и исчезает звук, треск и т. д. Контакты и пайки в местах платы, где это проявляется, дополнительно пропаивают. Не рекомендуется стучать по корпусам транзисторов, микросхем, так как их можно вывести из строя.

Метод промежуточных измерений

Этим методом проверяют прохождение сигнала от аппарата к аппарату (например, электропроигрыватель — усилитель — акустическая система), от блока к блоку (усилитель воспроизведения — блок регуляторов — оконечный усилитель) и от каскада к каскаду (выходной каскад — фазоинверсный — предварительный и т. д.) до обнаружения аппарата, блока, каскада и даже детали, через которые сигнал не проходит. Этот метод может успешно применяться в устройствах с последовательным прохождением сигнала от входа к выходу. Например, в УЗЧ сигнал проходит от контактов входных гнезд через коммутатор входов, предварительный усилитель, блок тембров, оконечный усилитель к акустической системе. При работе магнитофона в режиме «Воспроизведение» сигнал проходит от воспроизводящей головки через контакты коммутатора ко входу усилителя воспроизведения, далее через каскады этого усилителя на линейный выход или далее на усилитель звуковой частоты и громкоговоритель.

Для успешного использования этого метода необходимо правильно выбрать параметры сигнала для проверки блока, каскада и источника этого сигнала — генератор. Так, для проверки усилителя звуковой частоты, усилителя магнитофона, громкоговорителей нужен сигнал звуковой частоты синусоидальной (можно и прямоугольной) формы с возможностью

регулировки амплитуды сигнала (для более точных измерений и регулировки величины выходного сопротивления). Для этих целей подойдет практически любой промышленный генератор звуковой частоты, а также выпускаемые различные пробники (возможности их уже), самодельные генераторы ЗЧ и др. При отсутствии вышеуказанных генераторов источником сигнала может служить линейный выход другого магнитофона с фонограммой, выход электропроигрывателя или даже простое прерывистое прикосновение ко входу усилительного каскада пинцетом, отверткой и т. п. Другими словами, сигнал проверки должен входить в полосу пропускания каскада, блока. Так, например, для проверки блока высокой частоты радиоприемника ДВ, СВ, КВ диапазонов на прохождение сигнала нужен уже амплитудно-модулированный сигнал высокой частоты и, соответственно, генератор высокой частоты и т. д. Но все-таки предпочтение следует отдать промышленному генератору, у которого можно в широких пределах регулировать величину выходного напряжения сигнала. Сигнал подают обычно через разделительный конденсатор.

Для проверки работоспособности каскадов звуковой частоты обычно используют сигнал частотой 1 кГц, а величина напряжения этого сигнала примерно равна чувствительности проверяемого блока, каскада. Чувствительность — это величина переменного напряжения сигнала на входе каскада, при котором сигнал на выходе аппарата, блока соответствует указанной величине (если он исправен). Чувствительность обычно указана на электрической принципиальной схеме или в таблице режимов работы активных элементов (транзисторов, микросхем).

Если при проверке ошибочно подан на вход каскада сигнал напряжением, значительно превосходящим чувствительность, то, при исправных каскадах, наступит их перегрузка, а возможно, и выход из строя транзисторов, микросхем. Кроме того, при сильном входном сигнале можно зарегистрировать его на выходе даже в случае, когда проверяемый каскад не работает нормально. Если величина чувствительности каскадов данного аппарата неизвестна, то можно использовать данные со схемы другого аппарата такого же класса. При просмотре принципиальных схем можно увидеть, что самая высокая чувствительность первого каскада усилителя воспроизведения (или универсального усилителя) в режиме «Воспроизведение» и равна около 0,3 мВ. Каждый следующий каскад дает усиление примерно 10 (микросхемы большие), т. е. чувствительность следующих каскадов ниже 3 мВ, 30 мВ и так далее.

При исправных блоках, каскадах поданный сигнал проходит на выход устройства. В качестве индикаторов выходного сигнала могут служить вольтметр переменного тока или осциллограф, подключенные параллельно нагрузке на выходе. При этом вольтметр покажет величину напряжения, а на экране осциллографа появится форма сигнала. Индикатором по звуку могут служить громкоговоритель и телефоны. При проверке нелишне убедиться, что на выходе действительно поданный сигнал. Для этого сигнал на входе каскада отключают и смотрят, пропадает ли он на выходе. Если на выходе он исчезает, значит, прибор регистрирует подаваемый сигнал. Если на входе сигнал отключен, а на выходе вольтметр показывает какое-то напряжение, то это, возможно, самовозбуждение усилительного тракта, его элементов (транзисторов, микросхем), паразитные наводки и т. п. Проверку на прохождение сигнала обычно проводят начиная с выходных каскадов (от выхода к входу). Если же каскадов, блоков в устройстве много, то схему можно разбить на несколько частей и проверять сразу большую часть аппарата. Например, ставим магнитофон в режим «Воспроизведение». При отсутствии воспроизведения можно методом промежуточных измерений проверить сразу часть

схемы со входа блока регуляторов. Для этого сигнал с ГЗЧ подают на вход блока регуляторов, и если все изображенные справа блоки исправны, то сигнал проходит на выход. Затем подают сигнал на вход шумоподавителя и т. д. Если же с блока регуляторов сигнал на выход не проходит, то в нем, предварительном или окончном усилителе неисправность. Дальнейший поиск можно продолжить, подавая сигнал на вход окончного усилителя. Напряжение сигнала, конечно, больше, чем в предыдущем случае. Так, подавая сигнал на вход блоков, каскадов, находят неисправную часть схемы, через которую сигнал не проходит. В схемах, содержащих генератор (ГСП, блоки автоматики и др.), проверку на прохождение сигнала начинают от схемы генератора и дальше, куда идет сигнал. При этом может изменяться его амплитуда и частота (в цифровых схемах).

Метод измерения параметров сигнала

Этим методом измеряют параметры сигнала или проверяют его наличие в контрольных точках схемы (обычно на выводах транзисторов, микросхем и входах, выходах плат блоков).

В магнитофонах чаще измеряют величину переменного напряжения сигнала милливольтметром (тип прибора обычно указан в примечании к схеме), а также форму напряжения, например, в ГСП она должна быть симметричная. Проверяют также параметры импульсных сигналов, имеющих в блоках автоматики на выводах цифровых микросхем. Форму сигналов и параметры импульсных сигналов измеряют осциллографом. Вообще, осциллограф наиболее универсальный прибор, необходимый при ремонте бытовой радиоаппаратуры. Сигнал в контрольных точках схем усилительных каскадов будет только в том случае, когда он подан на вход схемы. Так, в режиме «Воспроизведение» сигнал с ГЗЧ подают на вход первого каскада усилителя воспроизведения или сигнал поступает с соответствующей измерительной ленты. В режиме «Запись» сигнал с ГЗЧ подают на вход записи и устанавливают соответствующий его уровень. Измеряя напряжение сигнала в контрольных точках, мы не только контролируем его наличие, т. е. прохождение от каскада к каскаду, но и определяем величину установочного усиления того или иного каскада.

При отсутствии ГЗЧ и измерительной ленты применять для таких измерений сигнал фонограммы музыкальной программы нецелесообразно, так как показания вольтметра будут непрерывно изменяться, и получить точное значение напряжения сигнала невозможно, правда, в этом случае можно определить наличие сигнала и его прохождение от каскада к каскаду. При измерении параметров генераторных схем (ГСП, генераторов схем автоматики, цифровых индикаторов уровня сигнала и др.) сигнал подавать на схему не надо, так как генератор сам вырабатывает сигнал. Он начинает работать при подаче напряжения питания на схему. Например, при включении режима «Запись» подается питание на схему ГСП, и он должен вырабатывать синусоидальный сигнал симметричной формы определенной величины.

Метод замены

Этот метод позволяет производить замену аппаратов, блоков, плат, отдельных элементов заводом исправными. Если, к примеру, в стереорадиокомплексе, состоящем из магнитофона-приставки, усилителя звуковой частоты и акустической системы, отсутствует звук, то нужно поочередно заменить каждый аппарат на заведомо исправный (или другим способом

проверить исправность каждого). При отсутствии звука в одном из каналов сигнала можно звуковую колонку из исправного канала поставить в неисправный, если ничего не изменилось, то отсоединить магнитофонную приставку и подать поочередно сигнал на вход обоих каналов (или прикоснуться входных гнезд) усилителя ЗЧ. При появлении сигнала на выходе обоих каналов можно предположить, что неисправен магнитофон-приставка или соединительный шнур и т. д.

Этим методом удобно пользоваться, если блоки, платы магнитофона или другого аппарата соединены между собой с помощью разъемов. К примеру, не записывает левый канал магнитофона, а правый записывает нормально. В этом случае исправный усилитель записи с правого канала нужно поставить на место левого. Если же вся схема находится на одной плате, то при помощи несложных соединений сигнал с левого канала можно подать на правый и наоборот. Так поступают и с деталями. После проверки питающих напряжений их меняют на заведомо исправные. Если и после этого не достигнут положительный результат, то исправные блоки, детали оставляют и продолжают дальнейший поиск неисправности.

Метод сравнения

Этот метод позволяет сравнивать режимы работы активных элементов, параметры сигналов исправного и неисправного блоков, каскада до обнаружения отличий.

Это один из основных методов отыскания неисправностей в тех случаях, когда нет никакой документации на аппарат, но есть второй такой же аппарат, работающий нормально. Можно сравнивать работу аналогичных блоков в самом аппарате. Если, например, в стереоусилителе мощности звуковой частоты не работает или плохо работает один из каналов, то можно проверять режимы, параметры сигнала параллельно в обоих каналах.

Измерение режимов

Вышеназванные методы применяются в основном для отыскания неисправного блока, узла, а затем каскада. Для отыскания неисправности в каскаде чаще производят *измерения режимов работы* транзистора, микросхемы по постоянному и переменному току.

Режим работы по постоянному току — это величины постоянных составляющих токов, протекающих через выводы транзисторов, микросхем, и постоянные составляющие напряжений, действующих между выводами.

Режим работы по переменному току — это величины переменных составляющих токов и напряжений, действующих в схеме при наличии сигнала на входе данного каскада.

Режимы работы зависят от величины напряжения питания, уровня сигнала, параметров элементов, входящих в каскад, их исправности. На практике удобнее измерять напряжение, чем ток, так как это не требует отсоединения выводов элементов схемы для включения амперметров в измерительную цепь. Режимы работы активных элементов, а также условия, при которых они измерялись (наличие сигнала на входе, его величина, частота), приводятся в таблицах напряжений, контрольных картах или непосредственно на принципиальной схеме аппарата, плат рядом с соответствующими выводами. При этом указывается также, каким измери-

тельным прибором пользовались как для измерения постоянных, так и переменных напряжений. Входное сопротивление вольтметра влияет на результат, поэтому измерения лучше производить электронными вольтметрами с большим входным сопротивлением. Режимы могут быть приведены как при записи, так и при воспроизведении. Величины напряжений на выходах транзисторов и МС чаще всего указываются относительно общего вывода. Если отклонения от указанных на схеме или приведенных в таблице напряжений не превышают 10...20 %, то это не свидетельствует

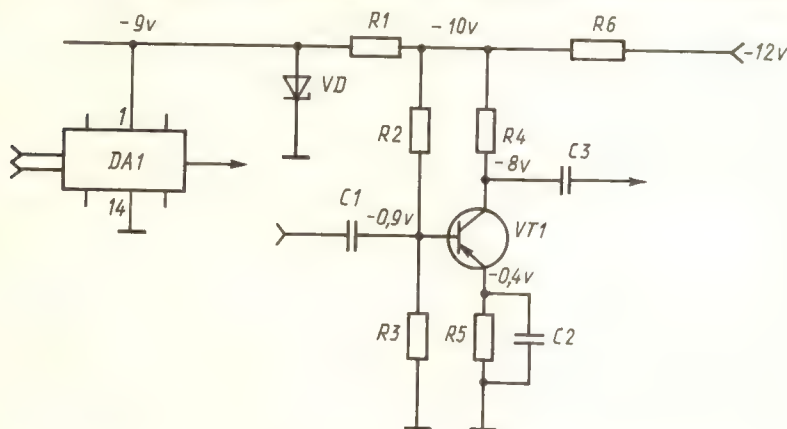


Рис. 4.10. Транзисторный усилительный каскад

о наличии неисправности. В противном случае производят анализ причин отклонения режима, проверку цепей, обеспечивающих питание, проверку элементов каскада.

Значительное отклонение режима питания активных элементов может вызывать их нагрев и перегорание из-за больших протекающих токов. Чрезмерный рост тока через транзистор может быть вызван и слишком большим входным сигналом. Кроме того, транзисторы и МС могут перегореть из-за кратковременных выбросов напряжения питания, часто в момент включения. Это может привести к резкому увеличению тока в цепи, что приводит к дальнейшему перегреву или сгоранию прилегающих резисторов, других транзисторов, предохранителей и др. Если при перегорании активных элементов происходит обрыв внутри их, то ток не проходит вообще, и связанные с ними элементы будут холодными. Во всех случаях при перегорании радиоэлементов или значительном отклонении режима их работы необходимо выяснить и устранить причину, вызвавшую отказ. К примеру, рассмотрим участок схемы с классическим каскадом на транзисторе и проанализируем возможные отклонения режима и их причины (рис. 4.10). Напряжения на выводах активных элементов и контрольных точках измеряют относительно общего провода (корпуса), и если в схеме двухполярное питание, то полярность напряжения на выводах может быть как положительной, так и отрицательной относительно общего провода. Например, при измерении напряжения на коллекторе *VT1* (рис. 4.10) его величина равна напряжению источника питания — 12 В, а не 8 В. Это говорит о том, что цепь между коллектором, *R4*, *R6* и «—» источника исправна, но по ней не проходит ток коллектора транзистора и нет падения напряжения на *R4* и *R6*. Ток коллектора проходит по цепи: корпус (+),

$R5$, эмиттер-коллектор транзистора, $R4$, $R6$ и «—» источника. Значит, в цепи между корпусом и коллектором обрыв (или заперт транзистор). После проверки элементов, создающих напряжение смещения $R2$, $R3$, $R5$, и контактов нужно проверить (заменить) транзистор VT .

Допустим, что напряжение на коллекторе VT отсутствует. Это говорит о возможном обрыве в цепи коллектора $R4$, $R6$, «—» источника (при нормальном напряжении питания) или о замыкании в цепи коллектор-корпус, а также о возможном пробое $C3$. Из этого можно сделать вывод:

1) если напряжение в контрольных точках максимально и равно приложенному (или напряжению источника питания), то в цепи не проходит ток из-за обрыва монтажа, элементов, их перегорания и т. д.;

2) если же напряжение равно нулю или значительно ниже нормы, то это свидетельствует о замыкании или резком уменьшении сопротивления этого участка относительно корпуса или из-за пробоя, утечки параллельно включенных цепей (конденсаторов, транзисторов, замыкания проводов и др.).

Аналогичные рассуждения можно применить и к другим схемам или каскадам на микросхемах. Так, если напряжение на выводе $1 DA1$ равно нулю, то его замеряют после $R6$, и если оно равно 10 В, то возможны перегорание, обрыв $R1$ или пробой стабилитрона VD . При значительно заниженном напряжении на выводе 1 проверяют стабилитрон VD и наличие замыкания внутри ИС $DA1$ (быстро нагревается), большой утечки в схеме, параллельной $DA1$ (для этого провод питания, идущий влево от $DA1$, можно отсоединить). Таким образом, после измерения режима и анализа возможного отклонения находят неисправность в каскаде.

Зависимость режимов в каскадах с непосредственной связью и обратными связями по постоянному току более сложная и рассмотрена ниже (рис. 4.13).

Регулировка режимов

Изменение режима питания схемы может создать не только аварийную ситуацию в ней, но и значительное ухудшение качества работы (ухудшение усиления, увеличение искажений сигнала, уровня шумов и др.).

В каскаде на транзисторах более точно должно быть установлено напряжение смещения эмиттер-база ($U_{эб}$), чем напряжение на коллекторе (U_k). Хотя $U_{эб}$ относительно небольшое по величине (десятые доли вольта у германиевых и примерно от 0,5 В до единиц у кремниевых), но оно значительно сильнее влияет на токи транзистора, чем напряжение на коллекторе, хотя оно значительно выше (от единиц до десятков вольт). Изменение $U_{эб}$ на десятые доли вольта приводит к большему изменению $I_б$ и I_k , чем изменение U_k на несколько вольт. Влияние изменения $U_{эб}$ на изменение тока $I_б$ (и соответственно I_k) при одинаковом входном сигнале $U_{вх}$ показано на рис. 4.11. На рис. 4.11, а видны незначительные изменения тока базы при воздействии сигнала $U_{вх}$ и небольшая амплитуда тока базы $I_б$. На рис. 4.11, б напряжение смещения $U_{эб}$ больше предыдущего, а при одинаковом значении входного сигнала $U_{вх}$ амплитуда тока базы значительно больше (большее усиление каскада) предыдущего. На рис. 4.11, в напряжение смещения $U_{эб}$ имеет такое значение, что рабочая точка A попадает в нелинейный участок характеристики транзистора и при одинаковом значении входного сигнала $U_{вх}$ ток базы $I_б$ (и соответственно ток коллектора и выходной сигнал) имеет значительные нелинейные искажения. На рис. 4.11, г показано, к чему приводит изменение

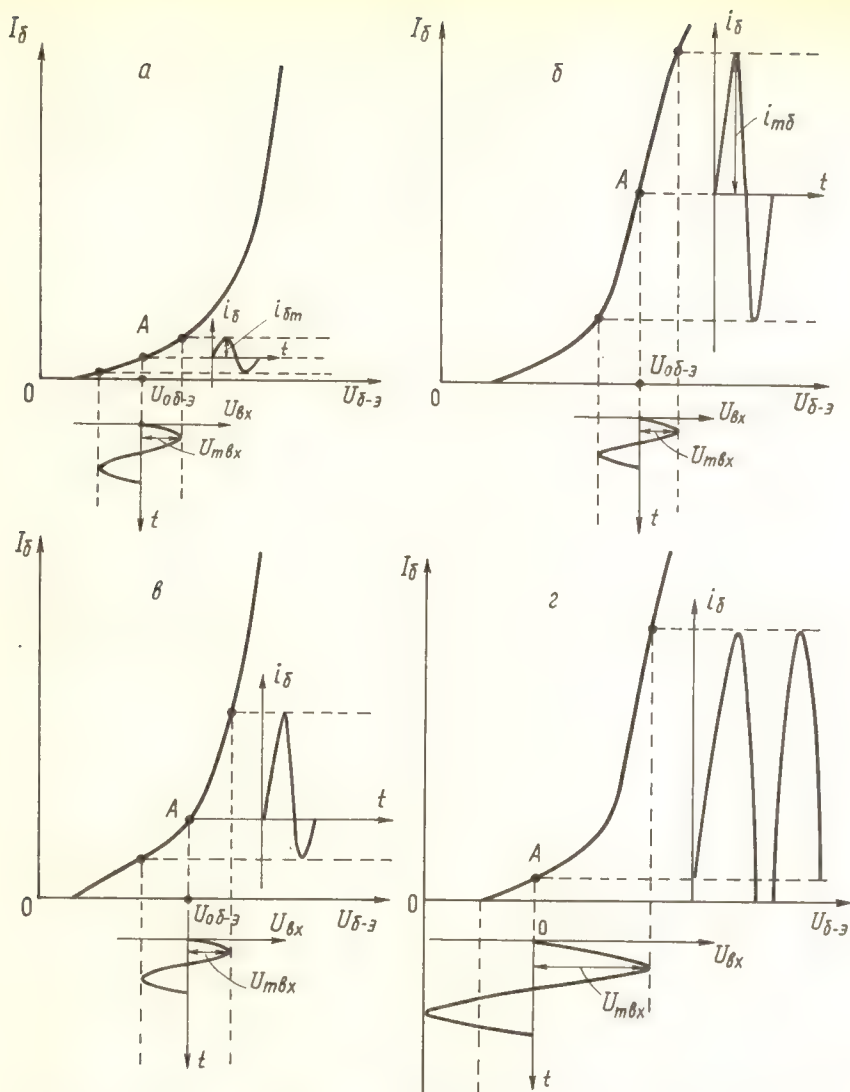


Рис. 4.11. Влияние режима работы транзистора на величину и форму тока базы

режима по переменному току (увеличение уровня входного сигнала $U_{вх}$). Ток базы имеет большое значение: возникает ограничение одного из полупериодов сигнала (очень большие нелинейные искажения).

На режим работы транзистора, микросхемы влияют величины всех питающих напряжений и электрических параметров элементов, составляющих схему.

Регулировать режим работы следует тем резистором, который меньше других влияет на выходные параметры каскада, устойчивость его

работы. В некоторых схемах для этой цели специально устанавливаются подстроечные резисторы.

Нецелесообразно в усилительных каскадах регулировать режим работы резистором, включенным в цепь коллектора, т. к. это приводит к изменению коэффициента усиления каскада и полосы частот. Нецелесообразно регулировать режим изменения величины резистора, включенного в цепь эмиттера транзистора, т. к. это влияет на качество температурной стабилизации режима. Лучше режим регулировать резисторами, вклю-

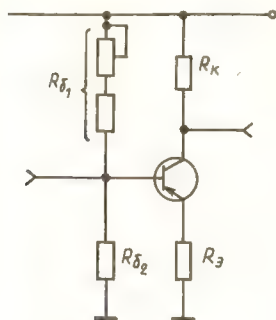


Рис. 4.12. Регулировка режима в транзисторном каскаде

ченными в цепь базы (рис. 4.12). Но в качестве регулирующего выбирают резистор, который имеет большую величину (обычно R_{δ_1}). Чтобы не вывести из строя транзистор, лучше R_{δ_1} заменить двумя (постоянным и подстроечным), а после регулировки измерить общую величину сопротивления этих резисторов и установить постоянный. Если при нормальных напряжениях невозможно установить режим работы транзистора или микросхемы, то последние заменяют. Следует иметь в виду, что, измеряя режимы работы транзисторов, необходимо соблюдать осторожность, исключая возможность даже кратковременных замыканий электродов, особенно выводов базы и коллектора.

Вывести из строя транзистор может и обычный ампервольтметр, если он переключен в режим для измерения малых сопротивлений, что ведет к недопустимо большому току, протекающему через транзистор.

Если возникает необходимость регулировать режим нескольких каскадов, то начинают с каскадов, потребляющих больший ток, т. е. более мощных, так как режим их работы может существенно повлиять на напряжение источника питания. В каскадах с непосредственной связью (без разделительных конденсаторов) изменение режима работы одного каскада приводит к изменению режимов других каскадов, что необходимо учитывать при регулировке. Обычно в таких случаях устанавливаются подстроечные резисторы для регулировки режимов всей цепи.

Регулировка режимов в каскадах с непосредственной связью

Усилители с непосредственной связью обладают сравнительно широким диапазоном рабочих частот, малыми нелинейными искажениями, стабильностью параметров при замене транзисторов, изменениях напряжения питания и температуры окружающей среды. Эта стабильность достигается за счет сильной отрицательной обратной связи (ООС) по постоянному току, подаваемой с выхода усилителя на первый каскад

или охватывающей два-три каскада. Так, на рис. 4.13, *а* используются две цепи ООС. Напряжение на резисторе R_6 , зависящее от тока эмиттера транзистора VT_2 , подается в цепь базы транзистора VT_1 .

От тока, протекающего через транзистор VT_2 , зависит напряжение на его коллекторе. С увеличением тока коллектора напряжение на коллекторе уменьшится, так как возрастет падение напряжения на R_5 .

В свою очередь, от величины напряжения на коллекторе VT_2 зависит напряжение на эмиттере транзистора VT_1 . В такой схеме режим тран-

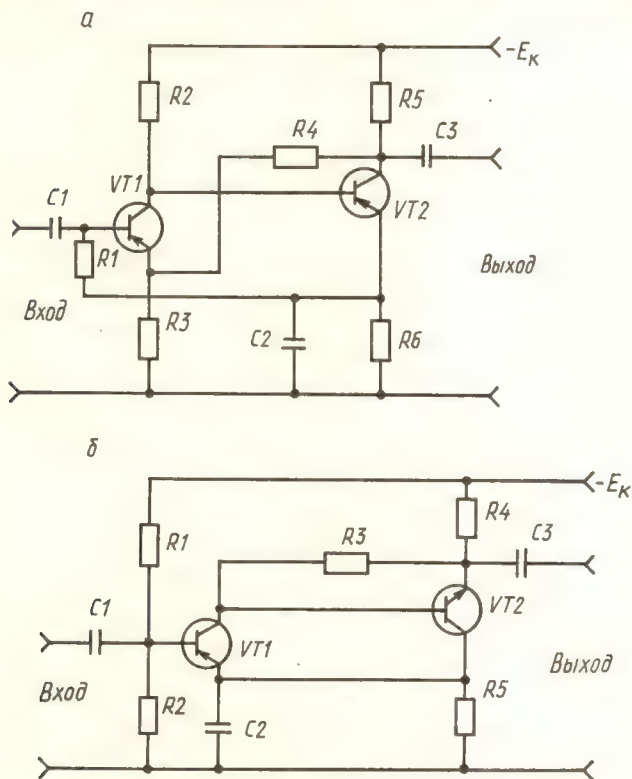


Рис. 4.13. Схемы каскадов с непосредственной связью

зистора VT_1 зависит от режима VT_2 и наоборот. В этих усилительных каскадах режим работы устанавливается подбором сопротивления резистора R_6 или R_2 . Регулировку режима предпочтительнее осуществлять при помощи резистора R_6 , так как он зашунтирован конденсатором C_2 , который устраняет обратную связь по переменному току и на параметры сигнала это окажет меньшее воздействие, чем изменение R_2 . Резистор R_3 не зашунтирован конденсатором и в усилительных каскадах действует ООС по переменному току, уменьшающая искажения.

На рис. 4.13, *б* напряжение обратной связи, зависящее от тока транзистора VT_2 , с резистора R_5 подается в цепь эмиттера транзистора VT_1 . В таком усилителе режим работы лучше регулировать подбором резистора R_1 .

Режим транзисторов в выходных бестрансформаторных каскадах усилителей мощности устанавливают, изменяя сопротивление резистора, включенного между базами выходных, предвыходных транзисторов или транзисторов фазоинверсного каскада (рис. 4.14) в зависимости от схемы усилителя.

Для регулировки режима в схемах усилителей мощности с непосредственной связью между каскадами во входном каскаде размещаются подстроечные резисторы, устанавливающие его рабочую точку, а в выходном — ток покоя выходных транзисторов.

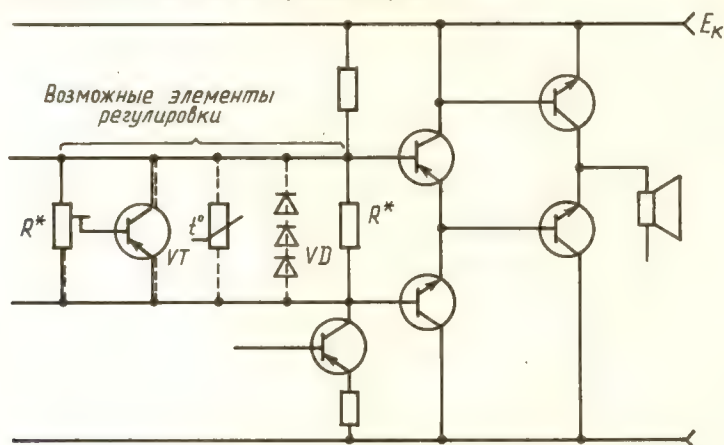


Рис. 4.14. Регулировка режима в выходных бестрансформаторных каскадах

Для стабилизации режима методом термокомпенсации между базами транзисторов включается элемент с отрицательным температурным коэффициентом сопротивления (термистор или полупроводниковый диод в прямом включении).

4.3. НЕИСПРАВНОСТИ МАГНИТОФОНОВ, ИХ ОБНАРУЖЕНИЕ И УСТРАНЕНИЕ

Общие указания по ремонту

Только хорошее знание принципов магнитной записи, построения схем магнитофонов, работы лентопотяжного механизма и методов отыскания неисправностей обеспечит успех ремонта.

Перед тем как приступить к ремонту, надо ознакомиться с органами управления и конструкцией аппарата, изучить особенности его кинематической и принципиальной электрической схем, чтобы проверка и ремонт аппарата производились в определенной, продуманной последовательности.

При ремонте магнитофонов в первую очередь выполняются работы по устранению неисправностей ЛПМ, органов его управления. Только при нормальной работе ЛПМ можно проверить и проконтролировать качество работы электронной части в разных режимах работы.

Прежде чем установить ленту на магнитофон, надо тщательно осмотреть тракт протягивания ленты, очистить от загрязнений и ферромагнитной пыли его направляющие, магнитные головки, поверхности обрезиненного ролика и ведущего вала и другие детали. Лента также не должна иметь механических дефектов, легко сматываться с катушки.

Особенно тщательно осмотреть кассету с лентой. Корпус ее не должен иметь трещин, перекосов, изломов. Прижим ленты к головке должен обеспечивать ее плотное прилегание. Лента должна легко перематываться с одного ролика на другой без сильного трения и заедания как с подающей, так и с приемной катушек. Проверить это можно, перематывая ленту с одного ролика на другой.

Перед ремонтом электронной части магнитофона необходимо убедиться в нормальной работе ЛПМ и органов его управления. Лента должна проходить плавно, без рывков по рабочим поверхностям головки, иметь необходимый прижим и угол обхвата, идти точно по направляющим, не соскальзывая с них, без образования петель и т. п. Когда для ремонта магнитофона необходима его разборка, то надо ознакомиться с порядком ее проведения. Обычно для этого надо снять ручки органов управления, затем отвинтить винты, крепящие нижнюю крышку футляра, и снять ее, потом снять верхнюю декоративную панель, отвинтить элементы, крепящие шасси к футляру, и вынуть его.

При снятии декоративной панели и шасси надо быть внимательным, чтобы не отвинтить детали ЛПМ, крепящиеся на шасси или на корпусе. Точный порядок разборки магнитофона приводится в инструкции по ремонту или в справочной литературе.

После ремонта магнитофона обычно производится проверка основных технических характеристик и, при необходимости, дополнительная подстройка.

При выполнении ремонтных и регулировочных работ с аппаратом, включенным в сеть, следует строго выполнять правила техники безопасности.

Техника безопасности при ремонте и регулировке бытовых аппаратов магнитной записи (БМЗ)

Правильная организация труда и рабочего места, выполнение основных требований техники безопасности и промышленной санитарии способствуют созданию безопасных условий труда.

Запрещается ремонтировать аппараты, включенные в электросеть, в сырых помещениях, имеющих земляные, цементные или иные токопроводящие полы. При ремонте приборы, аппараты не должны заземляться, а заземленные конструкции, находящиеся в помещении (батареи отопления, водопроводные трубы и т. п.), должны быть надежно защищены диэлектрическими щитами или решетками, чтобы полностью исключить возможное, даже случайное, прикосновение к ним. В соответствии с этим надо правильно выбирать и рабочее место (стол) в домашних условиях.

Для обеспечения безопасных условий работы необходимо поддерживать рабочее место в чистоте и порядке, обеспечить достаточную освещенность и вентиляцию. На рабочем месте должны быть только необходимые приборы и инструменты с изолированными ручками. Шнуры сетевого питания приборов, электропаяльника, аппарата, а также соединительные провода не должны иметь повреждения изоляции. В противном случае их необходимо заменить.

При пайке рекомендуется использовать электропаяльник, рабочее напряжение которого не более 36 В. Применение электропаяльников с рабочим напряжением 127 и 220 В более опасно из-за возможного пробоя изоляции между спиралью и сердечником. Так как при пайке выделяются вредные для здоровья пары, то необходимо обеспечить вытяжную вентиляцию. Подставка для паяльника изготавливается из термостойкого материала и устанавливается так, чтобы исключить возгорание или плавление окружающих предметов.

При работе с легковоспламеняющимися веществами (спирт, ацетон и др.) следует быть внимательным и исключить появление вблизи открытого огня (сигареты), искрения и т. п. На посуду с этими веществами следует наклеить бумажку с их названием, плотно ее закупоривать, не допускать проливания.

Рабочее место должно быть оснащено легкодоступным отключающим устройством от напряжения питания.

Работать необходимо в одежде с домашними рукавами и без металлических браслетов. По возможности работы необходимо выполнять при отключении от сети аппарата.

В тех случаях, когда это невозможно, т. е. аппарат остается подключенным к напряжению питания (при измерении режимов, нахождении плохих контактов и др. работах), надо быть особенно внимательным во избежание прикосновения к токонесущим частям и деталям аппарата. Следует помнить, что не допускается расположение одновременно двух и более аппаратов, находящихся под напряжением. Работать следует одной рукой, а другой не держать теплопроводящие детали. Категорически запрещается пайка монтажа аппарата, находящегося под напряжением. Следует помнить, что степень поражения током зависит от состояния организма человека. Так, опасность значительно возрастает, если человек находится в нетрезвом состоянии, имеет заболевания сердца и нервной системы, просто расстроен и устал или поражение током наступило неожиданно.

После отключения аппарата от напряжения питания не следует сразу приступать к работе с монтажом, так как еще остаются заряженные электрические конденсаторы фильтров питания. Их надо разрядить специальным разрядником или, в крайнем случае, толстым проводом с хорошей изоляцией.

При ремонте никогда не оставляйте без присмотра включенные приборы, аппарат (особенно разобранный).

Неисправности лентопротяжного механизма магнитофона

Для проверки работоспособности ЛПМ магнитофона его необходимо заправить магнитной лентой (или кассетой), не имеющей механических дефектов. Особенно тщательно проверить качество кассеты. Включить магнитофон, проверить движение ленты в режимах пуска, перемотки вперед и назад, в режиме «Стоп» и переход из этого режима в другие и обратно; в режиме пуска проверить действие кнопки временной остановки ленты (если такая имеется).

При проверке обратить внимание на то, как лента проходит по рабочим поверхностям головок, как прилегает к ним, как движется по направляющим колонкам и равномерно ли натяжение ленты по всей ее поверхности, не деформируются ли края ленты, плотно ли наматывается лента на приемную катушку или ролик кассеты, не царапается ли рабочая по-

верхность ленты. Обратить также внимание на движение вращающихся деталей. Оно должно быть равномерным, без подергиваний. При переключении в разные режимы работы проверить плавность торможения ленты, образуются ли петли при торможении, какое качество намотки ленты, нет ли резких рывков ленты. В кассетном магнитофоне обратить внимание на то, как входят в контакт с лентой головки, направляющие и прижимной ролик в момент пуска в режимах «Воспроизведение» и «Запись», не задевают ли они корпус кассеты; не вызывает ли это изменение положения кассеты или ее даже незначительной деформации. Недопустимо, чтобы в момент пуска эти детали упирались в корпус кассеты или для пуска надо прикладывать значительное усилие, неоднократно повторить процесс пуска. При проверке работы ЛПМ в разных режимах работы обратить внимание также на шум работы механизма. Он должен быть тихим, равномерным, без стуков, скрипов и т. п. Такая проверка общей работоспособности ЛМП поможет ориентировочно определить характер неисправности и примерно ее место в магнитофоне. При обнаружении какого-либо отклонения от нормальной работы лучше отключить магнитофон от сети, вынуть шасси из корпуса или снять декоративную панель и нижнюю крышку, чтобы наглядно видеть работу механизма. При этом легче разобраться в специфике механики данного магнитофона, взаимодействии отдельных узлов в разных режимах работы, лучше будут видны причины отклонения от нормальной работы, изношенные детали, растянутые пассики и т. п. Как правило, при работе открытого механизма значительно легче определить место неисправности или выделить ее причины. Если трудно разобраться, как должна работать механика, обратитесь к справочной литературе, заводским инструкциям по ремонту.

Возможно, и при работающем электродвигателе не работает ЛПМ. Тогда надо внимательно проверить привод от двигателя к маховику ведущего вала. Не оборвался ли или сильно растянулся приводной пассик, не проскальзывает ли насадка на оси двигателя или пассик вследствие попадания масла. Затем, отключив магнитофон, проверить все вращающиеся детали, покрутив их рукой. Они должны вращаться легко, без задержки, люфтов и биений. Если для вращения ведущего вала надо прикладывать значительное усилие или вращение сопровождается шумом, то узел надо разобрать, тщательно промыть бензином и смазать рекомендованным для данного узла маслом. Если при вращении маховика рукой возникают стуки, ощутимый люфт вала, то изношенные детали или узел надо заменить. Ось ведущего вала должна быть чистой и полированной, не должна иметь выработки в месте прохождения ленты. Прижимной обрезиненный ролик также должен вращаться легко, в противном случае узел промыть и смазать, поверхность его должна быть чистой, ровная, без значительного износа и деформации. Другие ролики ЛПМ также должны быть чистыми, легко, без шума вращаться на своих осях, не иметь значительного люфта и деформации. Ролики, имеющие значительную деформацию и износ, трещины на резиновом кольце, подлежат замене. При этом их поверхность тщательно протирают спиртом, а оси и подшипники смазывают рекомендованным маслом.

При осмотре обратить внимание на крепление деталей и узлов ЛПМ механизма, состояние различных тяг и пружин. Оси ведущего вала, приемного и подающего узлов, прижимного ролика должны быть строго перпендикулярны панели ЛПМ.

Если при включении магнитофона в соответствующий режим работы двигатель не вращается, то необходимо проверить, поступает ли к нему питающее напряжение и соответствует ли оно указанной в схеме величине. При отсутствии питающего напряжения проверить цепи, через которые

подводится напряжение питания. В кассетных магнитофонах питанием от автономных источников или при универсальном питании используют различные схемы электронных стабилизаторов скорости вращения двигателя. В этом случае при отсутствии напряжения на двигателе надо проверить, поступает ли напряжение на схему электронного стабилизатора, и при его наличии проверить схему самого стабилизатора и устранить неисправность. Если же двигатель не вращается и при нормальном питании, то причина может быть в неисправности резистора и конденсатора фазосдвигающей цепи двигателя переменного тока или самого двигателя, а возможно, и в заклинивании в подшипниках вала ротора. В этом случае надо промыть и смазать подшипники или заменить их. В остальных случаях электродвигатель заменяют или ремонтируют его. В случае быстрого и сильного перегрева электродвигателя, при включении напряжения питания он также подлежит замене или ремонту.

Периодическое изменение скорости движения ленты с частотой 10 Гц от номинального значения сопровождается «плаванием» звука, а при частоте выше 10 Гц может восприниматься как хрипкость звучания и т. п.

Причинами отклонения скорости вращения магнитной ленты от номинальной в режимах «Запись» и «Воспроизведение» могут быть:

1. Не отрегулирован стабилизатор скорости вращения двигателя или наличие неисправности в схеме стабилизатора. Для устранения неисправности проверьте возможность регулирования скорости вращения двигателя подстроечным резистором платы стабилизатора и установите номинальную скорость, в противном случае проверьте схему стабилизатора или замените ее заведомо исправной.

2. Напряжение питания электродвигателя отличается от номинального. Для устранения неисправности проверьте величину напряжения, приложенного к электродвигателю и цепи подачи этого напряжения.

3. Недостаточный прижим ленты обрезиненными роликами к оси ведущего вала. Для устранения неисправности отрегулируйте усилие прижима пружиной (а возможно, и замените пружину).

4. Нарушение свободного вращения прижимного ролика или ведущего вала.

Для устранения неисправности проверьте вращение рукой вышеназванных узлов, и если они проворачиваются с трудом или с заеданиями, то необходимо произвести чистку и смазку этих узлов.

5. Попадание масла на поверхности прижимного ролика или ведущего вала (осмотрите поверхности ролика и вала и при необходимости протрите ватным тампоном, смоченным в спирте).

6. Недостаточное напряжение привода пассивного ролика ведущего вала, проскальзывание пассива вследствие его растяжения или попадания масла. Для устранения неисправности отрегулировать натяжение пассива, протереть его и поверхность маховика ведущего вала ватным тампоном, смоченным в спирте, растянутый пассив заменить.

7. Чрезмерно велико усилие подмотки при нескольких недостаточном прижме ленты к ведущему валу вследствие износа поверхности ролика или оси ведущего вала. Для восстановления нормальной работы осмотрите поверхность ролика и вала, изношенные детали замените и отрегулируйте усилие намотки.

8. Заедание в подающем или приемном узлах, не полностью растормаживаются подкассетники этих узлов. Для устранения неисправности проверьте состояние приемного и подающего узлов и при необходимости снимите, промойте спиртом и смажьте эти узлы, отрегулируйте равномерность зазора при растормаживании, а возможно, и замените пружину тормозной планки.

9. Заедание ленты в кассете — проверить, свободно ли вращаются передающий и приемный ролики с лентой; если туго, то заменить кассету или отремонтировать ее.

Повышенную детонацию в магнитофоне могут вызвать аналогичные причины, вызывающие отклонение скорости. Кроме того, коэффициент детонации зависит от точности изготовления деталей, ЛПМ и самого механизма в целом. Так, повышенную детонацию вызывают биеение вращающихся деталей лентопротяжного механизма, узла ведущего вала, прижимного, направляющего и промежуточного роликов; повышенный люфт вращающихся деталей; деформация поверхности обрешиненных роликов (прижимного, промежуточного и т. д.), оставленных на длительное время прижатыми в одном месте (например, при выключенном магнитофоне включен режим «Воспроизведение»). С течением времени коэффициент детонации увеличится от загрязнения поверхности и износа (особенно неравномерного) вращающихся деталей; оси ведущего вала и прижимного ролика, деталей узла намотки и торможения. Такие детали выявляются тщательным внешним осмотром и при обнаружении подлежат замене.

В случае недостаточно плотной (рыхлой) подмотки ленты в режимах «Запись» и «Воспроизведение» или образования петли ленты при включении в этих режимах причиной является неисправность механизма подмотки приемного узла магнитофона: это растяжение пассика, осуществляющего подмотку; недостаточное усилие подмотки из-за износа функциональных элементов или их загрязнения, попадания масла на них; недостаточное усилие прижима диска муфты скольжения и правой бабины; недостаточный прижим ролика подмотки к подкассетнику или проскальзывание его и т. д., в зависимости от конструкции механизма подмотки данного магнитофона.

Определение неисправности из-за подмотки производится внимательным внешним осмотром его, а затем устранением обнаруженных дефектов. Растянутые пассики, изношенные фрикционные элементы заменяются новыми, а если они загрязнены, то промываются бензином, просушиваются и устанавливаются на прежнее место. Отрегулировать усилие прижима диска муфты скольжения или ролика подмотки.

Причинами неудовлетворительных перемоток вперед и назад при их отсутствии могут быть: растяжение пассика перемотки или попадание масла на него; неудовлетворительное сцепление во фрикционных парах, участвующих в перемотке (увеличить усилие прижима); изношенность или замасленность резиновых поверхностей дисков перемотки (диски заменить или промыть).

Могут быть и другие причины в зависимости от устройства механизма перемотки. Практически все эти неисправности также можно обнаружить при внимательном внешнем осмотре работающего механизма магнитофона.

После ремонта ЛПМ производится проверка его основных параметров: скорости движения магнитной ленты, коэффициента детонации, времени перемотки вперед и назад.

4.4. НЕИСПРАВНОСТИ ЭЛЕКТРИЧЕСКОЙ ЧАСТИ МАГНИТОФОНОВ

Общие сведения

Проверку и ремонт электрической части магнитофона производят после ремонта и регулировки лентопротяжного механизма. Все неисправ-

ности, возникающие в электрической схеме магнитофона, можно разделить на неисправности режима «Воспроизведение» и неисправности режима «Запись». Поиск неисправностей обычно начинают с проверки режимов питания, т. е. наличия питающих напряжений и их величины. Для электрических принципиальных схем магнитофонов необходимы постоянные, чаще стабилизированные напряжения питания. Источниками постоянных напряжений могут быть гальванические элементы, аккумуляторы и выпрямительные устройства, преобразующие переменное напряжение сети в постоянное. Катушечные магнитофоны, стационарные кассетные магнитофоны-приставки питаются от сети переменного тока. У переносных кассетных магнитофонов и магнитол имеется возможность применять комбинированное питание: от сети, через встроенный или выносной блок питания и от гальванических элементов. Источником питания автомобильных магнитофонов и магнитол служит аккумулятор автомобиля, а для использования за пределами автомобиля можно применять сетевой блок питания, вырабатывающий необходимое постоянное напряжение (обычно 12 В).

Нормальная работа электрической схемы возможна только при исправном блоке питания магнитофона.

Неисправности блока питания

Питание от гальванических элементов

Напряжения батарей гальванических элементов проверяют под нагрузкой, т. е. при включенном магнитофоне. Отклонение напряжения от номинального должно быть не более 10 %. Если при включении магнитофона напряжение батарей значительно уменьшается, то это свидетельствует либо о разряженной батарее, либо о наличии большой утечки тока (возможно, и короткого замыкания) в схеме магнитофона.

Чтобы точнее установить причину, можно измерить потребляемый ток магнитофоном. Для этого надо магнитофон подключить к батарее через миллиамперметр постоянного тока (рис. 4.15). Величина потребляемого тока зависит от типа магнитофона и приводится в справочных данных, инструкции по ремонту и т. п. Если этот ток неизвестен, то его можно ориентировочно определить, зная потребляемую мощность P (Вт) магнитофона и величину напряжения U (В). $I_{\text{потр}} = P/U$ (А).

Если потребляемый ток значительно больше номинального, то это свидетельствует о наличии большой утечки тока в схеме магнитофона. Нужно отыскать и устранить неисправность схемы.

Причинами завышенного значения потребляемого тока могут быть:

- замыкание на корпус двигателя силовой или тахогенераторной обмотки его. В этом случае двигатель заменяют новым;

- пробой транзисторов схемы питания двигателя. Для устранения неисправности транзисторы заменяют;

- большая утечка тока в электролитических конденсаторах фильтра блока питания или схемы (неисправные конденсаторы заменить);

- пробой транзисторов схемы магнитофона (неисправный транзистор заменить).

Если потребляемый ток окажется меньше номинального и после включения продолжает уменьшаться (как уменьшается и напряжение на батарее), то это значит, что батарея разряжена. Даже если без нагрузки ее напряжение равно номинальному.

Степень разряженности батареи можно определить, подключив параллельно на 2...3 с амперметр постоянного тока с пределом измерения не

менее 5 А. Он покажет ток короткого замыкания, который у годной неразряженной батареи типа КБС равен примерно 4 А. У любого другого нового гальванического элемента можно определить экспериментально. Если при подключении амперметра ток значительно ниже и быстро убывает с течением времени, то батарея разряжена.

Имеется ли короткое замыкание в схеме или большая утечка, можно определить омметром, подключенным к клеммам подачи напряжения питания (рис. 4.16) (батарею отключить). Магнитофон включить в режим «Вос-



Рис. 4.15. Проверка потребляемого тока магнитофоном

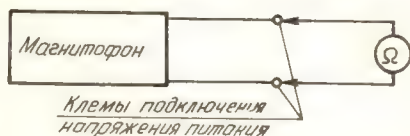


Рис. 4.16. Проверка наличия короткого замыкания в магнитофоне относительно источника питания

произведение». Величина сопротивления относительно клеммы питания составляет не менее нескольких десятков Ом. Определить ее можно по закону Ома.

Признаком разряженной батареи магнитофона является и значительное, заметное на слух уменьшение скорости движения ленты в режиме «Воспроизведение», уменьшение громкости звучания фонограммы, уменьшение скорости перемотки, появление значительных искажений звука при большой громкости. При наличии признаков, прежде чем заменить батарею, необходимо проверить состояние поверхностей контактов, к которым подключается батарея, и поверхность самой батареи. Они должны быть чистыми, не окислены, без ржавчины и загрязнений. При установке новой батареи контакты надо хорошо очистить. Для очистки контактов от окисления электролитом можно использовать дистиллированную воду (10 частей) с уксусной эссенцией (одна часть).

Параметры гальванических элементов приведены в таблицах 4.8...4.12, аккумуляторов — в табл. 4.13.

Таблица 4.8. Электрические параметры сухих марганцово-цинковых цилиндрических элементов с солевым электролитом

Обозначение элемента	Напряжение, В, не менее (при +20...+60 °С)		Габаритные размеры (D×H), мм	Масса, г	Гарантийный срок сохранения емкости, мес.
	свежеизготовленного элемента	в конце срока сохраняемости			
286	1,48	1,33	10,5×44,5	10	6
314	1,52	1,37	14,5×38,0	15	6
316	1,52	1,29	14,5×50,5	20	9
316 «Уран»	1,52	1,29	14,5×50,5	20	9
332	1,40	1,26	21,5×37,3	30	6
336	1,40	1,26	21,5×60,0	45	6
343	1,50	1,20	26,2×50,0	50	18
373	1,55	1,24	34,2×61,5	115	18
374	1,55	1,24	34,2×75,0	130	18
376	1,55	1,24	34,2×91,0	165	18
425	1,48	1,18	40,0×100,0	235	15
465	1,50	1,20	51,0×125,0	502	18

Таблица 4.9. Электрические параметры ртутно-цинковых элементов и батарей (при +20 °С)

Обозначение элемента или батареи	Напряжение, В, не менее		Номинальная емкость, А·ч	Разрядный ток, мА	Продолжительность работы, ч	Габаритные размеры (D×H), мм	Масса, г	Срок хранения, мес.
	начальное	конечное						
РЦ-11	1,25	1,0	0,02	0,15	—	4,7×5,0	0,5	6
РЦ-13	1,25	1,0	0,02	0,15	—	6,0×3,5	0,45	6
РЦ-15	1,25	1,0	0,04	0,3	—	6,3×6	0,85	6
РЦ-31	1,25	1,0	0,07	1,0	—	11,5×3,6	1,3	12
РЦ-32	1,25	1,0	0,05	2,0	—	11×3,5	1,3	6
РЦ-53	1,25	1,0	0,25	10	24	15,6×6,3	4,6	18
РЦ-55	1,25	1,0	0,5	10	50	15,6×12,5	9,5	30
РЦ-57	1,25	1,0	1,0	20	—	16×17	15	12
РЦ-59	1,25	1,0	3,0	60	—	16×50	44	12
РЦ-63	1,25	1,0	0,55	20	27	21×7,4	10,5	18
РЦ-65	1,25	1,0	1,0	20	53	21×13	18,1	30
РЦ-73	1,25	1,0	1,0	30	32	25,5×8,4	17,2	18
РЦ-75	1,25	1,0	1,5	30	55	25,5×13,5	27	30
РЦ-82Т	1,25	1,0	1,5	50	—	30,1×9,4	30	18
РЦ-83	1,25	1,0	1,5	50	35	30,1×9,4	28,2	18
РЦ-84	1,22	1,0	2,5	50	—	30,1×14	45	30
РЦ-85	1,22	1,0	2,5	50	55	30,1×14	39,5	30
РЦ-93	1,25	1,0	13,0	300	—	31×60	170	6
2РЦ-55с	2,68	1,8	0,45	10	—	16,2×27	20	—
3РЦ-55с	4,02	2,7	0,45	10	—	16,2×40	30	—
4РЦ-55с	5,36	3,6	0,45	10	—	16,2×53	40	—
5РЦ-55с	6,7	4,5	0,45	10	—	16,2×66	50	—
2РЦ-63	2,5	1,8	0,55	60	—	22×16	21,1	12
6РЦ-63	7,2	5,4	0,6	10	—	23×48	71	6
5РЦ-84	6,0	4,5	3,0	100	—	35×85	250	—

Таблица 4.10. Электрические параметры сухих марганцово-цинковых элементов со щелочным электролитом и повышенной отдачей

Обозначение элемента	Напряжение элемента, В, не менее		Номинальная емкость, А·ч	Разрядный ток, мА	Габаритные размеры (D×H), мм	Масса, г	Срок хранения, мес.
	начальное	конечное					
ЧМЦ-2	1,63	1,4	0,06	0,3	11,1×8,4	1,5	18
ЧМЦ-н	1,5	—	0,05	0,1	11,1×3,2	1,5	18
МЦ-1К	1,46	0,8	0,11	2,5	15,5×6,6	4,1	15
МЦ-2К	1,46	0,8	0,3	2,5	21,0×7,4	8,2	15
МЦ-3К	1,46	0,8	0,4	10	25,0×8,4	14,5	15
МЦ-4К	1,46	0,8	1,0	10	31,1×9,4	21,5	15
A-312	1,52	0,9	0,85	30	14×25	10	—
A-314 («Карат»)	1,52	0,9	1,3	30	14×38	15	—
A-316 («Квант»)	1,52	0,9	1,7	30	14×50	25	—
A-332 («Ореол»)	1,4	0,75	2,7	22	20×37	30	—
A-336 («Свет»)	1,4	0,75	4,2	220	20×59	55	—
A-343 («Салют»)	1,55	0,75	5,2	260	26×49	70	—
A-373 («Мир»)	1,6	0,75	11,2	270	32×61	125	—

Таблица 4.11. Электрические параметры батарей типа 3336 из цилиндрических марганцово-цинковых элементов с соевым электролитом

Обозначение батарей	Начальное напряжение, В, не менее		Конечное напряжение, В, не менее	Характер разряда батареи (при +20°)								Гарантийный срок сохранения, мес.
	свежеизготовленной батареи	в конце срока сохранения		непрерывный		прерывистый режим I		прерывистый режим II				
				Продолжительность разряда, мин, не менее	Сопротивление внешней цепи, Ом	Продолжительность разряда, мин, не менее	Сопротивление внешней цепи, Ом	Продолжительность разряда, мин, не менее	Сопротивление внешней цепи, Ом			
3336Л	3,9	3,5	2,7	40	10	160	130	15	80	64	225	6
3336 «Планета 1»	4,0	3,6	2,7	60	10	300	240	15	110	88	225	6
3336 «Планета 2»	3,9	3,5	2,7	40	10	200	160	15	100	80	225	6
3336У	4,1	3,5	2,7	40	10	180	130	15	80	64	225	8

Примечания: 1. Периодичность проведения разряда I — по 10 мин ежедневно. 2. Периодичность проведения разряда II — по 4 ч ежедневно. 3. Батареи 3336Л и 3336У в новых разработках не применять.

Таблица 4.12. Электрические параметры марганцово-цинковых цилиндрических элементов с соевым электролитом при различных режимах разряда

Обозначение элемента	Характер разряда элемента (при +20 °С)									
	непрерывный				прерывистый					
	Продолжительность работы, ч, не менее		Режим разряда		Продолжительность работы, ч, не менее		Режим разряда			
	свежеизготовленного элемента	в конце срока сохранения	сопротивление внешней цепи, Ом	конечное напряжение, В	свежеизготовленного элемента	в конце срока сохранения	сопротивление внешней цепи, Ом	конечное напряжение, В	периодичность проведения разряда	
286	20	16	200	1,0	72	58	300	0,9		
314	38	30	200	1,0	75	60	300	0,9	12 ч в день ежедневно	
316	60	48	200	1,0	140	100	300	0,9	То же	
«Уран»	70	48	200	1,0	180	120	300	0,9	»	
332	6	4,8	20	0,85	1,67	1,33	5	0,75	»	
336	10	7	20	0,85	6,67	4,83	5	0,75	5 мин в день	
									5 дней в неделю	
									10 мин в день	
									5 дней в неделю	
343	12	9	20	0,85	5	3,33	5	0,75	То же	
373	40	28	20	0,85	18,35	11,5	5	0,75	30 мин в день	
									5 дней в неделю	
374	50	35	20	0,85	21,65	12	5	0,75	То же	
376	65	45,5	20	0,85	28,35	18,6	5	0,75	»	
425	144	100	20	0,85	—	—	—	—	»	
465	495	340	20	0,85	—	—	—	—	»	

Таблица 4.13. Электрические параметры дисковых герметичных никель-кадмиевых щелочных аккумуляторов и батарей

Тип аккумулятора	Номинальная емкость, мА·ч	Напряжение, В, не менее		Габаритные размеры ($D \times H$), мм (см. рис. 47, в)	Масса, г	Срок службы, мес., не менее	Срок хранения, мес.
		номинальное	конечное				
Д-0,025Д	25	1,2	1,0	11,6×5,5	2,0	24	18
Д-0,06	60	1,2	1,0	15,7×6,6	4,0	12	12
Д-0,06Д	60	1,2	1,0	15,6×6,1	3,6	24	18
Д-0,1	115	1,2	1,0	20,1×7,1	7,0	14	15
Д-0,115Д	115	1,2	1,0	20,0×6,6	7,0	24	18
Д-0,25	250	1,2	1,0	27,2×10,3	14,0	12	6
Д-0,26Д	260	1,2	1,0	25,2×9,3	13,5	24	18
Д-0,26С	260	1,2	1,0	25,2×9,3	13,5	24	18
Д-0,55С	550	1,2	1,0	34,6×9,8	28,0	24	18
7Д-0,115-У1.1	115	8,4	7,0	24,0×62,2	60,0	15	14

На практике применяются последовательное и параллельное соединения гальванических элементов и аккумуляторов.

Последовательное соединение может быть согласным (рис. 4.17, а) и встречным (рис. 4.17, б). При согласном соединении ЭДС батареи равна сумме ЭДС каждого элемента.

При параллельном соединении (рис. 4.18) ток батареи при нагрузке равен сумме токов ее элементов. Напряжение на всех элементах одина-

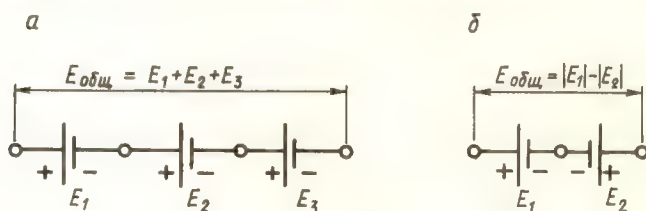


Рис. 4.17. Последовательное включение гальванических элементов или аккумуляторов: а — согласное; б — встречное

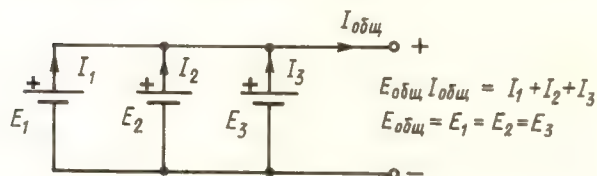


Рис. 4.18. Параллельное включение гальванических элементов и аккумуляторов

ково. Такое соединение применяют для увеличения емкости батареи (или увеличения тока, отдаваемого в нагрузку), например, если необходима длительная работа переносного аппарата на большой громкости. Однако надо иметь в виду, что соединять параллельно надо только идентичные

элементы. Если элементы будут разные (например, разное внутреннее сопротивление, ЭДС и др.), то возможно частичное потребление электроэнергии одного элемента другим.

Неисправности блока питания от сети

Сетевой блок питания магнитофона обычно состоит из силового трансформатора, выпрямителя, сглаживающего фильтра, и в некоторых схемах имеется электронный стабилизатор постоянного напряжения (рис. 4.19). Силовой трансформатор преобразует переменное напряжение сети в переменное напряжение до величины, необходимой для питания схемы. Он содержит первичную обмотку, подключаемую к сети, и одну

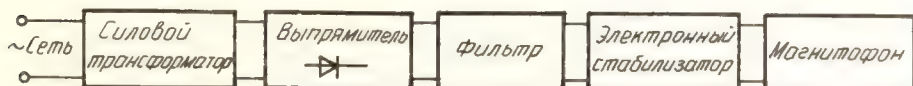


Рис. 4.19. Структурная схема блока питания

или несколько вторичных обмоток. Силовой трансформатор может содержать обмотку для питания электродвигателя переменного тока. В цепь первичной обмотки устанавливаются плавкие предохранители, защищающие трансформатор от выхода из строя при коротком замыкании в схеме. В некоторых схемах устанавливается плавкий предохранитель и в цепи вторичной обмотки трансформатора, позволяющий защитить от вывода из строя выпрямитель. Чтобы предохранители выполняли свои функции, они должны быть рассчитаны на ток, указанный на схеме.

Выпрямитель преобразует переменное напряжение в постоянное, чаще выполняется по мостовой схеме (содержит 4 полупроводниковых диода). В некоторых аппаратах имеется несколько выпрямителей для разных напряжений.

На выходе выпрямителя включается фильтр, сглаживающий пульсации переменного тока. Чаще применяется фильтр, состоящий из одного или нескольких, включенных параллельно, электролитических конденсаторов, общей емкостью от нескольких сотен до тысяч микрофард. После фильтра часто применяется электронный стабилизатор, обычно компенсационного типа.

В блоке питания могут возникнуть неисправности, характеризующиеся следующими внешними признаками:

- при включении магнитофона сгорает предохранитель;
- выпрямленное напряжение отсутствует или значительно ниже нормы;
- недостаточная фильтрация выпрямленного напряжения.

Рассмотрим возможные причины, вызывающие указанные неисправности в блоке питания.

1. При включении магнитофона сгорает предохранитель. Сначала проверить, правильно ли установлен переключатель напряжения сети. Перегорание предохранителя указывает на чрезмерно большой ток, протекающий в обмотках трансформатора. Это возможно при коротких замыканиях в цепях питания схемы магнитофона, в схеме самого блока питания или в силовом трансформаторе. Для уточнения места неисправности отсоединим схему магнитофона от блока питания и включим блок питания в сеть, установив годный предохранитель. Если при этом предохранитель не перегорает, значит, блок питания исправен, а цепь короткого замыкания находится в схеме магнитофона. Это может быть корот-

кое замыкание в монтаже схемы, пробой электролитических конденсаторов фильтра схемы, пробой транзисторов усилителя магнитофона и др.

Если же при повторном включении блока питания в сеть предохранитель снова перегорает, то это свидетельствует о наличии короткого замыкания в самом блоке питания. Это возможно при коротком замыкании в обмотках силового трансформатора, при пробое электролитических конденсаторов фильтра, при пробое полупроводниковых диодов выпрямителя. Для уточнения места неисправности можно отсоединить вторичную обмотку трансформатора от выпрямителя и подключить трансформатор к сети. Если предохранитель не перегорает, обмотки трансформатора не нагреваются, то трансформатор исправен, в противном случае он подлежит замене или ремонту. Диоды и электролитические конденсаторы проверяются омметром.

2. *Выпрямленное напряжение на выходе блока питания отсутствует.* Сначала необходимо проверить наличие и годность предохранителя, затем наличие напряжения сети, исправность сетевого выключателя. Другой причиной может быть: обрыв вторичной обмотки силового трансформатора, выход со стороны выпрямителя, пробой конденсаторов фильтра, неисправность в схеме стабилизатора.

Вначале нужно проверить наличие постоянного напряжения на входе стабилизатора. Если его величина соответствует указанному на схеме (обычно несколько выше выходного напряжения блока питания), то трансформатор, выпрямитель и фильтр исправны. Проверке подлежит схема электронного стабилизатора, режим работы ее транзисторов, стабилитрона, исправность транзисторов (особенно более мощного управляемого). При отсутствии напряжения на входе стабилизатора необходимо проверить наличие переменного напряжения на вторичной обмотке трансформатора. Если оно нормально, то неисправность следует искать в выпрямителе или пробое конденсаторов фильтра (это может вызвать пробой диодов выпрямителя и перегорание предохранителя). Если переменное напряжение на вторичной обмотке трансформатора отсутствует, он подлежит замене.

Признаками *пониженного напряжения* на выходе блока питания являются: снижение скорости движения ленты в магнитофоне, замедленная перемотка ленты при увеличении выходной мощности, появление заметных искажений звука. Перед поиском неисправности необходимо проверить величину питающего напряжения сети. Если оно нормально, то неисправность находится в блоке выпрямителя питающей сети схемы магнитофона.

После этого проверить диоды выпрямителя и электролитические конденсаторы фильтра.

При недостаточной фильтрации выпрямленного напряжения появится фон переменного тока в громкоговорителе магнитофона. Причиной является уменьшение емкости или увеличение тока утечки электролитических конденсаторов или их обрыв. Для обнаружения дефектного конденсатора необходимо поочередно, параллельно конденсаторам фильтра подключить годный, определенной емкости, рассчитанный на рабочее напряжение конденсатор. Если фон исчезнет, то этот неисправный конденсатор подлежит замене.

Подбор выпрямительных диодов взамен вышедшим из строя осуществляется по следующим параметрам:

постоянное (максимальное) обратное напряжение $V_{обр}$ (обр. макс) должно быть не ниже, чем у заменяемого;

постоянный прямой ток диода $I_{пр}$ должен быть равен или выше, чем у заменяемого;

максимально допустимая рассеиваемая мощность диода $P_{\text{макс}}$ должна быть равна или выше, чем у заменяемого (см. табл. 4.14...4.16, 4.22);

вышедшие из строя блоки диодов (диодный мост в одном корпусе) заменяются аналогичными, но при отсутствии блока его можно заменить четырьмя диодами;

вышедшие из строя электролитические конденсаторы подбираются по величине рабочего напряжения и емкости не ниже, чем у заменяемого. Для фильтров чем больше емкость, тем, обычно, лучше. При этом может несколько повыситься величина выходного напряжения фильтра.

Уровень пульсаций уменьшается и электронным стабилизатором. Часто уровень пульсаций указан величиной переменной составляющей напряжения на выходе $\sim U$, которую легко измерить электронным осциллографом, увеличивая его чувствительность (уменьшить значение $U/\text{дел.}$) делителем входного напряжения.

Стабилизаторы напряжения

Для питания каскадов бытовой аппаратуры применяются в основном параметрические и компенсационные стабилизаторы напряжения.

Параметрический стабилизатор осуществляет стабилизацию выходного напряжения за счет свойств вольт-амперной характеристики нелинейного элемента (НЭ)-стабилитрона (стабилитора). Его структурная схема приведена на рис. 4.20. При увеличении напряжения на входе $U_{\text{вх}}$

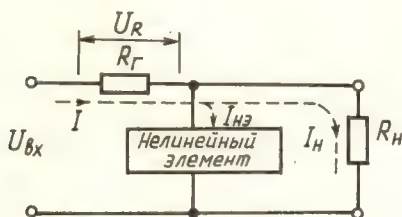


Рис. 4.20. Структурная схема параметрического стабилизатора

возрастает ток через нелинейный элемент и падение напряжения на резисторе U_R , а выходное напряжение на нагрузке U_H остается неизменным. При уменьшении входного напряжения ток через НЭ уменьшается, падение напряжения U_R уменьшается, а U_H не изменяется. Вольт-амперная характеристика нелинейного элемента стабилитрона приведена на рис. 4.21. Для работы стабилизатора используется обратное включение стабилитрона (рис. 4.22), при котором при изменении тока через стабилитрон от $I_{\text{мин. ст.}}$ до $I_{\text{макс. ст.}}$ напряжение остается практически неизменным, равным $U_{\text{ст.}}$. Стабилитрон стабилизирует только одно напряжение $U_{\text{ст.}}$ и применяется в том случае, если ток, потребляемый нагрузкой, находится в пределах между $I_{\text{мин. ст.}}$ и $I_{\text{макс. ст.}}$. Если в силу каких-то причин ток нагрузки возрастет больше $I_{\text{ст. макс.}}$, то стабилизатор не будет работать и даже может выйти из строя стабилитрон. Так как ток стабилизации относительно небольшой, то параметрический стабилизатор применяется чаще для стабилизации напряжения питания отдельных каскадов на транзисторах и микросхемах.

Если необходимо стабилизировать напряжения, отличающиеся от стандартных значений $U_{\text{ст}}$ стабилитронов, то возможно последовательное включение стабилитронов (рис. 4.22, б). Ток через все стабилитроны проходит одинаковый. Обычно применяют последовательное включение одинаковых стабилитронов. В любом случае мощность каждого из ста-

билитронов и значения их $I_{ст. мин} \dots I_{ст. макс}$ одинаковы. Параллельное включение стабилитронов не допускается, так как у одинаковых типов стабилитронов разное $U_{ст}$ и будет работать только один из них, у которого $U_{ст}$ меньше.

При пробое стабилитрона напряжение на нагрузке резко уменьшается и сильно нагревается гасящий резистор R_g . Ориентировочно годность стабилитрона можно проверить омметром. Его прямое сопротивление (рис. 4.23) мало, обратное — большое, если приложенное обратное на-

Рис. 4.21. Вольт-амперная характеристика стабилитрона

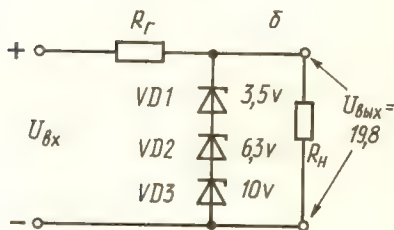
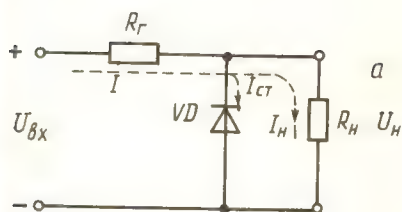
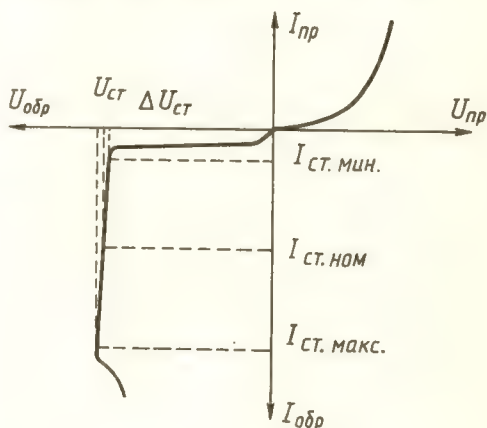


Рис. 4.22. Принципиальная схема параметрического стабилизатора: а — с одним стабилитроном; б — последовательное включение стабилитронов

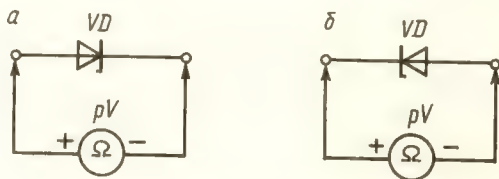


Рис. 4.23. Проверка стабилитрона омметром:

а — сопротивление мало;
б — сопротивление велико

пряжение меньше $U_{ст}$ данного стабилитрона, (большее напряжение не следует подавать), можно вывести из строя стабилитрон.

Проверку работоспособности стабилитрона как стабилизатора и определение напряжения стабилизации можно осуществить с помощью простой схемы (рис. 4.24). R выбирают приблизительно равным: $P = U_{ст}^2 / 0,5 P_{доп}$, где $P_{доп}$ — допустимая мощность рассеивания стабилитрона.

трона, $U_{\text{ст}}$ — напряжение стабилизации. Мощность рассеивания резистора R выбирается из условия $P_R > U_{\text{ст}}^2/P$, где P_R — необходимая мощность рассеивания.

При повышении напряжения источника E постепенно увеличивается измеряемое напряжение на стабилитроне до величины $U_{\text{ст}}$ данного стабилитрона. При дальнейшем увеличении E ($E < 2U_{\text{ст}}$) напряжение на нормально работающем стабилитроне остается примерно постоянным, равным $U_{\text{ст}}$.

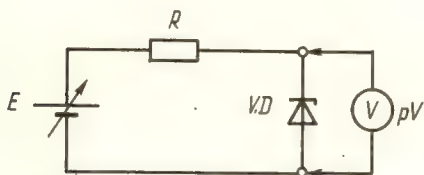


Рис. 4.24. Схема проверки стабилитрона

При замене вышедшего из строя стабилитрона (при отсутствии аналогичного) следует помнить, что $U_{\text{ст}}$ нового стабилитрона должно точно соответствовать заменяемому, а $I_{\text{ст}}$ и $P_{\text{макс}}$ не ниже, чем у заменяемого, но при этом придется подбирать гасящий резистор, так как за счет увеличения $I_{\text{ст}}$ падение напряжения на нем увеличится.

При выборе элементов простого параметрического стабилизатора можно ориентировочно руководствоваться соотношениями, приведенными ниже.

Выходное напряжение $U_{\text{вых}} = U_{\text{ст}}$ стабилитрона.

Мощность рассеяния стабилитрона $P_{\text{макс}} = I_{\text{ст}} \cdot U_{\text{ст}}$.

Минимальное входное напряжение $U_{\text{вх. min}} > 1,4U_{\text{ст}}$.

Напряжение стабилизации $U_{\text{ст}} \approx 0,7U_{\text{вх. min}}$.

Рабочая мощность стабилитрона $P \approx 3P_{\text{н}}$, где $P_{\text{н}}$ — мощность нагрузки.

Величина гасящего резистора $R_f = (U_{\text{вх. max}} - U_{\text{ст}})^2/P$, где $U_{\text{вх. max}}$ — максимальное входное напряжение, P — рабочая мощность стабилитрона, $U_{\text{ст}}$ — напряжение стабилизации.

Отклонения входного напряжения $\Delta U_{\text{вх}}$: $\Delta U_{\text{вх}} < 30\% U_{\text{вх. max}}$.

Ток нагрузки $I_{\text{н}} = U_{\text{ст}}/R_{\text{н}}$.

Мощность нагрузки $P_{\text{н}} = U_{\text{ст}}I_{\text{н}}$.

Рабочий ток стабилитрона $I_{\text{ст}} \approx 3I_{\text{н}}$.

Параметры стабилитронов приведены в таблицах 4.17, 4.18, 4.23.

Аппараты магнитной записи (кроме миниатюрных) потребляют токи обычно выше токов стабилизации стабилитронов. Поэтому используют более сложные схемы параметрических стабилизаторов (рис. 4.25) или компенсационные стабилизаторы. Отличие этих схем в том, что ток, потребляемый нагрузкой, является током коллектора транзистора и он в $h_{21э}$ раз больше ($h_{21э}$ — статический коэффициент усиления тока базы в схеме с общим эмиттером) тока стабилитрона. Напряжение на выходе такого стабилизатора $U_{\text{вых}} = U_{\text{ст}} - U_{\text{б-э}}$, где $U_{\text{ст}}$ — напряжение стабилизации стабилитрона; $U_{\text{б-э}}$ — напряжение база-эмиттер транзистора. Требуемый ток стабилизации можно установить подбором величины резистора R_1 . Резистор R_2 обеспечивает нормальный режим работы транзистора VT при малых токах нагрузки.

Если требуется большее значение тока нагрузки, применяют параллельное включение двух и более транзисторов (рис. 4.26). Из двух транзисторов VT1 маломощный, а VT2 мощный. Ток, потребляемый нагруз-

кой, — это ток коллектора мощного $VT2$, он больше тока стабилизации стабилитрона VD в $h_{21э}$ раз составного транзистора, а $h_{21э} = h_{21э}(VT1) \times \times h_{21э}(VT2)$.

В схемах параметрических стабилизаторов с транзистором (рис. 4.25) параметры активных элементов взаимосвязаны, и это надо учитывать при их замене или ремонте. Ток базы транзистора соизмерим с током стабилизации стабилитрона, а ток коллектора транзистора является током нагрузки. В схеме рис. 4.26 ток стабилизации стабилитрона VD соизмерим

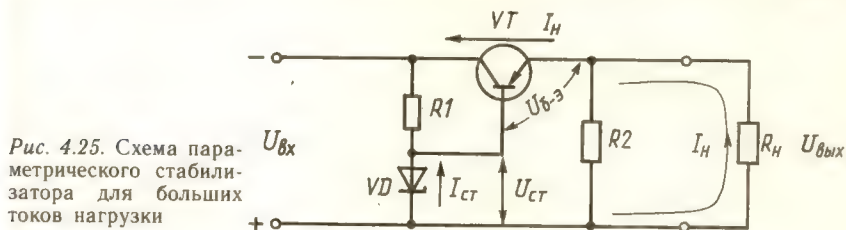


Рис. 4.25. Схема параметрического стабилизатора для больших токов нагрузки

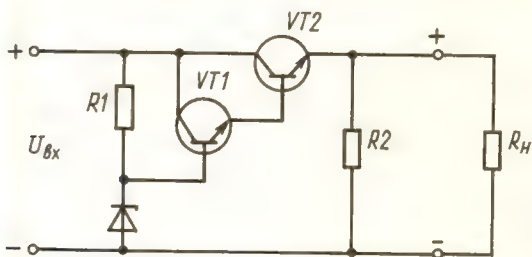


Рис. 4.26. Схема параметрического стабилизатора на составных транзисторах

с током базы $VT1$, а ток коллектора $VT1$ с током базы $VT2$, ток коллектора $VT2$ — ток нагрузки.

При аварийном режиме в схеме потребления электроэнергии (большая утечка тока) ток, потребляемый нагрузкой, становится больше номинального, возрастает ток коллектора последовательно включенного транзистора ($VT1$ или составного $VT1, VT2$), возрастают ток базы и ток стабилизации стабилитрона. Происходит нагрев элементов, от этого изменяются их параметры (в том числе напряжение стабилизации стабилитрона.) Нормальная работа сразу нарушается, и дальнейший нагрев приводит к перегоранию транзистора, возможно, и стабилитрона. Транзисторы обычно крепятся на радиаторах, и после их замены необходим хороший тепловой контакт. Холодный транзистор свидетельствует об отсутствии тока в нагрузке. При сильном нагреве транзистора надо отключить аппарат, дать возможность транзистору хоть немного остыть, а затем измерить ток, потребляемый нагрузкой, и, в случае его превышения, устранить причину. Если же ток в нагрузке нормальный, то проверить (заменить) стабилитрон, транзистор.

Компенсационные стабилизаторы

Параметрические стабилизаторы являются наиболее простыми устройствами. Промышленность выпускает широкую номенклатуру кремниевых стабилитронов. Их недостатком является то, что они эффективно работают только при небольших токах нагрузки, а применение транзисторов (рис. 4.25) дает невысокий коэффициент стабилизации выходного на-

пряжения и их параметры изменяются от изменения тока нагрузки и температуры.

Поэтому для питания усилительных устройств, аппаратов магнитной записи применяют более совершенные компенсационные стабилизаторы, которые обладают высоким коэффициентом стабилизации, КПД и др.

В зависимости от схемного построения различают последовательные и параллельные компенсационные стабилизаторы.

Последовательные компенсационные стабилизаторы

Структурная схема такого стабилизатора приведена на рис. 4.27. При таком построении схемы регулирующий элемент включается последовательно с нагрузкой.

Предположим, что по какой-либо причине (увеличение входного напряжения, изменение тока нагрузки и т. п.) напряжение на выходе ста-

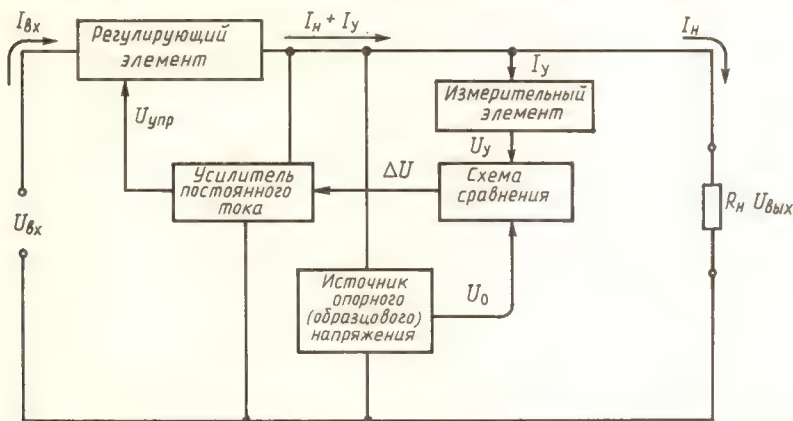


Рис. 4.27. Структурная схема последовательного компенсационного стабилизатора

лизатора $U_{\text{вых}}$ увеличилось. В результате этого возросло напряжение на выходе измерительного элемента, превысило опорное напряжение и появляется какое-то напряжение (напряжение ошибки) на выходе схемы сравнения. Это напряжение $U_{\text{упр}}$ усиливается усилителем постоянного тока (УПТ) и поступает на управление регулирующим элементом. Под действием $U_{\text{упр}}$ падение напряжения на регулирующем элементе увеличивается, а, следовательно, напряжение на выходе стабилизатора уменьшается (восстанавливается прежнее значение). Так, в схеме осуществляется отрицательная обратная связь.

В установившемся режиме выходное напряжение стабилизатора сохраняется практически постоянным и нестабильность его будет тем меньше, чем больше коэффициент усиления УПТ.

Параллельные компенсационные стабилизаторы

В компенсационных стабилизаторах параллельного типа регулирующий элемент включается параллельно нагрузке. Структурная схема типового параллельного стабилизатора приведена на рис. 4.28. Как и в последовательном стабилизаторе, здесь имеется делитель напряжения. Одно

его плечо — гасящий резистор R_r , другое — нелинейный РЭ. Входное напряжение подается на делитель напряжения, а нагрузка подключается параллельно РЭ. В такой схеме $I_{вх} = I_{R_3} + I_y + I_n$ и при постоянном $U_{вх}$ входной ток $I_{вх}$ неизменный. В режиме, близком к холостому ходу (малое потребление тока нагрузкой), для сохранения неизменного напряжения на нагрузке $U_{вых}$ через РЭ должен протекать ток, равный номинальному току нагрузки. Поэтому стабилизаторы параллельного типа имеют довольно низкий КПД (0,3...0,4), что ограничивает их применение в переносной аппаратуре с питанием от гальванических элементов.

Работа параллельного стабилизатора аналогична работе последовательно. Если $U_{вх}$ увеличилось, то возрастут напряжения на нагрузке $U_{вых}$ и на выходе измерительного элемента, и как только последнее превысит величину опорного напряжения U_0 , то на выходе схемы сравнения будет

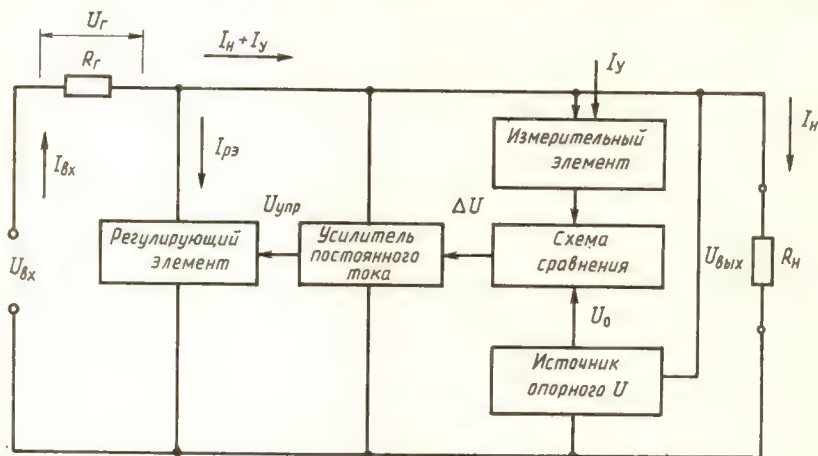


Рис. 4.28. Структурная схема параллельного компенсационного стабилизатора

напряжение ошибки ΔU , которое после усиления УПТ поступит на РЭ. В результате воздействия $U_{упр}$ возрастет ток, проходящий через РЭ, R_r , и на последнем увеличится падение напряжения U_r , а $U_{вых}$ уменьшится практически до прежнего уровня.

Для сравнения обоих видов стабилизаторов можно отметить, что у последовательных стабилизаторов более высокий КПД, они экономичны в режиме малых потребляемых токов и имеют высокий коэффициент стабилизации. Однако, с точки зрения эксплуатации и ремонта, они обладают существенным недостатком: низкая надежность при перегрузках (больших потребляемых токах) и в режиме короткого замыкания в цепи нагрузки. Так как в последовательном стабилизаторе регулирующий элемент (мощный транзистор или составные транзисторы) включен последовательно с нагрузкой и при коротком замыкании мгновенно сгорает, то создание эффективной защиты регулирующего транзистора приводит к усложнению и удорожанию схемы.

Важнейшим преимуществом параллельных стабилизаторов является высокая надежность при перегрузках и коротких замыканиях на выходе. В них при перегрузке или замыкании на выходе резко уменьшаются ток и напряжение на мощном регулирующем транзисторе. Поэтому таким стабилизаторам практически не нужна схема защиты от перегрузок.

Качество стабилизации обоих стабилизаторов примерно одинаково. Основным недостатком параллельного стабилизатора является низкий КПД. В принципиальных схемах компенсационных стабилизаторов в качестве регулирующих элементов стабилизаторов напряжений применяют транзисторы или составные транзисторы, которые не только увеличивают мощность стабилизатора, но и лучше согласовывают мало-мощный УПТ с мощным регулирующим транзистором.

Мощность регулирующего транзистора зависит от мощности нагрузок.

Источник опорного напряжения представляет собой обычно однокаскадный параметрический стабилизатор на кремниевом стабилитроне. От качества стабилитрона существенно зависит качество работы стабилизатора. Если по какой-либо причине изменяется напряжение стабилизации стабилитрона, то изменяется и напряжение на выходе всего стабилизатора. В процессе ремонта при замене стабилитрона на аналогичный может измениться выходное напряжение из-за разброса его параметров. Назначение схемы сравнения — выявить отклонение выходного напряжения от номинального и подать его на вход УПТ по цепи обратной связи. В стабилизаторах напряжения обычно схему сравнения совмещают с УПТ (усилителем сигнала ошибки или его входным каскадом) и источником опорного напряжения. Схемы сравнения могут быть выполнены на одном или двух транзисторах с различными вариантами подключения стабилитронов или совмещены с УПТ (сравнение напряжений происходит на входе первого каскада усилителя).

Измерительный элемент обычно представляет собой делитель напряжения на резисторах, подключенных параллельно выходу стабилизатора. Основное требование к нему — постоянство коэффициента деления. Иногда в цепи измерительного элемента устанавливают переменный или подстроечный резистор, с помощью которого можно в определенных пределах изменять величину $U_{\text{вых}}$ стабилизатора.

Усилитель постоянного тока в более простых стабилизаторах совмещается со схемой сравнения и его роль выполняет транзистор VT_2 (рис. 4.29). Но в такой схеме низкая стабильность напряжения питания УПТ (VT_2), зависимость ее работы от параметров транзистора VT_2 и температуры. Для уменьшения погрешностей, вызванных изменением температуры, разбросов параметров усилительных транзисторов, применяются дифференциальные схемы УПТ (рис. 4.30).

В этой схеме транзистор VT_3 используется как обычный УПТ. На его базу подается часть выходного напряжения, снимаемого с резистора R_2 делителя выходного напряжения R_1, R_2 , а на эмиттер — опорное напряжение, но не со стабилитрона VD непосредственно, а через эмиттерный повторитель на транзисторе, в эмиттерную цепь которого включен резистор R_3 . Падение напряжения на этом резисторе и используется в качестве опорного U_0 .

Еще лучшими характеристиками обладают стабилизаторы с УПТ, выполненными на базе интегральных операционных усилителей (рис. 4.31). На операционном усилителе $DA1$ выполнены схема сравнения и усилитель сигнала ошибки. Такие схемы имеют высокий коэффициент стабилизации (до 1000).

Параллельные компенсационные стабилизаторы (рис. 4.32) в схемах питания бытовой радиоэлектронной аппаратуры не получили широкого распространения. В данной схеме регулирующий элемент — транзистор VT_1 , усилитель постоянного тока собран на транзисторе VT_2 , измерительный элемент — делитель выходного напряжения на резисторах R_1, R, R_2 . Источником опорного напряжения является однокаскадный параметри-

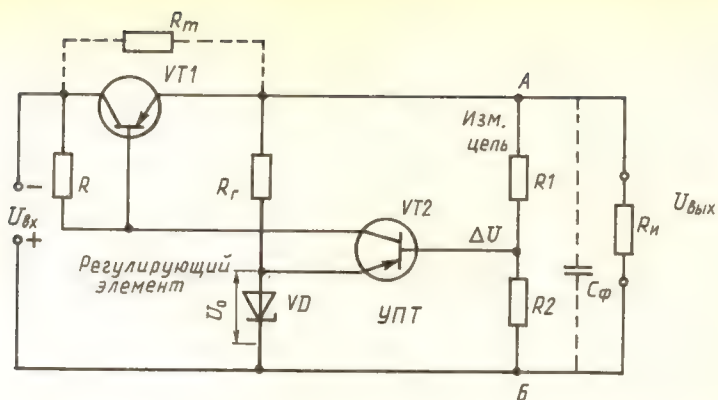


Рис. 4.29. Принципиальная схема последовательного компенсационного стабилизатора

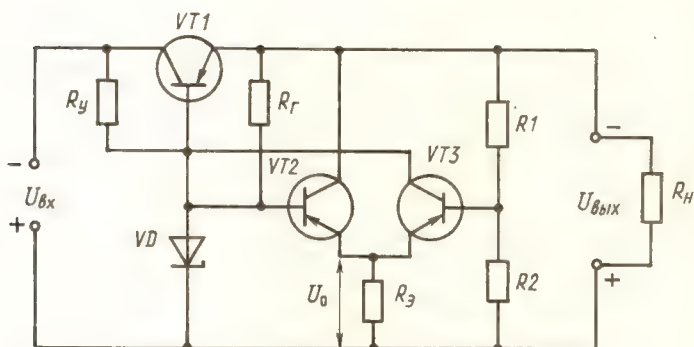


Рис. 4.30. Принципиальная схема последовательного компенсационного стабилизатора с УПТ на дифференциальном усилителе

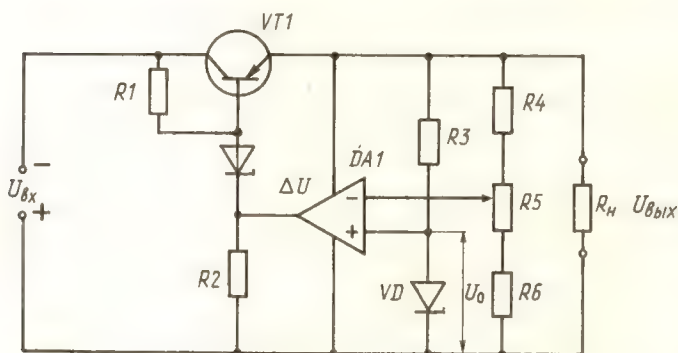


Рис. 4.31. Принципиальная схема последовательного стабилизатора с УПТ на операционном усилителе

ческий стабилизатор на стабилитроне VD . Минимальное значение рабочего тока через стабилитрон определяется сопротивлением резистора R_{CT} . Сравнение выходного и опорного напряжения производится на входе $VT2$ УПТ, он же усиливает сигнал ошибки и управляет регулирующим транзистором. В схемах блоков питания аппаратов магнитной записи применяются в основном параметрические и последовательные компенсационные стабилизаторы, в которых часто регулирующий транзистор шунтирован резистором R_m (рис. 4.29). Шунтирование транзистора

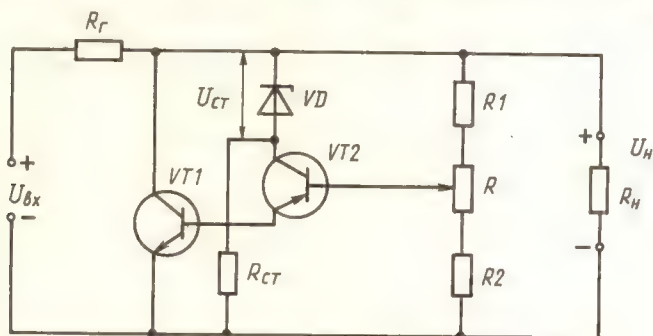


Рис. 4.32. Принципиальная схема параллельного компенсационного стабилизатора

облегчает его тепловой режим, однако так можно поступать в случаях, когда нагрузка постоянна или возможно ее уменьшение (но не полностью), т. е. $I_{н. \min} < I_n < I_{н. \max}$. Величина сопротивления дополнительного резистора $R_{ш}$ выбирается такой, чтобы ток через него составлял 0,6...0,8 от минимального тока нагрузки, т. е. $I_{ш} = U_{кз \max} / R_{ш} = (0,6...0,8) I_{н. \min}$. Шунтирование регулирующего транзистора обеспечивает снижение мощности, выделяющейся на нем до величины $P_k = U_{кз} (I_n - U_{кз} / R_m)$, т. е. на величину мощности, выделяющейся на резисторе R_m . Правда, при подключении R_m снижается коэффициент стабилизации схемы. Если же питание схемы аппарата двухполярное, то имеются и две идентичные схемы стабилизаторов. В бытовой аппаратуре не применяются более сложные схемы стабилизаторов, так как кроме улучшения качества это ведет к усложнению и удорожанию схемы.

В настоящее время промышленность выпускает довольно широкий ассортимент микросхемных стабилизаторов, т. е. микросхемных. Схемотехника их в основном значительно лучше и сложнее. Имеются стабилизаторы и с регулируемым выходным напряжением, и двухполярные с защитой от короткого замыкания, и др.

Основные параметры микросхем стабилизаторов напряжения приведены в таблицах 4.19...4.21.

Ремонт и регулировка компенсационных стабилизаторов напряжения

В бытовых магнитофонах в основном, как отмечалось раньше, применяются схемы последовательных компенсационных стабилизаторов (см. рис. 4.29, 31). Исходя из принципов работы стабилизатора, становится очевидным, что самым «уязвимым» его элементом является регу-

лирующий транзистор $VT1$, так как через него проходит весь ток нагрузки, и несколько облегчен его режим при наличии шунтирующего резистора R_m . С другой стороны, в магнитофоне ток нагрузки возрастает при увеличении громкости, но и значительно увеличивается при наличии большой утечки тока в цепях питания схемы магнитофона (пробой конденсаторов фильтра, пробой транзисторов и т. п.), а при коротком замыкании в цепях питания наступает аварийный режим.

Для облегчения режима работы регулирующего транзистора его мощность выбирается с запасом. Он устанавливается, как правило, на радиаторе, и обеспечивается надежный тепловой контакт корпуса транзистора с радиатором посредством теплопроводной пасты. Как отмечалось раньше, при различных неисправностях в электронной схеме магнитофона на первых этапах проверяют наличие напряжения питания на выходе стабилизатора. Перед этим можно прикоснуться пальцем к корпусу управляющего транзистора (и к другим), и если он очень горячий, то выключить аппарат и проверить наличие короткого замыкания или большой утечки в схеме магнитофона, а затем и самого стабилизатора. Если же транзистор $VT1$ холодный, то, вероятно, ток через него вообще не проходит (обрыв в цепи нагрузки, самом транзисторе и т. п.). При этом сразу следует внимательно осмотреть состояние монтажа, печатной платы, особенно дорожек, ведущих от выводов коллектора и эмиттера $VT1$.

Ремонт стабилизатора (как блока питания в целом) можно проводить и отдельно от аппарата, но при этом надо помнить, что отключение блока питания от нагрузки приводит обычно к возрастанию напряжения на выходных конденсаторах фильтров примерно в 1,5 раза, и рабочее напряжение конденсаторов должно соответствовать этому. Для проверки стабилизатора под нагрузкой вместо аппарата можно включить эквивалент нагрузки (реостат и т. п.), сопротивление и мощность которого зависят от потребляемой мощности аппаратом.

К примеру, если стабилизатор имеет $U_{\text{вых}} = 25 \text{ В}$, а потребляемый ток нагрузки $I_n = 1 \text{ А}$, то мощность реостата $P = UI = 25 \cdot 1 = 25 \text{ Вт}$. Реостат применять лучше потому, что можно плавно увеличивать ток нагрузки до номинального и следить за «поведением» стабилизатора (нагрев транзистора и др.).

При отсутствии напряжения на выходе стабилизатора (или очень малом значении) после проверки наличия $U_{\text{вх}}$ (напряжение после выпрямителя, фильтра) отключить стабилизатор от питания схемы магнитофона (от нагрузки) и повторно проверить величину $U_{\text{вых}}$. При его отсутствии проверить C_f , (если он имеется) на наличие пробоя или большой утечки (при этом он греется), общее сопротивление делителя $R1, R2$. *В общем, проверить сопротивление на выводах подключения нагрузки. Его величина — это параллельное включение измерительной цепи $R1, R2$ и RF с VD .* Нужно помнить, что если «+» омметра в верхней точке A , то сопротивление стабилитрона мало, наоборот — велико (см. рис. 4.29). Если же эти цепи целы, то остается проверить $VT1, VT2$.

При замене вышедших из строя транзисторов и стабилитрона следует иметь в виду, что параметры элементов связаны между собой и чем сложнее схема стабилизатора, тем она более критична к замене активных элементов. Иногда даже с установлением точно такого типа транзистора стабилитрона стабилизатор не запускается (не работает) из-за большого разброса параметров элементов. В таких случаях (при отсутствии измерителя параметров транзисторов, стабилитронов) устанавливают другой экземпляр такого же типа, т. е. подбирают элементы. Замена же регулирующего транзистора $VT1$ на более мощный, с желанием облегчить режим и создать запас по мощности, не всегда дает положительный результат.

Так, ток базы $VT1$ — примерно равен току коллектора $VT2$. У более мощного транзистора I_b может быть больше, «потребуется» больший I_k от $VT2$ (способен ли он выдержать это увеличение), и, в свою очередь, ток стабилитрона тоже возрастет. В стабилизаторах надо стремиться заменять активные элементы на аналогичные или с очень близкими параметрами.

При выборе регулирующего транзистора по схеме (рис. 4.29) руководствуются следующим. Максимально допустимое напряжение $U_{кэ макс}$ данного транзистора должно быть больше наиболее возможного напряжения на выходе стабилизатора $U_{вх. макс}$. Максимально допустимый ток коллектора $I_{к. макс}$ должен быть больше максимального тока нагрузки. Максимальная мощность рассеивания P_{max} регулирующего транзистора $VT1$ определяется по формуле: $P_{max} = (U_{вх. max} - U_{вых}) \cdot I_{н. max}$. Значение $P_{к. max}$ транзистора по справочнику должно быть на 25 % выше $P_{макс}$. Максимальный ток базы регулируемого транзистора $I_{max} = I_{н. max} / h_{21e}$, где h_{21e} — минимальное значение коэффициента передачи тока.

Практика показывает, что при эксплуатации полупроводниковых приборов в облегченном режиме их надежность возрастает в десятки раз по сравнению с эксплуатацией в предельном режиме. А при повышении температуры предельно допустимые значения тока, рассеиваемой мощности, напряжения снижаются, да и все остальные параметры изменяются. Поэтому хорошее охлаждение транзисторов и стабилитронов предполагает долговременную надежную работу стабилизатора. В связи с этим при замене вышедшего из строя регулирующего транзистора необходимо тщательно установить его на радиатор, обеспечивая хороший тепловой контакт, и следить за целостностью изоляционной слюдяной прокладки (если имеется).

При подборе транзистора по справочнику следует обращать внимание на то, при каких условиях у данного транзистора обеспечивается максимальная рассеиваемая мощность (обычно с радиатором). Иногда после замены элементов стабилизатора с УПТ в цепи обратной связи нарушается устойчивость работы, схема начинает генерировать паразитные колебания, т. е. стабилизатор превращается в генератор.

Для устранения генерации можно попробовать подключить конденсатор (емкость которого подбирают) между коллектором и базой транзистора УПТ.

Для повышения устойчивости сложных стабилизаторов увеличивают постоянные времени регулирующего или усилительных каскадов. Для этого на базу регулирующего транзистора можно попробовать присоединить конденсатор емкостью 0,05...0,5 мкФ, второй вывод которого соединяют с общим приводом. Можно еще шунтировать переход эмиттер-база регулирующего транзистора конденсатором емкостью 1...10 мкФ. Однако надо иметь в виду, что подключение конденсаторов ухудшает быстрдействие стабилизатора, может вывести из строя транзисторы во время переходных процессов в моменты включения и выключения.

При значительном отклонении выходного напряжения от номинального следует проверить величину опорного напряжения на стабилитроне и, в случае его отклонения, проверить режимы транзисторов, стабилитронов, резисторов.

Проверка работы стабилизатора

Обычно после ремонта и замены деталей аналогичными стабилизатор промышленного аппарата работает нормально. Напомним, что стабилизатор должен поддерживать выходное напряжение в заданных пределах

при изменении напряжения на его входе (изменении напряжения сети на $\pm 10\%$) с максимальным потребляемым током нагрузки. Для этого аппарат включают в рабочий режим, устанавливают номинальную выходную мощность УЗЧ и измеряют $U_{\text{вых}}$ стабилизатора. Более детальная проверка потребует дополнительных приборов. Поддерживает ли стабилизатор $U_{\text{вых}}$ с изменением $U_{\text{вх}}$, можно проверить, изменяя напряжение питания аппарата с помощью лабораторного автотрансформатора (ЛАТРа) в пределах $220 \text{ В} \pm 10\%$, т. е. от 200 до 240 вольт. В дальнейшем стабилизатор можно подвергнуть испытанию на работу в практическом режиме. Для этого устанавливают наибольшее входное напряжение $U_{\text{сети}} \approx 240 \text{ В}$ и ток нагрузки, имеющий максимальное значение. Наблюдение продолжают около 15 мин, пока не установится температура регулирующего транзистора. Стабилизатор при этом должен работать нормально. Затем ток нагрузки уменьшают скачком до минимального значения, например, уменьшая громкость УЗУ до нуля. При этом стабилизатор не должен выходить из режима стабилизации.

Проверка коэффициента стабилизации по напряжению ($K_{\text{ст}}$)

Отношение относительного изменения напряжения на входе стабилизатора ($\Delta U_{\text{вх}}/U_{\text{вх}}$) к относительному изменению напряжения на его выходе ($\Delta U_{\text{вых}}/U_{\text{вых}}$) называют $K_{\text{ст}}$. $K_{\text{ст}} = (\Delta U_{\text{вх}}/U_{\text{вх}}) / (\Delta U_{\text{вых}}/U_{\text{вых}}) = \Delta U_{\text{вх}} U_{\text{вых}} / \Delta U_{\text{вых}} U_{\text{вх}}$. Как видно, для определения $K_{\text{ст}}$ необходимо измерить $U_{\text{вх}} = U_{\text{вх1}} - U_{\text{вх2}}$ и $U_{\text{вых}}$ на номинальной нагрузке $\Delta U_{\text{вых}} = U_{\text{вых1}} - U_{\text{вых2}}$.

Таблица 4.14. Основные параметры выпрямительных диодов

Тип диода	Максимально допустимый (средний) прямой ток, А	Максимально допустимое обратное напряжение, В	Постоянное (среднее) прямое напряжение, В	Обратный ток при максимально допустимом обратном напряжении, мА	Интервал рабочих температур, °С	
					от	до
Д206	0,1*	100	1,0	0,1	-60	+120
Д207	0,1*	200	1,0	0,1	-60	+120
Д208	0,1*	300	1,0	0,1	-60	+120
Д209	0,1*	400	1,0	0,1	-60	+120
Д210	0,1*	500	1,0	0,1	-60	+120
Д211	0,1*	600	1,0	0,1	-60	+120
Д217	0,1*	800	1,0	0,05	-40	+100
Д218	0,1*	1000	1,0	0,05	-40	+100
Д226Б	0,3*	400	1,0	0,3	-60	+80
Д226В	0,3*	300	1,0	0,3	-60	+80
Д226Г	0,3*	200	1,0	0,3	-60	+80
Д226Д	0,3*	100	1,0	0,3	-60	+80
Д229А	(0,4)	200	(1,0)	0,05	-60	+85
Д229Б	(0,4)	400	(1,0)	0,05	-60	+85
Д229В	(0,4)	100	(1,0)	0,2	-60	+85
Д229Г	(0,4)	200	(1,0)	0,2	-60	+85
Д229Д	(0,4)	300	(1,0)	0,2	-60	+85
Д229Е	(0,4)	400	(1,0)	0,2	-60	+85
Д229Ж	(0,7)	100	(1,0)	0,2	-60	+85
Д229И	(0,7)	200	(1,0)	0,2	-60	+85
Д229К	(0,7)	300	(1,0)	0,2	-60	+85
Д229Л	(0,7)	400	(1,0)	0,2	-60	+85
Д302	1,0*	200	0,3	0,8	-55	+70
Д302А	1,0*	200	0,3	1,2	-55	+55

Тип диода	Максимально допустимый (средний) прямой ток, А	Максимально допустимое обратное напряжение, В	Постоянное (среднее) прямое напряжение, В	Обратный ток, при максимально допустимом обратном напряжении, мА	Интервал рабочих температур, °С	
					от	до
Д303	3,0*	150	0,35	1,0	-55	+70
Д303А	3,0*	150	0,35	1,2	-55	+55
Д304	5,0*	150	0,3	2,0	-55	+70
Д305	10*	50	0,35	2,5	-55	+70
Д242	10*	100	(1,2)	3	-60	+125
Д242А	10*	100	(1,0)	3	-60	+125
Д242Б	5*	100	(1,5)	3	-60	+125
Д243	10*	200	(1,2)	3	-60	+125
Д243А	10*	200	(1,0)	3	-60	+125
Д243Б	5*	200	(1,5)	3	-60	+125
Д244	10*	50	(1,0)	3	-60	+125
Д244А	10*	50	(1,0)	3	-60	+125
Д244Б	5*	50	(1,0)	3	-60	+125
Д245	10*	300	(1,2)	3	-60	+125
Д245А	10*	300	(1,0)	3	-60	+125
Д245Б	5*	300	(1,5)	3	-60	+125
Д246	10*	400	(1,2)	3	-60	+125
Д246А	10*	400	(1,0)	3	-60	+125
Д246Б	5*	400	(1,5)	3	-60	+125
Д247	10*	500	(1,2)	3	-60	+125
Д247Б	5*	500	(1,5)	3	-60	+125
Д248Б	5*	600	(1,5)	3	-60	+125
КД102А	0,1*	250	1	0,0001	-50	+100
КД102Б	0,1*	300	1	0,001	-50	+100
КД103А	0,1*	50	1	0,001	-55	+100
КД103Б	0,1*	50	1,2	0,001	-55	+100
КД104А	0,1*	300	1	0,003	-60	+70
КД105А	(0,3)	200	(1)	0,1	-60	+85
КД105Б	(0,3)	400	(1)	0,1	-60	+85
КД105В	(0,3)	600	(1)	0,1	-60	+85
КД105Г	(0,3)	800	(1)	0,1	-60	+85
2Д106А	0,3*	100	1	0,01	-60	+125
ГД107А	0,02*	15	1	0,02	-60	+60
ГД107Б	0,0025*	20	0,4	0,1	-60	+60
2Д108А	(0,1)	800	(1,5)	0,15	-60	+125
2Д108Б	(0,1)	1000	(1,5)	0,15	-60	+125
КД109А	(0,3)	100	(1)	0,1	-40	+85
КД109Б	(0,3)	300	(1)	0,1	-40	+85
КД109В	(0,3)	600	(1)	0,1	-40	+85
2Д201А	5	100	1	3	-60	+130
2Д201Б	10	100	1	3	-60	+130
2Д201В	5	200	1	3	-60	+130
2Д201Г	10	200	1	3	-60	+130
КД202А	5	50	(0,9)	0,8	-60	+130
КД202Б	3,5	50	(0,9)	0,8	-60	+130
КД202В	5	100	(0,9)	0,8	-60	+130
КД202Г	3,5	100	(0,9)	0,8	-60	+130
КД202Д	5	200	(0,9)	0,8	-60	+130
КД202Е	3,5	200	(0,9)	0,8	-60	+130
КД202Ж	5	300	(0,9)	0,8	-60	+130
КД202И	3,5	300	(0,9)	0,8	-60	+130
КД202К	5	400	(0,9)	0,8	-60	+130
КД202Л	3,5	400	(0,9)	0,8	-60	+130

Продолжение табл. 4.14

Тип диода	Максимально допустимый (средний) прямой ток, А	Максимально допустимое обратное напряжение, В	Постоянное (среднее) прямое напряжение, В	Обратный ток при максимально допустимом обратном напряжении, мА	Интервал рабочих температур, °С	
					от	до
КД202М	3,5	500	(0,9)	0,8	—60	+130
КД202Н	3,5	500	(0,9)	0,8	—60	+130
КД202Р	3,5	600	(0,9)	0,8	—60	+130
КД202С	3,5	600	(0,9)	0,8	—60	+130
КД203А	10	600	(1)	1,5	—60	+100
КД203Б	10	800	(1)	1,5	—60	+100
КД203В	10	800	(1)	1,5	—60	+100
КД203Г	10	1000	(1)	1,5	—60	+100
КД203Д	10	1000	(1)	1,5	—60	+100
КД204А	(0,4)	400	1,4	0,15	—55	+85
КД204Б	(0,6)	200	1,4	0,1	—55	+85
КД204В	(1,0)	50	1,4	0,05	—55	+85
КД205А	(0,5)	500	(1,0)	0,1	—40	+85
КД205Б	(0,5)	400	(1,0)	0,1	—40	+85
КД205В	(0,5)	300	(1,0)	0,1	—40	+85
КД205Г	(0,5)	200	(1,0)	0,1	—40	+85
КД205Д	(0,5)	100	(1,0)	0,1	—40	+85
КД205Е	(0,3)	500	(1,0)	0,1	—40	+85
КД205Ж	(0,5)	600	(1,0)	0,1	—40	+85
КД205И	(0,3)	700	(1)	0,1	—40	+85
КД205К	(0,7)	100	(1)	0,1	—40	+85
КД205Л	(0,7)	200	(1)	0,1	—40	+85
КД206А	10	400	1,2	0,7	—60	+125
КД206Б	10	500	1,2	0,7	—60	+125
КД206В	10	600	1,2	0,7	—60	+125
КД208А	1,5	100	1	0,05	—40	+85
КД209А	0,7	400	1	0,1	—60	+85
КД209Б	0,7	600	1	0,1	—60	+85
КД209В	0,5	800	1	0,1	—60	+85
2Д210А	(10)	800	(1)	1,5	—60	+125
2Д210Б	(10)	800	(1)	1,5	—60	+125
2Д210В	(10)	1000	(1)	1,5	—60	+125
2Д210Г	(10)	1000	(1)	1,5	—60	+125
2Д212А	1*	200	(1)	0,05	—60	+125
2Д213А	10*	200	(1)	0,2	—60	+125
2Д213Б	10*	200	(1, 2)	0,2	—60	+125

* Максимально допустимый средний выпрямленный ток.

Электрические параметры КЦ401

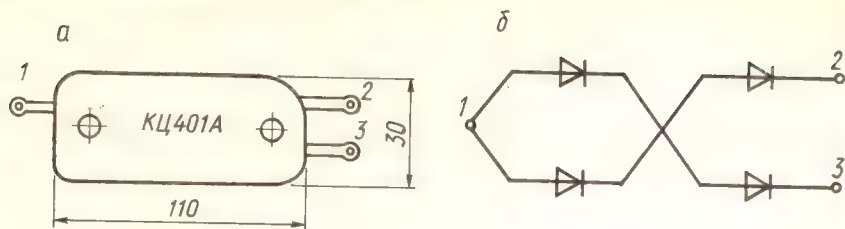


Рис. 4.33. Выпрямительные столбы КЦ401А:

а — внешний вид; б — схема соединения для удвоения напряжения

Постоянное прямое напряжение (при $I_{пр. ср. max}$) на каждом плече не более ... 2,5 В.

Постоянный обратный ток при $U_{обр. max}$ не более... 100 мкА.

Параметры	Тип блока		
	КЦ401А, КЦ401Г КЦ401Д	КЦ401Б, КЦ401В	КЦ401Б, КЦ401Г КЦ401Д
	Схема удвоения		Схема моста
Средний выпрямленный ток, мА:			
1-е плечо	400, 500	200	250, 500, 400
2-е плечо	300, 500, 400	20	250, 500, 400
Постоянное обратное напряжение, В	500	500	500

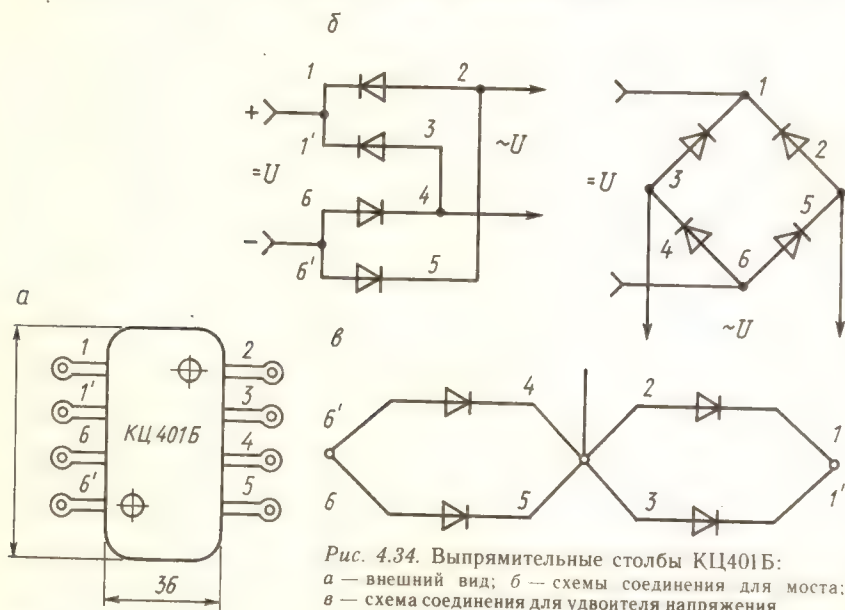


Рис. 4.34. Выпрямительные столбы КЦ401Б:

а — внешний вид; б — схемы соединения для моста; в — схема соединения для удвоителя напряжения

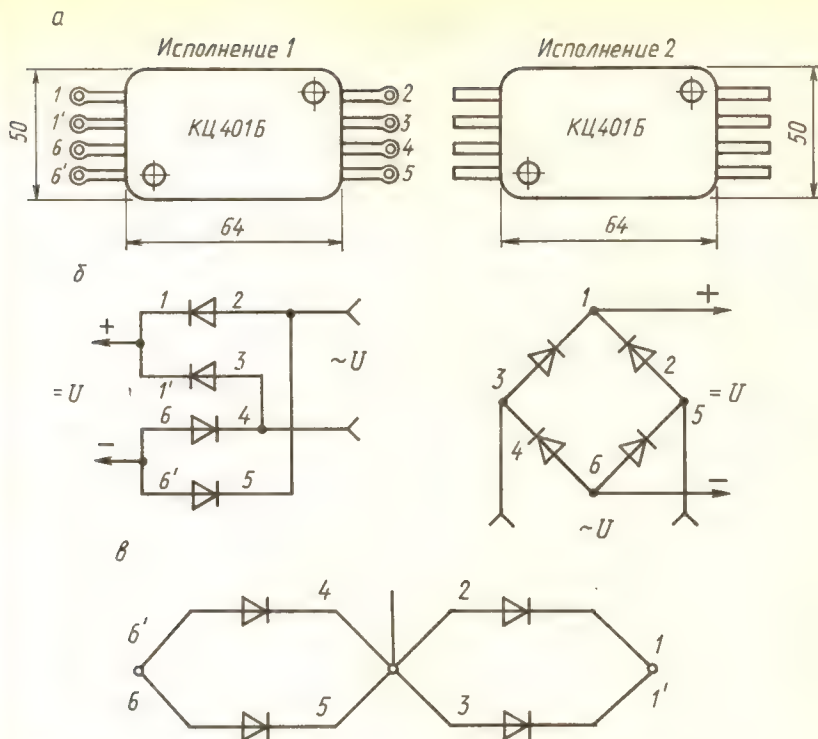


Рис. 4.35. Варианты исполнения выпрямительного столба КЦ401Б:
а — внешний вид; *б* — схемы соединений для моста; *в* — схема соединения для удвоителя напряжений

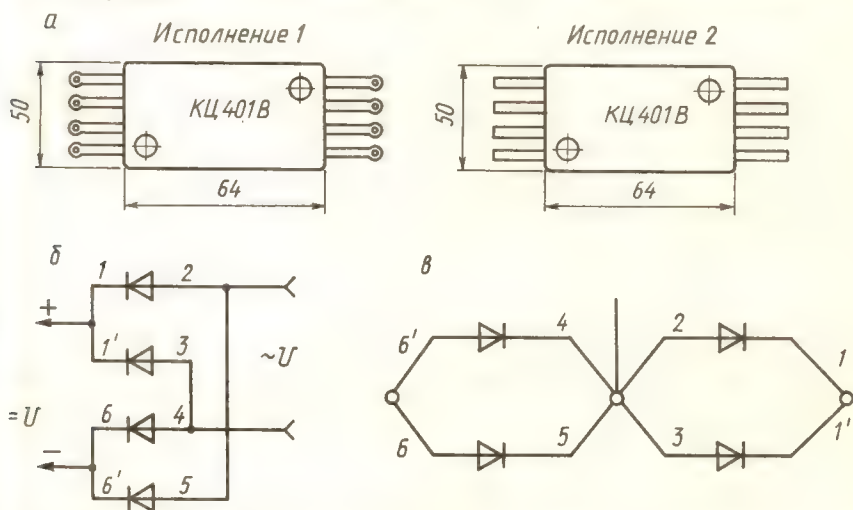


Рис. 4.36. Выпрямительные столбы КЦ401В:
а — варианты исполнения; *б* — схема соединений для моста; *в* — схема соединений для удвоителя напряжения

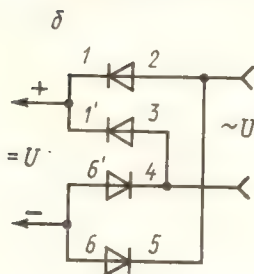
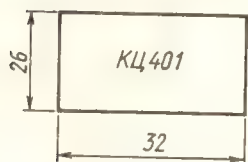
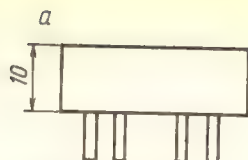
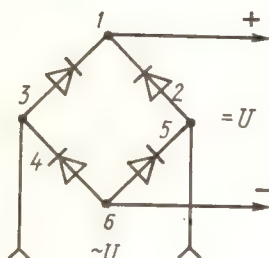
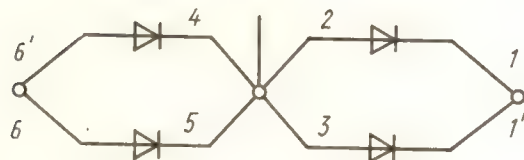


Рис. 4.37. Вариант исполнения выпрямительных столбов КЦ401:

а — внешний вид; б — схемы соединений для моста; в — схема соединений для удвоителя напряжений



в



Предельные эксплуатационные данные

Частота без снижения режимов...1кГц

Температура окружающей среды -50°C до $+60^{\circ}\text{C}$

Температура корпуса $+85^{\circ}\text{C}$

Параметры блоков

КЦ402А, КЦ402Б, КЦ402В, КЦ402Г, КЦ402Д, КЦ402Е, КЦ402Ж, КЦ402И, КЦ403А, КЦ403Б, КЦ403В, КЦ403Г, КЦ403Д, КЦ403Е, КЦ403Ж, КЦ403И6, КЦ404А, КЦ404Б, КЦ404В, КЦ404Г, КЦ404Д, КЦ404Е, КЦ404Ж, КЦ404И, КЦ405А, КЦ405Б, КЦ405В, КЦ405Г, КЦ405Д, КЦ405Е, КЦ405Ж, КЦ405И.

Блоки из кремниевых диффузионных диодов

Выпускаются в пластмассовых корпусах с жесткими выводами:

КЦ402А, КЦ402Б, КЦ402В, КЦ402Г, КЦ402Д, КЦ402Е, КЦ402Ж,

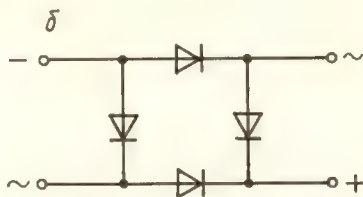
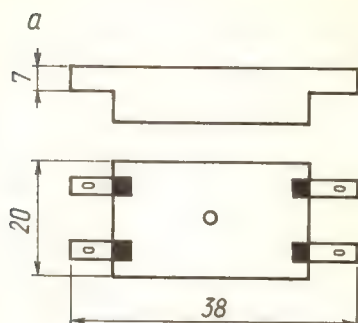


Рис. 4.38. Выпрямительные столбы КЦ402А...И:

а — внешний вид; б — схема соединений

КЦ402И — однофазный мост;

КЦ403А, КЦ403Б, КЦ403В, КЦ403Г, КЦ403Д, КЦ403Е, КЦ403Ж, КЦ403И — два электрически не соединенных между собой однофазных моста для навесного монтажа;

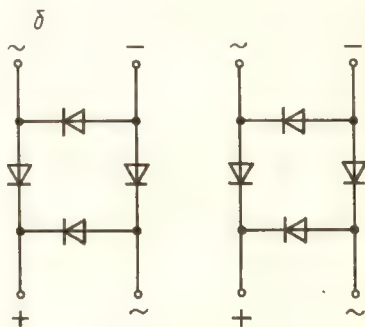
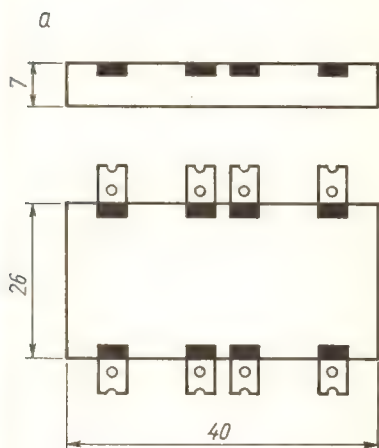


Рис. 4.39. Выпрямительные столбы КЦ403А...И:

а — внешний вид; б — схемы соединений

КЦ404А, КЦ404Б, КЦ404В, КЦ404Г, КЦ404Д, КЦ404Е, КЦ404Ж, КЦ404И — два электрически не соединенных между собой однофазных моста для навесного монтажа с держателями предохранителей типа ПМ;

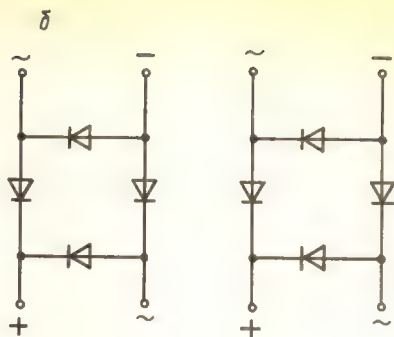
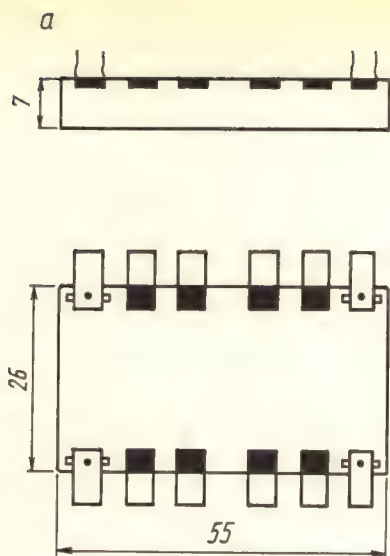


Рис. 4.40. Выпрямительные столбы КЦ404А...И:
а — внешний вид; б — схемы соединений

КЦ405А, КЦ405Б, КЦ405В, КЦ405Г, КЦ405Д, КЦ405Е, КЦ405Ж, КЦ405И — однофазный мост для монтажа на печатную плату. Обозначения типа и схемы соединения электродов с выводами приводятся на корпусе.

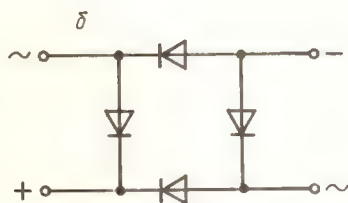
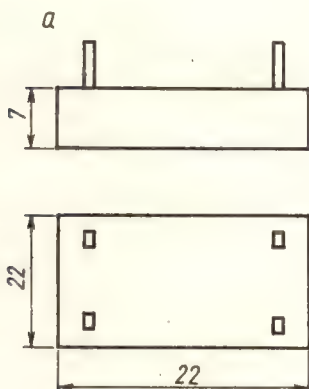


Рис. 4.41. Выпрямительные столбы КЦ405А...И:
а — внешний вид; б — схема соединений

Электрические параметры

Напряжение короткого замыкания при максимальном среднем выпрямленном токе не более: при температуре $+25\text{ }^{\circ}\text{C}$ — 4 В
при температуре $+65\text{ }^{\circ}\text{C}$ — 4,5 В

Ток холостого хода при максимальном импульсном обратном напряжении не более: при температуре $+25^{\circ}\text{C}$ — 125 мкА
при температуре $+65^{\circ}\text{C}$ — 250 мкА

Предельные эксплуатационные данные

Импульсное обратное напряжение:

КЦ402А, КЦ402Ж, КЦ403А, КЦ403Ж, КЦ404А, КЦ404Ж, КЦ405А, КЦ405Ж — 600 В

КЦ402Б, КЦ402И, КЦ403Б, КЦ403И, КЦ404Б, КЦ404И, КЦ405Б, КЦ405И — 500 В

КЦ402В, КЦ403В, КЦ404В, КЦ405В — 400 В

КЦ402Г, КЦ403Г, КЦ404Г, КЦ405Г — 300 В

КЦ402Д, КЦ403Д, КЦ404Д, КЦ405Д — 200 В

КЦ402Е, КЦ403Е, КЦ404Е, КЦ405Е — 100 В

Средний выпрямленный ток на частоте — 5 кГц:

КЦ402А, КЦ402Б, КЦ402Г, КЦ402Д, КЦ402Е, КЦ403А, КЦ403Б, КЦ403Г, КЦ403Д, КЦ403Е, КЦ404А, КЦ404Б, КЦ404Г, КЦ404Д, КЦ404Е, КЦ405А, КЦ405Б, КЦ405Г, КЦ405Д, КЦ405Е — 1000 мА

КЦ402Ж, КЦ402И, КЦ403Ж, КЦ403И, КЦ404Ж, КЦ404И, КЦ405Ж, КЦ405И — 600 мА

Частота без снижения режимов — 5 кГц

Температура окружающей среды от -35°C до $+85^{\circ}\text{C}$

КЦ412А, КЦ412Б, КЦ412В

Блоки кремниевых диффузионных диодов выпускаются в пластмассовом корпусе с гибкими выводами. Тип прибора и схема соединения электродов с выводами приводятся на корпусе. Диоды в блоке собраны по однофазной мостовой схеме.

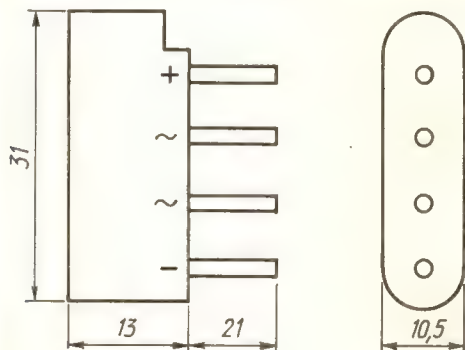


Рис. 4.42. Выпрямительные столбы КЦ412

Электрические параметры

Напряжение короткого замыкания при токе короткого замыкания 500 мА не более 1,2 В

Средний обратный ток холостого хода при максимальном импульсном обратном напряжении холостого хода не более 50 мкА.

Предельные эксплуатационные данные

Импульсное обратное напряжение холостого хода:

КЦ412А	50 В
КЦ412Б	100 В
КЦ412В	200 В

Средний выпрямленный ток 1 А

Импульсный перегрузочный выпрямленный ток в течение одного периода частотой 50 Гц с интервалом следования не менее 1 ч — 15 А

Температура окружающей среды от — 35 °С до +100 °С.

Таблица 4.15. Основные параметры импульсных диодов

Тип диода	Максимально допустимый импульсный ток, мА, при длительности 10 мкс	Максимально допустимый выпрямленный ток, мА	Прямое импульсное напряжение, В, не более	Максимально допустимое обратное напряжение, В	Максимальный обратный ток, мкА	Время восстановления, мкс	Емкость диода, пФ	Интервал рабочих температур, °С	
								от	до
Д18	50	16	5	20	50	0,1	0,5	—40	+60
Д20	50	16	1	20	100	0,07	0,5	—40	+60
Д219А	500	50	2,5	70	1	0,5	15	—55	+100
Д220	500	50	3,75	50	1	0,5	15	—55	+100
Д220А	500	50	3,75	70	1	0,5	15	—55	+100
Д220Б	500	50	3,75	100	1	0,5	15	—55	+100
Д310	800	250	2,5	20	2	0,3	15	—55	+60
Д311	500	40	1,25	30	100	0,05	1,5	—40	+60
Д311А	600	80	1	30	100	0,05	3,0	—40	+60
Д312	500	50	1,25	100	100	0,5	3,0	—40	+60
Д312А	500	50	1,25	75	100	0,5	3,0	—40	+60
КД503А	200	20	2,5	30	10	0,01	5	—40	+85
КД503Б	200	20	3,5	30	10	0,01	2,5	—40	+85
КД503В	200	10	—	10	1	50	6	0	+70
КД504А	—	240	2	40	2	—	2	—55	+100
ГД507А	100	16	—	20	50	0,1	0,8	—40	+60
ГД508А	30	10	1,5	8	60	—	0,75	—40	+55
ГД508Б	30	10	1,5	8	100	—	0,75	—40	+55
КД509А	1500	100	1,1	50	5	0,004	4	—55	+85
КД510А	1500	200	1,1	50	5	0,004	4	—60	+85
ГД511А	50	15	0,6	12	50	—	1	—55	+70
ГД511Б	50	15	0,6	12	100	—	1	—55	+70
ГД511В	50	15	0,6	12	200	—	1	—55	+70
КД512А	200	20	1	15	5	0,004	1	—40	+85
КД513А	1500	100	1,1	50	5	0,004	4	—55	+85
КД514А	50	10	1	10	5	—	0,9	—40	+70
АД516А	30	2	—	10	2	5*	0,5	—60	+100
АД516Б	30	2	—	10	2	5*	0,35	—60	+100
КД518А	1500	100	0,57	—	—	—	—	—60	+85
КД519А	300	30	—	30	5	400*	4	—40	+85
КД519Б	300	30	—	30	5	400*	2,5	—40	+85
КД520А	50	10	1,0	15	1	0,004	3	—60	+100
КД521А	500	50	1,75	15	1	0,004	10	—60	+125
КД521Б	500	50	1,75	60	1	0,004	10	—60	+125
КД521В	500	50	1,75	50	1	0,004	10	—60	+125
КД521Г	500	50	1,75	30	1	0,004	10	—60	+125
КД521Д	500	50	1,75	12	1	0,004	10	—60	+125

Тип диода	Максимально допустимый импульсный ток, мА, при длительности 10 мкс	Максимально допустимый выпрямленный ток, мА	Прямое импульсное напряжение, В, не более	Максимально допустимое обратное напряжение, В	Максимальный обратный ток, мкА	Время восстановления, мкс	Емкость диода, пФ	Интервал рабочих температур, °С	
								от	до
КД522А	1500	100	—	30	2	0,004	4	—55	+85
КД522Б	1500	100	—	50	5	0,004	4	—55	+85
КД524А	400	40	—	24	2	250*	3	—60	+125
КД524Б	400	40	—	30	2	300*	2,5	—60	+125
КД524В	400	40	—	15	2	300*	4	—60	+125

* Заряд переключения, пКл.

Таблица 4.16. Основные параметры высокочастотных диодов

Тип диода	Постоянный прямой ток, мА, при прямом напряжении 1 В	Максимально допустимый выпрямленный ток, мА	Максимально допустимое обратное напряжение, В	Максимальный обратный ток, мкА (при обратном напряжении, В)	Максимальная рабочая частота, МГц	Емкость диода, пФ	Интервал рабочих температур, °С	
							от	до
Д2Б	5	16	30	100 (10)	150	1	—55	+60
Д2В	9	25	40	250 (30)	150	1	—55	+60
Д2Г	2	16	75	250 (50)	150	1	—55	+60
Д2Д	4,5	16	75	250 (50)	150	1	—55	+60
Д2Е	4,5	16	100	250 (100)	150	1	—55	+60
Д2Ж	2	8	150	250 (150)	150	1	—55	+60
Д2И	2	16	100	250 (100)	150	1	—55	+60
Д9Б	90	40	10	250 (10)	40	1...2	—55	+60
Д9В	10	20	30	250 (30)	40	1...2	—55	+60
Д9Г	30	30	30	250 (30)	40	1...2	—55	+60
Д9Д	60	30	30	250 (30)	40	1...2	—55	+60
Д9Е	30	20	50	250 (50)	40	1...2	—55	+60
Д9Ж	10	15	100	250 (100)	40	1...2	—55	+60
Д9И	30	30	30	120 (30)	40	1...2	—55	+60
Д9К	60	30	30	60 (30)	40	1...2	—55	+60
Д9Л	30	15	100	250 (100)	40	1...2	—55	+60
Д10	—	3*	10	100	150	1	—60	+70
Д10А	—	5*	10	200	150	1	—60	+70
Д10Б	—	8*	10	200	150	1	—60	+70
Д11	100	20	30	250 (30)	150	1	—60	+70
Д12	50	20	50	250 (50)	150	1	—60	+70
Д12А	100	20	50	250 (50)	150	1	—60	+70
Д13	100	20	75	250 (75)	150	1	—60	+70
Д14	30	20	100	250 (100)	150	1	—60	+70
Д14А	100	20	100	250 (100)	150	1	—60	+70
Д101	2**	30	100	10 (75)	200	0,5	—55	+100
Д101А	1	30	100	10 (75)	200	0,5	—55	+100
Д102	2**	30	75	10 (50)	200	0,5	—55	+100
Д102А	1	30	75	10 (50)	200	0,5	—55	+100

Тип диода	Постоянный прямой ток, мА, при прямом напряжении 1 В	Максимально допустимый выпрямленный ток, мА	Максимально допустимое обратное напряжение, В	Максимальный обратный ток, мкА (при обратном напряжении, В)	Максимальная рабочая частота, МГц	Емкость диода, пФ	Интервал рабочих температур, °C	
							от	до
Д103	2**	30	30	30 (30)	200	0,5	-55	+100
Д103А	1	30	30	30 (30)	200	0,5	-55	+100
Д104	2**	30	100	10 (75)	600	0,6	-55	+100
Д104А	1	30	100	10 (75)	600	0,6	-55	+100
Д105	2**	30	75	10 (50)	600	0,6	-55	+100
Д105А	1	30	75	10 (50)	600	0,6	-55	+100
Д106	2**	30	30	30 (30)	600	0,6	-55	+100
Д106А	1	30	30	30 (30)	600	0,6	-55	+100
Д223	50	50	50	1 (50)	20	—	-55	+100
Д223А	50	50	100	1 (100)	20	—	-55	+100
Д223Б	50	50	150	1 (150)	20	—	-55	+100
КД401А	5	30	75	5 (75)	0,15	1	-55	+100
КД401Б	5	30	75	5 (75)	0,15	1,5	-55	+100
ГД402А	—	25	15	100 (10)	100	0,8	-55	+60
ГД402Б	—	25	15	100 (10)	100	0,5	-55	+60
ГД403А	5***	—	5	—	—	—	-25	+55
ГД403Б	5***	—	5	—	—	—	-25	+55
ГД403В	5***	—	5	—	—	—	-25	+55
ГД404АР	20	—	3	—	—	—	-60	+60
КД407А	—	50	24	0,5 (24)	1000	1	-55	+100
КД409А	—	50	24	0,5 (24)	1000	2	-55	+100

* При $f=70$ МГц, $U=1,5$ В и $R_n=0$.** При $U=0,5$ В.*** При $U=2$ В.

Таблица 4.17. Основные параметры стабилизаторов и стабилитронов

Тип	Напряже- ние стаби- лизации, В	Ток стабилизации, мА		Макси- мально допусти- мый пря- мой ток, мА	Диффе- ренциаль- ное сопро- тивление, Ом	Темпера- турный ко- эффициент напряже- ния стаби- лизации, % /°С	Макси- мально допустима- я рассеивае- мая мощ- ность, Вт
		мини- мальный	макси- мальный				
Стабилитроны							
Д808	7...8,5	3	33	50	6	+0,07	
Д809	8...9,5	3	29	50	10	+0,08	0,28
Д810	9...10,5	3	26	50	12	+0,09	0,28
Д811	10...12	3	23	50	15	+0,095	0,28
Д813	11,5...14	3	20	50	18	+0,095	0,28
Д814А	7...8,5	3	40	50	6	+0,07	0,28
Д814Б	8...9,5	3	36	50	10	+0,08	0,34
Д814В	9...10,5	3	32	50	12	+0,09	0,34
Д814Г	10...12	3	29	50	15	+0,095	0,34
Д814Д	11,5...14	3	24	50	18	+0,095	0,34
Д815А	5,6	50	1400	1000	0,9	0,056	0,34
Д815Б	6,8	50	1150	1000	1,2	0,062	8
						0,088	8

Тип	Напряже- ние стаби- лизации, В	Ток стабилизации, мА		Макси- мально допусти- мый пря- мой ток, мА	Диффе- ренциаль- ное сопро- тивление, Ом	Темпера- турный ко- эффициент напряже- ния стаби- лизации, %/°С	Макси- мально допустимая рассеивае- мая мощ- ность, Вт
		мини- мальный	макси- мальный				
Д815В	8,2	50	950	1000	1,5	0,10	8
Д815Г	10	25	800	1000	2,7	0,11	8
Д815Д	12	25	650	1000	3,0	0,13	8
Д815Е	15	25	550	1000	3,8	0,14	8
Д815Ж	18	25	450	1000	4,5	0,06	8
Д815И	4,7	25	1400	1000	0,82	0,15	8
Д816А	22	10	230	1000	10	0,15	5
Д816Б	27	10	180	1000	12	0,15	5
Д816В	33	10	150	1000	15	0,15	5
Д816Г	39	10	130	1000	18	0,15	5
Д816Д	47	10	110	1000	22	0,18	5
Д817А	56	5	90	1000	47	0,18	5
Д817Б	68	5	75	1000	56	0,18	5
Д817В	82	5	60	1000	68	0,18	5
Д817Г	100	5	50	1000	82	+0,02	5
Д818А	9	3	33	—	25	—0,02	0,3
Д818Б	9	3	33	—	25	±0,01	0,3
Д818В	9	3	33	—	25	±0,005	0,3
Д818Г	9	3	33	—	25	±0,002	0,3
Д818Д	9	3	33	—	25	±0,001	0,3
Д818Е	9	3	33	—	25	—0,11	0,3
КС133А	3,3	3	81	50	65	—0,10	0,3
КС139А	3,9	3	70	50	60	—0,09	0,3
КС147А	4,7	3	58	50	56	+0,01	0,3
КС156А	5,6	3	55	50	46	±0,05	0,3
КС162А	6,2	3	22	—	35	—0,06	0,15
КС168А	6,8	3	45	50	28	±0,06	0,3
КС168В	6,8	3	20	—	28	±0,05	0,15
КС170А	7,0	3	20	—	20	±0,01	0,15
КС175А	7,5	3	18	—	16	±0,04	0,45
2С175Е	7,5	3	20	20	30	0,10	0,15
2С175Ж	7,5	0,5	17	50	40	+0,07	0,125
КС182А	8,2	3	17	—	14	+0,05	0,15
2С182Е	8,2	3	18	20	30	0,1	0,15
2С182Ж	8,2	0,5	15	50	40	+0,08	0,125
КС191А	9,1	3	15	—	18	+0,06	0,15
КС191М	9,1	5	15	—	18	±0,005	0,15
КС191Н	9,1	5	15	—	18	±0,002	0,15
КС191П	9,1	5	15	—	18	±0,001	0,15
КС191Р	9,1	5	15	—	18	±0,0005	0,15
2С191Е	9,1	3	16	20	30	0,1	0,15
2С191Ж	9,1	0,5	14	50	40	+0,09	0,125
КС196А	9,6	3	20	—	18	±0,005	0,2
КС196Б	9,6	3	20	—	18	±0,0025	0,2
КС196В	9,6	3	20	—	18	±0,001	0,2
КС196Г	9,6	3	20	—	18	±0,0005	0,2
КС210Б	10	3	14	—	22	+0,07	0,15
2С210Е	10	3	15	20	30	0,1	0,15
2С210Ж	10	0,5	13	50	40	+0,09	0,125
КС211Б	11	5	33	—	15	+0,02	0,28
КС211В	11	5	33	—	15	—0,02	0,28
КС211Г	11	5	33	—	15	±0,01	0,28

Тип	Напряже- ние стаби- лизации, В	Ток стабилизации, мА		Макси- мально допусти- мый пря- мой ток, мА	Диффе- ренциаль- ное сопро- тивление, Ом	Темпера- турный коэффици- ент на- пряжения стабилиза- ции, %/°C	Макси- мально допустимая рассеивае- мая мощ- ность, Вт
		мини- мальный	макси- мальный				
KC211Д	11	5	33	—	15	$\pm 0,005$	0,28
2C211И	11	3	13	—	23	$+0,07$	0,15
2C211Е	11	3	14	20	30	0,1	0,15
2C211Ж	11	0,5	12	50	40	$+0,092$	0,125
2C212В	12	0,5	12	—	24	$+0,075$	0,15
2C212Е	12	0,5	13	20	30	0,1	0,15
2C212Ж	12	0,5	11	50	40	$+0,095$	0,125
KC213Б	13	0,5	10	—	25	$+0,08$	0,15
2C213Е	13	0,5	12	20	30	0,1	0,15
2C213Ж	13	0,5	10	50	40	$+0,095$	0,125
2C215Ж	15	0,5	8,3	50	70	0,1	0,125
2C216Ж	16	0,5	7,8	50	70	0,1	0,125
2C218Ж	18	0,5	6,9	50	70	0,1	0,125
2C220Ж	20	0,5	6,2	50	70	0,1	0,125
2C222Ж	22	0,5	5,7	50	70	0,1	0,125
2C224Ж	24	0,5	5,2	50	70	0,1	0,125
KC433А	3,3	3	191	—	25	$-0,1$	1,0
KC439А	3,9	3	176	—	25	$-0,1$	1,0
KC447А	4,7	3	159	—	18	$-0,08$	1,0
						$+0,03$	
KC456А	5,6	3	139	—	12	$+0,05$	1,0
KC468А	6,8	3	119	—	5	$+0,065$	1,0
KC482А	8,2	1	96	50	25	0,08	1,0
KC510А	10	1	79	50	25	0,1	1,0
KC512А	12	1	67	50	25	0,1	1,0
KC515А	15	1	53	50	25	0,1	1,0
KC518А	18	1	45	50	25	0,1	1,0
KC520В	20	3	22	—	120	$+0,01$	0,5
KC522А	22	1	37	50	25	0,1	1,0
2C524А	24	1	33	50	30	0,1	1,0
KC527А	27	1	30	50	40	0,1	1,0
2C530А	30	1	27	50	45	0,1	1,0
KC531В	31	3	15	—	50	$\pm 0,005$	0,5
KC533А	33	3	17	—	40	0,1	0,64
2C536А	36	1	23	50	50	0,1	1,0
KC547В	47	3	10	—	280	$\pm 0,01$	0,5
2C551А	51	1	14,6	50	200	0,12	1,0
KC568В	68	3	10	—	400	$\pm 0,01$	0,72
2C591А	91	1	8,8	50	400	0,12	1,0
KC596В	96	3	7	—	560	$\pm 0,01$	0,72
2C600А	100	1	8,1	50	450	0,12	1,0
KC620А	120	5	42	1000	150	$+0,2$	5
KC630А	130	5	38	1000	180	$+0,2$	5
KC650А	150	2,5	33	1000	270	$+0,2$	5
KC680А	180	2,5	28	1000	330	$+0,2$	5
2C920А	120	5	42	1000	100	0,16	5
2C930А	130	5	38	1000	120	0,16	5
2C950А	150	2,5	33	1000	170	0,16	5
2C980А	180	2,5	28	1000	220	0,16	5
Стабисторы							
Д219С	1,0	—	—	50	—	—	—

Тип	Напряже- ние стаби- лизации, В	Ток стабилизации, мА		Макси- мально допусти- мый пря- мой ток, мА	Диффе- ренциаль- ное сопро- тивление, Ом	Темпера- турный коэффи- циент на- пряжения стабильза- ции, %/°С	Макси- мально допустимая рассеивае- мая мощ- ность, Вт
		мини- мальный	макси- мальный				
D220C	1,5	—	—	50	—	—	—
D223C	1,0	—	—	50	—	—	—
2C107A	0,7	1	100	500	7	2*	—
2C113A	1,3	1	100	200	12	—3*	—
2C119A	1,9	1	100	200	15	—4*	—

* В милливольтх на градус.

Примечание. Стабилитроны типов D815...D817, KC620...KC680, 2C920...2C980 с буквой П в конце обозначения (например, D817АП) имеют обратную полярность выводов (минус на корпусе при прямом включении).

Основные параметры некоторых стабилитронов зарубежного произ-
водства приведены в табл. 4.18.

Особенность маркировки стабилитронов зарубежного производства заключается в том, что напряжение стабилизации, как правило, указы-
вается в его маркировке. Например, AZ3,9 — напряжение стабилизации
равно 3,9 В. Имеются ряды величин напряжений стабилизации E24 и E12.
В ряды входят следующие численные значения:

E24: 10-11-12-13-15-16-18-20-22-24-27-30-33-36-39-43-51-56-62-68-75-
82-91

E12: 10-12-15-18-22-27-33-39-47-56-68-82

Использовать численные значения следует, как и отечественные.

Например, в справочных данных сказано, что стабилитроны данной
серии имеют напряжения стабилизации ряда E24 от 1,2 до 2,0 вольт. Это
надо понимать, что величины напряжений стабилизации равны: 1,2; 1,3;
1,5, 2,0 вольт по числам ряда E24.

Пример из табл. 4.18: стабилитрон AZ(*) — в колонке (3) указаны
величины напряжений стабилизации $U_{ст}$ 3,3...13 В, ряд E24 $\pm 5\%$ —
это означает, что имеются стабилитроны на $U_{ст}$: 3,3В; 3,6В; 3,9В; 4,3В;
4,7В; 5,1В; 5,6В; 6,2В; 6,8В; 7,5В; 8,2В; 9,18В; 10В; 11В; 12В; 13В. Ста-
билитрон с $U_{ст} = 3,3$ В обозначится AZ3,3.

Таблица 4.18. Основные параметры стабилитронов зарубежного производства

Тип стабилитрона	Мощность при тем- пературе $P(B_T)/$ $t^\circ(C)$	Номинальное напряжение стабилизации
1	2	3

AZ(*)	0,25/25a	$U_{ст} = 3,3...13$ В, ряд E24 $\pm 5\%$
AZ(*)	0,25/25a	$U_{ст} = 15...27$ В, ряд E 12 $\pm 10\%$
BZ0,9	0,25/25a	$U_{ст} = 0,9$ В при $I_{ст} = 5$ ма
BZ(*)	0,25/25a	$U_{ст} = 3,6...9,1$ В, ряд E 24 $\pm 5\%$
BZ102/(*)	0,25/45a	$U_{ст} = 0,7-1,4-2,1-2,8-3,4$ В
BZ103...112	0,4/25a	$U_{ст} = 6,8...33$, ряд E 12 $\pm 10\%$

1	2	3
BZ115D(*)	10/25с	$U_{CT}=12$ и 22 В
BZD10с(?)	1,3/25а	$U_{CT}=3,3...200$ В, ряд Е 24 ± 5 %
BZC(*)	0,2/25а	$U_{CT}=1,8...3,3$ В, ряд Е 12 ± 12 %
BZV10,1,2,3	0,4/25а	$U_{CT}=6,5$ В
BZV16C(*)	3/25а	$U_{CT}=6,8...100$ В, ряд Е 24 ± 5 %
BZV27...31	0,4/25а	$U_{CT}=6,2$ В
BZV32...6	0,5/25а	$U_{CT}=7,5$ В
BZV39C/(*)	0,5/25а	$U_{CT}=0,8$ и $2,4$ В...75 В, ряд Е 24
BZW70/(*)	3000	$U_{CT}=5,6...62$ В, ряд Е 24
BZW86/(*)	60000	$U_{CT}=7,5...62$ В, ряд Е 24
BZW91/(*)	27000	$U_{CT}=5,6...62$ В, ряд Е 24
BZW93,5/(*)	3000	$U_{CT}=5,6...62$ В, ряд Е 24
BZW96	3000	$U_{CT}=3,9...75$ В, ряд Е 24
BZX10...27	0,4/25а	$U_{CT}=6,2...33$ В, ряд Е 24
BZX29C(*)	1,5/25а	$U_{CT}=4,7...56$ В, ряд Е 24 ± 5 %
BZX30C(*)	0,25/25а	$U_{CT}=3,3...27$ В, ряд Е 24 ± 5 %
BZX33,34*	0,2/25а	$U_{CT}=8,6$ В
BZX35	0,2/25а	$U_{CT}=10$ В
BZX43,4,5	—	$U_{CT}=6,7$ В
BZX46C(*)	0,24/25а	$U_{CT}=5,1...24$ В, ряд Е 24 ± 5 %
BZX48,9,50	0,1/80а	$U_{CT}=6,5$ В
BZX51 2, 3, 4	0,25/45а	$U_{CT}=8,6$ В
BZX55C(*)	0,4/25а	$U_{CT}=0,78$ и $5,1...24$ В, ряд Е 24 ± 5 %
BZX62	0,25/25а	$U_{CT}=0,725$ В при $I_{CT}=10$ мА
BZX67C(*)	10/45C	$U_{CT}=12...200$ В, ряд Е 24 ± 5 %
BZX67C(*)	10/45C	$U_{CT}=12...200$ В, ряд Е 24 ± 5 %
BZX69C(*)	0,25/25а	$U_{CT}=7,5...12$ В, ряд Е 24 ± 5 %
BZX71C(*)	0,4/50а	$U_{CT}=5,1...24$ В, ряд Е 24 ± 5 %
BZX74C(*)	0,4/25а	$U_{CT}=5,6...12$ В, ряд Е 24 ± 5 %
BZX83C(*)	0,4/25а	$U_{CT}=5,1...24$ В, ряд Е 24 ± 5 %
BZX85V(*)	1/25а	$U_{CT}=5,1...24$ В, ряд Е 24 ± 5 %
BZX96C(*)	0,25/25а	$U_{CT}=2,7...33$ В, ряд Е 24 ± 5 %
BZX97C(*)	0,4/25а	$U_{CT}=0,78$ и $2,4...33$ В, ряд Е 24
BZX98C(*)	12/25C	$U_{CT}=3,9...200$ В, ряд Е 24 ± 5 %
BZY14...21	0,4/25а	$U_{CT}=5,6...22$ В, ряд Е 12 ± 10 %
BZY22, 23, 24, 25	0,2/45а	$U_{CT}=8,4$ В при $I_{CT}=5$ мА
BZY56...63	0,25/25а	$U_{CT}=4,7...9,1$ В, ряд Е 24 ± 5 %
BZY64...69	0,25/25а	$U_{CT}=4,3-5,1-6,2-7,5-9,1-12$ В (± 10 %)
BZY70, 71	1/100а	$U_{CT}=8,1$ В при $I_{CT}=100$ мА
BZY74...76	10/50C	$U_{CT}=6,25-7,5-9,2$ В (± 10 %)
BZY78	0,28/25а	$U_{CT}=5,3$ В
BZY83C,D(*)	0,25/25а	$U_{CT}=4,7...22$ В, ряд Е 24 ± 5 %
BZY85/D(*)	0,25/45а	$U_{CT}=2,7...33$ В, ряд Е 24 ± 5 %
BZY87	0,25/45а	$U_{CT}=4,7...22$ В, ряд Е 12 ± 10 %
BZY88C(*)	0,2/45а	$U_{CT}=0,7$ В
BZY91C(*)	0,4/25а	$U_{CT}=3,3...30$ В, ряд Е 24 ± 5 %
BZY92C(*)	60/50C	$U_{CT}=10...75$ В, ряд Е 24 ± 5 %
BZY93C(*)	1,1/45а	$U_{CT}=3,9...36$ В, ряд Е 24 ± 5 %
BZY95C(*)	20/75C	$U_{CT}=8,2...75$ В, ряд Е 24 ± 5 %
BZY85/C(*)	1,5/25а	$U_{CT}=10...75$ В, ряд Е 24 ± 5 %
BZY96C(*)	1,5/25а	$U_{CT}=4,7...9,1$ В, ряд Е 24 ± 5 %
BZY97C(*)	1,3/25а	$U_{CT}=3,3...200$ В, ряд Е 24 ± 5 %
BZZ1, 8, 2, 2	0,2/25а	$U_{CT}=1,8$ и $2,2$ В при $I_{CT}=5$ мА
BZZ10...13	0,23/45а	$U_{CT}=6-6,5-7,2-8$ В (± 15 %)
BZZ14...29	10/50с	$U_{CT}=5,6...24$ В, ряд Е 24 ± 5 %
C4011...29	0,4/25а	$U_{CT}=6,2...36$ В, ряд Е 24 ± 10 %
DZ(*)A	0,5/25а	$U_{CT}=10...82$ В, ряд Е 12 ± 10 %
DZ(*)B	0,5/25а	$U_{CT}=100...180$ В, ряд Е 12 ± 10 %

1	2	3
ESM112(*)	30 000	$U_{CT}=15...470$ В, ряд Е 12
ESM233(*)	3700	$U_{CT}=15...470$ В, ряд Е 12
EZ(*)A	1/25a	$U_{CT}=6,8...82$ В, ряд Е 12 ± 10 %
EZ(*)B	1/25a	$U_{CT}=100...180$ В, ряд Е 12 ± 10 %
FDZ(*)A	3/25c	$U_{CT}=10...82$ В, ряд Е 12 ± 10 %
FDZ(*)B	3/25c	$U_{CT}=100...180$ В, ряд Е 12 ± 10 %
FPZ(*)	1/25a	$U_{CT}=5,6...12$ В, ряд Е 24 ± 5 %
G129, 130	—	$U_{CT}=0,6$ В при $I_{CT}=1$ мА
GZ(*)A	10/75c	$U_{CT}=6,8...180$ В, ряд Е 12 ± 10 %
KVR8, 6A	0,2/25a	$U_{CT}=8,6$ В
KVR10	0,2/25a	$U_{CT}=10$ В
MD1...4	—	$U_{CT}=0,7-1,4-2,1-2,7$ В при $I_{CT}=10$ мА
M(*)Z	0,4/25a	$U_{CT}=9,1...33$ В, ряд Е 24
MZ(*)A,B	0,25/25a	$U_{CT}=5,6...180$ В, ряд Е 12
MZ(*)T	0,75/25a	$U_{CT}=3,9...30$ В, ряд Е 24 ± 10 %
MZ92- (*)	0,5/25a	$U_{CT}=2,4...200$ В, ряд Е 24 ± 20 %
MZ4614...27	0,25/25a	$U_{CT}=1,8...6,2$ В, ряд Е 24 ± 5 %
OAZ200...207	0,25/50a	$U_{CT}=4,7-5,1-5,6-6,2-6,8-7,5-8,2-0,1$ (± 20 %)
PZ(*)A	10/75c	$U_{CT}=6,8...180$ В, ряд Е 12 ± 10 %
PV6,2	0,25/25a	$U_{CT}=6,2$ В
PZ(*)	0,1/25a	$U_{CT}=3,3...27$ В, ряд Е 24 ± 5 %
PZ(*)A	20/100c	$U_{CT}=6,8...180$ В, ряд Е ± 10 %
TDZ1, 2, 3	0,1/25a	$U_{CT}=5,6-6,5-10,6$ В (± 10 %)
TDZ4, 5	0,1/25a	$U_{CT}=6,5-10,6$ В (± 10 %)
Z(*)	0,25/25a	$U_{CT}=3,3...33$ В, ряд Е 24 ± 5 %
Z(*)K	0,25/45a	$U_{CT}=1,3,4...22$ В (± 10 %)
ZC0(*)	0,6/25a	$U_{CT}=8...33$ В (± 6 %)
ZC20(*)	1,8/25a	$U_{CT}=8...33$ В (± 6 %)
ZC50(*)	10/25c	$U_{CT}=8...99$ В (± 6 %)
ZC7(*)	100/25c	$U_{CT}=8...99$ В (± 6 %)
ZC240, 1	0,4/25a	$U_{CT}=24$ В
ZD(*)	0,25/25a	$U_{CT}=6,8...56$ В, ряд Е 12 ± 12 %
ZD(*)	1,4/45A	$U_{CT}=3,9...200$ В, ряд Е 24 ± 5 %
ZE1, 5	—	$U_{CT}=1,5$ В, $I_{CT}=33$ мА при $=45$ °С
ZE2	—	$U_{CT}=2$ В, $I_{CT}=22$ мА при $=45$ °С
ZE(*)	0,25/25a	$U_{CT}=6,9-9,4-12,7-17,2-23,2-31$ В (± 15 %)
ZF(*)	0,4/25a	$U_{CT}=2,7$ В...33 В (± 5 %)
ZF(*)A	1/25a	$U_{CT}=6,8...82$ В, ряд Е 12 ± 10 %
ZF(*)B	1/25a	$U_{CT}=100...180$ В, ряд Е 12 ± 10 %
ZG(*)	0,4/25a	$U_{CT}=1,2,7...33$ В ± 10 %
ZG(*)	10/45a	$U_{CT}=1,5...180$ В ± 10 %
ZM(*)	1,1/45a	$U_{CT}=3,9...180$ В, ряд Е 12 ± 10 %
ZP(*)	330/45a	$U_{CT}=2,7...33$ В ± 5 %
ZPD(*)	0,5/25a	$U_{CT}=0,7; 2,7...33$ В, ряд Е 24
ZPU(*)	1,4/25a	$U_{CT}=100...180$ В, ряд Е 12
ZPY(*)	1,4/25a	$U_{CT}=0,7,3,9...100$ В, ряд Е 24
ZTE1, 5, 2	0,16/25a	$U_{CT}=1; 5$ В
ZTK11, 22, 23	0,3/25a	$U_{CT}=11-22-33$ В ± 10 %
ZV(*)	1,3/25a	$U_{CT}=3,9...180$ В, ряд Е 12 ± 10 %
ZW(*)	0,6/90a	$U_{CT}=2,7...33$ В, ряд Е 24 ± 5 %
ZX(*)	10/45a	$U_{CT}=3,9...36$ В ± 5 %
ZY(*)	1,3/25a	$U_{CT}=3,9...200$ В, ряд Е 24 ± 5 %
ZZ(*)	0,25/25a	$U_{CT}=3,3...33$ В, ряд Е 24 ± 5 %
Z4X(*)	1/25a	$U_{CT}=5,1...14$ В ± 5 %
Z4XG(*)	1/25a	$U_{CT}=6,2-7,5-9,1-12-14-16-18-22$ В (± 20 %)

1	2	3
02BZ(*)	0,25/25a	$U_{CT}=2,2...4,7$ В, ряд Е 12
02Z(*)	0,25/25a	$U_{CT}=5,6...24$ В, ряд Е 24
1N702...07	0,25/50a	$U_{CT}=2,6-3,5-4,1-4,9-5,8-7,1$ В ($\pm 15\%$)
1N708...44	0,25/50a	$U_{CT}=5,6...180$ В, ряд Е 24 $\pm 10\%$
1N746...59	0,4/25a	$U_{CT}=2,4...12$ В, ряд Е 24 $\pm 10\%$
1N761...69	0,4/25a	$U_{CT}=4,8-5,6-7,1-9,1-11,5-16-19-24$ В ($\pm 15\%$)
1N821, 2*, 3*	0,4/25a	$U_{CT}=6,2$ В
1N824, 5*, 6*	0,4/25a	$U_{CT}=6,2$ В
1N935, 6*, 7	0,5/25a	$U_{CT}=9$ В
1N957...992	0,4/25a	$U_{CT}=6,8...200$ В, ряд Е 24 $\pm 20\%$
1N1313...27	0,15/25a	$U_{CT}=8,8-10,5-12,8-15,8-19-23,5-35-$ $-41-49-58-71-88-105-128$ В ($\pm 10\%$)
1N1351...75	10/55c	$U_{CT}=10...100$ В, ряд Е 24 $\pm 10\%$
1N1602...09	10/55c	$U_{CT}=6,8...27$ В, ряд Е 12 $\pm 10\%$
1N1735...42	0,2...1,6	$U_{CT}=6,2-12,4-18,6-24,8-31-37-43-$ -50 В
1N1765...76	1/25a	$U_{CT}=5,6...16$ В, ряд Е 24 $\pm 10\%$
1N1816...36	1=/50c	$U_{CT}=13...91$ В, ряд Е 24 $\pm 10\%$
1N1957...68	0,25/25a	$U_{CT}=6,8...56$ В, ряд Е 12 $\pm 12\%$
1N2804...46	50/55c	$U_{CT}=6,8...200$ В, ряд Е 24 $\pm 20\%$
1N2970...3015	10/55c	$U_{CT}=6,8...200$ В, ряд Е 24 $\pm 20\%$
1N3016...51	1/25a	$U_{CT}=6,8...200$ В, ряд Е 24 $\pm 20\%$
1N3154, 5*, 6	0,4/25a	$U_{CT}=8,4$ В
1N3305...50	50/75c	$U_{CT}=6,8...200$ В, ряд Е 24 $\pm 20\%$
1N3470...2	0,4/50a	$U_{CT}=2,4-2,7-3$ ($\pm 10\%$)
1N3496,7,8,0	0,4/25a	$U_{CT}=6,2$ В
1N3551...4	0,25/25a	$U_{CT}=6,35$ В
1N3501...4	0,25/25a	$U_{CT}=3,3...47$ В, ряд Е 24 $\pm 5\%$
1N3506...34	0,4/25a	$U_{CT}=6,8...100$ В, ряд Е 24 $\pm 20\%$
1N3785...3820	1,5/26a	$U_{CT}=6,8...200$ В, ряд Е 24 $\pm 20\%$
1N3821...30	1/25a	$U_{CT}=3,3...7,5$ В, ряд Е 24 $\pm 10\%$
1N3993...4000	10/55c	$U_{CT}=3,9...7,5$ В, ряд Е 24 $\pm 10\%$
1N4099...106	0,4/25a	$U_{CT}=6,8...12$ В, ряд Е 24 $\pm 5\%$
1N4107...35	0,25/25a	$U_{CT}=13...100$ В, ряд Е 24 $\pm 5\%$
1N4158...93	1/25a	$U_{CT}=6,8...200$ В, ряд Е 24 $\pm 20\%$
1N4370...72	0,4/25a	$U_{CT}=2,4-2,7-3$ В ($\pm 10\%$)
1N4460...96	1,5/30a	$U_{CT}=6,2...200$ В, ряд Е 24 $\pm 5\%$
1N4549...56	50/75c	$U_{CT}=3,9...7,5$ В, ряд Е 24 $\pm 20\%$
1N4557...64	50/75c	$U_{CT}=3,9...7,5$ В, ряд Е 24 $\pm 20\%$
1N4565...9	0,4/50a	$U_{CT}=6,4$ В $\pm 5\%$ при $I_{CT}=0,5$ мА
1N4570...4	0,4/50a	$U_{CT}=6,4$ В $\pm 5\%$ при $I_{CT}=1$ мА
1N4575...9	0,4/50a	$U_{CT}=6,4$ В $\pm 5\%$ при $I_{CT}=2$ мА
1N4580...4	0,4/50a	$U_{CT}=6,4$ В $\pm 5\%$ при $I_{CT}=4$ мА
1N4728...64	1/50a	$U_{CT}=3,3...100$ В, ряд Е 24 $\pm 10\%$
1N4890...5	250/25a	$U_{CT}=6,35$ В
1N5221...81	0,5/25a	$U_{CT}=2,4...200$ В, ряд Е 24 $\pm 10\%$
1N5333...88	5/25a	$U_{CT}=3,3...200$ В, ряд Е 24 $\pm 20\%$
1N5518...33	0,4/25a	$U_{CT}=3,3...13$ В, ряд Е 24
1N5534...46	0,4/25a	$U_{CT}=14-15-16-17-18-19-20-22-$ $-24-26-28-30-33$
1N5559...94	1/25a	$U_{CT}=6,8...200$ В, ряд Е 24
1N5667...78	0,25/25a	$U_{CT}=2...5,6$ В, ряд Е 24
1N5728...57	0,4/25a	$U_{CT}=4,7...75$ В, ряд Е 24
1S220...61	1/25a	$U_{CT}=4,5-5,5-6,5-7,5-8,5-9,5-11-12-$ $-13-14-15-16-17-18-19-20-22-$ $-24-25-27-30-33-36-39-43-45-$ $-47-50-52-56-62-68-75-82-91-$ $-100-105-110-120-130-140-150$

1	2	3
1S262...303	10/25c	$U_{CT}=4,5-5,5-6,5-7,5-8,5-9,5-11-12-13-14-15-16-17-18-19-20-22-24-25-27-30-33-36-39-43-45-47-50-52-56-62-68-75-82-91-100-105-110-120-130-140-150$
1S4006...4200	1,5/25a	$U_{CT}=6,8...200$ В, ряд Е 24 $\pm 10\%$
1S5015...5150	10/100c	$U_{CT}=15...150$ В, ряд Е 24 $\pm 10\%$
1S6006...6200	10/100c	$U_{CT}=6,8...200$ В, ряд Е 24 $\pm 10\%$
1Z(*)	1/25a	$U_{CT}=7,5...30$ В, ряд Е 24 $\pm 10\%$
1Z(*)T	1/25a	$U_{CT}=3,9...30$ В, ряд Е 24 $\pm 10\%$
1/4M(*)	250/25a	$U_{CT}=2,4...200$ В, ряд Е 24 $\pm 20\%$
3Z(*)T(0)	3,5/25c	$U_{CT}=3,9...30$ В, ряд Е 24
4GZ(*)A	4/25c	$U_{CT}=10...82$ В, ряд Е 12 $\pm 10\%$
4GZ(*)B	4/25c	$U_{CT}=100...180$ В, ряд Е 12 $\pm 5\%$
10Z(*)T	10/25c	$U_{CT}=3,9...30$ В, ряд Е 24
11,12,13Z4	1/25a	$U_{CT}=3,5...55-4,5...6,5-5,5...7,5$ В
14...17Z4	1/25a	$U_{CT}=6,5...9,5-8,4...11,6-10,3...13,7-12,2...16$ В
11...28Z6	1/25a	$U_{CT}=3,3...12$ В, ряд Е 24 $\pm 12\%$
31...43Z6	0,2/25a	$U_{CT}=3,3...12$ В, ряд Е 24 $\pm 6\%$
51...68Z6	4/25c	$U_{CT}=3,3...15$ В, ряд Е 24 $\pm 12\%$
52...57Z4	4/25c	$U_{CT}=4,5...6,5-5,5...7,5-6,5...9,5-8,4...11,6-10,3...13,7-12,2...16$
71...88Z6	25/25c	$U_{CT}=3,3...15$ В, ряд Е 24 $\pm 12\%$
100,4,5Z4	1/25a	$U_{CT}=5...6-3,8...4,8-4,8...5,8$ В
106,7,8Z4	1/25a	$U_{CT}=5,8...6,8-6,8...7,8-7,8...8,8$ В
109,10,11,Z4	1/25a	$U_{CT}=12...13,2-13,2...14,4-14,4...15,5$ В
116...124Z6F	1/25a	$U_{CT}=16-18-20-22-24$ В $\pm 10\%$
204...15Z4	4/25c	Смотри 104...115Z4
650...655	150/25a	$U_{CT}=4,1-4,9-5,8-7,1-9-10$ В $\pm 0,5$ В

Таблица 4.19. Основные параметры микросхем стабилизаторов отечественного производства

Тип микросхемы	$U_{вх}$, В (мин...макс)	$U_{вых}$, В (мин...макс)	K_v , %/В не более	K_i %/А не более	$LiU_{вых}$, %/°С не более	$P_{макс}$, Вт при $t^\circ\text{C}$ -60°... +80°
1	2	3	4	5	6	7
K142EH1A	9...20	3...12	0,3	0,5	0,01	0,8
K142EH1Б	9...20	3...12	0,1	0,5	0,01	0,8
K142EH1B	9...20	3...12	0,5	0,5	0,01	0,8
K142EH1Г	9...20	3...12	0,5	0,5	0,01	0,8
K142EH2A	9...40	12...30	0,3	0,2	0,01	0,8
K142EH2Б	20...40	12...30	0,1	0,2	0,01	0,8
K142KH2B	20...40	12...30	0,5	0,2	0,01	0,8
K142EH2Г	20...40	12...30	0,5	0,2	0,01	0,8
K142EH3	9,5...60	3...30	0,05	0,5	0,01	6,0
K142EH4	9,5...60	3...30	0,05	0,5	0,01	6,0
142EH5A	7,5...15	4,9...5,1	0,05	1,0	0,02	10
142EH5Б	8,5...15	5,88...6,12	0,05	1,0	0,02	10
142EH5B	7,5...15	4,9...5,1	0,05	1,0	0,02	10
142EH5Г	8,5...15	5,88...6,12	0,05	1,0	0,02	10

1	2	3	4	5	6	7
KP142EH5A	7,5...15	4,9...5,1	0,05	2,0	0,03	10
KP142EH5B	8,5...15	5,88...6,12	0,05	2,0	0,03	10
KP142EH5B	7,5...15	4,82...5,18	0,05	2,0	0,03	10
KP142EH5Г	8,5...15	5,8...6,2	0,05	2,0	0,03	10
K142EH6A	± 20...40	± 14,7...15,3	0,0015	0,2	0,01	5,0
K142EH6Б	± 20...40	± 14,7...15,3	0,005	0,2	0,01	5,0
K142EH6B	± 20...30	± 14,5...15,5	0,0025	0,3	0,03	2,5
K142EH6Г	± 20...30	± 14,5...15,5	0,015	0,3	0,03	2,5
K142EH6Д	± 20...40	± 14...16	0,005	0,2	0,01	5,0
K142EH6E	± 20...40	± 14...16	0,01	0,2	0,003	5,0
142EH8A	11,5...35	8,73...9,27	0,05	0,67	0,02	9,0
142EH8Б	14,5...35	11,64...12,36	0,05	0,67	0,02	9,0
142EH8B	17,5...35	14,35...15,45	0,05	0,67	0,02	9,0
K142EH8Л	1,5...35	8,73...9,27	0,05	1,0	0,03	9,0
KP142EH8A						
K142EH8Б,	14,5...35	11,64...12,36	0,05	1,0	0,03	9,0
KP142EH8Б						
K142EH8B,	17,5...35	14,55...15,45	0,05	1,0	0,03	9,0
KP142EH8B						
K142EH8Г,	11,5...35	8,64...9,36	0,1	1,5	0,04	9,0
KP142EH8Г						
K142EH8Д,	14,5...35	11,52...12,48	0,1	1,5	0,04	9,0
KP142EH8Д						
K142EH8E,	17,5...35	14,4...15,6	0,1	1,5	0,04	9,0
KP142EH8E						
142EH9A	23...45	19,6...20,4	0,05	0,67	0,02	9,0
142EH9Б	27...45	23,52...24,48	0,05	0,67	0,02	9,0
142EH9B	30...45	26,46...27,54	0,05	0,67	0,02	9,0
K142EH9A	23...45	19,6...20,4	0,05	1,0	0,03	9,0
K142EH9Б	27...45	23,52...24,48	0,05	1,0	0,03	9,0
K142EH9B	30...45	26,46...27,54	0,05	1,0	0,03	9,0
K142EH9Г	23...45	19,4...20,6	0,1	1,5	0,04	9,0
K142EH9Д	27...45	23,28...24,72	0,1	1,5	0,04	9,0
K142EH9E	30...45	26,19...27,81	0,1	1,5	0,04	9,0
142EH10	9...40	3...30	0,05	1,0	0,01	5,0
142EH11	5...45	1,2...37	0,02	0,33	0,02	8,0

В отечественной бытовой аппаратуре интегральные стабилизаторы напряжения пока применяются редко, а в зарубежной — довольно часто. Параметры интегральных стабилизаторов зарубежного производства приведены в табл. 4.20, 4.21. Номенклатура отечественных интегральных стабилизаторов напряжения значительно уже, поэтому при выходе из строя стабилизатора зарубежного производства и при отсутствии отечественного аналога новый стабилизатор можно сделать на отечественных дискретных элементах с параметрами замещенного. Трудности могут быть с его размещением, особенно в малогабаритной аппаратуре. При наличии отечественного аналога необходимо внимательно проверить цоколевку, чтобы входы и выходы соответствовали схеме.

Таблица 4.20. Электрические параметры стабилизаторов напряжения с фиксированным входным напряжением

Тип ИМС	$U_{\text{вх}}, \text{В}$	$I_{\text{вх}}, \text{А}$	$U_{\text{вх}}, \text{В}$	$U_{\text{п.}}, \text{В}$	$\Delta U_{\text{п.}}, \text{мВ при } \Delta U_{\text{вх}}, \text{В}$	$U_{\text{вх}}, \text{мВ при } \Delta U_{\text{вх}}, \text{В}$	$\alpha \theta U_{\text{вх}}, \text{ } ^\circ\text{В}/^\circ\text{С}$	$P_{\text{к.}}, \text{Вт}$	$I_{\text{пот}}, \text{мА}$	Долговременная стабильность, $\text{мВ}/(100^\circ\text{С})$	$U_{\text{н}}, \text{мкВ}$
1	2	3	4	5	6	7	8	9	10	11	12
LM109H	5,05	0,2	7...25	—	≤ 50	≤ 50	—	15	≤ 10	≤ 10	40
LM109K	5,05	1,0	7...25	—	0,04*	1,0*	—	2,5	≤ 10	≤ 10	40
LM120H-5	—5	0,5	—(7...25)	—	≤ 25	≤ 50	—	2,0	≤ 2	≤ 50	150
LM120H-12	—12	0,2	—(14...32)	—	≤ 10	≤ 25	—	2,0	≤ 4	≤ 120	400
LM120H-15	—15	0,2	—(17...35)	—	≤ 10	≤ 25	—	2,0	≤ 4	≤ 150	400
LM120K	—5	1,5	—(7...25)	—	≤ 25	≤ 75	—	20	≤ 2	≤ 50	150
LM120K-12	—12	1,0	—(14...32)	—	≤ 10	≤ 80	—	20	≤ 4	≤ 120	400
LM120K-15	—15	1,0	—(17...35)	—	0,02*	0,3*	—	20	≤ 4	≤ 150	400
LM123K-5	5,0	3,0	7,5...15	—	≤ 25	≤ 100	—	30	≤ 20	≤ 35	40
LM125H	± 15	0,1	± 30	2	≤ 10	≤ 10	$\pm 0,3^{**}$	45**	≤ 5	0,2*	150
LM125	± 15	0,1	± 30	2	≤ 10	≤ 10	$\pm 0,3^{**}$	150*	≤ 5	0,2*	150
LM126H	± 12	0,1	± 30	2	≤ 10	≤ 10	$\pm 0,3^{**}$	45**	≤ 5	0,2*	100
LM126	± 12	0,1	± 30	2	≤ 10	≤ 10	$\pm 0,3$	150*	≤ 5	0,2*	100
LM140AK-5	5	1,5	7,5...20	2	≤ 10	≤ 25	$\pm 0,6$	20	≤ 6	—	40
LM140AK-12	12	1,5	14,5...27	2	≤ 18	≤ 32	$\pm 1,5$	20	≤ 6	—	75
LM140AK-15	15	1,5	17,9...30	2	≤ 22	≤ 35	$\pm 1,8$	20	≤ 6	—	90
LM140K-5	5,0	1,5	8...20	2	≤ 50	≤ 50	$\pm 0,6$	20	≤ 6	—	40
LM140K-12	12	1,5	15,5...27	2	≤ 120	≤ 120	$\pm 1,5$	20	≤ 6	—	75
LM140K-15	15	1,5	18,5...30	2	≤ 150	≤ 150	$\pm 1,8$	20	≤ 6	—	90
LM140 AH-5	5,0	0,1	7,2...20	—	≤ 30	≤ 20	0,01	—	$\leq 4,5$	12	40
LM140 AH-12	12	0,1	14,5...27	—	≤ 65	≤ 40	0,01	—	$\leq 4,5$	24	80
LM140 AH-15	15	0,1	17,6...30	—	≤ 70	≤ 50	0,01	—	$\leq 4,5$	30	90
LM145K-5	—5,0	3,0	—(7,8...20)	—	≤ 15	≤ 75	—	25	≤ 3	≤ 50	150
LM145K-5,2	—5,2	3,0	—(7,8...20)	—	0,008*	0,6*	—	25	≤ 3	≤ 50	150
LM209H	5,05	0,2	7...25	—	≤ 50	≤ 50	—	15**	≤ 10	≤ 10	40
LM209K	5,05	1,0	7...25	—	≤ 50	≤ 100	—	2,5**	≤ 10	≤ 10	40
LM223K	5,0	3,0	7,5...15	—	≤ 25	≤ 100	—	30	≤ 20	≤ 35	40
LM309H	5,05	0,2	7...25	—	≤ 50	≤ 100	—	15**	≤ 10	≤ 20	40

Продолжение табл. 4.20

1	2	3	4'	5	6	7	8	9	10	11	12
LM309K	5,05	1,0	7...25	—	≤50	≤100	—	2,5**	≤10	≤20	40
LM320H-5	-5,0	0,5	-(7...25)	—	≤40	≤50	—	2,0	≤2,0	≤50	150
LM320H-12	-12	0,2	-(14...32)	—	≤20	≤40	—	2,0	≤4,0	≤120	400
LM320H-15	-15	0,2	-(17...35)	—	≤20	≤40	—	2,0	≤4	≤150	400
LM320K-5	-5,0	1,5	-(7...25)	—	≤40	≤100	—	20	≤2	≤50	150
LM320K-12	-12	1,0	-(14...32)	—	≤20	≤80	—	20	≤4	≤120	400
LM320K-15	-15	1,0	-(17...35)	—	≤20	≤80	—	20	≤4	≤150	400
LM320KC-5	-5,0	1,5	-(7...25)	—	≤40	≤100	—	20	≤4	≤120	400
LM320KC-12	-12	1,0	-(14...32)	—	≤20	≤80	—	20	≤2	≤50	400
LM320KC-15	-15	1,0	-(17...35)	—	≤20	≤80	—	20	≤4	≤120	400
LM320LZ-5	-5,0	0,1	-(7,5...20)	—	≤60	≤50	—	0,6	≤6	≤20	40
LM320LZ-12	-12	0,1	-(14,8...27)	—	≤45	≤100	—	0,6	≤6	≤48	96
LM320LZ-15	-15	0,1	-(18...30)	—	≤45	≤125	—	0,6	≤6	≤60	120
LM320MLP-5	-5,0	0,25	-(7,5...20)	—	≤50	≤50	—	7,5	≤6	≤20	40
LM320MLP-12	-12	0,25	-(14,8...27)	—	≤40	≤120	—	7,5	≤6	≤48	100
LM320MLP-15	-15	0,25	-(18...30)	—	≤40	≤150	—	7,5	≤6	≤60	120
LM320MP-5	-5,0	0,5	-(7,5...25)	—	≤40	≤100	—	7,5	≤2	≤10	150
LM320MP-12	-12	0,5	-(14,5...32)	—	≤24	≤100	—	7,5	≤4	≤24	400
LM320MP-15	-15	0,5	-(17,5...35)	—	≤30	≤100	—	7,5	≤4	≤30	400
LM320T-5	-5,0	1,5	-(7,5...25)	—	≤40	≤100	—	15	≤2	≤10	150
LM320T-12	-12	1,0	-(14,5...32)	—	≤20	≤80	—	15	≤4	≤24	400
LM320T-15	-15	1,0	-(17,5...35)	—	≤20	≤80	—	15	≤4	≤30	400
LM323K	5	3	7,5...15	—	≤25	≤100	—	30	≤20	≤35	40
LM325AN	±15	0,1	±30	≥2	≤10	≤10	±0,3*	1,0	≤5	0,2*	150
LM325H	±15	0,1	±30	≥2	≤10	≤10	±0,3*	2,0	≤5	0,2*	150
LM325N	±15	0,1	±30	≥2	≤10	≤10	±0,3*	1,0	≤5	0,2*	150
LM326H	±12	0,1	±30	≥2	≤10	≤10	±0,3*	2,0	≤5	0,2*	100
LM326N	±12	0,1	±30	≥2	≤10	≤10	±0,3*	1,0	≤5	0,2*	100
LM330T-5	5,0	0,15	6...26	≤0,6	≤60	≤50	—	50	≤40	≤20	50
LM340AK-5	5,0	1,5	7,5...20	2	≤18	≤35	—0,6*	20	≤6	—	40
LM340AK-12	12	1,5	14,8...27	2	≤18	≤32	—1,*	20	≤6	—	75
LM340AK-15	15	1,5	17,9...30	2	≤22	≤35	—1,8*	20	≤6	—	90
LM340AT-5	5,0	1,5	7,5...20	2	≤10	≤25	—0,6*	15	≤6	—	40

1	2	3	4	5	6	7	8	9	10	11	12
LM340AT-12	12	1,5	14,8...27	2	≤18	≤32	-1,5*	15	≤6	—	75
LM340AT-15	15	1,5	17,9...30	2	≤22	≤35	-1,8*	15	≤6	—	90
LM340K-5	5,0	1,5	7...20	2	≤50	≤50	-0,6*	20	≤8	—	40
LM340K-12	12	1,5	14,5...27	2	≤120	≤120	-1,5*	20	≤8	—	75
LM340K-15	15	1,5	17,5...30	2	≤150	≤150	-1,8*	20	≤8	—	90
LM340LAH-5	5,0	0,1	7,2...20	—	≤30	≤20	0,01	140	≤4,5	12	40
LM340LAH-12	12	0,1	14,5...27	—	≤65	≤40	0,01	140	≤4,5	24	80
LM340LAH-15	15	0,1	17,6...30	—	≤70	≤50	0,01	140	≤4,5	30	90
LM340LAZ-5	5	0,1	7,2...20	—	≤30	≤20	0,01	180	≤4,5	12	40
LM340LAZ-12	12	0,1	14,5...27	—	≤65	≤40	0,01	180	≤4,5	24	80
LM340LAZ-15	15	0,1	17,6...30	—	≤70	≤50	0,01	180	≤4,5	30	90
LM340T-5	5	1,5	7...20	—	≤50	≤50	-0,6*	15	≤8	—	40
LM340T-12	12	1,5	14,5...27	—	≤120	≤120	-1,5*	15	≤8	—	75
LM340T-15	15	1,5	17,5...30	—	≤150	≤150	-1,8*	15	≤8	—	90
LM341P-5	5	0,5	7,5...20	—	≤50	≤100	—	7,5	≤10	20	40
LM341P-12	12	0,5	14,8...27	—	≤120	≤240	—	7,5	≤10	48	75
LM341P-15	15	0,5	18...30	—	≤150	≤300	—	80	≤10	60	90
LM342P-5	5	0,25	7,5...20	—	≤55	≤50	—	80	≤6	20	40
LM342P-12	12	0,25	14,8...27	—	≤100	≤150	—	80	≤6	48	96
LM342P-15	15	0,25	18...30	—	≤100	≤150	—	80	≤6	60	120
LM345K-5	-5	3,0	—(7,8...20)	—	≤25	≤100	—	25	≤3	50	150
LM345K-5,2	-5,2	3,0	—(7,8...20)	—	≤25	≤100	—	25	≤3	50	150
LM2930T-5	5	0,15	6...26	≤0,6	≤80	≤50	—	4	≤40	20	140
LM2930T-8	8	0,15	9,4...26	≤0,6	≤100	≤50	—	4	≤40	30	170
LM2931AT-5	5	0,15	6...26	≤0,6	≤30	≤50	—	4	15	20	500
LM2931AZ-5	5	0,15	6...26	≤0,6	0,008*	0,02*	—	55	15	—	500
LM7805CK	5	1,0	7...20	2,0	≤50	≤50	0,6	35	≤8	—	40
LM7812CK	12	1,0	14,5...27	2	≤120	≤120	1,5*	35*	≤8	—	75
LM7815CK	15	1,0	17,5...30	2	≤150	≤150	1,8*	35*	≤8	—	90
LM7805CT	5	1,0	7...20	2	≤50	≤50	0,6*	50*	≤8	—	40
LM7812CT	12	1,0	14,5...27	2	≤120	≤120	1,5*	50*	≤8	—	75
LM7815CT	15	1,0	17,5...30	—	≤150	≤150	1,8*	50*	≤8	—	90
LM7805ACH	5	0,1	7...20	—	≤54	≤30	±0,01	15*	≤5	12	40

1	2	3	4	5	6	7	8	9	10	11	12
LM7812ACH	12	0,1	14,5...27	—	≤110	≤50	±0,01	15*	≤5	24	80
LM7815ACH	15	0,1	17,5...30	—	≤140	≤75	±0,01	15*	≤5	30	90
LM7805ACZ	5	0,1	7...20	—	≤54	≤30	±0,01	180*	≤5	12	40
LM7812ACZ	12	0,1	14,5...27	—	≤110	≤50	±0,01	180*	≤5	24	80
LM7815ACZ	15	0,1	17,5...30	—	≤140	≤75	±0,01	180*	≤5	30	90
LM7805CH	5	0,1	7...20	—	≤150	≤30	±0,01	140*	≤6	12	40
LM7812CH	12	0,1	14,5...27	—	≤200	≤50	±0,01	140*	≤6,5	24	80
LM7815CH	15	0,1	18...30	—	≤250	≤75	±0,01	140*	≤6,5	30	90
LM7805CZ	5	0,1	7...20	—	≤150	≤30	±0,01	180*	≤6	12	40
LM7812CZ	12	0,1	14,5...27	—	≤200	≤50	±0,01	180*	≤6,5	24	80
LM7815CZ	15	0,1	18...30	—	≤250	≤75	±0,01	180*	≤6,5	30	90
LM78M05CP	5,0	0,5	7,5...20	—	≤100	≤100	—	70*	≤10	20	40
LM78M12CP	12	0,5	14,8...27	—	≤240	≤240	—	70*	≤10	48	75
LM78M15CP	15	0,5	18...30	—	≤300	≤300	—	70*	≤10	60	90
LM7905CK	—5	1,5	—(7...20)	1,1	≤50	≤100	0,4*	15	≤2	—	125
LM7912CK	—12	1,5	—(14,5...27)	1,1	≤80	≤200	—0,8*	15	≤3	—	300
LM7915CK	—15	1,5	—(17,5...30)	1,1	≤100	≤200	—1*	15	≤2	—	375
LM7905CT	—5	1,5	—(7...20)	1,1	≤50	≤100	0,4*	15	≤3	—	125
LM7912CT	—12	1,5	—(14,5...27)	1,1	≤80	≤200	—0,8*	15	≤3	—	300
LM7915CT	—15	1,5	—(17,5...30)	1,1	≤100	≤200	—1*	15	≤3	—	375
LM7905ACZ	—5	0,1	—(7,5...20)	—	≤60	≤50	—	180*	≤6	20	40
LM7912ACZ	—12	0,1	—(14,8...27)	—	≤45	≤100	—	180*	≤6	48	96
LM7915ACZ	—15	0,1	—(18...30)	—	≤45	≤125	—	180*	≤6	60	120
LM79M05CH	—5	0,5	—(7...25)	1,1	≤50	≤100	0,4*	70*	≤2	—	750
LM79M12CH	—12	0,5	—(14,5...27)	1,1	≤80	≤240	—0,8*	70*	≤3	—	400
LM79M15CH	—15	0,5	—(17,5...30)	1,1	≤80	≤250	—1*	70*	≤3	—	400
LM79M05CP	—5	0,5	—(7...25)	1,1	≤50	≤100	0,4*	70*	≤2	—	750
LM79M12CP	—12	0,5	—(14,5...27)	1,1	≤80	≤240	—0,8*	70*	≤3	—	400
LM79M15CP	—15	0,5	—(17,5...30)	1,1	≤80	≤240	—1*	70*	≤3	—	400
MC7805CT	5	1	7...20	2	≤50	≤100	—1*	65*	8	≤20	40
MC7806C	6	1	8...21	2	≤60	≤120	—1*	65*	8	≤24	45
MC7808C	8	1	10,5...23	2	≤80	≤160	—1*	65*	8	≤32	52
MC7812C	12	1	14,5...27	2	≤120	≤240	—1*	65*	8	≤48	75
MC7815C	15	1	17,5...30	2	≤150	≤300	—1*	65*	8	≤60	90

Продолжение табл. 4.20

1	2	3	4	5	6	7	8	9	10	11	12
MC7818C	18	1	21...33	2	<180	<360	-1*	65*	8	<72	110
MC7824C	24	1	27...38	2	<240	<480	-1*	65*	8	<96	170
MC7802AC	2,6	0,1	4,75...20	1,7	<100	<50	—	200*	—	—	30
MC7805AC	5	0,1	7...20	1,7	<150	<60	—	200*	—	12	40
MC7805C	5	0,1	7...20	1,7	<200	<80	—	200*	—	12	40
MC788AC	8	0,1	10,5...23	1,7	<175	<80	—	200*	—	20	60
MC788C	8	0,1	10,5...23	1,7	<200	<80	—	200*	—	20	52
MC7812AC	12	0,1	14,5...27	1,7	<250	<100	—	200*	—	24	80
MC7812C	12	0,1	14,5...27	1,7	<250	<100	—	200*	—	24	80
MC7815AC	15	0,1	17,5...30	1,7	<300	<150	—	200*	—	30	90
MC7815C	15	0,1	17,5...30	1,7	<300	<150	—	200*	—	30	90
MC7818AC	18	0,1	20,7...33	1,7	<325	<170	—	200*	—	45	150
MC7818C	18	0,1	21,4...33	1,7	<325	<170	—	200*	—	45	150
MC7824AC	24	0,1	27...38	1,7	<350	<200	—	200*	—	56	200
MC7824C	24	0,1	28...38	1,7	<350	<200	—	200*	—	56	200
MC78M05C	5	0,5 (0,7*)	7...25	2	<100	<100	-1*	70*	—	<20	40
MC78M06C	6	0,5 (0,7*)	8...25	2	<100	<120	-0,5*	70*	—	<24	45
MC78M08C	8	0,5 (0,7*)	10,5...25	2	<100	<160	—	70*	—	<32	52
MC78M12C	12	0,5 (0,7*)	14,5...27	2	<100	<240	-1*	70*	—	<48	75
MC78M15C	15	0,5 (0,7*)	17,5...30	2	<100	<300	-1*	70*	—	<60	90
MC78M18C	18	0,5 (0,7*)	21...33	2	<100	<360	-1*	70*	—	<72	100
MC78M20C	20	0,5 (0,7*)	23...35	2	<100	<400	-1,1*	70*	—	<80	110
MC78M24C	24	0,5 (0,7*)	27...38	2	<100	<480	-1,2*	70*	—	<96	170
MC7902C	-2	1	—(7...20)	3,5	<40	<120	-1*	65*	—	<20	40
MC7905C	-5	1	—(7...20)	2	<100	<100	-1*	65*	—	<20	40
MC7952C	-5,2	1	—(7,2...20)	2	<105	<105	-1*	65*	—	<20	40
MC7906C	-6	1	—(8...21)	2	<120	<120	-1	65*	—	<24	45
MC7908C	-8	1	—(10,5...23)	2	<160	<160	-1	65*	—	<32	52
MC7912C	-12	1	—(14,5...27)	2	<240	<240	-1	65*	—	<48	75
MC7915C	-15	1	—(17,5...30)	2	<300	<300	-1	65*	—	<60	90
MC7918C	-18	1	—(21...33)	2	<360	<360	-1	65*	—	<72	110
MC7924C	-24	1	—(27...38)	2	<480	<480	-1	65*	—	<96	170
MC79 03AC	-3	0,1	—(7...20)	1,7	<60	<72	—	200*	—	10	30
MC79 03C	-3	0,1	—(7...20)	1,7	<80	<72	—	200*	—	10	30

1	2	3	4	5	6	7	8	9	10	11	12
MC79 05AC	-5	0,1	— (7...20)	1,7	≤150	≤60	—	200*	—	12	40
MC7905C	-5	0,1	— (7...20)	1,7	≤200	≤60	—	200*	—	12	40
MC7912AC	-12	0,1	— (14,5...27)	1,7	≤250	≤100	—	200*	—	24	80
MC7912C	-12	0,1	— (14,5...27)	1,7	≤250	≤100	—	200*	—	24	80
MC7915AC	-15	0,1	— (17,5...30)	1,7	≤300	≤150	—	200*	—	30	90
MC7915C	-15	0,1	— (17,5...30)	1,7	≤300	≤150	—	200*	—	30	90
MC7918AC	-18	0,1	— (20,7...33)	1,7	≤325	≤170	—	200*	—	45	150
MC7918C	-18	0,1	— (21,4...33)	1,7	≤325	≤170	—	200*	—	45	150
MC7924AC	-24	0,1	— (27...38)	1,7	≤350	≤200	—	200*	—	56	200
MC7924C	-24	0,1	— (28...38)	1,7	≤350	≤200	—	200*	—	56	200
TL780-05C	5	1,5	7...25	2	—	—	—	15	5	—	—
TL780-12C	12	1,5	14,5...30	—	—	—	—	15	5,5	—	—
LT780-15C	15	1,5	17,5...30	—	—	—	—	15	5,5	—	—
TL7805C	5	1,5	7...25	—	—	—	—	15	4,2	—	—
TL7812C	12	1,5	14,5...30	—	—	—	—	15	4,3	—	—
TL7815C	15	1,5	17,5...30	—	—	—	—	15	4,5	—	—
μA109	5,05	1	≤35	—	≤50	≤100	—	—	≤10	≤10	40
μA209	5,05	1	≤35	—	≤50	≤100	—	—	≤10	≤10	40
μA309	5,05	1	≤35	—	≤50	≤100	—	—	≤10	≤20	40
μA7805C	5	1 (2,2*)	≤35	2	≤100	≤100	—	≤65*	≤8	—	45
μA7806C	6	1 (2,2*)	≤35	2	≤120	≤120	—	≤65*	≤8	—	52
μA7808C	8	1 (2,2*)	≤35	2	≤160	≤160	—	≤65*	≤8	—	75
μA78012C	12	1	≤35	2	≤240	≤240	—	≤65*	≤8	—	90
μA7815C	15	1	≤35	2	≤300	≤300	—	≤65*	≤8	—	110
μA7818C	18	1	≤35	2	≤360	≤360	—	≤65*	≤8	—	170
μA7824C	24	1	≤35	2	≤480	≤480	—	≤65*	≤8	—	170
μA7885C	8,5	1	≤35	2	≤170	≤170	—	≤65*	≤8	—	55
μA78C08	8	0,5 (1*)	≤35	≤2,5	≤40	≤80	—	≤7,5	≤6	—	200
μA78C10	10	0,5 (1*)	≤35	≤2,5	≤50	≤100	—	≤7,5	≤6	—	250
μA78C12	12	0,5 (1*)	≤35	≤2,5	≤50	≤120	—	≤7,5	≤6	—	300
μA78C15	15	0,5 (1*)	≤35	≤2,5	≤50	≤150	—	≤7,5	≤6	—	375
μA78C17	17	0,5 (1*)	≤35	≤2,5	≤50	≤170	—	≤7,5	≤6	—	400
μA78C15	18	0,5 (1*)	≤35	≤2,5	≤50	≤180	—	≤7,5	≤6	—	450
μA78C18	20	0,5 (1*)	≤40	≤2,5	≤50	≤200	—	≤7,5	≤6	—	500

Продолжение табл. 4.20

1	2	3	4	5	6	7	8	9	10	11	12
$\mu A78C24$	22	0,5 (1*)	≤ 40	$\leq 2,5$	≤ 50	≤ 220	-6*	$\leq 7,5$	≤ 6	—	550
$\mu A78C82$	24	0,5 (1*)	≤ 40	$\leq 2,5$	≤ 50	≤ 240	-6,4*	$\leq 7,5$	≤ 6	—	600
$\mu A78CB$	8,2	0,5 (1*)	≤ 35	$\leq 2,5$	≤ 40	≤ 85	-2,2*	$\leq 7,5$	≤ 6	—	200
$\mu A78L05$	13,8	2	≤ 35	2,5	≤ 150	≤ 150	-1*	$\leq 65^*$	≤ 8	—	75
$\mu A78L05$	5	0,1	≤ 35	1,7	≤ 150	≤ 60	-0,65*	$\leq 190^*$	≤ 6	—	40
$\mu A78L09$	9	0,1	≤ 35	1,7	≤ 200	≤ 90	-0,9*	$\leq 190^*$	$\leq 6,5$	—	70
$\mu A78L12$	12	0,1	≤ 35	1,7	≤ 250	≤ 100	-1*	$\leq 190^*$	$\leq 6,5$	—	80
$\mu A78L15$	15	0,1	≤ 35	1,7	≤ 300	≤ 150	-1,3*	$\leq 190^*$	$\leq 6,5$	—	90
$\mu A78L18$	18	0,1	≤ 40	1,7	≤ 300	≤ 170	-1,8*	$\leq 190^*$	$\leq 6,5$	—	150
$\mu A78L24$	24	0,1	≤ 40	1,7	≤ 300	≤ 200	-2*	$\leq 190^*$	$\leq 6,5$	—	200
$\mu A78L26$	26	0,1	≤ 35	1,7	≤ 100	≤ 50	-0,4*	$\leq 190^*$	≤ 6	—	30
$\mu A78L62$	6,2	0,1	≤ 35	1,7	≤ 175	≤ 80	-0,75*	$\leq 190^*$	≤ 6	—	50
$\mu A78L82$	8,2	0,1	≤ 35	1,7	≤ 175	≤ 80	-0,8*	$\leq 190^*$	≤ 6	—	60
$\mu A78M05$	5	0,5 (0,7*)	≤ 35	2	≤ 100	≤ 100	-1*	$\leq 70^*$	≤ 6	—	40
$\mu A78M06$	6	0,5 (0,7*)	≤ 35	2	≤ 100	≤ 120	-0,5*	$\leq 70^*$	≤ 6	—	45
$\mu A78M08$	8	0,5 (0,7*)	≤ 35	2	≤ 100	≤ 160	-0,5*	$\leq 70^*$	≤ 6	—	52
$\mu A78M12$	12	0,5 (0,7*)	≤ 35	2	≤ 100	≤ 240	-1*	$\leq 70^*$	≤ 6	—	75
$\mu A78M15$	15	0,5 (0,7*)	≤ 35	2	≤ 100	≤ 300	-1*	$\leq 70^*$	≤ 6	—	90
$\mu A78M20$	20	0,5 (0,7*)	≤ 40	2	≤ 100	≤ 400	-1,1*	$\leq 70^*$	≤ 6	—	110
$\mu A78M24$	24	0,5 (0,7*)	≤ 40	2	≤ 100	≤ 480	-1,2*	$\leq 70^*$	≤ 6	—	170
$\mu A7905$	-5	1 (2,1*)	≤ -35	1,1	≤ 100	≤ 100	-0,6*	$\leq 65^*$	≤ 2	—	125
$\mu A7906$	-6	1 (2,1*)	≤ -35	1,1	≤ 120	≤ 120	-0,4*	$\leq 65^*$	≤ 2	—	150
$\mu A7908$	-8	1 (2,1*)	≤ -35	1,1	≤ 160	≤ 160	-0,6*	$\leq 65^*$	≤ 2	—	200
$\mu A7912$	-12	1 (2,1*)	≤ -35	1,1	≤ 240	≤ 240	-0,6*	$\leq 65^*$	≤ 3	—	300
$\mu A7915$	-15	1 (2,1*)	≤ -35	1,1	≤ 300	≤ 300	-0,8*	$\leq 65^*$	≤ 3	—	375
$\mu A7918$	-18	1 (2,1*)	≤ -35	1,1	≤ 360	≤ 360	-1*	$\leq 65^*$	≤ 3	—	450
$\mu A7924$	-24	1 (2,1*)	≤ -40	1,1	≤ 480	≤ 480	-1*	$\leq 65^*$	≤ 3	—	600
$\mu A79M05$	-5	0,5 (0,65*)	≤ -35	1,1	≤ 50	≤ 100	-0,4*	$\leq 70^*$	≤ 2	—	125
$\mu A79M06$	-6	0,5 (0,65*)	≤ -35	1,1	≤ 60	≤ 120	-0,4*	$\leq 70^*$	≤ 2	—	150
$\mu A79M08$	-8	0,5 (0,65*)	≤ -35	1,1	≤ 80	≤ 160	-0,6*	$\leq 70^*$	≤ 2	—	200
$\mu A79M12$	-12	0,5 (0,65*)	≤ -35	1,1	≤ 80	≤ 240	-0,8*	$\leq 70^*$	≤ 3	—	300
$\mu A79M15$	-15	0,5 (0,65*)	≤ -35	1,1	≤ 80	≤ 240	-1*	$\leq 70^*$	≤ 3	—	375
$\mu A79M20$	-20	0,5 (0,65*)	≤ -40	1,1	≤ 80	≤ 300	-1*	$\leq 70^*$	$\leq 3,5$	—	500
$\mu A79M24$	-24	0,5 (0,65*)	≤ -40	1,1	≤ 80	≤ 300	-1*	$\leq 70^*$	$\leq 3,5$	—	600

Таблица 4.21. Электрические параметры стабилизаторов напряжения с регулируемым выходным напряжением

Тип микросхемы	$U_{вых}$, В	$I_{вых}$, А	$U_{вх}$, В	$U_{пр}$, В	K_{U_1} , % K_{U_2} , % B^*	K_{U_1} , % $\Delta U_{вых}$, мВ B^*	$\alpha \theta_{вых}^{*}$, %/°C $\alpha \theta_{вых}^{*}$, %	$P_{рас}$, Вт $R_{\theta_{рас}}^{*}$, °C/Вт $R_{\theta_{рас}}^{*}$, °C/Вт	$I_{пот}$, мА	Долговременная стабильность, %	Уровень шумов, мкВ, % $U_{вых}$	Корпус	Схема расположения выводов (см. рис. к табл.)
1	2	3	4	5	6	7	8	9	10	11	12	13	14
ICL7663CPA	+ (1.3...16)	0.040	+ (1.5...16)	—	0.03*	—	2.5	0.2	≤ 0.012	—	—	Мини-DIP	—
ICL7663CTV	+ (1.3...16)	0.040	+ (1.5...16)	—	0.03*	—	2.5	0.3	≤ 0.012	—	—	Мини-DIP	—
ICL7664CPA	— (1.3...16)	0.040	— (1.5...16)	—	0.03*	—	2.5	0.2	≤ 0.012	—	—	TO-99	—
ICL7664CTV	— (1.3...16)	0.040	— (1.5...16)	—	0.03*	—	2.5	0.3	≤ 0.012	—	—	TO-99	—
LM104H	— (0.015...40)	0.025	— (8...50)	2...50	≤ 0.1	≤ 5	$\leq 1^*$	0.5	≤ 2.5	≤ 1	15	TO-100	1
LM105H	4.5...40	0.012	8.5...50	3...30	≤ 0.06	≤ 0.05	$\leq 1^*$	0.8	≤ 2	≤ 1	—	TO-100	—
LM117H	1.2...37	0.5	—	3...40	$\leq 0.02^*$	$\leq 15^*$	1*	2	—	≤ 1	—	TO-39	—
LM117K	1.2...37	1.5	—	3...40	$\leq 0.02^*$	$\leq 15^*$	1*	20	—	≤ 1	—	TO-3	18
LM137H	— (1.2...37)	0.5	—	3	$\leq 0.02^*$	$\leq 25^*$	0.6**	2	—	≤ 1	0.003*	TO-39	24
LM137HVH	— (1.2...47)	0.5	—	3	$\leq 0.02^*$	$\leq 25^*$	0.6**	$\leq 15^*$	—	—	—	TO-39	24
LM137HVK	— (1.2...47)	1.5	—	3	$\leq 0.02^*$	$\leq 25^*$	0.6**	20	—	—	—	TO-3	25
LM137K	— (1.2...37)	1.5	—	3	$\leq 0.02^*$	≤ 0.5	0.6**	20	—	≤ 1	0.003*	TO-3	25
LM138K	1.2...32	5	—	—	$\leq 0.01^*$	$\leq 15^*$	1**	1.5**	—	≤ 1	0.001*	TO-3	18
LM150K	1.2...33	3	—	3...35	$\leq 0.01^*$	$\leq 15^*$	1**	36...70	—	≤ 1	0.001*	TO-3	26
LM196K	1.25...15	1.5...10	—	3...20	$\leq 0.01^*$	≤ 0.1	0.003	—	≤ 2.5	≤ 1	15	TO-100	1
LM204H	— (0.015...30)	0.025	— (8...50)	2...50	≤ 0.1	$\leq 5^*$	≤ 1	0.5	≤ 2	≤ 1	—	TO-99	2
LM205H	4.5...40	0.012	8.5...50	3...30	≤ 0.06	≤ 0.05	≤ 1	0.8	—	≤ 1	—	TO-39	27
LM217H	1.2...37	0.5	—	3...40	$\leq 0.02^*$	$\leq 15^*$	1*	2	—	≤ 1	—	TO-39	27
LM217HVH	1.2...57	0.5	—	—	$\leq 0.02^*$	$\leq 15^*$	1*	$\leq 15^*$	—	—	—	TO-3	18
LM217HVK	1.2...57	1.5	—	—	$\leq 0.02^*$	$\leq 15^*$	1*	$\leq 3^*$	—	—	—	TO-3	18
LM217K	1.2...37	1.5	—	3...40	$\leq 0.02^*$	$\leq 15^*$	1*	20	—	1	—	TO-3	24
LM237H	— (1.2...37)	0.5	—	—	$\leq 0.02^*$	$\leq 25^*$	0.6**	2	—	1	0.003*	TO-3	24
LM237HVH	— (1.2...47)	0.5	—	—	$\leq 0.02^*$	≤ 0.5	0.6**	2	—	1	0.003*	TO-39	24
LM237HVK	— (1.2...47)	1.5	—	—	$\leq 0.02^*$	≤ 0.5	0.6	20	—	≤ 1	0.003*	TO-3	25
LM237K	— (1.2...37)	1.5	—	—	$\leq 0.02^*$	≤ 0.5	0.6	20	—	≤ 1	0.003*	TO-3	25

1	2	3	4	5	6	7	8	9	10	11	12	13	14
LM238K	1,2...32	5	—	—	≤ 0,01*	≤ 0,3	1*	≤ 1**	—	≤ 1	0,003*	TO-3	25
LM250K	1,2...33	3	—	3...35	≤ 0,01*	≤ 15*	1*	≤ 1,5*	—	≤ 1	0,001	TO-3	18
LM304H	—(0,035...30)	0,025	—(8...40)	2...40	≤ 0,1	≤ 5	≤ 1*	0,5	2,5	≤ 1	15	TO-100	1
LM305AH	4,5...40	0,045	8,5...50	3...30	≤ 0,06	≤ 0,2	≤ 1*	0,8	2	≤ 1	—	TO-99	2
LM305H	4,5...30	0,012	8,5...40	3...30	≤ 0,06	≤ 0,05	≤ 1*	0,8	2	≤ 1	—	TO-99	2
LM317H	1,2...37	0,5	—	3...40	≤ 0,04*	≤ 25*	1*	2	—	≤ 1	—	TO-39	27
LM317HVH	1,2...57	1,5	—	3...60	≤ 0,04	≤ 25*	1*	15**	—	≤ 1	—	TO-39	27
LM317HVK	1,2...37	1,5	—	3...60	≤ 0,04	≤ 25*	1*	3**	—	≤ 1	—	TO-3	18
LM317K	1,2...37	1,5	—	3...40	≤ 0,04	≤ 25*	1*	20	—	≤ 1	—	TO-3	18
LM317LZ	1,2...37	0,1	—	3...40	≤ 0,04	≤ 0,5	0,65*	0,625	—	≤ 1	0,003*	TO-92	28
LM317MP	1,2...37	0,5	—	3...40	≤ 0,04	≤ 25*	1*	7,5	—	≤ 1	—	TO-202	29
LM317T	1,2...37	1,5	—	3...40	≤ 0,04	≤ 25*	—	15	—	≤ 1	—	TO-220	18
LM337H	—(1,2...37)	0,5	—	—	≤ 0,04	≤ 50*	0,6**	2	—	≤ 1	0,003*	TO-39	24
LM337HVH	—(1,2...47)	0,5	—	—	≤ 0,04	≤ 50*	0,6**	—	—	≤ 1	0,003*	TO-39	24
LM337HVK	—(1,2...47)	1,5	—	—	≤ 0,04	≤ 50*	0,6**	20	—	≤ 1	0,003*	TO-3	25
LM337K	—(1,2...37)	1,5	—	—	≤ 0,04	≤ 50*	0,6**	20	—	≤ 1	0,003*	TO-92	25
LM337LZ	—(1,2...37)	0,1	—	3...40	≤ 0,04	≤ 0,5	0,65**	0,62	—	≤ 1	0,003*	TO-202	28
LM337MP	—(1,2...37)	0,5	—	—	≤ 0,04	≤ 50*	0,6**	7,5	—	≤ 1	0,003*	TO-220	30
LM337T	—(1,2...37)	1,5	—	—	≤ 0,04	≤ 50*	0,6**	15	—	≤ 1	0,003*	TO-3	30
LM338K	1,2...32	5	—	—	≤ 0,03	≤ 0,5	1**	1**	—	≤ 1	0,003*	TO-3	18
LM350K	1,2...33	3	—	3...35	≤ 0,03	≤ 25*	1**	1,5**	—	≤ 1	0,001*	TO-220	18
LM350T	1,2...33	3	—	3...35	≤ 0,03	≤ 25*	1**	4**	—	≤ 1	0,001*	DIP	—
LM376N	5...37	0,025	9...40	3...30	≤ 0,03	≤ 0,2	≤ 1*	2	—	≤ 1	0,003*	TO-3	—
LM396K	1,25...15	10	—	2,75	≤ 0,02	≤ 0,1	0,003	70	—	—	0,001*	TO-100	26
LM723CH	2...37	0,15	9,5...40	3...38	≤ 0,1	≤ 0,2	≤ 0,015	0,8	4	0,1	20	DIP	17
LM723CJ	2...37	0,15	9,5...40	3...38	≤ 0,1	≤ 0,2	≤ 0,015	0,66	4	0,1	20	TO-100	16
LM723H	2...37	0,15	9,5...40	3...38	≤ 0,1	≤ 0,15	≤ 0,015	0,8	3,5	0,1	20	DIP	17
LM723J	2...37	0,15	9,5...40	3...38	≤ 0,1*	≤ 0,15	0,015	0,66	3,5	0,1	20	TO-220	16
LM2931T	3...24	0,15	—	0,6	≤ 1,5	≤ 1	—	4**	15	0,4	100	5 ВЫВОДОВ	31

Продолжение табл. 4.21

1	2	3	4	5	6	7	8	9	10	11	12	13	14
$\mu A78G$	5...30	1	7,5...40	2,5	1*	1	—	—	5	—	—	TO-3	5
$\mu A78MG$	5...30	0,5	7,5...40	3	1*	1	—	—	5	—	—	TO-39	6
$\mu A79$	—(2,23...30)	1	—	—	1*	1	—	—	2	—	—	TO-3	11
$\mu A79M$	—(2,23...30)	0,5	—	—	1*	1	—	—	2,5	—	—	TO-39	15
$\mu A104$	—(0,015...40)	0,025	—(8...50)	2...50	$\leq 0,1$	$\leq 5^*$	0,007*	0,5	$\leq 2,5$	≤ 1	15	TO-100	1
$\mu A105$	4,5...40	0,012	8,5...50	3...30	$\leq 0,06^*$	$\leq 0,05$	$\leq 1^*$	0,5	≤ 2	≤ 1	—	TO-99	2
$\mu A304$	—(0,035...30)	0,025	—(8...40)	2...40	0,1	$\leq 5^*$	0,007*	0,5	$\leq 2,5$	≤ 1	15	TO-100	1
$\mu A305$	4,5...30	0,12	8,5...40	3...30	$\leq 0,06^*$	$\leq 0,05$	$\leq 1^*$	0,5	≤ 2	≤ 1	—	TO-99	2
$\mu A376$	5...37	0,025	9...40	3...30	$\leq 0,03$	$\leq 0,2$	—	0,45	$\leq 2,5$	—	—	TO-99	—
$\mu A723$	2...37	0,15	9,5...40	3	$\leq 0,2$	$\leq 0,15$	$\leq 0,015$	1	$\leq 3,5$	0,1	20	IP	16
$\mu A723C$	2...37	0,15	9,5...40	3	$\leq 0,5$	$\leq 0,2$	$\leq 0,015$	1	≤ 4	0,1	20	IP	17

Расположение выводов (цолевка) интегральных микросхем стабилизаторов напряжения зарубежного производства

<p>1</p>	<p>2</p>	<p>3</p>	<p>4а</p>
<p>4б</p>	<p>5</p>	<p>6а</p>	<p>6б</p>
<p>7</p>	<p>8</p>	<p>9</p>	<p>10</p>
<p>11</p>	<p>12</p>	<p>13</p>	<p>14</p>
<p>15</p>	<p>16</p>	<p>17</p>	<p>18а</p>
<p>18б</p>	<p>19</p>	<p>20</p>	<p>21</p>

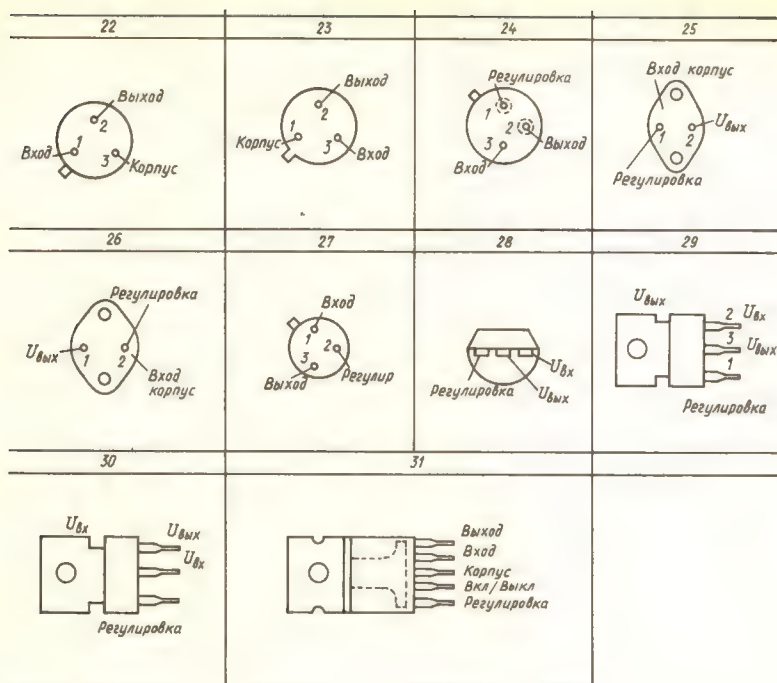


Таблица 4.22. Цветовая мнемоническая маркировка выпрямительных диодов

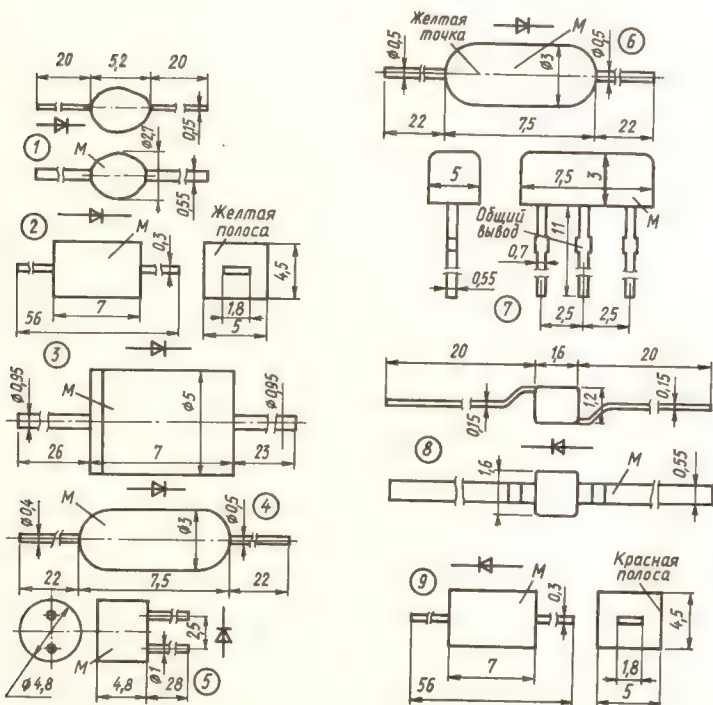
Диод	Материал корпуса и цвет	Маркировка	№ рис. корпуса
КД102А КД102В КД103А	Пластмассовый, черный	Зеленая точка Синяя » Синяя точка или две точки — синяя и белая или синяя и зеленая	1
КД103Б	Пластмассовый, зеленый	Желтая точка или две точки — желтая и зеленая или оранжевая и синяя	1
КД104А		Белая и желтая точки	
КД105Б КД105В КД105Г КД106А	Пластмассовый	— Зеленая точка Красная » Белая точка	2 3
ГД107А ГД107Б	Стекланный	Черная полоса Серая »	4
КД109А КД109Б КД109В	Пластмассовый	Белая точка Желтая » Зеленая »	5

Диод	Материал корпуса и цвет	Маркировка	№ рис. корпуса
Д2Б Д2В Д2Г Д2Д Д2Е Д2Ж Д2И	Стекланный	Белая точка или полоса Оранжевая » » Красная » » Голубая » » Зеленая » » Черная » » Серая » »	6
КДС111А КДС111Б КДС111В	Пластмассовый, коричне- вый или черный	Красная точка Зеленая » Желтая »	7
КД116А-1 КД116Б-1	Бескорпусный, в инди- видуальной таре	Тип указан на таре-спутнике Синяя точка	8
КД209А КД209Б КД209В	Пластмассовый	Зеленая точка Красная »	9
Д219А Д220 Д220А Д220Б	Металлостекланный	Черная точка на катодном выводе и красная — на корпусе Синяя точка на катодном выводе Черная точка на катодном выво- де и желтая — на корпусе Зеленая точка на катодном выводе	10
ГД511А ГД511Б ГД511В	Стекланный	Две голубые точки Голубая и желтая точки Голубая и оранжевая точки	11
КД409А	Пластмассовый	Желтая точка	12
КД519А КД519Б КД522А КД522Б	Стекланный	Белая точка Красная » Две черные кольцевые полосы Три черные кольцевые полосы	13
Д9Б Д9В Д9Г Д9Д Д9Е Д9Ж Д9И Д9К Д9Л	Стекланный	Красная точка Оранжевая » Желтая » Белая » Голубая » Зеленая и голубая точки Две желтые точки Две белые » Две зеленые »	14
КД901А КД901Б КД901В КД901Г КД904А КД904Б КД904В КД904Г КД904Д КД904Е	Бескорпусная	Одна точка Две точки Три » Четыре » Одна красная точка Две красные точки Три » » Четыре » » Одна красная и две синие точки Две красные и две синие точки	15

Диод	Материал корпуса и цвет	Маркировка	№ рис. корпуса
Д10 Д10А Д10Б	Металлостеклянный	Зеленая точка Желтая » Красная »	16
КД413А КД413Б	Стеклоанный	— Красная точка	17
КД521А КД521В КД521Г	Стеклоанный	Три синие кольцевые полосы Три желтые » Три белые »	13
КД910А-1 КД910Б-1 КД910В-1 КД911А-1 КД911Б-1	Бескорпусная	Красная точка Две красные точки Три » » Черная точка Белая »	18

Примечания: 1. У тех диодов, на корпусе которых отсутствует цветная метка, полоса или другой знак, обозначающие анодный вывод, место цветовой маркировки смещено в сторону вывода анода (оно обозначено на чертежах буквой М).

2. Некоторые типы диодов были выпущены в нескольких вариантах корпуса.



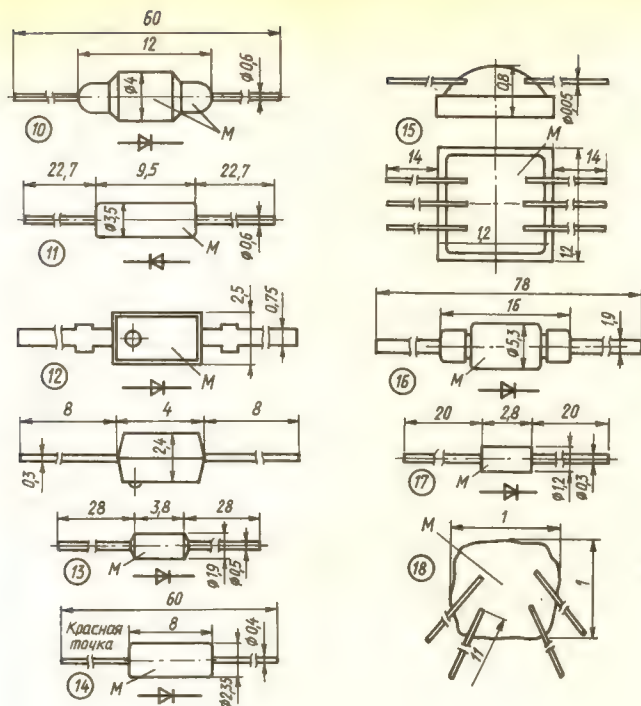


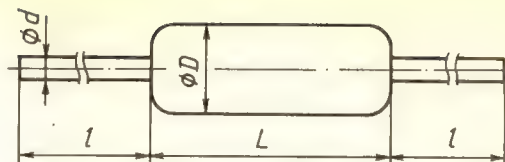
Таблица 4.23. Стабилизаторы

Стабилизатор	Цвет корпуса ¹	Маркировка (кольцевая полоса)	№ варианта корпуса (по рис.)
KC133A KC139A KC147A KC156A KC168A	Не окрашен; голубая кольцевая полоса со стороны вывода катода ²	Со стороны вывода анода: Белая Зеленая Серая Оранжевая Красная	1
KC1337 KC139Г KC147Г KC156Г	Не окрашен	Оранжевая ³ Серая Зеленая Красная	2
KC175E KC182E KC191E KC210E KC211E KC212E KC213E	Не окрашен; зеленая метка на торце у вывода катода	Со стороны вывода катода: Белая Желтая Голубая Зеленая Синяя Оранжевая Черная	3

Стабилитрон	Цвет корпуса ¹	Маркировка (кольцевая полоса)	№ варианта корпуса (по рис.)
КС175Ж	Серый	Со стороны вывода анода:	4
КС182Ж	»	Белая	
КС191Ж	»	Желтая	
КС210Ж	»	Красная	
КС211Ж	»	Зеленая	
КС212Ж	»	Синяя	
КС213Ж	»	Черная	
КС215Ж	Черный	Голубая	
КС216Ж	»	Белая	
КС218Ж	»	Желтая	
КС220Ж	»	Красная	
КС222Ж	»	Зеленая	
КС224Ж	»	Синяя	
		Голубая	
КС405А	Серый	Красная полоса со стороны вывода катода; черная полоса со стороны вывода анода	3
КС406А	Черный	Со стороны вывода катода	3
КС406Б		Белая	
КС508Б		Оранжевая	
КС508В		Желтая	
КС508Г		Белая	
КС508Д		Зеленая	
КС407А	Черный; красная кольцевая полоса со стороны вывода катода	Со стороны вывода анода:	3
КС407Б		Голубая	
КС407В		Оранжевая	
КС407Г		Желтая	
КС407Д		Зеленая	
КС509А	Белый или серый; голубая кольцевая полоса со стороны вывода катода	Со стороны вывода анода:	5
КС509Б		Красная	
КС509В		Желтая	
		Зеленая	

Примечания: 1. Корпус приборов — стеклянный. 2. В режиме стабилизации полярность включения стабилитрона должна быть обратной (то есть плюс — на катоде, минус — на аноде). 3. Приборы этой серии маркируют не кольцевой полосой, а цветной меткой на корпусе со стороны вывода катода. Допускается цифро-буквенная маркировка.

Рис. 4.43. Маркировка стабилизаторов



№ варианта корпуса	Размеры, мм			
	Ø d	Ø D	L	l
1	0,6	3	7,5	26
2	0,5	3	7,5	28
3	0,56	2,2	5,4	28
4	0,5	2,7	4,7	28
5	0,86	2,7	5,2	28

4.5. РЕМОНТ И РЕГУЛИРОВКА УСИЛИТЕЛЕЙ ЗВУКОВОЙ ЧАСТОТЫ (УЗЧ)

Усилитель звуковой частоты (УЗЧ) обычно состоит из следующих каскадов (рис. 4.44):

- входное устройство включает в себя входные гнезда для подключения сигнала, делители напряжения входного сигнала, цепи коммутации;
- предварительный усилитель повышает напряжение сигнала до величины, необходимой для нормальной работы усилителя мощности ЗЧ (блок тембров имеет коэффициент передачи 1 или ослабляет сигнал);



Рис. 4.44. Структурная схема УЗЧ

— блок тембров регулирует АЧХ усилителя; оконечный усилитель позволяет получить заданную мощность сигнала звуковой частоты в нагрузку.

Каскады УЗЧ выполняются на транзисторах и микросхемах. Усилители аппаратов 70-х годов как отечественные, так и зарубежные имели классические транзисторные каскады предварительных усилителей и тембров, простые входные устройства с «механической» коммутацией входных сигналов, а оконечные усилители строились по трансформаторной двухтактной схеме (рис. 4.45).

В мощных УЗЧ применялись схемы температурной стабилизации режима выходных транзисторов, цепи отрицательной обратной связи и др.

Такие усилители сравнительно просты в ремонте и регулировке, и даже отсутствие принципиальных схем зарубежных аппаратов не вызывает особых трудностей.

Усилители 80-х годов более качественные, и схемы сложнее. Так, во входных устройствах часто применяется электронная коммутация входов усилителя, предварительные усилители строятся с применением как биполярных, так и полевых транзисторов, а также на микросхемах. Каскады имеют чаще непосредственную связь между собой и др. Регуляторы тембра чаще активные на интегральных схемах, а оконечные усилители строятся по бестрансформаторной схеме (рис. 4.46) с глубокой общей или местной отрицательной обратной связью. Оконечные каскады

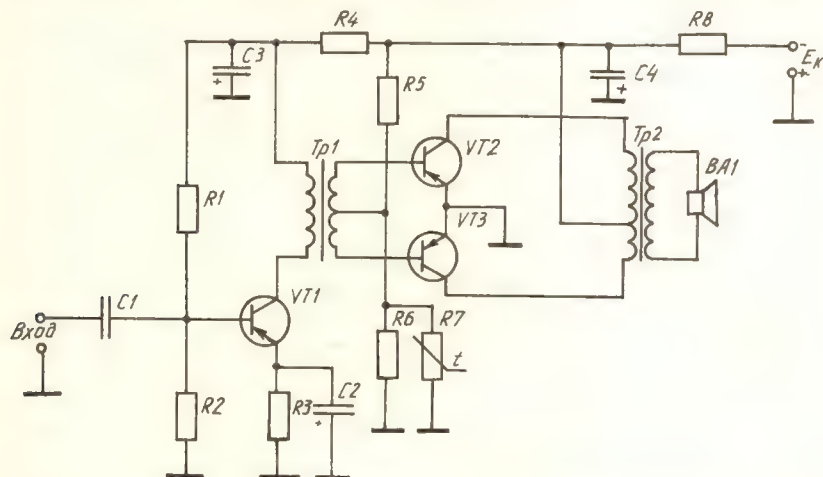


Рис. 4.45. Принципиальная схема двухтактного трансформаторного выходного каскада

усилителей мощности звуковой частоты (УМЗЧ) работают в режиме *B*, *AB*. Выходные каскады некоторых мощных высококачественных усилителей зарубежных фирм работают в режиме *A*, что позволяет получить минимальную величину коэффициента нелинейных и интермодуляционных искажений (сотые и тысячные доли процента).

Для проверки работоспособности УЗЧ необходимы следующие электро- и радиоизмерительные приборы: генератор звуковой частоты, имеющий собственный коэффициент гармоник хотя бы в 10 раз ниже, чем у проверяемого усилителя (с возможностью регулировки величины выходного напряжения и выходного сопротивления); электронный вольтметр переменного тока (с пределом измерения от нескольких милливольт до десятков вольт); измеритель нелинейных искажений; электронный осциллограф.

Подключение приборов для проверки УЗЧ показано на рис. 4.47.

Для исключения влияния наводок входные цепи усилителя (провода от генератора ЗЧ и вольтметра) необходимо экранировать. Если входное сопротивление усилителя (каскада) не равно выходному сопротивлению генератора, то сигнал с генератора подают через согласующее устройство, состоящее из резисторов *R1*, *R2*.

Величина сопротивления резистора *R1* равна выходному сопротивлению генератора. При этом общее сопротивление, подключенное ко входу усилителя (каскада), станет равным:

$$R_{\text{вых.общ}} = R_{\text{вых.ген}} R1 / (R_{\text{вых.ген}} + R1).$$

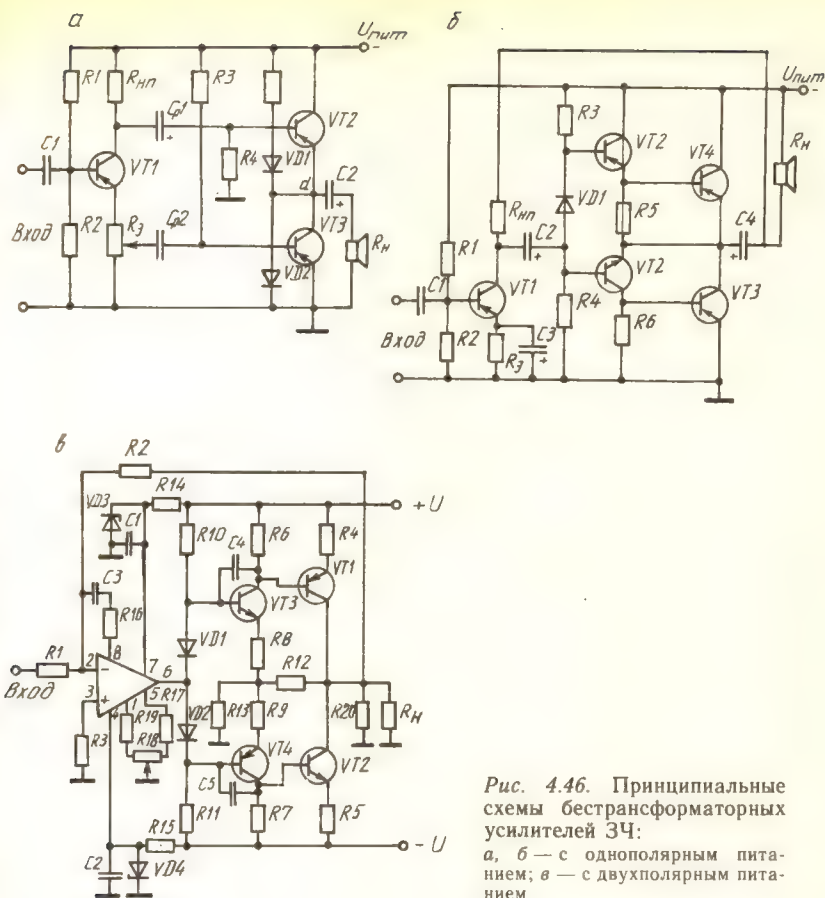


Рис. 4.46. Принципиальные схемы бестрансформаторных усилителей 3С4:
а, б — с однополярным питанием; в — с двухполярным питанием

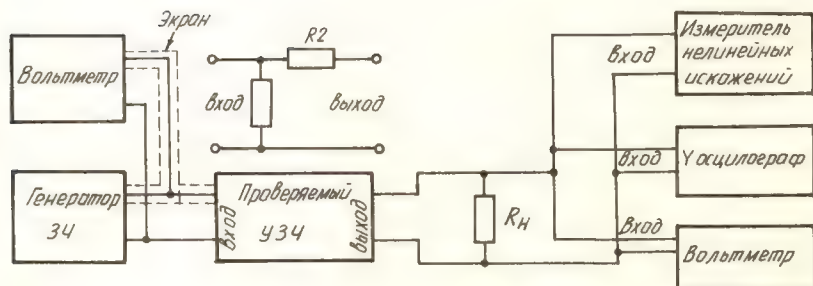


Рис. 4.47. Структурная схема подключения приборов для проверки УЗЧ

Если при проверке каскадов $R_{\text{вых. общ}}$ окажется меньше выходного сопротивления отключенного каскада, блока, то для согласования этих сопротивлений надо включить последовательно добавочный резистор $R2 = R_{\text{вых. бл}} - R_{\text{вых. общ.}}$. Для измерения переменного напряжения к выходу усилителя подключают электронный вольтметр и осциллограф. Если громкоговоритель при настройке отключен, то вместо него подключают нагрузочный резистор R_n , равный сопротивлению громкоговорителя. При необходимости определения выходного сопротивления каскада (выходного сопротивления следующего) измеряют напряжение $U_{\text{вых}}$ на его выходе, затем к выходу каскада подключают переменный резистор R , отключив вход следующего каскада. Величину сопротивления резистора R подбирают такой, чтобы напряжение на нем было равно $U_{\text{вых}}/2$, тогда выходное сопротивление каскада равно R . При таких измерениях на вход испытуемого каскада подают синусоидальный сигнал рабочей частоты и напряжением, обеспечивающим неискаженный сигнал на выходе.

Проверку УЗЧ и отдельных каскадов осуществляют методом промежуточных измерений, подавая на вход напряжение с генератора звуковой частоты 1 кГц, а величина напряжения равна чувствительности усилителя (каскада), и измеряют напряжение на выходе. При исправном усилителе (каскаде) сигнал проходит на выход, а на экране осциллографа должна быть неискаженная синусоида. Если сигнал на выход усилителя не проходит, то после тщательного внешнего осмотра и проверки наличия напряжения питания производят покаскадную проверку на прохождение сигнала до обнаружения каскада, через который сигнал не проходит. В неисправном каскаде измеряют режим питания усилительного элемента, проверяют другие детали и соединения между ними до обнаружения неисправной и, устранив причины выхода ее со строя, заменяют.

Отклонение формы сигнала от синусоидальной свидетельствует о неисправностях в схеме усилителя. На экране осциллографа хорошо заметны большие искажения сигнала (более 10 %). Для более точной оценки формы сигнала осциллограф, изменив его чувствительность, сначала подключают к выходу генератора ЗЧ, а затем сразу к выходу усилителя. Легче заметить отличия формы сигнала при использовании двухлучевого осциллографа, когда на экране видны сразу два сигнала: от генератора ЗЧ и выходной с усилителя, а их можно совместить.

Формы сигнала на выходе усилителя при различных неисправностях приведены в табл. 4.24.

Таблица 4.24. Осциллограммы формы сигнала на выходе УЗЧ при различных неисправностях в выходных каскадах

Форма осциллограммы	Вероятная причина неисправности	Способ устранения неисправности
1	2	3



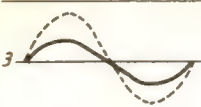


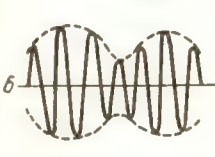

Недостаточное напряжение смещения на базах выходных транзисторов

Увеличить напряжение смещения изменением сопротивления соответствующих резисторов



Завышенное напряжение смещения на базах выходных транзисторов

Уменьшить напряжение смещения соответствующими резисторами

1	2	3
	<p>Большое напряжение смещения</p>	<p>Уменьшить напряжение смещения до получения неискаженного сигнала</p>
	<p>Завышенный уровень сигнала на входе усилителя, заниженное напряжение питания; неправильно выбран режим работы выходных транзисторов; неисправны транзисторы</p>	<p>Уменьшить напряжение сигнала на входе усилителя до появления неискаженного сигнала. Если выходная мощность при этом меньше номинальной, то проверить напряжение питания, отрегулировать режимы транзисторов, заменить их</p>
	<p>Выходные (предвыходные) транзисторы имеют разные параметры (коэффициент передачи тока)</p>	<p>Подобрать транзисторы с одинаковыми коэффициентами передачи тока</p>
	<p>Самовозбуждение усилителя</p>	<p>Проверить экранировку проводов входных цепей, цепи отрицательной обратной связи, отрегулировать режим питания по постоянному току, заменить транзисторы</p>
	<p>Завышенные пульсации напряжения питания усилителя</p>	<p>Увеличить емкость конденсаторов фильтра (заменить их)</p>

Проверку и испытание усилителя при помощи осциллографа можно производить, подавая на вход УЗЧ прямоугольные импульсы. Прямоугольный импульс — это относительно сложный сигнал, состоящий из суммы простых синусоидальных сигналов, называемых гармониками. Частота первой гармоники совпадает с частотой следования импульсов, частота второй гармоники в 2 раза выше, третьей — в 3 раза выше и т. д.

В импульсном сигнале хорошо выражены до 10 гармоник, т. е. при подаче на вход усилителя 3Ч прямоугольных импульсов частотой 20 Гц это равносильно воздействию на вход усилителя синусоидальных сигналов с частотами от 20 Гц до 200...300 Гц. А при подаче на вход усилителя прямоугольных импульсов частотой 1 кГц диапазон испытательных сигналов расширяется до 10...15 кГц и т. д.

Подключив к выходу усилителя осциллограф, на экране получим изображение прямоугольного импульса, которое будет неискаженным только в том случае, если все составляющие сигнала (гармоники) пройдут через усилитель неискаженными. Если же форма импульса на выходе искажена, то по характеру искажения можно определить неисправность усилителя (рис. 4.48). Искажения плоской вершины прямоугольного импульса (искривления и наклон) обусловлены низкочастотными искажениями сигнала в цепях усилителя, а искажение фронта и среза импульса (растягивание, закругление) — высокочастотными. Испытание УЗЧ при

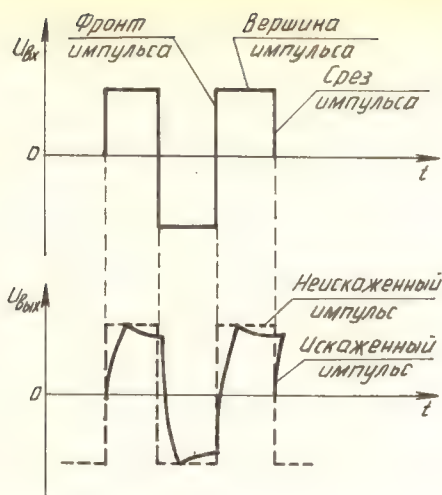





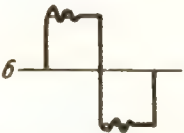


Рис. 4.48. Форма прямоугольных импульсов на входе и выходе УЗЧ

помощи прямоугольных импульсов позволяет найти различные неисправности: неравномерность усиления сигналов различных частот, паразитную генерацию, фон переменного тока и другие (табл. 4.25). На практике в усилителе могут быть искажения нескольких видов, присутствующих одновременно, и осциллограмма импульса на выходе будет сложной. Надо также помнить, что усилитель вертикального отклонения осциллографа не идеален и имеет искажения. Поэтому перед началом испытания УЗЧ целесообразно на вход осциллографа подать испытательные прямоугольные импульсы и зарисовать их форму, которая и будет эталоном для сравнения с импульсом на выходе проверяемого УЗЧ.

Таблица 4.25. Графическое изображение осциллограмм напряжений при различных неисправностях УЗЧ

Осциллограмма выходного напряжения УЗЧ	Возможные неисправности УЗЧ
	Ослабление усиления напряжения верхних звуковых частот входного сигнала УЗЧ
	Ослабление усиления напряжения низких звуковых частот входного сигнала УЗЧ
	Снижение усиления напряжения низших и средних звуковых частот

Осциллограмма выходного напряжения УЗЧ	Возможные неисправности УЗЧ
	Подъем усиления напряжения низших частот звукового сигнала
	Подъем усиления на средних частотах
	Наличие в усилителе паразитных колебаний, частоты которых выше верхней рабочей частоты

----- неискаженный сигнал
 — сигнал с искажением

Неисправности УЗЧ

Если на выходе усилителя отсутствует сигнал, надо убедиться в надежности контактов во входных гнездах усилителя и целостности соединительных шнуров, правильности установки коммутатора входов. Для этого отсоединяют шнур от входа УЗЧ, регулятор громкости устанавливают в среднее положение (чтобы не перегружались каскады УЗЧ) и на вход подают сигнал с генератора звуковой частоты напряжением, равным чувствительности входа. При отсутствии генератора можно просто прикоснуться к входным гнездам пинцетом, отверткой и т. п. Если в громкоговорителе будет слышен сигнал генератора или гудение от прикосновения отверткой и вольтметр или осциллограф, подключенный параллельно нагрузке, регистрирует наличие сигнала, то усилитель работает, а неисправность в соединительных шнурах или источнике сигнала (магнитофоне, проигрывателе).

Для проверки исправности шнуров нужно их вставить во входные гнезда УЗЧ и прикоснуться к их контактам; если они исправны — в громкоговорителе слышен звук, в противном случае их нужно проверить омметром (может быть, они присоединены не к тем контактам). Если же при проверке отсутствует сигнал на выходе усилителя, то после проверки целостности предохранителя и шнура питания приступают к его вскрытию и ремонту. При этом проверяют надежность контактов разъемов, отсутствие обгорелых, обугленных резисторов, дорожек плат, проводников (особенно в оконечном усилителе мощности), трещин или мельчайших разрушений на корпусах микросхем и транзисторов, электролитических конденсаторов. Затем, соблюдая правила техники безопасности, включают питание УЗЧ и сразу проверяют наличие напряжения (и его величину) в схеме. Если при включении напряжение уменьшается, то это свидетельствует о наличии цепи с большой утечкой тока или коротком замыкании

в схеме усилителя или самого источника питания. При этом питание сразу отключают и прикасаются пальцем к корпусам выходных и предвыходных транзисторов, к регулируемому транзистору стабилизатора, обмотке трансформатора питания. Если они горячие, то это признак пробоя этих элементов. В усилителях зарубежного производства часто на плате усилителя мощности находится ряд предохранителей (и нет гнезд предохранителей на корпусе). В этом случае при осмотре необходимо проверить их целостность. Сгоревшие заменить после анализа причин большего тока. О наличии питания косвенно можно судить по характерному шуму в громкоговорителях после включения усилителя.

При нормальном питании каскадов усилителя можно проверить ток покоя (без сигнала) выходного каскада и усилителя в целом. Если же он значительно больше нормы, то это свидетельствует о большой утечке тока в схеме из-за возможных неисправностей электролитических конденсаторов фильтров; стабилитронов, питающих отдельные каскады; пробоя транзисторов; сильного отклонения режима (особенно выходных каскадов).

Если же режим питания каскадов усилителя нормальный, а сигнала на выходе нет, то можно приступать к проверке отдельных блоков усилителя, а затем и каскадов методом промежуточных измерений (на прохождение сигнала).

Обычно, используя этот метод, начинают проверку с последнего каскада, т. е. от выхода к входу схемы. Но если полный усилитель содержит много каскадов, то можно начать проверку с середины схемы. К примеру, подают сигнал ЗЧ на вход усилителя мощности, и если он проходит на выход, то эта часть схемы исправна. Величина напряжения сигнала равна примерно чувствительности входа (в промышленных УЗЧ $U_{вх} = 0,7$ В, а в малогабаритных радиоприемниках и магнитофонах — десятки мВ). Итак, усилитель мощности исправен, дальше аналогично проверяют блок регуляторов громкости и тембра, предварительный усилитель и др. При этом величина напряжения подаваемого на вход уменьшается примерно в 10 раз на каждый усилительный каскад. Но надо помнить, что пассивные регуляторы тембра ослабляют сигнал примерно в 10 раз.

Если при подаче сигнала на вход усилителя мощности на выходе сигнал отсутствует, то можно начать покаскадную проверку, начиная с выходного. Проверку УЗЧ можно проводить комбинацией методов на прохождение сигнала и измерения параметров. При этом на вход усилителя подают сигнал, а осциллографом контролируют его наличие на выходе усилителя, на выходах отдельных каскадов, до обнаружения каскада на выходе, у которого нет сигнала.

Причинами заниженной выходной мощности УЗЧ могут быть: заниженный уровень сигнала на входе усилителя; заниженное напряжение питания усилителя или отдельных его каскадов (особенно выходных); увеличение сопротивления нагрузки; недостаточная мощность источника питания (при нормальном напряжении источник не дает достаточного тока при увеличении громкости); неисправности в цепях отрицательных обратных связей каскадов и всего усилителя мощности; заниженная чувствительность усилителя мощности (или отдельных его каскадов); нарушение режима работы каскадов (особенно выходных); неисправности разделительных конденсаторов (если они имеются); отсутствие питания одного плеча двухтактного усилителя или выход из строя одного транзистора (при слабой мощности и очень больших искажениях).

Отыскание неисправности можно начать с проверки сопротивления акустической системы, уровня входного сигнала (уровня выходного сигнала источника), затем величины напряжения питания схемы, режима

питания выходных каскадов. При исправных вышеуказанных цепях следует проверить чувствительность усилителя мощности и предварительного усилителя. При заниженной чувствительности (требуется значительно большее напряжение на входе каскада для получения номинальной выходной мощности) более тщательно проверяют режим питания каскада и регулируют его; проверяют цепи отрицательной обратной связи; корректирующие цепи, включенные параллельно прохождению сигнала; элементы, определяющие усиление микросхем (и элементы коррекции), а затем возможна и замена транзистора, микросхемы на экземпляр с более высоким коэффициентом усиления.

Причинами сильных искажений сигнала на выходе усилителя могут быть: завышенный уровень сигнала на входе усилителя или отдельных его блоков и каскадов; завышенная чувствительность усилителя или отдельных его блоков и каскадов; ненормальный режим работы усилительных элементов (особенно выходного каскада); неисправности цепей обратных связей; недостаточная мощность источника питания (искажения при увеличении громкости); неисправности разделительных конденсаторов (если имеются в схеме) и конденсаторов эмиттерных цепей; недостаточная мощность или межвитковые замыкания согласующих выходных трансформаторов усилителей с трансформаторными выходными каскадами; недостаточная мощность выходных транзисторов, их перегрев (при увеличении мощности); чрезмерно высокий коэффициент усиления примененных экземпляров транзисторов, микросхем.

Эксперименты показали, что нелинейные искажения сигнала в значительной степени зависят от монтажа блоков, каскадов усилителя, мест присоединения заземляющих проводников, экранов, общих проводов питания, мест прокладки и закрепления жгутов и др. Так, к примеру, при подключении общего провода громкоговорителя к плате, коэффициент гармоник усилителя в 3 раза ниже, чем при присоединении его к общему проводу питания. Свою долю в это вносят и оксидные конденсаторы из-за нелинейности их сопротивления утечки. Кроме того, особенности монтажа влияют и на возникновение различных наводок, помех, самовозбуждения и т. п. При ремонте промышленного усилителя, когда вскрыт его монтаж, надо внимательно его осмотреть и запомнить, как он выполнен: где проложены жгуты, где припаяны или привинчены соединения с корпусом и т. п., и после ремонта восстановить весь монтаж и компоновку в первоначальном виде.

Причинами завышенного фона с частотой 50 Гц, 100 Гц может быть недостаточная фильтрация выпрямленного напряжения. Чтобы убедиться в этом, параллельно конденсаторам фильтра питания подключают электролитические конденсаторы большой емкости (тысячи микрофард) с рабочим напряжением выше действующего в схеме. Если в момент присоединения будет замечено уменьшение фона, то причина установлена.

Подготовка УЗЧ к регулировке

После окончания ремонта, если производилась пайка при замене деталей и др., монтаж тщательно осматривают, удаляют остатки олова, подправляют пайки, удаляют остатки флюса и, желательнее, покрывают изоляционным лаком. Монтажные провода и жгуты укладывают на прежнее место, проверяют соединения экранов с шасси (общим проводом). При замене транзисторов выходного каскада подбирают выходные и предвыходные транзисторы с примерно одинаковым коэффициентом передачи тока $h_{21c}(\beta)$.

Затем производят установку режимов по постоянному току. Если при включении усилителя режимы «плавают», т. е. непрерывно изменяются, то возможно самовозбуждение усилителя и режим установить не удастся. Иногда его не удается установить из-за больших токов утечки через электролитические конденсаторы межкаскадной связи. Регулировку режима лучше производить без выходных транзисторов (в случае неисправности может привести к их сгоранию), а затем, если все нормально, подключить выходные мощные транзисторы; и если не удастся установить половину напряжения питания (если однополярное питание) или ток покоя, то транзисторы следует подобрать одинаковые.

Проверка основных параметров УЗЧ

Чувствительность УЗЧ. Под чувствительностью УЗЧ понимается минимальный уровень входного сигнала, обеспечивающий номинальную входную мощность при максимальном усилении.

Для ее измерения ко входу усилителя подключают ГЗЧ и милливольтметр (рис. 4.47), к выходу усилителя — нагрузку, параллельно которой подключается вольтметр. Регулятор громкости усилителя устанавливают в положение максимального усиления, регуляторы тембра в положение 0 дБ. На ГЗЧ устанавливают частоту 1000 Гц и выходное напряжение несколько ниже ожидаемой чувствительности (величину контролируют вольтметром). Затем постепенно увеличивают напряжение на выходе генератора до момента, когда напряжение на нагрузке достигнет величины, соответствующей номинальной мощности ($U_{\text{вых}} = \sqrt{P_{\text{ном}} R_n}$). Значение напряжения на выходе генератора и будет равно чувствительности для данного входа усилителя. Аналогично проверяется чувствительность других входов усилителя. При заниженной чувствительности усилителя необходимо проверить величину напряжения питания схемы усилителя, а затем чувствительность отдельных его блоков и каскадов, начиная с выходного, до выявления каскада, со входа которого чувствительность занижена. В этом каскаде тщательно проверяют режим питания усилительного элемента, цепи отрицательной обратной связи, заменяют конденсаторы, включенные параллельно сопротивлению нагрузки эмиттера, элементы, определяющие коэффициент усиления каскада (особенно если каскад собран на микросхеме), и коэффициент усиления активного элемента (транзистора или микросхемы). При отсутствии возможности измерять усилительные свойства транзистора или микросхемы последние заменяют, подбирая элемент с необходимым усилением.

В многокаскадных усилителях поиск неисправности целесообразно начать с проверки чувствительности усилителя мощности, а при заниженной величине — с отдельных его каскадов и т. д.

При завышенной чувствительности усилителя может возникнуть самовозбуждение или подвозбуждение, из-за паразитной обратной связи между проводами измерительных приборов. При этом необходимо очень тщательно экранировать входные и выходные провода усилителя.

Проверка выходной мощности усилителя производится аналогично проверке чувствительности. На вход усилителя подается сигнал напряжением, равным чувствительности данного входа, и измеряется напряжение на нагрузке. Величина номинальной выходной мощности определяется из выражения $R_{\text{вых}} = U_{\text{вых}}^2 / R_n$. При выходной мощности, оказавшейся ниже номинальной, проверяют чувствительность отдельных блоков аналогично предыдущему измерению.

Проверка АЧХ усилителя ЗЧ. АЧХ — это зависимость коэффициента усиления от частоты. Для этого ко входу УЗЧ присоединяют генератор ЗЧ, а параллельно нагрузке — вольтметр (см. рис. 4.47). Регулятор громкости усилителя устанавливают в положение максимального усиления, а регуляторы тембра в положение ОдБ. Напряжение сигнала на входе усилителя устанавливают равным чувствительности данного входа и все время его величину поддерживают неизменной. Изменяя частоту генератора от нижней до верхней, измеряют напряжение на нагрузке и определяют коэффициент усиления $K_f = U_{\text{вых}}/U_{\text{вх}}$.

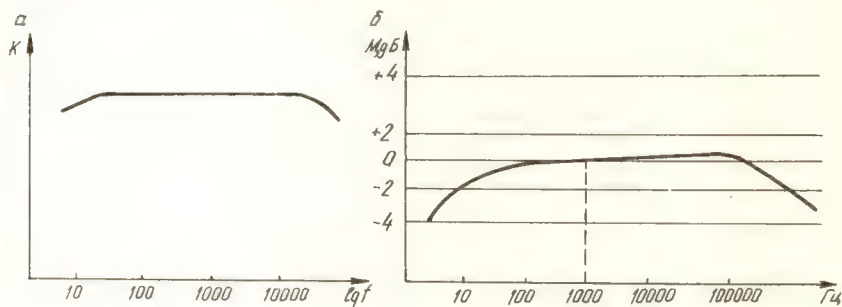


Рис. 4.49. Амплитудно-частотная характеристика УЗЧ:

а — зависимость K от частоты; б — зависимость частотных искажений от частоты

Данные измерений и расчетов записывают и по ним строят график АЧХ (рис. 4.49 а) обычно в логарифмическом масштабе. На графике наглядно видна неравномерность характеристики, которая должна находиться в определенных пределах в зависимости от класса усилителя. В технических характеристиках неравномерность частотной характеристики чаще задается в децибелах. Для ее построения по вертикальной оси характеристики откладывают значение коэффициента частотных искажений в децибелах $M = 201 \lg(K_{jb}K_{jn})/K_0$, где K_0 и K_f — коэффициенты усиления по напряжению соответственно на частоте 1000 Гц и на испытываемой частоте f (рис. 4.11, б). Коэффициент частотных искажений M показывает, на сколько децибел усиление на данной частоте отличается от усиления на частоте 1000 Гц.

Аналогично проверяется идентичность стереоканалов, действие тембра и тонкомпенсации в децибелах, фиксируя каждый раз АЧХ усилителя. Но эти проверки можно производить и на отдельных частотах. Действие тонкомпенсации вычисляется на заданных верхней и нижней частотах и определяется как отношение коэффициента усиления на этих частотах к коэффициенту усиления на частоте 1000 Гц: $M = 201 \lg(K_{jb}K_{fn})/K_0$. Аналогично определяется действие регуляторов тембра на нижней f_n , средней f_{cp} и верхней f_v частотах в зависимости от количества регуляторов. Рассогласование усиления стереоканалов в усилителях в зависимости от частоты также можно измерять на указанных частотах или на частотах 250, 6300 и 10 000 Гц.

Проверка нелинейных искажений УЗЧ

Нелинейные искажения — это появление в выходном сигнале УЗЧ спектральных составляющих (гармоник), отсутствующих во входном сигнале. Причиной этих искажений является нелинейность вольт-ампер-

ных характеристик усилительных элементов (транзисторов, микросхем). От величины нелинейных искажений значительно зависит качество работы УЗЧ («естественность» звучания). К параметрам, характеризующим величину нелинейных искажений, относят коэффициент гармоник (K_g) и коэффициент интермодуляционных искажений ($K_{им}$). Причем величина $K_{им}$ в большей степени определяет качество работы УЗЧ. В высококлассных усилителях величины K_g и $K_{им}$ достигают тысячных долей процента.

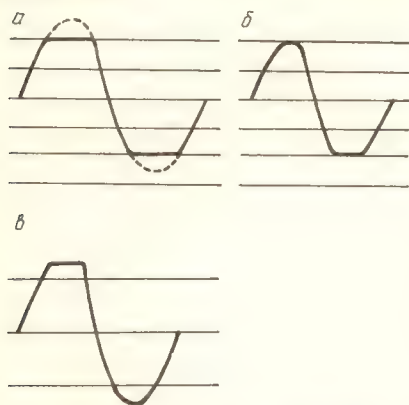


Рис. 4.50. Осциллограммы сигналов на выходе УЗЧ:
а — схема симметрична; б, в — схема несимметрична

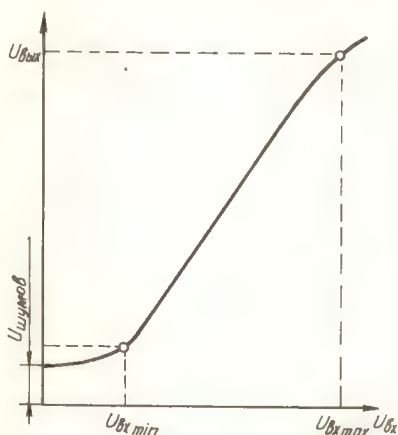


Рис. 4.51. Амплитудная характеристика УЗЧ

Для измерения K_g приборы подключают согласно структурной схеме (см. рис. 4.44). Значение K_g проверяют на разных частотах (указанных в технических характеристиках УЗЧ) при номинальной мощности сигнала на выходе.

На вход УЗЧ подают сигнал с 3ГЧ напряжением, равным чувствительности данного входа. Параллельно нагрузке подключают измеритель нелинейных искажений. Генератор ЗЧ должен иметь собственный K_g хотя бы в 10 раз ниже ожидаемого значения K_g усилителя.

Для измерения коэффициента интермодуляционных искажений на вход УЗЧ подают два напряжения нижней f_n и верхней f_v частоты с соотношением частот 4:1 и суммарным напряжением, равным номинальному, к выходу подключают анализатор спектра. Частоты могут быть любые, но рекомендуется выбирать выше на $1/3$ октавы нижней границы диапазона воспроизводимых частот, а f_2 изменяют от $6f_1$ до верхней границы.

Величину коэффициента интермодуляционных искажений вычисляют из выражения:

$$K_{им} = \frac{\sqrt{(U_{f_2+f_1} + U_{f_2} - U_{f_1})^2 + (U_{f_2+2f_1} + U_{f_2-2f_1})^2 + (U_{f_2+f_2-3f_1} + U_{f_2-3f_1})^2}}{U_{f_1}},$$

где U_{f_i} — напряжение на соответствующей частоте, измеренное анализатором спектра.

На рис. 4.52 показана простая измерительная схема для оценки интермодуляционных искажений в любительских условиях. Для простоты сигналом одной из частот считают напряжение сети 50 Гц, а другой —

5000 Гц (вместо предлагаемых стандартом частот 250 и 8000 Гц). Напряжения этих двух частот с соотношением амплитуд 4:1 подаются на вход проверяемого усилителя.

Наличие нелинейных элементов и цепей в усилителе приводит к возникновению на этих двух частотах биений: сигнал частотой 50 Гц промодулирует сигнал 5000 Гц. Глубина этой модуляции зависит от уровня нелинейных искажений усилителя. Сигнал биений подается на вход осциллографа через фильтр (рис. 4.53), исключаящий низкочастотную

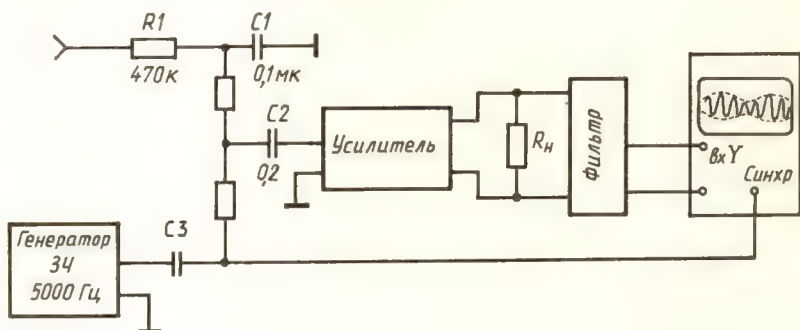


Рис. 4.52. Схема примерной проверки интермодуляционных искажений

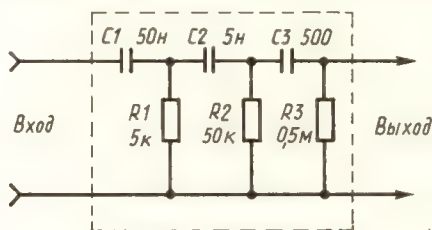


Рис. 4.53. Схема фильтра

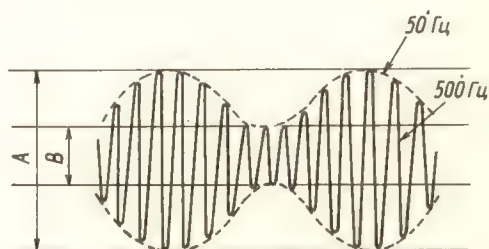


Рис. 4.54. Примерный вид осциллограммы при интермодуляционных искажениях

составляющую сигнала. Осциллограф работает с внешней синхронизацией. По наблюдаемой на экране осциллограмме (рис. 4.54) можно ориентировочно рассчитать коэффициент интермодуляционных искажений:

$$K_{им} = \frac{A - B}{A + B} \cdot 100 \%,$$

где А и В — размеры изображения максимума (А) и минимума (В) в см, мм или вольтах.

При завышенных значениях $K_{г}$ и $K_{им}$ тщательно проверяют и устанавливают указанные на схеме режимы транзисторов по постоянному и

переменному току (начиная с выходных); подбирают и устанавливают выходные, предвыходные транзисторы с одинаковым коэффициентом передачи тока; проверяют и подбирают элементы цепей отрицательных обратных связей; проверяют амплитудную характеристику усилителя, а по ней возможные уровни входных сигналов. Для более точного определения каскадов, вносящих завышенные нелинейные искажения, можно проверить коэффициент гармоник отдельно предварительного усилителя и усилителя мощности. После ремонта и регулировки УЗЧ производят проверку симметрии схемы УЗЧ. Для этого на его вход подают сигнал частотой 1000 Гц, напряжением, равным чувствительности устройства, параллельно нагрузке подключают осциллограф, регулятор громкости устанавливается в положение максимального усиления. Делителем входного сигнала осциллографа добиваются размера осциллограммы, примерно равного половине высоты экрана. Затем увеличивают напряжение на входе усилителя до появления ограничения сигнала на его выходе (наблюдая форму сигнала на экране осциллографа). Если ограничение наступает у обоих полупериодов одновременно (рис. 4.50а), значит, схема симметрична, а если не одновременно (рис. 4.50б,в), то она не симметрична. В последнем случае проверить равенство напряжений питания обоих плеч усилителя мощности, режимы усилительных элементов, коэффициенты передачи тока выходных, предвыходных транзисторов обоих плеч (должны быть равны).

Шумы и помехи в УЗЧ

Шумы усилителя обусловлены шумами транзисторов, пассивных элементов (в основном резисторов и оксидных конденсаторов).

Для уменьшения уровня собственных шумов усилителя выбирают малозумящие транзисторы, микросхемы, особенно во входных цепях, где уровень сигнала слабый.

В таких каскадах более точно должен быть установлен рабочий режим усилительных элементов и лучше работает схема температурной стабилизации. Транзисторы должны иметь как можно меньший обратный ток коллектора, на много меньше тока коллектора в рабочем режиме, и минимальную его зависимость от температуры окружающей среды.

Фон, обусловленный пульсациями питающих напряжений, проявляется в усилителях с питанием от сети переменного тока. Частота фона — 50, 100 Гц и частоты высших гармоник. Более чувствительны к пульсациям напряжения питания первые каскады УЗЧ, особенно на микросхемах с высоким коэффициентом усиления. Может возникнуть ситуация, когда напряжение пульсаций становится соизмеримым с уровнем сигнала. Для ослабления действий пульсаций повышают коэффициент сглаживания фильтров питания и в первых каскадах УЗЧ применяют дополнительные развязывающие фильтры $R C$ с большой постоянной времени ($\tau = R C$).

Такие фильтры уменьшают влияние паразитной обратной связи через источник питания, которая может привести не только к ухудшению качества звучания, но и к возбуждению усилителя. Действие этой связи следующее. При работе УЗЧ от источника потребляется ток в такт с сигналом. Этот ток, проходя через внутреннее сопротивление источника питания, создает на нем падение напряжения, т. е. напряжение источника питания пульсирует еще и с частотой сигнала. По цепям питания эти пульсации напряжения поступают на входы каскадов УЗЧ с какими-то фазовыми сдвигами, и если фаза напряжения сигнала и напряжения пульсаций совпадают, то возможно и возбуждение усилителя.

Помехи наводок от внешних источников помех

Источниками электромагнитных наводок могут быть трансформаторы питания, электродвигатели, фирмрезонансные стабилизаторы, электромагнитные реле, электромагниты и т. п.

Для уменьшения уровня электромагнитных наводок правильно размещают источники наводок относительно входных цепей и первого усилительного каскада, шасси усилителя изготавливают из немагнитных материалов, входные провода свивают, экранируют входные цепи.

Источниками электрических наводок являются провода, по которым текут переменные токи. Для уменьшения электрических наводок провода и элементы входного каскада помещают в экран из материала, имеющего высокую проводимость (медь, латунь, алюминиевые сплавы), экран электрически соединяют с шасси усилителя.

Поэтому во избежание помех и наводок после ремонта радиоаппаратуры необходимо тщательно восстановить порядок монтажа и все, что с ним связано: увязать в жгуты провода (как было до ремонта), уложить их на те же места; закрепить все экраны и проверить их соединение с корпусом; не применять удлинение проводов, жгутов; не изменять взаимное расположение жгутов, деталей, плат; не изменять мест присоединения экранов с шасси и мест соединения общих проводов питания. Надо полагать, что монтаж промышленного аппарата оптимальный и любое его изменение может ухудшить его технические характеристики, а с другой стороны, возможно и улучшение характеристик путем тщательного совершенствования монтажа.

Для проверки уровня собственного шума УЗЧ параллельно его входу при отключенном источнике сигнала подключают резистор сопротивлением, равным входному сопротивлению усилителя. Регулятор громкости устанавливают в положение максимального усиления, регуляторы тембра — в положение «широкая полоса». Параллельно нагрузке подключают электронный вольтметр или осциллограф и измеряют напряжение шума. Напряжение собственного шума должно иметь равномерный характер. При наличии внешних помех или возбуждения шумы носят импульсный характер. Уровень собственных шумов усилителя определяют отношением напряжения на выходе усилителя при номинальной мощности (сигнал подан на вход) к напряжению шума.

Это отношение выражают в децибелах.

Шумы есть в любом усилителе.

Это результат случайных, чаще тепловых, процессов, происходящих в усилительных элементах, резисторах и т. п.

При завышенном уровне шумов следует заменить транзистор, микросхему первого каскада на экземпляр с более низким уровнем шума, а шум первого каскада усиливается всеми остальными каскадами. Транзисторы «шумят» тем сильнее, чем больше напряжение на коллекторе и ток коллектора. Поэтому, по возможности, надо обеспечить облегченный режим работы усилительного элемента, но при этом сохранив необходимый коэффициент усиления каскада. Шум зависит и от обратного тока коллектора транзистора. Надо, чтобы он не превышал нормы для данного транзистора.

Измерение уровня фона производится аналогично измерению уровня шума, только напряжение фона на выходе усилителя производится с помощью анализатора гармоник, который позволяет выделить и измерить амплитуды составляющих фона, что позволяет легче определить возможный источник его. Для простых проверок напряжение фона можно измерить осциллографом, и в случае плохой фильтрации выпрямленного

напряжения на экране будут видны синусоиды частотой 50 или 100 Гц.

Причинами завышенного уровня фона являются: повышенный уровень пульсаций напряжения питания, плохая экранировка проводов входных цепей, обрыв заземления экранов, нарушены монтаж, взаимное расположение жгутов, проводов усилителя, неудачно выбраны точки присоединения с корпусом проводов питания, соединения громкоговорителей и др.

Амплитудная характеристика — это зависимость напряжения на выходе усилителя от напряжения на его входе. Ее определяют на средней

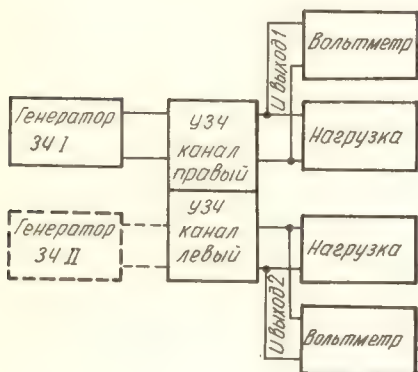


Рис. 4.55. Структурная схема измерения переходного затухания

частоте (1000 Гц). На вход УЗЧ подается сигнал от генератора 34 минимально возможным напряжением (при котором напряжение на выходе примерно в 1,5 раза выше уровня шумов). Регулятор громкости устанавливается в положение максимального усиления. Измеряют и записывают напряжение на выходе УЗЧ. Затем постепенно увеличивают напряжение на входе (измеряют напряжение на выходе) до тех пор, пока напряжение на выходе перестает увеличиваться. По полученным данным строят амплитудную характеристику (рис. 4.51). Желательно, чтобы характеристика была как можно ближе к линейной. Для УЗЧ широкого применения допускаются небольшие отклонения от линейности.

Пользуясь амплитудной характеристикой, можно определить динамический диапазон УЗЧ: $D_y = U_{вх.макс} / U_{вх.мин}$, где $U_{вх.макс}$ — максимальное входное напряжение, при котором нелинейные искажения не превышают указанных в технических характеристиках. Динамический диапазон выражают в децибелах. Одним из важных параметров стереофонических УЗЧ является переходное затухание между каналами (отношение полезного сигнала к сигналу, проникающему из другого канала).

Для измерения переходного затухания (рис. 4.55) сигнал частотой 1000 Гц и напряжением, обеспечивающим номинальную выходную мощность, подают на вход одного правого (или левого) канала. Вольтметром измеряют напряжение на выходе правого ($U_{вых 1}$) и левого ($U_{вых 2}$) канала. Отношение напряжения на выходе канала, к которому приложен сигнал ($U_{вых 1}$), к выходному напряжению канала, к которому не приложен сигнал ($U_{вых 2}$), выраженное в децибелах, и является переходным затуханием между каналами, т. е. $A = 20 \lg (U_{вых 1} / U_{вых 2})$ (дБ).

Причины самовозбуждения — паразитные положительные обратные связи между выходными и входными цепями усилителя, отдельных его каскадов, которые возникают из-за: изменения заводского монтажа, изменения взаимного расположения проводов входных и выходных цепей, изменения места контакта или отсутствия соединения с корпусом экранов

проводов входных цепей, паразитной электрохимической связи громкоговорителя со входом усилителя. К возбуждению усилителя приводят также неисправности в цепях отрицательной обратной связи, неисправности усилительных элементов (внутренние паразитные обратные связи), низкий или чрезмерно высокий коэффициент усиления транзисторов, микросхем. На низких частотах источником возбуждения может быть наличие паразитной обратной связи через общий источник питания (рискот на низкой частоте, как шум моторной лодки); устраняется обычно заменой конденсаторов фильтров или увеличением их емкости.

Самовозбуждение может возникнуть и на ультразвуковых частотах, которые мы не слышим, но это вызывает ухудшение качества звучания.

При самовозбуждении отыскание неисправности можно начать с определения самовозбуждающего каскада. Для этого вход усилителя замыкается по переменному току (например, параллельно входу включается конденсатор), а затем выход каждого каскада (начиная со входного) через конденсатор небольшой емкости соединяется с корпусом (общим проводом).

Если при этом самовозбуждение исчезает или изменяется его тон, то вероятным источником является этот каскад. Можно поочередно отключать питание от каскадов усилителя, начиная с первого, или прикоснуться пальцем к корпусам транзисторов, микросхем, и если при этом изменяется тон звука, то этот элемент неисправен. В неисправном каскаде проверяют режим работы усилительного элемента, элементы обратных связей, монтаж или заменяют усилительный элемент.

Причиной самовозбуждения операционного усилителя (ОУ), охваченного обратной связью, может быть наличие реактивного входного и выходного сопротивлений, которые вместе с реактивными сопротивлениями источника сигнала (предыдущего каскада) и цепей нагрузки образуют цепи, создающие благоприятные условия для возникновения паразитной обратной связи на определенных частотах в пределах рабочего диапазона усилителя.

Влияние входной емкости ($C_{вх}$) наиболее ощутимо в неинвертирующем включении ОУ, когда эта емкость дополнительно увеличивается из-за зависимости коэффициента усиления от частоты. Величина $C_{вх}$ зависит от емкости $p-n$ -переходов входного транзистора, коэффициента усиления входного каскада ОУ и изменяется от единиц до сотен пикофард. Причем большее ее значение сохраняется только на очень низких частотах (возможно до нескольких герц), а в рабочем диапазоне частот составляет несколько пикофард. Эффективное значение емкости $C_{вх}$ можно уменьшить, включив в цепь положительной обратной связи конденсатор C_k , компенсирующий ток перезаряда входной паразитной емкости $C_{вх}$ (рис. 4.56). Степень компенсации токов и определяет результирующую входную емкость в соответствии с выражением $C_{вх,р} = C_{вх} - C_k R_2 / R_1$.

Усилитель возбуждается, когда коэффициент передачи по емкостной петле ОС станет больше, чем по цепи отрицательной ОС.

На практике величину емкости C_k подбирают от нескольких пикофард до 10...20 пФ, пока не исчезнет самовозбуждение. Если в практической схеме такой конденсатор отсутствует, то его устанавливают. При этом надо помнить, что здесь вводится положительная ОС, а это увеличивает усиление высоких частот и может привести к усилению возбуждения (или к его появлению). В таком случае для устранения самовозбуждения надо применять другие способы.

Следующей причиной самовозбуждения ОУ может быть наличие емкости в его выходной цепи, во входных цепях нагрузки (C_n) (рис. 4.57). В этом случае для уменьшения действия C_n в ОУ с внешней коррекцией

достаточно увеличить емкости корректирующих конденсаторов. Для усилителей с внутренней коррекцией либо вводят дополнительные цепи коррекции, либо подбирают ОУ с малым $P_{\text{вых}}$. Простая схема включения дополнительной цепи коррекции — это включение $R_{\text{ф}}C_{\text{ф}}$, которые уменьшают влияние нагрузки на выход ОУ ($R_{\text{ф}}C_{\text{н}} = R_{\text{ос}}C_{\text{ф}}$). Возбуждение ОУ может возникнуть из-за изменения режима питания: изменение величины питающих напряжений, увеличение их пульсаций, уменьшение стабильности напряжений питания. Если вышеперечисленные причины про-

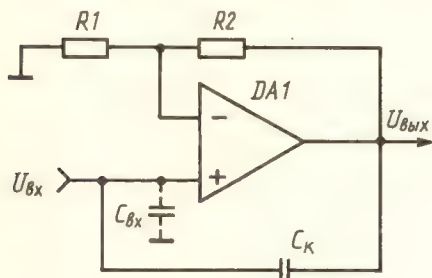


Рис. 4.56. Включение компенсирующей емкости (СК) для устранения самовозбуждения ОУ

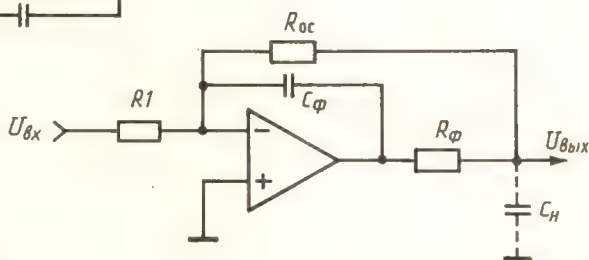


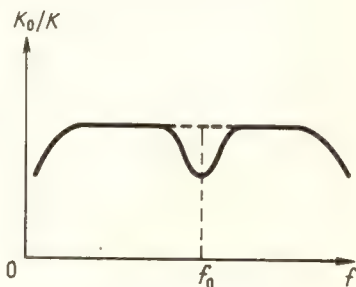
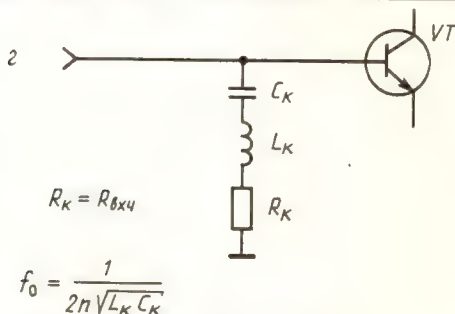
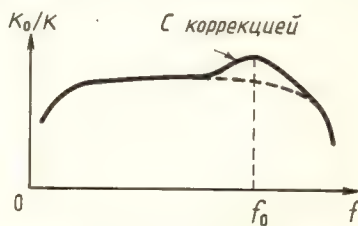
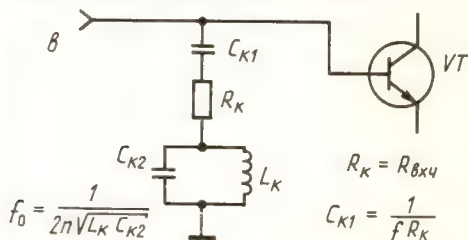
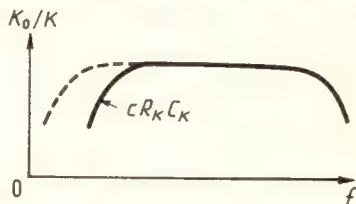
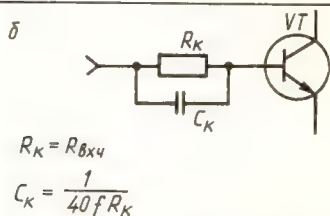
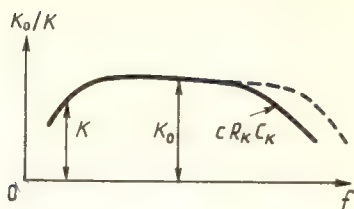
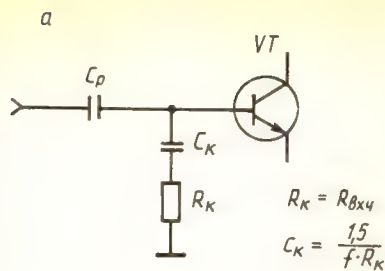
Рис. 4.57. Компенсация емкости нагрузки в каскаде на ОУ

верены, а самовозбуждение ОУ остается, то заменяют ОУ. На практике, при наличии другого экземпляра ОУ, его сразу заменяют.

В промышленных аппаратах приняты все меры для устойчивой работы каскадов на ОУ. При их возбуждении тщательно проверяют режимы питания и элементы их стабилизации, а затем, обычно, меняют ОУ. Сложнее, если возбуждение наступает с появлением сигнала. В этом случае кроме вышеназванных причин проверяют величину напряжения входного сигнала и при необходимости уменьшают путем включения делителей напряжения на входе ОУ или уменьшают усиление ОУ, а к выводам питания добавляют высокочастотные конденсаторы фильтров, которые располагают рядом с ОУ, чтобы уменьшить паразитную ОС через источник питания.

Коррекция АЧХ в усилителях звуковой частоты

Простая коррекция АЧХ в УЗЧ осуществляется в основном с помощью RC цепи или колебательных контуров, если коррекция необходима в относительно узком диапазоне частот (рис. 4.58). Такая цепочка (рис. 4.58,а) может быть введена при ремонте усилительных каскадов в случае возбуждения на верхних частотах. Подбирая емкость $C_{\text{к}}$, можно устранить возбуждение на частоте или в полосе частот, но при этом снижается коэффициент усиления на этих частотах.



4.58. Схемы коррекции АЧХ в УЗЧ

Цепочку (рис. 4.58,б) можно применять для снижения уровня фона, рокота в области нижних звуковых частот.

Цепочки (рис. 4.58,в) можно применять в случае снижения усиления верхних частот в предыдущих или последующих каскадах. Цепочка (рис. 4.58,г) применяется, если необходимо подавить сигналы какой-либо частоты или узкого диапазона частот.

4.6. НЕИСПРАВНОСТИ МАГНИТОФОНА В РЕЖИМЕ «ВОСПРОИЗВЕДЕНИЕ»

Возможны следующие неисправности:

- отсутствие воспроизведения;
- малый уровень сигнала при воспроизведении;
- малый уровень высших частот сигнала;
- большие искажения сигнала;
- повышенный шум и уровень фона;
- прослушивается запись с соседней дорожки;
- нет воспроизведения по одному из каналов стереомагнитофона.

Прежде чем приступить к поиску неисправности, необходимо абсолютно быть уверенным в хорошем качестве фонограммы, записанной на ленте, и убедиться в нормальной работе блока питания, т. е. чтобы напряжение, поступающее к элементам схемы, соответствовало указанному на схеме.

В режиме «Воспроизведение» звуковой сигнал проходит последовательно путь от источника — магнитной головки (воспроизводящей или универсальной) через коммутирующую цепь, универсальный усилитель (или усилитель воспроизведения) с корректирующими цепями и дальше на оконечный усилитель звуковой частоты с регулятором громкости, тембра и акустической системой. В магнитофоне-приставке сигнал поступает на линейный выход.

Неисправность в любом из каскадов перечисленных блоков окажет влияние на качество воспроизведения.

Причиной отсутствия воспроизведения может быть обрыв в последовательной цепи при прохождении сигнала от магнитной головки до акустической системы. Ремонт, как обычно, начинают с тщательного внешнего осмотра плат, проводников, контактов и т. д. Если это не дало положительного результата, то лучше воспользоваться методом промежуточных измерений (на прохождение звукового сигнала).

Для этого регулятор громкости магнитофона нужно установить в положение «Максимум», параллельно громкоговорителю (или эквивалентному сопротивлению нагрузки), подключить вольтметр. Наличие выходного сигнала можно контролировать и громкоговорителем. Сигнал с генератора звуковой частоты через разделительный конденсатор 0,1 мкФ нужно подать поочередно на входы каскадов: базы транзисторов, соответствующие выводы микросхем, начиная с выходного. Частота сигнала генератора 400 или 1000 Гц, величина выходного напряжения равна чувствительности каскада или усилителя (обычно указана на схеме). Если каскад исправен, то сигнал проходит на выход и в громкоговорителе слышен звук подводимой частоты или вольтметр покажет выходное напряжение.

Затем сигнал с генератора подать на предыдущий каскад, при этом выходное напряжение генератора уменьшить. Если на выходе сигнала нет, то неисправен этот каскад. В нем необходимо отыскать неисправный элемент, контакт. Для отыскания неисправности в каскаде следует измерить режим питания усилительного элемента (транзистора, микросхемы), проверить исправность элементов (схемы переключателей, контактов и т. п.).

Схемы современных магнитофонов, имеющих и выходные усилители мощности звуковой частоты, содержат относительно большое количество каскадов. Для сокращения времени поиска неисправностей можно сразу начать с проверки более крупной части схемы. Например, сразу

подать сигнал на вход оконечного усилителя звуковой частоты, чтобы определить, где находится неисправность, в нем или в универсальном усилителе. При исправном универсальном и оконечном усилителях отсутствие воспроизведения возможно из-за неисправности универсальной головки и цепей ее коммутации ко входу универсального усилителя. Головку можно проверить омметром, но это вызовет ее намагничивание. Поэтому после проверки ее надо размагнитить. При отсутствии размагничивающего устройства тем же омметром измерить сопротивление, предварительно поменяв местами щупы прибора. Время измерения в обоих случаях должно быть одинаковым.

Причинами малого уровня верхних частот при воспроизведении фонограммы могут быть: загрязнение рабочей поверхности воспроизводящей головки или ее рабочего зазора (неплотное прилегание ленты к рабочей поверхности головки); износ рабочей поверхности головки; нарушено положение головки по вертикали; неисправности корректирующих цепей усилителя.

Для устранения неисправности сначала необходимо тщательно промыть рабочую поверхность головки ватным тампоном, смоченным в спирте, и визуально оценить степень износа поверхности головки, и при необходимости ее заменить. Иногда при незначительном износе положительные результаты дает дополнительная полировка рабочей поверхности. Затем произвести регулировку положения рабочего зазора по вертикали при помощи регулировочных винтов. Методика точной регулировки с применением измерительной ленты изложена ниже. Упрощенную регулировку проводят по наилучшему воспроизведению высших частот фонограммы, записанной на магнитофоне с ненарушенной заводской регулировкой положения головки.

Причинами малого уровня сигнала при воспроизведении могут быть: недостаточный уровень сигнала, записанного на ленте; неплотное прилегание ленты к воспроизводящей головке;

заниженный коэффициент усиления универсального или оконечного усилителя. Для отыскания каскадов с заниженным коэффициентом усиления можно использовать метод промежуточных измерений, описанный выше. Для этого надо знать чувствительность каскадов. Если при подаче с генератора сигнала звуковой частоты на вход каскада, равного по величине чувствительности каскада, напряжение на выходе магнитофона меньше указанного (для данной выходной мощности), значит, этот каскад имеет заниженную чувствительность. При нормальном режиме питания проверить элементы цепей обратной связи, заменить усилительный элемент (транзистор, микросхему) на элемент, имеющий более высокий коэффициент усиления.

Причинами больших искажений формы сигнала могут быть: неплотное прилегание ленты к рабочей поверхности головки и ее загрязнение; неравномерное натяжение ленты по всей ее плоскости, дефекты рабочей поверхности ленты (царапины, вмятины, растяжение и т. п.). При отсутствии вышеуказанных причин следует проверить и тщательно отрегулировать режимы питания транзисторов, микросхем, оконечного усилителя звуковой частоты. Возможно и самовозбуждение усилителя воспроизведения и оконечного усилителя. Оно обычно сопровождается свистами, потерей «прозрачности звука», появлением «хрипов». В этом случае необходимо тщательно проверить экранировку проводов во входных цепях усилителя воспроизведения к выводам регуляторов громкости и тембра, соединение их с корпусом.

Другие причины и способы обнаружения самовозбуждения усилительных каскадов изложены на с. 248—250.

Причинами повышенного фона переменного тока являются обычно неисправности электролитических конденсаторов фильтра блока питания и каскадов схемы. Для отыскания неисправного конденсатора обычно достаточно по очереди параллельно конденсаторам фильтра подключить заведомо исправный. Если при подключении к какому-либо электролитическому конденсатору фон пропадает или уменьшается, то он неисправен и подлежит замене.

Если при воспроизведении прослушивается запись с соседней дорожки, то причиной может быть смещение воспроизводящей головки или прижимного ролика по вертикали. Для устранения неисправности необходимо отрегулировать положение ролика, чтобы лента шла около ведущего вала ровно, без перекоса и смещения по вертикали. Затем, при необходимости, отрегулировать положение головки по вертикали. Возможно, придется подрегулировать движение ленты направляющим роликом.

Если в стереофоническом магнитофоне нет воспроизведения по одному из каналов, то причиной может быть: неисправность усилителя воспроизведения; неисправность переключателя, подключающего головку ко входу усилителя воспроизведения; неисправность воспроизводящей головки.

Для отыскания неисправности можно сначала проверить общую работоспособность усилителей. Включить магнитофон в режим «Воспроизведение», регулятор громкости в положение, близкое к максимуму, отверткой или пинцетом прикоснуться к выводам воспроизводящей головки неработающего канала. Если в этот момент в громкоговорителе неработающего канала слышен громкий звук, то усилитель и переключатель головки исправны, а неисправна сама головка. Если же в момент прикосновения звука в громкоговорителе нет, то переключатель или усилитель неисправны. Для определения неисправности необходимо вскрыть магнитофон и проверить работоспособность усилителей и переключателя. Выполняет ли переключатель необходимую коммутацию, можно проверить омметром. Методом промежуточных измерений проверить усилители, отыскать и устранить неисправность. Более подробно неисправности усилительных каскадов изложены выше.

Шумовые свойства каскада усилителя воспроизведения зависят от внутреннего сопротивления источника сигнала (воспроизводящей головки, если речь о первом каскаде усилителя). При выборе режима питания первого каскада усилителя воспроизведения учитывают полное сопротивление ГУ или ГВ. Это необходимо иметь в виду при замене головки первого транзистора.

При подключении ГВ или ГУ ко входу усилителя воспроизведения через разделительный конденсатор увеличивается модуль полного сопротивления источника сигнала (головка — конденсатор), что приводит к росту уровня шумов. Кроме того, конденсатор вносит дополнительный шум, уровень которого тем больше, чем меньше емкость и добротность конденсатора. При непосредственном присоединении головки ко входу усилителя через нее не должен проходить постоянный ток, который намагничивает сердечник головки, и при этом шум значительно возрастает.

Для уменьшения уровня собственных шумов усилителя воспроизведения первый каскад выполнен на биполярном транзисторе с большим коэффициентом передачи тока h_{21E} .

4.7. ПРОВЕРКА МАГНИТОФОНА В РЕЖИМЕ «ВОСПРОИЗВЕДЕНИЕ»

Проверка уровня усиления

Проверку осуществляют путем воспроизведения на магнитофоне части «У» измерительной ленты 6ЛИТ2.У (для двухдорожечных магнитофонов), 6ЛИТ4.У (для четырехдорожечных магнитофонов), 3 ЛИТ2.У (для двухдорожечных магнитофонов), 6ЛИТ4.У (для четырехдорожечных магнитофонов), 3ЛИТ2.У (для кассетных магнитофонов).

Часть измерительной ленты «У» представляет собой непрерывную запись сигнала частотой 400 Гц с нормированным уровнем записи.

К линейному выходу магнитофона, нагруженному на резистор 220 кОм, подключают электронный вольтметр (или осциллограф).

Величина напряжения на линейном выходе при нормальном уровне усиления должна быть равна 250...500 мВ. При несоответствии напряжения линейного выхода указанным пределам произвести подстройку уровня воспроизведения линейного выхода, указанным пределам произвести подстройку уровня воспроизведения соответствующими элементами схемы.

Если регулировочными элементами невозможно добиться необходимого уровня сигнала, нужно проверить усиление отдельных каскадов.

Для стереофонического магнитофона аналогичные измерения и регулировки проводят для второго канала.

Разница напряжений на линейном выходе обоих каналов не должна превышать 2 дБ.

Проверка амплитудно-частотной характеристики

Проверку осуществляют при помощи измерительной ленты 6ЛИТ4 ЧВН и осциллографа, подключенного к линейному выходу магнитофона. На измерительной ленте записаны циклически повторяющиеся серии посылок гармонических сигналов с разными частотами, но одинаковой амплитуды. Количество посылок равно 7, а частоты заполнения их для скорости магнитофона 9,53 см/с: 400 Гц, 800 Гц, 2000 Гц, 4000 Гц, 6300 Гц, 8000 Гц, 12500 Гц. При воспроизведении на скорости 19,05 см/с величины частот соответственно в 2 раза выше, а на скорости 4,76 см/с в 2 раза ниже.

При проверке АЧХ на скорости 9,53 см/с между линейным выходом магнитофона и входом осциллографа включают корректирующие цепи, приведенные на рис. 4.59.

На экран осциллографа устанавливают специальный трафарет (рис. 4.60) для оценки относительного усиления магнитофоном сигналов разных частот.

Трафарет изготавливается из прозрачной пленки, тонкого органического стекла и т. п. Риски наносят тушью.

Включают осциллограф и вращением ручки «Ось x вниз — вверх» совмещают линию развертки с линией 0 трафарета.

На магнитофоне устанавливают скорость 19,05 см/с, включают канал 1—4 и режим «Воспроизведение». На экране осциллографа появится изображение серии импульсов сигналаграммы (рис. 4.61). Затем, вращая ручку осциллографа «Усиление Y », совмещают вершину импульса максимальной амплитуды частотной характеристики с линией трафарета 0 дБ.

При идеальной частотной характеристике амплитуды импульсов 1—7 равны между собой (рис. 4.61).

Если частотные характеристики не укладываются в указанные поля допусков, то необходимо произвести подстройку предназначенными для этой цели элементами, а возможно, и заменить головку.

Проверить частотную характеристику магнитофона в режиме «Воспроизведение» можно и с помощью измерительной ленты с индексом «Ч» для данной скорости магнитофона. К линейному выходу магнитофона

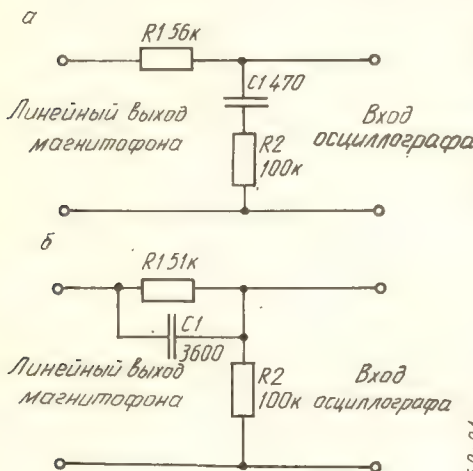


Рис. 4.59. Схемы корректирующих цепочек:

а — для скорости 19,05 см/с; б — для скорости 9,53 см/с

Рис. 4.60. Трафарет для контроля амплитудно-частотной характеристики канала «Воспроизведение» по измерительной ленте

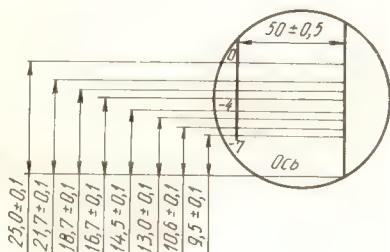
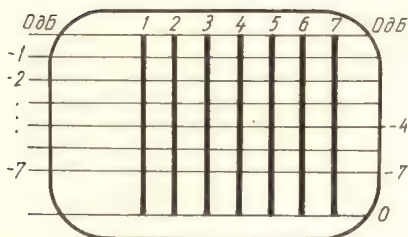


Рис. 4.61. Осциллограмма сигнала с измерительной ленты при идеальной частотной характеристике

подключают электронный вольтметр. Сначала воспроизводят частоту 400 Гц и регулятором громкости (если он влияет на величину напряжения на линейном выходе) устанавливают номинальное выходное напряжение. Затем воспроизводят все частоты, записанные на ленте, и фиксируют показания электронного вольтметра. По измеренным данным строят частотную характеристику — зависимость величины выходного напряжения от частоты — и сравнивают ее с допустимой или данными, приведенными в техническом описании данного магнитофона. При необходимости соответствующими элементами, предназначенными для коррекции АЧХ, добиваются наилучшей равномерности частотной характеристики.

При невозможности настройки частотной характеристики канала воспроизведения регулируемыми элементами необходимо проверить частотную характеристику усилителя воспроизведения (универсального усилителя). Сначала при помощи измерительной ленты «У» устанавливают напряжение на линейном выходе, при котором выходная мощность магнитофона соответствует номинальной. В магнитофоне-приставке уста-

новить напряжение на линейном выходе, равное номинальному, приведенному в технических характеристиках (250...500 мВ). Для снятия частотной характеристики усилителя воспроизведения собирается схема (рис. 4.62). На вход усилителя воспроизведения подают напряжение от генератора звуковой частоты через делитель $R1$, $R2$, размещаемый непосредственно у головки. Величину сопротивления резистора $R1$ выбирают равной 100 Ом...1 кОм, а резистора $R2$ —1...3 Ома. Напряжение генератора частотой 400 Гц выбирают такой величины, чтобы на линей-

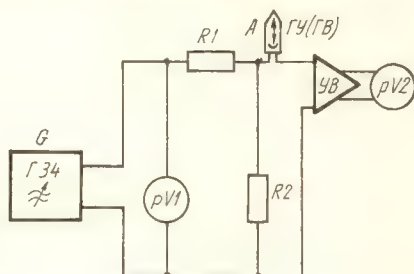


Рис. 4.62. Схема подключения приборов для снятия частотной характеристики усилителя воспроизведения

ном выходе магнитофона получить величину напряжения на 20 дБ (в 10 раз) меньше номинального, полученного при помощи измерительной ленты «У». Поддерживая постоянное напряжение на выходе генератора при помощи вольтметра $pV1$, измеряют частоту генератора в рабочем, для данного типа магнитофона, диапазоне. Одновременно вольтметром $pV2$ измеряют напряжение на линейном выходе при подаче сигнала каждой частоты из стандартного ряда. По полученным данным строят частотную характеристику, зависимость напряжения на линейном выходе от частоты. Полученная характеристика не учитывает частотных искажений, вносимых головкой, обусловленных шириной рабочего зазора. Если частотная характеристика соответствует норме (приведенной в техническом описании или на рис. 2.4), то необходимо заменить головку. При несоответствии частотной характеристики предназначенными для этой цели элементами производится ее коррекция.

Проверка относительного уровня помех в режиме «Воспроизведение»

Для этого необходимо размагнитить блок головок размагничивающим дросселем. На магнитофон устанавливают измерительную ленту типа «У» с записью сигнала 400 Гц максимального уровня. К линейному выходу магнитофона, нагруженному на резистор сопротивлением 220 кОм, подключают электронный вольтметр. Соответствующим регулятором устанавливают номинальное выходное напряжение на линейном выходе $U_{\text{вых}}$. Затем останавливают магнитофон, снимают ленту и в режиме «Воспроизведение» измеряют напряжение шумов и помех на линейном выходе U_n . Относительный уровень шумов и помех, выраженный в децибелах, определяют по формуле: $N_n = 20 \lg(U_n/U_{\text{вых}})$ (дБ). При несоответствии характеристики производится ее коррекция.

В стереофонических магнитофонах аналогичные измерения проводят и на линейном выходе второго канала.

При наличии системы шумопонижения (СШП) в магнитофоне относительный уровень шумов и помех определяют и с включенной СШП.

Результаты измерений сравнивают с паспортными данными на испытуемый тип магнитофона. Если относительный уровень шумов и помех в режиме «Воспроизведение» оказался выше нормы, то необходимо дополнительно размагнитить головки, проверить качество экранировки входных и выходных цепей или подобрать место соединения экрана с корпусом; проверить, есть ли пульсации питающих напряжений, режим работы транзисторов, микросхем, усилителя воспроизведения (особенно первых каскадов), а может, и заменить эти транзисторы, микросхемы или воспроизводящую головку (блок головок).

4.8. НЕИСПРАВНОСТИ МАГНИТОФОНА В РЕЖИМЕ «ЗАПИСЬ»

Возможны следующие неисправности: отсутствие записи или недостаточный ее уровень; запись производится с искажением; нет стирания старой записи или неполное ее стирание.

При отсутствии записи сначала необходимо проверить, чистая ли рабочая поверхность головки, плотно ли прилегает лента к записывающей головке.

Запись может отсутствовать при неисправностях записывающей (универсальной) головки и ее цепей, усилителя записи (универсального усилителя), переключателя режима «Запись», регулятора уровня записи.

Если в магнитофоне применяется универсальный усилитель и в режиме «Воспроизведение» работает нормально, то можно предположить, что универсальная головка и предварительный усилитель исправны. В таком случае проверке подлежат переключатель режима работы «Запись — воспроизведение», цепь от выхода предварительного усилителя до универсальной головки и выходные цепи магнитофона, куда поступает сигнал для записи. Если в магнитофоне применяются раздельно усилитель записи и усилитель воспроизведения, то при отсутствии записи сначала целесообразно проверить записывающую головку, цепь от усилителя записи к головке, входную цепь от гнезда «Звукосниматель» (или другого) до входа усилителя записи и сам усилитель записи.

Для этого на вход магнитофона (усилителя записи) нужно подать сигнал от генератора звуковой частоты. Частота сигнала должна быть 400 или 1000 Гц, величина выходного напряжения генератора равна чувствительности выбранного входа магнитофона. Включить магнитофон в режим «Запись». Электронным вольтметром переменного тока измерить величину переменного напряжения сигнала, поступающего на записывающую головку, и сравнить с данными, приведенными на схеме (обычно несколько вольт). Если величина напряжения не отличается от приведенного на схеме более чем на $\pm 20\%$, то входная цепь, усилитель записи и цепь записывающей головки исправны. Замене подлежит головка записи.

Если же напряжение на записывающей головке отсутствует, то вольтметр подключить ко входу усилителя записи и проверить, поступает ли сигнал на усилитель. При его отсутствии тщательно проверить цепь от входного усилителя записи — нет ли обрыва проводников, резисторов делителя выходного напряжения, соединений с корпусом. При наличии напряжения нормальной величины на входе усилителя записи проверить прохождение сигнала через каскады усилителя записи. Для этого вольтметром измерить уровень сигнала покаскадно, до обнаружения неисправного каскада, на выходе которого нет сигнала.

Если в режиме «Запись» не работает индикатор уровня записи, то причиной может быть неисправность индикатора, его цепи или отсутствие сигнала на входе схемы индикатора. Вначале целесообразно проверить наличие переменного напряжения сигнала на входе схемы индикатора при поданном сигнале для записи, как в предыдущем случае. При отсутствии напряжения сигнала проверить напряжение на выходе усилителя записи и цепь от выхода до индикатора. Если нет напряжения на выходе усилителя записи, то отыскать неисправный каскад или цепь от входа магнитофона до выхода усилителя, как и в случае отсутствия записи.

При наличии сигнала нормальной величины на входе схемы индикатора уровня записи проверить работоспособность переменного резистора, регулирующего чувствительность индикатора, усилителя индикатора, элементы схемы выпрямителя или удвоителя напряжения и индикатор. После устранения неисправности схемы индикатора уровня записи нужно отрегулировать его чувствительность.

Причиной малого уровня записи является недостаточная величина тока записи. Это возможно при недостаточном уровне записи вследствие неправильной калибровки индикатора уровня записи при неисправностях в цепях и элементах, определяющих ток записи: делителе входного сигнала, входном усилителе, усилителе записи (универсальном усилителе), цепи записывающей (универсальной) головки и самой головке.

Для отыскания неисправности на вход магнитофона подается сигнал для записи с генератора звуковой частоты (как и при отсутствии записи). Электронным вольтметром измеряют напряжение, прикладываемое к записывающей головке. Если его величина отличается от приведенной на схеме не более чем на $\pm 20\%$, то головка подлежит замене. Если же напряжение значительно занижено, то нужно проверить величину переменного напряжения, поступающего на схему индикатора уровня записи. При нормальном значении напряжения проверить цепь от схемы индикатора до записывающей головки. При заниженном напряжении регулятором уровня записи увеличить уровень сигнала до необходимой величины, а индикатор уровня записи откалибровать. При невозможности увеличить уровень сигнала проверить величину напряжения на входе усилителя записи. Если оно занижено, то проверить величины резисторов делителя напряжения, соответствующие контакты переключателя «Запись». При проведении записи с микрофона проверить каскады микрофонного усилителя. Если же величина переменного напряжения на входе усилителя записи соответствует приведенному значению, то по каскадно проверить его величину до обнаружения каскада, дающего заниженное усиление. Напряжение на выходе такого каскада будет значительно ниже указанного на схеме. В этом каскаде проверить режим по постоянному току транзистора, микросхемы, элементы схемы (особенно резистора на нагрузки, разделительных конденсаторов), резисторы обратной связи микросхем. При нормальных режимах и элементах заменить усилительный элемент — транзистор или микросхему, дающие заниженное усиление.

Если же в режиме «Запись» индикатор уровня записи показывает наличие сигнала при отсутствии на входе сигнала записи, то причиной является самовозбуждение универсального усилителя (или усилителя записи). В этом случае нужно проверить входные цепи усилителя, заземлены ли экраны проводов или отыскать возбуждающийся каскад.

Причиной записи с искажениями может быть: чрезмерно большой уровень записи, недостаточная величина тока подмагничивания или его отсутствие. Ток подмагничивания вырабатывается генератором стирания

и подмагничивания. Поэтому вначале целесообразно проверить работоспособность ГСП.

Для этого надо попробовать стереть старую запись. Если запись стирается полностью, то ГСП и стирающая головка исправны. Проверке подлежит цепь, через которую ток подмагничивания поступает в записывающую головку. Электронным осциллографом проверить форму напряжения, вырабатываемого ГСП. Напряжение должно быть симметричным, асимметрия вызывает увеличение шума фонограммы.

Причиной отсутствия стирания может быть: неисправность генератора стирания и подмагничивания, стирающей головки, переключателя режима «Запись» или элементов схемы.

Для уточнения места неисправности можно сделать пробную запись на новой (или ранее стертой) ленте. Если запись воспроизводится без искажений, то генератор стирания и подмагничивания работает нормально. Проверке подлежит стирающая головка и цепь ее подключения к генератору. Проверку можно осуществить омметром.

Если же запись воспроизводится с искажением и пониженным уровнем, то ГСП неисправен. В этом случае надо проверить, подается ли напряжение на генератор при включении режима «Запись», режима питания транзисторов генератора, исправность элементов генератора.

Причинами неполного стирания записи могут быть неправильная установка стирающей головки по высоте, недостаточная величина тока стирания, неплотное прилегание ленты к стирающей головке, загрязнение рабочей поверхности стирающей головки, неисправности стирающей головки.

Сначала необходимо проверить, перекрывает ли сердечник стирающей головки дорожку записи, при необходимости отрегулировать положение головки. Затем очистить рабочую поверхность головки ватным тампоном, смоченным в спирте, и проверить прилегание ленты к головке. Если стирание по-прежнему остается неполным, то проверить величину напряжения, вырабатываемого ГСП (до нескольких десятков вольт), и цепи, по которым оно прикладывается к стирающей головке. При наличии элементов, регулирующих величину тока стирания, его можно увеличить.

При слабом, искаженном сигнале на выходе магнитофона во всех режимах работы необходимо проверить оконечный и предварительный усилители звуковой частоты.

4.9. ПРОВЕРКА И РЕГУЛИРОВКА МАГНИТОФОНА В РЕЖИМЕ «ЗАПИСЬ»

Качество работы магнитофона в значительной степени зависит от правильной его настройки в режиме «Запись», а именно: от правильного выбора величины тока стирания и подмагничивания; от качества стирания старой записи, характеризующейся относительным уровнем стирания; от правильной установки уровня записи, уровня помех в режиме «Запись»; от линейности амплитудно-частотной характеристики сквозного канала (режим «Запись — воспроизведение»), уровня шумов и помех, величины коэффициента гармоник в сквозном канале и др.

В этом параграфе и будут рассмотрены методы проверки и регулировки каскадов магнитофона в режиме «Запись».

Установка оптимального тока подмагничивания

Величина тока подмагничивания в значительной степени влияет на качество записи и определяет равномерность АЧХ сквозного канала в области верхних частот данного магнитофона, т. е. одного из основных параметров. Для магнитной записи используются различные магнитные ленты, которые отличаются по чувствительности, уровню записи и другим параметрам.

Предприятие-изготовитель указывает в инструкции к магнитофону, с каким типом магнитной ленты может работать магнитофон для получения приведенных характеристик. Каждая лента фактически требует индивидуального подбора величины тока подмагничивания, чтобы полностью реализовать ее лучшие характеристики и обеспечить рабочий диапазон частот магнитофона. Даже магнитная лента одного типа разных поливов требует подбора величины тока подмагничивания.

Для оперативной регулировки тока подмагничивания магнитофон дополняют двумя генераторами звуковой частоты, вырабатывающими сигналы 400 или 1000 Гц и верхнюю рабочую частоту магнитофона, а оси переменных резисторов регулировки тока подмагничивания выводят на панель магнитофона или под шлиц. Вначале подбирают необходимый уровень записи для данного типа ленты, записывая сигнал 400 (1000 Гц) с таким уровнем, при котором уровень сигнала при воспроизведении равен номинальному. Это и будет оптимальный уровень записи. Затем производят запись верхних частот рабочего диапазона с таким же уровнем и регулировкой тока подмагничивания добавляются номинального уровня воспроизведения сигнала этой частоты. Если АЧХ сквозного канала магнитофона имеет допустимый спад с частоты, равной $0,5 f$, то оптимизацию тока подмагничивания целесообразно производить на этой частоте.

Одни предприятия-изготовители магнитофонов рекомендуют проверять регулировку тока подмагничивания на частоте 1000 Гц (согласно ГОСТ 21402.0—75), добиваясь максимального уровня записанного сигнала, другие — на частотах 1000 и 4000 Гц, третьи — на верхней рабочей частоте, но во всех случаях с последующей проверкой соответствия АЧХ сквозного канала и уровня нелинейных искажений. Процесс установки тока подмагничивания аналогичен для любых частот.

На вход магнитофона «Звукосниматель» с генератора звуковой частоты подают сигнал верхней рабочей частоты магнитофона.

Величина напряжения сигнала на 20 дБ (в 10 раз) ниже номинальной. К линейному выходу подключают электронный вольтметр. Элемент, регулирующий ток подмагничивания (переменный резистор или подстроенный конденсатор), устанавливают в одно из крайних положений. Цель регулировки — добиться максимального уровня сигнала на линейном выходе, изменяя ток подмагничивания переменным сопротивлением или подстроечным конденсатором генератора подмагничивания. Для этого записывают сигнал при различных положениях регулятора тока подмагничивания. Уровень воспроизведения записанного сигнала определяют по электронному вольтметру при различных положениях регулятора и запоминают положение, при котором уровень максимальный. Фиксируя это положение, делают (для более точной регулировки) еще несколько подобных записей сигнала, изменяя положение регулятора уже в небольших пределах в одну и другую сторону. Так, путем пробных записей находят положение регулятора тока подмагничивания, при котором сигнал на линейном выходе максимальный. Затем ток увеличивают до такой величины, при которой напряжение на линейном выходе умень-

шится на 3 дБ ($0,7 U_{\text{макс}}$). Такой ток подмагничивания и будет оптимальным. Определяют его обычно по закону Ома, измеряя падение напряжения на резисторе 10 Ом, включенном последовательно с головкой записи (универсальной головкой). Вместо электронного вольтметра к линейному выходу можно подключить осциллограф, наблюдая размах синусоиды на экране, а затем увеличить ток подмагничивания до уменьшения размаха синусоиды $0,7 U_{\text{макс}}$.

В магнитофоне с универсальным усилителем можно создать искусственно сквозной канал, применяя аналогичный, второй магнитофон. Они располагаются рядом.

На регулируемом магнитофоне производится запись сигнала и регулировка тока подмагничивания, а на втором в это же время воспроизведение этой фонограммы и контроль уровня сигнала на линейном выходе.

В стереофонических магнитофонах аналогично устанавливают оптимальный ток подмагничивания во втором канале. Если магнитофон имеет в цепи тока записи заграждающий LC-фильтр, препятствующий проникновению тока подмагничивания в усилитель записи, то перед установкой оптимального тока подмагничивания этот фильтр необходимо настроить на частоту ГСП по минимальному значению напряжения высокой частоты в цепи, расположенной после фильтра. Для этого магнитофон включают в режим «Запись» без подачи сигнала на его вход. К линейному выходу подключают электронный вольтметр. Вращением подстроечного сердечника добиваются минимального показания вольтметра.

Измерение величины тока стирания и тока подмагничивания, контроль его формы и частоты

Измерение этих токов производится косвенным методом. Измеряют падение напряжения на измерительных резисторах (известной величины) и по закону Ома определяют ток.

Для измерения тока подмагничивания последовательно с головкой записи (универсальной головкой) включают резистор сопротивлением 10 Ом с допуском не ниже $\pm 0,5$ точности (рис. 4.63).

Магнитофон включают на запись, а электронным вольтметром переменного тока измеряют падение напряжения на резисторе. Вольтметр должен быть рассчитан на работу в диапазоне частот не менее 100 кГц.

Величину тока подмагничивания определяют по формуле $I_{\text{подм}} = U/R$ (мА), где U — падение напряжения на резисторе (мВ), R — величина сопротивления (Ом).

В стереофоническом магнитофоне эти измерения производят в обоих каналах. Соответствующим регулирующим элементом можно установить необходимую величину. Подключив осциллограф параллельно резистору, можно проконтролировать форму тока подмагничивания. Она должна быть близкой к синусоидальной и обязательно симметричной. Даже незначительная асимметрия тока подмагничивания всего в 1 % вызывает увеличение шума фонограммы на 4 дБ. При заметном искажении формы колебаний ГСП нужно проверить режимы работы усилительных элементов, элементов обоих плеч генератора. Обмотки катушек (трансформаторов) должны быть симметричными, а транзисторы — иметь примерно одинаковые параметры.

Если имеются отличия формы тока в правом и левом каналах, то, возможно, надо сменить блок записывающих (универсальных) головок.

Для измерения тока стирания последовательно со стирающей голов-

кой включают резистор сопротивления 1 Ом с допуском точности не более $\pm 0,5\%$ (рис. 4.64). Магнитофон включают в режим «Запись», электронным вольтметром измеряют падение напряжения на резисторе каждого канала (если магнитофон четырехдорожечный). Величину тока стирания определяют по закону Ома: $I_{\text{стир}} = U/R$ (мА), где U — падение напряжения на резисторе (мВ), R — величина сопротивления резистора (Ом). Величина тока стирания составляет несколько десятков мА в зависимости от типа магнитофона.

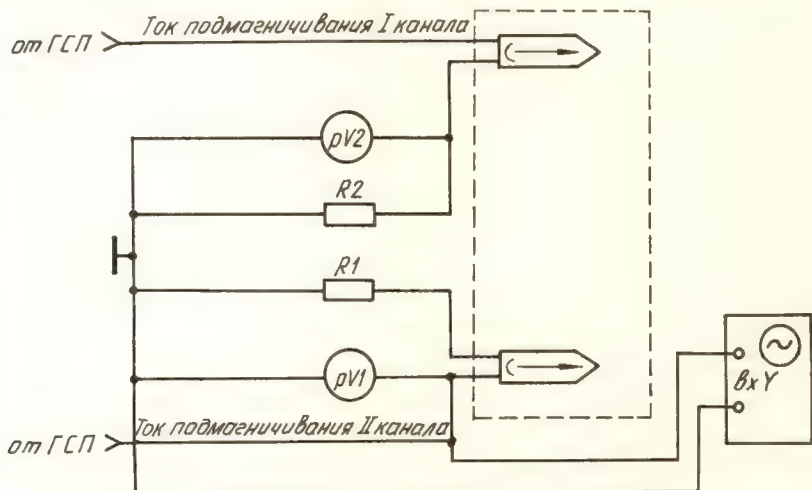


Рис. 4.63. Схема подключения приборов для измерения тока подмагничивания

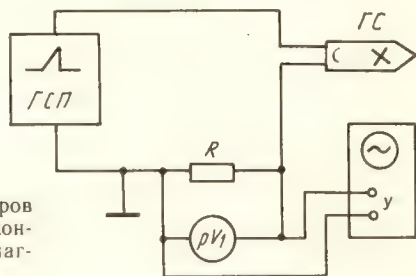


Рис. 4.64. Схема подключения приборов для измерения тока стирания и контроля формы тока стирания и подмагничивания

Подключив параллельно резистору осциллограф, можно проверить форму генерируемых колебаний. Она должна быть близкой к синусоидальной и одинаковой в обеих головках.

Частоту колебаний генератора измеряют в режиме «Запись» без подачи на вход магнитофона сигнала измерителем частоты, подключенным к стирающей головке, или методом сравнения с колебаниями известной частоты (метод фигур Лиссажу). При измерении этим методом применяют электронный осциллограф и генератор звуковой частоты с диапазоном частот до 100 кГц. Развертку осциллографа отключают и вход X подключают ко входу усилителя горизонтального отклонения. На вход X

подают сигнал от генератора звуковой частоты, а на вход Y напряжение со стирающей головки (рис. 4.65).

Затем плавно увеличивают частоту ГЗЧ, начиная примерно с 20 кГц до получения на экране осциллографа фигуры в виде эллипса, или круга (частота ГЗЧ равна частоте ГСП), или восьмерки (частота ГСП в два раза выше).

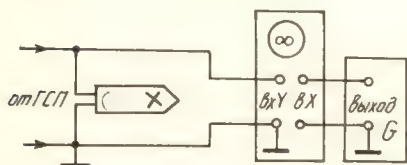


Рис. 4.65. Схема подключения приборов для измерения частоты методом фигур Лиссажу

Настройка эквивалентов стирающих головок в режиме монофонической записи

Чтобы при переключении магнитофона из режима «Сtereo» в режим «Моно» не изменялась частота и величина тока подмагничивания, необходимо настроить эквивалент стирающей головки, подключаемый вместо нее. Цель настройки состоит в том, чтобы добиться одинакового уровня сигнала на записывающей (универсальной) головке при записи в режимах «Моно» и «Сtereo» или одинакового уровня сигнала на линейном выходе при записи в обоих режимах.

Для этого нажать в магнитофоне одновременно кнопки «1—4» и «2—3». Подать на вход магнитофона сигнал номинального уровня с частотой 400 Гц. Магнитофон включить в режим «Запись» и установить номинальный уровень записи, измерить при помощи электронного вольтметра или осциллографа и запомнить уровень сигнала на выводах записывающей головки, соответствующих первой дорожке. Затем нажать кнопку «2—3» и опять измерить напряжение на выводах записывающей головки. Если эквивалент настроен, то величина напряжения в обоих случаях будет одинакова, в противном случае подстроить сердечник катушки эквивалента стирающей головки дорожки 2—3.

Аналогично проводят измерения, подав сигнал на вход второго стереоканала и контролируя уровень сигнала на выводах записывающей головки, соответствующей второй дорожке, и, при необходимости, подстраивают сердечник эквивалента стирающей головки дорожки 1—4.

Если невозможно настроить эквивалент стирающей головки, необходимо проверить его катушку индуктивности, сердечник и цепи коммутации. После замены деталей эквивалент опять необходимо настроить.

Проверка относительного уровня стирания записи

Качество стирания зависит от стирающей головки, ширины магнитной ленты и плотности ее прилегания к головке, уровня записи и частотного спектра фонограммы, времени, прошедшего с момента записи.

Зависимость относительного уровня стирания от тока через стирающую головку приведена на рис. 4.66.

Из графика видно, что, начиная с некоторого уровня стирания, увеличение тока в стирающей головке не дает заметных результатов, происходит насыщение магнитопровода головки и рост потерь в ней.

Измерение относительного уровня стирания у многоскоростных магнитофонов производят на наивысшей скорости следующим образом. На проверяемом магнитофоне записывают сигнал частотой 1000 Гц с номинальным уровнем. Затем ленту перематывают обратно примерно до середины записанного участка и включают магнитофон на запись без подачи сигнала на вход. При этом регулятор уровня записи устанавливают в положение минимального уровня и стирают вторую часть записи. После этого ленту перематывают обратно на начало записанного

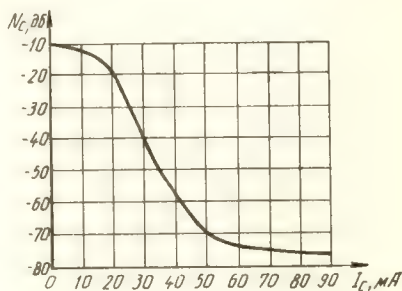


Рис. 4.66. Зависимость относительного уровня стирания от тока стирания (лента А4203-3Б, головка ЗС124.21.0)

сигнала, а к линейному выходу подключают селективный вольтметр. Магнитофон включают в режим «Воспроизведение» и измеряют напряжение на линейном выходе ($U_{\text{нест}}$), настраивая селективный вольтметр на максимальное показание. Далее измеряют напряжение на линейном выходе при воспроизведении стертых участков ($U_{\text{ст}}$), не изменяя настройки селективного вольтметра. Относительный уровень стирания (в децибелах) определяют по формуле $N_c = 20 \lg(U_{\text{ст}}/U_{\text{нест}})$ и сравнивают с данными технических характеристик магнитофона.

При отсутствии селективного вольтметра допускается оценка качества стирания на слух. Стертая запись не должна прослушиваться на расстоянии 1 м от магнитофона при максимальном усилении.

При некачественном стирании проверить правильность установки стирающей головки по высоте и величину тока стирания.

Установка номинального уровня записи и калибровка индикатора уровня

У магнитофона с правильно отрегулированным уровнем записи напряжение на линейном выходе, при воспроизведении сигнала частотой 400 Гц, равно значению напряжения, полученному при воспроизведении измерительной ленты с индексом «У», т. е. номинальному 150...500 мВ — в зависимости от типа магнитофона.

Для регулировки номинального уровня записи на магнитофон устанавливают измерительную ленту с индексом «У». К линейному выходу подключают электронный вольтметр или осциллограф. Магнитофон включают в режим «Воспроизведение» и измеряют величину напряжения на линейном выходе. Если регулятор громкости магнитофона изменяет величину напряжения на линейном выходе, то его устанавливают в положение, соответствующее номинальной выходной мощности.

Затем на магнитофон устанавливают рабочую магнитную ленту того типа, на работу с которой рассчитан магнитофон. На вход «Звукоснима-

тель» с генератора звуковой частоты подают сигнал 400 Гц и напряжением 250 мВ. Магнитофон включают в режим «Запись». Регулятором уровня записи устанавливают значение уровня записываемого сигнала (обычно 0 дБ на индикаторе) и производят запись сигнала в течение 20—30 с.

Перематывая ленту на начало записи, воспроизводят ее и измеряют напряжение на линейном выходе. Величина измеренного напряжения при правильно отрегулированном индикаторе уровня записи не должна отличаться более чем на ± 2 дБ (0,79) от значения, полученного при воспроизведении измерительной ленты с индексом «У». В случае неравенства напряжений повторяют запись сигнала с большим (если уровень записанного сигнала меньше) или меньшим уровнем, добиваясь равенства напряжений записанного сигнала и контрольного с измерительной ленты. Добившись правильного уровня записи, производят калибровку индикатора уровня записи. Для этого, не изменяя положения регулятора уровня записи, магнитофон снова переводят в режим «Запись» и с помощью элементов, предназначенных для регулировки чувствительности индикатора, нужно установить его показание, соответствующее номинальному уровню записи (согласно инструкции на данный магнитофон). Для стереофонического магнитофона производят аналогичную регулировку для второго канала. Для магнитофонов со сквозным каналом контроль уровня записанного сигнала на линейном выходе и регулировку чувствительности индикаторов можно производить в режиме «Запись».

Если индикатор уровня записи используется для контроля напряжения источника питания (у магнитофонов с автономным питанием), то производят калибровку индикатора в режиме «Контроль напряжения питания». Для этого на магнитофон подают номинальное напряжение питания, включают «Воспроизведение» и при помощи подстроечного резистора схемы индикатора устанавливают стрелку на необходимую отметку (согласно инструкции магнитофона).

Проверка чувствительности входов магнитофона в режиме «Запись»

После проверки и регулировки номинального уровня записи и калибровки индикаторов уровня записи проверяют чувствительность входов магнитофона, т. е. возможность установки номинального уровня записи по индикатору при подаче на каждый вход минимального для данного входа напряжения сигнала. Для такой проверки поочередно на каждый вход магнитофона с генератора звуковой частоты подают сигнал частотой 400 Гц и минимальным напряжением, указанным в технических характеристиках магнитофона для данного выхода. Магнитофон включают в режим «Запись» и регулятором уровня записи устанавливают номинальный уровень записи. Затем подают максимальное напряжение для данного входа, а также регулятором уровня записи устанавливают номинальный уровень.

В стереофонических магнитофонах проверку производят для обоих каналов.

При невозможности установить номинальный уровень записи проверяют номиналы резисторов входных делителей, исправность переключателей входов, входной усилитель.

Проверка и регулировка АЧХ сквозного канала в режиме «Запись — воспроизведение»

АЧХ сквозного канала — это зависимость напряжения на линейном выходе от частоты при постоянном значении напряжения на входе канала записи. АЧХ — один из самых важных параметров, определяющих качество работы магнитофона.

Проверку АЧХ сквозного канала производят в следующей последовательности.

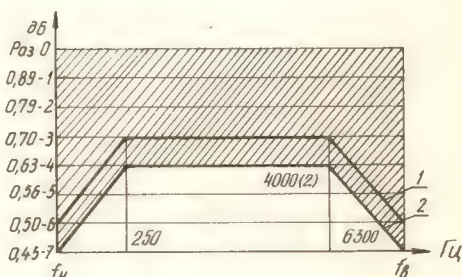


Рис. 4.67. Поле допусков АЧХ сквозного канала (1—О, 1-я группа сложности; 2—2-я группа сложности)

На магнитофон устанавливают тот тип магнитной ленты, на работу с которой он рассчитан. На вход магнитофона «Звукосниматель» с генератора звуковой частоты подают сигнал частотой 1 кГц и напряжением, равным номинальному значению чувствительности для данного входа. Регулятором уровня записи устанавливают по индикатору номинальный уровень записи и положение регулятора в дальнейшем не изменяют. Затем напряжение генератора уменьшают на 20 дБ (в 10 раз), чтобы исключить возможность перегрузки усилителя записи (универсального усилителя) и насыщения магнитной ленты на верхних частотах звукового диапазона. Выходное напряжение генератора лучше контролировать внешним милливольтметром, т. к. показания индикатора уровня записи приближенны. На магнитофоне производят запись стандартного ряда частот рабочего диапазона от нижней до верхней (которые записаны на измерительной ленте с индексом «Ч» для данной скорости). После окончания записи ленту перематывают и воспроизводят фонограмму записанных частот, измеряя соответствующие им напряжения на линейном выходе. По полученным данным строят частотную характеристику, зависимость величины напряжения от частоты, которая должна укладываться в поле допусков (рис. 4.67). Если АЧХ не укладывается в поле допусков на верхних частотах рабочего диапазона, то ее подстраивают соответствующими регулировочными элементами схемы. Как указывалось ранее, уровень верхних частот существенно зависит от качества магнитных головок, величины тока подмагничивания и типа ленты. В стереофоническом же магнитофоне АЧХ второго канала снимается аналогично. Допустимое рассогласование АЧХ между каналами в диапазоне частот 250...6300 Гц (согласно ГОСТ 24863—81) для магнитофонов высшей и первой группы сложности не более 2,0 дБ, для второй — 3 дБ. Если в магнитофоне имеется система АРУЗ, ее отключают, а если это сделать невозможно, то входное напряжение устанавливают на 2,0 дБ ниже уровня ее срабатывания.

Измерение коэффициента гармонических искажений

Нелинейные искажения сигнала характеризуются коэффициентом гармоник

$$K_r = \sqrt{\frac{U_2 + U_3 + U_4 + \dots + U_n}{U_1}} \cdot 100 \%,$$

где $U_2, U_3, U_4 \dots U_n$ — напряжения второй (частота в 2 раза выше), третьей и т. д. гармоник сигнала; U_1 — напряжение первой гармоники (основная частота сигнала).

При $K_r = 10\text{—}15\%$ вместо напряжения первой гармоники можно подставлять напряжение сигнала.

Значения напряжений второй U_2 , третьей U_3 и т. д. гармоник определяют с помощью анализатора гармоник. Напряжения выше пятой гармоники настолько малы, что ими можно пренебречь. Измерители нелинейных искажений (например, С6—7), используемые для проверки усилительных устройств, измеряют общий коэффициент гармоник и при измерении K сквозного канала.

Проверка частотной характеристики усилителя записи

Необходимость проверки частотной характеристики усилителя записи возникает, если АЧХ сквозного канала не соответствует норме.

Частотная характеристика УЗ — это зависимость записи от частоты записываемого сигнала.

Для ее проверки на вход магнитофона от ГЗЧ через последовательно включенный резистор, величина сопротивления которого равна сопротивлению источника сигнала, подают сигнал частотой 400 или 1000 Гц, напряжением, равным чувствительности данного входа (рис. 4.68).

Регулятором уровня записи устанавливают максимальное его значение. Отключают ток подмагничивания.

О величине тока в записывающей головке судят по величине падения напряжения на резисторе (20...50 Ом для низкоомной головки и 100...200 Ом для высокоомной головки), включенном последовательно с ней. Затем входное напряжение сигнала с генератора ЗЧ уменьшают на 20 дБ (в 10 раз) и во время проверки поддерживают неизменным, контролируя его величину вольтметром РВ1. Изменяя частоту генератора, измеряют падение напряжения на R_2 и по полученным данным строят частотную характеристику. В многоскоростных магнитофонах измерения производят для всех скоростей. Частотная характеристика усилителя записи должна укладываться в пределы, указанные в инструкции по ремонту и регулировке данного аппарата. Примерный ход частотных характеристик усилителя для разных скоростей показан на рис. 2.4, результат будет несколько завышенным. Для измерения K_r согласно ГОСТ 24863—81 в магнитофонах достаточно ограничиться выделением третьей гармоники. Для этого на вход магнитофона подают сигнал в основном с частотой 1 кГц, напряжением, равным номинальному для данного входа. При этом собственный K_r генератора звуковой частоты должен быть в 3...5 раз ниже ожидаемого коэффициента гармоник магнитофона. Сигнал записывают с номинальным уровнем. Затем воспроизводят фоно-

грамму и с помощью фильтра, настроенного на третью гармонику (3 кГц), измеряют напряжение ее U_3 на линейном выходе или измерения проводят селективным вольтметром. После этого измеряют напряжение $U_{\text{вых}}$ сигнала на линейном выходе электронным вольтметром (без фильтра) и рассчитывают коэффициент 3-й гармоники: $K_{г3} = U_3/U_{\text{вых}} \cdot 100 \%$.

Измерение K_r при помощи измерителя нелинейных искажений Сб—5, Сб—7 и аналогичными заключается в следующем.

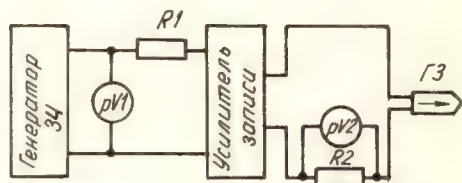


Рис. 4.68. Схема подключения приборов для снятия АЧХ усилителя записи

На магнитофоне записывают сигнал 400 Гц с номинальным уровнем. Затем фонограмму воспроизводят, подключив к линейному выходу измеритель нелинейных искажений. Настроив прибор согласно инструкции по эксплуатации, определяют K_r .

В стереофонических магнитофонах аналогичные измерения производят на обоих каналах.

При завышенном значении K_r увеличивают ток подмагничивания с последующей проверкой АЧХ сквозного канала. Одним из основных источников нелинейных искажений является магнитная лента.

Измерение относительного уровня шумов помех сквозного канала

Шумы и помехи сквозного канала складываются из собственных шумов магнитной ленты, помех каналов «Запись» и «Воспроизведение». На слух они воспринимаются как шипение, потрескивание, фон с частотой сети и т. п. Наиболее заметны в паузах фонограммы, так как они не маскируются полезным сигналом. Общий уровень этих шумов и помех характеризуется относительным уровнем шумов и помех, определяется отношением напряжения на линейном выходе в паузе записи к номинальному напряжению сигнала, соответствующему уровню линейных искажений $K_r = 3 \%$.

Перед измерением блок головок и магнитная лента тщательно размагничиваются. На вход магнитофона, предназначенный для записи с другого магнитофона, подают сигнал частотой 1000 Гц и номинальным напряжением. Регулятором уровня записи устанавливают такой уровень, при котором $K_r = 3 \%$, и производят запись сигнала. Затем отключают генератор и, не меняя положения регулятора уровня записи, производят запись без сигнала, предварительно шунтируя вход резистором $22 \text{ кОм} \pm 5 \%$. Перемотав ленту обратно, воспроизводят фонограмму. Электронным вольтметром, подключенным к линейному выходу, измеряют напряжение сигнала U_c . Напряжение паузы U_n измеряют, включив между линейным выходом и электронным вольтметром взвешивающий фильтр «А», АЧХ которого приведена в табл. 4.26. Относительный уровень шумов и помех определяют из выражения: $N_n = 20 \lg(U_n/U_c)$, дБ.

Для определения относительного уровня паразитных напряжений напряжение паузы измеряют через фильтр, АЧХ которого приведена в табл. 4.27.

Таблица 4.26. Амплитудно-частотная характеристика фильтра для измерения относительного уровня шумов и помех (кривая А)

Частота, Гц	Затухание, дБ	Допуск, дБ
10,0	-70,4	+3,0 —
12,5	-63,4	+3,0 —
16,0	-56,7	+3,0 —
20,0	-50,5	+3,0...-3,0
25,0	-44,7	+2,0...-2,0
31,0	-39,4	+1,5...-1,5
40,0	-34,6	+1,5...-1,5
50,0	-30,2	+1,5...-1,5
63,0	-26,2	+1,5...-1,5
80,0	-22,5	+1,5...-1,5
100,0	-19,1	+1,0...-1,0
125,0	-16,1	+1,0...-1,0
160,0	-13,4	+1,0...-1,0
200,0	-10,6	+1,0...-1,0
250,0	-8,6	+1,0...-1,0
315,0	-6,6	+1,0...-1,0
400,0	-4,8	+1,0...-1,0
500,0	-3,2	+1,0...-1,0
630,0	-1,9	+1,0...-1,0
800,0	-0,3	+1,0...-1,0
1000,0	0	0 0
1250,0	0,6	+1,0...-1,0
1600	1,0	+1,0...-1,0
2000	1,2	+1,0...-1,0
2500	1,3	+1,0...-1,0
3150	1,2	+1,0...-1,0
4000	1,6	+1,0...-1,0
5000	0,5	+1,5...-1,5
6300	-0,1	+1,5...-2,0
8000	-1,1	+1,5...-3,0
10 000	-2,5	+2,0...-4,0
12 500	-4,3	+3,0...-6,0
16 000	-6,6	+3,0 —
20 000	-9,3	+3,0 —

Таблица 4.27. Амплитудно-частотная характеристика фильтра для измерения относительного уровня помех

Частота, Гц	Затухание, дБ	Допуск, дБ
4,0	-60	0 —
8,0	-40	0 —
22,0	0	+0,5...6
26,0	0	+0,5...1
19 000,0	0	+0,5...1
22 600,0	0	+0,5...6
64 000,0	-40	0 —
120 000,0	-60	0 —

Проверка синфазности каналов

Синфазность стереофонических каналов магнитофона проверяют отдельно для усилителя воспроизведения и усилителя записи, в магнитофоне с универсальным усилителем — сначала в режиме «Воспроизведение», а затем в режиме «Запись».

Для проверки синфазности выходных сигналов, при воспроизведении сигналов, записанных синфазно, воспроизводят на магнитофоне изме-

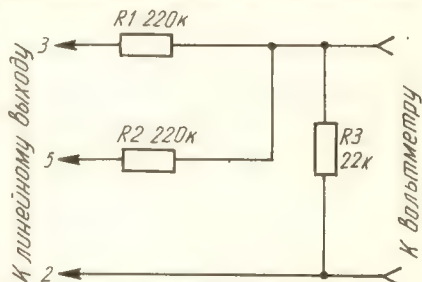


Рис. 4.69. Схема сумматора для измерения синфазности каналов стереофонического магнитофона

рительную ленту, записанную по всей ширине (с индексом «У» или «Д»), и измеряют выходное напряжение линейного выхода на суммирующем резисторе (рис. 4.69). Сначала измеряют напряжение на выходе I канала, подключив согласующую цепочку к контактам 3—2, затем II канала — выход к контактам 5...2 и обоих каналов одновременно (присоединяем оба резистора к линейному выходу контактов 3, 5 и 2). Если в последнем случае вольтметр показывает увеличение напряжения — каналы синфазны. В противном случае необходимо поменять местами провода, идущие к одной из головок блока.

Для проверки синфазности записанных сигналов на магнитофоне производят запись сигнала 1000 Гц с номинальным уровнем на разных участках ленты сначала только на левом канале (на правый сигнал не подан), затем только на правом (на левый сигнал не подан) и на обоих каналах одновременно. Записи воспроизводят и аналогично измеряют напряжения на суммирующем резисторе левого канала, затем только правого и обоих вместе. Если в последнем случае выходное напряжение больше, чем в двух предыдущих, то записанные сигналы синфазны.

Можно проверить синфазность сигналов с помощью осциллографа и измерительной ленты 6ЛИТ4.ЧВН, 3ЛИТ2.ЧН первой посылки 400 Гц. Сравнить осциллограммы сигналов на линейном выходе обоих каналов при воспроизведении измерительной ленты. Если каналы синфазны, то полярность сигналов на их выходе будет одинакова.

Проверка и настройка индикаторов уровня записи

Установить на магнитофон ленту, на работу с которой он рассчитан. На вход «Звукосниматель» подать сигнал частотой 400 Гц и напряжением, равным минимальной чувствительности входа (150...500 мВ). Включить режим «Запись» и регулятором уровня записи установить номинальный уровень записи по индикатору (обычно 0 дБ индикатора).

Записать сигнал, а при воспроизведении его измерить напряжение на линейном выходе. Его величина не должна отличаться от измеренного при воспроизведении части «У» измерительной ленты более чем на 2 дБ. В противном случае установить регуляторы уровня записи в положение,

при котором уровень записанного сигнала будет равен уровню части «У» измерительной ленты. Затем с помощью подстроечных резисторов, регулирующих чувствительность индикатора, установить показание индикатора, соответствующее номинальному уровню записи. При необходимости провести аналогичную подстройку чувствительности индикатора второго канала.

Проверка относительного уровня проникания сигнала с соседней дорожки записи

На вход «Звукосниматель» обоих стереоканалов подать от ГЗЧ сигнал напряжением 500 мВ, частотой 80 Гц и записать на размагниченной ленте сигнал с номинальным уровнем. Запись воспроизводят и измеряют напряжение на линейном выходе селективным вольтметром, настроенным по максимальному показанию.

Затем меняют местами катушки магнитофона, переворачивают их и воспроизводят незаписанные дорожки, расположенные на том же участке ленты, что и записанные. Селективным вольтметром измеряют напряжение на линейном выходе обоих стереоканалов. Отношение $20 \lg(U_{\text{соседи}}/U_{\text{раб}})$ для каждого канала, выраженное в децибеллах, характеризует относительный уровень проникания с соседних дорожек записи. Полученный результат сравнивают с техническими характеристиками. Если уровень проникания с соседней дорожки записи не удовлетворяет техническим характеристикам, то следует тщательно проверить правильность установки головок записи и воспроизведения и расположения дорожек на ленте, четкость фиксации магнитной ленты.

4.10. ПРОВЕРКА ОСНОВНЫХ ПАРАМЕТРОВ И РЕГУЛИРОВКА МАГНИТОФОНОВ

Проверка лентопротяжного механизма

Признаком исправного состояния ЛПМ является его четкое функционирование во всех режимах работы: включение и выключение; ускоренная перемотка ленты в одну и в другую сторону; аккуратная и плотная намотка ленты на катушку.

После предварительной проверки работоспособности ЛПМ приступают к измерению средней скорости движения ленты в режиме «Запись — воспроизведение».

Измерение средней скорости движения ленты производится при сочетании неблагоприятных обстоятельств, приводящих к максимально возможному отклонению скорости от номинального значения. Это будет наблюдаться при наибольшем значении напряжения питания $+10\%$ (242 В) в начале полной катушки (кассеты) ленты и при наименьшем -10% (198 В) в конце катушки. Согласно ГОСТу на бытовые магнитофоны отклонение скорости ленты от номинального значения не должно превышать $\pm 1\%$ для магнитофонов высшей группы сложности, $\pm 1,5\%$ для и $\pm 2\%$ — для остальных групп сложности.

Наиболее простым и широко используемым на практике является метод измерения скорости с помощью мерного отрезка ленты. При этом методе отмеряют отрезок ленты, равный 100 В (В — номинальная скорость ленты), и измеряют секундомером время, в течение которого он проходит по лентопротяжному механизму в режиме «Воспроизведение» мимо воспроизводящей головки. Если скорость движения ленты соответствует номинальной, то время движения отмеченного отрезка ленты

равно 100 секундам. Отклонение времени в секундах в сторону увеличения или уменьшения и соответствует отклонению скорости в процентах. Например, для скорости движения ленты магнитофона 19,05 см/с отмечаем отрезок 19,05 метра. Если время его прохождения мимо головки равно 101 с, то отклонение скорости от номинальной равно 1 %, если 98 с, то +2 %.

При использовании этого метода в кассетных магнитофонах надо взять отрезок ленты длиной 100 В с записанным сигналом 1000 Гц и вклеить его в измерительную кассету между двумя отрезками ракорда. Время движения ленты в режиме «Воспроизведение» отсчитывают секундомером с момента появления сигнала до его прекращения.

Измерение коэффициента детонации

Коэффициент детонации измеряют путем воспроизведения части «Д», измерительной ленты, подключив детонатор к линейному выходу магнитофона.

На измерительной ленте записан сигнал частотой 3150 Гц на прецизионном магнитофоне.

Измерения проводят при повышенном (242 В) и пониженном (198 В) напряжении питания в начале и в конце катушки с лентой.

При отсутствии измерительной ленты или если измеряемый коэффициент детонации менее чем в 3 раза превышает собственный коэффициент детонации измерительной ленты (указывается в паспорте ленты), можно использовать метод «Запись — воспроизведение». На проверяемом магнитофоне записывают сигнал синусоидальной формы 3150 Гц от генератора звуковой частоты (с нестабильностью частоты не хуже 10^{-4}). Установив магнитофон в режим «Воспроизведение», воспроизводят этот сигнал, измеряя коэффициент детонации специальным прибором. Так процесс «Запись — воспроизведение» повторяют несколько раз (не менее пяти). Результатом будет среднее арифметическое этих нескольких измерений.

При отсутствии прибора измерения оценить детонацию можно лишь примерно, на слух, воспроизводя часть «Д» измерительной ленты. В нормально работающем магнитофоне запись должна звучать чисто и высота тона не должна изменяться.

Наиболее точно измерение отклонения скорости движения ленты от номинального значения и коэффициента детонации производят в специализированном радиоателье, где имеется необходимая измерительная аппаратура и измерительные ленты.

Установка магнитных головок

Магнитные головки должны быть установлены так, чтобы их рабочие зазоры располагались строго перпендикулярно направлению движения ленты. Рабочие зазоры головок записи и воспроизведения должны быть строго параллельны между собой, в противном случае будет «завал» частотной характеристики в области верхних частот, т. е. отсутствие высоких частот при воспроизведении фонограмм. Чтобы магнитная лента плотно прилегала к рабочим поверхностям магнитных головок, хорошо огибая их, при движении не испытывала поперечных изгибов и не перемещалась в вертикальном направлении, рабочие поверхности головок должны быть параллельны друг другу и другим деталям, через которые проходит лента. Кроме того, плотный контакт ленты с головками достигается за счет подтормаживания подающего узла ЛПМ и прижима ленты к рабочей поверхности головки с помощью плоской пружины с на-

клепанным на нее фильтром или с помощью эластичной ленты. Перемещение ленты в вертикальном направлении ограничивают направляющие колонки и направляющие штыри головок кассетного магнитофона.

Рабочие поверхности головок должны занимать правильное положение и по ширине ленты (рис. 4,70, 4,71).

Визуально проверить положение блоков головок по высоте при четырехдорожечной записи сложно. Для более точной проверки на всех четырех дорожках производят запись с частотой 400 или 1000 Гц с повышенным

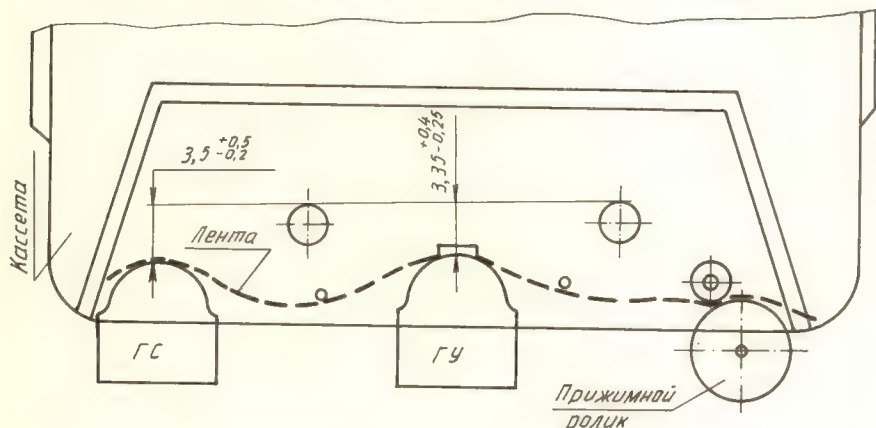


Рис. 4.70. Установка магнитных головок относительно кассеты

уровнем. Ленту с записью помещают в суспензию из порошка карбонильного железа (1...3 ч), спирта или бензина (100 г). Раствор встряхивают, через 10—15 с ленту вынимают и дают высохнуть. После высыхания осевшие частицы карбонильного железа проявят дорожки записи. Наблюдать и измерять их удобнее инструментальным микроскопом. При правильной установке блока головок на высоте края дорожек должны быть четко очерчены. Край верхней дорожки 1 должен совпадать с краем ленты, а сами дорожки и промежутки между ними должны быть одинаковыми и расположенными симметрично. Необходимое положение блока головок регулируют с помощью регулировочных винтов.

Для проверки установки стирающих головок записывают сигнал 1000 Гц по всей ширине ленты. Затем стирают на всех дорожках. После проявления в суспензии порошка карбонильного железа должны четко обозначиться нестертые промежутки между дорожками.

Проверку установки головки по высоте можно производить с помощью измерительной ленты и осциллографа. Для проверки двухдорожечных магнитофонов применяется измерительная лента 6ЛИТ2.ЧВН, для четырехдорожечных монофонических и стереофонических — 6ЛИТ4.ЧВН.

При проверке двухдорожечного магнитофона на лентопротяжный механизм устанавливают ленту 6ЛИТ2.ЧВН, а к линейному выходу подключают осциллограф. Магнитофон включают в режим «Воспроизведение». На экране осциллографа будут наблюдаться импульсы (рис. 4.72).

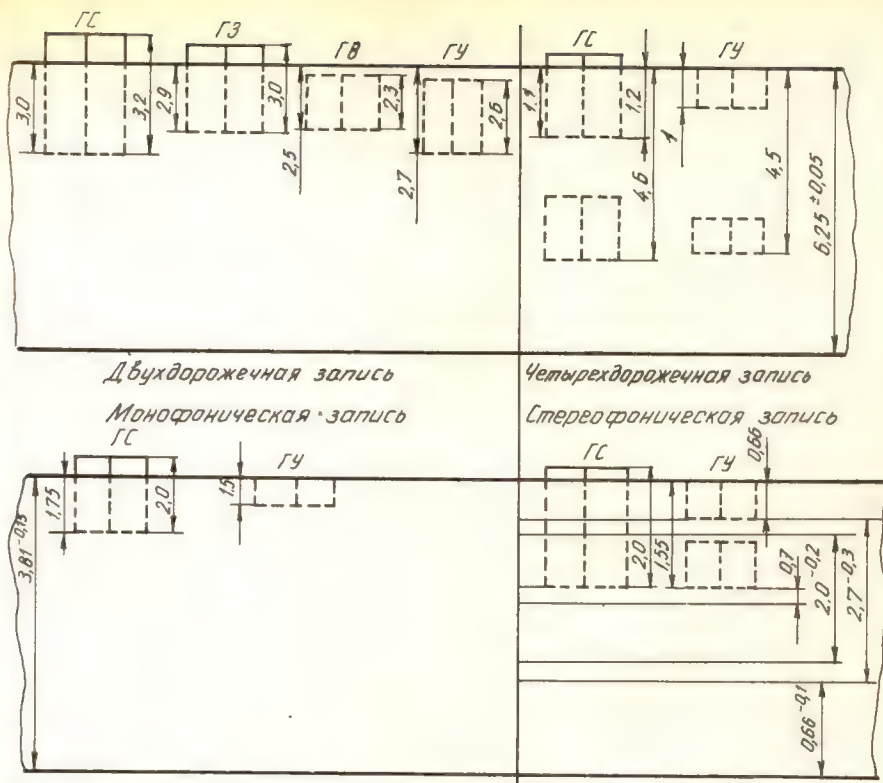


Рис. 4.71. Расположение ленты по высоте относительно магнитных головок

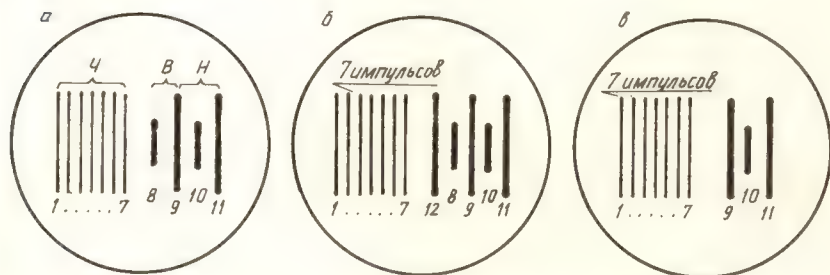


Рис. 4.72. Изображение на экране осциллографа при воспроизведении измерительной ленты типа 6ЛИТ2.4ВН:

а — нормально; б — низко; в — высоко

Наличие лишь одного импульса 8 свидетельствует о правильной установке головки по высоте. Если головка установлена ниже необходимого уровня, то слева от импульса 8 наблюдается импульс 12.

Если головка установлена выше необходимого уровня, то импульсы 8 и 12 части «Н» отсутствуют.

При проверке четырехдорожечного магнитофона устанавливают ленту 6ЛИТ4.ЧВА. Проверка производится аналогично двухдорожечному магнитофону. Включают «Воспроизведение» дорожки 1. Наличие лишь одного импульса 8 свидетельствует о правильной установке магнитной головки по высоте относительно магнитной ленты (рис. 4.73).

Если головка установлена ниже необходимого уровня, то слева от импульса 8 наблюдается импульс 12.

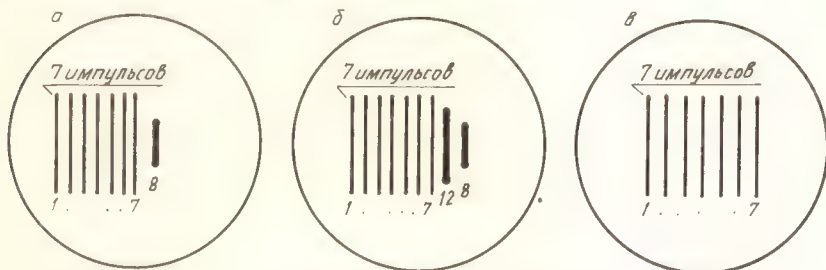


Рис. 4.73. Изображение на экране осциллографа при воспроизведении измерительной ленты 6ЛИТ4.ЧВН:

а — нормально; б — низко; в — высоко

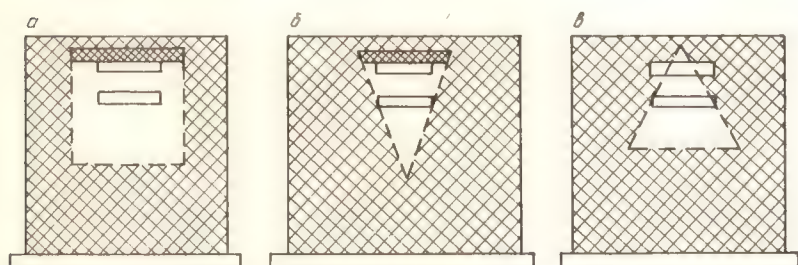


Рис. 4.74. Зона контакта ленты с головкой:

а — при правильной установке головки; б — при наклоне головки вперед; в — при наклоне головки «назад»

Если головка установлена выше необходимого уровня, то импульсы 8 и 12 отсутствуют.

В кассетном магнитофоне головки или блоки головок устанавливают по высоте так, чтобы при перемещении их в кассету лента свободно входила в направляющие штыри, а сами головки не касались бы корпуса кассеты. При этом лента не должна задевать штыри и сниматься.

Непостоянство контакта ленты с головкой, поперечные колебания ленты, неоднородность магнитного слоя ленты вызывают паразитную амплитудную модуляцию (ПАМ). ПАМ с частотой менее 1 Гц на слух ощущается как изменение уровня или «пропадание» сигнала, с частотой 1...10 Гц напоминает эффект детонации, а с частотой выше 10 Гц проявляется в виде хрипlosti звука.

Для проверки и установки рабочей поверхности магнитной головки (блока головок) параллельно плоскости движения ленты рабочую поверхность головки закрашивают какой-либо легко стираемой краской, чернилами от авторучек, мелом и т. п.

После высыхания краски устанавливают на магнитофон ленту (или кассету) и включают «Рабочий ход». Движущаяся лента стирает с поверхности головки нанесенный слой, и видно, как лента прилегает к головке. У правильно установленной головки рабочий зазор находится посередине стертой поверхности, которая четко очерчена в виде прямоугольника (рис. 4.74, а).

Если рабочая поверхность головки не параллельна плоскости ленты, то форма стертого участка будет отличаться от прямоугольника: при наклоне головки вперед — сужаться книзу (рис. 4.74, б), при наклоне головки назад — кверху (рис. 4.74, в).

При необходимости наклон плоскости рабочей поверхности регулируют винтами. При регулировке может нарушиться положение головки по высоте, поэтому после окончания регулировки следует проверить установку головки. После завершения регулировок протереть рабочие поверхности головок ватным тампоном или мягкой чистой тряпочкой, смоченной в спирте.

Установка рабочего зазора магнитных головок перпендикулярна направлению движения ленты

Проверку и установку рабочего зазора головки перпендикулярно движению ленты выполняют при помощи части «Н» измерительной ленты 6ЛИТ2.ЧВН и 6ЛИТ4.ЧВН — для катушечных магнитофонов, 3ЛИТ2.ЧН и 3ЛИТ4.ЧН — для кассетных магнитофонов и осциллографа.

Измерительную ленту 6ЛИТ2.ЧВН устанавливают на двухдорожечный магнитофон к линейному выходу, подключают осциллограф, включают «Воспроизведение». Проверку угла наклона магнитной головки производят по соотношению амплитуд импульсов 9, 10, 11 осциллограммы (рис. 4.75).

Соотношение амплитуд импульсов 9, 10, 11, показанное на рис. 4.75 а, свидетельствует о том, что угол перекоса магнитной головки отсутствует или равен 0 (без учета погрешности самой ленты).

Угол перекоса находится в пределах допуска (± 5 мин), если амплитуда импульса 10 меньше (или равна) амплитуде импульсов 9 и 11.

Когда угол наклона больше заданной нормы, импульсы 9, 10, 11 имеют вид, изображенный на рис. 4.75, г, д.

При регулировке угла наклона добиваются максимально возможной амплитуды импульсов 5, 6, 7 и изменяют угол наклона головки таким образом, чтобы соотношение амплитуд импульсов 9, 10, 11 соответствовало указанному на рис. 4.75, а, б, в.

Для регулировки угла наклона рабочего зазора магнитной головки четырехдорожечного магнитофона устанавливают измерительную ленту 6ЛИТ4.ЧВН, переключатель дорожек устанавливают в положение «3—2», воспроизводят сигналограмму дорожки 3.

По соотношению амплитуд импульсов 8, 9, 10 части «Н» определяют угол наклона головки (рис. 4.76).

При необходимости регулировочными винтами изменяют угол наклона головки до получения на экране осциллографа соотношения амплитуд импульсов 8, 9, 10, как на рис. 4.76, а.

Регулировку перпендикулярности рабочего зазора головки можно выполнить и путем воспроизведения измерительной ленты с индексом «Ч», подключив к линейному выходу электронный вольтметр.

Регулятор усиления магнитофона устанавливают в положение мак-

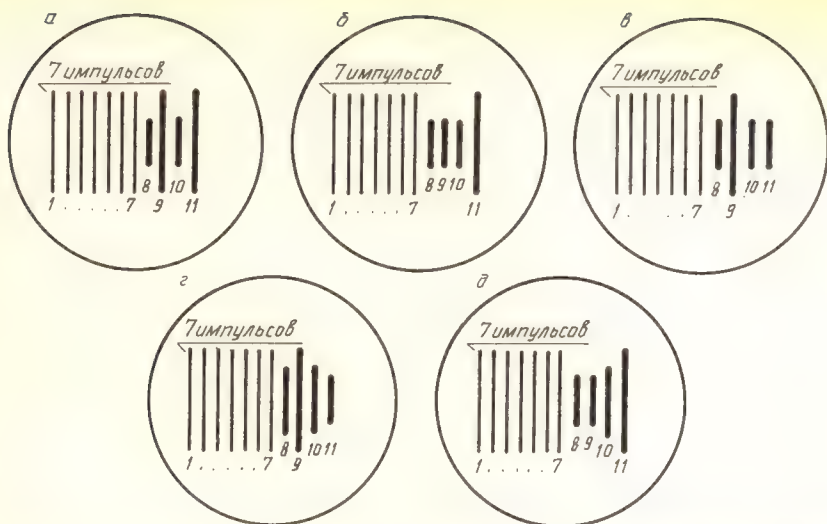


Рис. 4.75. Изображение на экране осциллографа при воспроизведении ленты 6ЛИТ2.ЧВН при разных углах наклона головки:

а — наклона нет; б, в — угол наклона допустимый; г, д — угол наклона больше нормы

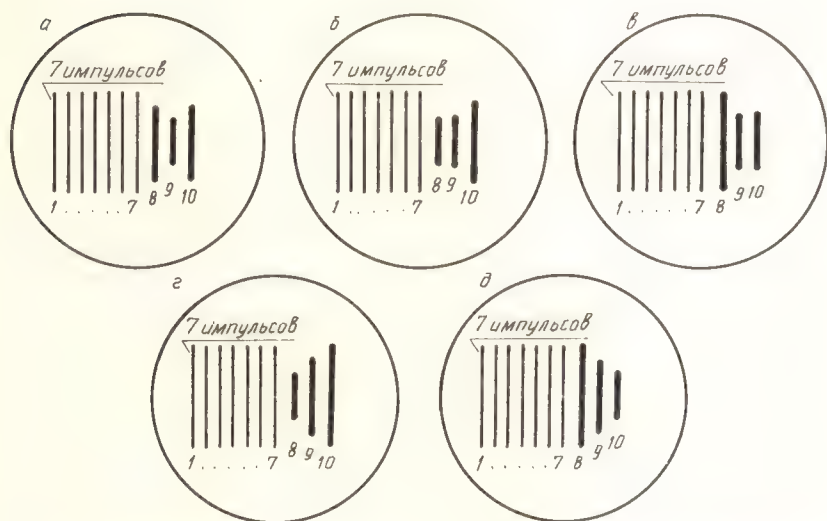


Рис. 4.76. Осциллограммы дорожки 2—3 при воспроизведении измерительной ленты 6ЛИТ4.ЧВН:

а — наклона нет; б, в — угол наклона предельно допустимый; г, д — угол наклона больше допустимого

симального усиления. Регулировочным винтом добиваются положения головки, при котором показания вольтметра будут максимальны.

При отсутствии измерительных лент можно осуществить запись сигнала частоты, близкой к верхнему пределу рабочей полосы магнитофона, на другом магнитофоне, у которого не нарушена заводская установка головки. При воспроизведении на регулируемом магнитофоне можно добиться максимального уровня сигнала на его выходе. Можно использовать качественную запись музыкальной программы и при воспроизведении ее регулировать наклон головки, добиваясь наилучшего воспроизведения верхних частот фонограммы.

Глава 5

РЕМОНТ БЛОКОВ КОММУТАЦИИ

Общие сведения

В настоящее время в аппаратах магнитной записи, в других бытовых аппаратах (радиоприемниках, электропроигрывающих устройствах, телевизорах и видеомагнитофонах) широко применяются сенсорные и квазисенсорные устройства коммутации режимов работы, выбора каналов и программ, устройства программного управления работой аппаратов и др. Недалек тот час, когда на отечественном рынке появятся цифровые бытовые аппараты магнитной записи.

Вышеназванные блоки и устройства состоят из цифровых элементов, ранее применявшихся только в вычислительной технике. Чтобы быть готовым к ремонту этих устройств, необходимо сначала изучить разновидности этих элементов и их работу.

В цифровых устройствах действуют цифровые сигналы. Обычные непрерывные синусоидальные сигналы звука называют аналоговыми и аппараты магнитной записи — тоже аналоговыми. В них нет преобразования аналогового сигнала в цифровой. Цифровые же сигналы представляют собой импульсы прямоугольной формы с определенной амплитудой максимума и определенным минимальным значением. Цифровой сигнал характеризуется изменением напряжения от одного уровня к другому. Эти уровни (максимум и минимум) могут иметь различное значение напряжения в вольтах в зависимости от серии элементов цифровых устройств. Причем принятое максимальное значение напряжения называть «уровень 1», а минимальное — «уровень 0». Конкретные величины напряжений нуля и единицы зависят от серии цифровых элементов (микросхем и др.). Так, например, в серии микросхем К 155 за уровень 1 принимается напряжение от 2,4 до 5,0 В, а за уровень 0 — от 0 до 0,4 В. Но различные серии цифровых микросхем отличаются между собой не только значениями уровней 0 и 1, но и значениями токов 0 и 1, временем задержки и др. При работе цифровых схем на транзисторах, микросхемах, как правило, не предъявляются жесткие требования к форме токов и напряжений. Транзисторы (как и транзисторы в составе микросхем) работают чаще только в ключевом режиме, т. е. или открыты, или закрыты (рис. 5.1). Причем открывание может осуществляться и синусоидальным сигналом с амплитудой большей, чем напряжение запаривания транзистора E_6 . Открывая-закрывая транзистор, на выходе получают практически прямоугольные импульсы, которые могут использоваться для даль-

нейшего управления схемой, исполнительными элементами (реле и др.). Такие транзисторные каскады используются, как правило, в оконечных исполнительных устройствах. Если вместо R_k будет обмотка реле, обмотка селеноида, то при открывании транзистора сработает данный элемент, к примеру, соленоид переведет механику магнитофона в режим «Воспроизведение» или др. В ключевых схемах обычно не предъявляются жесткие требования и к амплитуде импульса. Важно, чтобы напряжение надежно перекрывало уровни 0 и 1 (но было не больше допустимого).

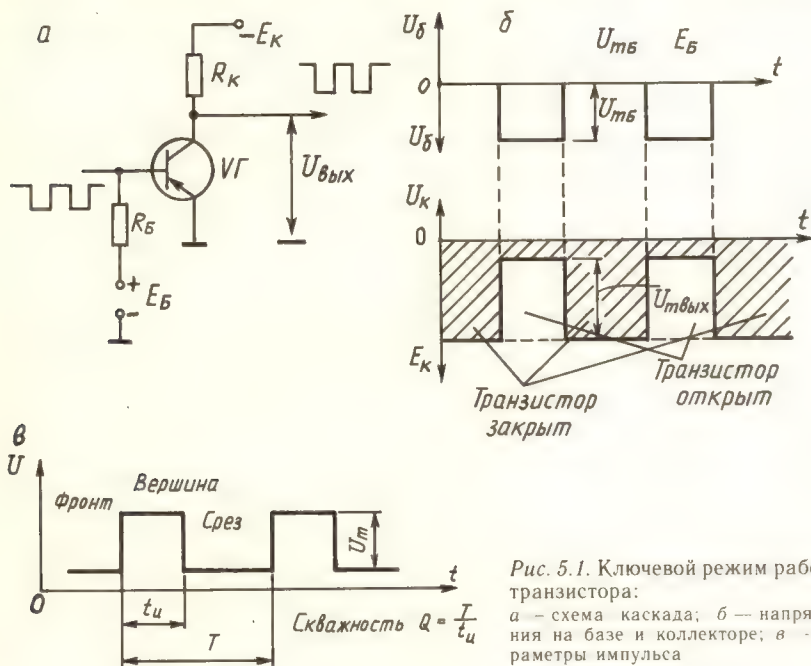


Рис. 5.1. Ключевой режим работы транзистора:

а — схема каскада; б — напряжения на базе и коллекторе; в — параметры импульса

Необходимо, чтобы переход от одного состояния (открытый транзистор) к другому (закрытый) происходил как можно быстрее. Для этого промышленность выпускает переключающие транзисторы, у которых время переключения меньше, чем у обыкновенных усилительных. Поэтому сравнительно просто записывать сигнал, состоящий только из нулей и единиц. При этом лента или намагничена полностью (1), или размагничена (0) (запись программ для компьютеров) и не требуются жесткие условия к степени ее намагниченности, т. е. к качеству, как при записи аналоговых звуковых сигналов.

Цифровой сигнал в устройствах управления, программных устройствах может быть представлен в закодированном (зашифрованном) виде, т. е. набором нулей и единиц. Такой код называют двоичным. Например, более «близкие» нам десятичные числа могут быть представлены в двоичном коде при четырех разрядах (табл. 5.1).

При представлении чисел кодом идет заполнение разрядов справа налево. Когда все четыре разряда заполнятся (что соответствует цифре 15), цифру 16 уже представить четырьмя разрядами нельзя,

Таблица 5.1

Десятичные числа	0	1	2	3	4	5	6	7	8	9	10
Код	0000	0001	0010	0011	0100	0101	0110	0111	1000	1001	1010

нужно больше разрядов. Переход от двоичного кода к десятичному (обратно) осуществляется устройствами, называемыми дешифраторами. Цифровая память фактически хранит код в каком-то количестве разрядов. Элементом памяти в схеме обычно является триггер. Количество разрядов — это количество триггерных схем.

Дальше для понимания схемотехники цифровых устройств необходимо ознакомиться с отдельными «кирпичиками здания цифровой техники».

5.1. ЦИФРОВЫЕ УСТРОЙСТВА

Логические элементы — это те «кирпичики», из которых строится здание цифрового устройства. Подобно тому как аналоговый усилитель состоит из отдельных усилительных каскадов, так цифровое устройство состоит из логических элементов, среди которых можно выделить три основных, называемых *«И»*, *«ИЛИ»* и *«НЕ»*.

Каждый логический элемент выполняет вполне определенную логическую функцию. Так, элемент *«И»*, а внутри это чаще схема на транзисторах, будет иметь сигнал на выходе, если одновременно будут присутствовать сигналы на первом, втором и на других входах одновременно (рис. 5.2).

На рисунке изображена схема двухвходового элемента *«И»*. На входы подаются двоичные сигналы (рис. 5.2), и они определяют состояние на выходе схемы. В таблице истинности приведены возможные комбинации на входах *A* и *B* и что при этом будет на выходе *B*.

Выпускаются и многовходовые логические элементы *«И»*, на выходе которых всегда будет сигнал в случае одновременного появления сигнала на всех входах. Причем на входах должен быть сигнал логической 1. Это импульсный сигнал или постоянное напряжение.

Другим широко распространенным логическим элементом является схема *«ИЛИ»*, условное графическое изображение которой приведено на рис. 5.3. В такой схеме сигнал на выходе будет в случае, если есть сигнал (напряжение логической 1) на любом из входов. Выпускаются многовходовые элементы *«ИЛИ»*.

Логический элемент *«НЕ»*, графическое обозначение которого и таблица истинности приведены на рис. 5.4, называют инвертором. На практике используются и комбинированные логические элементы *«И-НЕ»*, *«ИЛИ-НЕ»*, *«И-ИЛИ-НЕ»*.

В таких элементах последовательно выполняются указанные функции. Так, например, в схеме *«И-НЕ»* сначала выполняется функция *«И»*, т. е. при двух входах и наличии одновременно сигнала на них, на выходе схемы должен быть сигнал, дальше он поступает на схему *«НЕ»*, и на выходе ее сигнала не будет. Таким образом, при наличии сигналов на всех входах схемы *«И-НЕ»* на выходе сигнала не будет, а в других случаях будет (когда нет сигнала хотя бы на одном из входов).

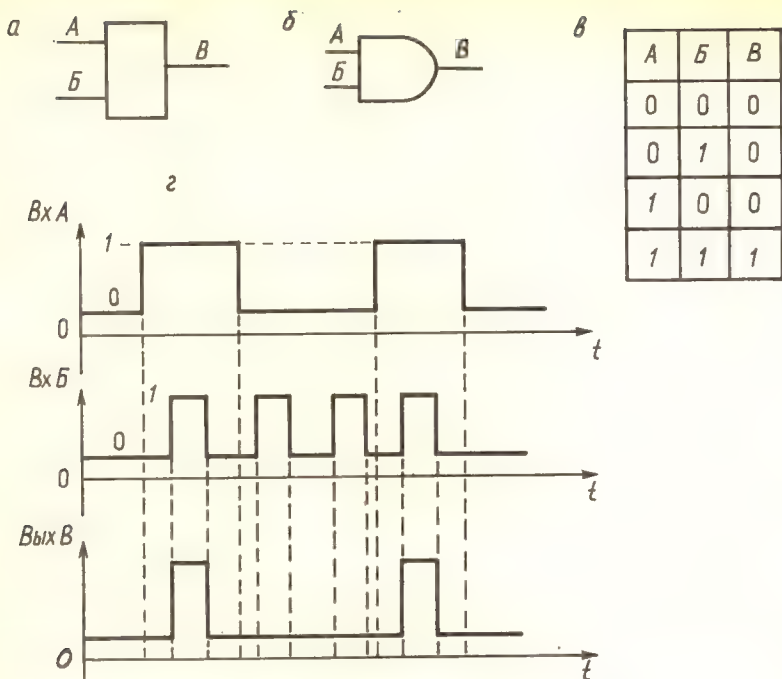


Рис. 5.2. Графическое обозначение элемента «И»:

а — отечественное; *б* — чаще встречающееся зарубежное; *в* — таблица истинности двухвходового элемента «И»; *г* — графики, поясняющие работу двухвходового элемента «И»

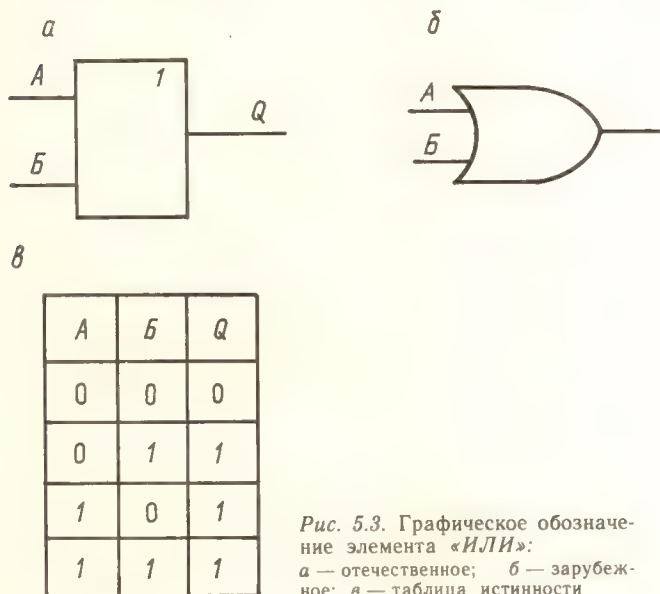


Рис. 5.3. Графическое обозначение элемента «ИЛИ»:

а — отечественное; *б* — зарубежное; *в* — таблица истинности

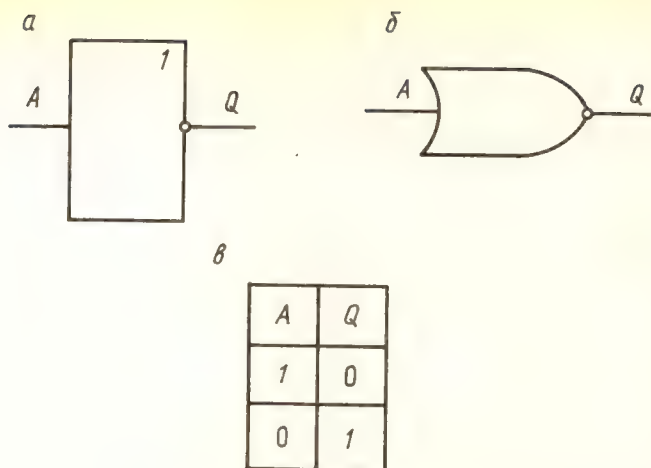


Рис. 5.4. Графическое обозначение элемента «HE»: а — отечественное; б — зарубежное; в — таблица истинности

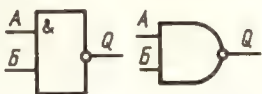
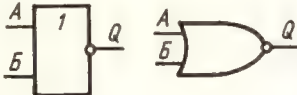
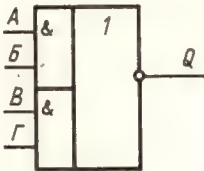
Условные графические изображения комбинированных логических элементов и их таблицы истинности приведены в табл. 5.2 и на рис. 5.5.

Промышленность выпускает большое количество логических интегральных схем, где имеются различные логические элементы (несколько в одном корпусе), двух- и многоходовые и т. п. Все логические ИС подразделяются на серии. Например, серия К155, К176 и др. Они могут иметь одинаковые наборы логических элементов, триггеров и других устройств, но отличаются значениями напряжений логических 1 и 0, напряжением питания, потребляемой мощностью, быстродействием, видами корпусов и др.

С точки зрения ремонта логических элементов особых сложностей нет (как видно из их принципа действия). Так, при наличии уровней логических 1 или 0 на входах напряжение 0 или 1 будет на выходе. Напряжения измеряются вольтметром или логическими пробниками. Поэтому в справочных данных на аппараты часто приводят не значения напряжения на выходах (их бывает много), которые соответствуют каким-то режимам («Запись», «Воспроизведение», «Перемотка» и др.), а логические уровни 0 и 1. Например, для кассетной приставки «Орель 101-стерео» приводится таблица, в которой указаны логические 0 и 1 в разных режимах на контактах (табл. 5.3). В примечании к принципиальной схеме данного аппарата указано, что логическому «0» соответствует напряжение +0,4В, а логической 1 — +2,4 В. Если при наличии на входе логического элемента присутствуют необходимые сигналы (уровни напряжения), а на выходе его нет нужного сигнала, то этот элемент неисправен. После проверки напряжения питания и наличия нормальных контактов (можно еще раз пропаять контакт неисправного выхода) следует проверить цепь выхода (нет ли большой утечки или короткого замыкания).

После проверки делают заключение, что элемент неисправен и микросхема подлежит замене. Заменять ее надо той же серией и типом МС. Однако есть серии (К155 и 133), имеющие одинаковые функции элементов и уровни, а также номера выводов питания, входов, выходов.

Таблица 5.2

Логическая операция	Обозначение логического элемента	Таблица истинности															
И НЕ		<table> <tr><th>A</th><th>Б</th><th>Q</th></tr> <tr><td>0</td><td>0</td><td>1</td></tr> <tr><td>0</td><td>1</td><td>1</td></tr> <tr><td>1</td><td>0</td><td>1</td></tr> <tr><td>1</td><td>1</td><td>0</td></tr> </table>	A	Б	Q	0	0	1	0	1	1	1	0	1	1	1	0
A	Б	Q															
0	0	1															
0	1	1															
1	0	1															
1	1	0															
ИЛИ НЕ		<table> <tr><th>A</th><th>Б</th><th>Q</th></tr> <tr><td>0</td><td>0</td><td>1</td></tr> <tr><td>0</td><td>1</td><td>0</td></tr> <tr><td>1</td><td>0</td><td>0</td></tr> <tr><td>1</td><td>1</td><td>0</td></tr> </table>	A	Б	Q	0	0	1	0	1	0	1	0	0	1	1	0
A	Б	Q															
0	0	1															
0	1	0															
1	0	0															
1	1	0															
И ИЛИ НЕ		<table> <tr><th>A, Б</th><th>В, Г</th><th>Q</th></tr> <tr><td>1</td><td>1</td><td>0</td></tr> <tr><td>0</td><td>1</td><td>0</td></tr> <tr><td>1</td><td>0</td><td>0</td></tr> <tr><td>0</td><td>0</td><td>1</td></tr> </table>	A, Б	В, Г	Q	1	1	0	0	1	0	1	0	0	0	0	1
A, Б	В, Г	Q															
1	1	0															
0	1	0															
1	0	0															
0	0	1															

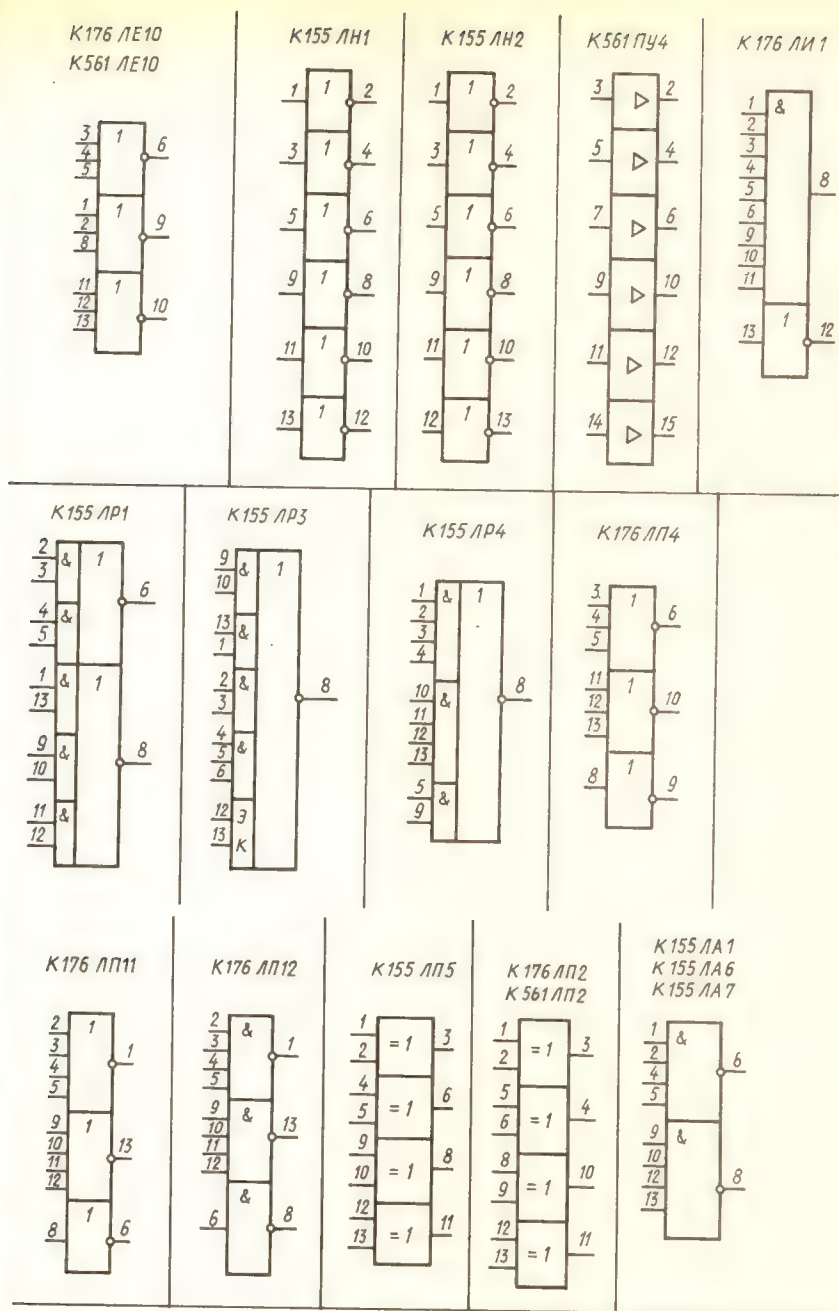


Рис. 5.5. Графическое обозначение логических элементов серий К155, К176, К561

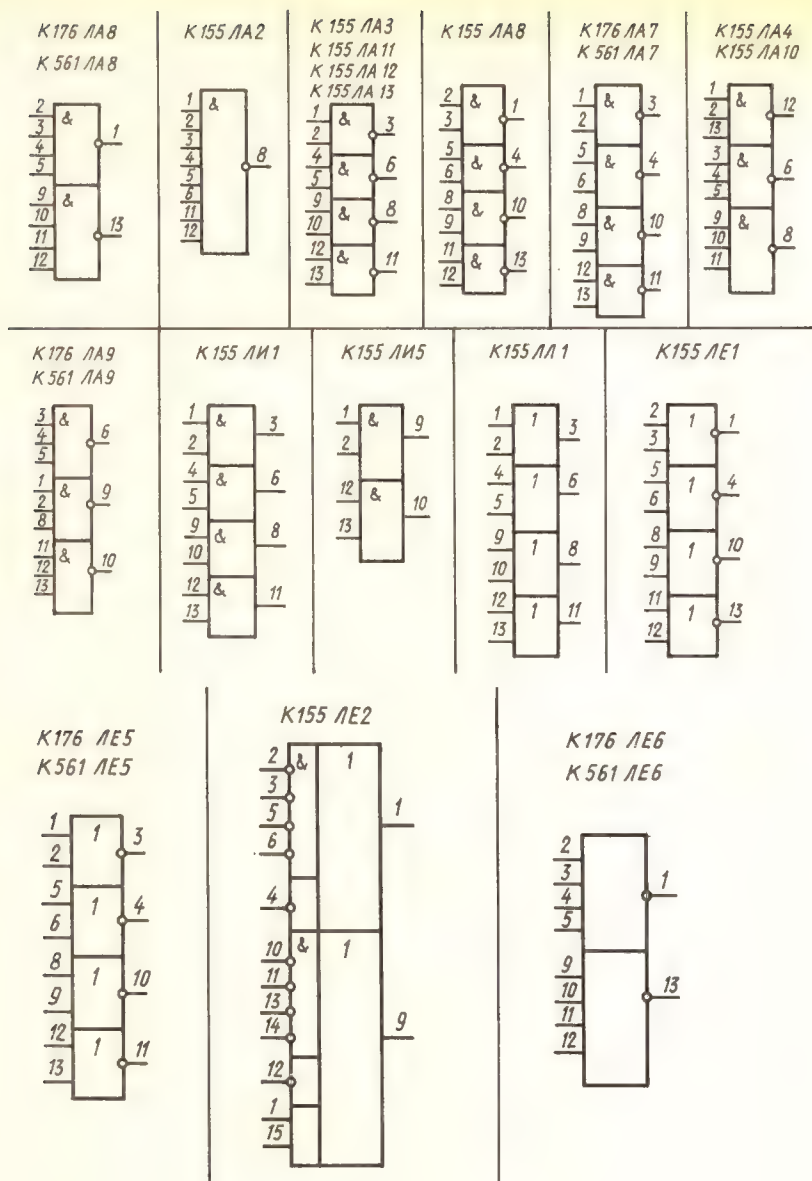


Рис. 5.5.

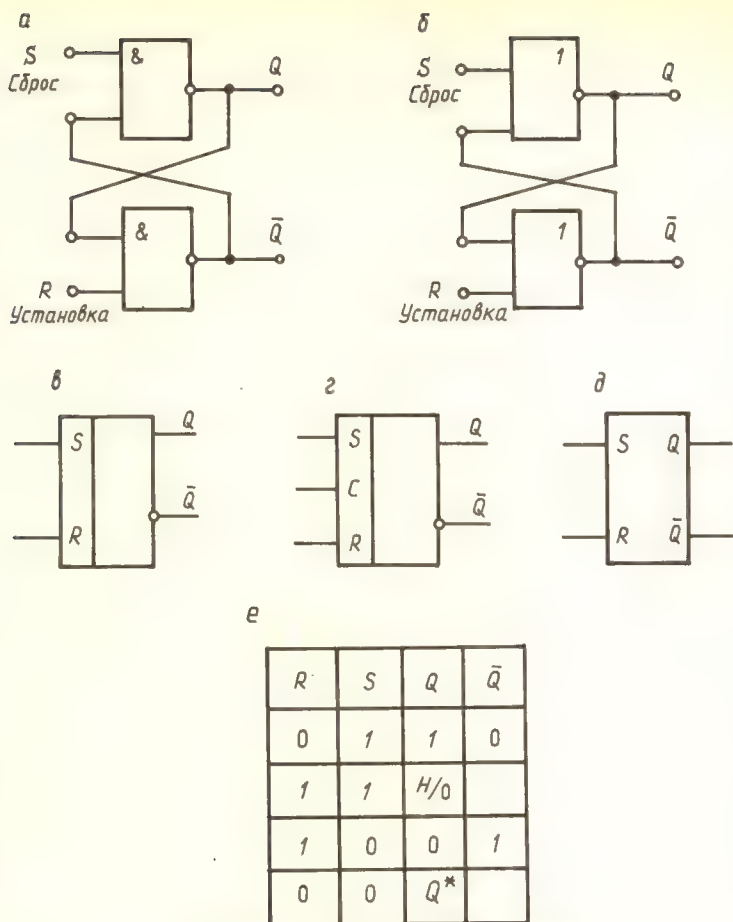
Таблица 5.3. Логические уровни режимов работы

Режим работы	Вход (контакты X1)										Выход (контакты X1)									
	2	4	6	8	10	16	19	20	22		3	5	7	9	11	12	13	14	18	21
1	2	3	4	5	6	7	8	9	10		11	12	13	14	15	16	17	18	19	20
	0	1	1	1	1	1	1	1	1		0	1	1	1	1	1	1	1	1	1
	1	0	1	1	1	1	1	1	1		1	0	1	1	1	1	1	1	1	1
	1	1	0	1	1	1	1	1	1		1	1	0	1	1	1	1	1	1	1
	1	1	1	0	1	1	1	1	1		1	1	1	0	1	1	1	1	1	1
	1	1	0	1	0	1	1	1	1		1	1	1	1	0	0	1	1	1	1
Блокировка 	1	1	0	1	0	1	1	1	0		1	1	0	1	1	0	1	1	1	1
+	0	1	1	1	1	1	0	1	1		0	1	1	1	1	1	1	1	0	0
-	0	1	1	1	1	1	1	0	1		0	1	1	1	1	1	1	1	1	1
+	1	0	1	1	1	1	0	1	1		1	0	1	1	1	1	1	1	1	1
+	1	1	0	1	1	1	0	1	1		1	1	0	1	1	1	1	1	0	0
+	1	1	1	0	1	1	0	1	1		1	1	1	0	1	1	1	1	1	1
+	1	1	0	1	0	1	0	1	1		1	1	1	1	0	1	1	1	0	0
-	1	1	0	1	1	1	1	0	1		1	1	0	1	1	0	1	1	1	1
-	1	1	0	1	0	1	1	0	1		1	1	1	1	0	0	1	1	1	1
Блокировка +	1	1	0	1	0	1	0	1	0		1	1	0	1	1	1	1	1	0	0

Триггеры

Простые и комбинированные логические элементы (схемы) иногда называют комбинационными, так как сигнал на выходе их зависит от комбинации 0 и 1 на входах. Но с помощью простых логических элементов строятся устройства, которые могут хранить («запомнить») логическое состояние (0 или 1) неопределенно долго (разумеется, пока есть напряжение питания). Такие устройства образуют память, и их выход может находиться в одном из двух устойчивых состояний: 0 или 1. Такие схемы называют бистабильными, или триггерами.

Простейший RS-триггер реализуется на двух элементах «И-НЕ» или «ИЛИ-НЕ» (рис. 5.6). Триггер имеет прямой (Q) и инверсионный (\bar{Q}) выходы, т. е. если на прямом выходе 1 — в это время на инверсном 0 и наоборот. Вход S — установка триггера в состояние 1, на выхо-



Q^* — хранение предыдущего состояния
 Н/0 — неопределенное состояние триггера

Рис. 5.6. Типы и условные обозначения RS-триггеров:
 а — на элементах «И-НЕ»; б — на элементах «ИЛИ-НЕ»; в — условное обозначение асинхронного RS-триггера; г — условное обозначение синхронного RS-триггера; д — зарубежное обозначение RS-триггера

де — Q . Вход R — установка триггера в состояние 0, на выходе — Q . Работа RS-триггера определяется работой входящих логических элементов. Так, например, в схеме (рис. 5.6, а) на вход S поступает сигнал логической единицы, а на вход R — 0. Подача 0 хотя бы на один из входов схемы «И-НЕ» дает на выходе ее 1, т. е. на выходе \bar{Q} будет сигнал логической 1, и он прикладывается ко второму входу верхнего (по схеме) элемента «И-НЕ». Значит, на двух входах его сигнала 1, а на выходе — 0, т. е. на выходе Q сигнал логического нуля. Аналогично можно объяснить работу триггера (рис. 5.6, б).

Таблица истинности RS -триггера приведена на рис. 5.6, *а*, на рис. 5.6, *б* показаны временные диаграммы, поясняющие работу.

Сочетание $S = 1$ и $R = 1$ является запрещенным, так как на обоих выходах триггера устанавливаются логические нули и после снятия входных сигналов состояние его непредсказуемо. Комбинация $S = 0$ и $R = 0$ не используется, так как в этом случае $Q = \bar{Q} = 0$, а обычно ожидается, что \bar{Q} — это инверсия Q , т. е. если $Q = 0$, то $\bar{Q} = 1$ и наоборот. Из сказанного ясно, что для переключения RS -триггера в состояние $Q = 1$ на его входы следует подать комбинацию $S = 1, R = 0$, а для переключения в состояние $Q = 0$ — комбинацию $S = 0, R = 1$.

Когда на RS -входы идут импульсные сигналы для перехода логических элементов из одного состояния в другое, требуется какое-то время (хотя и очень маленькое), а для триггера в целом время переключения — минимум удвоенное время логического элемента. Если его брать с запасом, то принимают время переключения $t_{\text{пер}} = 3t_3$, где t_3 — время переключения логического элемента (время задержки). Для надежного переключения триггера длительность входного переключающего сигнала не должна быть меньше $t_{\text{пер}}$.

Время переключения для конкретной серии триггеров — величина справочная. При ремонте и контроле устройств длительность импульсов можно измерить осциллографом.

Различают асинхронные и синхронные триггеры. Особенностью асинхронных является то, что установка их состояния, т. е. запись информации, осуществляется с поступлением сигналов на входы. В синхронных триггерах есть вход C для синхронизирующего (тактового) сигнала. Запись информации производится сигналами на информационных входах (R, S), но с поступлением тактового сигнала (или потенциала I), т. е. $C = 1$. Если $C = 0$, триггер находится в режиме хранения (сохраняет предыдущее состояние).

На рис. 5.7 показано обозначение синхронного RS -триггера и его построение на логических элементах. Из него видно, что двухступенчатый RS -триггер в два раза сложнее. Какие же преимущества это дает?

Применение одноступенчатых RS -триггеров в качестве самостоятельных запоминающих элементов ограничено из-за неустойчивой работы последовательной схемы, выполненной на них.

Сигналы переключения RS -триггера $S(t)$ и $R(t)$ формируются в цифровом устройстве какой-то комбинационной схемой. В их формировании участвуют вместе с внешними логическими сигналами сигналы $Q(t)$ и $\bar{Q}(t)$ ($Q(t)$ соединен со входом R , а $\bar{Q}(t)$ — с S). Переключение одноступенчатого RS -триггера под действием сигналов $S(t)$ или $R(t)$ вызывает изменение значений сигналов $Q(t)$ и $\bar{Q}(t)$, а это в свою очередь может привести к изменению $S(t)$ или $R(t)$ в такте временного интервала t и, как следствие, к ложному срабатыванию триггера.

Для устойчивой работы необходимо, чтобы сигналы $Q(t)$ и $\bar{Q}(t)$ изменялись только после прекращения действия входного сигнала $S(t)$ или $R(t)$ (по срезу импульса) (рис. 5.7). Это требование и выполняется в двухступенчатых RS -триггерах. В двухступенчатом триггере при $C = 1$ вторая ступень отключена от первой, а при $C = 0$ — первая ступень не принимает информации с S - и R -входов. Лишь при изменении сигнала на тактовом входе C информация из первой ступени перезаписывается во вторую, и состояния выходов Q и \bar{Q} изменяются. Практически переключение происходит в два такта, его осуществляют две последовательности импульсов, смещенные во времени. Поэтому двухступенчатый триггер называют еще двухтактным.

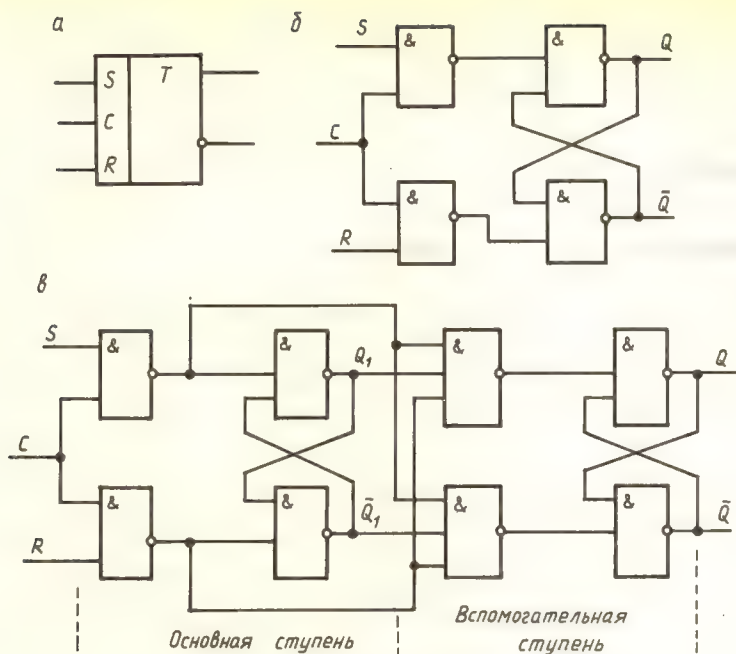


Рис. 5.7. Условное обозначение синхронного RS-триггера и его состав на логических элементах:
 а — условное обозначение; б — одноступенчатый синхронный RS-триггер;
 в — двухступенчатый RS-триггер

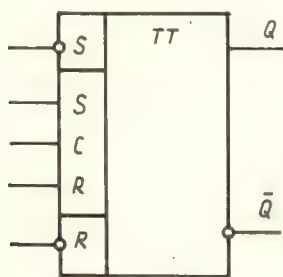


Рис. 5.8. Условное графическое изображение тактируемого двухступенчатого RS-триггера с инверсными асинхронными входами

Синхронный RS-триггер обычно имеет дополнительные асинхронные входы, по которым он независимо от сигнала на тактовом входе C переключается в состояние 1 (вход S) или 0 (вход R). Такие входы называют нетактируемыми и в тексте их указывают после информационных. К примеру, RS-триггер с асинхронными входами обозначается как $RSRS$. Условное изображение тактируемого RS-триггера с инверсными асинхронными входами показано на рис. 5.8.

Входы \bar{S} и \bar{R} непосредственно воздействуют на RS-триггеры первой и второй ступени, поэтому они выполнены на трехходовых элементах

«И-НЕ». Для переключения триггера по входам \bar{S} и \bar{R} не требуют синхронимпульсов на входе C . При подаче на эти входы логической 1 ($\bar{S} = \bar{R} = 1$) RSC -триггер работает как обычный синхронный RS -триггер, так как его ступени его не переключаются. При $\bar{S} = 0$ и $\bar{R} = 1$ RSC -триггер устанавливается в состояние $Q = 1$, а при $\bar{R} = 0$ и $\bar{S} = 1$ — в состояние $Q = 0$.

Триггер задержки (D-триггер)

Триггер имеет один информационный D -вход и тактовый C -вход. Он состоит из синхронного RSC -триггера, дополненного инвертором (рис. 5.9). На рис. 5.10 показано графическое изображение D -триггера. При $C = 1$ сигнал D -входа передается на S -вход триггера $T1$ ($S = D$),

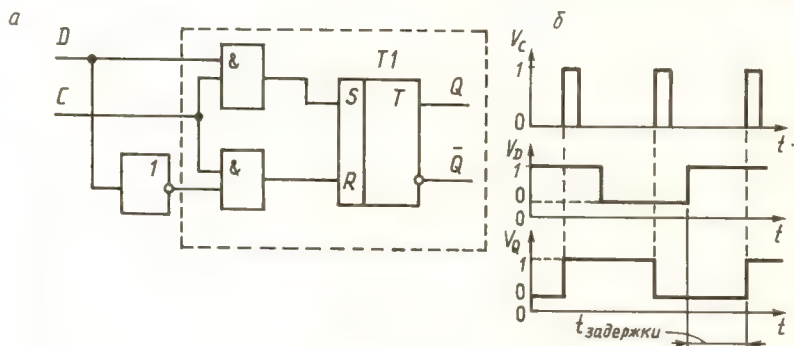


Рис. 5.9. Структура D -триггера:

a — состав схемы D -триггера; b — временные диаграммы D -триггера

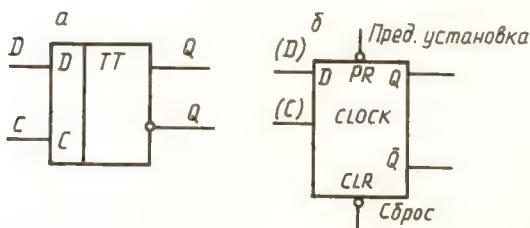


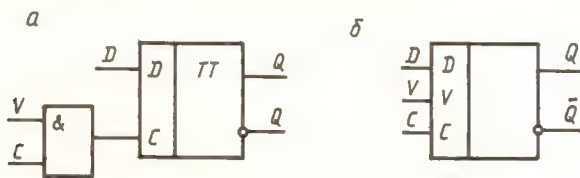
Рис. 5.10. Графическое изображение D -триггера:

a — отечественное; b — зарубежное

а на входе R устанавливается потенциал $R = \bar{D}$, т. е. сигналы на S - и R -входах оказываются взаимно инвертированными ($S = \bar{R}$). Это приводит к тому, что любой сигнал на входе D создает на S - и R -входах комбинацию ($S = 1, R = 0$ или $S = 0, R = 1$), способную переключить триггер в состояние $Q = S = D$.

Таким образом, при $C = 1$ D -триггер является повторителем: на выходе Q повторяется потенциал входа D . Однако это повторение начинается только с поступлением тактового импульса на вход C , т. е. с за-

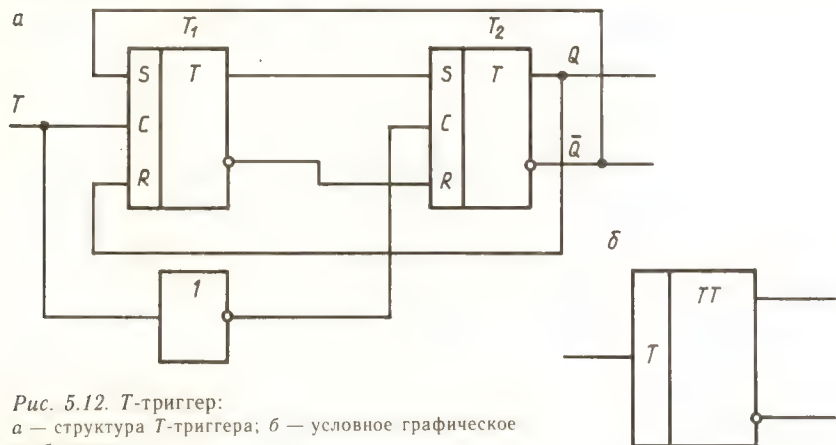
На рис. 5.11 приведены временные диаграммы D -триггера. Выход Q повторяет состояние D -входа с задержкой. DV -триггер отличается от D -триггера наличием дополнительного входа V , управляющего приемом



a — структура DV-триггера; *б* — условное графическое изображение

информации по входу D (рис. 5.11). Сигнал $V=1$ не влияет на работу D -триггера. При $V=0$ триггер сохраняет свое состояние независимо от изменения информации на входе D .

Триггер со счетным запуском должен переключаться каждым импульсом на счетном входе T (счетным импульсом). Такой триггер может быть построен на базе двухступенчатого RSC -триггера (рис. 5.12). С появлением тактового импульса на входе T триггер $T1$ первой ступени переключается в состояние, противоположное состоянию триггера $T2$.



Но это не вызывает изменения потенциалов на выходах Q и \bar{Q} , так как на тактовом входе триггера $T2$ за счет инвертора в это время присутствует логический 0. Только после окончания импульса на входе $T1$ переключится триггер $T2$ и произойдет изменение потенциалов на выходах

Q и \bar{Q} , а также на R - и S -входах первой ступени. В T -триггере, так же как в двухступенчатом тактируемом RSC -триггере, первая ступень переключается по переднему фронту входного импульса, а вторая — по срезу.

JK-триггер

JK -триггер наиболее универсальный из рассмотренных ранее. Имеет два информационных входа — J и K , тактовый вход C и два выхода — прямой Q и инверсный \bar{Q} . Он обладает свойствами всех других триггеров и поэтому наиболее широко представлен в современных сериях интегральных схем.

Наряду с информационными и тактовыми входами обычно триггеры имеют входы для установки начального состояния. Например, $JKRS$ -триггер имеет вход S для установки его в 1 и вход R для установки в 0 . Может быть предусмотрен в микросхеме триггера только один из входов. Начальное состояние триггера устанавливается коротким импульсом положительной или отрицательной полярности (прямой или инверсный вход).

В большинстве триггеров установка начального состояния не зависит от состояния на тактовом входе, т. е. является асинхронной. Часто для расширения функциональных возможностей триггеры снабжаются входной логикой, которая реализуется встроенными логическими элементами. Основное графическое изображение JK -триггера показано на рис. 5.13. Одна из возможных функциональных схем JK -триггера приведена на рис. 5.14. Она отличается от схемы T -триггера элементами «И-НЕ»

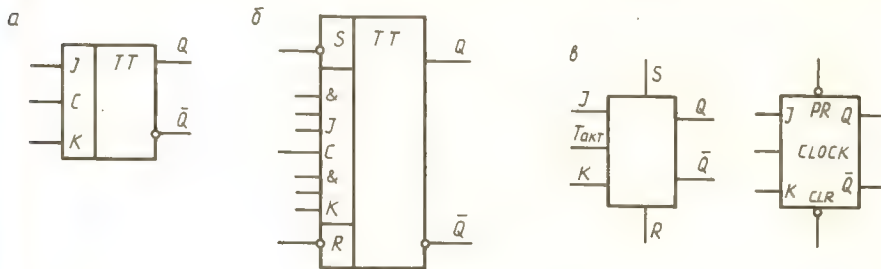


Рис. 5.13. JK -триггер:

a — условное графическое изображение; $б$ — $JKRS$ -триггер с входной логикой и входами асинхронной установки состояния; $в$ — условные графические изображения зарубежных

и \mathcal{E}_1 , \mathcal{E}_2 входной логики первой ступени (для создания информационных входов J и K они выбраны трехвходовыми). Переключающий вход C — динамический. При $J = K = 0$ на выходах элементов \mathcal{E}_1 и \mathcal{E}_2 устанавливаются логические единицы, которые для триггеров с инверсными входами являются пассивными сигналами — триггер T_1 и, следовательно, JK -триггер в целом сохраняют прежнее состояние.

Логическая 1 на одном из входов элемента «И-НЕ» не определяет потенциал на его выходе, поэтому сочетание $J = K = 1$ никак не влияет на входную логику первой ступени, схемы T и JK -триггеров принципиально перестают отличаться, т. е. JK -триггер работает в счетном

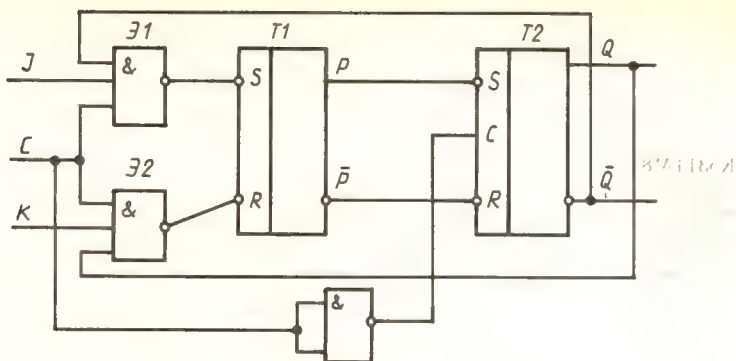


Рис. 5.14. Одна из функциональных схем JK -триггера

режиме. Чтобы на выходе элемента \mathcal{E}_1 появился логический 0 (которым триггер T_1 может переключиться в состояние $P=1$), на его входах необходимо присутствие сигналов $J=1$, $C=1$, а также логической единицы с выхода \bar{Q} . Аналогично логический 0 будет на выходе элемента \mathcal{E}_2 , когда $K=1$, $C=1$ и $Q=1$.

Таким образом, комбинация $J=1$, $K=0$ определяет по тактовому импульсу переключение JK -триггера в целом в состояние $Q=1$, а комбинация $J=0$, $K=1$ — в состояние $Q=0$.

Триггер Шмидта

Триггер Шмидта используется в основном для формирования прямоугольных импульсов из напряжения любой формы, в частности синусоидального, являющегося напряжением переключения триггера.

В табл. 5.4 приведены типы и основные характеристики наиболее часто встречающихся триггеров на микросхемах.

Таблица 5.4. Триггеры

Микросхема	Вид триггера	Число триггеров	Средняя задержка	Частота переключения, МГц	Потребл. мощность, мВт	Напряжение питания, В
1	2	3	4	5	6	7

Триггеры Шмидта

K531ТЛЗП		4	12	80	280	5,0
K555ТЛ2		6	22	45	185	5,0
K155ТЛ1		2	24	40	137	5,0
K155ТЛ2		6	22	45	240	5,0
K155ТЛ3		4	22	45	160	5,0
K561ТЛ1		4	300	2	0,02	3...15

Однотупенчатые триггеры

K1500ТМ130	DV	3	2,0	500	480	—4,5
K500ТМ130	DV	2	4,0	250	182	—5,2
K500ТМ133	DV	4	5,4	185	390	—5,2
K500ТМ134	DV*	2	5,5	180	286	—5,2

1	2	3	4	5	6	7
K500TM173	DV*	4	6,2	160	345	—5,2
K531TM8П	D	4	15	80	480	5,0
K531TM9П	D	6	17	75	720	5,0
K555TM7	D	4	27	35	60	5,0
K555TM8	D	4	32	30	90	5,0
K555TM9	D	6	32	30	130	5,0
K555TP2	RS	4	27	35	35	5,0
K155TM5	D	4	27	35	265	5,0
K155TM8	D	4	30	30	225	5,0
K561TM3	D	4	350	2,0	0,2	3...15**
K561TP2	RS	4	300	5,0	0,2	3...15**

Двухступенчатые триггеры

K1500TM131	DV	3	2,1	410	480	—4,5
K570TM1	D	1	2,5	350	286	—5,2
K500TB135	JK	2	4,5	110	354	—5,2
K500TM231	DV	2	3,3	150	340	—5,2
K531TB9П	JK	2	7,0	80	250	5,0
K531TM2П	D	2	12	40	250	5,0
K1533TM2	D	2	19	25	22	5,0
K555TB9	JK	2	25	20	40	5,0
K555TM2	D	2	32	15	40	5,0
K155TB1	3J—3K	1	32	15	100	5,0
K155TB15		2	20	25	150	5,0
K155TM2	D	2	32	15	150	5,0
K134TB1	JK	1	200	2,5	8,0	5,0
K134TM2A	D	2	120	4,0	6,0	5,0
K511TB1	JK	2	500	1,0	578	15
K176TB1	JK	2	—	1,7	0,9	9,0
K176TM2	D	2	—	1,0	0,03	9,0
K561TB1	JK	2	250	2,0	0,02	3...15**
K564TB1						
K561TM2	D	2	150	3,0	0,2	3...15**
K564TM2						

* Триггеры имеют мультиплексорные входы.

** Значения параметров при напряжении 10 В.

Общие замечания по триггерам

Многие свойства и особенности триггеров, существенно важные при практическом применении, определяются принципом их построения. По этому признаку все рассмотренные триггеры делятся на одноступенчатые и двухступенчатые. Триггерные структуры строятся на основе самого простого RS-триггера.

Одноступенчатым назван триггер, имеющий одну ступень запоминания информации (0 или 1). Запись в триггер информации, которая находится, например, на входах R и S, начинается сразу после поступления разрешающего сигнала на вход C.

В двухступенчатых триггерах имеются две ступени запоминания информации: основная и вспомогательная (вторая), каждая из которых представляет собой фактически одноступенчатый триггер (например, RS). Ступени управляются так, что с приходом тактового импульса

информация записывается в первую ступень, а после его снятия — переписывается во вторую и появляется на выходах триггера. Таким образом, в двухступенчатых триггерах процесс передачи информации двухтактный (от входов к выходам) и быстродействие его в два раза ниже.

По режиму управления различают триггеры со статическим и динамическим управлением. Они имеют статическое управление по тактовому входу, при котором триггер восприимчив к сигналам на информационных входах все время, пока на тактовом входе есть сигнал 1 (прямой статический вход) либо 0 (инверсный статический вход). Триггеры с динамическим управлением по тактовому входу строятся по другим принципам, например блокируют свои информационные входы после установления нового состояния.

Тактовый сигнал на динамическом входе воспринимается триггером как разрешающий запись информации только при изменении его уровня от 0 к 1 (прямой динамический вход) или от 1 к 0 (инверсный динамический вход). Другие состояния тактового сигнала триггер воспринимает как отсутствие разрешения на прием информации. Например, триггер с прямым динамическим входом C примет входную информацию только при изменении тактового сигнала от 0 к 1 . Информация сразу поступает на выход триггера. Если же информационные сигналы изменились в присутствии 1 на входе C , то триггер на это не отреагирует. В подобной ситуации двухступенчатый триггер, имеющий статическое управление, ведет себя иначе: он изменит записанную в первую ступень информацию, не успев передать ее во вторую. В этом отличии реакций триггеров с динамическим и статическим управлением на одинаковые условия на входах и состоит основной внешний признак режима управления работой триггера. По функциональным возможностям триггеры с динамическим управлением близки к двухступенчатым триггерам, например они могут быть использованы в счетном режиме.

Внешне реакция триггеров одноступенчатого, двухступенчатого и триггера с прямым динамическим входом одинакова, однако взаимозаменяемы в счетчиках и регистрах сдвига только два последних триггера. Использовать одноступенчатый триггер в регистре сдвига, например вместо двухступенчатого, нельзя из-за его однократного механизма передачи информации со входа на выход.

Счетчики

Цифровым счетчиком называют функциональный узел, который осуществляет счет поступающих на его вход импульсов (счетных импульсов), формирует результат счета в заданном коде и при необходимости хранит его. Поэтому счетчик состоит из запоминающих ячеек-триггеров. Между собой ячейки счетчика соединяются таким образом, чтобы каждому числу импульсов соответствовали единичные состояния определенных ячеек. При этом совокупность единиц и нулей на выходах ячеек счетчика представляет собой N -разрядное двоичное число, которое однозначно определяет количество прошедших на входе импульсов. Поэтому ячейки счетчика называют его разрядами.

Для построения счетчиков обычно используют двухступенчатые триггеры. Каждый разряд счетчика (каждый триггер) может находиться в двух состояниях (0 ; 1). Число устойчивых состояний, которое может принимать данный счетчик, называют его емкостью, модулем счета или коэффициентом пересчета. Если же с каждым входным импульсом за-

регистрированное (записанное) в счетчике число увеличивается, то такой счетчик является суммирующим, если оно уменьшается — вычитающим. Счетчик, работающий как на сложение, так и на вычитание, называют реверсивным. Счетчик, у которого под воздействием входного импульса переключение соответствующих разрядов происходит последовательно друг за другом, называют асинхронным, а когда переключение происходит одновременно (или почти одновременно) — синхронным.

Для построения счетчиков необходимы двухступенчатые триггеры. Два наиболее характерных варианта построения счетчиков на T -триггерах показаны на рис. 5.15, схема четырехразрядного счетчика с последовательным переносом — на рис. 5.15, а.

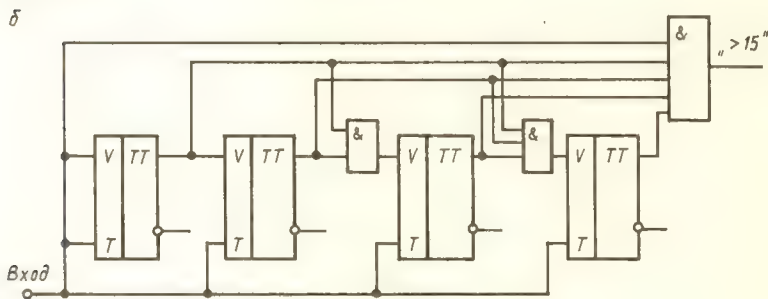
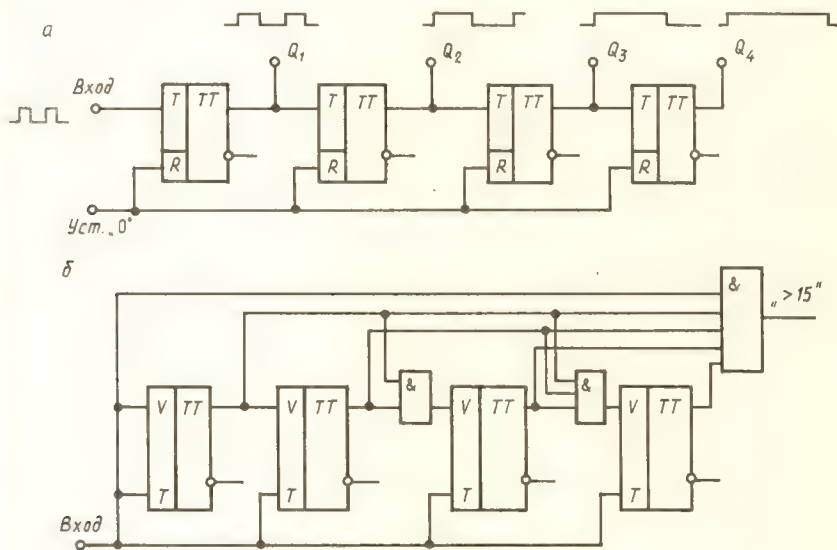


Рис. 5.15. Четырехразрядные счетчики:
а — с последовательным переносом; б — с параллельным переносом

Такой счетчик имеет один вход, на который поступают счетные импульсы. Четыре триггера соединены последовательно, так что каждый последующий разряд (триггер) срабатывает после того, как переключился предыдущий. Последовательность смены состояний счетчика приведена в табл. 5.5.

Такой счетчик может посчитать 16 импульсов по числу его состояний 2^n , где n — число разрядов (триггеров) счетчика. Результат снимается в виде двоичного кода с выходов всех разрядов одновременно. Счетчики с последовательным переносом имеют невысокое быстродействие, что обусловлено последовательным по времени срабатыванием разрядов. Это их основной недостаток. Преимущество — простота построения. Быстродействие триггеров должно быть выше в n раз. Для увеличения количества просчитываемых импульсов необходимо увеличить количество разрядов. Счетчики с параллельным переносом (рис. 5.15, б) имеют наибольшее быстродействие, так как в них реализована схема параллельного переноса. Смена состояний счетчика при поступлении на вход

Таблица 5.5.

Номер импульса счета	Выходной код				Номер импульса счета	Входной код			
	Q ₄	Q ₃	Q ₂	Q ₁		Q ₄	Q ₃	Q ₂	Q ₁
0	0	0	0	0	8	1	0	0	0
1	0	0	0	1	9	1	0	0	1
2	0	0	1	0	10	1	0	1	0
3	0	0	1	1	11	1	0	1	1
4	0	1	0	0	12	1	1	0	0
5	0	1	0	1	13	1	1	0	1
6	0	1	1	0	14	1	1	1	0
7	0	1	1	1	15	1	1	1	1

счетных импульсов та же, что и у предыдущего, но время, необходимое для установления нового состояния, значительно меньше, так как счетные импульсы воздействуют одновременно на все триггеры. Условие переключения определяет логический элемент «И», который на входе V данного разряда формирует разрешающий переключение сигнал, если предыдущие разряды имеют состояние 1.

Таким образом, с поступлением каждого счетного импульса переключаются те триггеры, которым предшествуют разряды с состоянием 1 на выходах. При заполнении счетчика единицами формируется сигнал переноса в старший разряд.

Поскольку в подавляющем большинстве бытовых магнитофонов счетчики в таком построении практически не применяются, то подробное рассмотрение всех видов счетчиков производить не будем.

Счетчики широко представлены в различных сериях интегральных схем, так как микросхема — это уже готовый счетчик на какое-то количество разрядов. Интегральные счетчики чаще используются в бытовых аппаратах, особенно серии K155 и K176. В таблицах 5.6, 5.7 приведены данные интегральных схем счетчиков наиболее распространенных серий.

Таблица 5.6. Двоичные четырехразрядные счетчики

Тип микросхемы	Частота счетных импульсов, МГц	Потребляемая мощность, мВт	Напряжение питания, В	Входы пред. установки	Выход переноса	Примечание
1	2	3	4	5	6	7
K1500IE136	450	880	—4,5	+	+	реверсивный
K500IE136	100	780	—5,2	+	+	реверсивный
K531IE17П	50	800	5,0	+	+	
K531IE15П	45	600	5,0	+	—	
K555IE7	12	155	5,0	+	+	реверсивный
K555IE5	7	75	5,0	—	—	
K555IE10	10	156	5,0	+	+	
K555IE13	10	175	5,0	+	+	реверсивный
K555IE15	10	135	5,0	+	—	
K155IE5	4	265	5,0	—	—	
K155IE7	12	510	5,0	+	+	реверсивный
K134IE5	0,8	600	5,0	—	—	
K561IE10	0,3	0,25	3...15	—	—	сдвоенные четырехраз-

1	2	3	4	5	6	7
564ИЕ10	1,5	0,03	3...15	—	—	рядные
K561ИЕ11	0,6	0,03	3...15	+	+	реверсивный
564ИЕ11						то же
K561ИЕ14	0,8	0,03	3...15	+	+	» »
564ИЕ14						» »
K561ИЕ16	2	0,04	3...15	—	—	14-разрядный

Таблица 5.7. Четырехразрядные двоично-десятичные счетчики

Тип микросхемы	Частота счетных импуль- сов, МГц	Потреб- ляемая мощ- ность, мВт	Напря- жение питания, В	Входы пред- уста- новки	Выход пере- носа	Примечание
K500ИЕ137	100	780	—5,2	+	+	реверсивный
K531ИЕ16П	50	800	5,0	+	+	то же
K531ИЕ14П	45	600	5,0	+	—	
K555ИЕ2	10	75	5,0	—	—	
K155ИЕ2	5	265	5,0	—	—	
K555ИЕ6	12	155	5,0	+	+	реверсивный
K155ИЕ6	12	510	5,0	+	+	то же
K555ИЕ9	15	156	5,0	+	+	
K155ИЕ9	20	500	5,0	+	+	
K555ИЕ14	100	135	5,0	—	—	
K155ИЕ14	20	300	5,0	—	—	
K155ИЕ1	10	300	5,0	—	—	
K555ИЕ18	15	156	5,0	+	+	
K134ИЕ2	1,4	36	5,0	—	—	
K511ИЕ1	1,0	540	15	+	—	
K561ИЕ14	10,8	0,03	3...15	+	+	реверсивный
564ИЕ14	0,8					то же

Регистры

Регистром называют цифровой узел, предназначенный для записи и хранения двоичного числа (кода). Поэтому его основу составляют запоминающие элементы — триггеры. В каждом из них должна храниться цифра определенного разряда числа. Кроме хранения регистр может осуществлять сдвиг принятого кода на один или несколько разрядов, преобразование двоичного кода из прямого в обратный (когда единицы заменяются нулями, а нули единицами), и наоборот, логические сложение и умножение. В соответствии с назначением различают регистры хранения и регистры сдвига.

В зависимости от способов ввода и вывода разрядов числа регистры бывают параллельные, последовательные и параллельно-последовательные.

В параллельном регистре ввод и вывод кода осуществляется в параллельной форме — одновременно всех разрядов.

В последовательном регистре разряды числа вводятся и выводятся последовательно.

В параллельно-последовательном регистре ввод числа осуществляется в параллельной форме, а вывод — в последовательной, или наоборот. Ввод и вывод информации в параллельном регистре может осуществляться однофазным и парафазным способами. При однофазном число представляется в прямом или обратном коде; при парафазном — одновременно в прямом и обратном.

По принципу хранения информации регистры делят на статические и динамические. Статические регистры построены на триггерах и могут хранить записанную информацию долго (при наличии напряжения питания). В динамических регистрах функции элементов питания выполняют МДП (металл-диэлектрик-полупроводник)-конденсаторы. Подобный элемент памяти может хранить информацию лишь в течение некоторого интервала времени. Поэтому в динамических регистрах записанная информация находится в постоянном движении. Более широко применяются статические регистры, о них и пойдет речь в дальнейшем.

Наиболее важными характеристиками регистров являются разрядность и быстродействие. Разрядность регистра зависит от количества разрядов в записываемом числе. Быстродействие характеризуется максимальной тактовой частотой, с которой могут производиться запись, чтение и сдвиг информации.

Основу регистра хранения составляют одноступенчатые *D*- или *RS*-триггеры. В этом качестве могут применяться и *JK*-триггеры, но их возможности больше, чем требуется для регистра хранения.

Вариант четырехразрядного регистра хранения приведен на рис. 5.16, а. Здесь использована интегральная схема К155ТМ8, в которой четыре *D*-триггера с объединенными входами установки нуля и синхронизации. Числа в триггеры регистра записывают, подавая сигналы на входы *D* при разрешающем сигнале $C=1$. После смены сигнала на входе *C* на 0 триггеры переходят в режим хранения. В это время ко входам *D* можно подвести следующее число, которое при появлении сигнала $C=1$ запишется в регистр, заменив в его триггерах предыдущую информацию.

Для сброса информации (установки регистра в нулевое состояние) ко входу *R* подводят отрицательный импульс, длительность которого (время существования) достаточна для перевода всех триггеров регистра в нулевое состояние.

Как правило, это время указано в справочных данных на ИС. Все время, пока регистр выполняет свои функции, на установочном входе поддерживается напряжение высокого уровня.

Промышленность выпускает достаточно широкий ассортимент ИС регистров хранения, выполненных по различным вариантам с различными функциональными возможностями, электрическими характеристиками, режимами управления (табл. 5.8).

Многие регистры имеют выходы на три состояния и соответствующее управление ими, специальные входы для сигналов управления режимом записи, причем часто управляющие сигналы объединены логическим оператором. Например, четырехразрядные регистры К155ИР15, К555ИР15 (рис. 5.16, б) кроме информационных входов и выходов, входов синхронизации и установки имеют две пары связанных управляющих входов: V_1, V_2 — для установки выходов регистра в третье состояние при напряжении высокого уровня на одном из них; V_3, V_4 — для разрешения записи числа в регистр при напряжении низкого уровня на обоих входах.

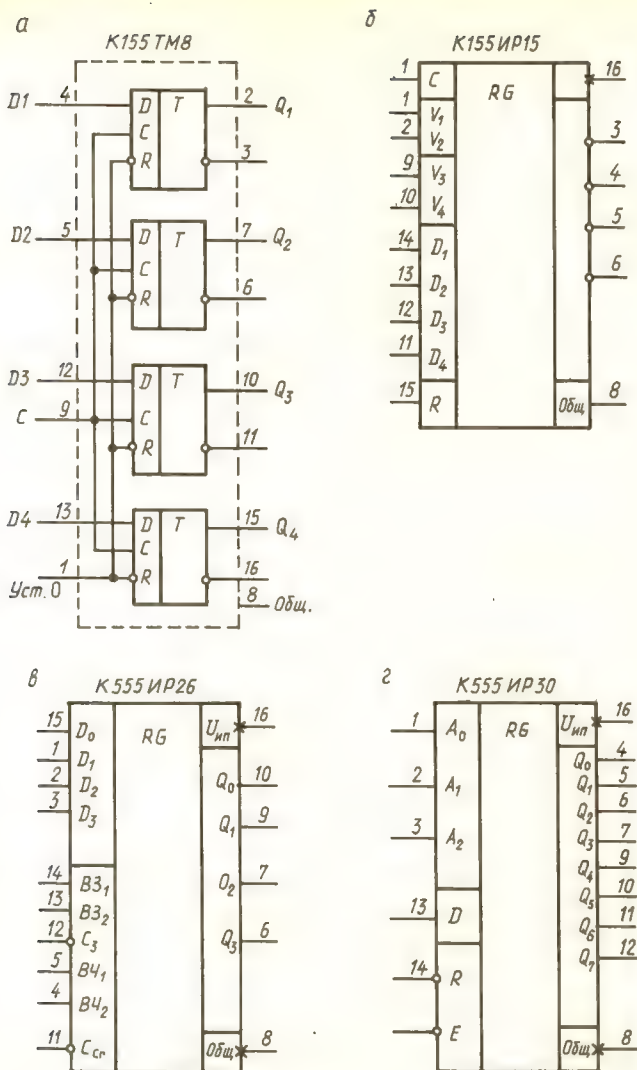


Рис. 5.16. Регистры хранения:

а — на микросхеме K155TM8; б — K155IP15 (K555IP15);
в — K555IP26; г — K555IP30

Ряд серий содержит многорегистровые ИС, к примеру микросхема K555IP26 (рис. 5.16, в). В ней имеются четыре четырехразрядных регистра, по четыре информационных входа и выхода, две пары адресных входов для раздельной выборки регистров записи ($B3_1, B3_2$) и чтения ($B4_1, B4_2$), два управляющих входа, сигналы, на которых разрешают запись C_3 и считывание $C_{сч}$. Указанное разделение адресных и управляющих сигналов позволяет одновременно записывать и считывать

Таблица 5.8. Регистры

Тип микросхемы	Число разрядов	Средняя задержка, нс	Потребляемая мощность, мВт	Напряжение питания, В	Примечание
K1500ИР150	6	1,6	716	—4,5	
K1500ИР151	6	2,2	890	—4,5	
K531ИР19П	4	15	480	5,0	
K531ИР20П	4	15	600	5,0	
K531ИР22П	8	19	800	5,0	Выходы с тремя состояниями
K555ИР22	8	43	200	5,0	То же
K555ИР27	8	30	140	5,0	
K555ИР15	4	28	100	5,0	Выходы с тремя состояниями
K155ИР15	4	37	360	5,0	То же
K1804ИР1	4	21	715	5,0	»
K1804ИР2	8	43	195	5,0	»
K588ИР1	8	150	2,3	5,0	»
K580ИР82	8	30	800	5,0	»
K589ИР12	8	55	725	5,0	»
K1802ИР1	4×16	55	990	5,0	Выходы с тремя состояниями
K1002ИР1	8×32	500	0,1	5,0	
K555ИР26	4×4	43	250	5,0	Выходы с тремя состояниями
K555ИР30	1×8	34	180	5,0	
K561ИР11	4×8	600	0,2	3...15	
K561ИР12	4×4	4000	0,02	3...15	Выходы с тремя состояниями

информацию. Выбор информации из регистров производят адресными кодами, подаваемыми на входы BZ_2 , BZ_1 и $BЧ_2$, $BЧ_1$: кодом 00 выбирается регистр 1, 01 — регистр 2, 10 — регистр 3, 11 — регистр 4.

Например, чтобы записать число в регистр 2 и одновременно считать число с регистра 4, необходимо записываемое число подвести к входам, на адресных и управляющих входах установить уровни $BZ_2 = 0$, $BZ_1 = 1$, $BЧ_2 = 1$, $BЧ_1 = 1$, $\bar{C}_3 = \bar{C}_{сч} = 0$. При отсутствии разрешающего считывание уровня 0 на входе $C_{сч}$, т. е. при $\bar{C}_{сч} = 1$, выходы ИС принимают третье состояние. Примером использования принципа адресации является ИС K555ИР30 (рис. 5.16, з).

Особенность данной ИС заключается в том, что она позволяет адресовать каждый из восьми триггеров, которые входят в ее структуру. Для адресного кода предусмотрены три входа A_2 , A_1 , A_0 . Информация (0 или 1) поступает на вход D' , записывается в адресуемый триггер при $\bar{E} = 0$ и через 20...30 нс появляется на выходе.

Регистры сдвига представляют собой ряд последовательно соединенных двухступенчатых триггеров. Их определяет разрядность записываемого кода. По направлению сдвига записанной в регистр информации различают регистры прямого сдвига, т. е. вправо, в сторону младшего разряда; обратного сдвига, т. е. влево, в сторону старшего разряда, и реверсивные регистры, допускающие сдвиг в обоих направлениях.

Таблица 5.9. Регистры сдвига

Тип микросхемы	Число разрядов	Число входов-выходов	Направление сдвига	Средняя задержка, нс	Потребляемая мощность, мВт
K1500ИР141	8	8—8	Реверс	2,4	1070
K500ИР141	4	4—4	То же	4,3	655
K531ИР11П	4	4—4	»	18	675
K531ИР12П	4	4—4	Обратный	18	545
K531ИР24П	8	8—8	Реверс	22	1225
K1533ИР31	24	1—24	Обратный	35	200
K555ИР8	8	1—8	Прямой	32	135
K555ИР9	8	8—1	То же	40	180
K555ИР10	8	8—1	»	35	190
K555ИР11	4	4—4	Реверс	29	115
K555ИР16	4	4—4	То же	27	111
K155ИР1	4	4—4	»	35	410
K155ИР13	8	8—8	»	28	580
KB4ИР1	4	4—4	Прямой	250	45
K134ИР8	8	1—8	То же	220	59
K561ИР2	4×2	1—4	Обратный	970	0,05
K561ИР6	8	8—8	То же	500	0,03
K561ИР9	4	4—4	»	360	0,03
K176ИР2	4×2	1—4	»	250	1,0
K176ИР3	4	4—4	Реверс	250	0,9
K176ИР4	64	1—1	Прямой	250	0,9

В табл. 5.9 приведены ИС регистров сдвига, входящих в состав наиболее популярных серий.

Микросхемы регистров отличаются не только направлением сдвига, но и числом разрядов, способом записи и считывания информации, быстродействием, энергопотреблением и другими показателями.

Шифраторы и дешифраторы

Шифратор (кодер) предназначен для преобразования напряжения высокого уровня на одном из входов в двоичный код, формируемый на выходах.

Число входов и выходов связано соотношением $m = 2^n$. Возможны варианты шифраторов, в которых кодируемый входной сигнал низкого уровня (например, K155УП31, K555ИВ1) (рис. 5.17).

Кодируемый сигнал низкого уровня поступает на один из входов $X_0 \dots X_7$. На остальных входах должны быть сигналы высокого уровня (табл. 5.10).

На выходах Y_2, Y_1, Y_0 формируется двоичный код, соответствующий тому входу, на котором находится напряжение низкого уровня. Таким образом, восьми разным позициям напряжения низкого уровня на входах соответствует семь различных комбинаций напряжений низкого и высокого уровня на выходах.

Микросхема шифратора имеет управляющий (стробирующий) вход V и два дополнительных выхода G и P . Сигналы на входе разрешают работу ИС в режиме кодирования ($V=0$) или запрещают ($V=1$). В случае запрета на всех выходах устанавливаются напряжения высокого уровня I независимо от сигналов на входах. На выходе P форми-

руется сигнал разрешения переноса информации с выходов шифратора $P=1$. Сигнал запрещения переноса ($P=0$) появляется тогда, когда на всех входах будут сигналы высокого уровня на выходе G . Сигналы с выходов G и P используют для управления ИС, которая принимает сигналы с выходов шифратора.

Некоторые шифраторы основную функцию реализуют с приоритетом кодируемого сигнала. Например, в шифраторе К155ИБ1 функция приоритета выполняется следующим образом. Если на входах шифра-

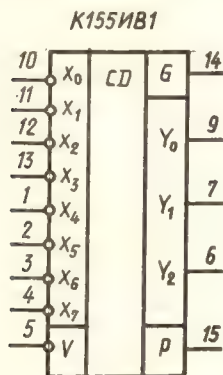


Рис. 5.17. Шифратор К155ИБ1 (К555ИБ1)

Таблица 5.10.

X_0	X_1	X_2	X_3	X_4	X_5	X_6	X_7	Y_2	Y_1	Y_0	G	P
1	1	1	1	1	1	1	0	0	0	0	0	1
1	1	1	1	1	1	0	1	0	0	1	0	1
1	1	1	1	1	0	1	1	0	1	0	0	1
1	1	1	1	0	1	1	1	0	1	1	0	1
1	1	1	0	1	1	1	1	1	0	0	0	1
1	1	0	1	1	1	1	1	1	0	1	0	1
1	0	1	1	1	1	1	1	1	1	0	0	1
0	1	1	1	1	1	1	1	1	1	1	0	1
1	1	1	1	1	1	1	1	1	1	1	1	0

тора появляется несколько сигналов низкого уровня, то приоритетом обладает сигнал низкого уровня, находящийся на входе со старшим номером. Это означает, что двоичный код на выходе будет соответствовать этому сигналу низкого уровня. Например, при комбинациях входных сигналов 11110111, 00000111, 10100111, записанных в порядке, принятом в табл. 5.10, результат будет один: на выходе во всех случаях будет сформирован код 011, поскольку приоритетом обладает нулевой сигнал на входе X_4 . Микросхемы шифраторов разных серий и их основные параметры приведены в табл. 5.11.

Дешифратор (декодер)

Дешифратор преобразует элементный параллельный код на входах в сигнал высокого уровня или низкого уровня на одном из выходов. Дешифратор называют полным, если число выходов равно числу воз-

возможных комбинаций входных сигналов, т. е. $n = 2^m$. Неполный дешифратор имеет меньшее число выходов. Микросхемы дешифраторов разных серий (табл. 5.11) отличаются быстродействием, энергопотреблением,

Таблица 5.11. Основные параметры микросхем дешифраторов

Тип микросхемы	Число входных- выходов	Средняя за- держка, нс	Напряжение питания, В	Потребляемая мощность, мВт	Наличие стро- бирующего входа
Шифраторы					
K500IB165	8—3	18	—5,2	730	+
K155IB1	8—3	19	5,0	300	+
K555IB1	8—3	55	5,0	100	+
K555IB3	8—3	32	5,0	95	—
Дешифраторы					
K1500II170	2×3—8	3	—4,5	518	+
K500II161	3—8	6	—5,2	650	+
K500II162	3—8	6	—5,2	650	+
K531II711	3—8	12	5,0	370	+
K531ИД1411	2 (2—4)	12	5,0	450	+
K155ИД1	4—10	—	5,0	132	—
K155ИД10	4—10	—	5,0	—	—
K155ИД4	2—2×4	32	5,0	200	+
K555ИД4	2—2×4	28	5,0	50	+
K555ИД6	4—10	27	5,0	65	—
K555ИД10	4—10	27	5,0	65	—
K555ИД7	3—8	31	5,0	50	+
K155ИД3	4—16	35	5,0	280	+
K134ИД3	4—16	70	5,0	125	+
K134ИД6	4—10	350	5,0	40	+
K561ИД1	4—10	580	3...15	0,1	—
564ИД1	4—10	580	3...15	0,1	—
K176ИД1	4—10	350	9	0,9	—

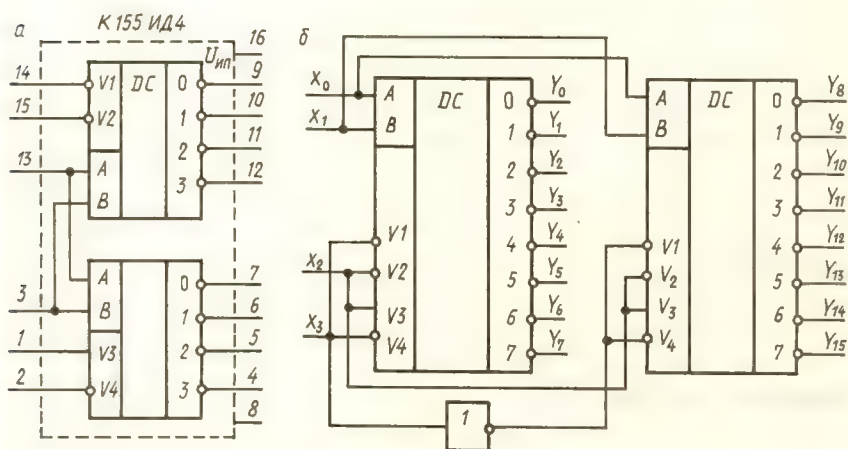


Рис. 5.18. Дешифратор K155ИД4 (K555ИД4) (а) и способ соединения двух дешифраторов для увеличения разрядности (б)

числом выходов, наличием или отсутствием стробирующего (управляющего) входа. Сигнал на этом входе разрешает или запрещает выполнение микросхемой операции дешифрования. Например, ИС двояного двухразрядного дешифратора низкого уровня К155ИД4, К555ИД4 (рис. 5.18) имеет по два стробирующих входа \bar{V}_1 , \bar{V}_2 , V_3 , \bar{V}_4 в каждом дешифраторе. Одноименные информационные входы A , B внутри ИС соединены. Входные сигналы можно дешифровать либо первым (при $\bar{V}_1 = \bar{V}_2 = 0$, $V_3 = 0$, $\bar{V}_4 = 1$), либо вторым ($\bar{V}_1 = \bar{V}_2 = 1$, $V_3 = 1$, $\bar{V}_4 = 0$) дешифратором. При объединении управляющих входов одной ИС по схеме на рис. 5.18, б получают дешифратор трехразрядного двоичного кода. При этом сохраняется один стробирующий вход, что позволяет выполнить еще один шаг наращивания разрядности дешифратора до четырех. Для этого нужно соединить две ИС так, чтобы одноименные информационные входы были соединены между собой, а управляющие входы ИС — через инвертор (рис. 5.18, б).

5.2. УСТРОЙСТВА ИНДИКАЦИИ

Устройства индикации визуально определяют состояние логического элемента, цифровую информацию счетчиков, запоминающих и других устройств. В качестве индикаторов в современной радиоэлектронной аппаратуре используются полупроводниковые (ППИ), вакуумные люминисцентные (ВЛИ), вакуумные накаливаемые (ВНИ), газоразрядные (ГРИ) и жидкокристаллические (ЖКИ) индикаторы.

Некоторые индикаторы, например ППИ, ЖКИ, ГРИ, выпускаются со встроенными устройствами согласования и управления, позволяющими непосредственно подключать индикаторы к выходам микросхем счетчика. Однако абсолютное большинство индикаторов требуют согласования с выходами микросхем электронных устройств по токам, напряжениям и кодам. В качестве согласующих элементов, входящих совместно с индикаторами в устройства индикации, широко применяются цифровые микросхемы преобразователей, согласователей нагрузок, коммутаторов и т. п.

Наиболее распространены ИС, предназначенные для преобразования двоично-десятичного кода в код семисегментных знаковосинтезирующих индикаторов: К120ПР1, К133ПП4, К161ПР1, К161ПР2, К161ПР3, К176ИД2, К176ИД3, К176ИЕ3, К176ИЕ4, К514ИД1, К514ИД2, К514ИД4, К514ПР1, К564ИК2, К564ИД5 и др. Некоторые из них могут работать с индикаторами непосредственно, без применения дополнительных элементов. Например, К176ИД2 с ППИ, К161ПР2 с ВЛИ, К564ИД5 с ЖКИ и т. п.

Большинство же ИС требуют согласующих цепей, построенных на транзисторах, дополнительных источников питания.

Ряд ИС преобразуют двоично-десятичный код в десятичный, необходимый для управления ГРИ: К155ИД1, К176ИД1, К176ИЕ8, К555ИД10, К564ИД1 и др.

Для управления шкальными ППИ используются преобразователи двоично-десятичного кода в код шкальных индикаторов: К133ИД15, К133ИД16, К514ИД3 и др. Применяют также аналого-кодовые преобразователи, например К1003ПП1. Имеются микросхемы согласователей нагрузок для ППИ, ВНИ и ВЛИ: К176ПУ1, К176ПУ2, К176ПУ3 и др. Для преобразования уровней микросхем КМДП (на комплектных МДП-транзисторах) в уровни ЖКИ применяется ИС К564УМ1.

Двоичный код в позиционный код матрицы ВЛИ преобразуется с помощью ИС К120ХЛ1. Для управления матрицей 8×8 ППИ предназначен регистр сдвига с формирователем К514ИР2. Для управления матричным ГРИ могут использоваться коммутаторы К1109 (21...24) и др.

Примеры управления различными типами индикаторов

Полупроводниковые индикаторы применяют в виде отдельных светодиодов, сегментных знаковинтезирующих индикаторов, шкальных индикаторов. Эти индикаторы имеют низкие напряжения питания (1,5...3 В), токи отдельных светодиодов или сегментов составляют 2...30 мА. Светодиоды могут включаться на выход логических микросхем. Микросхемы с открытым коллектором и повышенной нагрузочной способностью: К155ЛП9, К155ЛА7, К155ЛИ15, К155ЛЛ2, К155ЛА18, К555ЛА7, К555ЛИ2, К555ЛИ4, К555ЛЛ3, К531ЛА7П, К555ЛА13 и др.

Примеры включения светодиодов на выход логических микросхем показаны на рис. 5.19, а, б. Согласование счетчиков со знаковинтезирующими полупроводниковыми индикаторами, большинство которых имеет семь стандартно расположенных сегментов (рис. 5.19, в), связано с необходимостью преобразования двоично-десятичного кода счетчика в код управления семисегментным индикатором. Такое преобразование может осуществляться на логических элементах (рис. 5.19, в).

Для сопряжения сегментных индикаторов со счетчиками ТТЛ ИС используют микросхемы К514ИД1, К514ИД2, К514ИД4. Они представляют собой преобразователи двоично-десятичного кода в код управления семисегментным индикатором. Микросхемы К514ИД1 и К514ИД4 имеют открытые эмиттерные выходы и резисторы в коллекторных цепях. Они используются для управления индикаторами с общим катодом без внешних резисторов. Микросхема К514ИД2 имеет открытые коллекторные выходы и используется с индикаторами, имеющими общий анод. При этом требуется применение внешних резисторов. Допустимый ток микросхемы по каждому выходу — 22 мА. Устройство индикации на базе ИС К514ИД2 показано на рис. 5.20, а.

Управление полупроводниковыми индикаторами в устройствах на КИДП ИС может осуществляться ИС К176ИЕ3 и К176ИЕ4, представляющими собой сочетание счетчика по модулю шесть (первая ИС) и десять (вторая ИС) и кодопреобразователя двоичного кода в код управления семисегментными индикаторами. Схемы управления семисегментными индикаторами с общим катодом и общим анодом показаны на рис. 5.20, б, в. Управляющие сигналы (напряжение низкого уровня — не более 0,3 В, напряжение высокого уровня — не менее 8,2 В) подаются на вход С. Установка нуля осуществляется подачей напряжения высокого уровня на вход R. На выходах А...Д формируются выходные сигналы, обеспечивающие индикацию цифр от 0 до 9, в соответствии с числом, записанным в счетчике. В микросхеме К176ИЕ4 предусмотрено управление инверсией выходных сигналов через вход S: при подаче напряжения низкого уровня состояние счетчика определяется напряжением высокого уровня на выходах А...Д, при подаче напряжения высокого уровня — напряжением низкого уровня. Транзисторы VT1...VT7 и резисторы R₁...R₇ служат для обеспечения допустимой нагрузки на выходе ИС и регулировки токов сегментов. Вместо дискретных транзисторов в схеме на рис. 5.20, б, в могут быть применены микросхемы К176ПУ1, К176ПУ2, К176ПУ3.

Индикаторы с токами сегментов менее 5 мА могут включаться на выходы ИС К176ИЕ3 и К176ИЕ4 непосредственно. Большой нагрузочной способностью обладает микросхема К176ИД2, позволяющая непосредственно подключать такие индикаторы, как АЛ305А, АЛС321,

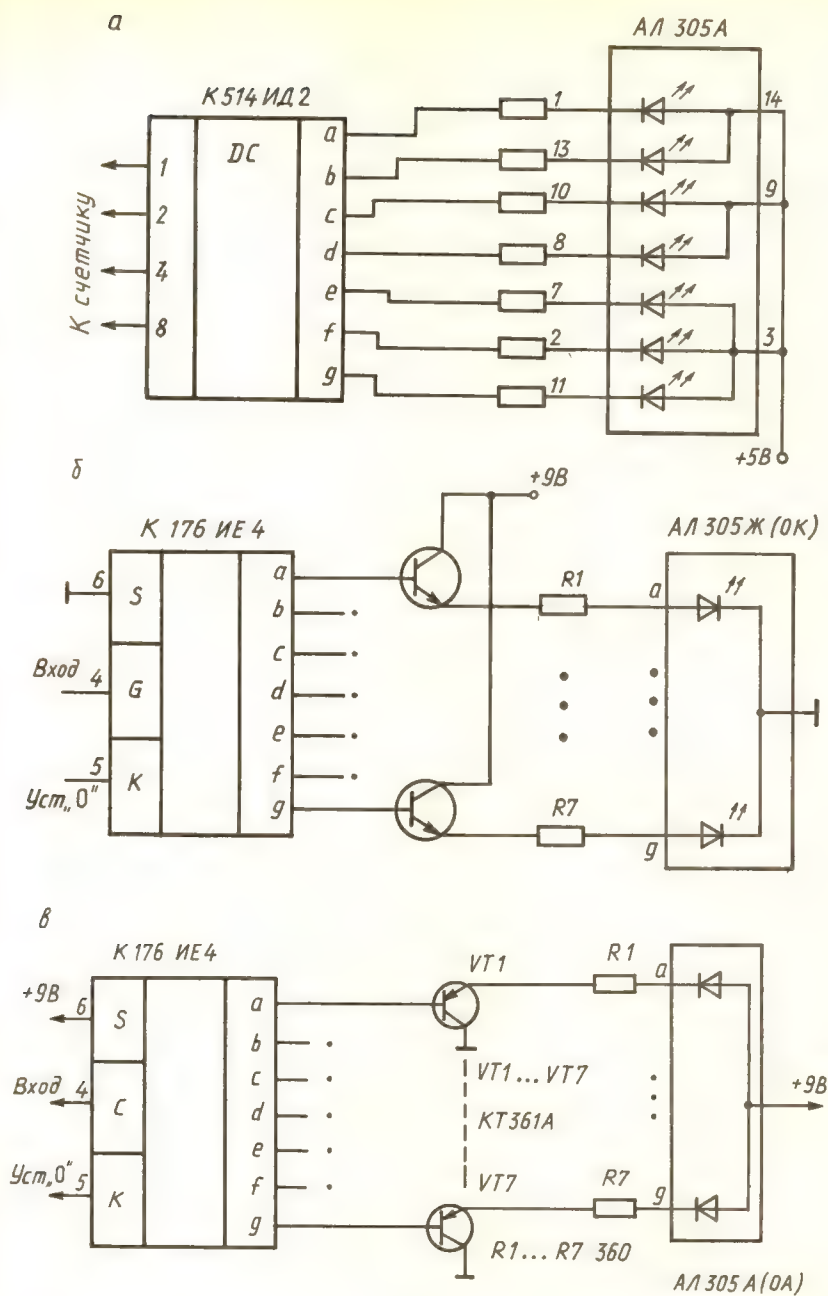


Рис. 5.20. Схемы управления полупроводниковыми семисегментными индикаторами

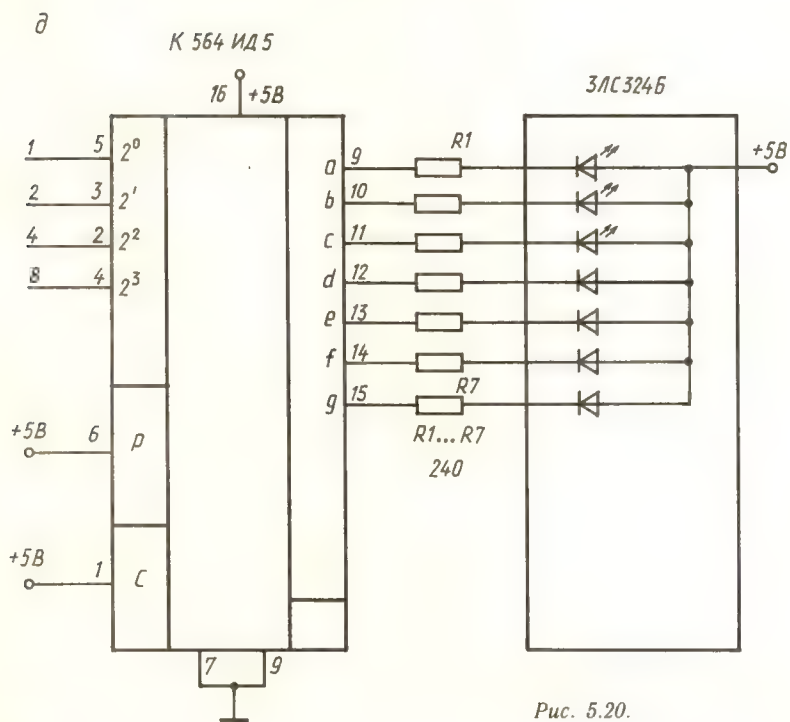
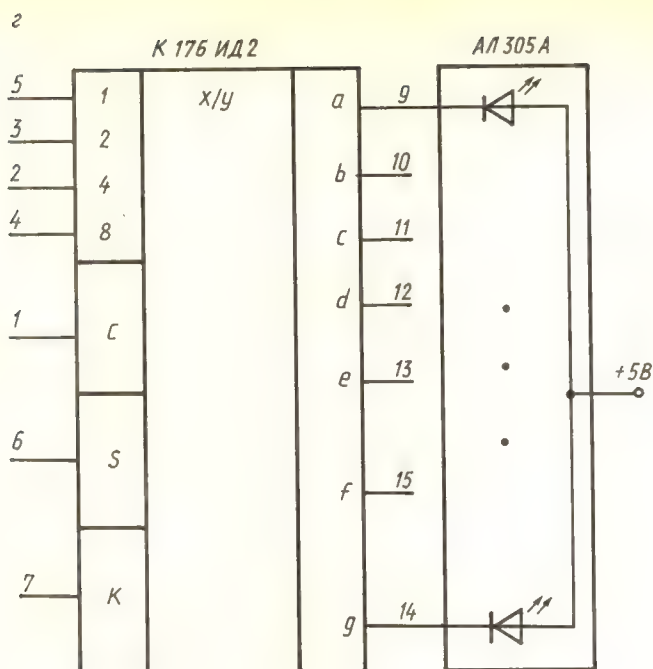


Рис. 5.20.

ния низкого уровня сигналы на входах запоминаются и далее на изменение входных сигналов микросхема не реагирует.

Для управления полупроводниковыми индикаторами в устройствах на ИМДП ИС используются также дешифраторы двоичного кода в код управления семисегментным индикатором — микросхемы К564ИД4, К564ИД5. Эти ИС предназначены в основном для управления жидкокристаллическими индикаторами. Однако они могут применяться и с другими типами индикаторов.

Микросхема И564ИД5 имеет в отличие от К564ИД4 входной регистр. Схема устройства индикации показана на рис. 5.20, д.

Рассмотренные схемы показывают способы управления одноразрядными индикаторами. Для управления многоразрядными устройствами применяют микросхему типа К564ИК2. Она предназначена для работы с пятиразрядными семисегментными полупроводниковыми индикаторами.

Для управления шкальными индикаторами могут использоваться те же микросхемы, что и для отдельных светодиодов. Например, управление индикатором типа АЛС362Ж показано на рис. 5.21, а.

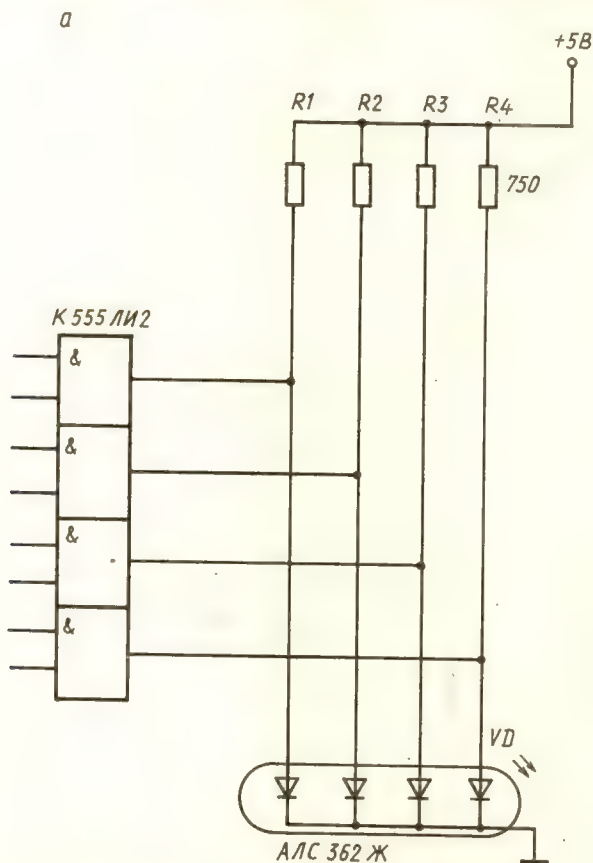


Рис. 5.21. Схемы управления шкальными индикаторами на светодиодах

Широкие возможности управления шкальными индикаторами обеспечивают микросхемы К1003ПП1, К1003ПП2, К1003ПП3. В них имеется аналого-кодовый преобразователь, который в зависимости от входного напряжения высвечивает соответственно столбик на шкалах из 12, 16 диодов или одну точку из десяти диодов. Входное напряжение составляет 0...6 для К1003ПП1 и К1003ПП2 и 0...24В для К1003ПП3. Токи нагрузки на входах не более 12 мА. Пример включения микросхемы К1003ПП1 показан на рис. 5.21, б.

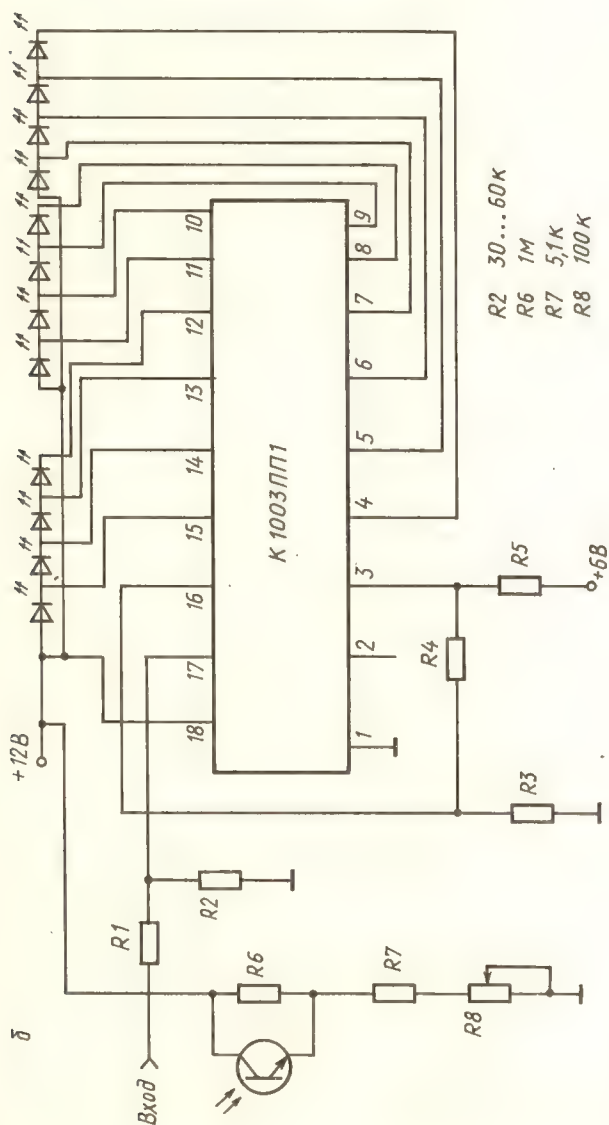


Рис. 5.21.

Вакуумные накальные индикаторы (ВНИ) — лампы накаливания и знаковосинтезирующие индикаторы. Такие индикаторы работают при напряжениях 3...5 В и токах 17...40 мА на сегмент. По параметрам они близки к полупроводниковым. Возможные варианты включения ламп накаливания показаны на рис. 5.22. На рис. 5.22, а используется общий источник питания с ИС. В схемах (рис. 5.22, б, в) для питания ламп напряжением 12 В, в первом случае (б) используется высоковольтный

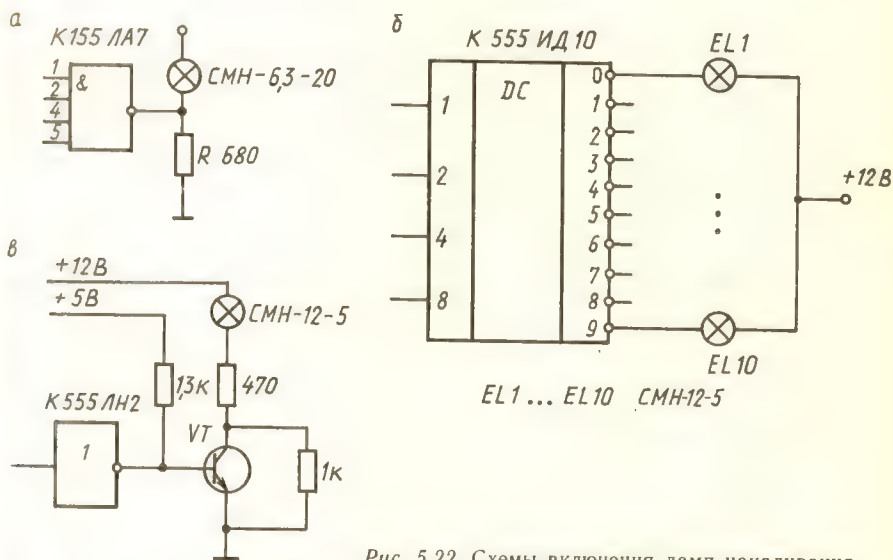


Рис. 5.22. Схемы включения ламп накаливания

выход дешифратора с открытым коллектором, во втором случае (в) — для согласования с другим источником питания — ключ на транзисторе.

Устройства управления знаковосинтезирующими ВНИ подобны устройствам управления полупроводниковыми индикаторами. Если же индикатор потребляет большой ток, для согласования могут использоваться дискретные транзисторы или транзисторные сборки, например 1НТ251А, имеющая допустимый ток 400 мА.

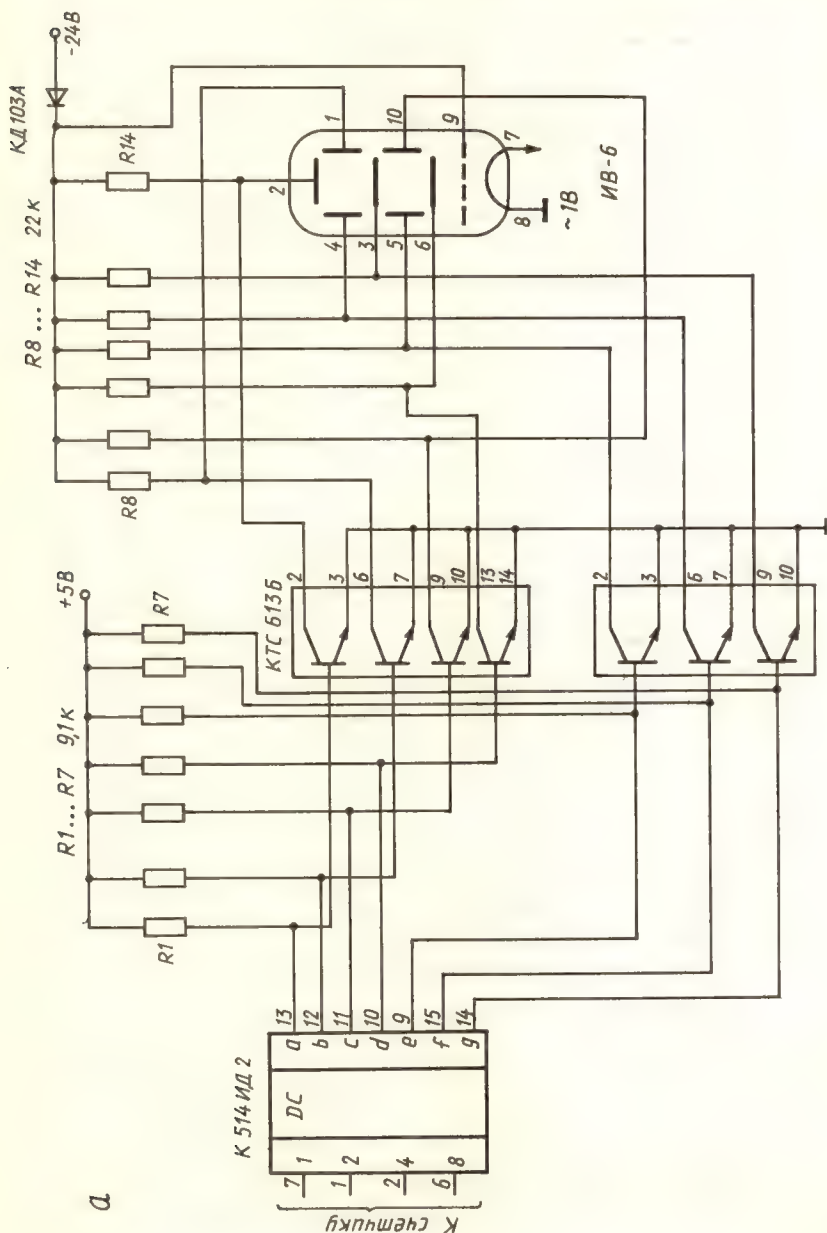
Вакуумные люминесцентные индикаторы (ВЛИ) — это семисегментные и матричные знаковосинтезирующие индикаторы. Они работают при напряжениях 10...30 В и токах сегментов до десятков миллиампер.

Для согласования ВЛИ с микросхемами ТТЛ можно использовать преобразователь К514ИД2 (см. рис. 5.23, а). В этой схеме для согласования напряжений ИС с индикатором используются транзисторные сборки КТС613Б. Сегменты индикатора начинают светиться при напряжении низкого уровня выходного сигнала микросхемы. Резисторы R8...R14 служат для регулировки тока сегментов.

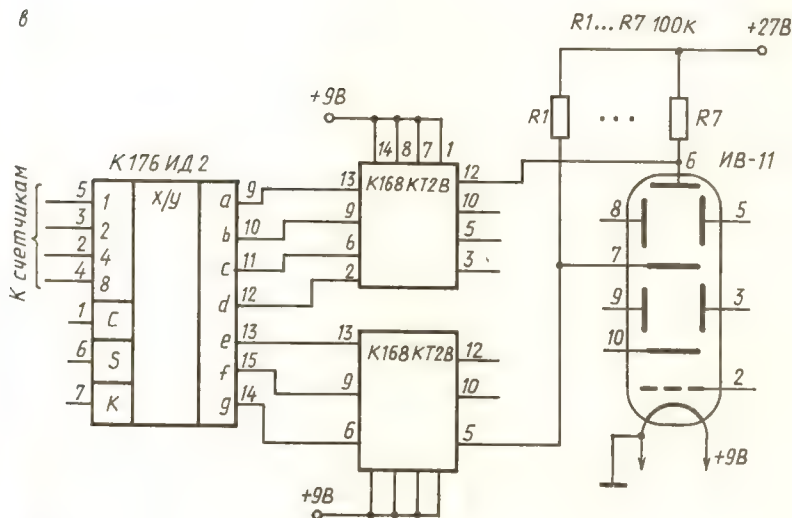
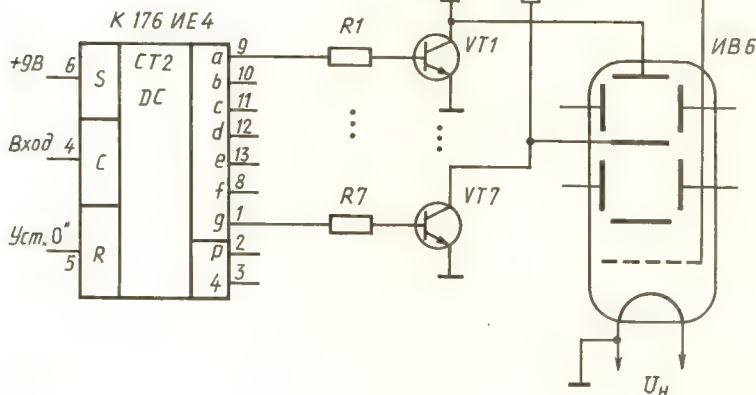
Для управления ВЛИ в микроэлектронной аппаратуре на микросхемах КМДП может использоваться ИС К176ИЕ4. Схема управления показана на рис. 5.23, б. Яркость свечения можно регулировать подбором напряжения питания. Транзисторы и резисторы служат для согласования нагрузки по напряжению и допустимым токам на выходах ИС.

Схема согласования К176ИД2 (К176ИЕ3, К176ИЕ4) с ВЛИ при

использовании МДП-транзисторов с индуцированным каналом, входящих в состав ИС коммутаторов К168КТ2В, показана на рис. 5.23, в. Для непосредственного управления ВЛИ можно использовать ИС К564ИД5 и К176ИД3. Микросхема К176ИД3 аналогична К176ИД2, но ее выходные каскады выполнены с открытым стоком. Пример непо-



VT1... VT7 KT315Д
 R1... R7 62к
 R8... R14 22к



средственного включения индикатора на выход преобразователя К564ИД5 в устройствах на ИМДП ИС приведен на рис. 5.23, г.

Для управления ВЛИ используют ИС К161ПР1, К161ПР2, К161ПР3. Эти микросхемы выполняют функции преобразования входного двоично-десятичного кода в код семисегментного индикатора, согласования уровней напряжения ИС и индикатора, запоминания входной информации (К161ПР2). Пример использования преобразователя К161ПР2

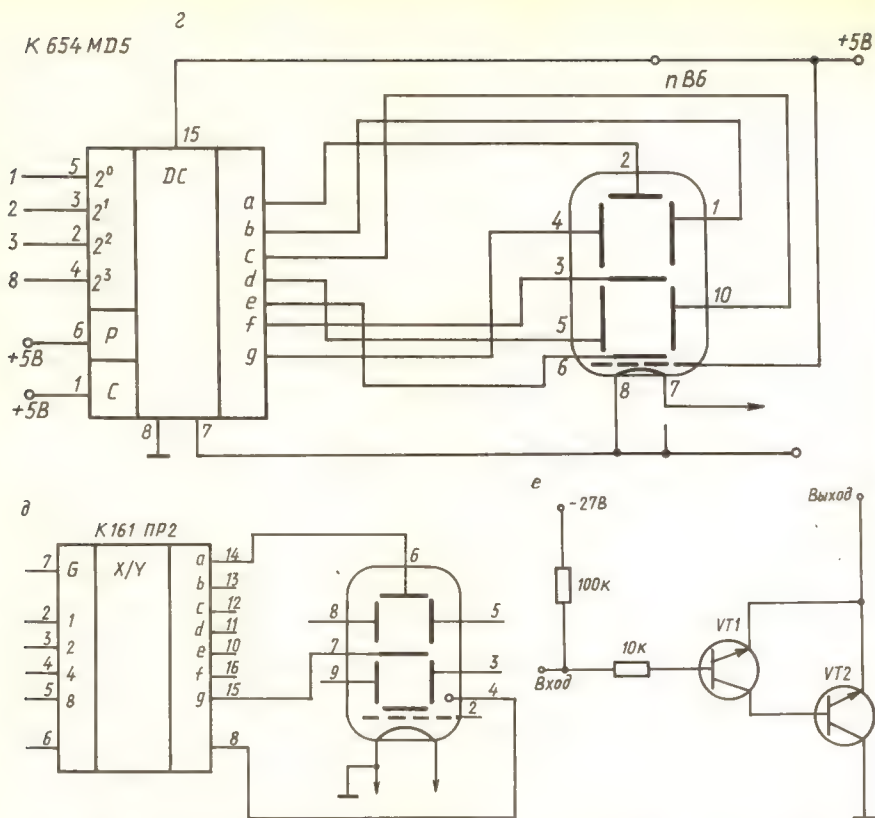


Рис. 5.23. Схемы управления вакуумными люминесцентными индикаторами

для управления индикатором ИВ-11 показан на рис. 5.23, д. Информация, записанная в ИС при подаче напряжения высокого уровня на вход G, запоминается в регистре. Формируемые цифры появляются на индикаторе при подаче входных сигналов от счетчика. Запятая высвечивается при подаче напряжения высокого уровня на вывод 6. В данной схеме допускается непосредственно подключать индикатор к ИС, поскольку ток сегмента не превышает нагрузочную способность ИС (0,9 мА). Если токи сегментов превышают допустимую нагрузку ИС, для согласования используют этишшерный повторитель (рис. 5.23, е), имеющий входной ток до 0,1 мА, а выходной — до 10 мА, что достаточно для управления ВЛИ.

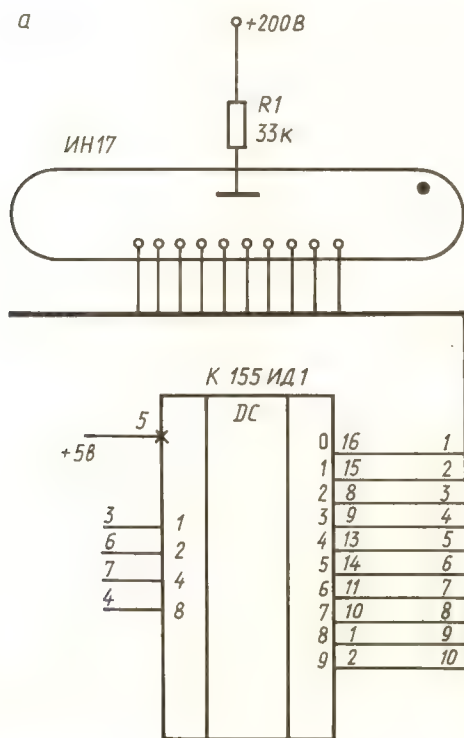
Газоразрядные индикаторы имеют повышенное напряжение питания (до 250 В), токи составляют 0,05...1 мА на знак. У большинства таких индикаторов форма катода выполнена в виде цифры, знака, символа и т. п. Цифровые индикаторы обычно имеют десять знаковых входов.

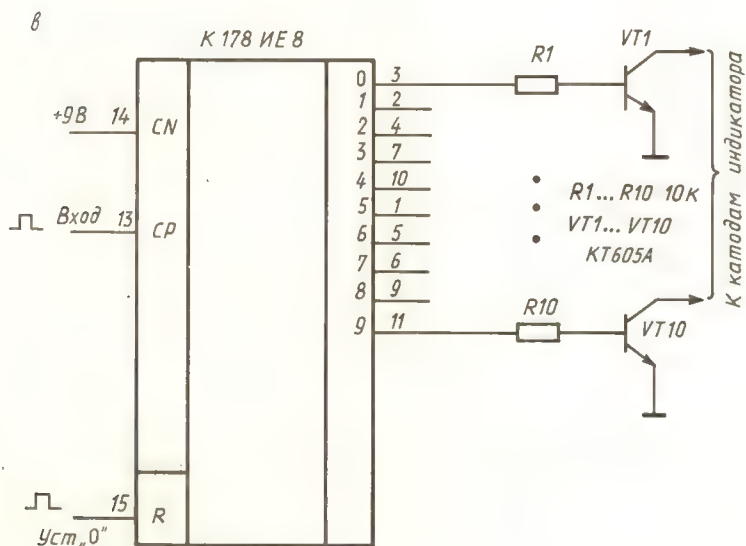
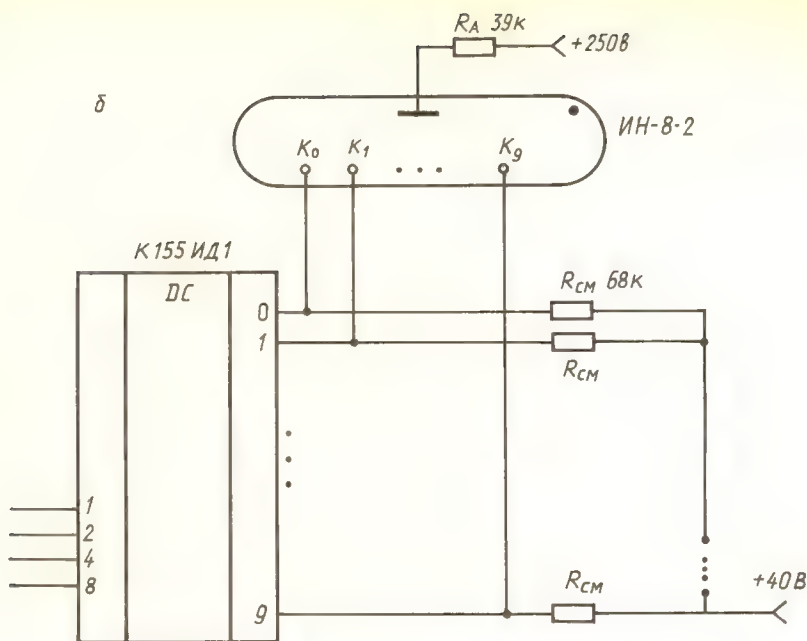
Счетчики ИС ТТЛ наиболее просто согласуются с помощью высоковольтного дешифратора К155ИД1. На выходе микросхемы включены транзисторы с открытым коллектором, имеющие рабочее напряжение не менее 60 В.

Пример устройства индикации с использованием К155ИД1 показан на рис. 5.24, а. Резистор $R1$ служит для регулировки тока анода.

Вариант более совершенной схемы, имеющей цепи смещения, показан на рис. 5.24, б. Положительное напряжение смещения подается на выходы дешифратора через резисторы $R_{см}$ и исключает возникновение паразитного свечения на неиндицируемых катодах. При появлении на выходе дешифратора напряжения низкого уровня на соответствующем катоде возникает разряд. Ток через индикатор регулируется резистором R_a . Для управления газоразрядными индикаторами в устройствах на КМДП ИС может применяться микросхема К176ИЕ8. В ее состав входит десятичный счетчик и дешифратор. Для согласования с индикатором применяются ключи на $n-p-n$ -транзисторах, входящих в сборки К168НТ1 или дискретные транзисторы. Пример схемы управления приведен на рис. 5.24, в. Вход CP применяется как счетный при подаче положительных импульсов (при этом на входе CN должно быть напряжение высокого уровня). Вход CN используется при подаче отрицательных импульсов (при этом на входе CP должно быть напряжение низкого уровня). Вход R служит для установки ИС в нулевое состояние при подаче на этот вход напряжения высокого уровня.

Многоразрядные знакосинтезирующие (ГРИ) в мультиплексном режиме управляются как по катодам-сегментам, соединенным параллельно во всех разрядах, так и по анодам. Аноды управляют зажиганием необходимого разряда. Схема управления восьмиразрядным





индикатором ГИП-11 показана на рис. 5.24, г. Сигналы с преобразователя двоично-десятичного кода К155ПП4 через согласующие транзисторы сборки К166НТ1 подаются параллельно на соответствующие катоды индикаторов всех разрядов. Управление зажиганием нужного разряда осуществляется с помощью дешифратора-мультиплексора К555ИД4.

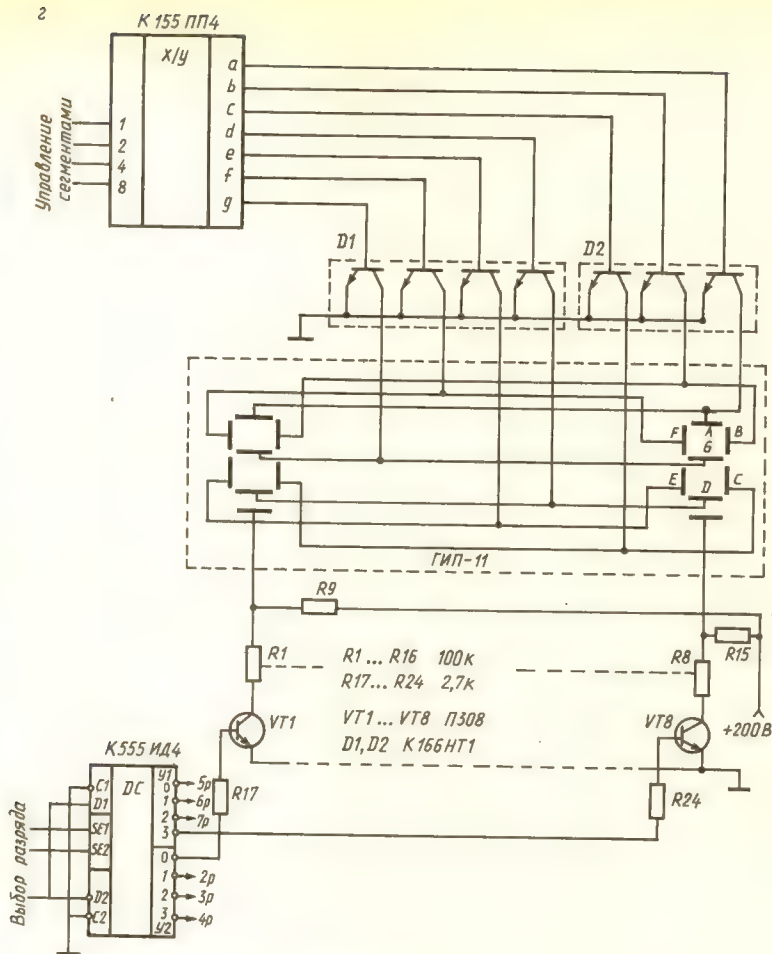


Рис. 5.24. Схемы управления газоразрядными индикаторами

Его выходы соединены с базами транзисторов $VT1...VT8$. При подаче на вход дешифратора тактирующего кода 1, 2, 4 на одном из его выходов появляется напряжение низкого уровня, которое закрывает соответствующий транзистор. На коллекторе закрытого транзистора появляется напряжение, почти равное напряжению источника питания, которое и создает условия для зажигания нужного разряда.

Жидкокристаллические индикаторы (ЖКИ) имеют низкие напряжения питания (3...15В) и очень малые потребляемые токи (до 15 мкА). Они обычно используются в устройствах с автономными источниками питания и экономичными микросхемами. Управление ими осуществляется с помощью переменных напряжений (постоянная составляющая не должна быть более 50 мВ). При питании постоянными напряжениями срок службы сокращается.

Для управления ЖКИ широко используется фазоимпульсный способ. Пример устройства управления на базе микросхемы К176ИЕ4 приведен на рис. 5.25, а.

На вход 6 ИС, обеспечивающий инверсию выходного сигнала, и общий электрод индикатора подается последовательность импульсов возбуждающего напряжения U_B .

Выходной сигнал ИС, например управляющий сегментом а, определяется выражением $A = aU_B + \bar{a}U_B$, где $a = 0$, если сегмент не должен

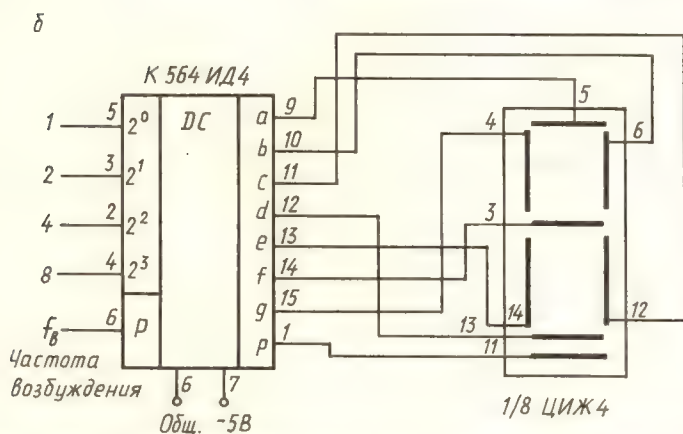
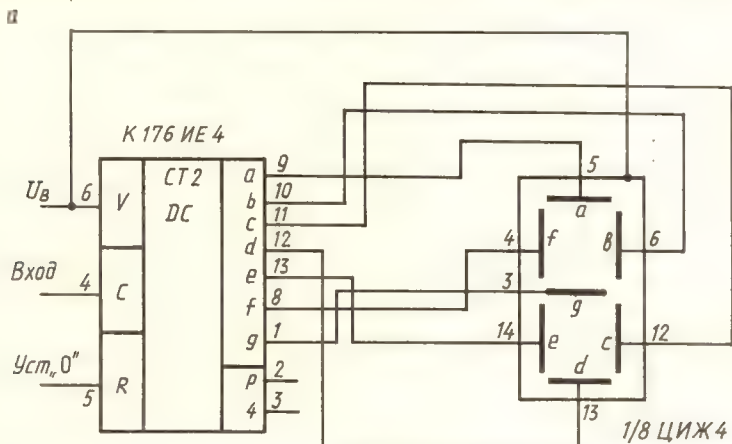


Рис. 5.25. Схемы управления жидкокристаллическими индикаторами

быть виден, и $a = 1$, если сегмент должен быть виден. При $a = 0$ ($\bar{a} = 1$), $A = \bar{U}_B$ перепад напряжений между сегментом и общим электродом равен нулю, при этом сегмент не виден. При $a = 1$ ($\bar{a} = 0$) $A = U_B$, т. е. на сегмент подается последовательность импульсов с противоположной фазой по отношению к импульсам на общем электроде. Перепад напряжений на выходе между сегментом и общим электродом

в данном случае в 2 раза превышает амплитуду импульсов и вызывает потемнение сегмента. Для обеспечения нормальной работы частота $U_{\text{в}}$ должна составлять 50...500 Гц при амплитуде импульсов 8...10 В.

При использовании микросхем К564ИД5, К564ИД4 для управления ЖКИ не требуются дополнительные элементы, т. к. каждая ИС выдает на выходе импульсные сигналы ± 5 В.

Пример схемы управления на микросхеме К564ИД4 показан на рис. 5.25, б.

Электролюминесцентные индикаторы требуют высоких напряжений питания (до 250 В) частотой 400...1000 Гц при токах 0,5...1 мА. Для коммутации высоких напряжений могут быть использованы микросхемы оптронов. Они осуществляют гальваническую развязку низковольтной управляющей цепи (с выхода дешифратора) и высоковольтной цепи управления индикатором.

5.3. МУЛЬТИПЛЕКСОРЫ

Мультиплексор — это управляемый кодом коммутатор, предназначенный для коммутации одного из m -входов (каналов) на выход. Входы мультиплексоров, m -информационных и k -управляющих, находятся в следующем соответствии: $m = 2^k$. Выход обычно один, он может быть прямым и инверсным. Но иногда предусмотрены оба выхода для парафазного представления сигнала.

В магнитофонах-приставках при коммутации стереосигнала используются два выхода (левый и правый каналы). Примером системы входных, выходных и управляющих сигналов может служить работа мультиплексора типичного варианта в виде микросхем К531КП2П, К555КП2, К155КП2. Эти ИС совместимы по всем параметрам. У них один тип корпуса и одинаковая разводка выводов (рис. 5.26).

Мультиплексор состоит из двух частей, каждая из которых содержит

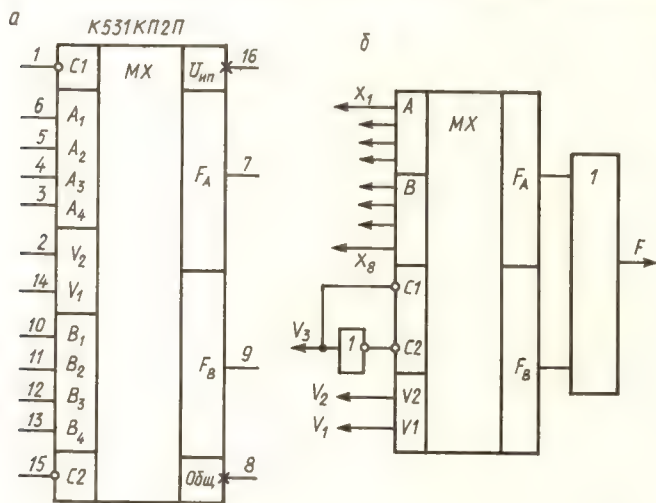
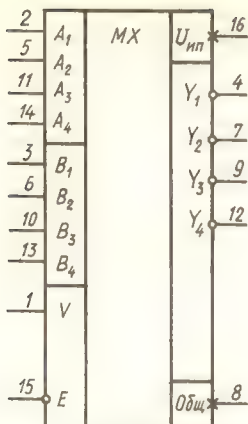
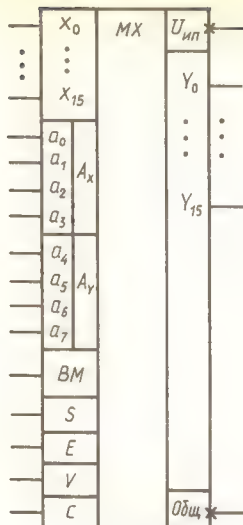


Рис. 5.26. Микросхемы мультиплексоров:

а — К531КП2П (К555КП2); б — способ увеличения числа каналов;



а — К531КП14П
(К555КП14П, К1533КП14);
б — К1509КП1 (матричный коммутатор)



четыре канала: $A1...A4$ и $B1...B4$; стробирующий вход (инверсный) C_1 , C_2 , один выход F_A и F_B каждой части. Управляющие входы V_2 , V_1 являются общими, т. е. сигналы на этих входах оказывают одновременное воздействие на обе части ИС. Правила работы мультиплексора показаны в табл. 5.12.

У ИС с выходом на три состояния при отсутствии разрешающего сигнала на стробирующем входе выход переходит в состояние «отключено», поэтому выходы таких ИС можно объединять по схеме «ИЛИ».

Быстродействие мультиплексоров зависит от типа коммутирующих элементов, их режима. Наибольшим быстродействием обладают мультиплексоры серий К1500, К500, 100, наименьшим — мультиплексоры мало-мощных серий, например К134 и К561, 564 (табл. 5.13). Для увеличения числа каналов объединяют несколько мультиплексоров, используя для этой цели стробирующие входы (рис. 5.26, б). Здесь два четырехканальных мультиплексора (рис. 5.26, а) объединены в восьмиканальную схему, в которой из двух стробирующих входов образован третий управляющий вход V_3 . Выходы объединены логическим элементом. Отдельную группу составляя мультиплексоры, каналы которых состоят из нескольких, например четырех, разрядов: К531КП1П, К555КП14 и др. Особенностью многоразрядных мультиплексоров является то, что на выход коммутируют не единичный сигнал, а группу сигналов, т. е. кодовую комбинацию. Такие ИС имеются в сериях 530, К531, К555, К1533 в двух вариантах исполнения: с прямыми выходами (К531КПП, К555КП1П, К1533КП1П) и с инверсными (К531КП14П, К555КП14П, К1533КП14). Указанные ИС имеют выходы на три состояния, единую систему разводки выводов в корпусе, одинаковое напряжение питания и уровни сигналов 0 и 1. Мультиплексор, приведенный на рис. 5.26, в, имеет два четырехразрядных канала A и B , четырехразрядный выход V и два управляющих входа E и V . Сигнал на входе определяет режим работы ИС: при $\bar{E} = 1$ входы заблокированы, а выходы принимают третье состояние, при $\bar{E} = 0$ ИС пере-

Таблица 5.12

Стробирующий вход C_1, C_2	Управляющие входы V_2, V_1		Выход F_A	Выход F_B
1	2		3	4
0	0	0	A_1	B_1
0	0	1	A_2	B_2
0	1	0	A_3	B_3
0	1	1	A_4	B_4
1	X	X	0	0

Примечание. X — любое значение: 0 или 1.

Таблица 5.13. Мультиплексоры

Тип микросхемы	Число каналов	За- держ- ка, нс	По- треб- ляемая мощ- ность, мВт	Напря- жение пита- ния, В	Нали- чие стро- бирую- щего входа	Примечание
1	2	3	4	5	6	7
K1500КП164	16	2,6	440	-4,5	—	Два восьмиканальных мультиплексора
K1500КП163	8×2	1,9	690	-4,5	—	
K155КП1	16	17	390	5,0	+	Выход на три состоя- ния То же
K1509КП1	16×16	100	800	5,0	+	
K500ИД164	8	8	650	-5,2	—	
K531КП7П(КП15)	8	7	350	5,0	+	
K555КП7(КП15)	8	24	50	5,0	+	
K155КП5(КП7)	8	17	215	5,0	-(+)	Выход на три состоя- ния
K134КП10	8	275	33	5,0	—	
K561КП2, 564КП2	8	600	0,15	3...15	+	
K590КН1	8	1000	15	-15, +5,0	+	
K561КП1, 564КП1	4×2	600	0,15	3...15	+	
K1500КП171	4×3	1,7	513	-4,5	+	Выход на три состоя- ния
K531КП2П	4×2	9	350	5,0	+	
K555КП2П(КП12)	4×2	20	55	5,0	+	
K555КП13	4×2	19	102	5,0	+	
K155КП2	4×2	20	300	5,0	+	
K134КП9	4×2	275	33	5,0	—	Выход на три состоя- ния Два четырехразрядных канала
K531КП11(КП14)	2(4)	7	400	5,0	+	
K555КП11(КП14)	2(4)	18	58	5,0	+	
K1533КП11(КП14)	2(4)	20	38	5,0	+	
K561ЛС2	2(4)	450	0,25	3...15	—	

ходит в рабочий режим. Сигнал на входе V определяет выбор канала для коммутации на выход: при $V=0$ к выходу подключается канал A , при $V=1$ — канал B .

Более гибкая схема коммутации входов и выходов под управлением цифрового кода выполнена в ИС матричного коммутатора K1509КП1

(рис. 5.26,з). Структура ИС включает коммутационную матрицу, состоящую из 16 строк и 16 столбцов. Каждая строка соединена со своим входом (каналом), а столбец — с выходом. Следовательно, ИС имеет 16 каналов $X_0...X_{15}$ и 16 выходов $Y_0...Y_{15}$, причем выходы могут принимать третье состояние. В каждой из 256 точек коммутации расположен ключ на МДП-транзисторе и триггер. Состояние триггера определяют входные управляющие сигналы, а триггер, в свою очередь, определяет состояние ключа. Обращение к нужному триггеру для передачи ему команды на коммутацию обеспечивает восьмиразрядный адресный код. Четыре разряда кода $A_x (a_3...a_0)$ адресуют строку, т. е. выбирают канал (вход), который следует коммутировать. Другие четыре разряда $A_y (a_7...a_4)$ адресуют столбец, т. е. выбирают выход, с которым будет соединен выбранный вход.

Таким образом, ИС позволяет осуществить коммутацию любого из 16 входов (каналов) на любой из 16 выходов.

Режим работы коммутатора определяют пять управляющих сигналов: $E = 1$ разрешает обращение к ИС; $E = 0$ переводит выходы в третье состояние; $BM = 1$ обеспечивает доступ к адресованному выходу; $BM = 0$ переводит адресованный выход в третье состояние; $S = 1$ устанавливает требуемое соединение; $S = 0$ запрещает соединение, блокируя адресные входы; $V = 0$ определяет асинхронный режим передачи информации от входа к выходу; при $V = 1$ передачу синхронизируют сигналы на входе C . Коммутатор К1509КП1 переключает сигналы с частотой до 10 МГц; осуществляет задержку сигнала через канал от входа к выходу не более 40 нс, а длительность входного сигнала не должна быть менее 30 нс.

Особенностью мультимплексов серий К561, 564, например К561КП1, 564КП1, является их двусторонняя проводимость. Их называют двунаправленными, так как они позволяют коммутировать цифровые и аналоговые сигналы в обоих направлениях и поэтому могут быть использованы не только в качестве мультимплексора для коммутации одного из входов на выход, но и в качестве демультимплексора (селектора) для коммутации входа на один из выходов. В режиме демультимплексора входы и выходы меняются местами.

Режим питания ИО-мультимплексов и уровни сигналов. В общем к ИС могут быть подведены три напряжения питания: $U_{ип1}$ (вывод 16), $U_{ип2}$ (вывод 8), $U_{ип3}$ (вывод 7). От значений питающих напряжений зависят уровни управляющих сигналов на входах V_1, V_2, C . При этом напряжение высокого уровня равно напряжению $U_{ип1}$, напряжение низкого уровня — напряжению $U_{ип2}$. Уровни коммутируемых сигналов определяют напряжения: $U_{ип1}$ — наибольшее значение сигнала, $U_{ип3}$ — наименьшее. Разность напряжений $U_{ип1} - U_{ип3}$ не должна превышать 15 В.

К примеру, при передаче цифровых сигналов типичными являются следующие напряжения источников питания: $U_{ип1} = 5$ В, $U_{ип2} = 0$. В таком случае управляющие сигналы должны иметь уровни 0 и 5 В, коммутируемые сигналы могут иметь уровни от 0 до 5 В.

Другой пример: необходимо передать сигналы с уровнями от -5 до 5 В. Для этого к ИС подводят следующие питающие напряжения: $U_{ип1} = 5$ В, $U_{ип3} = -5$ В. Чтобы управлять ИС сигналами одной полярности, подают $U_{ип2} = 0$, т. е. вывод 8 соединен с корпусом. К параметрам ИС серий К561, 564, приведенных в табл. 5.12, также относятся: наибольший размах коммутируемого напряжения 15 В, наибольшее значение тока через открытый ключ 10 мА, сопротивление открытого канала 120...300 Ом. В сериях К176, К561, 564 имеются ИС (К176КТ1, К561КТ3, 564КТ3), содержащие отдельные двунаправленные ключи.

В бытовых магнитофонах («Электроника — ТАА-004», «Электроника-204», «Нота МП220С» и другие) применяются сравнительно простые мультиплексоры серии К547).

Мультиплексоры К547

Представляют собой четырехканальные переключатели, которые управляются командами (постоянными напряжениями), поступающими на затворы электронных ключей (вывод 2, 6, 9, 13) (рис. 5.27). Ко-

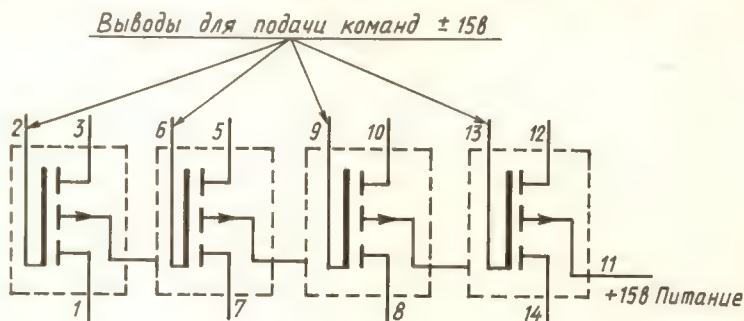


Рис. 5.27. Схема электронного коммутатора К547КП1

манда — 15В разрешает прохождение сигнала через данный ключ, а команда +15В — запрещает прохождение сигнала (соответствующий ключ разомкнут). Во всех случаях ключи будут работать, если приложено напряжение питания +15В на вывод 11 микросхемы К547КП1А... К5477КП1Г. Например, если на вывод 2 подана команда — 15В, то ключ открывается и соединяет выводы 1 и 3 между собой, если на вывод 6 подано — 15В, то соединяются выводы 5 и 7, и т. д. При подаче +15В на вывод 13 выводы 12 и 14 будут разъединены. Когда необходимо одной командой — 15В включить сразу 2 ключа одновременно, то выводы управляющих затворов соединяют между собой (например, выводы 9 и 13) и на них подают напряжение — 15В, тогда выводы 8 и 10, а также 12 и 14 между собой соединяются.

В схемах магнитофонов такие коммутаторы чаще применяются для пропускания стереосигнала (2 канала) и подключения цепей коррекции для каждого и стереоканалов (2 канала). Кроме того, они используются для изменения коррекций усилителей записи и воспроизведения при использовании лент CrO_2 и FeCr , чаще путем соединения с корпусом некоторых элементов цепи коррекции усилителя (при подаче команды — 15В на соответствующие затворы). Применяются данные коммутаторы и для изменения коэффициента усиления операционного усилителя путем подключения резистора параллельно элементу (тоже резистору) цепи обратной связи ОУ, от которого зависит коэффициент усиления. Основные электрические параметры микросхем К547КП1А... К547КП1Г приведены в табл. 5.14.

Предельно допустимые электрические режимы эксплуатации

Напряжение между стоком и подложкой:

К547КП1А не более 35В

К547П1Б — «— 30В

К547КП1В — «— 20В

К547КП1Г — «— 20В

Таблица 5.14

Параметр	K547КП1А	K547КП1Б...K547КП1Г
$R_{СИ\text{ отк.}}, \text{ Ом}$	100	150
$I_{3\text{ ут.}}, \text{ нА}$	50	500
$I_{с\text{ ут.}}, \text{ нА}$	50	500
$I_{и\text{ ут.}}, \text{ нА}$	50	500
$U_{ЗИ\text{ пор.}}, \text{ В}$	—3...—6	—3...—6

Напряжение между истоком и подложкой:

K547КП1А не более 35В

K547КП1Б —«— 30В

K547КП1Б —«— 20В

K547КП1Г —«— 20В

Напряжение между затвором и подложкой 40В

Постоянный ток стока не более 20мА

Мощность рассеивания 500 мВт.

При отсутствии коммутации каким-либо ключом следует проверить наличие напряжения питания на выводе 11 и управляющего напряжения команды и его полярности. Как отмечалось ранее, —15В на выводах 2, 6, 9, 13 (при наличии +15В на выводе 11) ключи открывает, а +15В на тех же выводах ключи закрывает, т. е. выводы 3-1, 5-7, 8-10, 12-14 разомкнуты. Если же все напряжения присутствуют и хотя бы один ключ не работает, микросхему следует заменить.

5.4. МИКРОПРОЦЕССОРЫ

Микропроцессор (МП) — это микроэлектронное программно-управляемое устройство, осуществляющее процесс обработки цифровой информации и управляющее этим процессом. Микропроцессор может быть реализован на одной или нескольких больших интегральных схемах (БИС) и является наиболее важной частью ЭВМ.

В последнее время для расширения сервисных возможностей и качества ЛПМ магнитофонов, управления ими изготавливаются и применяются в аппаратах магнитной записи БИС широкого применения серии K145.

Так, K145ИК1906 применяется для контроля и управления режимами работы лентопротяжного механизма магнитофонов. БИС K145 ИК1913 применяется для программного управления работой лентопротяжного механизма. Большая интегральная схема K145ИК1914 содержит счетчик, таймер, выполняющий отсчет дискретных значений параметров с привязкой к реальному времени, и применяется в системах автоматического контроля и бытовых магнитофонах; БИС K145И1915 применяется для автоматического управления электропроигрывателем.

Микроконтроллерные БИС K145ИК1906, K145ИК1913 и K145ИК1914 служат для управления магнитофоном. Эти большие интегральные схемы являются одним из вариантов базовой БИС K145ИК19 и предназначены для контроля и управления лентопротяжным механизмом магнитофона, а при наличии соответствующих датчиков — контроля режимов работы различных механических устройств.

Вышеназванные микроконтроллеры имеют следующие основные параметры: напряжение питания — 27 В, сопротивление по входу логического 0 — около 1 кОм, по выходу логической 1 — около 1 МОм; допустимые

токи нагрузок по выходам \bar{D}_i — менее или равны 6 мА, I_i — 2 мА, а Y_i — 1 мА. Тактовая частота 30...40 кГц может задаваться с помощью внешней RC-цепи, кварцевого резонатора РК101 (32768 Гц) или внешними прямоугольными импульсами. У данных БИС выходы $Ст1$, $Ст2$, $Ст3$, $КВ$ используются для возбуждения внутреннего задающего генератора (фазы $\Phi1$, $\Phi3$). Неиспользованные выводы 4, 11, 12 заземляют, вывод 31 соединяют с выводом 32, а 33 — с 34.

Переход из режима в режим работы БИС осуществляется с помощью клавиатуры коммутацией сигналов \bar{D}_i на соответствующие входы K_j . Режимы работ контролируются визуально по индикатору, для которого управляющие сигналы снимаются с выходов I_i в соответствии с рис. 5.31.

При использовании БИС К145ИК1906 (рис. 5.28) в составе магнитофонов с ее помощью осуществляют семь основных режимов работы: «Оста-

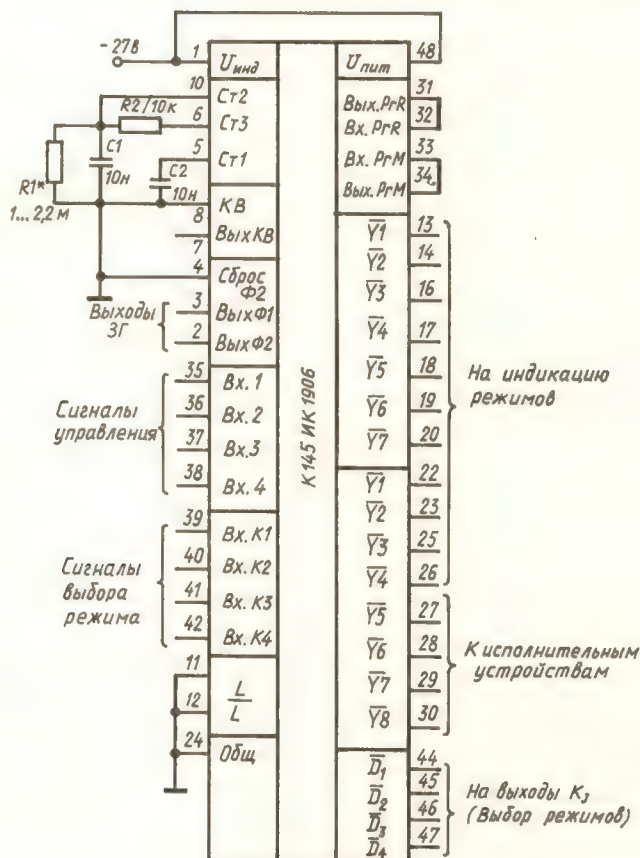


Рис. 5.28. Схема включения БИС К145ИК1906

нов», «Рабочий ход», «Перемотка вправо», «Перемотка влево», «Пауза», «Подготовка к записи», «Запись»; и четыре дополнительных режима работы: «Автостоп», «Программный автостоп»; и две программы автоматического изменения режимов работы магнитофона.

Таблица 5.15. Выбор режимов работы БИС K145ИК1906

Режим	Вход K_J	Выход D_i	Сигналы индикации режима	Режим	Вход K_J	Выход D_i	Сигналы индикации режима
1	2	3	4	5	6	7	8
Останов	K1	$\bar{D}4$	$\bar{11}$	Запись	K1	$\bar{D}1$	$\bar{17}$
Рабочий ход	K1	D1	$\bar{16}$	Программа 1	K3	$\bar{D}1$	$\bar{Y}1$
Перемотка вправо	K1	$\bar{D}2$	$\bar{13}$	Программа 2	K3	$\bar{D}2$	$\bar{Y}2$
Перемотка влево	K1	$\bar{D}3$	$\bar{12}$	Автостоп	K3	$\bar{D}4$	$\bar{Y}3$
Пауза	K1, K3	D1	$\bar{14}, \bar{16}$	Программный автостоп	K3	$\bar{D}3$	$\bar{Y}4$
Подготовка к режиму «Запись»	K1, K3	$\bar{D}1$	$\bar{14}, \bar{17}$				

Основные режимы осуществляются нажатием клавиши, коммутирующей сигналы с выхода D_i на вход K_j в соответствии с табл. 5.15.

Дополнительные режимы устанавливаются или сбрасываются при повторном обращении к БИС нажатием соответствующих клавиш.

БИС K145ИК1913 в составе магнитофона позволяет обеспечить поиск с помощью клавиатуры определенного номера (от 0 до 15) музыкальной программы в режиме «Поиск» и ее прослушивание. В режиме «Обзор» осуществляется последовательное прослушивание фонограммы в течение примерно 15 секунд, затем происходит автоматическая перемотка до появления ближайшей паузы в фонограмме и т. д. При работе в режиме «Автоповтор» после воспроизведения последней фонограммы происходит переход к проигрыванию фонограммы, номер которой записан с помощью клавиатуры в первой ячейке памяти.

БИС K145ИК1914, кроме применения в бытовых магнитофонах для контроля расхода ленты и управления лентопротяжным механизмом, может использоваться для отсчета дискретных значений некоторого параметра с привязкой к реальному времени. При работе БИС в составе магнитофона с ее помощью индицируется текущее значение условного метража, текущего времени и в режиме «Поиск» — предварительно установленное значение метража. С помощью БИС при наличии на входе X1 прямоугольных импульсов частотой 102 Гц (режим «Перемотка») или 64 Гц (режим «Рабочий ход») осуществляется прямой или обратный ход условного метража. Может осуществляться также поиск нужного участка записи путем сравнения показаний счетчика условного значения метража с предварительно установленным. При этом в момент сравнения выдается соответствующий сигнал. БИС может работать также в режиме счета времени или в режиме таймера (обратный счет времени) и выдавать управляющие сигналы в случае переполнения счетчика, завершения работы таймера и при показаниях счетчика времени свыше одного часа. Сигнализируется также, какой параметр контролируется (время или условный метраж), и направление счета (прямой или обратный счет).

Назначение выводов 1...21 аналогично БИС K145ИК1906 (рис. 5.29), так же как и схема их подключения, а назначение выводов 22...48 БИС K145ИК1914 представлено в табл. 5.16.

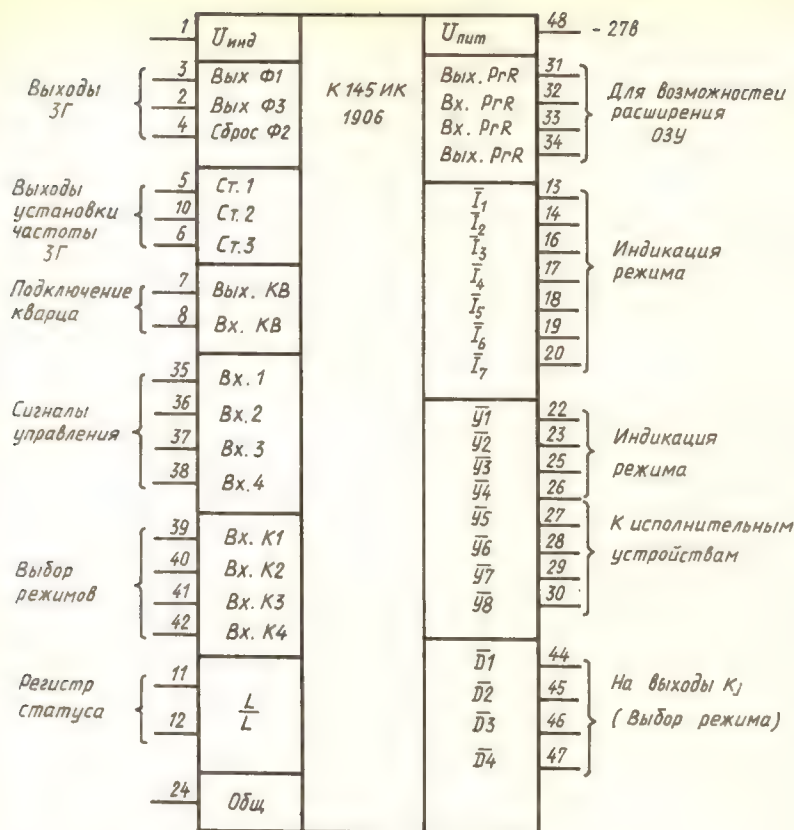


Рис. 5.29. Назначение выводов БИС K145IK1906

Таблица 5.16. Назначение выводов K145IK1914

Номер вывода	Наименование сигнала	Назначение вывода	Примечание
1	2	3	4
22	Вых. \bar{Y}_1	Управляющий выходной сигнал	Сигнализация о завершении работы таймера и превышении 1 ч при счете времени
23	Вых. \bar{Y}_2	То же	
24	Общий выход		Указывает направление счета времени: низкий уровень напряжения — прямой счет; высокий уровень — обратный счет (таймер)
25	Вых. \bar{Y}_3	» »	

1	2	3	4
26	Вых. $\bar{Y}4$	» »	Признак выводимого на индикатор параметра: низкий уровень напряжения — значение условного метража; высокий уровень — значение времени
27	Вых. $\bar{Y}5$	» »	Сигнализация о переполнении счетчика условного метража
28	Вых. $\bar{Y}6$	» »	Сигнализация о превышении текущего значения счетчика условного метража над значением предустановки условного метража
30	Вых. $\bar{Y}8$	» »	Сигнализация о равенстве значений предустановки условного метража и текущего значения счетчика условного метража
31	Вых. PrR	Для возможности расширения оперативной внутренней памяти	
32	Вх. PrR	То же	
33	Вх. PrM	» »	
34	Вых. PrM	» »	
35	X1	Сигнальный вход «Счет»	Для приема сигнала типа меандр при отсчете условного метража
36	X2	Сигнальный вход ЛПМ	Для приема информации о состоянии СПМ магнитофона: высокий уровень напряжения соответствует режиму «Перемотка», низкий уровень — режиму «Рабочий ход»
37	X3	Сигнальный вход «Направление»	Для приема информации о направлении счета параметра: низкий уровень напряжения — прямой счет, высокий уровень — обратный счет
38	X4	Вход	
39	K1	Вход с клавиатуры	
40	K2	То же	
41	K3	» »	
42	K4	» »	Вход K4 соединен с выходом 4 для включения БИС при подаче напряжения питания
	Вых. СИ		
43	Вых. СИ	Не используется	
44	Вых. D1	Выходные разрядные сигналы	Для сканирования индикатора и клавиатуры
45	Вых. D2	То же	
46	Вых. D3	» »	
47	Вых. D4	» »	
48	U_n	Напряжение питания БИС-27 В	

Включение БИС K145ИК1906

Схема включения БИС K145ИК1906 с элементами внешней RC-цепи, определяющими частоту внутреннего генератора, приведена на рис. 5.28. Если напряжение индикатора и БИС совпадают, то выводы 1 и 48 соединяют между собой.

При работе БИС в магнитофоне выход $\bar{Y}5$ управляет рабочим ходом ЛПМ, причем для включения режима «Рабочий ход» на этом выходе появляется высокий уровень напряжения, т. е. от 0 до 2 В (логический ноль); на выходе $\bar{Y}6$ высокий уровень напряжения появляется при включении перемотки вправо; выход $\bar{Y}7$ управляет включением режима перемотки влево (аналогично $\bar{Y}6$), а на выходе $\bar{Y}8$ при включенном ЛПМ появляется сигнал высокого уровня напряжения (от -8 до -27 В).

Микросхема позволяет анализировать информацию, поступающую на входы $Vx1...Vx4$. По $Vx1$ определяют, в каком состоянии (движения или остановки) находится ЛПМ. Поступающий на $Vx1$ уровень логического нуля (напряжение 0...2 В) соответствует останову механизма, а уровень логической единицы ($-8...-27$ В) — его движению. В случае подачи любого из управляющих сигналов (рабочий ход, перемотка вправо или влево) и отсутствия логической единицы на $Vx1$ в течение пяти секунд схема переходит в режим ожидания и на выходе $Y5$ появляется напряжение высокого уровня. При необходимости формирования паузы, предшествующей режиму «Рабочий ход», на $Vx2$ задается сигнал в виде уровня логического нуля, что вызывает отключение управляющих сигналов $Y5...Y8$.

Сигнал автостопа ЛПМ в виде высокого уровня напряжения (логическая единица) подается на $Vx 3$ БИС при работе в режиме «Автостоп», что обеспечивает останов механизма. В режиме «Программный автостоп» обеспечивается прием сигнала прерывания работы механизма (уровень логической единицы по $Vx 4$) от датчика метража ленты.

Две программы («Программа 1» и «Программа 2») автоматического изменения режимов работы обеспечивают автоматический переход от режима «Рабочий ход» в режим «Перемотка влево» и от режима «Перемотка влево» в режим «Рабочий ход» по сигналам автостопа или программного автостопа. Одновременное использование обеих программ позволяет добиться многократного прослушивания некоторого участка магнитной ленты, т. е. чередовать режимы «Рабочий ход» и «Перемотка влево».

Микропроцессор на БИС К145ИК1901 также применяется в составе бытовой аппаратуры для включения и выключения некоторых устройств в заданные программой моменты, эта БИС служит также основой электронных часов, таймеров. На рис. 5.30 показано назначение выводов микропроцессора, а на рис. 5.31 приведены коды сегментов десятичной цифры индикатора.

Тактовая частота 3Г стабилизируется кварцевым резонатором РК10132768 Гц, а при его отсутствии задается в пределах 30...40 кГц внешней RC цепью (при этом вывод 8 подключается к общему проводу, а вывод 7 должен быть свободным). Возможна синхронизация подачи внешних прямоугольных импульсов амплитудой 1,5...2,5В и частотой 32 кГц на вывод 8 (между выводами подключается резистор 10 МОм). Если возможность расширения памяти регистров ОгР и РгМ не используется, то следует вывод 31 соединить с 32, а вывод 33 — с 34. При использовании ИС следует также выводы 11 и 12 соединить с общим проводом. Задание различных режимов работы БИС определяется девятью командами и осуществляется путем подачи импульсов с выходов $\bar{D}i$ на соответствующие входы Ki с помощью клавиатуры. На входе Kj при отсутствии соответствующей команды появляется логическая единица, т. е. напряжение низкого уровня (-27 В).

Команда установки минут осуществляется подачей сигнала с выхода $\bar{D}4$ на вход $K1$, а установки часов — с выхода $\bar{D}4$ на вход $K2$, при этом к предыдущим показаниям соответствующего времени прибавляется едини-

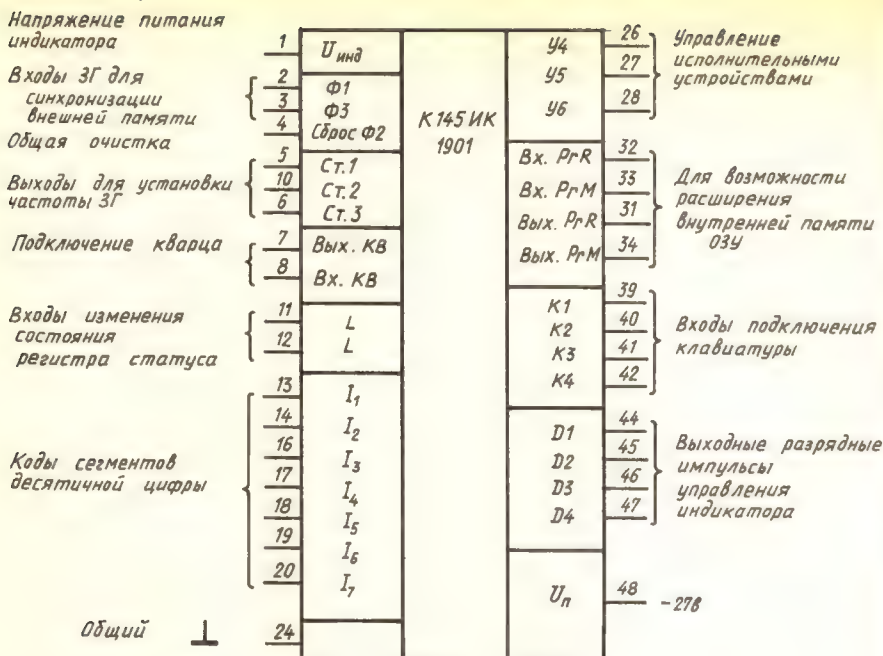


Рис. 5.30. Назначение выводов БИС К145ИК1901

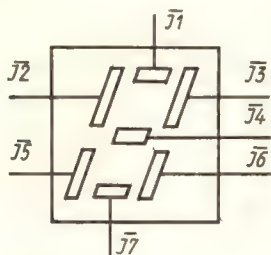


Рис. 5.31. Коды сегментов десятичной цифры

ца с частотой 2 Гц. С помощью команды «Коррекция» (К) (сигнал с выхода $\bar{D}1$ подается на вход К3) осуществляется обнуление разрядов минут (секунд), далее счет продолжается с 00 мин (00с), а в разряде часов информация не меняется.

Режим таймера (Т) (для его осуществления сигнал с выхода $\bar{D}3$ подается на вход К3) совмещен с работой в режиме «Будильник I» («B1»), и их одновременное использование недопустимо. В этом режиме осуществляется обратный отсчет времени, установленного в программе работы режима «B1». При этом значения времени, установленного в разрядах часов и минут, воспринимаются в режиме таймера как значения минут и секунд соответственно. В момент достижения значения 00мин 00с при работе таймера счет времени прекращается и выдается сигнал управления, говорящий об окончании заданного интервала времени. В режиме секундомера (с) (он устанавливается подачей сигнала с выхода D2

на вход $K4$) происходит ежесекундное приращение информации, причем в адрес минут индицируются секунды, а часов — минуты. По команде «Останов» (0) (на вход $K3$ подается сигнал $\bar{D}2$) на индикаторе фиксируются показания текущего времени. В регистрах эта информация также сохраняется.

Микроконтроллер позволяет сравнить текущее значение времени с предварительно установленными с помощью команд «Б1» и «Будильник 2» («Б2») значениями. В момент совпадения текущего и заданного времени в режиме «Б1» или «Б2» каналам выдаются управляющие сигналы независимо друг от друга. Длительность управляющего сигнала составляет 55 с. Команды «Б1» (при этом сигнал с D подается на $K4$) и «Б2» (сигнал с $\bar{D}3$ подается на $K4$) устанавливают режим занесения контрольного времени для «Б1» или «Б2», при этом признак режима выдается на индикаторе как 55ч 55мин, а само время выдачи управляющего сигнала устанавливается командами «Ч» и «М». Программы работ «Б1» и «Б2» заносятся в отдельные регистры памяти и позволяют использовать их многократно. По командам «Б2» или «Б1» содержимое программ выдается для контроля. По управляющим сигналам можно включать в режиме будильника звуковую сигнализацию или, например, используя режим «Б1» (управляющим сигналом $Y5$), включать телевизор, а по режиму «Б2» (управляющим сигналом $Y6$) — выключать.

Прервать сигналы управления $Y4$ — $Y6$ (например, звуковой сигнализации) можно либо отключив питание сигнального устройства, либо по команде «В» (для ее осуществления сигнал с выхода $D1$ подается на вход $K4$) осуществив возврат к текущему времени.

Глава 6

ОСОБЕННОСТИ РЕМОНТА И РЕГУЛИРОВКА ЗАРУБЕЖНЫХ МАГНИТОФОНОВ

Общие сведения

Зарубежные бытовые аппараты магнитной записи (БМЗ) по конструкции и схемным решениям в основном аналогичны отечественным. Для их ремонта и регулировки могут применяться те же методы, что и для отечественных аппаратов.

Номенклатура БМЗ, выпускаемых зарубежными фирмами, большая разнообразная. Однако она не имеет деления на классы, но все же ведущие фирмы выпускают ряд аппаратов (до 10 и больше) различного качества. Это магнитофонные приставки (деки) от высококачественных до более простых, переносные магнитофоны и магнитолы, портативные малогабаритные аппараты, магнитофоны для автомобилей и др. Они отличаются основными техническими характеристиками, а также потребительскими свойствами.

Основные технические характеристики некоторых аппаратов зарубежных фирм приведены в Приложении 1.

Высококачественные аппараты имеют сложные схемные решения как основных блоков магнитофона, так и управления. ЛПМ таких аппаратов строят по кинематическим схемам с двумя или тремя двигателями. Некоторые имеют два ведущих вала. Высококачественные аппараты имеют прямой привод ведущего вала, где тонвалом является непосредственно вал ротора электродвигателя. Такие двигатели сложны в изготовле-

нии и дорогостоящи, имеют относительно сложную схему питания и стабилизации скорости вращения вала. Прямой привод имеют аппараты, построенные как по трехдвигательной (например, «Техник РСВ100» и др.), так и по двухдвигательной схеме («Акаи Ф31» и др.). Высококлас- сные аппараты имеют кварцевую стабилизацию частоты вращения вала двигателя или логическую схему управления. Наряду с качественным изготовлением всех деталей и сборкой такие ЛПМ имеют очень высокие технические характеристики. А некоторые аппараты имеют еще дополни- тельный двигатель для автоматической установки кассеты в рабочее поло- жение при пуске или перемотке (например, «Акаи Ф31, Ф51» и др.). Как правило, высококачественные аппараты имеют и программное управление ЛПМ, обеспечивающее ряд эксплуатационных удобств, могут работать совместно с таймерами, которыми можно задать программу работы магнитофона в определенных режимах в течение дня, недели, месяца. Электрическая схема магнитофона высокого качества имеет отдельные каналы записи и воспроизведения (сквозной канал), различные схемы регулировки подмагничивания, как автоматического, так и ручного, имеются встроенные генераторы звуковой частоты для точной настройки подмагничивания для разных лент (обычно на 400 и 10 000 Гц), что дает возможность обеспечить наиболее качественную запись на различных типах лент, весьма точные люминесцентные индикаторы уровня записи с задержкой индицирования пиков сигнала. Такие аппараты, как правило, имеют все основные системы шумопонижения, применяемые в БМЗ: «Долби-НР, -Б, -С» и ДБХ. Применение СШП позволяет не только снизить уровень шумов, но и расширить динамический диапазон записы- ваемых и воспроизводимых сигналов. Это особенно заметно в аппаратах с применением системы шумопонижения ДБХ.

Эти аппараты имеют качественные головки записи и воспроизведе- ния. Как правило, это головки с «твердой» поверхностью, позволяющей увеличить срок их службы, но дающей часто специфическое звучание магнитофона. В последнее время в высококачественной аппаратуре используются «аморфные» головки.

Несмотря на сложность таких аппаратов (а они содержат до несколь- ких десятков ИС и транзисторов), надежность их довольно высока. Они требуют к себе более внимательного и бережного отношения в процессе эксплуатации, что уменьшит вероятность выхода их из строя. Здесь необходимо точно выдерживать требования инструкции по эксплуатации, а особенно обеспечения стабильности напряжения сети (часто приходится применять стабилизатор). Колебания величины напряжения сети, резкие изменения его могут вывести аппарат со строя. Некоторые аппараты содержат схемы защиты, отключающие магнитофон при изменении на-пряжения питания, перегреве его. Необходимо также обеспечить и вентил- ляцию, что уменьшит вероятность перегрева.

Зарубежные магнитофоны среднего качества и более простые не имеют принципиальных отличий от отечественных как ЛПМ, так и электрической схемы. ЛПМ — однодвигательные, и привод на ведущий вал осущест- вляется либо через ременную передачу, редуктор из зубчатых колес или фрикционными роликами.

Ряд зарубежных фирм выпускают магнитофоны и магнитолы с авто- реверсом. ЛПМ таких аппаратов обычно имеет два ведущих вала, а блок головок устанавливается на поворотной торелли, или в одном корпусе расположены две головки — одна над другой (чаще в автомобильных магнитофонах). При переключении режима работы «В другую сторону» производится подключение другой головки.

В последние годы возрос выпуск малогабаритных переносных магнито-

фонов индивидуального пользования, работающих на выносные наушники. Качество как самих магнитофонов (работающих в основном только в режиме «Воспроизведение»), так и наушников непрерывно совершенствуется.

Выпускаемые зарубежными фирмами автомобильные магнитофоны и магнитолы по своему качеству и потребительским характеристикам можно условно разделить на три группы.

К первой относятся простые проигрывающие устройства, имеющие невысокие технические характеристики (полосы рабочих частот 100...8000 Гц): выходная мощность около 2 Вт на выходе канала, наличие только перемотки вперед.

Вторая группа — это более совершенные проигрывающие устройства. Полоса их рабочих частот примерно составляет 50...12 500 Гц, выходная мощность до 4...5 Вт в канале, ЛПМ имеет перемотки в обе стороны, автореверс. Возможно наличие переключателя используемой ленты. Акустическая система содержит широкополосный или двоянный громкоговоритель.

Третья группа — это совершенные проигрыватели, имеющие высокие технические характеристики. Полосы воспроизводимых частот — 50 Гц...14 кГц и шире, выходная мощность до 10 Вт в канале и выше. Возможно наличие системы шумопонижения, программное управление, несколько регуляторов тембра. Акустическая система обычно трехполосная. Выпускаются также автомобильные мини-комплексы, состоящие из тюнера, мощного 134 эквалайзера, магнитофона.

6.1. ЭЛЕМЕНТЫ СХЕМ ЗАРУБЕЖНОЙ АППАРАТУРЫ, ИХ АНАЛОГИ И ЗАМЕНА

При ремонте аппаратов магнитной записи часто возникает необходимость заменить вышедший из строя радиоэлемент — резистор, конденсатор, транзистор и т. п.

Для замены нужно использовать элемент, имеющий идентичные параметры. Зарубежные радиодетали имеют отличия в обозначении их номиналов, маркировке, которую нужно знать, чтобы правильно определить номинал вышедшего со строя резистора или конденсатора, транзистора, диода и т. п.

Резисторы

Зарубежные резисторы, как и отечественные, классифицируются по типу конструкции (постоянные, переменные и подстроечные), по величине номинального сопротивления, по наибольшему допустимому отклонению действительной величины сопротивления от номинальной, по номинальной мощности рассеивания и т. п. Аналогично отечественным используются три закона изменения сопротивления переменных резисторов: линейный — обозначается буквой *A*, логарифмический — *B* и экспоненциальный — *C*.

Зарубежные, как и отечественные, постоянные резисторы выпускаются по рекомендации МЭК (Международной электротехнической комиссии) с номинальными величинами сопротивлений и допусков в соответствии со стандартными рядами, которым присвоены условные обозначения *E6*, *E12*, *E24* и т. д. Каждый из рядов номиналов имеет определенный допуск отклонения от номинальной величины. Для бытовой аппаратуры используются три ряда: *E6*; *E12* и *E24* (табл. 6.1).

Таблица 6.1. Международные стандартные ряды для резисторов и конденсаторов

$E6 \pm 20 \%$	$E12 \pm 10 \%$	$E24 \pm 5 \%$	$E6 \pm 20 \%$	$E12 \pm 10 \%$	$E24 \pm 5 \%$
		1,0	3,3	3,3	3,3
	1,0	1,1			3,6
1,0		1,2		3,9	3,9
	1,2	1,3			4,3
		1,5		4,7	4,7
1,5	1,5	1,6			5,1
		1,8	4,7	5,6	5,6
	1,8	2,0			6,2
		2,2	6,8	6,8	6,8
2,2	2,2	2,4			7,5
		2,7		8,2	8,2
	2,7	3,0			9,1

Маркировка величины номинального сопротивления постоянных резисторов зарубежного производства обозначается в основном цветовым кодом, а также цифро-буквенным текстом. При маркировке цветовым кодом величина номинального сопротивления и его допуск обозначаются цветными точками или кольцами, наносимыми на корпус вокруг резистора. Постоянные резисторы стандартных рядов маркируются четырьмя цветными точками или кольцами (рис. 6.1). Каждому цвету или точке соответствует определенное цифровое значение (табл. 6.2) величины сопротивления. Кольца (точки) — первое и второе — показывают численную величину номинального значения сопротивления в Омах, третье кольцо указывает множитель, на какой необходимо умножить номинальную величину сопротивления, а четвертое кольцо определяет величину допуска в процентах. Если четвертое кольцо отсутствует, то допуск $\pm 20 \%$, серебристый цвет $\pm 10 \%$, золотистый $\pm 5 \%$, красный $\pm 2 \%$, коричневый $\pm 1 \%$ (рис. 6.2).

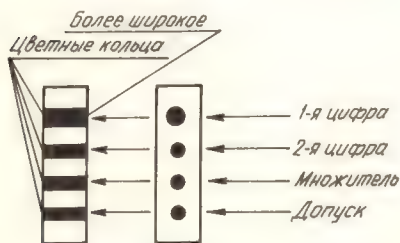


Рис. 6.1. Маркировка номинала резистора и допуска цветными кольцами или точками



Рис. 6.2. Пример номинала и допуска резистора (величина сопротивления равна $0,2 \times 10 \pm 5 \%$, т. е. $20 \text{ Ом} \pm 5 \%$)

Постоянные резисторы с малой величиной допуска ($1...2 \%$) маркируются пятизначным цветовым кодом. Первые три кольца показывают численную величину сопротивления, четвертое — множитель, пятое — допуск.

Для замены вышедших из строя постоянных и переменных резисторов можно использовать отечественные аналогичных номиналов и видов.

Таблица 6.2. Определение номинала резисторов по цветовому коду

Цвет точки или кольца маркировки	Первая точка или кольцо Первая цифра	Вторая точка или кольцо Вторая цифра	Третья точка или кольцо Множитель
1	2	3	4
Серебристый	—	—	10^{-2}
Золотистый	—	—	10^{-1}
Черный	0	0	1
Коричневый	1	1	10^1
Красный	2	2	10^2
Оранжевый	3	3	10^3
Желтый	4	4	10^4
Зеленый	5	5	10^5
Голубой	6	6	10^6
Фиолетовый	7	7	10^7
Серый	8	8	10^8
Белый	9	9	10^9

Мощность резистора ориентировочно определяется его размером, аналогично отечественным.

Рабочие напряжения резисторов различной мощности равны: 0,1 Вт — 100 В; 0,25 Вт — 300 В; 0,5 Вт — 400 В; 1 Вт — 800 В; 2 Вт — 1000 В.

При ремонте встречаются случаи, когда резистор сгорел (обуглился) так, что по нему невозможно определить номинал. В этом случае необходимо использовать принципиальную схему аппарата, где номинал указан, а если и схемы нет (что бывает при ремонте зарубежных аппаратов), то необходимо проанализировать и установить назначение резисторов, исходя из знаний отечественной схемотехники и собственного опыта. Используя монтаж, можно нарисовать часть схемы с вышедшим из строя резистором, чтобы легче определить его назначение и возможный номинал.

Вероятность сгорания резистора выше в цепях с относительно большими токами (резисторы фильтров питания, цепей коллектора и эмиттера транзистора и т. п.). Ориентировочное значение резисторов типичных усилителей каскадов следующее (рис. 6.3); $R1$ — десятки кОм, $R2$ — единицы, несколько десятков кОм, $R4$ — несколько десятков, сотни Ом, $R3$ — несколько кОм.

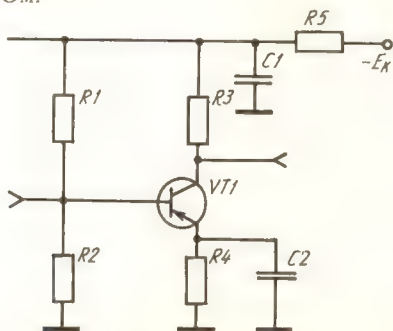


Рис. 6.3. Схема усилительного каскада

Конденсаторы

Номинальные величины емкостей конденсаторов и их допуск также регламентированы международным стандартом (МЭК). Для бытовой радиоэлектронной аппаратуры в основном используются конденсаторы, номинальные емкости которых соответствуют рядам *E6* и *E12* с величиной допуска $\pm 10\%$ и $\pm 20\%$.

Классификация конденсаторов зарубежного производства аналогична отечественной. Маркировка конденсаторов осуществляется чаще цветовым кодом (табл. 6.3) (рис. 6.4). Слюдяные конденсаторы могут маркироваться следующим образом (рис. 6.5).

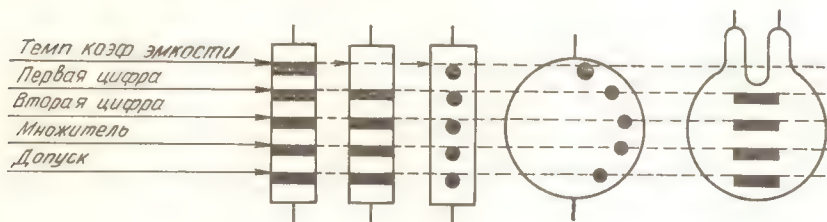


Рис. 6.4. Цветовая маркировка конденсаторов

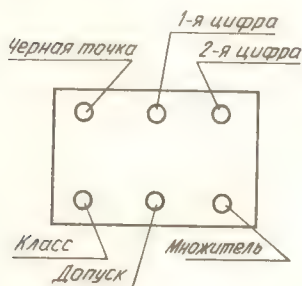


Рис. 6.5. Маркировка слюдяных конденсаторов

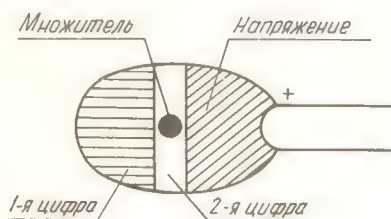


Рис. 6.6. Цветовой код танталовых конденсаторов

Таблица 6.3. Цветовой код конденсаторов широкого применения

	Чер- ный	Корич- невый	Крас- ный	Оран- жевый	Жел- тый	Зеле- ный	Голу- бой	Фиоле- товый	Сер- ый	Бел- ый	Золо- тистый	Сере- брист- ый
1 и 2 цифры	0	1	2	3	4	5	6	7	8	9		
Множи- тель	1	10	10^2	10^3	10^4							
Допуск, %	20	1	2						0,5		5	10
Класс ТКЕ		1		2		3				4		
$10^6\text{ }^\circ\text{C}^{-1}$	0	-33	-75	-150	-220	-330	-470	-750			+100	

Пленочные конденсаторы маркируются текстовым обозначением или цветовым кодом (табл. 6.4).

Маркировка танталовых сухих оксидных конденсаторов производится цветовым кодом (рис. 6.6), приведенным в табл. 6.5.

Номинальную емкость переменных и подстроечных конденсаторов обозначают в виде дроби с указанием минимального и максимального значения емкости в пикофарадах (P).

Такие конденсаторы могут успешно заменяться аналогичными отечественными.

Таблица 6.4. Цветовой код для пленочных конденсаторов

Номинальное значение емкости	Первое кольцо (головка конденсатора)	Второе кольцо	Третье кольцо
0,010	коричневое	черное	оранжевое
0,015	коричневое	зеленое	»
0,022	красное	красное	»
0,033	оранжевое	оранжевое	»
0,047	желтое	фиолетовое	»
0,068	синее	серое	»
0,10	коричневое	черное	желтое
0,15	коричневое	зеленое	»
0,22	красное	красное	»
0,33	оранжевое	оранжевое	»
0,47	желтое	оранжевое	»
0,68	синее	серое	»
1,0	коричневое	черное	зеленое
1,5	коричневое	зеленое	зеленое
2,2	красное	красное	зеленое

Таблица 6.5. Цветовой код для танталовых конденсаторов

Цвет	Номинальная емкость*			Номинальное напряжение, В, цвет основания
	Первый элемент	Второй элемент	Третий элемент. Множитель	
Черный	—	0	1	3 белый
Коричневый	1	1	10	6,3 желтый
Красный	2	2	10 ²	10 черный
Оранжевый	3	3	—	16 зеленый
Желтый	4	4	—	20 синий
Зеленый	5	5	—	25 серый
Синий	6	6	—	35 розовый
Фиолетовый	7	7	—	—
Серый	8	8	10	—
Белый	9	9	10	—

* Первый элемент обозначения — в верхней части корпуса конденсатора.

Полупроводниковые приборы

Маркировка полупроводниковых приборов в странах Европы осуществляется двумя буквами и тремя цифрами. Основное значение имеют две первые буквы, а все остальные указывают порядковый номер.

Первая буква указывает на вид исходного полупроводникового материала: *A* — германий, *B* — кремний, *C* — арсенид галлия, *D* — антимонид индия, *R* — другие полупроводники.

Вторая буква означает функциональное назначение прибора, его класс: *A* — малоомощный диод (кроме фотодиодов, стабилитронов, туннельных диодов и мощных диодов);

B — диод с переменной емкостью;

C — малоомощный низкочастотный транзистор;

D — мощный низкочастотный транзистор;

E — туннельный диод;

L — малоомощный высокочастотный транзистор;

S — мощный высокочастотный транзистор;

U — малоомощный переключающий транзистор;

R — мощный переключающий транзистор;

P — малоомощный транзистор;

T — мощный тиристор;

P — фотодиод, фототранзистор;

Y — мощный выпрямительный диод;

X — умножительный диод;

Z — стабилитрон;

C — сложный прибор (в одном корпусе несколько приборов);

K — генератор Холла;

H — измеритель напряженности поля;

M — модулятор Холла;

O — электролюминесцентный диод.

Примеры обозначения

ВУ126 — кремниевый мощный выпрямительный диод;

ВZ102 — кремниевый стабилитрон;

АС125 — германиевый малоомощный низкочастотный транзистор;

ВД518 — кремниевый мощный транзистор.

По маркировке, принятой в ПНР, после первых двух букв дополнительно ставится буква *P* и далее серийный номер, а для приборов промышленного назначения — две буквы УР. По маркировке, принятой в ЧССР, первая буква указывает тип исходного материала: *G* — германий и *K* — кремний; в ГДР материал обозначают буквами *G* — германий и *S* — кремний, а остальная часть обозначения аналогична вышеприведенной. В Японии для маркировки полупроводниковых приборов применяется пять знаков. Первый элемент обозначает тип полупроводникового прибора: 1 — диод, 2 — транзистор, 3 — четырехслойный прибор, 0 — фотодиод, фототранзистор. Второй элемент указывает на материал полупроводника: *S* — кремний, *G* — германий. Третий элемент определяет структуру и класс прибора:

A — высокочастотный *p-n-p*-транзистор;

B — низкочастотный *p-n-p*-транзистор;

C — высокочастотный *n-p-n*-транзистор;

D — низкочастотный *n-p-n*-транзистор;

E — прибор с четырехслойной *p-n-p*-структурой;

H — однопереходный транзистор;

I — полевой транзистор с *p*-каналом;

K — полевой транзистор с *n*-каналом;

M — симметричный тиристор.

Фотоприборы третьего элемента не имеют.

Четвертый элемент — цифра (начиная с II), указывающая номер прибора. Пятый элемент буква: А — первое усовершенствование разработки, В — второе.

У некоторых приборов после маркировки ставятся буквы N, M, S, C и цифра, указывающая отношение к требованиям специальных стандартов. Примеры обозначения японских полупроводниковых приборов: 2SA811C5 — кремниевый высокочастотный транзистор $p-n-p$; 2SB — кремниевый низкочастотный транзистор $p-n-p$. Кроме вышеназванных

Таблица 6.6. Цветовое обозначение малогабаритных полупроводниковых приборов

Цвет полосы	Цифровое обозначение	Буквенное обозначение
Черный	0	—
Коричневый	1	A
Красный	2	B
Оранжевый	3	C
Желтый	4	D
Зеленый	5	E
Синий	6	F
Фиолетовый	7	G
Серый	8	H
Белый	9	—

систем маркировки часто применяются фирменные обозначения. Для маркировки малогабаритных приборов применяется цветовой код (табл. 6.6).

При обозначении цветовым кодом диодов первая цифра и буква N не ставятся. Следующий за буквой номер обозначается цветными полосами:

а) номера, состоящие из двух цифр, обозначаются черной полосой и последующими второй и третьей цветными полосами, цвет которых определяет соответствующие цифры. При использовании буквы она становится четвертой полосой;

б) номера из трех цифр обозначаются тремя цветными полосами, а четвертая обозначает букву;

в) номера из четырех цифр обозначаются четырьмя цветными полосами, а пятая — черная. Если требуется обозначить букву, то цветную полосу ставят вместо черной;

г) для обозначения полярности цветные полоски либо наносятся ближе к катоду, либо первая полоса от катода наносится двойной ширины;

д) тип полупроводникового диода читается по цветным полосам от катода.

Как известно, полупроводниковые приборы характеризуются большим числом энергетических параметров, которые неодинаковы даже в пределах одного типа из-за естественного технологического разброса. На большинство энергетических параметров полупроводниковых приборов каждого типа устанавливаются граничные значения и допустимые отклонения. Так как стандартизация параметров в некоторых странах производится без учета требований международного стандарта (МЭК), то разница между отечественными и некоторыми зарубежными приборами может быть большой. Поэтому практически невозможно подобрать отечествен-

ный аналог, который бы полностью соответствовал всем энергетическим и эксплуатационным параметрам зарубежного полупроводникового прибора. Исходя из этого, взаимозаменяемость зарубежных и отечественных полупроводниковых приборов осуществляется путем подбора приближенного аналога по основным электрическим параметрам. Основные электрические параметры зарубежных транзисторов широкого применения приведены в Приложении 2.

Приближенные отечественные аналоги зарубежным полупроводниковым приборам регулярно печатались в журналах «Радио» 80-х годов. Основные параметры, по которым производится подбор отечественного аналога транзистора, следующие:

h_{21e} — коэффициент передачи тока в схеме с общим эмиттером (старое обозначение β);

h_{21b} — коэффициент передачи тока в схеме с общей базой (старое обозначение α);

$P_{с. макс}$ — максимальная мощность рассеивания на коллекторе;

$I_{с. макс}$ — максимально допустимый ток коллектора;

$U_{с. макс}$ — максимально допустимое напряжение на коллекторе;

$f_{h21e}(I_B)$ — граничная частота передачи тока в схеме с общим эмиттером;

$f_{h21b}(f_a)$ — граничная частота передачи тока в схеме с общей базой;

$f_T(f_{гр})$ — максимальная частота коэффициента передачи тока в схеме с общим эмиттером;

F — коэффициент шума, показывающий, во сколько раз величина шумов на выходе реального транзистора больше величины шумов на входе такого же идеального транзистора.

Аналоги полупроводниковых диодов подбираются по следующим параметрам:

$U_R(U_{обр})$ — постоянное обратное напряжение;

$I_R(I_{обр})$ — постоянный обратный ток;

$U_F(U_{пр})$ — постоянное прямое напряжение;

$U_z(U_{ст})$ — напряжение стабилизации;

$I_z(I_{ст})$ — ток стабилизации;

$P_{макс}$ — постоянная максимальная мощность рассеивания на диоде;

$C_{tot}(C_d)$ — емкость между выводами диода при напряжении смещения.

Рекомендации по замене полупроводниковых диодов, транзисторов и микросхем

При подборе аналога зарубежного транзистора необходимо знать его основные параметры и характеристики: структуру ($p-n-p$ или $n-p-n$), исходный полупроводниковый материал, из которого изготовлен транзистор (германий или кремний), функциональное назначение транзистора (усилитель низкочастотный или высокочастотный), предельно допустимые режимы работы и основные электрические параметры ($P_{с. макс} I_{с. макс} U_{с. макс} h_{21}$).

Основные параметры транзисторов зарубежного производства приведены в таблице. Подбирать отечественный аналог необходимо такого же типа проводимости ($n-p$ или $p-n-p$) и такого же материала (германий или кремний), т. к. у них разные напряжения смещения, температурная стабильность и другие показатели.

Если аналог подобран, то перед установкой в схему его необходимо проверить при помощи прибора для испытания транзисторов.

Если же такой прибор отсутствует, то ориентировочно исправность транзистора можно проверить омметром, измеряя сопротивление $p-n$ -перехода. Прямое сопротивление эмиттерного и коллекторного переходов — десятки Ом, несколько больше у кремниевых транзисторов и меньше у германиевых, а обратное — десятки кОм (рис. 6.7, 6.8). Сопротивление между эмиттером и коллектором десятки — сотни кОм и больше (рис. 6.9, 6.10).

Если величины сопротивлений переходов примерно соответствуют указанным величинам, то транзистор не имеет внутренних обрывов и

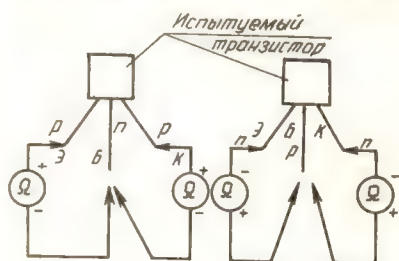


Рис. 6.7. Измерение прямого сопротивления переходов $p-n-p$ и $n-p-n$ транзисторов

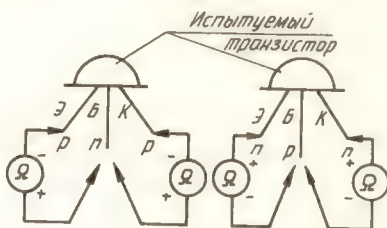


Рис. 6.8. Измерение обратного сопротивления переходов $p-n-p$ и $n-p-n$ транзисторов

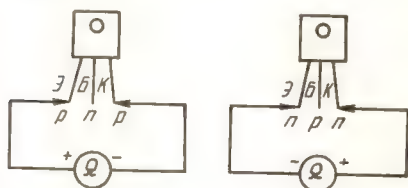


Рис. 6.9. Измерение сопротивления между коллектором и эмиттером (показания омметра меньше)

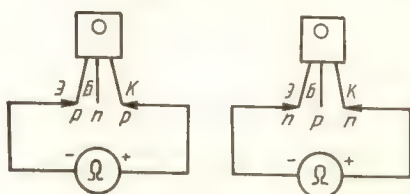


Рис. 6.10. Измерение сопротивления между эмиттером и коллектором (показания омметра больше)

пробоев. Перед установкой в схему необходимо обязательно выяснить и установить причину выхода транзистора из строя (особенно в выходных каскадах УЗЧ).

Иногда на транзисторах (чаще японских) отсутствует общепринятая маркировка, а стоит символ фирмы, и возникает необходимость определить выводы эмиттера, базы и коллектора, тип транзистора $p-n-p$ или $n-p-n$, когда принципиальная схема отсутствует. Ориентировочно это можно сделать при помощи омметра. Сначала определим вывод базы, у которого сопротивление относительно двух других выводов большое (при обратном включении) или малое (при прямом включении). Затем определим выводы эмиттера и коллектора по величине сопротивлений. У эмиттерного перехода прямое сопротивление больше, чем у коллекторного. А по полярности источника питания омметром определим тип $p-n-p$ или $n-p-n$.

Подбор отечественного аналога надо проводить с учетом специфических особенностей каждой конкретной электрической схемы и роли, выполняемой полупроводниковым прибором в ней. Например, если вышел со строя один из выходных транзисторов УЗЧ, то целесообразно заменить оба выходных транзистора (особенно комплементарные пары), так как

отличие одного аналога только по коэффициенту передачи тока вызовет дополнительные нелинейные искажения и т. д.

При отсутствии принципиальной схемы аппарата помощь в ремонте окажут типичные схемы включения зарубежных транзисторов в аппаратуре звуковой частоты (Приложение № 4).

При подборе схем большое внимание следует уделить выходным каскадам УЗЧ, т. к. именно в этих каскадах чаще возможны неисправности и выходы из строя транзисторов. Причинами могут быть: короткое замыкание в нагрузке, длительная работа при максимальном сигнале и повышенной температуре окружающей среды, да и токи в этих каскадах большие, чем в других.

В практике встречались случаи выхода из строя транзисторов, а схема аппарата и маркировка транзистора отсутствовали.

В этом случае проводилась ориентировочная замена зарубежного транзистора отечественным по функциональным признакам. К примеру, вышел из строя транзистор предварительного усилителя воспроизведения. По полярности питания коллекторных цепей определяли тип транзистора ($n-p-n$ или $p-n-p$) и ставили отечественный, работающий в аналогичной цепи магнитофонов, предварительно измерив величину напряжения питания.

При установке в схему другого транзистора необходимо проверить режим работы по постоянному току. Если режим работы не соответствует данным, приведенным на схеме, то подбором соответствующих резисторов необходимо установить его.

В транзисторных каскадах с непосредственной связью изменение режима работы одного каскада приводит к изменению режимов других каскадов, и это необходимо учитывать.

В выходных бестрансформаторных УЗЧ для регулировки режима обычно имеется подстроечный резистор.

Полупроводниковые диоды в основном применяются в выпрямителях, цепях коммутации, стабилизаторах напряжения и др. В выпрямителях и стабилизаторах в основном применяются кремниевые диоды. Вместо выпрямительных диодов используют аналогичные отечественные.

Точнее должны подбираться стабилизаторы с одинаковым напряжением, током стабилизации и мощностью.

Значительно сложнее вопрос замены вышедших со строя микросхем зарубежного производства, т. к. практически отсутствуют отечественные аналоги, за исключением нескольких типов усилительных микросхем, применяемых в аппаратах магнитной записи.

Перед тем как сделать заключение о годности микросхемы, надо тщательно проверить ее контакты и контакты окружающих элементов, режим питания, степень нагрева. Если микросхема быстро и сильно разогревается при включении питания, то, возможно, в ней пробой, или не соответствует режим питания, или изменение сопротивления нагрузки (особенно в выходных УЗЧ). Сложности часто возникают из-за отсутствия принципиальных схем аппаратов и схем включения микросхем. На рисунках Приложений № 5, 6 приведены принципиальные схемы некоторых зарубежных аппаратов и типичные схемы включения микросхем широкого применения. Большое внимание уделено микросхемам выходных каскадов УЗЧ, так как они чаще других выходят из строя. В магнитофонах микросхемы применяются в стабилизаторах питания, стабилизаторах скорости вращения двигателей, предварительных усилителях воспроизведения и записи, устройствах шумопонижения (специальные шумоподавители «Долби-В, -С» и др.), в устройствах управления ЛПМ, в схемах программного управления аппаратом. В основном используются усили-

тельные микросхемы, кроме устройств управления, где применяют цифровое. Если после тщательной проверки пришли к заключению о негодности микросхемы, надо точно установить ее функциональное назначение (это усилитель воспроизведения, оконечный усилитель мощности и т. д.). После этого подобрать отечественную микросхему с аналогичным функциональным назначением и параметрами, соответствующими каскаду, блоку, вышедшему из строя. Замену следует производить не только самой микросхемы, но и всех ее внешних цепей (коррекции, питания и т. п.), т. е. в таком случае можно рекомендовать замену части схемы зарубежного аппарата с вышедшей из строя микросхемой на вновь изготовленную схему с отечественной микросхемой (или на транзисторах с аналогичным назначением и параметрами. Для этого придется разработать и новую печатную плату, если имеется место для ее размещения). Например, если вышли из строя микросхемы шумоподавителя «Долби-В», а отечественных микросхем аналогичного функционального назначения нет, то можно изготовить новый шумоподаватель «Долби-В» на отечественных элементах и после настройки включить его в схему. Еще сложнее, если выходит из строя микросхема электронного управления ЛПМ магнитофона. Это, как правило, большие микросхемы до 20...30 выводов. Даже приближенной замены им нет. Для восстановления нормальной работы такого ЛПМ, возможно, придется переделать всю схему управления и построить ее на отечественных элементах. Примеры таких схем неоднократно публиковались в журналах «Радио» последних лет.

АНАЛОГИ МИКРОСХЕМ ОТЕЧЕСТВЕННОГО И ЗАРУБЕЖНОГО ПРОИЗВОДСТВА

Таблица 1

Тип микросхемы	Фирма	Отечественный аналог	Функциональное назначение
1	2	3	4
TDA2611A	PHIL	K1021YH1	УЗЧ (усилитель звуковой частоты)
TAA960	SIC	KP123YH1A	УЗЧ
TAA960	SIC	KP123YH1B	УЗЧ
TAA960	SIC	KP123YH1B	УЗЧ
μA702C	FSC	KP140YD1B	ОУ (операционный усилитель) пита- ние +12,6; —12,6 В
μA702C	FSC	KP140YD1B	ОУ
CA3030	RCA	KP140YD5A	Быстродействующий ОУ, частота среза 14 МГц, коэффициент усиления 500
CA3030	RCA	KP140YD5B	Быстродействующий ОУ, частота среза 14 МГц, коэффициент усиления 1000
MC1456	MOTA	KP140YD6	ОУ с встроенной частотной коррек- цией
μA741	FSC	KP140YD7	ОУ с встроенной частотной коррек- цией; коэффициент усиления $30\,000 \pm$ ± 15 В
μA740	FSC	KP140YD8A	ОУ с высоким входным сопротивле- нием (100 МОм) ± 15 В
μA740	FSC	KP140YD8B	То же
μA740	FSC	KP140YD8B	То же
μA709	FSC	KP140YD9	ОУ
LM318	NSC	KP140YD11	Быстродействующий ОУ
μA776C	FSC	KP140YD12	Микроомный ОУ с регулируемым по- треблением мощности
LM308	NSC	KP140YD14B	Прецизионный ОУ с малым входным током и потребляемой мощностью
LM308	NSC	KP140YD14B	
LF355	NSC	KP140YD18	Широкополосный ОУ, коэффициент усиления $25\,000 \pm 15$ В
μA747C	FSC	KP140YD20A	Сдвоенный ОУ с встроенной частотной коррекцией и защитой от короткого замыкания
MA747C	FSC	KP140YD20B	
SFC2741	THEF	KФ140YD7	ОУ среднего класса точности, коэф- фициент усиления 25 000, питание ± 15 В
LM2900	NSC	K1401YD1	Четыре ОУ в одном корпусе, коэффи- циент усиления 2000, питание +5 В, 8 мА
LM124D	NSC	K1401YD2A	Четыре ОУ в одном корпусе, коэффи- циент усиления $50\,000 \pm 15$ В, 3 мА
LM124D	NSC	K1401YD2B	Четыре ОУ в одном корпусе, коэффи- циент усиления 25 000, питание +5 В, 2 мА

1	2	3	4
TDB0146D	THEF	K1401УД3	Четыре ОУ в одном корпусе, коэффициент усиления 50 000, питание ± 15 В, 2,5 мА
LM4250	NSC	KP1407УД2	Программируемый маломощный ОУ, коэффициент усиления 50 000, питание ± 12 В
EK-41		KP1407УД3	Программируемый маломощный ОУ, коэффициент усиления 10 000, питание ± 12 В
TAB1042	PLSB	KФ1407УД4	4-канальный маломощный низковольтный ОУ, $\pm 1,5$ В, 2 мА
LM343	NSC	KP1408УД1	Высоковольтный ОУ, коэффициент усиления 70 000, питание ± 27 В
CA3140	RCA	K1409УД1А	ОУ с полевыми транзисторами на входе, питание ± 15 В
CA3140	RCA	K1409УД1Б	Регулируемый стабилизатор напряжения 3...12 В, 0,15 А
μ A723C	FSC	KP142ЕН1А	Регулируемый стабилизатор напряжения 3...12 В; 0,15 А
μ A823C	FSC	KP142ЕН1Б	»
μ A723C	FSC	KP142ЕН1В	»
MA723C	FSC	KP142ЕН1Г	Регулируемый стабилизатор напряжения 12...30 В, 0,15 А
μ A723C	FSC	KP142ЕН2А	»
μ A723C	FSC	KP142ЕН2Б	»
μ A723C	FSC	KP142ЕН2В	»
μ A723C	FSC	KP142ЕН2Г	»
μ A805T	FSC	KP142ЕН5А	Стабилизатор напряжения 5 В, 1,5 А
μ A806T	FSC	KP142ЕН5Б	Стабилизатор напряжения 6 В, 1,5 А
μ A805T	FSC	KP142ЕН5В	Стабилизатор напряжения 5 В, 2 А
μ A806T	FSC	KP142ЕН5Г	Стабилизатор напряжения 6 В, 2 А
ESG7808P	SGL	KP142ЕН8А	Стабилизатор напряжения 9 В, 1,5 А
ESG7812P	SGL	KP142ЕН8Б	То же 12 В, 1,5 А
ESG7815P	SGL	KP142ЕН8В	» 15 В, 1,5 А
ESG7808P	SGL	KP142ЕН8Г	» 9 В, 1 А
ESG7812P	SGL	KP142ЕН8Д	» 12 В, 1 А
ESG7815P	SGL	KP142ЕН8Е	» 15 В, 1 А
ТДА1029	SIC	K174КП1	Коммутатор сигналов звуковой частоты
TAA300	PHIN	K174УНЧА	УЗЧ
TAA300	PHIN	K174УНЧБ	УЗЧ
TCA940	SGL	K174УН9А	УЗЧ с защитой от КЗ и перегрева 7 Вт, 0,04...20 кГц
TCA940	SGL	K174УН9Б	УЗЧ с защитой от КЗ и перегрева, 7 Вт, 0,04...16 кГц
TCA740	PHIN	K174УН10А	Сдвоенный электронный регулятор тембра
TCA740	PHIN	K174УН10Б	То же
ТДА2020	SGL	K174УН11	УЗЧ, 15 Вт
TCA730	PHIN	K174УН12	Сдвоенный электронный регулятор громкости и баланса
ТДА1002А	PHIN	K174УН13	Усилитель записи с АРУ и предварительный усилитель воспроизведения
ТДА2003	SGL	K174УН14	УЗЧ
ТДА2004	SGL	K174УН15	2-канальный УЗЧ с защитой от КЗ и перегрева, 9 Вт, 0,03...20 кГц
AN7145M	MAIJ	K174УН18	2-канальный УЗЧ, 2 Вт

1	2	3	4
NE545B	SIC	K174XA3A	Шумоподаватель DOLBY-B
NE5458	SIC	K174XA3B	То же
LM387	NSC	KP538YH3A	Малошумящий широкополосный прецизионный УЗЧ
LM387	NSC	KP538YH3B	То же
μA740C	FSC	KP544YD1A	ОУ с высоким входным сопротивлением, коэффициент усиления 50 000
μA740C	FSC	KP544YD1B	ОУ с высоким входным сопротивлением, коэффициент усиления 20 000
LF357	NSC	KP544YD2A	ОУ с высоким входным сопротивлением и повышенным быстродействием
LF357	NSC	KP544YD2B	
LF357	NSC	KP544YD2B	
LM381	NSC	K548YH1A	2-канальный малошумящий усилитель
LM381	NSC	K548YH1B	То же
LC549	NSC	K548YH3	Высококачественный усилитель для слуховых аппаратов
μA725B	FSC	KM551YD1A	Прецизионный малошумящий ОУ с коэффициентом усиления 500 000
μA725C	FSC	KM551YD1B	Прецизионный малошумящий ОУ с коэффициентом усиления 250 000
μA709A	FSC	K553YD1A	Микроомный ОУ с коэффициентом усиления 15 000
μA709A	FSC	K553YD1B	Микроомный ОУ с коэффициентом усиления 25 000
LM301	NSC	K553YD2	ОУ с коэффициентом усиления 20 000
AD513	ANA	K574YD1A	Быстродействующий ОУ
AD513	ANA	K574YD1B	То же
AD513	ANA	K574YD1B	То же
TL083	TII	K754YD2A	2-канальный малошумящий ОУ с полевыми транзисторами на входе
TL083	TII	K574YD2B	

ПРИЛОЖЕНИЕ 2

ПАРАМЕТРЫ ТРАНЗИСТОРОВ ЗАРУБЕЖНОГО ПРОИЗВОДСТВА

Таблица 1

Тип транзистора	$h_{21e}/I_K, \text{мА}$	$F, \text{дБ}$	$f_{max}, \text{МГц}$	$C_{к.б.}, \text{пФ}$	$U_{к.т.макс.}, \text{В}$	$I_{к.макс.}, \text{мА}$	$P_{к.макс.}, \text{мВт/}^{\circ}\text{C}$	$^{\circ}\text{C}$
1	2	3	4	5	6	7	8	9
2N2018 <i>n-p-n</i>	20...60/500	—	10	—	150	2000	40Вт/25с	175
2N2019 <i>n-p-n</i>	20...60/500	—	10	—	200	2000	40Вт/25с	175
2N2020 <i>n-p-n</i>	40...120/500	—	10	—	150	2000	40/25с	175
2N2021 <i>n-p-n</i>	40...120/500	—	10	—	200	2000	40/25с	175
2N2032 <i>n-p-n</i>	> 20/2000	—	> 3	—	45	—	45Вт/100с	175
2N2038 <i>n-p-n</i>	12...36/200	—	> 2	80	35е	—	600/25а	130
2N2039 <i>n-p-n</i>	30...90/200	—	> 2	80	60е	—	600/25а	130
2N2040 <i>n-p-n</i>	12...36/200	—	> 2	80	35е	—	600/25а	130
2N2041 <i>n-p-n</i>	12...36/200	—	> 2	80	35е	—	600/25а	130
2N2042 <i>p-n-p</i>	20...50/5	—	> 0,5	—	55е	200	200/25а	100

1	2	3	4	5	6	7	8	9
2N2043 <i>p-n-p</i>	20...50/5	—	> 0,5	—	55e	200	200/25a	100
2N2049 <i>n-p-n</i>	100...300/150	0,6	86	17	50e	—	800/25a	200
2N2060 <i>n-p-n</i>	50...150/10	< 8	100	12	80e	500	500/25a	200
2N2060A <i>n-p-n</i>	50...150/10	< 8	100	12	80e	500	500/25a	200
2N2075 <i>p-n-p</i>	25...100/1200	—	—	—	80	15A	140/25c	110
2N207Б <i>p-n-p</i>	25...100/1200	—	—	—	70	15A	140/25c	110
2N2077 <i>p-n-p</i>	25...100/1200	—	—	—	50	15A	140/25c	110
2N2078 <i>p-n-p</i>	25...100/1200	—	—	—	40	15A	140/25c	110
2N2079 <i>p-n-p</i>	40...160/1200	—	—	—	80	15A	140/25c	110
2N2080 <i>p-n-p</i>	40...160/1200	—	—	—	70	15A	140/25c	110
2N2081 <i>p-n-p</i>	40...160/1200	—	—	—	50	15A	140/25c	110
2N2082 <i>p-n-p</i>	40...160/1200	—	—	—	40	15A	140/25c	110
2N2096 <i>p-n-p</i>	35/400	—	400	15	25B	500	500/25a	100
2N2097 <i>p-n-p</i>	35/400	—	400	15	40	500	500/25a	100
2N2101 <i>n-p-n</i>	15...60/1000	—	—	—	40e	3000	75/25c	200
2N2102 <i>n-p-n</i>	40...120/150	—	60	15	65e	—	5000/25c	200
2N2106 <i>n-p-n</i>	12...36/200	—	15	—	60	—	1000/25a	150
2N2107 <i>n-p-n</i>	30...90/200	—	15	—	60	—	1000/25a	150
2N2109 <i>n-p-n</i>	> 10/10A	—	0,2	—	50e	30A	250/60c	175
2N2110 <i>n-p-n</i>	> 10/10A	—	0,2	—	100e	30A	250/60c	175
2N2111 <i>n-p-n</i>	> 10/10A	—	0,2	—	100e	30A	250/60c	175
2N2112 <i>n-p-n</i>	> 10/10A	—	0,2	—	200e	30A	250/60c	175
2N2113 <i>n-p-n</i>	> 10/10A	—	0,2	—	200e	30A	250/60c	175
2N2114 <i>n-p-n</i>	> 10/10A	—	0,2	—	300e	30A	250/60c	175
2N2116 <i>n-p-n</i>	> 10/1BA	—	0,2	—	50e	30A	250/60c	175
2N2164 <i>p-n-p</i>	40/1	—	> 24	< 10	8e	—	150/25a	140
2N2165 <i>p-n-p</i>	25/1	—	> 10	< 10	30	—	150/25a	150
2N2166 <i>p-n-p</i>	25/1	—	> 10	< 10	12	—	150/25a	150
2N2167 <i>p-n-p</i>	38/1	—	> 16	< 10	8e	—	150/25a	140
2N2171 <i>p-n-p</i>	110...250/20	—	7,5	—	25e	400	225/25a	100
2N2175 <i>p-n-p</i>	> 30/0,02	—	—	7	6	50	100/25a	175
2N2176 <i>p-n-p</i>	> 30/0,02	—	—	7	6	50	100/25a	175
2N2177 <i>p-n-p</i>	> 70/0,05	—	—	7	6	50	100/25a	160
2N2178 <i>p-n-p</i>	—	—	—	7	6	50	100/25a	160
2N2185 <i>p-n-p</i>	—	—	—	6	30	50	150/25a	140
2N2187 <i>p-n-p</i>	—	—	—	6	30	50	150/25a	140
2N2192 <i>n-p-n</i>	100...300/150	—	> 50	< 20	40e	1000	800/25a	200
2N2192A <i>n-p-n</i>	100...300/150	—	> 50	< 20	40e	1000	800/25a	200
2N2192B <i>n-p-n</i>	100...300/150	—	> 50	< 20	40e	1000	800/25a	200
2N2193 <i>n-p-n</i>	40...120/150	—	> 50	< 20	50e	1000	800/25a	200
2N2193A <i>n-p-n</i>	40...120/150	—	> 50	< 20	50e	1000	800/25a	200
2N2193B <i>n-p-n</i>	40...120/150	—	> 50	< 20	50e	1000	800/25a	200
2N2194 <i>n-p-n</i>	20...60/150	—	> 50	< 20	40e	1000	800/25a	200
2N2194A <i>n-p-n</i>	20...60/150	—	> 50	< 20	40e	1000	800/25a	200
2N2194B <i>n-p-n</i>	20...60/150	—	> 50	< 20	40e	1000	800/25a	200
2N2195 <i>n-p-n</i>	> 20/150	—	> 50	< 20	25e	1000	600/25a	200
2N2195A <i>n-p-n</i>	> 20/150	—	> 50	< 20	25e	1000	600/25a	200
2N2195B <i>n-p-n</i>	> 20/150	—	> 50	< 20	25e	1000	600/25a	200
2N2196 <i>n-p-n</i>	30...90/200	—	15	59	60e	—	2000/25a	175
2N2197 <i>n-p-n</i>	75...200/200	—	15	50	60e	—	200/25a	175
2N2201 <i>n-p-n</i>	30...90/10	—	15	—	100e	—	10/25c	175
2N2117 <i>n-p-n</i>	> 10/15A	—	0,2	—	100e	30A	250/60c	175
2N2118 <i>n-p-n</i>	> 10/15A	—	0,2	—	100e	30A	250/60c	175
2N2119 <i>n-p-n</i>	> 10/15A	—	0,2	—	200e	30A	250/60c	175
2N2120 <i>n-p-n</i>	> 10/15A	—	0,2	—	200e	30A	250/60c	175
2N2123 <i>n-p-n</i>	> 10/20A	—	0,2	—	50e	30A	250/60c	175

1	2	3	4	5	6	7	8	9
2N2124 <i>n-p-n</i>	> 10/20A	—	0,2	—	100e	30A	250/60c	175
2N2125 <i>n-p-n</i>	> 10/20A	—	0,2	—	100e	30A	250/60c	175
2N2126 <i>n-p-n</i>	> 10/20A	—	0,2	—	200e	30A	250/60c	175
2N2130 <i>n-p-n</i>	> 10/25A	—	0,2	—	50e	30A	250/60c	175
2N2131 <i>n-p-n</i>	> 10/25A	—	0,2	—	100e	30A	250/60c	175
2N2132 <i>n-p-n</i>	> 10/25A	—	0,2	—	100e	30A	250/60c	175
2N2133 <i>n-p-n</i>	> 10/25A	—	0,2	—	200e	30A	250/60c	175
2N2137 <i>p-n-p</i>	30...60/600	—	0,6	—	—	3000	63/25c	100
2N2146 <i>p-n-p</i>	50...100/500	—	—	—	50e	5000	12/81c	100
2N2147 <i>p-n-p</i>	100...150/1000	—	4	—	40e	5000	12/81c	100
2N2148 <i>p-n-p</i>	40...80/1000	—	4	—	80e	2000	30/100c	200
2N2150 <i>n-p-n</i>	> 20/100	—	> 10	—	80e	2000	30/100c	200
2N2151 <i>n-p-n</i>	> 40/100	—	> 10	—	45	30A	170/25c	110
2N2152 <i>p-n-p</i>	50...100/5000	—	> 0,3	—	60	30A	170/25c	110
2N2153 <i>p-n-p</i>	50...100/5000	—	> 0,3	—	75	30A	170/24c	110
2N2154 <i>p-n-p</i>	50...100/5000	—	> 0,3	—	45	30A	170/25c	110
2N2156 <i>p-n-p</i>	80...160/5000	—	> 0,3	—	60	30A	170/25c	110
2N2157 <i>p-n-p</i>	80...160/5000	—	> 0,3	—	75	30A	170/25c	110
2N2158 <i>p-n-p</i>	80...160/5000	—	> 0,3	—	—	—	—	—
2N2162 <i>p-n-p</i>	35/1	—	> 14	10	30	—	150/25a	140
2N2163 <i>p-n-p</i>	35/1	—	> 14	10	15	—	150/25a	140
2N2205 <i>n-p-n</i>	20/10	—	> 200	6	20e	200	300/25a	175
2N2206 <i>n-p-n</i>	40...120/10	—	> 200	6	20e	200	300/25a	175
2N2210 <i>p-n-p</i>	25...50/5000	—	—	—	100A	15A	75/25c	100
2N2212 <i>p-n-p</i>	50...120/5000	—	—	—	70e	10A	60/25c	110
2N2217 <i>n-p-n</i>	20...60/150	—	> 250	4	30e	—	800/25a	175
2N2218 <i>n-p-n</i>	40...120/50	—	> 250	8	40e	500	800/25a	175
2N2218A <i>n-p-n</i>	40...120/150	< 4	350	5	40e	—	800/25a	175
2N2219 <i>n-p-n</i>	100...300/150	—	> 250	8	30e	500	800/25a	175
2N2219A <i>n-p-n</i>	100...300/150	< 4	400	5	40e	—	800/25a	175
2N2223 <i>n-p-n</i>	> 15/0,01	—	> 50	15	60	—	600/25a	200
2N2223A <i>n-p-n</i>	> 15/0,01	—	> 50	15	60	—	600/25a	200
2N2226 <i>n-p-n</i>	> 100/10A	—	0,5	—	50e	10A	150/75c	150
2N2227 <i>n-p-n</i>	> 100/10A	—	0,5	—	50e	10A	150/75c	150
2N2228 <i>n-p-n</i>	> 100/10A	—	0,5	—	150e	10A	150/75c	150
2N2229 <i>n-p-n</i>	> 100/10A	—	0,5	—	150e	10A	150/75c	150
2N2230 <i>n-p-n</i>	> 400/10A	—	0,5	—	50e	10A	150/75c	150
2N2231 <i>n-p-n</i>	> 400/10A	—	0,5	—	150e	10A	150/75c	150
2N2232 <i>n-p-n</i>	> 400/10A	—	0,5	—	150e	10A	150/75c	150
2N2233 <i>n-p-n</i>	> 400/10A	—	0,5	—	150e	10A	150/75c	150
2N2239 <i>n-p-n</i>	30...200/200	—	2,5	—	50e	500	10/25c	175
2N2243 <i>n-p-n</i>	40...120/150	—	130	< 15	80e	1000	800/25a	200
2N2243A <i>n-p-n</i>	40...120/150	—	130	< 15	80e	1000	800/25a	200
2N2273 <i>p-n-p</i>	20...150/1	12	360	< 3,5	15e	100	150/25a	100
2N2274 <i>p-n-p</i>	> 10/5	—	> 6	< 16	25	50	150/26a	140
2N2275 <i>p-n-p</i>	> 10/5	—	> 6	< 16	25	50	150/26a	140
2N2276 <i>p-n-p</i>	> 10/5	—	> 6	< 16	10e	50	150/25a	140
2N2277 <i>p-n-p</i>	> 10/5	—	> 6	< 16	10e	50	150/25a	140
2N2278 <i>p-n-p</i>	> 10/5	—	> 7,6	< 16	15	50	150/25a	140
2N2279 <i>p-n-p</i>	> 10/5	—	> 7,6	< 16	15	50	150/25a	140
2N2280 <i>p-n-p</i>	—	—	—	7	6e	50	150/25a	140
2N2281 <i>p-n-p</i>	—	—	—	7	6e	50	150/25a	140
2N2282 <i>p-n-p</i>	30...90/500	—	2,5	—	30e	3000	5000/25c	110
2N2283 <i>p-n-p</i>	30...90/500	—	2,5	—	30e	3000	5000/25c	110
2N2284 <i>p-n-p</i>	30...90/500	—	2,5	—	100e	3000	5000/25c	110
2N2285 <i>p-n-p</i>	> 20/25A	—	0,6	—	30e	25A	100/25c	110

1	2	3	4	5	6	7	8	9	
2N2286	p-n-p	> 20/25A	—	0,6	—	30e	25A	100/25c	110
2N2287	p-n-p	> 20/25A	—	0,6	—	80e	25A	100/25c	110
2N2288	p-n-p	20...60/5000	—	1,5	—	40	10A	60/25c	110
2N2289	p-n-p	20...60/5000	—	1,5	—	—	10A	60/25c	110
2N2290	p-n-p	20...60/5000	—	1,5	—	120	10A	60/25c	110
2N2291	p-n-p	50...120/5000	—	1,5	—	40	10A	60/25c	110
2N2292	p-n-p	50...120/5000	—	1,5	—	—	10A	60/25c	110
2N2293	p-n-p	50...120/5000	—	1,5	—	120	10A	60/25c	110
2N2294	p-n-p	50...120/5000	—	1,5	—	40	10A	60/25c	110
2N2295	p-n-p	50...120/5000	—	1,5	—	—	10A	60/25c	110
2N2296	p-n-p	50...120/5000	—	1,5	—	120	10A	60/25c	110
2N2297	n-p-n	40...120/150	—	90	8	35e	1000	800/25a	200
2N2303	p-n-p	75...200/150	—	> 60	< 45	35e	—	600/25a	175
2N2305	n-p-n	15...60/800	—	1	200	40e	6000	85/25c	200
2N2332	p-n-p	—	—	1	7	15	100	150/25a	200
2N2333	p-n-p	—	—	1	7	15	100	150/25a	200
2N2334	p-n-p	—	—	1	7	30	100	150/25a	200
2N2335	p-n-p	—	—	1	7	30	100	150/25a	200
2N2336	p-n-p	—	—	1	7	50	100	150/25a	200
2N2337	p-n-p	—	—	1	7	50	100	150/25a	200
2N2351	n-p-n	100...300/150	—	> 50	< 20	40e	1000	800/25a	200
2N2352	n-p-n	100...300/150	—	> 50	< 20	40e	1000	800/25a	200
2N2353	n-p-n	100...300/150	—	> 50	< 20	40e	1000	800/25a	200
2N2357	p-n-p	> 15/50A	—	—	—	60	50A	170Bт/25c	110
2N2358	p-n-p	> 15/50A	—	—	—	100	50A	170Bт/25c	110
2N2359	p-n-p	> 15/50A	—	—	—	100	50A	170Bт/25c	110
2N2370	p-n-p	> 15/0,03	< 8	> 2	< 15	15	50	200/25a	200
2N2371	p-n-p	> 15/0,03	< 8	> 2	< 15	15	50	200/25a	200
2N2372	p-n-p	> 15/0,03	< 8	> 2	< 15	15	50	150/25a	200
2N2373	p-n-p	> 15/0,03	< 8	> 2	< 15	15	50	150/25a	200
2N2377	p-n-p	15...120/1	—	20	< 12	15	50	150/25a	140
2N2378	p-n-p	15...120/1	—	20	< 12	15	50	150/25a	140
2N2381	p-n-p	45/200	—	400	6	15e	500	300/25a	100
2N2382	p-n-p	45/200	—	400	6	15e	500	300/25a	100
2N2387	n-p-n	> 60/0,5	4	30	8	45	—	600/25c	175
2N2388	n-p-n	> 150/0,5	3	30	8	45	—	600/25c	175
2N2424	p-n-p	30...200/5	—	> 15	< 14	5e	50	375/25a	160
2N2425	p-n-p	25...110/5	—	> 10	< 14	10e	50	375/25a	160
2N2427	p-n-p	20...60/0,01	—	50	8	40	—	500/25a	200
2N2432	p-n-p	> 30/0,1	—	> 20	12	30	100	300/25a	175
2N2443	p-n-p	50...150/50	5	80	12	100e	—	800/25a	200
2N2445	p-n-p	30...60/10A	—	—	—	50e	15A	90Bт/35c	100
2N2453	p-n-p	> 80/0,01	< 7	> 6	< 8	30e	—	300/25a	200
2N2453	p-n-p	150...600/1	< 7	> 6	< 8	60e	—	700/100c	200
2N2474	p-n-p	15/1	—	0,5	—	30	50	250/25a	160
2N2480	p-n-p	60...220/20	8	> 50	< 20	40e	—	300/25a	200
2N2480	p-n-p	33...110/1	8	> 50	< 20	75e	—	570/100c	200
2N2483	p-n-p	280 (< 500)/10	1,9	60	3,5	60	—	360/25a	200
2N2484	p-n-p	200 (> 100)/1,5	4	60	3,5	60	—	680/100c	200
2N2490	p-n-p	20...40/5000	—	—	—	60e	15A	125Bт/25c	100
2N2491	p-n-p	35...70/5000	—	—	—	50e	15A	125Bт/25c	100
2N2492	p-n-p	25...50/5000	—	—	—	70e	15A	125Bт/25c	100
2N2493	p-n-p	25...50/5000	—	—	—	70e	15A	125Bт/25c	100
2N2509	p-n-p	> 40/10	7	45	6	80e	200	680/100c	200
2N2510	p-n-p	150...500/10	4	45	6	65e	200	680/100c	200
2N2511	p-n-p	> 80/1mA	4	45	6	50e	200	360/25a	200
2N2526	p-n-p	20...50/3000	—	> 0,7	—	80	10A	85Bт/25c	110

1	2	3	4	5	6	7	8	9
2N2527 <i>p-n-p</i>	20...50/3000	—	> 0,7	—	120	10A	85Bт/25с	110
2N2528 <i>p-n-p</i>	20...50/3000	—	> 0,7	—	160	10A	85Bт/25с	110
2N2569 <i>n-p-n</i>	> 50/100	—	> 100	< 10	15е	500	300/25а	200
2N2570 <i>n-p-n</i>	> 50/100	—	> 100	< 10	15е	500	300/25а	200
2N2580 <i>n-p-n</i>	10...40/5000	—	—	—	325е	10A	70Bт/100с	150
2N2581 <i>n-p-n</i>	10...40/5000	—	—	—	400	10A	70Bт/100с	150
2N2582 <i>n-p-n</i>	10...40/5000	—	—	—	325е	10A	70Bт/100с	150
2N2583 <i>n-p-n</i>	10...40/5000	—	—	—	500	10A	70Bт/100с	150
2N2586 <i>n-p-n</i>	> 80/1mA	2	> 45	6	45е	30	300/25а	175
2N2590 <i>p-n-p</i>	40...80/5	—	75	< 5	60е	—	400/25а	200
2N2591 <i>p-n-p</i>	40...80/5	—	100	< 5	60е	—	400/25а	200
2N2594 <i>n-p-n</i>	50...150/100	—	40	20	80	—	5000/25с	200
2N2596 <i>p-n-p</i>	40...100/5	—	90	< 6	60е	—	400/25а	200
2N2597 <i>p-n-p</i>	40...100/5	—	120	< 6	60е	—	400/25а	200
2N2599 <i>p-n-p</i>	40...100/5	—	90	< 6	80е	—	400/25а	200
2N2599A <i>p-n-p</i>	40...100/5	—	90	< 6	125	—	400/25а	200
2N2600 <i>p-n-p</i>	80...200/5	—	120	< 6	80е	—	400/25а	200
2N2600A <i>p-n-p</i>	80...200/5	—	120	< 6	125	—	400/25а	200
2N2601 <i>p-n-p</i>	18...90/1	—	60	< 6	60	—	400/25а	200
2N2602 <i>p-n-p</i>	18...90/1	—	90	< 6	60	—	400/25а	200
2N2603 <i>p-n-p</i>	76...333/1	—	120	< 6	60	—	400/25а	200
2N2604 <i>p-n-p</i>	40...120/0,01	4	> 30	—	45е	30	400/25а	200
2N2605 <i>p-n-p</i>	40...120/0,01	3	> 30	—	45е	30	400/25а	200
2N2612 <i>p-n-p</i>	85...250/10A	—	—	—	65	15A	90Bт/25с	100
2N2635 <i>p-n-p</i>	> 30/100	—	> 150	< 5	12е	100	150/25а	100
2N2639 <i>n-p-n</i>	50...300/0,01	< 4	> 80	< 8	45е	30	600/25а	200
2N2640 <i>n-p-n</i>	50...300/0,01	< 4	> 80	< 8	45е	30	600/25а	200
2N2642 <i>n-p-n</i>	100...300/0,01	—	> 80	—	45е	30	600/25а	200
2N2643 <i>n-p-n</i>	100...300/0,01	—	> 80	—	45е	30	600/25а	200
2N2644 <i>n-p-n</i>	100...300/0,01	—	> 80	—	45е	30	600/25а	200
2N2645 <i>n-p-n</i>	100...300/150	0,6	86	17	50е	—	800/25а	200
2N2656 <i>n-p-n</i>	40...160/100	13	—	3	15е	200	360/25а	200
2N2657 <i>n-p-n</i>	40...120/1000	—	—	—	60е	5000	4000/25с	165
2N2658 <i>n-p-n</i>	40...120/1000	—	—	—	100	5000	4000/25с	165
2N2659 <i>p-n-p</i>	30...90/500	—	—	—	506	3000	15Bт/25с	100
2N2660 <i>p-n-p</i>	30...90/500	—	—	—	706	3000	15Bт/25с	100
2N2661 <i>p-n-p</i>	30...90/500	—	—	—	90	3000	15Bт/25с	100
2N2662 <i>p-n-p</i>	30...90/500	—	—	—	506	3000	15Bт/25с	100
2N2663 <i>p-n-p</i>	30...90/500	—	—	—	706	3000	15Bт/25с	100
2N2664 <i>p-n-p</i>	30...90/500	—	—	—	90	3000	15Bт/25с	100
2N2665 <i>p-n-p</i>	30...90/500	—	—	—	506	3000	15Bт/25с	100
2N2666 <i>p-n-p</i>	30...90/500	—	—	—	706	3000	15Bт/25с	100
2N2667 <i>p-n-p</i>	30...90/500	—	—	—	90	3000	15Bт/25с	100
2N2668 <i>p-n-p</i>	30...90/500	—	—	—	506	3000	15Bт/25с	100
2N2669 <i>p-n-p</i>	30...90/500	—	—	—	706	3000	15Bт/25с	100
2N2670 <i>p-n-p</i>	30...90/500	—	—	—	90	3000	15Bт/25с	100
2N2691 <i>p-n-p</i>	30...100/20A	—	—	—	100	50A	100Bт/25с	110
2N2691A <i>p-n-p</i>	50...120/20A	—	—	—	120	50A	170Bт/25с	110
2N2726 <i>n-p-n</i>	30...90/200	—	> 15	—	200	500	5000/25с	200
2N2727 <i>n-p-n</i>	30...90/200	—	> 15	—	200	500	5000/25с	200
2N2739 <i>n-p-n</i>	> 10/10A	—	0,2	—	50е	20A	200Bт/75с	175
2N2740 <i>n-p-n</i>	> 10/10A	—	0,2	—	100	20A	200Bт/75с	175
2N2741 <i>n-p-n</i>	> 10/10A	—	0,2	—	150е	20A	200Bт/75с	175
2N2742 <i>n-p-n</i>	> 10/10A	—	0,2	—	200	20A	200Bт/75с	175
2N2745 <i>n-p-n</i>	> 10/15A	—	0,2	—	300	20A	200Bт/75с	175
2N2746 <i>n-p-n</i>	> 10/15A	—	0,2	—	300	20A	200Bт/75с	175
2N2747 <i>n-p-n</i>	> 10/15A	—	0,2	—	300	20A	200Bт/75с	175

1	2	3	4	5	6	7	8	9
2N2748 <i>n-p-n</i>	> 10/15A	—	0,2	—	300	20A	200Bт/75с	175
2N2751 <i>n-p-n</i>	> 10/20A	—	0,2	—	300	20A	200Bт/75с	175
2N2752 <i>n-p-n</i>	> 10/20A	—	0,2	—	300	20A	200Bт/75с	175
2N2753 <i>n-p-n</i>	> 10/20A	—	0,2	—	300	20A	200Bт/75с	175
2N2754 <i>n-p-n</i>	> 10/20A	—	0,2	—	300	20A	200Bт/75с	175
2N2757 <i>n-p-n</i>	> 10/10A	—	0,2	—	50e	30A	200Bт/75с	175
2N2758 <i>n-p-n</i>	> 10/10A	—	0,2	—	100e	30A	200Bт/75с	175
2N2759 <i>n-p-n</i>	> 10/10A	—	0,2	—	150	30A	200Bт/75с	175
2N2760 <i>n-p-n</i>	> 10/10A	—	0,2	—	200e	30A	200Bт/75с	175
2N2761 <i>n-p-n</i>	> 10/10A	—	0,2	—	250	30A	200Bт/75с	175
2N2763 <i>n-p-n</i>	> 10/15A	—	0,2	—	50e	30A	200Bт/75с	175
2N2764 <i>n-p-n</i>	> 10/15A	—	0,2	—	50e	30A	200Bт/75с	175
2N2765 <i>n-p-n</i>	> 10/15A	—	0,2	—	50e	30A	200Bт/75с	175
2N2766 <i>n-p-n</i>	> 10/15A	—	0,2	—	50e	30A	200Bт/75с	175
2N2769 <i>n-p-n</i>	> 10/20A	—	0,2	—	50e	30A	200Bт/75с	175
2N2770 <i>n-p-n</i>	> 10/20A	—	0,2	—	50e	30A	200Bт/75с	175
2N2771 <i>n-p-n</i>	> 10/20A	—	0,2	—	50e	30A	200Bт/75с	175
2N2772 <i>n-p-n</i>	> 10/20A	—	0,2	—	50e	30A	200Bт/75с	175
2N2781 <i>n-p-n</i>	7,5...75/350	—	> 140	—	75	2000	15Bт/25a	175
2N2782 <i>n-p-n</i>	7,5...75/350	—	> 140	—	100	2000	15Bт/25a	175
2N2783 <i>n-p-n</i>	7,5...75/350	—	> 140	—	100	2000	15Bт/25a	175
2N2784 <i>n-p-n</i>	40...120/10	—	> 1000	< 3	15e	—	500/100c	200
2N2785 <i>n-p-n</i>	2...20 × 10 ³ /100	—	—	< 35	40e	—	500/25a	200
2N2785A <i>n-p-n</i>	> 600/1	—	—	< 35	60e	—	1000/100c	200
2N2802 <i>p-n-p</i>	20...120/0,01	—	> 60	—	20e	30	500/25a	200
2N2803 <i>p-n-p</i>	20...120/0,01	—	> 60	—	20e	30	500/25a	200
2N2804 <i>p-n-p</i>	20...120/0,01	—	> 60	—	20e	30	500/25a	200
2N2805 <i>n-p-n</i>	40...120/0,01	—	> 60	—	20e	30	500/25a	200
2N2806 <i>n-p-n</i>	40...120/0,01	—	> 60	—	20e	30	500/25a	200
2N2807 <i>n-p-n</i>	40...120/0,01	—	> 60	—	20e	30	500/25a	200
2N2811 <i>n-p-n</i>	20...60/5000	—	> 20	—	60e	10A	40Bт/100c	200
2N2812 <i>n-p-n</i>	20...60/5000	—	> 20	—	60e	10A	40Bт/100c	200
2N2813 <i>n-p-n</i>	20...60/5000	—	20	—	80e	10A	40Bт/100c	200
2N2814 <i>n-p-n</i>	20...60/5000	—	20	—	80e	10A	40Bт/100c	200
2N2815 <i>n-p-n</i>	10...50/10A	—	> 0,6	—	80	15A	200Bт/25a	200
2N2816 <i>n-p-n</i>	10...50/10A	—	> 0,6	—	100	15A	200Bт/25a	200
2N2817 <i>n-p-n</i>	10...50/10A	—	> 0,6	—	150	15A	200Bт/25a	200
2N2818 <i>n-p-n</i>	10...50/10A	—	> 0,6	—	200	15A	200Bт/25a	200
2N2819 <i>n-p-n</i>	10...50/15A	—	> 0,6	—	80	25A	200Bт/25a	200
2N2820 <i>n-p-n</i>	10...50/15A	—	> 0,6	—	80	25A	200Bт/25a	200
2N2821 <i>n-p-n</i>	10...50/15A	—	> 0,6	—	80	25A	200Bт/25a	200
2N2822 <i>n-p-n</i>	10...50/15A	—	> 0,6	—	80	25A	200Bт/25a	200
2N2823 <i>n-p-n</i>	10...50/20A	—	> 0,6	—	80	30A	200Bт/25a	200
2N2824 <i>n-p-n</i>	10...50/20A	—	> 0,6	—	80	30A	200Bт/25a	200
2N2825 <i>n-p-n</i>	10...50/20A	—	> 0,6	—	80	30A	200Bт/25a	200
2N2832 <i>p-n-p</i>	25...100/10A	—	—	—	50e	20A	85Bт/25c	110
2N2833 <i>p-n-p</i>	25...100/10A	—	—	—	75e	20A	85Bт/25c	110
2N2834 <i>p-n-p</i>	25...100/10A	—	—	—	100e	20A	85Bт/25c	110
2N2861 <i>p-n-p</i>	30...120/0,01	1,5	60	—	20e	100	300/25a	200
2N2862 <i>p-n-p</i>	12...120/0,01	1,5	45	—	20e	100	300/25a	200
2N2866 <i>n-p-n</i>	20...60/500	—	> 10	170	80e	2000	20Bт/100c	175
2N2867 <i>n-p-n</i>	20...60/500	—	> 10	170	80e	2000	20Bт/100c	175
2N2868 <i>n-p-n</i>	40...120/150	—	> 50	< 20	40e	1000	2800/25c	200
2N2869 <i>p-n-p</i>	50...165/1000	—	0,45	—	50e	10A	30Bт/55c	100
2N2870 <i>p-n-p</i>	50...165/1000	—	0,45	—	80	10A	30Bт/55c	100
2N2875 <i>p-n-p</i>	20...60/500	—	> 25	—	50e	2000	20Bт/100c	200

1	2	3	4	5	6	7	8	9
2N2881 <i>p-n-p</i>	20...60/500	—	1	—	60	2000	8750/25c	200
2N2882 <i>p-n-p</i>	20...60/500	—	1	—	100	2000	8750/25c	200
2N2887 <i>n-p-n</i>	15...80/350	—	—	<30	100	1200	25B _T /25c	200
2N2890 <i>n-p-n</i>	>20/100...2000	—	>30	<70	80e	—	2800/100c	200
2N2891 <i>n-p-n</i>	>35/100...2000	—	>30	<70	80e	—	2800/100c	200
2N2894 <i>p-n-p</i>	>25/10...100	—	>400	<6	12	200	360/25a	200
2N2903 <i>n-p-n</i>	>60/0,01	<7	>60	<8	30e	—	300/25a	200
2N2903A <i>n-p-n</i>	125...625/1	—	—	—	606	—	700/100c	—
2N2912 <i>p-n-p</i>	>75/10A	—	30	—	6e	25A	75B _T /25c	110
2N2913 <i>n-p-n</i>	60...240/0,01	<4	>60	<6	45	30	600/25a	200
2N2914 <i>n-p-n</i>	60...240/0,01	<4	>60	<6	45	30	600/25a	200
2N2915 <i>n-p-n</i>	60...240/0,01	<4	>60	<6	45	30	600/25a	200
2N2916 <i>n-p-n</i>	>150/1	<4	>60	<6	45	30	3000/25c	200
2N2917 <i>n-p-n</i>	60...240/0,01	2	>60	<6	45	30	600/25a	200
2N2918 <i>n-p-n</i>	600...240/0,01	<3	>60	<6	45	30	600/25a	200
2N2919 <i>n-p-n</i>	60...240/0,01	<4	>60	<6	60	30	600/25a	200
2N2920 <i>n-p-n</i>	>150/1	<4	>60	<6	60	30	3000/25c	200
2N2944 <i>p-n-p</i>	80...450/1	—	15	>10	10e	100	400/25a	200
2N2945 <i>p-n-p</i>	40...250/1	—	10	>10	20e	100	400/25a	200
2N2946 <i>p-n-p</i>	30...150/1	—	5	>10	35e	100	400/25a	200
2N2958 <i>n-p-n</i>	40...120/150	—	>250	>8	20e	600	600/25a	175
2N2959 <i>n-p-n</i>	40...120/150	—	>250	>8	20e	600	600/25a	175
2N2968 <i>p-n-p</i>	>15/1	—	>10	<6	10e	50	150/25a	140
2N2969 <i>p-n-p</i>	>15/1	—	>10	<6	10e	50	150/25a	140
2N2970 <i>p-n-p</i>	>10/1	—	>8	<6	20e	50	150/25a	140
2N2971 <i>p-n-p</i>	>10/1	—	>8	<6	20e	50	150/25A	140
2N2972 <i>n-p-n</i>	60...240/0,01	<4	>60	<6	45	30	600/25a	200
2N2973 <i>n-p-n</i>	60...240/0,01	<4	>60	<6	45	30	600/25a	200
2N2974 <i>n-p-n</i>	60...240/0,01	<4	>60	<6	45	30	300/25a	200
2N2975 <i>n-p-n</i>	>150/1	<4	>60	<6	45	30	300/25a	200
2N2976 <i>n-p-n</i>	60...240/0,01	<4	>60	<6	45	30	300/25a	200
2N2977 <i>n-p-n</i>	60...240/0,01	<4	>60	<6	45	30	300/25a	200
2N2978 <i>n-p-n</i>	>150/1	<4	>60	<6	60	30	750/25c	200
2N2979 <i>n-p-n</i>	>150/1	<4	>60	<6	60	30	750/25c	200
2N2983 <i>n-p-n</i>	20...60/1000	—	>18	—	80	3000	15B _T /100c	175
2N2984 <i>n-p-n</i>	20...60/1000	—	>18	—	120	3000	15B _T /100c	175
2N2985 <i>n-p-n</i>	40...120/1000	—	>18	—	80	3000	15B _T /100c	175
2N2986 <i>n-p-n</i>	40...120/1000	—	>18	—	120	3000	15B _T /100c	175
2N2987 <i>n-p-n</i>	25...75/200	—	>30	—	80	1000	15B _T /100c	200
2N2988 <i>n-p-n</i>	25...75/200	—	>30	—	120	1000	15B _T /100c	200
2N2989 <i>n-p-n</i>	60...120/200	—	>30	—	80	1000	15B _T /100c	200
2N2990 <i>n-p-n</i>	60...120/200	—	>30	—	120	1000	15B _T /100c	200
2N2991 <i>n-p-n</i>	25...75/200	—	>30	—	80	1000	15B _T /100c	200
2N2992 <i>n-p-n</i>	25...75/200	—	>30	—	120	1000	15B _T /100c	200
2N2993 <i>n-p-n</i>	60...120/200	—	>30	—	80	1000	15B _T /100c	200
2N2994 <i>n-p-n</i>	60...120/200	—	>30	—	120	1000	15B _T /100c	200
2N2995 <i>n-p-n</i>	30...90/200	—	10	—	100e	1000	1500/25a	150
2N3013 <i>n-p-n</i>	30...120/30	—	>350	<5	15e	500	360/25a	200
2N4014 <i>n-p-n</i>	35>15/300	—	>350	<5	406	100	1200/25c	200
2N3021 <i>p-n-p</i>	20...60/1000	—	>60	—	30	3000	25B _T /25c	175
2N3022 <i>p-n-p</i>	20...60/1000	—	>60	—	45	3000	25B _T /25c	175
2N3023 <i>p-n-p</i>	20...60/1000	—	>60	—	60	3000	25B _T /25c	175
2N3024 <i>p-n-p</i>	50...180/1000	—	>60	—	30	3000	25B _T /25c	175
2N3036 <i>n-p-n</i>	>15/1000	—	>50	—	80e	1200	5000/100c	200
2N3053 <i>n-p-n</i>	50...250/150	—	100	15	40e	—	5000/25c	200
2N3054 <i>n-p-n</i>	25...100/500	—	1	—	55	4000	25B _T /25c	200
2N3055 <i>n-p-n</i>	20...70/4000	—	0,7	—	60	15A	115B _T /25c	200

1	2	3	4	5	6	7	8	9
2N3058 <i>p-n-p</i>	40...120/0,1мА	—	10	10	6	100	400/25а	200
2N3059 <i>p-n-p</i>	100...300/0,01	<3	—	<10	106	100	400/25а	200
2N3060 <i>p-n-p</i>	30...60/1	—	5	10	60е	100	400/25а	200
2N3061 <i>p-n-p</i>	30...60/1	—	5	10	60е	100	400/25а	200
2N3062 <i>p-n-p</i>	>12/0,1...10	—	3	<10	80е	100	400/25а	200
2N3063 <i>p-n-p</i>	>30/0,1...10	—	5	<10	80е	100	400/25а	200
2N3064 <i>p-n-p</i>	15...45/1	—	2	<10	100е	100	400/25а	200
2N3065 <i>p-n-p</i>	15...45/1	—	2	<10	100е	100	400/25а	200
2N3077 <i>n-p-n</i>	80/1мА	3	15	<6	60е	50	360/25а	200
2N3077А <i>n-p-n</i>	100...400/0,01	<10	>60	<6	806	50	1200/25с	200
2N3078 <i>n-p-n</i>	>25/1мА	<4	>15	<6	60е	50	360/25а	200
2N3078А <i>n-p-n</i>	40...120/0,01	<15	>60	<6	806	50	120/25с	150
2N3079 <i>n-p-n</i>	10...50/5000	—	—	—	200	10А	70В _Т /100с	
2N3080 <i>n-p-n</i>	10...50/5000	—	—	—	300	10А	70В _Т /100с	
2N3197 <i>n-p-n</i>	150/150	3,5	86	<20	60е	1000	800/25а	200
2N3108 <i>n-p-n</i>	150/150	3,5	86	<20	60е	1000	800/25а	200
2N3109 <i>n-p-n</i>	150/150	3,5	86	<25	40е	1000	800/25а	200
2N3110 <i>n-p-n</i>	40...120/150	3,5	60	12	40е	500	800/25а	200
2N3110А <i>n-p-n</i>	40(>20)/0,1	3,5	60	12	806	500	5000/25с	200
2N3114 <i>n-p-n</i>	30...120/30	—	40	6	150	100	800/25а	200
2N3114А <i>n-p-n</i>	35(>15)/0,1	—	40	6	150	100	5000/25с	200
2N3146 <i>p-n-p</i>	25...90/10А	—	0,5	—	65е	15А	150В _Т /25а	100
2N3147 <i>p-n-p</i>	25...90/10А	—	0,5	—	75	15А	150В _Т /25а	100
2N3202 <i>p-n-p</i>	20...60/1000	—	1	—	40	3000	8750/25с	200
2N3203 <i>p-n-p</i>	20...60/1000	—	1	—	60	3000	8750/25с	200
2N3208 <i>p-n-p</i>	20...60/500	—	1	—	40	2000	8750/25с	200
2N3212 <i>p-n-p</i>	30...90/3000	—	0,6	—	80е	5000	12В _Т /25с	110
2N3213 <i>p-n-p</i>	30...90/3000	—	0,6	—	60	5000	12В _Т /25с	110
2N3214 <i>p-n-p</i>	30...90/3000	—	0,6	—	40е	5000	12В _Т /25с	110
2N3215 <i>p-n-p</i>	30...90/3000	—	0,6	—	30	5000	12В _Т /25с	110
2N3217 <i>p-n-p</i>	—	—	10	—	10е	100	400/25а	200
2N3218 <i>p-n-p</i>	—	—	5	—	20	100	400/25а	200
2N3219 <i>p-n-p</i>	—	—	3	<14	35е	100	400/25а	200
2N3232 <i>n-p-n</i>	15...75/3000	—	1	—	60	10А	117В _Т /25с	200
2N3233 <i>n-p-n</i>	18...55/3000	—	1	—	100	7500	67В _Т /100с	200
2N3234 <i>n-p-n</i>	18...55/3000	—	1	—	160	7500	67В _Т /100с	200
2N3235 <i>n-p-n</i>	20...70/4000	—	1	—	55	10А	117В _Т /25с	200
2N3236 <i>n-p-n</i>	17...60/5000	—	1	—	90	15А	85В _Т /100с	200
2N3237 <i>n-p-n</i>	12...36/10А	—	1	—	75е	20А	100В _Т /100с	200
2N3238 <i>n-p-n</i>	8...25/10А	—	>1	80	80	15А	85В _Т /100с	200
2N3239 <i>n-p-n</i>	8...25/10А	—	>1	80	80	15А	85В _Т /100с	200
2N3240 <i>n-p-n</i>	8...25/10А	—	>1	—	160	15А	85В _Т /100с	200
2N3263 <i>n-p-n</i>	>20/20А	—	>20	<900	110е	25А	80В _Т /70с	200
2N3264 <i>n-p-n</i>	>20/20А	—	>20	<900	80е	25А	80В _Т /70с	200
2N3265 <i>n-p-n</i>	>20/20А	—	>20	<900	110е	25А	80В _Т /70с	200
2N3266 <i>n-p-n</i>	>20/20А	—	>20	<900	80е	25А	80В _Т /70с	200
2N3311 <i>p-n-p</i>	60...120/3000	—	>0,4	—	30	5000	170В _Т /25с	110
2N3312 <i>p-n-p</i>	60...120/3000	—	>0,4	—	45	5000	170В _Т /25с	110
2N3313 <i>p-n-p</i>	60...120/3000	—	>0,4	—	60	5000	170В _Т /25с	110
2N3314 <i>p-n-p</i>	100...200/3000	—	>0,4	—	30	5000	170В _Т /25с	110
2N3315 <i>p-n-p</i>	100...200/3000	—	>0,4	—	45	5000	170В _Т /25с	110
2N3316 <i>p-n-p</i>	100...200/3000	—	>0,4	—	60	5000	170В _Т /25с	110
2N3317 <i>p-n-p</i>	—	—	>6,4	<9	30	50	150/25а	140
2N3318 <i>p-n-p</i>	—	—	>7,6	<9	15	50	150/25а	140
2N3319 <i>p-n-p</i>	—	—	>12	<10	6е	50	150/25а	140
2N3342 <i>p-n-p</i>	>30/5	—	—	<10	8е	—	250/25а	

1	2	3	4	5	6	7	8	9	
2N3343	p-n-p	> 20/0,25	—	> 2	7	25	5	250/25a	175
2N3344	p-n-p	> 20/0,25	—	> 2	7	30	5	250/25a	175
2N3345	p-n-p	> 15/1	—	> 2	7	50	50	250/25a	175
2N3346	p-n-p	> 15/1	—	> 2	7	50	50	250/25a	175
2N3350	p-n-p	100...300/0,01	4	> 60	< 6	45e	30	600/25a	200
2N3351	p-n-p	100...300/0,01	4	> 60	< 6	45e	30	600/25a	200
2N3418	n-p-n	20...60/1000	—	> 40	—	60e	3000	10Bт/100c	175
2N3419	n-p-n	20...60/1000	—	> 40	—	80	3000	10Bт/100c	175
2N3420	n-p-n	40...120/1000	—	> 40	—	60e	3000	10Bт/100c	175
2N3421	n-p-n	40...120/1000	—	> 40	—	80	3000	10Bт/100c	175
2N3427	p-n-p	100...350/100	—	7	—	30e	500	200/25a	100
2N3428	p-n-p	100...350/100	—	7	—	30e	500	200/25a	100
2N3429	n-p-n	> 10/5000	—	0,25	—	50e	7500	150Bт/60c	175
2N3430	n-p-n	> 10/5000	—	0,25	—	100e	7500	150Bт/60c	175
2N3431	n-p-n	> 10/5000	—	0,25	—	150	7500	150Bт/60c	175
2N3432	n-p-n	> 10/5000	—	0,25	—	200e	7500	150Bт/60c	175
2N3433	n-p-n	> 10/5000	—	0,25	—	250	7500	150Bт/60c	175
2N3439	n-p-n	40...100/20	—	> 80	< 10	350	1000	5000/25c	200
2N3440	n-p-n	40...160/20	—	> 80	< 10	250	1000	5000/25c	200
2N3441	n-p-n	20...80/500	—	1	—	140	3000	25Bт/25c	200
2N3442	n-p-n	20...70/3000	—	0,8	—	140	10A	117Bт/25c	200
2N3444	n-p-n	20...60/500	—	175	—	50e	1000	1000/25a	200
2N3445	n-p-n	20...60/3000	—	10	—	60e	7500	117Bт/25c	200
2N3446	n-p-n	20...60/3000	—	10	—	80	7500	117Bт/25c	200
2N3447	n-p-n	40...120/5000	—	10	260	60e	7500	115Bт/25c	200
2N3448	n-p-n	40...120/5000	—	10	260	80	7500	115Bт/25c	200
2N3461	p-n-p	> 20/1000	—	—	—	60	3000	5000/25c	110
2N3467	p-n-p	40...120/500	—	> 175	—	40	1000	1000/25a	200
2N3468	p-n-p	25...75/500	—	> 160	—	50	1000	1000/25a	200
2N3470	n-p-n	> 100/10A	—	0,5	—	50e	10A	150Bт/75c	150
2N3471	n-p-n	> 100/10A	—	0,5	—	100	10A	150Bт/75c	150
2N3472	n-p-n	> 100/10A	—	0,5	—	150e	10A	150Bт/75c	150
2N3473	n-p-n	> 100/10A	—	0,5	—	200	10A	150Bт/75c	150
2N3474	n-p-n	> 400/10A	—	0,5	—	50e	10A	150Bт/75c	150
2N3475	n-p-n	> 400/10A	—	0,5	—	100	10A	150Bт/75c	150
2N3476	n-p-n	> 400/10A	—	0,5	—	150e	10A	150Bт/75c	150
2N3477	n-p-n	> 400/10A	—	0,5	—	200	10A	150Bт/75c	150
2N3487	p-n-p	20...60/3000	—	> 10	—	60e	7500	117Bт/25c	200
2N3488	n-p-n	20...60/3000	—	> 10	—	80	7500	117Bт/25c	200
2N3489	n-p-n	15...45/3000	—	> 10	—	100e	7500	117Bт/25c	200
2N3490	n-p-n	40...120/5000	—	> 10	—	60e	7500	117Bт/25c	200
2N3491	n-p-n	40...120/5000	—	> 10	—	80	7500	117Bт/25c	200
2N3492	n-p-n	30...90/5000	—	> 10	—	100e	7500	117Bт/25c	200
2N3506	n-p-n	40...200/1500	—	> 60	—	40e	3000	1000/25a	200
2N3507	n-p-n	30...150/1500	—	> 60	—	50e	3000	1000/25a	200
2N3527	p-n-p	25...75/0,1mA	—	10	< 10	30	100	400/25a	200
2N3543	n-p-n	10...80/4500	—	150	< 100	60	5000	60Bт/25c	175
2N3551	n-p-n	20...90/10A	—	> 40	—	60e	12A	40Bт/100c	175
2N3552	n-p-n	20...90/10A	—	> 40	—	80	12A	40Bт/100c	175
2N3566	n-p-n	150...600/10	—	> 40	< 25	30e	200	300/25a	125
2N3567	n-p-n	40...120/150	—	> 40	< 25	40	200	300/25a	125
2N3568	n-p-n	40...120/150	—	> 60	< 20	60e	500	300/25a	125
2N3569	n-p-n	100...300/150	—	> 60	< 20	40	500	300/25a	125
2N3579	p-n-p	30...150/1	—	100	< 6	60e	—	400/25a	200
2N3580	p-n-p	60...300/1	—	100	< 6	60e	—	400/25a	200
2N3581	p-n-p	80...200/0,1	—	120	< 6	40e	—	400/25a	200

1	2	3	4	5	6	7	8	9
2N3582 <i>p-n-p</i>	100...400/0,1	—	120	<6	40e	—	400/25a	200
2N3583 <i>n-p-n</i>	>40/100	—	>100	<120	175e	5000	20Bт/100c	200
2N3584 <i>n-p-n</i>	25...100/1000	—	>100	<120	250e	5000	20Bт/100c	200
2N3585 <i>n-p-n</i>	25...100/1000	—	>100	<120	300	5000	20Bт/100c	200
2N3611 <i>p-n-p</i>	35...70/3000	—	>0,7	—	30e	7000	85Bт/25c	110
2N3612 <i>p-n-p</i>	35...70/3000	—	>0,7	—	45e	7000	85Bт/25c	110
2N3613 <i>p-n-p</i>	60...120/3000	—	>0,7	—	30e	7000	85Bт/25c	110
2N3614 <i>p-n-p</i>	60...120/3000	—	>0,7	—	60	7000	85Bт/25c	110
2N3615 <i>p-n-p</i>	35...70/3000	—	>0,7	—	60e	7000	85Bт/25c	110
2N3616 <i>p-n-p</i>	35...70/3000	—	>0,7	—	100	7000	85Bт/25c	110
2N3617 <i>p-n-p</i>	60...120/3000	—	>0,7	—	60e	7000	85Bт/25c	110
2N3618 <i>p-n-p</i>	60...120/3000	—	>0,7	—	100	7000	85Bт/25c	110
2N3660 <i>p-n-p</i>	>15/50...1500	—	>25	275	40e	5000/100c	5000/100c	200
2N3661 <i>p-n-p</i>	>15/50...1500	—	>25	275	40e	—	5000/100c	200
2N3664 <i>n-p-n</i>	>8/50...250	—	>300	<6	60	500	5000/25c	200
2N3665 <i>n-p-n</i>	40...120/150	—	>60	12	80e	1000	5000/25c	200
2N3666 <i>n-p-n</i>	100...300/150	—	>60	12	80e	1000	5000/25c	200
2N3677 <i>p-n-p</i>	8(>4)/1	—	>5	<10	20e	100	400/25a	200
2N3680 <i>n-p-n</i>	>300/1mA	<3	>60	<6	50e	30	600/25a	200
2N3712 <i>n-p-n</i>	30...150/30	—	>40	<9	150	200	800/25a	200
2N3713 <i>n-p-n</i>	25...90/1000	—	>4	—	60e	10A	150Bт/25c	200
2N3714 <i>n-p-n</i>	25...90/1000	—	>4	—	80	10A	150Bт/25c	200
2N3715 <i>n-p-n</i>	50...150/1000	—	>4	—	60e	10A	150Bт/25c	200
2N3716 <i>n-p-n</i>	50...150/1000	—	>4	—	80	10A	150Bт/25c	200
2N3719 <i>p-n-p</i>	25...180/1000	—	>60	—	40	3000	6000/25c	200
2N3720 <i>p-n-p</i>	25...180/1000	—	>60	—	60	3000	6000/25c	200
2N3730 <i>p-n-p</i>	—	—	—	—	200e	3000	10Bт/55c	85
2N3731 <i>p-n-p</i>	—	—	—	—	320e	10A	5000/55c	85
2N3732 <i>p-n-p</i>	—	—	—	—	100	10A	5000/55c	85
2N3738 <i>n-p-n</i>	40...200/100	—	>15	—	225e	500	20Bт/25c	175
2N3739 <i>n-p-n</i>	40...200/100	—	>15	—	300	500	20Bт/25c	175
2N3740 <i>p-n-p</i>	30...100/250	—	>4	—	68	1000	25Bт/25c	200
2N3741 <i>p-n-p</i>	30...100/250	—	>4	—	80	1000	25Bт/25c	200
2N3742 <i>n-p-n</i>	20...200/30	—	35	6	300	50	1000/25a	200
2N3743 <i>p-n-p</i>	25...250/30	—	35	15	300	50	1000/25a	200
2N3744 <i>n-p-n</i>	20...60/1000	—	>30	150	40e	5000	30Bт/100c	200
2N3745 <i>n-p-n</i>	20...60/1000	—	>30	150	60	5000	30Bт/100c	200
2N3746 <i>n-p-n</i>	10/10...5000	—	>30	150	80e	5000	30Bт/100c	200
2N3747 <i>n-p-n</i>	40...120/1000	—	>40	150	40e	5000	30Bт/100c	200
2N3748 <i>n-p-n</i>	40...120/1000	—	>40	150	60	5000	30Bт/100c	200
2N3749 <i>n-p-n</i>	40...120/1000	—	>40	150	80e	5000	30Bт/100c	200
2N3750 <i>n-p-n</i>	100...300/1000	—	>50	150	40e	5000	30Bт/100c	200
2N3751 <i>n-p-n</i>	100...300/1000	—	>50	150	60	5000	30Bт/100c	200
2N3752 <i>n-p-n</i>	100...300/1000	—	>50	150	80e	5000	30Bт/100c	200
2N3766 <i>n-p-n</i>	40...160/500	—	>15	—	60e	1000	20Bт/25c	175
2N3767 <i>n-p-n</i>	40...160/500	—	>15	—	80	1000	20Bт/25c	175
2N3771 <i>n-p-n</i>	15...60/15A	—	1,8	—	40	30A	150Bт/25c	200
2N3772 <i>n-p-n</i>	15...60/10A	—	1,6	—	60	30A	150Bт/25c	200
2N3773 <i>n-p-n</i>	15...60/8000	—	1,6	—	140	30A	150Bт/25c	200
2N3774 <i>p-n-p</i>	20...60/200	—	>1	—	40	1000	5000/100c	200
2N3779 <i>p-n-p</i>	20...60/200	—	>1	—	60	1000	5000/100c	200
2N3776 <i>p-n-p</i>	20...60/200	—	>1	—	80	1000	5000/100c	200
2N3777 <i>p-n-p</i>	20...60/200	—	>1	—	100	1000	5000/100c	200
2N3778 <i>p-n-p</i>	10...40/200	—	>1	—	40	1000	5000/100c	200
2N3779 <i>p-n-p</i>	10...40/200	—	>1	—	60	1000	5000/100c	200
2N3780 <i>p-n-p</i>	10...40/200	—	>1	—	60	1000	5000/100c	200

1	2	3	4	5	6	7	8	9	
2N3781	p-n-p	10...40/200	—	>1	—	80	1000	5000/100c	200
2N3782	p-n-p	10...60/1000	—	>1	—	40	3000	5000/100c	200
2N3789	p-n-p	25...90/1000	—	>4	—	60	10A	150B _T /25c	200
2N3790	p-n-p	25...90/1000	—	>4	—	80	10A	150B _T /25c	200
2N3791	p-n-p	50...150/1000	—	>4	—	60	10A	150B _T /25c	200
2N3792	p-n-p	50...150/1000	—	>4	—	80	10A	150B _T /25c	200
2N3818	n-p-n	5...50/400	—	—	40	60	2000	25B _T /25c	175
2N3840	p-n-p	50/1	—	>6	—	50	100	400/25a	200
2N3846	n-p-n	>10/10A	—	>10	<750	200e	20A	150B _T /25c	175
2N3847	n-p-n	>10/10A	—	>10	<750	300	20A	150B _T /25c	175
2N3848	n-p-n	10...60/15A	—	>10	—	300e	20A	250B _T /25c	175
2N3849	n-p-n	10...60/15A	—	>10	—	400	20A	250B _T /25c	175
2N3877	n-p-n	20...250/2	—	—	—	70e	—	360/25a	150
2N3877	n-p-n	20...250/2	—	—	—	85	—	360/25a	150
2N3878	n-p-n	50...200/500	—	>40	<175	65e	10A	35B _T /25c	200
2N3879	n-p-n	50...200/500	—	>40	<175	90	10A	35B _T /25c	200
2N3902	n-p-n	30...90/1000	—	4	—	700e	3500	100B _T /25c	200
2N3910	p-n-p	40...160/1	—	>4	<8	60e	200	500/25a	200
2N3911	p-n-p	60...240/1	—	>8	<8	60e	200	500/25a	200
2N3912	p-n-p	90/1	—	>10	<8	30e	200	500/25a	200
2N3913	p-n-p	40...160/1	—	>4	<8	60e	200	400	200
2N3914	p-n-p	60...240/1	—	>8	<8	60e	200	400mB _T	200
2N3915	p-n-p	>90/1	—	>10	<8	30e	200	400mB _T	200
2N3962	p-n-p	>60/1mA	<3	>40	<6	60	200	360/25a	200
2N3963	p-n-p	>60/1mA	<3	>40	<6	80	200	360/25a	200
2N3964	p-n-p	>180/1mA	<2	>50	<6	45	200	360/25a	200
2N3965	p-n-p	>180/1mA	<2	>50	<6	60	200	360/25a	200
2N3977	p-n-p	>40/1	—	>1	<14	15e	100	400/25a	200
2N3978	p-n-p	>40/1	—	>1	<14	25	100	400/25a	200
2N3979	p-n-p	>30/1	—	>1	<14	40e	100	400/25a	200
2N3996	n-p-n	>15/5000	—	>40	<150	80e	5000	30B _T /100c	200
2N3998	n-p-n	>15/5000	—	>40	<150	80e	5000	30B _T /100c	200
2N3997	n-p-n	>20/5000	—	>40	<150	80e	5000	40B _T /100c	200
2N3999	n-p-n	>20/5000	—	>40	<150	80e	5000	40B _T /100c	200
2N4000	n-p-n	35...120/500	—	>40	<60	80e	1000	15B _T /100c	200
2N4001	n-p-n	35...120/500	—	>40	<60	100	1000	15B _T /100c	200
2N4002	n-p-n	>10/30	—	>30	—	80e	30A	150B _T /25c	200
2N4003	n-p-n	>10/30	—	>30	—	100	30A	150B _T /25c	200
2N4004	n-p-n	30...150/10A	—	>30	—	80e	20A	1200/25a	175
2N4005	n-p-n	30...150/10A	—	>30	—	120	20A	1200/25a	175
2N4006	p-n-p	>40/1	—	>20	<10	6e	100	400/25c	200
2N4009	p-n-p	>40/1	—	>20	<10	6e	100	400/25c	200
2N4007	p-n-p	>30/1	—	>15	<10	15e	100	400/25a	200
2N4010	p-n-p	>30/1	—	>15	<10	15e	100	400/25a	200
2N4008	p-n-p	>20/1	—	>15	<10	30e	100	400/25a	200
2N4011	p-n-p	>20/1	—	>15	<10	30e	100	400/25a	200
2N4012	n-p-n	—	—	500	<10	65	1500	12B _T /25c	200
2N4013	n-p-n	50...150/100	—	>300	<10	30e	500	360/25a	200
2N4014	n-p-n	50...150/100	—	>300	<10	50	500	360/25a	200
2N4036	p-n-p	40...140/150	—	>60	<30	65	1000	7000/25c	200
2N4036A	p-n-p	20/0,1...500	—	>60	<30	90e	1000	1000/25a	200
2N4037	p-n-p	50...250/150	—	>60	30	40	1000	1000/25a	200
2N4040	n-p-n	10...80/100	—	—	15	40e	1000	10B _T /25c	200
2N4041	n-p-n	10...80/75	—	—	8	40e	500	17B _T /25c	200
2N4048	p-n-p	60...120/15A	—	—	—	30e	60A	170B _T /25c	100
2N4049	p-n-p	60...120/15A	—	—	—	45e	60A	170B _T /25c	100

1	2	3	4	5	6	7	8	9	
2N4050	p-n-p	60...120/15A	—	—	—	60	60A	170Bт/25с	100
2N4051	p-n-p	80...180/15A	—	—	—	30e	60A	170Bт/25с	100
2N4052	p-n-p	80...180/15A	—	—	—	45e	60A	170Bт/25с	100
2N4053	p-n-p	80...180/15A	—	—	—	60	60A	170Bт/25с	100
2N4058	p-n-p	100...400/0,1	< 5	—	—	30	30	360/25a	150
2N4059	p-n-p	45...660/1	—	—	—	30	30	360/25a	150
2N4060	p-n-p	45...165/1	—	—	—	30	30	360/25a	150
2N4061	p-n-p	90...330/1	—	—	—	30	30	360/25a	150
2N4062	p-n-p	180...660/1	—	—	—	30	30	360/25a	150
2N4063	n-p-n	40...160/20	—	> 15	< 10	350e	1000	10Bт/25с	200
2N4064	n-p-n	40...160/20	—	> 15	< 10	350	1000	10Bт/25с	200
2N4074	n-p-n	75...300/10	—	> 50	12	40	300	2000/75с	175
2N4075	n-p-n	30...90/1000	—	> 30	—	80e	3000	17Bт/100с	200
2N4076	n-p-n	50...150/1000	—	> 30	—	80e	3000	17Bт/100с	200
2N4100	n-p-n	150...600/0,01	3	> 15	0,8	55	10	500/25a	200
2N4138	n-p-n	> 50/1	—	> 20	< 12	30	100	300/25a	175
2N4150	n-p-n	40...120/5000	—	> 15	—	80e	10A	5000/100с	200
2N4210	n-p-n	20...100/10A	—	> 10	850	60e	20A	100Bт/100с	200
2N4211	n-p-n	20...100/10A	—	> 10	850	80	20A	100Bт/100с	200
2N4231	n-p-n	25...100/1500	—	> 4	200	40e	3000	35Bт/25с	200
2N4232	n-p-n	25...100/1500	—	> 4	200	60e	3000	35Bт/25с	200
2N4233	n-p-n	25...100/1500	—	> 4	200	80	3000	35Bт/25с	200
2N4234	p-n-p	30...150/250	—	—	—	—	—	1000/25a	—
2N4235	p-n-p	30...150/250	—	—	—	60	—	1000/25a	—
2N4236	p-n-p	30...150/250	—	—	—	60	—	1000/25a	—
2N4237	n-p-n	> 10/1000	—	> 10	< 100	80	3000	6000/25с	200
2N4238	n-p-n	> 10/1000	—	> 10	< 100	80	3000	6000/25с	200
2N4239	n-p-n	> 10/1000	—	> 10	< 100	80	3000	6000/25с	200
2N4240	p-n-p	> 40/100	—	> 15	120	5006	5000	35Bт/25с	200
2N4242	p-n-p	40...80/5000	—	—	—	70e	10A	100Bт/25с	110
2N4243	p-n-p	40...80/5000	—	—	—	55	10A	100Bт/25с	110
2N4244	p-n-p	40...80/5000	—	—	—	40	10A	100Bт/25с	110
2N4245	p-n-p	60...120/5000	—	—	—	70e	10A	100Bт/25с	110
2N4246	p-n-p	60...120/5000	—	—	—	55	10A	100Bт/25с	110
2N4247	p-n-p	60...120/5000	—	—	—	40	10A	100Bт/25с	110
2N4248	p-n-p	> 50/0,1	—	—	< 6	40	100	200/25a	125
2N4249	p-n-p	100...300/0,1	< 3	—	< 6	60	100	200/25a	125
2N4250	p-n-p	100...300/0,1	< 3	—	< 6	40	100	200/25a	125
2N4276	p-n-p	60...120/15A	—	—	—	20e	60A	100Bт/25с	110
2N4277	p-n-p	80...180/15A	—	—	—	20e	60A	100Bт/25с	110
2N4278	p-n-p	60...120/15A	—	—	—	30e	60A	100Bт/25с	110
2N4279	p-n-p	80...180/15A	—	—	—	30e	60A	100Bт/25с	110
2N4280	p-n-p	60...120/15A	—	—	—	45e	60A	100Bт/25с	110
2N4281	p-n-p	80...180/15A	—	—	—	45e	60A	100Bт/25с	110
2N4282	p-n-p	60...120/15A	—	—	—	60e	60A	100Bт/25с	110
2N4283	p-n-p	80...180/15A	—	—	—	60e	60A	100Bт/25с	110
2N4300	n-p-n	30...120/1000	—	> 30	—	80e	2000	15Bт/100с	200
2N4301	n-p-n	30...120/5000	—	> 40	—	80e	10A	50Bт/100с	200
2N4314	p-n-p	50...250/150	—	> 60	< 30	85	1000	7000/25с	200
2N4346	p-n-p	> 25/6000	—	—	—	3206	10A	5000/55с	85
2N4347	n-p-n	20...60/2000	—	—	—	120e	5000	100Bт/25с	—
2N4348	n-p-n	> 15/5000	—	—	—	120e	10A	100Bт/25с	—
2N4387	p-n-p	> 20/1000	—	> 25	275	40	2500	20Bт/100с	200
2N4388	p-n-p	> 20/1000	—	> 25	275	60	2500	20Bт/100с	200
2N4390	n-p-n	> 20/2	—	> 50	—	120e	—	500/25a	175
2N4395	n-p-n	40...160/2000	—	> 4	—	40e	—	62Bт/35с	—
2N4396	n-p-n	40...160/2000	—	> 4	—	60	—	62Bт/35с	—

1	2	3	4	5	6	7	8	9	
2N4398	<i>p-n-p</i>	15...60/15A	—	>4	—	40	30A	200B _T /25c	200
2N4399	<i>p-n-p</i>	15...60/15A	—	>4	—	60	30A	200B _T /25c	200
2N4400	<i>n-p-n</i>	50...150/150	—	>150	<8	40e	600	310/25a	135
2N4401	<i>n-p-n</i>	100...300/150	—	>150	<8	40e	600	310/25a	135
2N4402	<i>p-n-p</i>	>20/1...500	—	>150	<8	60e	600	310/25a	135
2N4403	<i>p-n-p</i>	>40/1...500	—	>150	<8	60e	600	310/25a	135
2N4409	<i>n-p-n</i>	60...400/1	—	>60	<12	80	250	310/25a	135
2N4410	<i>n-p-n</i>	60...400/1	—	>60	<12	120	250	310/25a	135
2N4412	<i>p-n-p</i>	100...500/0,01	<2	—	8	30e	—	600/25a	200
2N4413	<i>p-n-p</i>	100...500/0,01	<2	—	8	30e	—	400mB _T	200
2N4414	<i>p-n-p</i>	40...500/0,01	<2	—	8	30e	—	600/25a	200
2N4415	<i>p-n-p</i>	100...500/0,01	<2	—	8	30e	—	400mB _T	200
2N4415A	<i>p-n-p</i>	100...500/0,01	<2	—	8	60	—	600/25a	200
2N4862	<i>n-p-n</i>	>15/2000	—	>50	<50	120e	2000	4000/100c	200
2N4862	<i>n-p-n</i>	>15/2000	—	>50	<50	120e	2000	4000/100c	200
2N4863	<i>n-p-n</i>	>15/2000	—	>50	<50	120e	2000	16B _T	200
2N4865	<i>n-p-n</i>	10...40/70A	—	>10	—	80e	90A	350B _T /25c	200
2N4866	<i>n-p-n</i>	10...40/70A	—	>10	—	120	90A	350B _T /25c	200
2N4895	<i>n-p-n</i>	40...120/2000	—	>50	—	60e	5000	7000/25c	200
2N4896	<i>n-p-n</i>	100...300/2000	—	>50	—	60e	5000	7000/25c	200
2N4897	<i>n-p-n</i>	40...120/2000	—	>50	—	80e	5000	7000/25c	200
2N4898	<i>p-n-p</i>	20...100/500	—	>3	<100	40	4000	25B _T /25c	200
2N4899	<i>p-n-p</i>	20...100/500	—	>3	<100	60	4000	25B _T /25c	200
2N4900	<i>p-n-p</i>	>10/1000	—	>3	<100	80	4000	25B _T /25c	200
2N4901	<i>p-n-p</i>	20...80/1000	—	>4	—	40	5000	87B _T /25c	200
2N4902	<i>p-n-p</i>	20...80/1000	—	>4	—	60	5000	87B _T /25c	200
2N4903	<i>p-n-p</i>	7/5000	—	>4	—	80	5000	87B _T /25c	200
2N4904	<i>p-n-p</i>	25...100/2500	—	>4	—	40	5000	87B _T /25c	200
2N4905	<i>p-n-p</i>	25...100/2500	—	>4	—	60	5000	87B _T /25c	200
2N4906	<i>p-n-p</i>	7/5000	—	>4	—	80	5000	87B _T /25c	200
2N4907	<i>p-n-p</i>	20...80/4000	—	4	—	40	5000	83B _T /100c	200
2N4908	<i>p-n-p</i>	20...80/4000	—	4	—	60	5000	83B _T /100c	200
2N4909	<i>p-n-p</i>	20...80/4000	—	4	—	80	5000	83B _T /100c	200
2N4910	<i>n-p-n</i>	20...100/500	—	>3	<100	40	4000	25B _T /25c	200
2N4911	<i>n-p-n</i>	20...100/500	—	>3	<100	60	4000	25B _T /25c	200
2N4912	<i>n-p-n</i>	20...100/500	—	>3	<100	80	4000	25B _T /25c	200
2N4913	<i>n-p-n</i>	25...100/2500	—	>4	—	40	5000	87B _T /25c	200
2N4914	<i>n-p-n</i>	25...100/2500	—	>4	—	60	5000	87B _T /25c	200
2N4915	<i>n-p-n</i>	25...100/2500	—	>4	—	80	5000	87B _T /25c	200
2N4918	<i>p-n-p</i>	20...100/500	—	>3	<100	40	3000	30B _T /25	150
2N4919	<i>p-n-p</i>	20...100/500	—	>3	<100	60	3000	30B _T /25c	150
2N4920	<i>p-n-p</i>	20...100/500	—	>3	<100	80	3000	30B _T /25c	150
2N4921	<i>n-p-n</i>	10/1000	—	>3	<100	40	3000	30B _T /25c	150
2N4922	<i>n-p-n</i>	10/1000	—	>3	<100	60	3000	30B _T /25c	150
2N4923	<i>n-p-n</i>	10/1000	—	>3	<100	80	3000	30B _T /25c	150
2N4926	<i>n-p-n</i>	10/3	—	>30	<6	200	50	1000/25a	175
2N4927	<i>n-p-n</i>	10/3	—	>30	<6	250	50	1000/25a	175
2N4930	<i>p-n-p</i>	20/1...30	—	>20	<20	200	500	1000/25a	200
2N4931	<i>p-n-p</i>	20/1...30	—	>20	<20	250	500	1000/25a	200
2N4932	<i>n-p-n</i>	—	—	—	<120	50	3300	70B _T /25c	200
2N4933	<i>n-p-n</i>	—	—	—	<120	70	3300	70B _T /25a	200
2N4944	<i>n-p-n</i>	40...120/150	—	>60	<20	40e	500	220/25a	150
2N4945	<i>n-p-n</i>	40...120/150	—	>60	<20	60	500	220/25a	150
2N4946	<i>n-p-n</i>	100/150	—	>60	<20	40e	500	220/25a	150
2N4955	<i>n-p-n</i>	60...600/0,01	<45	>60	<6	25e	30	350/25a	125
2N4956	<i>n-p-n</i>	60...600/0,01	<45	>60	<6	25e	30	350/25a	125
2N4964	<i>p-n-p</i>	30...120/0,01	<6	>60	<8	40e	—	200/25a	125
2N4965	<i>p-n-p</i>	80...400/0,01	<6	>60	<8	40e	—	200/25a	125

1	2	3	4	5	6	7	8	9
2N4966 <i>n-p-n</i>	40...120/0,01	<6	>40	6	40e	—	200/25a	125
2N4967 <i>n-p-n</i>	100...600/0,01	<6	>40	6	40e	—	200/25a	125
2N4968 <i>n-p-n</i>	40...120/0,01	<6	>40	6	25	—	200/25a	125
2N4998 <i>n-p-n</i>	30...90/1000	—	>60	—	80e	2000	35Bт/25c	200
2N5000 <i>n-p-n</i>	70...200/1000	—	>60	—	80e	2000	35Bт/25c	200
2N4999 <i>p-n-p</i>	30...90/1000	—	>60	—	80e	2000	35Bт/25c	200
2N5001 <i>p-n-p</i>	70...200/1000	—	>60	—	80e	2000	35Bт/25c	200
2N5002 <i>n-p-n</i>	30...90/2500	—	>60	—	80e	5000	58Bт/25c	200
2N5003 <i>n-p-n</i>	30...90/2500	—	>60	—	80e	5000	58Bт/25c	200
2N5004 <i>n-p-n</i>	30...90/2500	—	>60	—	80e	5000	58Bт/25c	200
2N5005 <i>n-p-n</i>	30...90/2500	—	>60	—	80e	5000	58Bт/25c	200
2N5006 <i>n-p-n</i>	30...90/5000	—	>30	—	80e	10A	117Bт/25c	200
2N5007 <i>n-p-n</i>	30...90/5000	—	>30	—	80e	10A	117Bт/25c	200
2N5008 <i>n-p-n</i>	30...90/5000	—	>30	—	80e	10A	117Bт/25c	200
2N5009 <i>n-p-n</i>	30...90/5000	—	>30	—	80e	10A	117Bт/25c	200
2N5010 <i>n-p-n</i>	>30/25	—	>20	—	500	500	2000/25c	—
2N5011 <i>n-p-n</i>	>30/25	—	>20	—	600	500	2000/25c	—
2N5012 <i>n-p-n</i>	>30/25	—	>20	—	800	500	2000/25c	—
2N5013 <i>n-p-n</i>	>30/20	—	>20	—	800	500	2000/25c	—
2N5014 <i>n-p-n</i>	>30/20	—	>20	—	900	500	2000/25c	—
2N5015 <i>n-p-n</i>	>30/20	—	>20	—	1000	500	2000/25c	—
2N5038 <i>n-p-n</i>	20...100/12A	—	>60	<500	110	20A	140Bт/25c	200
2N5039 <i>n-p-n</i>	20...100/12A	—	>60	<500	95	20A	140Bт/25c	200
2N5050 <i>n-p-n</i>	25...100/750	—	>10	<250	125	2000	40Bт/25c	175
2N5051 <i>n-p-n</i>	25...100/750	—	>10	<250	150	2000	40Bт/25c	175
2N5052 <i>n-p-n</i>	25...100/750	—	>10	<250	200	2000	40Bт/25c	175
2N5058 <i>n-p-n</i>	30...150/30	—	>30	<10	250	150	1000/25a	150
2N5059 <i>n-p-n</i>	30...150/30	—	>30	<10	300	150	1000/25a	150
2N5066 <i>n-p-n</i>	8(>4)/1	—	>5	<10	20e	100	400/25a	200
2N5067 <i>n-p-n</i>	20...80/1000	—	>4	—	40	5000	87Bт/25c	200
2N5068 <i>n-p-n</i>	20...80/1000	—	>4	—	40	5000	87Bт/25c	200
2N5070 <i>n-p-n</i>	—	—	—	>85	40e	3300	70Bт/25c	200
2N5071 <i>n-p-n</i>	—	—	—	>85	40e	3300	24Bт/76	200
2N5072 <i>n-p-n</i>	15...60/3000	—	80	350	100	10A	125Bт/25c	200
2N5074 <i>n-p-n</i>	30...110/500	—	—	—	200	5000	30Bт/100c	200
2N5075 <i>n-p-n</i>	30...110/500	—	—	—	200	5000	30Bт/100c	200
2N5076 <i>n-p-n</i>	30...110/500	—	—	—	250	5000	30Bт/100c	200
2N5077 <i>n-p-n</i>	30...110/600	—	—	—	250	5000	30Bт/100c	200
2N5083 <i>n-p-n</i>	40...120/2000	—	>50	—	60e	10A	35Bт/25c	200
2N5084 <i>n-p-n</i>	40...120/2000	—	>50	—	60e	10A	35Bт/25c	200
2N5085 <i>n-p-n</i>	40...120/2000	—	>50	—	80	10A	35Bт/25c	200
2N5086 <i>p-n-p</i>	150...500/0,1	1,2	>40	<4	50	100	310/25a	135
2N5087 <i>p-n-p</i>	150...500/0,1	1,0	>40	<4	50	100	310/25a	135
2N5133 <i>n-p-n</i>	60...1000/1	—	>40	5	18e	50	200/25a	125
2N5135 <i>n-p-n</i>	50...600/10	—	>40	25	25e	200	300/25a	125
2N5136 <i>n-p-n</i>	20...400/150	—	>40	<35	20e	500	220/25a	125
2N5137 <i>n-p-n</i>	20...400/150	—	>40	<35	20e	500	30mBт	125
2N5138 <i>p-n-p</i>	50...300/100	—	>40	<7	30e	100	200/25a	125
2N5147 <i>p-n-p</i>	30...90/1000	—	>60	—	80e	2000	7000/25c	200
2N5149 <i>p-n-p</i>	30...90/1000	—	>60	—	80e	2000	7000/25c	200
2N5148 <i>n-p-n</i>	30...90/1000	—	>50	—	80e	2000	7000/25e	200
2N5150 <i>n-p-n</i>	30...90/1000	—	>50	—	80e	2000	7000/25c	200
2N5151 <i>p-n-p</i>	30...90/2500	—	>60	—	80e	5000	11Bт/25c	200
2N5153 <i>p-n-p</i>	30...90/2500	—	>60	—	80e	5000	11Bт/25e	200
2N5152 <i>n-p-n</i>	30...90/1500	—	>60	—	80e	5000	11Bт/25e	200
2N5154 <i>n-p-n</i>	30...90/2500	—	>60	—	80e	5000	11Bт/25c	200
2N5155 <i>p-n-p</i>	25...100/8000	—	0,35	—	120e	25A	60Bт/25c	110

1	2	3	4	5	6	7	8	9	
2N5156	p-n-p	25...60/5000	—	0,32	—	60e	10A	60BТ/25c	110
2N5157	n-p-n	30...90/1000	—	4	—	400e	3500	100BТ/25c	200
2N5190	n-p-n	25...100/1500	—	> 4	—	40	4000	35BТ/25c	150
2N5191	n-p-n	25...100/1500	—	> 4	—	60	4000	35BТ/25c	150
2N5192	n-p-n	25...100/1500	—	> 4	—	80	4000	35BТ/25c	150
2N5202	n-p-n	10...100/4000	—	> 60	< 175	75e	5000	35BТ/25c	200
2N5193	p-n-p	25...100/1500	—	> 4	—	40	4000	35BТ/25c	150
2N5194	p-n-p	25...100/1500	—	> 4	—	60	4000	35BТ/25c	150
2N5195	p-n-p	25...100/1500	—	> 4	—	80	4000	35BТ/25c	150
2N5218	n-p-n	15...120/5000	—	> 40	—	200e	10A	80BТ/100c	200
2N5225	n-p-n	30...600/50	—	> 50	< 20	25	500	310/25a	135
2N5226	p-n-p	30...600/50	—	> 50	< 20	25	500	310/25a	135
2N5229	p-n-p	> 50/0,1	—	> 8	< 5	10e	50	500/25c	200
2N5230	p-n-p	> 50/0,1	—	> 8	< 5	20	50	500/25c	200
2N5231	p-n-p	> 50/0,1	—	> 8	< 5	30e	50	500/25c	200
2N5232	p-n-p	250...470/2	—	—	< 4	50e	100	360/25a	150
2N5232A	n-p-n	250...470/2	5	—	< 4	50e	0,1	360/25a	150
2N5237	n-p-n	40...120/5000	—	25	—	120e	5000	5000/95c	200
2N5238	n-p-n	40...120/5000	—	25	—	170	5000	5000/95c	200
2N5239	n-p-n	20...80/400	—	> 5	< 150	250e	5000	100BТ/25c	200
2N5240	n-p-n	20...80/400	—	> 5	< 150	350	5000	100BТ/25c	200
2N5241	n-p-n	15...35/2500	—	> 4	—	325e	3500	100BТ/25c	200
2N5249	n-p-n	400...800/2	< 5	—	< 4	50e	100	330/25a	140
2N5250	n-p-n	10...40/70A	—	> 10	—	100e	90A	350BТ/25c	200
2N5251	n-p-n	10...40/70A	—	> 10	—	150e	90A	350BТ/25c	200
2N5252	n-p-n	40...120/100	—	> 30	—	300	1000	7000/25c	200
2N5253	n-p-n	40...120/100	—	> 30	—	300	1000	7000/25c	200
2N5284	n-p-n	30...90/2500	—	> 60	—	100e	5000	58BТ/25c	200
2N5285	n-p-n	30...90/2500	—	> 60	—	100e	5000	58BТ/25c	200
2N5286	n-p-n	30...90/2500	—	> 60	—	100e	5000	58BТ/25c	200
2N5287	n-p-n	30...90/2500	—	> 60	—	100e	5000	58BТ/25c	200
2N5288	n-p-n	30...90/2500	—	> 60	—	100e	5000	58BТ/25c	200
2N5289	n-p-n	30...90/2500	—	> 60	—	100e	5000	58BТ/25c	200
2N5290	n-p-n	30...90/2500	—	> 60	—	100e	5000	58BТ/25c	200
2N5291	n-p-n	30...90/2500	—	> 60	—	100e	5000	58BТ/25c	200
2N5293	n-p-n	30...120/500	—	> 0,8	—	75	4000	36BТ/25c	150
2N5294	n-p-n	30...120/500	—	> 0,8	—	75	4000	36BТ/25c	150
2N5295	n-p-n	30...120/1000	—	> 0,8	—	50	4000	36BТ/25c	150
2N5296	n-p-n	30...120/1000	—	> 0,8	—	50	4000	36BТ/25c	150
2N5297	n-p-n	20...80/1500	—	> 0,8	—	70	4000	36BТ/25c	150
2N5298	n-p-n	20...80/1500	—	> 0,8	—	70	4000	36BТ/25c	150
2N5301	n-p-n	> 15/15A	—	4	—	40e	20A	200BТ/25a	—
2N5302	n-p-n	> 15/15A	—	4	—	60	20A	200BТ/25a	—
2N5303	n-p-n	> 15/10A	—	4	—	80e	20A	200BТ/25a	—
2N5305	n-p-n	2000...20000/2	—	—	7,6	25	100	400/25a	125
2N5306	n-p-n	2000...20000/2	—	—	7,6	25	100	400/25a	125
2N5307	n-p-n	2000...20000/2	—	—	7,6	40	100	400/25a	125
2N5308	n-p-n	2000...20000/2	—	—	7,6	40	100	400/25a	125
2N5310	n-p-n	100...300/10	—	—	< 4	50e	100	330/25a	—
2N5311	n-p-n	100...300/10	—	—	< 4	50e	100	330/25a	—
2N5312	p-n-p	30...90/10A	—	> 30	—	80e	20A	50BТ/100c	200
2N5314	p-n-p	30...90/10A	—	> 30	—	100	20A	50BТ/100c	200
2N5313	n-p-n	30...90/10A	—	> 30	—	80e	20A	50BТ/100c	200
2N5315	n-p-n	30...90/10A	—	> 30	—	100	20A	50BТ/100c	200
2N5316	p-n-p	30...90/5000	—	> 30	—	80e	10A	50BТ/100c	200
2N5318	p-n-p	30...90/5000	—	> 30	—	100	10A	50BТ/100c	200
2N5317	n-p-n	30...90/5000	—	> 30	—	80e	10A	50BТ/100c	200

1	2	3	4	5	6	7	8	9
2N5319 <i>n-p-n</i>	30...90/5000	—	> 30	—	100	10A	50Bт/100с	200
2N5320 <i>n-p-n</i>	30...130/500	—	> 50	—	65	2000	10Bт/25с	200
2N5321 <i>n-p-n</i>	30...130/500	—	> 50	—	90	2000	10Bт/25с	200
2N5322 <i>p-n-p</i>	30...130/500	—	> 50	—	65	2000	10Bт/25с	200
2N5323 <i>p-n-p</i>	30...130/500	—	> 50	—	90	2000	10Bт/25с	200
2N5324 <i>p-n-p</i>	20...60/5000	—	> 2	—	150e	10A	56Bт/25с	110
2N5325 <i>p-n-p</i>	20...60/5000	—	> 2	—	200	10A	56Bт/25с	110
2N5326 <i>n-p-n</i>	50...150/1000	—	80	100	80e	5000	44Bт/25с	200
2N5329 <i>n-p-n</i>	40...120/10A	—	80	500	100e	20A	116Bт/25с	200
2N5330 <i>n-p-n</i>	50...150/10A	—	80	750	100e	30A	140Bт/25с	200
2N5331 <i>n-p-n</i>	50...150/10A	—	80	750	100e	30A	175Bт/25с	200
2N5333 <i>p-n-p</i>	> 30/1000	—	> 30	—	80e	5000	15Bт/100с	200
2N5334 <i>n-p-n</i>	30...150/1000	—	> 60	< 75	60	3000	6000/25с	200
2N5335 <i>n-p-n</i>	30...150/1000	—	> 60	< 75	80	3000	6000/25с	200
2N5336 <i>n-p-n</i>	30...120/2000	—	> 30	< 250	80	5000	6000/25с	200
2N5337 <i>n-p-n</i>	30...120/2000	—	> 30	< 250	80	5000	6000/25с	200
2N5338 <i>n-p-n</i>	30...120/2000	—	> 30	< 250	100	5000	6000/25с	200
2N5339 <i>n-p-n</i>	30...120/2000	—	> 30	< 250	100	5000	6000/25с	200
2N5344 <i>p-n-p</i>	25...100/500	—	> 60	< 200	250	1000	40Bт/25с	200
2N5345 <i>p-n-p</i>	25...100/500	—	> 60	< 200	300	1000	40Bт/25с	200
2N5346 <i>n-p-n</i>	30...120/2000	—	> 30	< 250	80	7000	60Bт/25с	200
2N5347 <i>n-p-n</i>	30...120/2000	—	> 30	< 250	80	7000	60Bт/25с	200
2N5348 <i>n-p-n</i>	30...120/2000	—	> 30	< 250	100	7000	60Bт/25с	2000
2N5349 <i>n-p-n</i>	30...120/2000	—	> 30	< 250	100	7000	60Bт/25с	200
2N5384 <i>p-n-p</i>	20...80/2000	—	> 30	—	80e	5000	30Bт/100с	200
2N5385 <i>p-n-p</i>	20...80/2000	—	> 30	—	80e	5000	30Bт/100с	200
2N5386 <i>p-n-p</i>	20...80/6000	—	> 30	—	80e	12A	50Bт/100с	200
2N5387 <i>n-p-n</i>	25...100/2000	—	> 15	—	200	7500	100Bт/100с	200
2N5388 <i>n-p-n</i>	25...100/2000	—	> 15	—	250	7500	100Bт/100с	200
2N5389 <i>n-p-n</i>	25...100/2000	—	> 15	—	300	7500	100Bт/100с	200
2N5404 <i>p-n-p</i>	20...60/2000	—	> 40	—	80	5000	4000/100с	200
2N5405 <i>p-n-p</i>	20...60/2000	—	> 40	—	100	5000	4000/100с	200
2N5406 <i>p-n-p</i>	40...120/2000	—	> 40	—	80	5000	4000/100с	200
2N5407 <i>p-n-p</i>	40...120/2000	—	> 40	—	100	5000	4000/100с	200
2N5408 <i>p-n-p</i>	20...60/2000	—	> 40	—	80	5000	30Bт/100с	200
2N5409 <i>p-n-p</i>	20...60/2000	—	> 40	—	80	5000	30Bт/100с	200
2N5410 <i>p-n-p</i>	20...60/2000	—	> 40	—	80	5000	30Bт/100с	200
2N5411 <i>p-n-p</i>	20...60/2000	—	> 40	—	80	5000	30Bт/100с	200
2N5412 <i>n-p-n</i>	10...160/2000	—	> 60	—	60e	10A	50Bт/100с	200
2N5415 <i>p-n-p</i>	30...130/50	—	> 15	< 15	200e	1000	1000/50a	200
2N5416 <i>p-n-p</i>	30...130/50	—	> 15	< 15	200e	1000	1000/50a	200
2N5427 <i>n-p-n</i>	30...120/2000	—	> 30	< 250	80	7000	40Bт/25с	200
2N5428 <i>n-p-n</i>	30...120/2000	—	> 30	< 250	80	7000	40Bт/25с	200
2N5429 <i>n-p-n</i>	30...120/2000	—	> 30	< 250	100	7000	40Bт/25с	200
2N5430 <i>n-p-n</i>	30...120/2000	—	> 30	< 250	100	7000	40Bт/25с	200
2N5435 <i>p-n-p</i>	20...60/25A	—	> 0,35	—	60e	60A	120Bт/25с	110
2N5436 <i>p-n-p</i>	20...60/25A	—	> 0,35	—	90	60A	120Bт/25с	110
2N5437 <i>p-n-p</i>	20...60/25A	—	> 0,35	—	120	60A	120Bт/25с	110
2N5438 <i>p-n-p</i>	40...120/60A	—	> 0,35	—	60e	60A	120Bт/25с	110
2N5439 <i>p-n-p</i>	40...120/60A	—	> 0,35	—	90	60A	120Bт/25с	110
2N5440 <i>p-n-p</i>	40...120/60A	—	> 0,35	—	120	60A	120Bт/25с	110
2N5466 <i>n-p-n</i>	15...60/3000	—	2,5	—	400e	5000	80Bт/100с	200
2N5467 <i>n-p-n</i>	15...60/3000	—	2,5	—	700	5000	80Bт/100с	200
2N5468 <i>n-p-n</i>	15...60/3000	—	2,5	—	400e	5000	40Bт/100с	200
2N5469 <i>n-p-n</i>	15...60/3000	—	2,5	—	700	5000	40Bт/100с	200
2N5470 <i>n-p-n</i>	—	—	—	< 3	55	200	3500/25с	200
2N5477 <i>n-p-n</i>	30...120/2000	—	> 30	< 250	80	7000	60Bт/25с	200

1	2	3	4	5	6	7	8	9
2N5478 <i>n-p-n</i>	30...120/2000	—	> 30	< 250	80	7000	60Bт/25с	200
2N5479 <i>n-p-n</i>	30...120/2000	—	> 30	< 250	80	7000	60Bт/25с	200
2N5480 <i>n-p-n</i>	30...120/2000	—	> 30	< 250	80	7000	60Bт/25с	200
2N5481 <i>n-p-n</i>	20...250/50	—	—	—	30e	200	5000/25с	200
2N5482 <i>n-p-n</i>	200...250/50	—	—	—	30e	350	10Bт/25с	200
2N5483 <i>n-p-n</i>	20...250/100	—	—	—	30e	700	20Bт/25с	200
2N5487 <i>n-p-n</i>	100...300/1000	—	40	—	80e	5000	15Bт/95с	200
2N5488 <i>n-p-n</i>	100...300/1000	—	40	—	100	5000	15Bт/95с	200
2N5490 <i>n-p-n</i>	20...100/2000	—	> 0,8	—	50e	7000	50Bт/25с	150
2N5491 <i>n-p-n</i>	20...100/2000	—	> 0,8	—	50e	7000	50Bт/25с	150
2N5492 <i>n-p-n</i>	20...100/2000	—	> 0,8	—	65	7000	50Bт/25с	150
2N5493 <i>n-p-n</i>	20...100/2000	—	> 0,8	—	65	7000	50Bт/25с	150
2N5494 <i>n-p-n</i>	20...100/3000	—	> 0,8	—	50e	7000	50Bт/25с	150
2N5495 <i>n-p-n</i>	20...100/3000	—	> 0,8	—	50e	7000	50Bт/25с	150
2N5496 <i>n-p-n</i>	20...100/3000	—	> 0,8	—	80	7000	50Bт/25с	150
2N5497 <i>n-p-n</i>	20...100/3000	—	> 0,8	—	80	7000	50Bт/25с	150
2N5552 <i>n-p-n</i>	40...250/5000	—	> 30	—	80	10A	5000/100с	200
2N5559 <i>n-p-n</i>	12...60/4000	—	> 0,8	—	120e	15A	83Bт/100с	200
2N5575 <i>n-p-n</i>	10...40/60A	—	> 0,4	2000	70	80A	300Bт/25с	175
2N5576 <i>n-p-n</i>	10...40/60A	—	> 0,4	2000	70	80A	300Bт/25с	175
2N5577 <i>n-p-n</i>	10...40/60A	—	> 0,4	2000	70	80A	300Bт/25с	175
2N5578 <i>n-p-n</i>	10...40/40A	—	> 0,4	2000	90	60A	300Bт/25с	175
2N5579 <i>n-p-n</i>	10...40/40A	—	> 0,4	2000	90	60A	300Bт/25с	175
2N5580 <i>n-p-n</i>	10...40/40A	—	> 0,4	2000	90	60A	300Bт/25с	175
2N5584 <i>n-p-n</i>	40...120/10A	—	70	—	180e	50A	175Bт/25с	200
2N5589 <i>n-p-n</i>	> 5/100	—	—	20	18e	600	15Bт/25с	200
2N5590 <i>n-p-n</i>	> 5/250	—	—	70	18e	2000	30Bт/25с	200
2N5591 <i>n-p-n</i>	> 5/500	—	—	120	18e	4000	70Bт/25с	200
2N5597 <i>p-n-p</i>	70...200/1000	—	> 60	—	60e	5000	40Bт/100с	200
2N5598 <i>p-n-p</i>	70...200/1000	—	> 60	—	60e	5000	40Bт/100с	200
2N5599 <i>p-n-p</i>	30...90/1000	—	> 60	—	80e	5000	40Bт/100с	200
2N5600 <i>p-n-p</i>	30...90/1000	—	> 60	—	80e	5000	40Bт/100с	200
2N5601 <i>p-n-p</i>	70...200/1000	—	> 60	—	80e	5000	40Bт/25с	200
2N5602 <i>p-n-p</i>	70...200/1000	—	> 60	—	80e	5000	40Bт/25с	200
2N5603 <i>p-n-p</i>	30...90/1000	—	> 60	—	100e	5000	40Bт/25с	200
2N5604 <i>p-n-p</i>	30...90/1000	—	> 60	—	100e	5000	40Bт/25с	200
2N5605 <i>p-n-p</i>	70...200/2500	—	> 60	—	100e	5000	40Bт/100с	200
2N5606 <i>p-n-p</i>	70...200/2500	—	> 60	—	100e	5000	40Bт/100с	200
2N5607 <i>p-n-p</i>	70...200/2500	—	> 60	—	100e	5000	40Bт/100с	200
2N5608 <i>p-n-p</i>	70...200/2500	—	> 60	—	100e	5000	40Bт/100с	200
2N5609 <i>p-n-p</i>	70...200/2500	—	> 60	—	100e	5000	40Bт/100с	200
2N5610 <i>p-n-p</i>	70...200/2500	—	> 60	—	100e	5000	40Bт/100с	200
2N5611 <i>p-n-p</i>	70...200/2500	—	> 60	—	100e	5000	40Bт/100с	200
2N5612 <i>p-n-p</i>	70...200/2500	—	> 60	—	100e	5000	40Bт/100с	200
2N5613 <i>p-n-p</i>	70...200/2500	—	> 70	—	60e	100A	50Bт/100с	200
2N5614 <i>p-n-p</i>	70...200/2500	—	> 70	—	60e	10A	50Bт/100с	200
2N5615 <i>p-n-p</i>	30...90/2500	—	> 70	—	80e	10A	50Bт/100с	200
2N5616 <i>p-n-p</i>	30...90/2500	—	> 70	—	80e	10A	20Bт/100с	200
2N5617 <i>p-n-p</i>	70...200/2500	—	> 70	—	80e	10A	50Bт/100с	200
2N5618 <i>p-n-p</i>	70...200/2500	—	> 70	—	80e	10A	50Bт/100с	200
2N5619 <i>p-n-p</i>	30...90/2500	—	> 70	—	100e	10A	50Bт/100с	200
2N5620 <i>p-n-p</i>	30...90/2500	—	> 70	—	100e	10A	50Bт/100с	200
2N5621 <i>p-n-p</i>	70...200/5000	—	> 30	—	100e	10A	50Bт/100с	200
2N5628 <i>p-n-p</i>	70...200/5000	—	> 30	—	100e	10A	50Bт/100с	200
2N5629 <i>n-p-n</i>	25...100/8000	—	> 1	< 500	100	16A	200Bт/25с	200
2N5630 <i>n-p-n</i>	25...100/8000	—	> 1	< 500	120	16A	200Bт/25с	200
2N5631 <i>n-p-n</i>	25...100/8000	—	> 1	< 500	140	16A	200Bт/25с	200

1	2	3	4	5	6	7	8	9
2N5632 <i>n-p-n</i>	25...100/5000	—	>1	<300	100	10A	150Вт/25с	200
2N5633 <i>n-p-n</i>	25...100/5000	—	>1	<300	120	10A	150Вт/25с	200
2N5634 <i>n-p-n</i>	25...100/5000	—	>1	<300	140	10A	150Вт/25с	200
2N5635 <i>n-p-n</i>	>5/100	—	—	<10	35е	1000	7500/25с	200
2N5636 <i>n-p-n</i>	>5/200	—	—	<20	35е	1500	15Вт/25с	200
2N5637 <i>n-p-n</i>	>5/500	—	—	<30	35е	3000	30Вт/25с	200
2N5641 <i>n-p-n</i>	>5/100	—	—	<15	35е	1000	15Вт/25с	200
2N5642 <i>n-p-n</i>	>5/200	—	—	<35	35е	3000	30Вт/25с	200
2N5643 <i>n-p-n</i>	>5/500	—	—	<65	35е	5000	60Вт/25с	200
2N5655 <i>n-p-n</i>	30...250/100	—	10	<25	250е	500	20Вт/25с	150
2N5436 <i>p-n-p</i>	20...60/25A	—	0,35	—	90	60A	120Вт/25с	110
2N5437 <i>p-n-p</i>	20...60/25A	—	0,35	—	120	60A	120Вт/25с	110

ПРИЛОЖЕНИЕ 3

РАСПОЛОЖЕНИЕ ВЫВОДОВ ЗАРУБЕЖНЫХ ТРАНЗИСТОРОВ

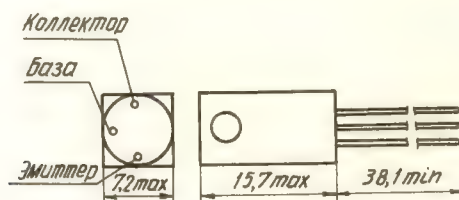


Рис. 1. Тип корпуса TO-18 имеют транзисторы:

AC117, AC124, AC127/01, AC128/01, AC132/01, AC141/01, AC142/01, AC153V, AC153K, AC153K.V1, AC175, AC176K, AC178, AC179, AC180K...AC181K, AC186, AC187/01, AC187K, AC187K-7, AC187K-8, AC187K-9, AC188/01, AC188K, AC188K-7, AC188K-8, AC188K-9, AC193, AC194K, AC194K-7, AC194K-8, AC194K-9.

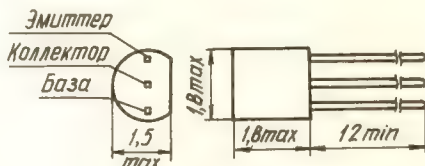


Рис. 2. Тип корпуса SOT-42 имеют транзисторы:

A141, A142, A143, A160, A161, A162, BC111, BC112, BC121...BC123, BC128, BC146/01...BC146/03, BC146 желтый, BC146 зеленый, BC146 красный, BC155, BC156, BC196, BC200/01...BC200/03, BC200 красный, BC200 зеленый, BC200 желтый, BC201, BC202, BC203, BC233, BSW13, S89BC, S90BC.

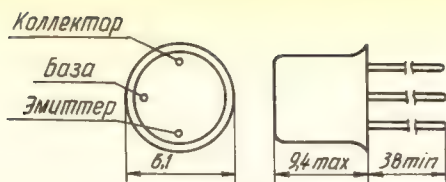


Рис. 3. Тип корпуса ТО-1 имеют транзисторы:

2N60, 2N61...2N65, 2N76, 2N77, 2N79...2N81, 2N85...2N87, 2N95, 2N96, 2N104...
 2N110, 2N130...2N133, 2N133A, 2N138, 2N138A, 2N138B, 2N141, 2N143, 2N149,
 2N149A, 2N150, 2N150A, 2N185...2N192, 2N192A, 2N195...2N207, 2N213...2N215,
 2N217, 2N220, 2N222...2N227, 2N238...2N241, 2N241A, 2N249, 2N265, 2N266,
 2N272, 2N273, 2N280...2N283, 2N291, 2N306, 2N319, 2N320, 2N321, 2N360...2N369,
 2N375, 2N380...2N383, 2N391, 2N392, 2N402, 2N403, 2N405...2N408, 2N422, 2N446,
 2N447, 2N447A, 2N462, 2N464...2N467, 2N506...2N508, 2N535, 2N563...2N572, 2N670,
 2N680, 2N711, 2N1008, 2N1009, 2N1010, 2N1059, 2N1094, 2N1097, 2N1098, 2N1101,
 2N1102, 2N1128...2N1130, 2N1144, 2N1145, 2N1173, 2N1217, 2N1246, 2N1287,
 2N1287A, 2N1320, 2N1322, 2N1324, 2N1328, 2N1331, 2N1353, 2N1370, 2N1372,
 2N1378, 2N1380, 2N1431...2N1433, 2N1495, 2N1624, 2N2428, 2N2429...2N2431,
 2N2431MP, 2N2447, 2N2449, 2N3153, 2NJ9A, 2NJ9D, 2NU40, 2NU70, 2NU72,
 2OC72, 2OC74, 2S12, 2S14, 2S15, 2S22, 2S24, 2S32, 2S33, 2S34, 2S37...2S40, 2S44,
 2S54, 2S56, 2S91, 2S159, 2S163, 2SB12, 2SB13, 2SB22, 2SB23, 2SB32, 2SB33,
 2SB34...2SB40, 2SB43, 2SB43A, 2SB44, 2SB46, 2SB47...2SB61, 2SB70...2SB79,
 2SB89...2SB92, 2SB94, 2SB95...2SB105, 2SB110...2SB117, 2SB134...2SB136,
 2SB153...2SB179, 2SB183...2SB187, 2SB254, 2SB255, 2SB257, 2SB261...2SB264,
 2SB271, 2SB272, 2SB317, 2SB325, 2SB329, 2SB345, 2SB346...2SB348, 2SB364,
 2SB365, 2SB370, 2SB371, 2SB376...2SB380, 2SB389, 2SB405, 2SB415, 2SB439,
 2SB440, 2SB443, 2SB444A, 2SB452, 2SB459, 2SB470, 2SB475, 2SB482, 2SB486,
 2SB494, 2SB495...2SB497, 2SC13, 2SC179, 2SC180, 2SD25, 2SD30, 2SD33...2SD35,
 2SD37...2SD38, 2SD43, 2SD44, 2SD61...2SD66, 2SD72, 2SD75, 2SD77, 2SD100,
 2SD104, 2SD105, 2SD127, 2SD128, 2SD167, 2SD168, 2SD170, 2SD178, 2SD186,
 2SD187, 2SD193, 2SD195, 2T11...2T17, 2T20...2T26, 2T69, 2T89, 2T311...2T315,
 2T321...2T323, 2T383, 2T681, 3N56, 3N57, 4JD1A17, 4JX1E850, 4JX2A601,
 4JX2A816, 4NU40, 4NU70, 18T1, 44T1, 70A, 72A, 74A, 75A, 99AT6,
 99B5, 99L6, 99SQ7, 126T1, 310T1, 322T1, 323T1, 324T1, 420T1, 421T1, 486T1,
 504T1, 520T1, 521T1, 641T1, 645T1, 646T1, 687T1...692T1, 909T1, 941T1, 965T1,
 987T1...992T1.

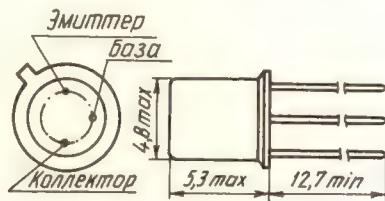


Рис. 4. Тип корпуса ТО-18 имеют транзисторы:

A157, A158B, A158C, A159, A177, A177A, A177B, A178, A178A, A178B, A179, A179A,
 A179B, A344...A346, AC107, AC107N, AC107RP, AC125, AC126, AC172, AF118,
 AFY10, AFY11, ASY26...ASY29, ASZ20, ASZ21, ASZ23, BC26, BC113, BC113A,
 BC114, BC114A, BC115, BC118, BC127, BC129, BC129A, BC129B, BC130, BC130A,
 BC130B, BC130C, BC147, BC147A, BC147B, BC148, BC148A, BC148B, BC148C,
 BC149, BC149B, BC149C, BC157, BC157A, BC158, BC158A, BC158B, BC159,
 BC159A, BC159B, BC186, BC187, BS190, BC190A, BC190B, BC192, BC210, BC210A,
 BC216, BC216A, BC234, BC234A, BC289, BC289A, BC289B, BC290, BC290A,
 BC290B, BC295, BC314, BC325, BC325, BC235A, BC237, BC237A, BC237B, BC238,
 BC238A, BC238B, BC238S, BC239, BC239B, BC239C, BC260, BC260A, BC260B,

BC260C, WC261, BC261A, BC262, BC262A, BC262B, BC262C, BC263, BC263A, BC263B, BC266, BC266A, BC266B, BC266C, BC280, BC280A, BC280B, BC280C, BC281, BC281A, BC281B, BC281C, BC283, BC284, BC284A, BC284B, BC289, BC289A, BC289B, BC290, BC290A, BC290B, BC295, BC314, BC325, BC326, BC407, BC407A, BC407B, BC408, BC408A, BC408B, BC408C, BC409, BC409B, BC409C, BC418, BC418A, BC418B, BC419, BC419A, BC419B, BC477, BC478, BC479, BC547, BC547A, BC547B, BC548, BC548A, BC548B, BC548C, BC549, BC549B, BC549C, BC557, BC557A, BC578, BC578A, BC578B, BC559, BC559A, BC559B, BCW12, BCW34...BCW37, BCW85, BCW86, BCW92, BCW93, BCW96, BCW97, BCX27, BCY42, BCY43, BCY49, BCY51, BCY55...BC57, BCY58, BCY58A, BCY58B, BCY58C, BCY58AP, BCY58BP, BCY58CP, BCY58P, BCY65, BCY65EP, BCY66, BCY67, BCY69...BCY72, BCY77-7, BCY77-8, BCY77-9, BCY78, BCY79-7, BCY79-8, BCY79-9, BCY79A, BCY79B, BCY79C, BCY86, BCY86A, BCY86B, BCY93B, BCY94B, BCY95B, BCY96B, BCY97B, BF149...BF151, BSS10...BSS12, BSS23, BSS23A, BSS26, BSS40, BSS41, BSV23...BSV27, BSV33, BSV51, BSV68, BSV89...BSV92, BSW19, BSW19V1, BSW19A, BSW21, BSW21A, BSW22, BSW22A, BSW24...BSW29, BSW32, BSW36...BSW38, BSW41, BSW42, BSW44, BSW43, BSW43A, BSW44, BSW44A, BSW45, BSW45A, BSW49, BSW60...BSW64, BSW70, BSW72...BSW75, BSW82...BSW85, BC94, BSX12, BSX12A, BCX19...BCX21, BCX24...BCX29, BCX29A, BSX33, BSX35, BSX36, BSH38, BSX39, BSX44, BSX48, BSX49, BSX51, BSX51A, BSX51B, BSX52, BSX52A, BSX52B, BSX53, BSX54, BSX56, BSX67, BSX70, BSX71, BSX75...BSX79, BSX87, BSX87A, BSX88A, BSX89...BSX94, BSY10, BSY11, BSY17, BSY18...BSY23, BSY26...BSY29, BSY32, BSY38, BSY38A, BSY39, BSY39A, BSY40, BSY41, BSY50, BSY55, BSY59...BSY62, BSY62A, BSY62B, BSY63, BSY68, BSY70, BSY72...BSY80, BSY89, BSY93, BSY95, BSY95A, BSY96, BSY99, CS9021, CS9022, CV5439, CV5447, SV5712, SV7005, SV7008, SV7430, SV7431, SV7462...SV7464, SV7492, SV7493, SV7646, SV7673...SV7676, SV7738, SV7767, SV7768...SV7770, SV9023, SV9543, SV10440, SV10806, SV10814, CXT1, D29A5, DS66, DS81, ECS108, GEI7, GE20, GE61, EN706, EN708, EN718A, EN744, EN914...EN916, EN918, EN930, EN956, EN2222, EN2369A, EN2483, EN2484, EN2894A, EN2907, EN3009, EN3011, EN3013, EN3014, EN3504, EN3505, EN3905, EN3906, EN3962, EN4125, EN4126, FT2483, FT2484, FT2955, FT3905, FT3906, FW4296, FW4297, FW4640, FW4707, FW5241, FW5242, FW5262, FW5263, FW5283, FW53, FW73, FW5373B, FW5437, GET706A, GET708, GET718, GET718A, GET753, GET914, GET929, GET930, GET956, GET995, GET1420, GET2221, GET2221A, GET2222, GET2222A, GET2369, GET2483, GET2484, GET2604, GET2605, GET2906, GET2907, GET3013, GET3014, GET3136, GET3210, GET3301, GET3302, GET3510, GET3511, GET3565, GET3566, GET3646, GET3647, GET3648, GET4123, GET4125, GET4126, GET4400, GET4401, GET4409, GET5136, GET5137, GET5449, GET5450, GET5451, HEP50, HEP51, HT100, ICC50, IRTR95, KS107, KCI08, KCI09, MDS40, MM511, MM512, MM513, MM2483, MM2484, MM2894, MM2894A, MM3905, MM3906, MPS706, MPS918, MPS2369, MPS2369A, MPS2369/18, MPS3563, MPS3638, MPS3639A, MPS3640, MPS3646, MPS6512, MPS6513, MPS6516, MPS6580, MPS9604, MPS9610, MPSA20, NKT121, NKT122, NKT123, NKT126, NKT129, NKT141, NKT142, NKT254, NKT255, NKT255E, NKT265, OC460, PBC107, PBC108, PBC109, PN930, PN2221, PN2221A, PN2222, PN2222A, PN2369, PN2369A, PN2483, PN2484, PN2906, PN2906A, PN2907, PN2907A, PN5910, PTC121, PTC123, RT113, RT697, RT718, RT1110, RT1111, RT1116, RT1613, RT5418, SC107, SC108, SC109, SE6001, SE6002, SF115, SFT714, SFT715, SK3004, SK3018, SK3019, SK3039, SK3122, SK1361, SK1376, ST9, ST13, ST29, ST33, ST70, ST1026, ST1050, ST1051, ST1543, THP106, THP129, T1408, T1409, T1415, T1419, T1475, T1485, T1S44...T1S50, TN56, TR95, ZT20...ZT24, ZT40, ZT41, ZT44, ZT706, ZT706A, ZT709, ZT929, ZT1708, ZT2475, ZTD10, ZTD11, ZTX107, ZTX108, ZTX109, ZTX301, ZTX310, ZTX311, ZTX312, ZTX313, ZTX314, ZTX320, ZTX331, ZTX510, 2N85, 2N117, 2N118, 2N118A, 2N119, 2N120, 2N160, 2N160A, 2N161, 2N161A, 2N162, 2N162A, 2N163, 2N163A, 2N332, 2N335...2N337, 2N354, 2N355, 2N420, 2N471A, 2N471, 2N472, 2N472A, UN473, UN474, 2N474A, 2N475...2N480, 2N541...2N543, 2N543A, 2N622, 2N698, 2N699, 2N702, 2N703, 2N705, 2N706, 2N706A, 2N706C, 2N708, 2N709, 2N711, 2N711A, 2N711B, 2N715, 2N716, 2N717, 2N718, 2N718A, 2N720, 2N721, 2N721A, 2N722, 2N722A,

2N726, 2N727, 2N728, 2N731, 2N733, 2N734, 2N734A, 2N735, 2N735A, 2N736, 2N736A, 2N736B, 2N739, 2N740, 2N742A...2N751, 2N753, 2N756...2N762, 2N780, 2N783, 2N784, 2N834, 2N839, 2N840, 2N844, 2N847, 2N849, 2N850, 2N851, 2N852, 2N858, 2N859, 2N860...2N865, 2N865A, 2N869, 2N902, 2N907...2N912, 2N914...2N916, 2N918, 2N920, 2N923, 2N925, 2N926, 2N929, 2N929A, 2N930, 2N930A, 2N930B, 2N935...2N946, 2N956, 2N958...2N962, 2N964, 2N978, 2N988, 2N989, 2N995, 2N996, 2N1081, 2N1082, 2N1135, 2N1135A, 2N1150...2N1153, 2N1199, 2N1200, 2N1247...2N1249, 2N1267...2N1272, 2N1386, 2N1389, 2N1417, 2N1418, 2N1420, 2N1420A, 2N1439...2N1443, 2N1469, 2N1491, 2N1492, 2N1588h, 2N1591, 2N1594, 2N1623, 2N1714, 2N1764, 2N1983, 2N1990, 2N1992, 2N2048, 2N2205, 2N2206, 2N2214, 2N2217, 2N2220...2N2222, 2N2222A, 2N2222B, 2N2256, 2N2257, 2N2272, 2N2314, 2N2315, 2N2318...2N2320, 2N2331, 2N2349, 2N2350, 2N2350A, 2N2351...2N2353A, 2N2368...2N2369A, 2N2377, 2N2378, 2N2391, 2N2392, 2N2395...2N2397, 2N2401, 2N2411, 2N2412, 2N2413, 2N2424, 2N2425, 2N2475, 2N2481, 2N2483, 2N2484, 2N2501, 2N2509...2N2511, 2N2529, 2N2530, 2N2531...2N2534, 2N2539, 2N2540, 2N2586, 2N2590, 2N2593, 2N2595...2N2597, 2N2601...2N2605, 2N2656, 2N2673...2N2678, 2N2692...2N2696, 2N2729, 2N2784, 2N2791...2N2792, 2N2831, 2N2837...2N2838, 2N2862, 2N2894, 2N2894A, 2N2906, 2N2906A, 2N2907, 2N2907A, 2N2909, 2N2920, 2N2922, 2N2924, 2N2938, 2N2944...2N2946, 2N2969, 2N2970, 2N2971, 2N3009, 2N3010...2N3014, 2N3035, 2N3058, 2N3077, 2N3078, 2N3109...2N3110, 2N3115...2N3117, 2N3121, 2N3131, 2N3235, 2N3136, 2N3210, 2N3227, 2N3242, 2N3242A, 2N3246...2N3247, 2N3249, 2N3261, 2N3292, 2N3300...2N3302, 2N3304, 2N3338, 2N3390, 2N3485, 2N3485A, 2N3486, 2N3486A, 2N3497, 2N3498, 2N3504, 2N3505, 2N3508...2N3511, 2N3544, 2N3545, 2N3565, 2N3566, 2N3606, 2N3640, 2N3641, 2N3646...2N3648, 2N3672, 2N3673, 2N3680, 2N3735, 2N3737, 2N3829, 2N3832, 2N3905, 2N3906, 2N3914, 2N3962, 2N3963, 2N3964, 2N3973...2N3976, 2N4013, 2N4033, 2N4034, 2N4058, 2N4059, 2N4123, 2N4125, 2N4126, 2N4207, 2N4275, 2N4400, 2N4401, 2N4409, 2N4418, 2N4420...2N4422, 2N4449, 2N4450...2N4452, 2N4872, 2N4962, 2N5081, 2N5082, 2N5107, 2N5129, 2N5134, 2N5136, 2N5137, 2N5140, 2N5143, 2N5186, 2N5187, 2N5210, 2N5292, 2N5368, 2N5369, 2N5370...2N5374, 2N5447...2N5451, 2N5763, 2S001, 2S002, 2S014, 2S102, 2S103, 2S324, 2S702, 2S703, 2SA246, 2SA480, 2SA493...2SA495, 2SA509, 2SM530, 2SA550, 2SA550A, 2SA564, 2SA565, 2SA578, 2SA604, 2SA719, 2SB303, 2SB382, 2SB383, 2SC17, 2S37, 2SC39A, 2SC55, 2SC56, 2SC80, 2SC98, 2SC99, 2SC122, 2SC127, 2SC155, 2SC156, 2SC171, 2SC172, 2SC174, 2SC182...2SC185, 2SC206, 2SC266, 2SC268A, 2SC269, 2SC281, 2SC316, 2SC318, 2SC340, 2SC360, 2SC368, 2SC369, 2SC375, 2SC379, 2SC395, 2SC401, 2SC401A, 2SC402...2SC404, 2SC404A, 2SC468, 2SC469, 2SC475, 2SC540, 2SC538, 2SC538A, 2SC577, 2SC601, 2SC633, 2SC633A, 2SC645, 2SC689, 2SC733, 2SC735, 2SC764, 2SC907, 2SC934, 2SC957, 2SC1071, 2SC1123, 2SC1126, 2SC1128, 3N34, 3N35, 3N35A, 3N87, 3N88, 26T2, 90T2, 92T6, 93T6, 98T2, 139A, 474, 475, 40231, 40232, 40233, 40234, 40235.

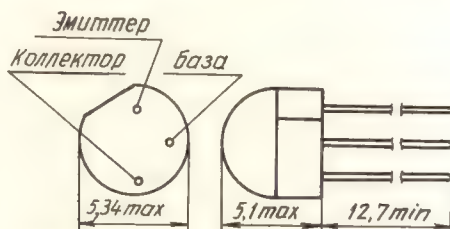


Рис. 5. Тип корпуса TO-106 имеют транзисторы:

A1380, BC107, BC107A, BC107B, BC108, BC108A, BC108B, BC108C, BC109, BC109B, BC109C, BC147, BC147A, BC147B, BC148, BC148A, BC148B, BC148C, BC149, BC149B, BC149C, BC157, BC157A, BC158, BC158A, BC158B, BC159, BC159A, BC159B, BC177, BC177A, BC178, BC178A, BC178B, BC179, BC179A,

BC202, BC203, BC204, BC204B, BC205, BC205A, BC205B, BC206, BC206A, BC206B, BC207, BC207A, BC207B, BC208, BC208A, BC208B, BC208C, BC209, BC209B, BC209C, BC220, BC237, BC237A, BC237B, BC238, BC238A, BC238B, BC238C, BC239, BC239B, BC239C, BC308, BC308A, BC308B, BC309, BC309A, BC309B, BC437, BC437A, BC437B, BC438, BC438B, BC438C, BC439, BC439B, BC439C, BC467, BC467A, BC467B, BC468, BC468A, BC468B, BC468C, BC469, BC469C, BC469B, BC547, BC547A, BC547B, BC548, BC548A, BC548B, BC548C, BC549, BC549B, BC549C, BC557, BC557A, BC558, BC558A, BC558B, BC559, BC559B, TJ00105, TJA00112, 2N903, 2N904...2N906, 2N929, 2N930, 2N1247...2N1249, 2SC401, 2SC401A, 2SC402, 2SC403, 2SC403A, 2SC404, 2SC404A, 2SC620, ED1401, ED1401A, ED1401B, ED1401C, ED1402, ED1402B, ED1402C.

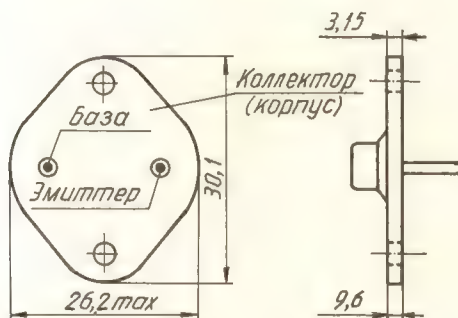


Рис. 6. Тип корпуса ТО-3(1) имеют транзисторы:

A705, BD112, BD113, BDY24, BDY26...BDY28, BDY44, BDY47, BDY50, BDY51, BDY53, BDY60...BDY62, BDY47, BLY47...BLY50, BLY50A, BU100, BU100A, BU102, BU104...BU111, BU113...BU115, BU120, BU126, BU129, BU131...BU133, BU204...BU212, BU326, BUX24...BUX27, BUX41...BUX45, BUX80, BUX82, BUY12...BUY14, BUY16, BUY17, BUY23...24, BUY55, BUY56, BUY69, BUY69A, BUY69C...BUY72, BUY74...BUY79, ESM2623A, ESM2666, ESM2667, IR402, IR410, IR411, IR423...IR425, SDT410, SDT411, SDT413, SDT243, SDT431, SDT4901, SDT4902...SDT4905, SE9020, 2N3878, 2N3979, 2N3902, 2N4231, 2N4231A, 2N4240, 2N4395, 2N4396, 2N6500, 2N6542, 2N6543, 2N6544, 2N6546, 2N6547, 2SC270, 2SD83, 2SD88, 2SD90, 2SD93, 2SD102, 2SD189, 2SD198, 2SD199, 2SD338, 2SD350, 2SD458.

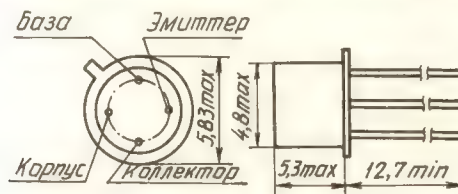


Рис. 7. Тип корпуса ТО-92(2) имеют транзисторы:

BC549	BC113A	BC125	BC130C	BC135A
BC108A	BC114	BC126	BC131	BC136
BC108	BC114A	BC129	BC131B	BC137
BC107	BC115	BC129A	BC131C	BC147
BC108C	BC116	BC129B	BC132	BC147A
BC109	BC116A	BC130	BC132A	BC147B
BC109C	BC118	BC130A	BC134	BC148
BC113	BC119	BC130B	BC135	BC148A

BC148B	BC212	BC244	BC275VI	BC330
BC148C	BC212A	BC245	BC275A	BC330B
BC149	BC212B	BC246	BC275B	BC330C
BC149B	BC212K	BC247	BC275C	BC331A
BC149C	BC212L	BC248	BC276	BC331B
BC150	BC213	BC249	BC276A	BC331C
BC151	BC213A	BC250	BC276B	BC332A
BC152	BC213B	BC250A	BC276C	BC332B
BC153	BC213C	BC250B	BC277	BC332C
BC154	BC213K	BC250C	BC277A	BC333
BC157	BC213KA	BC251A	BC277B	BC334
BC157A	BC213KB	BC251B	BC278	BC335
BC158	BC213KC	BC251C	BC278A	BC336
BC158A	BC213L	BC252A	BC278B	BC340-6
BC158B	BC213LA	BC252B	BC278C	BC340-10
BC159	BC213K	BC252C	BC279	BC340-16
BC159A	BC213L	BC253A	BC279A	BC341-6
BC159B	BC214	BC253B	BC279B	BC341-10
BC167	BC214A	BC253C	BC279C	BC347
BC167A	BC214B	BC254-257	BC281	BC347A
BC167B	BC214C	BC257A	BC281A	BC347B
BC168	BC214K	BC257B	BC281B	BC347L
BC168A	BC214KA	BC258	BC281C	BC348
BC168B	BC214L	BC258A	BC282	BC348A
BC168C	BC214LA	BC258B	BC283	BC348B
BC169	BC215	BC258C	BC307	BC348L
BC169B	BC215A	BC259	BC307VI	BC349
BC169C	BC215B	BC259A	BC307A	BC349A
BC170	BC216	BC259B	BC308	BC349B
BC170A	BC216A	BC259C	BC308VI	BC349L
BC170B	BC221	BC267	BC308A	BC350
BC170C	BC222	BC267A	BC308B	BC350A
BC171	BC223	BC267B	BC309	BC350B
BC171A	BC223A	BC268	BC309A	BC350L
BC171B	BC223B	BC268A	BC309B	BC351
BC172	BC224	BC268B	BC315	BC351A
BC172A	BC225	BC268C	BC317	BC351B
BC172B	BC226	BC269	BC317A	BC351L
BC172C	BC226A	BC269B	BC317B	BC352
BC173	BC231	BC269C	BC318	BC352A
BC173B	BC231A	BC270	BC318A	BC352B
BC173C	BC231B	BC270-5	BC318C	BC352L
BC177	BC232	BC270-6	BC318C	BC354
BC177A	BC232A	BC270A	BC319	BC355
BC178	BC232B	BC270B	BC319A	BC355A
BC178A	BC237	BC270C	BC319B	BC355B
BC178B	BC237A	BC271	BC319C	BC355C
BC179	BC237B	BC272	BC320A	BC357
BC179A	BC238	BC273	BC320B	BC358
BC199B	BC238A	BC273A	BC321	BC370
BC199C	BC238B	BC273B	BC321A	BC370-6
BC201	BC238C	BC273D	BC321B	BC370-7
BC204V	BC239	BC274	BC321C	BC370A
BC204VI	BC239B	BC274V	BC322	BC370B
BC205V	BC239C	BC274VI	BC322B	BC377
BC205VI	BC240	BC274A	BC325	BC377-6
BC206V	BC241	BC274B	BC326	BC377-7
BC206VI	BC242	BC275	BC329B	BC377-8
BC207C	BC243	BC275V	BC329C	BC378

BC378-6	BC439	BCW15	BCW92	BCY79-9
BC378-7	BC439B	BCW15K	BCW92A	BCY79A
BC378-8	BC439C	BCW15M	BCW92B	BCY79AP
BC381	BC467	BCW15L	BCW92K	BCY79B
BC382	BC467A	BCW16	BCW92KA	BCY79BP
BC382B	BC467B	BCW16K	BCW92KB	BCY79C
BC382C	BC468	BCW16L	BCW93	BCY79CP
BC383	BC468A	BCW16M	BCW93A	BCY94B
BC383B	BC468B	BCW17	BCW93B	BCY95B
BC383C	BC468C	BCW17K	BCW93K	BCY96B
BC384	BC469	BCW17L	BCW93KA	BCY97B
BC384B	BC469B	BCW17M	BCW93KB	BSW52
BC384C	BC469C	BCW18	BCW94	BSW53
BC385	BC507	BCW18K	BCW94A	BSW54
BC385A	BC508	BCW18L	BCW94B	BSW61
BC386	BC509	BCW18M	BCW94C	BSW62
BC386A	BC510	BCW19	BCW94K	BSW63
BC386B	BC512	BCW19K	BCW94KA	BSW69
BC387	BC512A	BCW19L	BCW94KB	BSW92
BC388	BC512B	BCW19M	BCW94KC	BSX21
BC389	BC513	BCW20	BCW95	BSX32
BC390	BC513A	BCW20K	BCW95A	BSX51
BC391	BC513B	BCW20L	BCW95B	BSX51B
BC407	BC514	BCW20M	BCW95K	BSX51A
BC407A	BC514B	BCW21	BCW95KA	BSX51B
BC407B	BC514C	BCW21K	BCW95KB	BSX52
BC408	BC546	BCW21L	BCW96	BSX52A
BC408A	BC546A	BCW21M	BCW96A	BSX52B
BC408B	BC546B	BCW22	BCW96B	BCX52B
BC408C	BC582	BCW22K	BCW96K	BCX72
BC409	BC582A	BCW22L	BCW96KA	BCX97
BC409B	BC582B	BCW22M	BCW96KB	BSY59
BC409C	BC583	BCW23	BCW97	BSY61
BC410	BC583A	BCW23K	BCW97A	BSY89
BC413	BC583B	BCW23L	BCW97B	BSY90
BC413B	BC583C	BCW23M	BCW97K	BSY91
BC413C	BC584	BCW38	BCW97KA	ED1402
BC414	BC584B	BCW39	BCW97KB	ED1402B
BC414B	BC584C	BCW46	BCY58AP	ED1402C
BC414C	BCW10	BCW47	BCY58BP	ED1602
BC415	BCW10K	BCW48	BCY58CP	EN3903
BC415A	BCW10L	BCW49	BCY58DP	EN3904
BC416	BCW10M	BCW57	BCY59AP	EN4123
BC416A	BCW11	BCW58	BCY59BP	EN4124
BC417	BCW11K	BCW59	BCY59CP	EN4125
BC417A	BCW11L	BCW90	BCY59DP	FW5262
BC418	BCW11M	BCW90A	BCY65EP	FW5283
BC418A	BCW12	BCW90B	BCY69	FW5373
BC418B	BCW12K	BCW90C	BCY77AP	FW5376
BC419A	BCW12L	BCW90K	BCY77BP	FW5437
BC419B	BCW12M	BCW90KA	BCY77CP	GET3301
BC427	BCW13	BCW90KB	BCY78	GET3302
BC437	BCW13K	BCW90KC	BCY78AP	GET3402
BC437A	BCW13L	BCW91	BCY78BP	GET3403
BC437B	BCW13M	BCW91A	BCY78CP	GET3404
BC438	BCW14	BCW91B	BCY78DP	GET3405
BC438A	BCW14K	BCW91K	BCY79	GET3414
BC438B	BCW14L	BCW91KA	BCY79-7	GET3415
BC438C	BCW14M	BCW91KB	BCY79-8	GET3416

GET3417	MPSH85	2N1594	2N4425	2S2454
GET3566	PBC138	2N2711...2714	2N4951	2SC460
GET3568	PBC183	2N2921	2N4952	2SC461
GET3569	SE4001	2N2922	2N4953	2SC536
GET3644	SE4002	2N2923	2N4954	2SC537
GET3691	SE4010	2N2924...2926	2N4962	2SC538
GET3692	SF115	2N2946	2N5081	2SC538A
GET3693	SF123	2N3287...3291	2N5082	2SC539
GET3694	SK3004	2N3291A	2N5086	2SC587
GET4124	SK3019	2N3293	2N5087...5089	2SC631
GET4228	SSI361	2N3294	2N5139	2SC632
GET4229	SSI376	2N3300	2N5172	2SC634
GET4264	ST1026	2N3301	2N5209	2SC641
GET4402	ST1050	2N3302	2N5210	2SC644
GET4403	ST1051	2N3391	2N5219	2SC648
GET5086	TIS62	2N3391A	2N5223	2SC693
GET5088	TJ00105	2N3392...3398	2N5225...5227	2SC711
GET5139	TJ00111	2N3402...3405	2N5354...5367	2SC712
GET5172	TJ00112	2N3414...3417	2N5447	2SC715
GET5209	TJA00112	2N3566	2N5448	2SC773
GET5210	ZTX109	2N3568	2SA539	2SC814
GET5219	ZTX213	2N3569	2SA561	2SC815
GET5223	ZTX330	2N3607	2SA562	2SC828
GET5225	ZTX331	2N3642...3644	2SA565	2SC828A
GET5226	ZTX337	2N3691...3694	2SA603	2SC838
GET5227	ZTX342	2N3702...3711	2SA604	2SC858
GET5354	ZTX382	2N3854...3856	2SA666	2SC870
GET5355	ZTX382B	2N3860	2SA666A	2SC871
GET5356	ZTX382C	2N3903	2SA673	2SC894
GET5365	ZTX383	2N3904	2SA677	2SC899
GET5366	ZTX388B	2N3964	2SA678	2SC900
GET5367	ZTX383C	2N3965	2SA683	2SC984
HEP734	ZTX384	2N3973	2SA704	2SC1000
HEP738	ZTX384B	2N3974	2SA705	2SC1071
IP40521	ZTX384C	2N3975	2SA719	2SC1204
MEO402	ZTX500	2N3976	2SA730	2SC1210
MEO411	2N117	2N4058	2SC362	2SC1213
MEO412	2N118	2N4059	2SC366	2SC1214
ME8001	2N118A	2N4060	2SC367	2SC1317
MPS292	2N119	2N4061	2SC370	2SC1318
MPS370	2N120	2N4062	2SC371	2SC1327
MPS404	2N163	2N4121	2SC371G	2SC1328
MPS404A	2N163A	2N4123	2SC372	2SC1335
MPS653	2N867	2N4124	2SC372G	2SC1344
MPS2926	2N903	2N42448...4250	2SC373	2SC1346
MPS3646	2N904	2N4264	2SC378G	2SC1347
MPS6512	2N905	2N4265	2SC374	A01
MPS6513	2N906	2N4284	2SC377	A415
MPS6514	2N1131	2N4285	2SC380	A467
MPS6517	2N1131A	2N4286	2SC394	A473
MPS6518	2N1132	2N4288	2SC398	AC164
MPS6519...6523	2N1132A	2N4289	2SC399	AF44
MPS6530...6535	2N1132B	2N4290	2SC401	AF101
MPS6560...6563	2N1247	2N4292	2SC401A	AF105
MPS6580	2N1248	2N4401	2SC402	AF105A
MPS6599	2N1249	2N4402	2SC403	AF110
MPSA05	2N1417	2N4403	2SC403A	AF111
MPSA70	2N1418	2N4411	2SC404	AF112
MPSH81	2N1591	2N4424	2SC404A	AF113

AF114				
AF114N				
AF115	AF119	AF126	AF133	AF138
AF115N	AF120	AF127	AF134	AF200
AF116	AF121	AF129	AF135	AF200V
AF116N	AF121S	AF130	AF136	AF201
AF117	AF124	AF131	AF137	AF201S
AF117N	AF125	AF132	AF137S	AF202

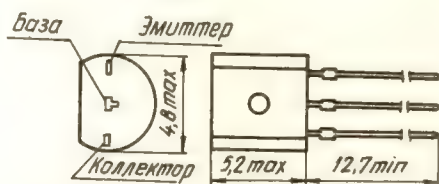


Рис. 8. Тип корпуса ТО-72(2) имеют транзисторы:

AF202S	2N1744	35T1	CV8316	HY23D
AFY13	2N2083	36T1	CV8343	HY37
AFY15	2N2089	37T1	CV8344	HY55
2FY29	2N2090	44A	CV8354	HY56
AM11	2N2091	45A	DR126	HY57
AM12	2N2092	99BA6	DS34	HY60
AM13	2N2093	99BE6	FW5264	HY70
AM14	2N2189	121-44	FW5274	HY71
AM15	2N2190	121-45	FW5275	HY72
AM16	2N2610	150A	FW5276	HY73
BF158	2N2654	153T1	GET873	HY74
BF159	2N2672A	154T1	GET874	HY75
BF165	2N2715	155T1	GET883	IF1
BF168	2N2716	156T1	GET884	XA131
BF169	2N3493	157T1	GET42A	XA141
BF175	2N4433	159T1	GET42B	XA142
BF176	2N4434	222	GET43	XA143
BF188	2N4435	225	GET43A	Y482
BF189	2N6209	228	GET43B	Y483
BF194	2N6210	234	GET43C	Y485
BF195	3N71	254T1	GET44	ZS30
BF196	3N72	255T1	GET44/15	ZS35
BF197	2N73	256T1	GR11	ZS36
BF198	4D24	CS9011H	GT12	ZS43
BF199	4D25	CS9013E	GT13	0124
BF214	4D26	CS9013H	GT20H	012H01
BF215	6MC	CS9016D	CT161	0T2H01
BF222	8D	SC9016E	GT759	2G114
BF224	8E	CS9017D	GT760	2G116
BF225	8F	CS9017E	GT760R	2G117
BF227	20MC	CS9021D	GT761	2G138
CK759	25T1	CS9021E	GT762	2G139
CK760	26T1	CTD1390	GT762R	2G140
2N1636	31T1	CTP1400	HA8	2G301
2N1637	32T1	CTP1410	HA9	2G302
2N1638	33T1	CV5105	HA10	2G303
2N1639	34-6000-3	CV5710	HF1	2G304
2N1673	34-6000-18	CV5874	HF2	2G344
2N1727	34-6000-19	CV7089	HY22D	2G345A
2N1742	34T1	CV8315	HY23	2G345B

2G371	2N484	2N1631	AF197	T2400
2G371A	2N485	2N1632	AF198	TIS84
2G371B	2N486	2N1633	AF200	TY364
2G371C	2N499	2N1634	AF200U	TY365
2G401	2N503	2N1635	AF201S	TY385
2G402	2N504	2SC160	AF201	TY386
2G414	2N544	2SC186	AF202	TY387
2G415	2N614	2SC187	AF202S	TY388
2G416	2N615	2SC196	AFY13	TY389
2G417	2N616	2SC271	AFY15	TY397
2N25/510	2N623	2SC286	AFY29	XY398
2N41	2N624	2SC288	AM11	TY399
2N88	2N640	2SC338	AM12	TR761
2N89	2N641	2SC429	AM13	TR802
2N90	2N642	2SC464	AM14	TRC44
2N93	2N729	2SC465	AM15	TRC45
2N116	2N799	2SC477	AM16	TRC360
2N123	2N960	2SC562	BF158	TS3
2N123/5	2N961	2SC731	BF159	TS7
2N123A	2N962	2SC732	BF168	TS8
2N128	2N990	2SC800	BF169	TS620
2N129	2N991	2T201	BF175	TS621
2N135	2N992	2T203	BF176	XA101
2N136	2N993	2T204	BF188	XA102
2N137	2N1065	2T204A	BF189	XA111
2N139	2N1093	2T205	BF191	XA112
2N140	2N1107	2T205A	BF194	XA125
2N218	2N1108	2T2001	BF195	2SA152
2N219	2N1109	3MC	BF196	2SA153
2N231	2N1110	3N25	BF197	2SA154
2N232	2N1111	AF136	BF198	2SA155
2N247	2N1122	AF137	BF199	2SA156
2N248	2N1122A	AF137S	BF214	2SA157
2N252	2N1149	AF138	CK759	2SA158
2N274	2N1224	AF142	CK760	2SA159
2N300	2N1225	AF143	CK761	2SA160
2N308	2N1226	AF144	CK762	2SA167
2N309	2N1264	AF146	CK766	2SA168
2N310	2N1266	AF147	CK766A	2SA168A
2N344	2N1276	AF148	CK896A	2SA175
2N345	2N1278	AF149	CK897A	2SA176
2N370	2N1400	AF150	CK898A	2SA178
2N371	2N1401A	AF156	ST28	2SA180
2N372	2N1402	AF164	ST370	2SA181
2N373	2N1404	AF165	ST171	2SA182
2N374	2N1411	AF166	ST172	2SA183
2N384	2N1425	AF167	T1360	2SA184
2N409	2N1426	AF168	T1361	2SA188
2N410	2N1427	AF169	T1375	2SA189
2N411	2N1515	AF170	T1390	2SA190
2N412	2N1516	AF171	T1675	2SA191
2N413	2N1517	AF172	T1690	2SA192
2N413A	2N1524	AF179	T1691	2SA193
2N415	2N1526	AF185	T1692	2SA194
2N415A	2N1527	AF188	T1727	2SA195
2N435	2N1586	AF189	T1737	2SA196
2N481	2N1587	AF193	T1814	2SA197
2N482	2N1589	AF195	T2384	2SA198
2N483	2N1590	AF196	T2399	2SA199

2SA200	2SA313	2NY8A	2SA36	2SA122
2SA201	2SA314	2NY50	2SA37	2SA123
2SA202	2SA315	2NY51	2SA38	2SA124
2SA203	2SA316	2S4	2SA39	2SA125
2SA204	2SA322	2S13	2SA40	2SA130
2SA206	2SA323	2S25	2SA41	2SA131
2SA208	2SA324	2S30	2SA42	2SA132
2SA209	2SA340	2S31	2SA43	2SA133
2SA210	2SA341	2S35	2SA44	2SA136
2SA219	2SA342	2S36	2SA45	2SA137
2SA220	2SA350	2S41	2SA48	2SA138
2SA221	2SA351	2S43	2SA49	2SA139
2SA222	2SA352	2S45	2SA51	2SA141
2SA223	2SA353	2S49	2SA52	2SA142
2SA224	2SA354	2S52	2SA53	2SA143
2SA226	2SA357	2S53	2SA57	2SA144
2SA227	2SA358	2S60	2SA58	2SA145
2SA233	2SA360	2S62	2SA59	2SA146
2SA234	2SA364	2S63	2SA60	2SA147
2SA235	2SA365	2S92	2SA61	2SA148
2SA236	2SA367	2S92A	2SA69	2SA149
2SA237	2SA368	2S93	2SA70	2SA151
2SA250	2SA369	2S109	2SA71	SE5024
2SA251	2SA372	2S110	2SA72	SE5025
2SA252	2SA380	2S112	2SA73	SF166
2SA253	2SA381	2S140	2SA74	SF167
2SA254	2SA382	2S141	2SA75	SF173
2SA255	2SA383	2S142	2SA76	SF196
2SA256	2SA384	2S143	2SA77	SF197
2SA257	2SA400	2S144	2SA80	SFT105
2SA258	2SA427	2S145	2SA81	SFT106
2SA259	2SA433	2S146	2SA82	SFT107
2SA266	2SA457	2S148	2SA83	SFT108
2SA267	2SA468	2S149	2SA84	SFT115
2SA268	2SA469	2S155	2SA85	SFT116
2SA269	2SA470	2S160	2SA86	SFT117
2SA270	2SA471	2S178	2SA89	SFT118
2SA271	2SA472	2S179	2SA90	SFT119
2SA272	2SA474	2S333	2SA92	SFT315
2SA273	2SA477	2SA12	2SA93	SFT316
2SA274	2SB182	2SA13	2SA94	SFT317
2SA275	2SB302	2SA14	2SA101	SFT319
2SA277	2SB303	2SA15	2SA102	SFT320
2SA278	2SB335	2SA16	2SA103	SFT354
2SA279	2SC40	2SA17	2SA104	SFT357
2SA285	2SC53	2SA18	2SA105	SFT358
2SA286	2SC71	2SA19	2SA106	SK3005
2SA287	2SC72	2SA20	2SA108	SK3008
2SA291	2SC73	2SA21	2SA109	ST28
2SA293	2SC75	2SA22	2SA110	ST370
2SA295	2SC76	2SA23	2SA111	ST171
2SA296	2SC77	2SA24	1SA112	ST172
2SA297	2SC121	2SA25	2SA113	T1360
2SA298	2SC124	2SA27	2SA114	T1361
2SA299	2N411	2SA28	2SA115	T1375
2SA300	2N412	2SA29	2SA116	T1390
2SA301	2N415	2SA30	2SA117	T1675
2SA302	2N415A	2SA31	2SA118	T1690
2SA307	2NY5A	2SA35	2SA121	T1691

T1692	2G345B	CTP1390	HJ75	RRJZ20
T1727	2G371	CTP1400	IF1	RRJZ34
T1737	2G371A	CTP1410	IF2	RRJZ38
T1814	2G371B	CV5105	IF3	SE2001
T2384	2G371C	CV5710	KFT357F	SE3001
T2399	2G401	CV5874	KFT357P	SE5001
T2400	2G402	CV7003	M10H	SE5002
TIS84	2G414	CV8315	MMR6-2	SE5003
TJ364	2G415	CV8316	MMR6-3	SE5020
TJ365	2G416	CV8343	MPS6569	SE5021
TJ385	2G417	CV8344	MPS9600	SE5022
TJ386	2N25/501	CV8354	MPS9601	SE5023
TJ387	2N41	OR126	MPS9602	IF2
TJ388	2N88	FW5264	MPS9603	IF3
TJ389	2N89	FW5274	NKT32	MMR6-2
TJ397	2N90	FW5275	NKT33	MMR6-3
TJ398	2N93	FW5276	NKT42	MPS6569
TJ399	2N116	GET873	NKT43	MPS9600
TJ400	2N123	GET874	NKT152	MPS9601
TR761	2N123/5	GET883	NKT603	MPS9602
TR802	2N123A	GET884	NKT613	MPS9603
TRC44	2N137	GET42A	NKT674	NKT33
TRC45	2N139	GET42B	NKT675	NKT42
TS3	2N140	GET43	NKT677	NKT43
TS7	2N218	GET43A	OC57	NKT133
TS8	2N219	GET43B	OC58	NKT152
TS620	2N231	GET43C	OC59	NKT603
TS621	2N232	GET44	OC60	NKT613
XA101	2N267	GET44/15	OC169	NKT674
XA102	2N274	GET45	OC170	NKT675
XA111	2N300	GT11	OC171	NKT677
XA112	2N308	GT12	OC320	OC5
XA125	2N309	GT13	OC330	OC44
XA131	2N310	GT14H	OC331	OC45
XA141	2N344	GT20H	OC340	OC57
XA142	2N345	GT759	OC341	OC58
XA143	2N370	GT760	OC342	OC59
Y482	2N371	GT760R	OC343	OC60
Y483	2N372	GT761	OC350	OC169
Y485	2N373	GT762	OC351	OC170
ZS30	2N374	GT762R	OC360	OC171
ZS35	2N384	HA8	OC361	OC320
ZS36	2N409	HA9	OC362	OC330
ZS43	2N410	HA10	OC363	OC331
O12H	CK761	HF1	OC364	OC340
O12H01	CK762	HF2	OC390	OC341
OT2H01	CK766	HJ22D	OC6015	OC342
2G114	CK766A	HJ23	OX4001	OC343
2G116	CK896A	HJ23D	PADT23	OC350
2G117	CK897A	HJ37	PADT24	OC351
2G138	CK898A	HJ55	PADT25	OC360
2G139	CS9011E	HJ56	PADT31	OC361
2G140	CS9013H	HF57	RR14	OC362
2G301	CS90160	HJ60	RR20	OC363
2G302	CS9016E	HJ70	RR34	OC364
2G303	CS9017D	HJ71	RR160	OC390
2G304	CS9017E	HJ72	RR161	OC610
2G344	CS90210	HJ73	RR162	OC612
2G345A	CS9021E	HJ74	RRJZ14	OC613

OC614	PADT25	RRYZ20	SFT108	SFT317
OC615	PADT31	RRYZ34	SFT115	SFT319
OC622	RR14	RRYZ38	SFT116	SFT320
OC623	RR20	SB100	SFT117	SFT354
OC624	RR34	SE2001	SFT118	SFT357
OC6015	RR160	SE3001	SFT119	SFT358
OX4001	RR161	SE5001	SFT120	SK3005
PADT23	RR162	SE5002	SFT315	SK3008
PADT24	RRYZ14	SE5003	SFT316	

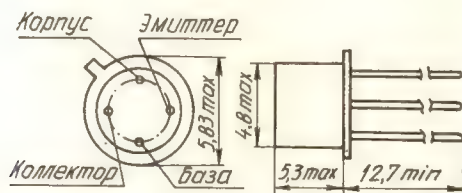


Рис. 9. Тип корпуса TO-72(1) имеют транзисторы:

A430	AFZ11	SFT172	2N1066	2N3662
A480	AFZ12	SFT173	2N1141	2N3663
A483	AM18	SFT174	2N1142	2N3783
A484	ASZ20	SFT187	2N1143	2N3784
A485	DS34	SFT357P	2N1177	2N3785
A705	DS41	SK3006	2N1178	2N3933
A1243	EN918	SK3007	2N1179	2N4252
AF102	ESM2282	T1694	2N1180	2N4253
AF106	FMT1061	T1695	2N1195	2N4934
AF106A	EMT1061A	T1696	2N1385	2N4935
AF107	FW4296	T2369	2N1397	2N4936
AF108	FW4297	T2602	2N1398	2N5024
AF109	FW4298	T1363	2N1399	2N5032
AF109R	FW4640	TIXM01	2N1406	2N5053
AF122	GF507	TIXM02	2N1407	2N5054
AF139	GFT41	TIXM03	2N1525	2N5072
AF178	GM290	TIXM04	2N2180	2N5170
AF180	IW9570	TIXM05	2N2415	2N5180
AF181	MM1941	TIXM06	2N2494	2N6304
AF182	MM8006	TIXM07	2N2495	2N6305
AF186	MM8007	TIXM08	2N2496	2SA116
AF186G	MPS918	TIXM10	2N2615	2SA117
AF186W	MPS6568	TIXM11	2N2616	2SA118
AF239	NKT143	TIXM18	2N2671	2SA134
AF239S	NKT144	TIXM19	2N2857	2SA135
AF253	NKT676	TM0045	2N2865	2SA161
AF256	PADT28	XA-161	2N3074	2SA213
AF257	PADT30	ST2708	2N3075	2SA214
AF264	PN918	ZTX320	2N3279	2SA215
AFY12	RT3101	2G101	2N3280	2SA216
AFY37	RT3102	2G102	2N3281	2SA218
AFY39	S3571	2N346	2N3282	2SA229
AFY40	SE5052	2N501	2N3399	2SA230
AFY41	SE5055	2N501A	2N3478	2SA238
AFY42	SF180	2N502	2N3570	2SA239
AFY45	SF181	2N502A	2N3571	2SA240
AFY46	SFT163	2N917	2N3572	2SA241
AFY47	SFT171	2N917A	2N3588	2SA242

2SA243	2SA361	2SA454	2SC430	2SC707
2SA260	2SA377	2SA455	2SC463	2SC717
2SA288	2SA403	2SA456	2SC535	2SC761
2SA289	2SA422	2SA506	2SC567	2SC762
2SA290	2SA428	2SC272	2SC568	2SC804
2SA343	2SA432	2SC287	2SC611	2SC947
2SA345	2SA434	2SC289	2SC612	2SC948
2SA346	2SA435	2SC313	2SC629	102A
2SA347	2SA447	2SC388	2SC653	160T1
2SA348	2SA448	2SC389	2SC683	161T1
2SA349	2SA453	2SC429	2SC684	162T1

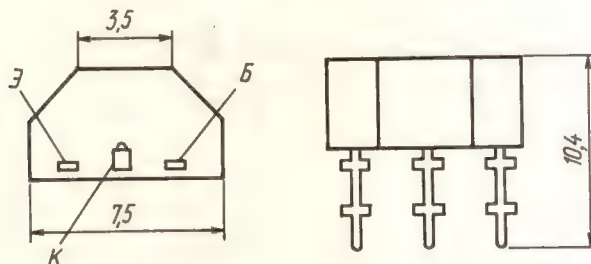


Рис. 10. Тип корпуса SOT-25(2) имеют транзисторы:

AC125	BC238	BC309	BC417	BC548B
AC126	BC238A	BC309A	BC417A	BC548C
BC107B	BC238B	BC309B	BC418	BC549C
BC108	BC238C	BC407	BC418A	BC557
BC108A	BC239	BC407A	BC418B	BC558
BC108B	BC239B	BC407B	BC419	BC558A
BC108C	BC239C	BC408	BC419A	BC558B
BC109	BC307	BC408A	BC419B	BC559
BC109B	BC307A	BC408B	BC547	BC559A
BC109C	BC308	BC408C	BC547A	BC559B
BC237	BC308A	BC409	BC547B	SF115
BC237A	BC308B	BC409B	BC548	2N2726
BC237B	BC309	BC409C	BC548A	

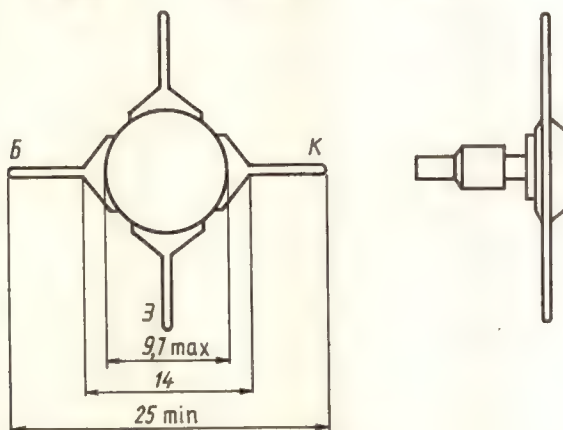


Рис. 11. Тип корпуса SOT-48/3 имеют транзисторы:

A209	BLX97	SD1102	2N5773	2N5923
BLX68	BLY37	SD1103	2N5774	2N5924
BLX67	BLY38	SD1116	2N5914	2N6080
BLX91	BLY76	2N5635	2N5915	2N6135
BLX91A	MM1549	2N5636	2N5916	2N6202
BLX92	MM1550	2N5644	2N5917	2N6203
BLX93	MSC80091	2N5645	2N5918	
BLX96	SD1005	2N5699	2N5922	

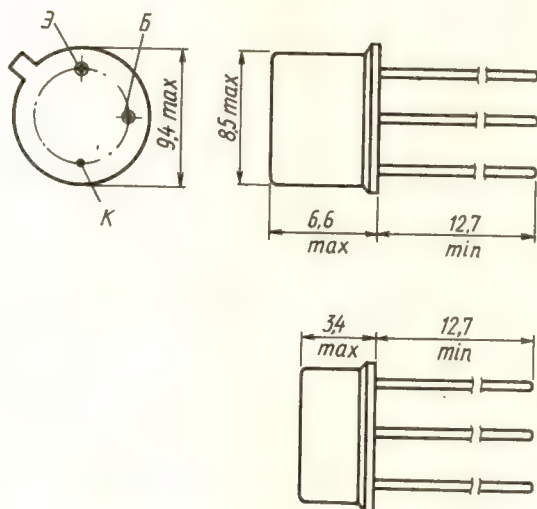


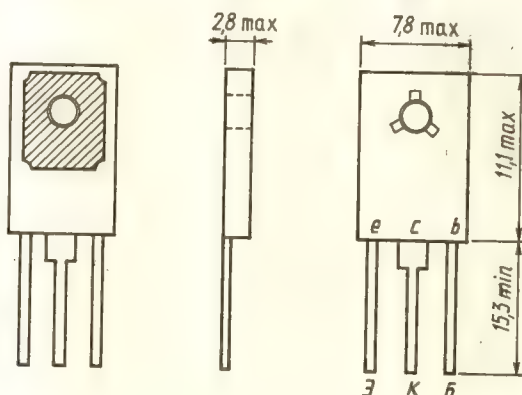
Рис. 12. Тип корпуса TO-39(2) имеют транзисторы:

AA1	ACY30	ASY56	BCY22	CK65
AA2	ACY32	ASY57	BCY23	CV7344
AC30	ACY41	ASY58	BCY24	CV7345
AC122/30	ACY44	ASY59	BCY25	CV7346
AC129	AFY14	ASY60	BCY26	CV7348
AC130	AFZ10	ASY61	BCY27	CV7349
AC152V	ASY12	ASY62	BCY28	CV7350
AC182	ASY13	ASY63	BCY29	CV7351
AC530	ASY14	ASY64	BCY30	CV7352
AC540	ASY15	ASY66	BCY31	CV7353
AC541	ASY16	ASY70	BCY32	CV7354
AC542	ASY17	ASY73	BCY33	CV7355
AC550	ASY18	ASY74	BCY34	CV7746
AC551	ASY19	ASY75	BCY38	CV7747
AC552	ASY23	ASY81	BCY39	CV8346
AC553	ASY24	ASZ10	BCY40	CV8760
AC554	ASY24B	ASZ11	BCY54	CV8841
AC555	ASY26	ASZ12	BCY90	CV8842
ACY17	ASY27	ASZ20	BCY91	GA004
ACY18	ASY28	ASZ30	BCY92	GC120
ACY19	ASY29	AT270	BCZ10	GC122
ACY20	ASY30	AT271	BCZ11	GC508
ACY21	ASY31	AT275	BCZ12	GC509
ACY22	ASY32	BCY17	BCZ13	GC519
ACY24	ASY48	BCY18	BCZ14	GE1
ACY27	ASY50	BCY19	CK13	GE5
ACY28	ASY54	BCY20	CK14	GE7
ACY29	ASY55	BCY21	CK17	GET2

GET110	OC77	SFT307	2N145-7	2N327A
GET115	OC122	SFT308	2N146	2N328
GET120	OC139	SFT507	2N147	2N328A
GET535	OC140	SFT508	2N148	2N329
GET536	OC141	T1903	2N148A	2N329A
GET538	OC202	TA1763	2N149	2N330
GET880	OC203	TF65/60M	2N149A	2N330A
GET881	OC204	TF66/60	2N150	2N356
GET885	OC205	TF70	2N150A	2N357
GET889	OC206	TF71	2N164	2N358
GET890	OC307	TF72	2N164A	2N377
GET891	OC307-1	TK23A	2N165	2N377A
GET892	OC307-2	TK40C	2N166	2N385
GET895	OC307-3	TK45C	2N167	2N385A
GET896	OC308	TR722	2N167A	2N388
GET897	OC400	TRC76	2N168	2N388A
GT41	OC410	TRC77	2N168A	2N394
GT42	OC430	XA151	2N169	2N394A
GT43	OC440	XA152	2N169A	2N395
GT45	OC443	XA162	2N170	2N396
GT70	OC445	XA701	2N172	2N396A
GT88	OC449	XA702	2N182	2N397
HA7531	OC450	XA703	2N183	2N404
HEP2	OC463	XB121	2N184	2N413
HEP253	OC465	2SY30	2N193	2N414A
NKT122	OC466	2SY31	2N194	2N414
NKT123	OC467	2SY32	2N194A	2N416
NKT124	OC468	2SY33	2N211	2N417
NKT126	OC468K	2SY34	2N212	2N425
NKT127	OC469	2SY38	2N216	2N426
NKT129	OC470K	2SY39	2N228	2N427
NKT141	RT2460	2G526	2N229	2N428
NKT142	SFT126	2G527	2N233	2N440
NKT152	SFT127	2G577	2N233A	2N443
NKT217	SFT128	2G1024	2N253	2N495
NKT219	SFT142	2G1025	2N254	2N496
NKT223	SFT143	2G1026	2N258	2N515
NKT224	SFT144		2N259	2N516
NKT225	SFT206	2N27	2N260	2N517
NKT229	SFT207	2N28	2N260A	2N519
NKT243	SFT208	2N29	2N262	2N520
NKT247	SFT221	2N35	2N262A	2N551
NKT265	SFT222	2N43A	2N269	2N554
NKT270	SFT223	2N78	2N271	2N554A
NKT272	SFT226	2N94	2N271A	2N555
NKT274	SFT227	2N94A	2N384	2N555A
NKT275	SFT228	2N98	2N384A	2N556
NKT302	SFT229	2N98A	2N292	2N556A
NKT304	SFT234	2N100	2N293	2N557
NKT351	SFT241	2N103	2N302	2N558
NKT736	SFT242	2N111	2N303	2N576
NKT773	SFT251	2N112	2N311	2N576A
NKT774	SFT252	2N113	2N312	2N579
OC37	SFT253	2N114	2N315	2N580
OC41	SFT259	2N124	2N316	2N583
OC42	SFT260	2N125	2N317	2N585
OC46	SFT261	2N126	2N322	2N587
OC47	SFT288	2N135	2N323	2N597
OC76	SFT298	2N136	2N327	2N598

2N599	2N1188	2N1808	2SB68	2T71
2N617	2N1189	2N1891	2SB177	2T72
2N634A	2N1190	2N1907	2SB218	2T73
2N635A	2N1191	2N1920	2SB224	2T73R
2N636A	2N1192	2N1921	2SB278	2T74
2N643	2N1193	2N1924	2SB279	2T75
2N644	2N1194	2N1925	2SB280	2T75R
2N645	2N1217	2N1926	2SB281	2T76
2N646	2N1219	2N1969	2SB450	2T77
2N647	2N1220	2N1993	2SB450A	2T77R
2N649	2N1222	2N1994	2SB451	2T78
2N650	2N1228	2N1995	2SB461	2T78R
2N651	2N1265	2N1997		2T85
2N651A	2N1274	2N1998	2SC14	2T89
2N652	2N1280	2N1999	2SC36	2T511
2N652A	2N1281	2N2000	2SC50	2T512
2N653	2N1282	2N2004	2SC71	2T513
2N658	2N1300	2N2005	2SC72	2T520
2N659	2N1301	2N2225	2SC78	2T521
2N660	2N1302	2N2374	2SC89	2T522
2N661	2N1303	2N2375	2SC90	2T523
2N662	2N1304	2N2706	2SC91	2T551
	2N1305	2N2709	2SC173	2T552
2N927	2N1306	2N3427	2SC175	2T682
2N928	2N1307	2N3428	2SC176	2T701
2N943	2N1308	2S301	2SC177	
2N944	2N1309	2S302	2SC178	38T1
2N945	2N1314	2S303	2SC181	39T1
2N946	2N1315	2S322		47A
2N978	2N1316	2S423	2T51	65T1
2N1000	2N1348	2SA65	2T52	77A
2N1012	2N1371	2SA67	2T53	127T1
2N1017	2N1373	2SA78	2T54	140A
2N1034	2N1374	2SA128	2T61	206
2N1056	2N1375	2SA129	2T62	207
2N1057	2N1376	2SA206	2T63	208
2N1058	2N1377	2SA208	2T64	223
2N1125	2N1379	2SA209	2T64R	321T3
2N1143	2N1381	2SA251	2T65	325T1
2N1174	2N1447	2SA282	2T65R	326T1
2N1185	2N1478	2SA284	2T66	830
2N1186	2N1605	2SA358	2T66R	904
2N1187	2N1754		2T67	905

Рис. 13. Тип корпуса
ТО-126 имеют транзисторы:



BD109-6	BD235	BD506	BDY82A	RCA45193
BD109-10	BD236	BD507	BDY82B	
BD109-16	BD237	BD508	BDY82C	SD1345
BD111	BD238	BD509	BDY83	SD1455
BD111A	BD254	BD510	BDY83A	SDA345
BD114	BD255	BD515	BDY83B	SDA445
BD127	BD262	BD516	BDY83C	SDJ345
BD128	BD262A	BD517		SDJ445
BD129	BD262B	BD518	MC140	SDK345
BD135	BD262L	BD519	MC141	SDK445
BD136	BD263	BD520	MC150	
BD137	BD263A	BD525	MC800	SDM445
BD138	BD263B	BD526	MC810	SDM3300
BD139	BD263L	BD527	MC900	SDM3301
BD140	BD264	BD528	MC910	SDM3302
BD143	BD264A	BD529		SDM3303
BD151	BD264B	BD530	MJ4000	SDM3304
BD152	BD264L	BD561	MJ4001	SDM3305
BD153	BB265A	BD562	MJ4010	SDM3400
BD154	BD265	BD575	MJ4011	SDM3401
BD155	BD265B	BD576		SDM3402
BD156	BD265L	BD675	MJE101	SDM3403
BD157	BD281	BD675A	MJE105	SDM3404
BD158	BD282	BD676	MJE201	SDM3405
BD161	BD283	BD676A	MJE205	SDM345
BD162	BD284	BD677	MJE205K	
BD163	BD285	BD677A	MJE370	ST74050
BD165	BD286	BD678	MJE370K	ST75004
BD166	BD301	BD678A	MJE371	ST75005
BD167	BD302	BD679	MJE371K	
BD168	BD303	BD679A	MJE520	TIP61
BD169	BD306	BD680	MJE520K	TIP61A
BD170	BD306A	BD680A	MJE521	TIP61B
BD171	BD306B	BD681	MJE700	TIP61C
BD172	BD307	BD682	MJE701	TIP62
BD173	BD307A	BD733	MJE702	TIP62A
BD175	BD307B	BD734	MJE703	TIP62B
BD176	BD329	BD735	MJE800	TIP62C
BD177	BD330	BD736	MJE801	TIP110
BD178	BD361	BD737	MJE802	TIP111
BD179	BD362	BD738	MJE803	TIP112
BD180	BD375	BDX24	MJE3370	TIP115
BD185	BD376	BDY15	MJE3371	TIP116
BD186	BD377	BDY15A	MJE3520	TIP117
BD187	BD378	BDY15B	MJE3521	
BD188	BD379	BDY15C		2N2941
BD209	BD380	BDY16	MPSU01	2N3440
BD210	BD410	BDY16A	MPSU01A	2N4026
BD215	BD433	BDY16B	MPSU05	2N4877
BD216	BD434	BDY34	MPSU06	2N4898
BD226	BD435	BDY80	MPSU07	2N4899
BD227	BD436	BDY80A	MPSU10	2N4900
BD228	BD437	BDY80B	MPSU51	2N4918
BD229	BD438	BDY80C		2N4919
BD230	BD461	BDY81	RCA370	2N4920
BD231	BD462	BDY81A	RCA371	2N4921
BD232	BD463	BDY81B	RCA520	2N4922
BD233	BD464	BDY81C	RCA521	2N4923
BD234	BD505	BDY82	RCA45190	2N5190

2N5193
2N5681
2N6121
2N6295
2N6296

2SA715

2SB434

2SB435

2SB512

2SB12A

2SB513

2SB513A

2SA473-G

2SA473-O

2SA473-Y

2SA496

2SA566

2SA671

2SA672

2SA699

2SA699A

2SC23C

2SC230

2SC297

2SC298

2SC299

2SC614

2SC696

2SC756

2SC799

2SC931

2SC932

2SC1013

2SC1014

2SC1018

2SC1060

2SC1061

2SC1096

2SC1098

2SC1162

2SC1173

2SC1212A

2SD28

2SD29

2SD49

2SD120

2SD130

2SD226A

2SD234

2SD235

2SD291

2SD292

2SD313

2SD314

2SD315

2SD317A

2SD318A

2SD325

2SD330

2SD331

2SD365

2SD365A

40406

40408

40409

40410

40426

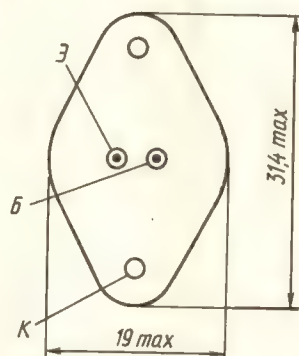
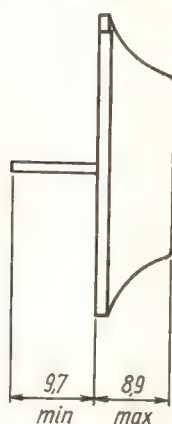


Рис. 14. Тип корпуса SOT-9 имеют транзисторы:

AD152
AD155

AD156
AD157

2N102
2N102/13

2SB463
2SB473

2SB474
2SB481
2SB492

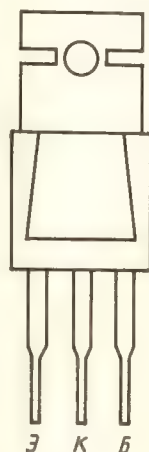
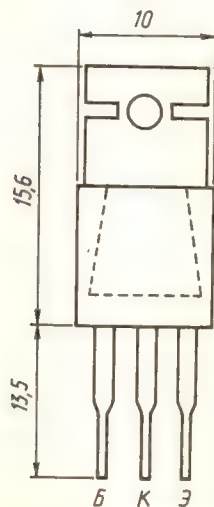


Рис. 15. Тип корпуса TO-220 имеют транзисторы:

BD189	BD264L	BD677A	MJE521	RCA45190
BD190	BD265	BD678A	MJE521K	RCA45191
BD195	BD265A	BD680	MJE1090	RCA45193
BD196	BD265B	BD680A	MJE1091	RCA45195
BD197	BD265L	BD695	MJE1092	RCA45194
BD198	BD266	BD695A	MJE1093	
BD199	BD266A	BD696	MJE1100	SD1345
BD200	BD266B	BD696A	MJE1101	SD345
BD201	BD266L	BD697	MJE1102	SD445
BD202	BD267	BD697A	MJE1103	SD1445
BD203	BD267A	BD698	MJE3371	SDB345
BD204	BD267L	BD699	MJE3521	SDB445
BD205	BD271	BD699A	MJE5190	SDJ345
BD206	BD272	BD700	MJE5191	SDJ445
BD207	BD273	BD700A	MJE5192	SDK345
BD208	BD274	BD701	MJE5193	SDK445
BD211	BD275	BD702	MJE5194	SDL345
BD212	BD276	BDX33	MJE5195	SDL445
BD220	BD277	BDX33A		SDM445
BD221	BD278	BDX33B	RCA29	SDM3100
BD222	BD304	BDX33C	RCA29A	SDM3101
BD223	BD439	BDX34	RCA29B	SDM3102
BD224	BD440	BDX34A	RCA29C	SDM3103
BD225	BD441	BDX34B	RCA30	SDM3104
BD239	BD442	BDX34C	RCA30A	SDM3105
BD239A	BD533	BDX53	RCA30B	SDM3200
BD239B	BD534	BDX53A	RCA30C	SDM3201
BD239C	BD535	BDX53B	RCA31	SDM3202
BD240	BD536	BDX53C	RCA31A	SDM3203
BD240A	BD537	BDX54	RCA31B	SDM3204
BD240B	BD538	BDX54A	BCA31C	SDM3205
BD240C	BD575	BDX54B	RCA32	SDN345
BD241	BD576	BDX54C	BCA32A	SDO345
BD241A	BD577	BDX70	RCA32B	SE9300
BD241B	BD578	BDX71	BCA32C	SE9301
BD241C	BD579	BDX72	RCA41	SE9302
BD242	BD580	BDX73	RCA41A	ST72039
BD242A	BD585	BDX77	RCA41B	ST72040
BD242B	BD586	BDX78	RCA41C	ST91054
BD242C	BD587		RCA42	
BD243	BD588	MJ4000	RCA42A	TA2911
BD243A	BD589	MJ4001	RCA42B	TA7137
BD243B	BD590	MJ4011	RCA42C	TA7155
BD243C	BD595		RCA101	TA7156
BD244	BD596	MJE101	BCA102	TA7362
BD244A	BD597	MJE102	RCA103	TA7363
BD244B	BD598	MJE103	RCA104	TA7741
BD244C	BD599	MJE104	RCA105	TA7742
BD245	BD600	MJE105	RCA201	TA7743
BD245A	BD643	MJE201	RCA202	TA8203
BD245B	BD644	MJE202	RCA203	TA8204
BD246	BD645	MJE203	RCA204	TA8210
BD246A	BD646	MJE204	RCA205	TA8211
BD246B	BD647	MJE205	RCA521	TA8212
BD264	BD648	MJE205K	RCA8203	
BD264A	BD649	MJE371	RCA8203A	
BD264B	BD650	MJE371K	RCA8203B	

ВОЗМОЖНЫЕ СХЕМЫ ВКЛЮЧЕНИЯ И ЦОКОЛЕВКА ТРАНЗИСТОРОВ В АППАРАТУРЕ ЗАРУБЕЖНОГО ПРОИЗВОДСТВА

Включение транзисторов в выходных каскадах усилителей звуковой частоты

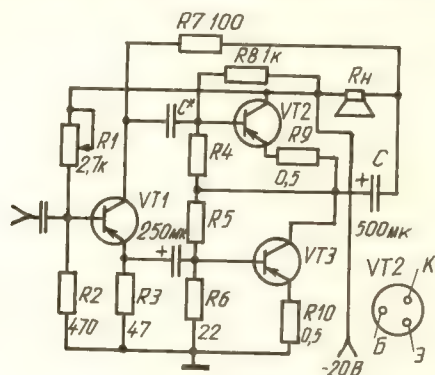


Рис. 1. Транзистор типа AD145: $P_{\text{вых}} = 4$ Вт; $R_H = 150$ Ом; $I_0 = 50 \dots 300$ мА

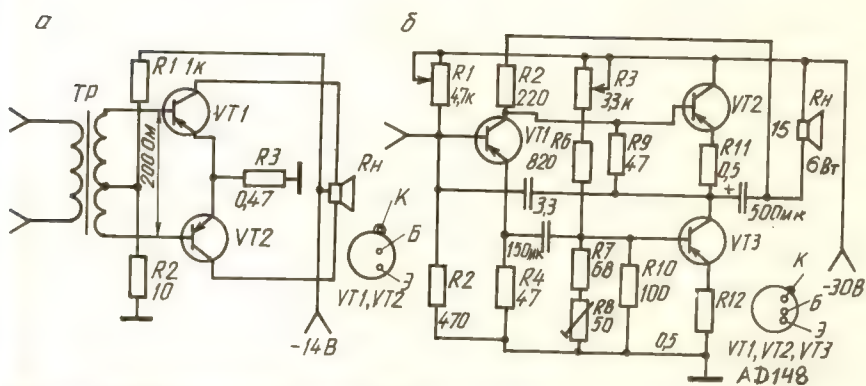


Рис. 2. Транзистор AD148: $P_{\text{вых}} = 8$ Вт; $R_H = 20$ Ом; $I_0 = 1.5 \dots 1.2$ А

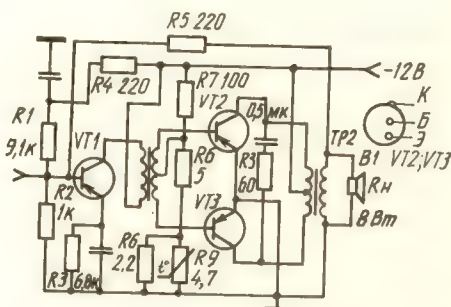


Рис. 3. Транзистор AD152: $P_{\text{вых}} = 8$ Вт; $R_H = 40$ Ом; $I_0 = 0.1 \dots 1.1$ А

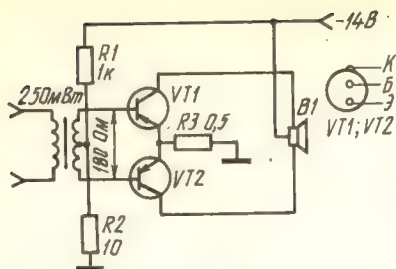


Рис. 4. Транзистор AD150: $P_{\text{вых}} = 20$ Вт; $R_{\text{H}} = 15$ Ом; $I_0 = 0,15 \dots 2,8$ А

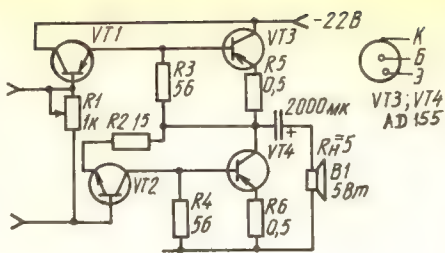


Рис. 5. Транзистор AD155: $P_{\text{вых}} = 5$ Вт; $R_{\text{H}} = 5$ Ом; $I_0 = 150 \dots 300$ мА

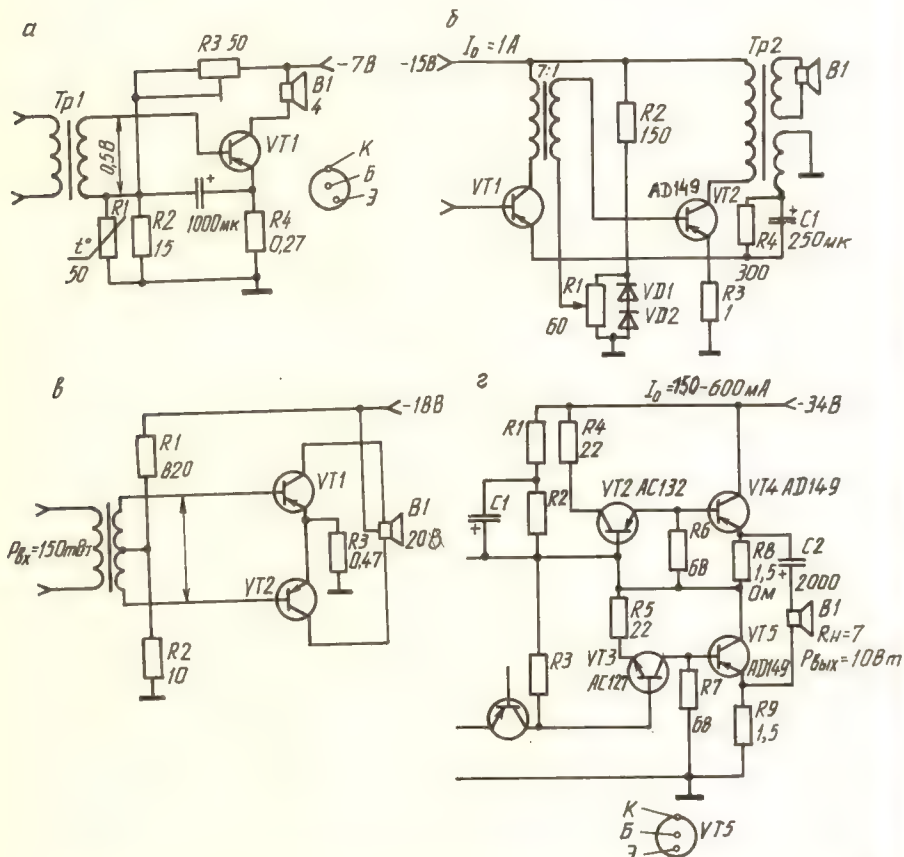


Рис. 6. Транзистор AD149 для схем включения: а, б — $P_{\text{вых}} = 4$ Вт; $R_{\text{H}} = 4$ Ом; $I_0 = 1,8$ А; в, г — $P_{\text{вых}} = 15$ Вт; $R_{\text{H}} = 20$ Ом; $I_0 = 0,15 \dots 1,5$ А

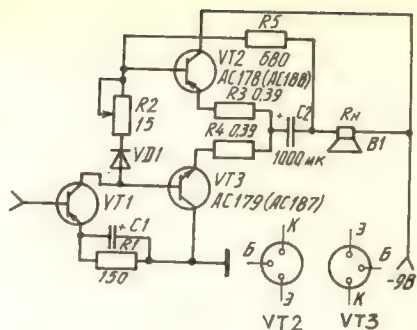
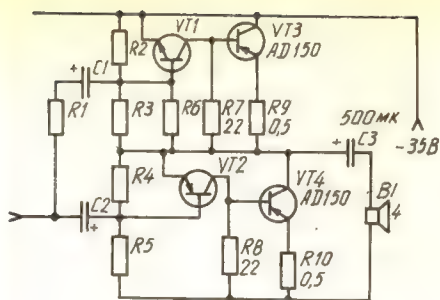


Рис. 7. Транзистор AD150: $P_{\text{вых}} = 10$ Вт; $R_{\text{н}} = 4$ Ом; $I_0 = 150 \dots 600$ мА

Рис. 8. Комплементарные пары транзисторов: AC178, AC188, $P_{\text{вых}} = 2$ Вт; AC179 и AC187; $R_{\text{н}} = 6$ Ом; $I_0 = 5 \dots 400$ мА

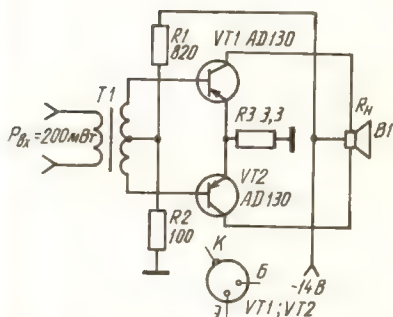


Рис. 9. Транзистор AD130: $P_{\text{вых}} = 15$ Вт; $R_{\text{н}} = 12$ Ом; $I_0 = 50 \dots 2500$ мА

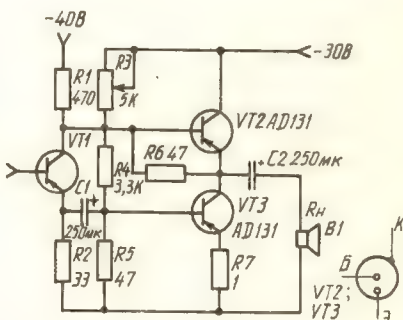


Рис. 10. Транзистор AD131: $P_{\text{вых}} = 4$ Вт; $R_{\text{н}} = 25$ Ом; $I_0 = 200$ мА

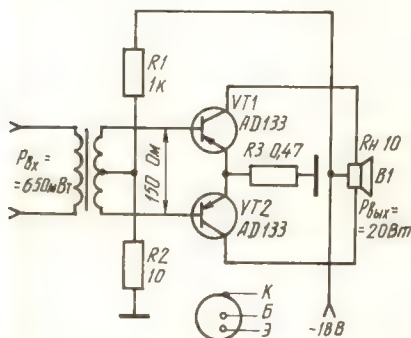


Рис. 11. Транзистор AD133: $P_{\text{вых}} = 20$ Вт; $R_{\text{н}} = 20$ Ом; $I_0 = 200 \dots 2500$ мА

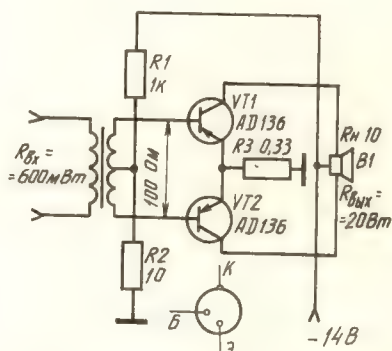


Рис. 12. Транзистор AD136: $P_{\text{вых}} = 20$ Вт; $R_{\text{н}} = 10$ Ом; $I_0 = 200 \dots 3000$ мА

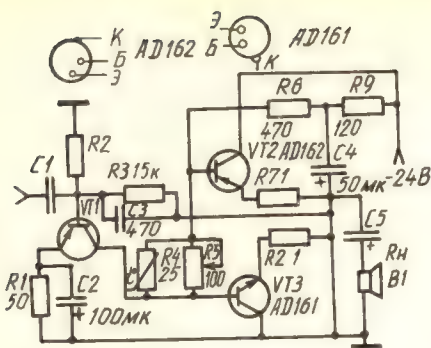


Рис. 13. Комплементарная пара транзисторов AD161, AD162: $P_{\text{вых}} = 6$ Вт; $R_n = 10$ Ом; $I_o = 3...550$ мА

а

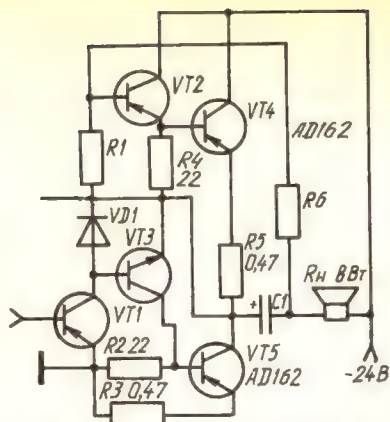
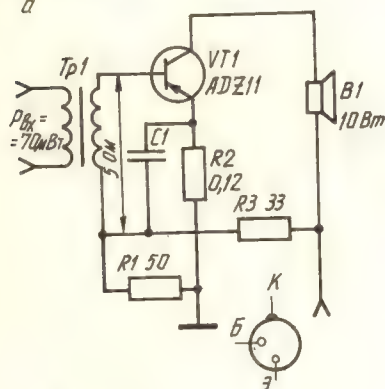
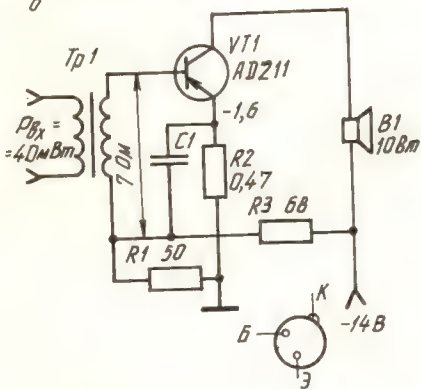


Рис. 14. Транзисторы AD162 или AD164: $P_{\text{вых}} = 8$ Вт; $R_n = 8$ Ом; $I_o = 100...500$ мА

б



б



в

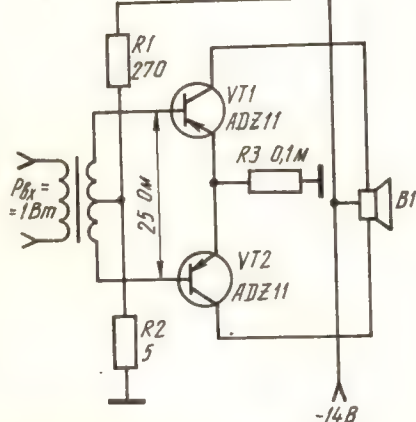
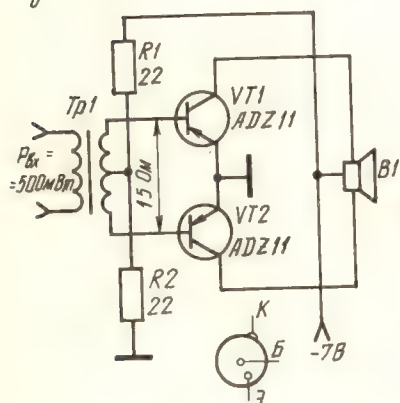


Рис. 15. Транзистор ADZ11 для схем включения: а — $P_{\text{вых}} = 10$ Вт, $R_n = 1,2$ Ом, $I_o = 4$ А; б — $P_{\text{вых}} = 10$ Вт, $R_n = 5$ Ом, $I_o = 2$ А; в — $P_{\text{вых}} = 25$ Вт, $R_n = 1$ Ом, $I_o = 0,2...7$ А; г — $P_{\text{вых}} = 60$ Вт, $R_n = 5$ Ом, $I_o = 0,2...7$ А

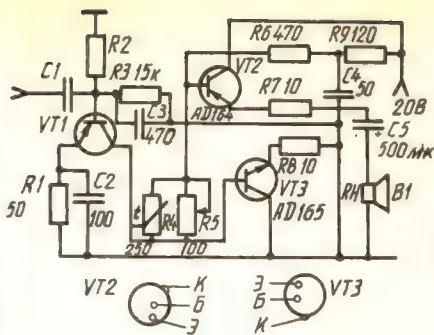


Рис. 16. Комплементарная пара транзисторов AD164 и AD165: $P_{\text{вых}} = 4$ Вт; $R_H = 6$ Ом; $I_0 = 5...450$ мА

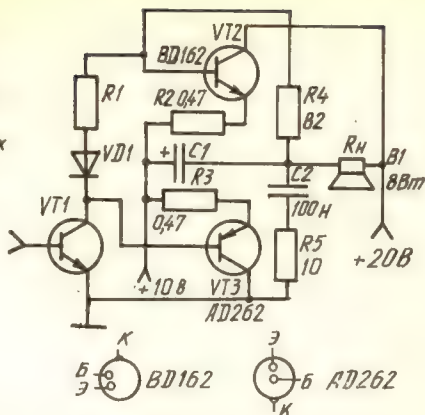


Рис. 17. Комплементарная пара AD262 и BD162: $P_{\text{вых}} = 8$ Вт; $R_H = 4$ Ом; $I_0 = 10...650$ мА

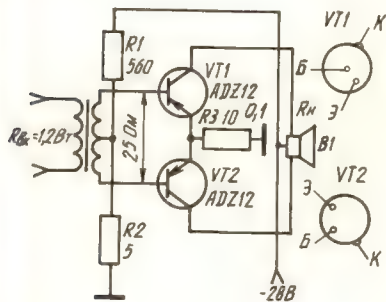


Рис. 18. Транзистор ADZ12: $P_{\text{вых}} = 120$ Вт; $R_H = 10$ Ом; $I_0 = 0,2...7$ А

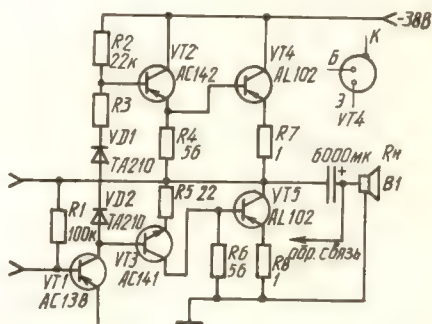


Рис. 19. Транзистор AL102: $P_{\text{вых}} = 20$ Вт; $R_H = 4$ Ом; $I_0 = 0,2...7$ А

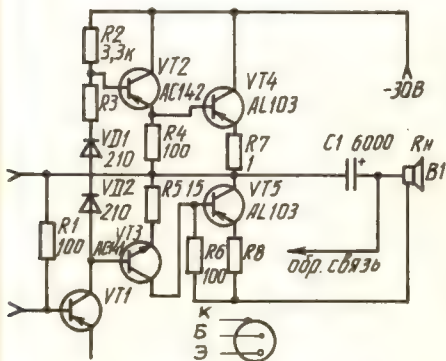


Рис. 20. Транзистор AL103: $P_{\text{вых}} = 15$ Вт; $R_H = 4$ Ом; $I_0 = 0,1...1,1$ А

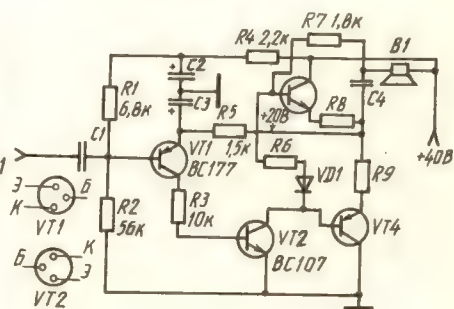


Рис. 21. Транзистор BC107, BC177

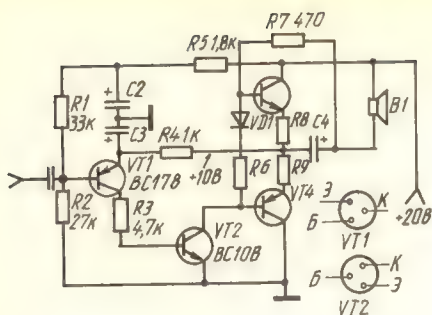


Рис. 22. Транзистор BC178, BC108

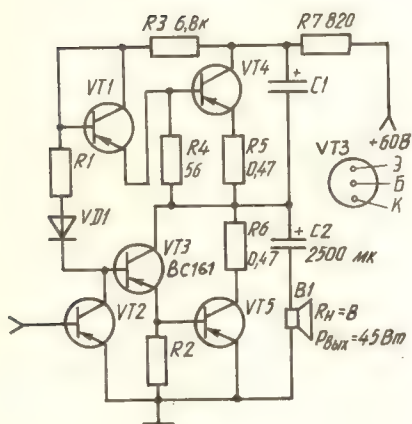


Рис. 23. Транзистор BC160-6, BC160-10, BC160-16

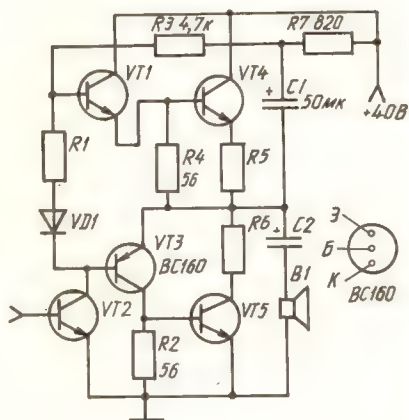


Рис. 24. Транзистор BC161-6, BC161-10, BC161-16

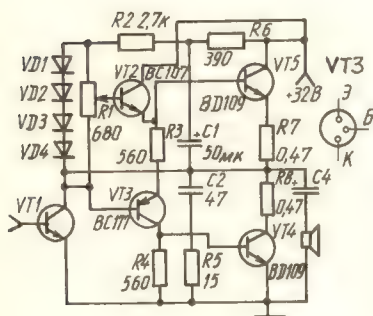


Рис. 25. Транзистор BC177

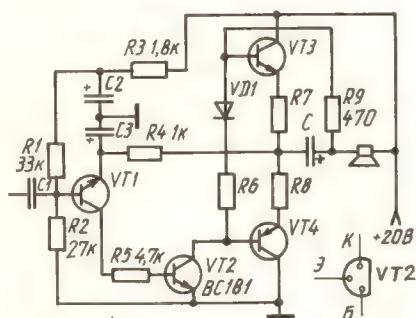


Рис. 26. Транзистор BC181

Включения комплементарных транзисторов

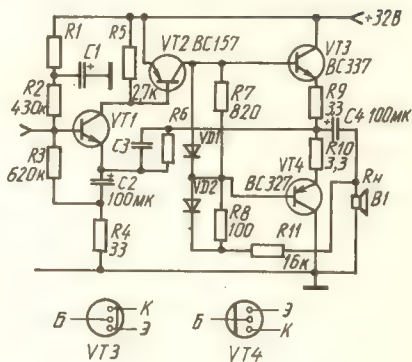


Рис. 28. Транзисторы BC337, BC327:
 $P_{\text{вых}} = 2,5$ Вт; $R_{\text{н}} = 50$ Ом; $I_0 = 20 \dots 120$ мА

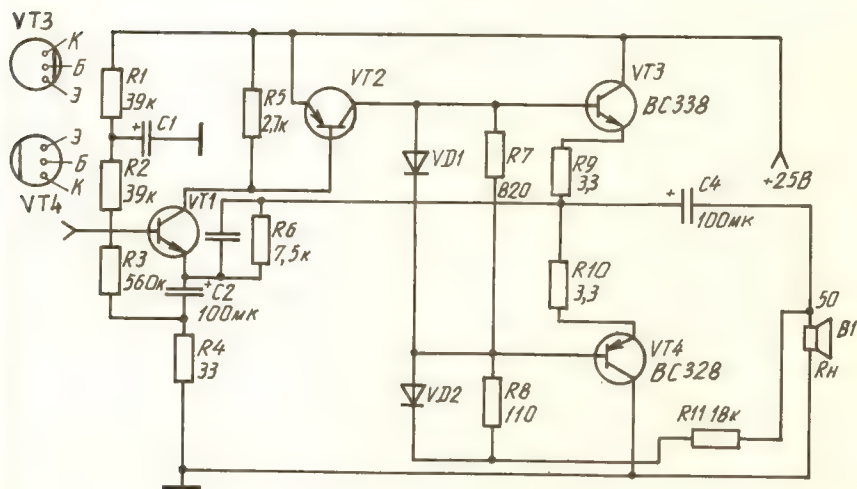


Рис. 29. Транзисторы BC328, BC338: $P_{\text{БМХ}} = 1,6$ Вт; $R_{\text{н}} = 50$ Ом; $I_0 = 20 \dots 120$ мА

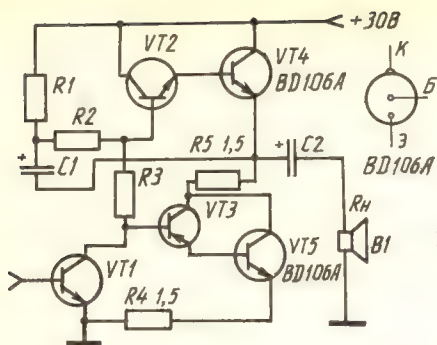


Рис. 30. Транзистор BD106 (BD106B):
 $P_{\text{вых}} = 10$ Вт; $R_{\text{н}} = 5$ Ом; $I_0 = 100 \dots 600$ мА

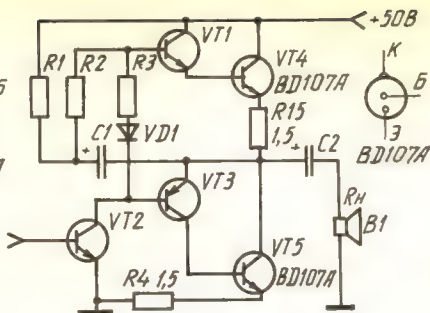


Рис. 31. Транзистор BD107A (BD107B):
 $P_{\text{вых}} = 15$ Вт; $R_{\text{н}} = 10$ Ом; $I_0 = 100 \dots 500$ мА

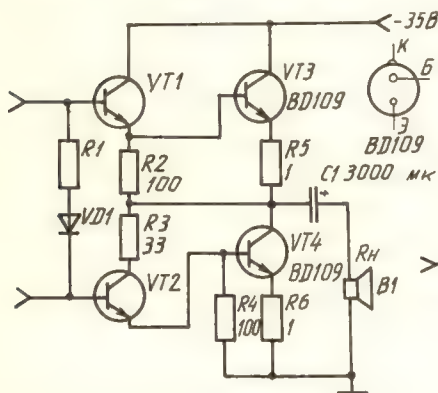


Рис. 32. Транзистор BD109: $P_{\text{вых}} = 10$ Вт; $R_{\text{н}} = 80$ Ом; $I_0 = 50 \dots 600$ мА

Рис. 33. Транзистор BD117: $P_{\text{вых}} = 30$ Вт; $R_{\text{н}} = 5$ Ом; $I_0 = 150 \dots 1200$ мА

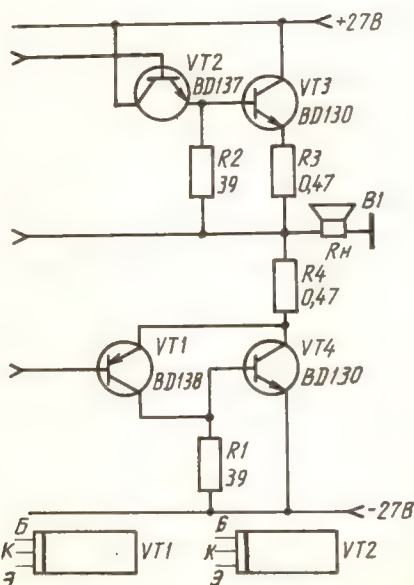
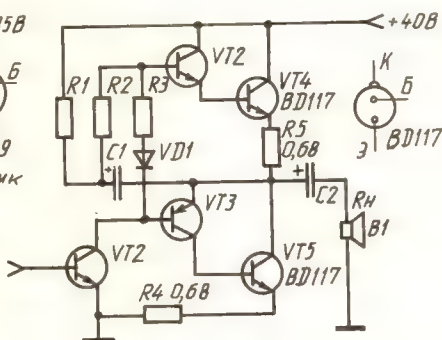


Рис. 34. Транзисторы BD137, BD138:
 $P_{\text{вых}} = 60$ Вт; $R_{\text{н}} = 4$ Ом; $I_0 = 0,25 \dots 1,8$ А

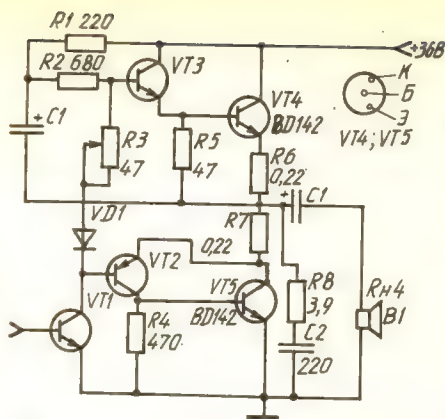


Рис. 35. Транзистор BD142: $P_{\text{БМХ}} = 45$ Вт; $R_{\text{H}} = 8$ Ом; $I_{\text{O}} = 250 \dots 1800$ мА

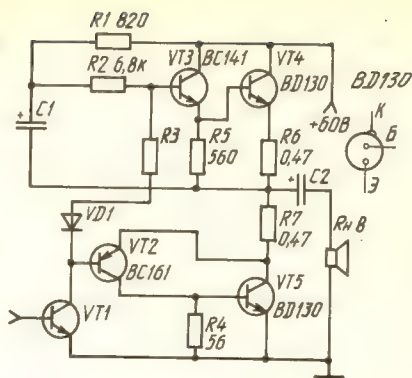


Рис. 36. Транзистор BD130: $P_{\text{БМХ}} = 45$ Вт; $R_{\text{H}} = 8$ Ом; $I_{\text{O}} = 50 \dots 1200$ мА

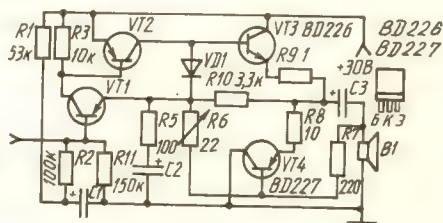


Рис. 37. Транзисторы BD226, BD227: $P_{\text{БМХ}} = 6$ Вт; $R_{\text{H}} = 15$ Ом; $I_{\text{O}} = 50 \dots 500$ мА

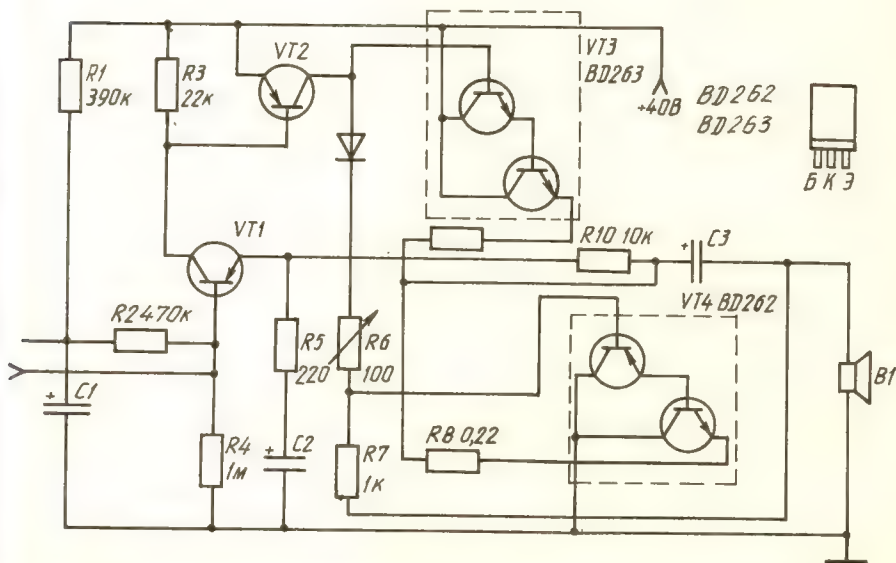


Рис. 38. Транзисторы BD262, BD263: $P_{\text{БМХ}} = 30$ Вт; $R_{\text{H}} = 5$ Ом; $I_{\text{O}} = 0.1 \dots 1.5$ А

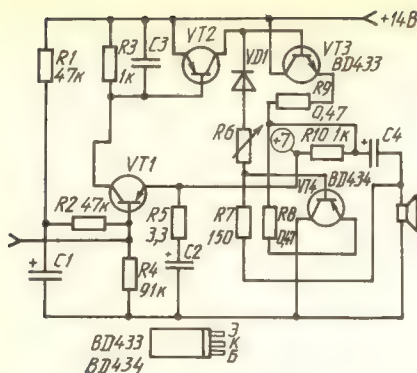


Рис. 39. Транзисторы BD433, BD434: $P_{\text{вых}} = 6$ Вт; $R_{\text{н}} = 4$ Ом; $I_0 = 60 \dots 600$ мА

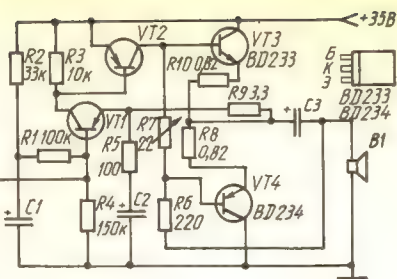


Рис. 40. Транзисторы BD233, BD234: $P_{\text{вых}} = 8$ Вт; $R_{\text{н}} = 15$ Ом; $I_0 = 50 \dots 600$ мА

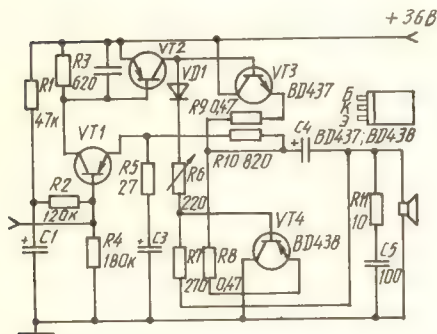


Рис. 41. Транзисторы BD437, BD438: $P_{\text{вых}} = 15$ Вт; $R_{\text{н}} = 8$ Ом; $I_0 = 90 \dots 700$ мА

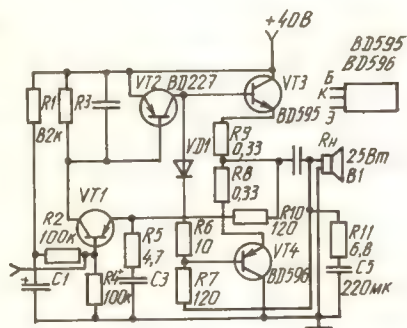


Рис. 42. Транзисторы BD595, BD596: $P_{\text{вых}} = 25$ Вт; $R_{\text{н}} = 6$ Ом; $I_0 = 150 \dots 200$ мА

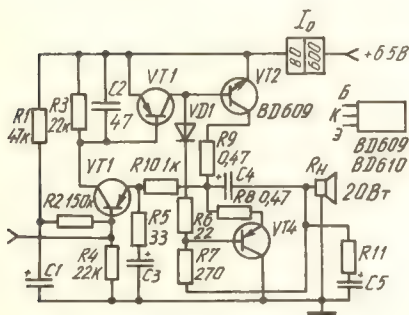


Рис. 43. Транзисторы BD609, BD610: $P_{\text{вых}} = 20$ Вт; $R_{\text{н}} = 15$ Ом; $I_0 = 80 \dots 600$ мА

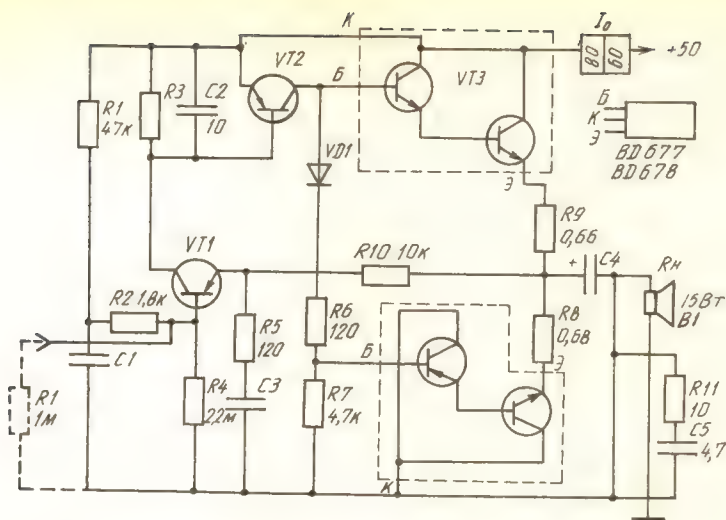


Рис. 44. Транзисторы BD677, BD678: $P_{\text{вых}} = 15 \text{ Вт}$; $R_{\text{н}} = 15 \text{ Ом}$; $I_o = 80 \dots 600 \text{ мА}$

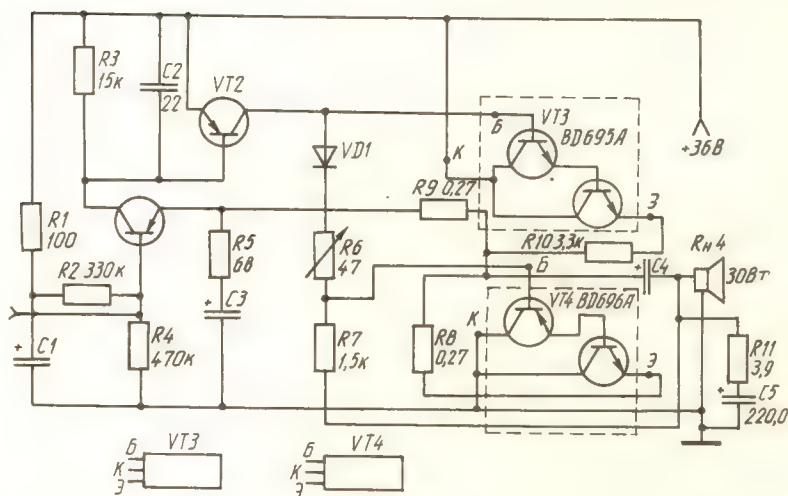


Рис. 45. Транзисторы BD695A, BD696A: $P_{\text{вых}} = 30 \text{ Вт}$; $R_{\text{н}} = 4 \text{ Ом}$; $I_o = 0,2 \dots 1,8 \text{ А}$

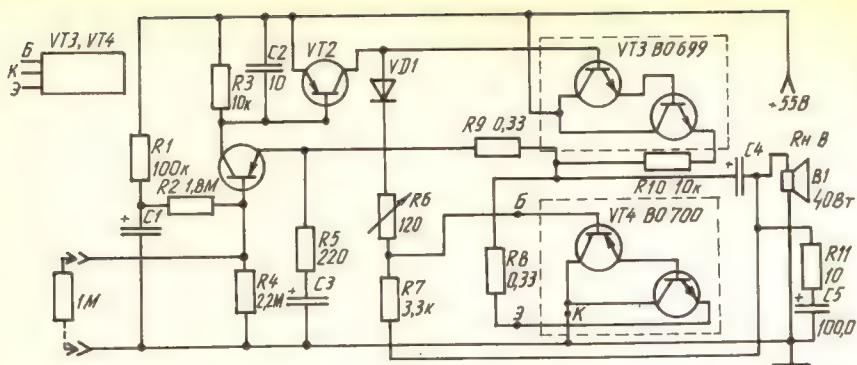


Рис. 46. Транзисторы BD699, BD700: $P_{\text{вых}} = 40$ Вт; $R_H = 8$ Ом; $I_o = 80 \dots 750$ мА

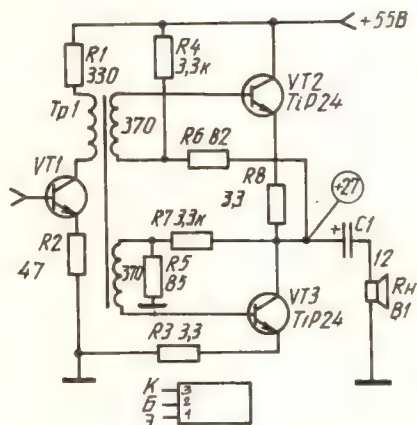
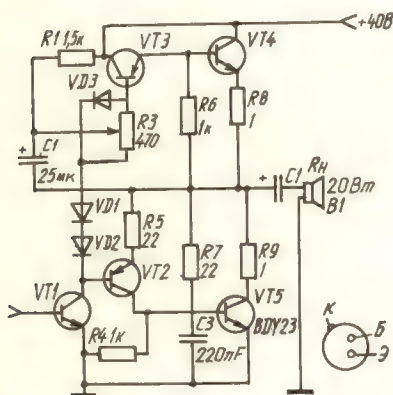


Рис. 47. Транзистор BDY23: $P_{\text{вых}} = 20$ Вт; $R_H = 8(16)$ Ом; $I_o = 50 \dots 700(550)$ мА

Рис. 48. Транзистор TiP24: $P_{\text{вых}} = 15$ Вт; $R_H = 12$ Ом; $I_o = 100 \dots 500$ мА

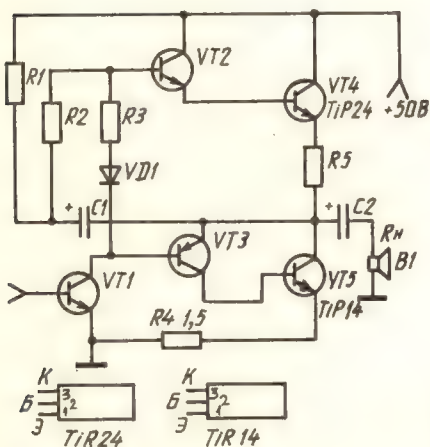


Рис. 49. Транзисторы TiP14, TiP24: $P_{\text{вых}} = 15$ Вт; $R_H = 10$ Ом; $I_o = 100 \dots 500$ мА

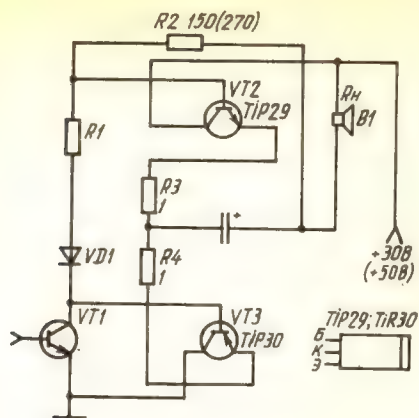


Рис. 50. Транзисторы TIP29(A), TIP30(A):
 $P_{\text{вых}} = 5$ (10) Вт; $R_H = 16$ (25) Ом;
 $I_o = 30$ —300 мА

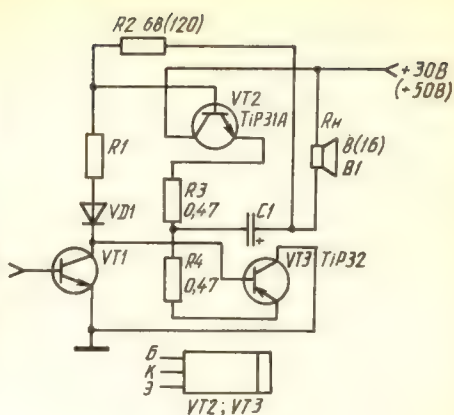


Рис. 51. Транзисторы TIP31(A),
 TIP32(A): $P_{\text{вых}} = 10$ (16) Вт; $R_H =$
 $= 8$ (16) Ом; $I_o = 60$...600 мА

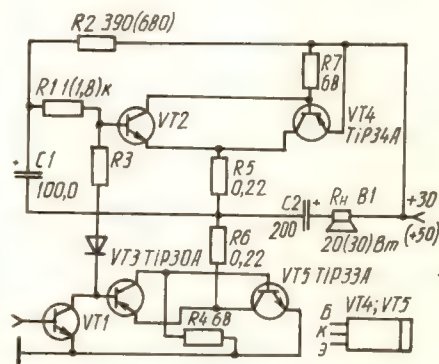


Рис. 52. Транзисторы TIP33(A),
 TIP34(A): $P_{\text{вых}} = 20$ (30) Вт; $R_H =$
 $= 4$ (18) Ом; $I_o = 50$...1200 мА

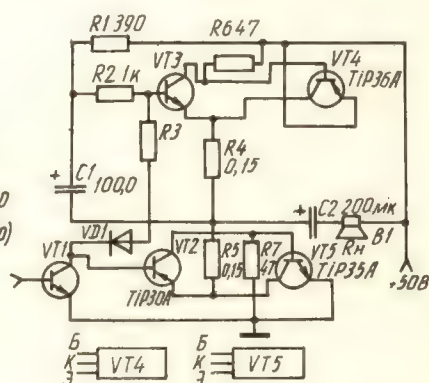


Рис. 53. Транзисторы TIP35(A), TIP36(A):
 $P_{\text{вых}} = 60$ Вт; $R_H = 4$ Ом; $I_o = 0,1$...2 А

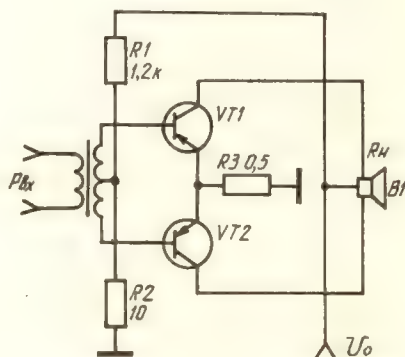


Рис. 54. Транзисторы, используемые
 в трансформаторных выходных усилителях мощности

Тип транзистора	$P_{\text{вых}}, \text{Вт}$	$R_{\text{н}}, \text{Ом}$	$I_0, \text{А}$	$U_0, \text{В}$	$P_{\text{вых}}, \text{Вт}$
2N458 $p-n-p$	30	30	0,1...2,5	-28	300
2N441 $p-n-p$	35	5	0,1...6	-12	1
2N442 $p-n-p$	60	7,5	0,1...6	-18	1,2
2N456 $p-n-p$	20	15	0,05...2,3	-14	10
2N457 $p-n-p$	25	20	0,05...2,2	-20	10
2N511 $p-n-p$	20	8	0,1...3,5	-14	
2N1016C $p-n-p$	80	40	0,1...3	50	5
2N561 $p-n-p$	30	35	0,05...2	-28	100 мВт
2N1016 $n-p-n$	100	50	0,1...3	65	5
2N1016E $n-p-n$	120	60	0,1...3	80	7,5
2N1016 $p-n-p$	150	80	0,1...3	100	7,5
2N1021 $p-n-p$	30	30	0,1...2,5	-286	0,6
2N1022 $p-n-p$	45	45	0,1...2,5	-42	0,6
2N1042,					
2N1043 $p-n-p$	10	20	0,1...1,5	-14	0,2
2N1044,					
2N1045 $p-n-p$	20	40	0,1...1,5	-28	0,2
2N1099 $p-n-p$	80	10	0,1...6	-24	0,4
2N10100 $p-n-p$	80	10	0,1...6	-24	0,8
2N1146A $p-n-p$	90	6	0,1...8	-21	1,2
2N1146C $p-n-p$	150	10	0,1...8	-35	1,2
2N1162,					
2N1163 $p-n-p$		3,5	0,1...9	-14	0,6
2N1358 $p-n-p$	60	6	0,3...5	-12	0,6
2N1529, 2N	30				
1530 $p-n-p$	12	12	0,1...2,5	-12	0,1
2N1531 $p-n-p$	20	30	0,1...2	-24	0,1
2N1535 $p-n-p$	12	12	0,1...2,5	-12	65 мВт
2N1536 $p-n-p$	20	30	0,1...2	-24	65 мВт
2N2080A $p-n-p$	50	16	0,2...5	-24	0,1
2N82,A $p-n-p$	20	6	0,2...5	-12	0,1
2N2109 $n-p-n$	60	8	0,2...7	-18	1
2N2110 $n-p-n$	120	16	0,2...7	-36	1
2N2111 $n-p-n$	120	40	0,2...5	-60	1
2N2266...69 $p-n-p$	40	8	0,15...2,5	-12	0,4

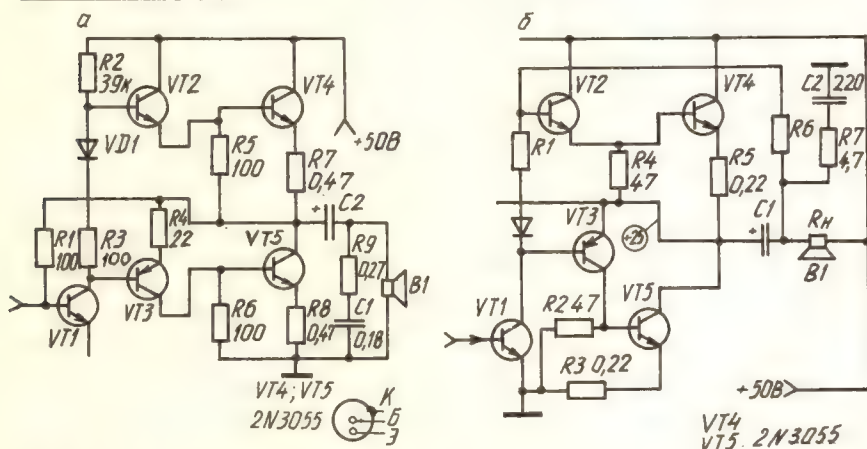
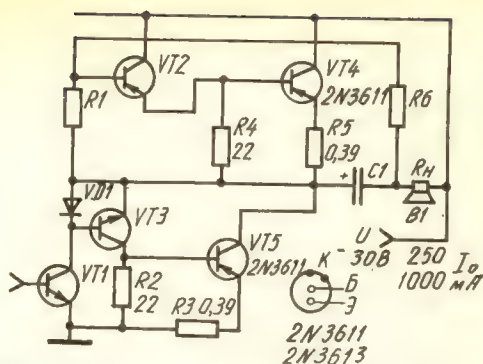


Рис. 55, а, б. Транзистор 2N3055. Для рис. 55, а: $P_{\text{вых}} = 20 \text{ Вт}$; $R_{\text{н}} = 15 \text{ Ом}$; $I_0 = 0,05...0,5$; для рис. 55, б: $P_{\text{вых}} = 50 \text{ Вт}$; $R_{\text{н}} = 5 \text{ Ом}$; $I_0 = 0,2...2 \text{ А}$

Рис. 56. Включение транзисторов в бестрансформаторных выходных каскадах УЗЧ



Тип транзистора	$P_{\text{вых}}, \text{Вт}$	$R_{\text{н}}, \text{Ом}$	$I_0, \text{А}$	$U_0, \text{В}$
2N3611, 2N3613	10	3,5	0,25...1	-20
2N3612, 2N3614	15	5	0,25...1	-30
2N3615, 2N3617,	20	7	0,25...1	-40
$p-n-p$				
2N3772, $n-p-n$	100	3	0,2...3	+60
2N5034, $n-p-n$				
2N5035, $p-n-p$	15	5	0,1...1	+30
2N5036 $n-p-n$	30	8	0,1...1,2	+50
2N5037 $p-n-p$				
2N5490 $n-p-n$	12	6	0,06...0,6	+30
2N5492 $n-p-n$	18	8	0,08...0,8	+40
2N5494 $n-p-n$	20	4	0,1...1	+30
2N5496 $n-p-n$	30	8	0,1...1	+50

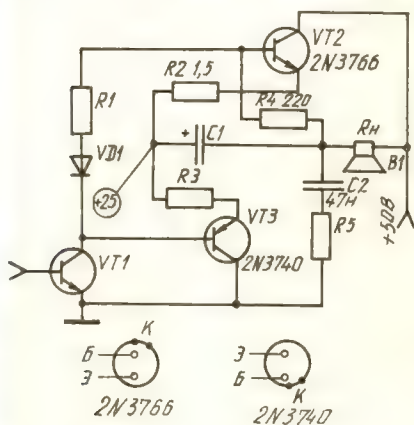


Рис. 57. Включение комплементарных транзисторов

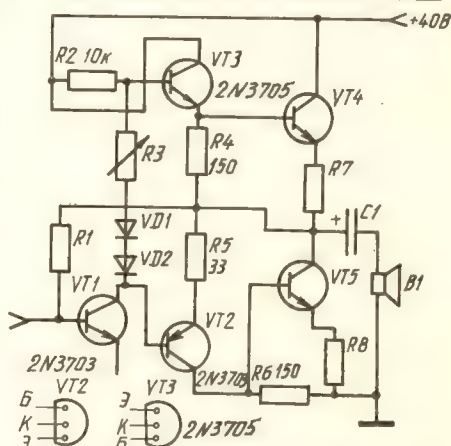


Рис. 58. Включение комплементарных транзисторов в предоконечных каскадах:

VT3 2N3703, $p-p-p$	и VT2 2N3705 $n-p-n$
VT3 2N4234, $p-p-p$	и VT2 2N4237 $n-p-n$
VT3 2N4235, $p-p-p$	и VT2 2N4238 $n-p-n$
VT3 2N4403, $p-p-p$	и VT2 2N4401 $n-p-n$
VT3 2N5226, $p-p-p$	и VT2 2N5225 $n-p-n$
VT3 2N6015, $p-p-p$	и VT2 2N6014 $n-p-n$

Тип транзистора	$P_{\text{вых}}, \text{Вт}$	$R_{\text{н}}, \text{Ом}$	$I_0, \text{А}$	$U_0, \text{В}$
2N3766, $p-n-p$				
2N3740, $p-n-p$	20	12	0,2...1	+50
2N3741, $p-n-p$	25	15	0,2...0,8	+65
2N3767, $n-p-n$				
2N4918, $p-n-p$	10	10	0,15...0,6	+40
2N4921, $n-p-n$				
2N4919, $p-n-p$	15	12	0,15...0,6	+50
2N4922, $n-p-n$				
2N4920, $p-n-p$				
2N4923, $n-p-n$	20	15	0,15...0,6	+65
2N5193, $p-n-p$				
2N5190, $n-p-n$	20	4	0,1...1	+30
2N5194, $p-n-p$				
2N5191, $n-p-n$	25	8	0,08...0,8	+45
2N5195, $p-n-p$	25	16	0,05...0,5	+60
2N5192, $n-p-n$				
2N5447, $p-n-p$	0,25	35	0,015...0,1	+15
2N5451, $n-p-n$				
2N6013, $p-n-p$	1	25	0,01...0,1	+20
2N6012, $n-p-n$				

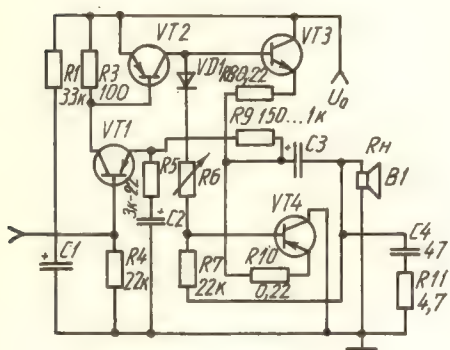
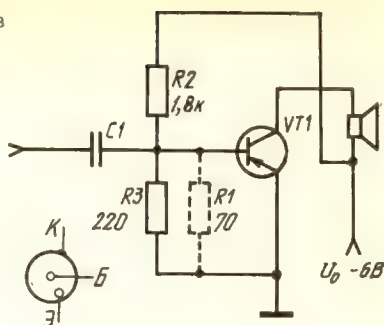


Рис. 59. Включение комплементарных транзисторов в выходных каскадах УЗЧ

Тип транзистора	$P_{\text{вых}}, \text{Вт}$	$R_{\text{н}}, \text{Ом}$	$I_0, \text{А}$	$U_0, \text{В}$
VT4 2N4898, $p-n-p$				
VT3 2N4910, $n-p-n$	2	15	0,025...0,2	+20
VT4 2N4900, $p-n-p$				
VT3 2N4912, $n-p-n$	7,5	50	0,025...0,2	+60
VT4 2N4901, $p-n-p$				
VT3 2N5067, $n-p-n$	4	8	0,05...0,4	+20
VT4 2N4903, $p-n-p$				
VT3 2N5067, $n-p-n$	15	25	0,05...0,4	+60
VT4 2N4908, $p-n-p$				
VT3 2N3055, $n-p-n$	35	4	0,05...2	+40
VT4 2N5955, $p-n-p$				
VT3 2N3055, $n-p-n$	25	8	0,3...1,1	+45

Рис. 60. Возможные включения транзисторов



Тип транзистора	$P_{\text{вых}}, \text{Вт}$	$R_{\text{н}}, \text{Ом}$	$I_0, \text{А}$	$U_0, \text{В}$	$G_p, \text{дБ}$	
2SB27	0,4	25	0,2	-6	20	
2SB28	0,4	25	0,2	-6	23	
2SB29	0,4	25	0,2	-6	25	

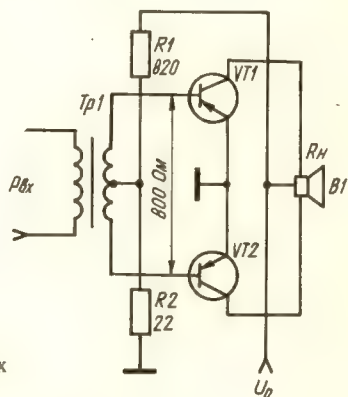


Рис. 61. Включение транзисторов в двухтактных трансформаторных оконечных УЗЧ

Тип транзистора	$P_{\text{вых}}, \text{Вт}$	$R_{\text{н}}, \text{Ом}$	$U_0, \text{В}$	$I_0, \text{А}$	$P_{\text{вх}}, \text{мВт}$
2SB31, $p-n-p$	1	30	-6	0,02...0,35	7
2SB51, $p-n-p$	0,5	240	-9	0,01...0,12	5
2SB52, $p-n-p$	0,5	240	-9	0,01...0,12	5
2SB62,63 $p-n-p$	1,5	8	-12	0,03...3	6
2SB64, $p-n-p$	25	50	-28	0,05...1,5	60
2SB69, $p-n-p$	20	8	-20	0,02...2,5	400
2SB142, $p-n-p$	4	18	-12	0,05...0,7	150
2SB145,146 $p-n-p$	4	18	-12	0,05...0,7	100, 30
2SB221, 222 $p-n-p$	0,4	500	-9	0,01...0,1	0,5
2SB457, $p-n-p$	0,3	250	-9	0,01...0,07	0,35
2SB494, $p-n-p$	0,5	220	-9	0,01...0,5	0,5
2SO63, $n-p-n$	0,3	280	+9	0,05...0,07	3
44T1, $p-n-p$	1(1,5)	90	-9(-12)	0,01...0,2	15(20)

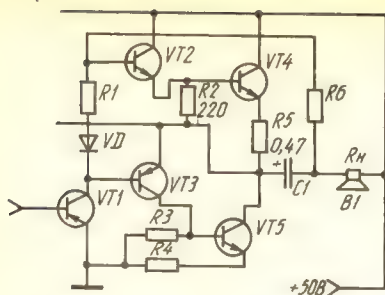
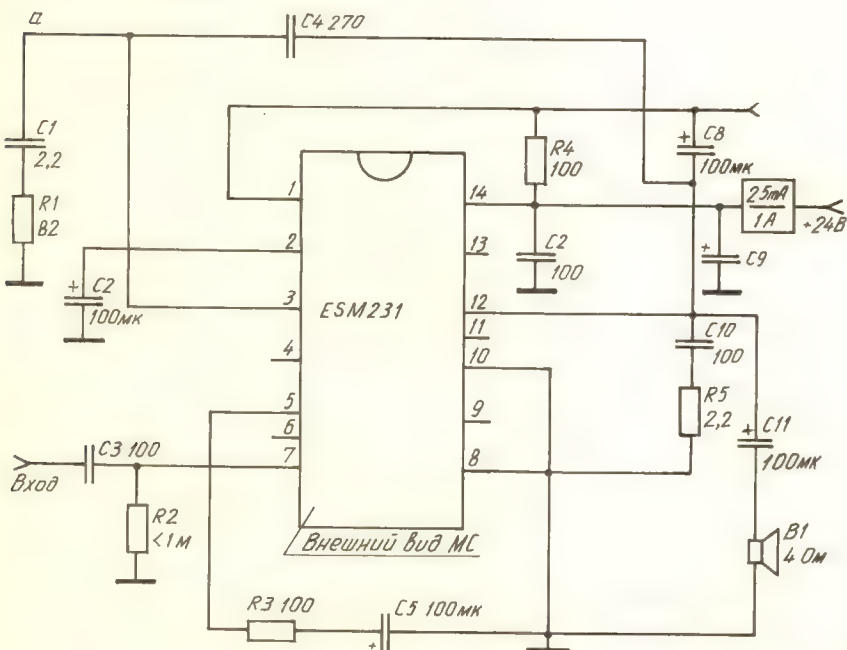


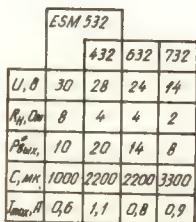
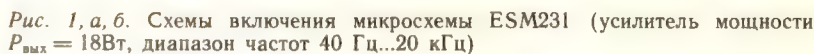
Рис. 62. Включение транзисторов VT4, VT5 в бестрансформаторных выходных УЗЧ

2SC245, <i>n-p-n</i>	20	16	+50	0,05...0,5
2SC1030, <i>n-p-n</i>	30	5	+50	0,2...1,5
2SC106, <i>n-p-n</i>	20	8	+40	0,1...1,5
2SD45, <i>n-p-n</i>	20	16	+60	0,05...0,4
2SD91, <i>n-p-n</i>	20	8	+40	0,1...1,0
2SD180, <i>n-p-n</i>	30	8	+65	0,15...1,0
180T1A,B,C	30	8	+50	0,1...1,2

ПРИЛОЖЕНИЕ 5

ПРИНЦИПИАЛЬНЫЕ СХЕМЫ ВКЛЮЧЕНИЯ МИКРОСХЕМ ЗАРУБЕЖНОГО ПРОИЗВОДСТВА





* Коэффициент нелинейных искажений - 1%

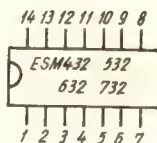


Рис. 2. Схема включения микросхем ESM432, ESM532, ESM632, ESM732 (усилитель мощности $P_{\text{вых}} = 8...20$ Вт, диапазон частот 40 Гц...20 кГц)

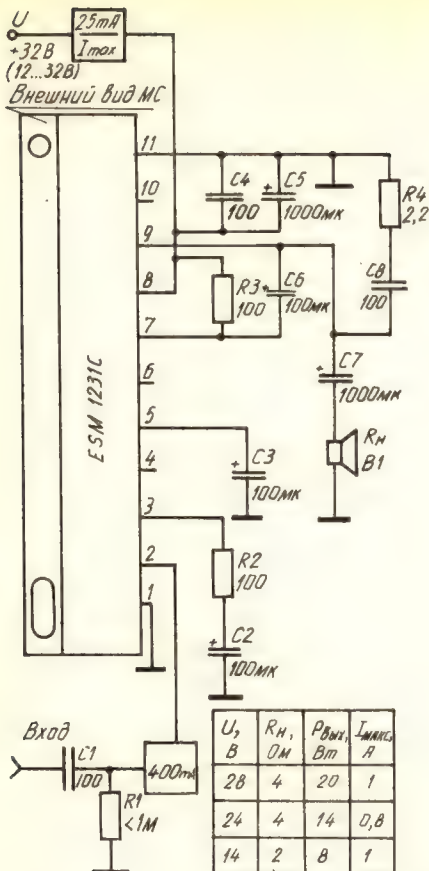
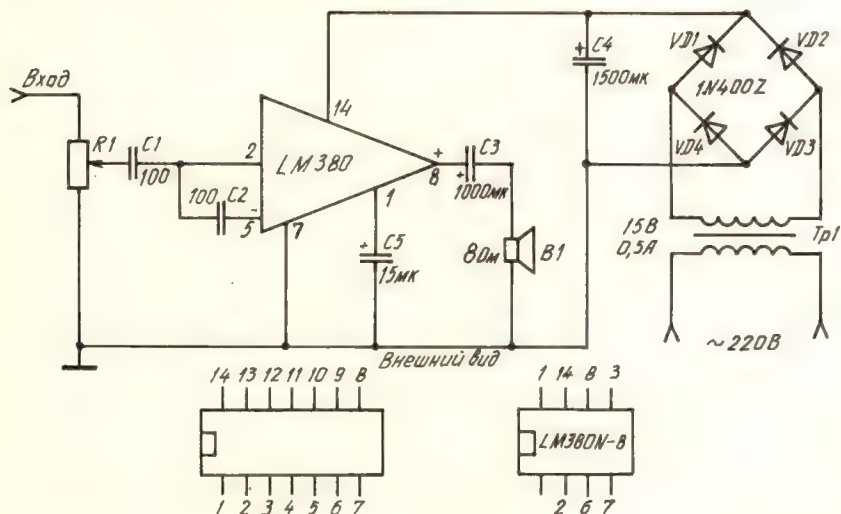


Рис. 3. Схема включения микросхемы ESM1231C (усилитель мощности $P_{\text{вх}} = 8 \dots 20$ Вт, коэффициент гармоник 1 %)



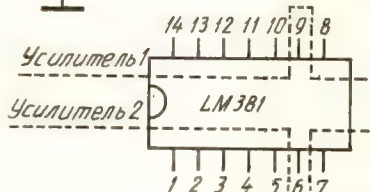
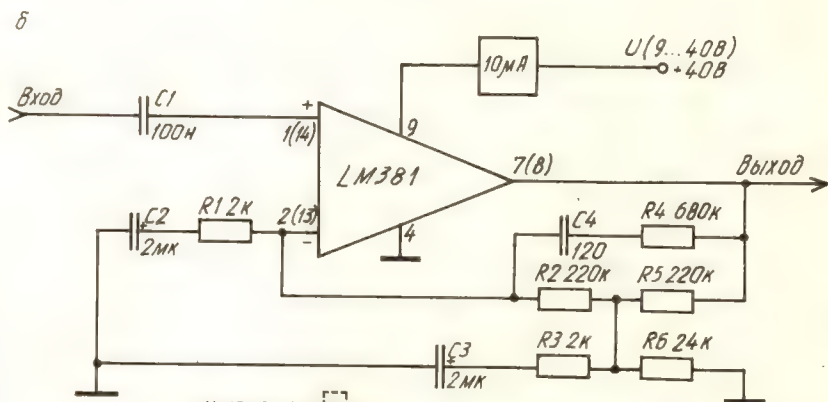
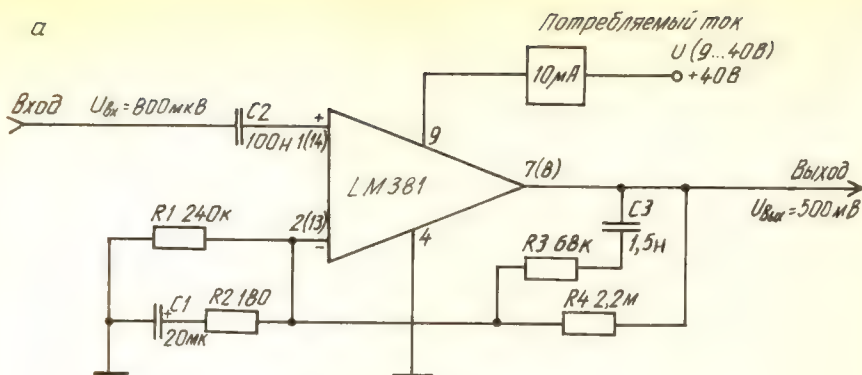


Рис. 5. Схема включения микросхемы LM381 (сдвоенный предварительный усилитель 3Ч (а — воспроизведения, б — усилитель записи); уровень шумов 0,7 мкВ, $K = 0,1 \%$)

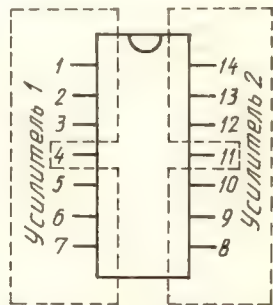
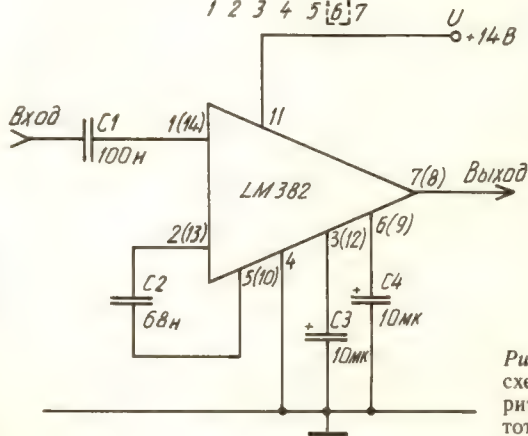


Рис. 6. Схема включения микросхемы LM382 (сдвоенный предварительный усилитель звуковой частоты $K_u = 40...80$ дБ, диапазон частот 0...75 кГц)

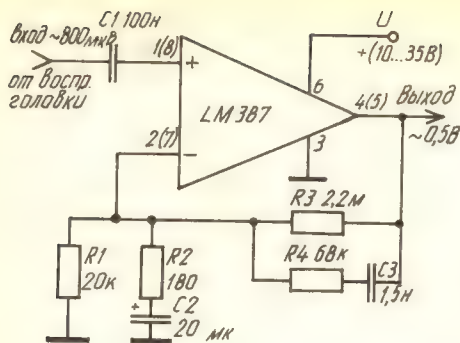


Рис. 7. Включение микросхемы LM387 (сдвоенный предварительный усилитель звуковой частоты, уровень шума 1,6 дБ)

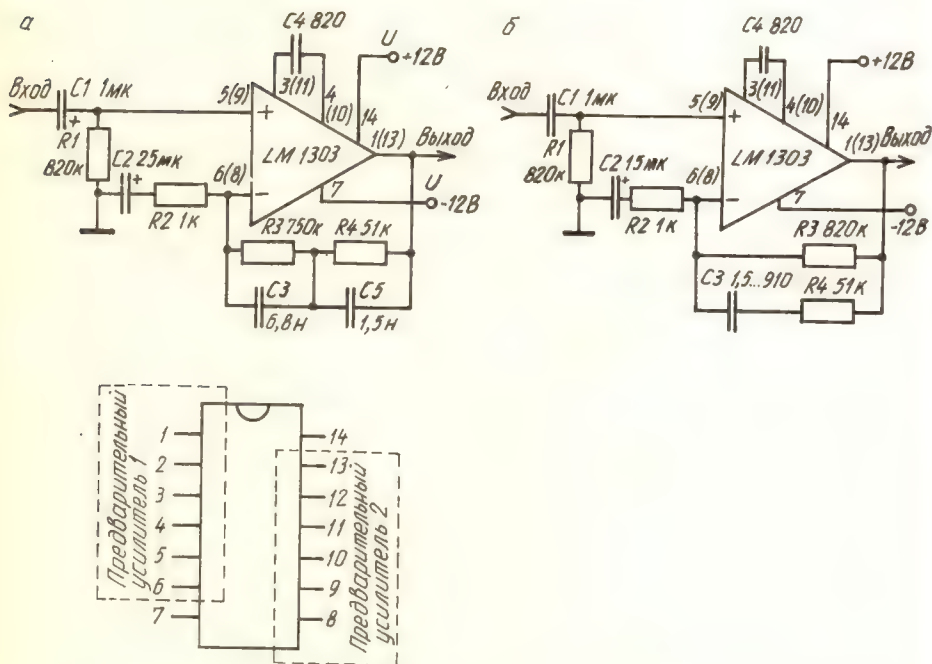


Рис. 8. Схема включения микросхемы LM1303 (сдвоенный предварительный усилитель звуковой частоты, максимальный коэффициент усиления 10 000, разделение между каналами 70 дБ, усилитель звукозаписи а, усилитель воспроизведения б)

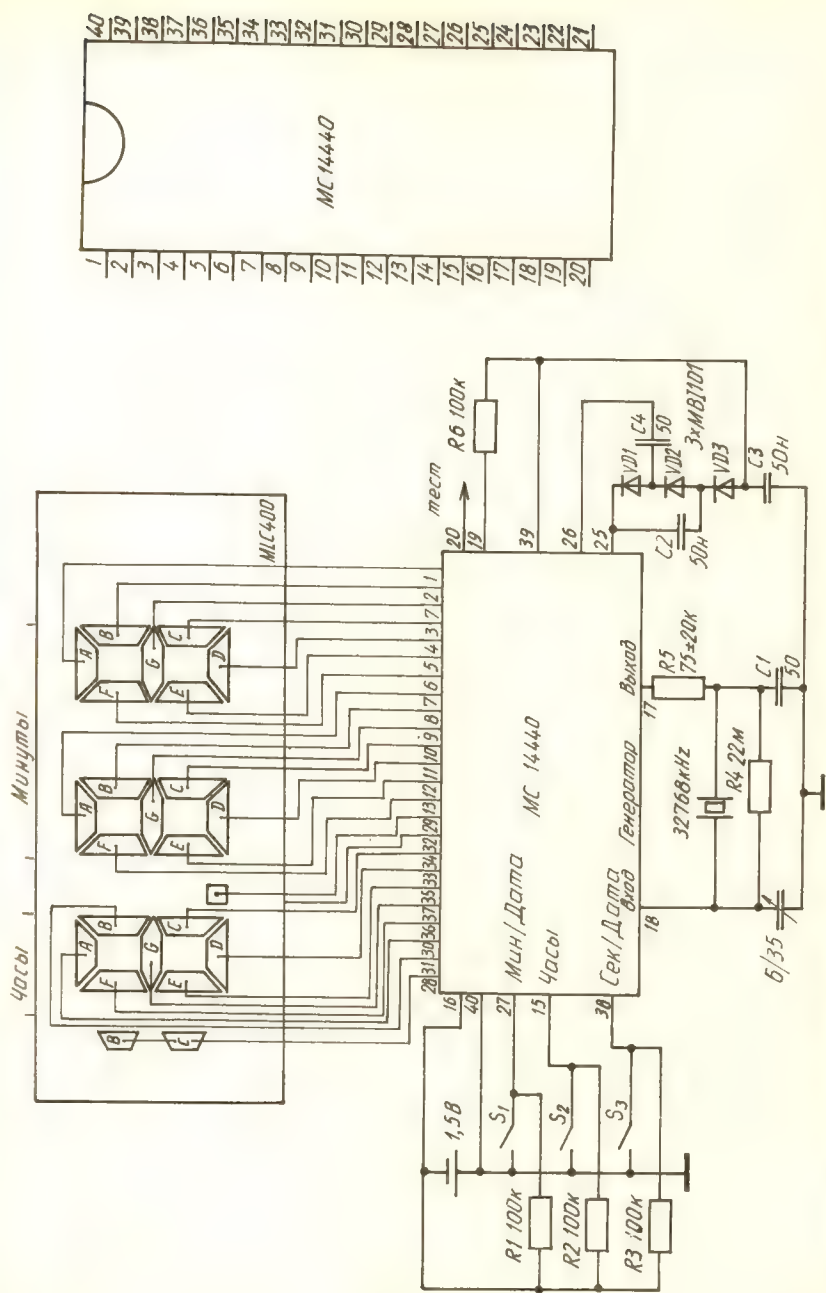


Рис. 9. Включение микросхемы MC14440 (применяется в электронных часах магнитол, магнитофонов)

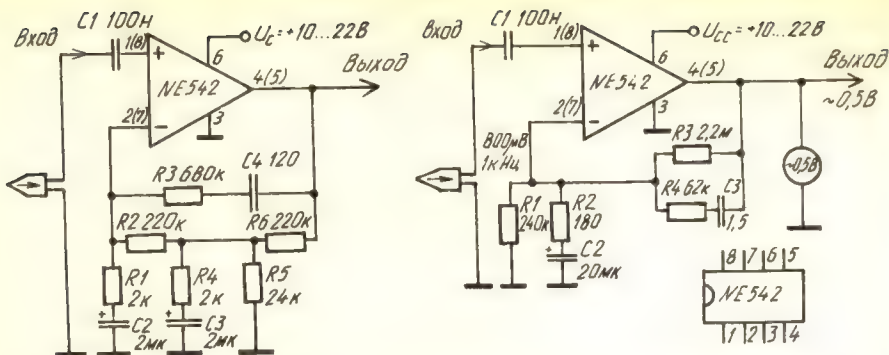


Рис. 10. Варианты включения микросхемы NE542 (сдвоенный предварительный усилитель звуковой частоты, уровень шума 1,6 дБ)

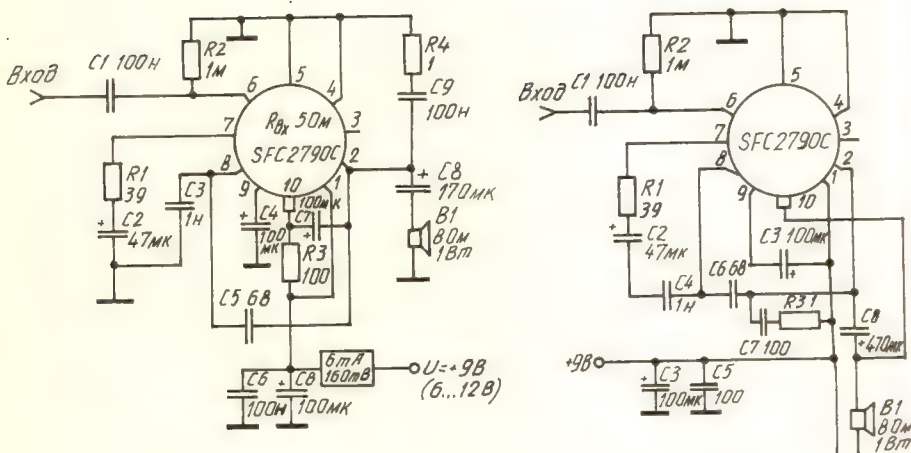


Рис. 11. Варианты включения микросхемы SFC2790C (усилитель мощности звуковой частоты, $P_{\text{вых}} = 1$ Вт; $K_r = 0,4\%$)

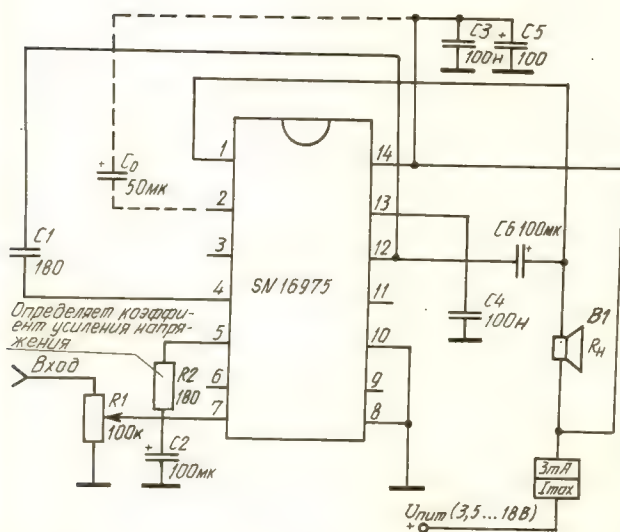
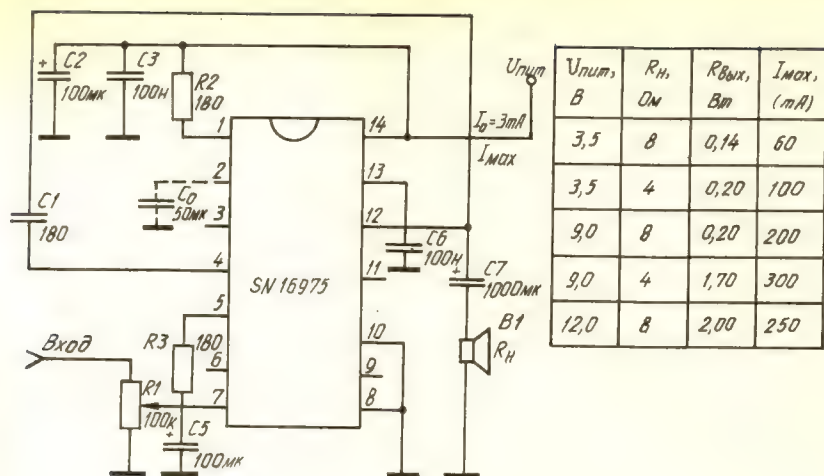


Рис. 12. Варианты включения микросхемы SN16975 (усилитель мощности ЗЧ, $P_{вых} = 0,14 \dots 2$ Вт. Отношение сигнал/шум — 70 дБ. C_0 подключается, если питание схемы от батарей)

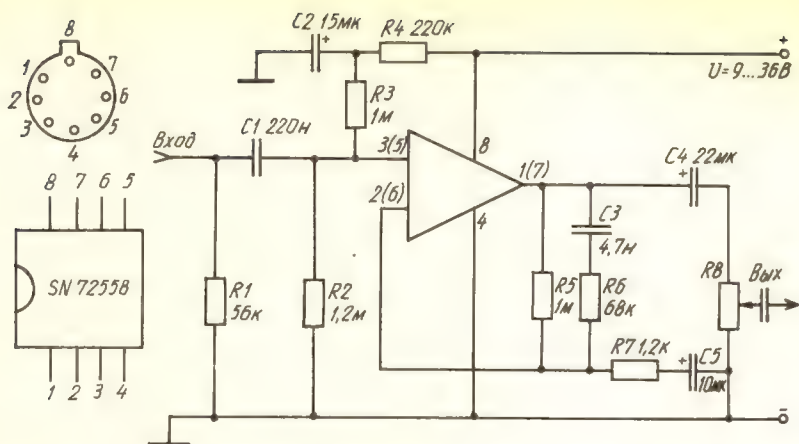
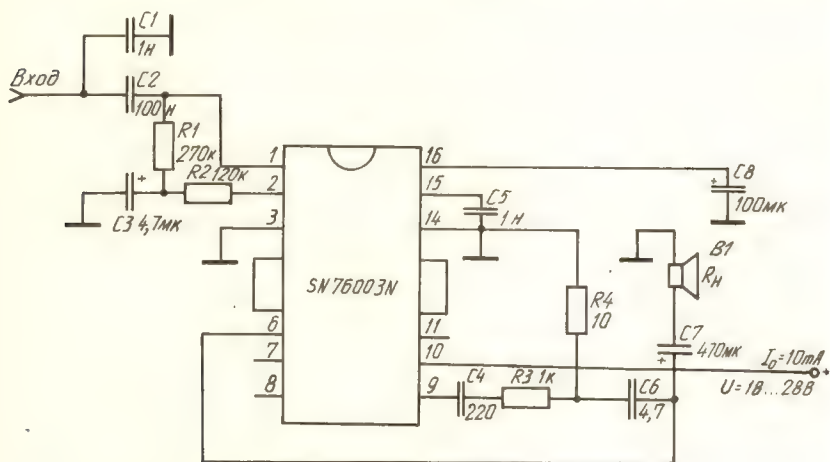
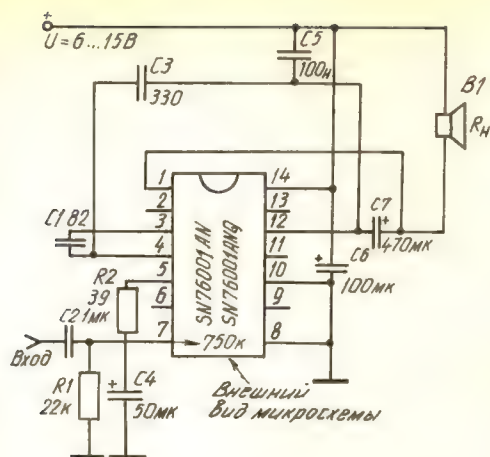


Рис. 13. Включение микросхемы SN72558 (MC1458, CA1458, MA1558, SPC2458, N5558) (сдвоенный операционный усилитель, усилитель записи, воспроизведения)



U , В	20	20	24	24	24	28	28	28
R_H , Ом	15	8	20	15	8	20	15	8
$P_{\text{Вых}}$ (10% иск)	2,8	4,6	3,2	4,2	6,2	4,8	5,8	8,5
$P_{\text{Вых}}$ (1% иск)	2,0	3,5	2,7	3,3	4,8	4,0	4,7	6,5
$I_{\text{ток}}$, мА	100	150	250	260	420	220	300	500

Рис. 14. Схема включения микросхемы SN76003, SN76013 (SN760033), (SN76023) (усилитель мощности ЗЧ, $P_{\text{Вых}} = 8$ Вт, уровень шумов на выходе 1,5 мВ, коэффициент усиления 46 дБ)



Тип	U, В	R _H , Ом	P _{вых} , Вт	I _{max} , мА
SN76001 AN/NQ	6	4	0,65	160
	9	4	2,00	300
	9	8	11,00	160
	12	16	0,60	100
	12	4	2,70	300
	12	8	2,00	240
	12	16	1,20	150
	15	8	3,20	350
	15	16	1,80	160

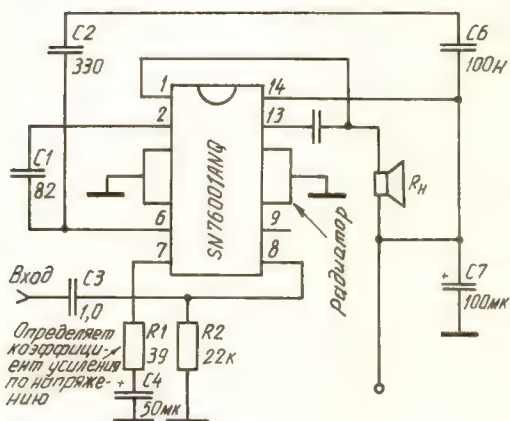


Рис. 15. Варианты включения микросхем SN76001 AN/NQ SN76001 (усилитель мощности, ЗЧ, $P_{\text{вых}} = 0,6...3,2$ Вт)

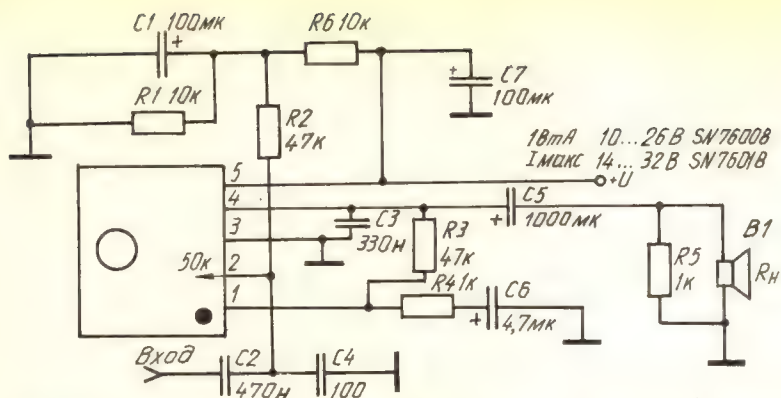
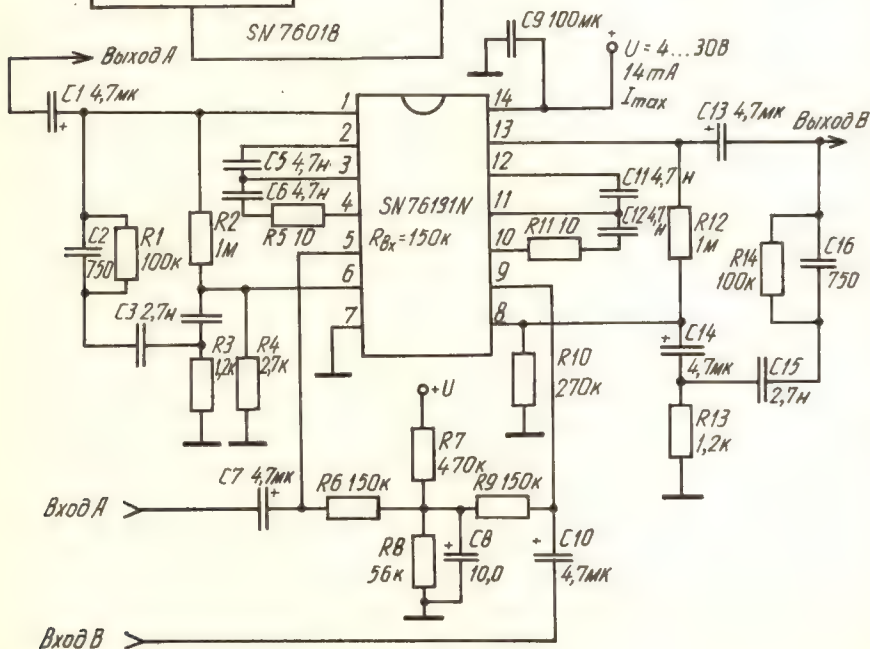


Рис. 16. Схема включения микросхем SN76008, SN76018 (усилитель мощности ЗЧ, $P_{\text{вых}} = 12$ Вт, уровень шумов на выходе < 2 мВ, коэффициент усиления напряжения 34 дБ)

$U, В$	12	12	18	18	24	24	28
$R_H, Ом$	8	4	8	4	8	4	8
$P_{\text{вых}}, K_2 = 10\%$	1,5	2,5	3,5	7,0	7,5	12,0	11
$P_{\text{вых}}, K_2 = 1\%$	0,9	2,0	3,0	5,5	6,0	10,0	8,5
$T_{\text{max}}, мА$	150	250	120	600	420	750	500
SN76008							
SN76018							

Рис. 17. Включение микросхемы SN76191N (предварительный двухканальный усилитель)



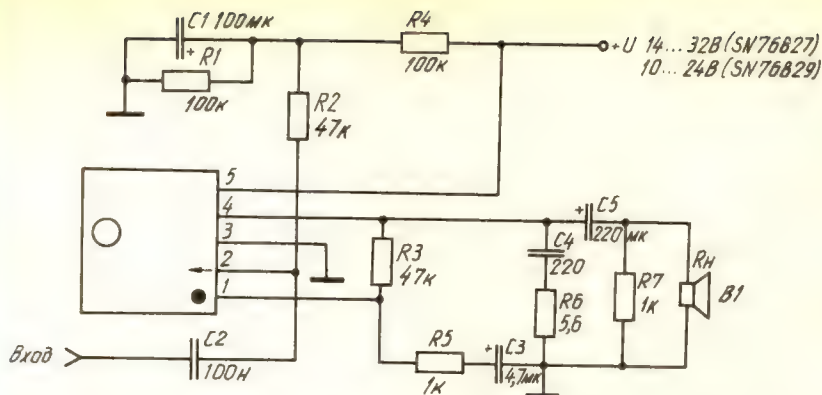
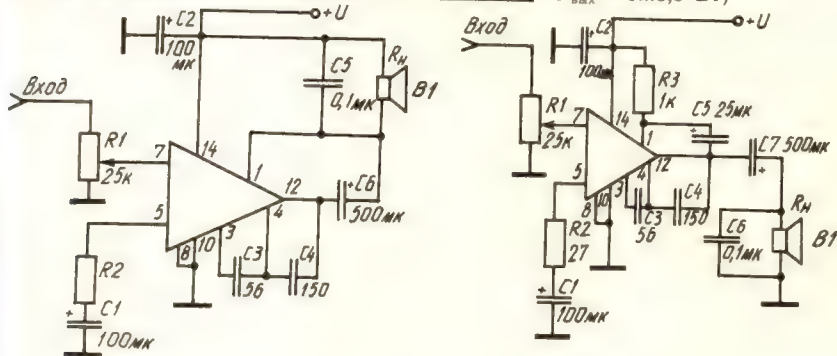


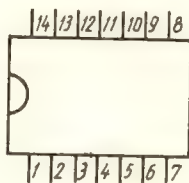
Рис. 18. Схема включения микросхем SN76827, SN76829 (усилитель мощности ЗЧ, $P_{\text{вых}} = 2,5 \dots 12 \text{ Вт}$)

Тип / Режим	SN 76829					SN 76827			
U, В	12	12	14,4	14,4	16	24	26	26	28
R _H , Ом	4	2	4	2	4	4	8	4	8
P _{вых} , Вт, K _г =10%	2,5	4,5	4,5	7,7	5,6	12,5	11	14	11
P _{вых} , Вт, K _г =1%	-	-	3,6	6	-	10	8	10	10
I ₀ , мА	10	10	12	12	14	25	25	25	25
I _{макс} , мА	300	600	450	750	500	750	600	800	550

Рис. 19. Включение микросхем TAA611B, TAA611C (усилитель мощности ЗЧ, $P_{\text{вых}} = 1 \dots 3,3 \text{ Вт}$)



Тип / Режим	TAA 611C					TAA 611B	
U, В	9	9	12	15	15	9	12
R _H , Ом	4	8	8	8	16	8	8
P _{вых} , Вт	1,8	1,2	2,1	3,3	1,9	1,15	2,1
I ₀ , мА	3	3	3,5	4	4	3	3,5
I _{макс} , мА	250	170	235	300	170	170	235



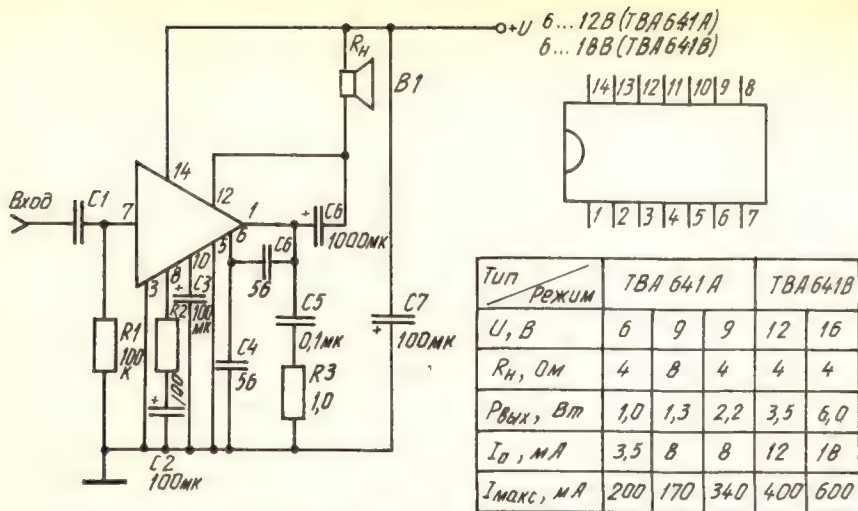


Рис. 20. Включение микросхем ТВА641А, ТВА641В (усилитель мощности ЗЧ, $P_{\text{вых}} = 1...6$ Вт)

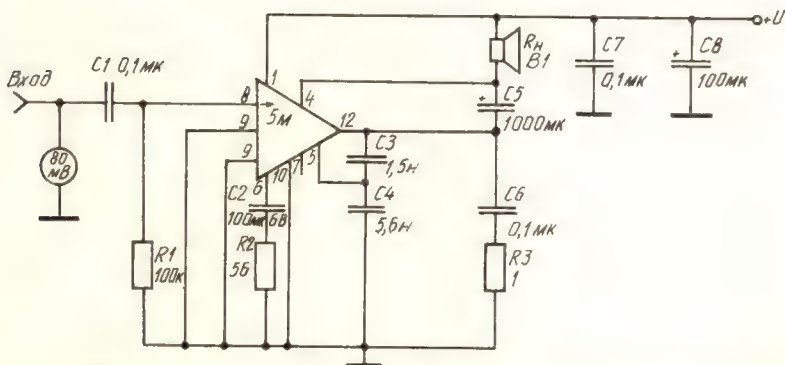
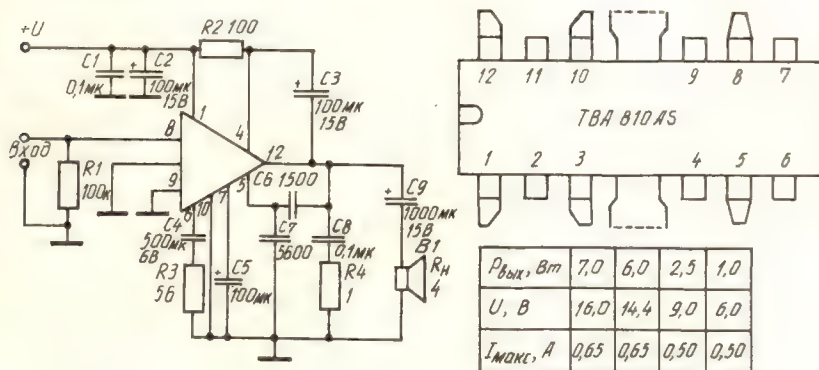
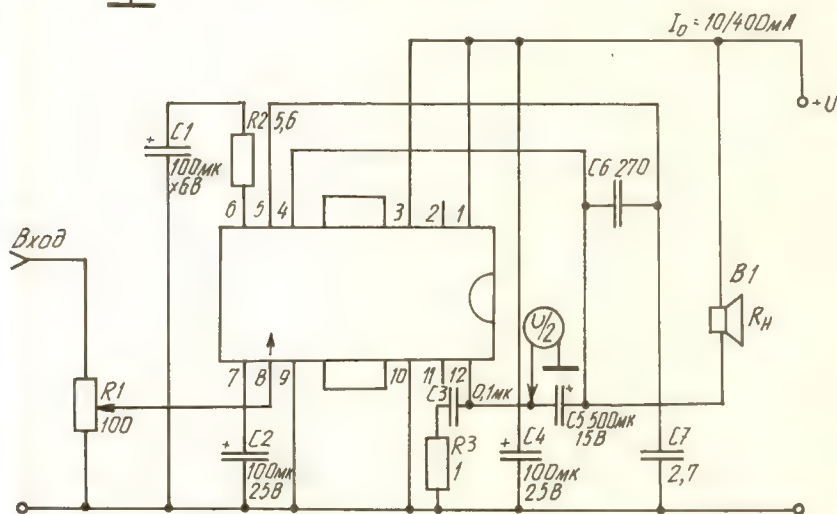
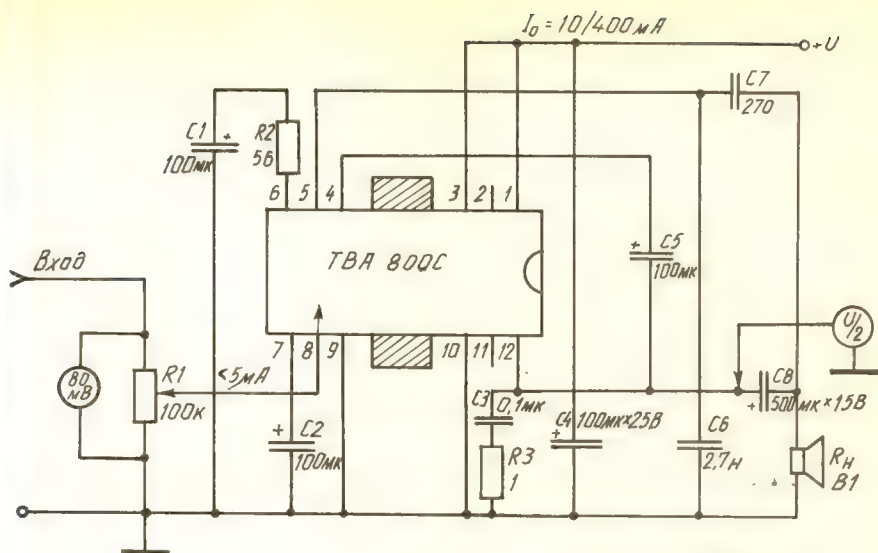
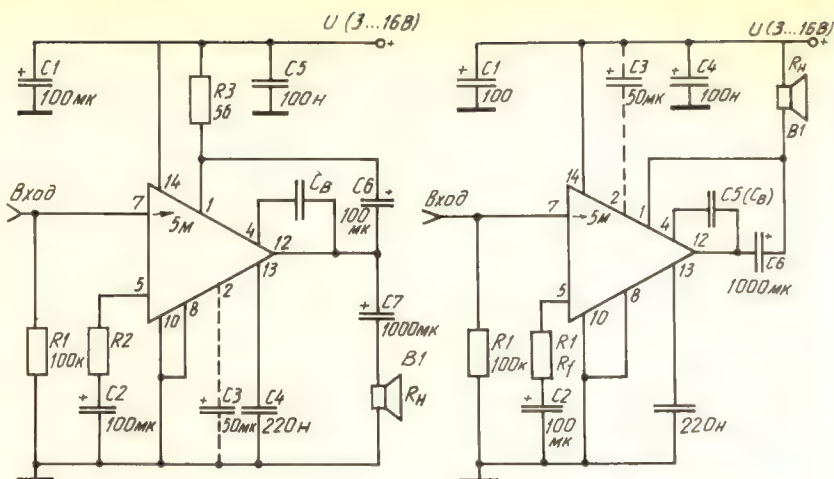


Рис. 21. Включение микросхемы ТВА810АС (усилитель мощности ЗЧ, $P_{\text{вых}} = 1...7$ Вт, диапазон частот 40 Гц...10 кГц, $K_r = 0,3\%$, $P_{\text{вых}} \leq 3$ Вт)

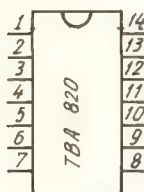


$U, \text{ В}$	9	12	15	18	18	24
$R_H, \text{ Ом}$	8	8	8	8	16	16
$P_{\text{вых}}, \text{ Вт}$	1,3	2,0	3,5	5,0	3,0	5,0

Рис. 22. Варианты включения микросхемы ТВА800С (усилитель мощности ЗЧ, $P_{\text{вых}} = 1,3 \dots 5$ Вт. Полоса частот 40 Гц...20 кГц, уровень шумов 5 мкВ, $K_r = 3\%$, 3 Вт)



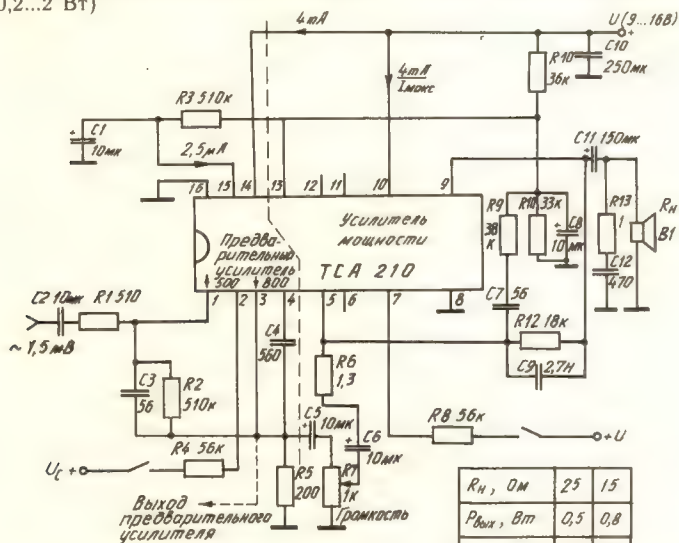
$U_{CC}, В$	3,5	6	9	9	12
$R_H, Ом$	4	4	8	4	8
$P_{вых}, Вт$	0,22	0,75	1,2	1,6	2,0
$I_0, мА$	2,5	3,5	4,0	4,0	4,5
$I_{max}, мА$	80	130	200	270	250



$C_B, нФ$	680	220
Полоса частот	25 Гц 7 кГц	25 Гц 20 кГц

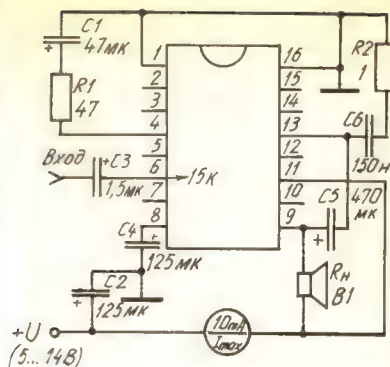
$R_f, Ом$	33	120
Коэффициц. усил. K_v	4,5	34
Коэффициц. гарм. K_g	0,8%	0,4%

Рис. 23. Варианты включения микросхемы TBA820 (усилитель мощности ЗЧ, $P_{вых} = 0,2...2$ Вт)



$R_H, Ом$	25	15
$P_{вых}, Вт$	0,5	0,8
$I_{max}, мА$	70	120

Рис. 24. Схема включения микросхемы TCA210 (предварительный и оконечный усилители мощности ЗЧ, чувствительность 1,5 мВ, $P_{вых} = 0,5...0,8$ Вт)



$U, В$	6	6	7,5	7,5	9	9	10	12
R_H, Ω	4	8	4	8	4	8	8	8
$P_{вых}, Вт$	0,62	0,46	1,0	0,78	1,4	1,1	1,45	2,0
$I_{макс}, мА$	185	125	225	165	300	190	215	250
$U_{BX}, мВ$	4,8	7	8	9	10	10	11	12

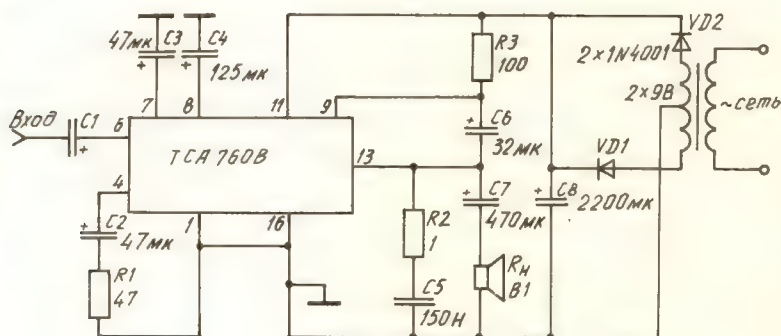


Рис. 25. Варианты включения микросхемы TCA760B (усилитель мощности ЗЧ, $P_{вых} = 0,5...2$ Вт, уровень шумов < 3 мкВ)

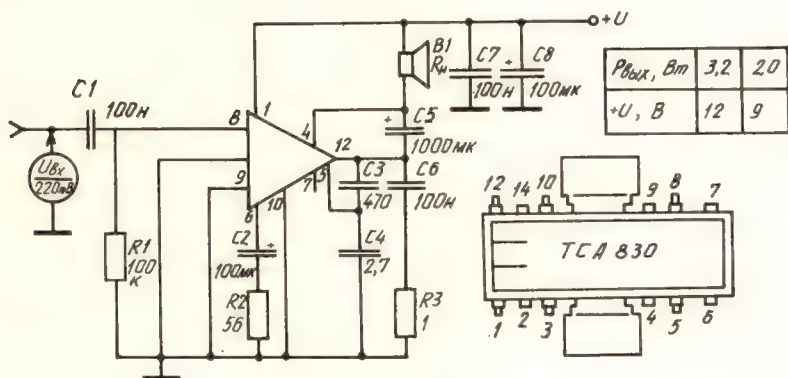
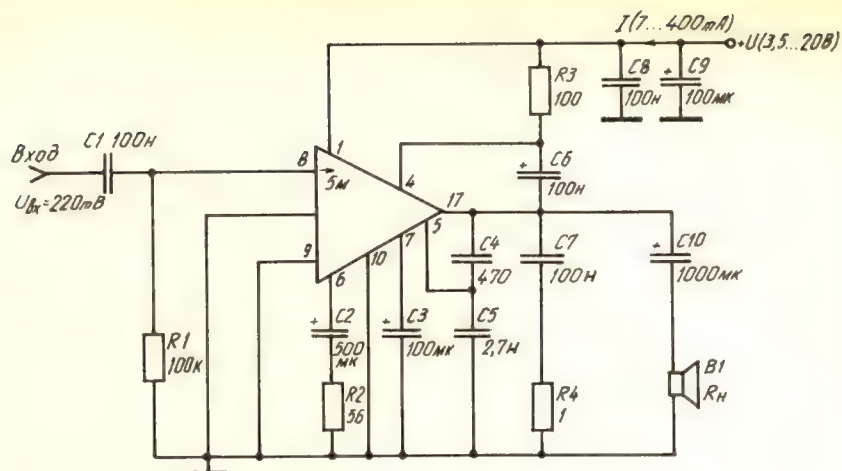


Рис. 26. Варианты включения микросхем ТСА830 и ТСА830А (усилитель мощности ЗЧ, $P_{\text{вых}} = 2...3,2$ Вт)

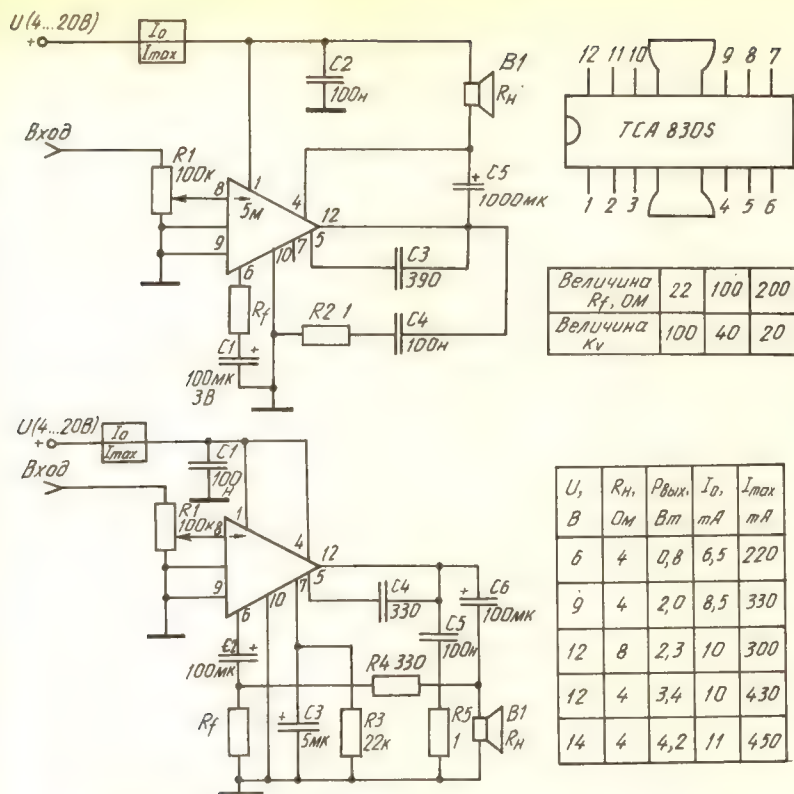


Рис. 27. Включение микросхемы TCA830S (усилитель мощности ЗЧ, $P_{\text{вых}} = 0,8 \dots 24$ Вт)

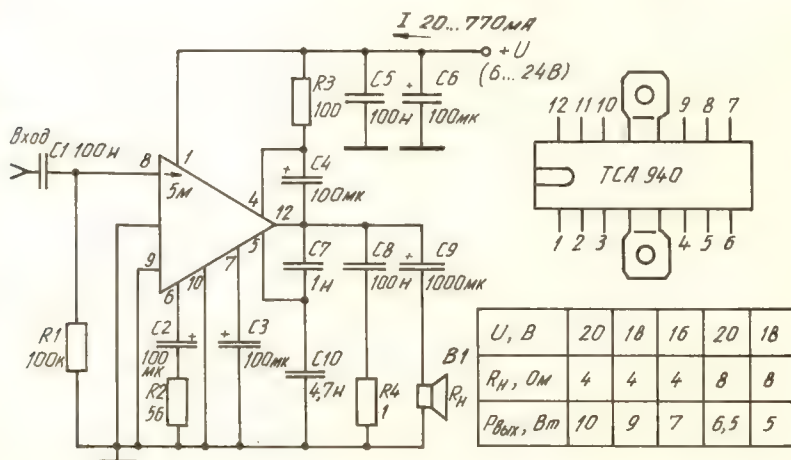


Рис. 28. Включение микросхемы TCA940 (усилитель мощности ЗЧ, $P_{\text{вых}} = 5 \dots 10$ Вт, полоса частот 40 Гц...20 кГц, $K_r = 0,3 \%$, $P_{\text{вых}} = 5$ Вт)

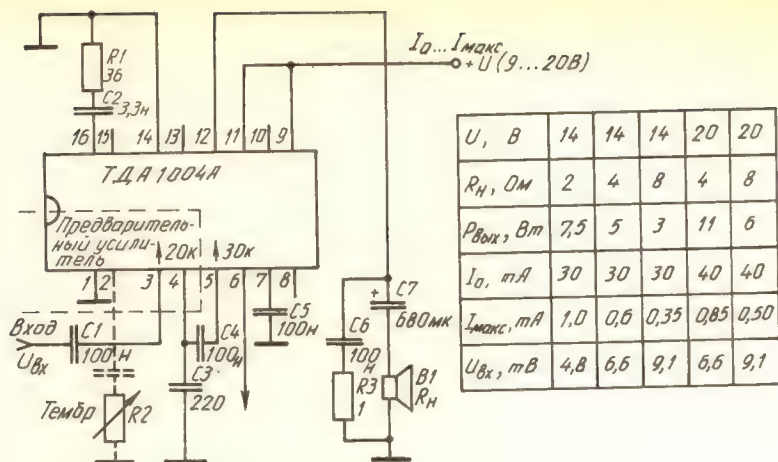


Рис. 29. Включение микросхемы ТДА1004А (предварительный усилитель совместно с усилителем мощности ЗЧ, $P_{вых} = 5...11$ Вт, $K_r = 0,2\%$, $P_{вх} = 2$ Вт, уровень шума на выходе 0,5 мВ)

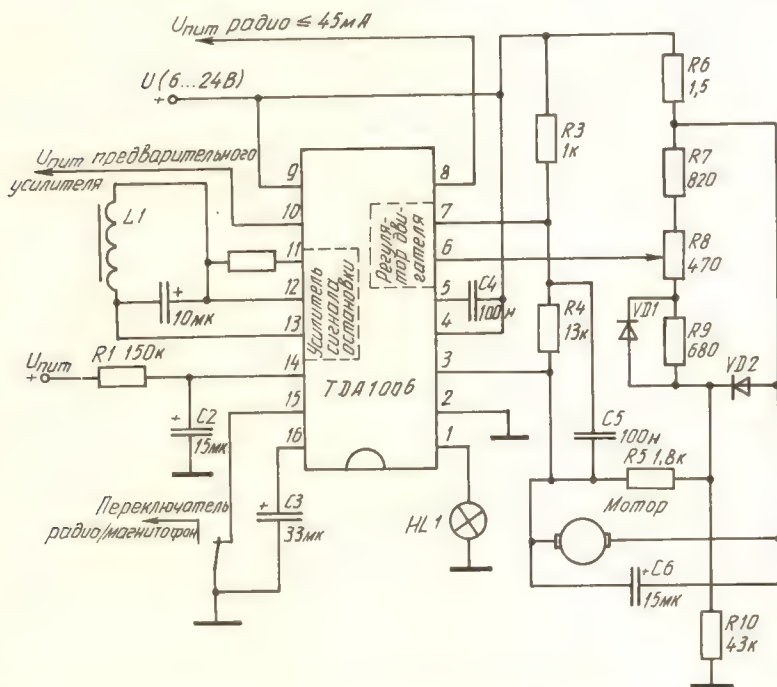


Рис. 30. Включение микросхемы ТДА1006 (применяется в схемах управления магнитол)

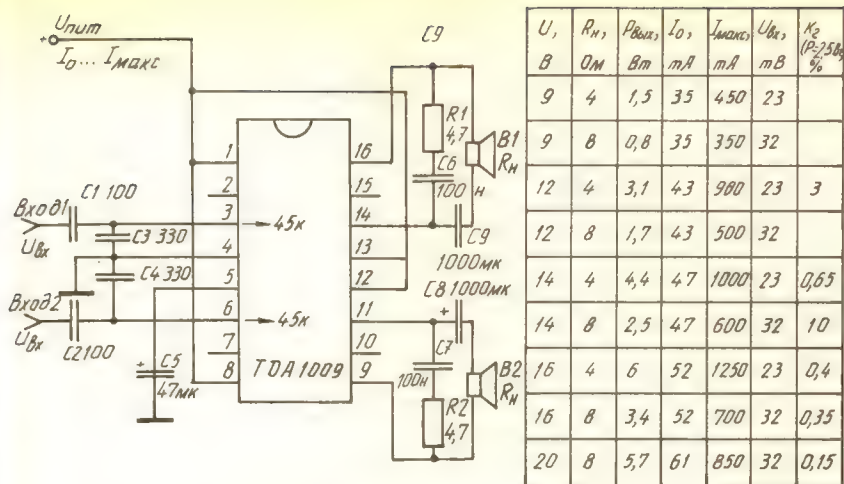


Рис. 31. Включение микросхемы ТДА1009 (двухканальный усилитель мощности $P_{\text{вых}} = 2 \times 0,8 \dots 5,7$ Вт)

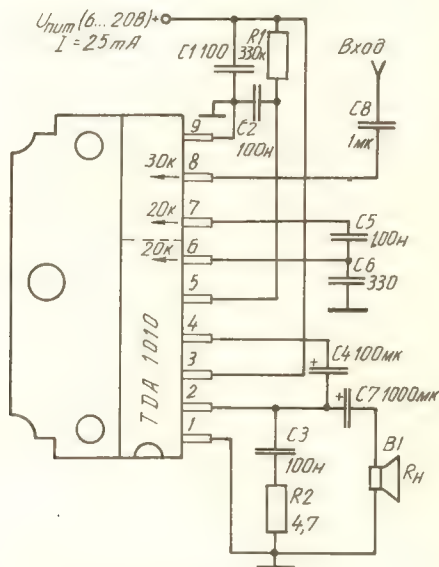


Рис. 32. Включение микросхемы ТДА1010 (усилитель мощности ЗЧ, $P_{\text{вых}} = 3 \dots 6$ Вт, $K_{\text{г}} = 0,3$ %, $P_{\text{вых}} = 3$ Вт, уровень шумов на выходе 1 мВ, полоса частот 60 Гц...15 кГц)

R _Н , Ом	2	4	8
P _{вых} , Вт	6	6	3
I _{макс} , А	2	1,4	0,8

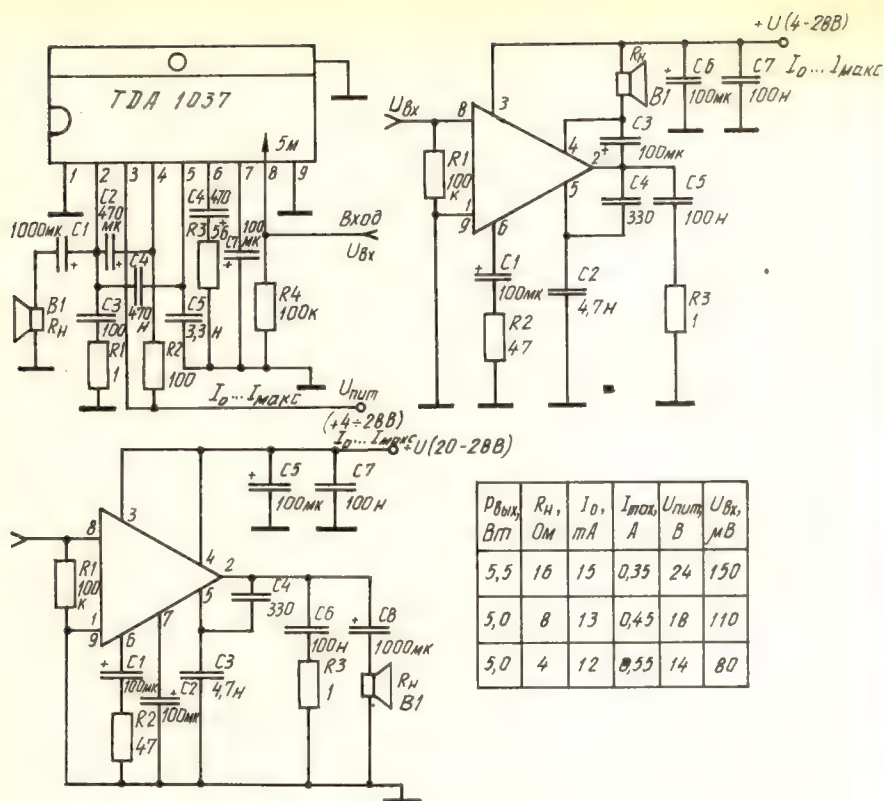


Рис. 33. Варианты включения микросхемы ТДА1037 (усилитель мощности ЗЧ, $P_{вых} = 5$ Вт, $K_f = 1\%$, полоса частот 35 Гц...20 кГц)

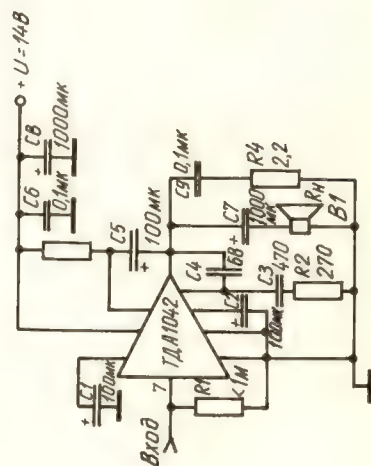
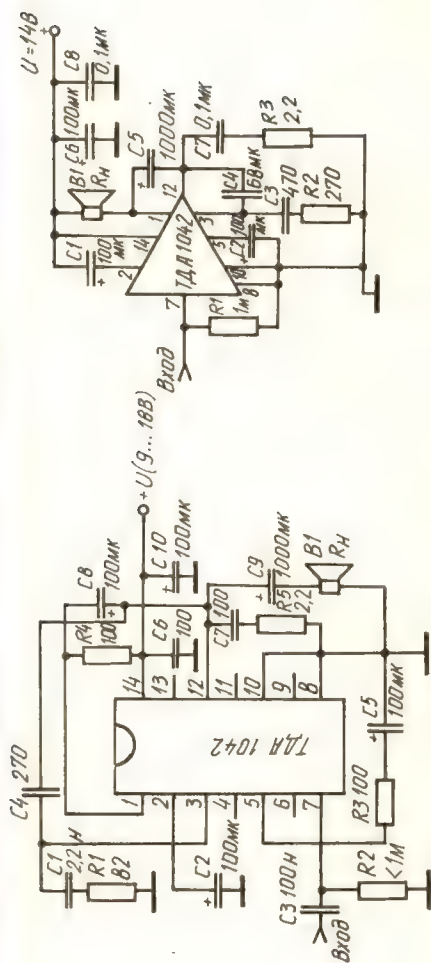


Рис. 34. Возможные схемы включения микросхемы ТДА1042 (усилитель мощности ЗЧ, $P_{\text{вых}} = 10 \text{ Вт}$, полоса частот 40 Гц...20 кГц)

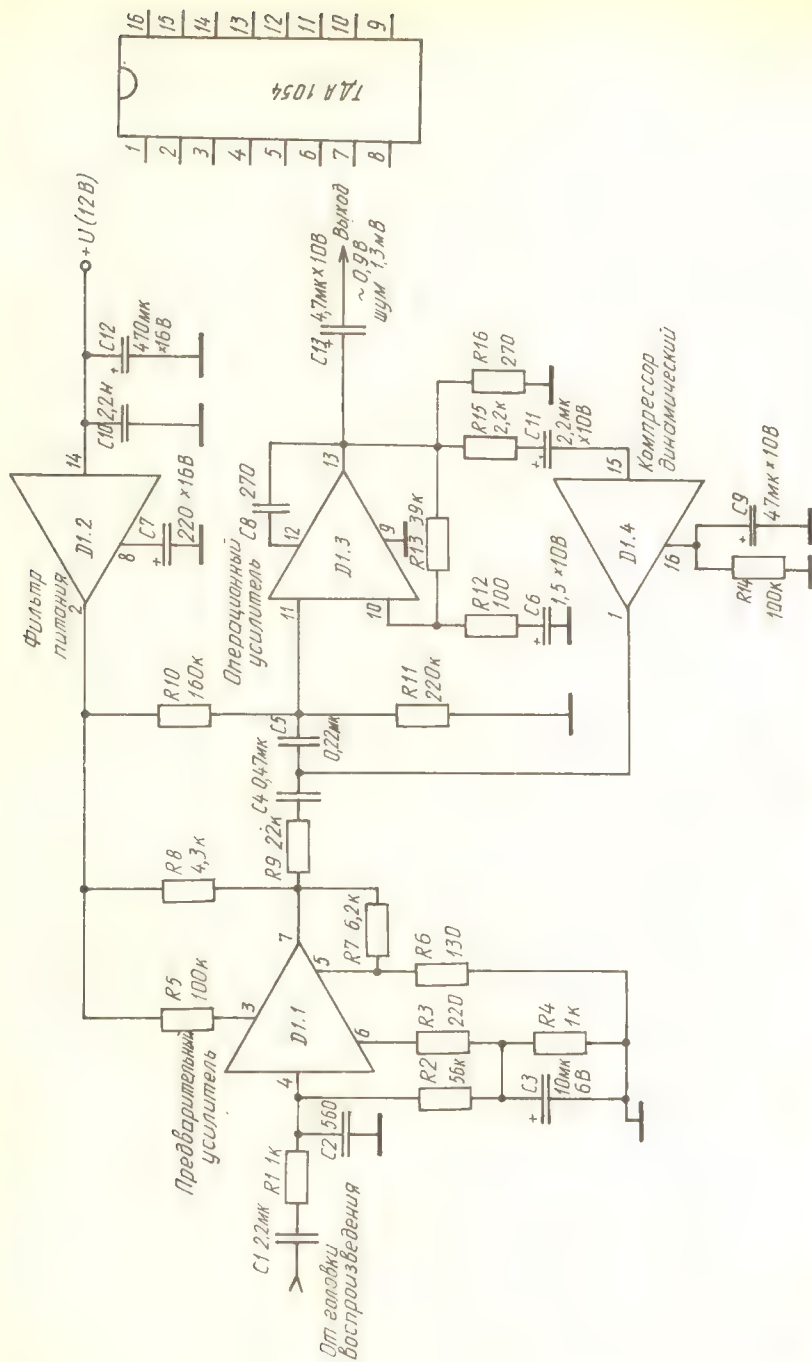
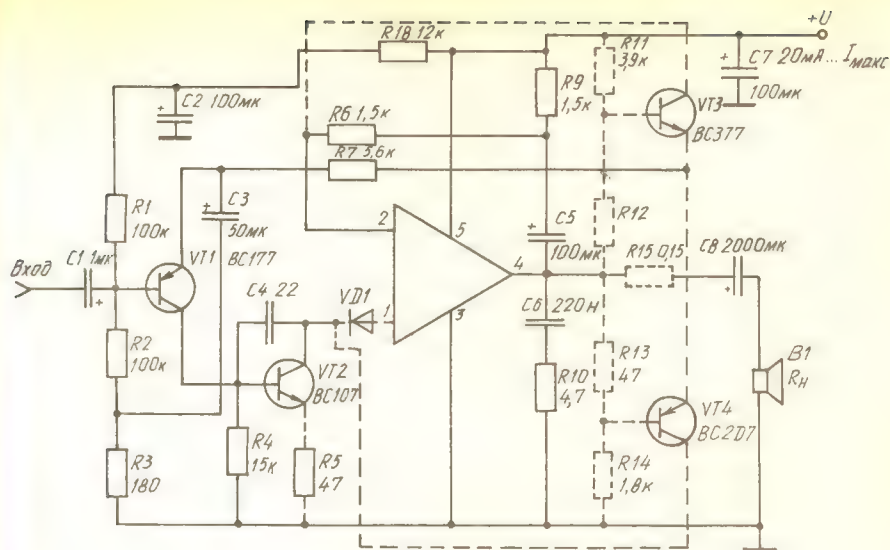


Рис. 35. Состав микросхемы ТДА1054 и ее включение (предварительный усилитель и компрессор для магнитной записи, $K_r = 0,1\%$)



	TDA1410		TDA1420	
U, В	27	25	36	34
R _н , Ом	8	4	8	4
P _{вых} , Вт	12	16	20	30
I _{max} , А	0,58	0,96	0,72	1,3

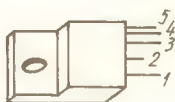
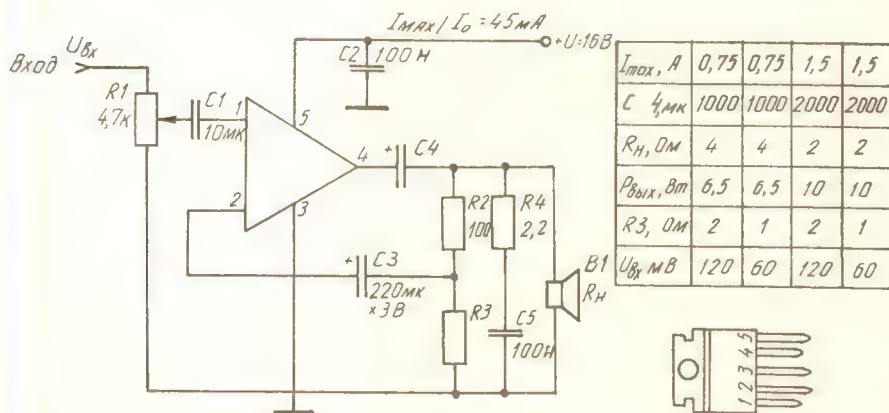


Рис. 36. Включение микросхем ТДА1410, ТДА1420 (усилитель мощности ЗЧ, $P_{\text{вых}} = 12 \dots 30$ Вт, полоса частот 20 Гц...10 кГц, $K_v = 0,2\%$ ($P = 10$ Вт), пунктиром показаны цепи защиты от короткого замыкания на выходе)



	I _{max} , А		U _х , МВ	
C 4, мк	1000	1000	2000	2000
R _н , Ом	4	4	2	2
P _{вых} , Вт	6,5	6,5	10	10
R3, Ом	2	1	2	1
U _х , МВ	120	60	120	60



Рис. 37. Включение микросхемы ТДА2002 (усилитель мощности ЗЧ, $P_{\text{вых}} = 6,5 \dots 10$ Вт, полоса частот 40 Гц...15 кГц)

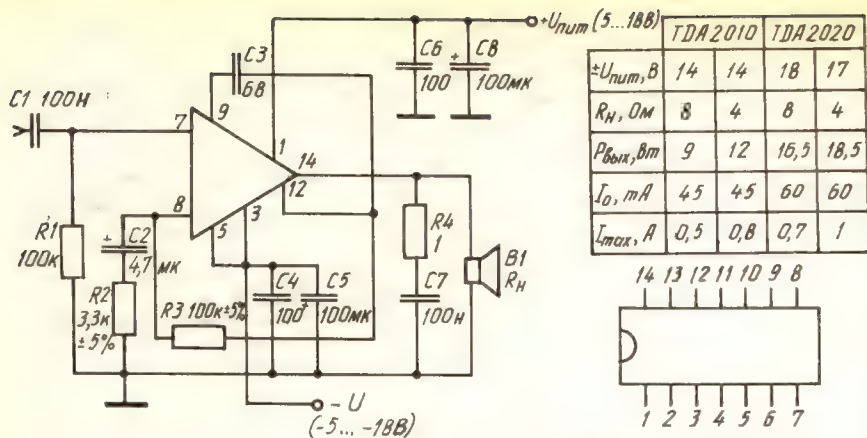


Рис. 38. Включение микросхем ТДА2010, ТДА2020 (усилитель мощности ЗЧ с двухполярным питанием, $P_{вых} = 9...18$ Вт, $K_r = 1\%$)

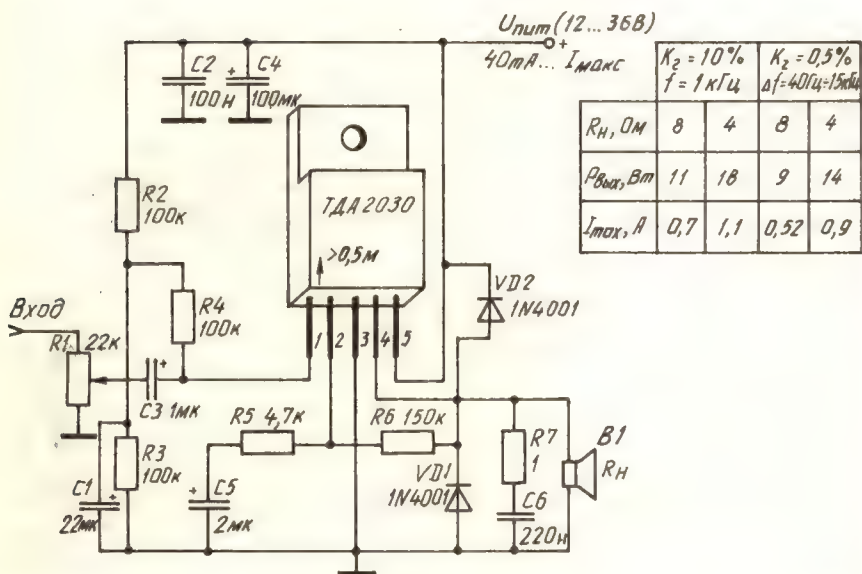


Рис. 39. Включение микросхемы ТДА2030 (усилитель мощности ЗЧ, $P_{вых} = 9...18$ Вт)

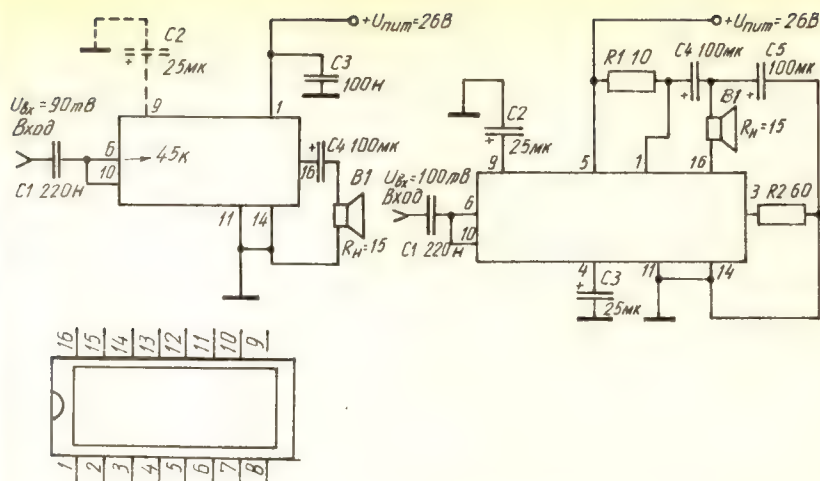


Рис. 40. Включение микросхемы ТДА2610 (усилитель мощности ЗЧ, $P_{\text{вых}} = 4...7$ Вт)

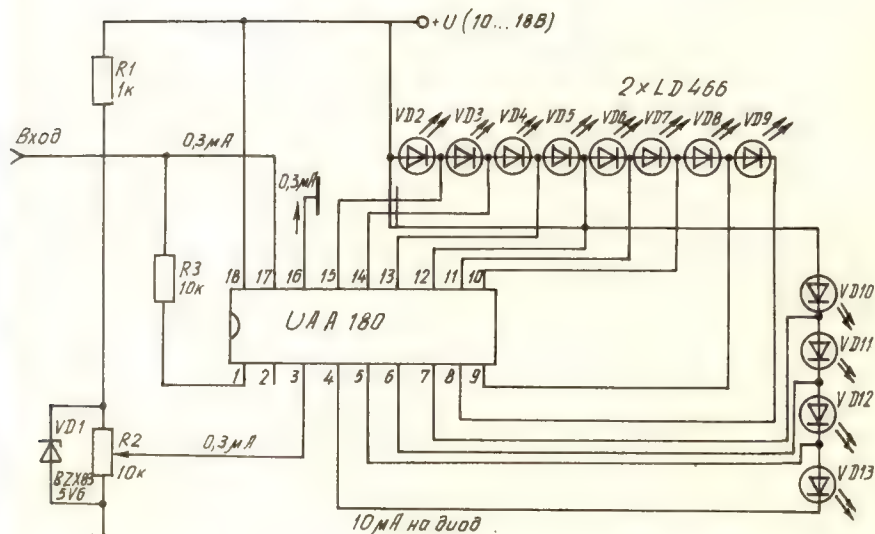


Рис. 41. Включение микросхемы UAA180 (светодиодный индикатор (12 ячеек))

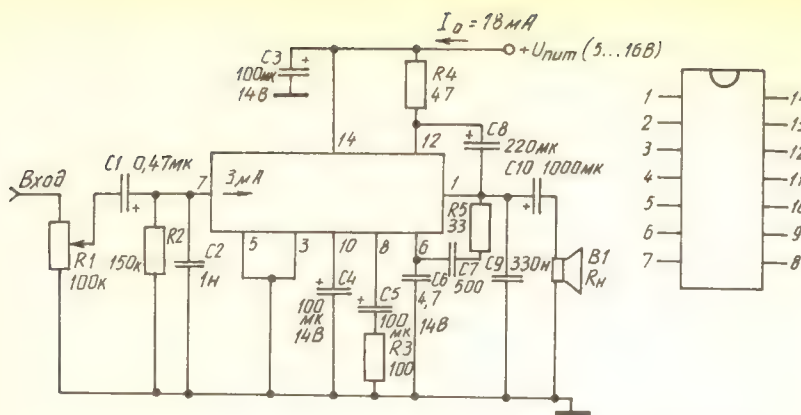


Рис. 42. Включение микросхемы MA706 (усилитель мощности ЗЧ, $P_{\text{вых}} = 1...4$ Вт, полоса частот 40 Гц... 20 кГц, $K_r = 0,2\%$, $P = 1$ Вт)

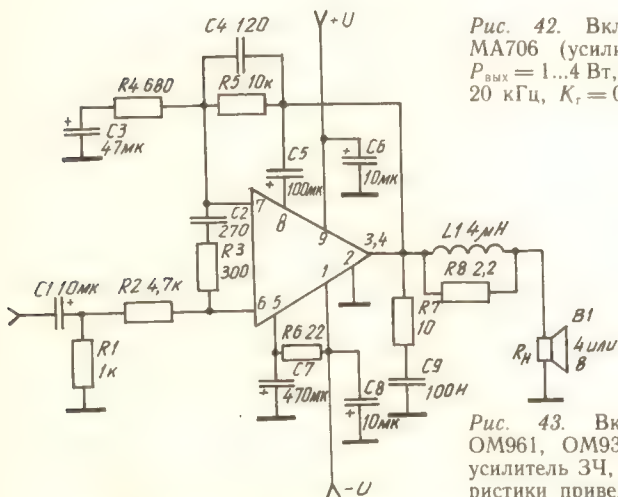
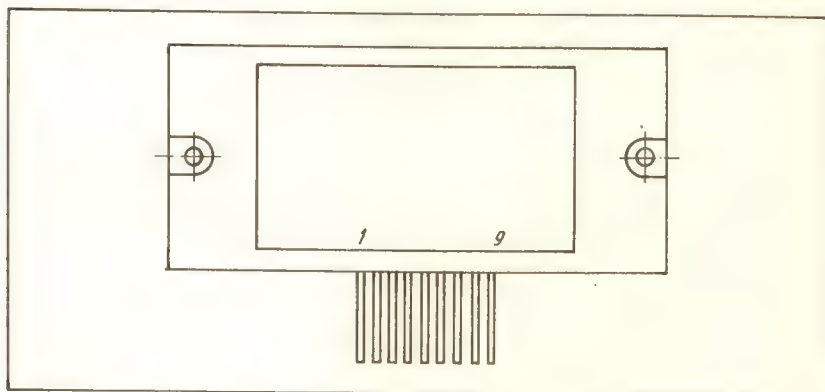


Рис. 43. Включение микросхем OM961, OM931, OM981 (мощный усилитель ЗЧ, технические характеристики приведены в таблице)

Технические характеристики		Наименование микросхем					
Наименование параметра	Обозначение	OM 931		OM 961		OM 981	
Величина $U_{\text{пит}}$ для $P_{\text{вых}}$ максимальная	$U, \text{В}$	± 23	± 26	± 31	± 35	± 36	
Ток покоя / Ток потребления	$I_0 / I_{\text{max}}, \text{мА/А}$	80 / 1,3		100 / 1,9		120 / 2,2	
Выходная мощность	$P_{\text{вых}}, \text{Вт}$	30		60		80	
Интермодуляционные искажения для $P_{\text{вых}} = 1 \text{ Вт}$ $P_{\text{вых}} = P_{\text{max}}$	$K_{\text{ин}}, \%$	0,05		0,05		0,05	
	$K_{\text{ин}}, \%$	0,1		0,1		0,1	
Чувствительность, P_{max}	$U_{\text{вх}}, \text{В}$	0,68	1,0	0,97	1,41	1,1	1,1
Полоса частот ($\pm 3 \text{ дБ}$)	Гц	20 Гц — 50 кГц					
Отношение сигнал/шум $P_{\text{вых}} = 5 \text{ мВт}$	дБ	87		87		87	

Основные характеристики							
Наименование Параметры	Микросхем	ОМ 931		ОМ 961		ОМ 981	
Двухполярное питание	$\pm U, В$	± 23	± 26	± 31	± 35	± 36	± 36
Выходная мощность в диапазоне 20 Гц ÷ 20 кГц $R_H = 40 \text{ Ом}$	$P_{\text{вых}}, \text{Вт}$	30		60		80	
$R_H = 80 \text{ Ом}$	$P_{\text{вых}}, \text{Вт}$		30		60		60
Коэффициент гармоник на $P_{\text{вых}} = 1 \text{ Вт}$ $f = 1 \text{ кГц}$	$k_2, \%$	0,02	0,02	0,02	0,02	0,02	0,02



Предельные параметры				
Наименование Параметры	Микросхем	ОМ 931	ОМ 961	ОМ 981
Максимальное напряжение питания	$\pm U, В$	± 40	± 45	± 50
Максимальная температура корпуса при работе	$T_{\text{max}}, ^\circ\text{C}$	95	95	95
Диапазон рабочих температур	$T, ^\circ\text{C}$	-30 ... +100	-30 ... +100	-30 ... +100

Рис. 44. Технические характеристики усилителей ЗЧ на микросхемах ОМ961, ОМ931, ОМ981

ОСНОВНЫЕ ТЕХНИЧЕСКИЕ ХАРАКТЕРИСТИКИ НЕКОТОРЫХ МАГНИТОФОНОВ И МАГНИТОФОННЫХ ПРИСТАВОК ЗАРУБЕЖНОГО ПРОИЗВОДСТВА

Таблица 1

Торговая марка	Коэффициент детонации, %	Рабочий диапазон частот на лентах типа	Относит. уровень шумов с разными системами шумоподавления, дБ	Количество двигателей	Количество головок и их тип	Входы, мВ	Выходы, В	Потребляемая мощность, Вт	Размеры, см	Вес, кг	Примечание
1	2	3	4	5	6	7	8	9	10	11	12
<i>Аппараты фирмы «Техникс»</i>											
RS-B100	$\pm 0,038$	норм., 20 Гц...20 кГц д-вх 92 CrO ₂ , 20 Гц...22 кГц д-с 78 мет., 20 Гц...24 кГц		2	2- (AX) записыв., воспроизв., 1-сенса- стирующ.	лин. 60	лин. 0,76	35	43×9,8× ×27,3	5,6	Двигатель прямого при- вода с кварце- вой стабили- зацией
RS-B85	$\pm 0,14$	норм., 20 Гц...19 кГц д-вх 92 CrO ₂ , 30 Гц...17 кГц д-с 75 мет., 30 Гц...18 кГц д-в 67		2	2- (AX) записыв., воспроизв., 1-сенса- стирующ.	лин. 60	лин. 0,46	24	43×9,9	5,2	—
RS-B55	$\pm 0,13$	норм., 30 Гц...16 кГц д-вх 92 CrO ₂ , 30 Гц...17 кГц д-с 75 мет., 30 Гц...18 кГц д-в 67		1	2- (AX) записыв., 1-феррит.	микро. 0,25 лин. 60	лин. 0,4	18	43×10× ×22,9	3,5	—
RS-B40	$\pm 0,14$	норм., 30 Гц...16 кГц д-вх 92 CrO ₂ , 30 Гц...17 кГц д-с 75 мет., 30 Гц...20 кГц д-в 67		2	1- (MX) записыв., воспроизв., 1-феррит., стирающ.	микро. 0,25	лин. 0,4	15	43×9,8× ×27,3	4,5	—

Продолжение табл. 1

1	2	3	4	5	6	7	8	9	10	11	12
RS-B33	$\pm 0,14$	норм., 30 Гц...15 кГц CrO ₂ , 30 Гц...16 кГц	двх 92 д-с 72	2	1-(AX) воспроизв., 1-(AX) записыв., воспроизв., 1-феррит., стирающ.	микр. 14 лин. 60	лин. 0,4	18	43×10,9× ×23,2	4,3	То же
RS-B11	$\pm 0,14$	норм., 30 Гц...15 кГц CrO ₂ , 30 Гц...16 кГц мет., 30 Гц...17 кГц	— — д-в 67	2	1-(AX) воспроизв., 1-(MX) записыв., воспроизв., 1-феррит., стирающ.	микр. 1 лин. 80	лин. 0,4	12	43×10,8× ×23,2	4	Двухкассет- ный
RS-B78	$\pm 0,14$	норм., 30 Гц...17 кГц CrO ₂ , 30 Гц...18 кГц мет., 30 Гц...19 кГц	двх 92 д-с 75 д-в 68	3	1-(AX) записыв., воспроизв., 1-феррит., стирающ.	микр. 0,25 лин. 60	лин. 0,7	25	43×9,8× ×27,3	5,3	С авторевер- сом
RS-B28	$\pm 0,14$	норм., 30 Гц...15 кГц CrO ₂ , 30 Гц...16 кГц мет., 30 Гц...17 кГц	— д-с 75 д-в 67	1	1-(MX) стирающ.	микр. 0,25 лин. 60	лин. 0,4	18	43×10× ×22,9	3,7	То же
RS-4	$\pm 0,14$	норм., 30 Гц...14 кГц CrO ₂ , 30 Гц...14 кГц мет., 30 Гц...15 кГц	— — д-в 67	1	1-(MX) записыв., воспроизв., 1-феррит., стирающ.	микр. лин.	лин.	9	315×118× ×244	3,1	—
RS-5	$\pm 0,14$	норм., 30 Гц...14 кГц CrO ₂ , 30 Гц...15 кГц мет., 30 Гц...16 кГц	—	1	1-(MX) записыв., воспроизв., 1-феррит., стирающ.	микр. лин.	лин.	9	315×118 244	3,1	—

Продолжение табл. 1

1	2	3	4	5	6	7	8	9	10	11	12
RS-M205	$\pm 0,14$	норм., 30 Гц...13 кГц CrO ₂ , 30 Гц...15 кГц мет., 30 Гц...15 кГц		1	1-(MX) записыв., воспроизв., 1-феррит. 1-MX 1-феррит.	микро. лин. дин.	лин. дин.	10	43×12,2× ×20,6	3,9	—
RS-206A	$\pm 0,14$	норм., 40 Гц...14 кГц CrO ₂ , 40 Гц...15 кГц мет., 40 Гц...16 кГц				лин. микро. дин.	лин.	10	43×10,9× ×23,3	4,0	—
RS-M226A	$\pm 0,14$	норм., 30 Гц...15 кГц CrO ₂ , 30 Гц...16 кГц д-с 75 мет., 30 Гц...17 кГц д-в 67		1	1-MK 1-феррит.	лин. микро. дин.	лин.	12	43×10,9× ×23,3	4,0	—
RS-M233X	$\pm 0,14$	норм., 30 Гц...16 кГц двх 92 CrO ₂ , 30 Гц...17 кГц д-с 75 мет., 30 Гц...18 кГц		1	1-MX 1-феррит.	лин. микро.	лин.	15	43×10,9× ×23,5	4,4	—
RS-M235X	$\pm 0,14$	норм., 30 Гц...16 кГц двх 92 CrO ₂ , 30 Гц...18 кГц д-с 75 мет., 30 Гц...18 кГц д-в 67		2	1-MX 1-феррит.	лин. микро.	лин.	18	43×9,8× ×27,3	5,0	—
RS-M245X	$\pm 0,14$	норм., 30 Гц...16 кГц двх 92 CrO ₂ , 30 Гц...18 кГц д-с 75 мет., 30 Гц...18 кГц д-в 67		2	1-AX 1-феррит.	лин. микро.	лин.	22	43×9,8× ×27,3	5,1	—
RS-M263	$\pm 0,14$	норм., 25 Гц...16 кГц двх 67 CrO ₂ , 25 Гц...18 кГц мет., 25 Гц...19 кГц		1	2-(AX) записыв., воспроизв., 1-феррит.	лин. микро.	лин.	17	43×11,9× ×28,2	5,3	—
RS-M253	$\pm 0,14$	норм., 20 Гц...18 кГц двх 92 CrO ₂ , 20 Гц...20 кГц д-с 78 мет., 20 Гц...21 кГц д-в 70		2	2-(AX) записыв., воспроизв., 1-сендент.	микро. лин.	лин.	25	43×9,8× ×27,3	5,3	—
RS-B58	$\pm 0,14$	норм., 30 Гц...17 кГц двх 92 CrO ₂ , 30 Гц...18 кГц д-с 92 мет., 30 Гц...19 кГц д-в 67		3	1-AX- 1-феррит.	микро. лин.	лин.	18	43×9,5× ×27,3	5,0	—
RS-M222	$\pm 0,14$	норм., 30 Гц...15 кГц 67 CrO ₂ , 30 Гц...17 кГц мет., 30 Гц...18 кГц		2	1-(MX) записыв., воспроизв.	микро.	лин.	15	43×11,9× ×27,8	5,6	—

1	2	3	4	5	6	7	8	9	10	11	12
RS-Д550	±0,16	норм. 30 Гц...14 кГц CrO ₂ , 30 Гц...15 кГц мет., 30 Гц...16 кГц д-в 66	— — д-в 66	2	1-(MX) воспроизв., 1-феррит. 2 1-(MX) воспроизв. 1-(MX) записыв., воспроизв., 1-феррит.	лин. 60	лин. 0,4	12	43×11,4× ×22,9	3,5	Двухкассет- ный
RS-B25	±0,12	норм., 30 Гц...15 кГц CrO ₂ , 30 Гц...16 кГц д-с 75 мет., 30 Гц...17 кГц д-в 67	— 75 д-в 67	1	1-(MX) воспроизв., 1-феррит.	микро. 0,25 лин. 60	лин. 0,4	16	43×10× ×22,9	3,4	—
RS-Д450	±0,16	норм., 30 Гц...14 кГц CrO ₂ , 30 Гц...15 кГц д-с 74 мет., 30 Гц...16 кГц д-в 66	— 74 д-в 66	1	1-MX 1-феррит.	микро. 0,25 лин. 70	лин. 0,4	9	43×11,4× ×22,8	3	—
RS-Д250	±0,16	норм., 30 Гц...14 кГц CrO ₂ , 30 Гц...15 кГц мет., 30 Гц...16 кГц д-в 66	— — д-в 66	1	1-MX 1-феррит.	микро. 0,25	лин. 0,4	9	43×11,4× ×22,8	3	—
RS-B905	±0,12 (DIN)	20 Гц...20 кГц (норм.) 92 (двх) 20 Гц...21 кГц (CrO ₂) 72 (D-C) 20 Гц...22 кГц (Me) 67 (D-B)	— 72 (D-C) 67 (D-B)	2	3-(MX + сендаст)	60 мВ/47 кОм 2,2 кОм 125 мВ/ 8 Ом	400 мВ/ 2,2 кОм	25	43×11× ×28,5	5,0	Долби НХ PRO класс АА
RS-B705	±0,18 (DIN)	20 Гц...19 кГц (норм.) 75 (D-C) 20 Гц...20 кГц (CrO ₂) 75 (D-C) 20 Гц...21 кГц (Me) 67 (D-B)	— 75 (D-C) 67 (D-B)	2	3-(MX + сендаст)	60 мВ/47 кОм 400 мВ/ 2,2 кОм	400 мВ/ 80 мВ/8 Ом	23	43×11× ×28,5	5,0	Долби HXPRO класс АА
RS-B605	±0,2 (DIN)	20 Гц...16 кГц (норм.) 92 (двх) 20 Гц...17 кГц (CrO ₂) 74 (D-C) 20 Гц...18 кГц (Me) 66 (D-B)	— 92 (двх) 74 (D-C) 66 (D-B)	2	2-(MX + феррит)	микро. 0,25 мВ/ 400...10 кОм 80 мВ/ 60 мВ/47 кОм 8 Ом	400 мВ/ 2,2 кОм	20	43×11× ×28,7	5,0	Долби HXPRO класс АА
RS-B505	±0,2 (DIN)	20 Гц...16 кГц (норм.) 20 Гц...17 кГц (CrO ₂) 74 (D-C) 20 Гц...18 кГц (Me) 66 (D-B)	— 74 (D-C) 66 (D-B)	2	2-(MX + феррит)	микро. 0,25 мВ/ 400...10 кОм 80 мВ/ 60 мВ/47 кОм 8 Ом	400 мВ/ 2,2 кОм	20	43×11× ×28,7	4,4	Долби HXPRO класс АА

1	2	3	4	5	6	7	8	9	10	11	12
RS-B105	$\pm 0,2$ (DIN)	20 Гц...15 кГц (норм.) 20 Гц...15 кГц (CrO ₂) 20 Гц...16 кГц (Me)	— — 66 (D-B)	1	2-(MX + феррит)	микро. 0,25 мВ/ 400...10 кОм 60 мВ/47 кОм 60 мВ/47 кОм	400 мВ/ 3,2 к 1,5 кОм 80 мВ/8 Ом	9	43×11× ×23,6	3	
RS-T80	$\pm 0,2$ (DIN)	30 Гц...16 кГц (норм.) 30 Гц...17 кГц (CrO ₂) 30 Гц...18 кГц (Me)	92 (dвх) 75 (D-C) 67 (D-B)	2	4-(MX + феррит)	60 мВ/47 кОм	400 мВ/ 25	25	43×11,1× ×27,5	5,4	Двухкассет- ник с авторе- версом
RS-T55	$\pm 0,2$ (DIN)	20 Гц...16 кГц (норм.) 20 Гц...17 кГц (CrO ₂) 20 Гц...18 кГц (Me)	92 (dвх) 75 (D-C) 66 (D-B)	4	3-(MX + феррит)	60 мВ/47 кОм	430 мВ/21 3 кОм 80 мВ/8 Ом	14	43×11,9× ×27,4	5,2	Двухкассет- ник с авторе- версом
RS-T330P	$\pm 0,2$ (DIN)	20 Гц...16 кГц (норм.) 20 Гц...16 кГц (CrO ₂) 20 Гц...17 кГц (Me)	— 74 (D-C) 66 (D-B)	2	3-(MX + феррит)	60 мВ/47 кОм	400 мВ/ 3,2 кОм 30 мВ/8 Ом	14	43×12,5× ×23,5	4,5	Двухкассет- ник с авторе- версом
RS-T230	$\pm 0,2$ (DIN)	20 Гц...15 кГц (норм.) 20 Гц...15 кГц (CrO ₂) 20 Гц...16 кГц (Me)	— 74 (D-C) 66 (D-B)	2	3-(MX + феррит)	60 мВ/47 кОм	400 мВ/ 3,2 кОм 30 мВ/ 8 Ом	14	43×12,5× ×23,5	4,5	Двухкассет- ник
RS-T130	$\pm 0,2$ (DIN)	20 Гц...15 кГц (норм.) 20 Гц...15 кГц (CrO ₂) 20 Гц...16 кГц (Me)	— — 66 (D-B)	2	3-(MX + феррит)	60 мВ/ 47 кОм	600 Ом 400 мВ/ 3,2 кОм 30 мВ/ 8 Ом	18	43×12× ×22,8	3,8	Двухкассет- ник
RS-X990	$\pm 0,07$ (WRMS)	30 Гц...16 кГц (норм.) 30 Гц...17 кГц (CrO ₂) 30 Гц...18 кГц (Me)	(CCIP) 74 (D-B) 66 (D-C)		3-пермаллой, феррит		600 Ом		36×12,8× ×28,5	4,6	Двухкассет- ник
RS-X950	$\pm 0,08$ (WRMS)	30 Гц...16 кГц (норм.) 30 Гц...17 кГц (CrO ₂) 30 Гц...18 кГц (Me)	74 (D-C) 66 (D-B) 56 без (CCIP)		3-пермаллой, феррит				36×12,8× ×28,5	4,4	Двухкассет- ник

1	2	3	4	5	6	7	8	9	10	11	12
<i>Аппараты фирмы «СОНИ»</i>											
TC-K700E	0,04 (DIN)	20 Гц...20 кГц (Me)	73 (D-C) 60 (безD)	3		77,5 мВ/ 47 кОм	440 мВ/ 47 кОм	30	43×12,5× ×35	8,4	Прямой при- вод кварц. стабилизация
TC-RX80E	±0,14 (DIN)	30 Гц...20 кГц (Me)	72 (D-C) 59 (безD)	2		77,5 мВ/ 47 кОм	440 мВ/ 47 кОм	24	43×11,8× ×31,5	5,1	Автореверс Долби HXPRO Анализатор спектра
TC-RX50	±0,04 (DIN)	30 Гц...18 кГц (Me)	71 (D-C) 58 (безD)	2		77,5 мВ/ 47 кОм	440 мВ/ 47 кОм	15	43×11,8× ×25,5	3,8	Автореверс
TC-FX100	±0,2 (DIN)	30 Гц...15 кГц (Me)	71 (D-C) 58 (безD)	2		77 мВ/ 47 кОм	440 мВ/ 47 кОм	10	43×11,8× ×25	3,5	
<i>Аппараты фирмы «Джи-Ви-Си»</i>											
DDV9	0,06 (DIN)	норм. 25 Гц...17 кГц ± ±3 дБ	NR	3	2-SA 1-феррит				43,5×11,0× ×28,2	6,8	Автореверс Прямой при- вод КГ ₃ = = 0,4 % (Me)
DDV7	0,08 (DIN)	CrO ₂ 25 Гц...18 кГц ± ±3 дБ Me 25 Гц...18 кГц ± ±3 дБ норм.: 30 Гц...16 кГц ± ±3 дБ CrO ₂ : 30 Гц...17 кГц ± ±3 дБ Me: 30 Гц...17 кГц ± ±3 дБ	DB D-C- 60 дБ NR D-B D-C58	3	2-SA 1-феррит				43,5×11,0× ×28,2	5,8	Автореверс обзор прог- раммы КГ ₃ = = 0,5 % (Me)
DDV99	0,055 (DIN)	норм.: 25 Гц...17 кГц ± ±3 дБ CrO ₂ : 25 Гц...18 кГц ± ±3 дБ Me: 25 Гц...18 кГц ± ±3 дБ	NR D-B D-C60	3	2-X-CuSA 1-SA				43,5×110× ×32,3	7,7	Прямой при- вод с кварц. стабилизат. КГ ₃ = = 0,4 % (Me)

Продолжение табл. 1

1	2	3	4	5	6	7	8	9	10	11	12
DDV77	0,06 (DIN)	норм.: 30Гц...17 кГц ± ± 3дБ CrO ₂ : 30Гц...18 кГц ± ± 3дБ Me: 30 Гц...18 кГц ± ± 3дБ	NR D-B D-C60	2 2-SE 1-феррит	3				43,5× × 11,0× × 27,6	6,3	Прямой при- вод, обзор программы KГ ₃ = = 0,4 % (Me)
DD66	0,06 (DIN)	норм.: 30Гц...17 кГц ± ± 3дБ CrO ₂ : 30Гц...18 кГц ± ± 3дБ Me: 30 Гц...18 кГц ± ± 3дБ	NR D-B D-C60	2 2-SE 1-феррит	3				43,5× × 11,0× × 27,6	6,1	KГ ₃ = = 0,4 % (Me) прямой при- вод
KD-D55	0,16 (DIN)	норм.: 30Гц...15 кГц ± ± 3дБ CrO ₂ : 30Гц...16 кГц ± ± 3дБ Me: 30 Гц...16 кГц ± ± 3дБ	NR D-B D-C58	2 2-Me 1-феррит	3				43,5× × 10,9× × 28,0	5,5	KГ ₃ = = 0,5 % (Me)
KD-V44	0,16 (DIN)	норм.: 30Гц...15 кГц ± ± 3дБ CrO ₂ : 30Гц...16 кГц ± ± 3дБ Me: 30 Гц...16 кГц ± ± 3дБ	NR D-B D-C58	2 1-SA 1-феррит	2				43,5× × 10,9× × 27,8	4,7	KГ ₃ = = 0,5 % (Me) Автоверс
KD-D40	0,16 (DIN)	норм.: 20Гц...16 кГц ± ± 3дБ CrO ₂ : 20Гц...17 кГц ± ± 3дБ Me: 20 Гц...17 кГц ± ± 3дБ	NR D-B D-C58	2 1-SA 1-феррит	2				43,5× × 11,6× × 26,5	6,0	KГ ₃ = = 0,5 % (Me) Пятиполос- ный индика- тор спектра сигнала
KD-V33	0,18 (DIN)	норм.: 20Гц...15 кГц ± ± 3дБ CrO ₂ : 20Гц...16 кГц ± ± 3дБ	NR D-B	2 1-Me	2				43,5× × 11,7× × 28,1	4,5	KГ ₃ = = 0,5 % (Me) Автоверс

Продолжение табл. 1

1	2	3	4	5	6	7	8	9	10	11	12
<p>Me:20 Гц...16 кГц ± 3 дБ норм.:30 Гц...14 кГц ± 3 дБ CrO₂:30 Гц...15 кГц ± 3 дБ Me:30 Гц...16 кГц ± 3 дБ норм.:40 Гц...14 кГц ± 3 дБ CrO₂:40 Гц...15 кГц ± 3 дБ Me:40 Гц...15 кГц ± 3 дБ</p>											
KD-V30	0,16 (DIN)	Me:20 Гц...16 кГц ± 3 дБ норм.:30 Гц...14 кГц ± 3 дБ CrO ₂ :30 Гц...15 кГц ± 3 дБ Me:30 Гц...16 кГц ± 3 дБ	D-C58 NR D-B	2 2	1-феррит 1-Me				43,5× ×11,6× ×26,5	6,0 КГ ₃ =0,5 %	
KD-V22	0,20 (DIN)	Me:20 Гц...16 кГц ± 3 дБ норм.:40 Гц...14 кГц ± 3 дБ CrO ₂ :40 Гц...15 кГц ± 3 дБ Me:40 Гц...15 кГц ± 3 дБ	D-C58 NR D-B D-C58	2 2	1-феррит 1-Me 1-феррит				43,5× ×11,5× ×24,0	3,7 КГ ₃ =0,5 %	
TC-WR800	±0,2 (DIN)	30 Гц...18 кГц (Me) ± 3 дБ	71 (D-C) 58 (безD)	2	2	77,5 мВ/ 47 кОм	440 мВ/ 47 кОм	25	43×11,8× ×25	4,5	Авторevers
TC-WP500	±0,2 (DIN)	30 Гц...15 кГц ± 0,2 (DIN)	71 (D-C) 58 (безD)	2	2	77,5 мВ/ 47 кОм	440 мВ/ 47 кОм	16	43×11,8× ×25	4,0	Авторevers
TC-W300	±0,2 (DIN)	30 Гц...15 кГц ± 0,2 (DIN)	71 (D-C) 58 (безD)	2	2	77,5 мВ/ 47 кОм	440 мВ/ 47 кОм	13	43×11,8× ×25	3,5	
Аппараты фирмы «Кенуд»											
X-7WX	0,09 (WRMS)	норм.:30 Гц... 15 кГц ± 3 дБ CrO ₂ :30 Гц... 16 кГц ± 3 дБ Met:30 Гц... 16 кГц ± 3 дБ	58 Д-B67 Д-C75	2-универс. 2-стирающ.					34×11,9× ×34	5,8	Двухкас- сетник Авторevers Автомати- ческое подмагничи- вание
X-5WX	0,09 (WRMS)	норм.:30 Гц... 15 кГц ± 3 дБ CrO ₂ :30 Гц... 16 кГц ± 3 дБ	58 Д-B67	3					34×11,9× ×35,6	4,5	Двухкас- сетник Авторevers

1	2	3	4	5	6	7	8	9	10	11	12
X-3WX	0,09 (WRMS)	Мет:30 Гц...	Д-С75								
		16 кГц±3 дБ	57	3					34×11,9× ×35,6	4,2	Двухкас- сетник Автореверс
		норм.:30 Гц...	Д-В65								
		14 кГц±3 дБ	Д-С72								
KD-V11	0,20	CrO ₂ :30 Гц...									
		15 кГц±3 дБ	NR	2	2				43,5× ×11,5× ×24,0	3,5	КГ ₃ =0,5 %
		Мет:30 Гц...									
		15 кГц±3 дБ									
KD-W7	0,16	норм.:40 Гц...	Д-В58		1-Ме						
		14 кГц±3 дБ			1-феррит						
		CrO ₂ :40 Гц...									
		14 кГц±3 дБ	NR	2	2				43,5× ×13,7× ×27,3	7,0	КГ ₃ =0,5 %
D-2200M	±0,05	норм.:30 Гц...	Д-В58		1-SA						
		15 кГц±3 дБ			1-феррит						
		CrO ₂ :30 Гц...									
		15 кГц±3 дБ									
Д-Е99	±0,1	Мет:30 Гц...									
		16 кГц±3 дБ									
		мет., 25 Гц...20 кГц	д-с 75 д-в	2	3				43×5× ×28,2	2	ведущих вала
			д-с 75 д-в	2	3				43,5×11× ×28,2	То же	
Д-Е7	±0,1	мет., 25 Гц...20 кГц	д-с 75 д-в	2	3				43,5×11× ×27,2		
			д-с 75 д-в	2	3				43,5×11× ×27,2	С авторевер- сом	
Д-Р7	±0,13	мет., 30 Гц...19 кГц	д-с 74 д-в	2	2				43,5×11× ×27,2		
		мет., 40 Гц...17 кГц	д-с 74 д-в	2	2						
Аппараты фирмы «Хитачи»											

1	2	3	4	5	6	7	8	9	10	11	12
Д-W700	±0,13		д-с 71 д-в	2	2				43,5×11× ×27,9		Двухкассет- ный с програм. управл.
Д-МД1	±0,2		—	2	2				32,0× ×12,0× ×26,2		Двухкассет- ный с тайме- ром С таймером
Д-Е3	±0,09	мет., 30 Гц...16 кГц	д-с 71 д-в	2	2				43,5×11× ×21,8		—
Д-Е2	±0,17	мет., 30 Гц...17 кГц	д-с 71 д-в	1	2				43,5×11× ×21,8		—
Д-Е1	±0,17	мет., 30 Гц...16 кГц мет., 30 Гц...16 кГц	д-с 71 д-в	1	2				43,5×11× ×21,8		—
Аппараты фирмы «Сони»											
ТС-FX600	±0,14	норм., 30 Гц...15 кГц CrO ₂ , 30 Гц...17 кГц	— д-с 72 д-в 66	—	2	микро. 0,25 лин. 77	лин. 0,4	26	43×10,5× ×27,5	5,5	K=1 %
ТС-FX705	±0,14	норм., CrO ₂ , 30 Гц...17 кГц мет., 30 Гц...17 кГц	д-с 72 д-в 66 без д 59	2	2	микро. 0,25 лин. 77	лин. 0,4	25	43×10,5× ×27,5	5,9	K=1 %
ТС-FX7072	±0,14	норм., CrO ₂ , 30 Гц...17 кГц мет., 30 Гц...17 кГц	д-с 72 д-в 66 без д 59	2	2	микро. 0,25 лин. 77	лин. 0,4	27	43×10,5× ×27,5	6,2	K=1 %
ТС-FX310	±0,14	норм., 30 Гц...13 кГц CrO ₂ , 30 Гц...16 кГц	д-с 71 д-в 65	1	2	микро. 0,25 лин. 77	лин. 0,46	13	43×10,5× ×27,5	4,2	K=1 %
ТС-FX5102	±0,15	мет., 30 Гц...16 кГц норм., 30 Гц...15 кГц CrO ₂ , 30 Гц...17 кГц	без д 58 д-с 71 д-в 65	1	2	микро. 0,25 лин. 77	лин. 0,4	24	43×10,5× ×27,5	4,7	K=1 %
ТС-K555	±0,07	мет., 30 Гц...17 кГц норм., 20 Гц...17 кГц CrO ₂ , 20 Гц...17 кГц	без д 58 д-с 73 д-в 67	2	3	лин. 77	лин. 0,4	30	43×10,5× ×33	6,6	K=8 % С кварцевой стабилизацией
		мет., 20 Гц...17 кГц	без д 60			лин. 77	лин. 0,4	50	43×10,5×	6,5	K=0,8 %

1	2	3	4	5	6	7	8	9	10	11	12
ТС-3666	±0,07	норм., 25 Гц...17 кГц CrO ₂ , 20 Гц...19 кГц	д-с 73 д-в 67	3	3	лин. 77	лин. 0,4	50	43×10,5× ×39	2 ведущих вала K=0,7 % 2 ведущих вала	
ТС-K777	±0,05	мет., 20 Гц...19 кГц норм., 16 Гц...17 кГц CrO ₂ , 30 Гц...15 кГц	д-с 74 д-с без д 61	2 1	3 2	лин. 77	лин. 0,4	10	43×10,5× ×27,5	6,6	—
ТС-X210	±0,14	мет., 15 Гц...19 кГц норм., 30 Гц...13 кГц CrO ₂ , 30 Гц...15 кГц	д-с д-в 65 без д 58	1	2	микро. 0,25	лин. 0,4	10	21,5× ×10,5× ×25	3,9	K=1 %
ТС-38	±0,2	норм., 60 Гц...14 кГц CrO ₂ , 60 Гц...15 кГц	— —	1	2	лин. 77	лин. 0,4	10	35,5× ×10,5× ×24,5	5	K=1 % Мет. лента
ТС-V30	±0,2	мет., 60 Гц...16 кГц норм., 30 Гц...14 кГц CrO ₂ , 30 Гц...15 кГц	д-с 70 без д 58 д-в 65	1	2	лин. 77	лин. 0,4	22	35×8×28		
ТС-V7	±0,2	норм., 30 Гц...14 кГц CrO ₂ , 30 Гц...15 кГц	д-с 71 д-в 65	1	2	лин. 77	лин. 0,4	22	35×8×28		
Д-970	±0,025	мет., 30 Гц...15 кГц Аппараты фирмы «Сайсуи» норм., 20 Гц...19 кГц	без д 58 д-с 81	2	3	43×11,1× ×32,4	7,1	Прямой при- вод с прог. управлен.			
Д-770	±0,04	мет., 20 Гц...23 кГц норм., 20 Гц...17 кГц	без д 61 д-с 80	3	3	43×11,1× ×32,4	6,6	С прог. управл., с авторегис- тром			
Д-570	±0,03	CrO ₂ , 20 Гц...18 кГц норм., 20 Гц...17 кГц	д-с 80 д-в 70	2	3	43×11,1× ×32,4	6,5	Прямой при- вод с прог. управлением			
Д-370	±0,03	мет., 20 Гц...22 кГц норм., 20 Гц...16 кГц	без д 60 д-с 80	2	2	43×11,1× ×32,4	6,4	С прог. управлением			
		CrO ₂ , 20 Гц...18 кГц	д-в 70								
		мет., 20 Гц...22 кГц	без д 60								

Продолжение табл. 1

1	2	3	4	5	6	7	8	9	10	11	12
Д-W9	±0,04	норм., 20 Гц...16 кГц CrO ₂ , 20 Гц...18 кГц мет., 20 Гц...19 кГц	д-с 78 д-в 68 без д 58	2	2				43×11,1× ×31,2	6,4	Двухкассет- ный
Д-99Д	±0,07	норм., 20 Гц...15 кГц CrO ₂ , 20 Гц...16 кГц мет., 20 Гц...16 кГц	— д-в 68 без д 58	1	2				43×11,8× ×22,3	4,0	Двухкассет- ный
Д-77R	±0,05	норм., 20 Гц...15 кГц CrO ₂ , 20 Гц...16 кГц мет., 20 Гц...16 кГц	д-в 68	2	2				43×11,8× ×22,3	4,0	—
Д-55M	±0,07	норм., 20 Гц...15 кГц CrO ₂ , 20 Гц...16 кГц мет., 20 Гц...16 кГц	д-в 68 без д 58	1	2				43×11,8× ×22,3	3,2	—
<i>Аппараты фирмы «АКАИ»</i>											
GX-F91	±0,08	норм., 20 Гц...18 кГц CrO ₂ , 20 Гц...19 кГц мет., 20 Гц...21 кГц	д-с д-в без д 60	3	3	лин. 70	лин. 0,4		44×9×36	9,8	$K_2=0,7$ 2 ведущих ва- ла прямой при- вод, с кварцев. стабилиз. про- грам. управл. 2 ведущих ва- ла, с прог- раммн. управ- лением $K=$ $=0,8\%$ (мет. лента)
GX-F71	±0,08	норм., 20 Гц...17 кГц CrO ₂ , 20 Гц...18 кГц мет., 20 Гц...21 кГц	д-с д-в без д 60	2	3	лин. 70	лин. 0,4		44×9× ×37,7	7,4	грам. управл. 2 ведущих ва- ла, с прог- раммн. управ- лением $K=$ $=0,8\%$ (мет. лента)
GX-F51	±0,12	норм., 20 Гц...17 кГц CrO ₂ , 20 Гц...18 кГц мет., 20 Гц...19 кГц	д-с д-в без 60	2	2	микро. 0,25	лин. 0,4		44×9× ×34,5	4,7	$K_2=0,8\%$
GX-R6	±0,12	норм., 20 Гц...17 кГц CrO ₂ , 20 Гц...18 кГц мет., 20 Гц...19 кГц	без д 60	2	2	лин. 70 микро. 25 лин. 70	лин. 0,4		44×10,5× ×28,8	4,7	С автореверсом $K_1=0,7\%$ (мет.)

1	2	3	4	5	6	7	8	9	10	11	12
GX-F31	$\pm 0,1$	норм., 20 Гц...17 кГц CrO ₂ , 20 Гц...18 кГц мет., 20 Гц...19 кГц 60	д-с д-в	2	2	микро. 0,25 лин. 70	лин. 0,4		44×9× ×34,5	5,8	K _r =0,8 % (мет.)
HX-R5	$\pm 0,1$	норм., 20 Гц...15 кГц CrO ₂ , 20 Гц...16 кГц мет., 20 Гц...17 кГц		2	2	микро. 2,5 лин. 70	лин. 0,4		44×30,5× ×30	4,0	С авторе- версом K _r =0,7 %

Таблица 2. Основные технические характеристики магнитол фирмы «Шарп»

Параметры	Модель магнитолы	
	WQ-T238HT (BK)	WF-T380HT (BK)
Напряжение питания	$\sim U: f=50/60$ Гц, 110—120/220—240 В, $=U=$ $=12В$	$\sim U: f=50/60$ Гц 110—120/220—240 В $=$ $=U: 12 В$
Выходная мощность	(лев. + пр. + X-BASS PMPO: 24 Вт (12+12) PMPO: 12 Вт (6+6) DIN RMS: 10 Вт (5+5) DIN УКВ: 64...74 МГц КВ: 5,95...18 МГц СВ: 526,5...1606,5 кГц ДВ: 148,5...283,5 кГц 60...12000 Гц	(лев. + пр. + X-BASS) PMPO: 40 Вт (10+10+20 Вт) PMPO: 20 Вт (5+5+10 Вт) DIN RMS: 16 Вт (4+4+8 Вт) DIN УКВ: 64...74 МГц КВ: 5,95...18 МГц СВ: 526,5...1606,5 кГц ДВ: 148,5...283,5 кГц 60...12000 Гц
Диапазон принимаемых частот		УКВ: 64...74 МГц КВ: 5,95...18 МГц СВ: 526,5...1606,5 кГц ДВ: 148,5...283,5 кГц 60...12000 Гц
Диапазон воспроизводимых частот		55 дБ (ТАРЕ1 «воспроизведение») 50 дБ (ТАРЕ2 «запись-воспроизведение»)
Соотношение сигнал/шум		55 дБ (ТАРЕ1 «воспроизведение») 50 дБ (ТАРЕ2 «запись-воспроизведение»)

Параметры	Модель магнитофона		
	WQ-T238HT (BK)	WQ-T352HT (BK)	WF-T380HT (BK)
Коэффициент дегонации Входы, выходы и др.	0,2 % DIN Линейный вход, выход, микрофон, наушники	0,2 % DIN Линейный вход, выход, микрофон, наушники	0,2 % DIN Линейный вход, выход, внешний громкоговоритель, наушники
Акустическая система	Двухполосная, 2 громкоговорителя Ø 12 см, 2-ВЧ 534×190×175 мм	2 громкоговорителя Ø 12 см 2-ВЧ 1-8 см...	2 громкоговорителя Ø 12 см 2-ВЧ 2—8 см...
Размеры	534×190×175 мм	534×190×175 мм	270×205×200 мм, внешние громкоговорители 255×205×200 мм
Вес	4,0 кг	5,0 кг	3,1 кг, 1,5 внешние громкоговорители
Особенности магнитофона	Двухкассетный механизм TWIN (одна кассета за другой), X-BASS система, ускоренная перезапись, 3-полосный эквалайзер, синхронный пуск двух механизмов, автоматическая установка уровня записи	Двухкассетный механизм TWIN, 3 канала усилителя ЗЧ, X-BASS система звука, 3-полосный графический эквалайзер, 3-полосная акустическая система (5 динамиков), автостоп, автоматическая регулировка уровня записи и др.	Двухкассетный механизм TWIN, «X-BASS» система звука, 3-полосный графический эквалайзер, автостоп, автоматическая регулировка уровня записи и др.

Магнитола «Шарп-939ZР»

Основные технические характеристики

Напряжение сети переменного тока 110 В—127 В—220 В—240 В частотой 50/60 Гц.

Питание от источника постоянного тока — 15 В.

Выходная мощность: 200 Вт (100 Вт + 100 Вт) по стандарту РМРО; 26 Вт (13 Вт + 13 Вт) при нелинейных искажениях 10 % стандарт DIN

Входное сопротивление:

с микрофонного входа 600 Ом

с линейного входа звукоснимателя 50 кОм

с гнезд телефонов 8...32 Ом

с линейного выхода 0,6 В/50 кОм

Размеры 680×250×180 мм

Вес 9,3 кг

Диапазон рабочих частот кассетного магнитофона (двухкассетник)

30 Гц...15 кГц (нормальная лента)

30 Гц...16 кГц (лента CrO₂)

30 Гц...17 кГц (лента металлическая)

Соотношение сигнал/шум

55 дБ (кассетник 1 режим «воспроизведение»)

50 дБ (кассетник 2 режим «запись-воспроизведение»)

Радиоприемник

Диапазоны принимаемых частот:

СВ: 526,5...1606,5 кГц

КВ1: 2,3...7,3 МГц

КВ2: 7,3...22 МГц

УКВ: 64...74 МГц

Основные технические характеристики кассетной деки «Alpage» AL-300»

Скорость движения ленты 4,76 м/с ± 1,5 %

Коэффициент детонации 0,06 % (WRMS)

0,19 % (DIN)

Время перемотки кассеты С-60 75 с

Диапазон рабочих частот норм. 30 Гц...17 кГц;
CrO₂, Me: 30 Гц...19 кГц

3 головки (сквозной канал), головка комбинированная (запись — воспроизведение из феррита, стирающая головка — феррит).

Отношение сигнал/шум — 56 дБ (DOL BY-NP) 64 дБ (DOL BY-B)

Коэффициент гармоник 2 % (Me)

Чувствительность входов: микрофонного 3 мВ

линейного 300 мВ

Напряжение выходов: линейного 1000 мВ

на наушниках 100 мВ

Сопротивление линейного выхода 100 кОм

на наушниках 8 Ом

Размеры 435×116×30 мм

Вес 8,7 кг

ВЫСОКОКАЧЕСТВЕННЫЕ АППАРАТЫ ЗАРУБЕЖНОГО ПРОИЗВОДСТВА ДЛЯ АВТОМОБИЛЕЙ

Музыкальный мини-центр FUJI FC8000

Содержит противоугонное устройство, стереофонический усилитель 3×30 Вт; 5-полосный эквалайзер; кассетный проигрыватель на типы лент Fe_2O_3 и CrO_2 , перемотку ленты в обе стороны; тюнер на диапазонах ДВ, СВ и УКВ-стерео.

Музыкальный мини-центр FUJI FC7000

Содержит блок усилителя 2×30 Вт; 5-полосный эквалайзер; кассетный проигрыватель с авторевверсом; перемотку ленты в обе стороны, переключатель типа лент (Fe_2O_3 , CrO_2 , Me); тюнер ДВ, СВ и УКВ-стерео.

Музыкальный центр PM610

Содержит тюнер УКВ-стерео на 3 станции фиксированной настройки (чувствительность 1,7 мкВ, избирательность 65 дБ); кассетный проигрыватель с авторевверсом, системой шумопонижения «Долби», перемоткой ленты в обе стороны; предварительный усилитель с контролем уровня сигнала по индикаторам, регуляторы тембра ВЧ и НЧ, тонкомпенсация; усилитель мощности 2×10 Вт, тыловые усилители и 2×20 Вт основные (искажения 0,07 %, полоса рабочих частот 20...40 000 Гц, отношение сигнал/шум 82 дБ).

Магнитола «PANASONIC» CQ973EG

Содержит кассетный проигрыватель с авторевверсом, системой шумопонижения «Долби», переключатель типа лент (Fe_2O_3 , CrO_2 , Me), перемотку ленты в обе стороны, имеется светодиодная индикация режимов, радио, мощности и др.; радиоприемник на 15 станций предварительной настройки на трех диапазонах ДВ, СВ и УКВ-стерео с регулировкой тембра ВЧ и НЧ, тонкомпенсацией, индикацией выходной мощности, отдельным блоком усилителя мощности В50 или В100. Усилитель мощности $\text{B50} \div 2 \times 25$ Вт, диапазон частот 20 Гц...20 кГц, нелинейные искажения 0,08 %, отношение сигнал/шум 80 дБ, $R_n = 4...8$ Ом. Усилитель мощности В100 — 4×25 Вт, диапазон частот 20 Гц...40 кГц, искажения 0,08 %, отношение сигнал/шум 80 дБ, $R_n = 4...8$ Ом.

Магнитола CQ863EC

Содержит тюнер на диапазонах ДВ, СВ, УКВ-стерео, с индикацией времени и частотой настройки; кассетный проигрыватель с перемоткой ленты в обе стороны; усилитель $3 \times 2 \times 6$ Вт.

Магнитола «Шарп RG5900»

Имеет радиоприемник на диапазонах ДВ, СВ, УКВ-стерео с 15 предварительно настроенными станциями, индикацией частоты и текущего времени; кассетный проигрыватель с авторевверсом и перемоткой ленты в обе стороны выходной мощностью 2×8 Вт.

Магнитофон LX900 содержит усилитель мощностью 2×25 Вт, 5-полосный эквалайзер со светодиодной индикацией уровня сигнала в каждой полосе и др.

Музыкальный центр «ROADSTAR»

Состоит из тюнера PS-1640, работающего в диапазонах ДВ, СВ и УКВ (моно и стерео, АПЧ), чувствительность на УКВ — 1,5 мкВ, СВ — 30 мкВ, ДВ — 60 мкВ.

Кассетный проигрыватель RS1550 с системой шумопонижения «Долби», возможностью использования лент FE и Cr, имеет авторевверс, диапазон рабочих частот 20 Гц \div 22 000 Гц, коэффициент детонации $> 0,3$ %, отношение сигнал/шум > 50 дБ.

Усилитель мощности 2×30 Вт, 30 Гц...4000 Гц, соотношение сигнал/шум > 70 дБ, $R_n = 4-8$ Ом. Питание 12В.

Двухполосная акустическая система RS-932X. Максимальная мощность 30 Вт, $R_n = 4$ Ом.

«NEW COMPO» музыкальный мини-центр

АТ-372 — тюнер ЧМ-стерео, автоматическая настройка на станцию. Чувствительность 2 мкВ, соотношение сигнал/шум 30 дБ, имеется диапазон ДВ (63—160 кГц).

РА-150 — четырехканальный усилитель мощности 4×20 Вт, полоса частот 20 Гц—40 кГц.

СА-200 — эквалайзер пятиполосный ± 12 дБ на частотах: 60 Гц, 250 Гц, 1 кГц, 3,5 кГц, 15 кГц.

SP-711 — кассетный проигрыватель с автореверсом, имеет систему шумопонижения «Долби». Коэффициент детонации $< 0,2$ % (WRMS), соотношение сигнал/шум > 58 дБ с «Долби».

SSB-8B5 — двухполосные акустические системы — 20 Вт (2 шт.).

SSB-8611 — громкоговоритель — 20 Вт (2 шт.) дополнительный.

Магнитола «MUSTANG» модель NO GRF-280B

Автореверс AM/FM

Кассетный проигрыватель

Скорость 4,75 см/с ± 3 %—2 %

Коэффициент детонации 0,3 % (WRMS)

Соотношение сигнал/шум 40 дБ

FM тюнер

Диапазон принимаемых частот 88...108 МГц

Промежуточная частота 10,7 МГц

Чувствительность 5 мкВ при соотношении сигнал/шум 30 дБ

Избирательность 50 дБ

AM тюнер

Диапазон принимаемых частот 525...1605 кГц

Промежуточная частота 455 кГц

Чувствительность 30 мкВ при соотношении сигнал/шум 20 дБ

Избирательность 60 дБ

Усилитель

Размеры 178×44×124 мм

Выходная мощность (при 10 % Кг) — 4,5 Вт на канал

Диапазон рабочих частот 50 Гц...10 000 Гц

Напряжение питания +11...16 В постоянного напряжения с минусом на корпусе

Автомобильные усилители

Усилитель-эквалайзер DEL COM DBE 308

Выходная мощность 2×25 Вт, 7 полос эквалайзер, светодиодная индикация уровня сигнала

Усилитель-эквалайзер DEL COM DBE 206

Выходная мощность 2×25 Вт, 5 полос эквалайзер, индикаторы уровня сигнала на светодиодах

Усилитель-эквалайзер FUJI FC 960

Выходная мощность 2×60 Вт, 9 полос эквалайзер, электронная защита от короткого замыкания

Усилитель-эквалайзер FUJI MA1000

Выходная мощность 2×30 Вт, 10 полос эквалайзер

Усилитель-эквалайзер FUJIX1000

Выходная мощность 2×25 Вт, 10 полос эквалайзер

Усилитель-эквалайзер FUJI X1000VL

Выходная мощность 2×25 Вт, 10 полос эквалайзер, диапазон рабочих частот 20 Гц...20 кГц, нелинейные искажения 0,5 %

Громкоговорители фирмы FUJI -NI -FI

- CX-106: выходная мощность $P_{max}=20$ Вт, $R_n=4$ Ом, ΔF — диапазон рабочих частот 50...16 000 Гц.
- CX-107: двоянный громкоговоритель диаметром 102 мм, $P_{max}=20$ Вт, $R_n=4$ Ом, ΔF : 50...20 000 Гц.
- CX121: $P_{max}=20$ Вт, $R_n=4$ Ом, ΔF : 80...16 000 Гц.
- CX160: двоянный громкоговоритель, $P_{max}=20$ Вт, $R_n=4$ Ом, ΔF : 40...20 000 Гц.
- CX167: двоянный громкоговоритель, 2-полосный, металлический диффузор, $P_{max}=20$ Вт, ΔF : 30...20 000 Гц, $R_n=4$ Ом.
- CX168: трехполосная акустическая система, $P_{max}=30$ Вт, $R_n=4$ Ом, ΔF : 35...25 000 Гц.
- ACR1500: двухполосная АС, корпус из алюминия, $P_{max}=40$ Вт, $R_n=4$ Ом, $\Delta F=55$...18 000 Гц.
- FC2100: трехполосная АС с раздельно установленными громкоговорителями в общем корпусе $P_{max}=40$ Вт, $R_n=4$ Ом.
- FC175: трехполосная АС, $P_{max}=50$ Вт, $R_n=4$ Ом.
- FC2600: трехполосная АС, $P_{max}=60$ Вт, $R_n=4$ Ом.
- FJ 693: трехполосная АС, $P_{max}=100$ Вт, $R_n=4$ Ом.
- FC100: трехполосная АС, $P_{max}=100$ Вт, $R_n=4$ Ом.
- FC80R: трехполосная АС, $P_{max}=50$ Вт, $R_n=8$ Ом.

Акустические системы для автомобильных магнитол фирмы «GRUNDIG»

- L/U2002—HiFi — двухполосная АС из двух раздельных громкоговорителей. Музыкальная мощность 100 Вт. Диапазон рабочих частот 25...26 000 Гц.
- L/U 2001—HiFi — двухполосная АС, двоянные головки громкоговорителей. Музыкальная мощность 80 Вт. Диапазон рабочих частот 45...22 000 Гц.
- L/U 100—HiFi — двухполосная АС. Музыкальная мощность 50 Вт. Диапазон рабочих частот 50...20 000 Гц.
- L/U 32 — двухполосная АС. Музыкальная мощность 50 Вт. Диапазон рабочих частот 60...20 000 Гц.
- L/U 33 а — трехполосная АС. Музыкальная мощность 50 Вт. Диапазон рабочих частот 60...22 000 Гц.
- L/U 26 с — громкоговоритель один. Музыкальная мощность 50 Вт. Диапазон рабочих частот 50...18 000 Гц.
- L/U 24 в — громкоговоритель один. Музыкальная мощность 40 Вт. Диапазон рабочих частот 60...20 000 Гц.

Автомобильные усилители мощности фирмы «GRUNDIG»

- PA200 HiFi — выходная мощность 4×50 Вт (DIN).
Сопротивление громкоговорителей 4 Ом.
Коэффициент гармоник $\leq 0,1$ %.
Диапазон рабочих частот 20...20 000 Гц.
Возможно подключение четырех громкоговорителей. Напряжение питания 10,8...16 В. Вес 4 кг. Размеры $270 \times 55 \times 190$ мм.
- PA85HiFi — выходная мощность 4×22 Вт (DIN).
Сопротивление громкоговорителей 4 Ом.
Коэффициент гармоник $\leq 0,5$ %. Возможно подключение 4 громкоговорителей. Вес 1,3 кг. Размеры $176 \times 57 \times 175$ мм.

Автомобильная аппаратура фирмы «GRUNDIG»

Марка аппарата

Основные параметры

	WKC 4870-RDS	WKC 3860-VD	WKC 2845-VD	WKC 2841-VD	WKC 2302 VD	WKC 2641 VD	WKC 2039-VD	WKC 1802-VD	WKC 2820-VD	WKC 180-VD
Тонер. Диапазоны	УКВ, КВ, СВ	УКВ, СВ, ДВ	УКВ, СВ	УКВ, СВ	УКВ, СВ	УКВ, СВ	УКВ, СВ	УКВ, СВ	УКВ, СВ	УКВ
УКВ-стерео	+Р	+	+	+	+	+	+	+	+	+
Наличие мини-дисплея, индикации частоты и др.	+	+	+	+	+	+	+	+	+	+
Магнитофон: стереопроигрыватель	+	+	+	+	+	+	+	+	+	+
система шумоподавления	Долби В+С	Д-В	Д-В	—	—	—	—	—	—	—
авторевверс	+	+	+	+	—	+	—	—	—	—
переключатель типа ленты	+	+	+	—	—	—	—	—	—	—
Сг/Ме	0,25	0,25	0,25	0,25	0,25	0,25	0,25	0,25	0,25	0,25
коэффициент детонации, %	25...	25...	30...	30...	30...	30...	30...	40...	—	—
Диапазон воспроизводимых частот, Гц	18 000	18 000	17 000	18 000	16 000	17 000	16 000	16 000	—	—
Относительный уровень шумов, дБ, не более	70	68	68	55	55	55	55	55	—	—
Усилитель: наличие тонкомпенсации	+	+	—	—	—	—	—	—	—	—
максимальная мощность, Вт	4×40	4×12	4×12	4×12	4×10	4×10	2×16	2×16	4×10	1,6
номинальная мощность, DIN	4×20	4×6	4×6	4×6	4×5	4×5	2×8	2×8	4×5	8,0
регуляторы тембра	НЧ, ВЧ	НЧ, ВЧ	НЧ, ВЧ	НЧ, ВЧ	+	НЧ, ВЧ	+	+	+	+

ПАРАМЕТРЫ ОТЕЧЕСТВЕННЫХ ТРАНЗИСТОРОВ

Таблица 1. Основные параметры транзисторов малой мощности низкочастотных

Параметр	Обозначение	Единица	Тип транзистора					
			МП9А	МП10	МП10А	МП10Б	МП11	МП11А
Обратный ток коллектора при $U_{кб}, В$	$I_{кб0}$	мкА	20/25	20/15	30/30	30/30	20/15	20/15
Обратный ток эмиттера при $U_{эб}, В$	$I_{эб0}$	мкА	30/15	30/15	30/30	30/30	30/15	30/15
Режим измерения h -параметров								
напряжение коллектора	U_K	В	5	5	5	5	5	5
ток коллектора	I_K	мА	1	1	1	1	1	1
Входное сопротивление	h_{11}	Ом	—	—	—	—	—	—
Коэффициент передачи тока	h_{21}	—	15...45	15...30	15...30	25...50	45...100	45...100
Коэффициент обратной связи	h_{12}	—	—	—	—	—	—	—
Выходная проводимость	h_{22}	мксм	2,5	2,5	2,5	2,5	3,3	3,3
Предельная частота коэффициента передачи	f_{h21}	МГц	1	1	1	1	2	2
Емкость коллекторного перехода	C_K	пФ	60	60	60	60	60	60
Постоянная времени цепи обратной связи	τ_K	пс	—	—	—	—	—	—
Коэффициент шума	$K_{ш}$	дБ	10	—	—	—	—	—
Максимально допустимые параметры								
постоянное напряжение коллектор — база	$U_{кб\max}$	В	15	15	30	30	15	15
постоянное напряжение коллектор — эмиттер	$U_{кэ\max}$	В	25	25	30	30	25	25
постоянный ток коллектора	$I_{К\max}$	мА	20	20	20	20	20	20
импульсный ток коллектора	$I_{К\max}$	мА	150	150	150	150	150	150
рассеиваемая мощность без теплоотвода	P_{\max}	мВт	150	150	150	150	150	150
Максимальная температура окружающей среды	T_{\max}	°С	+70	+70	+70	+70	+70	+70
Минимальная температура окружающей среды	T_{\min}	°С	-60	-60	-60	-60	-60	-60
Общее тепловое сопротивление транзистора	R_T	°С/мВт	0,2	0,2	0,2	0,2	0,2	0,2
Тип перехода, материал			$n-p-n$, германий					

Основное назначение

Для усилителей и генераторов в диапазоне частот до 2 МГц

Продолжение табл. 1

Параметр	Обозначение	Единица	Тип транзистора						
			МП13Б	МП14	МП14А	МП14Б	МП15	МП15А	МП16
Обратный ток коллектора при $U_{кБ}, V$	$I_{кБ0}$	мкА	15/5	15/5	15/5	15/5	15/5	15/5	—
Обратный ток эмиттера при $U_{эБ}, V$	$I_{эБ0}$	мкА	30/15	30/15	30/30	30/30	30/15	30/15	—
Режим измерения h -параметров									
напряжение коллектора	U_K	V	5	5	5	5	5	5	1
ток коллектора	I_K	мА	1	1	1	1	1	1	10
Входное сопротивление	$h_{11Б}$	Ом	30	30	30	30	30	30	—
Коэффициент передачи тока	$h_{21Б}$	—	20...60	20...40	20...40	30...60	30...60	50...100	25...30
Коэффициент обратной связи	$h_{12Б}$	—	$4 \cdot 10^{-3}$	$4 \cdot 10^{-3}$	$4 \cdot 10^{-3}$	$4 \cdot 10^{-3}$	$4 \cdot 10^{-3}$	$4 \cdot 10^{-3}$	—
Выходная проводимость	$h_{22Б}$	мкСм	3,3	3,3	3,3	3,3	3,3	3,3	—
Предельная частота коэффициента передачи	$h_{21Б}$	МГц	0,5	1,0	1	1	2	2	1
Емкость коллекторного перехода	C_K	пФ	50	50	50	50	50	50	—
Постоянная времени цепи обратной связи	τ_K	пс	—	—	—	—	—	—	—
Коэффициент шума	$K_{ш}$	дБ	12	—	—	—	—	—	—
Максимально допустимые параметры									
постоянное напряжение коллектор — база	$U_{кБ \max}$	V	15	15	30	30	15	15	—
постоянное напряжение коллектор — эмиттер	$U_{кЭ \max}$	V	15	15	30	30	15	15	15
импульсный ток коллектора	$I_{к \max}$	мА	20	20	20	20	20	20	50
импульсный ток коллектора	$I_{к \max}$	мА	150	150	150	150	150	150	300
рассеиваемая мощность без теплоотвода	P_{\max}	мВт	150	150	150	150	150	150	200
Максимальная температура окружающей среды	T_{\max}	$^{\circ}C$	+70	+70	+70	+70	+70	+70	+70
Минимальная температура окружающей среды	T_{\min}	$^{\circ}C$	-60	-60	-60	-60	-60	-60	-60
Общее тепловое сопротивление транзистора	R_1	$^{\circ}C/мВт$	0,2	0,2	0,2	0,2	0,2	0,2	0,2
Тип перехода, материал			$p-n-p$, германий						

Основное назначение

Для усилителей и генераторов в диапазоне частот до 2 МГц

Для устройств переключения

Параметр	Обозначение	Единица	Тип транзистора						
			МП16А	МП16Б	МП20А	МП20Б	МП12В	МП11	МП21Д
Обратный ток коллектора при $U_{кб}$, В	$I_{кб0}$	мкА	—	—	50/50	50/30	50/40	50/60	50/50
Обратный ток эмиттера при $U_{эб}$, В	$I_{э0}$	мкА	—	—	50/30	50/30	50/40	50/60	50/50
Режим измерения h -параметров									
напряжение коллектора	U_k	В	1	1	5	5	5	5	5
ток коллектора	I_k	мА	10	10	5	5	5	5	5
Входное сопротивление	$h_{21э}$	Ом	—	—	20	20	20	20	20
Коэффициент передачи тока	$h_{21к}$	—	30...50	45...100	50...150	80...200	20...100	20...80	60...200
Выходная проводимость	$h_{22к}$	мкСм	—	—	2,5	2,5	2,5	2,5	2,5
Предельная частота коэффициента передачи	$f_{h21к}$	МГц	1	2	2,0	1,5	1,5	1,0	1,0
Емкость коллекторного перехода	$C_{кк}$	пФ	—	—	30	30	30	30	30
Постоянная времени цепи обратной связи	$\tau_{кк}$	нс	—	—	—	—	—	—	—
Коэффициент шума	$K_{ш}$	дБ	—	—	—	—	—	—	—
Максимально допустимые параметры									
постоянное напряжение коллектор — база	$U_{кб\max}$	В	15	—	30	30	40	60	50
постоянное напряжение коллектор — эмиттер	$U_{кэ\max}$	В	50	15	20	20	30	35	30
импульсный ток коллектора	$I_{к\max}$	мА	300	50	50	50	50	50	50
рассеиваемая мощность без теплоотвода	P_{\max}	Вт	300	300	300	300	300	300	300
Максимальная температура окружающей среды	T_{\max}	°C	+70	+70	+70	+70	+70	+70	+70
Минимальная температура окружающей среды	T_{\min}	°C	-60	-60	-60	-60	-60	-60	-60
Общее тепловое сопротивление транзистора	R_T	°C/Вт	0,2	0,2	0,33	0,33	0,33	0,33	0,33
Тип перехода, материал			$p-n-p$, германий						

Основное назначение

Для устройств переключения

Для усилителей, генераторов и устройств переключения

Продолжение табл. 1

Параметр	Обозначение	Единица	Тип транзистора					
			МП21Е	МП25	МП25А	МП25В	МП26	МП26А
Обратный ток коллектора при $U_{кб}, В$	$I_{кбо}$	мкА	50/70	75/40	75/40	75/40	60/35	60/35
Обратный ток эмиттера при $U_{эб}, В$	$I_{эбо}$	мкА	50/70	75/40	75/40	75/40	75/40	75/40
Режим измерения h -параметров								
напряжение коллектора	U_k	В	5	20	20	20	20	20
ток коллектора	I_k	мА	5	2,5	2,5	2,5	2,5	2,5
Входное сопротивление	h_{116}	Ом	25	25	25	25	25	25
Коэффициент передачи тока	h_{219}	—	30...150	13...25	20...40	30...80	13...25	20...40
Коэффициент обратной связи	h_{126}	—	—	$4 \cdot 10^{-3}$	$4 \cdot 10^{-3}$	$4 \cdot 10^{-3}$	$4 \cdot 10^{-3}$	$4 \cdot 10^{-3}$
Выходная проводимость	h_{226}	мксм	2,5	3,5	3,5	3,5	3,5	3,5
Граничная частота коэффициента передачи	$f_{гр}$	МГц	0,7	0,2	0,2	0,5	0,2	0,5
Емкость коллекторного перехода	C_k	пФ	30	70	70	70	50	50
Постоянная времени цепи обратной связи	τ_k	нс	—	—	—	—	—	—
Коэффициент шума	$K_{ш}$	дБ	—	—	—	—	—	—
Максимально допустимые параметры								
постоянное напряжение коллектор—база	$U_{кб\max}$	В	70	40	40	40	70	70
постоянное напряжение коллектор—эмиттер	$U_{кэ\max}$	В	35	40	40	40	70	70
постоянный ток коллектора	$I_{к\max}$	мА	50	50	50	50	50	50
импульсный ток коллектора	$I_{к\max}$	мА	300	300	400	400	300	400
рассеиваемая мощность без теплоотвода	P_{\max}	мВт	150	200	200	200	200	200
Максимальная температура окружающей среды	T_{\max}	°C	+70	+60	+60	+60	+60	+60
Минимальная температура окружающей среды	T_{\min}	°C	-60	-60	-60	-60	-60	-60
Общее тепловое сопротивление транзистора	R_1	°C/мВт	0,33	0,2	0,2	0,2	0,2	0,2
Тип перехода, материал						$p-n-p$, германий		

Для усилителей, генераторов и устройств переключения

Основное назначение

Параметр	Обозначение	Единица	Тип транзистора					
			МП27	МП27А	МП28	МП35	МП36А	МП37
Обратный ток коллектора при $U_{кб}, В$	$I_{кб0}$	мкА	3/5	3/5	3/5	15/5	15/5	15/5
Обратный ток эмиттера при $U_{эв}, В$	$I_{эб0}$	мкА	—	—	—	15/5	15/5	15/5
Режим измерения h -параметров								
напряжение коллектора	U_k	В	5	5	5	5	5	5
ток коллектора	I_k	мА	0,5	0,5	0,5	1	1	1
Входное сопротивление	h_{116}	Ом	50	50	50	26	26	26
Коэффициент передачи тока	h_{21s}	—	20...100	20...170	20...200	10...125	15...45	15...30
Коэффициент обратной связи	h_{126}	—	—	—	—	—	$3 \cdot 10^{-4}$	$3 \cdot 10^{-4}$
Выходная проводимость	h_{226}	мкСм	2	1	1	3,3	3,3	3,3
Предельная частота коэффициента передачи	h_{216}	МГц	1,0	1,0	5	0,5	1	1
Емкость коллекторного перехода	C_k	пФ	50	50	50	50	50	50
Постоянная времени цепи обратной связи	τ_k	пс	—	—	—	—	—	—
Коэффициент шума	$K_{ш}$	дБ	10	5	5	—	12	—
Максимально допустимые параметры								
постоянное напряжение коллектор — база	$U_{кб max}$	В	5	5	5	15	15	30
постоянное напряжение коллектор — эмиттер	$U_{кэ max}$	В	5	5	5	15	15	30
постоянный ток коллектора	$I_k max$	мА	6	6	6	20	20	20
импульсный ток коллектора	$I_{ки max}$	мА	—	—	—	150	150	150
рассеиваемая мощность без теплоотвода	P_{max}	мВт	30	30	30	150	150	150
Максимальная температура окружающей среды	T_{max}	°C	+60	+60	+60	+60	+60	+60
Минимальная температура окружающей среды	T_{min}	°C	-60	-60	-60	-60	-60	-60
Общее тепловое сопротивление транзистора	R_T	°C/мВт	—	—	—	0,2	0,2	0,2
Тип перехода, материал			$p-n-p$, германий					
Основное назначение			Для малошумящих усилителей					
			Для аппаратуры связи широкого применения					

Продолжение табл. 1

Параметр	Обозначение	Единица	Тип транзистора						
			МП37Б	МП38	МП38А	МП39	МП39Б	МП40	МП40А
Обратный ток коллектора при $U_{кб}, В$	$I_{кб0}$	мкА	15/5	—	15/5	15/5	15/5	15/5	15/5
Обратный ток эмиттера при $U_{эб}, В$	$I_{эб0}$	мкА				30/5	30/5	30/5	30/5
Режим измерения h -параметров									
напряжение коллектора	U_k	В	5	5	5	5	5	5	5
ток коллектора	I_k	мА	1	1	1	1	1	1	1
Входное сопротивление	h_{11}	Ом	26	26	26	25	25	25	25
Коэффициент передачи тока	h_{21}	—	25...50	25...55	45...100	≥ 12	20...60	20...40	20...40
Коэффициент обратной связи	h_{12}	—	$3 \cdot 10^{-4}$	$3 \cdot 10^{-4}$	$3 \cdot 10^{-4}$	$5 \cdot 10^{-4}$	$5 \cdot 10^{-4}$	$5 \cdot 10^{-4}$	$5 \cdot 10^{-4}$
Выходная проводимость	h_{22}	мкСм	3,3	3,3	3,3	3,3	3,3	3,3	3,3
Граничная частота коэффициента передачи	$f_{гп}$	МГц	1	2	2	0,5	0,5	1,0	1,0
Емкость коллекторного перехода	C_k	пФ	50	50	50	60	60	60	60
Постоянная времени цепи обратной связи	τ_k	пс	—	—	—	—	—	—	—
Коэффициент шума	$K_{ш}$	дБ	—	—	—	12	—	—	—
Максимально допустимые параметры									
постоянное напряжение коллектор — база	$U_{кб \max}$	В	30	15	15	10	10	10	30
постоянное напряжение коллектор — эмиттер	$U_{кэ \max}$	В	30	15	15	15	15	15	30
постоянный ток коллектора	$I_{к \max}$	мА	20	20	20	40	40	40	40
импульсный ток коллектора	$I_{к \max}$	мА	150	150	150	150	150	150	150
рассеиваемая мощность без теплоотвода	P_{\max}	мВт	150	150	150	150	150	150	150
Максимальная температура окружающей среды	T_{\max}	°С	+60	+60	+60	+60	+60	+60	+60
Минимальная температура окружающей среды	T_{\min}	°С	-60	-60	-60	-40	-40	-40	-40
Общее тепловое сопротивление транзистора	R_T	°С/мВт	0,2	0,2	0,2	0,2	0,2	0,2	0,2

Тип перехода, материал

 $n-p-n$, германий $p-n-p$, германий

Основное назначение

Для аппаратуры связи широкого применения

Для радиовещательных приемников и устройств переключения

Параметр	Обозначение	Единица	Тип транзистора					
			МП41	МП41А	МП42	МП42А	МП42Б	МП101А
Обратный ток коллектора при $U_{КБ}$, В	$I_{КБ0}$	мкА	15/5	15/5	—	—	—	50/10
Обратный ток эмиттера при $U_{ЭБ}$, В	$I_{ЭБ0}$	мкА	30/5	30/5	—	—	—	3/20
Режим измерения h -параметров								
напряжение коллектора	U_K	В	5	5	1	1	1	5
ток коллектора	I_K	мА	1	1	10	10	10	1
Входное сопротивление	h_{116}	Ом	25	25	—	—	—	—
Коэффициент передачи тока	h_{216}	—	30...60	50...100	20...35	30...50	45...100	10...25
Коэффициент обратной связи	h_{126}	—	$5 \cdot 10^{-3}$	$5 \cdot 10^{-3}$	—	—	—	$3 \cdot 10^{-3}$
Выходная проводимость	h_{226}	мкСм	3,3	3,3	—	—	—	2
Предельная частота коэффициента передачи	f_{216}	МГц	1	1	1	1	2	0,5
Емкость коллекторного перехода	C_K	пФ	60	60	—	—	—	150
Постоянная времени цепи обратной связи	τ_K	пс	—	—	—	—	—	—
Коэффициент шума	$K_{ш}$	дБ	—	—	—	—	—	15
Максимально допустимые параметры								
постоянное напряжение коллектор—база	$U_{КБ \max}$	В	10	10	15	15	15	20
постоянное напряжение коллектор—эмиттер	$U_{КЭ \max}$	В	10	10	15	15	15	20
постоянный ток коллектора	$I_{К \max}$	мА	40	40	—	—	—	20
импульсный ток коллектора	$I_{К \text{ и } \max}$	мА	150	150	150	150	150	100
рассеиваемая мощность без теплоотвода	P_{\max}	мВт	150	150	200	200	200	150
Максимальная температура окружающей среды	T_{\max}	°С	+60	+60	+70	+70	+70	+120
Минимальная температура окружающей среды	T_{\min}	°С	-40	-40	-60	-60	-60	-60
Общее тепловое сопротивление транзистора	R_t	°С/мВт	0,2	0,2	0,2	0,2	0,2	0,5
Тип перехода, материал			$p-n-p$, германий	$p-n-p$, германий	$p-n-p$, германий	$p-n-p$, германий	$p-n-p$, германий	$p-n-p$, германий
Основное назначение			Для радиовещательных приемников и устройств переключения	Для радиовещательных приемников и устройств переключения	Для устройств переключения	Для устройств переключения	Для устройств переключения	Для усилителей и генераторов низкой частоты

Продолжение табл. 1

Параметр	Обозначение	Единица	Тип транзистора					
			МП101Б	МП102	МП103	МП103А	МП104	МП105
Обратный ток коллектора при $U_{кб}, В$	$I_{кбо}$	мкА	50/10	50/5	50/15	50/5	400/30	400/15
Обратный ток эмиттера при $U_{эб}, В$	$I_{эбо}$	мкА	3/20	3/10	3/10	3/10	200/10	200/10
Режим измерения h -параметров								МП106
напряжение коллектора	U_k	В	5	5	5	5	5	5
ток коллектора	I_k	мА	1	1	1	1	1	1
Входное сопротивление	h_{116}	Ом	—	—	—	—	300	300
Коэффициент передачи тока	h_{21}	—	—	—	—	—	≥ 9	—
Коэффициент обратной связи	h_{126}	—	—	—	—	—	—	—
Выходная проводимость	h_{226}	мкСм	15...45	15...45	15...45	30...75	—	—
Граничная частота коэффициента передачи	$f_{гр}$	МГц	$3 \cdot 10^{-3}$	$3 \cdot 10^{-3}$	$3 \cdot 10^{-3}$	$3 \cdot 10^{-3}$	—	—
Емкость коллекторного перехода	C_k	пФ	2	2	2	2	—	—
Постоянная времени цепи обратной связи	τ_k	нс	0,5	0,5	1	1	0,1	0,5
Коэффициент шума	$K_{ш}$	дБ	150	150	150	150	—	—
Максимально допустимые параметры			—	—	—	—	—	—
постоянное напряжение коллектор—база	$U_{кб\max}$	В	20	10	10	10	60	30
постоянное напряжение коллектор—эмиттер	$U_{кэ\max}$	В	20	10	10	10	60	30
постоянный ток коллектора	$I_{к\max}$	мА	20	20	20	20	10	10
импульсный ток коллектора	$I_{ки\max}$	мА	100	100	100	100	50	50
рассеиваемая мощность без теплоотвода	P_{\max}	мВт	150	150	150	150	150	150
Максимальная температура окружающей среды	T_{\max}	°C	+120	+120	+120	+120	+120	+120
Минимальная температура окружающей среды	T_{\min}	°C	-60	-60	-60	-60	-60	-60
Общее тепловое сопротивление транзистора	R_T	°C/мВт	0,5	0,5	0,5	0,5	—	—
Тип перехода, материал			$n-p-n$, кремний					

Для усилителей и генераторов низкой частоты

Для усилителей и генераторов низкой частоты

Основное назначение

Параметр	Обозначение	Единица	Тип транзистора					
			КТ104А	КТ104Б	КТ104В	КТ104Г	ГТ108А	ГТ108Б
Обратный ток коллектора при $U_{кб}, В$	$I_{кбо}$	мкА	1/30	1/15	1/15	1/30	10/5	10/5
Обратный ток эмиттера при $U_{эб}, В$	$I_{эбо}$	мкА	1/10	1/10	1/10	1/10	15/5	15/5
Режим измерения h -параметров								
напряжение коллектора	U_k	В	5	5	5	5	5	5
ток коллектора	I_k	мА	1	1	1	1	1	1
Входное сопротивление	$h_{11б}$	Ом	120	120	120	120	15	15
Коэффициент передачи тока	$h_{21э}$	—	9...36	20...80	40...160	15...60	20...50	35...80
Выходная проводимость	$h_{12б}$	—	—	—	—	—	—	—
Коэффициент обратности	$h_{22б}$	мкСм	—	—	—	—	3,3	3,3
Пределная частота коэффициента передачи	$f_{21б}$	МГц	5	5	5	5	0,5	1
Емкость коллекторного перехода	C_k	пФ	50	50	50	50	50	50
Постоянная времени цепи обратной связи	τ_k	нс	3	3	3	3	5000	5000
Коэффициент шума	$K_{ш}$	дБ	—	—	—	—	—	—
Максимально допустимые параметры								
постоянное напряжение коллектор — база	$U_{кб\max}$	В	30	15	15	30	10	10
постоянное напряжение коллектор — эмиттер	$U_{кэ\max}$	В	30	15	15	30	10	10
постоянный ток коллектора	$I_{к\max}$	мА	50	50	50	50	50	50
импульсный ток коллектора	$I_{к\max}$	мА	—	—	—	—	—	—
рассеиваемая мощность без теплоотвода	P_{\max}	мВт	150	150	150	150	75	75
Максимальная температура окружающей среды	T_{\max}	°С	+100	+100	+100	+100	+55	+55
Минимальная температура окружающей среды	T_{\min}	°С	-60	-60	-60	-60	-40	-40
Общее тепловое сопротивление транзистора	R_t	°С/мВт	0,4	0,4	0,4	0,4	0,8	0,8
Тип перехода, материал			$p-n-p$, кремний					
Основное назначение			Для усилителей и генераторов низкой частоты					
			Для усилителей и генераторов в малогабаритных радиовещательных приемниках					

Продолжение табл. 1

Параметр	Обозначение	Единица	Тип транзистора					
			ГТ108В	ГТ108Г	ГТ109А	ГТ109Б	ГТ109В	ГТ109Г
Обратный ток коллектора при $U_{кб}, В$	$I_{кб0}$	мкА	10/5	10/5	5/5	5/5	5/5	5/5
Обратный ток эмиттера при $U_{кэ}, В$	$I_{эб0}$	мкА	15/5	15/5	5/5	5/5	5/5	5/5
Режим измерения h -параметров								
напряжения коллектора	U_k	В	5	5	5	5	5	5
ток коллектора	I_k	мА	1	1	1	1	1	1
Входное сопротивление	$h_{11б}$	Ом	15	15	27	27	27	27
Коэффициент передачи тока	$h_{21б}$	—	60...130	110...250	20...50	35...80	60...130	110...250
Коэффициент обратной связи	$h_{12б}$	—	—	—	$0,5 \cdot 10^{-3}$	$0,5 \cdot 10^{-3}$	$0,5 \cdot 10^{-3}$	$0,5 \cdot 10^{-3}$
Выходная проводимость	$h_{22б}$	мкСм	3,3	3,3	3,3	3,3	3,3	3,3
Предельная частота коэффициента передачи	$f_{h21б}$	МГц	1	1	1	1	1	1
Емкость коллекторного перехода	C_k	пФ	50	50	30	30	30	30
Постоянная времени цепи обратной связи	τ_k	пс	5000	5000	5000	5000	5000	5000
Коэффициент шума	$K_{ш}$	дБ	—	—	—	—	—	—
Максимально допустимые параметры								
постоянное напряжение коллектор — база	$U_{кб\max}$	В	10	10	10	10	10	10
постоянное напряжение коллектор — эмиттер	$U_{кэ\max}$	В	10	10	6	6	6	6
постоянный ток коллектора	$I_{к\max}$	мА	50	50	20	20	20	20
импульсный ток коллектора	$I_{к\text{ и } \max}$	мА	—	—	—	—	—	—
рассеиваемая мощность без теплоотвода	P_{\max}	мВт	75	75	30	30	30	30
Максимальная температура окружающей среды	T_{\max}	°С	+55	+55	+55	+55	+55	+55
Минимальная температура окружающей среды	T_{\min}	°С	-40	-40	-30	-30	-30	-30
Общее тепловое сопротивление транзистора	R_T	°С/мВт	0,8	0,8	—	—	—	—
Тип перехода, материал			$p-n-p$, германий					

Основное назначение

Для усилителей и генераторов сигналов в малогабаритных радиовещательных приемниках; ГТ109Д — в медицинской аппаратуре

Для усилителей и генераторов сигналов в малогабаритных радиовещательных приемниках; ГТ109Д — в медицинской аппаратуре

Параметр	Обозначение	Единица	Тип транзистора					
			ГТ109Е	ГТ109Ж	ГТ109Н	МП111	МП11А	МП11Б
Обратный ток коллектора при $U_{кб}, В$	$I_{кб0}$	мкА	2/1,2	1/1,5	5/5	3/10	3/10	3/10
Обратный ток эмиттера при $U_{эб}, В$	$I_{эб0}$	мкА	3/1,2	5/1,5	5/5	3/20	3/20	3/20
Режим измерения h -параметров								
напряжение коллектора	U_k	В	5	5	5	5	5	5
ток коллектора	I_k	мА	1	1	1	1	1	1
Входное сопротивление	h_{116}	Ом	27	27	27	40	40	40
Коэффициент передачи тока	h_{214}	—	50...100	≥ 100	20...80	10...25	10...30	15...45
Коэффициент обратной связи	h_{126}	—	$0,5 \cdot 10^{-3}$	$0,5 \cdot 10^{-3}$	$0,5 \cdot 10^{-3}$	$3 \cdot 10^{-3}$	$3 \cdot 10^{-3}$	$3 \cdot 10^{-3}$
Выходная проводимость	h_{226}	мксм	3,3	3,3	3,3	2	2	2
Предельная частота коэффициента передачи	f_{h216}	МГц	5	5	1	0,5	0,5	0,5
Емкость коллекторного перехода	C_k	пФ	40	30	30	150	150	150
Постоянная времени цепи обратной связи	τ_k	пс	5000	5000	5000	—	—	—
Коэффициент шума	$K_{ш}$	дБ	—	—	12	—	18	—
Максимально допустимые параметры								
постоянное напряжение коллектор — база	$U_{кб\max}$	В	10	10	10	20	10	10
постоянное напряжение коллектор — эмиттер	$U_{кэ\max}$	В	6	6	6	20	10	10
постоянный ток коллектора	$I_{k\max}$	мА	20	20	20	20	20	20
импульсный ток коллектора	$I_{k\text{ и } \text{max}}$	мА	—	—	—	100	100	100
рассеиваемая мощность без теплоотвода	P_{\max}	мВт	30	30	30	150	150	150
Максимальная температура окружающей среды	T_{\max}	°С	+55	+55	+55	+100	+100	+100
Минимальная температура окружающей среды	T_{\min}	°С	-30	-30	-30	-60	-60	-60
Общее тепловое сопротивление транзистора	R_t	°С/мВт	—	—	—	0,8	0,8	0,8
Тип перехода, материал			$p-n-p$, германий			$n-p-n$, кремний		

Основное назначение

Для маломощных радиовещательных приемников; ГТ109Е — в медицинской аппаратуре; ГТ109Ж — для часовых механизмов

Для малооточных устройств переключения, модуляторов, усилителей и генераторов низкой частоты

Продолжение табл. 1

Параметр	Обозначение	Единица	Тип транзистора						
			МП113	МП113А	МП114	МП115	МП116	ГТ115А	ГТ115Б
Обратный ток коллектора при $U_{кб}, В$	$I_{кб0}$	мкА	3/10	3/10	10/30	10/15	10/10	40/20	40/30
Обратный ток эмиттера при $U_{эб}, В$	$I_{эб0}$	мкА	3/20	3/20	10/10	10/10	10/10	40/20	40/20
Режим измерения h -параметров									
напряжение коллектора	U_k	В	5	5	5	5	5	1	1
ток коллектора	I_k	мА	1	1	1	1	1	25	25
Входное сопротивление	h_{116}	Ом	40	40	35	35	35	—	—
Коэффициент передачи тока	h_{219}	—	15...45	30...75	≥ 9	9...45	15...100	20...80	20...80
Коэффициент обратной связи	h_{126}	—	$3 \cdot 10^{-3}$	$3 \cdot 10^{-3}$	$3 \cdot 10^{-3}$	$3 \cdot 10^{-3}$	$3 \cdot 10^{-3}$	—	—
Выходная проводимость	h_{226}	мкСм	2	2	3,3	3,3	2	—	—
Предельная частота коэффициента передачи	f_{h216}	МГц	0,1	0,1	0,1	0,1	0,5	1	1
Емкость коллекторного перехода	C_k	пФ	150	150	80	80	30	—	—
Постоянная времени цепи обратной связи	τ_k	пс	—	—	—	—	—	—	—
Коэффициент шума	$K_{ш}$	дБ	—	—	—	—	—	—	—
Максимально допустимые параметры									
постоянное напряжение коллектор—база	$U_{кб \max}$	В	10	10	60	30	15	20	30
постоянное напряжение коллектор—эмиттер	$U_{кэ \max}$	В	—	—	60	30	15	—	—
постоянный ток коллектора	$I_{k \max}$	мА	20	20	10	10	10	30	30
импульсный ток коллектора	$I_{k \text{ и } \max}$	мА	100	100	50	50	50	—	—
рассеиваемая мощность без теплоотвода	P_{\max}	мВт	150	150	150	150	150	50	50
Максимальная температура окружающей среды	T_{\max}	°С	+100	+100	+100	+100	+100	+45	+45
Минимальная температура окружающей среды	T_{\min}	°С	-60	-60	-60	-60	-60	-20	-20
Общее тепловое сопротивление транзистора	R_T	°С/мВт	0,8	0,8	0,5	0,5	0,5	0,8	0,8
Тип перехода, материал			$n-p-n$, кремний		$p-n-p$, кремний		$p-n-p$, германий		
Основное назначение			Для малотоковых устройств переключения, модуляторов, усилителей и генераторов низкой частоты		Для усилителей и генераторов низкой частоты		Для усилителей и генераторов низкой частоты		

Параметр	Обозначение	Единица	Тип транзистора					
			ГТ115В	ГТ115Г	ГТ115Д	ГТ116А	ГТ116Б	ГТ116В
Обратный ток коллектора при $U_{кб}$, В	$I_{кбо}$	мкА	40/20	40/30	40/20	—	—	—
Обратный ток эмиттера при $U_{эб}$, В	$I_{эбо}$	мкА	40/20	40/20	40/20	—	—	—
Режим измерения h -параметров								
напряжение коллектора	U_k	В	1	1	1	1	1	1
ток коллектора	I_k	мА	25	25	25	100	100	100
Входное сопротивление	h_{116}	Ом	—	—	—	30...100	30...100	30...100
Коэффициент передачи тока	h_{219}	—	60...150	60...150	125...250	15...65	30...100	30...100
Коэффициент обратной связи	h_{126}	—	—	—	—	—	—	—
Выходная проводимость	h_{226}	мкСм	—	—	—	—	—	—
Граничная частота коэффициента передачи	$f_{гр}$	МГц	1	1	1	1	1	1
Емкость коллекторного перехода	C_k	пФ	—	—	—	—	—	—
Постоянная времени цепи обратной связи	τ_k	пс	—	—	—	—	—	—
Коэффициент шума	$K_{ш}$	дБ	—	—	—	—	—	—
Максимально допустимые параметры								
постоянное напряжение коллектор — база	$U_{кб\max}$	В	20	30	20	—	15	15
постоянное напряжение коллектор — эмиттер	$U_{кэ\max}$	В	—	—	—	15	15	15
постоянный ток коллектора	$I_{к\max}$	мА	30	30	30	50	50	50
импульсный ток коллектора	$I_{к\max}$	мА	—	—	—	300	300	300
рассеиваемая мощность без теплоотвода	P_{\max}	мВт	50	50	50	150	150	150
Максимальная температура окружающей среды	T_{\max}	°C	+45	+45	+45	+70	+70	+70
Минимальная температура окружающей среды	T_{\min}	°C	-20	-20	-20	-60	-60	-60
Общее тепловое сопротивление транзистора	R_t	°C/мВ	0,8	0,8	0,8	—	—	—
Тип перехода, материал			$p-n-p$, германий					
Основное назначение			Для усилителей и генераторов низкой частоты					
			$p-n-p$, германий					
			Для переключающих и импульсных устройств					

Таблица 2. Основные параметры транзисторов малой мощности среднечастотных

Параметр	Обозначение	Единица	Тип транзистора					
			П29	П29А	П30	П307	П307А	П307Б
Обратный ток коллектора при $U_{кб}, В$	$I_{кбо}$	мкА	4/12	4/12	4/12	20/80	20/80	20/80
Обратный ток эмиттера при $U_{кэ}, В$	$I_{кэо}$	мкА	4/12	4/12	4/12	10/3	10/3	10/3
Режим измерения h -параметров								
напряжение коллектора	U_k	В	0,5	0,5	0,5	20	20	20
ток коллектора	I_k	мА	20	20	20	10	10	10
Входное сопротивление	$h_{11к}$	Ом	—	—	—	70	70	70
Коэффициент передачи тока	$h_{21к}$	—	20...50	40...100	80...180	16...50	30...90	50...150
Выходная проводимость	$h_{22к}$	—	—	—	—	—	—	—
Предельная частота коэффициента передачи	$f_{h21к}$	МГц	0,5	5	10	20	20	20
Емкость коллекторного перехода	C_k	пФ	20	20	20	—	—	—
Постоянная времени цепи обратной связи	τ_k	пс	6000	6000	6000	—	—	—
Коэффициент шума	K_n	дБ	—	—	—	—	—	—
Максимально допустимые параметры								
постоянное напряжение коллектор — база	$U_{кб, max}$	В	12	12	12	80	80	80
постоянное напряжение коллектор — эмиттер	$U_{кэ, max}$	В	10	10	10	80	80	80
постоянный ток коллектора	$I_{к, max}$	мА	—	—	—	30	30	30
импульсный ток коллектора	$I_{к, max}$	мА	100	100	100	120	120	120
рассеиваемая мощность без теплоотвода	P_{max}	мВт	30	30	30	250	250	250
Максимальная температура окружающей среды	T_{max}	°C	+60	+60	+60	+70	+70	+70
Минимальная температура окружающей среды	T_{min}	°C	-60	-60	-60	-40	-40	-40
Общее тепловое сопротивление транзистора	R_T	°C/мВт	—	—	—	—	—	—
Тип перехода, материал			$p-n-p$, германий			$n-p-n$, кремний		

Основное назначение

Для модуляторов, импульсных и переключающих устройств

Для широкополосных и высоковольтных усилителей

Параметр	Обозначение	Единица	Тип транзистора			
			П307В	П307Г	П308	П309
			П307В	П307Г	П308	П309
			П307В	П307Г	П308	П309
Обратный ток коллектора при $U_{кб}, В$	$I_{кб0}$	мкА	20/60	20/80	20/120	20/120
Обратный ток эмиттера при $U_{эб}, В$	$I_{эб0}$	мкА	50/60	10/3	50/120	50/120
Режим измерения h -параметров						
напряжение коллектора	U_K	В	20	20	20	20
ток коллектора	I_K	мА	10	10	10	10
Входное сопротивление	$h_{11б}$	Ом	70	70	70	70
Коэффициент передачи тока	$h_{21б}$	—	50...150	16...50	30...90	16...50
Коэффициент обратной связи	$h_{22б}$	—	—	—	—	—
Выходная проводимость	$h_{22б}$	мкСм	—	—	—	—
Предельная частота коэффициента передачи	$f_{h21б}$	МГц	20	20	20	20
Емкость коллекторного перехода	C_K	пФ	—	—	—	—
Постоянная времени цепи обратной связи	τ_K	пс	—	—	—	—
Коэффициент шума	$K_{ш}$	дБ	—	—	—	—
Максимально допустимые параметры						
постоянное напряжение коллектор — база	$U_{кб max}$	В	60	80	120	120
постоянное напряжение коллектор — эмиттер	$U_{кэ max}$	В	60	80	120	120
постоянный ток коллектора	$I_{K max}$	мА	30	30	30	30
импульсный ток коллектора	$I_{K и max}$	мА	120	120	120	120
рассеиваемая мощность без теплоотвода	P_{max}	мВт	250	250	250	250
Максимальная температура окружающей среды	T_{max}	°C	+70	+70	+70	+70
Минимальная температура окружающей среды	T_{min}	°C	-40	-40	-40	-40
Общее тепловое сопротивление транзистора	R_T	°C/мВт	—	—	—	—
Тип перехода, материал			$n-p-n$, кремний			
Основное назначение			Для широкополосных и высоковольтных усилителей			
			Для усилителей в диапазоне частот до 10 МГц			

Параметр	Обозначение	Единица	Тип транзистора				
			КТ201В	КТ201Г	КТ201Д	КТ203А	КТ203В
Обратный ток коллектора при $U_{кб}, В$	$I_{кбо}$	мкА	1/10	1/10	1/10	1/60	1/30
Обратный ток эмиттера при $U_{эб}, В$	$I_{эбо}$	мкА	3/10	3/10	3/10	1/30	1/15
Режим измерения h -параметров							
напряжение коллектора	U_k	В	1	1	1	5	5
ток коллектора	I_k	мА	5	5	5	1	1
Входное сопротивление	h_{116}	Ом	—	—	—	300	300
Коэффициент передачи тока	h_{21}	—	30...90	70...210	30...90	≥ 9	30...100
Коэффициент обратной связи	h_{126}	—	$3 \cdot 10^{-3}$	$3 \cdot 10^{-3}$	$3 \cdot 10^{-3}$	—	—
Выходная проводимость	h_{226}	мкСм	2	2	2	—	—
Предельная частота коэффициента передачи	h_{216}	МГц	10	10	10	5	—
Емкость коллекторного перехода	C_k	пФ	20	20	20	10	10
Постоянная времени цепи обратной связи	τ_k	пс	—	—	—	—	—
Коэффициент шума	$K_{ш}$	дБ	—	—	15	—	—
Максимально допустимые параметры							
постоянное напряжение коллектор — база	$U_{кб\max}$	В	10	10	10	60	30
постоянное напряжение коллектор — эмиттер	$U_{кэ\max}$	В	10	10	10	60	30
постоянный ток коллектора	$I_{к\max}$	мА	20	20	20	10	10
импульсный ток коллектора	$I_{ки\max}$	мА	100	100	100	50	50
рассеиваемая мощность без теплоотвода	P_{\max}	мВт	150	150	150	150	150
Максимальная температура окружающей среды	T_{\max}	°С	+125	+125	+125	+125	+125
Минимальная температура окружающей среды	T_{\min}	°С	—60	—60	—60	—60	—60
Общее тепловое сопротивление транзистора	R_{Γ}	°С/мВт	—	—	—	—	—
Тип перехода, материал			$n-p-n$, кремний			$p-n-p$, кремний	

Для усилителей и генераторов
в диапазоне частот до 10 МГц
низкой и промежуточной частот

Основное назначение

Параметр	Обозначение	Единица	Тип транзистора						
			КТ208А	КТ208Б	КТ208В	КТ208Г	КТ208Д	КТ208Е	КТ208Ж
Обратный ток коллектора при $U_{кб}$, В	$I_{кбо}$	мкА	$\leq 1,0$	$\leq 1,0$	$\leq 1,0$	$\leq 1,0$	$\leq 1,0$	$\leq 1,0$	$\leq 1,0$
Обратный ток эмиттера при $U_{эб}$, В	$I_{эбо}$	мкА	$\leq 1,0$	$\leq 1,0$	$\leq 1,0$	$\leq 1,0$	$\leq 1,0$	$\leq 1,0$	$\leq 1,0$
Режим измерения h -параметров									
напряжение коллектора	U_k	В	1,0	1,0	1,0	1,0	1,0	1,0	1,0
ток коллектора	I_k	мА	30	30	30	30	30	30	30
Входное сопротивление	h_{11}	Ом	—	—	—	—	—	—	—
Коэффициент передачи тока	h_{21}	—	—	—	—	—	—	—	—
Коэффициент обратной связи	h_{22}	мкСм	—	—	—	—	—	—	—
Выходная проводимость	h_{216}	МГц	$\geq 5,0$	$\geq 5,0$	$\geq 5,0$	$\geq 5,0$	$\geq 5,0$	$\geq 5,0$	$\geq 5,0$
Предельная частота коэффициента передачи	C_k	пФ	50	50	50	50	50	50	50
Емкость коллекторного перехода	τ_k	пс	—	—	—	—	—	—	—
Постоянная времени цепи обратной связи	$K_{ш}$	дБ	—	—	—	—	—	—	—
Коэффициент шума									
Максимально допустимые параметры									
постоянное напряжение коллектор—база	$U_{кб\max}$	В	15	15	15	30	30	30	45
постоянное напряжение коллектор—эмиттер	$U_{кэ\max}$	В	15	15	15	30	30	30	45
постоянный ток коллектора	$I_{к\max}$	мА	300	300	300	300	300	300	300
импульсный ток коллектора	$I_{ка\max}$	мА	500	500	500	500	500	500	500
рассеиваемая мощность без теплоотвода	P_{\max}	мВт	200	200	200	200	200	200	200
Максимальная температура окружающей среды	T_{\max}	°С	+150	+150	+150	+150	+150	+150	+150
Минимальная температура окружающей среды	T_{\min}	°С	-60	-60	-60	-60	-60	-60	-60
Тепловое сопротивление транзистора	R_T	°С/мВт	—	—	—	—	—	—	—
Тип перехода, материал			p—n—p, кремний						

Параметр	Обозначение	Единица	Тип транзистора					
			КТ208И	КТ208К	КТ208Л	КТ208М	КТ209А	КТ209Б
Обратный ток коллектора при $U_{кб}$, В	$I_{кбо}$	мкА	$\leq 0,1$	$\leq 1,0$	$\leq 1,0$	$\leq 1,0$	—	—
Обратный ток эмиттера при $U_{эб}$, В	$I_{эбо}$	мкА	$\leq 1,0$	$\leq 1,0$	$\leq 1,0$	$\leq 1,0$	—	—
Режим измерения h — параметров напряжения коллектора								
ток коллектора	U_k	В	1,0	1,0	1,0	1,0	1,0	1,0
Входное сопротивление	I_k	мА	30	30	30	30	30	30
Коэффициент передачи тока	h_{116}	Ом	—	—	—	—	—	—
Коэффициент обратной связи	h_{213}	—	—	—	—	—	—	—
Выходная проводимость	h_{126}	—	—	—	—	—	—	—
Предельная частота коэффициента передачи	h_{226}	мкСм	—	—	—	—	—	—
Емкость коллекторного перехода	f_{h216}	МГц	$\geq 5,0$	$\geq 5,0$	$\geq 5,0$	$\geq 5,0$	5,0	5,0
Постоянная времени цепи обратной связи	C_k	пФ	50	50	50	50	50	50
Коэффициент шума	τ_k	пс	—	—	—	—	—	—
Максимально допустимые параметры	$K_{ш}$	дБ	—	—	—	—	—	—
постоянное напряжение коллектор — база	$U_{кб\max}$	В	45	45	60	60	15	15
постоянное напряжение коллектор — эмиттер	$U_{кэ\max}$	В	45	45	60	60	15	15
импульсный ток коллектора	$I_{к\max}$	мА	300	300	300	300	300	300
Рассеиваемая мощность без теплоотвода	$I_{кэ\max}$	мА	500	500	500	500	500	500
Максимальная температура окружающей среды	P_{\max}	мВт	200	200	200	200	200	200
Минимальная температура окружающей среды	T_{\max}	°C	+150	+150	+150	+150	+100	+100
Тепловое сопротивление транзистора	T_{\min}	°C	-60	-60	-60	-60	-45	-45
Тип перехода, материал	R_T	°C/мВт	—	—	—	—	—	—

p — n — p, кремний

Параметр	Обозначение	Единица	Тип транзистора							
			КТ209Г	КТ209Д	КТ209Е	КТ209Ж	КТ209И	КТ209К	КТ209Л	КТ209М
Обратный ток коллектора при $U_{кз}, В$	$I_{кз,обр}$	мкА	—	—	—	—	—	—	—	—
Обратный ток эмиттера при $U_{эв}, В$	$I_{эв,обр}$	мкА	—	—	—	—	—	—	—	—
Режим измерения h -параметров										
напряжение коллектора	U_k	В	1,0	1,0	1,0	1,0	1,0	1,0	1,0	1,0
ток коллектора	I_k	мА	30	30	30	30	30	30	30	30
Входное сопротивление	$h_{21,в}$	Ом	—	—	—	—	—	—	—	—
Коэффициент передачи тока	$h_{21,с}$	—	—	—	—	—	—	—	—	—
Коэффициент обратной связи	$h_{22,с}$	мкСм	—	—	—	—	—	—	—	—
Выходная проводимость	$h_{21,в}$	МГц	5,0	5,0	5,0	5,0	5,0	5,0	5,0	5,0
Предельная частота коэффициента передачи	$f_{h_{21,в}}$	пФ	50	50	50	50	50	50	50	50
Емкость коллекторного перехода	C_k	пс	—	—	—	—	—	—	—	—
Постоянная времени цепи обратной связи	τ_k	дБ	—	—	—	—	—	—	—	—
Коэффициент шума	$K_{ш}$		—	—	—	—	—	—	—	—
Максимально допустимые параметры										
постоянное напряжение коллектор—база	$U_{кз,пос}$	В	30	30	30	45	45	45	60	60
постоянное напряжение коллектор—эмиттер	$U_{кз,пос}$	В	30	30	30	45	45	45	60	60
постоянный ток коллектора	$I_{кз,пос}$	мА	300	300	300	300	300	300	300	300
импульсный ток коллектора	$I_{кз,имп}$	мА	500	500	500	500	500	500	500	500
рассеиваемая мощность без теплоотвода	$P_{мощ}$	мВт	200	200	200	200	200	200	200	200
Максимальная температура окружающей среды	$T_{окс}$	°С	+100	+100	+100	+100	+100	+100	+100	+100
Минимальная температура окружающей среды	$T_{мин}$	°С	-45	-45	-45	-45	-45	-45	-45	-45
Тепловое сопротивление транзистора	$R_{тп}$	°С/мВт	—	—	—	—	—	—	—	—
Тип перехода, материал			$p-n-p$, кремний							

Таблица 3. Основные параметры малоомощных высокочастотных транзисторов

Параметр	Обозначение	Единица	Тип транзистора					
			КТ312А	КТ312Б	КТ312В	ГТ313А	ГТ313Б	КТ315А
Обратный ток коллектора при $U_{кб}, В$	$I_{кбо}$	мкА	10/15	10/30	10/15	3/12	3/12	1/10
Обратный ток эмиттера при $U_{эб}, В$	$I_{эбо}$	мкА	10/4	10/4	10/4	10/0,25	10/0,25	30/5
Режим измерения h -параметров								
напряжение коллектора	U_K	В	2	2	2	5	5	10
ток коллектора	I_K	мА	20	20	20	5	5	1
Входное сопротивление	h_{116}	Ом	—	—	—	30	30	40
Коэффициент передачи тока	h_{21}	—	—	—	—	20...250	20...250	20...90
Коэффициент обратной связи	h_{126}	—	—	—	—	$2,5 \cdot 10^{-3}$	$2,5 \cdot 10^{-3}$	50...350
Выходная проводимость	h_{226}	мксм	—	—	—	5	5	—
Граничная частота коэффициента передачи	$f_{гр}$	МГц	80	120	120	300	450	0,3
Емкость коллекторного перехода	C_K	пФ	5	5	5	2,5	2	7
Постоянная времени цепи обратной связи	τ_K	нс	500	500	500	75	75	300
Коэффициент шума	$K_{ш}$	дБ	—	—	—	—	7	—
Максимально допустимые параметры								
постоянное напряжение коллектор — база	$U_{кб\max}$	В	15	30	15	15	15	—
постоянное напряжение коллектор — эмиттер	$U_{кэ\max}$	В	15	30	15	15	15	20
постоянный ток коллектора	$I_K\max$	мА	30	30	30	10	10	100
импульсный ток коллектора	$I_{Кн\max}$	мА	—	—	—	—	—	—
рассеиваемая мощность без теплоотвода	P_{\max}	мВт	225	225	225	100	100	150
Максимальная температура окружающей среды	T_{\max}	°C	+85	+85	+85	+55	+55	+100
Минимальная температура окружающей среды	T_{\min}	°C	—40	—40	—40	—40	—40	—55
Общее тепловое сопротивление транзистора	R_T	°C/мВт	—	—	—	—	—	0,67
Тип перехода, материал			$n-p-n$, кремний					

Параметр	Обозначение	Единица	Тип транзистора					
			КТ315В	КТ315Г	КТ315Д	КТ315Е	КТ316А	КТ316Б
Обратный ток коллектора при $U_{кб}, В$	$I_{кбо}$	мкА	1/10	1/10	1/10	1/10	0,5/10	0,5/10
Обратный ток эмиттера при $U_{эб}, В$	$I_{эбо}$	мкА	30/5	30/5	30/5	30/5	1/4	1/4
Режим измерения h -параметров								
напряжение коллектора	U_k	В	10	10	10	10	1	1
ток коллектора	I_k	мА	1	1	1	1	10	10
Входное сопротивление	h_{116}	Ом	40	40	40	40	—	—
Коэффициент передачи тока	$h_{21э}$	—	20...90	50...350	20...90	50...350	20...60	40...120
Коэффициент обратной связи	h_{126}	—	—	—	—	—	—	—
Выходная проводимость	h_{226}	мксм	0,3	0,3	0,3	0,3	—	—
Граничная частота коэффициента передачи	$f_{гр}$	МГц	250	250	250	250	600	800
Емкость коллекторного перехода	C_k	пФ	7	7	7	7	3	3
Постоянная времени цепи обратной связи	τ_k	пс	500	500	1000	1000	—	—
Коэффициент шума	$K_{ш}$	дБ	—	—	—	—	—	—
Максимально допустимые параметры								
постоянное напряжение коллектор—база	$U_{кб\max}$	В	—	—	—	—	10	10
постоянное напряжение коллектор—эмиттер	$U_{кэ\max}$	В	30	25	40	35	10	10
постоянный ток коллектора	$I_{к\max}$	мА	100	100	100	100	30	30
импульсный ток коллектора	$I_{к\text{ и } \max}$	мА	—	—	—	—	50	50
рассеиваемая мощность без теплоотвода	P_{\max}	мВт	150	150	150	150	150	150
Максимальная температура окружающей среды	T_{\max}	°C	+100	+100	+100	+100	+125	+125
Минимальная температура окружающей среды	T_{\min}	°C	-55	-55	-55	-55	-60	-60
Общее тепловое сопротивление транзистора	R_T	°C/мВт	0,67	0,67	0,67	0,67	—	—
Тип перехода, материал			$n-p-n$, кремний					

Для усилителей, гетеродинов и преобразователей частоты в телевизионных и радиовещательных приемниках

Для быстродействующих устройств переключения

Параметр	Обозначение	Единица	Тип транзистора					
			КТ316Г	КТ316Д	ГТ320А	ГТ320Б	ГТ320В	ГТ321А
Обратный ток коллектора при $U_{кб}, В$	$I_{кбо}$	мкА	0,5/10	0,5/10	20/20	20/20	20/20	500/60
Обратный ток эмиттера при $U_{эб}, В$	$I_{эбо}$	мкА	1/4	1/4	100/2	100/2	100/2	—
Режим измерения h -параметров								
напряжения коллектора	U_k	В	1	1	1	1	1	3
ток коллектора	I_k	мА	10	10	10	10	10	500
Входное сопротивление	$h_{11б}$	Ом	—	—	7	7	7	—
Коэффициент передачи тока	$h_{21б}$	—	—	—	20...80	50...160	80...250	20...60
Коэффициент обратной связи	$h_{12б}$	—	—	—	$1,2 \cdot 10^{-3}$	$1,2 \cdot 10^{-3}$	$1,2 \cdot 10^{-3}$	40...120
Выходная проводимость	$h_{22б}$	мкСм	—	—	3	3	3	—
Предельная частота коэффициента передачи	$f_{h21б}$	МГц	600	800	80	80	80	60
Емкость коллекторного перехода	C_k	пФ	3	3	8	8	8	80
Постоянная времени цепи обратной связи	τ_k	пс	150	150	500	500	600	600
Коэффициент шума	$K_{ш}$	дБ	—	—	—	—	—	—
Максимально допустимые параметры								
постоянное напряжение коллектор — база	$U_{кб\max}$	В	10	10	20	20	20	60
постоянное напряжение коллектор — эмиттер	$U_{кэ\max}$	В	10	10	12	11	9	50
постоянный ток коллектора	$I_{к\max}$	мА	30	30	150	150	150	200
импульсный ток коллектора	$I_{ки\max}$	мА	50	50	300	300	300	2000
рассеиваемая мощность без теплоотвода	P_{\max}	мВт	150	150	200	200	200	160
Максимальная температура окружающей среды	T_{\max}	°С	+125	+125	+70	+70	+70	+60
Минимальная температура окружающей среды	T_{\min}	°С	—60	—60	—55	—55	—55	—55
Общее тепловое сопротивление транзистора	R_{θ}	°С/мВт	—	—	0,225	0,225	0,225	0,25
Тип перехода, материал			$n-p-n$, кремний					
			$p-n-p$, германий					

Основное назначение

Для усилителей и генераторов высокой частоты, импульсных устройств

Для усилителей высокой частоты

Параметр	Обозна- чение	Еди- ни- ца	Тип транзистора					
			ГТ321В	ГТ321Г	ГТ321Д	ГТ321Е	ГТ322А	ГТ322Б
Обратный ток коллектора при $U_{КБ}$, В	$I_{КБ0}$	мкА	500/60	500/45	500/45	500/45	4/10	4/10
Обратный ток эмиттера при $U_{ЭБ}$, В	$I_{ЭБ0}$	мкА	—	—	—	—	—	—
Режим измерения h -параметров								
напряжение коллектора	U_K	В	3	3	3	3	5	5
ток коллектора	I_K	мА	500	500	500	500	1	1
Входное сопротивление	h_{116}	Ом	—	—	—	—	34	34
Коэффициент передачи тока	h_{21s}	—	—	—	—	—	—	—
Коэффициент обратной связи	h_{126}	—	80...200	20...60	40...120	80...200	30...100	50...120
Выходная проводимость	h_{226}	—	—	—	—	—	$6 \cdot 10^{-3}$	$20 \cdot 10^{-3}$
Граничная частота коэффициента передачи	$f_{гр}$	МГц	60	60	60	60	1	1
Емкость коллекторного перехода	C_K	пФ	80	80	80	80	1,8	1,8
Постоянная времени цепи обратной связи	τ_K	пс	600	600	600	600	50	100
Коэффициент шума	$K_{ш}$	дБ	—	—	—	—	4	4
Максимально допустимые параметры								
постоянное напряжение коллектор — база	$U_{КБ\max}$	В	60	45	45	45	15	15
постоянное напряжение коллектор — эмиттер	$U_{КЭ\max}$	В	50	40	40	40	10	10
постоянный ток коллектора	$I_{К\max}$	мА	200	200	200	200	10	10
импульсный ток коллектора	$I_{К\text{ и } \max}$	мА	2000	2000	2000	2000	—	—
рассеиваемая мощность без теплоотвода	P_{\max}	мВт	160	160	160	160	50	50
Максимальная температура окружающей среды	T_{\max}	°С	+60	+60	+60	+60	+55	+55
Минимальная температура окружающей среды	T_{\min}	°С	-55	-55	-55	-55	-40	-40
Общее тепловое сопротивление транзистора	R_T	°С/мВт	0,25	0,25	0,25	0,25	0,7	0,7
Тип перехода, материал			$p-n-p$, германий					
Основное назначение			Для усилителей и генераторов высокой частоты, импульсных устройств					
			Для усилителей высокой и промежуточной частот в радиовещательных приемниках					

Параметр	Обозначение	Единица	Тип транзистора							
			КТ361А	КТ361Б	КТ361В	КТ361Г	КТ361Д	КТ361Е	ГТ362А	ГТ362Б
Обратный ток коллектора при $U_{кб}$, В	$I_{кб0}$	мкА	1/25	1/20	1/40	1/35	1/40	1/35	5/5	5/5
Обратный ток эмиттера при $U_{эб}$, В	$I_{эб0}$	мкА	—	—	—	—	—	—	—	—
Режим измерения h -параметров										
напряжение коллектора	U_k	В	10	10	10	10	10	10	3	3
ток коллектора	I_k	мА	1	1	1	1	1	1	5	5
Входное сопротивление	h_{11}	Ом	—	—	—	—	—	—	—	—
Коэффициент передачи тока	h_{21}	—	20...90	50...350	20...90	50...350	20...90	50...350	10...200	10...250
Коэффициент обратной связи	h_{12}	—	—	—	—	—	—	—	—	—
Выходная проводимость	h_{22}	мкСм	—	—	—	—	—	—	—	—
Предельная частота коэффициента передачи	f_{h216}	МГц	250	250	250	250	250	250	2400	2400
Емкость коллекторного перехода	C_k	пФ	9	9	7	7	7	7	1	1
Постоянная времени цепи обратной связи	τ_k	пс	500	500	1000	500	250	1000	10	20
Коэффициент шума	$K_{ш}$	дБ	—	—	—	—	—	—	4,5	5,5
Максимально допустимые параметры										
постоянное напряжение коллектор — база	$U_{кб\max}$	В	25	20	40	35	40	35	5	5
постоянное напряжение коллектор — эмиттер	$U_{кэ\max}$	В	25	20	40	35	40	35	5	5
постоянный ток коллектора	$I_{к\max}$	мА	—	—	—	—	—	—	10	10
импульсный ток коллектора	$I_{ки\max}$	мА	—	—	—	—	—	—	—	—
рассеиваемая мощность без теплоотвода	P_{\max}	мВт	150	150	150	150	150	150	40	40
Максимальная температура окружающей среды	T_{\max}	°C	+100	+100	+100	+100	+100	+100	+55	+55
Минимальная температура окружающей среды	T_{\min}	°C	-60	-60	-60	-60	-60	-60	-40	-40
Общее тепловое сопротивление транзистора	R_t	°C/мВт	0,67	0,67	0,67	0,67	0,67	0,67	2	2
Тип перехода, материал			$p-n-p$, кремний							
			$p-n-p$, германий							

Для усилителей высокой частоты

Для приемно-усилительной аппаратуры сверхвысокой частоты

Параметр	Обозначение	Единица	Тип транзистора									
			КТ3107В	КТ3107Г	КТ3107Д	КТ3107Е	КТ3107Ж	КТ3107И	КТ3107К	КТ3107Л		
Обратный ток коллектора при $U_{кб}, В$	$I_{кбо}$	мкА	0,1	0,1	0,1	0,1	0,1	0,1	0,1	0,1		
Обратный ток эмиттера при $U_{эв}, В$	$I_{эбо}$	мкА	0,1	0,1	0,1	0,1	0,1	0,1	0,1	0,1		
Режим измерения h -параметров												
напряжение коллектора	U_k	В	5,0	5,0	5,0	5,0	5,0	5,0	5,0	5,0		
ток коллектора	I_k	мА	2,0	2,0	2,0	2,0	2,0	2,0	2,0	2,0		
Входное сопротивление	$h_{11б}$	Ом	—	—	—	—	—	—	—	—		
Коэффициент передачи тока	$h_{21э}$	—	170...140	120...200	180...460	120...200	180...460	180...460	380...800	380...800		
Коэффициент обратной связи	$h_{12б}$	—	—	—	—	—	—	—	—	—		
Выходная проводимость	$h_{22б}$	мкСм	—	—	—	—	—	—	—	—		
Граничная частота коэффициента передачи	$f_{гр}$	МГц	200	200	200	200	200	200	200	200		
Емкость коллекторного перехода	C_k	пФ	7,0	7,0	7,0	7,0	7,0	7,0	7,0	7,0		
Постоянная времени цепи обратной связи	τ_k	пс	—	—	—	—	—	—	—	—		
Коэффициент шума	$K_{ш}$	дБ	10	10	10	4,0	4,0	10	10	4,0		
Максимально допустимые параметры												
постоянное напряжение коллектор—база	$U_{кб\max}$	В	30	30	30	25	25	50	30	25		
постоянное напряжение коллектор—эмиттер	$U_{кэ\max}$	В	25	25	25	20	20	45	25	20		
постоянный ток коллектора	$I_{к\max}$	мА	100	100	100	100	100	100	100	100		
импульсный ток коллектора	$I_{к\max}$	мА	200	200	200	200	200	200	200	200		
рассеиваемая мощность без теплоотвода	P_{\max}	мВт	300	300	300	300	300	300	300	300		
Максимальная температура окружающей среды	T_{\max}	°С	+125	+125	+125	+125	+125	+125	+125	+125		
Минимальная температура окружающей среды	T_{\min}	°С	-60	-60	-60	-60	-60	-60	-60	-60		
Общее тепловое сопротивление транзистора	R_T	°С/мВт	—	—	—	—	—	—	—	—		
Тип перехода, материал			p—n—p, кремний									

Параметр	Обозначение	Единица	Тип транзистора									
			КТ3102А	КТ3102Б	КТ3102В	КТ3102Г	КТ3102Д	КТ3102Е	КТ3107А	КТ3107Б		
Обратный ток коллектора при $U_{кб}, В$	$I_{кбо}$	мкА	0,015	0,015	0,015	0,015	0,015	0,015	0,1	0,1		
Обратный ток эмиттера при $U_{эб}, В$	$I_{эбо}$	мкА	10	10	10	10	10	10	0,1	0,1		
Режим измерения h -параметров	U_k	В	5,0	5,0	5,0	5,0	5,0	5,0	5,0	5,0		
напряжения коллектора	I_k	мА	2,0	2,0	2,0	2,0	2,0	2,0	2,0	2,0		
ток коллектора	$h_{11б}$	Ом	—	—	—	—	—	—	—	—		
Входное сопротивление	$h_{21б}$	—	100...250	200...500	200...500	400...1000	200...500	400...1000	70...140	120...200		
Коэффициент передачи тока	$h_{12б}$	—	—	—	—	—	—	—	—	—		
Коэффициент обратной связи	$h_{22б}$	мксм	—	—	—	—	—	—	—	—		
Выходная проводимость	$I_{гр}$	МГц	100	100	100	100	100	100	200	200		
Граничная частота коэффициента передачи	C_k	пФ	6,0	6,0	6,0	6,0	6,0	6,0	7,0	7,0		
Емкость коллекторного перехода	T_k	пс	—	—	—	—	—	—	—	—		
Постоянная времени цепи обратной связи	$K_{ш}$	дБ	10	10	10	10	4,0	4,0	10	10		
Коэффициент шума	$U_{кб\max}$	В	50	50	30	20	30	50	50	50		
Максимально допустимые параметры	$U_{кэ\max}$	В	50	50	30	20	30	50	45	45		
постоянное напряжение коллектор — база	$I_{к\max}$	мА	100	100	100	200	200	100	100	100		
постоянное напряжение коллектор — эмиттер	$P_{к\max}$	мА	200	200	200	200	200	200	200	200		
импульсный ток коллектора	P_{\max}	мВт	250	250	250	250	250	250	300	300		
рассеиваемая мощность без теплоотвода	T_{\max}	°C	+85	+85	+85	+85	+85	+85	+125	+125		
Максимальная температура окружающей среды	T_{\min}	°C	—40	—40	—40	—40	—40	—40	—60	—60		
Минимальная температура окружающей среды	R_I	°C/мВт	0,4	0,4	0,4	0,4	0,4	0,4	—	—		
Общее тепловое сопротивление транзистора	$n-p-n$, кремний											
Тип перехода, материал	$p-n-p$											

Таблица 4. Основные параметры транзисторов средней мощности низкой частоты отечественного производства

Параметр	Обозначение	Единица	П1201А	П1201АЭ	П1202Э	П1203Э	П1302	П1303
Обратный ток коллектора (при напряжении на коллекторе, В)	$I_{К0}$	мкА	400/20	400/20	400/20	400/20	100/35	100/60
Обратный ток эмиттера (при напряжении $U_{э\kappa}$, В)	$I_{Э0}$	мкА	400/10	400/10	400/10	400/10	1 мА/35	1 мА/35
Режим измерения параметров								
напряжение на коллекторе	U_K	В	10	10	10	10	10	10
ток коллектора	I_K	мА	200	200	200	200	120	120
Усиленные параметры								
коэффициент передачи тока	$h_{21э}$	—	≥ 20	≥ 40	≥ 20	—	$\geq 10...$	≥ 6
границная частота усиления по току	$f_{г\kappa, \epsilon}$	кГц	100	200	100	200	200	100
Предельные параметры								
напряжение коллектор — база при х. х	$U_{КБ, max}$	В	45	45	70	70	35	60
напряжение эмиттер — эмиттер при сопротивлении в цепи базы	$U_{КЭ, max}$	В	30	30	55	55	35	60
Напряжение эмиттер — база	$U_{ЭБ, max}$	В	—	—	—	—	6	10
Постоянный ток коллектора	$I_{К, max}$	А	1,5	1,5	2,0	2,0	0,5	0,5
Постоянный ток базы	$I_{Б, max}$	А	—	—	—	—	0,2	0,2
Постоянная мощность, рассеиваемая транзистором без теплоотвода	P_{max}	Вт	1,0	1,0	1,0	1,0	1,0	1,0
Постоянная мощность с теплоотводом	P_{max}^I	Вт	10	10	10	10	7,0	10
Тепловые параметры:								
максимальная температура перехода	T_{max}	°С	+85	+85	+85	+85	+125	+125
минимальная температура перехода транзистора	T_{min}	°С	-55	-55	-55	-55	-55	-55
Тепловое сопротивление переход — корпус	$R_{\theta, \kappa}$	°С/Вт	3,5	3,5	3,5	3,5	10	10
Тепловое сопротивление переход — среда	$R_{\theta, c}$	°С/Вт	—	—	—	—	100	100
Тип проводимости			$p-n-p$, кремний	$p-n-p$, кремний	$p-n-p$, германий	$p-n-p$, германий	$p-n-p$, германий	$p-n-p$, германий
Материал								

Параметр	Обозначение	Единица	ПЗ03А	ПЗ04	ПЗ06	ПЗ06А	ГТ403А	ГТ403Б
Обратный ток коллектора (при напряжении на коллекторе, В)	$I_{КБ0}$	мкА	100/60	100/80	100/60	100/80	50/45	50/45
Обратный ток эмиттера (при напряжении $U_{ЭБ}$, В)	$I_{ЭБ0}$	мкА	1 мА/60	1 мА/60	1 мА/60	1 мА/80	50/20	50/20
Режим измерения параметров								
напряжение на коллекторе	U_K	В	10	10	10	10	5,0	5,0
ток коллектора	I_K	мА	120	120	120	120	100	100
Усиленные параметры								
коэффициент передачи тока	$h_{21э}$	—	≥ 6	≥ 5	7...30	5...50	20...60	50...150
граничная частота усиления по току	$f_{h21э}$	кГц	100	50	50	50	160	400
Пределные параметры								
напряжение коллектора — база при х. х в цепи эмиттера	$U_{КБ\max}$	В	60	80	60	80	45	45
напряжение коллектора — эмиттер при сопротивлении в цепи базы	$U_{КЭ\max}$	В	60	80	60	80	30	30
Напряжение эмиттер — база	$U_{ЭБ\max}$	В	2,5	10	6,0	4,0	20	20
Постоянный ток коллектора	$I_{К\max}$	А	0,5	0,5	0,4	0,4	1,25	1,25
Постоянный ток базы	$I_{Б\max}$	А	0,2	0,2	—	—	0,4	0,4
Постоянная мощность, рассеиваемая транзистором без тепловода	P_{\max}	Вт	1,0	1,0	1,0	1,0	0,6	0,6
Постоянная мощность с тепловодом	$P_{T\max}$	Вт	7,0	10	10	10	4,0	4,0
Тепловые параметры:								
максимальная температура перехода	T_{\max}	°С	+125	+125	+125	+125	+85	+85
минимальная температура перехода транзистора	T_{\min}	°С	-55	-55	-55	-55	-60	-60
Тепловое сопротивление переход — корпус	$R_{пк}$	°С/Вт	10	10	10	10	15	15
Тепловое сопротивление переход — среда	$R_{пс}$	°С/Вт	100	100	100	100	100	100
Тип проводимости				$p-n-p$				
Материал				кремний				

Параметр	Обозначение	Единица	ГТ403В	ГТ403Г	ГТ403Д	ГТ403Е	ГТ403Ж	ГТ403И	ГТ403Ю
Обратный ток коллектора (при напряжении на коллекторе, В)	$I_{КБ0}$	мкА	50/60	50/60	50/60	50/60	40/80	70/80	50/45
Обратный ток эмиттера (при напряжении $U_{ЭБ}$, В)	$I_{ЭБ0}$	мкА	50/20	50/20	50/20	50/20	70/20	70/20	90/20
Режим измерения параметров									
напряжение на коллекторе	U_K	В	6,0	5,0	5,0	5,0	5,0	5,0	5,0
ток коллектора	I_K	мА	100	100	100	100	100	100	100
Усилительные параметры									
коэффициент передачи тока	$h_{21э}$	—	20...60	50...150	50...150	≥ 30	20...60	50...150	30...60
границная частота усиления по току	$f_{h_{21э}}$	кГц	160	300	300	240	160	400	160
Предельные параметры									
напряжение коллектор — база при х.х в цепи эмиттера	$U_{КБ\max}$	В	60	60	60	60	80	80	45
напряжение коллектор — эмиттер при сопротивлении в цепи базы	$U_{КЭ\max}$	В	45	45	45	45	60	60	30
Напряжение эмиттер — база	$U_{ЭБ\max}$	В	20	20	20	20	20	20	20
Постоянный ток коллектора	$I_{К\max}$	А	1,25	1,25	1,25	1,25	1,25	1,25	1,25
Постоянный ток базы	$I_{Б\max}$	А	0,4	0,4	0,4	0,4	0,4	0,4	0,4
Постоянная мощность, рассеиваемая транзистором без теплоотвода	P_{\max}	Вт	0,6	0,6	0,6	0,6	0,6	0,6	0,6
Постоянная мощность с теплоотводом	P_{\max}^T	Вт	5,0	4,0	4,0	5,0	5,0	4,0	4,0
Тепловые параметры:									
максимальная температура перехода	T_{\max}	°С	+85	+85	+85	+85	+85	+85	+85
минимальная температура перехода транзистора	T_{\min}	°С	-60	-60	-60	-60	-60	-60	-60
Тепловое сопротивление переход — корпус	$R_{пк}$	°С/Вт	15	15	15	15	15	15	15
Тепловое сопротивление переход — среда	$R_{пс}$	°С/Вт	100	100	100	100	100	100	100
Тип проводимости									
Материал									

$p-n-p$,
германий

Параметр	Обозначение	Единица	ГТ402А	ГТ402Б	ГТ402В	ГТ402Г	ГТ404А	ГТ404Б
Обратный ток коллектора (при напряжении на коллекторе, В)	$I_{КБ0}$	мкА	25/10	25/10	25/10	25/10	25/10	25/10
Обратный ток эмиттера (при напряжении $U_{ЭБ}$, В)	$I_{ЭБ0}$	мкА	—	—	—	—	25/10	25/10
Режим измерения параметров	U_K	В	1,0	1,0	1,0	1,0	1,0	1,0
напряжения на коллекторе	I_K	мА	3,0	3,0	3,0	3,0	3,0	3,0
ток коллектора	h_{21}	—	30...80	60...150	30...80	60...150	30...80	60...150
Усиительные параметры	$f h_{21}$	кГц	1000	1000	1000	1000	1000	1000
коэффициент передачи тока	$U_{КБ\max}$	В	—	—	—	—	—	—
граница частот усиления по току	$U_{КЭ\max}$	В	25	25	40	40	25	25
Предельные параметры	$U_{ЭБ\max}$	В	0,35	0,35	0,35	0,35	0,3	0,3
напряжения коллектор — база при х.х в цепи эмиттера	$I_{К\max}$	А	0,5	0,5	0,5	0,5	0,5	0,5
напряжения коллектор — эмиттер при сопротивлении в цепи базы	$I_{Б\max}$	А	0,6	0,6	0,6	0,6	0,6	0,6
Напряжение эмиттер — база	P_{\max}	Вт	—	—	—	—	—	—
Постоянный ток коллектора	P_{\max}^I	Вт	—	—	—	—	—	—
Постоянный ток базы	T_{\max}	°C	+85	+85	+85	+85	+85	+85
Постоянная мощность с теплоотводом	T_{\min}	°C	-25	-25	-25	-25	-40	-40
Тепловые параметры:	$R_{\text{т.к}}$	°C/Вт	0,015	0,015	0,015	0,015	0,015	0,015
максимальная температура перехода	$R_{\text{т.б}}$	°C/Вт	0,1	0,1	0,1	0,1	0,1	0,1
минимальная температура перехода транзистора								
Тепловое сопротивление переход корпус								
Тепловое сопротивление переход среда								
Тепловое сопротивление корпус								
Тип проводимости								
Материал								

$n-p-n$,
германий

Параметр	Обозначение	Единица	ГТ404В	ГТ404Г	П601И	П601АИ	П601БИ	П602И
Обратный ток коллектора (при напряжении на коллекторе, В)	$I_{КБ0}$	мкА	25/10	25/10	0,2/10	0,1/10	0,13/10	0,1/10
Обратный ток эмиттера (при напряжении $U_{ЭБ}$, В)	$I_{ЭБ0}$	мкА	25/10	25/10	1,0/0,5	1,0/0,5	1,0/0,5	1,0/0,5
Режим измерения параметров								
напряжение на коллекторе	U_K	В	1,0	1,0	3,0	3,0	3,0	3,0
ток коллектора	I_K	мА	3,0	3,0	0,5А	0,5А	0,5А	0,5А
Усиленные параметры								
коэффициент передачи тока	$h_{21э}$	—	30...80	60...150	20	40...100	80...200	40...100
граничная частота усиления по току	$f_{h_{21э}}$	кГц	1000	1000	20	20	20	30
Предельные параметры:								
напряжение коллектор — база при х.х в цепи эмиттера	$U_{КБ\max}$	В	—	—	25	30	30	30
напряжение коллектор — эмиттер при сопротивлении в цепи базы	$U_{КЭ\max}$	В	25	25	25	30	30	30
Напряжение эмиттер — база	$U_{ЭБ\max}$	В	0,3	0,3	0,7	0,7	0,7	0,7
Постоянный ток коллектора	$I_{К\max}$	А	0,5	0,5	1,5*	1,5*	1,5*	1,5*
Постоянный ток базы	$I_{Б\max}$	А	—	—	—	—	—	—
Постоянная мощность, рассеиваемая транзистором без теплоотвода	P_{\max}	Вт	0,6	0,6	0,5	0,5	0,5	0,5
Постоянная мощность с теплоотводом	$P_{\Gamma\max}$	Вт	—	—	3,0	3,0	3,0	3,0
Тепловые параметры:								
максимальная температура перехода	T_{\max}	°С	+85	+85	+85	+85	+85	+85
минимальная температура перехода транзистора	T_{\min}	°С	-40	-40	-50	-50	-50	-50
Тепловое сопротивление переход — корпус	$R_{пк}$	°С/Вт	0,015	0,015	15	15	15	15
Тепловое сопротивление переход — среда	$R_{пс}$	°С/Вт	0,1	0,1	50	50	50	50
Тип проводимости			$n-p-n$, германий					
Материал			$p-n-p$, германий					

* Ток импульсный.

Параметр	Обозначение	Единица	П602АИ	П605	П605А	П606	П606А	П701	П701А
Обратный ток коллектора (при напряжении на коллекторе, В)	$I_{КБ}$	мкА	0,13/10	2,0/45	2,0/45	2,0/35	2,0/35	0,1/40	0,1/60
Обратный ток эмиттера (при напряжении $U_{ЭБ}$, В)	$I_{ЭБ}$	мкА	1,0/0,5	1,0/1,0	1,0/1,0	1,0/0,5	1,0/0,5	3,3	3,3
Режим измерения параметров									
напряжение на коллекторе	U_K	В	3,0	3,0	3,0	3,0	3,0	10	10
ток коллектора	I_K	мА	0,5А	0,5А	0,5А	0,5А	0,5А	0,2А	0,2А
Усиленные параметры									
коэффициент передачи тока	$h_{21э}$	—	80...200	20...60	40...120	20...60	40...120	20...60	15...20
границная частота усиления по току	$f_{h_{21э}}$	кГц	30	—	—	30	30	7,5	7,5
Предельные параметры									
напряжение коллектор — база при х.х в цепи эмиттера	$U_{КБ\max}$	В	25	45	45	35	35	40	60
напряжение коллектор — эмиттер при сопротивлении в цепи базы	$U_{КЭ\max}$	В	25	40	40	25	25	30	60
Напряжение эмиттер — база	$U_{ЭБ\max}$	В	0,7	1,0	1,0	0,5	0,5	2,0	2,0
Постоянный ток коллектора	$I_{К\max}$	А	1,5*	1,5*	1,5*	1,5*	1,5*	0,5	0,5
Постоянный ток базы	$I_{Б\max}$	А	—	—	—	—	—	—	ξ—
Постоянная мощность, рассеиваемая транзистором без теплоотвода	P_{\max}	Вт	0,5	0,5	0,5	0,5	0,5	1,0	1,0
Постоянная мощность с теплоотводом	P_{\max}^T	Вт	3,0	3,0	3,0	3,0	3,0	10	10
Тепловые параметры:									
максимальная температура перехода	T_{\max}	°С	+85	+85	+85	+85	+85	+150	+150
минимальная температура перехода транзистора	T_{\min}	°С	-50	-60	-60	-60	-55	-55	-55
Тепловое сопротивление переход — корпус	$R_{пк}$	°С/Вт	15	15	15	15	15	10	10
Тепловое сопротивление переход — среда	$R_{пс}$	°С/Вт	50	50	50	50	50	85	85
Тип проводимости				$p-n-p$, германий				$n-p-n$, германий	
Материал									

* Ток импульсный

Параметр	Обозначение	Единица	ГТ405А	ГТ405Б	ГТ405В	ГТ405Г
Обратный ток коллектора (при напряжении на коллекторе, В)	$I_{КБ0}$	мкА	$\leq 25/10$	$\leq 25/10$	$\leq 25/10$	$\leq 25/10$
Обратный ток эмиттера (при напряжении $U_{э6}$, В)	$I_{ЭБ0}$	мкА	—	—	—	—
Режим измерения параметров						
напряжение на коллекторе	U_K	В	1,0	1,0	1,0	1,0
ток коллектора	I_K	мА	3,0	3,0	3,0	3,0
Усилительные параметры						
коэффициент передачи тока	$h_{21э}$	—	30...80	60...150	30...80	60...150
граничная частота усиления по току	$h_{21б}$	кГц	1000	1000	1000	1000
Предельные параметры						
напряжение коллектор — база при х.х в цепи эмиттера	$U_{КБ\max}$	В	—	—	—	—
напряжение коллектор — эмиттер при сопротивлении в цепи базы	$U_{КЭ\max}$	В	25	25	40	40
Напряжение эмиттер — база	$U_{ЭБ\max}$	В	0,35	0,35	0,35	0,35
Постоянный ток коллектора	$I_{К\max}$	А	0,5	0,5	0,5	0,5
Постоянный ток базы	$I_{Б\max}$	А	—	—	—	—
Постоянная мощность, рассеиваемая транзистором без теплоотвода	P_{\max}	Вт	0,6	0,6	0,6	0,6
Постоянная мощность с теплоотводом	$P_{T\max}$	Вт	—	—	—	—
Тепловые параметры:						
максимальная температура перехода	T_{\max}	°С	+85	+85	+85	+85
минимальная температура перехода транзистора	T_{\min}	°С	-40	-40	-40	-40
Тепловое сопротивление переход — корпус	$R_{пк}$	°С/Вт	—	—	—	—
Тепловое сопротивление переход — среда	$R_{пс}$	°С/Вт	100	100	100	100
Тип проводимости						
Материал						

$p-n-p$,
германий

Таблица 5. Основные параметры транзисторов средней мощности средней частоты

Параметр	Обозначение	Единица	КТ501А	КТ501Б	КТ501В	КТ501Г	КТ501Д	КТ501Е	КТ501Ж
Коэффициент передачи тока	$h_{21э}$	—	20...60	40...120	80...240	20...60	40...120	80...240	20...60
Граничная частота усиления	$f_{гр}$	МГц	$\geq 5,0$	$\geq 5,0$	$\geq 5,0$	$\geq 5,0$	$\geq 5,0$	$\geq 5,0$	$\geq 5,0$
Напряжение насыщения коллектор — эмиттер	$U_{кэ,нас}$	В	— 0,4	— 0,4	— 0,4	— 0,4	— 0,4	— 0,4	— 0,4
Напряжение насыщения база — эмиттер	$U_{бэ,нас}$	В	— 1,5	— 1,5	— 1,5	— 1,5	— 1,5	— 1,5	— 1,5
Емкость коллекторного перехода	C_k	пФ	≤ 50	≤ 50	≤ 50	≤ 50	≤ 50	≤ 50	≤ 50
Емкость эмиттерного перехода	$C_э$	пФ	≤ 100	≤ 100	≤ 100	≤ 100	≤ 100	≤ 100	≤ 100
Коэффициент шума	$K_{ш}$	дБ	≤ 2	≤ 2	$\leq 4,0$	≤ 2	≤ 2	≤ 4	≤ 2
Предельно допустимые									
Напряжение коллектор — эмиттер	$U_{кэ}$	В	15	15	15	30	30	30	45
Напряжение коллектор — база	$U_{кб}$	В	15	15	15	30	30	30	45
Постоянный ток коллектора	I_k	мА	300	300	300	300	300	300	300
Импульсный ток коллектора	$I_{ки}$	мА	500	500	500	500	500	500	500
Ток базы	$I_б$	мА	100	100	100	100	100	100	100
Мощность, рассеиваемая транзистором	P_k	Вт	0,35	0,35	0,35	0,35	0,35	0,35	0,35
Рабочая температура окружающей среды	T_{max}	°C	+125	+125	+125	+125	+125	+125	+125
Минимальная температура	T_{min}	°C	— 60	— 60	— 60	— 60	— 60	— 60	— 60
Проводимость, материал			$p - n - p$, кремний						

Параметр	Обозначение	Единица	КТ501И	КТ501К	КТ501Л	КТ501М	КТ502А	КТ502Б	КТ502В	КТ502Г
Коэффициент передачи тока	$h_{21э}$	—	40...120	80...240	20...60	40...120	40...120	80...240	40...120	80...240
Граничная частота усиления	$f_{гр}$	МГц	$\geq 5,0$	$\geq 5,0$	$\geq 5,0$	$\geq 5,0$	$\geq 5,0$	$\geq 5,0$	5,0	$\geq 5,0$
Напряжение насыщения коллектор — эмиттер	$U_{кз нас}$	В	—0,4	—0,4	—0,4	—0,4	—0,6	—0,6	—0,6	—0,6
Напряжение насыщения база — эмиттер	$U_{бз нас}$	В	—1,5	—1,5	—1,5	—1,5	—1,2	—1,2	—1,2	—1,2
Емкость коллекторного перехода	C_k	пФ	≤ 50	≤ 50	≤ 50	≤ 50	≤ 50	≤ 50	≤ 50	≤ 50
Емкость эмиттерного перехода	$C_э$	пФ	≤ 100	≤ 100	≤ 100	≤ 100	≤ 100	≤ 100	≤ 100	≤ 100
Коэффициент шума	$K_{ш}$	дБ	≤ 2	≤ 4	≤ 2	≤ 2	—	—	—	—
Предельно допустимые напряжение коллектор — эмиттер	$U_{кэ}$	В	45	45	60	60	25	25	40	40
напряжение коллектор — база	$U_{кб}$	В	45	45	60	60	40	40	60	60
постоянный ток коллектора	I_k	мА	300	300	300	300	150	150	150	150
импульсный ток коллектора	$I_{ки}$	мА	500	500	500	500	300	300	300	300
Ток базы	$I_б$	мА	100	100	100	100	100	100	100	100
Мощность, рассеиваемая транзистором	P_k	Вт	0,35	0,35	0,35	0,35	0,35	0,35	0,35	0,35
Рабочая температура окружающей среды	T_{max}	°C	+125	+125	+125	+125	+125	+125	+125	125
Минимальная температура	T_{min}	°C	—60	—60	—60	—60	—60	—60	—60	—60
Проводимость, материал										

p — n — p, кремний

Продолжение табл. 5

Параметр	Обозначение	Единица	КТ502Д	КТ502Е	КТ503А	КТ503Б	КТ503В	КТ503Г	КТ503Д	КТ503Е
Коэффициент передачи тока	h_{21}	—	40...120	40...120	40...120	80...240	40...120	80...240	40...120	40...120
Граничная частота усиления	$f_{гр}$	МГц	$\geq 5,0$	$\geq 5,0$	$\geq 5,0$	$\geq 5,0$	$\geq 5,0$	$\geq 5,0$	$\geq 5,0$	$\geq 5,0$
Напряжение насыщения коллектор — эмиттер	$U_{кэ нас}$	В	—0,6	—0,6	$\leq 0,6$	$\leq 0,6$	$\leq 0,6$	$\leq 0,6$	$\leq 0,6$	$\leq 0,6$
Напряжение насыщения база — эмиттер	$U_{бэ нас}$	В	—1,2	—1,2	$\leq 1,2$	$\leq 1,2$	$\leq 1,2$	$\leq 1,2$	$\leq 1,2$	$\leq 1,2$
Емкость коллекторного перехода	C_k	пФ	≤ 50	≤ 50	≤ 50	≤ 50	≤ 50	≤ 50	≤ 50	≤ 50
Емкость эмиттерного перехода	$C_э$	пФ	≤ 100	≤ 100	≤ 100	≤ 100	≤ 100	≤ 100	≤ 100	≤ 100
Коэффициент шума	$K_{ш}$	дБ	—	—	—	—	—	—	—	—
Предельно допустимые										
напряжение коллектор — эмиттер	$U_{кэ}$	В	60	80	25	25	40	40	60	80
напряжение коллектор — база	$U_{кб}$	В	80	90	40	40	60	60	80	100
постоянный ток коллектора	I_k	мА	150	150	150	150	150	150	150	150
импульсный ток коллектора	$I_{ки}$	мА	300	300	300	300	300	300	300	300
Ток базы	$I_б$	мА	100	100	100	100	100	100	100	100
Мощность, рассеиваемая транзистором	R_k	Вт	0,35	0,35	350	350	350	350	350	350
Рабочая температура окружающей среды	T_{max}	°C	+125	+125	+100	+100	+100	+100	+100	+100
Минимальная температура	T_{min}	°C	—60	—60	—40	—40	—40	—40	+100	—40
Проводимость, материал			$p-n-p$, кремний	$p-n-p$, кремний	$p-n-p$, кремний	$p-n-p$, кремний	$p-n-p$, кремний	$p-n-p$, кремний	$p-n-p$, кремний	$p-n-p$, кремний

Таблица 6. Основные параметры транзисторов средней мощности высокочастотных

Параметр	Обозначение	Единица	Тип транзистора					
			КТ601А	КТ602А	КТ602Б	КТ602В	КТ602Г	КТ603А
Обратный ток коллектора при $U_{кб}$, В	$I_{кво}$	мкА	—	70/120 50/5	70/120 50/5	70/80 50/5	70/80 50/5	10/30 3/3
Обратный ток эмиттера при $U_{эб}$, В	$I_{эво}$	мкА	50/2	—	—	—	—	—
Режим измерения h -параметров								
напряжение коллектора	U_k	В	20	10	10	10	10	2
ток коллектора	I_k	мА	10	10	10	10	10	150
Коэффициент передачи тока	h_{21}	—	≥ 16	20...80	≥ 50	15...80	≥ 50	10...80
Граничная частота коэффициента передачи	$f_{гр}$	МГц	40	150	150	150	150	200
Емкость коллекторного перехода	C_k	пФ	15	4	4	4	4	15
Постоянная времени цепи обратной связи	τ_k	пс	600	300	300	300	300	400
Максимально допустимые параметры								
постоянное напряжение коллектор — база	$U_{кб\max}$	В	100	120	120	80	80	30
постоянное напряжение коллектор — эмиттер	$U_{кэ\max}$	В	100	100	100	70	70	30
постоянное напряжение эмиттер — база	$U_{эб\max}$	В	2	5	5	5	5	3
постоянный ток коллектора	$I_{k\max}$	мА	30	75	75	75	75	300
импульсный ток коллектора	$I_{k\max}$	мА	—	500	500	500	500	600
постоянный ток базы	$I_{б\max}$	мА	30	—	—	—	—	—
рассеиваемая мощн. без теплоотвода	P_{\max}	Вт	0,25	0,85	0,85	0,85	0,85	0,5
Максимальная температура окр. среды	T_{\max}	°C	0,5	2,8	2,8	2,8	2,8	—
Минимальная температура окр. среды	T_{\min}	°C	+85	+85	+85	+85	+85	+85
Общее тепловое сопр. транзистора	R_t	°C/Вт	-20	-40	-40	-40	-40	-40
Тепловое сопротивление транзистора	$R_{в}$	°C/Вт	250	150	150	150	150	200
Тип перехода, материал			—	45	45	45	45	—
Основное назначение			$n-p-n$, кремний Для видео-каскадов телевизионных приемников	$n-p-n$, кремний Для усилителей и генераторов в диапазоне частот до 150 МГц	$n-p-n$, кремний	$n-p-n$, кремний	$n-p-n$, кремний	Для усилителей и генераторов высокой частоты, устройств переключения

Параметр	Обозначение	Единица	Тип транзистора									
			КТ603В	КТ603Г	КТ603Д	КТ603Е	КТ604А	КТ604Б	КТ605А	КТ605Б		
Обратный ток коллектора при $U_{кб}$, В	$I_{кбо}$	мкА	5/15	5/15	1/10	1/10	—	—	—	—	—	
Обратный ток эмиттера при $U_{эб}$, В	$I_{эбо}$	мкА	3/3	3/3	3/3	3/3	100/5	100/5	100/5	100/5	100/5	
Режим измерения h -параметров												
напряжение коллектора	U_k	В	2	2	2	2	40	40	40	40	40	
ток коллектора	I_k	мА	150	150	150	150	200	200	20	20	20	
Коэффициент передачи тока	$h_{21э}$	—	10...80	≥60	20...80	60...200	10...40	30...120	10...40	30...120	30...120	
Граничная частота коэффициента передачи	$f_{гр}$	МГц	200	200	200	200	40	40	40	40	40	
Емкость коллекторного перехода	C_k	пФ	15	15	15	15	7	7	7	7	7	
Постоянная времени цепи обратной связи	τ_k	пс	400	400	400	400	—	—	250	250	250	
Максимально допустимые параметры												
постоянное напряжение коллектор — база	$U_{кб\max}$	В	15	15	10	10	300	300	300	300	300	
постоянное напряжение коллектор — эмиттер	$U_{кэ\max}$	В	15	15	10	10	250	250	250	250	250	
постоянное напряжение эмиттер — база	$U_{эб\max}$	В	3	3	3	3	5	5	5	5	5	
постоянный ток коллектора	$I_{k\max}$	мА	300	300	300	300	200	200	—	—	—	
импульсный ток коллектора	$I_{k\max}$	мА	600	600	600	600	—	—	200	200	200	
постоянный ток базы	$I_{б\max}$	мА	—	—	—	—	—	—	—	—	—	
рассеиваемая мощность без теплоотвода	P_{\max}	Вт	0,5	0,5	0,5	0,5	0,8	0,8	0,4	0,4	0,4	
рассеиваемая мощность с теплоотводом	P_{\max}	Вт	—	—	—	—	3	3	—	—	—	
Максимальная температура окр. среды	T_{\max}	°C	+85	+85	+85	+85	+100	+100	+100	+100	+100	
Минимальная температура окр. среды	T_{\min}	°C	-40	-40	-40	-40	-25	-25	-25	-25	-25	
Общее тепловое сопр. транзистора	R_T	°C/Вт	200	200	200	200	150	150	300	300	300	
Тепловое сопротивление транзистора	R_B	°C/Вт	—	—	—	—	40	40	—	—	—	
Тип перехода, материал			$n-p-n$, кремний			$n-p-n$, кремний			$n-p-n$, кремний			
Основное назначение			Для усилителей и генераторов высокой частоты, устройств переключения			Для видеоусилителей и генераторов разверток телевизионных приемников						

Параметр	Обозначение	Единица	Тип транзистора						
			КТ606А	КТ606Б	КТ607А	КТ608А	КТ608Б	П607	П607А
Обратный ток коллектора при $U_{кб}$, В	$I_{кб0}$	мкА	—	—	1000/40	10/60	10/60	300/30	300/30
Обратный ток эмиттера при $U_{эб}$, В	$I_{эб0}$	мкА	300/4	300/4	0,5/4	10/4	10/4	500/1,5	500/1,5
Режим измерения h -параметров									
напряжение коллектора	U_k	В	10	10	—	—	—	3	3
ток коллектора	I_k	мА	100	100	—	200	200	250	350
Коэффициент передачи тока	$h_{21э}$	—	$\geq 3,5^{**}$	$\geq 3^{**}$	$\geq 7^{**}$	20...80	40...160	20...80	60...200
Граничная частота коэффициента передачи	$f_{гр}$	МГц	350	350	700	200	200	60	60
Емкость коллекторного перехода	C_k	пФ	10	10	4	15	15	50	50
Постоянная времени цепи обратной связи	τ_k	пс	10	12	18	—	—	500	500
Максимально допустимые параметры									
постоянное напряжение коллектор — база	$U_{кб\ max}$	В	60	60	40	60	60	30	30
постоянное напряжение коллектор — эмиттер	$U_{кэ\ max}$	В	60	60	35	60	60	25	25
постоянное напряжение эмиттер — база	$U_{эб\ max}$	В	4	4	4	4	4	1,5	1,5
постоянный ток коллектора	$I_{к\ max}$	мА	400	400	150	400	400	300	300
импульсный ток коллектора	$I_{к\ max}$	мА	800	800	300	800	800	600	600
постоянный ток базы	$I_{б\ max}$	мА	100	100	—	—	—	—	—
рассеиваемая мощность без теплоотвода	P_{max}	Вт	2,5	2,5	—	0,5	0,5	1,5	1,5
рассеиваемая мощность с теплоотводом	$P_{max\ T}$	Вт	—	—	1,5	—	—	—	—
Максимальная температура окружающей среды	T_{max}	°C	+85	+85	+100	+85	+85	+60	+60
Минимальная температура окружающей среды	T_{min}	°C	-40	-40	-55	-40	-40	-55	-55
Общее тепловое сопротивление транзистора	R_T	°C/Вт	—	—	—	200	200	—	—
Тепловое сопротивление транзистора	R_B	°C/Вт	44	44	—	—	—	2	2
Тип перехода, материал			$n-p-n$, кремний	$n-p-n$, кремний	$n-p-p$, кремний	$n-p-p$, кремний	$p-n-p$, германий	$p-n-p$, германий	$p-n-p$, германий
Основное назначение			Для усилителей и генераторов сверхвысокой частоты	Для усилителей и генераторов сверхвысокой частоты	Для усилителей и генераторов сверхвысокой частоты	Для усилителей и генераторов сверхвысокой частоты	Для усилителей и генераторов сверхвысокой частоты	Для усилителей и генераторов КВ и УКВ, импульсных устройств	Для усилителей и генераторов КВ и УКВ, импульсных устройств

Параметр	Обозначение	Единица	Тип транзистора					
			П608	П608А	П608Б	П609	П609А	П609Б
Обратный ток коллектора при $U_{кб}, В$	$I_{кбо}$	мкА	300/30	300/30	500/50	300/30	300/30	500/50
Обратный ток эмиттера при $U_{эб}, В$	$I_{эбо}$	мкА	500/1,5	500/1,5	500/1,5	500/1,5	500/1,5	500/1,5
Режим измерения h -параметров								
напряжение коллектора	U_k	В	3	3	3	3	3	3
ток коллектора	I_k	мА	250	250	250	250	250	250
Коэффициент передачи тока	h_{21s}	—	40...120	80...240	40...120	40...120	80...240	80...240
Граничная частота коэффициента передачи	$f_{гр}$	МГц	90	90	90	120	120	120
Емкость коллекторного перехода	C_k	пФ	50	50	50	50	50	50
Постоянная времени цепи обратной связи	τ_k	нс	500	500	500	500	500	500
Максимально допустимые параметры								
постоянное напряжение коллектор — база	$U_{кб\ max}$	В	30	30	50	30	30	50
постоянное напряжение коллектор — эмиттер	$U_{кэ\ max}$	В	25	25	40	25	25	40
постоянное напряжение эмиттер — база	$U_{эб\ max}$	В	1,5	1,5	1,5	1,5	1,5	1,5
постоянный ток коллектора	$I_{к\ max}$	мА	300	300	300	300	300	300
импульсный ток коллектора	$I_{к\ и\ max}$	мА	600	600	600	600	600	600
постоянный ток базы	$I_{б\ max}$	мА	—	—	—	—	—	—
рассеиваемая мощность без теплоотвода	P_{max}	Вт	1,5	1,5	1,5	1,5	1,5	1,5
рассеиваемая мощность с теплоотводом	$P_{max} T$	Вт	—	—	—	—	—	—
Максимальная температура окружающей среды	T_{max}	°C	+60	+60	+60	+60	+60	+60
Минимальная температура окружающей среды	T_{min}	°C	-55	-55	-55	-55	-55	-55
Общее тепловое сопротивление транзистора	R_T	°C/Вт	—	—	—	—	—	—
Тепловое сопротивление транзистора	$R_{в}$	°C/Вт	2	2	2	2	2	2
Тип перехода, материал			$p-n-p$, германий					
Основное назначение			Для генераторов КВ и УКВ, импульсных устройств					

Таблица 7. Основные параметры транзисторов большой мощности низкочастотных

Параметр	Обозначение	Единица	Тип транзистора					
			П4АЭ	П4БЭ	П4ВЭ	П4ГЭ	П4ДЭ	П213А
Обратный ток коллектора при $U_{кз}$, В	$I_{кбо}$	мА	0,5/10	0,4/10	0,4/10	0,4/10	0,4/10	0,15/45
Обратный ток эмиттера при $U_{эб}$, В	$I_{эбо}$	мА	0,6/10	0,6/10	0,6/10	0,6/10	0,6/10	0,3/15
Режим измерения h -параметров								0,4/10
Напряжение коллектора	U_K	В	10	10	10	10	10	5
ток коллектора	I_K	А	2	2	2	2	2	0,2
Коэффициент передачи тока	$h_{21э}$	—	≥ 5	15...40	≥ 10	15...30	≥ 30	≥ 20
Предельная частота коэффициента передачи	$f_{h21э}$	кГц	150	150	150	150	150	150
Максимально допустимые параметры								
постоянное напряжение коллектор — база	$U_{кб\max}$	В	60	70	40	60	60	45
постоянное напряжение коллектор — эмиттер	$U_{кэ\max}$	В	50	60	35	50	50	40
постоянное напряжение эмиттер — база	$U_{эб\max}$	В	—	—	—	—	—	15
постоянный ток коллектора	$I_{К\max}$	А	5	5	5	5	5	5
постоянный ток базы	$I_{Б\max}$	А	1,2	1,2	1,2	1,2	1,2	0,5
рассеиваемая мощность без теплоотвода	P_{\max}	Вт	2	2	2	2	2	—
рассеиваемая мощность с теплоотводом	P_{\max}	Вт	20	20	20	20	20	11,5
Максимальная температура окружающей среды	T_{\max}	°C	+60	+60	+60	+60	+60	+70
Минимальная температура окружающей среды	T_{\min}	°C	-55	-55	-55	-55	-55	-60
Общее тепловое сопротивление транзистора	R_T	°C/Вт	—	—	—	—	—	35
Тепловое сопротивление транзистора	R_B	°C/Вт	2	2	2	2	2	4
Тип перехода, материал			$p-n-p$, германий					

Основное назначение

Для выходных каскадов УНЧ и переключающих устройств

Для выходных каскадов УНЧ, преобразователей и стабилизаторов напряжений, переключающих устройств

Параметр	Обозначение	Единица	Тип транзистора						
			П213Б	П214	П214А	П214Б	П214В	П214Г	П215
Обратный ток коллектора при $U_{кБ}$, В	$I_{кБ0}$	мА	1/45	0,3/60	0,3/60	0,15/60	1,5/60	1,5/60	0,3/80
Обратный ток эмиттера при $U_{зБ}$, В	$I_{зБ0}$	мА	0,4/10	0,3/15	0,3/15	0,3/15	0,4/10	0,4/10	0,3/15
Режим измерения h -параметров									
напряжение коллектора	U_K	В	5	5	5	5	5	5	5
ток коллектора	I_K	А	0,2	0,2	0,2	0,2	0,2	0,2	0,2
Коэффициент передачи тока	h_{21}	—	≥ 40	20...60	50...150	50...150	≥ 20	—**	20...150
Предельная частота коэффициента передачи	f_{h216}	кГц	150	150	150	150	150	150	150
Максимально допустимые параметры									
постоянное напряжение коллектор — база	$U_{кБ\max}$	В	45	60	60	60	60	60	80
постоянное напряжение коллектор — эмиттер	$U_{кЭ\max}$	В	30	55	55	55	55	55	70
постоянное напряжение эмиттер — база	$U_{зБ\max}$	В	10	15	15	15	10	10	15
постоянный ток коллектора	I_K	А	5	5	5	5	5	5	5
постоянный ток базы	I_B	А	0,5	0,5	0,5	0,5	0,5	0,5	0,5
рассеиваемая мощность без теплоотвода	P_{\max}	Вт	—	—	—	—	—	—	—
рассеиваемая мощность с теплоотводом	P_{\max}	Вт	10	10	10	11,5	10	10	10
Максимальная температура окружающей среды	T_{\max}	°С	+70	+70	+70	+70	+70	+70	+70
Минимальная температура окружающей среды	T_{\min}	°С	-60	-60	-60	-60	-60	-60	-60
Общее тепловое сопротивление транзистора	R_T	°С/Вт	35	35	35	35	35	35	35
Тепловое сопротивление транзистора	R_B	°С/Вт	4	4	4	3,5	4	4	4
Тип перехода, материал						$p-n-p$, германий			
Конструкция и расположение выводов (номер рисунка)									

Основное назначение

Для выходных каскадов УНЧ, преобразователей и стабилизаторов напряжения, переключающих устройств

Параметр	Обозначение	Единица	Тип транзистора						
			П216Б	П216В	П216Г	П216Д	П217В	П217Г	ГТ701А
Обратный ток коллектора при $U_{кз}, В$	$I_{к50}$	мА	1,5/35	2/35	2,5/50	2/50	3/60	3/60	6/60
Обратный ток эмиттера при $U_{эв}, В$	$I_{э50}$	мА	0,75/15	0,75/15	0,75/15	0,75/15	0,75/15	0,75/15	---
Режим измерения h -параметров									
напряжение коллектора	U_K	В	3	3	3	3	3	3	2
ток коллектора	I_K	А	2	2	2	2	2	2	5
Коэффициент передачи тока	$h_{21э}$	—	≥ 10	≥ 30	≥ 5	15...30	15...40	15...40	≥ 10
Предельная частота коэффициента передачи	$f_{h21э}$	кГц	100	100	100	100	100	100	50***
Максимально допустимые параметры									
постоянное напряжение коллектор — база	$U_{кБ\max}$	В	35	35	50	50	60	60	---
постоянное напряжение коллектор — эмиттер	$U_{кЭ\max}$	В	35	35	50	50	60	60	55
постоянное напряжение эмиттер — база	$U_{эБ\max}$	В	15	15	15	15	15	15	15
постоянный ток коллектора	$I_{К\max}$	А	7,5	7,5	7,5	7,5	7,5	7,5	12
постоянный ток базы	$I_{Б\max}$	А	0,75	0,75	0,75	0,75	0,75	0,75	---
рассеиваемая мощность без теплоотвода	P_{\max}	Вт	---	---	---	---	---	---	---
рассеиваемая мощность с теплоотводом	$P_{\max T}$	Вт	24	24	24	24	24	24	50
Максимальная температура окружающей среды	T_{\max}	°С	+70	+70	+70	+70	+70	+70	+70
Минимальная температура окружающей среды	T_{\min}	°С	-60	-60	-60	-60	-60	-60	-55
Общее тепловое сопротивление транзистора	R_T	°С/Вт	35	35	35	35	35	35	---
Тепловое сопротивление транзистора	R_B	°С/Вт	2,5	2,5	2,5	2,5	2,5	2,5	1,2
Тип перехода, материал			$p-n-p$, германий						

Основное назначение

Для выходных каскадов УНЧ радиовещательных приемников, телевизоров, магнитофонов

Для устройств зажигания двигателей

Параметр	Обозначение	Единица	Тип транзистора							
			1Т702А	1Т702Б	1Т702В	ГТ703А	ГТ703Б	ГТ703В	ГТ703Г	ГТ703Д
Обратный ток коллектора при $U_{кб}$, В	$I_{кбо}$	мА	12/60	12/60	12/60	0,5/20	0,5/20	0,5/30	0,5/30	0,5/30
Обратный ток эмиттера при $U_{эб}$, В	$I_{эбо}$	мА	—	—	—	0,05/10	0,05/10	0,05/10	0,05/10	0,05/10
Режим измерения h -параметров										
напряжение коллектора	U_K	В	1,5	1,5	1,5	1	1	1	1	1
ток коллектора	I_K	А	30	30	30	0,05	0,05	0,05	0,05	0,05
Коэффициент передачи тока	h_{21}	—	15...100	15...100	≥ 20	30...70	50...150	30...70	50...100	20...45
Предельная частота коэффициента передачи	f_{h216}	кГц	—	—	—	10	10	10	10	10
Максимально допустимые параметры										
постоянное напряжение коллектор — база	$U_{кб\max}$	В	60	60	60	—	—	—	—	—
постоянное напряжение коллектор — эмиттер	$U_{кэ\max}$	В	60	60	40	20	20	30	30	40
постоянное напряжение эмиттер — база	$U_{эб\max}$	В	4	4	4	—	—	—	—	—
постоянный ток коллектора	$I_K\max$	А	30	30	30	3,5	3,5	3,5	3,5	3,5
постоянный ток базы	$I_B\max$	А	5	5	5	—	—	—	—	—
рассеиваемая мощность без теплоотвода	P_{\max}	Вт	5	5	5	1,6	1,6	1,6	1,6	1,6
рассеиваемая мощность с теплоотводом	$P_{\max}T$	Вт	150	150	150	15	15	15	15	15
Максимальная температура окружающей среды	T_{\max}	°С	+70	+70	+70	+55	+55	+55	+55	+55
Минимальная температура окружающей среды	T_{\min}	°С	-60	-60	-60	-40	-40	-40	-40	-40
Общее тепловое сопротивление транзистора	R_T	°С/Вт	10	10	10	—	—	—	—	—
Тепловое сопротивление транзистора	R_B	°С/Вт	0,3	0,3	0,3	3	3	3	3	3
Тип перехода, материал			$p-n-p$, германий							
Основное назначение			Для выходных каскадов УНЧ радиовещательных приемников, телевизоров, магнитофонов							

Параметр	Обозначение	Единица	Тип транзистора							
			КТ704А	КТ704Б	КТ704В	ГТ705А	ГТ705Б	ГТ705В	ГТ705Г	ГТ705Д
Обратный ток коллектора при $U_{КБ}$, В	$I_{КБ0}$	мА	—	—	—	0,5/20	0,5/20	0,5/30	0,5/30	0,5/20
Обратный ток эмиттера при $U_{ЭБ}$, В	$I_{ЭБ0}$	мА	100/4	100/4	100/4	0,3/10	0,3/10	0,3/10	0,3/10	0,3/10
Режим измерения h -параметров										
напряжение коллектора	U_K	В	15	15	15	1	1	1	1	1
ток коллектора	I_K	А	1	1	1	0,05	0,05	0,05	0,05	0,05
Преждем коэффициент передачи тока	h_{21}	—	≥ 15	≥ 15	≥ 15	30...70	50...100	30...70	50...100	90...250
Предельная частота коэффициента передачи	f_{h21}	кГц	3000	3000	3000	10	10	10	10	10
Максимально допустимые параметры										
постоянное напряжение коллектор — база	$U_{КБ\max}$	В	—	—	—	—	—	—	—	—
постоянное напряжение коллектор — эмиттер	$U_{КЭ\max}$	В	200	200	200	20	20	30	30	20
постоянное напряжение эмиттер — база	$U_{ЭБ\max}$	В	4	4	4	—	—	—	—	—
постоянный ток коллектора	$I_{К\max}$	А	2,5	2,5	2,5	3,5	3,5	3,5	3,5	3,5
постоянный ток базы	$I_{Б\max}$	А	2	2	2	—	—	—	—	—
рассеиваемая мощность без теплоотвода	P_{\max}	Вт	—	—	—	1,6	1,6	1,6	1,6	1,6
рассеиваемая мощность с теплоотводом	$P_{\max T}$	Вт	15	15	15	15	15	15	15	15
Максимальная температура окружающей среды	T_{\max}	°C	+100	+100	+100	+55	+55	+55	+55	+55
Минимальная температура окружающей среды	T_{\min}	°C	-40	-40	-40	-40	-40	-40	-40	-40
Общее тепловое сопротивление транзистора	R_T	°C/Вт	—	—	—	30	30	30	30	30
Тепловое сопротивление транзистора	R_B	°C/Вт	5	5	5	3	3	3	3	3
Тип перехода, материал			n-p-n, кремний							
Основное назначение			Для устройств строчной развертки телевизионных приемников							
			Для выходных каскадов УНЧ радиовещательных приемников, телевизоров, магнитофонов							

Таблица 8. Основные параметры транзисторов большой мощности среднечастотных

Параметр	Обозначение	Единица	Тип транзистора					
			П702	П702А	КТ801А	КТ801Б	КТ802А	КТ803А
Обратный ток коллектора при $U_{кб}$, В	$I_{кбо}$	мА	5/70	5/70	10/80	10/60	60/150	—
Обратный ток эмиттера при $U_{эб}$, В	$I_{эбо}$	мА	5/3	5/3	2/2,5	2/2,5	40/3	50/4
Режим измерения h -параметров								
напряжение коллектора	U_k	В	10	10	5	5	10	10
ток коллектора	I_k	А	1	1	1	1	2	5
Коэффициент передачи тока	$h_{21э}$	—	≥ 25	≥ 10	13...50	20...100	≥ 15	10...70
Граничная частота коэффициента передачи	$f_{гр}$	МГц	4	4	10	10	10	20
Емкость коллекторного перехода	C_k	пФ	—	—	—	—	—	—
Постоянная времени цепи обратной связи	τ_k	пс	—	—	—	—	—	—
Максимально допустимые параметры								
постоянное напряжение коллектор — база	$U_{кб\ max}$	В	60	60	80	60	150	—
постоянное напряжение коллектор — эмиттер	$U_{кэ\ max}$	В	60	60	80	60	120	60
постоянное напряжение эмиттер — база	$U_{эб\ max}$	В	3	3	2,5	2,5	3	4
постоянный ток коллектора	$I_{к\ max}$	А	2	2	2	2	5	10
постоянный ток базы	$I_{б\ max}$	А	0,5	0,5	0,4	0,4	1	—
рассеиваемая мощность без теплоотвода	P_{max}	Вт	4	4	—	—	3	5
рассеиваемая мощность с теплоотводом	P_T	Вт	40	40	5	5	50	60
Максимальная температура окружающей среды	T_{max}	°С	+85	+85	+85	+85	+100	+100
Минимальная температура окружающей среды	T_{min}	°С	-55	-55	-40	-40	-25	-60
Общее тепловое сопротивление транзистора	R_T	°С/Вт	33	33	20	20	30	—
Тепловое сопротивление транзистора	$R_{в\ T}$	°С/Вт	2,5	2,5	—	—	2,5	1,66
Тип перехода, материал			$n-p-n$, кремний	$n-p-n$, кремний	$n-p-n$, кремний	$n-p-n$, кремний	$n-p-n$, кремний	$n-p-n$, кремний

Основное назначение

Для усилителей и генераторов в диапазоне частот до 5 МГц

Для устройств кадровой и строчной развертки телевизионных приемников

Для усилителей мощности высокой частоты

Параметр	Обозначение	Единица	Тип транзистора					
			КТ805А	КТ805Б	ГТ806А	ГТ806Б	ГТ806Г	ГТ806Д
Обратный ток коллектора при $U_{кб}, В$	$I_{кбо}$	мА	0,1/5	0,1/5	—	—	—	—
Обратный ток эмиттера при $U_{эб}, В$	$I_{эбо}$	мА	100/5	100/5	8/1,5	8/1,5	8/1,5	8/1,5
Режим измерения h -параметров								
напряжение коллектора	U_k	В	10	10	—	—	—	—
ток коллектора	I_k	А	2	2	—	—	—	—
Коэффициент передачи тока	h_{21}	—	≥ 15	≥ 15	10	10	10	10
Граничная частота коэффициента передачи	$f_{гр}$	МГц	20	20	10...100	10...100	10...100	10...100
Емкость коллекторного перехода	C_k	пФ	—	—	10**	10**	10**	10**
Постоянная времени цепи обратной связи	τ_k	пс	—	—	—	—	—	—
Максимально допустимые параметры								
постоянное напряжение коллектор — база	$U_{кб\ max}$	В	160	135	75	100	120	140
постоянное напряжение коллектор — эмиттер	$U_{кэ\ max}$	В	160	135	75	100	120	140
постоянное напряжение эмиттер — база	$U_{эб\ max}$	В	5	5	1,5	1,5	1,5	1,5
постоянный ток коллектора	$I_{к\ max}$	А	5	5	5	15	15	15
постоянный ток базы	$I_{б\ max}$	А	2	2	3	3	3	3
рассеиваемая мощность без теплоотвода	P_{\max}	Вт	3	3	2	2	2	2
рассеиваемая мощность с теплоотводом	$P_{\max} T_{\max}$	Вт °С	30	30	30	30	30	30
Максимальная температура окружающей среды	T_{\max}	°С	+100	+100	+55	+55	+55	+55
Минимальная температура окружающей среды	T_{\min}	°С	-55	-55	-55	-55	-55	-55
Общее тепловое сопротивление транзистора	R_T	°С/Вт	30	30	—	—	—	—
Тепловое сопротивление транзистора	R_B	°С/Вт	3,3	3,3	2	2	2	2
Тип перехода, материал			$n-p-n$, кремний	$n-p-n$, кремний	$p-n-p$, германий			
Основное назначение			Для выходных каскадов строчной развертки телевизоров	Для выходных каскадов строчной развертки телевизоров	Для мощных импульсных усилителей, преобразователей напряжения и тока			

Параметр	Обозначение	Единица	Тип транзистора						
			КТ807А	КТ807Б	КТ808А	КТ809А	ГТ810А	КТ814А	КТ814Б
Обратный ток коллектора при $U_{КБ}$, В	$I_{КБО}$	мА	—	—	—	—	20/200	0,05/40	0,05/40
Обратный ток эмиттера при $U_{ЭБ}$, В	$I_{ЭБО}$	мА	15/4	15/4	50/4	50/4	—	—	—
Режим измерения h -параметров									
напряжение коллектора	U_K	В	5	5	3	5	10	2	2
ток коллектора	I_K	А	0,5	0,5	6	2	5	0,15	0,15
Коэффициент передачи тока	$h_{21э}$	—	15...45	30...100	10...50	15...100	≥ 15	≥ 40	≥ 40
Граничная частота коэффициента передачи	$f_{гр}$	МГц	—	—	7	5,5	15	3	3
Емкость коллекторного перехода	C_K	пФ	—	—	500	270	—	60	60
Постоянная времени цепи обратной связи	τ_K	пс	—	—	—	—	—	—	—
Максимально допустимые параметры									
постоянное напряжение коллектор — база	$U_{КБ\ max}$	В	—	—	—	—	200	—	—
постоянное напряжение коллектор — эмиттер	$U_{КЭ\ max}$	В	100	100	120	400	200	40	50
постоянное напряжение эмиттер — база	$U_{ЭБ\ max}$	В	4	4	4	4	1,4	—	—
постоянный ток коллектора	$I_{K\ max}$	А	0,5	0,5	10	3	10	1,5	1,5
постоянный ток базы	$I_{Б\ max}$	А	0,2	0,2	4	1,5	1,5	0,5	0,5
рассеиваемая мощность без теплоотвода	P_{\max}	Вт	—	—	5	—	0,75	—	—
рассеиваемая мощность с теплоотводом	$P_{\max} T$	Вт	10	10	50	40	15	10	10
Максимальная температура окружающей среды	T_{\max}	°С	+85	+85	+100	+125	+55	+100	+100
Минимальная температура окружающей среды	T_{\min}	°С	-40	-40	-60	-60	-55	-40	-40
Общее тепловое сопротивление транзистора	R_T	°С/Вт	—	—	—	—	50	—	—
Тепловое сопротивление транзистора	R_B	°С/Вт	8	8	2,0	2,5	2,5	—	—
Тип перехода, материал			$n-p-n$, кремний	$n-p-n$, кремний	$n-p-n$, кремний	$n-p-n$, кремний	$p-n-p$, германий	$p-n-p$, кремний	$p-n-p$, кремний
Основное назначение			Для каскадов строчной развертки	Для каскадов строчной развертки	Для каскадов строчной развертки	Для каскадов строчной развертки	Для выходных импульсных устройств	Для выходных каскадов УНЧ, ключевых устройств	Для выходных каскадов УНЧ, ключевых устройств

Параметр	Обозначение	Единица	Тип транзистора						
			КТ814В	КТ814Г	КТ815А	КТ815Б	КТ815В	КТ815Г	
Обратный ток коллектора при $U_{кб}, В$	$I_{кб0}$	мА	0,05/40	0,05/40	0,05/40	0,05/40	0,05/40	0,05/40	
Обратный ток эмиттера при $U_{эб}, В$	$I_{эб0}$	мА	—	—	—	—	—	—	
Режим измерения h -параметров									
напряжение коллектора	U_k	В	2	2	2	2	2	2	
ток коллектора	I_k	А	0,15	0,15	0,15	0,15	0,15	0,15	
Коэффициент передачи тока	$h_{21э}$	—	≥ 40	≥ 30	≥ 40	≥ 40	≥ 40	≥ 30	
Граничная частота коэффициента передачи	$f_{гр}$	МГц	3	3	3	3	3	3	
Емкость коллекторного перехода	C_k	пФ	60	60	60	60	60	60	
Постоянная времени цепи обратной связи	τ_k	пс	—	—	—	—	—	—	
Максимально допустимые параметры									
постоянное напряжение коллектор — база	$U_{кб\max}$	В	—	—	—	—	—	—	
постоянное напряжение коллектор — эмиттер	$U_{кэ\max}$	В	70	100	40	50	70	100	
постоянное напряжение эмиттер — база	$U_{эб\max}$	В	—	—	—	—	—	—	
постоянный ток коллектора	$I_{к\max}$	А	1,5	1,5	1,5	1,5	1,5	1,5	
постоянный ток базы	$I_{б\max}$	А	0,5	0,5	0,5	0,5	0,5	0,5	
рассеиваемая мощность без теплоотвода	P_{\max}	Вт	—	—	—	—	—	—	
рассеиваемая мощность с теплоотводом	$P_{\max T}$	Вт	10	10	10	10	10	10	
Максимальная температура окружающей среды	T_{\max}	°С	+100	+100	+100	+100	+100	+100	
Минимальная температура окружающей среды	T_{\min}	°С	-40	-40	-40	-40	-40	-40	
Общее тепловое сопротивление транзистора	R_T	°С/Вт	—	—	—	—	—	—	
Тепловое сопротивление транзистора	$R_{вT}$	°С/Вт	—	—	—	—	—	—	
Тип перехода, материал			$p-n-p$, кремний						
			$n-p-n$, кремний						

Для выходных каскадов УНЧ, ключевых устройств

Основное назначение

Параметр	Обозначение	Единица	Тип транзистора							
			КТ816А	КТ816Б	КТ816В	КТ816Г	КТ817А	КТ817Б	КТ817В	КТ817Г
Обратный ток коллектора при $U_{кз}, В$	$I_{кбо}$	мА	0,1/40	0,1/40	0,1/40	0,1/40	0,1/40	0,1/40	0,1/40	0,1/40
Обратный ток эмиттера при $U_{эб}, В$	$I_{эбо}$	мА	—	—	—	—	—	—	—	—
Режим измерения k -параметров										
напряжение коллектора	U_k	В	2	2	2	2	2	2	2	2
ток коллектора	I_k	А	2	2	2	2	2	2	2	2
Коэффициент передачи тока	$h_{21э}$	—	≥ 20	≥ 20	≥ 20	≥ 15	≥ 20	≥ 20	≥ 20	≥ 15
Граничная частота коэффициента передачи	$f_{гр}$	МГц	3	3	3	3	3	3	3	3
Емкость коллекторного перехода	C_k	пФ	115	115	115	115	55	55	55	55
Постоянная времени цепи обратной связи	τ_k	пс	—	—	—	—	—	—	—	—
Максимально допустимые параметры										
постоянное напряжение коллектор — база	$U_{кб\ max}$	В	—	—	—	—	—	—	—	—
постоянное напряжение коллектор — эмиттер	$U_{кэ\ max}$	В	40	50	70	100	40	50	70	100
постоянное напряжение эмиттер — база	$U_{эб\ max}$	В	—	—	—	—	—	—	—	—
постоянный ток коллектора	$I_{к\ max}$	А	3	3	3	3	3	3	3	3
постоянный ток базы	$I_{б\ max}$	А	1	1	1	1	1	1	1	1
рассеиваемая мощность без теплоотвода	P_{max}	Вт	—	—	—	—	—	—	—	—
рассеиваемая мощность с теплоотводом	$P_{max\ T}$	Вт	20	20	20	20	20	20	20	20
Максимальная температура окружающей среды	T_{max}	°C	+100	+100	+100	+100	+100	+100	+100	+100
Минимальная температура окружающей среды	T_{min}	°C	-40	-40	-40	-40	-40	-40	-40	-40
Общее тепловое сопротивление транзистора	R_T	°C/Вт	—	—	—	—	—	—	—	—
Тепловое сопротивление транзистора	R_B	°B/Вт	—	—	—	—	—	—	—	—
Тип перехода, материал			$p-n-p$, кремний							
Основное назначение			Для выходных каскадов УНЧ, Для выходных каскадов УНЧ, ключевых устройств							

Параметр	Обозначение	Единица	Тип транзистора							
			КТ818А	КТ818Б	КТ818В	КТ818Г	КТ819А	КТ819Б	КТ819В	КТ819Г
Обратный ток коллектора при $U_{КБ}$, В	$I_{КБ0}$	мА	1/40	1/40	1/40	1/40	1/40	1/40	1/40	1/40
Обратный ток эмиттера при $U_{ЭБ}$, В	$I_{ЭБ0}$	мА	—	—	—	—	—	—	—	—
Режим измерения h -параметров										
напряжение коллектора	U_K	В	5	5	5	5	5	5	5	5
ток коллектора	I_K	А	5	5	5	5	5	5	5	5
Коэффициент передачи тока	$h_{21э}$	—	≥ 15	≥ 20	≥ 15	≥ 12	≥ 15	≥ 20	≥ 15	≥ 12
Граничная частота коэффициента передачи	$f_{гр}$	МГц	3	3	3	3	3	3	3	3
Емкость коллекторного перехода	C_K	пФ	—	—	—	—	—	—	—	—
Постоянная времени цепи обратной связи	τ_K	нс	—	—	—	—	—	—	—	—
Максимально допустимые параметры										
постоянное напряжение коллектор — база	$U_{КБ\max}$	В	—	—	—	—	—	—	—	—
постоянное напряжение коллектор — эмиттер	$U_{КЭ\max}$	В	40	50	70	90	40	50	70	100
постоянное напряжение эмиттер — база	$U_{ЭБ\max}$	В	—	—	—	—	—	—	—	—
постоянный ток коллектора	$I_{K\max}$	А	10	10	10	10	10	10	10	10
постоянный ток базы	$I_{Б\max}$	А	3	3	3	3	3	3	3	3
рассеиваемая мощность без теплоотвода	P_{\max}	Вт	—	—	—	—	—	—	—	—
рассеиваемая мощность с теплоотводом	$P_{\max T}$	Вт	60	60	60	60	60	60	60	60
Максимальная температура окружающей среды	T_{\max}	°C	+100	+100	+100	+100	+100	+100	+100	+100
Минимальная температура окружающей среды	T_{\min}	°C	-40	-40	-40	-40	-40	-40	-40	-40
Общее тепловое сопротивление транзистора	R_T	°C/Вт	—	—	—	—	—	—	—	—
Тепловое сопротивление транзистора	R_B	°C/Вт	—	—	—	—	—	—	—	—
Тип перехода, материал			p—n—p, кремний							

Для выходных каскадов УНЧ, ключевых устройств

Основное назначение

Параметры	Обозначение	Единица	Тип транзистора							
			КТ825Г	КТ825Д	КТ825Е	КТ826А	КТ826Б	КТ826В	КТ827А	
Обратный ток коллектора	$I_{КБ0}$	мА	—	—	—	$\leq 2,0$ $\leq 5,0$	$\leq 2,0$ $\leq 5,0$	$\leq 2,0$ $\leq 5,0$	$\leq 2,0$ $\leq 5,0$	
Обратный ток эмиттера	$I_{Э0}$	мА	—	—	—	—	—	—	—	
Режим измерения h -параметров										
напряжение коллектора	U_K	В	10	10	10	10	10	10	3,0	
ток коллектора	I_K	А	10	10	10	0,1	0,1	0,1	10	
Коэффициент передачи тока	$h_{21\beta}$	—	750...	750...	750...	5...300	5...300	5...300	750...	
			18 000	18 000	18 000	—	—	—	18 000	
Граничная частота коэффициента передачи	$f_{гр}$	МГц	—	—	—	—	—	—	—	
Максимально допустимые параметры										
постоянное напряжение коллектор — база	$U_{КБ\max}$	В	—	—	—	—	—	—	100	
постоянное напряжение коллектор—эмиттер	$U_{КЭ\max}$	В	90	60	30	700	700	700	100	
постоянное напряжение эмиттер — база	$U_{ЭБ\max}$	В	5,0	5,0	5,0	—	—	—	5,0	
постоянный ток коллектора	$I_K\max$	А	20	20	20	1,0	1,0	1,0	20	
постоянный ток базы	$I_B\max$	А	0,5	0,5	0,5	0,75	0,75	0,75	0,5	
рассеиваемая мощность без теплоотвода	$P\max$	Вт	3,0	3,0	3,0	—	—	—	—	
рассеиваемая мощность с теплоотводом	$P_{\max T}$	Вт	125	125	125	15	15	15	125	
Максимальная температура окружающей среды	T_{\max}	°C	+100	+100	+100	+125	+125	+125	+125	
Минимальная температура окружающей среды	T_{\min}	°C	—	—	—	—	—	—	—	
Общее тепловое сопротивление транзистора	R_T	°C/Вт	—	—	—	—	—	—	—	
Тепловое сопротивление транзистора	R_B	°C/Вт	—	—	—	—	—	—	—	
Тип перехода, материал			$p-n-p$, кремний							$p-p-n$, кремний

Параметр	Обозначение	Единица	Тип транзистора					
			КТ827Б	КТ827В	КТ828А	КТ828Б	КТ829А	КТ829Б
Обратный ток коллектора	$I_{КБО}$	мА	$\leq 2,0$	$\leq 2,0$	$\leq 5,0$	$\leq 5,0$	—	—
Обратный ток эмиттера	$I_{ЭБО}$	мА	$\leq 5,0$	$\leq 5,0$	≤ 10	≤ 10	≤ 2	≤ 2
Режим измерения h -параметров	U_K	В	3,0	3,0	5,0	5,0	3,0	3,0
напряжение коллектора	I_K	А	10	10	4,5	4,5	3,0	3,0
'ток коллектора	h_{21}	—	750...	750...	$\geq 2,25$	$\geq 2,25$	≥ 750	≥ 750
Коэффициент передачи тока		МГц	18 000	18 000				
Граничная частота коэффициента передачи	$f_{гр}$		—	—	—	—	—	—
Максимально допустимые параметры								
постоянное напряжение коллектор — база	$U_{КБ\max}$	В	80	60	—	—	—	—
постоянное напряжение коллектор — эмиттер	$U_{КЭ\max}$	В	80	60	—	—	—	—
постоянное напряжение эмиттер — база	$U_{ЭБ\max}$	В	5,0	5,0	800	600	100	80
постоянный ток коллектора	$I_{К\max}$	А	20	20	5,0	5,0	5,0	5,0
постоянный ток базы	$I_{Б\max}$	А	0,5	0,5	—	—	0,2	0,2
рассеиваемая мощность без теплоотвода	P_{\max}	Вт	—	125	—	—	—	—
рассеиваемая мощность с теплоотводом	$P_{\max, T}$	Вт	125	125	50	50	60	60
Максимальная температура окружающей среды	T_{\max}	°С	+125	+125	+125	+125	+85	+85
Минимальная температура окружающей среды	T_{\min}	°С	-60	-60	-60	-60	-40	-40
Общее тепловое сопротивление транзистора	R_T	°С/Вт	1,4	1,4	—	—	—	—
Тепловое сопротивление транзистора	R_V	°С/Вт	—	—	—	—	—	—
Тип перехода, материал			$n-p-n$, кремний					
			$n-p-n$, кремний					

Параметр	Обозначение	Единица	Тип транзистора					
			КТ835А	КТ835Б	КТ837А	КТ837Б	КТ837В	КТ837Г
Обратный ток коллектора	$I_{КБ0}$	мА	—	≥ 1	0,15	0,15	0,15	0,15
Обратный ток эмиттера	$I_{ЭБ0}$	мА	$\leq 1,5$	$\leq 1,5$	0,3	0,3	0,3	0,3
Режим измерения h -параметров								
напряжение коллектора	U_K	В	1,0	1,0	5,0	5,0	5,0	5,0
ток коллектора	I_K	А	1,0	1,0	2,0	2,0	2,0	2,0
Коэффициент передачи тока	h_{21}	—	≥ 25	10...100	10...40	20...80	50...150	10...40
Граничная частота коэффициента передачи	$f_{гр}$	МГц	—	—	—	—	—	—
Максимально допустимые параметры								
постоянное напряжение коллектор — база	$U_{КБ\max}$	В	30	45	80	80	80	60
постоянное напряжение коллектор — эмиттер	$U_{КЭ\max}$	В	30	30	70	70	70	50
постоянное напряжение эмиттер — база	$U_{ЭБ\max}$	В	4,0	4,0	15	15	15	15
постоянный ток коллектора	$I_{К\max}$	А	3,0	7,5	7,5	7,5	7,5	7,5
постоянный ток базы	$I_{Б\max}$	А	—	—	—	—	—	—
рассеиваемая мощность без теплоотвода	P_{\max}	Вт	1,0	1,0	1,0	1,0	1,0	1,0
рассеиваемая мощность с теплоотводом	$P_{\max \Gamma}$	Вт	25	25	30	30	30	30
Максимальная температура окружающей среды	T_{\max}	°С	+100	+100	+100	+100	+100	+100
Минимальная температура окружающей среды	T_{\min}	°С	-40	-40	-60	-60	-60	-60
Общее тепловое сопротивление транзистора	R_T	°С/Вт	4,0	4,0	—	—	—	—
Тепловое сопротивление транзистора	R_V	°С/Вт	—	—	—	—	—	—
Тип перехода, материал			p-n-p, кремний					

Параметр	Обозначение	Единица	Тип транзистора						
			КТ837Е	КТ837Ж	КТ837И	КТ837К	КТ837Л	КТ837М	КТ837Н
Обратный ток коллектора	$I_{КБО}$	мА	0,15	0,15	0,15	0,15	0,15	0,15	0,15
Обратный ток эмиттера	$I_{ЭБО}$	мА	0,3	0,3	0,3	0,3	0,3	0,3	0,3
Режим измерения h -параметров									
напряжение коллектора	U_K	В	5,0	5,0	5,0	5,0	5,0	5,0	5,0
ток коллектора	I_K	А	2,0	2,0	2,0	2,0	2,0	2,0	2,0
Граничная частота коэффициента передачи тока	$f_{гр}$	МГц	50...150	10...40	20...80	50...150	10...40	20...80	50...150
Коэффициент передачи тока	h_{213}	—	—	—	—	—	—	—	—
Максимально допустимые параметры									
постоянное напряжение коллектор—база	$U_{КБ\max}$	В	60	45	45	45	80	80	80
постоянное напряжение коллектор—эмиттер	$U_{КЭ\max}$	В	50	40	40	40	70	70	70
постоянное напряжение эмиттер—база	$U_{ЭБ\max}$	В	15	15	15	15	5,0	5,0	5,0
постоянный ток коллектора	$I_{К\max}$	А	7,5	7,5	7,5	7,5	7,5	7,5	7,5
постоянный ток базы	$I_{Б\max}$	А	—	—	—	—	—	—	—
рассеиваемая мощность без теплоотвода	P_{\max}	Вт	1,0	1,0	1,0	1,0	1,0	1,0	1,0
рассеиваемая мощность с теплоотводом	$P_{\max T}$	Вт	30	30	30	30	30	30	30
Максимальная температура окружающей среды	T_{\max}	°C	+100	+100	+100	+100	+100	+100	+100
Минимальная температура окружающей среды	T_{\min}	°C	-60	-60	-60	-60	-60	-60	-60
Общее тепловое сопротивление транзистора	R_T	°C/Вт	—	—	—	—	—	—	—
Тепловое сопротивление транзистора	R_B	°C/Вт	—	—	—	—	—	—	—
Тип перехода, материал	—	—	—	—	—	—	кремний, $p-n-p$	—	—

Параметр	Обозначение	Единица	Тип транзистора				
			КТ837П	КТ837Р	КТ837С	КТ837Т	КТ837У
Обратный ток коллектора	$I_{КБО}$	мА	0,15	0,15	0,15	0,15	0,15
Обратный ток эмиттера	$I_{ЭБО}$	мА	0,3	0,3	0,3	0,3	0,3
Режим измерения h -параметров							
напряжение коллектора	U_K	В	5,0	5,0	5,0	5,0	5,0
ток коллектора	I_K	А	2,0	2,0	2,0	2,0	2,0
Граничная частота коэффициента передачи тока	$f_{гр}$	МГц	10...40	20...80	50...150	10...40	20...80
Коэффициент передачи тока	$h_{21э}$	—	—	—	—	—	—
Максимально допустимые параметры							
постоянное напряжение коллектор — база	$U_{КБ\max}$	В	60	60	60	45	45
постоянное напряжение коллектор — эмиттер	$U_{КЭ\max}$	В	50	50	50	40	40
постоянное напряжение эмиттер — база	$U_{ЭБ\max}$	В	5,0	5,0	5,0	5,0	5,0
постоянный ток коллектора	$I_{К\max}$	А	7,5	7,5	7,5	7,5	7,5
постоянный ток базы	$I_{Б\max}$	А	—	—	—	—	—
рассеиваемая мощность без теплоотвода	P_{\max}	Вт	1,0	1,0	1,0	1,0	1,0
рассеиваемая мощность с теплоотводом	$P_{\max T}$	Вт	30	30	30	30	30
Максимальная температура окружающей среды	T_{\max}	°C	+100	+100	+100	+100	+100
Минимальная температура окружающей среды	T_{\min}	°C	-60	-60	-60	-60	-60
Общее тепловое сопротивление транзистора	R_T	°C/Вт	—	—	—	—	—
Тепловое сопротивление транзистора	R_B	°C/Вт	—	—	—	—	—
Тип перехода, материал			p — n — p, кремний				

Таблица 9. Основные параметры некоторых полевых транзисторов

Параметр	Обозначение	Единица	КП101Г	КП101Д	КП101Е	КП102Е	КП102Ж	КП102И	КП102К	КП102Л
Ток стока при $U_{зи}=0$	I_c	мА	0,3	0,3	0,3	0,18...0,55	0,4...1,0	0,7...1,8	1,3...3,0	2,4...6,0
Крутизна характеристики	S	мА/В	0,15	0,3	0,3	0,25	0,3	0,36	0,45	0,65
Напряжение отсечки	$U_{отс}$	В	5,0	10	10	2,8	4,0	5,5	7,5	10
Пороговое напряжение	$U_{пор}$	В	—	—	—	—	—	—	—	—
Ток затвора	I_3	мА	10	50	50	15	15	15	15	15
Предельная частота усиления	f_T	МГц	—	—	—	10	10	10	10	10
Коэффициент шума	$F_{ш}$	дБ	5,0	10	—	10 мкВ	10	10	10	10
Входная емкость	$C_{ин}$	пФ	12	12	12	10	10	10	10	10
Проходная емкость	$C_{12н}$	пФ	5,0	5,0	5,0	5,0	5,0	5,0	5,0	5,0
Выходная емкость	$C_{22н}$	пФ	—	—	—	—	—	—	—	—
Максимальное напряжение сток — затвор	$U_{сз max}$	В	10	10	10	15	15	15	15	15
Максимальное напряжение сток — исток	$U_{си max}$	В	—	—	—	15	15	15	15	15
Максимальный ток стока	$I_{с max}$	мА	2,0	5,0	5,0	—	—	—	—	—
Макс. рассеиваемая мощность	P_{max}	мВт	—	—	—	—	—	—	—	—
Макс. температура окружа. среды	T_{max}	°C	+85	+85	+85	+70	+70	+70	+70	+70
Миним. температура окружа. среды	T_{min}	°C	-40	-40	-40	-55	-55	-55	-55	-55
Тип перехода, тип канала			p-n-переход с p-каналом							

Параметр	Обозначение	Единица	КП103Е	КП103Ж	КП103И	КП103К	КП103Л	КП103М	КП301Б
Ток стока при $U_{зи}=0$	I_c	мА	0,3...0,7	0,55...1,2	1,0...2,1	1,7...3,8	3,0...6,6	5,4...12	$0,5 \cdot 10^{-6}$
Крутизна характеристики	S	мА/В	0,4...1,5	0,7...2,2	0,8...3,0	1,4...4,0	2,0...6,0	2,8...6,0	10
Напряжение отсечки	$U_{отс}$	В	0,4...1,8	0,7...2,1	0,8...2,6	1,4...3,5	1,8...3,8	2,0...4,4	—
Пороговое напряжение	$U_{пор}$	В	—	—	—	—	—	—	4,2
Ток затвора	I_z	мА	20	20	20	20	20	20	0,3
Предельная частота усиления	f_t	МГц	—	—	—	—	—	—	—
Коэффициент шума	$F_{ш}$	дБ	3,0	3,0	3,0	3,0	3,0	3,0	9,5
Входная емкость	$C_{11и}$	пФ	20	20	20	20	20	20	3,5
Прходная емкость	$C_{12и}$	пФ	8,0	8,0	8,0	8,0	8,0	8,0	1,0
Выходная емкость	$C_{22и}$	пФ	—	—	—	—	—	—	3,5
Максимальное напряжение сток—затвор	$U_{сз \max}$	В	15	15	15	15	15	15	—
Максимальное напряжение сток—исток	$U_{си \max}$	В	10	10	10	10	10	10	20
Максимальный ток стока	$I_{с \max}$	мА	—	—	—	—	—	—	15
Максим. рассеиваемая мощность	P_{\max}	мВт	120	120	120	120	120	120	200
Максим. температура окружа. среды	T_{\max}	°С	+70	+70	+70	+70	+70	+70	+70
Миним. температура окружа. среды	T_{\min}	°С	-55	-55	-55	-55	-55	-55	-40
Тип перехода, тип канала			$p-n$ —переход с p —каналом						
			индуцир. канал p						

Параметр	Обозначение	Единица	КП302А	КП302Б	КП302В	КП303А	КП303Б	КП303В
Ток стока при $U_{зи}=0$	I_c	мА	3...24	18...43	33	0,5...2,5	0,5...2,5	1,5...5,0
Крутизна характеристики	S	мА/В	5,0	7,0	5,0	1,0...4,0	1,0...4,0	2,0...5,0
Напряжение отсечки	$U_{отс}$	В	5,0	7,0	10	3,0	3,0	4,0
Пороговое напряжение	$U_{пор}$	В	—	—	—	—	—	—
Ток затвора	I_z	нА	10	10	10	1,0	1,0	1,0
Предельная частота усиления	f_T	МГц	—	—	—	—	—	—
Коэффициент шума	$F_{ш}$	дБ	3,0	—	—	—	—	—
Входная емкость	$C_{1и}$	пФ	20	20	20	6,0	6,0	6,0
Выходная емкость	$C_{12и}$	пФ	8,0	8,0	8,0	2,0	2,0	2,0
Максимальное напряжение сток—затвор	$-C_{22и}$	пФ	7,0	10,5	14	—	—	—
Максимальное напряжение сток—исток	$U_{сз\max}$	В	20	20	20	30	30	30
Максимальный ток стока	$U_{зи\max}$	В	20	20	20	25	25	25
Максим. рассеиваемая мощность	$I_{с\max}$	мА	24	43	80	20	20	20
Максим. температура окружа. среды	P_{\max}	мВт	300	300	300	200	200	200
Миним. температура окружа. среды	T_{\max}	°C	+100	+100	+100	+100	+100	+100
Тип перехода, тип канала	T_{\min}	°C	-60	-60	-60	-60	-60	-60

Встроенный канал n-типа

С р—п-переходом
п—канал

Продолжение табл. 9




























Параметр	Обозначение	Единица	КП303Г	КП303Д	КП303Е	КП303Ж	КП303И
Ток стока при $U_{\text{зи}}=0$	I_c	мА	3,0...12	3,0...9,0	5,0...20	0,3...3,0	1,5...5,0
Крутизна характеристики	S	мА/В	3,0...7,0	$\geq 2,6$	$\geq 4,0$	1,0...4,0	2,0...6,0
Напряжение отсечки	$U_{\text{отс}}$	В	8,0	8,0	8,0	0,3...3,0	0,3...2,0
Пороговое напряжение	$U_{\text{пор}}$	В	—	—	—	—	—
Ток затвора	I_s	нА	0,1	1,0	1,0	5,0	5,0
Предельная частота усиления	f_t	МГц	—	—	—	—	—
Коэффициент шума	$F_{\text{ш}}$	дБ	—	4,0	4,0	—	—
Входная емкость	$C_{11\text{н}}$	пФ	6,0	6,0	6,0	6,0	6,0
Проходная емкость	$C_{12\text{н}}$	пФ	2,0	2,0	2,0	2,0	2,0
Выходная емкость	$C_{22\text{н}}$	пФ	—	—	—	—	—
Максимальное напряжение сток—затвор	$U_{\text{сз max}}$	В	30	30	30	30	30
Максимальное напряжение сток—исток	$U_{\text{си max}}$	В	25	25	25	25	25
Максимальный ток стока	$I_{\text{с max}}$	мА	20	20	20	20	20
Максим. рассеиваемая мощность	P_{max}	мВт	200	200	200	200	200
Максим. температура окруж. среды	T_{max}	°C	+100	+100	+100	+100	+100
Миним. температура окруж. среды	T_{min}	°C	-60	-60	-60	-60	-60

p—n—переход, n—канал

Параметр	Обозначение	Единица	КП305Д	КП305Е	КП305Ж	КП305И	КП305А	КП305Б	КП305В
Ток стока при $U_{\text{эл}}=0$	I_c	мА	не регламентируется						
Крутизна характеристики	S	мА/В	5,2...10,5	4,0...8,0	8,2...10,5	4,0...10,5	3,5	3,5	6,0
Напряжение отсечки	$U_{\text{отс}}$	В	6,0	6,0	6,0	6,0	6,0	6,0	6,0
Пороговое напряжение	$U_{\text{пор}}$	В	—	—	—	—	—	—	—
Ток затвора	I_z	нА	1,0	0,005	1,0	1,0	5,0	5,0	5,0
Предельная частота усиления	f_T	МГц	—	—	—	—	—	—	—
Коэффициент шума	$F_{\text{ш}}$	дБ	7,5	—	7,5	—	6,0	6,0	6,0
Входная емкость	$C_{\text{вх}}$	пФ	5,0	5,0	5,0	5,0	6,0	6,0	6,0
Прходная емкость	$C_{\text{пр}}$	пФ	0,8	0,8	0,8	0,8	0,07	0,07	0,07
Выходная емкость	$C_{\text{вых}}$	пФ	—	—	—	—	6,0	6,0	6,0
Максимальное напряжение сток—затвор	$U_{\text{сз max}}$	В	15	15	15	15	21/15	21/15	21/15
Максимальное напряжение сток—исток	$U_{\text{си max}}$	В	15	15	15	15	15	15	15
Максимальный ток стока	$I_{\text{с max}}$	мА	15	15	15	15	30	30	30
Максим. рассеиваемая мощность	P_{max}	мВт	150	150	150	150	200	200	200
Максим. температура окружа. среды	T_{max}	°С	+125	+125	+125	+125	+85	+85	+85
Миним. температура окружа. среды	T_{min}	°С	-60	-60	-60	-60	-40	-40	-40
Тип перехода, тип канала			Встроенный канал	Встроенный канал	Встроенный канал	Встроенный канал	Встроенный канал	Встроенный канал	Встроенный канал
			п—тип	п—тип	п—тип	п—тип	п—тип	п—тип	п—тип

УСЛОВНЫЕ ОБОЗНАЧЕНИЯ, ЦОКОЛЕВКА,
МАРКИРОВКА РАДИОДЕТАЛЕЙ И ГРОМКОГОВОРИТЕЛЕЙ

Таблица. 1. Условные графические обозначения на схемах аппаратов зарубежного и отечественного производства

Наименование элемента	Обозначение на зарубежной схеме	Обозначение на отечественной схеме
1	2	3
Резистор постоянный		
Подстроечный резистор		
То же		
Переменный резистор		
Конденсатор постоянной емкости		
Электролитический конденсатор		
То же		
Подстроечный конденсатор		
Трансформатор с магнито- диэлектрическим сердечником		
Плавкий предохранитель		
Соединение с корпусом		
Диод полупроводниковый		
Стабилитрон	 	

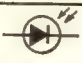
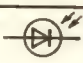

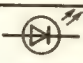

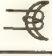
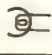
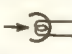
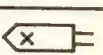


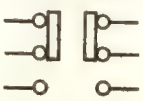
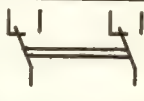




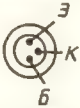

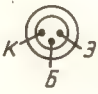
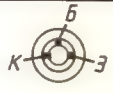
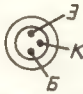






1	2	3
Фотодиод		
Светодиод		
Лампа накаливания		
Головка магнитная		
То же		
Головка магнитная воспроизводящая		
Головка магнитная записывающая		
Головка магнитная стирающая		
Выключатель однополюсный		
Переключатель однополюсный пятипозиционный		
Переключатель галетный		
Переключатель двухполюсный двухпозиционный		

Таблица 2. Цоколевка отечественных транзисторов

Тип транзистора	Цоколевка	Тип транзистора	Цоколевка
КТ 315 КТ 361		КТ 358	
КТ 3102 КТ 342 КТ 201 КТ 202 КТ 601 КТ 603		КП 103	
ГТ 402 ГТ 404 КТ 602		КП303	
МП 25 МП 26 МП 27 МП 37 МП 38 МП 39Б МП 40 МП 41 МП 114		П 605 П 701	
ГТ 403 ГТ 406		КТ 608	
КТ 209 КТ 503 КТ 3107 КТ 502		КТ 703	
КТ 501		П 214	
		КТ 801	


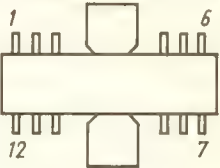
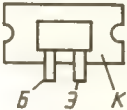
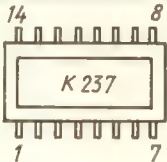
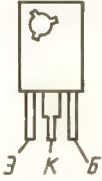
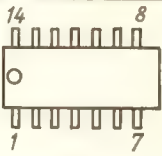
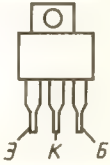
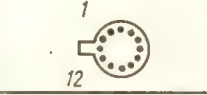
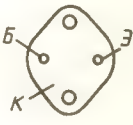
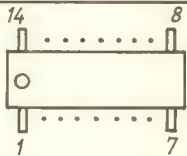
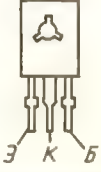
Тип транзистора	Цоколевка	Тип микросхемы	Цоколевка
КТ 802 КТ 809		К 174 УН 7 К 504 НТ 26 КГУС 373	
КТ 807		К 237 ГС 1 К 237 УЛ 3 К 237 УН 1 К 237 УС 1	
КТ 814 КТ 815 КТ 816 КТ 817 КТ 839 КТ 973		К 155 ЛА 3 К 155 ЛА 4 К 155 ЛА 8 К 553 УД 1А К 553 УД 2 К 1У401А	
КТ 805 КТ 818 КТ 819 КТ 835 КТ 837		К 157 ХП 3	
КТ 808 АМ... ГМ КТ 812 КТ 818 АМ... ГМ КТ 819 АМ... ГМ КТ 825 КТ 826 КТ 827 КТ 828		К 157 УД 2 К 157 УЛ 1 К 547 КП 1 К 561	
КТ 639 КТ 972			

Таблица 3. Маркировка светодиодов видимого излучения

Светодиод	Материал корпуса	Маркировка	№ рис. корпуса
АЛ102А АЛ102Б АЛ102В АЛ102Г АЛ102Д	Металлостеклянный	Красная точка Две красные точки Зеленая точка Три красные точки Две зеленые точки	1
АЛ102АМ АЛ102БМ АЛ102ВМ АЛ102ГМ	Металлостеклянный	Красная точка Две красные точки Зеленая точка Три красные точки	2
АЛ112В АЛ112Б АЛ112В	Металлопластмассо- вый	Красная полоса Зеленая полоса Синяя полоса	3
АЛ112Г АЛ112Д АЛ112Е АЛ112Ж АЛ112И	Металлостеклянный	Красная полоса Зеленая полоса Красная точка Зеленая точка Синяя точка	4
АЛ112К АЛ112Л АЛ112М	Металлопластмассо- вый	Красная точка Зеленая точка Синяя точка	5
АЛ307А* АЛ307Б АЛ307В АЛ307Г АЛ307Д АЛ307Е АЛ307И АЛ307Л	Пластмассовый	Черная точка Две черные точки Черная точка Две черные точки Черная точка Две черные точки Белая точка Две белые точки	6
АЛ310А АЛ310Б	Металлический	Красная точка Синяя точка	7
АЛ316А АЛ316Б		Красная полоса Синяя полоса	8
КИПДО6А-1К КИПДО6Б-1К КИПДО6В-1Л КИПДО6Г-1Л	Пластмассовый	Красная или черная точка Две красные или чер- ные точки Зеленая точка Две зеленые точки	9

* Цвет корпуса светодиода АЛ307А, АЛ307Б — красный, АЛ307В, АЛ307Г — зеленый, АЛ307Д, АЛ307Е — желтый, АЛ307И, АЛ307Л — оранжевый.

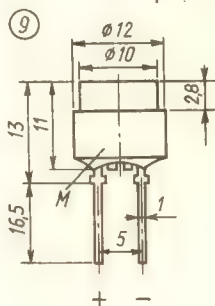
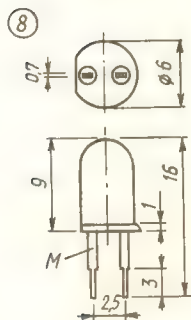
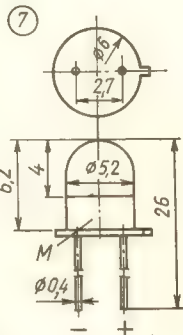
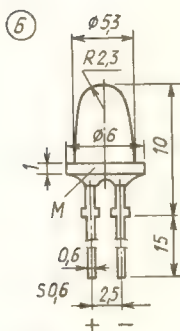
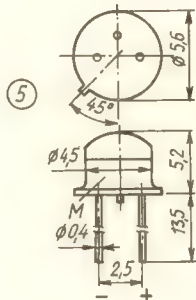
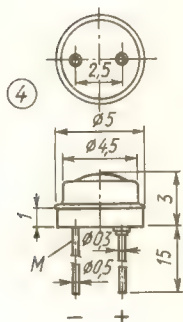
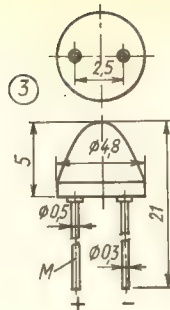
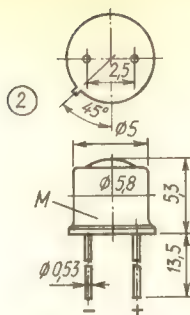
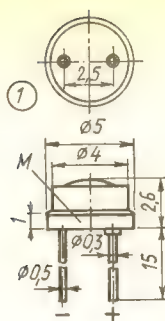


Таблица 4. Основные параметры динамических головок прямого излучения

Наименование		Частота основного резонанса, Гц	Частотная полоса, Гц	Неравном. частотной характ., дБ	Уровень характеристич. чувств., дБ/м·Вт
по ГОСТ 9010-84	по ОСТ4.383.001-85				
0,1ГД-17	0,25ГДШ-2-50	450	450...3150	16	90
0,1ГД-17М	0,25ГДШ-3-8	400	450...3150	16	83
0,25ГД-10	0,5ГДШ-1-8	290	315...5000	16	91
0,25ГД-19	0,5ГДШ-2-8	290	315...5000	16	90
1ГД-50	1ГДШ-4-8	200	180...12 500	16	90
—	1ГДШ-5-4	180	200...10 000	14	90
—	1ГДШ-6-8	300	315...7100	16	92
1ГД-8А	—	140	160...10 000	14	90
1ГД-52А	—	115	100...12 500	14	90
1ГД-48	2ГДШ-2-8	120	100...10 000	12	93
—	2ГДШ-4-8	160	125...10 000	14	92
2ГД-38	3ГДШ-1-8	100	100...12 500	14	90
2ГД-40	3ГДШ-2-4;	100			
	3ГДШ-2-8	140	100...12 500	14	92
	3ГДШ-4-4;				
—	3ГДШ-4-8	100	100...12 500	14	92
	3ГДШ-7-4;				
—	3ГДШ-7-8	200	180...12 500	14	90
4ГДЕ-8Е	4ГДШ-1-4	120	125...7100	16	93,5
—	4ГДШ-5-4	175	200...10 000	14	90
3ГД-42	5ГДШ-3-8	100	100...12 250	12	92,5
3ГД-45	5ГДШ-4-4	80	80...16 000	16	90
4ГД-53	5ГДШ-5-4	150	100...12 500	14	92
3ГД-32	6ГДШ-1-4	75	80...12 500	12	92
—	6ГДШ-3-4	140	160...12 500	14	92
4ГД-35	8ГДШ-1-4	65	63...12 500	16	92
—	8ГДШ-2-4;		100...12 250	16	91
	8ГДШ-2-8	100			
10ГД-36К	10ГДШ-1-4	40	63...20 000	16	90
10ГД-36	10ГДШ-2-4	40	63...20 000	16	87,5
10ГД-30Е	20ГДН-1-8	32	63...5000	14	86
10ГД-34	25ГДН-1-4	80	63...5000	14	83
		100			
15ГД-14	25ГДН-3-4;	55	50...5000	14	84
	25ГДН-3-8	40	40...5000	12	86
15ГД-17	25ГДН-4-4				
25ГД-26В	35ГДН-1-4;				
	35ГДН-1-8	35	40...5000	14	84
30ГД-2	75ГДН-1-4;				
	75ГДН-1-8	28	31,5...1000	12	86
—	20ГДС-1-4;				
	20ГДС-1-8	110	200...5000	12	84
15ГД-11А	20ГДС-4-8	120	200...5000	12	89
1ГД-56	1ГДВ-1-8	3000	6300...16 000	14	88
3ГД-31	5ГДВ-1-8	3000	2800...20 000	16	90
3ГД-2	6ГДВ-1-16	4500	5000...18 000	14	90
2ГД-36	6ГДВ-2-8	3000	3150...20 000	16	90
10ГД-35	10ГДВ-2-16	3000	5000...25 000	14	92
3ГД-47	4ГДВ-1-8	3000	2000...20 000	14	91
6ГД-13	6ГДВ-4-8	3000	3000...25 000	14	92
10ГИ-1-8		2000	2000...25 000	10	90

**ПРИНЦИПИАЛЬНЫЕ СХЕМЫ МАГНИТОЛ
И МАГНИТОФОНОВ ВЕДУЩИХ ИНОСТРАННЫХ ФИРМ**

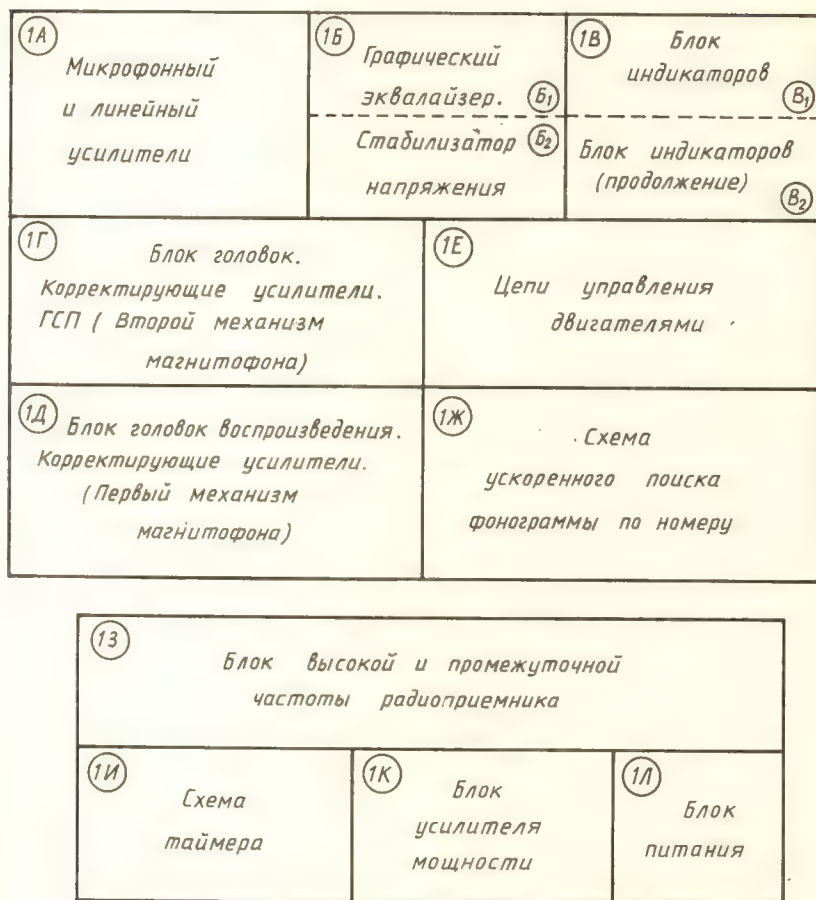
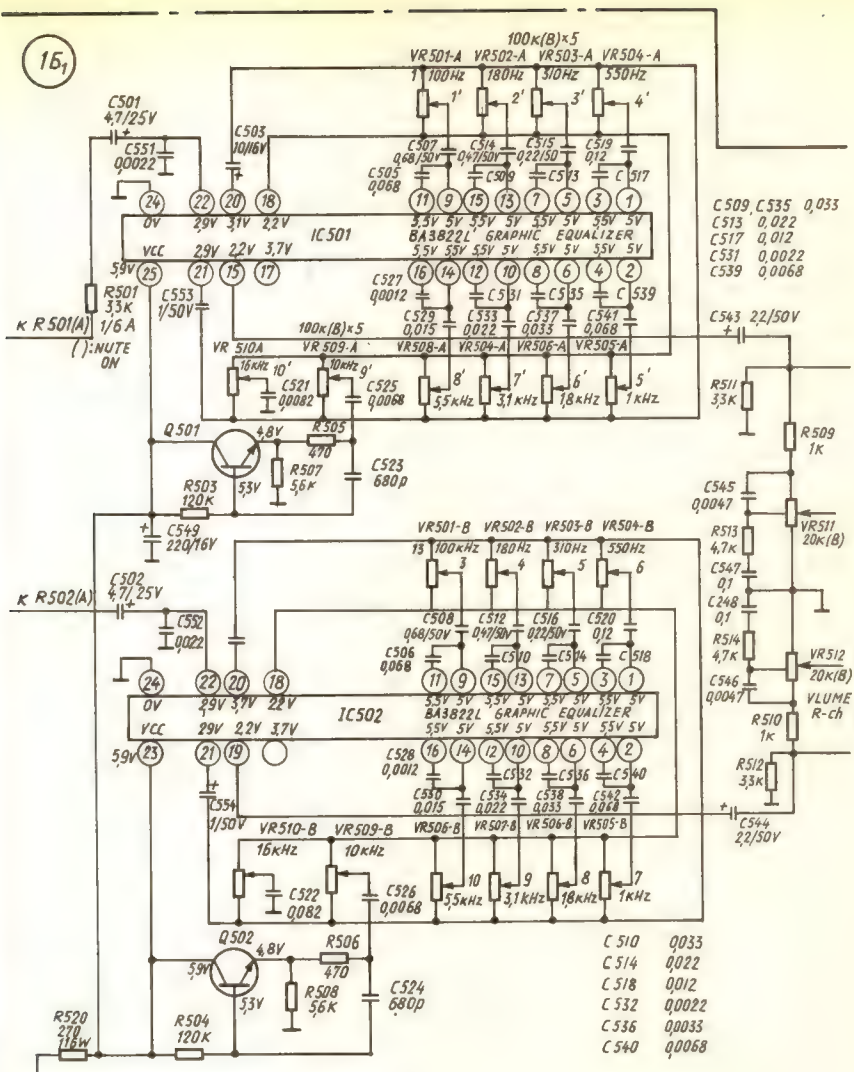


Рис. 1. Расположение блоков на принципиальной схеме магнитолы «Шарп-939»

151



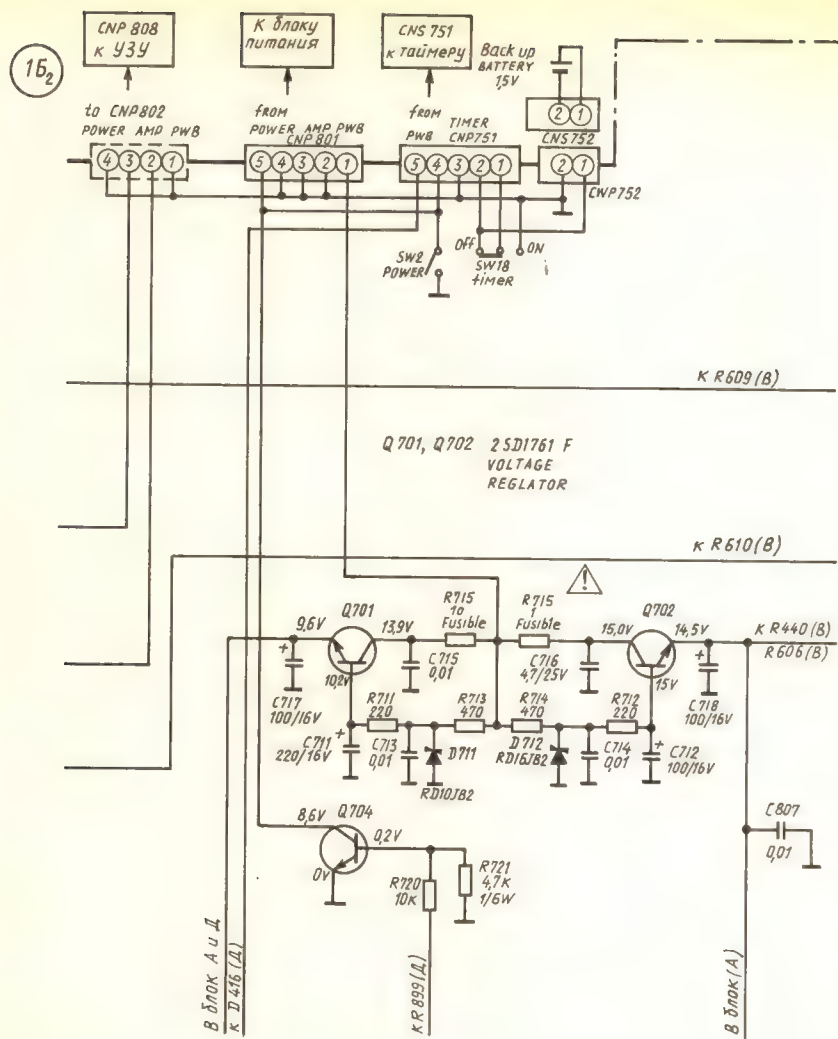


Рис. 1, б. Графический эквалайзер. Стабилизатор напряжения

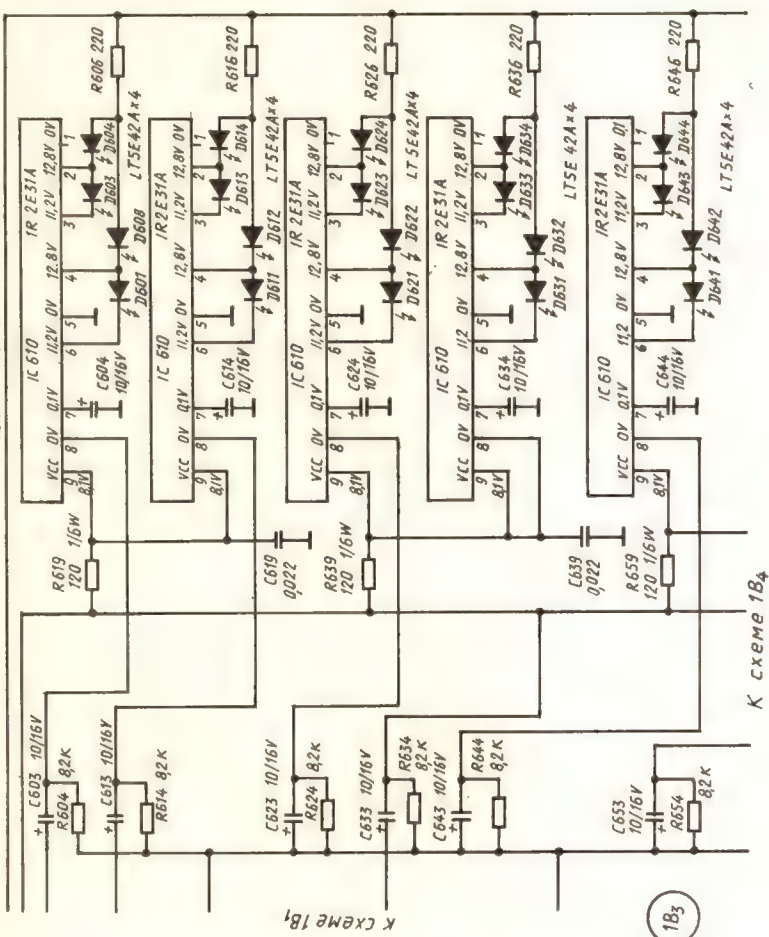
1B₁



1B₂



IC 604 ~ IC 613 LED DRIVER



K CXEME 1B_x

1B_x

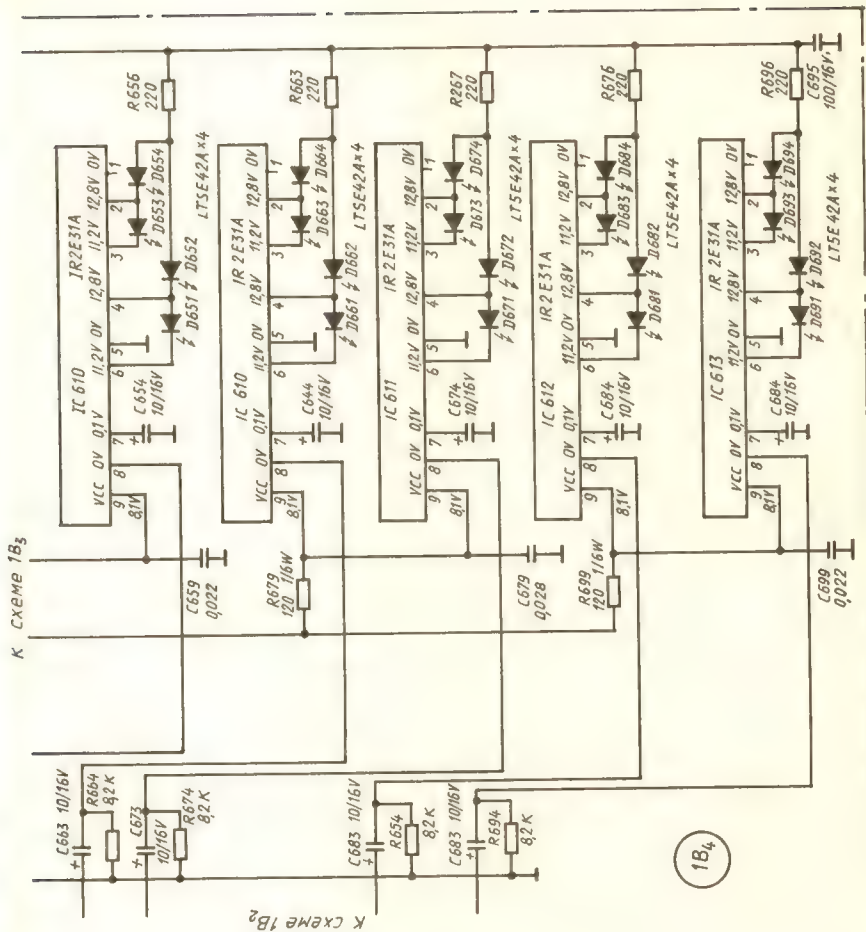
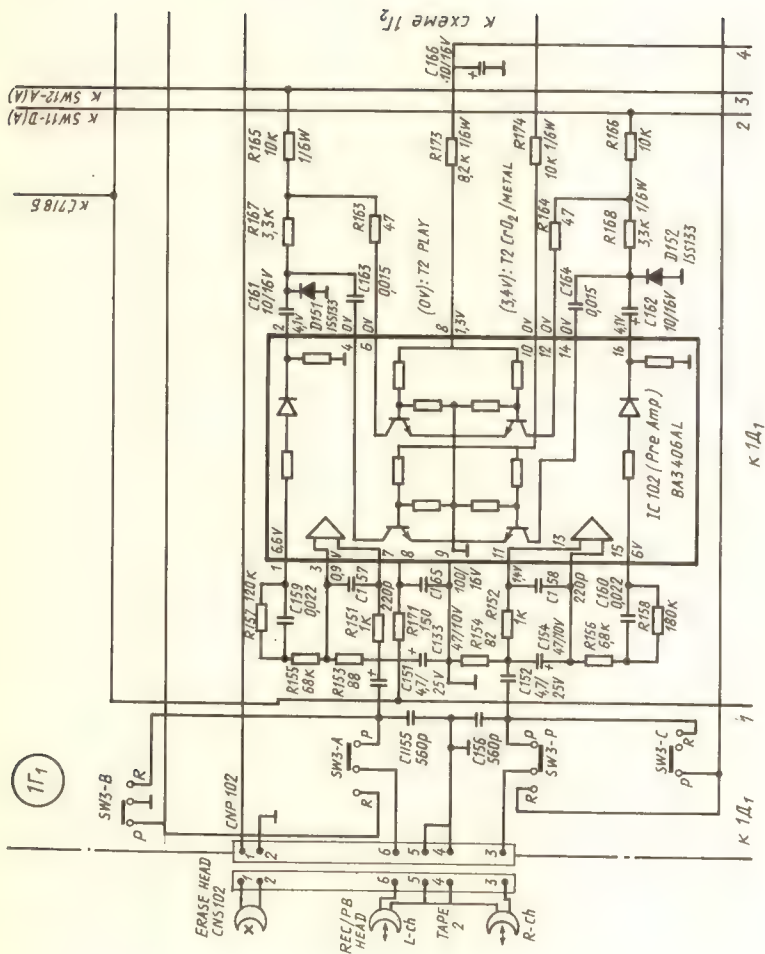
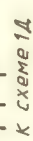
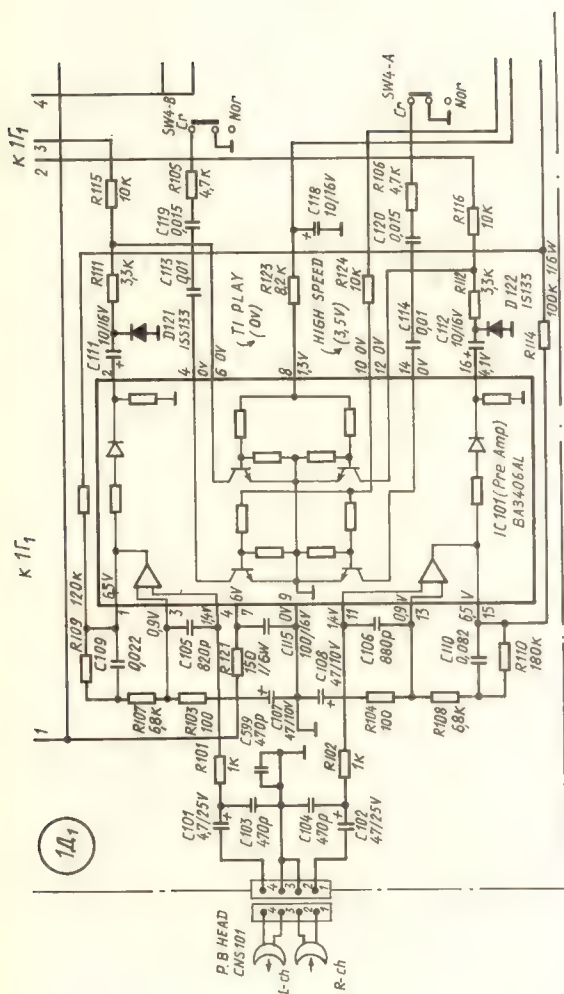


Рис. 1, в. Блок индикаторов



152





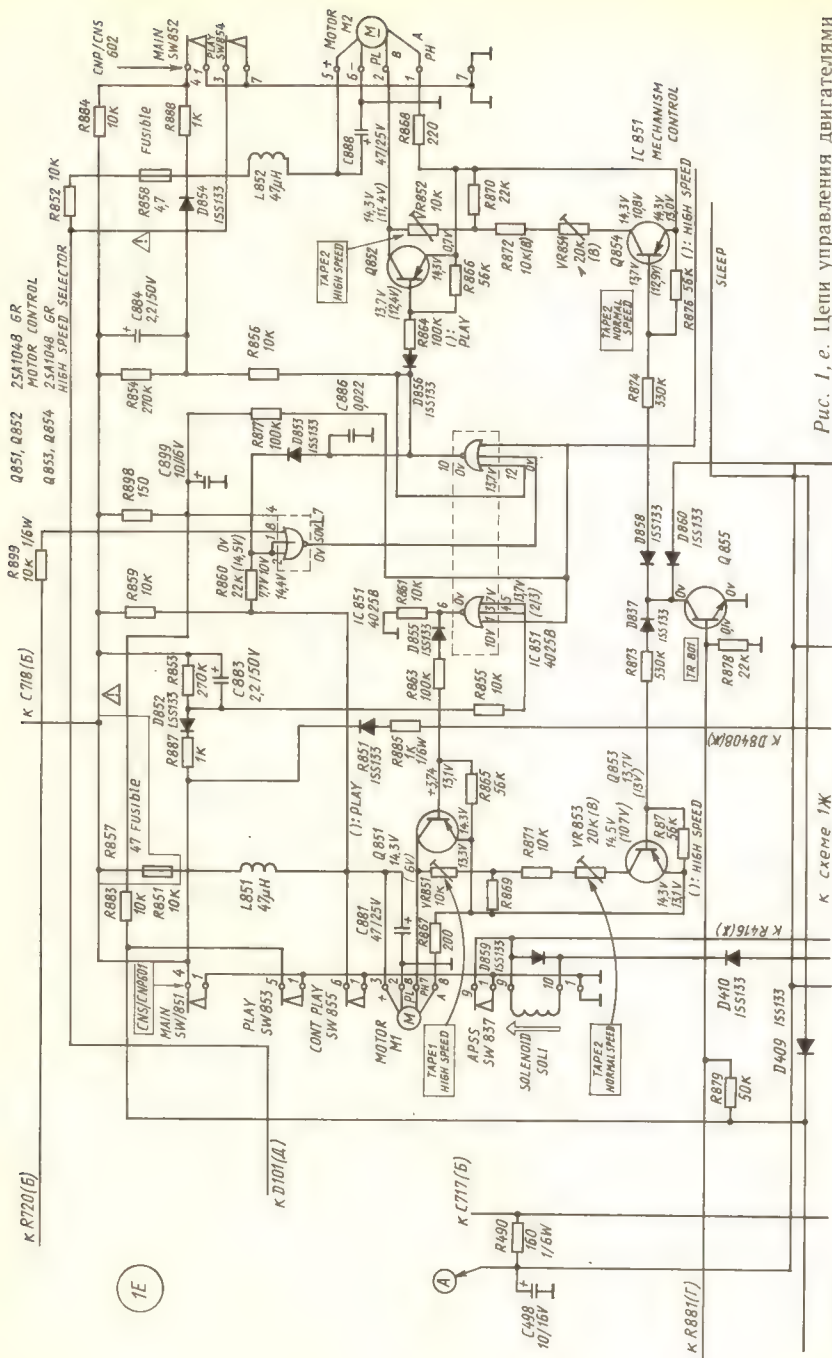


Рис. 1, е. Цепи управления двигателями

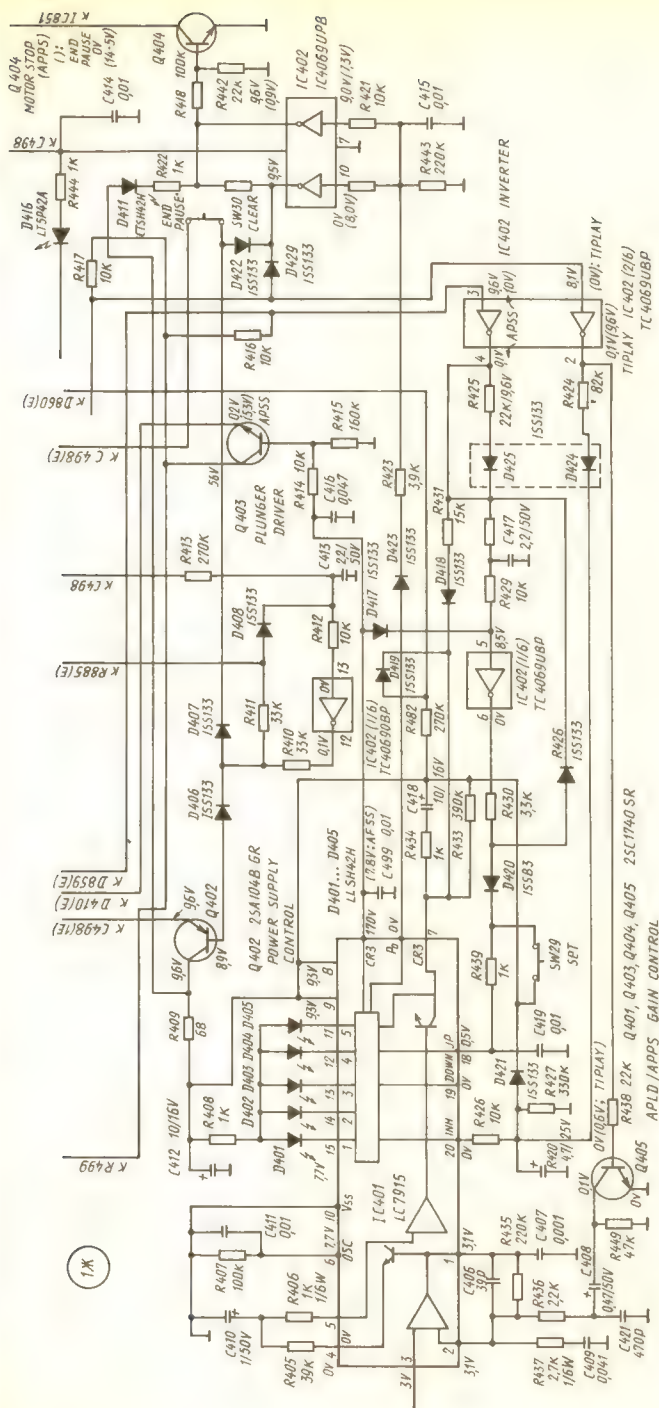
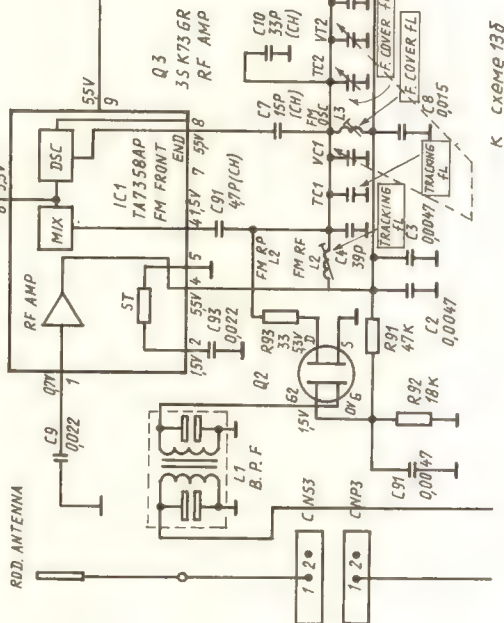


Рис. 1. ж. Схема ускоренного поиска фонограммы по ее номеру

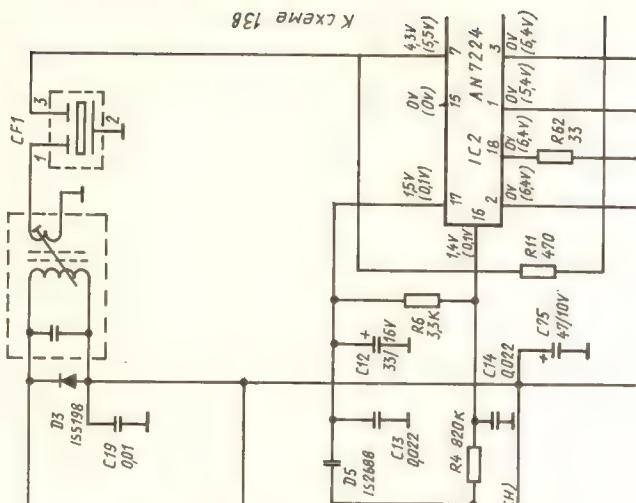
13a

ROD. ANTENNA

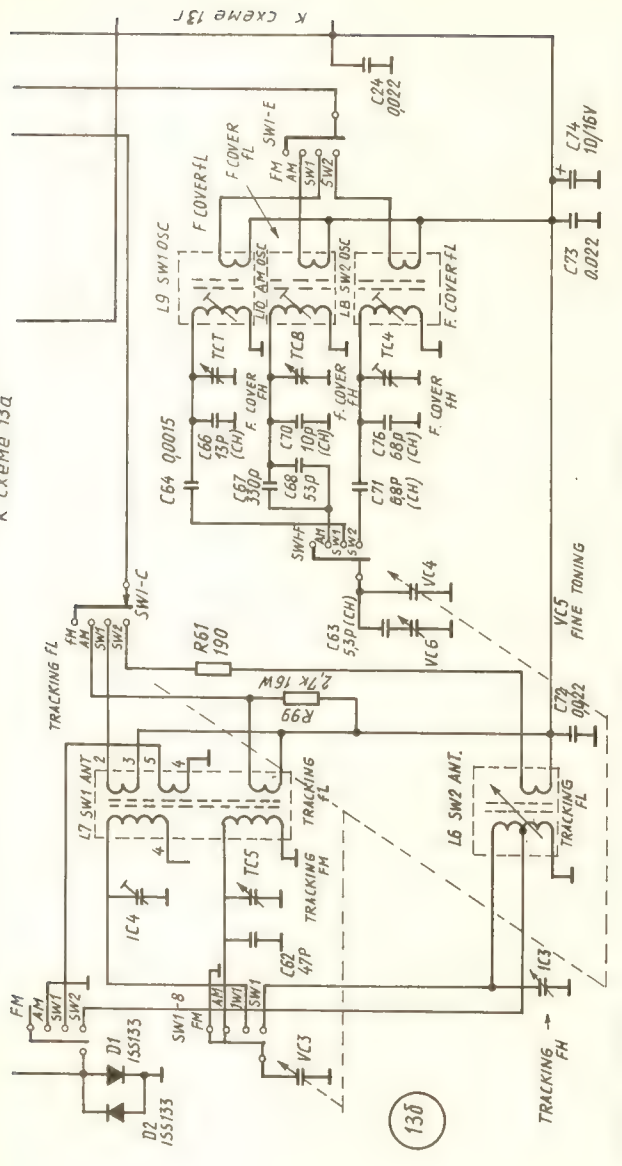


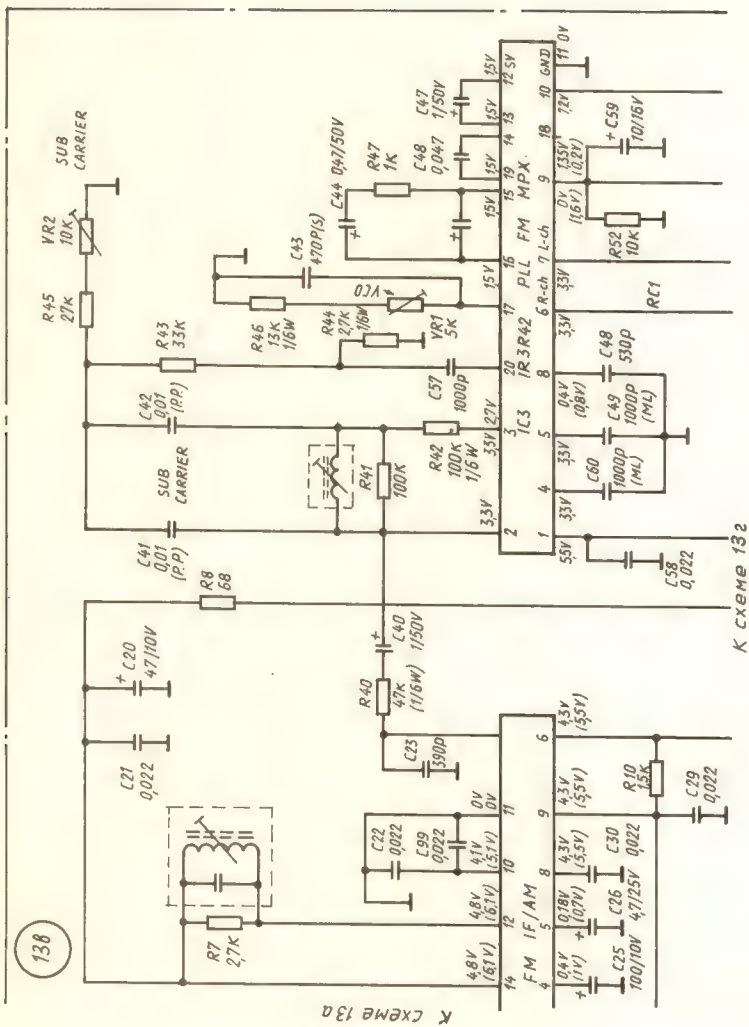
K CXeme 138

K CXeme 138



K CXEME 13a





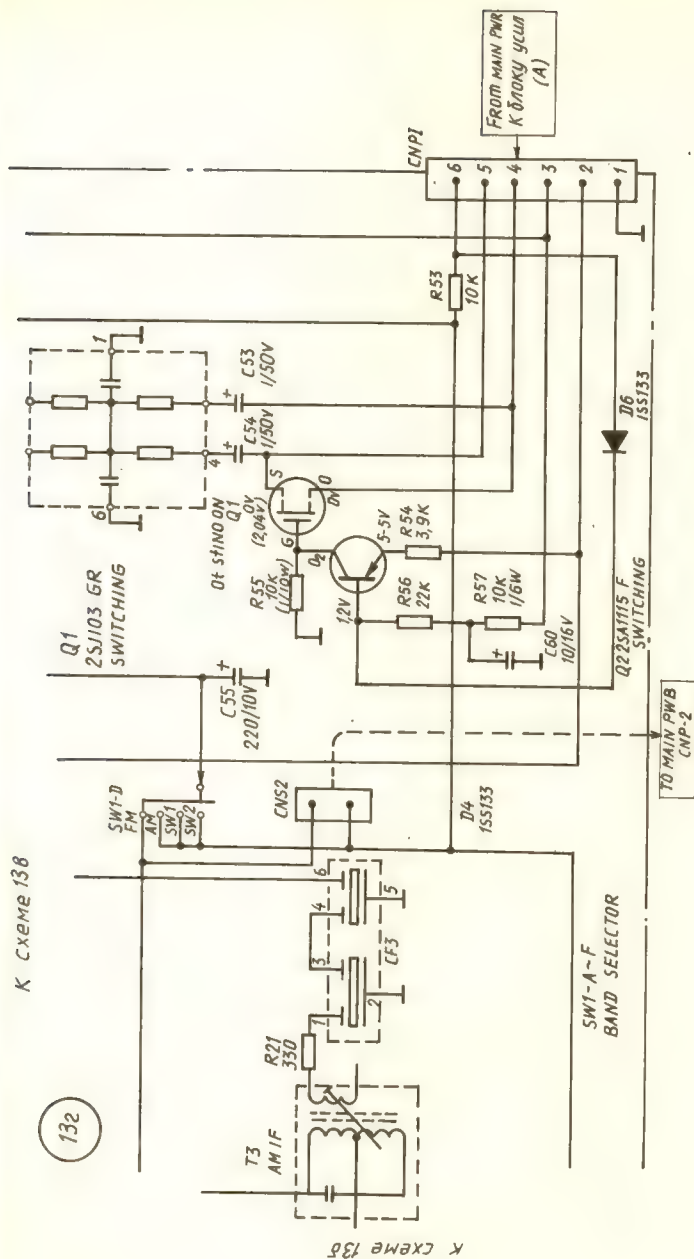


Рис. 1, з. Блок высокой и промежуточной частоты радиоприемника

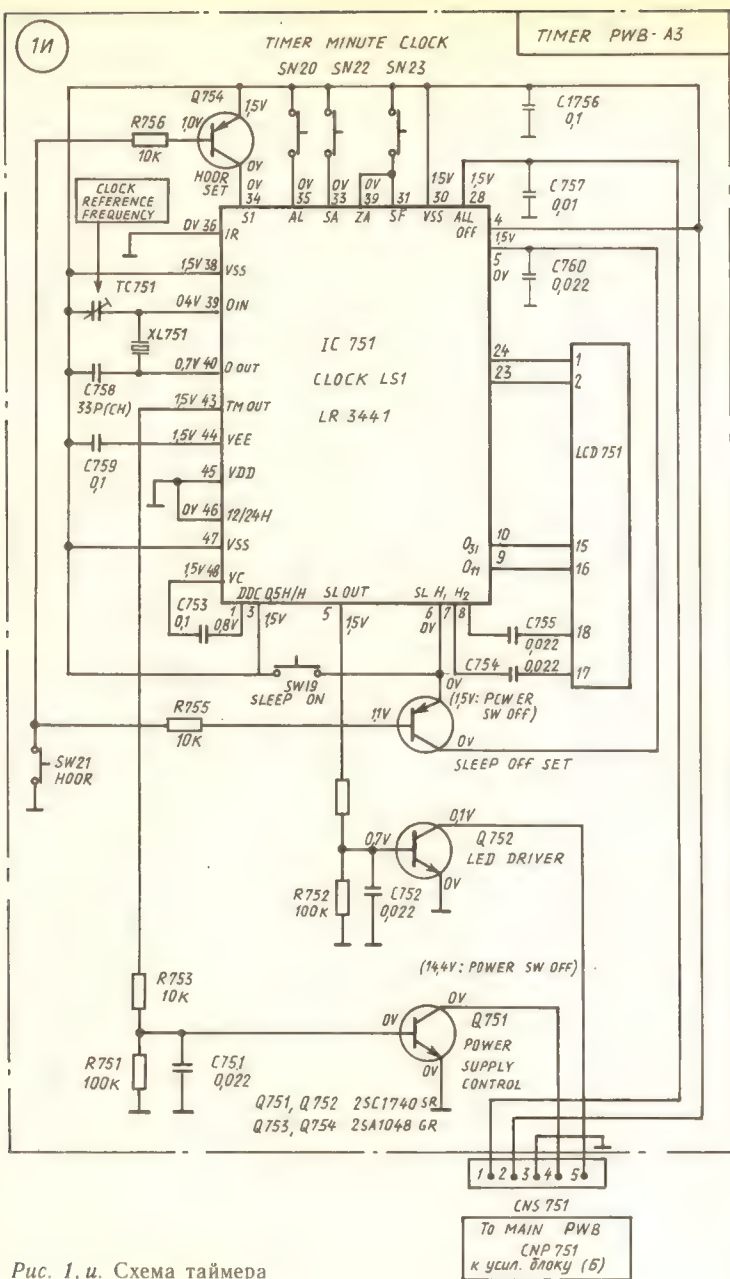


Рис. 1, и. Схема таймера

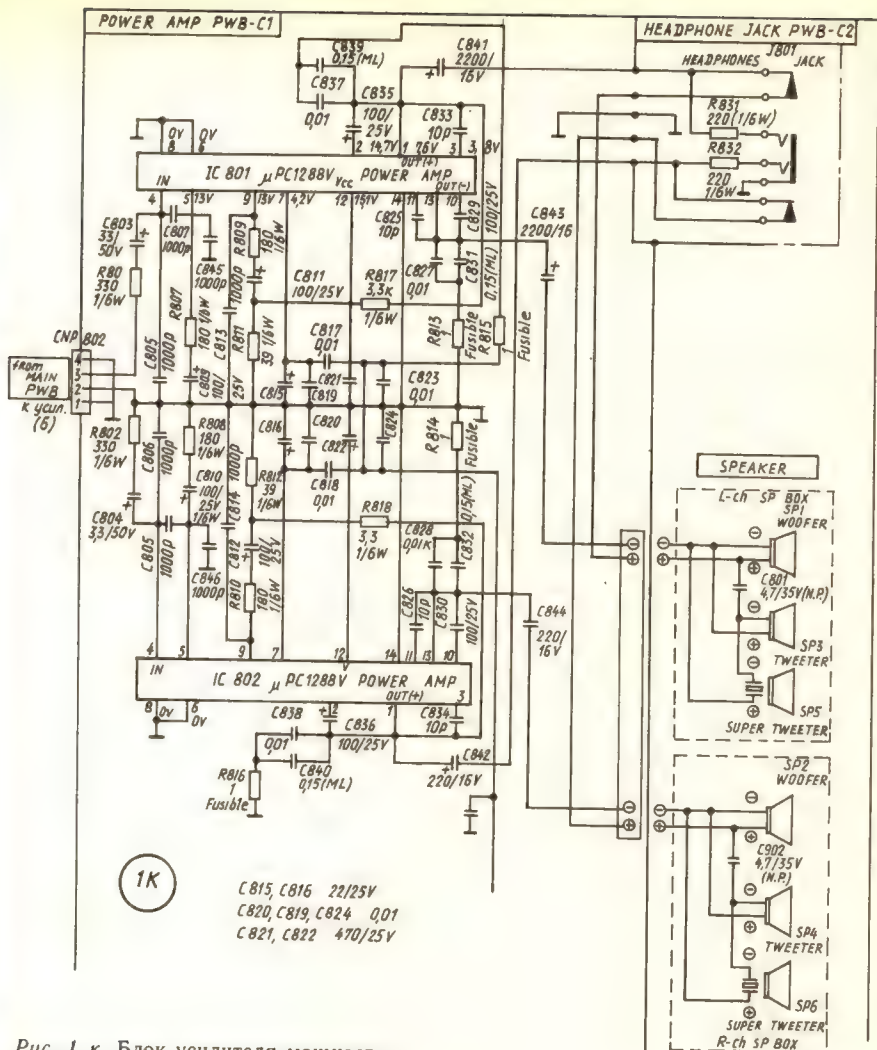


Рис. 1, к. Блок усилителя мощности

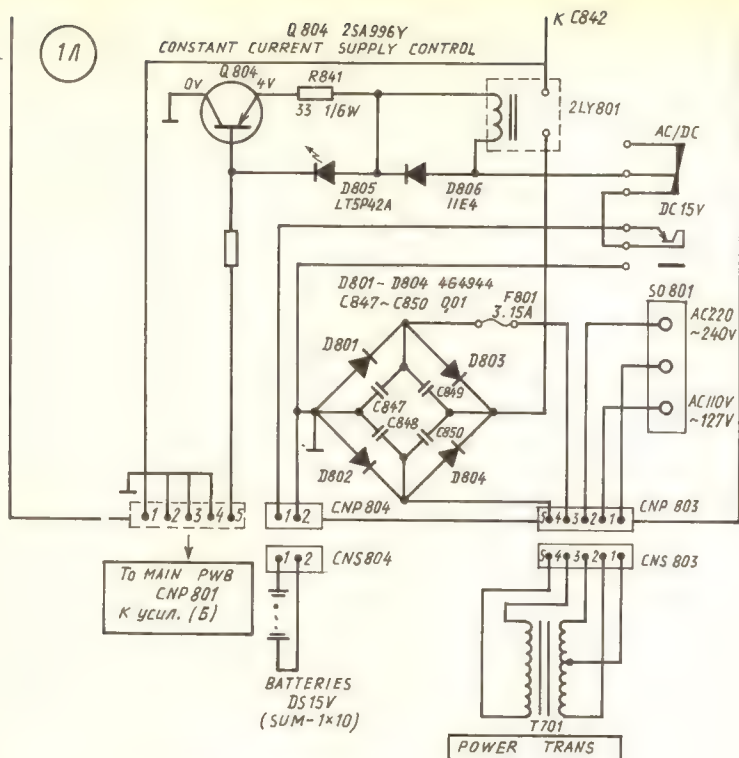


Рис. 1, а. Блок питания

*Назначение переключателей
на схеме магнитолы „ Шарп 939 ”*

<i>REF. NO</i>	<i>DISCRIPTION</i>	<i>POSITION</i>
<i>SW1</i>	<i>BAND SELECTION</i>	<i>FM-AM-SW₁-SW₂</i>
<i>SW2</i>	<i>POWER</i>	<i>ON- OFF/SLEEP</i>
<i>SW3</i>	<i>REC /PB SELECTOR</i>	<i>REC - PB</i>
<i>SW4</i>	<i>TAPE1 TAPE SELECTOR</i>	<i>CrO₂ - NORMAL</i>
<i>SW5</i>	<i>TAPE2 TAPE SELECTOR</i>	<i>METAL - OFF</i>
<i>SW6</i>	<i>DUBBING SPEED</i>	<i>HIGH- NORMAL</i>
<i>SW H~B</i>	<i>FUNCTION SELECTOR</i>	<i>TAPE-PHONO/CO/LINE</i>
<i>SW14</i>	<i>FM MODE</i>	<i>MONO- STEREO</i>
<i>SW15</i>	<i>MUTE</i>	<i>ON- OFF</i>
<i>SW16</i>	<i>INPUT SELECTOR</i>	<i>PHONO- LINE - CD</i>
<i>SW17</i>	<i>BEAT CANCEL</i>	<i>A- B- C</i>
<i>SW18</i>	<i>TIMER</i>	<i>ON- OFF</i>
<i>SW19</i>	<i>SLEEP</i>	<i>ON- OFF</i>
<i>SW20</i>	<i>TIMER</i>	<i>ON- OFF</i>
<i>SW21</i>	<i>HOUR</i>	<i>ON- OFF</i>
<i>SW22</i>	<i>MINUTE</i>	<i>ON- OFF</i>
<i>SW23</i>	<i>CLOCK</i>	<i>ON- OFF</i>
<i>SW29</i>	<i>APLD /APPSSET</i>	<i>ON- OFF</i>
<i>SW30</i>	<i>APLD/APPS CLER</i>	<i>ON- OFF</i>
<i>SW 851</i>	<i>TAPE1 MAIN</i>	<i>ON- OFF</i>
<i>SW852</i>	<i>TAPE2 MAIN</i>	<i>ON- OFF</i>
<i>SW853</i>	<i>TAPE1 PLAY</i>	<i>ON- OFF</i>
<i>SW854</i>	<i>TAPE2 PLAY</i>	<i>ON- OFF</i>
<i>SW855</i>	<i>CONT PLAY</i>	<i>ON- OFF</i>
<i>SW 857</i>	<i>APSS</i>	<i>ON- OFF</i>
<i>SW6</i>	<i>TAPE2 TAPE SELECTOR</i>	<i>CrO₂ - NORMAL</i>

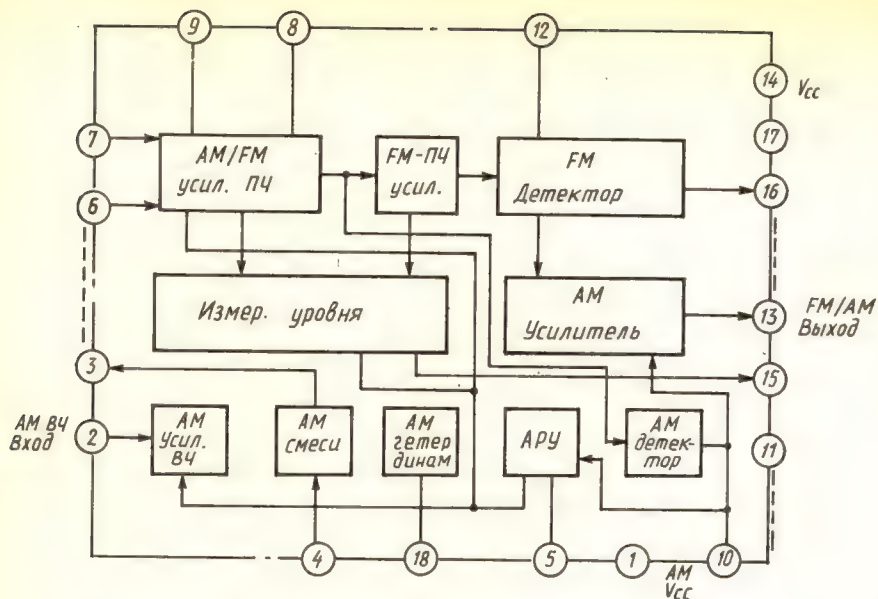


Рис. 1, м. Микросхема AN7224

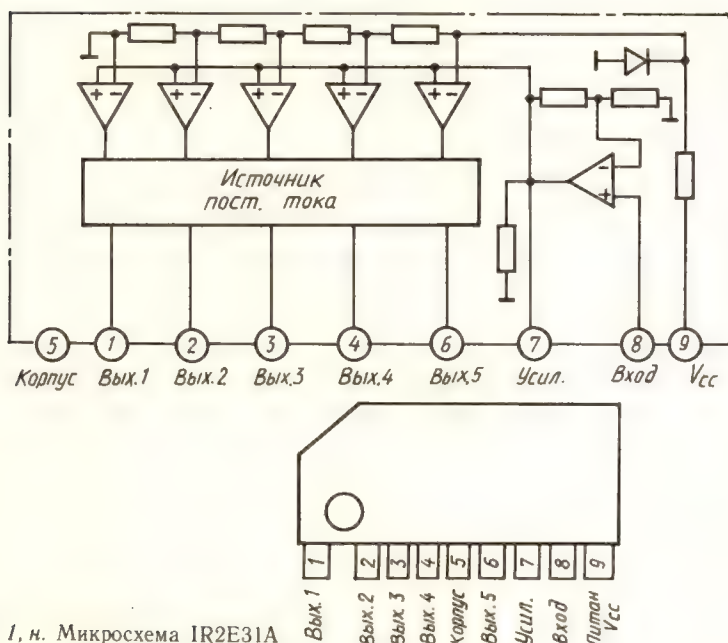


Рис. 1, н. Микросхема IR2E31A

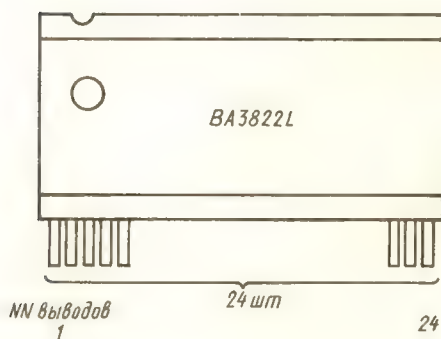
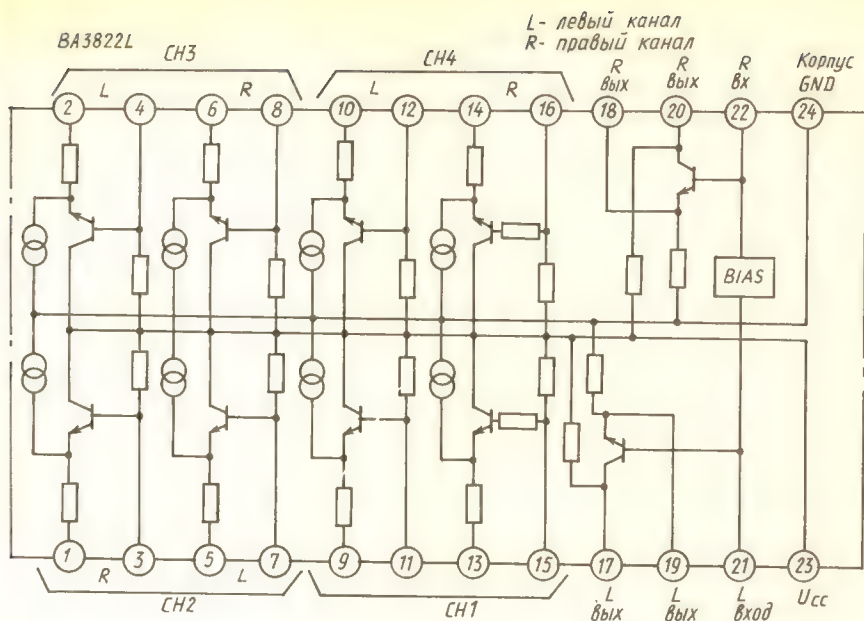


Рис. 1, о. Микросхема BA3822L

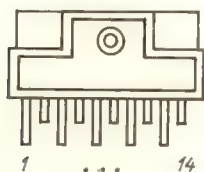
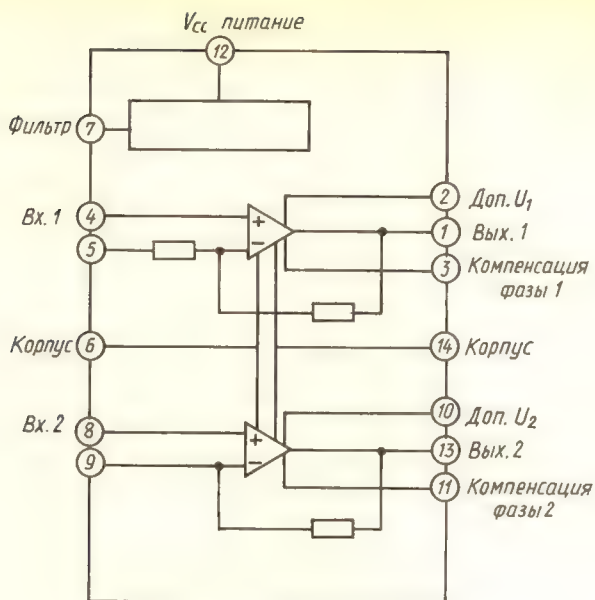


Рис. 1, п. Микросхема $\mu\text{PC1288V}$

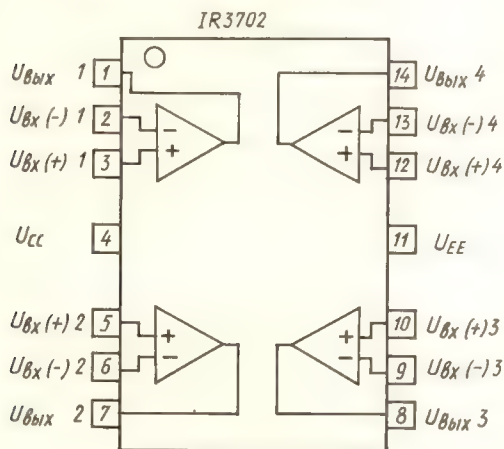


Рис. 1, р. Микросхема IR3702

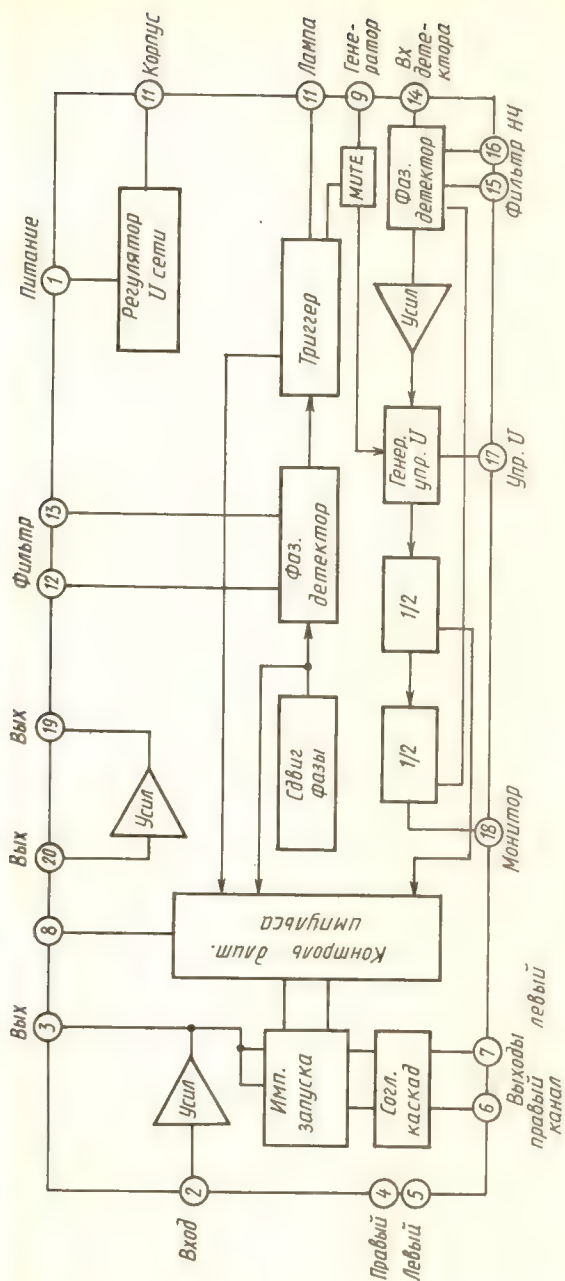


Рис. 1, с. Микросхема IR3R42

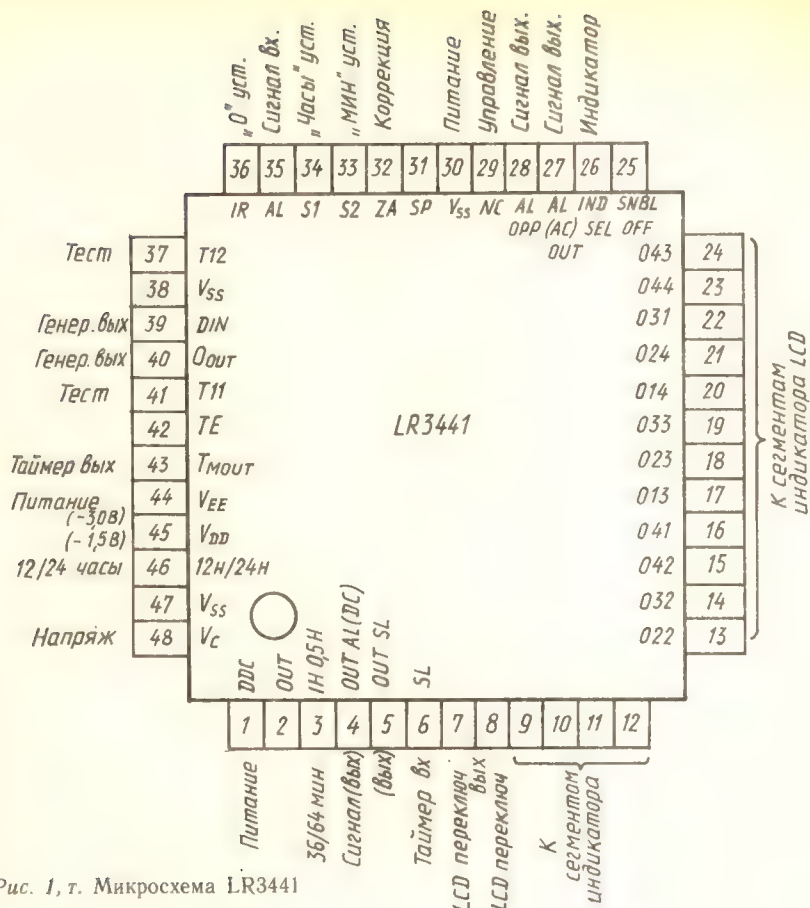


Рис. 1, т. Микросхема LR3441



Рис. 2. Расположение блоков на принципиальной схеме усилительного блока музыкального центра «GRUNDIG RPC500»

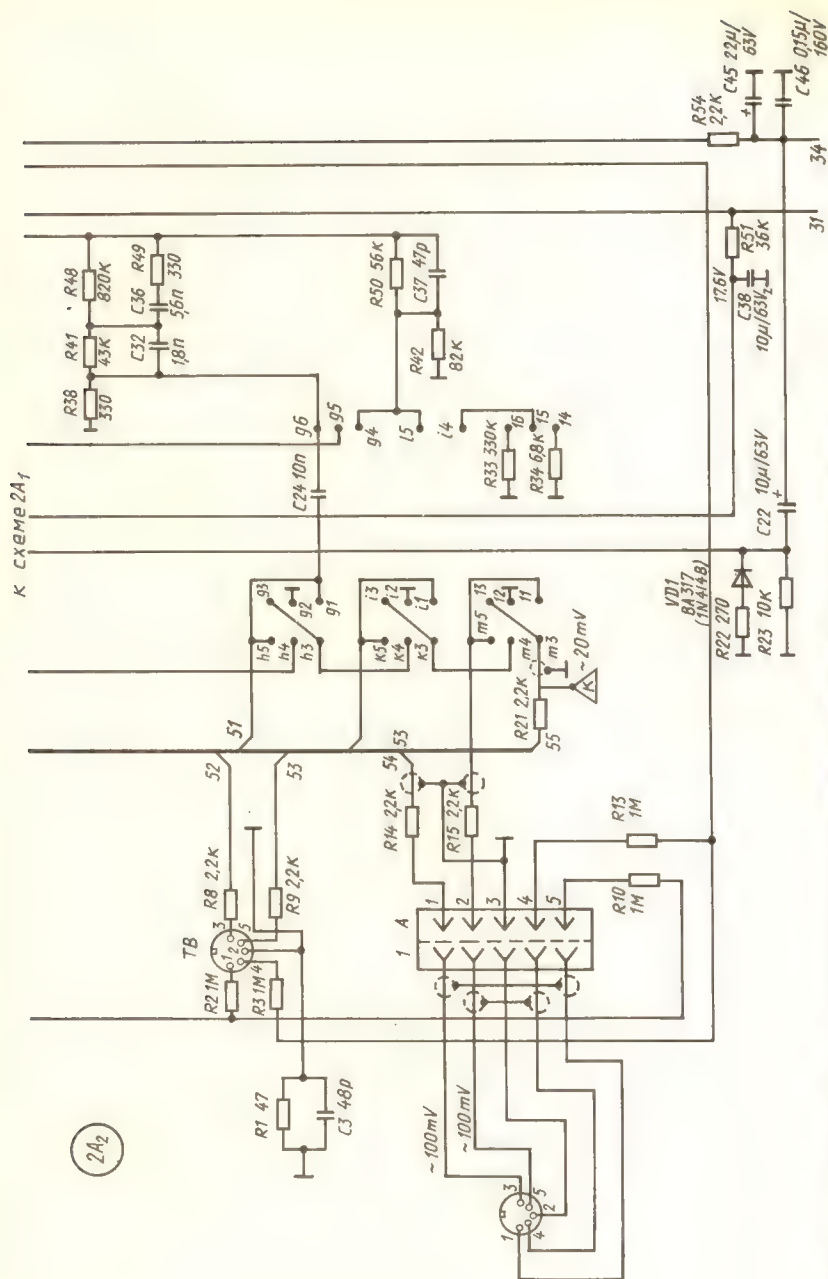
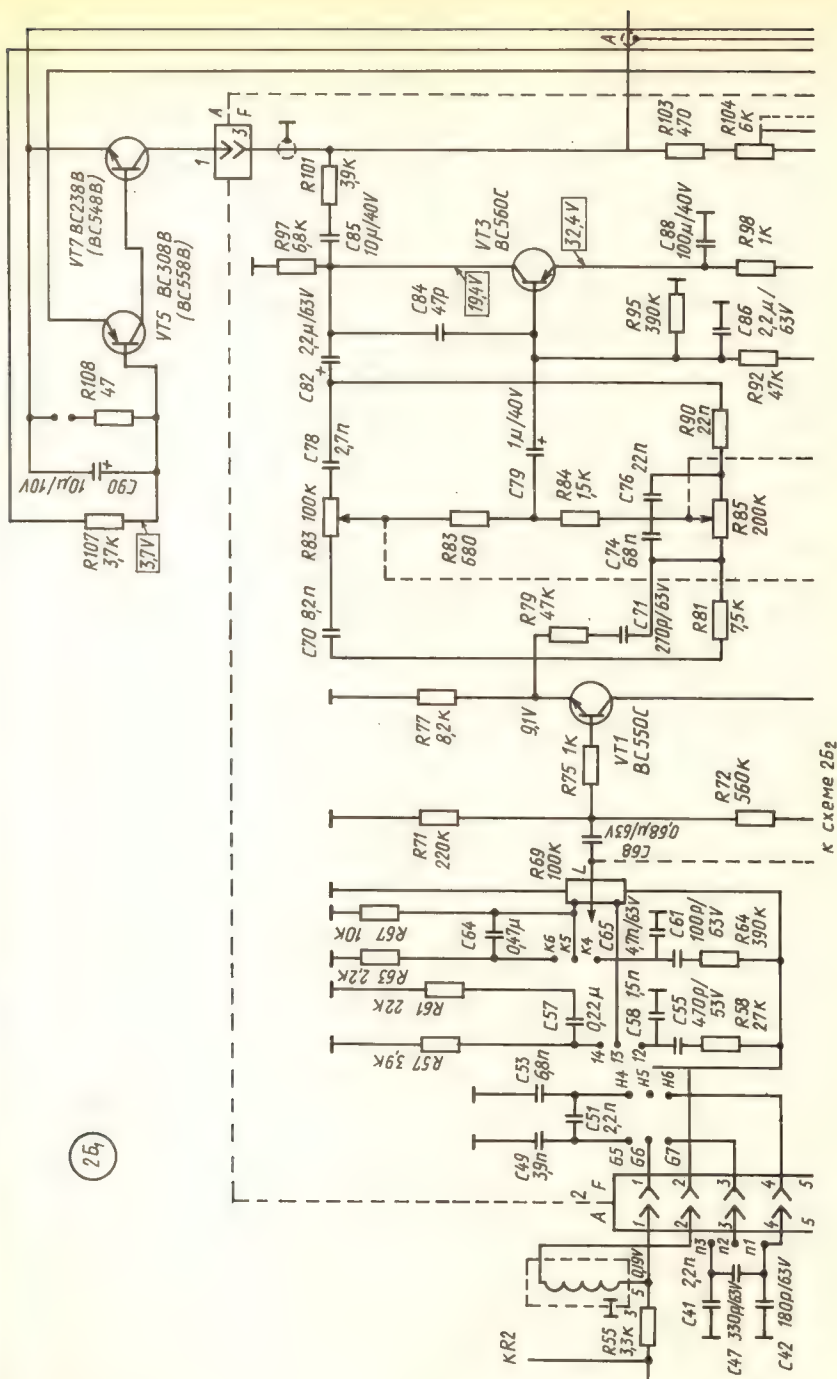


Рис. 2, а. Входные цепи, корректирующий усилитель левого и правого каналов



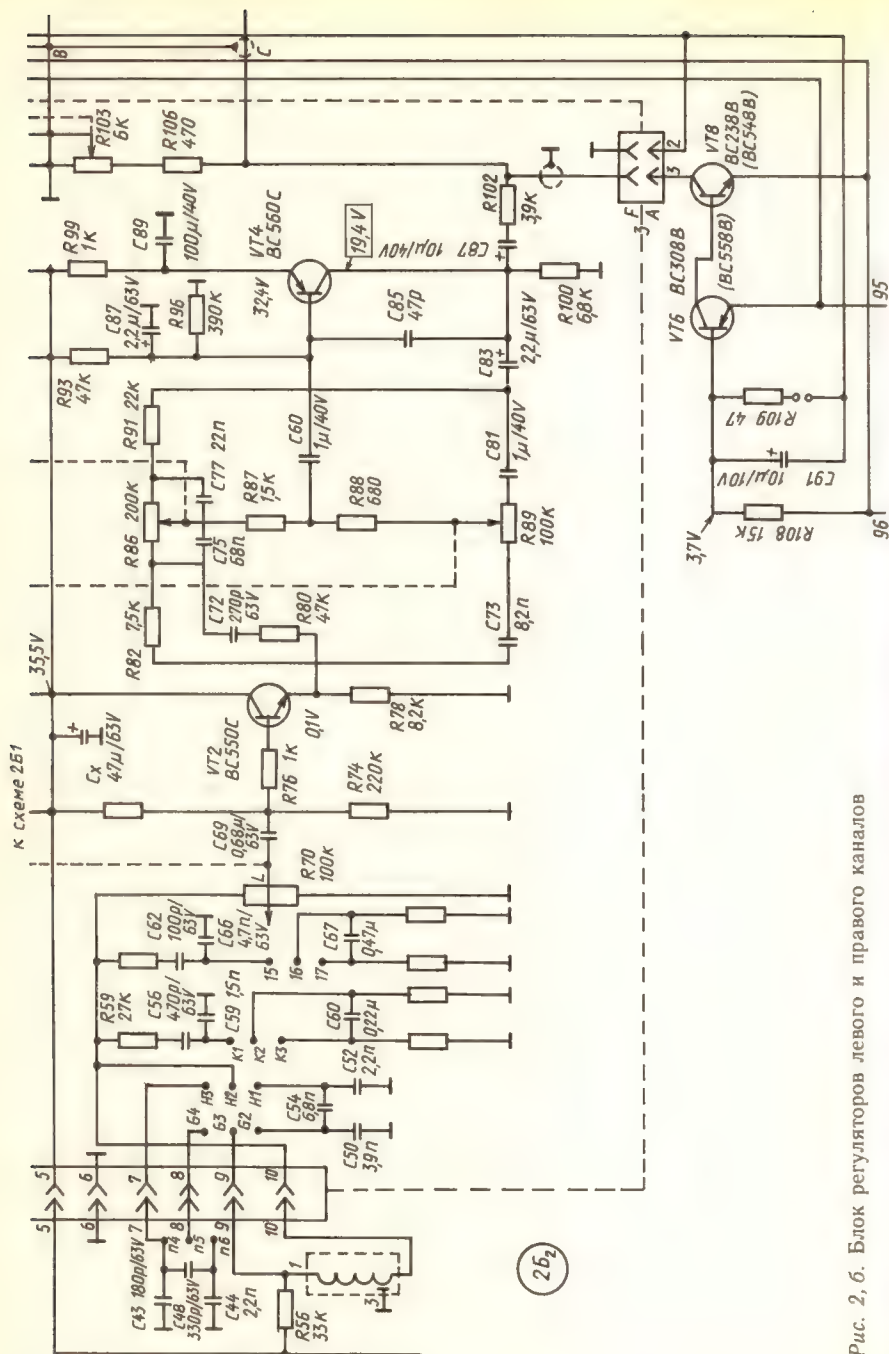
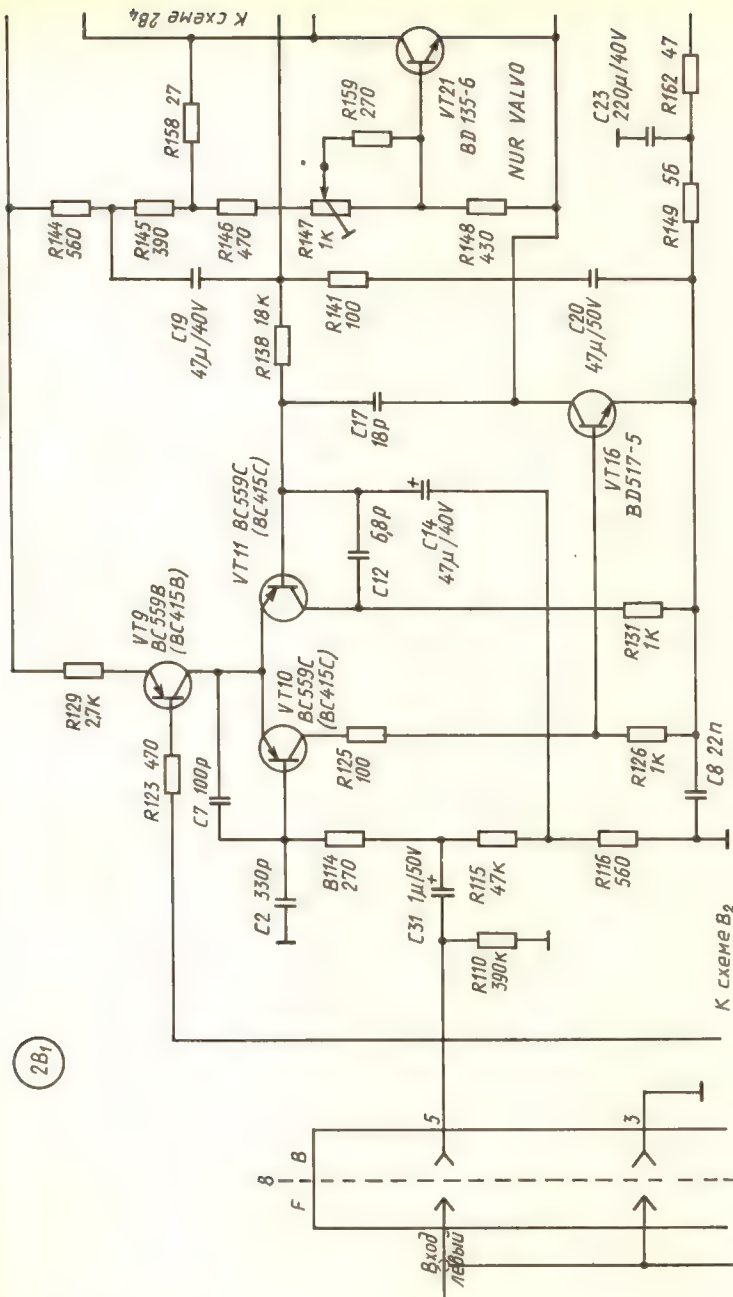
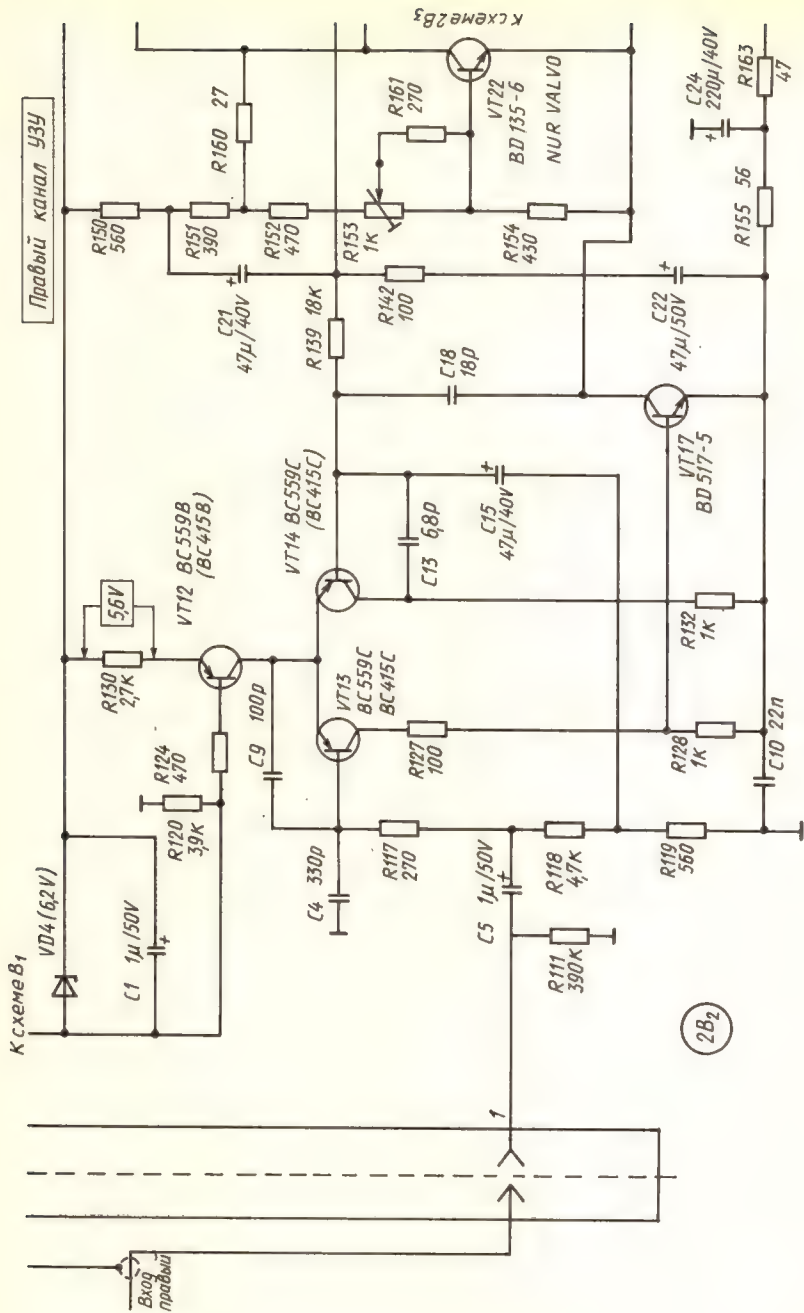


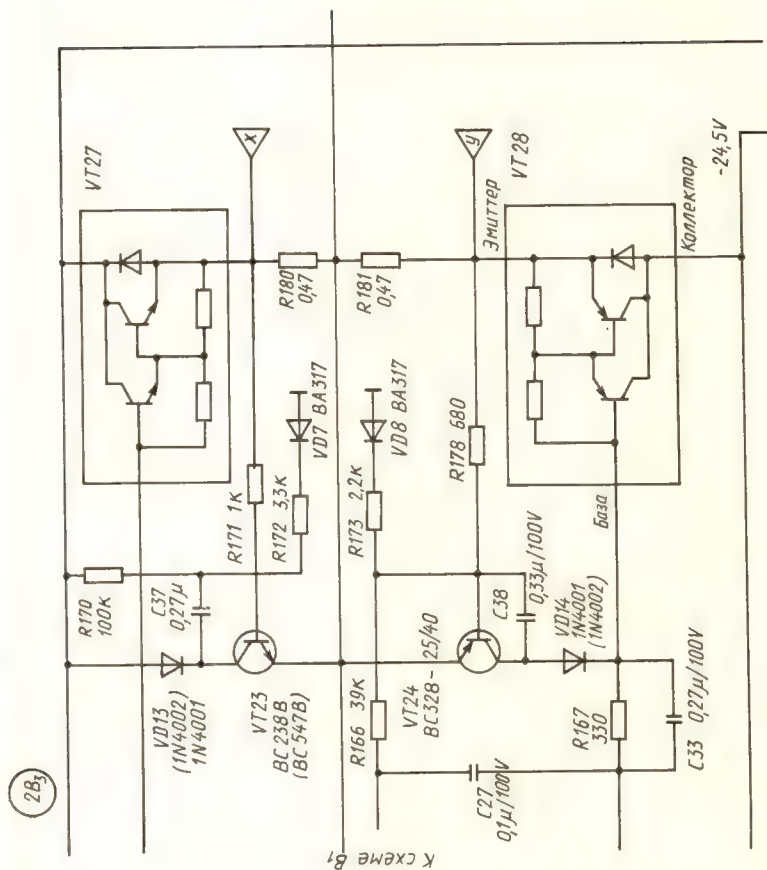
Рис. 2, б. Блок регуляторов левого и правого каналов

Левый канал УЗЧ

2B₁







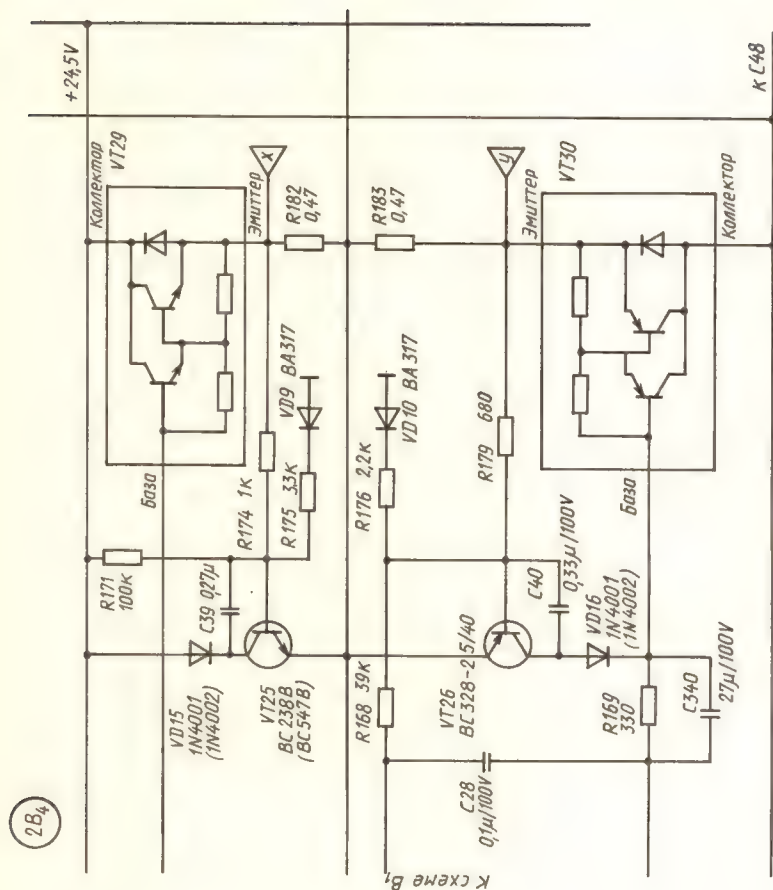


Рис. 2, в. Усилитель мощности левого и правого каналов

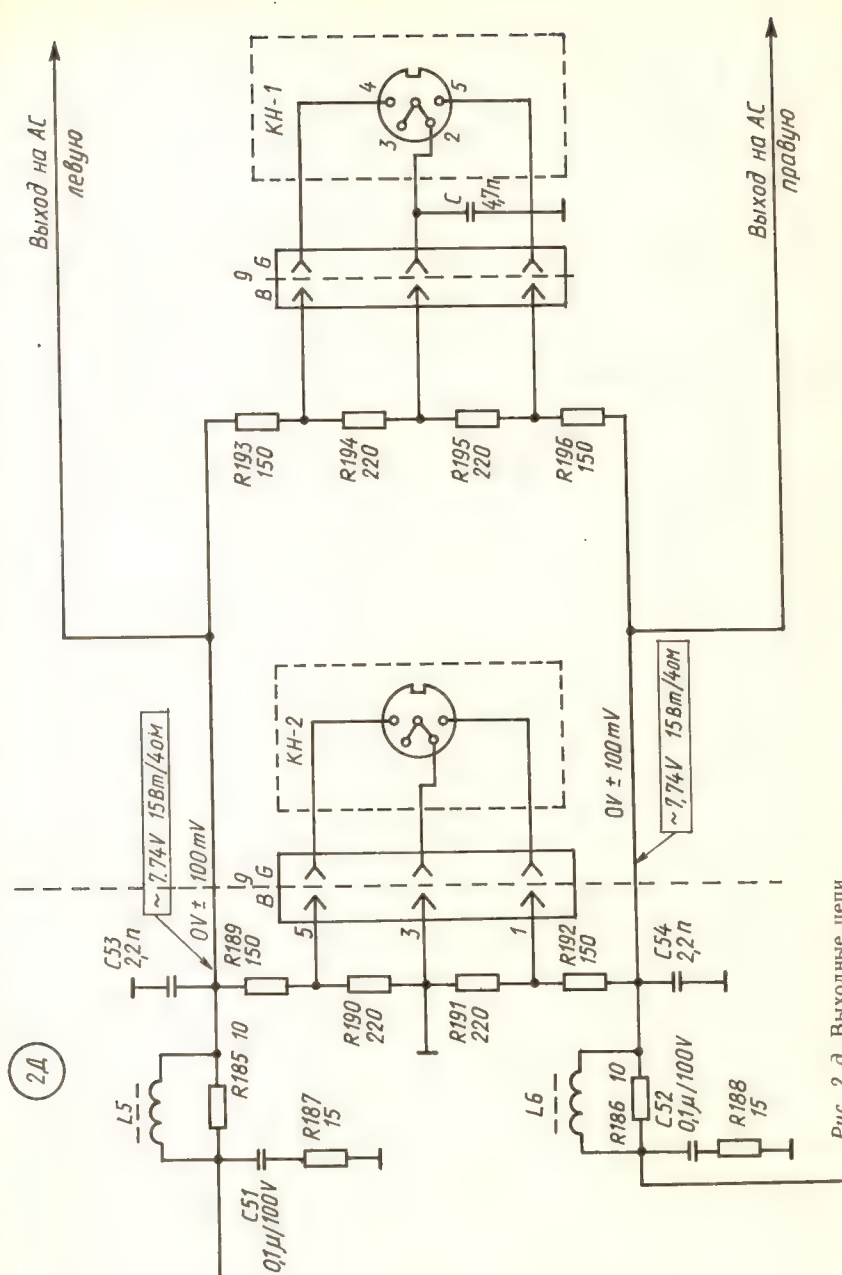


Рис. 2, д. Выходные цепи

3А ₁ Блок ВЧ-ПЧ(УКВ)	3Б ₁ Блок ПЧ	
3А ₂ Блок ВЧ-ПЧ	3Б ₂ Блок ПЧ (продолжение)	
3В Универсальные усилители левого и правого каналов магнитофона	3Г Предварительные усилители. Индикаторы уровня сигналов	3Д Усилитель мощности звуковой частоты
	3Е Генератор стирания и подмагничивания	3Ж Блок питания
3З Схемы переключателей	3И Схемы микросхем	

Рис. 3. Расположение блоков на принципиальной схеме магнитолы RM722

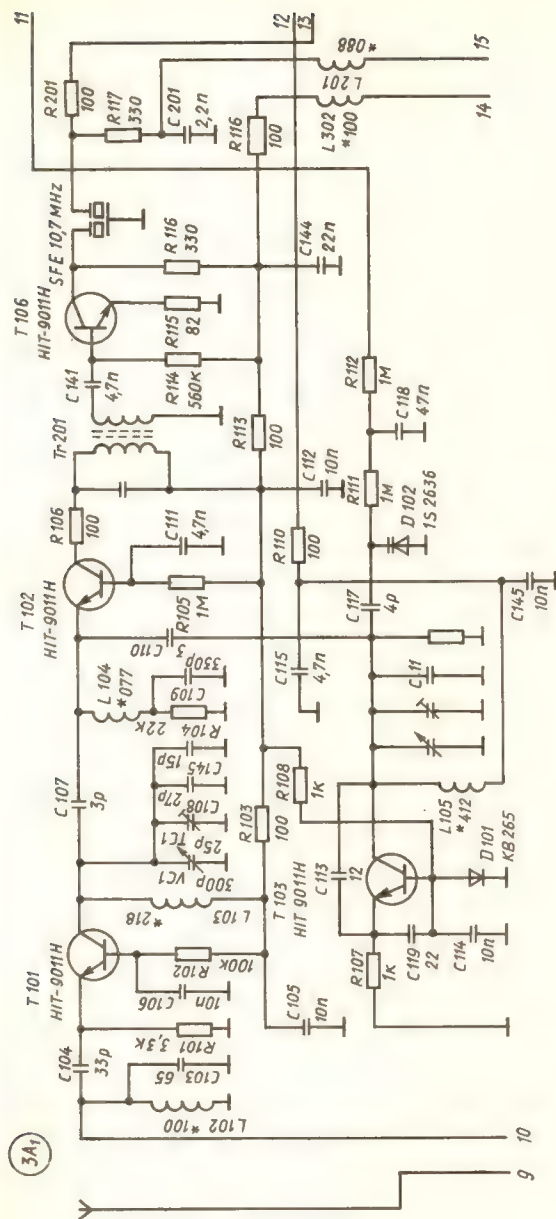
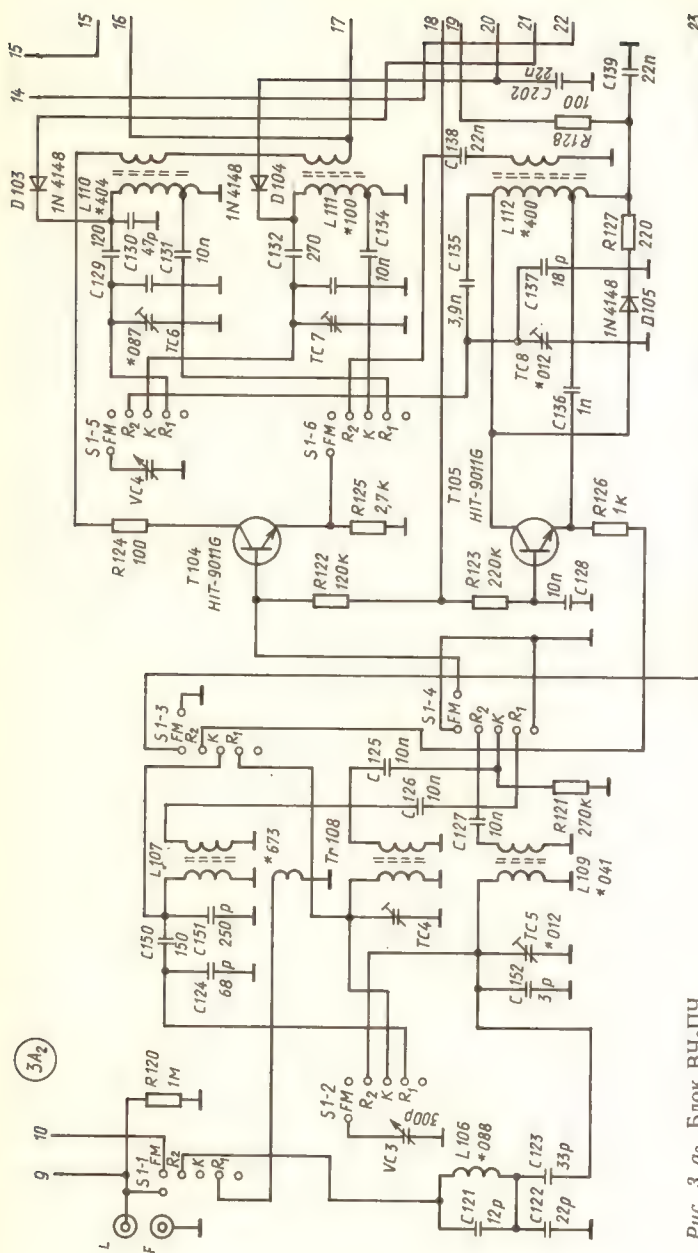


Рис. 3, а₁. Блок ВЧ-ПЧ (УКВ)

Рис. 3, а₂. Блок ВЧ-ПЧ

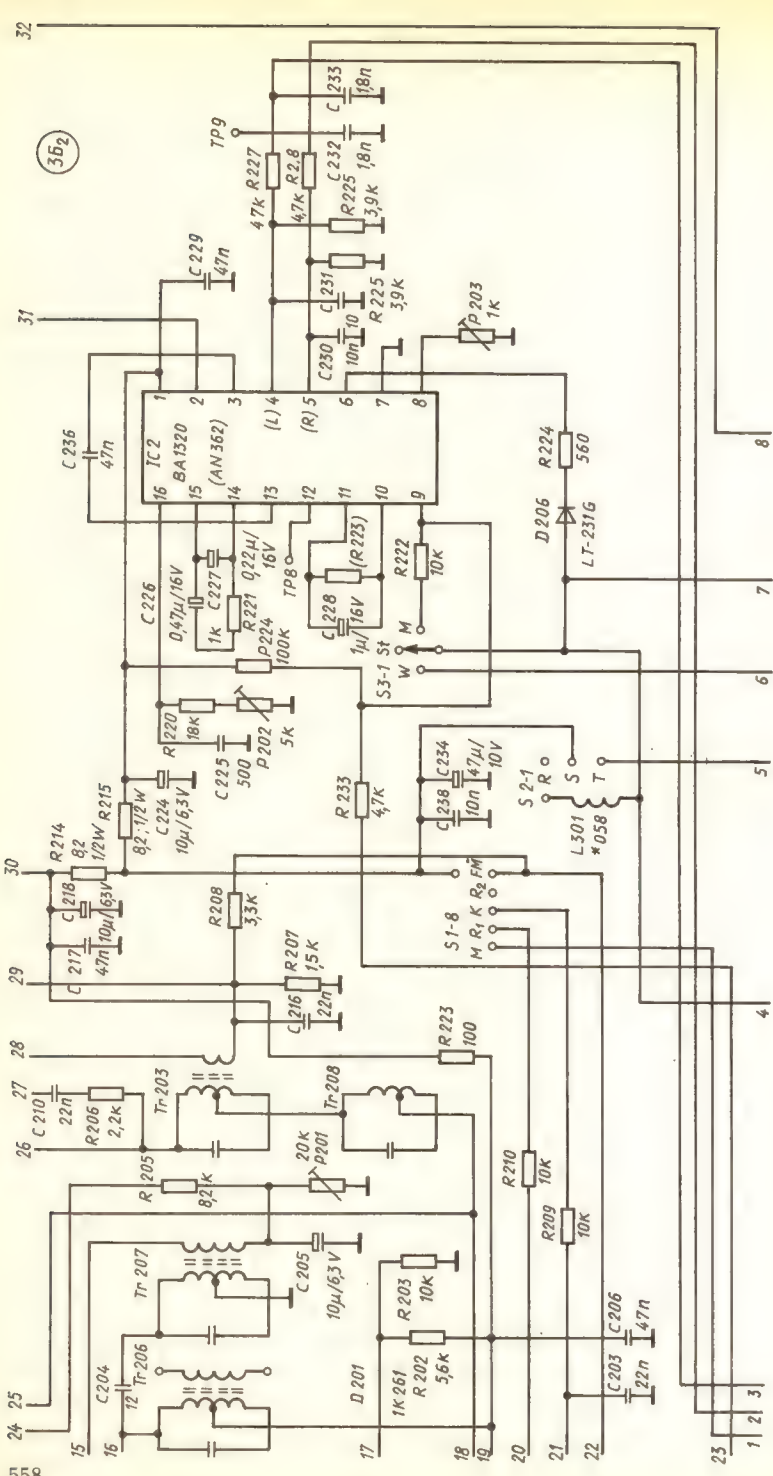


Рис. 3, б. Блок ПЧ (продолжение)

559

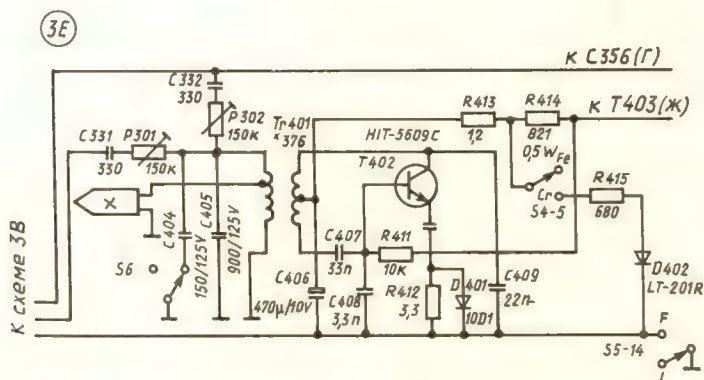
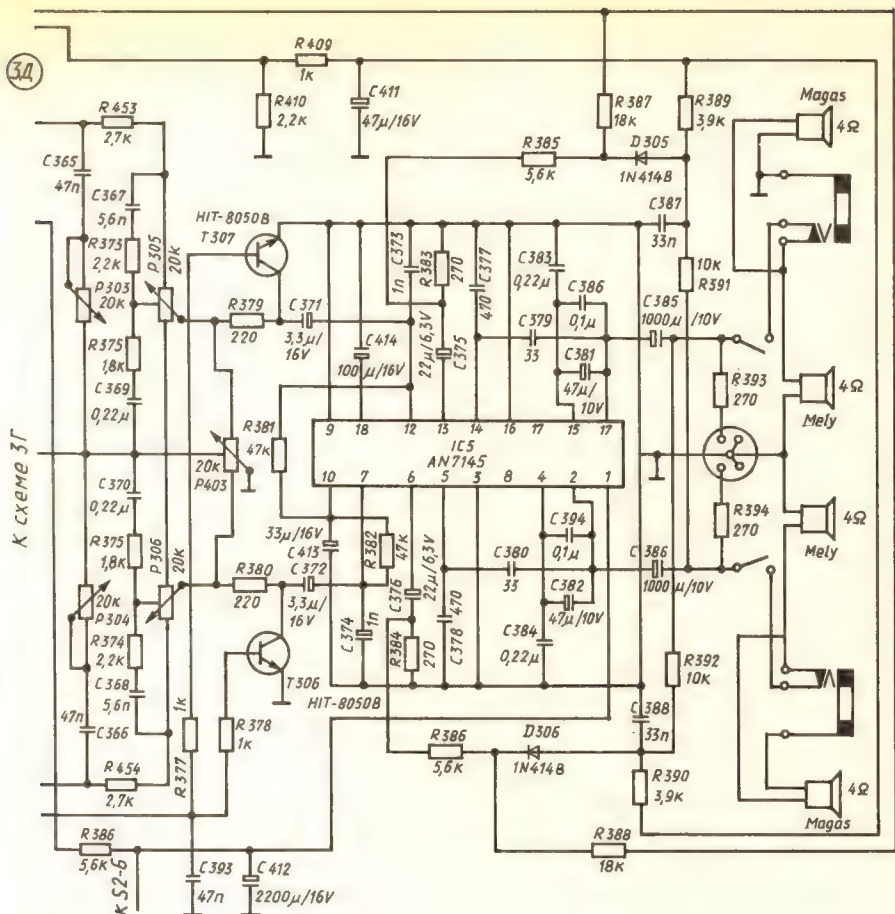
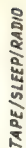
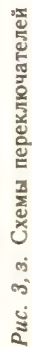




Рис. 3, ж. Блок питания



3И

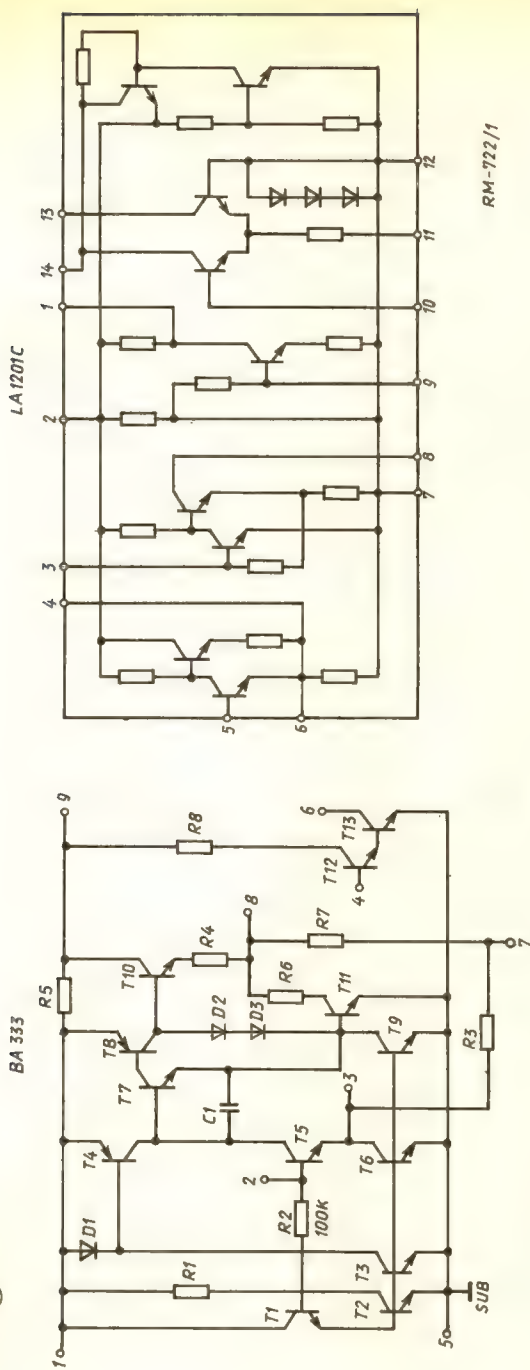


Рис. 3, и. Схемы микросхем

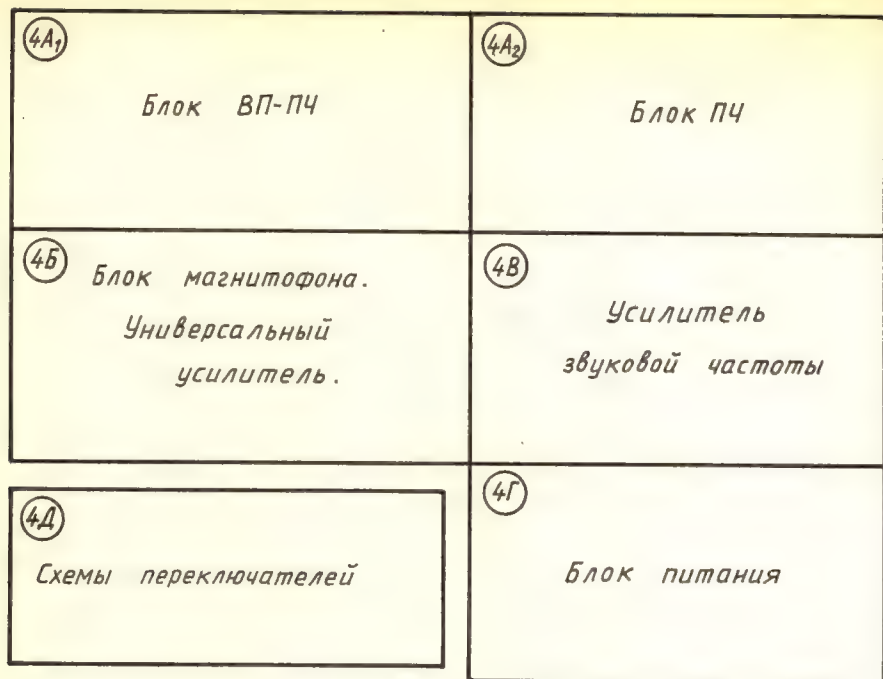


Рис. 4. Расположение блоков на принципиальной схеме магнитолы RM710

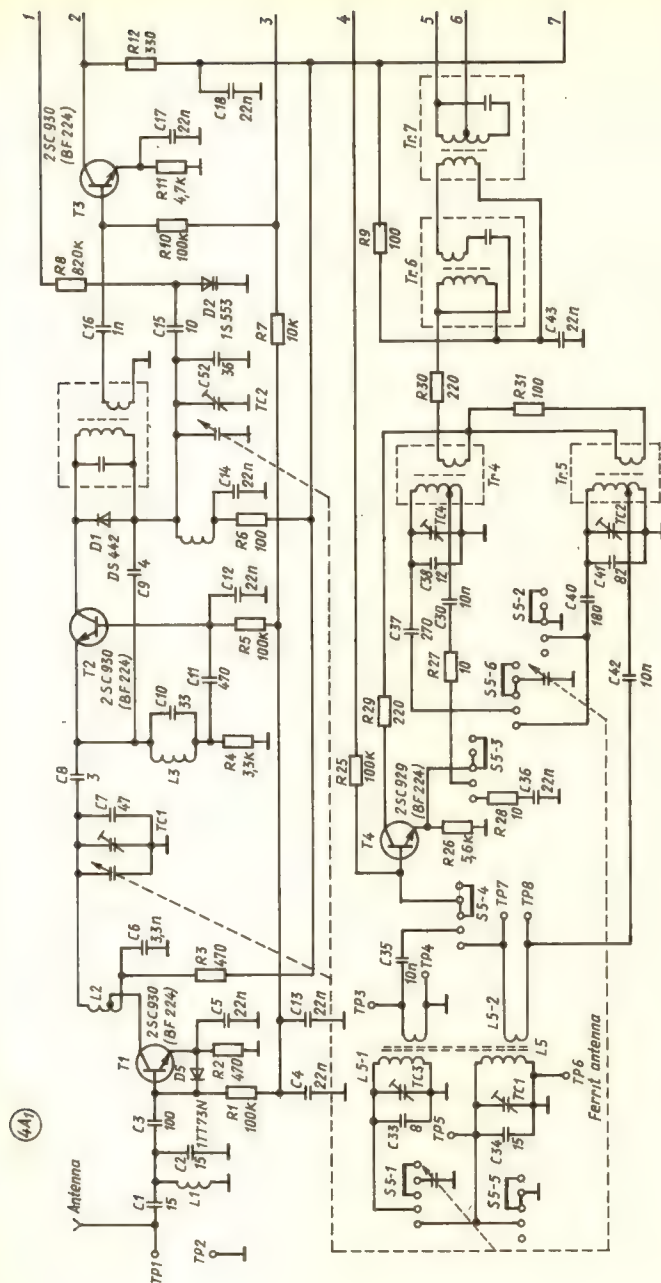
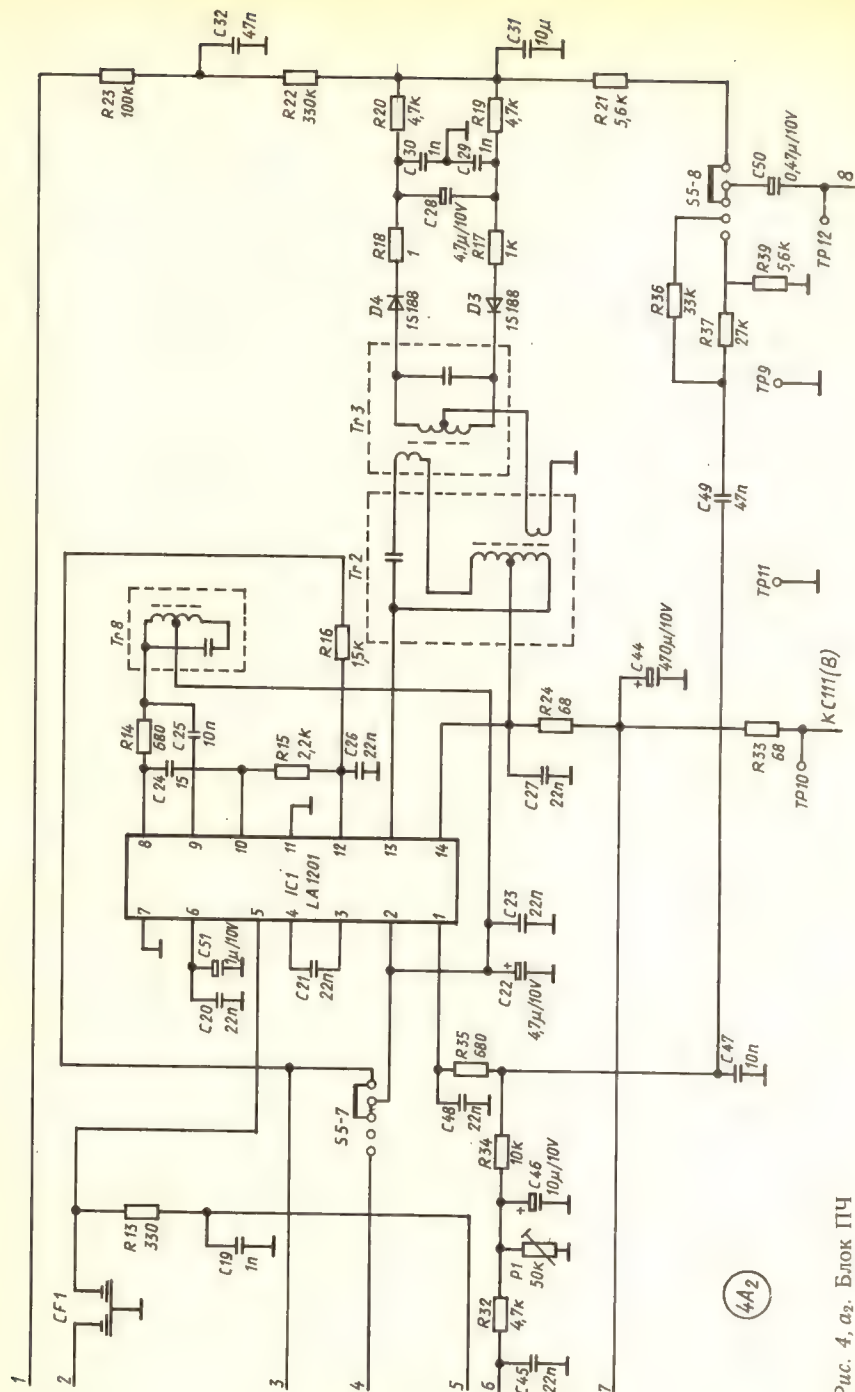


Рис. 4, а1. Блок ВЧ-ПЧ

Рис. 4, а₂. Блок ПЧ

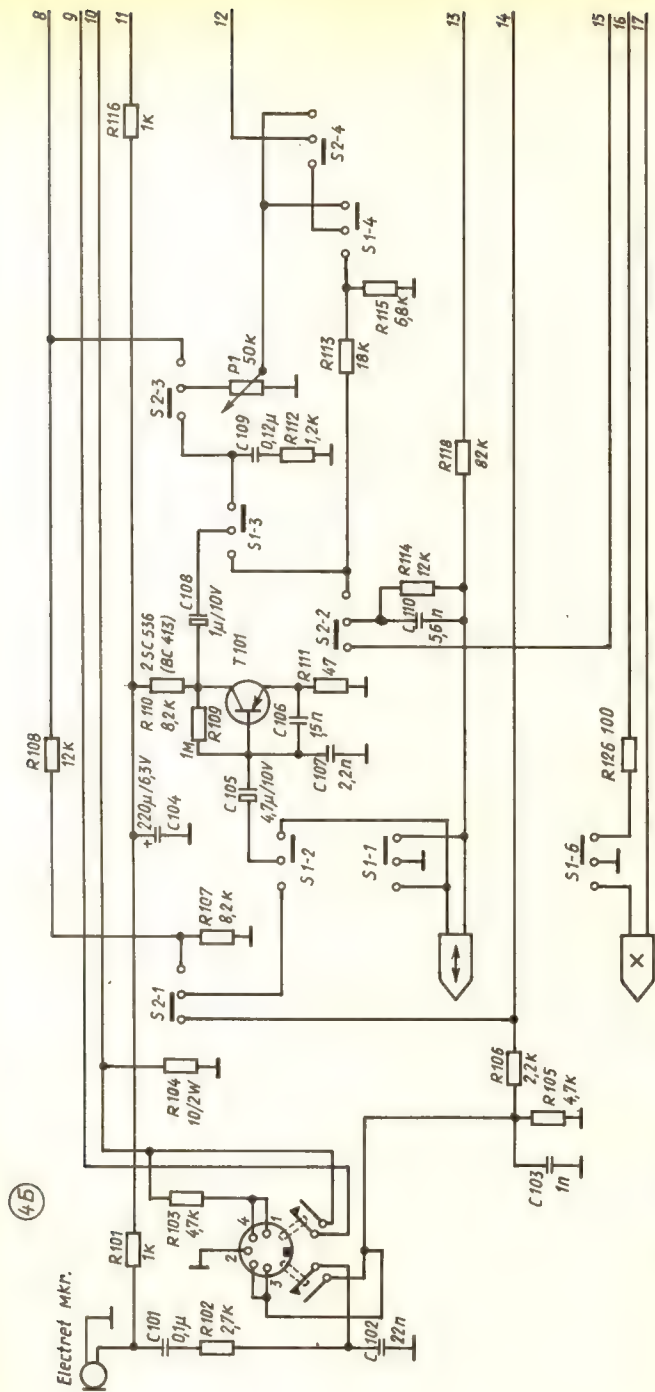


Рис. 4. б. Блок магнитофона. Универсальный усилитель

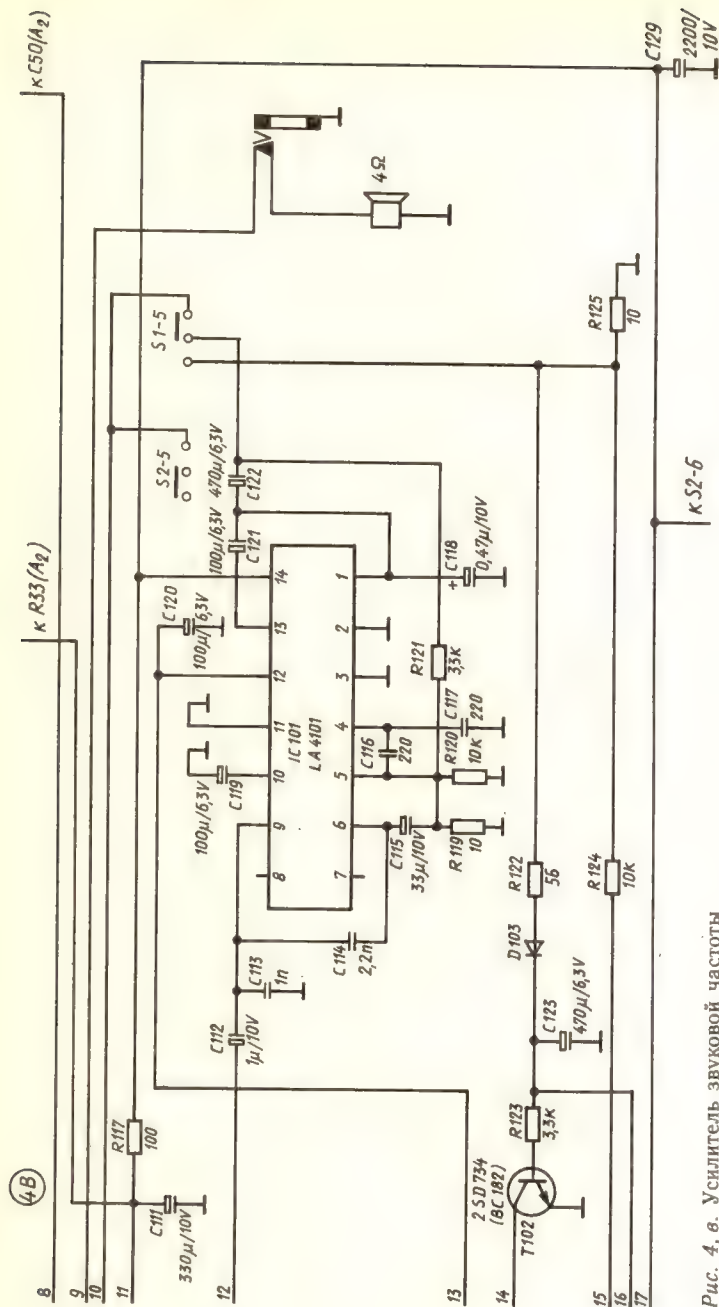


Рис. 4, в. Усилитель звуковой частоты

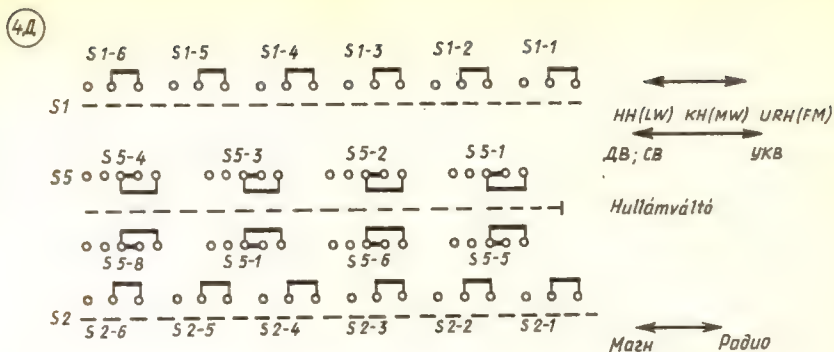


Рис. 4, д. Схемы переключателей

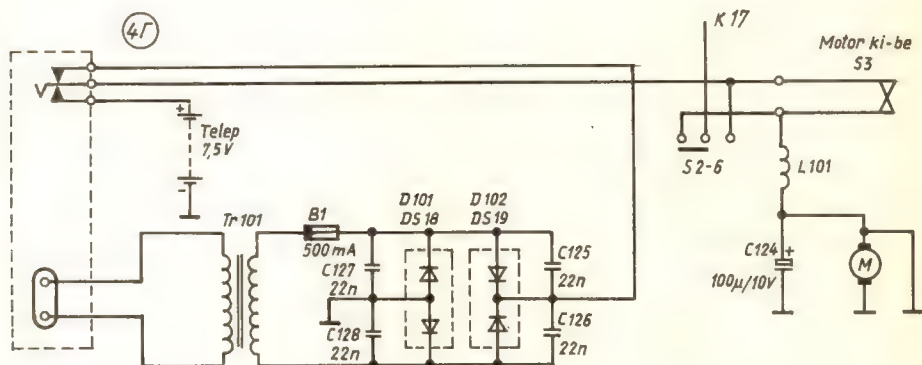


Рис. 4, г. Блок питания

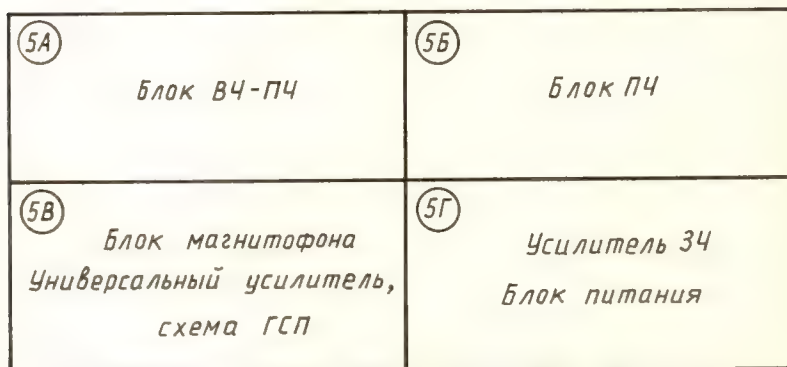


Рис. 5. Расположение блоков на принципиальной схеме магнитола MRH5001H

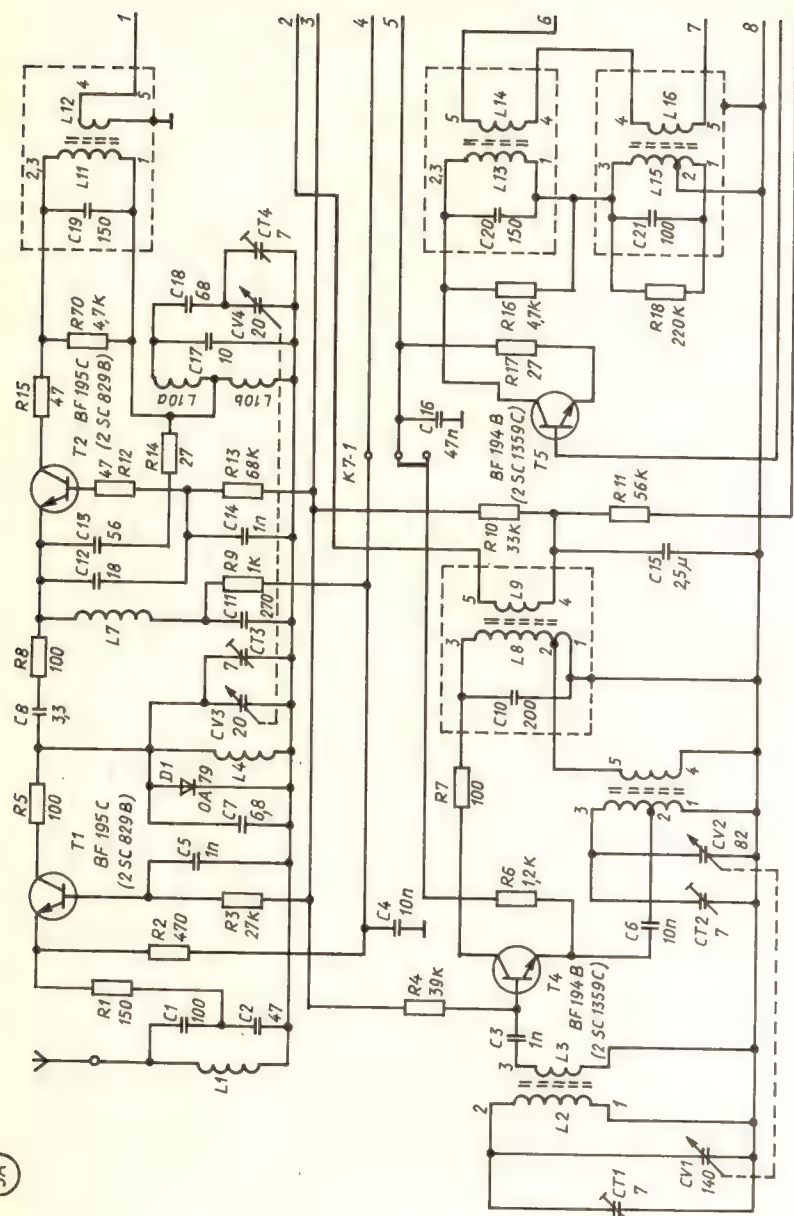


Рис. 5, а. Блок ВЧ-ПЧ

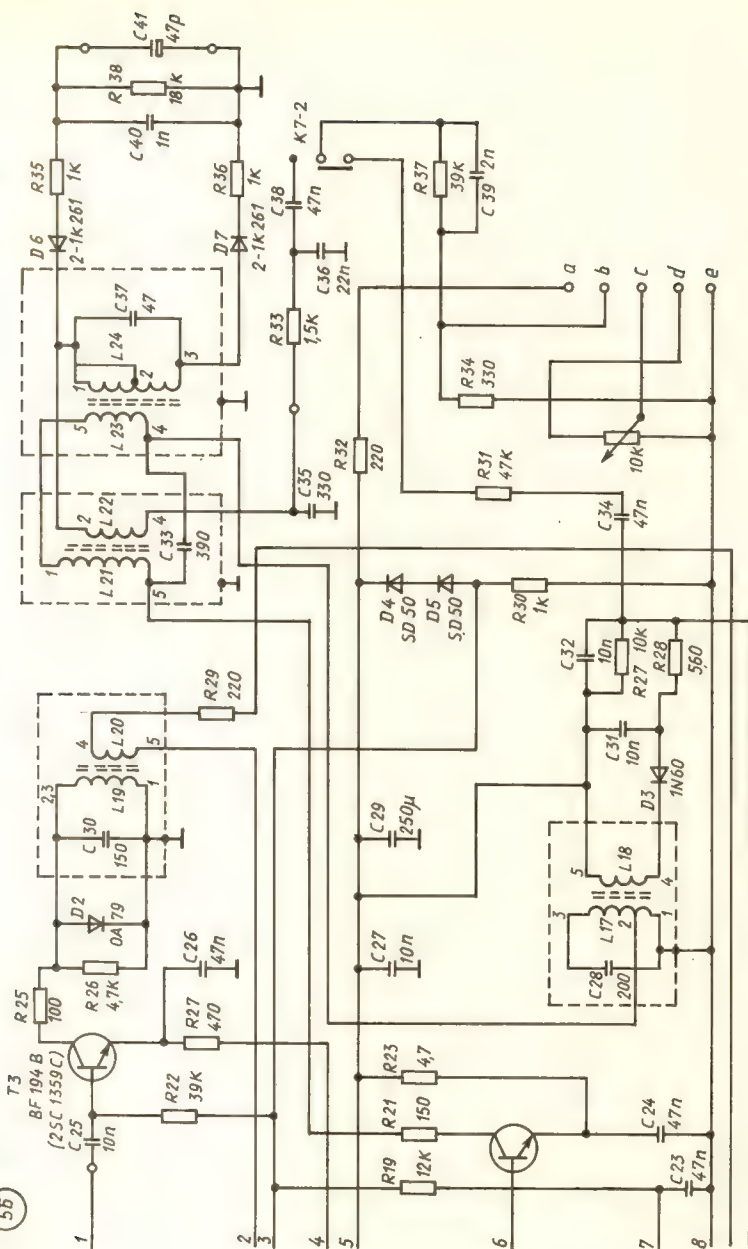


Рис. 5, б. Блок ПЧ

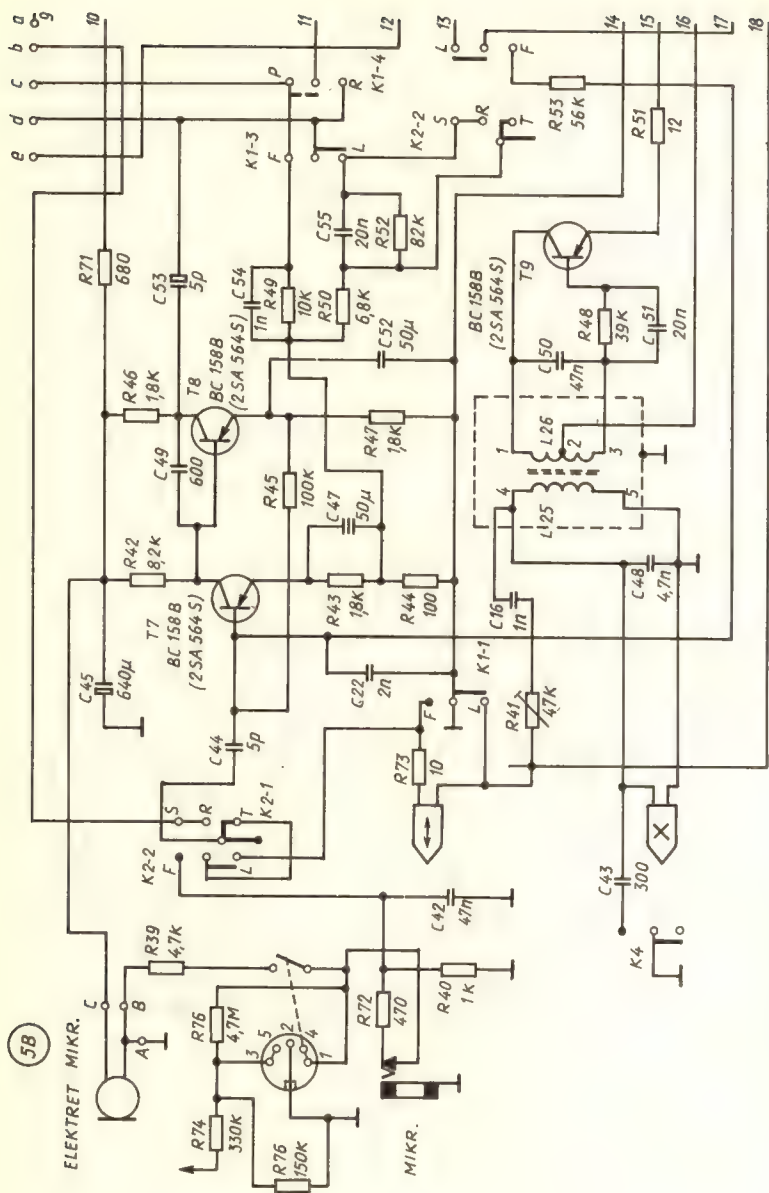


Рис. 5, в. Блок магнитофона. Универсальный усилитель, схема ГСП

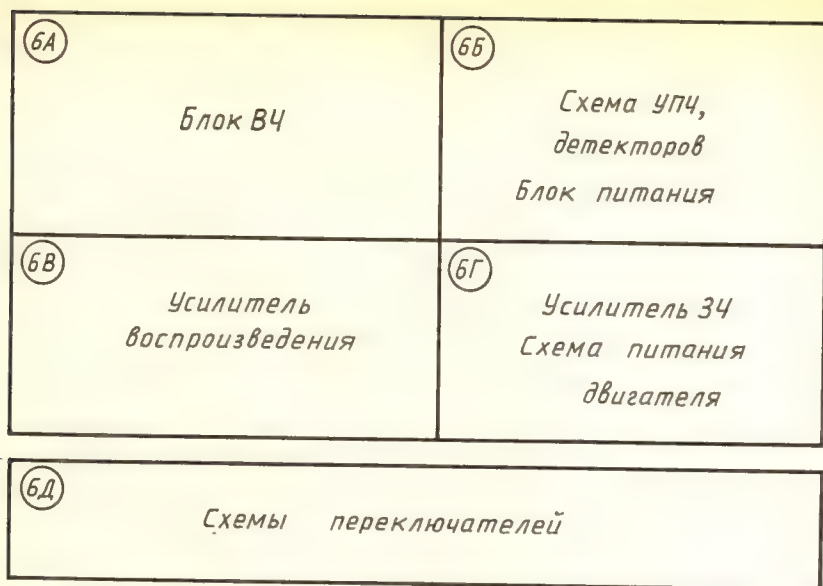


Рис. 6. Расположение блоков на принципиальной схеме магнитолы RX-145OW

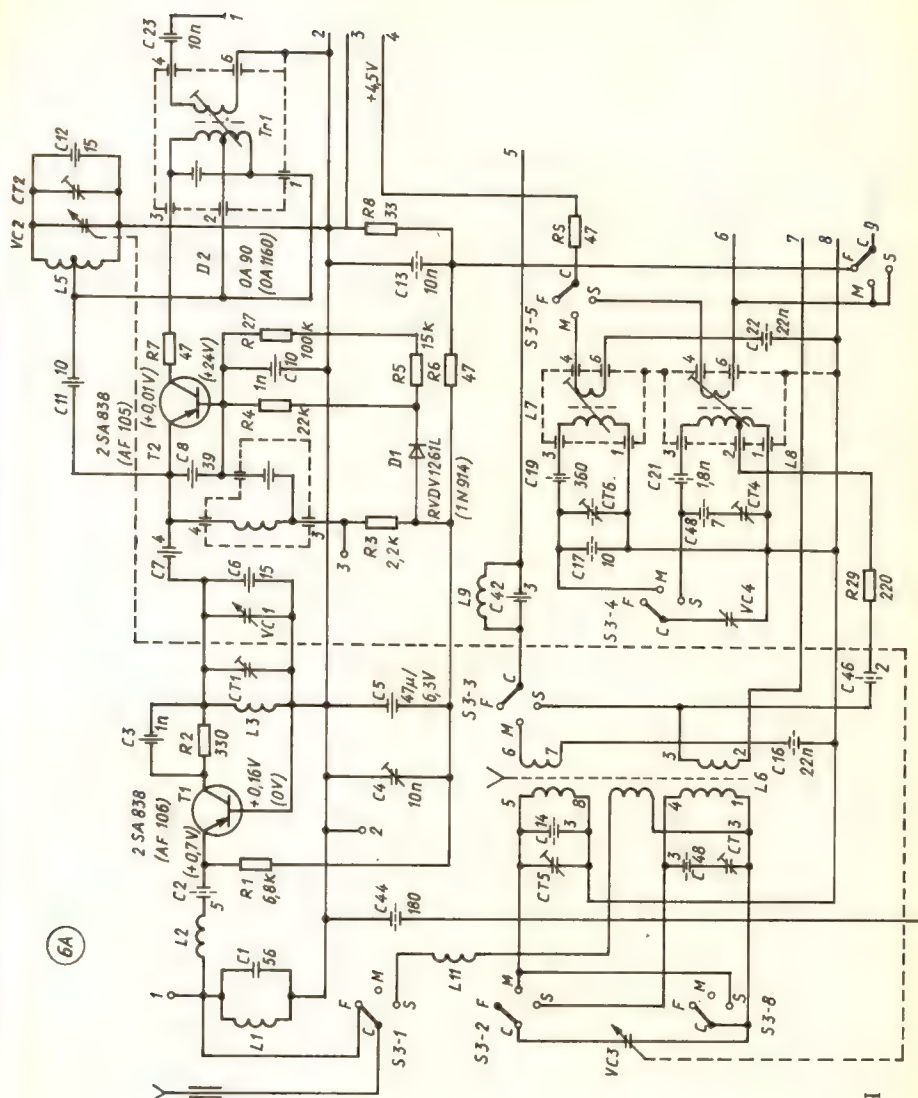


Рис. 6, а. Блок ВЧ

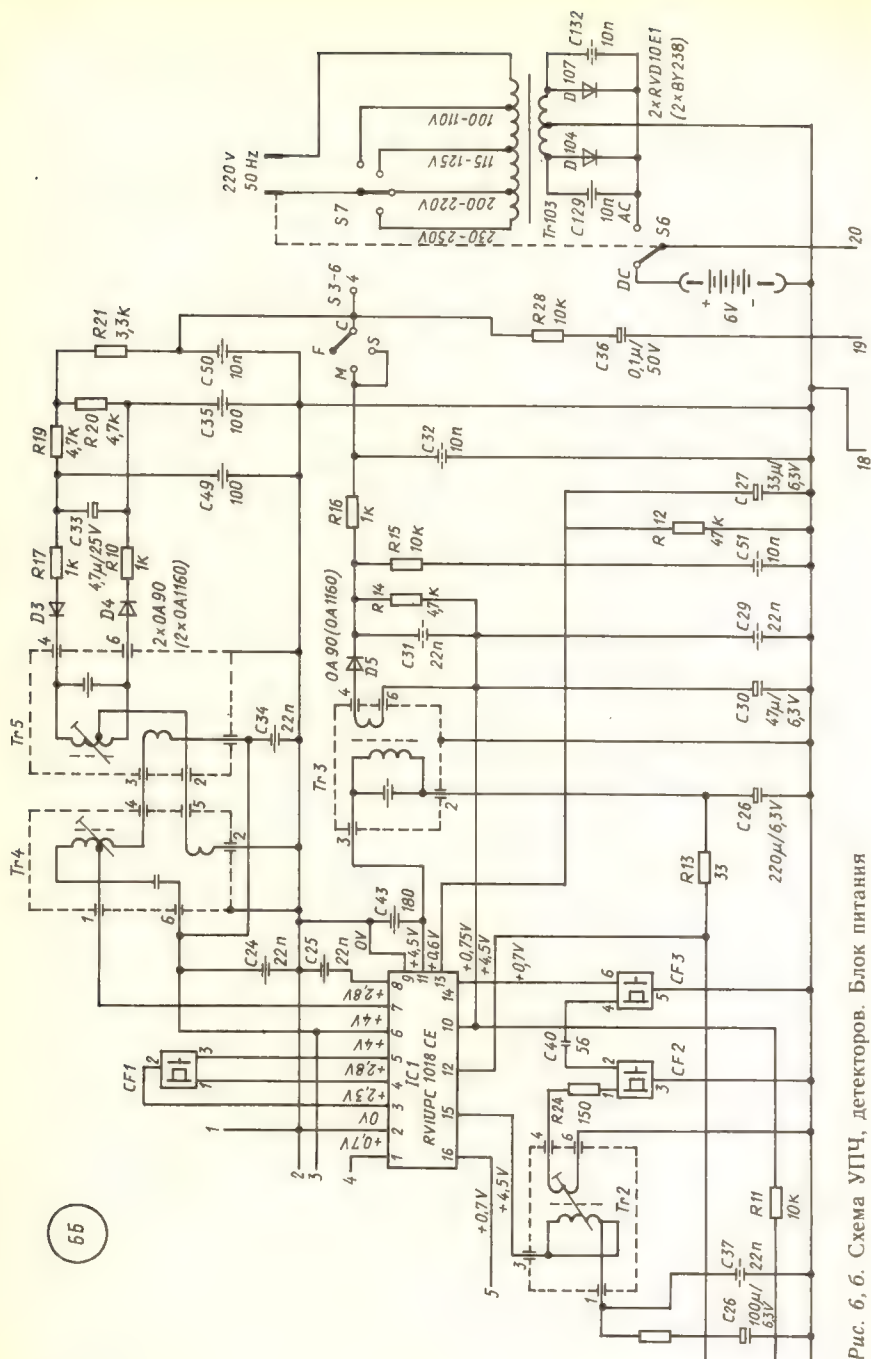


Рис. 6, б. б. Схема УПЧ, детекторов. Блок питания

68

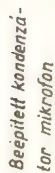


Рис. 6, в. Усилитель воспроизведения

64.

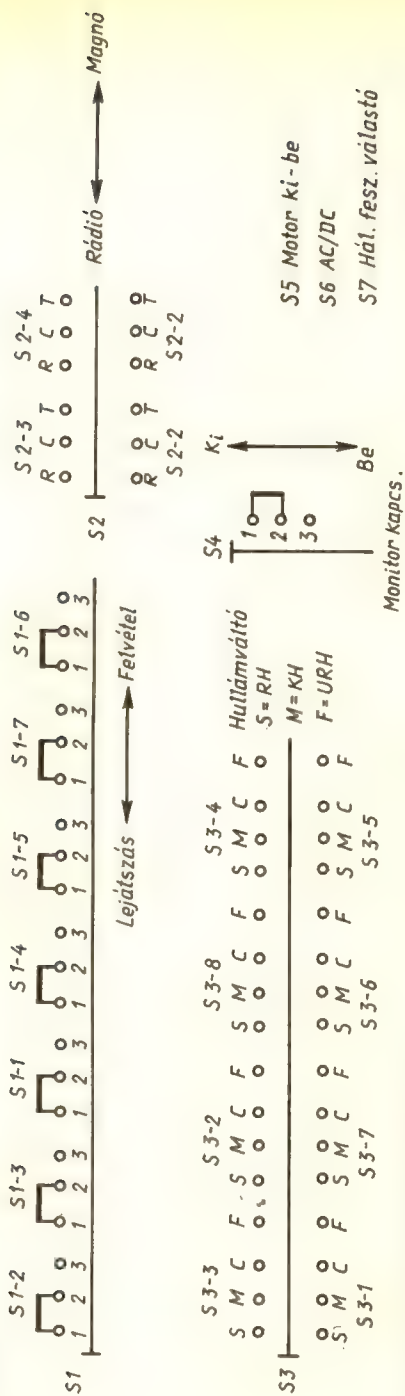


Рис. 6, д. Схемы переключателей

УСИЛИТЕЛЬНЫЙ БЛОК

7А Входные цепи. Линейные выходы (левый канал)	7Б Микрофонный усилитель линейного входа (левый канал)	7В Цепи регуляторов уровня записи, подмагничивания, телефонный усилитель (левый канал)
7Г Корректирующие усилители	7Д Цепи регулировки выхода. Индикаторы уровня	
	7Ж Схема ГСП	
7Е Цепи под-ключения тайме-ра, переключатели	7З Блок головок	

БЛОК УПРАВЛЕНИЯ

7И Блоки питания разных вариантов	7К Схема управления двигателем	
7Л Схема управления реверсом	7М Схемы коммутации электромагнитов, режимов работы и двигателей	
7Н Схема блока управления механикой	7О Таймер схемы	О ₁
		О ₂

Рис. 7. Расположение блоков на принципиальной схеме катушечного магнитофона-приставки «АКАИ GX646»

Цоколевка транзисторов



2SC 458L

2SC 945

2SC 1844

2SA 733

2SC 536K

2SC 945L



2SC 1312

2SC 2130



2SB 764

2SD 864



2SB 856

2SC 1061



2SC 2603



2SB 605

2SD 0571



2SD 794

Режимы транзисторов схем

REC MODE

*		3-3/4 in		7-1/2 in	
		NORMAL	EE	NORMAL	EE
TR4	База	0,2V	0,6V	0,2V	0,2V
	Коллектор	0V	0V	0V	0V
TR5	Кол.	10,3V	12,7V	12,5V	16,7V
TR6	Кол.	9,7V	12,2V	11,9V	16,2V
TR7	База	10,3V	12,7V	12,5V	16,7V
	Кол.	21,2V	21,2V	21,2V	21,2V
TR8,9	Эмиттер	0,3V	0,3V	0,3V	0,4V
TR26	База	0,2V	0,2V	0,3V	0,6V
	Кол.	0V	0V	0V	0V
L3	①...③	0,6V	0,6V	0,6V	0,6V
	④...⑥	9,7V	12,1V	11,9V	16,1V
	⑨	65,0VAC	83,4VAC	82,1VAC	112,7VAC

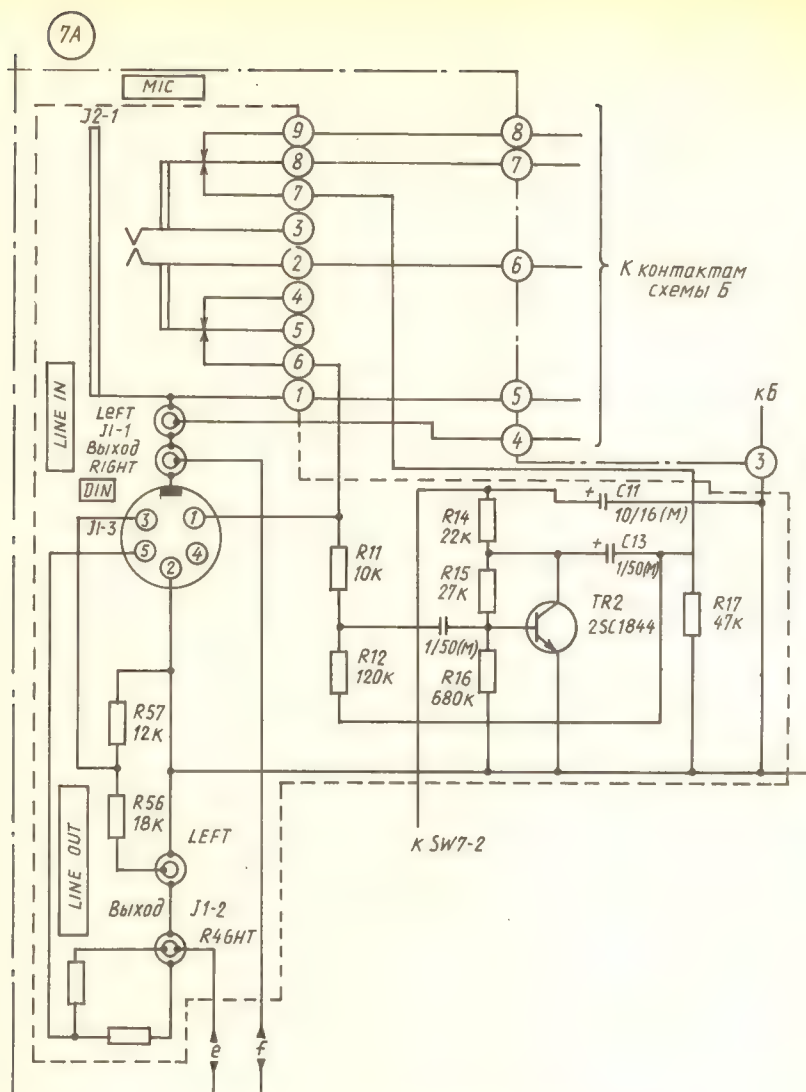


Рис. 7, а. Входные цепи. Линейные выходы (левый канал)

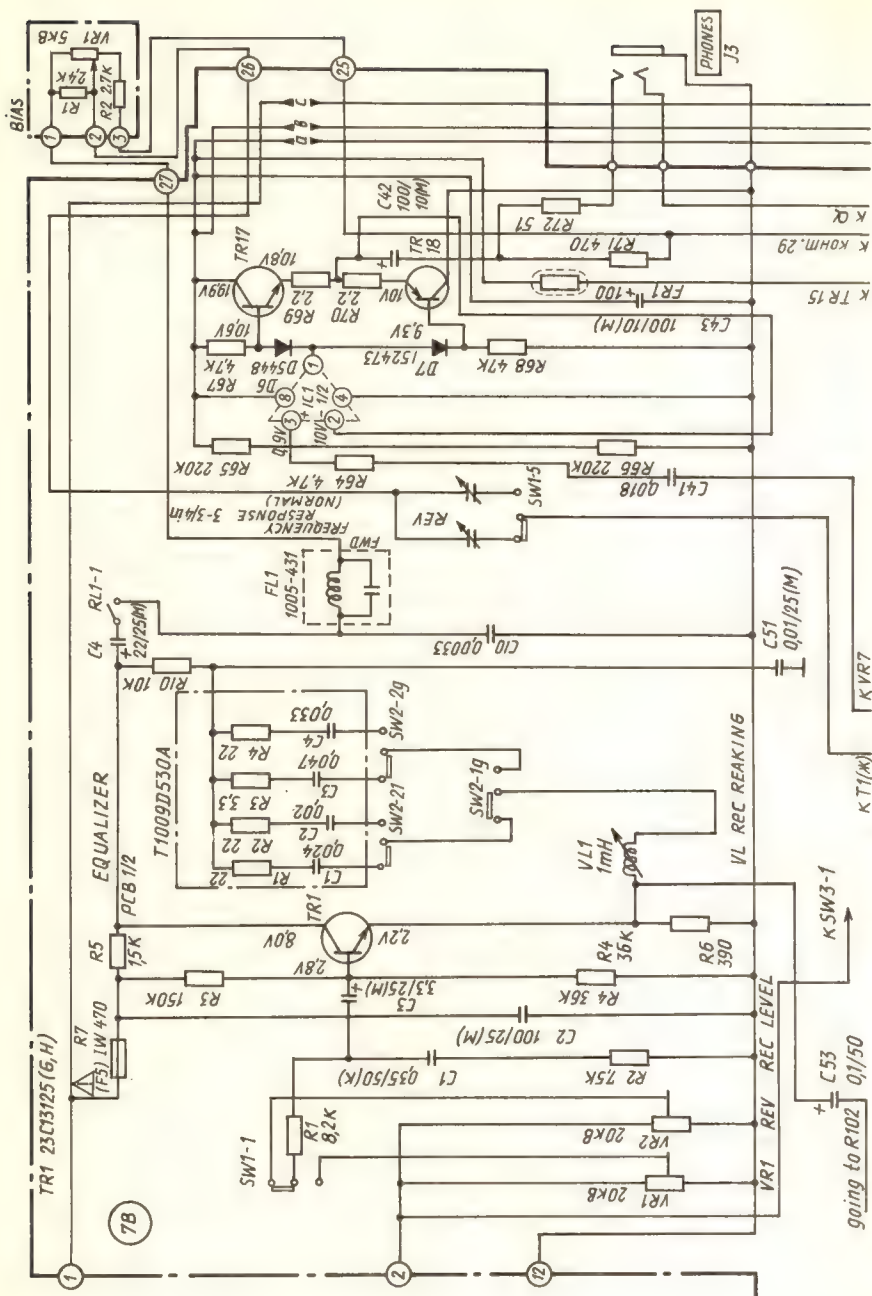


Рис. 7, в. Цели регуляторов уровня записи, подмагничивания, телефонный усилитель

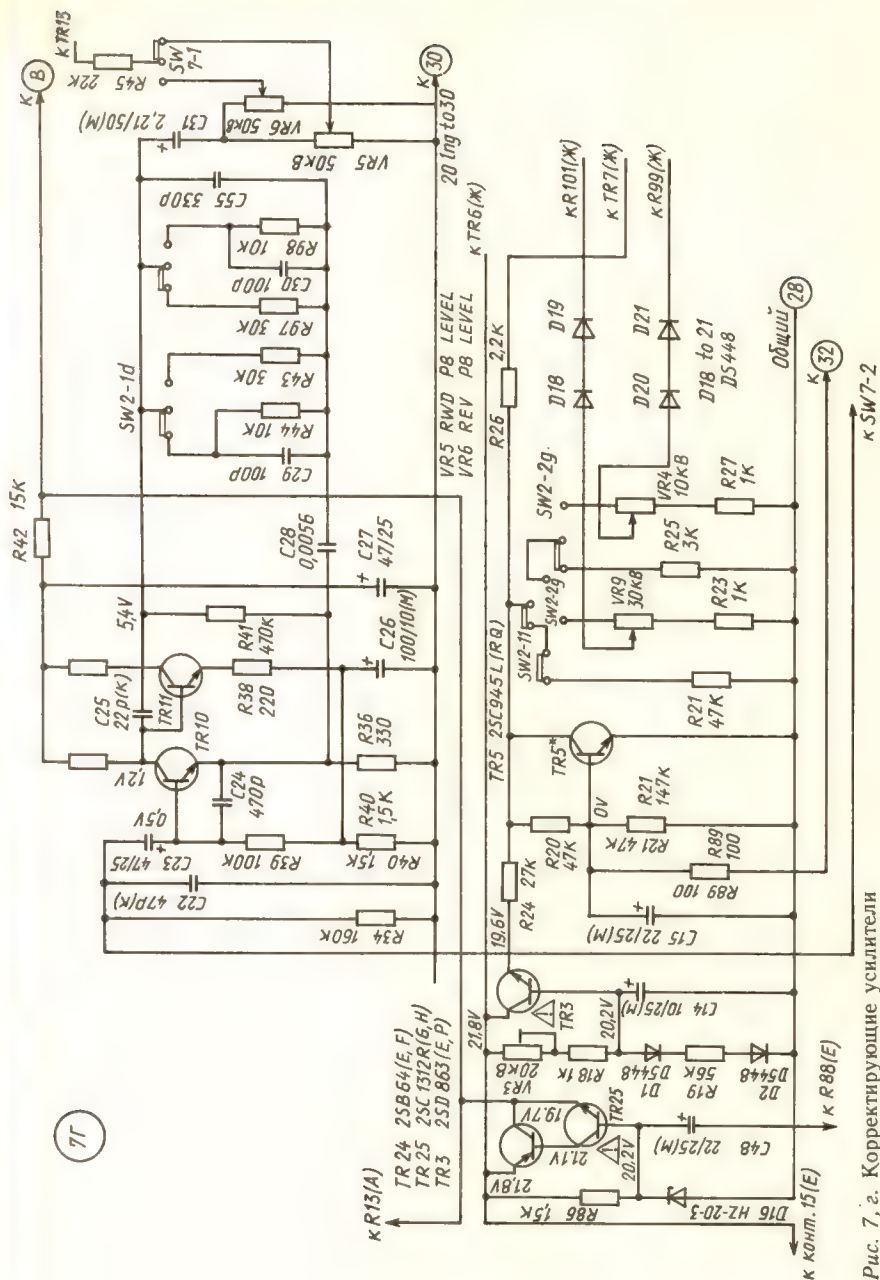
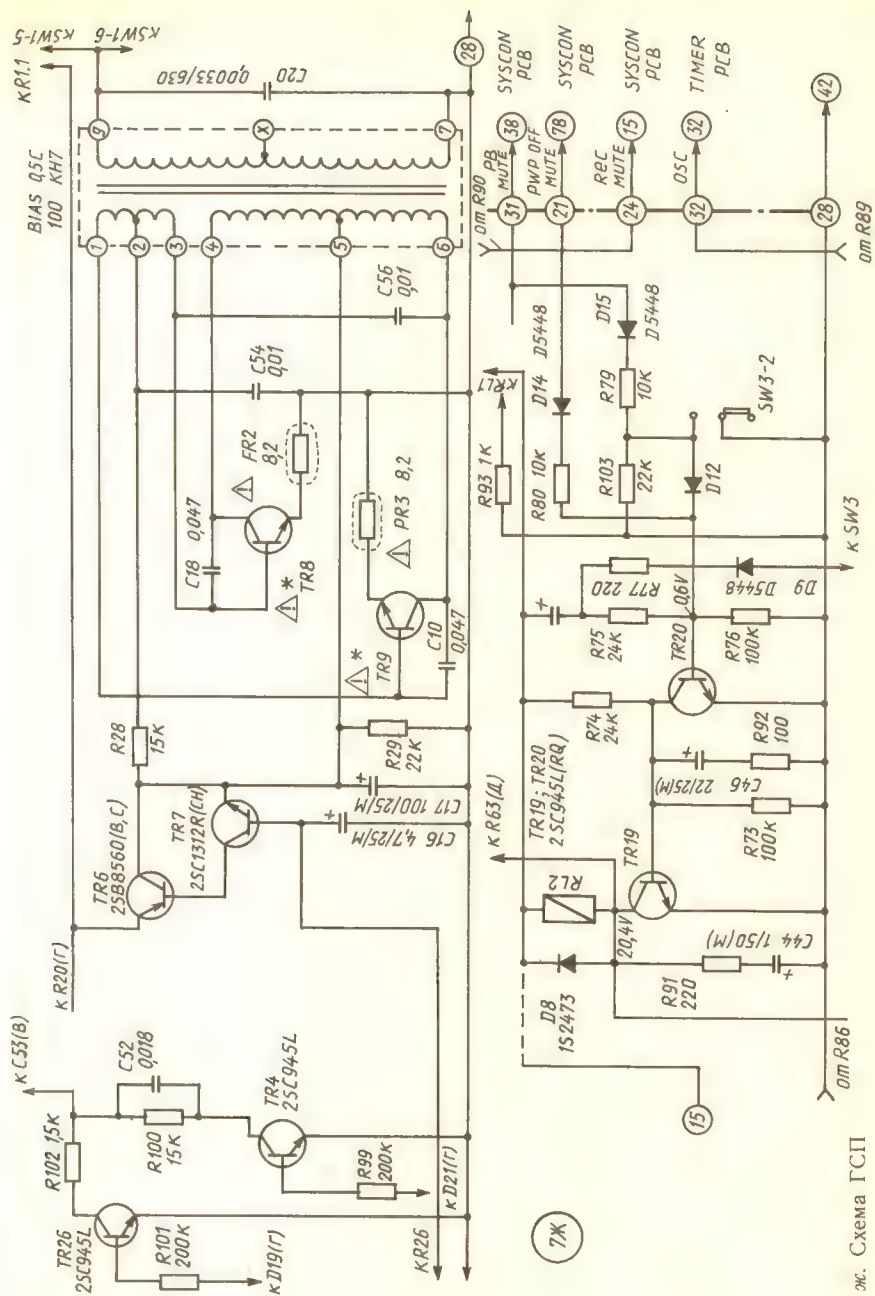


Рис. 7. а. Корректирующие усилители



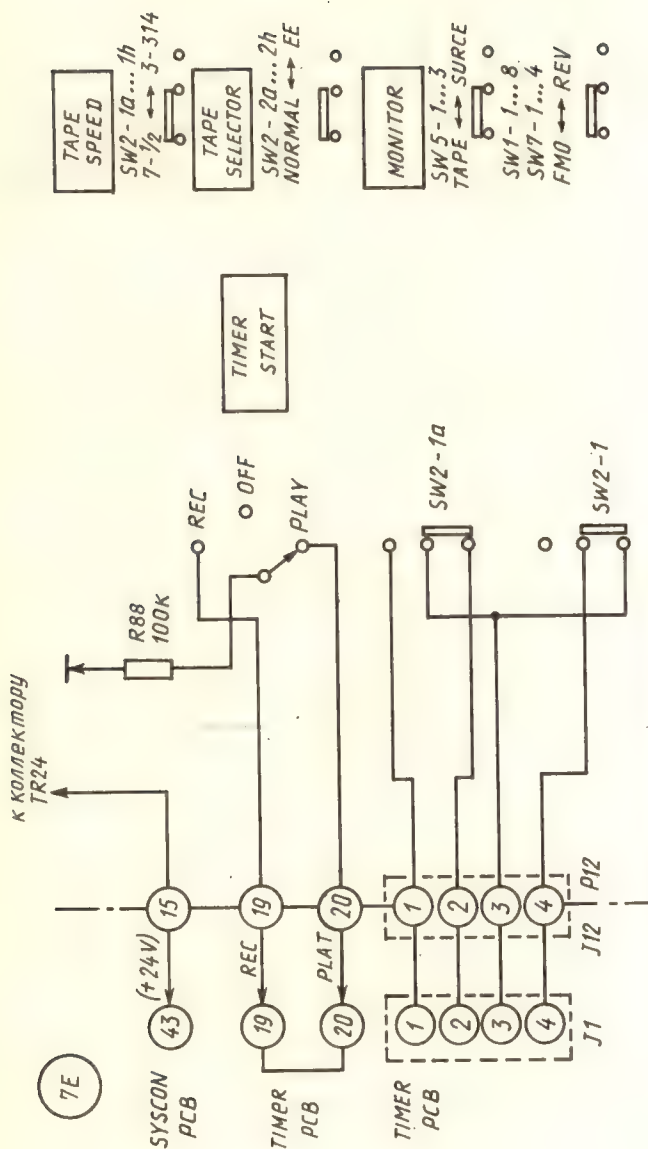


Рис. 7, е. Цепи подключения таймера, переключатели

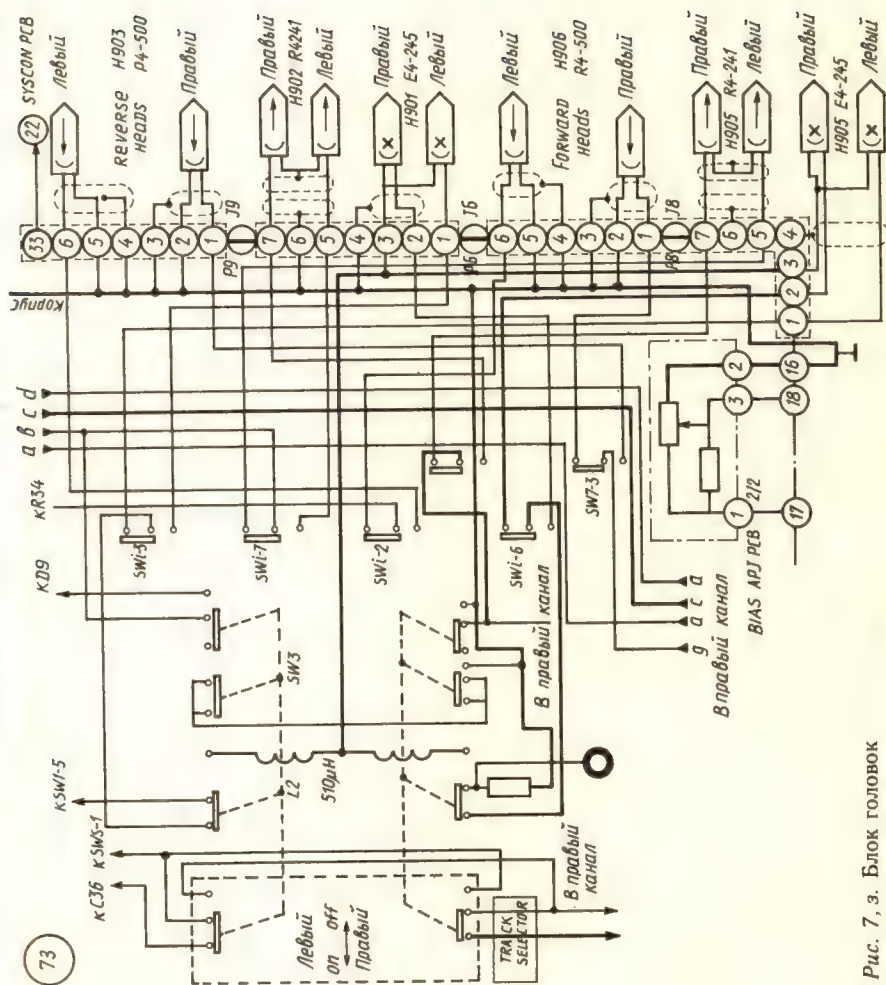


Рис. 7, з. Блок головок

PRE AMP PCB

7K₁

7-1/21

SW2-1

TIMER PCB

TAPE
SPEED

3-3/41

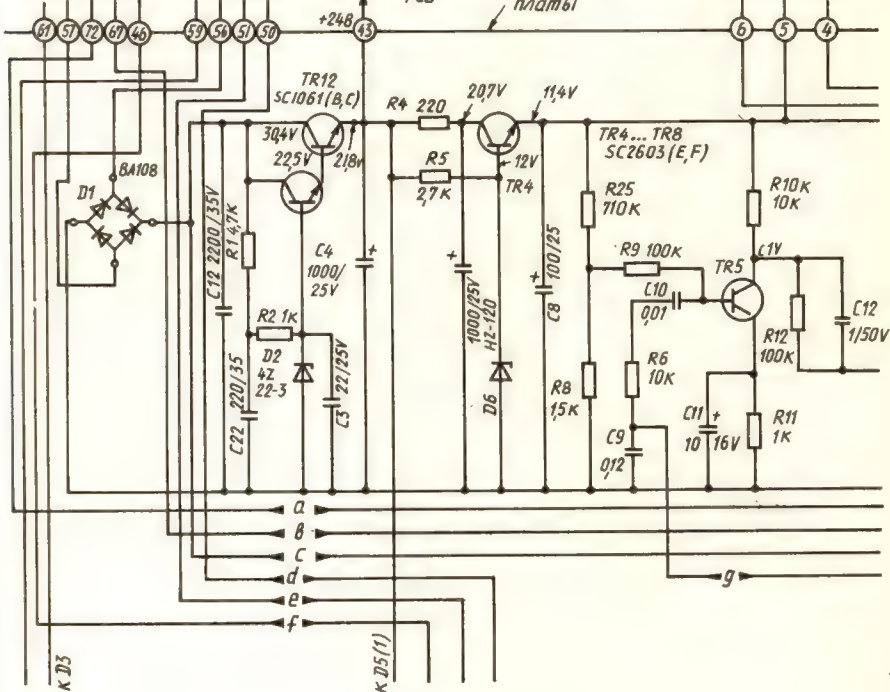
SW2-1

К блоку
питания

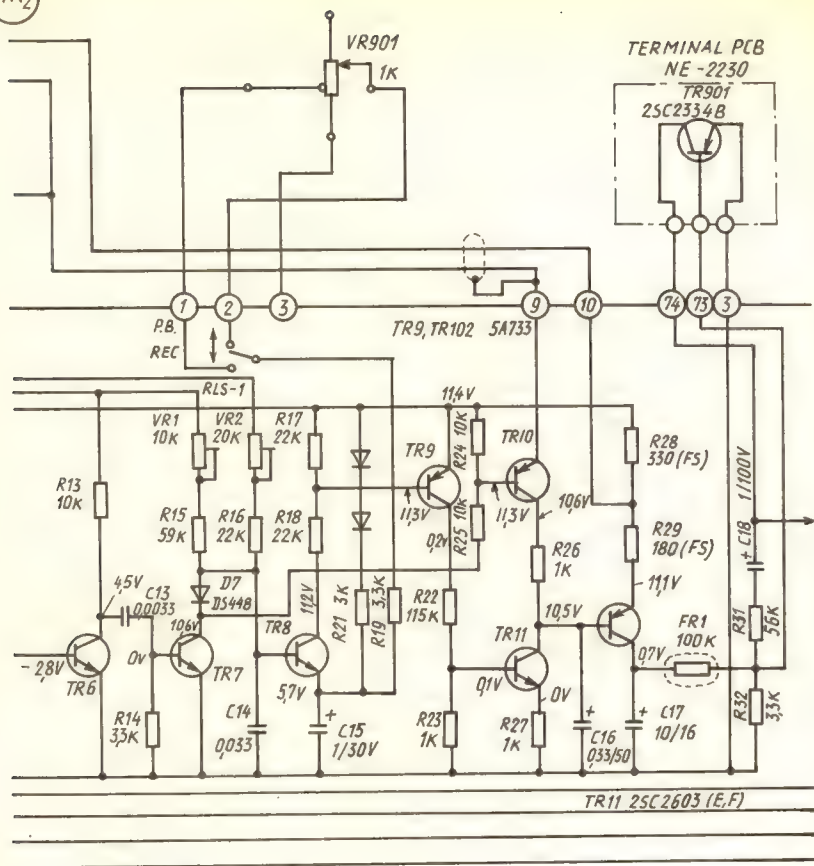
К предохра-
нителям

PREAMP
PCB

Контур
платы



7K₂

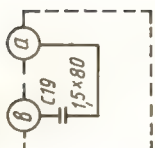
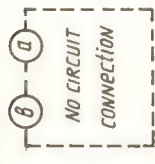
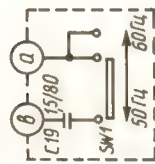


7K₂
(продолжение)
U_J

A_C

E, B

15x80



SYSKON PCB TH-1015

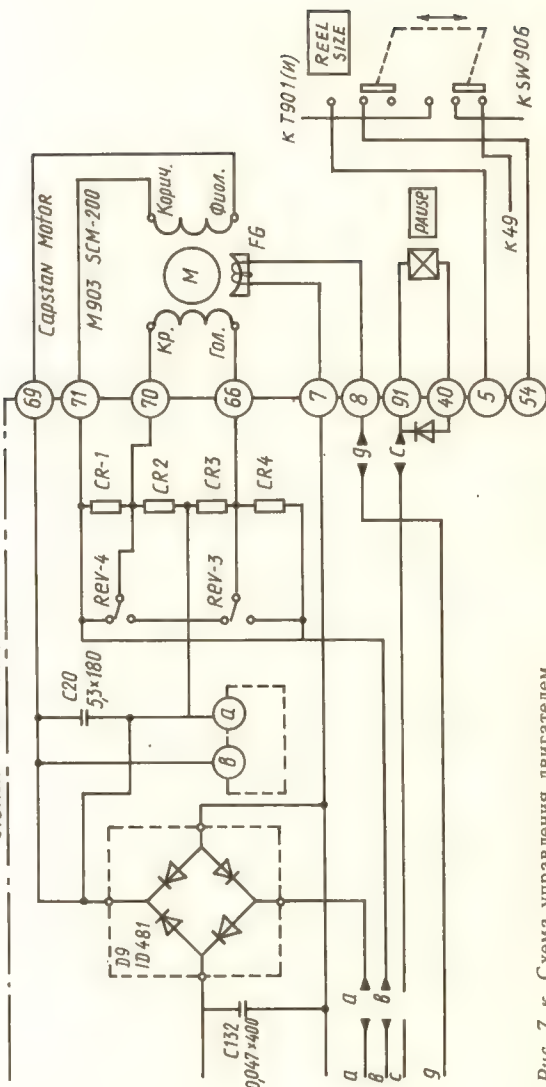
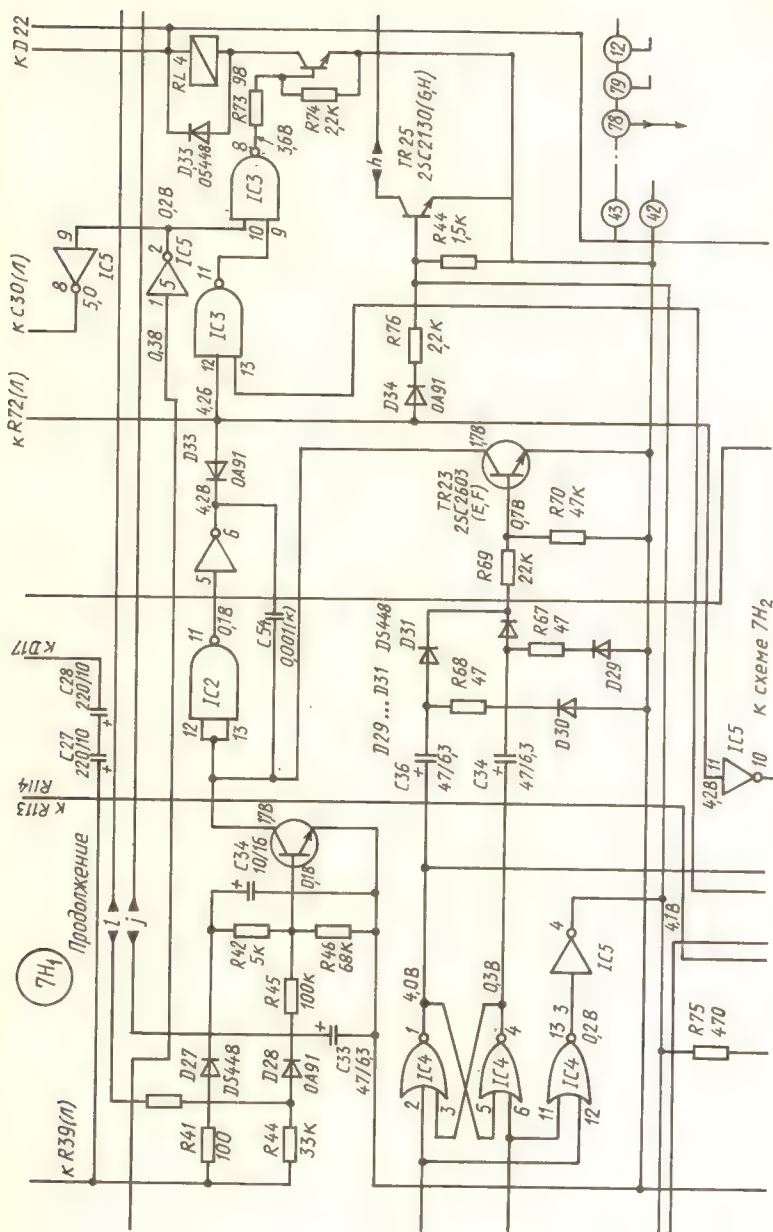
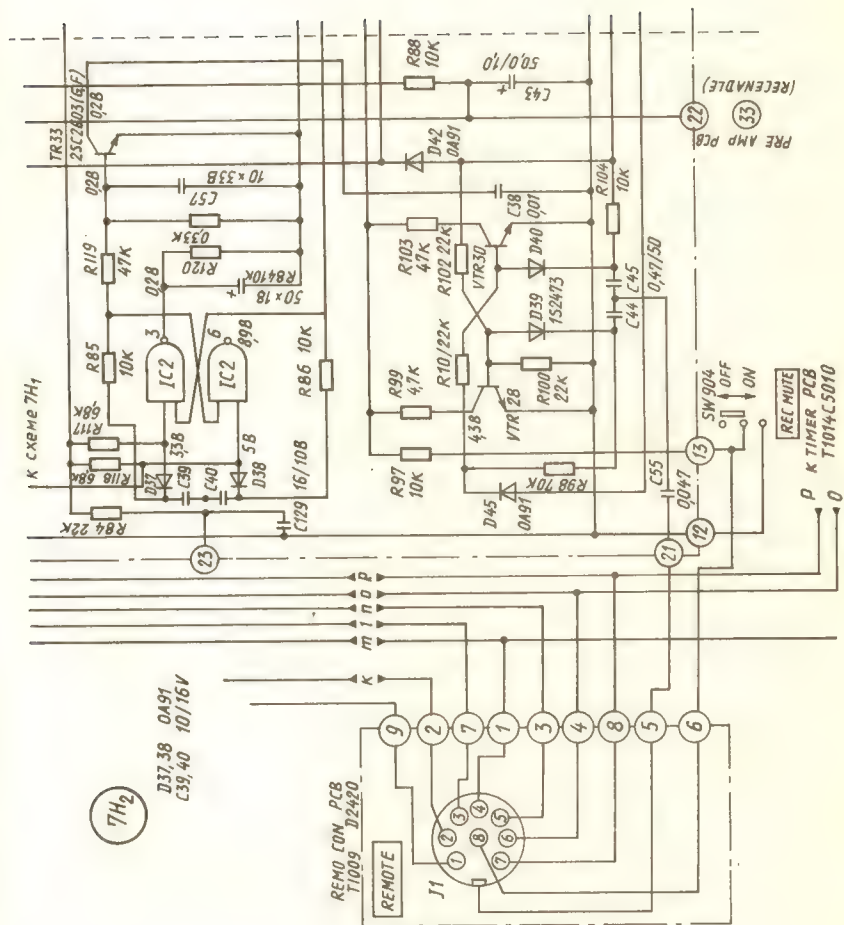


Рис. 7, к. Схема управления двигателем









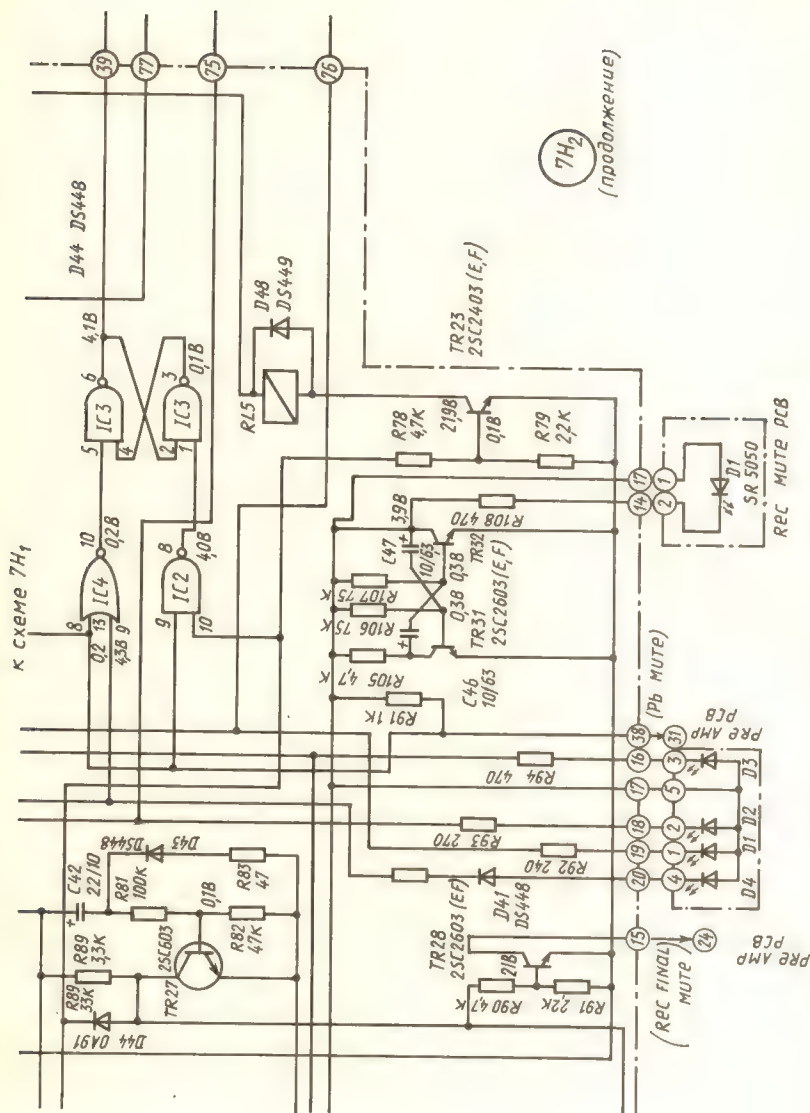


Рис. 7. н. Схема блока управления механикой

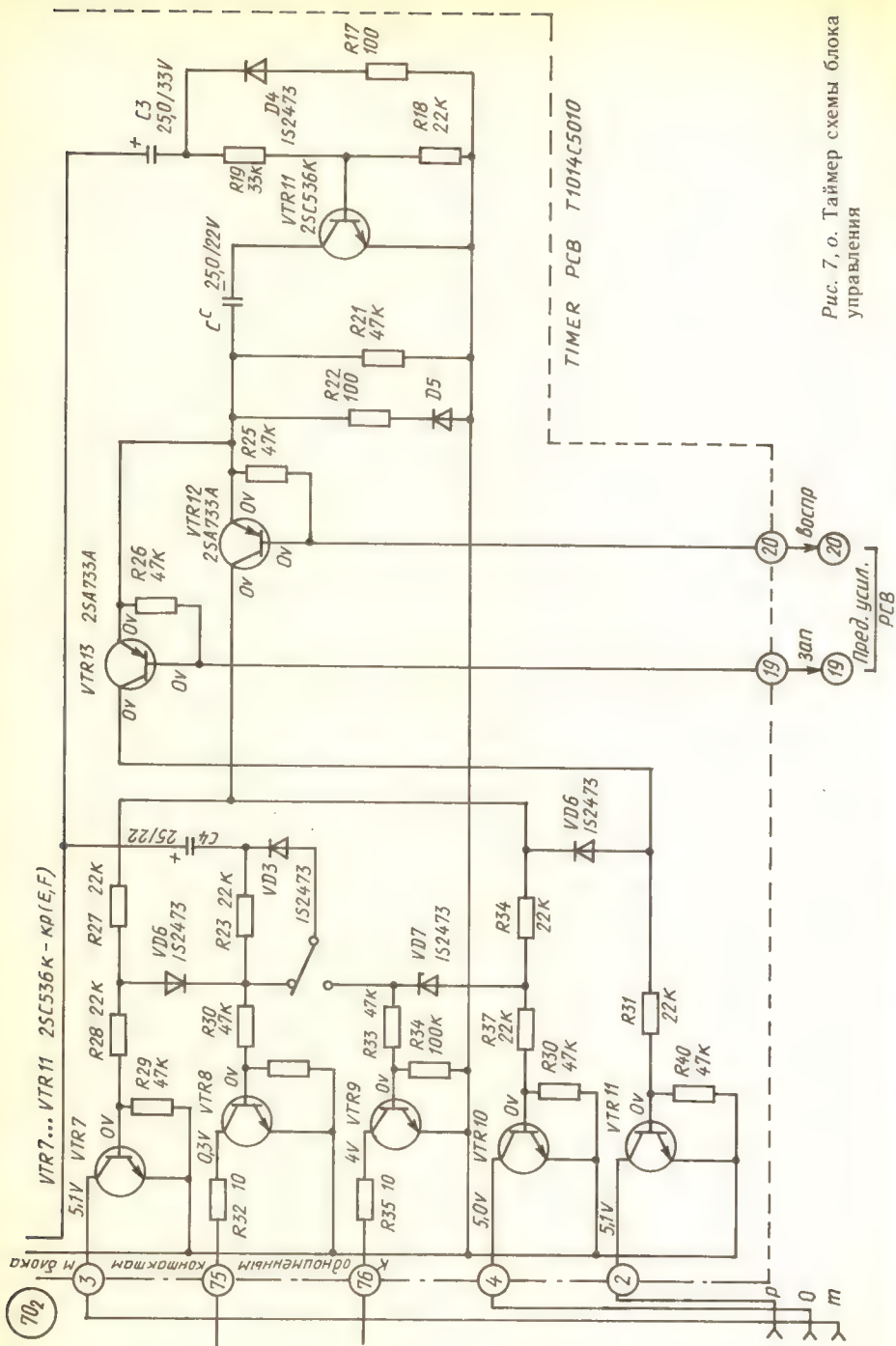


Рис. 7, о. Таймер схемы блока управления

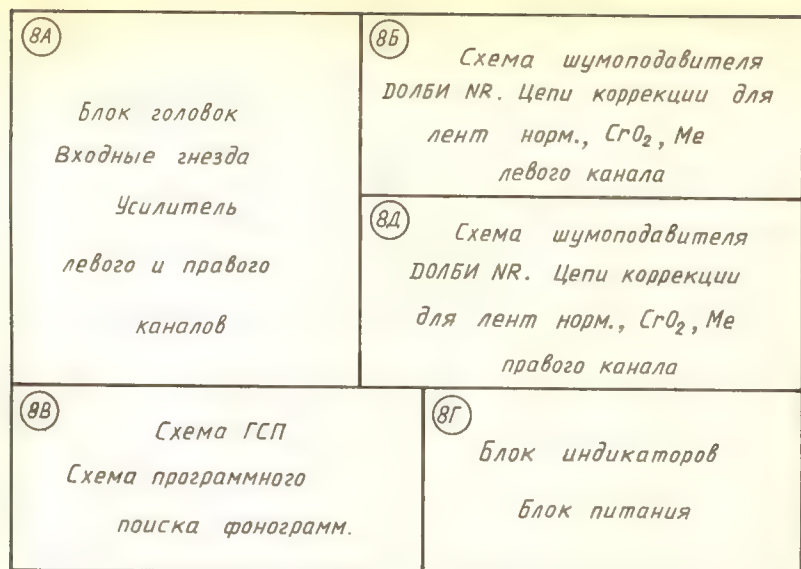


Рис. 8. Расположение блоков на принципиальной схеме кассетной деки «Шарп Р1-31Н»

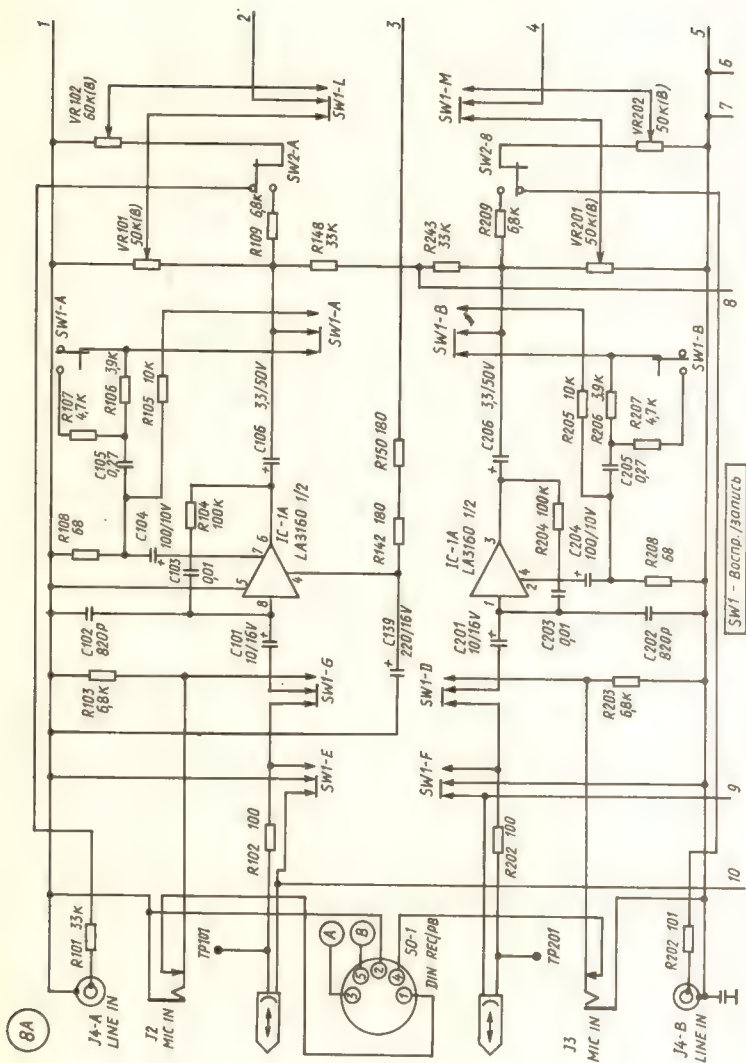


Рис. 8, а. Блок головок, входные гнезда, универсальный усилитель, левого и правого каналов

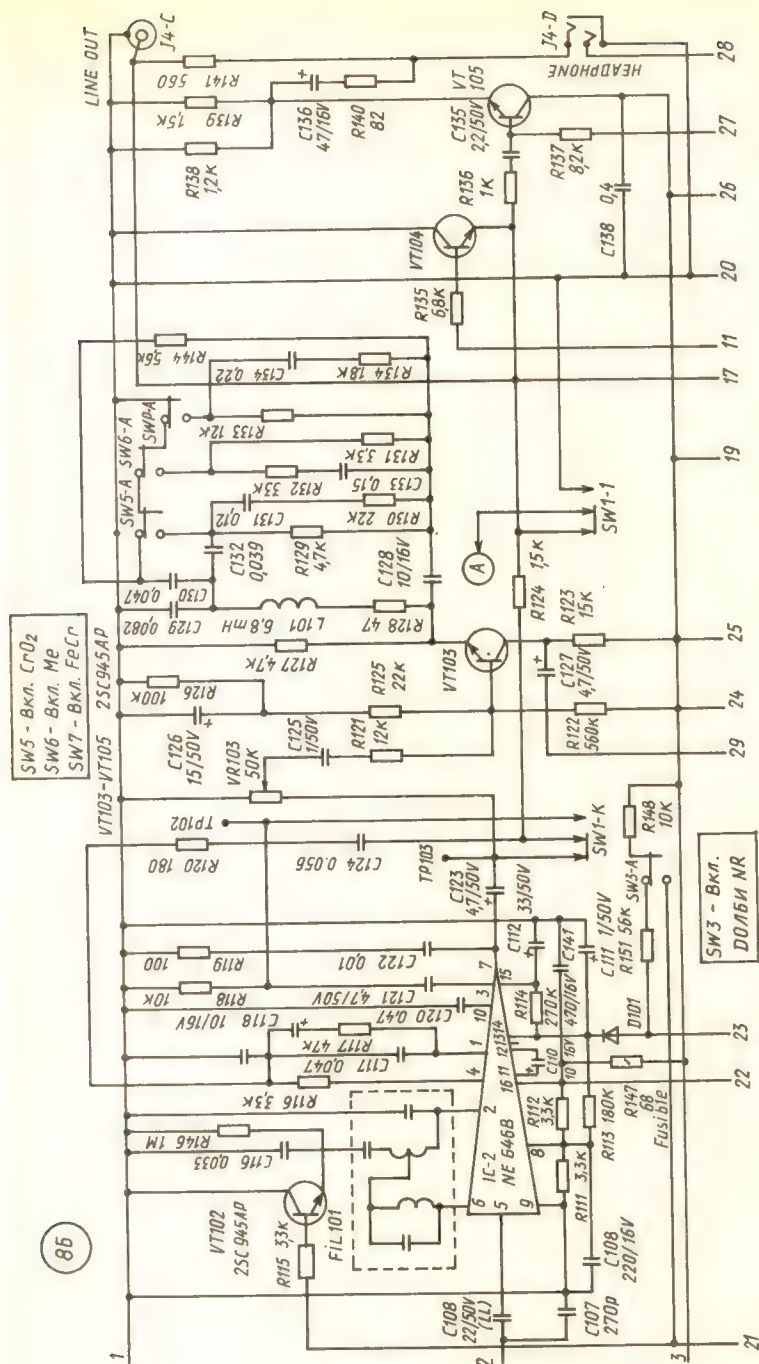


Рис. 8, 6. Схема шумоподавителя Долби-NR, цепи коррекции для лент норм., CrO₂, Me левого канала

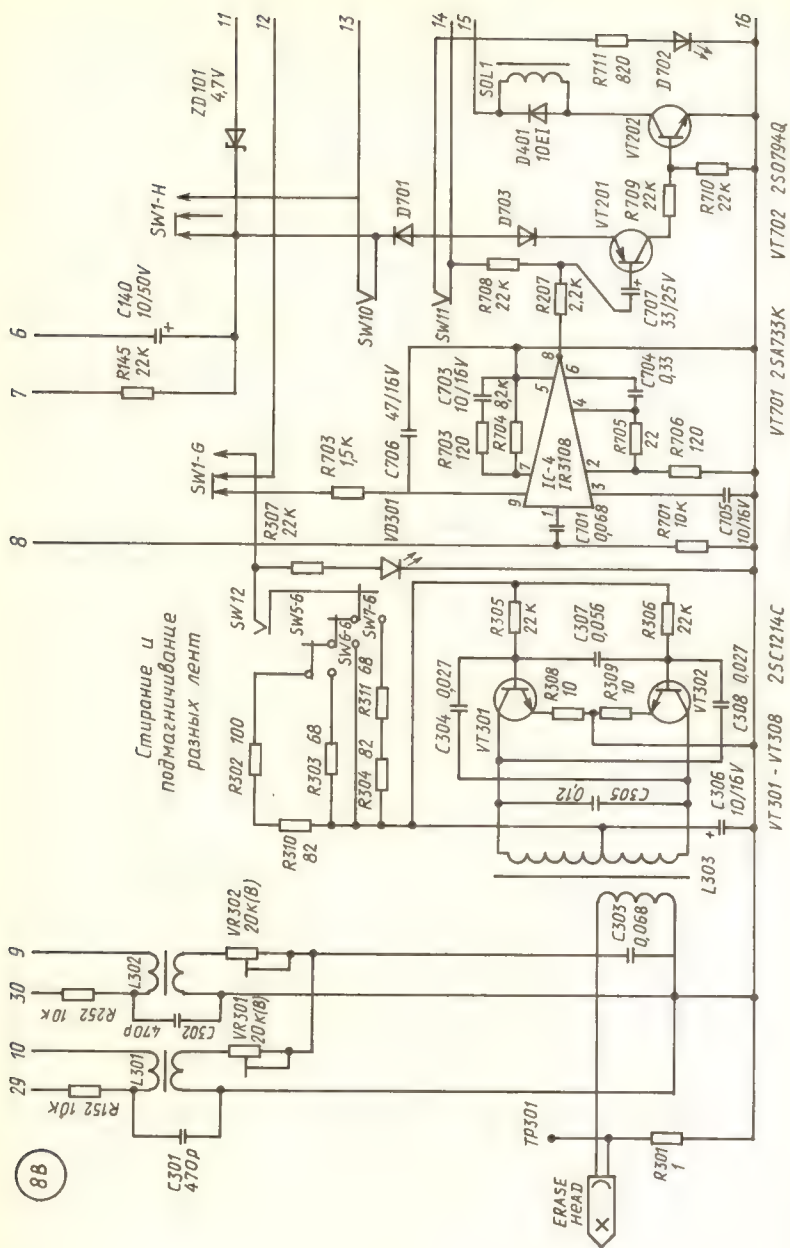


Рис. 8, в. Схема ГСП, схема программного поиска фонограмм

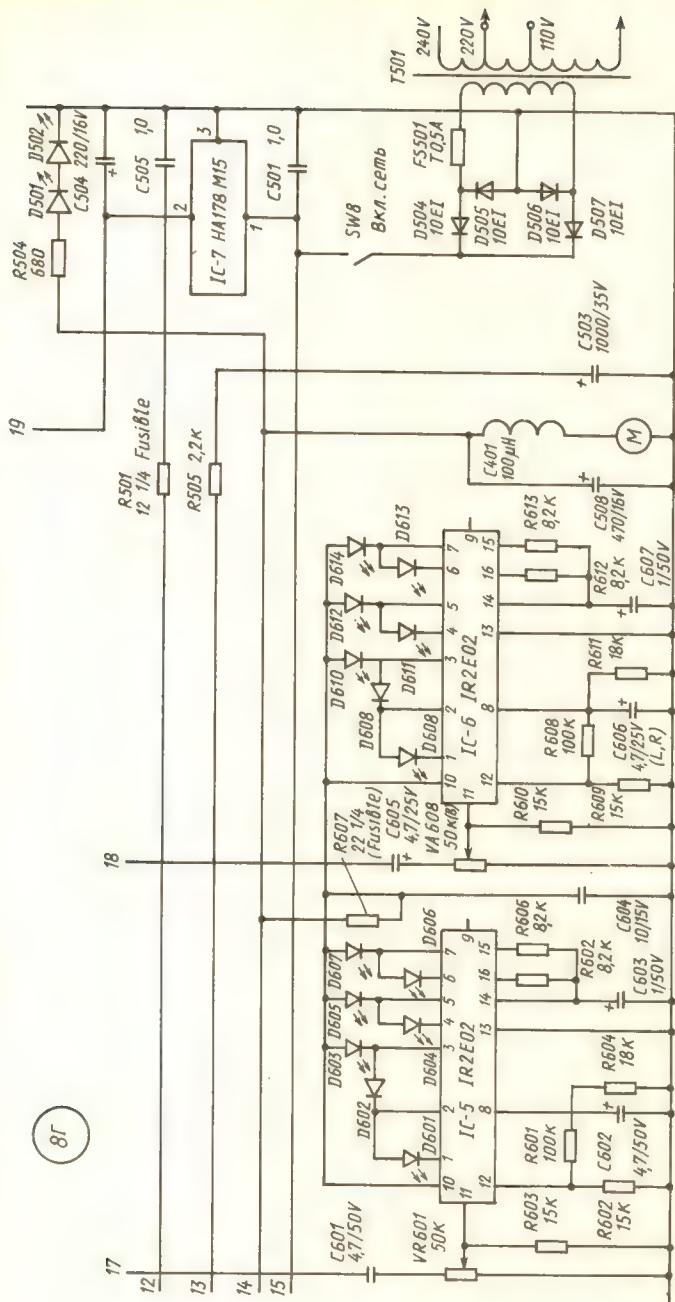


Рис. 8, г. Блок индикаторов, блок питания

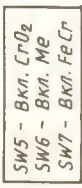


Рис. 8, д. Схема шумоподавителя Долби-NR, цепи коррекции для разных лент правого канала

<p>9A</p> <p>Блок ВЧ радиоприемника</p>	<p>9Б</p> <p>Блок промежуточной частоты радиоприемника</p>
<p>9В</p> <p>Блок головок Усилитель воспроизведения магнитофона</p>	<p>9Г</p> <p>Усилитель мощности звуковой частоты</p>

Рис. 9. Расположение блоков на принципиальной схеме автомобильной магнитолы «MUSTANG CRF-280B»

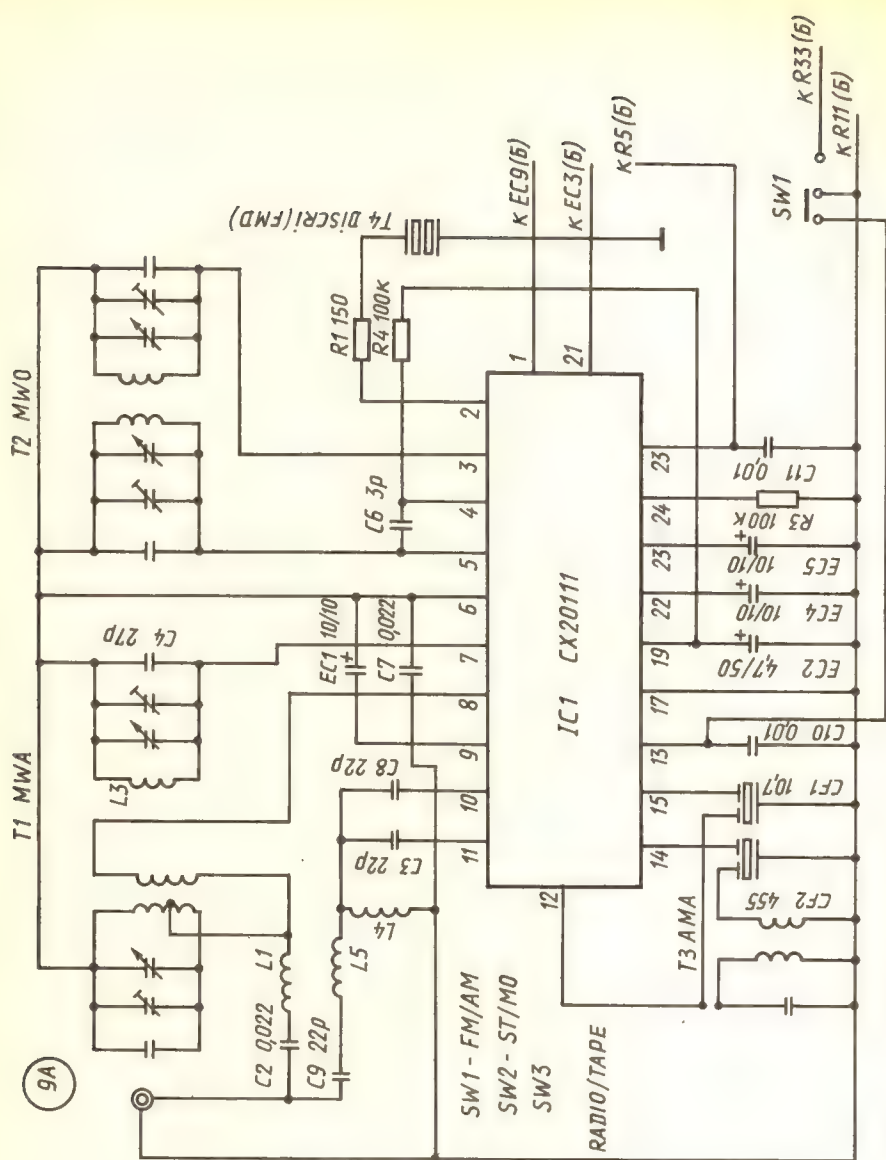


Рис. 9, а. Блок В4 радиоприемника

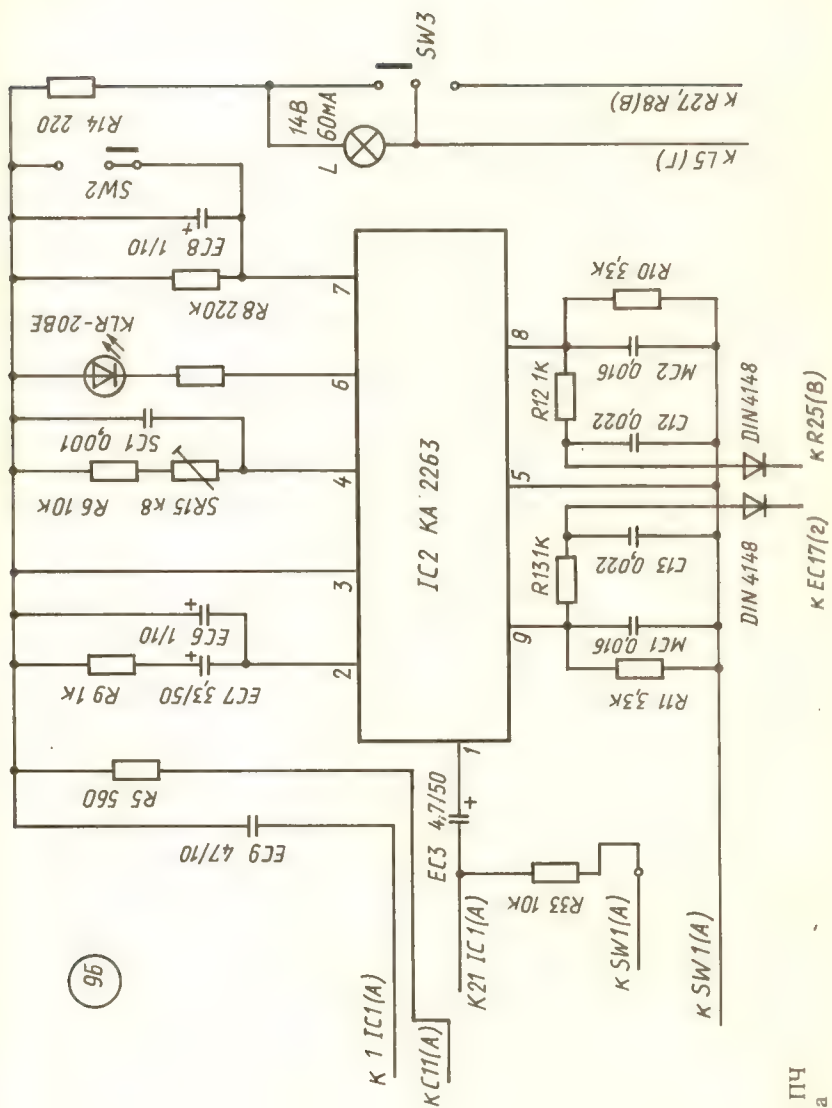


Рис. 9, б. Блок ПЧ радиоприемника

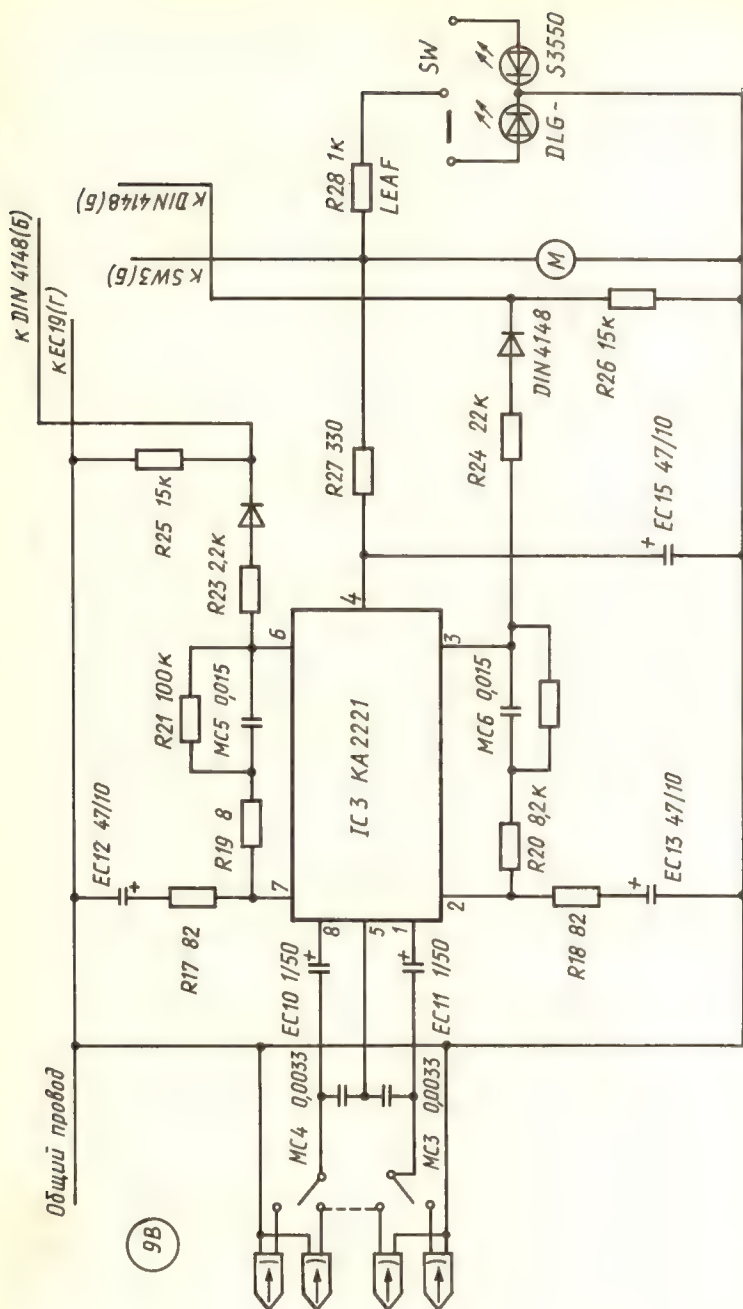
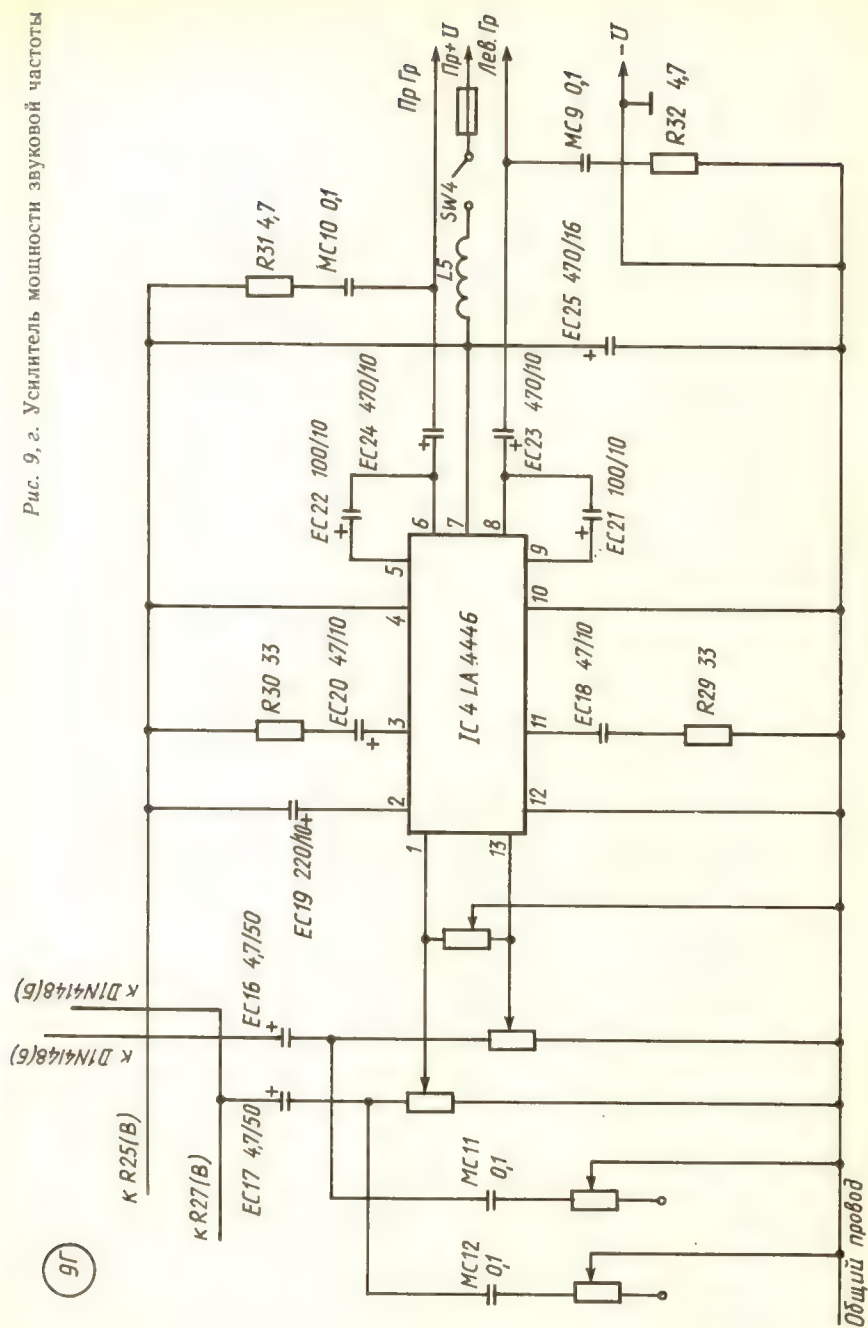


Рис. 9, в. Блок головок, усилитель воспроизведения магнитофона

Рис. 9, г. Усилитель мощности звуковой частоты



СОДЕРЖАНИЕ

Введение	3
Глава 1. Элементы системы магнитной записи — воспроизведения звука	4
1.1. Магнитная лента	5
1.2. Магнитные головки	8
1.3. Лентопротяжный механизм	17
Глава 2. Электрические схемы магнитофонов	21
2.1. Структурные схемы магнитофонов	21
2.2. Усилитель воспроизведения	24
2.3. Усилитель записи	28
2.4. Универсальный усилитель	32
2.5. Генератор токов стирания и подмагничивания	34
2.6. Индикаторы уровня	37
2.7. Устройства, обеспечивающие повышение качества записи и воспроизведения	40
Автоматическая регулировка уровня записи	40
Системы шумопонижения	43
2.8. Интегральные микросхемы для аппаратуры магнитной записи	57
Глава 3. Описание электрических схем магнитофонов	70
3.1. Магнитофон-приставка «Орбита МП-121-С»	70
3.2. Магнитофон-приставка «Электроника МП-204-Стерео»	95
3.3. Магнитофон «Юпитер МК-106-С»	123
Глава 4. Ремонт и регулировка магнитофонов	145
4.1. Факторы, определяющие качество магнитной записи	145
Резонансные явления	145
Влияние давления иглы на качество воспроизведения	147
Факторы процесса записи и их влияние на качество звучания	152

Основные источники структурного шума ленты	152
Ленты	153
Головки	154
Процесс записи	155
Частотные характеристики	157
Шумы в каналах при записи	157
Установка акустических систем (АС)	159
4.2. Методы отыскания неисправностей	160
Метод промежуточных измерений	164
Метод измерения параметров сигнала	166
Метод замены	166
Метод сравнения	167
Измерение режимов	167
Регулировка режимов	169
Регулировка режимов в каскадах с непосредственной связью	171
4.3. Неисправности магнитофонов, их обнаружение и устранение	173
Общие указания по ремонту	173
Техника безопасности при ремонте и регулировке бытовых аппаратов магнитной записи (БАМЗ)	174
Неисправности лентопротяжного механизма магнитофона .	175
4.4. Неисправности электрической части магнитофонов	178
Общие сведения	178
Неисправности блока питания	179
Неисправности блока питания от сети	184
Стабилизаторы напряжения	186
Компенсационные стабилизаторы	189
Параллельные компенсационные стабилизаторы	190
Параллельные компенсационные стабилизаторы	190
Ремонт и регулировка компенсационных стабилизаторов напряжения	194
Проверка работы стабилизатора	196
Проверка коэффициента стабилизации по напряжению . .	197
4.5. Ремонт и регулировка усилителей звуковой частоты (УЗЧ) .	233
Неисправности УЗЧ	239
Подготовка УЗЧ к регулировке	241
Проверка основных параметров УЗЧ	242
Проверка нелинейных искажений УЗЧ	243
Шумы и помехи в УЗЧ	246
Помехи наводок от внешних источников помех	247
Коррекция АЧХ в усилителях звуковой частоты	250
4.6. Неисправности магнитофона в режиме «Воспроизведение» .	252
4.7. Проверка магнитофона в режиме «Воспроизведение» . . .	255
Проверка уровня усиления	255
Проверка амплитудно-частотной характеристики	255

Проверка относительного уровня помех в режиме «Воспроизведение»	257
4.8. Неисправности магнитофона в режиме «Запись»	258
4.9. Проверка и регулировка магнитофона в режиме «Запись»	260
Установка оптимального тока подмагничивания	261
Измерение величины тока стирания и тока подмагничивания, контроль его формы и частоты	262
Настройка эквивалентов стирающих головок в режиме монофонической записи	264
Проверка относительного уровня стирания записи	264
Установка номинального уровня записи и калибровка индикатора уровня	265
Проверка чувствительности входов магнитофона в режиме «Запись»	266
Проверка и регулировка АЧХ сквозного канала в режиме «Запись-воспроизведение»	267
Измерение коэффициента гармонических искажений	268
Проверка частотной характеристики усилителя записи	268
Измерение относительного уровня шумов помех сквозного канала	269
Проверка синфазности каналов	271
Проверка и настройка индикаторов уровня записи	271
Проверка относительного уровня проникающего сигнала с соседней дорожки записи	272
4.10. Проверка основных параметров и регулировка магнитофонов	272
Проверка лентопротяжного механизма	272
Измерение коэффициента детонации	273
Установка магнитных головок	273
Установка рабочего зазора магнитных головок перпендикулярно направлению движения ленты	277

Глава 5. Ремонт блоков коммутации 279

5.1. Цифровые устройства	281
Триггеры	287
Счетчики	296
Регистры	299
Шифраторы и дешифраторы	303
5.2. Устройства индикации	306
5.3. Мультиплексоры	321
5.4. Микропроцессоры	326

Глава 6. Особенности ремонта и регулировки зарубежных магнитофонов	333
6.1. Элементы схем зарубежной аппаратуры, их аналоги и замена	335
Резисторы	335
Конденсаторы	338
Полупроводниковые приборы	339
Рекомендации по замене полупроводниковых диодов, транзисторов и микросхем	342
Приложение 1. Аналоги микросхем отечественного и зарубежного производства	346
Приложение 2. Параметры транзисторов зарубежного производства	348
Приложение 3. Расположение выводов зарубежных транзисторов .	365
Приложение 4. Возможные схемы включения и цоколевка транзисторов в аппаратуре зарубежного производства	385
Приложение 5. Принципиальные схемы включения микросхем зарубежного производства	402
Приложение 6. Основные технические характеристики некоторых магнитофонов и магнитофонных приставок зарубежного производства	430
Приложение 7. Высококачественные аппараты зарубежного производства для автомобилей	445
Приложение 8. Параметры отечественных транзисторов	449
Приложение 9. Условные обозначения, цоколевка, маркировка радиодеталей и громкоговорителей	510
Приложение 10. Принципиальные схемы магнитол и магнитофонов ведущих иностранных фирм	517

Даниленко Б. П., Манкевич И. И.

Д 18 Отечественные и зарубежные магнитофоны: схемы, ремонт.— Мн.: Беларусь, 1994.— 617 с.: ил.

ISBN 5-338-00998-6.

Приведено описание электрических схем новейших магнитофонов отечественного и зарубежного производства. Даны рекомендации по их ремонту, настройке, измерению основных параметров. Представлен обширный справочный материал по транзисторам и микросхемам, их цоколевке и схемам включения, так необходимым при ремонте указанных магнитофонов.

Для радиолюбителей и мастеров по ремонту радиоаппаратуры.

Д 6810846070—024 **38—94**
М301(03)—94

ББК 32.871-5-08я2

Справочное издание

Даниленко Борис Петрович

Манкевич Иван Иосифович

**ОТЕЧЕСТВЕННЫЕ И ЗАРУБЕЖНЫЕ МАГНИТОФОНЫ:
СХЕМЫ. РЕМОНТ**

Редактор Д. В. Василенко

Художественный редактор И. Г. Славянин

Технические редакторы Я. С. Шляшинская, С. Л. Сармант

Корректоры Г. К. Пискунова, Р. П. Иваненко, Л. Б. Шинкевич,
Ю. Ц. Петрикеева

Сдано в набор 17.03.93. Подп. в печ. 17.02.94. Формат 60×90¹/₁₆.
Бумага кн.-журн. Гарнитура Литературная. Офсетная печать.
Усл. печ. л. 39,0. Усл. кр.-отт. 39,0. Уч.-изд. л. 44,3. Тираж 80 000
экз. Зак. 153.

Ордена Дружбы народов издательство «Беларусь» Министерства
информации Республики Беларусь. Лицензия ЛВ № 2. 220600,
Минск, проспект Машерова, 11.

Минский ордена Трудового Красного Знамени полиграфкомбинат
МППО им. Я. Коласа. 220005, Минск, Красная, 23.

Издательство «Беларусь»
планирует к выпуску в 1995—1996 гг.
следующие издания:

**ЭЛЕКТРОРАДИОИЗМЕРИТЕЛЬНАЯ ТЕХНИКА
И МЕТОДЫ ИЗМЕРЕНИЙ.**

Справочник.

Объем 40 уч.-изд. л.

Изложены основные понятия и определения в области метрологии. Рассмотрены вопросы, связанные с погрешностями измерения электрических и радиотехнических величин, методами измерений, структурой построения, принципом работы средств измерений от простейших приборов общего назначения до автоматизированных измерительных систем и комплексов, использующих микропроцессорную технику.

Дается классификация электрорадиоизмерительных приборов, обозначение их типов, основные технические характеристики, конструктивные особенности.

Для специалистов, использующих контрольно-измерительную технику, преподавателей и студентов ВУЗов и техникумов, а также радиолюбителей.

РЕМОНТ БЫТОВЫХ АКУСТИЧЕСКИХ СИСТЕМ.

Справочник.

Объем 15 уч.-изд. л.

Помещен необходимый справочный материал по акустическим системам (АС) и головкам громкоговорителей, применяемых в различной бытовой аппаратуре звуковоспроизведения.

Приведены различные виды неисправностей и причины отказов в АС и головках громкоговорителей, способы их отыскания и устранения.

Даны рекомендации по подключению и согласованию АС с трактом звуковоспроизведения.

Для широкого круга специалистов, студентов соответствующего профиля, радиолюбителей.

ПОЛУПРОВОДНИКОВЫЕ ПРИБОРЫ.

Справочник.

Объем 22 уч.-изд. л.

Приведены данные о габаритных размерах, электрических параметрах, предельно допустимых значениях выпрямительных полупроводниковых диодов, диодных сборок, матриц, варикапов, универсальных, импульсных и туннельных диодов. Даны их зарубежные аналоги.

Для широкого круга специалистов, студентов соответствующего профиля, радиолюбителей.

ЭЛЕКТРОБЕЗОПАСНОСТЬ ПРИ ЭКСПЛУАТАЦИИ ЭЛЕКТРОУСТАНОВОК.

Справочное пособие.

Объем 10 уч.-изд. л.

Изложены вопросы комплектования электроустановок средствами их защиты. Освещены положения, связанные с обеспечением электробезопасности при эксплуатации электроустановок потребителями электроэнергии с разъяснением отдельных положений Правил и норм и системы стандартов безопасности труда (ССБТ), даны практические рекомендации.

Приводятся основные меры защиты от поражения током и меры первой доврачебной помощи пораженному током.

Для электромонтеров, обслуживающих электроустановки во всех отраслях хозяйства, учащихся средних технических заведений, лиц, осуществляющих энергетический надзор.

ТЕХНИЧЕСКОЕ ОБСЛУЖИВАНИЕ И РЕМОНТ ЗАРУБЕЖНЫХ ЛЕГКОВЫХ АВТОМОБИЛЕЙ.

Объем 20 уч.-изд. л.

В книге детально рассмотрены вопросы технического обслуживания ремонта и регулировок отдельных узлов наиболее используемых марок автомобилей: «вольво», «БМВ», «мерседес», «фольксваген», «оппель» и др.

Приведены основные неисправности, устройство и техническое обслуживание, регулировочные работы по двигателю и его системам, трансмиссии, ходовой части, рулевому и тормозным механизмам, электрооборудованию, системам освещения и сигнализации, дополнительному электрооборудованию кузова и салона.

Даются основные типы топливо-смазочных материалов, специальных жидкостей и их заменителей, а также основные данные для контроля и регулировок.

Для автолюбителей, эксплуатирующих зарубежные легковые автомобили, а также работников, связанных с их ремонтом и реализацией.

Для оптовых покупателей:

220600, Минск, пр. Машерова, 11.

Издательство «Беларусь».

Отдел маркетинга: Т. 23-60-13.



